

**Aurora Felicia CRISTEA
Ovidiu-Aurelian DETEȘAN
Viorel ISPAS**

MECANICĂ TEORETICĂ
Statică. Cinematică. Dinamică

U.T.PRESS
Cluj-Napoca, 2025
ISBN 978-606-737-762-0

Aurora-Felicia CRISTEA
Ovidiu-Aurelian DETEȘAN
Viorel ISPAS

MECANICĂ TEORETICĂ
Statică. Cinematică. Dinamică



U.T. PRESS
Cluj-Napoca, 2025
ISBN 978-606-737-762-0



Editura U.T.PRESS
Str. Observatorului nr. 34
400775 Cluj-Napoca
Tel.: 0264-401.999
e-mail: utpress@biblio.utcluj.ro
www.utcluj.ro/editura

Recenzia: Conf.dr. ing. Claudiu Schonstein
Șf.l.dr.ing. Gabriel Fodor

Pregătire format electronic on-line: Gabriela Groza

Copyright © 2025 Editura U.T.PRESS
Reproducerea integrală sau parțială a textului sau ilustrațiilor din această carte este posibilă numai cu acordul prealabil scris al editurii U.T.PRESS.

ISBN 978-606-737-762-0

PREFAȚĂ

Cartea numită „**Mecanică Teoretică – Statică. Cinematică. Dinamică**” a apărut ca o necesitate în ceea ce privește tipărirea cursurilor și a aplicațiilor de mecanică pentru studenții din anii 1 și 2 de studiu cu specializările în inginerie mecanică, inginerie industrială, inginerie economică dar nu numai, fiind utilă tuturor aceluia care doresc să înțeleagă noțiuni de mecanică și apoi să le aplice practic.

Se observă o curbă ascendentă a educației în învățământul tehnic românesc, iar economia are cerințe mari privind tinerii absolvenți în inginerie pentru multitudinea domeniilor de specializare. Aceste cerințe impun ingineri calificați în toate specializările ingineriei mecanice și nu numai. Formarea de ingineri revine universităților tehnice, fapt care atrage tot mai mulți tineri în acest domeniu.

Cursul de mecanică cuprins în această lucrare este elaborat de către Conf. Dr. Ing. Aurora-Felicia Cristea, Conf. Dr. Ing. Ovidiu-Aurelian Deteșan și cu contribuția mentorului nostru, a domnului Prof. Univ. Dr. Ing. Viorel Ispas și este o continuare a colaborărilor dintre aceștia.

Lucrarea cuprinde toate cele trei părți ale mecanicii teoretice (Statică, Cinematică și Dinamică, ultima parte completează contribuțiile anterioare ale autorilor). Ea cuprinde *nouăsprezece capitole* conținând noțiuni teoretice și aferent acestora, probleme de *statică* (capitolele 1÷8), probleme de *cinematică* (capitolele 9÷14), respectiv noțiuni de teorie și probleme de *dinamică* (capitolele 15÷19). *Partea aplicativă* pentru statică conține probleme de calcul vectorial, de reducere a sistemelor de forțe, de determinare a centrelor de masă și a momentelor de inerție, de echilibru a punctului material, a solidului rigid, precum și de echilibru a sistemelor de solide rigide, probleme de cinematică etc. Partea de aplicații în cinematică conține probleme de cinematica punctului, de cinematica solidului rigid, de cinematica mișcării relative a punctului și a solidului rigid. Partea de aplicații în dinamică include probleme de dinamica punctului material, de mișcarea relativă a acestuia, problemele și teoremele fundamentale ale dinamicii, probleme de ciocniri și mecanică analitică.

Fiecare capitol din lucrare conține două părți: considerații teoretice și aplicații aferente fiecărui capitol, fiind prezentate ca probleme rezolvate și probleme propuse.

Lucrarea se încheie cu anexele privind geometria maselor: centre de masă, momente de inerție geometrice și mecanice ale liniilor (barelor), suprafețelor (plăcilor) și a corpurilor cu geometrie cunoscută, bibliografia și cuprinsul.

În *primul capitol* al părții întâi a acestei lucrări, intitulată *Statica*, după prezentarea generală a noțiunilor despre vectori și a unor operații cu mărimi vectoriale, sunt trecute în revistă câteva aplicații care acoperă toată gama de noțiuni și operații cu vectori necesare în capitolele următoare.

Capitolul al doilea este destinat noțiunilor de reducere a sistemelor de forțe. Sunt prezentate astfel noțiunile de moment polar, moment axial, torsor de reducere într-un punct, torsor minimal, axă centrală și aplicațiile aferente acestora. În urma parcurgerii acestui capitol, studenții se familiarizează cu noțiunile de reducere a sistemelor de forțe. Percepția lor asupra sistemelor de forțe va fi alta după rezolvarea câtorva probleme de reducere. Astfel, se pleacă de la un sistem oarecare de forțe care

acționează arbitrar, se trece prin aplicațiile propuse la sistemele echivalente de una sau două elemente (forță, moment), aplicate într-un punct sau pe axa centrală, aplicații care permit să se tragă concluzii asupra efectului sistemului de forțe aplicate solidului rigid aflat sub acțiunea acestor forțe.

În *capitolul al treilea* sunt prezentate noțiuni teoretice și aplicații pentru determinarea poziției centrului de masă pentru linii (bare), suprafețe (plăci) și corpuri omogene simple și/sau compuse. Sunt prezentate de asemenea, aplicații pentru determinarea momentelor de inerție geometrice și mecanice pentru linii, suprafețe și corpuri omogene. În câteva cazuri sunt determinate și elipsele de inerție corespunzătoare unor puncte bine definite cum ar fi: centrul de masă sau originea sistemului de referință ales.

Capitolul al patrulea este destinat echilibrului punctului material. Astfel, se studiază echilibrul punctului pe o suprafață și pe o curbă cu și fără frecare, definindu-se și conul frecării cu această ocazie. Echilibrul cu frecare al punctului se studiază sub aspect fizic și sub aspect geometric.

În *capitolul al cincilea* sunt prezentate considerații teoretice și aplicații corespunzătoare pentru echilibrul solidului rigid supus la legături lucii și aspre. Studenții se vor familiariza astfel cu legăturile solidului rigid și vor învăța introducerea corectă a forțelor de legătură prin suprimarea legăturilor rigidului, se vor familiariza cu scrierea ecuațiilor de proiecții pentru forțe și momente prin rezolvarea acestora, precum și cu interpretarea rezultatele obținute.

Capitolul al șaselea conține considerațiile teoretice și aplicațiile referitoare la echilibrul sistemelor de solide rigide supuse la legături interioare și exterioare cu sau fără frecare. Prin metodele folosite în acest capitol, studenții vor învăța să studieze echilibrul sistemelor, ajungând la concluzia că astfel de probleme, aparent dificile, se pot rezolva ușor.

Capitolele al șaptelea și al optulea conțin noțiuni teoretice și probleme privind calculul firelor aeriene, precum și aplicațiile mecanismelor simple date de pârghii și scripeti. În capitolul șapte se prezintă ecuația generală a firelor și ecuațiile diferențiale ale firelor în sisteme de coordonate carteziene și intrinseci, necesare pentru rezolvarea problemelor de calcul al firelor acționate de greutatea proprie și a probleme legate de frecarea firelor.

Capitolul al nouălea este capitolul de introducere al părții a doua a acestei lucrări și anume *Cinematica* și se referă la cinematica punctului material. Astfel, se tratează noțiuni teoretice legate de mișcarea punctului (traietorie, ecuații de mișcare, viteză instantanee, accelerație instantanee, componente de viteză și accelerație în diferite sisteme de referință) și sunt prezentate aplicații ale acestora alese astfel încât, să se acopere toate noțiunile de cinematică a punctului. Unele dintre aceste aplicații se referă la mișcarea punctului pe curbe tehnice.

Capitolul al zecelea este destinat mișcărilor de translație, de rotație în jurul unui ax fix și de roto-translație ale solidului rigid. Noțiunile teoretice prezentate în acest capitol se referă la studiul geometric, la distribuția de viteze și la distribuția de accelerații ale rigidului. Ca aplicații au fost alese probleme cât mai sugestive care să pună în evidență mișcărilor respective.

În *capitolul al unsprezecelea* este prezentată mișcarea plan-paralelă a solidului rigid. Se prezintă succesiv studiul geometric, distribuția de viteze și distribuția de accelerații a mișcării plan-paralele a rigidului. În aplicațiile din acest capitol se determină centrițele mișcării plane (baza și rostogolitoarea) și distribuțiile de viteze și accelerații prin diferite metode.

În *capitolul al doisprezecelea* sunt prezentate considerațiile teoretice și aplicațiile în mișcarea de rotație a rigidului în jurul unui punct fix (mișcarea sferică). La început se prezintă studiul geometric al mișcării, apoi distribuțiile de viteze și de accelerații. În aplicații se determină, în general, axa instantanee de rotație, vitezele și accelerațiile instantanee pentru diferite puncte aparținând rigidului aflat în mișcare sferică.

Capitolul al treisprezecelea cuprinde considerații teoretice și aplicații la mișcarea generală a solidului rigid.

În *capitolul al paisprezecelea*, după prezentarea considerațiilor teoretice corespunzătoare mișcării relative a punctului și a solidului rigid, sunt prezentate aplicații diverse care conțin noțiunile specifice mișcării relative, precum vitezele și accelerațiile relative, de transport și absolută, cu referire și la accelerația Coriolis etc.

Partea a treia a Mecanicii Teoretice respectiv, *Dinamica* prezentată începând cu *capitolul cincisprezece* în care se face referire la noțiunile din dinamica punctului material și a sistemelor de puncte materiale, parte care se încheie cu soluționarea analitică a aplicațiilor.

Capitolul al șaisprezecelea al lucrării prezintă principalele noțiuni fundamentale și teoremele fundamentale ale dinamicii, plecând de la impuls, moment cinetic, energie cinetică, putere și randament, încheindu-se cu partea de aplicații.

Capitolul al șaptesprezecelea prezintă noțiuni complexe privind dinamica rigidului începând cu mișcările particulare ale acestuia, ca de exemplu mișcarea de translație, rotație, mișcarea plan-paralelă, încheindu-se cu mișcarea generală și aplicații.

Capitolul al optsprezecelea prezintă noțiuni de mecanică analitică, începând cu deplasările virtuale, lucrul mecanic virtual, principiul lui D'Alembert, încheindu-se cu ecuațiile lui Lagrange și ecuațiile în formă canonică ale lui Hamilton.

Capitolul al nouăsprezecelea se referă la toate noțiunile și teoremele din dinamică aplicate în cazul ciocnirilor și a percuțiilor.

În concluzie, lucrarea de față a fost gândită cu o mare atenție privind partea teoretică, ea este ilustrată din punct de vedere grafic cât mai sugestiv. Autorii au prezentat aplicațiile sub formă de probleme rezolvate și problemele propuse pentru fiecare capitol astfel încât, acestea să acopere toate noțiunile introduse în capitolul respectiv. De asemenea, se menționează că diversitatea problemelor prezentate ușurează înțelegerea noțiunilor și metodelor generale ale Mecanicii Teoretice cuprinse în această lucrare.

Autorii doresc succes tuturor aceluia care parcurg această lucrare și speră într-o înțelegere cât mai facilă a noțiunilor și aplicațiilor prezentate.

Cluj-Napoca,

Autorii,

CUPRINS

<i>PREFAȚĂ</i>	4
CUPRINS	7
I. STATICĂ	
1. NOȚIUNI DE CALCUL VECTORIAL	17
1.1 Considerații teoretice.....	17
1.1.1 Operații cu vectori.....	17
1.1.2 Expresii analitice.....	20
1.1.3 Scrierea matriceală a relațiilor vectoriale	22
1.2 Probleme rezolvate.....	23
1.3 Probleme propuse.....	34
2. REDUCEREA SISTEMELOR DE FORȚE	36
2.1 Considerații teoretice.....	36
2.1.1 Momentul unei forțe în raport cu un punct (momentul polar).....	36
2.1.2 Momentul unei forțe în raport cu o axă (momentul axial)	37
2.1.3 Cuplu de forțe.....	38
2.1.4 Operații elementare de echivalență	39
2.1.5 Reducerea sistemelor de forțe oarecare	39
2.1.6 Reducerea sistemelor particulare de forțe	43
2.2 Probleme rezolvate.....	47
2.3 Probleme propuse.....	90
3. GEOMETRIA MASELOR	96
3.1 Considerații teoretice.....	96
3.1.1 Centrul de greutate (centrul maselor) al unui sistem de puncte materiale.....	96

3.1.1.1 Centrul de greutate (centrul masă) al unui continuum material	98
3.1.1.2 Masă specifică.....	100
3.1.1.3 Centre de masă geometrice.....	101
3.1.1.4 Proprietățile centrelor de greutate	101
3.1.2 <i>Moment de masă</i>	102
3.1.3 <i>Momente statice</i>	103
3.1.4 <i>Momente de inerție mecanice</i>	104
3.1.5 <i>Momente de inerție geometrice</i>	105
3.1.6 <i>Raza de girație</i>	106
3.1.7 <i>Proprietăți ale momentelor de inerție</i>	106
3.1.8 <i>Variația momentelor de inerție</i>	107
3.2 Probleme rezolvate.....	111
3.3 Probleme propuse.....	148
4. STATICA PUNCTULUI MATERIAL.....	153
4.1 Considerații teoretice.....	153
4.1.1 <i>Echilibrul punctului material supus la legături fără frecare</i>	153
4.1.2 <i>Echilibrul punctului material supus la legături cu frecare</i>	157
4.2 Probleme rezolvate.....	160
4.3 Probleme propuse.....	178
5. ECHILIBRUL SOLIDULUI RIGID.....	183
5.1 Considerații teoretice.....	183
5.1.1 <i>Echilibrul solidului rigid liber</i>	183
5.1.2 <i>Echilibrul solidului rigid supus la legături</i>	184
5.1.2.1 Reazemul simplu (simpla rezemare).....	185
5.1.2.2 Articulația cilindrică.....	186
5.1.2.3 Articulația sferică.....	186

5.1.2.4 Încăstrarea.....	187
5.1.2.5 Echilibrul solidului rigid supus la legături cu frecare	189
5.2 Probleme rezolvate.....	191
5.3 Probleme propuse.....	225
6. ECHILIBRUL SISTEMELOR DE SOLIDE RIGIDE.....	229
6.1 Considerații teoretice.....	229
6.1.1 <i>Introducere</i>	229
6.1.2 <i>Condiții de echilibru</i>	229
6.1.3 <i>Teoreme utilizate în probleme de echilibru a sistemelor</i>	230
6.2 Probleme rezolvate.....	231
6.3 Probleme propuse.....	260
7. CALCULUL FIRELOR AERIENE	265
7.1 Considerații teoretice.....	265
7.1.1 <i>Ecuția generală a firelor</i>	266
7.1.2 <i>Ecuțiile diferențiale ale firelor în sistemul cartezian de coordonate</i>	266
7.1.3 <i>Ecuțiile diferențiale ale firelor în coordonate intrinseci</i>	267
7.1.4 <i>Fir acționat exclusiv de greutatea proprie</i>	267
7.1.5 <i>Frecarea firelor</i>	269
7.2 Probleme rezolvate.....	270
7.3 Probleme propuse.....	279
8. MECANISME SIMPLE.....	281
SCRIPETI	
8.1 Considerații teoretice.....	281
8.1.1 <i>Randamentul scripetilor</i>	283
8.2 Sisteme de scripeti	284
PÂRGHII	
8.3 Considerații teoretice	286

8.4 Probleme rezolvate	289
8.5 Probleme propuse	291
II. CINEMATICĂ	
A. MIȘCAREA ÎN RAPORT CU UN SISTEM DE REFERINȚĂ FIX...	292
9. CINEMATICA PUNCTULUI	292
9.1 Considerații teoretice.....	292
9.1.1 <i>Introducere</i>	292
9.1.2 <i>Traectoria mișcării</i>	292
9.1.2.1 Sistemul de coordonate carteziene	293
9.1.2.2 Sistemul de coordonate cilindrice	293
9.1.2.3 Ecuația orară a mișcării	294
9.1.3 <i>Viteza</i>	295
9.1.4 <i>Accelerația</i>	297
9.1.5 <i>Componentele vitezei și accelerației instantanee în coordonate carteziene la mișcarea curbilinie</i>	298
9.1.6 <i>Componentele vitezei și accelerației instantanee în coordonate polare la mișcarea curbilinie</i>	300
9.1.7 <i>Componentele vitezei și accelerației instantanee în coordonate cilindrice la mișcarea curbilinie</i>	302
9.1.8 <i>Componentele vitezei și accelerației instantanee pe axele triedrului Frenét la mișcarea curbilinie</i>	303
9.1.9 <i>Viteza și accelerația areolară</i>	306
9.1.10 <i>Mișcarea circulară</i>	307
9.1.11 <i>Mișcări particulare ale punctului</i>	311
9.1.11.1 <i>Mișcarea rectilinie</i>	311
9.1.11.1.1 <i>Mișcarea rectilinie și uniformă</i>	311
9.1.11.1.2 <i>Mișcarea rectilinie și uniform variată</i>	312

9.1.11.1.3 Mișcarea oscilatorie armonică	313
9.2 Probleme rezolvate.....	314
9.3 Probleme propuse.....	340
10. MIȘCĂRILE DE TRANSLAȚIE, DE ROTAȚIE ÎN JURUL UNUI AX FIX ȘI DE ROTO-TRANSLAȚIE ALE UNUI SOLID RIGID	345
10.1 Considerații teoretice.....	345
10.1.1 <i>Introducere</i>	345
10.1.2 <i>Mișcarea de translație a rigidului</i>	345
10.1.2.1 Studiul geometric al mișcării	345
10.1.2.2 Distribuția de viteze	347
10.1.2.3 Distribuția de accelerații.....	347
10.1.3 <i>Mișcarea de rotație a rigidului în jurul unui ax fix</i>	348
10.1.3.1 Studiul geometric al mișcării	348
10.1.3.2 Distribuția de viteze	350
10.1.3.3 Distribuția de accelerații.....	352
10.1.4 <i>Mișcarea de roto-translație a rigidului</i>	355
10.1.4.1 Studiul geometric al mișcării	355
10.1.4.2 Distribuția de viteze	357
10.1.4.3 Distribuția de accelerații.....	359
10.1.4.4 Mișcarea de șurub	360
10.2 Probleme rezolvate.....	361
10.3 Probleme propuse.....	384
11. MIȘCAREA PLAN-PARALELĂ A SOLIDULUI RIGID	386
11 Considerații teoretice.....	386
11.1.1 <i>Studiul geometric al mișcării</i>	386
11.1.2 <i>Distribuția de viteze</i>	388

11.1.2.1 Metode pentru determinarea distribuției de viteze în mișcarea plan-paralelă.....	392
11.1.3 <i>Distribuția de accelerații</i>	399
11.1.3.1 Metode pentru determinarea distribuției de accelerații în mișcarea plan-paralelă.....	404
11.2 Probleme rezolvate.....	411
11.3 Probleme propuse.....	456
12. MIȘCAREA DE ROTAȚIE A RIGIDULUI ÎN JURUL UNUI PUNCT FIX	457
12.1 Considerații teoretice.....	457
12.1.1 <i>Studiul geometric al mișcării</i>	457
12.1.2 <i>Distribuția de viteze</i>	460
12.1.3 <i>Distribuția de accelerații</i>	464
12.2 Probleme rezolvate.....	466
12.3 Probleme propuse.....	489
13. MIȘCAREA GENERALĂ A SOLIDULUI RIGID	494
13.1 Considerații teoretice.....	494
13.1.1 <i>Studiul geometric al mișcării</i>	494
13.1.2 <i>Distribuția vitezelor. Axoidele mișcării. Torsorul cinematic</i>	485
13.1.3 <i>Distribuția accelerațiilor. Polul accelerațiilor</i>	499
13.2 Probleme rezolvate.....	502
13.3 Probleme propuse.....	513
B. MIȘCAREA ÎN RAPORT CU UN SISTEM DE REFERINȚĂ MOBIL	515
14. MIȘCAREA RELATIVĂ	515
14.1 Mișcarea relativă a punctului.....	515
14.1.1 Considerații teoretice.....	515

14.1.1.1	Introducere. Definiții	515
14.1.1.2	Compunerea vitezelor.....	518
14.1.1.3	Compunerea accelerațiilor	519
14.2	Mișcarea relativă a solidului rigid.....	520
14.2.1	<i>Considerații teoretice</i>	520
14.2.2	<i>Compunerea vitezelor</i>	522
14.2.3	<i>Compunerea accelerațiilor</i>	524
14.3	Probleme rezolvate.....	527
14.4	Probleme propuse.....	562

III. DINAMICĂ

15.	DINAMICA PUNCTULUI MATERIAL	566
15.1	Principiile mecanicii newtoniene	566
15.1.1	<i>Noțiuni introductive</i>	566
15.1.2	<i>Principiile dinamicii</i>	567
15.2	Dinamica punctului material liber.....	568
15.3	Dinamica punctului material sub acțiunea forței centrale	573
15.3.1	<i>Proprietățile punctului material aflat în mișcare centrală</i>	574
15.4	Dinamica punctului material supus la legături.....	580
15.4.1	<i>Mișcarea punctului material pe o suprafață aspră</i>	581
15.4.2	<i>Mișcarea punctului material pe o curbă</i>	582
15.5	Pendulul simplu	583
15.6	Dinamica mișcării relative a punctului material	587
15.7	Probleme rezolvate.....	591
15.8	Probleme propuse	595

16. <i>Noțiunile fundamentale și teoremele fundamentale ale dinamicii</i>	<i>Error! Bookmark not defined.</i>
16.1 Lucrul mecanic	597
16.1.1 <i>Lucrul mecanic al unei forțe care acționează asupra unui punct material</i>	597
16.1.2 <i>Lucrul mecanic al forțelor conservative</i>	600
16.1.3 <i>Lucrul mecanic al unei forțe elastice</i>	602
16.1.4 <i>Lucrul mecanic al forțelor interioare</i>	603
16.1.5 <i>Lucrul mecanic al unui sistem de forțe care acționează asupra unui solid rigid</i>	604
16.2 Puterea mecanică	606
16.3 Randamentul mecanic	607
16.4 Energia cinetică	609
16.4.1 <i>Definiții</i>	609
16.4.2 <i>Teorema lui König pentru energie cinetică</i>	610
16.4.3 <i>Energia cinetică în cazul unor mișcări particulare ale solidului rigid</i>	612
16.5 Impuls	617
16.6 Moment cinetic	620
16.6.1 <i>Definiții</i>	620
16.6.2 <i>Momentul cinetic în cazul unor mișcări particulare ale solidului rigid</i>	624
16.6.3 <i>Teorema lui König pentru momentul cinetic</i>	629
16.7 Teoremele fundamentale ale dinamicii	631
16.7.1 <i>Teorema de variație a energiei cinetice</i>	631
16.7.2 <i>Teorema impulsului</i>	634

16.7.3 <i>Teorema de variație a momentului cinetic în raport cu punct fix</i>	637
16.7.3.1 <i>Teorema de variație a momentului cinetic în raport cu centrul maselor</i>	639
16.8 <i>Probleme rezolvate</i>	642
16.9 <i>Probleme propuse</i>	656
17. <i>Dinamica solidului rigid</i>	657
17.1 <i>Dinamica rigidului liber și a rigidului supus la legături</i>	660
17.2 <i>Dinamica solidului rigid aflat în mișcare de translație</i>	662
17.3 <i>Dinamica rigidului aflat în mișcare de rotație în jurul unui ax fix</i>	666
17.4 <i>Dinamica rigidului în mișcare de roto-translație. Mișcarea de șurub</i>	669
17.5 <i>Dinamica mișcării plan-paralele a rigidului</i>	674
17.6 <i>Dinamica mișcării sferice a solidului rigid</i>	676
17.6.1 <i>Ecuatiile diferențiale ale mișcării sferice</i>	676
17.6.2 <i>Ecuatiile dinamice ale lui Euler</i>	678
17.6.3 <i>Mișcarea de precesie regulată</i>	682
17.7 <i>Probleme rezolvate</i>	684
17.7.1 <i>Giroscopul</i>	684
18. <i>Mecanica analitică</i>	697
18.1 <i>Generalități</i>	697
18.1.1 <i>Legături</i>	698
18.2 <i>Principiul lui d'Alembert</i>	701
18.2.1 <i>Forță de inerție. Torsorul forțelor de inerție</i>	701
18.2.2 <i>Principiul lui D'Alembert. Metoda cineto-statică</i>	704

18.3 Principiul lucrului mecanic virtual	705
18.4 Ecuatiile lui Lagrange	709
18.4.1 Ecuatiile lui Lagrange de speța I.....	709
18.4.2 Ecuatiile lui Lagrange de speța II.....	711
18.4.3 Ecuatiile lui Lagrange de speța II în cazul forțelor conservative.....	714
18.5 Ecuatiile canonice ale lui Hamilton	715
18.6 Probleme rezolvate	718
18.7 Probleme propuse	722
19. Ciocniri și percuții.....	724
19.1 Forță de percuție. Percuție	725
19.2 Ipoteze simplificatoare aplicate în cazul ciocnirilor	726
19.3 Teoremele fundamentale în cazul ciocnirilor	729
19.4 Ciocnirea unui corp cu un solid rigid aflat în mișcare de rotație în jurul unui ax fix și supus unei percuții exterioare. Centru de percuție.....	735
19.5 Probleme rezolvate	739
19.6 Probleme propuse	746
ANEXA 1. Tabel cu centrele de greutate ale diferitelor figuri și corpuri geometrice	747
ANEXA 2. Tabel cu momentele de inerție ale diferitelor figuri și corpuri geometrice	756
BIBLIOGRAFIE.....	766

I. STATICĂ

1. NOȚIUNI DE CALCUL VECTORIAL ^[10]

1.1 Considerații teoretice

1.1.1 Operații cu vectori

Mărimile fizice pot fi clasificate în:

- scalari (mărimi fizice scalare), caracterizați prin valoare numerică și unitate de măsură;
- vectori (mărimi fizice vectoriale), caracterizați prin punct de aplicație, modul (valoare absolută, magnitudine), direcție și sens; în funcție de poziția punctului de aplicație aceștia pot fi: liberi, legați (aplicați) sau alunecători (glisanți).

În cele ce urmează se vor analiza succint operațiile ce pot fi aplicate asupra mărimilor fizice vectoriale.

a) Suma (compunerea) vectorilor liberi

Suma a doi vectori \vec{a} și \vec{b} se poate nota astfel:

$$\vec{c} = \vec{a} + \vec{b} . \quad (1.1)$$

Metoda grafică utilizată pentru compunerea a doi vectori liberi se numește *regula paralelogramului* (fig. 1.1).

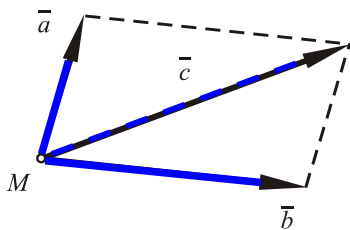


Fig. 1.1

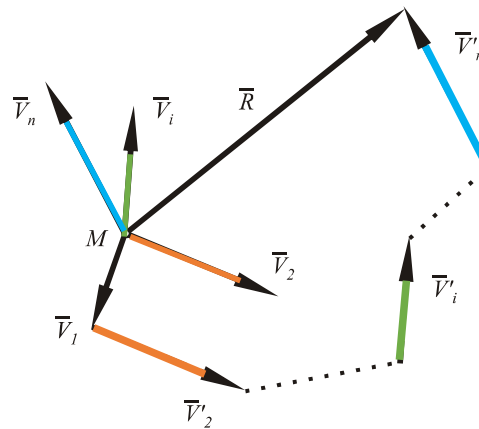


Fig. 1.2

În cazul a n vectori liberi $\vec{v}_i, i = \overline{1, n}$, se poate scrie:

$$\vec{R} = \vec{v}_1 + \vec{v}_2 + \dots + \vec{v}_n = \sum_{i=1}^n \vec{v}_i . \quad (1.2)$$

Ca și metodă grafică, pentru compunerea a n vectori se utilizează *metoda poligonului vectorilor* (fig. 1.2).

b) Produsul scalar a doi vectori

Produsul scalar a doi vectori \vec{a} și \vec{b} este o mărime scalară, se notează:

$$c = \vec{a} \cdot \vec{b} \quad (1.3)$$

și are expresia:

$$c = |\vec{a}| \cdot |\vec{b}| \cos \alpha \quad (1.4)$$

Proprietățile produsului scalar:

- comutativitatea:

$$\vec{b} \cdot \vec{a} = |\vec{b}| \cdot |\vec{a}| \cdot \cos(-\alpha) = |\vec{b}| \cdot |\vec{a}| \cos \alpha = \vec{a} \cdot \vec{b}$$

- condiția de ortogonalitate: $\vec{a} \cdot \vec{b} = 0$ ($\vec{a}, \vec{b} \neq 0$)
- proiecția unui vector \vec{a} pe o axă (Δ) este egală cu produsul scalar dintre vector și versorul \vec{u} al axei: $pr_{\Delta} \vec{a} = \vec{a} \cdot \vec{u}$
- distributivitatea față de adunare: $(\vec{a} + \vec{b}) \cdot \vec{c} = \vec{a} \cdot \vec{c} + \vec{b} \cdot \vec{c}$

c) Produsul vectorial a doi vectori

Produsul vectorial a doi vectori \vec{a} și \vec{b} este o mărime vectorială și se notează astfel:

$$\vec{c} = \vec{a} \times \vec{b} \quad (1.5)$$

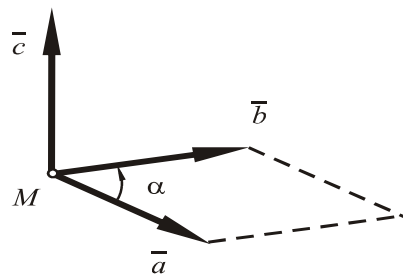


Fig. 1.3

Proprietățile produsului vectorial:

- modulul are expresia $|\vec{c}| = |\vec{a}| \cdot |\vec{b}| \sin \alpha$ și este egal cu *aria paralelogramului*

delimitat de cei doi vectori (fig. 1.3), direcția este perpendiculară pe planul determinat de cei doi vectori, iar sensul se determină prin regula burghiului;

- anticomutativitatea: $\vec{b} \times \vec{a} = -\vec{a} \times \vec{b}$
- condiția de coliniaritate: $\vec{a} \times \vec{b} = 0 \quad (\vec{a}, \vec{b} \neq 0)$
- distributivitatea față de adunare: $(\vec{a} + \vec{b}) \times \vec{c} = \vec{a} \times \vec{c} + \vec{b} \times \vec{c}$.

d) Produsul mixt a trei vectori

Produsul mixt a trei vectori \vec{a} , \vec{b} și \vec{c} este o mărime scalară notată astfel:

$$d = (\vec{a}, \vec{b}, \vec{c}) = \vec{a} \cdot (\vec{b} \times \vec{c}) \quad (1.6)$$

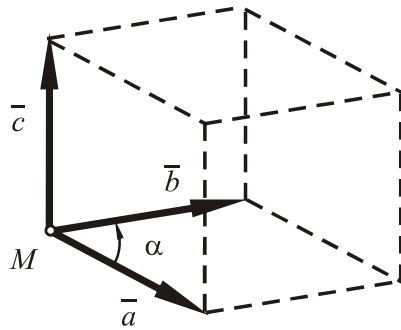


Fig. 1.4

Proprietățile produsului mixt:

- produsul mixt este egal cu *volumul paralelipipedului* construit cu vectorii $\vec{a}, \vec{b}, \vec{c}$ (fig. 1.4)
- este nul când vectorii $\vec{a}, \vec{b}, \vec{c}$ sunt coplanari
- este constant la permutare circulară:

$$\vec{a} \cdot (\vec{b} \times \vec{c}) = \vec{b} \cdot (\vec{c} \times \vec{a}) = \vec{c} \cdot (\vec{a} \times \vec{b})$$

e) Dublul produs vectorial a trei vectori

Dublul produs vectorial a trei vectori \vec{a} , \vec{b} și \vec{c} sau produsul vectorial al lui Gibbs este o mărime fizică vectorială, având notația:

$$\vec{d} = \vec{a} \times (\vec{b} \times \vec{c}) \quad (1.7)$$

Proprietățile dublului produs vectorial:

- vectorul \vec{d} este inclus în planul vectorilor \vec{b} și \vec{c} și mai poate fi scris:

$$\vec{d} = \vec{a} \times (\vec{b} \times \vec{c}) = (\vec{a} \cdot \vec{c}) \cdot \vec{b} - (\vec{a} \cdot \vec{b}) \cdot \vec{c};$$

$$\vec{d} = (\vec{a} \times \vec{b}) \times \vec{c} = (\vec{b} \cdot \vec{c}) \cdot \vec{a} - (\vec{a} \cdot \vec{c}) \cdot \vec{b}.$$

- suma permutărilor circulare se anulează:

$$\vec{a} \times (\vec{b} \times \vec{c}) + \vec{b} \times (\vec{c} \times \vec{a}) + \vec{c} \times (\vec{a} \times \vec{b}) = 0.$$

1.1.2 Expresii analitice

Proiecțiile vectorului \vec{v} , conform figurii 1.5, sunt:

$$v_x = |\vec{v}| \cos \alpha$$

$$v_y = |\vec{v}| \cos \beta \tag{1.8}$$

$$v_z = |\vec{v}| \cos \gamma,$$

unde α, β, γ reprezintă unghiurile dintre vectorul \vec{v} și cele trei axe ale sistemului de coordonate cartezian $Oxyz$.

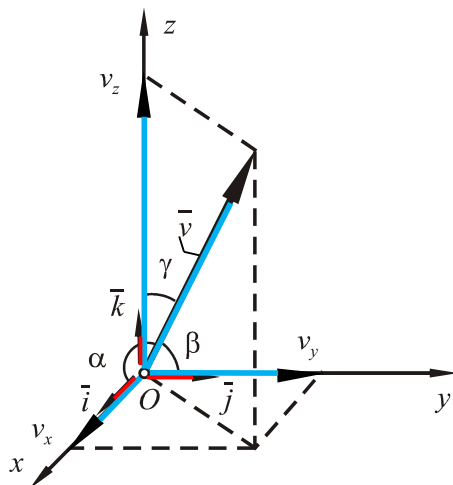


Fig. 1.5

Expresia analitică a vectorului \vec{v} se scrie astfel:

$$\vec{v} = v_x \vec{i} + v_y \vec{j} + v_z \vec{k}, \tag{1.9}$$

unde $\vec{i}, \vec{j}, \vec{k}$ reprezintă versorii axelor sistemului $Oxyz$.

Dacă se notează cu \bar{R} vectorul rezultat al unui sistem de vectori liberi \bar{v}_i , expresia analitică a acestuia este:

$$\bar{R} = R_x \bar{i} + R_y \bar{j} + R_z \bar{k} \quad (1.10)$$

iar componentele sale carteziene sunt egale cu:

$$R_x = \sum_{i=1}^n v_{ix}, R_y = \sum_{i=1}^n v_{iy}, R_z = \sum_{i=1}^n v_{iz} \quad (1.11)$$

Modulul vectorului rezultat este:

$$|\bar{R}| = \sqrt{R_x^2 + R_y^2 + R_z^2} \quad (1.12)$$

Cosinusurile directe ale vectorului \bar{R} au expresiile:

$$\begin{aligned} \cos \alpha &= \frac{R_x}{\sqrt{R_x^2 + R_y^2 + R_z^2}} \\ \cos \beta &= \frac{R_y}{\sqrt{R_x^2 + R_y^2 + R_z^2}} \\ \cos \gamma &= \frac{R_z}{\sqrt{R_x^2 + R_y^2 + R_z^2}}. \end{aligned} \quad (1.13)$$

Dacă se notează prin $\bar{v}_1, \bar{v}_2, \bar{v}_3$ trei vectori, operațiile de mai sus pot fi exprimate analitic astfel:

- Produsul scalar:

$$\bar{v}_1 \cdot \bar{v}_2 = v_{1x}v_{2x} + v_{1y}v_{2y} + v_{1z}v_{2z} \quad (1.14)$$

- Produsul vectorial:

$$\bar{v}_1 \times \bar{v}_2 = \begin{vmatrix} \bar{i} & \bar{j} & \bar{k} \\ v_{1x} & v_{1y} & v_{1z} \\ v_{2x} & v_{2y} & v_{2z} \end{vmatrix} \quad (1.15)$$

- Produsul mixt:

$$(\bar{v}_1, \bar{v}_2, \bar{v}_3) = \begin{vmatrix} v_{1x} & v_{1y} & v_{1z} \\ v_{2x} & v_{2y} & v_{2z} \\ v_{3x} & v_{3y} & v_{3z} \end{vmatrix} \quad (1.16)$$

1.1.3 Scrierea matriceală a relațiilor vectoriale

Fiind dați doi vectori \bar{a} și \bar{b} , *produsul lor scalar* se scrie sub forma:

$$\{a\}^T \cdot \{b\} = [a_1 \ a_2 \ a_3] \cdot \begin{bmatrix} b_1 \\ b_2 \\ b_3 \end{bmatrix} = a_1 b_1 + a_2 b_2 + a_3 b_3 \quad (1.17)$$

unde prin $\{a\}$, respectiv $\{b\}$, s-au notat matricele coloană corespunzătoare vectorilor dați.

Fiind dați doi vectori \bar{a} și \bar{b} , *produsul lor vectorial* se exprimă prin produsul dintre matricea antisimetrică asociată primului vector, notată cu $[\hat{a}]$ și matricea coloană $\{b\}$:

$$[\hat{a}] \cdot \{b\} = \begin{bmatrix} 0 & -a_3 & a_2 \\ a_3 & 0 & -a_1 \\ -a_2 & a_1 & 0 \end{bmatrix} \cdot \begin{bmatrix} b_1 \\ b_2 \\ b_3 \end{bmatrix} = \begin{bmatrix} a_2 b_3 - a_3 b_2 \\ a_3 b_1 - a_1 b_3 \\ a_1 b_2 - a_2 b_1 \end{bmatrix} \quad (1.18)$$

Se poate verifica ușor anticomutativitatea acestui produs:

$$[\hat{a}] \cdot \{b\} = -[\hat{b}] \cdot \{a\} = [\hat{b}]^T \cdot \{a\} \quad (1.19)$$

cunoscând următoarea proprietate a matricelor antisimetrice:

$$-[\hat{b}] = [\hat{b}]^T \quad (1.20)$$

1.2 Probleme rezolvate ^[10]

1.2.1. Se dau vectorii: $\vec{a} = \vec{i} + 2\vec{j} + 4\vec{k}$, $\vec{b} = 2\vec{i} + 3\vec{j} - 2\vec{k}$. Să se calculeze produsul scalar $\vec{a} \cdot \vec{b}$.

Soluție:

Calculând produsul scalar pe baza expresiilor analitice, se poate scrie:

$$\vec{a} \cdot \vec{b} = 2 + 6 - 8 = 0$$

Se observă că vectorii sunt perpendiculari.

1.2.2. Să se simplifice expresia:

$$\vec{E} = (\vec{a} + \vec{b}) \times (\vec{a} + \vec{c}) + (\vec{b} + \vec{c}) \times (\vec{b} + \vec{a}) + (\vec{c} + \vec{a}) \times (\vec{c} + \vec{b}).$$

Soluție:

Potrivit proprietății de distributivitate a produsului vectorial față de adunare, se desfac parantezele, se reduc termenii asemenea și se obține:

$$\vec{E} = \vec{a} \times \vec{c} + \vec{b} \times \vec{a} + \vec{c} \times \vec{b}.$$

1.2.3. Să se calculeze produsul mixt $(\vec{a}\vec{b}\vec{c})$ pentru vectorii:

$$\vec{a} = \vec{i} + 2\vec{j} + 3\vec{k}, \quad \vec{b} = 2\vec{i} + 3\vec{j} + 4\vec{k}, \quad \vec{c} = 3\vec{i} + 4\vec{j} + 5\vec{k}.$$

Soluție:

Dezvoltând produsul mixt sub formă de determinant, se obține:

$$(\vec{a}\vec{b}\vec{c}) = \begin{vmatrix} 1 & 2 & 3 \\ 2 & 3 & 4 \\ 3 & 4 & 5 \end{vmatrix} = 0 \quad (1)$$

Rezultatul se explică prin faptul că vectorii $\vec{a}, \vec{b}, \vec{c}$ sunt coplanari. Într-adevăr, se observă că:

$$\vec{c} = -\vec{a} + 2\vec{b} \quad (2)$$

1.2.4. Se dau vectorii $\vec{a}, \vec{b}, \vec{c}$ orientați după muchiile VA, VB, VC ale unui tetraedru regulat $VABC$, având lungimea muchiei egală cu l . Să se arate că dublul produs vectorial $\vec{a} \times (\vec{b} \times \vec{c})$ este un vector paralel cu BC .

Soluție:

Se notează:

$$\vec{a} = \lambda_1 \vec{VA}, \quad \vec{b} = \lambda_2 \vec{VB}, \quad \vec{c} = \lambda_3 \vec{VC}. \quad (1)$$

Dublul produs vectorial $\vec{a} \times (\vec{b} \times \vec{c})$ are expresia:

$$\vec{d} = \vec{a} \times (\vec{b} \times \vec{c}) = (\vec{a}\vec{c})\vec{b} - (\vec{a}\vec{b})\vec{c} = \frac{\lambda_1\lambda_2\lambda_3}{2}l^2\vec{VB} - \frac{\lambda_1\lambda_2\lambda_3}{2}l^2\vec{VC} \quad (2)$$

adică,

$$\vec{d} = \frac{\lambda_1\lambda_2\lambda_3}{2}(\vec{VB} - \vec{VC}) = \frac{\lambda_1\lambda_2\lambda_3}{2}\vec{CB}. \quad (3)$$

Rezultă că vectorii \vec{d} și \vec{CB} sunt paraleli, iar

$$|\vec{d}| = \frac{\lambda_1\lambda_2\lambda_3}{2} = \frac{abc}{2}. \quad (4)$$

1.2.5. Să se simplifice expresia:

$$E = (\vec{a} - \vec{b}) \cdot (\vec{a} - \vec{c}) + (\vec{b} - \vec{c}) \cdot (\vec{b} - \vec{a}) + (\vec{c} - \vec{a}) \cdot (\vec{c} - \vec{b})$$

Soluție:

Potrivit proprietății de distributivitate a produsului scalar față de adunare, se desfac parantezele, se reduc termenii asemenea și se obține:

$$E = a^2 + b^2 + c^2 - (\vec{a}\vec{b} + \vec{b}\vec{c} + \vec{c}\vec{a}).$$

1.2.6. Se dau vectorii:

$$\vec{a} = \vec{i} + 5\vec{j} + 9\vec{k}, \quad \vec{b} = -15\vec{i} + 25\vec{j} + 30\vec{k}, \quad \vec{c} = 8\vec{i} - 20\vec{j} + 6\vec{k}.$$

Să se calculeze produsele vectoriale $\vec{a} \times \vec{b}$, $\vec{b} \times \vec{c}$, $\vec{c} \times \vec{a}$ și să se arate că vectorii $\vec{a}, \vec{b}, \vec{c}$ sunt coplanari.

Soluție:

Analitic, produsele vectoriale se dezvoltă sub formă de determinant simbolic. Astfel,

$$\bar{v}_1 = \bar{a} \times \bar{b} = \begin{vmatrix} \bar{i} & \bar{j} & \bar{k} \\ 1 & -5 & 9 \\ -15 & 25 & 30 \end{vmatrix} = -375\bar{i} - 165\bar{j} - 50\bar{k}. \quad (1)$$

Analog, se obțin:

$$\begin{aligned} \bar{v}_2 &= \bar{b} \times \bar{c} = -750\bar{i} + 330\bar{j} + 100\bar{k}, \\ \bar{v}_3 &= \bar{c} \times \bar{a} = -150\bar{i} - 66\bar{j} - 20\bar{k}. \end{aligned} \quad (2)$$

Se observă că:

$$\frac{\bar{v}_1}{5} = -\frac{\bar{v}_2}{10} = \frac{\bar{v}_3}{2} \quad (3)$$

și, în concluzie, vectorii \bar{v}_1, \bar{v}_2 , și \bar{v}_3 sunt paraleli, iar $\bar{a}, \bar{b}, \bar{c}$ sunt coplanari.

1.2.7. Să se determine modulul și poziția vectorilor $\bar{v}_1(1, -2, 3)$ și $\bar{v}_2(-2, 4, -6)$ în sistemul de referință cartezian $Oxyz$. Să se calculeze expresiile:

$$\bar{v}_1 + \bar{v}_2, \quad \bar{v}_1 - \bar{v}_2, \quad \bar{v}_1 \cdot \bar{v}_2, \quad \bar{v}_1 \times \bar{v}_2.$$

Soluție:

Vectorii \bar{v}_1 și \bar{v}_2 se exprimă în sistemul $Oxyz$ sub forma:

$$\bar{v}_1 = \bar{i} - 2\bar{j} + 3\bar{k} \quad (1)$$

$$\bar{v}_2 = -2\bar{i} + 4\bar{j} - 6\bar{k} = -2(\bar{i} - 2\bar{j} + 3\bar{k}) \quad (2)$$

Din relațiile (1) și (2) se observă că vectorii \bar{v}_1 și \bar{v}_2 sunt coliniari și de semne opuse, iar între modulele lor există relația:

$$|\bar{v}_2| = 2|\bar{v}_1| = 2\sqrt{1 + 4 + 9} = 2\sqrt{14}. \quad (3)$$

Unghiurile dintre vectori și axele sistemului de referință sunt calculate prin cosinusurile directe:

$$\cos \alpha_1 = \frac{1}{\sqrt{14}}, \quad \cos \beta_1 = \frac{-2}{\sqrt{14}}, \quad \cos \gamma_1 = \frac{3}{\sqrt{14}}, \quad (4)$$

respectiv,

$$\cos \alpha_2 = \frac{-2}{2\sqrt{14}} = -\frac{1}{\sqrt{14}}, \quad \cos \beta_2 = \frac{2 \cdot 2}{2\sqrt{14}} = \frac{2}{\sqrt{14}}, \quad \cos \gamma_2 = \frac{-2 \cdot 3}{2\sqrt{14}} = \frac{-3}{\sqrt{14}}. \quad (5)$$

Expresiile cerute se calculează astfel:

$$\bar{v}_1 + \bar{v}_2 = (\bar{i} - 2\bar{j} + 3\bar{k}) - 2(\bar{i} - 2\bar{j} + 3\bar{k}) = -(\bar{i} - 2\bar{j} + 3\bar{k}) \quad (6)$$

Vectorul sumă $\bar{v}_1 + \bar{v}_2$ este un vector coliniar cu vectorul \bar{v}_1 , egal în mărime cu acesta, dar de semn opus.

$$\bar{v}_1 - \bar{v}_2 = (\bar{i} - 2\bar{j} + 3\bar{k}) + 2(\bar{i} - 2\bar{j} + 3\bar{k}) = 3(\bar{i} - 2\bar{j} + 3\bar{k}) \quad (7)$$

Vectorul diferență $\bar{v}_1 - \bar{v}_2$ este un vector coliniar cu vectorul \bar{v}_1 având modulul de trei ori mai mare decât acesta:

$$|\bar{v}_1 - \bar{v}_2| = 3|\bar{v}_1| = 3\sqrt{14}. \quad (8)$$

Produsul scalar $\bar{v}_1 \cdot \bar{v}_2$ se determină astfel:

$$\bar{v}_1 \cdot \bar{v}_2 = (\bar{i} - 2\bar{j} + 3\bar{k}) \cdot [-2(\bar{i} - 2\bar{j} + 3\bar{k})] = -2 - 8 - 18 = -28 \quad (9)$$

Produsul vectorial $\bar{v}_1 \times \bar{v}_2$ se anulează, deoarece cei doi vectori \bar{v}_1 și \bar{v}_2 sunt coliniari.

1.2.8. Fiind dați vectorii: $\bar{v}_1 = -\bar{i} + 2\bar{j} - 3\bar{k}$, $\bar{v}_2 = -4\bar{j}$, $\bar{v}_3 = -5\bar{k}$, $\bar{v}_4 = -6\bar{i} + 7\bar{j} - 8\bar{k}$, să se calculeze expresiile:

$$\begin{aligned} E_1 &= (\bar{v}_1 \cdot \bar{v}_2)(\bar{v}_3 \cdot \bar{v}_4), & \bar{E}_2 &= (\bar{v}_1 \cdot \bar{v}_2)(\bar{v}_3 \times \bar{v}_4) \\ \bar{E}_3 &= (\bar{v}_1 \times \bar{v}_2)(\bar{v}_3 \cdot \bar{v}_4) & E_4 &= (\bar{v}_1 \times \bar{v}_2) \cdot (\bar{v}_3 \times \bar{v}_4) \\ \bar{E}_5 &= (\bar{v}_1 \times \bar{v}_2) \times (\bar{v}_3 \times \bar{v}_4) \end{aligned}$$

Soluție:

În urma efectuării calculelor rezultă expresiile:

$$\begin{aligned} E_1 &= [(-\bar{i} + 2\bar{j} - 3\bar{k}) \cdot (-4\bar{j})] \cdot [-5\bar{k}(-6\bar{i} + 7\bar{j} - 8\bar{k})] = -8 \cdot 40 = -320 \\ \bar{E}_2 &= -8[-5\bar{k} \times (-6\bar{i} + 7\bar{j} - 8\bar{k})] = 40(-6\bar{j} - 7\bar{i}) = -40(7\bar{i} + 6\bar{j}) \\ \bar{E}_3 &= (-\bar{i} + 2\bar{j} - 3\bar{k}) \times (-4\bar{j}) 40 = 160(\bar{k} - 3\bar{i}) = 160(-3\bar{i} + \bar{k}) \\ E_4 &= 4(-3\bar{i} + \bar{k}) \cdot 5(7\bar{i} + 6\bar{j}) = 20(-21) = -420 \\ \bar{E}_5 &= 4(-3\bar{i} + \bar{k}) \times 5(7\bar{i} + 6\bar{j}) = 20(7\bar{j} - 18\bar{k} - 6\bar{i}) = 20(-6\bar{i} + 7\bar{j} - 18\bar{k}). \end{aligned}$$

Se observă că vectorul \bar{E}_2 se află în planul orizontal xOy , iar vectorul \bar{E}_3 în planul vertical xOz .

1.2.9. Să se determine vectorul \bar{v} care satisface sistemul de ecuații

$$\text{vectoriale: } \begin{cases} \bar{v} \cdot \bar{a} = m \\ \bar{v} \times \bar{a} = \bar{b}, \end{cases} \text{ unde } \bar{a} \text{ și } \bar{b} \text{ sunt doi vectori perpendiculari.}$$

Soluție:

Din relațiile date se constată că vectorul \bar{v} se află în același plan cu \bar{a} (plan perpendicular pe \bar{b} , fig.1.6).

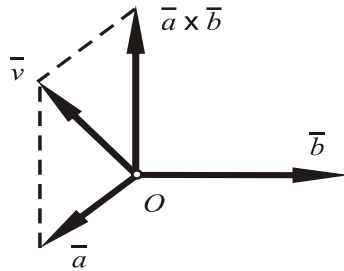


Fig. 1.6

În același plan cu \bar{a} și \bar{v} se găsește și $\bar{a} \times \bar{b}$, deci există relația:

$$\bar{v} = \lambda \bar{a} + \mu (\bar{a} \times \bar{b}), \quad (1)$$

în care trebuie determinați parametri scalari λ și μ .

Introducând (1) în sistem, se obține succesiv:

$$[\lambda \bar{a} + \mu (\bar{a} \times \bar{b})] \cdot \bar{a} = m \quad \Rightarrow \quad \lambda a^2 = m \quad (2)$$

$$[\lambda \bar{a} + \mu (\bar{a} \times \bar{b})] \times \bar{a} = \bar{b} \quad \Rightarrow \quad \mu (\bar{a} \times \bar{b}) \times \bar{a} = \bar{b}. \quad (3)$$

Din relația (2) rezultă:

$$\lambda = \frac{m}{a^2} \quad (4)$$

și din (3), dezvoltând după regula lui Gibbs, rezultă:

$$\mu \bar{b} (\bar{a} \cdot \bar{a}) = \bar{b} \quad \Rightarrow \quad \mu = \frac{1}{a^2}. \quad (5)$$

Astfel, vectorul \bar{v} devine:

$$\bar{v} = \frac{m}{a^2} \bar{a} + \frac{1}{a^2} (\bar{a} \times \bar{b}). \quad (6)$$

Același rezultat se putea obține înmulțind vectorial cu \bar{a} relația a doua din enunțul problemei.

1.2.10. Se dă sistemul de ecuații vectoriale:
$$\begin{cases} \bar{x} + \bar{y} = \bar{a} \\ \bar{x} + \bar{z} = \bar{b} \\ (\bar{x} \times \bar{y}) \cdot \bar{z} = \bar{v} \end{cases}$$
. Dacă se

cunosc vectorii $\{\bar{a}, \bar{b}, \bar{v}\}$, să se determine vectorii $\{\bar{x}, \bar{y}, \bar{z}\}$.

Soluție:

Din primele două ecuații ale sistemului dat rezultă:

$$\begin{cases} \bar{y} = \bar{a} - \bar{x} \\ \bar{z} = \bar{b} - \bar{x} \end{cases} \quad (1)$$

Înlocuind (1) în ecuația a treia a sistemului inițial, se obține succesiv:

$$\begin{aligned} [\bar{x} \times (\bar{a} - \bar{x})] \cdot (\bar{b} - \bar{x}) &= \bar{v}, \\ (\bar{x} \times \bar{a} - \bar{x} \times \bar{x}) \cdot (\bar{b} - \bar{x}) &= \bar{v}, \\ (\bar{x} \times \bar{a}) \cdot \bar{b} - (\bar{x} \times \bar{a}) \cdot \bar{x} &= \bar{v}, \\ (\bar{x} \times \bar{a}) \cdot \bar{b} &= \bar{v}, \end{aligned} \quad (2)$$

întrucât, $\bar{x} \times \bar{x} = 0$, $(\bar{x} \times \bar{a}) \cdot \bar{x} = 0$.

Efectuând permutări circulare în relația (2), se obține:

$$\bar{x} = \frac{\bar{v}}{\bar{a} \times \bar{b}}. \quad (3)$$

Înlocuind (3) în relațiile (1), se obțin vectorii \bar{y} și \bar{z} . Astfel:

$$\bar{y} = \bar{a} - \frac{\bar{v}}{\bar{a} \times \bar{b}}, \quad \bar{z} = \bar{b} - \frac{\bar{v}}{\bar{a} \times \bar{b}}. \quad (4)$$

1.2.11. Să se demonstreze relația următoare:

$$(\bar{a} \times \bar{b}) \cdot (\bar{a} \times \bar{b}) + (\bar{a} \cdot \bar{b})^2 = a^2 b^2.$$

Soluție:

Se cunosc relațiile următoare:

$$|\bar{a} \times \bar{b}| = ab \sin \left(\widehat{\bar{a}, \bar{b}} \right) \quad (1)$$

și

$$|\vec{a} \cdot \vec{b}| = ab \cos\left(\widehat{\vec{a}, \vec{b}}\right) \quad (2)$$

Primul termen din relația dată se transformă succesiv, astfel:

$$(\vec{a} \times \vec{b}) \cdot (\vec{a} \times \vec{b}) = |\vec{a} \times \vec{b}|^2 = a^2 b^2 \sin^2\left(\widehat{\vec{a}, \vec{b}}\right). \quad (3)$$

Al doilea termen din relația dată, conform cu (2), devine:

$$(\vec{a} \cdot \vec{b})^2 = a^2 b^2 \cos^2\left(\widehat{\vec{a}, \vec{b}}\right). \quad (4)$$

Introducând (3) și (4) în relația din enunțul problemei și având în vedere că:

$$\sin^2\left(\widehat{\vec{a}, \vec{b}}\right) + \cos^2\left(\widehat{\vec{a}, \vec{b}}\right) = 1 \quad (5)$$

se obține: $a^2 b^2 = a^2 b^2.$ (6)

1.2.12. Să se descompună o forță \vec{P} în două componente \vec{F}_1 și \vec{F}_2 astfel ca $F_1 = 2F_2$. Să se afle locul geometric al extremității forței mai mari.

Soluție:

Considerând o descompunere arbitrară, care respectă condiția pusă în problemă, se formează un triunghi oarecare (fig. 1.7).

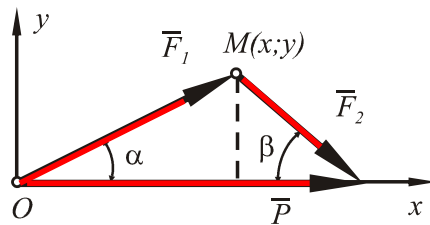


Fig. 1.7

Locul geometric al punctului M (extremitatea forței \vec{F}_1) va fi o funcție implicită de x și y.

Se pot scrie următoarele relații:

$$y^2 + (P - x)^2 = F_2^2 \quad (1)$$

și $F_2^2 = F_1^2 + P^2 - 2F_1P \cos \alpha \quad (2)$

$$\cos \alpha = \frac{x}{F_1} \text{ și } F_1 = 2F_2 \quad (3)$$

astfel că:

$$F_2^2 = 4F_2^2 + P^2 - 2Px \quad (4)$$

$$3F_2^2 = 2Px - P^2 \quad (5)$$

$$F_2^2 = \frac{2}{3}Px - \frac{P^2}{3} \quad (6)$$

Înlocuind (6) în (1), rezultă:

$$y^2 + (P - x)^2 = \frac{2}{3}Px - \frac{P^2}{3} \quad (7)$$

Dezvoltând și ordonând termenii ecuației se obține:

$$y^2 + P^2 - 2Px + x^2 - \frac{2}{3}Px + \frac{P^2}{3} = 0 \quad (8)$$

sau:

$$x^2 + y^2 - \frac{8P}{3}x + \frac{4P^2}{3} = 0 \quad (9)$$

$$x^2 + y^2 - 2ax - 2by + c = 0.$$

Astfel, locul geometric al punctului M este un cerc având centrul pe axa Ox (pentru că lipsește coeficientul lui y) la distanța:

$$a = \frac{4P}{3} \quad (10)$$

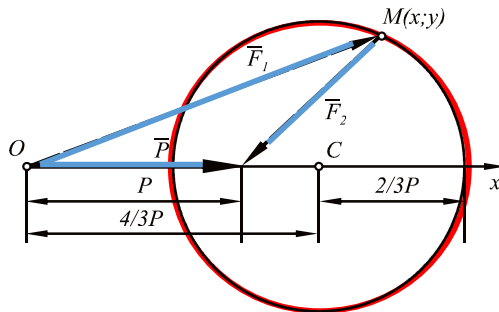


Fig. 1.8

și raza

$$R = \sqrt{a^2 - c} = \sqrt{\frac{16P^2}{9} - \frac{4P^2}{3}} = \frac{2}{3}P \quad (11)$$

ceea ce se verifică grafic, conform figurii 1.8.

1.2.13. Să se calculeze unghiul dintre vectorii $\bar{v}_1(2,-4,4)$ și $\bar{v}_2(4,6,4)$, precum și produsele $\bar{v}_1 \cdot \bar{v}_2$ și $\bar{v}_1 \times \bar{v}_2$.

Soluție:

Vectorii considerați pot fi scriși utilizând componentele lor carteziane sub forma:

$$\bar{v}_1 = 2\bar{i} - 4\bar{j} + 4\bar{k}, \quad \bar{v}_2 = 4\bar{i} + 6\bar{j} + 4\bar{k} \quad (1)$$

iar modulele lor sunt:

$$|\bar{v}_1| = \sqrt{4 + 16 + 16} = \sqrt{36}, \quad |\bar{v}_2| = \sqrt{16 + 36 + 16} = \sqrt{68}. \quad (2)$$

Cosinusul unghiului dintre cei doi vectori are expresia:

$$\begin{aligned} \cos(\bar{v}_1, \bar{v}_2) &= \frac{\bar{v}_1 \bar{v}_2}{|\bar{v}_1| |\bar{v}_2|} = \frac{v_{1x}v_{2x} + v_{1y}v_{2y} + v_{1z}v_{2z}}{\sqrt{v_{1x}^2 + v_{1y}^2 + v_{1z}^2} \sqrt{v_{2x}^2 + v_{2y}^2 + v_{2z}^2}} = \\ &= \frac{8 - 24 + 16}{\sqrt{4 + 16 + 16} \cdot \sqrt{16 + 36 + 16}} = 0, \end{aligned} \quad (3)$$

ceea ce înseamnă că între aceștia există un unghi de $\pi/2$, adică, conform condiției de ortogonalitate,

$$\bar{v}_1 \cdot \bar{v}_2 = 0. \quad (4)$$

Produsul vectorial $\bar{v}_1 \times \bar{v}_2$ se calculează prin determinantul simbolic:

$$\begin{aligned} \bar{v}_1 \times \bar{v}_2 &= \begin{vmatrix} \bar{i} & \bar{j} & \bar{k} \\ 2 & -4 & 4 \\ 4 & 6 & 4 \end{vmatrix} = \bar{i}(-16 - 24) + \bar{j}(16 - 8) + \bar{k}(12 + 16) = \\ &= 4(-10\bar{i} + 2\bar{j} + 7\bar{k}) \end{aligned} \quad (5)$$

și are modulul:

$$|\bar{v}_1 \times \bar{v}_2| = 4\sqrt{100 + 4 + 49} = 4\sqrt{153} \quad (6)$$

1.2.14. Să se calculeze produsul mixt al vectorilor $\vec{v}_1(2,4,6)$, $\vec{v}_2(1,3,5)$ și $\vec{v}_3(-2,0,2)$ și să se interpreteze rezultatul.

Soluție:

Folosind relația (1.16), se poate scrie:

$$\vec{v}_1 \cdot (\vec{v}_2 \times \vec{v}_3) = \begin{vmatrix} 2 & 4 & 6 \\ 1 & 3 & 5 \\ -2 & 0 & 2 \end{vmatrix} = 0. \quad (1)$$

Produsul mixt $\vec{v}_1 \cdot (\vec{v}_2 \times \vec{v}_3)$ fiind nul, rezultă că vectorii $\vec{v}_1, \vec{v}_2, \vec{v}_3$ sunt coplanari; \vec{v}_3 este o combinație liniară a vectorilor \vec{v}_1 și \vec{v}_2 :

$$\vec{v}_3 = -3\vec{v}_1 + 4\vec{v}_2 \quad (2)$$

1.2.15. Coardele APB și CPD ale unui cerc cu centrul în O se intersectează ortogonal în punctul P (fig. 1.9). Să se demonstreze egalitatea:

$$\overline{PA} + \overline{PB} + \overline{PC} + \overline{PD} = 2\overline{PO}$$

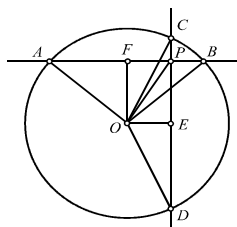


Fig. 1.9

Soluție:

Din figura 1.9 se desprind următoarele relații vectoriale:

$$\begin{aligned} \overline{PA} &= \overline{PO} + \overline{OA} \\ \overline{PB} &= \overline{PO} + \overline{OB} \\ \overline{PC} &= \overline{PO} + \overline{OC} \\ \overline{PD} &= \overline{PO} + \overline{OD}. \end{aligned} \quad (1)$$

Prin însumarea vectorială a relațiilor de mai sus, rezultă:

$$\overline{PA} + \overline{PB} + \overline{PC} + \overline{PD} = 4\overline{PO} + \overline{OA} + \overline{OB} + \overline{OC} + \overline{OD} \quad (2)$$

Dar se observă că:

$$\overline{OA} + \overline{OB} = 2\overline{OF} \quad (3)$$

$$\overline{OC} + \overline{OD} = 2\overline{OE} \quad (4)$$

Însumând vectorial relațiile (3) și (4), rezultă:

$$\overline{OA} + \overline{OB} + \overline{OC} + \overline{OD} = 2(\overline{OF} + \overline{OE}) = 2\overline{OP} \quad (5)$$

Prin urmare, din relațiile (2) și (5) se obține:

$$\overline{PA} + \overline{PB} + \overline{PC} + \overline{PD} = 4\overline{PO} + 2\overline{OP} = 2\overline{PO} \quad (6)$$

1.2.16. Să se demonstreze că cele trei înălțimi ale unui triunghi sunt concurente (fig. 1.10).

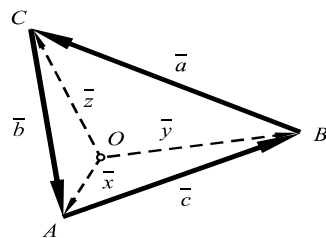


Fig. 1.10

Soluție:

Presupunând că O este punctul de intersecție al înălțimilor coborâte din A și B, se fac următoarele notații:

$$\overline{OA} = \bar{x}, \quad \overline{OB} = \bar{y}, \quad \overline{OC} = \bar{z} \quad (1)$$

Conform figurii 1.10, au loc următoarele relații vectoriale:

$$\bar{a} = \bar{z} - \bar{y}, \quad \bar{b} = \bar{x} - \bar{z}, \quad \bar{c} = \bar{y} - \bar{x} \quad (2)$$

Condiția de ortogonalitate dintre \overline{OA} și \overline{BC} , respectiv \overline{OB} și \overline{AC} , este:

$$\begin{aligned} \bar{x} \cdot \bar{a} &= \bar{x} \cdot (\bar{z} - \bar{y}) = \bar{x} \cdot \bar{z} - \bar{x} \cdot \bar{y} = 0, \\ \bar{y} \cdot \bar{b} &= \bar{y} \cdot (\bar{x} - \bar{z}) = \bar{y} \cdot \bar{x} - \bar{y} \cdot \bar{z} = 0. \end{aligned} \quad (3)$$

Adunând cele două relații (3), rezultă:

$$\bar{x} \cdot \bar{z} - \bar{y} \cdot \bar{z} = (\bar{x} - \bar{y}) \cdot \bar{z} = -\bar{c} \cdot \bar{z} = 0, \quad (4)$$

cu alte cuvinte, \overline{OC} este perpendicular pe \overline{AB} și, prin urmare, punctul O este situat pe înălțimea care pornește din punctul C.

1.3 Probleme propuse

1.3.1. Să se determine modulul și direcția vectorilor:

$$\vec{v}_1(-3,4,-3), \quad \vec{v}_2(3,0,3), \quad \vec{v}_3(1,2,3).$$

Să se calculeze apoi expresiile

$$\bar{E}_1 = \vec{v}_1 + \vec{v}_2 + \vec{v}_3, \quad \bar{E}_2 = \vec{v}_1 + \vec{v}_2 - \vec{v}_3, \quad E_3 = (\vec{v}_1 \times \vec{v}_2) \cdot \vec{v}_3, \quad \bar{E}_4 = (\vec{v}_1 \times \vec{v}_2) \times \vec{v}_3.$$

Răspuns:

$$\bar{E}_1 = \vec{i} + 6\vec{j} + 3\vec{k}, \quad \bar{E}_2 = -\vec{i} + 2\vec{j} - 3\vec{k}, \quad E_3 = -24, \quad \bar{E}_4 = -24(\vec{i} - 2\vec{j} + \vec{k}).$$

1.3.2. Să se demonstreze relația:

$$(\vec{a} + \vec{b}) \times (\vec{a} - \vec{b}) = -2(\vec{a} \times \vec{b}).$$

1.3.3. Să se demonstreze formulele:

$$\begin{aligned} \vec{a} \times [\vec{b} \times (\vec{c} \times \vec{d})] &= (\vec{b} \cdot \vec{d})(\vec{a} \times \vec{c}) - (\vec{b} \cdot \vec{c})(\vec{a} \times \vec{d}) \\ \vec{a} \times [\vec{b} \times (\vec{c} \times \vec{d})] &= [\vec{a} \cdot (\vec{c} \times \vec{d})]\vec{b} - (\vec{a}\vec{b}) \cdot (\vec{c} \times \vec{d}). \end{aligned}$$

1.3.4. Să se rezolve sistemul $\begin{cases} \vec{x} + \vec{y} = \vec{a} \\ \vec{x} \times \vec{y} = \vec{b} \end{cases}$ la care \vec{a} și \vec{b} sunt doi vectori

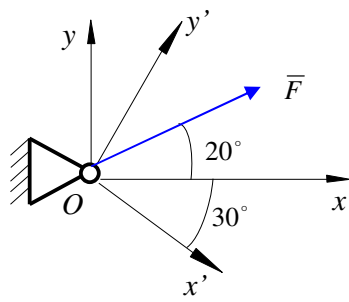
dați. Să se interpreteze rezultatul.

Răspuns: problema este posibilă dacă vectorii \vec{a} și \vec{b} sunt perpendiculari.

1.3.5. O forță \vec{F} având un modul de 100 N este aplicată unei console fixe, ca în figura 1.11. Să se determine:

- mărimea componentelor rectangulare ale forței \vec{F} pe axele sistemului de referință Ox și Oy ;
- mărimea componentelor rectangulare pe axele Ox' și Oy' ;
- mărimea componentelor vectoriale pe axele Ox' și Oy' .

Răspuns:



$$\text{a) } \begin{cases} F_x = 94 \text{ N} \\ F_y = 34.2 \text{ N} \end{cases}; \quad \text{b) } \begin{cases} F_{x'} = 64.3 \text{ N} \\ F_{y'} = 76.6 \text{ N} \end{cases};$$

$$\text{c) } \begin{cases} F_{x'} = 108.5 \text{ N} \\ F_{y'} = 88.5 \text{ N} \end{cases}.$$

Fig. 1.11

2. REDUCEREA SISTEMELOR DE FORȚE ^[10]

2.1 Considerații teoretice

A reduce un sistem de forțe într-un punct, înseamnă a înlocui în acel punct sistemul de forțe cu un sistem mecanic echivalent de doi vectori: unul numit vector (forță) rezultat(ă), notat cu \vec{R} , celălalt numit moment rezultat notat cu \vec{M}_O .

Reducerea unui sistem de forțe presupune cunoscute noțiunile: *moment polar*, *moment axial*, *cuplu de forțe*, *operații elementare de echivalență*.

2.1.1 Momentul unei forțe în raport cu un punct

(momentul polar)

Prin definiție, *momentul unei forțe în raport cu un punct O numit și moment polar* este egal cu produsul vectorial dintre vectorul de poziție \vec{r} al punctului de aplicație A (care aparține rigidului (C)) al unei forțe în raport cu punctul O și forța \vec{F} (fig. 2.1). Momentul polar se notează cu \vec{M}_O și are expresia:

$$\vec{M}_O = \vec{r} \times \vec{F} \quad (2.1)$$

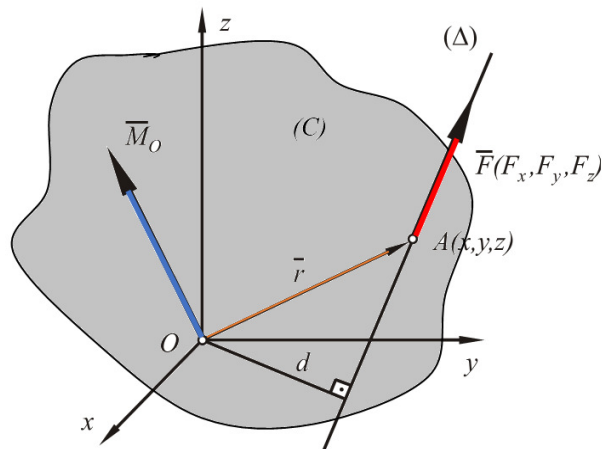


Fig. 2.1

Caracteristicile vectorului moment polar sunt:

- *punctul de aplicație*: polul O
- *direcția*: este perpendiculară pe planul definit de vectorii \vec{r} și \vec{F}
- *sensul*: este dat de regula burghiului
- *modulul*: este egal cu produsul dintre modulul F al forței și brațul său d (distanța de la polul O la suportul (Δ) al forței), adică

$$M_o = Fd \quad (2.2)$$

Componentele M_x, M_y, M_z ale vectorului moment polar pe axele unui sistem cartezian de referință $Oxyz$ (fig. 2.1) sunt:

$$M_x = yF_z - zF_y, M_y = zF_x - xF_z, M_z = xF_y - yF_x. \quad (2.3)$$

Având în vedere (2.3), modulul momentului polar este:

$$M_o = \sqrt{M_x^2 + M_y^2 + M_z^2} \quad (2.4)$$

iar direcția vectorului moment polar se obține din expresiile *cosinusurilor directe*:

$$\cos(\widehat{\vec{M}_o, O_x}) = \frac{M_x}{M_o}, \cos(\widehat{\vec{M}_o, O_y}) = \frac{M_y}{M_o}, \cos(\widehat{\vec{M}_o, O_z}) = \frac{M_z}{M_o} \quad (2.5)$$

2.1.2 Momentul unei forțe în raport cu o axă (momentul axial)

Momentul unei forțe \vec{F} (având ca punct de aplicație A și care aparține unui solid rigid (C)), în raport cu o axă (Δ) este numit și *moment axial* și se definește ca proiecția pe axa (Δ) a momentului polar al forței determinat în raport cu un punct oarecare O de pe axă (fig. 2.2). Notând cu \vec{u} versorul axei (Δ) se poate scrie:

$$M_\Delta = \vec{M}_o \cdot \vec{u} = (\vec{r} \times \vec{F}) \cdot \vec{u}. \quad (2.6)$$

Descompunând forța \vec{F} în două componente: \vec{F}_1 paralelă cu axa (Δ), \vec{F}_2 după urma lăsată în planul (π), dus perpendicular în O pe axa (Δ), de către planul (P) definit de forțele concurente în A , \vec{F} și \vec{F}_1 , se poate da o nouă exprimare momentului axial și anume:

$$M_\Delta = (\vec{r}_1 \times \vec{F}_2) \cdot \vec{u}. \quad (2.7)$$

În conformitate cu (2.7), momentul axial al unei forțe este egal cu valoarea algebrică a momentului polar al proiecției \vec{F}_2 a forței \vec{F} în planul (π) normal pe axa (Δ), determinat în raport cu punctul în care axa (Δ) intersectează acest plan.

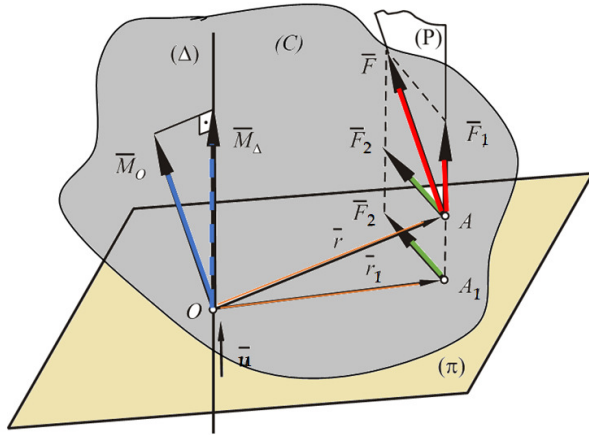


Fig. 2.2

Momentul axial se anulează dacă forța \vec{F} și axa (Δ) sunt coplanare (în același plan), de unde rezultă următoarea *proprietate*: dacă o forță este paralelă cu o axă sau o intersectează, atunci momentul forței respective în raport cu acea axa este nul.

2.1.3 Cuplu de forțe

Un cuplu de forțe este un ansamblu de două forțe egale în modulul F și $-F$, de sensuri contrare și plasate pe suporturi paralele (fig. 2.3), având ca puncte de aplicație A și B care aparțin rigidului (C) .

Un cuplu de forțe este echivalent cu un moment al cuplului, dirijat după o direcție normală pe planul (π) al cuplului și având sensul determinat de sensul de rotație imprimat de cuplul de forțe. Momentul cuplului este invariant la alegerea polului O , astfel:

$$\vec{M}_O = \vec{M}_A = \vec{M}_B = \vec{M} = \vec{r} \times \vec{F}. \quad (2.8)$$

Modulul *momentului cuplului de forțe* se determină ca produsul dintre modulul F al unei forțe a cuplului și brațul d al acestuia, adică:

$$M = Fd \quad (2.9)$$

Brațul se măsoară pe perpendiculara comună dusă pe suporturile celor două forțe.

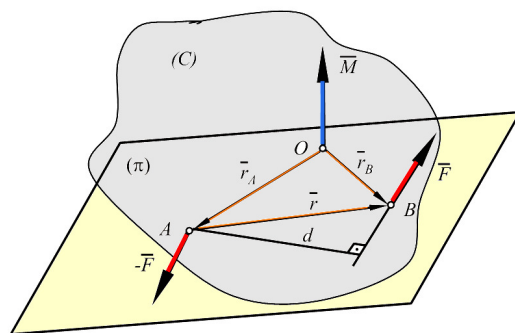


Fig. 2.3

2.1.4 Operații elementare de echivalență

Două sisteme de forțe sunt echivalente dacă aplicate succesiv aceluiași solid rigid produc același efect mecanic.

Operațiile prin care un sistem de forțe se transformă într-un sistem echivalent lui poartă numele de *operații elementare de echivalență*.

Se pot enumera **patru operații elementare de echivalență**:

1° O forță poate aluneca pe suportul său datorită caracterului de vector alunecător.

2° Adăugarea sau suprimarea perechii de forțe egale și de sens contrar plasate pe același suport, în conformitate cu primul principiu al Staticii.

3° Înlocuirea unei forțe cu două forțe concurente și coplanare cu ea, prin aplicarea principiului paralelogramului.

4° Înlocuirea unui sistem de forțe concurente într-un punct printr-o rezultantă a sistemului, aplicând succesiv regula triunghiului.

2.1.5 Reducerea sistemelor de forțe oarecare

Sistemul mecanic echivalent de doi vectori (un vector rezultat \bar{R} și un moment rezultat \bar{M}_O) cu care se înlocuiește într-un punct un sistem de forțe oarecare, poartă numele de *torsor de reducere* și se notează cu $\tau_O(\bar{R}, \bar{M}_O)$.

Dacă asupra unui solid rigid (C) (fig. 2.4) acționează un sistem de forțe $\bar{F}_1, \bar{F}_2, \dots, \bar{F}_i, \dots, \bar{F}_n$ în punctele $A_1, A_2, \dots, A_i, \dots, A_n$ determinate de vectorii de

poziție $\vec{r}_1, \vec{r}_2, \dots, \vec{r}_i, \dots, \vec{r}_n$, elementele torsorului de reducere a sistemului de forțe în raport cu un pol arbitrar O se determină cu relațiile vectoriale:

$$\vec{R} = \sum_{i=1}^n \vec{F}_i, \quad \vec{M}_O = \sum_{i=1}^n \vec{r}_i \times \vec{F}_i \quad (2.10)$$

și poartă numele de: \vec{R} - *vector rezultatant*, \vec{M}_O - *moment rezultatant*.

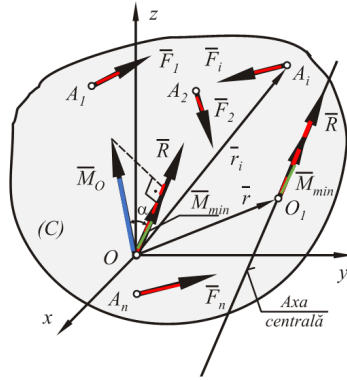


Fig. 2.4

Cunoscând forțele sistemului prin proiecțiile carteziene F_{ix}, F_{iy}, F_{iz} , ($i=1 \div n$), pe axele unui sistem cartezian $Oxyz$ cu originea în punctul de reducere O , precum și coordonatele $x_i, y_i, z_i, (i=1 \div n)$ ale punctelor A_i de aplicație ale forțelor, se pot determina elementele torsorului de reducere prin componentele lor carteziene astfel:

$$R_x = \sum_{i=1}^n F_{ix}, \quad R_y = \sum_{i=1}^n F_{iy}, \quad R_z = \sum_{i=1}^n F_{iz} \quad (2.11)$$

$$M_x = \sum_{i=1}^n (y_i F_{iz} - z_i F_{iy})$$

$$M_y = \sum_{i=1}^n (z_i F_{ix} - x_i F_{iz}) \quad (2.12)$$

$$M_z = \sum_{i=1}^n (x_i F_{iy} - y_i F_{ix})$$

Modulul vectorului rezultatant se determină cu relația:

$$R = \sqrt{R_x^2 + R_y^2 + R_z^2} \quad (2.13)$$

Direcția vectorului rezultatant se determină prin unghiurile formate cu axele

sistemului cartezian $Oxyz$, care se pot deduce din expresiile cosinusurilor directoare:

$$\begin{aligned}\cos \alpha &= \cos(\overline{R}, \hat{Ox}) = \frac{R_x}{R}, \\ \cos \beta &= \cos(\overline{R}, \hat{Oy}) = \frac{R_y}{R}, \\ \cos \gamma &= \cos(\overline{R}, \hat{Oz}) = \frac{R_z}{R}.\end{aligned}\quad (2.14)$$

Modulul momentului rezultat se determină cu relația:

$$M_O = \sqrt{M_x^2 + M_y^2 + M_z^2} \quad (2.15)$$

Direcția momentului rezultat este definită de unghiurile formate cu axele sistemului cartezian $Oxyz$, deduse din expresiile cosinusurilor directoare:

$$\begin{aligned}\cos \alpha_1 &= \cos(\overline{M}_O, \hat{Ox}) = \frac{M_x}{M_O}, \\ \cos \beta_1 &= \cos(\overline{M}_O, \hat{Oy}) = \frac{M_y}{M_O}, \\ \cos \gamma_1 &= \cos(\overline{M}_O, \hat{Oz}) = \frac{M_z}{M_O}.\end{aligned}\quad (2.16)$$

Momentul minim \overline{M}_{\min} reprezintă proiecția vectorului moment rezultat \overline{M}_O pe direcția vectorului rezultat \overline{R} și se exprimă prin una din relațiile:

$$\begin{aligned}M_{\min} &= \frac{\overline{R} \cdot \overline{M}_O}{R} = \frac{R_x M_x + R_y M_y + R_z M_z}{\sqrt{R_x^2 + R_y^2 + R_z^2}}, \\ \overline{M}_{\min} &= \frac{\overline{R} \cdot \overline{M}_O}{R^2} \overline{R} = \frac{R_x M_x + R_y M_y + R_z M_z}{R_x^2 + R_y^2 + R_z^2} (R_x \vec{i} + R_y \vec{j} + R_z \vec{k}).\end{aligned}\quad (2.17)$$

Locul geometric al punctelor de reducere în care se obține un torsor minim este o dreaptă paralelă cu vectorul și numită **axă centrală**.

Reducerea sistemului de forțe în raport cu punctele axei centrale poartă numele de *reducere canonică*. În acest caz, torsorul de reducere devine *torsor minim* $\tau_{\min}(\overline{R}, \overline{M}_{\min})$, ale cărui elemente sunt vectorul rezultat \overline{R} și momentul minim \overline{M}_{\min} .

Sau, locul geometric al punctelor de reducere în raport cu care se obține un torsor de reducere minim, $\tau_{\min}(\overline{R}, \overline{M}_{\min})$, este o dreaptă paralelă cu vectorul rezultat \overline{R} , numită **axă centrală** a sistemului de forțe.

Ecuțiile vectoriale și scalare ale axei centrale sunt:

$$\overline{M}_O - \overline{r} \times \overline{R} = \lambda \overline{R} \quad (2.18)$$

$$\frac{M_x - yR_z + zR_y}{R_x} = \frac{M_y - zR_x + xR_z}{R_y} = \frac{M_z - xR_y + yR_x}{R_z} \quad (2.19)$$

$$\overline{r} - \frac{\overline{R} \times \overline{M}_O}{R^2} = \lambda \overline{R} \quad (2.20)$$

$$\frac{x - \frac{R_y M_z - R_z M_y}{R^2}}{R_x} = \frac{y - \frac{R_z M_x - R_x M_z}{R^2}}{R_y} = \frac{z - \frac{R_x M_y - R_y M_x}{R^2}}{R_z}. \quad (2.21)$$

La *reducerea unui sistem de forțe oarecare* pot apărea următoarele **cazuri de reducere**:

1° $\overline{R} \neq 0, \overline{M}_O = 0$, caz în care sistemul de forțe se reduce în raport cu polul O la o rezultantă \overline{R} (de exemplu: sistem de forțe concurente).

2° $\overline{R} = 0, \overline{M}_O \neq 0$, caz în care sistemul de forțe se reduce la un cuplu de forțe \overline{F} și $-\overline{F}$, aflat într-un plan normal pe vectorul moment rezultat \overline{M}_O .

3° $\overline{R} \neq 0, \overline{M}_O \neq 0$

a) $\overline{R} \perp \overline{M}_O, \overline{R} \cdot \overline{M}_O = 0 \Leftrightarrow R_x M_x + R_y M_y + R_z M_z = 0$, caz în care sistemul de forțe se reduce în raport cu un pol arbitrar O la un torsor de reducere ale cărui elemente sunt perpendiculare (fig. 2.5). Efectuând reducerea în raport cu punctele axei centrale se obține o *rezultantă unică* a sistemului, deoarece momentul minim este nul, $M_{\min} = \frac{\overline{R} \cdot \overline{M}_O}{R} = 0$. În

acest caz, se poate aplica *teorema lui Varignon*: **momentul rezultat al unui sistem de forțe este egal cu momentul rezultantei sistemului de forțe, cele două momente** (fig. 2.5) **fiind determinate în raport cu același pol O adică:**

$$\overline{M}_O = \sum_{i=1}^n \overline{r}_i \times \overline{F}_i = \overline{r} \times \overline{R}. \quad (2.22)$$

Sub formă scalară teorema lui Varignon se poate scrie astfel:

$$M_O = R d, \quad \text{unde } d \text{ fiind distanța de la } O \text{ la axa centrală} \quad (2.23)$$

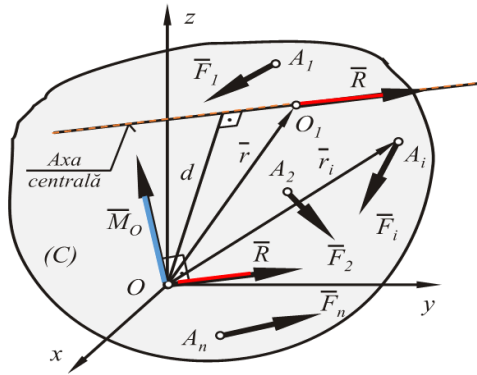


Fig. 2.5

relație în care d reprezintă brațul rezultantei unice a sistemului de forțe în raport cu polul O , măsurat ca distanța de la O la suportul rezultantei.

b) $\bar{R} \cdot \bar{M}_O \neq 0$ ($\alpha \neq \frac{\pi}{2}$), caz în care sistemul de forțe se reduce în raport cu polul O la un **torsor de reducere** ale cărui elemente nu sunt perpendiculare între ele. Efectuând reducerea în raport cu punctele axei centrale, se obține un torsor minim format din vectori \bar{R} și \bar{M}_{\min} coliniari (fig. 2.4).

4° $\bar{R} = 0, \bar{M}_O = 0$, caz în care sistemul de forțe se află în echilibru.

2.1.6 Reducerea sistemelor particulare de forțe

a) Sistem de forțe paralele. Centrul forțelor paralele

În cazul unui sistem de forțe paralele, notând cu \bar{u} versorul direcției comune a forțelor, se poate scrie:

$$\bar{F}_i = F_i \bar{u}, \quad (i = 1 \div n). \quad (2.24)$$

Având în vedere (2.10) și figura 2.6, elementele torsorului de reducere în raport cu un pol arbitrar O au expresiile:

$$\begin{aligned} \bar{R} &= \sum_{i=1}^n \bar{F}_i = \left(\sum_{i=1}^n F_i \right) \bar{u} \\ \bar{M}_O &= \sum_{i=1}^n \bar{r}_i \times \bar{F}_i = \sum_{i=1}^n (F_i \bar{r}_i) \times \bar{u}. \end{aligned} \quad (2.25)$$

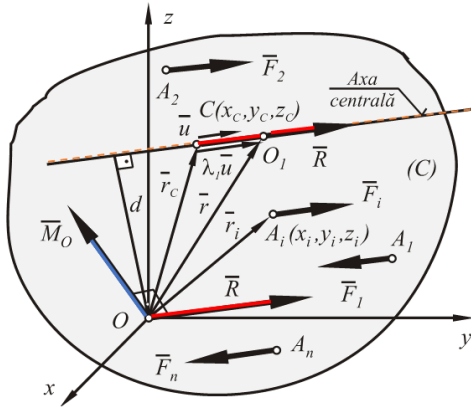


Fig. 2.6

Ecuția vectorială a axei centrale, având în vedere figura 2.6, este:

$$\bar{r} = \bar{r}_c + \lambda_1 \bar{u}, \quad \bar{r}_c = \frac{\sum_{i=1}^n F_i \bar{r}_i}{\sum_{i=1}^n F_i}, \quad \lambda_1 = -\frac{\lambda}{\sum_{i=1}^n F_i}. \quad (2.26)$$

Vectorul de poziție al centrului forțelor paralele are expresia:

$$\bar{r}_c = \frac{\sum_{i=1}^n F_i \bar{r}_i}{\sum_{i=1}^n F_i} \quad (2.27)$$

Coordonatele centrului forțelor paralele se obțin proiectând (2.27) pe axele sistemului cartezian de referință $Oxyz$. Astfel:

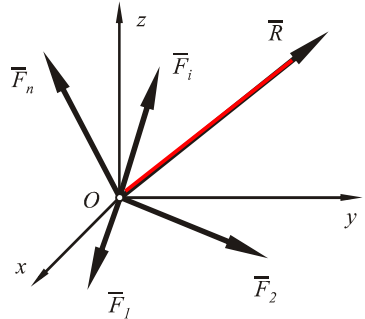
$$x_c = \frac{\sum_{i=1}^n F_i x_i}{\sum_{i=1}^n F_i}, \quad y_c = \frac{\sum_{i=1}^n F_i y_i}{\sum_{i=1}^n F_i}, \quad z_c = \frac{\sum_{i=1}^n F_i z_i}{\sum_{i=1}^n F_i} \quad (2.28)$$

În conformitate cu (2.25), $\bar{R} \perp \bar{M}_O$, astfel că, $M_{\min} = \frac{\bar{R} \cdot \bar{M}_O}{R} = 0$. În consecință, sistemul de forțe paralele se reduce în raport cu punctele axei centrale la o *rezultantă unică*. Se poate aplica astfel, teorema lui Varignon $\bar{M}_O = \bar{r} \times \bar{R}$, din care se obține distanța d de la polul O , la axa centrală:

$$d = \frac{\bar{M}_O}{R} \quad (2.29)$$

b) Sistem de forțe concurente

Rezultanta \bar{R} a unui sistem de forțe concurente $\bar{F}_i, (i=1 \div n)$, (fig. 2.7) se poate determina grafic prin aplicarea succesivă a regulii triunghiului, construind astfel poligonul forțelor sau prin calcul analitic cu relațiile:



$$\bar{R} = \sum_{i=1}^n \bar{F}_i \quad (2.30)$$

$$R_x = \sum_{i=1}^n F_{ix}, \quad R_y = \sum_{i=1}^n F_{iy}, \quad R_z = \sum_{i=1}^n F_{iz}.$$

Fig. 2.7

Modulul și direcția rezultantei sistemului de forțe concurente se determină astfel:

$$R = \sqrt{R_x^2 + R_y^2 + R_z^2}$$

$$\cos(\hat{R}, Ox) = \frac{R_x}{R}, \quad \cos(\hat{R}, Oy) = \frac{R_y}{R}, \quad \cos(\hat{R}, Oz) = \frac{R_z}{R}. \quad (2.31)$$

c) Sistem de forțe coplanare

Fie sistemul de forțe coplanare $\bar{F}_i, (i=1 \div n)$, situate în planul Oxy (fig. 2.8). În acest caz, elementele torsorului de reducere în raport cu un pol O arbitrar ales în planul forțelor, au componentele pe axele sistemului cartezian de referință $Oxyz$:

$$R_x = \sum_{i=1}^n F_{ix}, \quad R_y = \sum_{i=1}^n F_{iy} \quad (2.32)$$

$$M_O = M_z = \sum_{i=1}^n (x_i F_{iy} - y_i F_{ix}).$$

Modulele și direcțiile vectorilor \bar{R} și \bar{M}_O sunt determinate astfel:

$$R = \sqrt{R_x^2 + R_y^2}, \quad \cos(\hat{R}, Ox) = \frac{R_x}{R}, \quad (2.33)$$

$$M_O = M_z.$$

Momentul resultant \bar{M}_O este orientat după axa Oz .

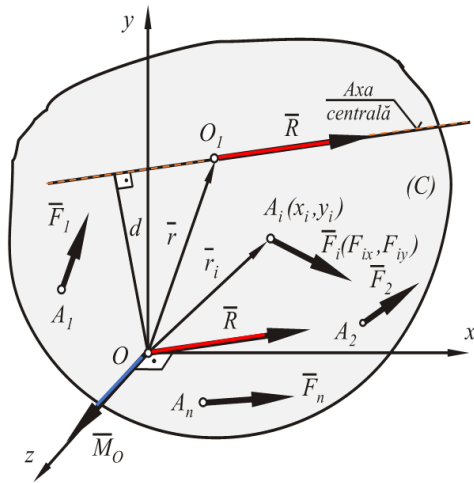


Fig. 2.8

Având în vedere (2.32), $\bar{R} \perp \bar{M}_O$, astfel că $M_{\min} = \frac{\bar{R} \cdot \bar{M}_O}{R} = 0$. Sistemul de forțe coplanare se reduce la o *rezultantă unică* în raport cu punctele axei centrale. Se poate determina astfel, din teorema lui Varignon, distanța d de la polul O la axa centrală cu relația:

$$d = \frac{M_z}{R}. \quad (2.34)$$

În cazul sistemului de forțe coplanare, ecuațiile axei centrale sunt:

$$M_z - xR_y + yR_x = 0, \quad z = 0. \quad (2.35)$$

2.2 Probleme rezolvate ^[10]

2.2.1. O forță de mărime $F = 100 \text{ N}$ este orientată ascendent de-a lungul unei drepte dată prin ecuația $3x + 4y - 10 = 0$ (fig. 2.9). Să se determine momentul forței în raport cu originea O .

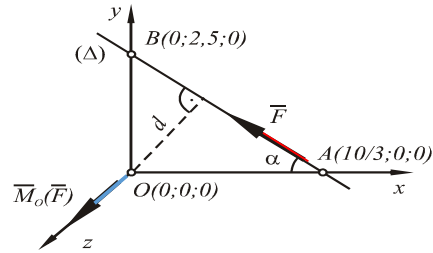


Fig. 2.9

Soluție:

Având în vedere ecuația

$$3x + 4y - 10 = 0$$

se obțin coordonatele punctelor A și B:

$$\begin{cases} x = 0 \Rightarrow y = 2,5 \\ y = 0 \Rightarrow x = \frac{10}{3} \end{cases}$$

Modulul momentului polar este:

$$M_0 = F \cdot d. \quad (1)$$

Având în vedere relația

$$\sin \alpha = \frac{d}{OA} = \frac{OB}{AB},$$

se obține distanța d de la punctul O la dreapta (Δ)

$$d = \frac{OA \cdot OB}{AB} = 2 \text{ m}. \quad (2)$$

Astfel, momentul polar are valoarea:

$$M_0 = 200 \text{ N m} \quad (3)$$

sau:

$$M_0 = |OA| F \sin \alpha = |OB| F \cos \alpha = F \frac{OA \cdot OB}{\sqrt{OA^2 + OB^2}}. \quad (4)$$

2.2.2. La strunjirea longitudinală a unei piese forța \vec{F} care soliciță cuțitul se presupune concentrată în punctul A de pe tășul cuțitului. Cunoșcând componentele $F_x = 300\text{ N}$, $F_y = 150\text{ N}$, $F_z = 800\text{ N}$ și cotele de pe schiță, să se determine momentul forței așchietoare în raport cu centrul O al secțiunii de încastrare a cuțitului în suportul acestuia (fig. 2.10).

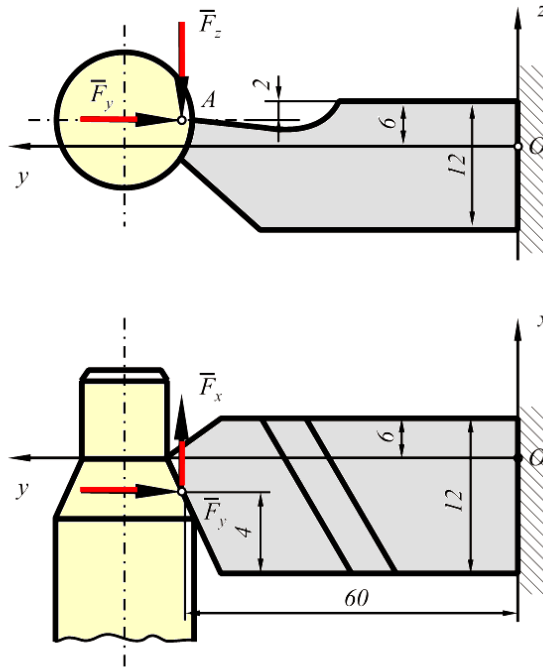


Fig. 2.10

Soluție:

În conformitate cu (2.3), expresiile analitice ale momentului polar sunt:

$$M_x = yF_z - zF_y; \quad M_x = -0,6 \cdot 800 + 0,04 \cdot 150 = 474 \text{ N} \cdot \text{m}$$

$$M_y = zF_x - xF_z; \quad M_y = 0,04 \cdot 300 - 0,02 \cdot 800 = -4 \text{ N} \cdot \text{m} \quad (1)$$

$$M_z = xF_y - yF_x; \quad M_z = 0,02 \cdot 150 - 0,6 \cdot 300 = -177 \text{ N} \cdot \text{m}.$$

Modulul momentului polar se exprimă astfel:

$$M_O = \sqrt{M_x^2 + M_y^2 + M_z^2} = \sqrt{474^2 + 4^2 + 177^2} = 507,5 \text{ N} \cdot \text{m}. \quad (2)$$

Dirrecția momentului polar se determină prin:

$$\cos(\vec{M}_O, \hat{Ox}) = \frac{M_x}{M_O} = -\frac{474}{507,5} = -0,93399, \quad (3)$$

din care rezultă:

$$\begin{aligned} \widehat{M_o, Ox} &= 159^\circ 3' 58''; \\ \cos(\widehat{M_o, Oy}) &= \frac{M_y}{M_o} = -\frac{4}{507,5} = -0,00788; \end{aligned} \quad (4)$$

$$\begin{aligned} \widehat{M_o, Oy} &= 90^\circ 27' 6''; \\ \cos(\widehat{M_o, Oz}) &= \frac{M_z}{M_o} = -\frac{177}{507,5} = -0,34876, \end{aligned} \quad (5)$$

$$\widehat{M_o, Oy} = 110^\circ 27' 43''. \quad (6)$$

2.2.3. Se dă un paralelipiped dreptunghic cu laturile 40, 120, 60 cm. De-a lungul dreptei AH se află forța \vec{F} , de modulul m , H fiind mijlocul lui CD . Să se determine momentul forței \vec{F} în raport cu punctul P , situat în centrul dreptunghiului $DFEG$ (fig. 2.11).

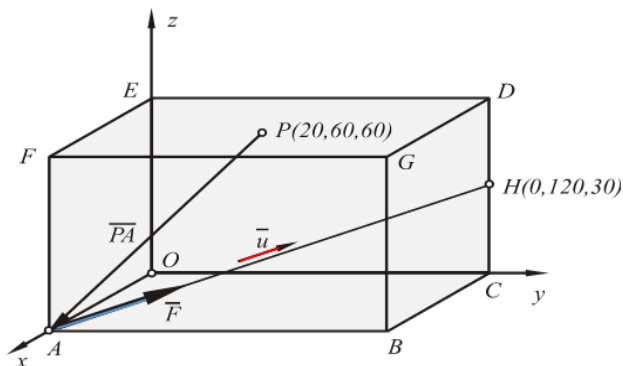


Fig. 2.11

Soluție:

Momentul forței \vec{F} în raport cu P are expresia:

$$\vec{M}_P = \vec{r} \times \vec{F}, \quad (1)$$

în care: $\vec{r} = \vec{PA}$, $\vec{F} = m\vec{u}$,

$\vec{u} = \frac{\vec{AH}}{|\vec{AH}|}$ fiind versorul direcției \vec{AH} .

Se determină vectorii:

$$\overline{PA} = (x_A - x_P)\bar{i} + (y_A - y_P)\bar{j} + (z_A - z_P)\bar{k} = 20\bar{i} - 60\bar{j} - 60\bar{k} \quad (2)$$

$$\bar{u} = \frac{\overline{AH}}{|\overline{AH}|} = \frac{(0-40)\bar{i} + (120-0)\bar{j} + (30-0)\bar{k}}{\sqrt{40^2 + 120^2 + 30^2}} = \frac{-4\bar{i} + 12\bar{j} + 3\bar{k}}{13}. \quad (3)$$

Având în vedere (1), (2) și (3), se poate scrie succesiv:

$$\overline{M}_P = \frac{m}{13} \begin{vmatrix} \bar{i} & \bar{j} & \bar{k} \\ 20 & -60 & -60 \\ -4 & 12 & 3 \end{vmatrix} = \frac{180m}{13} (3\bar{i} + \bar{j}). \quad (4)$$

Modulul momentului polar \overline{M}_P are expresia:

$$M_P = \sqrt{M_x^2 + M_y^2 + M_z^2} = \frac{180\sqrt{10}}{13} m = 43,78 m. \quad (5)$$

Direcția vectorului moment polar \overline{M}_P se determină prin cosinusurile directoare:

$$\begin{aligned} \cos \alpha &= \frac{M_x}{M_P} = 0,3\sqrt{10} = 0,948 \\ \cos \beta &= \frac{M_y}{M_P} = 0 \\ \cos \gamma &= \frac{M_z}{M_P} = 0,1\sqrt{10} = 0,316. \end{aligned} \quad (6)$$

2.2.4. Pentru a deschide o ușă de lățime a se acționează asupra mânerului C cu o forță \overline{F} care face cu planul orizontal unghiul β . Planul vertical al forței \overline{F} face cu planul ușii unghiul α (fig. 2.12).

Să se determine momentul forței care produce deschiderea ușii.

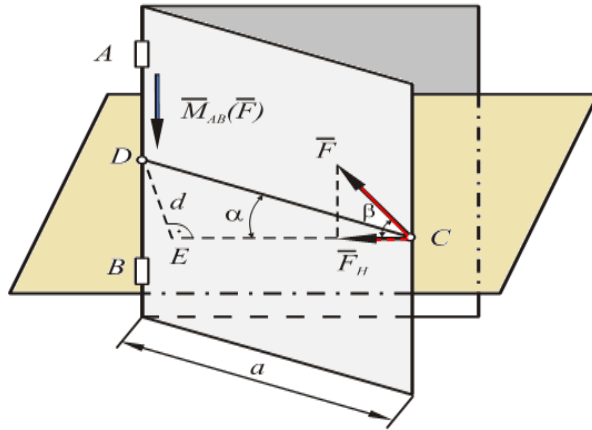


Fig. 2.12

Soluție:

Având în vedere (2.2), se poate scrie:

$$M_{AB} = M_D = F_H \cdot d, \quad (1)$$

în care:

$$F_H = F \cos \beta \quad (2)$$

$$d = a \sin \alpha. \quad (3)$$

Astfel,

$$M_{AB} = Fa \cos \beta \sin \alpha. \quad (4)$$

2.2.5. Înșurubarea unui bulon se face cu ajutorul unei chei de lungime 24 cm, la capătul căreia acționează forța $F = 60N$, înclinată față de planul orizontal cu unghiul $\beta = 45^\circ$. Proiecția orizontală a forței \bar{F} formează cu axa de simetrie a cheii unghiul $\alpha = 30^\circ$ (fig. 2.13).

Să se determine momentul care produce răsucirea bulonului.

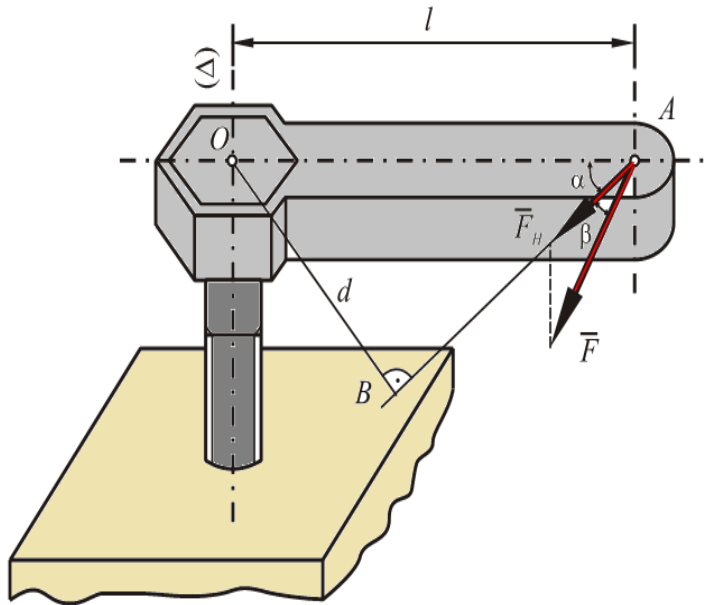


Fig. 2.13

Soluție:

Având în vedere figura 2.13, se poate scrie:

$$M_O = F_H \cdot |OB| = F_H \cdot d, \quad (1)$$

în care

$$F_H = F \cos \beta; \quad d = l \sin \alpha. \quad (2)$$

Astfel,

$$M_O = F \cdot l \cdot \sin \alpha \cos \beta. \quad (3)$$

Având în vedere valorile numerice din enunț, se obține:

$$M_O = 14,4 \text{ N} \cdot \text{m}. \quad (4)$$

2.2.6. Asupra originii O a sistemului de referință $Oxyz$ acționează un sistem de două forțe $\vec{F}_1 = 3\vec{i}$ și $\vec{F}_2 = -7\vec{i}$. Să se determine momentele polare ale celor două forțe în raport cu punctul $A(0, 0, 1)$ (fig. 2.14).

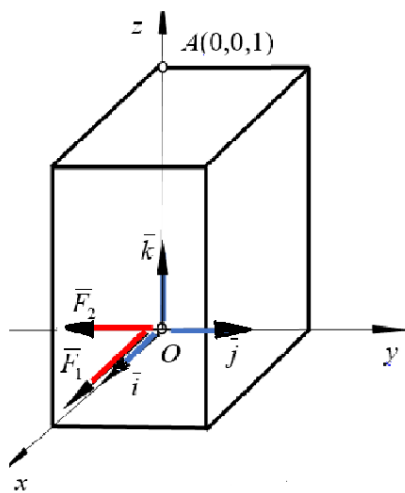


Fig. 2.14

Soluție:

Momentul polar al unei forțe în raport cu un punct este conform cu (2.1), dat de produsul vectorial:

$$\vec{M}_0 = \vec{r} \times \vec{F} \quad (1)$$

iar modulul acestuia, conform cu (2.2), este:

$$M_0 = F \cdot d, \quad (2)$$

unde:

- F este modulul forței,
- d este brațul forței, adică lungimea perpendiculare coborâtă din polul O pe suportul forței \vec{F} .

Astfel, momentele polare ale forțelor \vec{F}_1 și \vec{F}_2 se pot determina, conform cu (1) și (2), cu relațiile:

$$\vec{M}_1 = \vec{AO} \times \vec{F}_1 = \begin{vmatrix} \vec{i} & \vec{j} & \vec{k} \\ 0 & 0 & -1 \\ 3 & 0 & 0 \end{vmatrix} = -3\vec{j}. \quad (3)$$

$$\vec{M}_2 = \vec{AO} \times \vec{F}_2 = \begin{vmatrix} \vec{i} & \vec{j} & \vec{k} \\ 0 & 0 & -1 \\ 0 & -7 & 0 \end{vmatrix} = -7\vec{i}. \quad (4)$$

$$M_1 = F_1 \cdot AO = 3 \cdot 1 = 3. \quad (5)$$

$$M_2 = F_2 \cdot AO = 7 \cdot 1 = 7. \quad (6)$$

Se observă că modulele momentelor polare ale forțelor date sunt aceleași indiferent de metoda de calcul aleasă.

2.2.7. Sistemul de forțe, de module: $P_1 = 4$, $P_2 = 6$, $P_3 = 3$, $P_4 = 2$, $P_5 = 6$, $P_6 = 8$, este dirijat ca în figură, după muchiile unui paralelipiped dreptunghic la care se cunosc $OA = 10$, $OB = 4$, $OC = 5$ (fig. 2.15). Să se facă reducerea canonică a sistemului. Dimensiunile forțelor sunt date în N , iar ale muchiilor în cm .

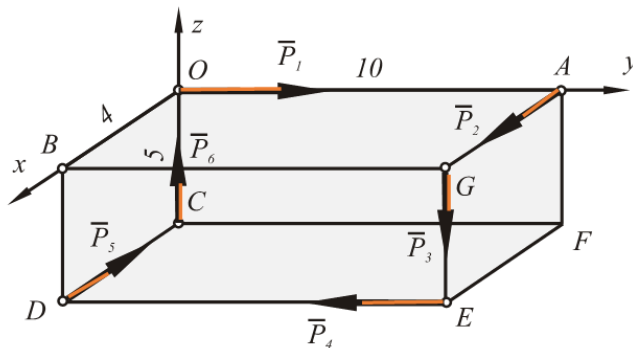


Fig. 2.15

Soluție:

Reducerea canonică este reducerea făcută în raport cu un punct de pe axa centrală, torsorul de reducere fiind torsorul minim format din \bar{R} și $\bar{M}_{\min} = \frac{\bar{R} \cdot \bar{M}_O}{R} \bar{u}$ (\bar{u} - versorul axei centrale).

Pentru determinarea componentelor M_x, M_y, M_z ale momentului rezultat se aplică următoarea proprietate: dacă o forță este paralelă cu o axă sau o intersectează, nu dă moment în raport cu axa respectivă. Se observă că pentru determinarea axei centrale trebuie determinate elementele \bar{R} și \bar{M}_O ale torsorului de reducere. Astfel,

- Vectorul rezultat:

$$R_x = \sum_{i=1}^6 P_{ix} = -P_5 + P_2 = -6 + 6 = 0$$

$$R_y = \sum_{i=1}^6 P_{iy} = -P_4 + P_1 = -2 + 4 = 2 \text{ N} \quad (1)$$

$$R_z = \sum_{i=1}^6 P_{iz} = -P_3 + P_6 = -3 + 8 = 5 \text{ N}$$

$$R = \sqrt{R_x^2 + R_y^2 + R_z^2} = \sqrt{4 + 25} = \sqrt{29} = 5,38 \text{ Ncm} . \quad (2)$$

▪ *Momentul rezultat:*

Proiecțiile lui \bar{M}_O pe axele de coordonate sunt egale cu suma momentelor forțelor determinate în raport cu axele de coordonate, astfel:

$$M_x = \sum_{i=1}^6 M_x(P_i) = -P_3 \cdot 10 - P_4 \cdot 5 = -40 \text{ Ncm}$$

$$M_y = \sum_{i=1}^6 M_y(P_i) = P_5 \cdot 5 + P_3 \cdot 4 = 42 \text{ Ncm} \quad (3)$$

$$M_z = \sum_{i=1}^6 M_z(P_i) = -P_2 \cdot 10 - P_4 \cdot 4 = -68 \text{ Ncm}$$

$$\bar{M}_O = -40\bar{i} + 42\bar{j} - 68\bar{k} . \quad (5)$$

$$M_O = \sqrt{M_x^2 + M_y^2 + M_z^2} = 89,37 \text{ Ncm} . \quad (4)$$

▪ *Ecuatiile axei centrale:*

Având în vedere (2.20), se determină vectorii:

$$\bar{R} \times \bar{M}_O = \begin{vmatrix} \bar{i} & \bar{j} & \bar{k} \\ 0 & 2 & 5 \\ -40 & 42 & -68 \end{vmatrix} = -346\bar{i} - 200\bar{j} + 80\bar{k} \quad (6)$$

$$\frac{\bar{R} \times \bar{M}_O}{R^2} = -11,93\bar{i} - 6,9\bar{j} + 2,76\bar{k} , \quad (7)$$

care introduși în ecuațiile axei centrale, conduc la:

$$\frac{x + 11,93}{0} = \frac{y + 6,9}{2} = \frac{z - 2,76}{5} ,$$

sau

$$\begin{aligned}x &= -11,93 \\5y - 2z &= -40.\end{aligned}\tag{8}$$

▪ Torsorul minim $\tau_{\min}(\bar{R}, \bar{M}_{\min})$

$$\bar{R} = 2\bar{j} + 5\bar{k}\tag{9}$$

$$M_{\min} = \frac{\bar{M}_O \cdot \bar{R}}{R} = \frac{-40 \cdot 0 + 42 \cdot 2 - 68 \cdot 5}{\sqrt{29}} = -47,54 \text{ Ncm}.\tag{10}$$

$\bar{M}_{\min} = M_{\min} \frac{\bar{R}}{R}$, pentru că momentul minim este coliniar cu vectorul rezultat,

$\bar{u} = \frac{\bar{R}}{R}$ fiind versorul lui \bar{R} .

Se obține astfel:

$$\bar{M}_{\min} = -47,54 \frac{2\bar{j} + 5\bar{k}}{\sqrt{29}} = -8,82 \cdot (2\bar{j} + 5\bar{k}).\tag{11}$$

Altă metodă pentru determinarea momentului rezultat

În conformitate cu (2.10), se poate scrie

$$\bar{M}_O = \sum_{i=1}^6 \bar{M}_O(\bar{P}_i) = \sum_{i=1}^6 \bar{r}_i \times \bar{P}_i = \sum_{i=1}^6 \begin{vmatrix} \bar{i} & \bar{j} & \bar{k} \\ x_i & y_i & z_i \\ P_{ix} & P_{iy} & P_{iz} \end{vmatrix},\tag{12}$$

în care x_i, y_i, z_i reprezintă coordonatele unui punct arbitrar, de pe suportul forței \bar{P}_i . Se determină succesiv:

$$\bar{M}_O(\bar{P}_1) = 0$$

$$\bar{M}_O(\bar{P}_2) = \begin{vmatrix} \bar{i} & \bar{j} & \bar{k} \\ 0 & 10 & 0 \\ 6 & 0 & 0 \end{vmatrix} = -60\bar{k}$$

$$\bar{M}_O(\bar{P}_3) = \begin{vmatrix} \bar{i} & \bar{j} & \bar{k} \\ 4 & 10 & 0 \\ 0 & 0 & -3 \end{vmatrix} = -30\bar{i} + 12\bar{j}\tag{13}$$

$$\overline{M}_O(\overline{P}_4) = \begin{vmatrix} \bar{i} & \bar{j} & \bar{k} \\ 4 & 0 & -5 \\ 0 & -2 & 0 \end{vmatrix} = -10\bar{i} - 8\bar{k}$$

$$\overline{M}_O(\overline{P}_5) = \begin{vmatrix} \bar{i} & \bar{j} & \bar{k} \\ 0 & 0 & -5 \\ -6 & 0 & 0 \end{vmatrix} = 30\bar{j}$$

$$\overline{M}_O(\overline{P}_6) = 0.$$

Prin însumare, se obține:

$$\overline{M}_O = -40\bar{i} + 42\bar{j} - 68\bar{k}. \quad (14)$$

2.2.8. Trei forțe de module egale cu P sunt paralele cu axele unui sistem cartezian triortogonal și se află în planele de coordonate la distanțele a, b, c , pe axe (fig. 2.16). Ce relație trebuie să existe între a, b și c pentru ca sistemul de forțe să fie echivalent cu o rezultantă unică? Să se determine, în acest caz, mărimea, direcția și suportul acestei forțe.

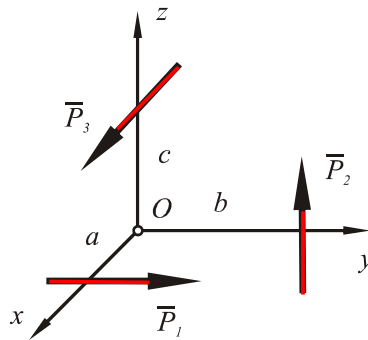


Fig. 2.16

Soluție:

Se efectuează reducerea sistemului de forțe în raport cu polul O .

Elementele torsorului de reducere sunt:

- Vectorul rezultat, având în vedere (2.11) și (2.13), este:

$$R_x = P_3 = P; \quad R_y = P_1 = P; \quad R_z = P_2 = P; \quad \overline{R} = P(\bar{i} + \bar{j} + \bar{k})$$

$$R = P\sqrt{3}. \quad (1)$$

- Momentul rezultat, conform cu (2.12), este:

$$M_x = bP_2 = bP; \quad M_y = cP_3 = cP; \quad M_z = aP_1 = aP$$

$$\bar{M}_O = P(b\bar{i} + c\bar{j} + a\bar{k}). \quad (2)$$

Pentru ca sistemul de forțe să fie echivalent cu o rezultantă unică trebuie ca $\bar{M}_{\min} = 0$:

$$M_{\min} = \frac{\bar{M}_O \cdot \bar{R}}{R} = \frac{P^2(b+c+a)}{P\sqrt{3}} = 0, \quad (3)$$

adică:

$$a + b + c = 0. \quad (4)$$

Ecuția axei centrale, în conformitate cu (2.20), are forma:

$$\bar{r} - \frac{\bar{R} \times \bar{M}_O}{R^2} = \lambda \bar{R}, \quad (5)$$

în care:

$$\bar{R} \times \bar{M}_O = \begin{vmatrix} \bar{i} & \bar{j} & \bar{k} \\ P & P & P \\ Pb & Pc & Pa \end{vmatrix} = P^2[(a-c)\bar{i} + (b-a)\bar{j} + (c-b)\bar{k}] \quad (6)$$

$$\frac{\bar{R} \times \bar{M}_O}{R^2} = \frac{[(a-c)\bar{i} + (b-a)\bar{j} + (c-b)\bar{k}]}{3}. \quad (7)$$

Scrisă scalar, ecuația vectorială (5), având în vedere (1) și (7), devine:

$$x - \frac{a-c}{3} = y - \frac{b-a}{3} = z - \frac{c-b}{3}. \quad (8)$$

În concluzie, vectorul \bar{R} are ca suport dreapta de ecuații (8) care trece prin punctul de coordonate:

$$\left[x = \frac{a-c}{3}; \quad y = \frac{b-a}{3}; \quad z = \frac{c-b}{3} \right].$$

Dacă axa centrală ar trece prin originea O a sistemului de axe, atunci $x = y = z = 0$. În acest caz, între distanțele a , b și c există relația:

$$a = b = c. \quad (9)$$

2.2.9. Să se scrie momentul vectorului forță \bar{F} (3,4,-2) aplicat în punctul $A(2,0,1)$ față de punctul $P(-1,2,0)$, spațiul fiind raportat la un sistem de referință triortogonal $Oxyz$. Să se scrie momentul forței \bar{F} în raport cu axa orientată de la punctul P spre punctul $P_1(5,3,4)$ (fig. 2.17). Dimensiunile forței \bar{F} sunt date în N , iar coordonatele punctelor sunt date în cm .

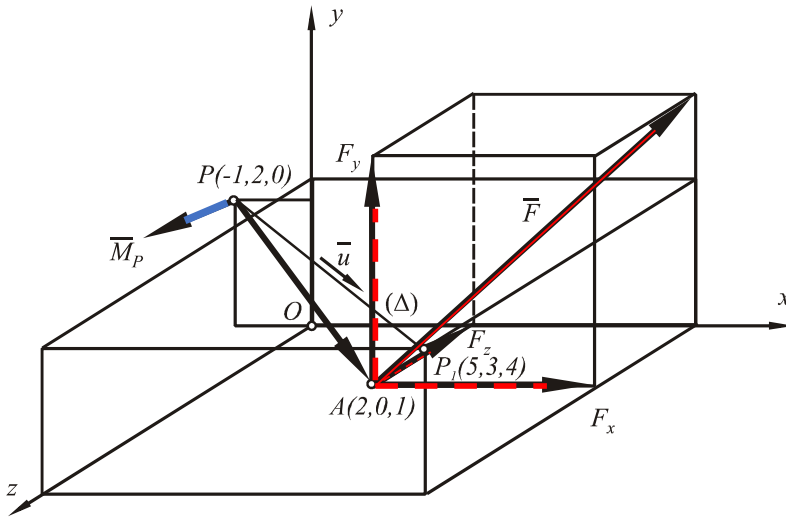


Fig. 2.17

Soluție:

Având în vedere (2.1) și figura 2.17, se poate scrie:

$$\vec{M}_p = \vec{PA} \times \vec{F} = \begin{vmatrix} \vec{i} & \vec{j} & \vec{k} \\ x_A - x_p & y_A - y_p & z_A - z_p \\ F_x & F_y & F_z \end{vmatrix} = 9\vec{j} + 18\vec{k}. \quad (1)$$

Luând în considerare datele numerice, modulul vectorului \vec{M}_p este

$$M_p = 20,2 \text{ Ncm}. \quad (2)$$

Momentul axial al forței \vec{F} în raport cu axa PP_1 este:

$$M_\Delta = \vec{M}_p \cdot \vec{u}, \quad (3)$$

unde \vec{u} este versorul axei \vec{PP}_1 și are expresia:

$$\vec{u} = \frac{\vec{PP}_1}{|\vec{PP}_1|} = \frac{(x_{p1} - x_p)\vec{i} + (y_{p1} - y_p)\vec{j} + (z_{p1} - z_p)\vec{k}}{\sqrt{(x_{p1} - x_p)^2 + (y_{p1} - y_p)^2 + (z_{p1} - z_p)^2}}$$

$$\vec{u} = \frac{6\vec{i} + \vec{j} + 4\vec{k}}{\sqrt{53}}. \quad (4)$$

Astfel:

$$M_\Delta = \vec{M}_p \cdot \vec{u} = \frac{1}{\sqrt{53}} (0 \cdot 6 + 9 \cdot 1 + 18 \cdot 4) = 11,1 \text{ N}\cdot\text{cm} \quad (5)$$

2.2.10. Fiind dat un tetraedru $SABC$ în care muchiile $SA = SB = SC = a$ sunt perpendiculare două câte două, să se reducă sistemul de forțe: $\overline{SA}, \overline{SB}, \overline{SC}, \overline{AB}, \overline{BC}, \overline{CA}$ în raport cu S (fig. 2.18). Să se arate că S aparține axei centrale a sistemului dat.

Soluție:

Elementele tursorului de reducere în raport cu punctul S sunt:

- Vectorul rezultat:

$$\overline{R} = R_x \overline{i} + R_y \overline{j} + R_z \overline{k} . \quad (1)$$

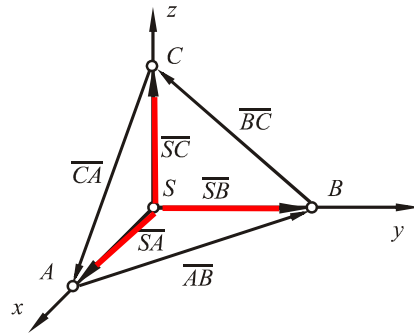


Fig. 2.18

Dar:

$$\begin{aligned} R_x &= SA + CA \frac{\sqrt{2}}{2} - AB \frac{\sqrt{2}}{2} = a \\ R_y &= SB + AB \frac{\sqrt{2}}{2} - BC \frac{\sqrt{2}}{2} = a \\ R_z &= SC + BC \frac{\sqrt{2}}{2} - CA \frac{\sqrt{2}}{2} = a, \end{aligned} \quad (2)$$

astfel că:

$$\overline{R} = a(\overline{i} + \overline{j} + \overline{k}) . \quad (3)$$

- Momentul rezultat:

$$\bar{M}_S = \bar{SA} \times \bar{AB} + \bar{SB} \times \bar{BC} + \bar{SC} \times \bar{CA} = \begin{vmatrix} \bar{i} & \bar{j} & \bar{k} \\ a & 0 & 0 \\ -a & a & 0 \end{vmatrix} + \begin{vmatrix} \bar{i} & \bar{j} & \bar{k} \\ 0 & a & 0 \\ 0 & -a & a \end{vmatrix} + \begin{vmatrix} \bar{i} & \bar{j} & \bar{k} \\ 0 & 0 & a \\ a & 0 & -a \end{vmatrix}$$

$$\bar{M}_S = a^2(\bar{i} + \bar{j} + \bar{k}). \quad (4)$$

Axa centrală a sistemului de forțe, în conformitate cu (2.20), are ecuația:

$$\bar{r} - \frac{\bar{R} \times \bar{M}_S}{R^2} = \lambda \bar{R} \quad (5)$$

Ținând cont de (3) și (4), se obține:

$$\bar{R} \times \bar{M}_S = \begin{vmatrix} \bar{i} & \bar{j} & \bar{k} \\ a & a & a \\ a^2 & a^2 & a^2 \end{vmatrix} = 0$$

iar (5) devine:

$$\bar{r} = \lambda \bar{R} \quad \text{sau} \quad \frac{x}{R_x} = \frac{y}{R_y} = \frac{z}{R_z}. \quad (6)$$

adică

$$x = y = z. \quad (7)$$

Expresia (7) reprezintă o dreaptă ce trece prin originea S a sistemului $Sxyz$, astfel că punctul S se află pe axa centrală.

2.2.11. Pe muchiile și diagonala unei prisme drepte cu baza un pătrat de latură $l = 6 \text{ m}$ și înălțimea $h = 8 \text{ m}$, este dirijat ca în figură un sistem de forțe de module $P_1 = 2 \text{ N}$, $P_2 = 3 \text{ N}$, $P_3 = 10 \text{ N}$, $P_4 = 6 \text{ N}$, $P_5 = 5 \text{ N}$ (fig. 2.19).

Să se efectueze reducerea canonică a sistemului de forțe.

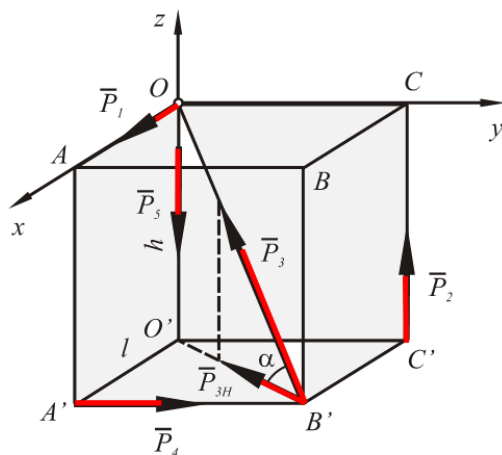


Fig. 2.19

Soluție:

Din $\Delta O'B'C'$ și $\Delta OO'B'$ se obțin:

$$O'B' = l\sqrt{2} = 6\sqrt{2} \text{ m}$$

$$OB' = \sqrt{O'B'^2 + O'O^2} = \sqrt{2 \cdot 36 + 64} = 11,69 \text{ m.}$$

Elementele torsorului de reducere în raport cu O sunt :

- Vectorul rezultat:

$$R = R_x \bar{i} + R_y \bar{j} + R_z \bar{k}, \quad (1)$$

unde:

$$R_x = P_1 - P_{3H} \frac{\sqrt{2}}{2}.$$

Dar

$$P_{3H} = P_3 \cos \alpha = 10 \frac{6\sqrt{2}}{11,69} = 7,25 \text{ N}$$

astfel că:

$$R_x = 2 - 7,25 \frac{\sqrt{2}}{2} = -3,145 \text{ N};$$

$$R_y = P_4 - P_{3H} \frac{\sqrt{2}}{2} = 6 - 7,25 \frac{\sqrt{2}}{2} = 0,855 \text{ N};$$

$$R_z = P_2 - P_5 + P_3 \sin \alpha = 3 - 5 + 10 \frac{8}{11,69} = 4,861 N .$$

Relația (1) devine astfel:

$$\bar{R} = 3,145 \bar{i} + 0,855 \bar{j} + 4,861 \bar{k} . \quad (2)$$

Modulul forței rezultante este:

$$R = \sqrt{3,145^2 + 0,855^2 + 4,461^2} = 5,85 N . \quad (3)$$

- Momentul rezultat:

$$\bar{M}_O = \overline{OC} \times \bar{P}_2 + \overline{OA} \times \bar{P}_4 = \begin{vmatrix} \bar{i} & \bar{j} & \bar{k} \\ 0 & 6 & 0 \\ 0 & 0 & 3 \end{vmatrix} + \begin{vmatrix} \bar{i} & \bar{j} & \bar{k} \\ 6 & 0 & -8 \\ 0 & 6 & 0 \end{vmatrix} = 66 \bar{i} + 36 \bar{k} . \quad (4)$$

În conformitate cu (2.20), axa centrală a sistemului de forțe are ecuația:

$$\bar{r} - \frac{\bar{R} \times \bar{M}_O}{R^2} = \lambda \bar{R} , \quad (5)$$

în care:

$$\frac{\bar{R} \times \bar{M}_O}{R^2} = \frac{\begin{vmatrix} \bar{i} & \bar{j} & \bar{k} \\ -3,145 & 0,855 & 4,861 \\ 66 & 0 & 36 \end{vmatrix}}{5,85^2} = 0,902 \bar{i} - 12,7 \bar{j} + 1,65 \bar{k} . \quad (6)$$

Ecuația vectorială (5) se poate scrie, ținând cont de (2), (3) și (6), sub formă scalară:

$$\frac{x - 0,902}{-3,145} = \frac{y + 12,7}{0,855} = \frac{z - 1,65}{4,861} . \quad (7)$$

Punctul în care axa centrală intersectează planul xOy are coordonatele:

$$x = 1,977 \text{ m}; \quad y = -12,99 \text{ m} . \quad (8)$$

Elementele torsorului minim sunt:

- rezultanta sistemului:

$$\bar{R} = -3,145 \bar{i} + 0,855 \bar{j} + 4,861 \bar{k}; \quad (9)$$

- momentul minim:

$$\bar{M}_{\min} = \frac{\bar{M}_O \cdot \bar{R}}{R^2} \cdot \bar{R} = \frac{-3,145 \cdot 66 + 4,861 \cdot 36}{5,85^2} (-3,145 \bar{i} + 0,855 \bar{j} + 4,861 \bar{k}),$$

$$\bar{M}_{\min} = 3,05 \bar{i} - 0,83 \bar{j} - 4,73 \bar{k}. \quad (10)$$

2.2.12. Se consideră un con circular drept având raza cercului de bază r și unghiul la vârf 2α . Asupra conului acționează forțele $\bar{F}_1, \bar{F}_2, \bar{F}_3, \bar{F}_4, \bar{F}_5$ ca în figura 2.20. Să se efectueze reducerea canonică a acestui sistem de forțe. Modulele forțelor au valoarea F .

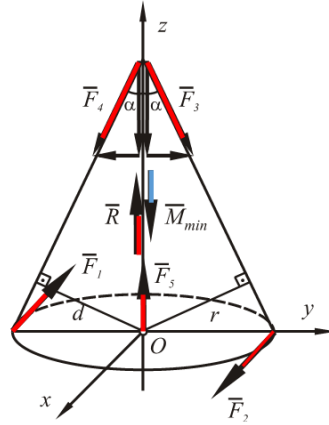


Fig. 2.20

Soluție:

Întrucât prin reducere canonică se înțelege reducere în raport cu punctele axei centrale, se determină torsorul de reducere al sistemului de cinci forțe în raport cu polul O , apoi torsorul minim și ecuațiile axei centrale.

Elementele torsorului de reducere în raport cu punctul O sunt:

- vectorul rezultat:

$$\bar{R} = R_x \bar{i} + R_y \bar{j} + R_z \bar{k}, \quad (1)$$

relație în care:

$$R_x = \sum_{i=1}^5 F_{ix} = F_2 - F_1 = 0$$

$$R_y = \sum_{i=1}^5 F_{iy} = F_3 \sin \alpha - F_4 \sin \alpha = 0 \quad (2)$$

$$R_z = \sum_{i=1}^5 F_{iz} = F_5 - F_3 \cos \alpha - F_4 \cos \alpha = F(1 - 2 \cos \alpha).$$

Modulul vectorului rezultat este:

$$R = \sqrt{R_x^2 + R_y^2 + R_z^2} = F(1 - 2 \cos \alpha). \quad (3)$$

- momentul rezultat:

Pentru determinarea componentelor carteziene ale momentului rezultat \bar{M}_O se aplică următoarea proprietate: dacă o forță este paralelă cu o axă sau o intersectează, nu dă moment în raport cu acea axă. Astfel:

$$\bar{M}_O = M_x \bar{i} + M_y \bar{j} + M_z \bar{k} \quad (4)$$

unde:

$$M_x = F_4 d - F_3 d = 0$$

$$M_y = 0 \quad (5)$$

$$M_z = -2rF_1 = -2rF$$

Modulul momentului rezultat este:

$$M_O = \sqrt{M_x^2 + M_y^2 + M_z^2} = 2rF. \quad (6)$$

Axa centrală a sistemului de forțe, în conformitate cu (2.19), are ecuația:

$$\frac{M_x - yR_z + zR_y}{R_x} = \frac{M_y - zR_x + xR_z}{R_y} = \frac{M_z - xR_y + yR_x}{R_z}. \quad (7)$$

Înlocuind (2) și (4) în (7), se obține:

$$x = y = 0; \quad z = z, \quad (8)$$

adică axa centrală este axa Oz , care constituie suportul elementelor torsesorului minim, \bar{R} și \bar{M}_{\min} .

Momentul minim, conform cu (2.17), are valoarea:

$$M_{\min} = \frac{R_x M_x + R_y M_y + R_z M_z}{\sqrt{R_x^2 + R_y^2 + R_z^2}} = -2rF. \quad (9)$$

Analizând rezultatele, se constată că sistemul inițial de cinci forțe se reduce la un vector rezultat \bar{R} și la un moment rezultat minim, vectori plasați pe axa Oz având sensuri contrare datorită semnului „-“ al momentului minim.

Dacă $1 - 2 \cos \alpha > 0$, vectorul rezultat este în sensul pozitiv al axei Oz .

Dacă $1 - 2 \cos \alpha < 0$, vectorul rezultat este în sens invers sensului axei Oz .

2.2.13. Să se determine elementele torsorului de reducere în raport cu polul O , momentul minim și ecuațiile axei centrale pentru sistemul de șapte forțe \vec{F}_i , $i=1 \div 7$, care acționează asupra unui corp sferic de rază r , știind că modulele forțelor au aceeași valoare F (fig. 2.21).

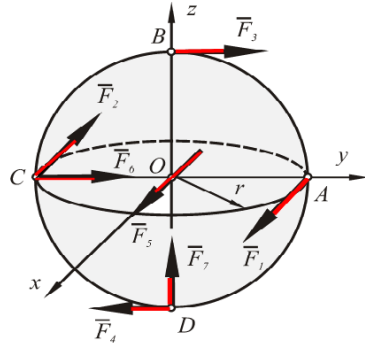


Fig. 2.21

Soluție:

Elementele torsorului de reducere în raport cu punctul O sunt:

- vectorul rezultat:

$$\vec{R} = R_x \vec{i} + R_y \vec{j} + R_z \vec{k}, \quad (1)$$

în care:

$$\begin{aligned} R_x &= \sum_{i=1}^7 F_{i_x} = F_5 = F \\ R_y &= \sum_{i=1}^7 F_{i_y} = F_6 = F \\ R_z &= \sum_{i=1}^7 F_{i_z} = F_7 = F. \end{aligned} \quad (2)$$

Modulul vectorului rezultat are valoarea:

$$R = \sqrt{R_x^2 + R_y^2 + R_z^2} = F\sqrt{3}. \quad (3)$$

- momentul rezultat: la determinarea acestui moment se are în vedere că forțele $\vec{F}_1, \vec{F}_2; \vec{F}_3, \vec{F}_4$ formează cupluri, iar forțele $\vec{F}_5, \vec{F}_6, \vec{F}_7$, trecând prin O , nu dau moment în raport cu acest punct. Astfel:

$$M_x = -2rF_3 = -2rF; \quad M_y = 0; \quad M_z = -2rF_1 = -2rF. \quad (4)$$

Modulul momentului rezultat este:

$$M_O = \sqrt{M_x^2 + M_y^2 + M_z^2} = 2\sqrt{2}rF. \quad (5)$$

Momentul minim, în conformitate cu (2.17) are expresia:

$$M_{\min} = \frac{R_x M_x + R_y M_y + R_z M_z}{\sqrt{R_x^2 + R_y^2 + R_z^2}} = \frac{F \cdot (-2rF) + F \cdot 0 + F(-2rF)}{F\sqrt{3}} = -\frac{4r}{\sqrt{3}} F. \quad (6)$$

Ecuțiile axei centrale, conform cu (2.19), sunt:

$$\frac{M_x - yR_z + zR_y}{R_x} = \frac{M_y - zR_x + xR_z}{R_y} = \frac{M_z - xR_y + yR_x}{R_z}, \quad (7)$$

care, având în vedere (2) și (4), devin succesiv:

$$\frac{-2rF - F \cdot y + F \cdot z}{F} = \frac{0 - F \cdot z + F \cdot x}{F} = \frac{-2rF - F \cdot x + F \cdot y}{F}$$

$$z - y - 2r = x - z = y - x - 2r. \quad (8)$$

2.2.14. În vârfurile unei plăci orizontale pătrate $OABC$ de latura a și de greutate neglijabilă, acționează forțele verticale \bar{F} , $2\bar{F}$, $3\bar{F}$, $4\bar{F}$.

Să se determine valoarea tensiunii \bar{S} din firul de suspensie DM și poziția punctului D astfel ca placa suspendată în D să rămână în echilibru (fig. 2.22).

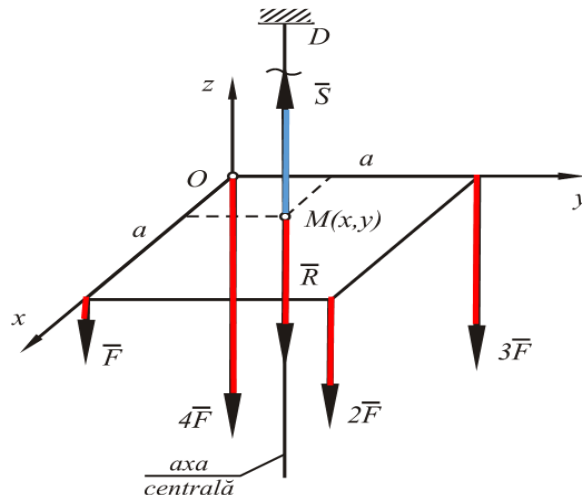


Fig. 2.22

Soluție:

Sistemul de patru forțe care acționează asupra plăcii $OABC$ este un sistem de forțe paralele, care se reduce la o rezultantă unică în raport cu punctele axei

centrale.

Cum placa trebuie să stea în echilibru suspendată prin firul DM , acesta se suprapune peste axa centrală a sistemului de forțe. Tensiunea \bar{S} din fir trebuie să echilibreze pe axa centrală rezultanta \bar{R} a sistemului de forțe, adică $\bar{S} = -\bar{R}$. În consecință, se reduce sistemul de patru forțe în raport cu O și în raport cu punctele axei centrale, apoi se impune condiția ca axa centrală să treacă prin punctul $D(x, y)$.

Elementele torsorului de reducere în raport cu polul O sunt:

- Vectorul (forța) resultant(ă):

$$\bar{R} = R_x \bar{i} + R_y \bar{j} + R_z \bar{k} \quad (1)$$

și are componentele:

$$R_x = \sum_{i=1}^4 F_{ix} = 0; \quad R_y = \sum_{i=1}^4 F_{iy} = 0; \quad R_z = \sum_{i=1}^4 F_{iz} = -10F. \quad (2)$$

Modulul vectorului resultant are valoarea:

$$R = \sqrt{R_x^2 + R_y^2 + R_z^2} = 10F. \quad (3)$$

- Momentul resultant: Pentru determinarea momentului resultant se aplică proprietatea conform căreia, dacă o forță este paralelă cu o axă sau o intersectează, nu dă moment în raport cu axa respectivă. Rezultă astfel,

$$M_x = -5aF, \quad M_y = 3aF, \quad M_z = 0. \quad (4)$$

Modulul momentului resultant are valoarea:

$$M_O = \sqrt{M_x^2 + M_y^2 + M_z^2} = a\sqrt{34}F. \quad (5)$$

Momentul minim are valoarea nulă, forțele sistemului fiind paralele. Axa centrală, în conformitate cu (2.21), are ecuațiile:

$$\frac{x - \frac{R_y M_z - R_z M_y}{R^2}}{R_x} = \frac{y - \frac{R_z M_x - R_x M_z}{R^2}}{R_y} = \frac{z - \frac{R_x M_y - R_y M_x}{R^2}}{R_z}, \quad (6)$$

care, având în vedere (2) și (4) și impunând condiția ca axa să treacă prin punctul $M(x, y)$, adică $z = 0$, ajung la forma:

$$x = \frac{0 + 10F \cdot 3aF}{100F^2} = \frac{3a}{10}, \quad y = \frac{-10F(-5aF) - 0}{100F^2} = \frac{a}{2},$$

din care se obțin coordonatele x și y ale punctului M :

$$x = \frac{3a}{10}, \quad y = \frac{a}{2}. \quad (7)$$

Tensiunea \bar{S} din firul de suspensie DM are valoarea $S = 10F$.

2.2.15. Asupra unei prisme drepte acționează sistemul celor trei forțe arătat în fig.2.23. Să se reducă sistemul de forțe în raport cu vârful O și să se determine coordonatele punctului în care axa centrală intersectează planul forței orizontale $OABC$.

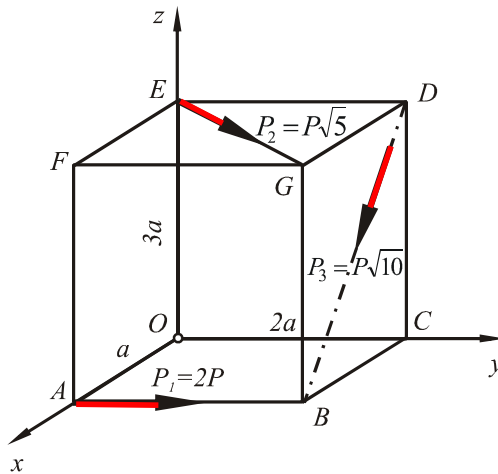


Fig. 2.23

Soluție:

Elementele torsorului de reducere în raport cu O sunt:

- vectorul rezultat:

$$\bar{R} = R_x \bar{i} + R_y \bar{j} + R_z \bar{k}, \quad (1)$$

unde:

$$R_x = P\sqrt{5} \frac{EF}{EG} + P\sqrt{10} \frac{BC}{BD}$$

$$R_x = P\sqrt{5} \frac{a}{a\sqrt{5}} + P\sqrt{10} \frac{a}{a\sqrt{10}} = 2P$$

$$R_y = 2P + P\sqrt{5} \frac{ED}{EG}$$

$$R_y = 2P + P\sqrt{5} \frac{2a}{a\sqrt{5}} = 4P$$

$$R_z = -P\sqrt{10} \frac{DC}{BD} = -P\sqrt{10} \frac{3a}{a\sqrt{10}} = -3P,$$

astfel că (1) ajunge la forma:

$$\bar{R} = P(2\bar{i} + 4\bar{j} - 3\bar{k}). \quad (2)$$

▪ momentul rezultat:

$$\bar{M}_O = \overline{OA} \times \bar{P}_1 + \overline{OE} \times \bar{P}_2 + \overline{OB} \times \bar{P}_3 = \begin{vmatrix} \bar{i} & \bar{j} & \bar{k} \\ a & 0 & 0 \\ 0 & 2P & 0 \end{vmatrix} + \begin{vmatrix} \bar{i} & \bar{j} & \bar{k} \\ 0 & 0 & 3a \\ P & 2P & 0 \end{vmatrix} + \begin{vmatrix} \bar{i} & \bar{j} & \bar{k} \\ a & 2a & 0 \\ P & 0 & -3P \end{vmatrix}$$

$$\bar{M}_O = -12aP\bar{i} + 6aP\bar{j}. \quad (3)$$

Ecuția vectorială a axei centrale este:

$$\bar{r} - \frac{\bar{R} \times \bar{M}_O}{R^2} = \lambda \bar{R}, \quad (4)$$

în care:

$$\frac{\bar{R} \times \bar{M}_O}{R^2} = \frac{\begin{vmatrix} \bar{i} & \bar{j} & \bar{k} \\ 2P & 4P & -3P \\ -12aP & 6aP & 0 \end{vmatrix}}{29P^2} = \frac{6a}{29}(3\bar{i} + 6\bar{j} + 10\bar{k}). \quad (5)$$

Ecuția (4), ținând cont de (2) și (5), se poate scrie:

$$\frac{x - \frac{18a}{29}}{2P} = \frac{y - \frac{36a}{29}}{4P} = \frac{z - \frac{60a}{29}}{3P}$$

sau:

$$2x - y = 0, \quad 3x + 2z - \frac{174a}{29} = 0. \quad (6)$$

Coordonatele punctului în care axa centrală intersectează planul xOy sunt:

$$x = \frac{58a}{29}, \quad y = \frac{116a}{29}, \quad z = 0. \quad (7)$$

2.2.16. Să se arate că orice vector alunecător \bar{v} este echivalent în mod unic cu un sistem de șase vectori dirijați după muchiile unui tetraedru orientat $SABC$ (muchiiile sunt orientate în sensul SA, SB, SC, AB, BC, CA , iar conturul ABC se vede din S , parcurs în sens orar). Dacă mărimile algebrice ale acestor vectori sunt $\alpha, \beta, \gamma, \alpha', \beta', \gamma'$ (fig. 2.24), să se arate că:

$$\frac{\alpha\alpha'}{aa'} + \frac{\beta\beta'}{bb'} + \frac{\gamma\gamma'}{cc'} = 0.$$

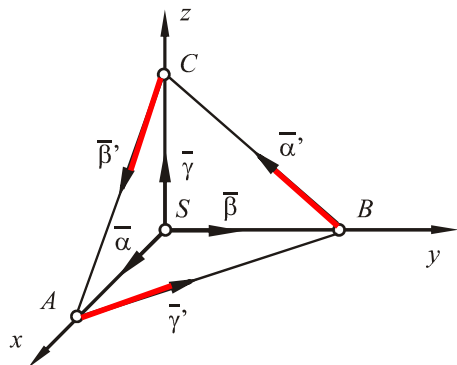


Fig. 2.24

Soluție:

Pentru ca două sisteme de vectori să fie echivalente este necesar și suficient ca torsorul de reducere al acestor sisteme într-un punct să fie același. Sistemul dat poate fi redus în raport cu S și pentru a fi echivalent în mod unic cu vectorul \bar{v} , trebuie ca invariantul scalar $J = \bar{R} \cdot \bar{M}_S = 0$.

Se notează:

$$SA = a, \quad SB = b, \quad SC = c,$$

$$BC = a', \quad CA = b', \quad AB = c'.$$

Elementele torsorului de reducere în raport cu S sunt:

- Vectorul rezultat:

$$\bar{R} = R_x \bar{i} + R_y \bar{j} + R_z \bar{k}, \quad (1)$$

unde:

$$R_x = \alpha - \gamma' \frac{a}{c'} + \beta' \frac{a}{b'},$$

$$R_y = \beta - \alpha' \frac{b}{a'} + \gamma' \frac{b}{c'},$$

$$R_z = \gamma - \beta' \frac{c}{b'} + \alpha' \frac{c}{a'}.$$

(2)

- Momentul rezultat:

$$\begin{aligned}\overline{M}_S &= \overline{SA} \times \overline{\gamma'} + \overline{SB} \times \overline{\alpha'} + \overline{SC} \times \overline{\beta'} \\ \overline{M}_S &= \begin{vmatrix} \bar{i} & \bar{j} & \bar{k} \\ a & 0 & 0 \\ -\gamma' \frac{a}{c'} & \gamma' \frac{b}{c'} & 0 \end{vmatrix} + \begin{vmatrix} \bar{i} & \bar{j} & \bar{k} \\ 0 & b & 0 \\ 0 & -\alpha' \frac{b}{a'} & \alpha' \frac{c}{a'} \end{vmatrix} + \begin{vmatrix} \bar{i} & \bar{j} & \bar{k} \\ 0 & 0 & c \\ \beta' \frac{a}{b'} & 0 & -\beta' \frac{c}{b'} \end{vmatrix} \\ \overline{M}_S &= \frac{bc}{a'} \alpha' \bar{i} + \frac{ca}{b'} \beta' \bar{j} + \frac{ab}{c'} \gamma' \bar{k} .\end{aligned}\quad (3)$$

Astfel,

$$\begin{aligned}J = \overline{R} \cdot \overline{M}_S &= \left(\alpha - \gamma' \frac{a}{c'} + \beta' \frac{a}{b'} \right) \frac{bc}{a'} \alpha' + \left(\beta - \frac{b}{a'} + \gamma' \frac{b}{c'} \right) \frac{ca}{b'} \beta' + \\ &+ \left(\gamma - \beta' \frac{c}{b'} + \alpha' \frac{c}{a'} \right) \frac{ab}{c'} \gamma' \\ J &= abc \left(\frac{\alpha \alpha'}{aa'} + \frac{\beta \beta'}{bb'} + \frac{\gamma \gamma'}{cc'} \right) = 0.\end{aligned}\quad (4)$$

Condiția ca sistemul de vectori dat să fie echivalent în mod unic cu vectorul \overline{v} este:

$$\frac{\alpha \alpha'}{aa'} + \frac{\beta \beta'}{bb'} + \frac{\gamma \gamma'}{cc'} = 0. \quad (5)$$

2.2.17. Asupra unui paralelipiped cu laturile de 2, 3, 4 *dm* acționează trei forțe ale căror module sunt: $F_1 = 110 \text{ N}$, $F_2 = 100 \text{ N}$, $F_3 = 60 \text{ N}$ (fig. 2.25). Să se reducă sistemul de forțe în raport cu punctul O și să se determine momentul minim și axa centrală.

Soluție:

Elementele torsorului de reducere în raport cu punctul O sunt:

- Vectorul rezultat:

$$\overline{R} = R_x \bar{i} + R_y \bar{j} + R_z \bar{k}, \quad (1)$$

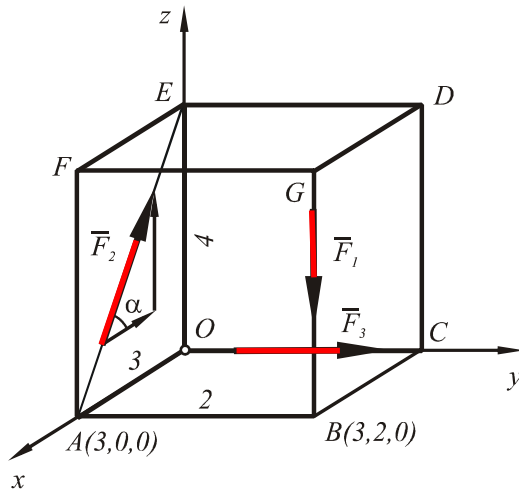


Fig. 2.25

în care:

$$\begin{aligned}
 R_x &= \sum_{i=1}^3 F_{ix} = 0 - F_2 \cos \alpha + 0 = -100 \frac{3}{5} = -60N \\
 R_y &= \sum_{i=1}^3 F_{iy} = 0 + F_3 + 0 = 60N \\
 R_z &= \sum_{i=1}^3 F_{iz} = -F_1 + F_2 \sin \alpha + 0 = -110 + 100 \frac{4}{5} = -30N .
 \end{aligned}
 \tag{2}$$

Modulul vectorului rezultat are valoarea:

$$R = \sqrt{R_x^2 + R_y^2 + R_z^2} = 90N .
 \tag{3}$$

- Momentul rezultat: pentru determinarea componentelor M_x, M_y, M_z ale momentului rezultat pe axele sistemului cartezian $Oxyz$ se folosesc relațiile (2.12) și tabelul 2.1, cu observația că forța \vec{F}_3 , trecând prin O , nu dă moment în raport cu acest punct. Astfel,

$$M_x = \sum_{i=1}^2 (y_i F_{iz} - z_i F_{iy}) = 2 \cdot (-110) + 0 \cdot 80 - 0 \cdot 0 - 0 \cdot 0 = -220 \text{ Ndm}$$

$$M_y = \sum_{i=1}^2 (z_i F_{ix} - x_i F_{iz}) = 0 \cdot 0 + 0 \cdot (-60) - 3 \cdot (-110) - 3 \cdot 80 = 90 \text{ Ndm} \quad (4)$$

$$M_z = \sum_{i=1}^2 (x_i F_{iy} - y_i F_{ix}) = 3 \cdot 0 + 3 \cdot 0 - 2 \cdot 0 - 0 \cdot (-60) = 0.$$

Tabelul 2.1

	\bar{F}_1	\bar{F}_2
Ox	0	-60
Oy	0	0
Oz	-110	80
x	3	3
y	2	0
z	0	0

Modulul momentului rezultat este:

$$M_o = \sqrt{M_x^2 + M_y^2 + M_z^2} = 237,70 \text{ Ndm} . \quad (5)$$

Momentul minim are valoarea:

$$M_{\min} = \frac{R_x M_x + R_y M_y + R_z M_z}{\sqrt{R_x^2 + R_y^2 + R_z^2}} = \frac{60 \cdot 220 + 60 \cdot 90 - 30 \cdot 0}{90} = 206,66 \text{ Ndm} . \quad (6)$$

În conformitate cu (2.19), ecuațiile axei centrale sunt:

$$\frac{M_x - yR_z + zR_y}{R_x} = \frac{M_y - zR_x + xR_z}{R_y} = \frac{M_z - xR_y + yR_x}{R_z} . \quad (7)$$

Introducând (2) și (4) în (7), se obține:

$$-1,5y - 3z + 11 = -1,5x + 3z + 4,5 = 6x + 6y . \quad (8)$$

2.2.18. Asupra unei prisme triunghiulare, regulate, de latură a și înălțime $2a$ acționează un sistem de cinci forțe $F_1 = F_2 = F_3 = F_4 = P$, $F_5 = P\sqrt{2}$ (fig. 2.26). Se cere să se reducă sistemul de forțe în punctul O , să se determine momentul minim și axa centrală.

Soluție:

Se alege un sistem de referință $Oxyz$ care să coincidă cu muchiile prismei (fig. 2.26).

Se proiectează apoi forțele și momentele forțelor pe axele sistemului de referință, determinându-se componentele scalare ale vectorului rezultat \bar{R} și ale vectorului moment rezultat \bar{M}_0 . Astfel,

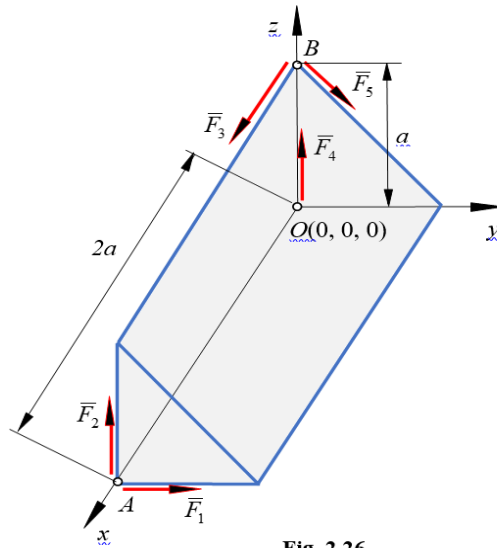


Fig. 2.26

Vectorul rezultat:

$$\bar{R} = R_x \bar{i} + R_y \bar{j} + R_z \bar{k} . \quad (1)$$

$$R_x = \sum_{i=1}^n F_{i_x} = F_3 = P$$

$$R_y = \sum_{i=1}^n F_{i_y} = F_1 + F_5 \sin 45^\circ = 2P \quad (2)$$

$$R_z = \sum_{i=1}^n F_{i_z} = F_2 + F_4 - F_5 \cos 45^\circ = P .$$

Modulul vectorului rezultat este:

$$R = \sqrt{R_x^2 + R_y^2 + R_z^2} = P\sqrt{6} , \quad (3)$$

iar direcția este dată de cosinusurile directoare pe care le face vectorul rezultat al sistemului de forțe cu axele sistemului de referință $Oxyz$, adică:

$$\cos \alpha = \frac{R_x}{R} = \frac{1}{\sqrt{6}}; \quad \cos \beta = \frac{R_y}{R} = \frac{2}{\sqrt{6}}; \quad \cos \gamma = \frac{R_z}{R} = \frac{1}{\sqrt{6}}. \quad (4)$$

Momentul rezultat:

$$\bar{M}_0 = M_x \bar{i} + M_y \bar{j} + M_z \bar{k}. \quad (5)$$

$$M_x = \sum_{i=1}^n M_{i_x} = -aP; \quad M_y = \sum_{i=1}^n M_{i_y} = -aP; \quad M_z = \sum_{i=1}^n M_{i_z} = 2aP. \quad (6)$$

Modulul lui \bar{M}_0 este dat de:

$$M_0 = \sqrt{M_x^2 + M_y^2 + M_z^2} = aP\sqrt{6}. \quad (7)$$

Direcțiile pe care le face momentul rezultat \bar{M}_0 cu axele sistemului de referință sunt date de următoarele cosinusuri directoare:

$$\cos \alpha' = \frac{M_x}{M_0} = \frac{-1}{\sqrt{6}}; \quad \cos \beta' = \frac{M_y}{M_0} = \frac{-1}{\sqrt{6}}; \quad \cos \gamma' = \frac{M_z}{M_0} = \frac{2}{\sqrt{6}}. \quad (8)$$

Pentru determinarea momentului minim se aplică prima relație (2.17). Astfel,

$$M_{\min} = \frac{\bar{M}_0 \cdot \bar{R}}{|\bar{R}|} = \frac{M_x R_x + M_y R_y + M_z R_z}{\sqrt{R_x^2 + R_y^2 + R_z^2}} = \frac{-aP}{\sqrt{6}}. \quad (9)$$

Ecuțiile scalare ale axei centrale sunt date de relațiile (2.19).

$$\frac{M_x - yR_z + zR_y}{R_x} = \frac{M_y - zR_x + xR_z}{R_y} = \frac{M_z - xR_y + yR_x}{R_z}. \quad (10)$$

Înlocuind în relația (10) valorile scalare ale vectorului rezultat și ale momentului rezultat, ecuațiile axei centrale devin:

$$\frac{-aP - yP_z + z2P}{P} = \frac{-aP - zP + xP}{2P} = \frac{2aP - x2P + yP}{P}, \quad (11)$$

respectiv,

$$\begin{aligned} x + y - 3z &= 0 \\ 5x - 2y - z &= 5a. \end{aligned} \quad (12)$$

Pentru $z = 0$, ecuațiile axei centrale devin:

$$\begin{cases} x + y = 0 \\ 5x - 2y = 5a \end{cases} \quad (13)$$

Axa centrală intersectează planul xOy în punctul de coordonate $\left(x = \frac{5}{7}a; y = -x = -\frac{5}{7}a\right)$, valori ce rezultă prin rezolvarea sistemului (13).

2.2.19. Se dau forțele $F_i = iF$, unde $|\vec{F}_i| = a$, $i = 1 \div 3$ și punctul $A(a, a, a)$ (fig. 2.27). Să se determine torsorul de reducere în raport cu polul O , trinomial invariant $\vec{R} \cdot \vec{M}_0 = 0$, momentul minim, axa centrală, precum și punctul de intersecție al acestora cu planul de coordonate xOy .

Soluție:

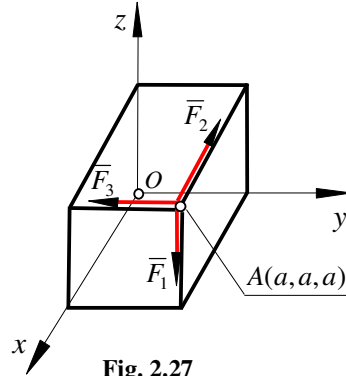


Fig. 2.27

Din enunț se cunoaște că: $F_1 = F$, $F_2 = 2F$, $F_3 = 3F$. Astfel, vectorul rezultat are componentele pe axele sistemului de referință $Oxyz$:

$$\begin{aligned}
R_x &= \sum_{i=1}^n F_{i_x} = -F_2 = -2F \\
R_y &= \sum_{i=1}^n F_{i_y} = -F_3 = -3F \\
R_z &= \sum_{i=1}^n F_{i_z} = -F_1 = -F .
\end{aligned} \tag{1}$$

Modulul lui R este:

$$R = \sqrt{R_x^2 + R_y^2 + R_z^2} = F\sqrt{14}. \tag{2}$$

Cosinusurile unghiurilor pe care le încheie vectorul rezultat al sistemului de forțe cu axele sistemului de referință $Oxyz$, sunt:

$$\cos \alpha = \frac{R_x}{R} = \frac{-2}{\sqrt{14}}; \quad \cos \beta = \frac{R_y}{R} = \frac{-3}{\sqrt{14}}; \quad \cos \gamma = \frac{R_z}{R} = \frac{-1}{\sqrt{14}}. \tag{3}$$

Momentul rezultat se determină astfel:

$$\bar{M}_0 = M_x \bar{i} + M_y \bar{j} + M_z \bar{k}. \tag{4}$$

unde:

$$\begin{aligned}
M_x &= \sum_{i=1}^n M_{i_x} = F_3 a - F_1 a = 2Fa; \\
M_y &= \sum_{i=1}^n M_{i_y} = F_1 a - F_2 a = -Fa; \\
M_z &= \sum_{i=1}^n M_{i_z} = -F_3 a + F_2 a = -Fa .
\end{aligned} \tag{5}$$

Modulul lui \bar{M}_0 este dat de relația:

$$M_0 = \sqrt{M_x^2 + M_y^2 + M_z^2} = Fa\sqrt{6}. \tag{6}$$

Direcția momentului rezultat este dată de următoarele cosinusuri directoare:

$$\cos \alpha' = \frac{M_x}{M_0} = \frac{2}{\sqrt{6}}; \quad \cos \beta' = \frac{M_y}{M_0} = \frac{-1}{\sqrt{6}}; \quad \cos \gamma' = \frac{M_z}{M_0} = \frac{1}{\sqrt{6}}. \tag{7}$$

Pentru determinarea momentului minim se aplică relația (2.17), în care se înlocuiesc valorile proiecțiilor vectorului rezultat și ale momentului rezultat calculate anterior. Astfel,

$$M_{\min} = \frac{\overline{M}_0 \cdot \overline{R}}{|\overline{R}|} = \frac{M_x R_x + M_y R_y + M_z R_z}{\sqrt{R_x^2 + R_y^2 + R_z^2}} = \frac{0}{F\sqrt{14}} = 0. \quad (8)$$

Ecuțiile scalare ale axei centrale sunt date de relațiile (2.19):

$$\frac{M_x - yR_z + zR_y}{R_x} = \frac{M_y - zR_x + xR_z}{R_y} = \frac{M_z - xR_y + yR_x}{R_z}. \quad (9)$$

Prin înlocuire în relația (9) a valorilor scalare ale vectorului rezultat și ale momentului rezultat, ecuațiile axei centrale devin:

$$\frac{2Fa - y(-F) + z(-3F)}{-2F} = \frac{-Fa - z(-2F) + x(-F)}{-3F} = \frac{-Fa - x(-3F) + y(-2F)}{-F}, \quad (10)$$

respectiv,

$$\begin{aligned} -2x - 3y + 4z &= 8a \\ 6x - 5y + 3z &= 4a \end{aligned} \quad (11)$$

Se poate găsi punctul în care *Axa Centrală* intersectează planul xOy ($z = 0$). În acest caz, ecuațiile axei centrale devin:

$$\begin{cases} -2x - 3y = 8a \\ 6x - 5y = 4a \end{cases} \quad (12)$$

Axa centrală intersectează planul xOy în punctul de coordonate $(x = -a; y = -2a)$, valori ce rezultă prin rezolvarea sistemului (12).

2.2.20. Să se reducă următorul sistem de forțe paralele date prin valorile algebrice F_i și coordonatele punctelor de aplicație A_i , $i = 1 \div 5$:

$$F_1 = 10, \quad F_2 = F_4 = 15, \quad F_3 = 30, \quad F_5 = -10$$

$$A_1(1,4,3), \quad A_2(2,3,1), \quad A_3(3,1,2), \quad A_4(0,1,1), \quad A_5(1,1,0).$$

Să se găsească relațiile care trebuie să existe între cosinusurile directe ale direcției forțelor paralele astfel încât suportul rezultantei să treacă prin originea O a sistemului de referință.

Soluție:

Elementele torsorului de reducere în raport cu O sunt:

- Vectorul rezulant:

$$\bar{R} = \sum_{i=1}^5 \bar{F}_i = \bar{p} \sum_{i=1}^5 F_i = \bar{p}(10 + 15 + 30 + 15 - 10) = 60\bar{p} = 60(\alpha\bar{i} + \beta\bar{j} + \gamma\bar{k}), \quad (1)$$

unde:

$\bar{p} = \alpha\bar{i} + \beta\bar{j} + \gamma\bar{k}$ este versorul direcției comune a forțelor.

Centrul forțelor paralele este definit de relația (2.17), adică:

$$\bar{r}_c = \frac{\sum_{i=1}^5 \bar{r}_i F_i}{\sum_{i=1}^5 F_i} \quad (2)$$

sau de relațiile (2.28) aplicate astfel:

$$x_c = \frac{\sum_{i=1}^5 x_i F_i}{\sum_{i=1}^5 F_i} = \frac{1 \cdot 10 + 2 \cdot 15 + 3 \cdot 30 + 0 \cdot 15 + 1 \cdot 10}{10 + 15 + 30 + 15 - 10} = 2$$

$$y_c = \frac{\sum_{i=1}^5 y_i F_i}{\sum_{i=1}^5 F_i} = \frac{4 \cdot 10 + 3 \cdot 15 + 1 \cdot 30 + 1 \cdot 15 - 1 \cdot 10}{60} = 2 \quad (3)$$

$$z_c = \frac{\sum_{i=1}^5 z_i F_i}{\sum_{i=1}^5 F_i} = \frac{3 \cdot 10 + 1 \cdot 15 + 2 \cdot 30 + 1 \cdot 15 + 0}{60} = 2.$$

- Momentul rezultat se determină aplicând teorema lui Varignon (2.22)

$$\begin{aligned} \bar{M}_O &= \sum_{i=1}^5 \bar{r}_i \times \bar{F}_i = \bar{r}_C \times \bar{R} = \begin{vmatrix} \bar{i} & \bar{j} & \bar{k} \\ 2 & 2 & 2 \\ R\alpha & R\beta & R\gamma \end{vmatrix} = \\ &= 2R[(\gamma - \beta)\bar{i} + (\alpha - \gamma)\bar{j} + (\beta - \alpha)\bar{k}]. \end{aligned} \quad (4)$$

Dacă axa centrală trece prin origine, $\bar{M}_O = 0$. În acest caz, din (4) se obțin cosinusurile directe ale rezultantei sistemului de forțe și anume:

$$\alpha = \beta = \gamma = \frac{\sqrt{3}}{3}. \quad (5)$$

Ecuțiile axei centrale sunt:

$$\frac{x}{R_x} = \frac{y}{R_y} = \frac{z}{R_z} \text{ sau, în conformitate cu (1), devin } x = y = z. \quad (6)$$

2.2.21. În două vârfuri ale unui triunghi ABC se aplică vectorii paraleli de mărime algebrică α și β , iar în al treilea vârf vectorii de sumă nulă $\bar{\gamma}$ și $(-\bar{\gamma})$, paraleli cu primii doi (fig. 2.28).

Reducând acest sistem de vectori, să se deducă teorema lui Menelaus: dacă punctele M, N, P, situate respectiv pe BC, CA, AB, sunt coliniare, atunci:

$$\frac{MB}{MC} \cdot \frac{NC}{NA} \cdot \frac{PA}{PB} = 1.$$

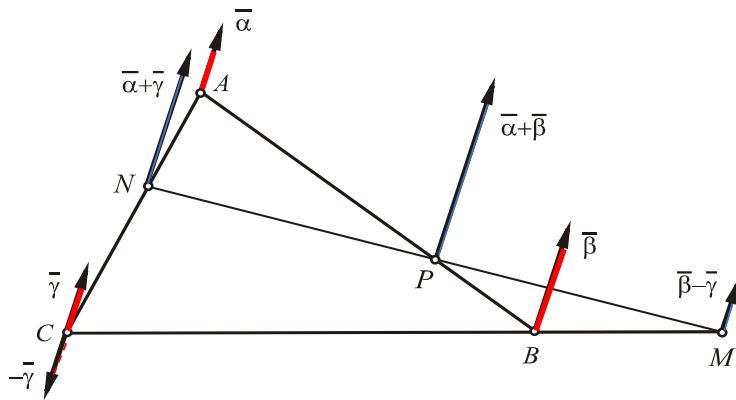


Fig. 2.28

Soluție:

Se compun vectorii $(\vec{\beta})$ și $(-\vec{\gamma})$ și se obține în M vectorul $(\vec{\beta} - \vec{\gamma})$, apoi vectorii $(\vec{\alpha})$ și $(+\vec{\gamma})$ și se obține vectorul $(\vec{\alpha} + \vec{\gamma})$ în punctul N.

Vectorul $(\vec{\alpha} + \vec{\gamma})$ compus cu vectorul $(\vec{\beta} - \vec{\gamma})$ conduce la vectorul $(\vec{\alpha} + \vec{\beta})$ aplicat în P.

Aplicând relațiile cunoscute pentru determinarea punctului pe unde trece rezultanta a doi vectori paraleli, se obține succesiv:

$$\frac{MB}{MC} = \frac{\gamma}{\beta} \quad (1)$$

$$-\frac{NC}{NA} = \frac{\alpha}{\gamma} \quad (2)$$

$$-\frac{PA}{PB} = \frac{\beta}{\alpha} \quad (3)$$

Relațiile (1), (2) și (3) înmulțite membru cu membru, conduc la expresia:

$$\frac{MB}{MC} \cdot \frac{NC}{NA} \cdot \frac{PA}{PB} = 1. \quad (4)$$

2.2.22. Se consideră un cub $OABC O'A'B'C'$ de latură a și mijloacele M, N, P , ale muchiilor $CB, BB', B'A'$. Să se determine rezultanta vectorilor $\overline{OA}, \overline{OM}, \overline{ON}, \overline{OP}$. (fig. 2.29).

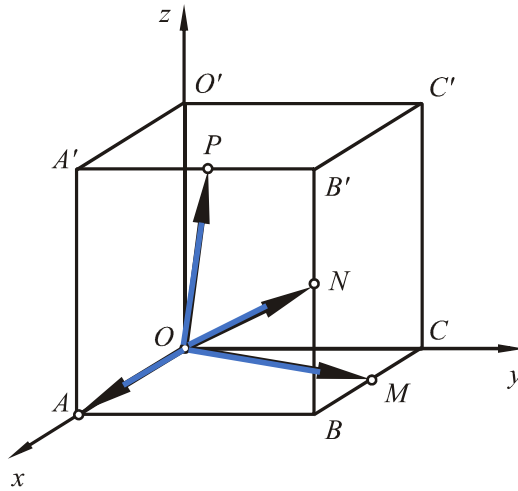


Fig. 2.29

Soluție:

Coordonatele punctelor A, M, N, P sunt:

$$A(a,0,0), M\left(\frac{a}{2}, a, 0\right), N\left(a, a, \frac{a}{2}\right), P\left(a, \frac{a}{2}, a\right).$$

Aceste coordonate coincid cu proiecțiile vectorilor $\overline{OA}, \overline{OM}, \overline{ON}, \overline{OP}$ pe axele sistemului Oxyz. Astfel, se poate determina rezultanta \overline{R} prin proiecțiile ei pe axele sistemului cartezian.

$$R_x = a + \frac{a}{2} + a + a = 3,5a$$

$$R_y = a + a + \frac{a}{2} = 2,5a \quad (1)$$

$$R_z = \frac{a}{2} + a = 1,5a.$$

Modulul rezultantei este:

$$R = 4,55a \quad (2)$$

iar direcția se determină prin cosinusurile directoare:

$$\begin{aligned}\cos(\widehat{\bar{R}, Ox}) &= \frac{R_x}{R} = \frac{7}{\sqrt{83}} = 0,76 \\ \cos(\widehat{\bar{R}, Oy}) &= \frac{R_y}{R} = \frac{5}{\sqrt{83}} = 0,54 \\ \cos(\widehat{\bar{R}, Oz}) &= \frac{R_z}{R} = \frac{3}{\sqrt{83}} = 0,32.\end{aligned}\quad (3)$$

2.2.23. Să se reducă următorul sistem de vectori coplanari dat prin coordonatele punctelor de aplicație A_i și proiecțiile vectorilor corespunzători \bar{a}_i , $i = 1 \div 4$, într-un sistem rectangular Oxy :

$$\begin{array}{ll} A_1(2,3) & \bar{a}_1(3,-4) \\ A_2(-1,0) & \bar{a}_2(-7,1) \\ A_3(4,2) & \bar{a}_3(2,-2) \\ A_4(-5,1) & \bar{a}_4(1,2).\end{array}$$

Soluție:

- Vectorul rezultat:

$$R_x = \sum_{i=1}^4 a_{ix} = 3 - 7 + 2 + 1 = -1 \quad (1)$$

$$R_y = \sum_{i=1}^4 a_{iy} = -4 + 1 - 2 + 2 = -3$$

$$R = \sqrt{10}; \quad \operatorname{tg}(\widehat{\bar{R}, Ox}) = \frac{R_y}{R_x} = 3. \quad (2)$$

- Momentul rezultat:

$$\bar{M}_O = \sum_{i=1}^4 \bar{r}_i \times \bar{a}_i = \sum_{i=1}^4 \begin{vmatrix} \bar{i} & \bar{j} & \bar{k} \\ x_i & y_i & 0 \\ a_{ix} & a_{iy} & 0 \end{vmatrix} = \sum_{i=1}^4 [(x_i \cdot a_{iy} - y_i \cdot a_{ix})] \bar{k}, \quad (3)$$

astfel că:

$$M_z = 2(-4) - 3 \cdot 3 + (-1) \cdot 1 - 0 \cdot (-7) + 4(-2) - 2 + (-5) \cdot 2 - 1 \cdot 1 = -41. \quad (4)$$

- Ecuația axei centrale:

În conformitate cu (2.35), se poate scrie succesiv:

$$xR_y - yR_x = M_z \quad (5)$$

$$-3x + y = -41. \quad (6)$$

Axa centrală este în planul vectorilor și cum M_z este perpendicular pe acest

plan, rezultă $\bar{M}_{\min} = 0$, adică sistemul de vectori este echivalent cu rezultanta \bar{R} aplicată pe axa centrală.

2.2.24. Să se reducă următorul sistem de vectori coplanari, dat prin modulele vectorilor, unghiurile acestora cu axa Ox a unui sistem cartezian rectangular și un punct al suportului lor (fig. 2.30).

$a_1 = 4$	$\alpha_1 = 120^\circ$	$A_1(2,1)$
$a_2 = 3$	$\alpha_2 = 180^\circ$	$A_2(0,2)$
$a_3 = 2$	$\alpha_3 = 45^\circ$	$A_3(-1,0)$
$a_4 = 5$	$\alpha_4 = 90^\circ$	$A_4(-3,0)$
$a_5 = 8$	$\alpha_5 = -30^\circ$	$A_5\left(-1, -\frac{1}{2}\right)$

Soluție:

- Vectorul rezultant: proiecțiile vectorului rezultant pe axele sistemului de coordonate sunt:

$$R_x = \sum_{i=1}^5 a_i \cos \alpha_i = 4\left(-\frac{1}{2}\right) + 3(-1) + 2\frac{\sqrt{2}}{2} + 5 \cdot 0 + 8 \cdot \frac{\sqrt{3}}{2}$$

$$R_x = 3,342$$

$$R_y = \sum_{i=1}^5 a_i \sin \alpha_i = 4\frac{\sqrt{3}}{2} + 3 \cdot 0 + 2\frac{\sqrt{2}}{2} + 5 \cdot 1 + 8\left(-\frac{1}{2}\right)$$

$$R_y = 5,878 \tag{1}$$

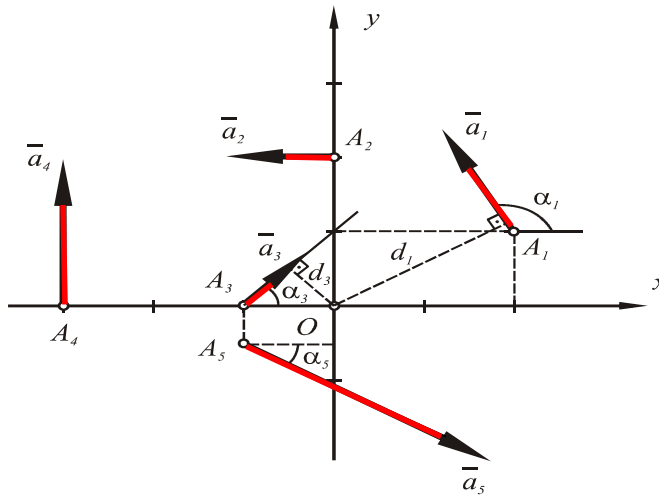


Fig. 2.30

$$R = \sqrt{R_x^2 + R_y^2} = 6,76. \quad (2)$$

- Momentul rezultat

$$M_z = \sum_{i=1}^5 d_i a_i. \quad (3)$$

Se calculează distanțele de la origine la suporturile vectorilor, ecuațiile suporturilor fiind de forma:

$$ax + by + c = 0, \text{ iar } d = \frac{|c|}{\sqrt{a^2 + b^2}}.$$

Suportul lui \vec{a}_1 :

$$\begin{aligned} y - 1 &= \operatorname{tg} 120^\circ (x - 2) \\ x\sqrt{3} + y - 1 - 2\sqrt{3} &= 0 \\ d_1 &= \frac{1 + 2\sqrt{3}}{2} = 2,232. \end{aligned} \quad (4)$$

Suportul lui \vec{a}_5 este dat de relația:

$$\begin{aligned} x + \sqrt{3}y + \frac{\sqrt{3}}{2} + 1 &= 0 \\ d_5 &= \frac{\frac{\sqrt{3}}{2} + 1}{2} = 0,933. \end{aligned} \quad (5)$$

Distanțele d_2, d_3, d_4 sunt:

$$d_2 = 2, \quad d_3 = 0,707, \quad d_4 = 3. \quad (6)$$

Momentul rezultat, în conformitate cu (3) - (6), este:

$$M_z = d_1 a_1 + d_2 a_2 - d_3 a_3 - d_4 a_4 + d_5 a_5 = 5,978. \quad (7)$$

Ecuația axei centrale, în conformitate cu (2.35), este:

$$xR_y - yR_x = M_z,$$

adică

$$5,878x - 3,342y = 5,978. \quad (8)$$

2.2.25. Reducând trei vectori paraleli de mărimi algebrice α, β, γ , aplicați în vârfurile unui triunghi ABC (fig. 2.31), să se deducă teorema lui Ceva: fiind date punctele M, N, P , respectiv pe BC, CA, AB , dacă dreptele AM, BN, CP sunt concurente, atunci:

$$\frac{MB}{MC} \cdot \frac{NC}{NA} \cdot \frac{PA}{PB} = -1.$$

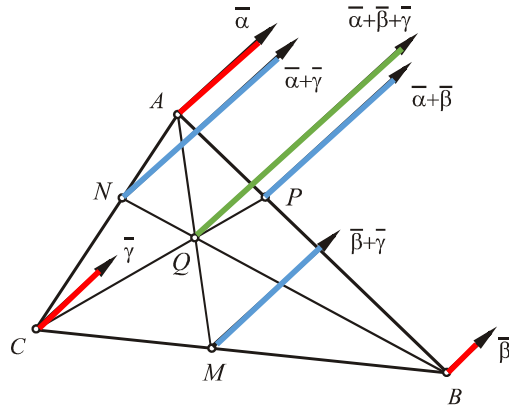


Fig. 2.31

Soluție:

Se reduc vectorii combinând câte unul cu rezultanta celorlalți doi, astfel:

$$\bar{R} = (\bar{\alpha} + \bar{\beta}) + \bar{\gamma} = (\bar{\beta} + \bar{\gamma}) + \bar{\alpha} = (\bar{\gamma} + \bar{\alpha}) + \bar{\beta} = \bar{\alpha} + \bar{\beta} + \bar{\gamma}.$$

Rezultanta vectorilor $\bar{\alpha}$ și $\bar{\beta}$ acționează în punctul P . Cum momentul în raport cu P al acestor vectori este nul (punctul P este pe axa centrală), se obține:

$$-\frac{PA}{\beta} = \frac{PB}{\alpha}, \quad -\frac{PA}{PB} = \frac{\beta}{\alpha}. \quad (1)$$

Procedând analog pentru $(\bar{\beta} + \bar{\gamma})$ care acționează în punctul M și $(\bar{\alpha} + \bar{\gamma})$ care acționează în N , se obține:

$$-\frac{MB}{MC} = \frac{\gamma}{\beta}, \quad -\frac{NC}{NA} = \frac{\alpha}{\gamma}. \quad (2)$$

Înmulțind relațiile (1), (2) și (3) membru cu membru, rezultă:

$$\frac{NC}{NA} \cdot \frac{MB}{MC} \cdot \frac{PA}{PB} = -1.$$

Observație: semnul (-) apare la rapoartele respective datorită orientării diferite a segmentelor.

2.2.26. Să se reducă sistemul de forțe de module $a = 1$, $b = 2$, $c = 3$ aplicate în vârfurile unui triunghi echilateral ABC și dirijate perpendicular pe laturile triunghiului, știind că latura triunghiului este l (fig. 2.32).

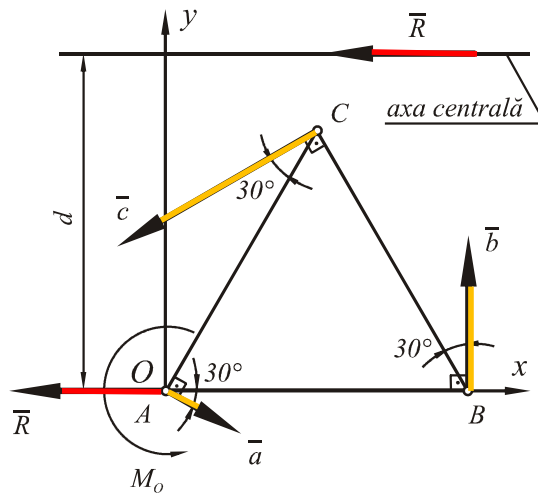


Fig. 2.32

Soluție:

Se alege un sistem de referință xOy , cu axa Ox orientată după AB și Oy perpendiculară în A pe AB.

Elementele torsorului de reducere în raport cu O sunt:

- Vectorul rezultant:

$$\bar{R} = R_x \bar{i} + R_y \bar{j} \quad (1)$$

$$R_x = a \cos 30^\circ - c \cos 30^\circ = \frac{\sqrt{3}}{2} - 3 \frac{\sqrt{3}}{2} = -\sqrt{3}$$

$$R_y = -a \sin 30^\circ + b - c \sin 30^\circ = -\frac{1}{2} + 2 - 3 \frac{1}{2} = 0.$$

astfel că (1) devine:

$$\bar{R} = -\sqrt{3}\bar{i}, \quad (2)$$

deci axa centrală este paralelă cu AB.

- Momentul rezultat:

$$\bar{M}_O = M_z \cdot \bar{k} = (bl + cl \cos 60^\circ)\bar{k} = \left(b + \frac{c}{2}\right)l\bar{k} = 3,5l\bar{k}. \quad (3)$$

Ecuția axei centrale este:

$$xR_y - yR_x = M_z \quad (4)$$

$$x \cdot 0 + \sqrt{3}y = 3,5l$$

$$y = 3,5 \frac{\sqrt{3}}{3} l = 2,02l. \quad (5)$$

Observație: având în vedere expresia vectorului rezultat \bar{R} și teorema lui Varignon, este ușor a remarca că axa centrală este o dreaptă paralelă cu Ox la distanța $d = \frac{M_O}{R} = 2,02l$.

2.3 Probleme propuse

2.3.1. Să se determine elementele torsorului de reducere în O , momentul minim și ecuațiile axei centrale pentru sistemele de forțe din figurile de mai jos.

Pentru sistemul din figura 2.37 să se găsească condițiile pe care trebuie să le îndeplinească valorile forțelor F_1 și F_2 și abscisa a , astfel încât axa centrală a sistemului să treacă prin punctul dat: $P_0(x_0, y_0, z_0)$.

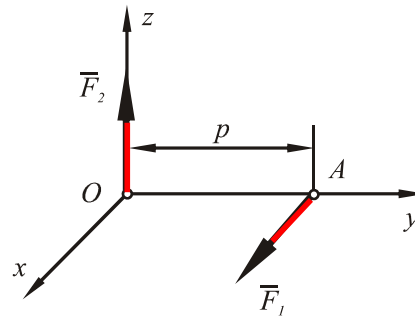
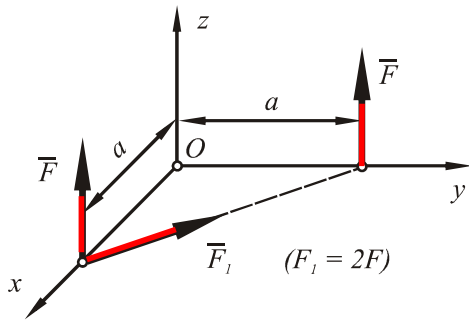


Fig. 2.33

Fig. 2.34

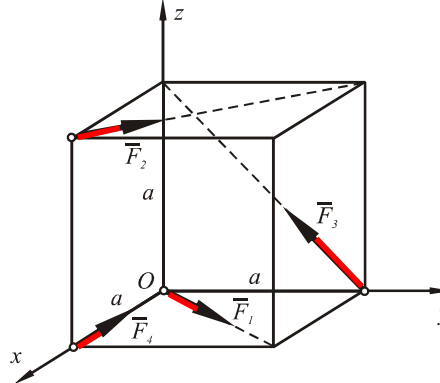
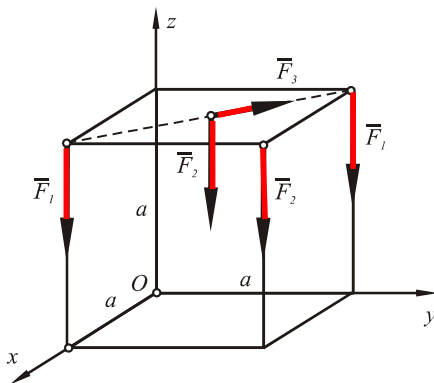


Fig. 2.35

Fig. 2.36

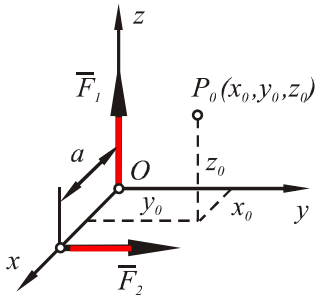


Fig. 2.37

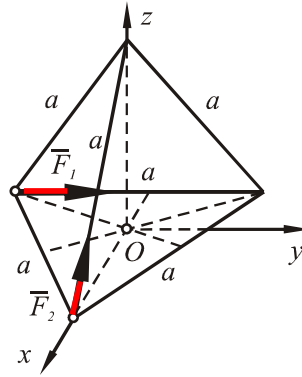


Fig. 2.38

Răspunsuri:

2.33. $R = 2\sqrt{2}F$, $M_O = 2aF$; $M_{\min} = 0$, $x - y + z\sqrt{2} = 0$; $x + y = a$.

2.34. $R = \sqrt{F_1^2 + F_2^2}$, $M_O = pF_1$; $M_{\min} = \frac{pF_1F_2}{\sqrt{F_1^2 + F_2^2}}$, $z = \frac{F_2}{F_1}x$; $y = \frac{pF_1^2}{F_1^2 + F_2^2}$.

2.35. $R = \sqrt{4(F_1 + F_2)^2 + F_3^2}$, $M_{\min} = aF_2F_3 / \sqrt{2} \cdot \sqrt{4(F_1 + F_2)^2 + F_3^2}$.

2.36. $R = 2F$; $M_O = 2aF$; $x = a$; $y = z$.

2.37. $\frac{F_1}{F_2} = \frac{z_0}{y_0}$; $a = x_0 \frac{y_0^2 + z_0^2}{y_0^2}$.

2.38. $R_x = -\frac{F_2}{\sqrt{3}}$; $R_y = F_1$; $R_z = F_2\sqrt{\frac{2}{3}}$; $M_x = 0$; $M_y = -aF_2\frac{\sqrt{2}}{3}$;

$M_z = -aF_1 / 2\sqrt{3}$.

2.3.2. Patru forțe având aceeași valoare $F_1 = F_2 = F_3 = F_4 = F$ sunt dirijate după patru muchii ale unei piramide pentagonale drepte (fig. 2.39). Să se determine rezultanta lor și punctul în care suportul rezultantei înțeapă planul bazei piramidei.

Răspuns:

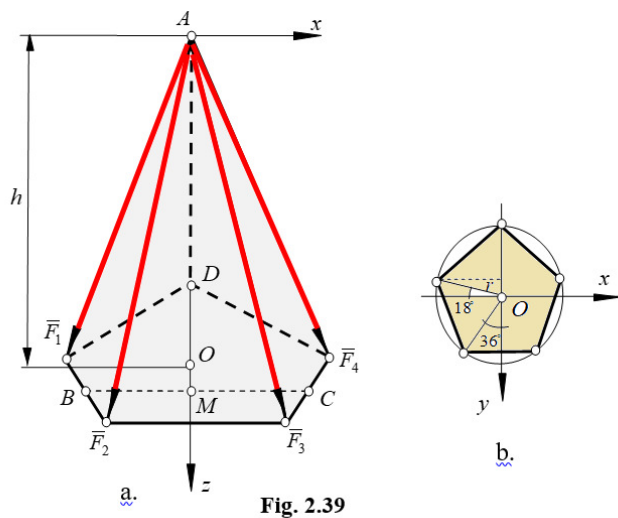


Fig. 2.39

$$R = \sqrt{r^2 + 16h^2} .$$

$$x = 0 ; y = \frac{r}{4} .$$

2.3.3. Să se descompună forța \bar{R} în două componente normale între ele (fig. 2.40), astfel ca raportul valorilor lor să satisfacă relația: $\frac{F_1}{F_2} = \frac{m}{n}$.

Răspuns:

Sugestie:

$$\frac{F_1}{F_2} = \frac{p}{q} = \frac{m}{n} .$$

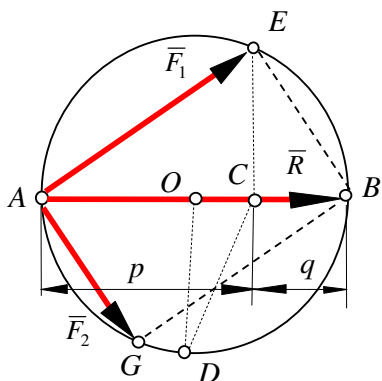


Fig. 2.40

$$R = \sqrt{F_1^2 + F_2^2}; \quad \frac{F_1}{F_2} = \frac{m}{n}; \quad F_1 = \frac{m}{\sqrt{m^2 + n^2}} R; \quad F_2 = \frac{n}{\sqrt{m^2 + n^2}} R.$$

2.3.4. Un panou omogen având dimensiunile din figura 2.41 este manevrat de patru muncitori care aplică în punctele A, B, C, D, forțele $F_A = F_B = 500 \text{ N}$ și $F_C = F_D = 1200 \text{ N}$ înclinată față de verticală cu unghiul $\alpha = 30^\circ$. Să se analizeze efectul pe care-l produce asupra panoului acțiunea simultană a muncitorilor, dacă greutatea panoului este de $1200\sqrt{3} \text{ N}$.

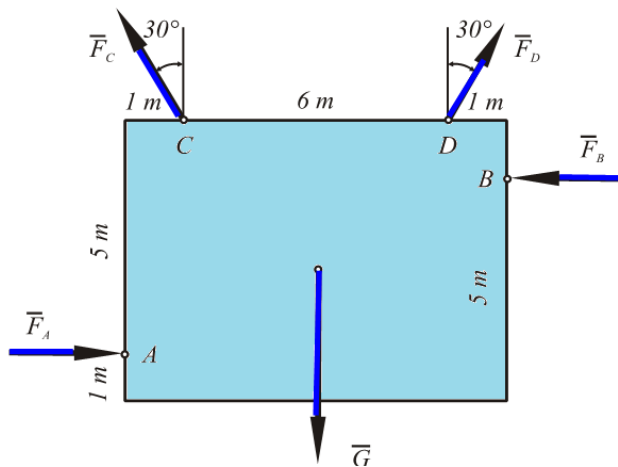


Fig. 2.41

Răspuns: sistemul de forțe dat se reduce la un cuplu, de moment $M = 2000 \text{ Nm}$, care produce rotirea panoului, în planul său vertical, în sens antiorar.

2.3.5. O placă omogenă ABCD de greutate $\bar{G} = 8\bar{F}$, este solicitată în planul vertical de forțele reprezentate în figură ($F_1 = F$). Să se determine forța capabilă să echilibreze sistemul și distanța la care suportul acesteia intersectează placa (fig. 2.42).

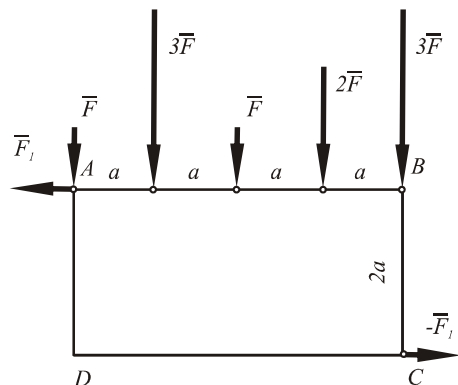


Fig. 2.42

Răspuns: forța verticală ascendentă are valoarea $R = 18F$, situată în planul plăcii, al cărui suport intersectează placa la distanța $d = 2,05 a$ de punctul D.

2.3.6. După muchiile unei prisme drepte, cu baza un triunghi echilateral de latură a și înălțime a , acționează forțele \vec{F}_i , ($i = 1 \div 8$), toate având același modul F și poziția ca în figura 2.43. Să se reducă sistemul de forțe în raport cu polul O .

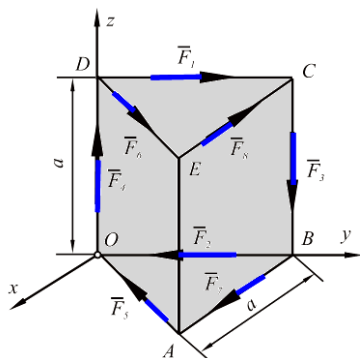


Fig. 2.43

Răspuns: sistemul de opt forțe se reduce la un moment, $M = 3aF$.

2.3.7. Asupra unui cub de latură a acționează sistemul de forțe din figura 2.44. Forța \vec{F}_1 are mărimea $F\sqrt{2}$, iar celelalte forțe au mărimea F . Să se reducă sistemul de forțe în raport cu polul O .

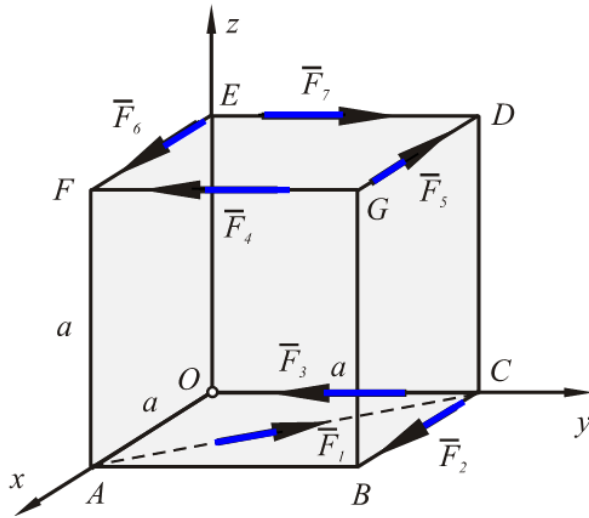


Fig. 2.44

Răspuns: sistemul de forțe este în echilibru.

2.3.8. Se consideră un sistem de trei forțe date prin proiecțiile lor carteziane și prin coordonatele punctelor de aplicație: $\vec{F}_1(3, 5, 4)$ cu punctul de aplicație în $A_1(0, 2, 1)$; $\vec{F}_2(-2, 2, -6)$ cu punctul de aplicație în $A_2(1, -1, 3)$; $\vec{F}_3(-1, -7, 2)$ cu punctul de aplicație în $A_3(2, 3, 1)$. Se cere să se deplaseze aceste forțe astfel încât punctele lor de aplicație să treacă în originea O a sistemului cartezian de referință, fără a modifica efectul mecanic al sistemului.

Răspuns:

$$\vec{R}_0 = \vec{F}_1 + \vec{F}_2 + \vec{F}_3.$$

$$\cos \alpha = \frac{16}{3\sqrt{61}}; \quad \cos \beta = \frac{-2}{3\sqrt{61}}; \quad \cos \gamma = \frac{-17}{3\sqrt{61}}.$$

3. GEOMETRIA MASELOR ^[10]

3.1 Considerații teoretice

3.1.1 Centrul de greutate (centrul maselor) al unui sistem de puncte materiale

Câmpul gravitațional, după cum se cunoaște din experimentele practice, acționează asupra oricărei particule materiale cu o forță:

$$\bar{P}_i = m_i \bar{g},$$

unde: \bar{g} reprezintă un factor de proporționalitate, o caracteristică a intensității câmpului gravitațional, denumită *acclerație gravitațională*.

Pentru o suprafață terestră bine delimitată, situată la aceeași altitudine, se poate face aproximarea de câmp gravitațional constant.

Fie un sistem $M_i (i=1 \div n)$ de puncte materiale aflate în câmp gravitațional. Asupra acestora acționează un sistem \bar{P}_i de forțe de greutate paralele și de același sens (fig. 3.1). Torsorul de reducere al sistemului de forțe în raport cu punctul O are componentele:

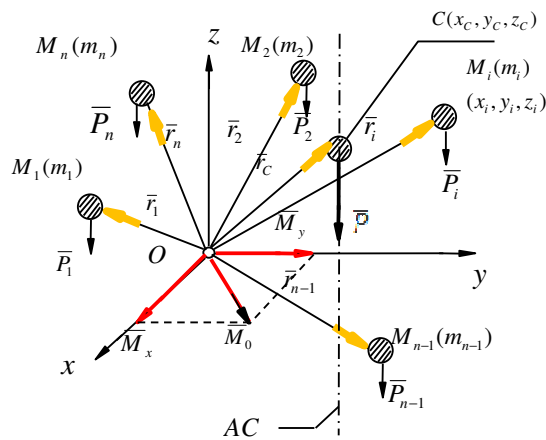


Fig. 3.1

$$\bar{R} = \sum_{i=1}^n \bar{P}_i = \bar{k} \left(\sum_{i=1}^n P_i \right) = \bar{P} \quad (3.1)$$

$$\bar{M}_O = \sum_{i=1}^n \bar{r}_i \times \bar{P}_i = \sum_{i=1}^n P_i \bar{r}_i \times \bar{k} \quad (3.2)$$

S-a utilizat notația: $\bar{P}_i = \bar{k} m_i g$, unde \bar{k} reprezintă versorul forțelor paralele. Deoarece $\bar{R} \cdot \bar{M}_O = 0$, sistemul de forțe paralele se reduce la o rezultantă unică \bar{P} în raport cu punctele axei centrale, notată AC conform cu figura 3.1.

Condiția pentru obținerea axei centrale, este ca momentul rezultat al sistemului de forțe în raport cu orice punct C de pe axa centrală să fie zero, $\bar{M}_C = 0$, $C \in AC$.

Utilizând legea de variație a momentului rezultat la schimbarea polului de reducere, se poate scrie:

$$\bar{M}_C = \bar{M}_O - \bar{r} \times \bar{R}. \quad (3.3)$$

Egalând cu zero relația (3.3) și introducând expresiile (3.1) și (3.2), rezultă:

$$\left[\sum_{i=1}^n P_i \cdot \bar{r}_i - \left(\sum_{i=1}^n P_i \right) \bar{r} \right] \times \bar{k} = 0 \quad \Leftrightarrow \quad \sum_{i=1}^n P_i \cdot \bar{r}_i - \left(\sum_{i=1}^n P_i \right) \bar{r} = \lambda \bar{k} \quad (3.4)$$

sau

$$\bar{r} = \frac{\sum_{i=1}^n P_i \cdot \bar{r}_i}{\sum_{i=1}^n P_i} - \lambda \frac{\bar{k}}{\sum_{i=1}^n P_i}, \quad (3.5)$$

unde $\lambda \in (-\infty, \infty)$ este un parametru scalar. Relația (3.5) reprezintă *ecuația vectorială a axei centrale*.

Pentru $\lambda = 0$, se obține vectorul de poziție al centrului de greutate C, aparținând axei centrale:

$$\bar{r}_C = \frac{\sum_{i=1}^n P_i \cdot \bar{r}_i}{\sum_{i=1}^n P_i}. \quad (3.6)$$

Proiecțiile vectorului \bar{r}_C pe axe sunt *coordonatele centrului de greutate*:

$$x_C = \frac{\sum_{i=1}^n P_i \cdot x_i}{\sum_{i=1}^n P_i}, \quad y_C = \frac{\sum_{i=1}^n P_i \cdot y_i}{\sum_{i=1}^n P_i}, \quad z_C = \frac{\sum_{i=1}^n P_i \cdot z_i}{\sum_{i=1}^n P_i}. \quad (3.7)$$

Forța de greutate rezultantă ce acționează asupra sistemului de puncte materiale este exprimată prin relația:

$$\bar{P} = \sum_{i=1}^n \bar{P}_i = \sum_{i=1}^n m_i \bar{g} = \bar{g} \left(\sum_{i=1}^n m_i \right) = M \cdot \bar{g}, \quad (3.8)$$

în care s-a folosit ipoteza: $\bar{g} = \bar{c}t$, iar $M = \sum_{i=1}^n m_i$ reprezintă masa sistemului de puncte materiale.

Similar, utilizând relațiile (3.6) și (3.7) și simplificând cu g , se obțin relațiile:

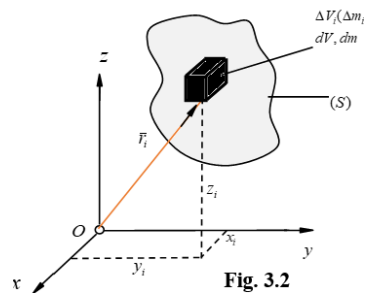
$$\bar{r}_C = \frac{\sum_{i=1}^n m_i \bar{r}_i}{M} \quad (3.9)$$

$$x_C = \frac{\sum_{i=1}^n m_i x_i}{M}, \quad y_C = \frac{\sum_{i=1}^n m_i y_i}{M}, \quad z_C = \frac{\sum_{i=1}^n m_i z_i}{M}, \quad (3.10)$$

relații ce exprimă vectorul de poziție, respectiv *coordonatele centrului de masă*.

3.1.1.1 Centrul de masă (centrul de greutate) al unui continuum material

Se consideră un solid rigid (continuum material indeformabil), reprezentat în figura 3.2.



Se presupune că solidul rigid se descompune în n volume ΔV_i foarte mici, având masa Δm_i și centrul de greutate C_i . Centru de masă aproximativ al solidului rigid este dat de relațiile:

$$\bar{r}_C = \frac{\sum_{i=1}^n \bar{r}_i \Delta m_i}{\sum_{i=1}^n \Delta m_i} \quad (3.11)$$

$$x_C = \frac{\sum_{i=1}^n x_i \Delta m_i}{\sum_{i=1}^n \Delta m_i}, \quad y_C = \frac{\sum_{i=1}^n y_i \Delta m_i}{\sum_{i=1}^n \Delta m_i}, \quad z_C = \frac{\sum_{i=1}^n z_i \Delta m_i}{\sum_{i=1}^n \Delta m_i}. \quad (3.12)$$

Cu cât valoarea lui n este mai mare, cu atât precizia determinării va fi mai mare. Poziția exactă a centrului de masă se obține transformând sumele în integrale, adică numărul volumelor mici trebuie să tindă la infinit. Astfel:

$$\bar{r}_C = \frac{\int \bar{r} \cdot dm}{\int dm} \quad (3.13)$$

$$x_C = \frac{\int x dm}{\int dm}, \quad y_C = \frac{\int y dm}{\int dm}, \quad z_C = \frac{\int z dm}{\int dm}. \quad (3.14)$$

Pentru suprafețe, ΔV_i se va înlocui cu ΔA_i , iar pentru linii cu Δl_i și în acest sens sunt reprezentative figurile 3.3 și 3.4.

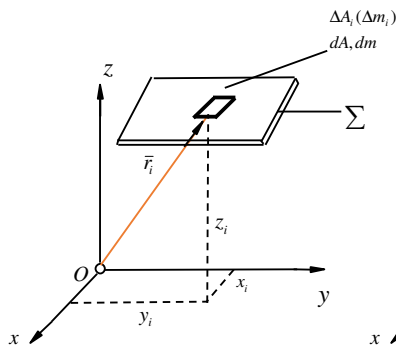


Fig. 3.3

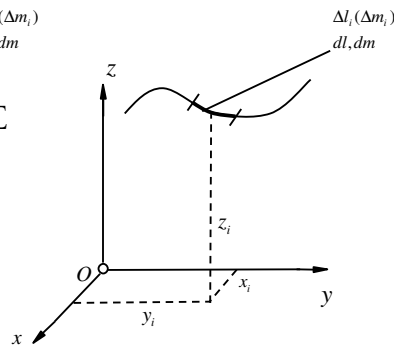


Fig. 3.4

3.1.1.2 Masă specifică

Pentru un continuum material, *masa specifică volumetrică medie* este:

$$\rho_{V_i} = \frac{\Delta m_i}{\Delta V_i}. \quad (3.15)$$

Trecând la limită, *masa specifică volumetrică* în punctul considerat este:

$$\rho_V = \lim_{V_i \rightarrow 0} \frac{\Delta m_i}{\Delta V_i} = \frac{dm}{dV}. \quad (3.16)$$

Pentru plăci, *masa specifică superficială medie* poate fi scrisă astfel:

$$\rho_{S_i} = \frac{\Delta m_i}{\Delta A_i}. \quad (3.17)$$

Trecând la limită, *masă specifică superficială* este definită de:

$$\rho_S = \lim_{\Delta S \rightarrow 0} \frac{\Delta m_i}{\Delta A_i} = \frac{dm}{dA}. \quad (3.18)$$

În cazul barelor (sau al firelor), *masă specifică liniară medie* are expresia:

$$\rho_{l_i} = \frac{\Delta m_i}{\Delta l_i}. \quad (3.19)$$

La limită, *masă specifică liniară* este caracterizată prin relația:

$$\rho_l = \lim_{\Delta l_i \rightarrow 0} \frac{\Delta m_i}{\Delta l_i} = \frac{dm}{dl}. \quad (3.20)$$

Pentru corpuri eterogene, masa specifică este variabilă, în funcție de poziția domeniului considerat din continuumul material:

$$\rho = \rho(x, y, z). \quad (3.21)$$

Masa volumului/plăcii/barei poate fi scrisă astfel:

$$M = \int dm = \int \rho dV \quad (\text{în cazul volumelor}) \quad (3.22)$$

$$M = \int dm = \int \rho_s dA \quad (\text{în cazul plăcilor}) \quad (3.23)$$

$$M = \int dm = \int \rho_l dl \quad (\text{în cazul barelor}) . \quad (3.24)$$

3.1.1.3 Centre de masă geometrice

Corpurile omogene sunt caracterizate prin densitate (masă specifică (ρ)) constantă.

Masa elementară, în funcție de numărul de dimensiuni ale corpului, poate fi exprimată astfel:

$$dm = \rho_v dV, \quad dm = \rho_s dA, \quad dm = \rho_l dl. \quad (3.25)$$

În cazul *volumelor*, centrul de masă geometric este:

$$\bar{r}_C = \frac{\int \bar{r} dV}{\int dV}, \quad x_C = \frac{\int x dV}{\int dV}, \quad y_C = \frac{\int y dV}{\int dV}, \quad z_C = \frac{\int z dV}{\int dV}. \quad (3.26)$$

Pentru *suprafețe* relațiile sunt:

$$\bar{r}_C = \frac{\int \bar{r} dA}{\int dA}, \quad x_C = \frac{\int x dA}{\int dA}, \quad y_C = \frac{\int y dA}{\int dA}, \quad z_C = \frac{\int z dA}{\int dA}, \quad (3.27)$$

iar pentru *linii omogene*:

$$\bar{r}_C = \frac{\int \bar{r} dl}{\int dl}, \quad x_C = \frac{\int x dl}{\int dl}, \quad y_C = \frac{\int y dl}{\int dl}, \quad z_C = \frac{\int z dl}{\int dl}. \quad (3.28)$$

Pentru corpurile omogene, poziția centrului de greutate depinde numai de forma geometrică a corpurilor. De aici, rezultă expresia „centre de greutate geometrice”.

3.1.1.4 Proprietățile centrelor de greutate

În cele ce urmează, pot fi enumerate câteva dintre **proprietățile centrelor** de greutate:

- a. Centrul de greutate al unui sistem de puncte materiale se găsește în interiorul unei suprafețe convexe (Σ), care conține toate punctele sistemului.
- b. Dacă punctele unui sistem se află toate într-un plan sau toate pe o dreaptă, centrul de greutate este în planul, respectiv pe dreapta ce conține punctele.

- c. Un sistem de puncte materiale care admite un centru, o axă sau un plan de simetrie are centrul de greutate în centrul, pe axa sau în planul respectiv de simetrie.
- d. Dacă un sistem de corpuri (S) se compune dintr-un număr p de corpuri S_1, S_2, \dots, S_p ale căror mase M_1, M_2, \dots, M_p și centre de greutate C_1, C_2, \dots, C_p sunt cunoscute, poziția centrului de greutate al sistemului se determină cu relația:

$$\bar{r}_C = \frac{\sum_{i=1}^p \bar{r}_{C_i} M_i}{\sum_{i=1}^p M_i}. \quad (3.29)$$

3.1.2 Moment de masă

Fie $M_i, (i=1 \div n)$, un sistem de puncte materiale cu mase m_i și coordonate x_i, y_i, z_i .

Expresia de forma:
$$\sum_{i=1}^n x_i^n \cdot y_i^p \cdot z_i^q \cdot m_i, \text{ unde } n, p, q \in Z^+ \quad (3.30)$$

poartă numele de *moment de masă* de ordin $(n + p + q)$.

a) momentul de masă de ordin zero $(n+p+q = 0)$ este chiar *masa sistemului*:

$$\sum_{i=1}^n m_i = M, \quad (3.31)$$

b) momentele de masă de ordin întâi $(n + p + q = 1)$ poartă numele de *momente statice*:

$$\sum_{i=1}^n x_i m_i, \quad \sum_{i=1}^n y_i m_i, \quad \sum_{i=1}^n z_i m_i, \quad (3.32)$$

c) momentele de masă de ordinul doi $(n + p + q = 2)$ sunt *momente de inerție*:

$$\sum_{i=1}^n m_i (y_i^2 + z_i^2), \quad \sum_{i=1}^n m_i x_i y_i, \quad \sum_{i=1}^n m_i x_i^2 \quad (3.33)$$

$$\sum_{i=1}^n m_i (z_i^2 + x_i^2), \quad \sum_{i=1}^n m_i y_i z_i, \quad \sum_{i=1}^n m_i y_i^2 \quad (3.34)$$

$$\sum_{i=1}^n m_i (x_i^2 + y_i^2), \quad \sum_{i=1}^n m_i z_i x_i, \quad \sum_{i=1}^n m_i z_i^2 \quad (3.35)$$

$$\sum_{i=1}^n m_i (x_i^2 + y_i^2 + z_i^2) . \quad (3.36)$$

3.1.3 Momente statice

Momentul static este produsul dintre o masă și o distanță (în raport cu un plan sau o axă) și poate fi descris pentru sisteme de puncte materiale și solid rigid, prin relațiile:

$$x_C = \frac{\sum_{i=1}^n m_i x_i}{M} \quad \Rightarrow \quad \sum_{i=1}^n m_i x_i = x_C \cdot M \quad (3.37)$$

$$y_C = \frac{\sum_{i=1}^n m_i y_i}{M} \quad \Rightarrow \quad \sum_{i=1}^n m_i y_i = y_C \cdot M \quad (3.38)$$

$$z_C = \frac{\sum_{i=1}^n m_i z_i}{M} \quad \Rightarrow \quad \sum_{i=1}^n m_i z_i = z_C \cdot M \quad (3.39)$$

$$x_C = \frac{\int x dm}{M} \quad \Rightarrow \quad \int x dm = x_C \cdot M \quad (3.40)$$

$$y_C = \frac{\int y dm}{M} \quad \Rightarrow \quad \int y dm = y_C \cdot M \quad (3.41)$$

$$z_C = \frac{\int z dm}{M} \quad \Rightarrow \quad \int z dm = z_C \cdot M . \quad (3.42)$$

Teorema momentelor statice

Momentul static al unui sistem de puncte materiale în raport cu un plan sau o axă este egal cu produsul dintre masa întregului sistem, presupusă concentrată în centrul de greutate al sistemului, și distanța de la centrul de greutate al sistemului la

acel plan sau la acea axă.

Ca o consecință a momentelor statice este faptul că: dacă momentul static în raport cu un plan (axă) este nul, atunci centrul maselor se află în acel plan (axă).

3.1.4 Momente de inerție mecanice

Momentul de inerție mecanic al unui sistem de puncte materiale $M_i, (i=1 \div n)$, cu masele m_i , în raport cu un plan, o axă sau un pol, este suma produselor dintre masele punctelor și pătratul distanței până la planul, axa sau polul considerat :

$$J = \sum_{i=1}^n m_i d_i^2 . \quad (3.43)$$

Momentul de inerție centrifugal în raport cu două plane P_1, P_2 este:

$$J_{P_1 P_2} = \sum_{i=1}^n m_i d_{i_1} d_{i_2} , \quad (3.44)$$

unde $d_{i_1} = d(M_i, P_1)$, $d_{i_2} = d(M_i, P_2)$.

Dacă masele m_i sunt distribuite continuu, atunci expresiile anterioare pot fi scrise în formă integrală astfel:

$$J = \int d^2 dm \quad (3.45)$$

$$J_{P_1 P_2} = \int d_1 d_2 dm . \quad (3.46)$$

În raport cu un *sistem cartezian*, se pot defini:

a) **Momente de inerție planare:**

$$J_{xOy} = \sum_{i=1}^n m_i z_i^2 , \quad J_{yOz} = \sum_{i=1}^n m_i x_i^2 , \quad J_{zOx} = \sum_{i=1}^n m_i y_i^2 \quad (3.47)$$

b) **Momente de inerție axiale:**

$$J_x = \sum_{i=1}^n m_i (y_i^2 + z_i^2) , \quad J_y = \sum_{i=1}^n m_i (x_i^2 + z_i^2) , \quad J_z = \sum_{i=1}^n m_i (x_i^2 + y_i^2) \quad (3.48)$$

b) **Momente de inerție polare:**

$$J_O = \sum_{i=1}^n m_i (x_i^2 + y_i^2 + z_i^2) \quad (3.49)$$

d) **Momente de inerție centrifugale:**

$$J_{xy} = \sum_{i=1}^n m_i x_i y_i ; \quad J_{yz} = \sum_{i=1}^n m_i y_i z_i ; \quad J_{xz} = \sum_{i=1}^n m_i x_i z_i . \quad (3.50)$$

Pentru sistemele continue, pot fi scrise expresii similare celor anterioare, prin înlocuirea sumelor cu integrale.

3.1.5 Momente de inerție geometrice

În cazul momentelor de inerție geometrice, elementul de masă dm va fi înlocuit prin elementele de volum, de suprafață sau de linie dV , dA sau dl . Rezultă astfel, expresiile *momentelor de inerție geometrice* (exemplificate pentru volume):

a) Moment de inerție geometric:

$$I = \sum_{i=1}^n V_i d_i^2, \text{ respectiv } I = \int d^2 dV \quad (3.51)$$

b) Moment de inerție geometric centrifugal:

$$I_{P_1 P_2} = \sum_{i=1}^n V_i d_{i_1} d_{i_2}, \text{ respectiv } I_{P_1 P_2} = \int d_1 d_2 dV . \quad (3.52)$$

Similar, în raport cu un *sistem cartezian*, se pot defini:

a) Momente de inerție geometrice planare:

$$I_{xOy} = \sum_{i=1}^n V_i z_i^2, \quad I_{yOz} = \sum_{i=1}^n V_i x_i^2, \quad I_{zOx} = \sum_{i=1}^n V_i y_i^2 \quad (3.53)$$

b) Momente de inerție geometrice axiale:

$$I_x = \sum_{i=1}^n V_i (y_i^2 + z_i^2), \quad I_y = \sum_{i=1}^n V_i (x_i^2 + z_i^2), \quad I_z = \sum_{i=1}^n V_i (x_i^2 + y_i^2) \quad (3.54)$$

c) Momentele de inerție geometrice polare:

$$I_O = \sum_{i=1}^n V_i (x_i^2 + y_i^2 + z_i^2) \quad (3.55)$$

d) Momentele de inerție geometrice centrifugale:

$$I_{xy} = \sum_{i=1}^n V_i x_i y_i, \quad I_{yz} = \sum_{i=1}^n V_i y_i z_i, \quad I_{xz} = \sum_{i=1}^n V_i x_i z_i. \quad (3.56)$$

Pentru sisteme continue, pot fi scrise expresii similare, prin înlocuirea sumelor prin integrale.

Legătura dintre momentele de inerție mecanice și cele geometrice poate fi exprimată prin relația:

$$I = \frac{J}{\rho} \text{ sau } J = \rho \cdot I, \quad (3.57)$$

unde ρ este masa specifică (densitatea) de volum, de suprafață sau liniară.

3.1.6 Raza de girație

Raza de girație (i) reprezintă distanța la care trebuie plasată masa M , concentrată într-un singur punct, pentru a obține același moment de inerție J :

$$J = M \cdot i^2 \quad \Rightarrow \quad i = \sqrt{\frac{J}{M}} = \sqrt{\frac{I}{V}}. \quad (3.58)$$

În cazul suprafețelor sau al liniilor, volumul V va fi înlocuit prin aria A sau lungimea l :

$$i = \sqrt{\frac{I}{A}}, \quad i = \sqrt{\frac{I}{l}}. \quad (3.59)$$

3.1.7 Proprietăți ale momentelor de inerție

Se pot enumera următoarele *proprietăți ale momentelor de inerție*:

- momentele de inerție planare, axiale sau polare sunt mărimi pozitive care devin nule numai în cazul în care sistemul material este conținut în planul, pe axa sau în polul respectiv;
- momentele de inerție centrifugale pot fi pozitive, negative sau nule;
- între momentele de inerție planare, axiale și polare raportate la un sistem cartezian $Oxyz$, există relațiile:

$$J_x = J_{xOy} + J_{xOz}; \quad J_y = J_{xOy} + J_{yOz}; \quad J_z = J_{xOz} + J_{yOz} \quad (3.60)$$

$$J_x + J_y \geq J_z; \quad J_x + J_z \geq J_y; \quad J_y + J_z \geq J_x \quad (3.61)$$

$$J_O = J_{xOy} + J_{xOz} + J_{yOz} = \frac{1}{2}(J_x + J_y + J_z) \quad (3.62)$$

$$J_O = J_x + J_{yOz}; \quad J_O = J_y + J_{xOz}; \quad J_O = J_z + J_{xOy} \quad (3.63)$$

Dacă $z_i = 0$ (sistemul material este în planul xOy), atunci:

$$J_O = J_x + J_y \quad (3.64)$$

d) momentul de inerție centrifugal este egal cu semidiferența momentelor de inerție planare față de două plane bisectoare P_1 și P_2 .

3.1.8 Variația momentelor de inerție

a) Variația momentelor de inerție în raport cu axe paralele (teorema lui Steiner)

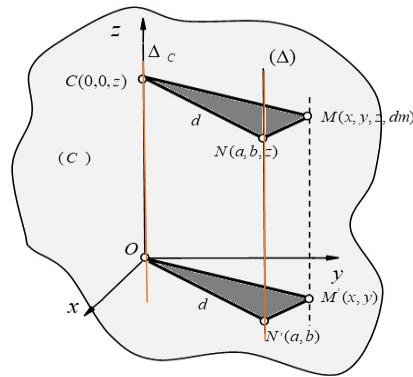


Fig. 3.5

Se consideră că centrul de greutate $C(0,0,z)$ al unui solid rigid (C) se află pe axa $Oz(\Delta_c)$. Momentul de inerție mecanic axial al solidului în raport cu axa (Δ) este:

$$J_\Delta = \int_{(C)} MN^2 dm. \quad (3.65)$$

Vectorul \overline{MN} poate fi exprimat analitic astfel:

$$\overline{MN} = (x - a)\vec{i} + (y - b)\vec{j} + (z - z)\vec{k}. \quad (3.66)$$

Prin ridicare la pătrat, rezultă:

$$MN^2 = (x-a)^2 + (y-b)^2 = x^2 + y^2 - 2ax - 2by + a^2 + b^2. \quad (3.67)$$

Înlocuind (3.67) în (3.65), rezultă:

$$J_{\Delta} = \int_{(C)} (x^2 + y^2) dm - 2a \int_{(C)} x dm - 2b \int_{(C)} y dm + (a^2 + b^2) \int_{(C)} dm, \quad (3.68)$$

unde pot fi identificate următoarele mărimi:

$$J_z = \int_{(C)} (x^2 + y^2) dm \quad (3.69)$$

$$Mx_C = \int_{(C)} x dm = 0 \quad (3.70)$$

$$My_C = \int_{(C)} y dm = 0 \quad (3.71)$$

$$d^2 = (a^2 + b^2) \quad (3.72)$$

$$M = \int_{(C)} dm. \quad (3.73)$$

Deoarece $J_z = J_{\Delta_C}$, folosind relațiile de mai sus, rezultă:

$$J_{\Delta} = J_{\Delta_C} + Md^2, \quad (3.74)$$

relație cunoscută sub numele de *Teorema lui Steiner*.

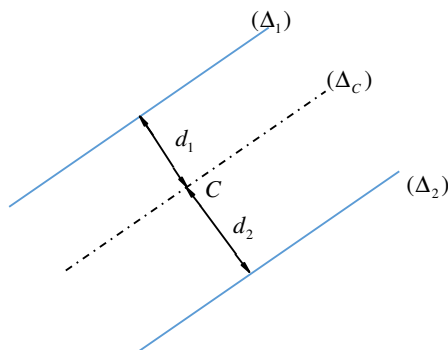


Fig. 3.6

Conform figurii 3.6, dacă (Δ_1) și (Δ_2) sunt două axe paralele cu o axă (Δ_C) care trece prin centrul de masă și d_1, d_2 sunt distanțele de la (Δ_C) la cele două axe, atunci pot fi scrise, prin aplicarea teoremei lui Steiner, următoarele relații:

$$J_{\Delta_1} = J_{\Delta_c} + Md_1^2; \quad J_{\Delta_2} = J_{\Delta_c} + Md_2^2 \quad (3.75)$$

Prin eliminarea termenului J_{Δ_c} între cele două relații, rezultă:

$$J_{\Delta_2} = J_{\Delta_1} + M(d_2^2 - d_1^2), \quad (3.76)$$

relație care poartă numele de *teorema lui Steiner generalizată*.

b) Variația momentelor de inerție în raport cu axe concurente

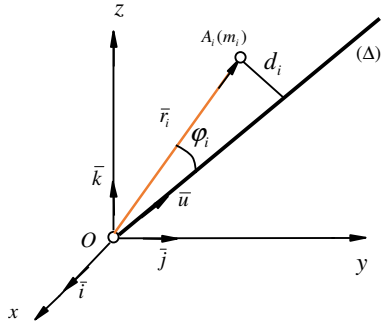


Fig. 3.7

Se consideră $A_i(x_i, y_i, z_i)$ un punct oarecare al sistemului material (fig. 3.7). Se cunosc:

J_x, J_y, J_z - momentele de inerție axiale ale sistemului de puncte;

J_{xy}, J_{yz}, J_{zx} - momentele de inerție centrifugale ale sistemului de puncte.

Se cere să se determine momentul de inerție J_{Δ} în raport cu o axă (Δ) caracterizată prin versorul $\bar{u}(\alpha, \beta, \gamma)$, unde α, β și γ sunt cosinusurile directoare ale axei (Δ) . Prin urmare, se poate scrie:

$$J_{\Delta} = \sum m_i d_i^2 \quad (3.77)$$

unde:

$$d_i = r_i \sin \varphi_i = r_i \cdot 1 \cdot \sin \varphi_i. \quad (3.78)$$

Din relația de mai sus se deduce:

$$d_i = |\bar{r}_i \times \bar{u}|. \quad (3.79)$$

Dezvoltând produsul vectorial prin determinantul simbolic asociat, se poate scrie:

$$\bar{r}_i \times \bar{u} = \begin{vmatrix} \bar{i} & \bar{j} & \bar{k} \\ x_i & y_i & z_i \\ \alpha & \beta & \gamma \end{vmatrix} = \bar{i}(y_i\gamma - z_i\beta) + \bar{j}(z_i\alpha - x_i\gamma) + \bar{k}(x_i\beta - y_i\alpha). \quad (3.80)$$

Prin ridicarea la pătrat a ecuației de mai sus, rezultă pătratul distanței d_i :

$$\begin{aligned} d_i^2 &= (y_i\gamma - z_i\beta)^2 + (z_i\alpha - x_i\gamma)^2 + (x_i\beta - y_i\alpha)^2 = y_i^2\gamma^2 + z_i^2\beta^2 - \\ &- 2y_iz_i\beta\gamma + z_i^2\alpha^2 + x_i^2\gamma^2 - 2z_ix_i\gamma\alpha + x_i^2\beta^2 + y_i\alpha^2 - 2x_iy_i\alpha\beta = \\ &= (y_i^2 + z_i^2)\alpha^2 + (x_i^2 + z_i^2)\beta^2 + (x_i^2 + y_i^2)\gamma^2 - 2z_iz_i\alpha\beta - \\ &- 2y_iz_i\beta\gamma - 2z_ix_i\alpha\gamma. \end{aligned} \quad (3.81)$$

Înlocuind pătratul distanței în relația (3.77), rezultă:

$$\begin{aligned} J_\Delta = \sum m_i d_i^2 &= \left[\sum m_i (y_i^2 + z_i^2) \right] \alpha^2 + \left[\sum m_i (x_i^2 + z_i^2) \right] \beta^2 + \\ &+ \left[\sum m_i (x_i^2 + y_i^2) \right] \gamma^2 - 2 \left(\sum m_i x_i y_i \right) \alpha \beta - \\ &- 2 \left(\sum m_i y_i z_i \right) \beta \gamma - 2 \left(\sum m_i z_i x_i \right) \alpha \gamma. \end{aligned} \quad (3.82)$$

Prin identificarea termenilor de mai sus cu momentele de inerție:

$$\sum m_i (y_i^2 + z_i^2) = J_x \quad \sum m_i x_i y_i = J_{xy} \quad (3.83)$$

$$\sum m_i (x_i^2 + z_i^2) = J_y \quad \sum m_i y_i z_i = J_{yz} \quad (3.84)$$

$$\sum m_i (x_i^2 + y_i^2) = J_z \quad \sum m_i z_i x_i = J_{zx}, \quad (3.85)$$

rezultă *legea de variație a momentelor de inerție în raport cu axe concurente*:

$$J_\Delta = J_x \alpha^2 + J_y \beta^2 + J_z \gamma^2 - 2J_{xy} \alpha \beta - 2J_{yz} \beta \gamma - 2J_{zx} \alpha \gamma. \quad (3.86)$$

3.2 Probleme rezolvate ^[10]

3.2.1. Să se determine poziția centrului de greutate pentru un arc de cerc omogen de rază R , cu unghiul la centru 2α (fig. 3.8).

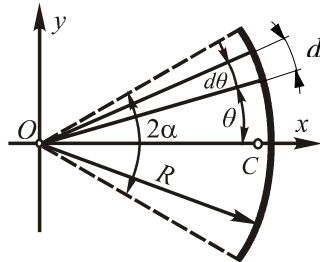


Fig. 3.8

Soluție:

Pentru determinarea centrului de greutate al arcului de cerc se delimitează un arc elementar de lungime $dl = R d\theta$, subîntins de unghiul $d\theta$ și care se află la unghiul θ față de axa Ox . Având în vedere că lungimea dl este infinitesimală, centrul de greutate al porțiunii elementare considerate are coordonatele:

$$x = R \cos \theta; \quad y = R \sin \theta. \quad (1)$$

Prin urmare,

$$x_c = \frac{\int x dl}{\int dl} = \frac{\int_{-\alpha}^{\alpha} R^2 \cos \theta}{\int_{-\alpha}^{\alpha} R d\theta} = R \frac{\sin \theta \Big|_{-\alpha}^{\alpha}}{\theta \Big|_{-\alpha}^{\alpha}} = R \frac{\sin \alpha}{\alpha} \quad (2)$$

$$y_c = \frac{\int y dl}{\int dl} = \frac{\int_{-\alpha}^{\alpha} R^2 \sin \theta d\theta}{\int_{-\alpha}^{\alpha} R d\theta} = R \frac{-\cos \theta \Big|_{-\alpha}^{\alpha}}{2\alpha} = 0. \quad (3)$$

La concluzia $y_c = 0$ s-ar fi ajuns și în urma observației că Ox este axă de simetrie a arcului de cerc.

3.2.2. Se dă o bară omogenă de forma prezentată în figura 3.9. Se cere să se determine poziția centrului de greutate al barei.

Soluție:

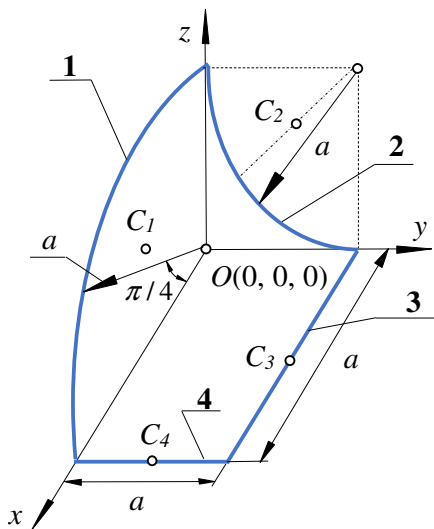


Fig. 3.9

Se ia un sistem de coordonate $xOyz$ și se împarte figura în bare simple ale căror centre de greutate se cunosc sau se pot determina.

Astfel, se obțin: - sectorul de cerc 1 de rază a al cărui centru de greutate este C_1 ;

- sectorul de cerc 2 de rază a al cărui centru de greutate este C_2 ;

- bara 3 cu centrul de greutate C_3 ;

- bara 4 cu centrul de greutate C_4 .

Conform cu (3.29), relația vectorială de determinare a centrului maselor pentru o linie compusă este dată de:

$$\bar{r}_C = \frac{\sum_{i=1}^n \bar{r}_{c_i} l_i}{\sum_{i=1}^n l_i} . \quad (1)$$

Având în vedere figura 3.9, coordonatele centrului de masă al liniei compuse sunt:

$$\begin{aligned}
 x_C &= \frac{x_1 l_1 + x_2 l_2 + x_3 l_3 + x_4 l_4}{l_1 + l_2 + l_3 + l_4}, \\
 y_C &= \frac{y_1 l_1 + y_2 l_2 + y_3 l_3 + y_4 l_4}{l_1 + l_2 + l_3 + l_4}, \\
 z_C &= \frac{z_1 l_1 + z_2 l_2 + z_3 l_3 + z_4 l_4}{l_1 + l_2 + l_3 + l_4}.
 \end{aligned}
 \tag{2}$$

Pentru a fi perfect explicitate relațiile (2), trebuie determinate lungimile și centrele de greutate la fiecare bară simplă în parte, prezentate în tabelul 3.1.

Tabelul 3.1

Sfert de cerc	x_1	$OC_1 \cos \frac{\pi}{4} = \frac{2a}{\pi}$
	y_1	0
	z_1	$OC_1 \sin \frac{\pi}{4} = \frac{2a}{\pi}$
	l_1	$\frac{2\pi R}{4} = \frac{\pi a}{2}$
Sfert de cerc	x_2	0
	y_2	$a - OC_2 \sin \frac{\pi}{4} = a \left(\frac{\pi - 2}{\pi} \right)$
	z_2	$a - OC_2 \cos \frac{\pi}{4} = a \left(\frac{\pi - 2}{\pi} \right)$
	l_2	$\frac{2\pi R}{4} = \frac{\pi a}{2}$
Bară	x_3	$a/2$
	y_3	a
	z_3	0
	l_3	a
Bară	x_4	a
	y_4	$a/2$
	z_4	0
	l_4	a

Prin înlocuirea datelor din tabelul 3.1 în relațiile (2), se obțin coordonatele centrului de greutate al cadrului din figura 3.9 și anume $C(x_C, y_C, z_C)$:

$$x_C = \frac{5a^2}{2a(\pi+2)}, \quad y_C = \frac{a^2(\pi-2) + \frac{3a^2}{2}}{2a(\pi+2)}, \quad z_C = \frac{2a^3 + a^2(\pi-2)}{2a(\pi+2)}. \quad (3)$$

3.2.3. Să se determine poziția centrului de masă pentru placa omogenă de forma unui sector circular, cu unghi la centru 2α și rază R (fig. 3.10).

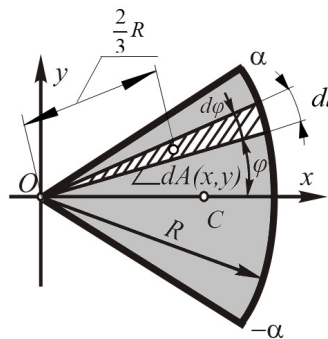


Fig. 3.10

Soluție:

Pentru determinarea centrului de greutate al sectorului circular se delimitează un sector elementar având aria elementară dA , coarda corespunzătoare de lungime $dl = R d\phi$, unghi la centru $d\phi$ și care se află la unghiul ϕ față de axa Ox . Având în vedere că sectorul elementar poate fi aproximat cu un triunghi isoscel, centrul de greutate al acestuia are coordonatele:

$$x = \frac{2}{3} R \cos \phi; \quad y = \frac{2}{3} R \sin \phi. \quad (1)$$

iar aria elementară are expresia:

$$dA = \frac{R^2 d\phi}{2}. \quad (2)$$

Centrul de greutate al placii se determină astfel:

$$x_c = \frac{\int x dA}{\int dA} = \frac{\int_{-\alpha}^{\alpha} \frac{2}{3} R \cos \varphi \cdot \frac{R^2 d\varphi}{2}}{\int_{-\alpha}^{\alpha} \frac{R^2 d\varphi}{2}} = \frac{2}{3} R \frac{\sin \alpha}{\alpha}. \quad (3)$$

Deoarece Ox este axă de simetrie a plăcii, y_c devine:

$$y_c = 0. \quad (4)$$

3.2.4. O bucată de hârtie de forma din figura 3.11 se îndoaie după muchia AB , astfel încât $\triangle ABC$ să se suprapună peste pătratul de latură a . Să se determine poziția centrului de greutate al figurii care rezultă.

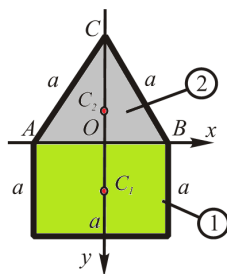


Fig. 3.11

Soluție:

Se observă că Oy este axă de simetrie, prin urmare centrul de greutate este pe axa Oy , adică $x_c = 0$. Pentru determinarea lui y_c se împarte hârtia în cele două elemente, 1 și 2, astfel că

$$y_c = \frac{\sum_{i=1}^2 A_i y_i}{\sum_{i=1}^2 A_i}. \quad (1)$$

Centrele de greutate ale elementelor 1 și 2 sunt situate la distanțele:

$$y_{C1} = \frac{a}{2} ; \quad y_{C2} = \frac{1}{3} OC_2 = \frac{1}{3} \cdot \frac{\sqrt{3}}{2} a = \frac{\sqrt{3}}{6} a. \quad (2)$$

În urma calculelor rezultă:

$$y_c = \frac{\frac{a}{2} \cdot a^2 + \frac{\sqrt{3}}{6} a \cdot \frac{a^2 \sqrt{3}}{4}}{a^2 + a^2 \frac{\sqrt{3}}{4}} = 0,436 a. \quad (3)$$

3.2.5. Să se determine poziția centrului de greutate pentru suprafața hașurată din figura 3.12.

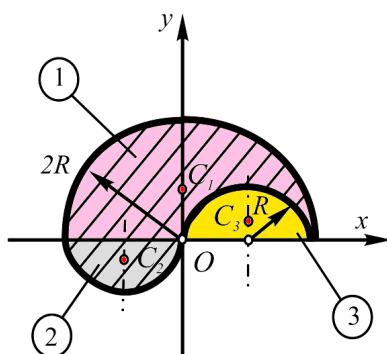


Fig. 3.12

Soluție:

Suprafața dată se împarte în trei elemente, sectoare circulare cu unghi de 180° (semicercuri). Pentru fiecare dintre ele trebuie să se determine aria și poziția centrului de greutate.

Pentru determinarea coordonatelor centrelor de greutate se folosesc notațiile generale din figura 3.13.

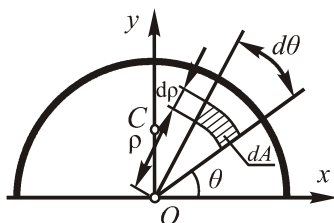


Fig. 3.13

Se observă că axa Oy este axă de simetrie, prin urmare centrul de greutate se află pe Oy și $x_{C_1} = 0$. Pentru determinarea y_{C_1} , y_{C_2} și y_{C_3} se aplică teorema momentului static pentru semicercul de rază r din figura 3.13. Relația determinată în cazul general se particularizează apoi pentru fiecare din elementele 1, 2 și 3. Astfel:

$$A \cdot y_C = \iint y dA, \quad (1)$$

relație în care:

$$y = \rho \sin \theta; \quad dA = \rho \, d\theta \, d\rho . \quad (2)$$

Introducând relațiile (2) în (1) și cunoscând aria semicercului $A = \pi r^2 / 2$, se determină:

$$y_C = \frac{\iint \rho^2 \sin \theta \, d\theta \, d\rho}{A} = \frac{\int_0^\pi \sin \theta \, d\theta \int_0^r \rho^2 \, d\rho}{A} = \frac{-\cos \theta \Big|_0^\pi \cdot \frac{\rho^3}{3} \Big|_0^r}{A} = \frac{4r}{3\pi} . \quad (3)$$

Pentru elementul 1:

$$r \rightarrow 2R \Rightarrow y_{C_1} = \frac{8R}{3\pi}, \quad A_1 = \frac{\pi(2R)^2}{2} = 2\pi R^2 \quad (4)$$

Pentru elementul 2:

$$x_{C_2} = -R, \quad (\text{dreapta } x = -R \text{ este axă de simetrie}) \quad (5)$$

$$y_{C_2} = -\frac{4R}{3\pi}, \quad A_2 = \frac{\pi R^2}{2} \quad (6)$$

Pentru elementul 3:

$$x_{C_3} = R, \quad (\text{dreapta } x = R \text{ este axă de simetrie}) \quad (7)$$

$$y_{C_3} = \frac{4R}{3\pi}, \quad A_3 = \frac{\pi R^2}{2} . \quad (8)$$

Coordonatele centrului de greutate global sunt:

$$x_C = \frac{\sum_{i=1}^3 x_{C_i} A_i}{\sum_{i=1}^3 A_i} = \frac{-R \frac{\pi R^2}{2} - \left(R \frac{\pi R^2}{2} \right)}{2\pi R^2 + \frac{\pi R^2}{2} - \left(\frac{\pi R^2}{2} \right)} = -\frac{1}{2} R \quad (9)$$

$$y_C = \frac{\sum_{i=1}^3 y_{C_i} A_i}{\sum_{i=1}^3 A_i} = \frac{\frac{8R}{3\pi} \cdot 2\pi R^2 - \frac{4R}{3\pi} \cdot \frac{\pi R^2}{2} - \left(\frac{4R}{3\pi} \cdot \frac{\pi R^2}{2} \right)}{2\pi R^2} = \frac{2R}{\pi} . \quad (10)$$

Se observă că termenii corespunzători elementului 3 au fost introduși cu semnul minus, întrucât acest element este un gol.

3.2.6. Să se determine poziția centrului de greutate al plăcii din figura 3.14. Dimensiunile sunt date în centimetri.

Soluție:

Se observă că Oy este axă de simetrie, prin urmare centrul de greutate este pe axa Oy . Cu alte cuvinte, $x_C = 0$. Pentru determinarea lui y_C se împarte placa în trei elemente dreptunghiulare, având dimensiunile din figură. Astfel,

$$y_C = \frac{\sum_{i=1}^3 A_i y_i}{\sum_{i=1}^3 A_i} = \frac{(2 \cdot 20) \cdot 1 + (18 \cdot 2) \cdot 11 + (2 \cdot 15) \cdot 21}{2 \cdot 20 + 18 \cdot 2 + 2 \cdot 15} = 10,05 \text{ [cm]}$$

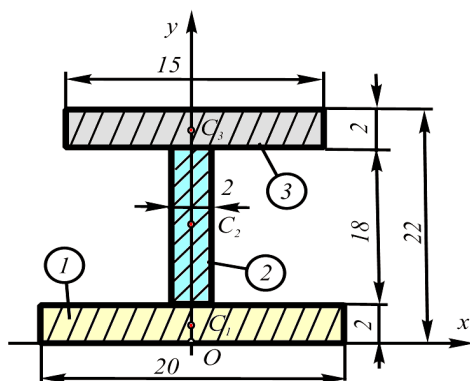


Fig. 3.14

3.2.7. Să se determine poziția centrului de greutate al secțiunii hașurate din figura 3.15. Triunghiul AEB are vârful E în centrul de simetrie al pătratului $ABCD$.

Soluție:

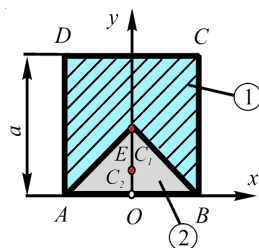


Fig. 3.15

Se observă că Oy este axă de simetrie, prin urmare centrul de greutate este pe axa Oy . Rezultă $x_C = 0$. Pentru determinarea lui y_C se consideră cele două elemente din figură, unde termenii corespunzători elementului 2 se vor lua cu semnul minus, elementul 2 fiind un gol. Astfel,

$$y_C = \frac{\sum_{i=1}^2 A_i y_i}{\sum_{i=1}^2 A_i} = \frac{\frac{a}{2} \cdot a^2 - \frac{1}{3} \cdot \frac{a}{2} \cdot \frac{a^2}{4}}{a^2 - \frac{a^2}{4}} = 0,611 a .$$

3.2.8. Să se afle centrul de greutate al unei suprafețe semicirculare de rază r (fig. 3.16).

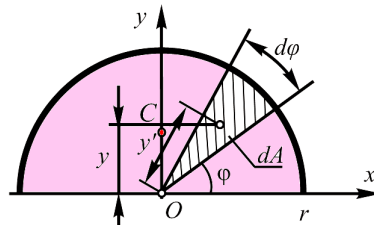


Fig. 3.16

Soluție:

Se delimitează din suprafața semicirculară o porțiune elementară de forma unui sector circular, de unghi $d\varphi$ și arie dA . Se observă că Oy este axă de simetrie, prin urmare $x_C = 0$. Mai rămâne de calculat doar y_C :

$$y_C = \frac{\int y dA}{\int dA} . \quad (1)$$

Aproximând sectorul circular elementar cu un triunghi isoscel, se pot scrie următoarele relații:

$$y' = \frac{2}{3} r, \quad y = y' \sin \varphi = \frac{2}{3} r \sin \varphi \quad (2)$$

$$dA = \frac{1}{2} r^2 d\varphi . \quad (3)$$

Introducând relațiile (2) și (3) în (1) și impunând limitele de integrare, se obține:

$$y_c = \frac{\int_0^{\frac{\pi}{2}} \frac{2}{3} r \sin \varphi \cdot \frac{1}{2} r^2 d\varphi}{\int_0^{\frac{\pi}{2}} \frac{1}{2} r^2 d\varphi} = \frac{\frac{1}{3} r^3 \int_0^{\frac{\pi}{2}} \sin \varphi d\varphi}{\frac{1}{2} r^2 \int_0^{\frac{\pi}{2}} d\varphi} = \frac{2}{3} r \frac{-\cos \varphi \Big|_0^{\frac{\pi}{2}}}{\varphi \Big|_0^{\frac{\pi}{2}}} = \frac{4r}{3\pi}. \quad (4)$$

3.2.9. Să se afle centrul de greutate al suprafeței delimitate de graficul funcției $Y = \sin x$ și axa Ox (fig. 3.17).

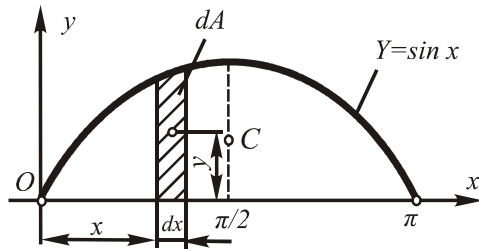


Fig. 3.17

Soluție:

Se observă că dreapta de ecuație $x = \frac{\pi}{2}$ este axă de simetrie a suprafeței din enunțul problemei. Prin urmare,

$$C \in \left(x = \frac{\pi}{2} \right) \Rightarrow x_c = \frac{\pi}{2} \quad (1)$$

Pentru determinarea lui y_c se aplică relația:

$$y_c = \frac{\int y dA}{\int dA}, \quad (2)$$

în care

$$dA = Y dx = \sin x dx \quad (3)$$

iar y este ordonata centrului de greutate al suprafeței elementare:

$$y = \frac{Y}{2} = \frac{\sin x}{2} \quad (4)$$

Înlocuind (3) și (4) în (2), se obține:

$$y_c = \frac{\int_0^{\pi} \frac{\sin x}{2} \cdot \sin x dx}{\int_0^{\pi} \sin x dx} = \frac{1}{2} \frac{\int_0^{\pi} \frac{1 - \cos 2x}{2} dx}{-\cos x \Big|_0^{\pi}} = \frac{1}{4} \frac{x \Big|_0^{\pi} - \frac{\sin 2x}{2} \Big|_0^{\pi}}{-(-1-1)} = \frac{\pi}{8} \quad (5)$$

3.2.10. Să se stabilească formulele generale pentru calculul coordonatelor centrului de greutate la o suprafață omogenă având forma unui sfert de elipsă (fig. 3.18).

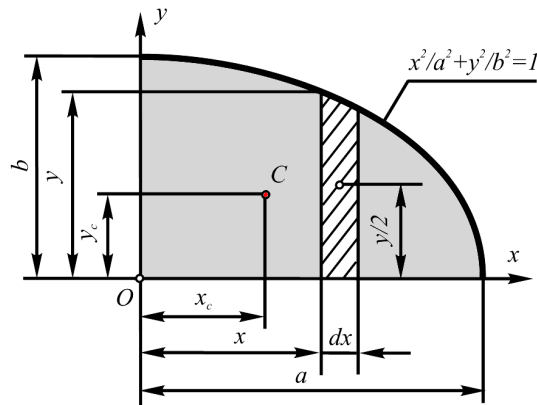


Fig. 3.18

Soluție:

Din suprafața omogenă se delimitează o porțiune elementară de arie:

$$dA = ydx \quad (1)$$

Din ecuația elipsei:

$$\frac{x^2}{a^2} + \frac{y^2}{b^2} = 1, \quad (2)$$

se poate deduce

$$b^2x^2 + a^2y^2 = a^2b^2 \quad (3)$$

sau

$$y = \frac{b}{a} \sqrt{a^2 - x^2}. \quad (4)$$

Prin urmare,

$$dA = \frac{b}{a} \sqrt{a^2 - x^2} dx. \quad (5)$$

Se aplică apoi formulele pentru calculul coordonatelor centrului de greutate pentru o suprafață plană și omogenă, scrise sub formă integrală:

$$x_c = \frac{\int x dA}{\int dA} = \frac{\int_0^a x \frac{b}{a} \sqrt{a^2 - x^2} dx}{\int_0^a \frac{b}{a} \sqrt{a^2 - x^2} dx} = \frac{\int_0^a x \sqrt{a^2 - x^2} dx}{\int_0^a \sqrt{a^2 - x^2} dx} \quad (6)$$

$$y_c = \frac{\int \frac{y}{2} dA}{\int dA} = \frac{\int_0^a \frac{b}{2a} \cdot \frac{b}{a} (a^2 - x^2) dx}{\int_0^a \frac{b}{a} \sqrt{a^2 - x^2} dx} = \frac{b}{2a} \frac{\int_0^a (a^2 - x^2) dx}{\int_0^a \sqrt{a^2 - x^2} dx}. \quad (7)$$

Pentru rezolvarea integralelor se fac următoarele substituții:

$$\sqrt{a^2 - x^2} = u; \quad dx = du \Rightarrow a^2 - x^2 = u^2; \quad -x dx = u du. \quad (8)$$

Înlocuind, rezultă:

$$\int_0^a x \sqrt{a^2 - x^2} dx = -\int_0^a u^2 du = -\frac{u^3}{3} \Big|_0^a = -\frac{(a^2 - x^2)^{\frac{3}{2}}}{3} \Big|_0^a = \frac{a^3}{3}. \quad (9)$$

Se aplică apoi metoda integrării prin părți, unde $u = \sqrt{a^2 - x^2}$; $v = x$.

$$\begin{aligned} \int_0^a \sqrt{a^2 - x^2} dx &= uv - \int v du = \left| x \sqrt{a^2 - x^2} \right|_0^a - \int_0^a x \left(-\frac{x}{\sqrt{a^2 - x^2}} \right) dx = \\ &= \left| x \sqrt{a^2 - x^2} \right|_0^a + \int_0^a \frac{x^2 dx}{\sqrt{a^2 - x^2}} = \left| x \sqrt{a^2 - x^2} \right|_0^a + \int_0^a \frac{a^2 dx}{\sqrt{a^2 - x^2}} - \int_0^a \frac{a^2 - x^2}{\sqrt{a^2 - x^2}} dx = \\ &= \left| x \sqrt{a^2 - x^2} \right|_0^a + \left| a^2 \arcsin \frac{x}{a} \right|_0^a - \int_0^a \sqrt{a^2 - x^2} dx. \end{aligned} \quad (10)$$

Din (9) rezultă:

$$\int_0^a \sqrt{a^2 - x^2} dx = \frac{1}{2} \left| x \sqrt{a^2 - x^2} + a^2 \arcsin \frac{x}{a} \right|_0^a = \frac{1}{2} \left(a^2 \frac{\pi}{2} - 0 \right) = a^2 \frac{\pi}{4}. \quad (11)$$

Înlocuind (9) și (11) în (6), se obține:

$$x_c = \frac{4a}{3\pi}. \quad (12)$$

Numărătorul ultimei fracții (6) se dezvoltă astfel:

$$\int_0^a (a^2 - x^2) dx = a^2 x \Big|_0^a - \frac{1}{3} x^3 \Big|_0^a = a^3 - \frac{1}{3} a^3. \quad (13)$$

Prin urmare, înlocuind (10) și (12) în (6), rezultă:

$$y_C = \frac{4b}{3\pi}. \quad (14)$$

Dacă $a = b = r$, sfertul de elipsă se transformă în sfert de cerc și se obțin următoarele coordonate ale centrului de greutate:

$$x_C = \frac{4r}{3\pi}; \quad y_C = \frac{4r}{3\pi}. \quad (15)$$

3.2.11. Să se determine poziția centrului de greutate pentru placa omogenă din figura 3.19.

Soluție:

Se alege un sistem de referință xOy . Deoarece placa din figura 3.19 nu are simetrii, se împarte în plăci simple, ale căror centre de greutate sunt cunoscute sau se pot determina. Astfel, se notează:

- C_1 - centrul de greutate al plăcii pătrate 1;
- C_2 - centrul de greutate al plăcii triunghiulare 2;
- C_3 - centrul de greutate al plăcii semicirculare 3.

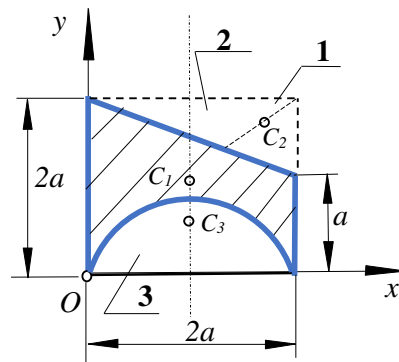


Fig. 3.19

În conformitate cu (3.29), relația vectorială de determinare a centrului maselor este dată de:

$$\bar{r}_C = \frac{\sum_{i=1}^n \bar{r}_{c_i} A_i}{\sum_{i=1}^n A_i} . \quad (1)$$

Se proiectează relația (1) pe axele sistemului de referință xOy ales și se obțin coordonatele centrului de masă:

$$\begin{aligned} x_C &= \frac{x_1 A_1 - x_2 A_2 - x_3 A_3}{A_1 - A_2 - A_3}, \\ y_C &= \frac{y_1 A_1 - y_2 A_2 - y_3 A_3}{A_1 - A_2 - A_3}. \end{aligned} \quad (2)$$

În relațiile (2) termenii care se referă la plinuri au semnul "+", iar termenii care se referă la goluri au semnul "-".

Prin înlocuirea datelor din tabelul 3.2 în relațiile (2), rezultă centrul de greutate al plăcii din figură și anume:

$$x_C = \frac{a(16 - 3\pi)}{3(6 - \pi)}, \quad y_C = \frac{10a}{3(6 - \pi)} . \quad (3)$$

Tabelul 3.2

Pătrat	x_1	a
	y_1	a
	A_1	$4a^2$
Triunghi	x_2	$\frac{2}{3}2a = \frac{4a}{3}$
	y_2	$a + \frac{2}{3}a = \frac{5}{3}a$
	A_2	a^2
Semicerc	x_3	a
	y_3	$\frac{4R}{3\pi} = \frac{4a}{3\pi}$
	A_3	$\frac{\pi a^2}{2}$

3.2.12. Să se determine poziția centrului de greutate al unui con circular drept de înălțime h și raza bazei r (fig. 3.20).

Soluție:

Se observă că Oz este axă de simetrie a conului, rezultă de aici că $C \in Oz$ și prin urmare, $x_C = y_C = 0$. Pentru determinarea lui z_C se consideră o secțiune prin con, prin două plane perpendiculare pe înălțime, rezultând un trunchi elementar de con de înălțime dz , care poate fi aproximat cu un cilindru, după care se aplică relația:

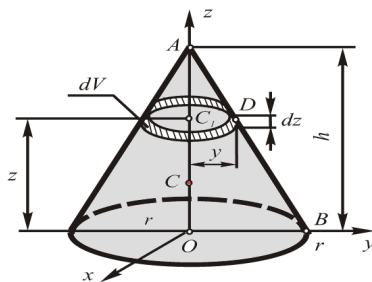


Fig. 3.20

$$z_C = \frac{\int_{(C)} z dV}{\int_{(C)} dV}. \quad (1)$$

Volumul secțiunii elementare se exprimă astfel:

$$dV = \pi y^2 dz = \pi \frac{r^2}{h^2} (h - z)^2 dz = \frac{\pi r^2}{h^2} (h^2 - 2hz + z^2) dz, \quad (2)$$

unde y a fost determinat din asemănarea de triunghiuri $\Delta ACD \sim \Delta AOB$, rezultând:

$$\frac{y}{r} = \frac{h - z}{h} \Rightarrow y = \frac{r(h - z)}{h}. \quad (3)$$

Înlocuind (2) în (1), rezultă:

$$z_c = \frac{\int_0^h \frac{\pi r^2}{h^2} (h^2 z - 2hz^2 - z^3) dz}{\int_0^h \frac{\pi r^2}{h^2} (h^2 - 2hz - z^2) dz} = \frac{h^2 \int_0^h z dz - 2h \int_0^h z^2 dz + \int_0^h z^3 dz}{h^2 \int_0^h dz - 2h \int_0^h z dz + \int_0^h z^2 dz} = \frac{1}{4} h. \quad (4)$$

În concluzie, centrul de greutate al unui con circular drept se află pe înălțimea acestuia, la un sfert de bază.

3.2.13. Pentru o linie dreaptă de lungime l și masă M , să se determine momentele de inerție mecanice și geometrice, în raport cu două axe perpendiculare pe linie, una cu originea într-unul din capete, iar cealaltă având originea în centrul de masă (fig. 3.21).

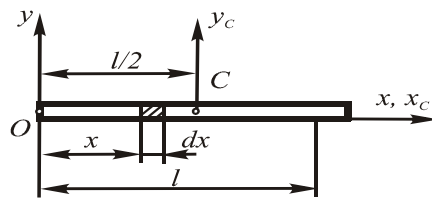


Fig. 3.21

Soluție:

Se consideră o porțiune elementară din linie, de lungime dx și masă $dm = \rho dx$, unde ρ reprezintă densitatea liniară.

Momentul de inerție mecanic în raport cu axa Oy este:

$$J_y = \int_0^l x^2 dm = \int_0^l x^2 \rho dx = \rho \frac{l^3}{3}. \quad (1)$$

Introducând masa întregii linii:

$$M = \rho l, \quad (2)$$

se obține:

$$J_y = M \frac{l^2}{3}. \quad (3)$$

Aplicând teorema lui Steiner în raport cu axele Oy și Cy_c :

$$J_y = J_{yC} + M \left(\frac{l}{2} \right)^2, \quad (4)$$

se obține:

$$J_{yC} = \frac{Ml^2}{3} - \frac{Ml^2}{4} = \frac{Ml^2}{12}. \quad (5)$$

Momentele de inerție geometrice se determină astfel:

$$I_y = \frac{J_y}{\rho} = \frac{l^3}{3} \quad (6)$$

$$I_{yC} = \frac{J_{yC}}{\rho} = \frac{l^3}{12}.$$

3.2.14. Să se determine momentele de inerție mecanice J_x , J_y și J_O pentru un arc de cerc cu unghiul la centru 2α , rază r și densitate liniară ρ (fig. 3.22).

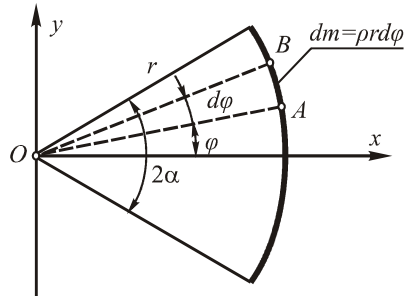


Fig. 3.22

Soluție:

Din arcul de cerc se delimitează porțiunea elementară AB , de unghi la centru $d\phi$, situată la unghiul ϕ față de Ox . Coordonatele centrului de masă al porțiunii elementare AB se aproximează cu coordonatele punctului A , porțiunea elementară fiind infinit de mică. Coordonatele punctului A sunt:

$$\begin{aligned} x &= r \cos \phi \\ y &= r \sin \phi \end{aligned} \quad (1)$$

Momentul de inerție mecanic în raport cu axa Ox este:

$$J_x = \int y^2 dm = \int_{-\alpha}^{\alpha} r^2 \sin^2 \phi \rho r dl. \quad (2)$$

Se știe de la trigonometrie că:

$$\sin^2 \varphi = \frac{1 - \cos 2\varphi}{2}. \quad (3)$$

Prin urmare:

$$J_x = \rho r^3 \cdot \frac{1}{2} \int_{-\alpha}^{\alpha} (1 - \cos 2\varphi) dl = \rho \frac{r^3}{2} \left(\varphi - \frac{\sin 2\varphi}{2} \right) \Big|_{-\alpha}^{\alpha} \quad (4)$$

$$J_x = \rho \frac{r^3}{2} (2\alpha - \sin 2\alpha) = \frac{1}{2} \rho r 2\alpha \left(1 - \frac{\sin 2\alpha}{2\alpha} \right) r^2. \quad (5)$$

Înlocuind masa M în (5),

$$M = \rho r 2\alpha, \quad (6)$$

se obține:

$$J_x = \frac{1}{2} \left(1 - \frac{\sin 2\alpha}{2\alpha} \right) Mr^2. \quad (7)$$

Dar

$$\cos^2 \varphi = \frac{1 + \cos 2\varphi}{2}. \quad (8)$$

Momentul de inerție mecanic în raport cu axa Oy , având în vedere (8), este:

$$J_y = \int x^2 dm = \int_{-\alpha}^{\alpha} r^2 \cos^2 \varphi \rho r d\varphi = \frac{\rho r^3}{2} \int_{-\alpha}^{\alpha} (1 + \cos 2\varphi) d\varphi \quad (9)$$

$$J_y = \frac{\rho r^3}{2} \left(\varphi + \frac{\sin 2\varphi}{2} \right) \Big|_{-\alpha}^{\alpha} = \frac{1}{2} \rho r 2\alpha \left(1 + \frac{\sin 2\alpha}{2\alpha} \right) r^2. \quad (10)$$

Introducând masa M , se obține:

$$J_y = \frac{1}{2} \left(1 + \frac{\sin 2\alpha}{2\alpha} \right) Mr^2. \quad (11)$$

În plan, momentul de inerție mecanic polar în raport cu punctul O este:

$$J_O = J_x + J_y = Mr^2. \quad (12)$$

3.2.15. Să se determine momentele de inerție geometrice I_x, I_y, I_O, I_{xy} ale unei plăci dreptunghiulare omogene cu dimensiunile indicate în figura 3.23. Să se determine, de asemenea, semiaxele elipselor de inerție în raport cu punctele O și C (centrul masei).

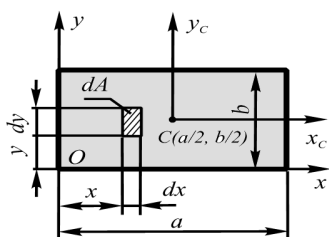


Fig. 3.23

Soluție:

Din suprafața plăcii se delimitează suprafața elementară de arie dA , de dimensiuni și poziție conform figurii 3.23. Aria elementară este:

$$dA = dx dy . \quad (1)$$

Momentul de inerție geometric centrifugal I_{xy} poate fi scris astfel:

$$I_{xy} = \int xy dA = \int xy dx dy \quad (2)$$

sau, separând și delimitând variabilele de integrare,

$$I_{xy} = \int_0^a x dx \int_0^b y dy = \frac{x^2}{2} \Big|_0^a \cdot \frac{y^2}{2} \Big|_0^b = \frac{a^2 b^2}{4} . \quad (3)$$

Momentul de inerție geometric axial în raport cu axa Ox este:

$$I_x = \int y^2 dA = \int y^2 dx dy = \int_0^a dx \int_0^b y^2 dy = x \Big|_0^a \cdot \frac{1}{3} y^3 \Big|_0^b = \frac{ab^3}{3} . \quad (4)$$

Similar, se obține

$$I_y = \frac{ba^3}{3} . \quad (5)$$

Momentul de inerție geometric polar în raport cu polul O se poate scrie:

$$I_O = I_x + I_y = \frac{ab}{3} (a^2 + b^2) . \quad (6)$$

Elipsa de inerție în punctul O are semiaxele:

$$i_x = \sqrt{\frac{J_x}{M}} = \sqrt{\frac{I_x \rho}{M}} = \sqrt{\frac{ab^3}{3} \frac{\rho}{ab\rho}} = \sqrt{\frac{b^2}{3}} = b \frac{\sqrt{3}}{3} \quad (7)$$

$$i_y = \sqrt{\frac{J_y}{M}} = \sqrt{\frac{I_y \rho}{M}} = \sqrt{\frac{a^3 b}{3} \frac{\rho}{ab\rho}} = \sqrt{\frac{a^2}{3}} = a \frac{\sqrt{3}}{3}$$

iar elipsa de inerție în raport cu centrul masei este caracterizată prin semiaxele:

$$i_{xC} = \sqrt{\frac{J_{xC}}{M}} = \sqrt{\frac{I_{xC}\rho}{M}} = \sqrt{\frac{ab^3}{12} \frac{\rho}{ab\rho}} = \sqrt{\frac{b^2}{12}} = b \frac{\sqrt{3}}{6}$$

$$i_{yC} = \sqrt{\frac{J_{yC}}{M}} = \sqrt{\frac{I_{yC}\rho}{M}} = \sqrt{\frac{a^3b}{12} \frac{\rho}{ab\rho}} = \sqrt{\frac{a^2}{12}} = a \frac{\sqrt{3}}{6}$$
(8)

3.2.16. Să se determine momentele de inerție polare J_O și I_O pentru un disc circular de centru O și de rază R (fig. 3.24).

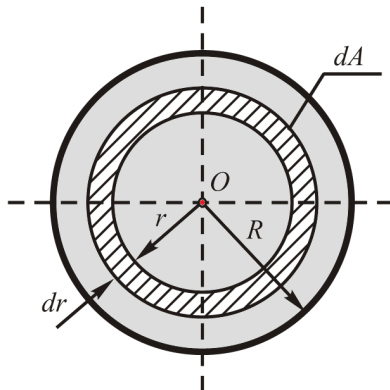


Fig. 3.24

Soluție:

Din suprafața discului se consideră o coroană circulară elementară de grosime delimitată de raza interioară r și raza exterioară $r+dr$. Fiind o suprafață elementară, aria acesteia poate fi considerată egală cu aceea a unui dreptunghi elementar de lungime $2\pi r$ și de lățime dr astfel:

$$dA = 2\pi r dr .$$
(1)

Masa elementară a porțiunii delimitate este:

$$dm = \rho dA .$$
(2)

Prin urmare, momentul mecanic polar al discului este:

$$J_O = \int r^2 dm = \int_0^R 2\pi \rho r^3 dr = 2\pi \rho \int_0^R r^3 dr = \frac{\pi \rho R^4}{2} .$$
(3)

Notând masa discului prin:

$$M = \rho \pi R^2 ,$$
(4)

momentul mecanic polar devine:

$$J_o = \frac{MR^2}{2}. \quad (5)$$

Momentul geometric polar se obține împărțind momentul mecanic polar la densitatea de suprafață. Astfel,

$$I_o = \frac{\pi R^4}{2}. \quad (6)$$

3.2.17. Se cere să se calculeze pentru o placă dreptunghiulară omogenă $ABCD$ (fig. 3.25a), de laturi a, b și masă M următoarele elemente:

- 1) momentul de inerție mecanic în raport cu laturile AB și AD ;
- 2) razele de inerție în raport cu axele Cx, Cy și cu laturile AB, AD ;
- 3) elipsa de inerție corespunzătoare centrului de masă C al plăcii;
- 4) momentul de inerție mecanic polar în raport cu centrul dreptunghiului;
- 5) momentul centrifug $I_{x'y'}$.

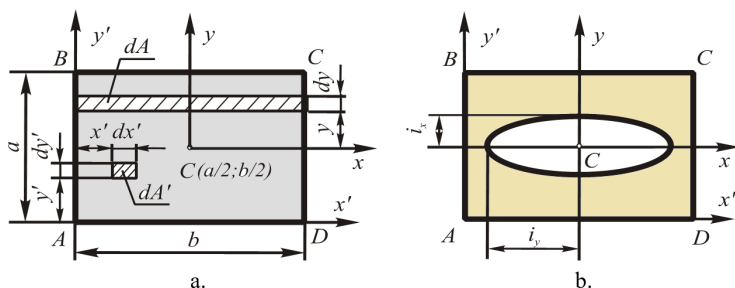


Fig. 3.25

Soluție:

1) Se delimitează din suprafața dreptunghiului o suprafață elementară dA , de masă elementară:

$$dm = \rho dA = \rho b dy. \quad (1)$$

Momentul de inerție mecanic axial în raport cu axa Cx este:

$$J_x = \int_{-\frac{a}{2}}^{\frac{a}{2}} y^2 dm = \int_{-\frac{a}{2}}^{\frac{a}{2}} \rho b y^2 dy = \rho b \frac{y^3}{3} \Big|_{-\frac{a}{2}}^{\frac{a}{2}} = \rho \frac{ba^3}{12} = M \frac{a^2}{12}, \quad (2)$$

unde prin M s-a notat masa dreptunghiului inițial.

$$M = \rho ab. \quad (3)$$

Similar, se obține,

$$J_y = \frac{Mb^2}{12}. \quad (4)$$

Momentul de inerție în raport cu una din laturile dreptunghiului se determină folosind formula lui Steiner :

$$J_{AD} = J_x + M\left(\frac{a}{2}\right)^2 = \frac{Ma^2}{12} + \frac{Ma^2}{4} = \frac{Ma^2}{3}. \quad (5)$$

Similar, se poate determina:

$$J_{AB} = \frac{Mb^2}{3}. \quad (6)$$

2) Razele de inerție se determină astfel:

$$\begin{aligned} i_x &= \sqrt{\frac{J_x}{M}} = \sqrt{\frac{a^2}{12}} = \frac{a\sqrt{3}}{6}, & i_y &= \sqrt{\frac{J_y}{M}} = \sqrt{\frac{b^2}{12}} = \frac{b\sqrt{3}}{6} \\ i_{AB} &= \sqrt{\frac{J_{AB}}{M}} = \sqrt{\frac{b^2}{3}} = \frac{b\sqrt{3}}{3}, & i_{AD} &= \sqrt{\frac{J_{AD}}{M}} = \sqrt{\frac{a^2}{3}} = \frac{a\sqrt{3}}{3}. \end{aligned} \quad (7)$$

3) În figura 3.25b s-a reprezentat elipsa de inerție corespunzătoare centrului de masă C al plăcii. Elipsa de inerție aferentă punctului C are ecuația:

$$\frac{x^2}{i_y^2} + \frac{y^2}{i_x^2} = 1. \quad (8)$$

4) Momentul de inerție polar în raport cu punctul C se obține astfel:

$$J_C = J_x + J_y = \frac{Ma^2}{12} + \frac{Mb^2}{12} = \frac{M}{12}(a^2 + b^2). \quad (9)$$

5) Momentul centrifugal. În acest scop se delimitează o porțiune elementară dreptunghiulară, având laturile dx' și dy' , situată la coordonatele x' și y' (fig. 3.25a). Masa elementară este acum:

$$dm' = \rho dx' dy'. \quad (10)$$

Având în vedere cele de mai sus, se poate scrie:

$$J_{x'y'} = \int x' y' dm' = \rho \int_0^a x' dx' \int_0^b y' dy' = \rho \frac{a^2}{2} \cdot \frac{b^2}{2} = M \frac{ab}{4}. \quad (11)$$

3.2.18. Să se determine J_x și J_y pentru suprafața compusă și omogenă din figura 3.26.

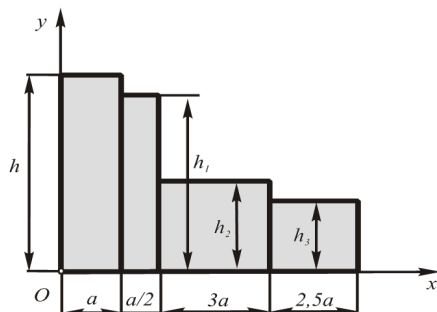


Fig. 3.26

Soluție:

Pentru un dreptunghi de laturi a și b și densitate ρ , momentele de inerție mecanice axiale în raport cu axele x_C, y_C care trec prin centrul de greutate, sunt:

$$J_{x_C} = \rho \frac{ab^3}{12}; J_{y_C} = \rho \frac{a^3b}{12}. \quad (1)$$

Momentele de inerție mecanice determinate în raport cu laturile dreptunghiului, considerând latura a coliniară cu Ox și paralelă cu Cx_C și b coliniară cu Oy și paralelă cu Cy_C , au următoarele expresii:

$$J_x = \rho \frac{ab^3}{3}; J_y = \rho \frac{a^3b}{3}. \quad (2)$$

Având în vedere (2), pentru placa compusă omogenă din figura 3.26, momentul de inerție mecanic în raport cu axa Ox se obține astfel:

$$J_x = \sum_{i=1}^4 J_{x_i} = \frac{\rho}{3} \left(ah^3 + \frac{a}{2} h_1^3 + 3ah_2^3 + 2,5ah_3^3 \right). \quad (3)$$

Pentru momentul de inerție mecanic axial în raport cu axa Oy se aplică teorema lui Steiner, exprimând momentele de inerție ale plăcilor componente în raport cu Oy :

$$J_y = \sum_{i=1}^n J_{y_i} \quad (4)$$

$$J_{y_1} = \frac{\rho}{3} ha^3 \quad (5)$$

$$J_{y_2} = \frac{\rho}{12} h_1 \left(\frac{a}{2}\right)^3 + \rho \frac{a}{2} h_1 \left(a + \frac{a}{4}\right)^2 \quad (6)$$

$$J_{y_3} = \frac{\rho}{12} h_3 (3a)^3 + \rho \cdot 3a \cdot h_2 \left(a + \frac{a}{2} + \frac{3a}{2}\right)^2 \quad (7)$$

$$J_{y_4} = \frac{\rho}{12} h_3 (2,5 a)^3 + \rho \cdot h_3 \cdot 2,5 a \cdot \left(a + \frac{a}{2} + 3a + \frac{2,5 a}{2}\right)^2. \quad (8)$$

În final, se obține:

$$J_y = \frac{\rho}{3} ha^3 + \frac{\rho}{12} h_1 \frac{a^3}{8} + \rho \frac{a}{2} h_1 \cdot \left(\frac{5a}{4}\right)^2 + \frac{\rho}{12} h_2 \cdot 27a + \rho \cdot 3a \cdot h_2 \cdot 9a^2 + \frac{\rho}{12} h_3 (2,5a)^3 + \rho h_3 \cdot 2,5a (5,75 a)^2. \quad (9)$$

3.2.19. Să se calculeze momentele de inerție ale unei plăci trapezoidale omogene (fig. 3.27):

- în raport cu una din baze;
- în raport cu axa paralelă cu baza care trece prin centrul de greutate C_1 .

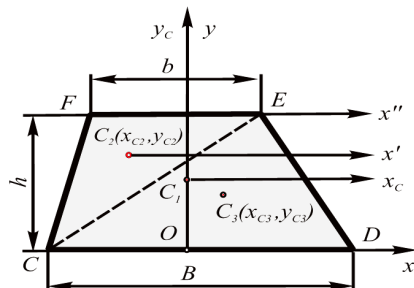


Fig. 3.27

Soluție:

a) Se aleg axele de coordonate Ox , Oy astfel încât Oy să treacă prin centrul de greutate C_1 al plăcii, conform figurii 3.27. Se descompune trapezul dat în $\triangle CDE$ și $\triangle CEF$, de înălțime h . Momentul de inerție mecanic axial în raport cu baza mare este egal cu suma momentelor de inerție ale celor două triunghiuri exprimate în

raport cu această latură, adică

$$J_x = J_{x_{\Delta CDE}} + J_{x_{\Delta CEF}}. \quad (1)$$

Pentru ΔCDE , momentul de inerție în raport cu baza CD este (vezi anexa 2):

$$J_{x_{\Delta CDE}} = \rho \frac{Bh^3}{12}. \quad (2)$$

Momentul de inerție al ΔCEF în raport cu baza EF este:

$$J_{x''} = \rho \frac{bh^3}{12}. \quad (3)$$

Aplicând teorema lui Steiner, se obține:

$$J_{x''} = J_{x'} + M_{\Delta CEF} d^2, \quad (4)$$

unde distanța d are expresia:

$$d = \frac{1}{3} h, \quad (5)$$

iar

$$M_{\Delta CEF} = \rho \frac{bh}{2} \quad (6)$$

reprezintă masa ΔCEF . Din (4), (5) și (6) rezultă momentul de inerție mecanic $J_{x'}$ al plăcii triunghiulare CEF în raport cu axa C_2x' care trece prin centrul său de greutate și anume

$$J_{x'} = J_{x''} - M_{\Delta CEF} \left(\frac{1}{3} h \right)^2 = \rho \frac{bh^3}{12} - \rho \frac{bh}{2} \cdot \frac{1}{9} h^2 = \rho \frac{bh^3}{36}. \quad (7)$$

Conform aceleiași teoreme,

$$J_{x_{\Delta CEF}} = J_{x'} + M_{\Delta CEF} d_1^2, \quad (8)$$

unde

$$d_1 = \frac{2}{3} h. \quad (9)$$

Rezultă astfel:

$$J_{x_{\Delta CFE}} = \rho \frac{bh^3}{36} + \rho \frac{bh}{2} \cdot \frac{4}{9} h^2 = \rho \frac{bh^3}{4}. \quad (10)$$

La același rezultat se ajunge și prin aplicarea teoremei lui Steiner generalizată:

$$J_{x_{\Delta CFE}} = J_{x''} + M(d_2^2 - d_1^2),$$

relație în care

$$J_{x''} = \rho \frac{bh^3}{12}, \quad M = \rho \frac{bh}{12}, \quad d_1 = \frac{h}{3}, \quad d_2 = \frac{2h}{3}.$$

Înlocuind (2) și (10) în (1), se obține

$$J_x = \rho \frac{Bh^3}{12} + \rho \frac{bh^3}{4} = \frac{\rho h^3}{4} \left(\frac{B}{3} + b \right). \quad (11)$$

Masa trapezului este:

$$M_{trapez} = \rho A_{trapez} = \rho \frac{B+b}{2} h. \quad (12)$$

Având în vedere (12), relația (11) devine succesiv:

$$J_x = \rho \frac{(B+3b)}{12} h^3 = \rho \frac{B+b}{B+b} \cdot \frac{(B+3b)}{2 \cdot 6} h \cdot h^2, \quad (13)$$

respectiv

$$J_x = M_{trapez} \cdot \frac{h^2}{6} \cdot \frac{B+3b}{B+b}. \quad (14)$$

c) Aplicând teorema lui Steiner în raport cu axele Ox și C_1x_C , rezultă:

$$J_x = J_{x_C} + M_{trapez} \cdot OC_1^2. \quad (15)$$

De aici poate fi exprimat:

$$J_{x_C} = J_x - M_{trapez} \cdot OC_1^2. \quad (16)$$

Distanța OC_1 este de fapt ordonata centrului de greutate C_1 al trapezului.

Prin urmare,

$$OC_1 = y_G = \frac{y_{C_3} A_{\Delta CDE} + y_{C_2} A_{\Delta CEF}}{A_{\Delta CDE} + A_{\Delta CEF}} = \frac{\frac{1}{3}h \cdot \frac{Bh}{2} + \frac{2}{3}h \cdot \frac{bh}{2}}{\frac{B+b}{2} \cdot h} = \frac{h}{3} \cdot \frac{(B+2b)}{(B+b)}. \quad (17)$$

Înlocuind (14) și (17) în (16) rezultă:

$$J_{x_C} = M_{trapez} \frac{h^2}{6} \cdot \frac{B+3b}{B+b} - M_{trapez} \frac{h^2}{9} \left(\frac{B+2b}{B+b} \right)^2. \quad (18)$$

Aducând la numitor comun și efectuând calculele, se obține:

$$J_{x_C} = M_{trapez} \frac{h^2}{18} \cdot \frac{3(B+3b)(B+b) - 2(B+2b)^2}{(B+b)^2} = M_{trapez} \frac{h^2}{18} \cdot \frac{B^2 + 4Bb + b^2}{(B+b)^2}. \quad (19)$$

3.2.20. Să se calculeze momentele de inerție mecanice axiale ale unei plăci triunghiulare în raport cu axele ce trec prin punctele O și C (centrul de greutate, figura 3.28).

Soluție:

Din suprafața triunghiului se delimitează două porțiuni elementare, una paralelă cu Ox , situată la distanța y de aceasta și una paralelă cu Oy , situată la distanța x de axa Oy . Momentul de inerție axial în raport cu axa Ox este:

$$J_x = \int y^2 dm, \quad (1)$$

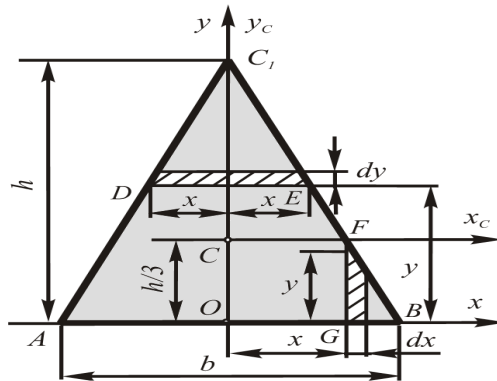


Fig. 3.28

unde elementul de masă are expresia:

$$dm = \rho \cdot dA = \rho \cdot 2x \cdot dy. \quad (2)$$

Din asemănarea triunghiurilor DEC_1 și ABC_1 , rezultă:

$$\frac{2x}{b} = \frac{h-y}{h}, \text{ de unde } 2x = \frac{b}{h}(h-y). \quad (3)$$

Înlocuind (3) și (2) în (1), se determină:

$$\begin{aligned} J_x &= \int_0^h y^2 \rho 2x dy = \int_0^h \rho y^2 \frac{b}{h}(h-y) dy = \\ &= \frac{\rho b}{h} \int_0^h (h-y)y^2 dy = \rho \frac{b}{h} \left(h \frac{y^3}{3} - \frac{y^4}{4} \right) \Big|_0^h. \end{aligned} \quad (4)$$

Cunoscând masa triunghiului:

$$M = \rho \cdot A = \rho \frac{bh}{2} \quad (5)$$

și înlocuind această masă în (4), se obține:

$$J_x = \rho \frac{b}{h} \frac{h^4}{12} = \rho \frac{bh^3}{12} = M \frac{h^2}{6}. \quad (6)$$

Momentul de inerție axial în raport cu axa Oy este:

$$J_y = \int x^2 dm \quad (7)$$

unde, de data aceasta, elementul de masă este:

$$dm = \rho dA = \rho y dx. \quad (8)$$

Din asemănarea triunghiurilor GBF și OBC_1 , se poate scrie următoarea relație:

$$\frac{y}{h} = \frac{\frac{b}{2} - x}{\frac{b}{2}}, \quad (9)$$

din care

$$y = \frac{2h\left(\frac{b}{2} - x\right)}{b} = \frac{h}{b}(b - 2x). \quad (10)$$

Înlocuind (10) și (9) în (8) și ținând cont de (5), rezultă:

$$\begin{aligned} J_y &= \int_{-\frac{b}{2}}^{\frac{b}{2}} x^2 \rho y dx = \frac{\rho h}{b} \int_{-\frac{b}{2}}^{\frac{b}{2}} (b - 2x)x^2 dx = \frac{\rho h}{b} \left(\frac{bx^3}{3} - \frac{2x^4}{4} \right) \Bigg|_{-\frac{b}{2}}^{\frac{b}{2}} = \\ &= \frac{\rho h}{b} \left(\frac{b^4}{24} + \frac{b^4}{24} - \frac{b^4}{32} + \frac{b^4}{32} \right) = \frac{\rho h b^3}{12} = M \frac{b^2}{6}. \end{aligned} \quad (11)$$

Aplicând teorema lui Steiner, se poate scrie:

$$J_x = J_{x_C} + M \cdot d^2, \quad (12)$$

unde $d = \frac{h}{3}$ este distanța dintre cele două axe.

Rezultă, în continuare:

$$J_{x_C} = J_x - M \frac{h^2}{9} = \frac{Mh^2}{6} - \frac{Mh^2}{9} = \frac{3Mh^2}{54} = \frac{Mh^2}{18}. \quad (13)$$

Având în vedere că axele Oy și Cy_C sunt suprapuse:

$$J_{y_C} = J_y = M \frac{b^2}{6}. \quad (14)$$

3.2.21. Să se calculeze pentru un sector circular omogen, de masă M , rază R și unghi la centru 2α (fig. 3.29a):

- momentele de inerție mecanice și razele de inerție în raport cu axele O_x și O_y ;
- momentul de inerție mecanic polar în raport cu centrul cercului, O ;
- momentul de inerție mecanic în raport cu axa ce trece prin centrul de greutate și este paralelă cu Ox ;
- aplicație în cazul sfertului de cerc, semicercului și cercului;
- să se determine elipsele de inerție în punctul C (centrul de greutate) și punctul O .

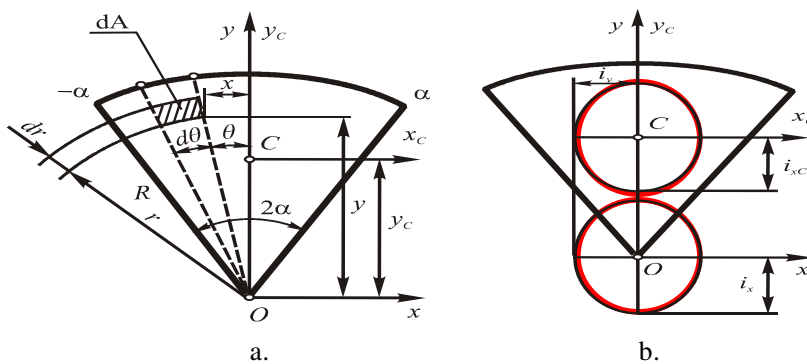


Fig. 3.29

Soluție:

a) Se delimitează o porțiune elementară din suprafața plăcii situată la raza r și unghiul θ față de Oy . Momentul de inerție în raport cu axa Ox este:

$$J_x = \int y^2 dm, \quad (1)$$

unde: $dm = \rho dA = \rho r d\theta dr . \quad (2)$

Coordonatele centrului de masă al suprafeței elementare sunt:

$$\begin{aligned} x &= r \sin \theta \\ y &= r \cos \theta . \end{aligned} \quad (3)$$

Introducând (2) și (3) în (1), rezultă:

$$\begin{aligned}
J_x &= \int_0^R \int_{-\alpha}^{\alpha} y^2 \rho r dr d\theta = \rho \int_0^R \int_{-\alpha}^{\alpha} r^3 \cos^2 \theta dr d\theta = \rho \frac{R^4}{4} \int_{-\alpha}^{\alpha} \cos^2 \theta d\theta = \\
&= \rho \frac{R^4}{4} \int_{-\alpha}^{\alpha} \frac{1 + \cos 2\theta}{2} d\theta = \rho \frac{R^4}{4} \left(\frac{\theta}{2} + \frac{\sin 2\theta}{4} \right) \Big|_{-\alpha}^{\alpha} = \\
&= \rho \frac{R^4}{4} \left(\alpha + \frac{\sin 2\alpha}{2} \right).
\end{aligned} \tag{4}$$

Masa sectorului circular este:

$$M = \rho A = \rho \frac{R \cdot 2\alpha \cdot R}{2} = \rho \alpha R^2. \tag{5}$$

Introducând (5) în (4) se obține:

$$J_x = \frac{MR^2}{4} \left(1 + \frac{\sin 2\alpha}{2\alpha} \right). \tag{6}$$

Momentul de inerție mecanic al plăcii în raport cu axa Oy este:

$$\begin{aligned}
J_y &= \int x^2 dm = \int_0^R \int_{-\alpha}^{\alpha} r^2 \sin^2 \theta \rho r dr d\theta = \rho \int_0^R \int_{-\alpha}^{\alpha} r^3 \sin^2 \theta d\theta = \\
&= \rho \frac{R^4}{4} \int_{-\alpha}^{\alpha} \sin^2 \theta d\theta = \rho \frac{R^4}{4} \int_{-\alpha}^{\alpha} \frac{1 - \cos 2\theta}{2} d\theta = \rho \frac{R^4}{4} \left(\frac{\theta}{2} - \frac{\sin 2\theta}{4} \right) \Big|_{-\alpha}^{\alpha} = \\
&= \rho \frac{R^4}{4} \left(\alpha - \frac{\sin 2\alpha}{2} \right) = \rho \alpha R^2 \frac{R^2}{4} \left(1 - \frac{\sin 2\alpha}{2\alpha} \right).
\end{aligned} \tag{7}$$

Introducând (5) în (7), rezultă:

$$J_y = \frac{MR^2}{4} \left(1 - \frac{\sin 2\alpha}{2\alpha} \right). \tag{8}$$

Razele de inerție (girație) se determină astfel:

$$i_x = \sqrt{\frac{J_x}{M}} = \frac{R}{2} \sqrt{1 + \frac{\sin 2\alpha}{2\alpha}}; \quad i_y = \sqrt{\frac{J_y}{M}} = \frac{R}{2} \sqrt{1 - \frac{\sin 2\alpha}{2\alpha}}. \tag{9}$$

b) Momentul polar în raport cu polul O este:

$$J_O = J_x + J_y = \frac{MR^2}{4} \left(1 + \frac{\sin 2\alpha}{2\alpha} \right) + \frac{MR^2}{4} \left(1 - \frac{\sin 2\alpha}{2\alpha} \right) = \frac{MR^2}{2}. \tag{10}$$

c) Notând cu Cx_C axa ce trece prin centrul de greutate și este paralelă cu Ox , se poate aplica teorema lui Steiner:

$$J_x = J_{x_C} + M y_C^2. \tag{11}$$

Din ecuația de mai sus rezultă:

$$J_{x_C} = J_x - M y_C^2, \tag{12}$$

unde y_C este ordonata centrului de greutate și se determină cu relația:

$$y_C = \frac{\int_{(S)} y dA}{\int_{(S)} dA}. \quad (13)$$

În expresia de mai sus, intervin următoarele mărimi:

$$y = \frac{2}{3} R \cos \theta; \quad dA = \frac{R d\theta \cdot R}{2}. \quad (14)$$

Introducând (14) în (13), se obține:

$$y_C = \frac{\int_{-\alpha}^{\alpha} \frac{2}{3} R \cos \theta \frac{R^2 d\theta}{2}}{\int_{-\alpha}^{\alpha} \frac{R^2}{2} d\theta} = \frac{\frac{R^3}{3} \int_{-\alpha}^{\alpha} \cos \theta d\theta}{\frac{R^2}{2} \theta \Big|_{-\alpha}^{\alpha}} = \frac{2R}{3} \cdot \frac{\sin \theta \Big|_{-\alpha}^{\alpha}}{2\alpha} = \frac{2R}{3} \cdot \frac{\sin \alpha}{\alpha}. \quad (15)$$

Înlocuind (6) și (15) în (12), rezultă:

$$\begin{aligned} J_{x_C} &= \frac{MR^2}{4} \left(1 + \frac{\sin 2\alpha}{2\alpha} \right) - \frac{4}{9} MR^2 \frac{\sin^2 \alpha}{\alpha^2} = \\ &= \frac{MR^2}{4} \left(1 + \frac{\sin 2\alpha}{2\alpha} - \frac{16 \sin^2 \alpha}{9 \alpha^2} \right). \end{aligned} \quad (16)$$

Deoarece axa Oy este colineară cu Cy_C , se poate scrie:

$$J_y = J_{y_C}. \quad (17)$$

- d) Pentru diferite valori particulare ale unghiului α , specifice pentru sfert de cerc, semicerc și cerc, momentele de inerție corespunzătoare sunt prezentate în tabelul 3.3.

Tabelul 3.3

α	J_x	J_y	J_O	J_{x_C}
$\frac{\pi}{4}$	$\frac{MR^2}{4} \left(1 + \frac{2}{\pi} \right)$	$\frac{MR^2}{4} \left(1 - \frac{2}{\pi} \right)$	$\frac{MR^2}{2}$	$\frac{MR^2}{4} \left(1 + \frac{2}{\pi} - \frac{16}{9} \cdot \frac{1/2}{\pi^2/16} \right)$
$\frac{\pi}{2}$	$\frac{MR^2}{4}$	$\frac{MR^2}{4}$	$\frac{MR^2}{2}$	$\frac{MR^2}{4} \left(1 - \frac{16}{9} \cdot \frac{1}{\pi^2/4} \right)$
π	$\frac{MR^2}{4}$	$\frac{MR^2}{4}$	$\frac{MR^2}{2}$	$\frac{MR^2}{4}$

- e) Deoarece Oy este axă de simetrie, momentele J_x, J_y, J_{x_C} sunt momente principale de inerție.

Semiaxele elipselor sunt:

- În raport cu punctul O :

$$i_x = \sqrt{\frac{J_x}{M}} = \frac{R}{2} \sqrt{\left(1 + \frac{\sin 2\alpha}{2\alpha}\right)}$$

$$i_y = \sqrt{\frac{J_y}{M}} = \frac{R}{2} \sqrt{\left(1 - \frac{\sin 2\alpha}{2\alpha}\right)}.$$
(18)

- În raport cu punctul C (centrul de greutate):

$$i_{x_C} = \sqrt{\frac{J_{x_C}}{M}} = \frac{R}{2} \sqrt{1 + \frac{\sin 2\alpha}{2} - \frac{16}{9} \cdot \frac{\sin^2 \alpha}{\alpha^2}}$$

$$i_{y_C} = i_y.$$
(19)

Axa $Oy \equiv Cy_C$ este axă de simetrie a sectorului circular și, deci, este axă principală de inerție. Cum axele principale de inerție sunt axe de simetrie ale elipsei de inerție, axele Ox și Oy sunt axe de simetrie pentru elipsa de inerție corespunzătoare punctului O , iar axele Cx_C și Cy_C sunt axe de simetrie pentru elipsa de inerție aferentă punctului C . Ecuațiile elipselor de inerție corespunzătoare punctelor O și C sunt:

$$\frac{x^2}{i_y^2} + \frac{y^2}{i_x^2} = 1, \quad \frac{x_C^2}{i_{y_C}^2} + \frac{y_C^2}{i_{x_C}^2} = 1.$$
(20)

În figura 3.29b sunt reprezentate elipsele de inerție corespunzătoare punctelor O și C .

3.2.22. Să se calculeze momentele de inerție mecanice și geometrice ale unui paralelipiped omogen, de laturi a, b, c în raport cu axele sistemului $Cxyz$, în raport cu centrul de masă C și în raport cu axa Δ (fig. 3.30).

Soluție:

Momentul de inerție mecanic în raport cu axa Cz al paralelipipedului elementar este echivalent cu momentul de inerție mecanic polar al plăcii dreptunghiulare în raport cu centrul său de masă. Astfel, se poate scrie:

$$dJ_z = dm \frac{a^2 + b^2}{12},$$
(1)

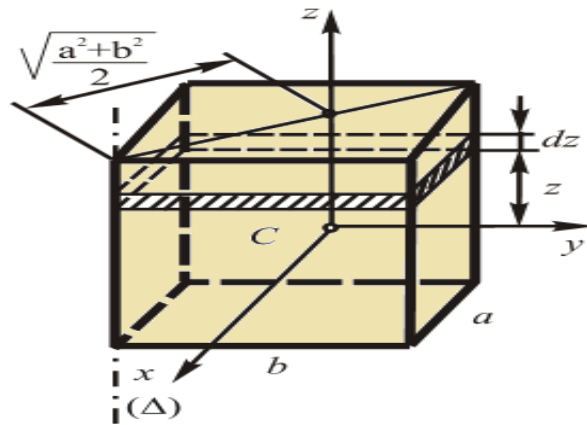


Fig. 3.30

pentru că la placa dreptunghiulară, conform cu relația (9) de la problema 3.16, momentul de inerție polar în raport cu centrul de greutate are valoarea

$$J_C = M \frac{a^2 + b^2}{12}. \quad (2)$$

Masa elementului de paralelipiped este:

$$dm = \rho a b dz. \quad (3)$$

Integrând (1), se obține:

$$J_z = \int dm \frac{a^2 + b^2}{12}, \quad (4)$$

relație în care dm are valoarea exprimată prin relația (3), astfel că:

$$J_z = \frac{a^2 + b^2}{12} \rho a b \int_{-\frac{c}{2}}^{\frac{c}{2}} dz = \rho abc \frac{a^2 + b^2}{12}. \quad (5)$$

Masa paralelipipedului este:

$$M = \rho V = \rho abc. \quad (6)$$

Prin urmare,

$$J_z = M \frac{a^2 + b^2}{12}. \quad (7)$$

Analog, se obțin:

$$J_x = M \frac{c^2 + b^2}{12}; \quad J_y = M \frac{a^2 + c^2}{12}. \quad (8)$$

Momentele de inerție geometrice axiale ale paralelipipedului sunt:

$$\begin{aligned} I_x &= \frac{abc}{12}(b^2 + c^2) \\ I_y &= \frac{abc}{12}(a^2 + c^2) \\ I_z &= \frac{abc}{12}(a^2 + b^2). \end{aligned} \quad (9)$$

Momentul de inerție mecanic polar este:

$$J_O = \frac{1}{2}(J_x + J_y + J_z) = M \frac{a^2 + b^2 + c^2}{12} \quad (10)$$

iar cel geometric:

$$I_O = abc \frac{a^2 + b^2 + c^2}{12}. \quad (11)$$

Pentru determinarea momentului de inerție mecanic în raport cu axa (Δ) paralelă cu axa Cz se aplică teorema lui Steiner și anume:

$$J_\Delta = J_z + Md^2, \quad (12)$$

unde distanța d este:

$$d = \frac{\sqrt{a^2 + b^2}}{2}. \quad (13)$$

Prin urmare,

$$J_\Delta = M \frac{a^2 + b^2}{12} + M \frac{a^2 + b^2}{14} = \frac{1}{3}M(a^2 + b^2). \quad (14)$$

Momentul de inerție geometric în raport cu axa (Δ) este:

$$I_\Delta = \frac{1}{3}abc(a^2 + b^2). \quad (15)$$

3.2.23. Să se calculeze momentele de inerție mecanice și geometrice pentru o sferă (fig. 3.31).

Soluție:

Volumul sferei este:

$$V_{sf.} = \int_0^R 4\pi r^2 dr = 4\pi \frac{R^3}{3} . \quad (1)$$

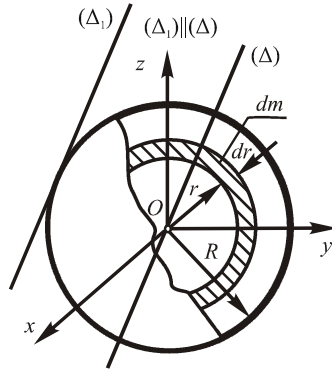


Fig. 3.31

Masa porțiunii elementare este:

$$dm = \rho dV = \rho A_{sf.} dr = \rho 4\pi r^2 dr . \quad (2)$$

Momentul de inerție polar în raport cu punctul O este:

$$J_O = \int r^2 dm = \int_0^R 4\pi \rho r^4 dr = 4\pi \rho \frac{R^5}{5} = \frac{4 \cdot 3}{5 \cdot 3} \pi R^3 \rho R^2 . \quad (3)$$

Masa sferei poate fi scrisă astfel:

$$M = \rho V_{sf.} = \frac{4}{3} \pi R^3 \rho . \quad (4)$$

Înlocuind (4) și (1) în (3), rezultă:

$$J_O = \frac{3}{5} MR^2 . \quad (5)$$

Momentul de inerție geometric polar este:

$$I_O = \frac{4}{5} \pi R^5 . \quad (6)$$

Datorită simetriei, momentul de inerție în raport cu orice axă care trece prin centrul sferei este același:

$$J_{\Delta} = J_x = J_y = J_z. \quad (7)$$

Momentul polar mai poate fi scris, ținând cont de (7), astfel:

$$J_O = \frac{1}{2}(J_x + J_y + J_z) = \frac{3}{2}J_x, \quad (8)$$

de unde rezultă:

$$J_x = \frac{2}{3}J_O \quad (9)$$

și, înlocuind (5), se obține:

$$J_x = J_y = J_z = J_{\Delta} = \frac{2}{5}MR^2. \quad (10)$$

Momentul de inerție geometric axial în raport cu orice axă care trece prin centrul sferei este:

$$I_x = I_y = I_z = \frac{8}{15}\pi R^3. \quad (11)$$

Aplicând teorema lui Steiner, se deduce momentul de inerție mecanic în raport cu orice axă tangentă la sferă:

$$J_{\Delta_1} = J_{\Delta} + MR^2 = \frac{2}{3}MR^2 + MR^2 = \frac{7}{5}MR^2. \quad (12)$$

3.2.24. Să se determine momentele inerțiale axiale și centrifugale, polare corespunzătoare unei sfere pline de rază R (fig. 3.32).

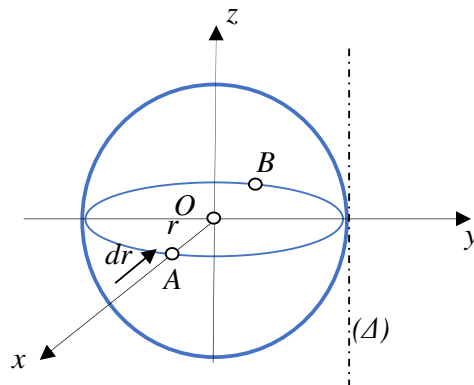


Fig. 3.32

Soluție:

Datorită simetriei:

$$J_x = J_y = J_z$$

$$J_{xy} = J_{xz} = J_{yz} = 0$$

$$3J_x = J_x + J_y + J_z = \int (y^2 + z^2) dm + \int (x^2 + z^2) dm + \int (y^2 + x^2) dm$$

$$3J_x = 2 \int (x^2 + y^2 + z^2) dm = 2 \int r^2 dm$$

$$\rho_v = \frac{M}{V} = \frac{M}{4\pi R^3}; \quad dm = \rho_v dV = 4\pi r^2 dr$$

$$J_x = 2 \int_0^R r^2 \rho_v 4\pi r^2 dr = 8\rho_v \pi \int_0^R r^2 r^2 dr = \frac{2MR^2}{5}$$

$$J_x = J_y = J_z = \frac{2MR^2}{5}$$

$$J_0 = \frac{2MR^2}{5} \begin{bmatrix} J_x & -J_{xy} & -J_{xz} \\ -J_{yx} & J_y & -J_{yz} \\ -J_{zx} & -J_{zy} & J_z \end{bmatrix} = \frac{2MR^2}{5} \begin{bmatrix} 1 & 0 & 0 \\ 0 & 1 & 0 \\ 0 & 0 & 1 \end{bmatrix}$$

3.3 Probleme propuse

3.3.1. Să se determine poziția centrului de greutate al barei compuse omogene din figura 3.33.

Răspuns: $x_C = y_C = 0$.

3.3.2. Să se determine poziția centrului de greutate al plăcii rezultate prin decuparea unui cerc dintr-un pătrat (fig. 3.34).

Răspuns: $x_C = y_C = -\frac{a\pi}{4(16-\pi)}$.

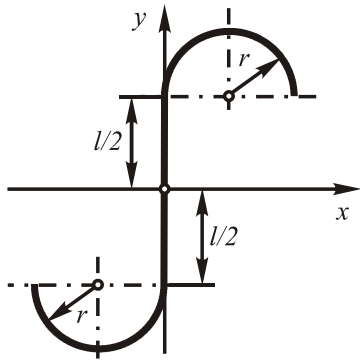


Fig. 3.33

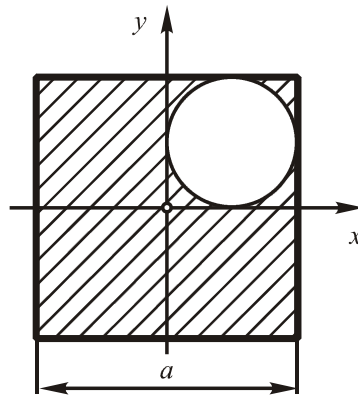


Fig. 3.34

3.3.3. Să se calculeze poziția centrului de masă al suprafeței omogene rezultate prin extragerea unui semicerc de rază R dintr-un sfert de cerc de rază $2R$. (fig. 3.35).

Răspuns: $x_C = R\left(\frac{16}{3\pi} - 1\right)$, $y_C = \frac{4R}{\pi}$.

3.3.4. Să se calculeze poziția centrului de masă al suprafeței omogene compuse din figura 3.36.

Răspuns: $x_C = -\frac{R}{3}$, $y_C = \frac{28R}{9\pi}$.

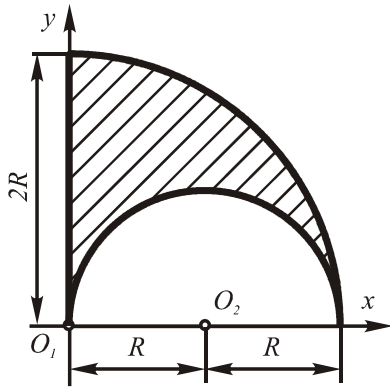


Fig. 3.35

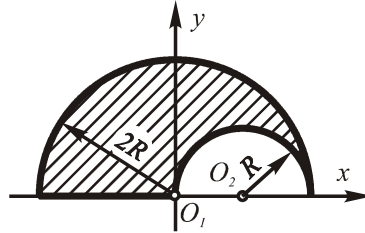


Fig. 3.36

3.3.5. Să se determine centrul de greutate al plăcii din figura 3.37, figură formată din semicercul ACB și triunghiul ADB . Se dă raza **semicercului** R și $OD = 2R$.

Răspuns:

$$C(x_C, y_C) = C(0.187R, 0).$$

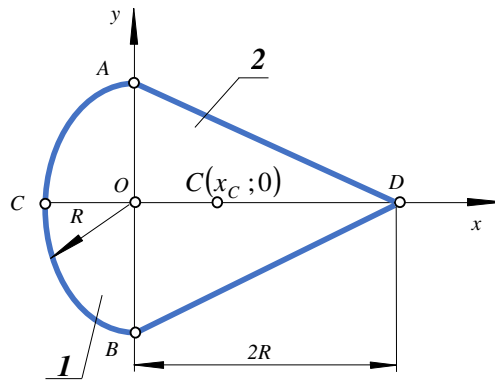


Fig. 3.37

3.3.6. Se dau patru mase: $m_1 = 1$ kg, $m_2 = 2$ kg, $m_3 = 3$ kg, $m_4 = 4$ kg, concentrate în vârfurile unui pătrat $OABC$ de latură a cm. Să se determine poziția centrului acestor mase și momentul de inerție mecanic față de axele sistemului de referință $Oxyz$ (fig. 3.38).

Răspuns: $x_C = \frac{a}{2}$ [cm], $y_C = \frac{7a}{10}$ [cm], $z_C = 0$.

$J_x = 7a^2$ [kg · cm²], $J_y = 5a^2$ [kg · cm²], $J_z = 12a^2$ [kg · cm²].

3.3.7. Să se calculeze momentul de inerție geometric centrifugal I_{xy} pentru triunghiul dreptunghic OAB din figura 3.39.

Răspuns: $I_{xy} = \frac{b^2 c^2}{24}$.

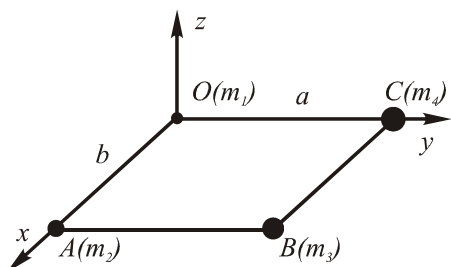


Fig. 3.38

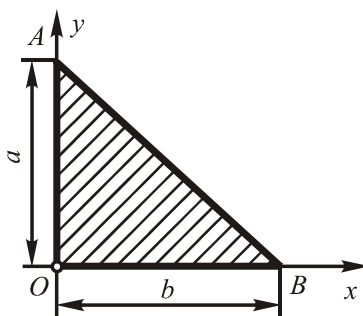


Fig. 3.39

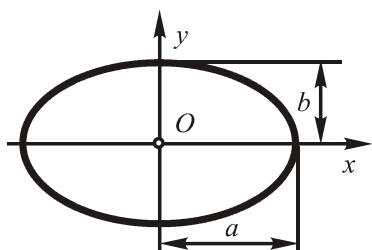


Fig. 3.40

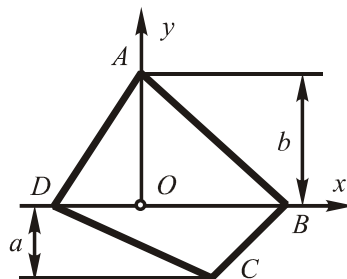


Fig. 3.41

3.3.8. Să se calculeze momentul de inerție mecanic polar J_O pentru elipsa de semiaxe a și b din figura 3.40, precum și ecuația elipsei sale centrale de inerție.

Răspuns: $J_O = \frac{M}{4}(a^2 + b^2),$

$$\frac{x^2}{\left(\frac{a}{2}\right)^2} + \frac{y^2}{\left(\frac{b}{2}\right)^2} = 1.$$

3.3.9. Să se determine momentul de inerție mecanic axial J_x al patrulaterului

$ABCD$ din figura 3.41, știind că masa acestuia este M .

Răspuns: $J_x = \frac{M}{6} \left(\frac{a^3 + b^3}{a + b} \right).$

3.3.10. Să se calculeze momentele de inerție mecanice $J_x, J_{x'}, J_y, J_O, J_{O'}$ ale suprafeței cuprinse între cercurile de raze R și r din figura 3.42, știind că distanța dintre centrele O și O' ale cercurilor este a și masa suprafeței respective este M .

Răspuns:

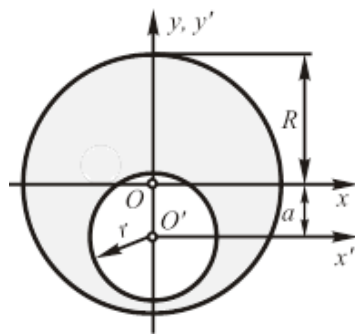


Fig. 3.42

$$J_x = \frac{M}{4} \left[r^2 \left(1 - \frac{4a^2}{R^2 - r^2} \right) + R^2 \right],$$

$$J_{x'} = \frac{M}{4} R^2 \left(1 + \frac{4a^2}{R^2 - r^2} \right),$$

$$J_y = \frac{M}{4} (R^2 + r^2),$$

$$J_O = J_x + J_y = \frac{M}{4} \left[r^2 \left(2 - \frac{4a^2}{R^2 - r^2} \right) + 2R^2 \right]$$

$$J_{O'} = J_{x'} + J_{y'} = \frac{M}{4} \left[R^2 \left(2 + \frac{4a^2}{R^2 - r^2} \right) + 2r^2 \right].$$

4. STATICA PUNCTULUI MATERIAL ^[10]

4.1 Considerații teoretice

4.1.1 Echilibrul punctului material supus la legături fără frecare

O legătură este o restricție care limitează posibilitățile de deplasare ale unui punct material.

Din punct de vedere mecanic, legătura unui punct material poate fi suprimată și înlocuită cu o forță notată \bar{R}_l și numită *forță de legătură sau reacțiune*. Sub acțiunea forțelor date de rezultantă \bar{R} și a forței de legătură \bar{R}_l , punctul material devine „liber”.

Aspectul geometric al legăturii se caracterizează prin reducerea gradelor de libertate ale punctului.

Condiția necesară și suficientă de echilibru a punctului material este:

- *vectorială*: $\bar{R} + \bar{R}_l = 0$, unde $\bar{R} = \sum_{i=1}^n \bar{F}_i$ - rezultanta forțelor exterioare (4.1)

- *scalară*: $R_x + R_{lx} = 0$, $R_y + R_{ly} = 0$, $R_z + R_{lz} = 0$. (4.2)

Necunoscutele unei probleme de echilibru a punctului material supus la legături, sunt parametrii poziției de echilibru și forța/forțele de legătură.

În cele ce urmează, se va studia echilibrul punctului material pe o suprafață sau o curbă.

a) Punct material obligat să rămână în echilibru pe o suprafață cu frecare neglijabilă

Forța de legătură are direcția normală la suprafață (fig. 4.1). În cazul punctului obligat să stea în echilibru pe suprafață sunt necesari doar doi parametri independenți care să definească poziția de echilibru a punctului, punctul pe suprafață având două grade de libertate.

- Dacă ecuația suprafeței este: $f(x, y, z) = 0$, atunci $\bar{R}_l = \bar{N} = \lambda \text{grad } f$ și condițiile de echilibru (4.1) și (4.2) devin:

- *vectorial*: $\bar{R} + \lambda \text{grad } f = 0$ (4.3)

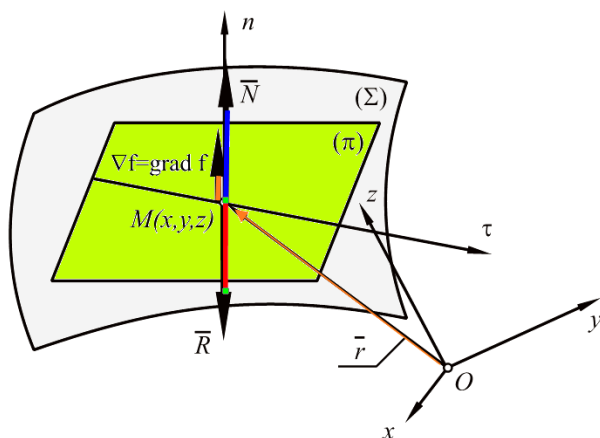


Fig. 4.1

- scalar:

$$R_x + \lambda \frac{\partial f}{\partial x} = 0, R_y + \lambda \frac{\partial f}{\partial y} = 0, \quad (4.4)$$

$$R_z + \lambda \frac{\partial f}{\partial z} = 0, f(x, y, z) = 0.$$

Dacă interesează doar poziția de echilibru a punctului, se elimină din (4.4) parametrul λ și se obține următorul sistem în necunoscutele x, y, z :

$$\frac{R_x}{\frac{\partial f}{\partial x}} = \frac{R_y}{\frac{\partial f}{\partial y}} = \frac{R_z}{\frac{\partial f}{\partial z}}, f(x, y, z) = 0. \quad (4.5)$$

- Dacă ecuația suprafeței este $z = f(x, y)$, ecuațiile (4.4) și (4.5) devin:

$$R_x + \lambda \frac{\partial f}{\partial x} = 0, R_y + \lambda \frac{\partial f}{\partial y} = 0, \quad (4.6)$$

$$R_z - \lambda = 0, f(x, y) - z = 0,$$

$$\frac{R_x}{\frac{\partial f}{\partial x}} = \frac{R_y}{\frac{\partial f}{\partial y}} = \frac{R_z}{-1}, f(x, y) - z = 0. \quad (4.7)$$

- Dacă suprafața este dată sub formă parametrică:

$$x = x(u, v); y = y(u, v); z = z(u, v),$$

atunci:

$$\bar{R}_l = \bar{N} = \lambda \left(\frac{\partial \bar{r}}{\partial u} \times \frac{\partial \bar{r}}{\partial v} \right),$$

În final, ecuațiile de echilibru (4.2) devin:

$$\begin{aligned} R_x + \lambda \frac{D(y, z)}{D(u, v)} = 0, \quad R_y + \lambda \frac{D(z, x)}{D(u, v)} = 0, \\ R_z + \lambda \frac{D(x, y)}{D(u, v)} = 0, \quad f(x, y, z) = 0. \end{aligned} \quad (4.8)$$

$$\frac{R_x}{\frac{D(y, z)}{D(u, v)}} = \frac{R_y}{\frac{D(z, x)}{D(u, v)}} = \frac{R_z}{\frac{D(x, y)}{D(u, v)}}, \quad f(x, y, z) = 0. \quad (4.9)$$

Relațiile (4.5), (4.7) și (4.9) se folosesc dacă nu este necesar să se determine forța de legătură (de fapt, forța de legătură rezultă din (4.1) ca fiind $\bar{R}_l = \bar{N} = -\bar{R}$, dacă se determină rezultanta forțelor exterioare \bar{R}), și în consecință, ne interesează doar poziția de echilibru a punctului material.

b) Punct obligat să stea pe o curbă cu frecare neglijabilă

Forța de legătură este situată în planul normal la curbă în punctul respectiv, punctul având un grad de libertate (fig. 4.2).

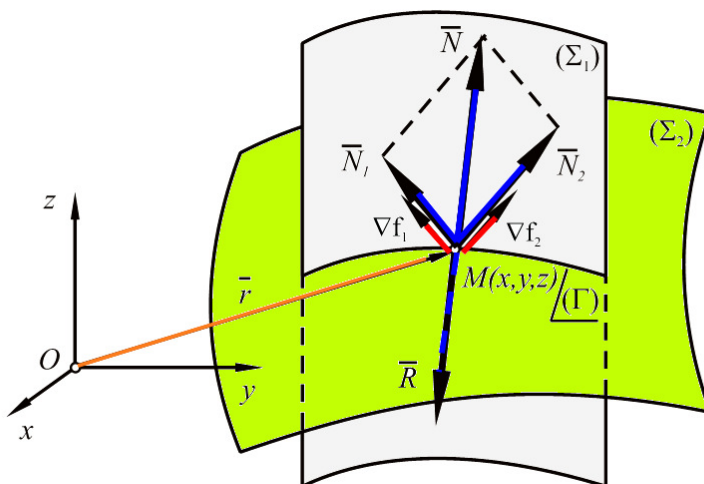


Fig. 4.2

- Dacă ecuația curbei este dată parametric: $x = x(t), y = y(t), z = z(t)$
 atunci: $\bar{R}_t \cdot \bar{\tau} = 0$ ($\bar{\tau}$ fiind versorul tangentei la curbă) sau, în baza relației (4.1),
 $\bar{R} \cdot \bar{\tau} = 0$. Dar cum versorul $\bar{\tau}$ are valoarea:

$$\bar{\tau} = \frac{x'\bar{i} + y'\bar{j} + z'\bar{k}}{\sqrt{x'^2 + y'^2 + z'^2}},$$

se obține:

$$R_x x'(t) + R_y y'(t) + R_z z'(t) = 0, \quad (4.10)$$

din care se determină parametrul t al poziției de echilibru.

- Dacă ecuația curbei este dată sub forma: $f_1(x, y, z) = 0, f_2(x, y, z) = 0$,
 atunci $\bar{R}_t = \bar{N} = \lambda_1 \nabla f_1 + \lambda_2 \nabla f_2$ și relațiile (4.2) devin:

$$\begin{aligned} R_x + \lambda_1 \frac{\partial f_1}{\partial x} + \lambda_2 \frac{\partial f_2}{\partial x} &= 0 \\ R_y + \lambda_1 \frac{\partial f_1}{\partial y} + \lambda_2 \frac{\partial f_2}{\partial y} &= 0 \\ R_z + \lambda_1 \frac{\partial f_1}{\partial z} + \lambda_2 \frac{\partial f_2}{\partial z} &= 0 \\ f_1(x, y, z) &= 0 \\ f_2(x, y, z) &= 0 \end{aligned} \quad (4.11)$$

sau

$$\begin{vmatrix} R_x & \frac{\partial f_1}{\partial x} & \frac{\partial f_2}{\partial x} \\ R_y & \frac{\partial f_1}{\partial y} & \frac{\partial f_2}{\partial y} \\ R_z & \frac{\partial f_1}{\partial z} & \frac{\partial f_2}{\partial z} \end{vmatrix} = 0 \quad \begin{matrix} f_1(x, y, z) = 0 \\ f_2(x, y, z) = 0 \end{matrix}, \quad (4.12)$$

din care, utilizând (4.11), se determină coordonatele punctului x, y, z și parametrii scalari λ_1 și λ_2 , sau numai coordonatele punctului x, y, z din (4.12), dacă nu ne interesează decât poziția de echilibru a punctului pe curbă.

- Dacă ecuația curbei este dată sub forma: $z = f(x, y), z = g(x, y)$,
 notând:

$$\begin{aligned} (x, y, z) = f(x, y) - z &= 0 \\ \psi(x, y, z) = g(x, y) - z &= 0, \end{aligned} \quad (4.13)$$

ecuațiile de echilibru sunt date de (4.11) și (4.12) scrise astfel:

$$\begin{aligned}
 R_x + \lambda_1 \frac{\partial f}{\partial x} + \lambda_2 \frac{\partial g}{\partial x} &= 0 \\
 R_y + \lambda_1 \frac{\partial f}{\partial y} + \lambda_2 \frac{\partial g}{\partial y} &= 0 \\
 R_z - \lambda_1 - \lambda_2 &= 0 \\
 f(x, y) - z &= 0 \\
 g(x, y) - z &= 0
 \end{aligned}
 \tag{4.14}$$

$$\begin{vmatrix}
 R_x & \frac{\partial f}{\partial x} & \frac{\partial g}{\partial x} \\
 R_y & \frac{\partial f}{\partial y} & \frac{\partial g}{\partial y} \\
 R_z & -1 & -1
 \end{vmatrix} = 0 \quad \begin{aligned}
 f(x, y) - z &= 0 \\
 g(x, y) - z &= 0.
 \end{aligned}
 \tag{4.15}$$

4.1.2 Echilibrul punctului material supus la legături cu frecare

La legăturile cu frecare forța de legătură se poate descompune în două componente: una normală \bar{N} și cealaltă tangențială \bar{T} , numită forță de frecare.

Condiția de echilibru în cazul frecării este (4.1), în care $\bar{R}_i = \bar{N} + \bar{T}$, iar

$$T \leq \mu \cdot N, \tag{4.16}$$

unde $\mu = \tan \varphi$, unghiul φ fiind unghiul de frecare, iar μ coeficientul de frecare la alunecare (adimensional și subunitar pentru a învinge frecarea).

a) Echilibrul unui punct material pe o suprafață aspră

Dacă unghiul ascuțit dintre normala la suprafață și rezultanta forțelor exterioare este β (fig. 4.3), condiția necesară și suficientă de echilibru este:

$$\beta \leq \varphi \text{ sau } \cos \beta \geq \cos \varphi, \tag{4.17}$$

dar cum

$$\cos \beta = \frac{\bar{R} \cdot \nabla f}{|\bar{R}| \cdot |\nabla f|} \text{ și } \cos \varphi = \frac{1}{\sqrt{1 + \mu^2}},$$

rezultă:

$$\frac{\bar{R} \cdot \nabla f}{|\bar{R}| \cdot |\nabla f|} \geq \frac{1}{\sqrt{1+\mu^2}}. \quad (4.18)$$

Geometric, această condiție se enunță astfel: *în caz de echilibru sub limită, rezultanta forțelor exterioare aplicate punctului material trebuie să fie în interiorul unui con de revoluție având ca axă normală la suprafață și unghiul la vârf 2φ , numit con de frecare, respectiv, în cazul echilibrului la limită rezultanta forțelor exterioare trebuie să fie pe generatoarea conului de frecare.*

În general, condițiile (4.17) determină un domeniu de echilibru pe suprafață, frontiera lui fiind locul geometric al pozițiilor de echilibru la limită ($\beta = \varphi$ sau $\cos \beta = \cos \varphi$).

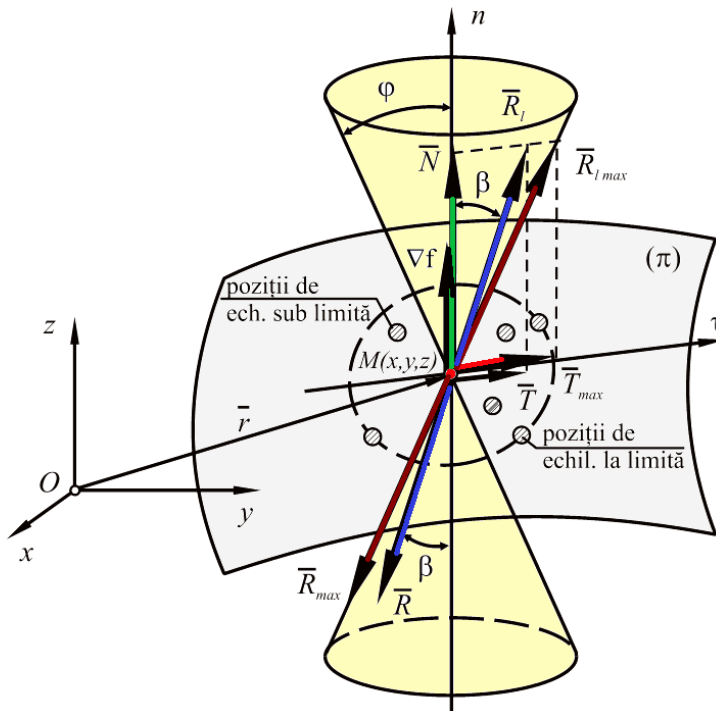


Fig. 4.3

b) Echilibrul unui punct material pe o curbă cu frecare

Notând prin α unghiul complementar făcut de rezultanta \bar{R} a forțelor exterioare cu tangenta la curbă în M (fig. 4.4), condiția de echilibru (4.17) devine:

$$\alpha \geq \frac{\pi}{2} - \varphi \text{ sau } \cos \alpha \leq \sin \varphi = \frac{\mu}{\sqrt{1 + \mu^2}}, \quad (4.19)$$

unde: $|\cos \alpha| = \left| \frac{\bar{R}}{R} \bar{\tau} \right|$, $\bar{\tau}$ fiind versorul tangentei la curbă.

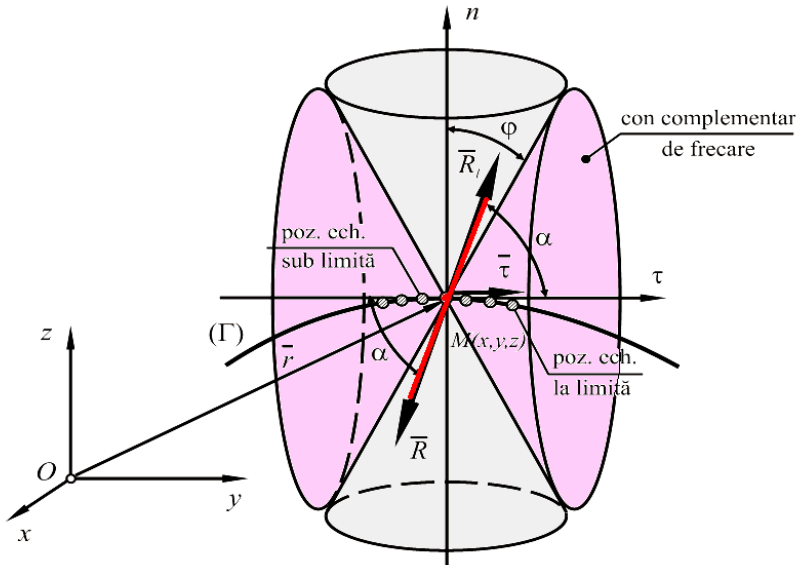


Fig. 4.4

Geometric, condiția (4.19) se enunță astfel: *în caz de echilibru sub limită, rezultanta forțelor exterioare aplicate punctului material trebuie să fie în exteriorul unui con de revoluție având ca axă tangenta la curbă și unghiul la vârf ($180 - 2\varphi$), numit con complementar de frecare; în caz de echilibru la limită rezultanta forțelor exterioare trebuie să fie pe generatoarea conului complementar de frecare.*

În general, un punct material poate sta în echilibru sub limita frecării de alunecare pe o curbă aspră în toate punctele unui arc ce aparține curbei, extremitățile lui fiind pozițiile de echilibru la limită, obținute pentru $\alpha = \frac{\pi}{2} - \varphi$.

4.2 Probleme rezolvate ^[10]

4.2.1. Să se determine poziția de echilibru a unui punct material M, de masă m , atras proporțional cu masele și distanțele de trei puncte materiale de mase m_1, m_2, m_3 (fig. 4.5).

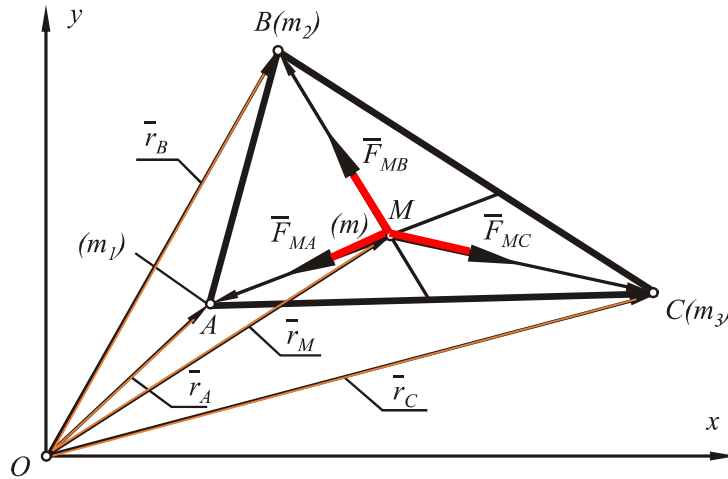


Fig. 4.5

Soluție:

Punctul M este sub acțiunea forțelor de atracție a punctelor A, B, C, care sunt forțe de legătură. Punctul neavând greutate, rezultanta forțelor de atracție este nulă.

Condiția de echilibru, în baza relației (4.1), este:

$$\vec{F}_{MA} + \vec{F}_{MB} + \vec{F}_{MC} = 0, \quad (1)$$

dar:

$$\vec{F}_{MA} = k \cdot m \cdot m_1 \vec{MA}; \quad \vec{F}_{MB} = k \cdot m \cdot m_2 \vec{MB}; \quad \vec{F}_{MC} = k \cdot m \cdot m_3 \vec{MC} \quad , \quad (2)$$

unde: k este o constantă de proporționalitate;

m reprezintă masa punctului M;

m_1, m_2, m_3 reprezintă masele punctelor A, B, C.

Având în vedere figura 4.5 se pot scrie relațiile:

$$\overline{MA} = \bar{r}_A - \bar{r}_M, \quad \overline{MB} = \bar{r}_B - \bar{r}_M, \quad \overline{MC} = \bar{r}_C - \bar{r}_M, \quad (3)$$

care introduse în (1), având în vedere (2), conduc la:

$$\bar{r}_M = \frac{m_1 \bar{r}_A + m_2 \bar{r}_B + m_3 \bar{r}_C}{m_1 + m_2 + m_3}. \quad (4)$$

În concluzie, pentru ca punctul M să fie în echilibru trebuie să fie plasat în centrul de greutate al triunghiului ABC, întrucât (4) este expresia vectorului de poziție al centrului de greutate al triunghiului.

4.2.2. Un punct M este legat cu trei bare rigide de lungimi egale $MA = MB = MC = l$ de trei puncte fixe A, B, C , care alcătuiesc un triunghi echilateral de latură a (fig. 4.6).

Punctul M fiind supus la acțiunea unei forțe \bar{F} de direcție paralelă cu înălțimea AA' a triunghiului ABC , se cer tensiunile în barele MA, MB, MC .

Soluție:

Ecuatiile scalare de echilibru ale punctului material, conform cu (4.2), sunt:

$$\begin{aligned} F - N_A \cos \alpha + N_B \cos \alpha \frac{OA'}{OB} + N_C \cos \alpha \frac{OA'}{OC} &= 0 \\ -N_B \cos \alpha \cos \beta + N_C \cos \alpha \cos \beta &= 0 \\ -(N_A \sin \alpha + N_B \sin \alpha + N_C \sin \alpha) &= 0. \end{aligned} \quad (1)$$

Având în vedere că:

$$\begin{aligned} OA = OB = OC &= \frac{2}{3} AA' = \frac{\sqrt{3}}{3} a, \\ \cos \alpha &= \frac{OA}{AM} = \frac{a\sqrt{3}}{3l}, \end{aligned}$$

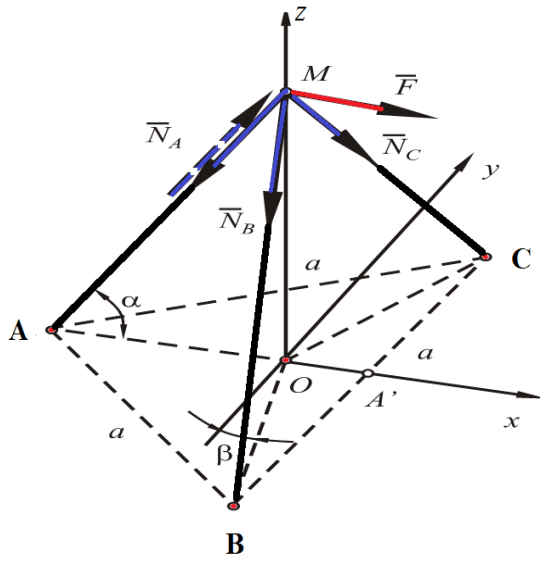


Fig. 4.6

sistemul (1) devine:

$$-N_A + \frac{1}{2}N_B + \frac{1}{2}N_C = -\frac{\sqrt{3}l}{a}F, \quad (2)$$

$$N_C - N_B = 0, \quad N_A + N_B + N_C = 0.$$

Rezolvând sistemul (2), rezultă:

$$N_A = -2\frac{\sqrt{3}}{3}\frac{a}{l}F; \quad N_B = N_C = \frac{\sqrt{3}}{3}\frac{l}{a}F. \quad (3)$$

Semnul (-) din expresia lui N_A arată că sensul corect al acestei forțe este cel punctat în figura 4.7.

4.2.3. Se cere poziția de echilibru a unui punct M (fig. 4.7), de greutate \bar{P} , mobil fără frecare în interiorul unei sfere de rază r și atras cu o forță de modul constant $Q \neq P$, spre un punct fix A , exterior sferei și situat pe diametrul vertical la înălțimea $OA = a$ deasupra centrului O ($a > r$).

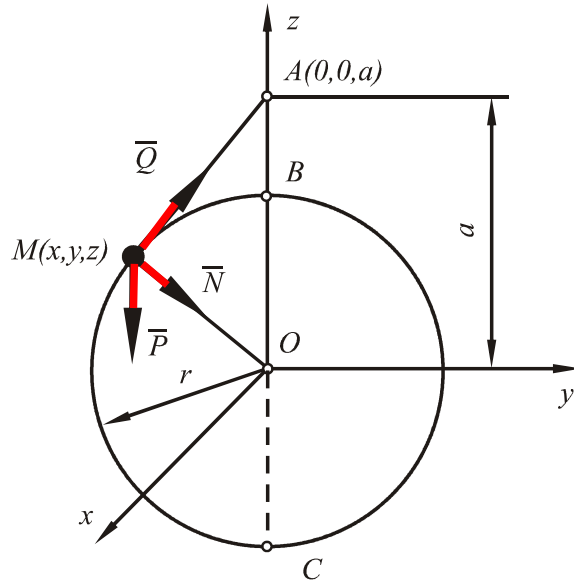


Fig. 4.7

Soluție:

Asupra punctului acționează trei forțe:

- greutatea \bar{P} ;
- forța de atracție \bar{Q} ;
- reacțiunea \bar{N} .

Ecuția vectorială de echilibru, conform relației (4.1), este:

$$\bar{P} + \bar{Q} + \bar{N} = 0; \quad |\times \bar{P}| \cdot \bar{Q} . \quad (1)$$

Înmulțind (1) vectorial cu \bar{P} și scalar cu \bar{Q} , se obține:

$$(\bar{N} \times \bar{P}) \cdot \bar{Q} = 0, \quad (2)$$

deci, pentru a fi posibil echilibrul punctului, cele trei forțe trebuie să fie coplanare.

Din (1) rezultă:

$$\bar{Q} + \bar{N} = -\bar{P}, \quad (3)$$

adică \bar{P} este direct opus diagonalei paralelogramului forțelor \bar{Q} și \bar{N} , deci \bar{P} este exterior unghiului forțelor \bar{Q} și \bar{N} .

Sintetizând rezultatele (2), (3) și (1), se poate spune că trei forțe concurente și în echilibru sunt coplanare și fiecare este exterioară unghiului celorlalte două.

Cum forța \bar{P} este în plan vertical, rezultă că cele trei forțe sunt mereu în planul vertical ce conține diametrul BC și pentru a fi în echilibru trebuie ca fiecare să fie exterioară unghiului celorlalte două.

Se observă că această condiție nu este satisfăcută decât în A și C. Dacă $Q > P$ echilibrul este în punctul B, cel de mai sus al sferei, iar dacă $Q < P$ echilibrul este în punctul C, cel mai de jos al sferei.

4.2.4. Un sistem de puncte materiale A_i , de mase m_i ($i = 1, 2, \dots, n$) atrag proporțional cu masele și distanțele un punct M de greutate \bar{P} . Constanta de atracție este aceeași, k . Să se determine poziția de echilibru a punctului M .

Soluție:

Asupra punctului acționează greutatea \bar{P} ca forță exterioară și forțele de atracție (forțe de legătură) \bar{F}_{MA_i} .

Ecuția vectorială de echilibru, în baza relației (4.1), este:

$$\bar{P} + \sum_{i=1}^n \bar{F}_{MA_i} = 0, \quad (1)$$

dar:

$$\bar{F}_{MA_i} = k \cdot m \cdot m_i \overline{MA_i} = k \cdot m \cdot m_i (\bar{r}_i - \bar{r}_M), \quad (2)$$

unde: m - masa punctului M ;

\bar{r}_i - vectorul de poziție al punctului A_i ;

\bar{r}_M - vectorul de poziție al punctului M .

Introducând (2) în (1), se obține:

$$k \cdot m \left(\sum_{i=1}^n m_i \bar{r}_i - \bar{r}_M \sum_{i=1}^n m_i \right) + \bar{P} = 0. \quad (3)$$

Știind că:

$$\bar{r}_i = x_i \bar{i} + y_i \bar{j} + z_i \bar{k}, \quad \bar{r}_M = x \bar{i} + y \bar{j} + z \bar{k},$$

se proiectează relația vectorială (3) pe axele unui sistem de referință triortogonal $Oxyz$ și se obține:

$$\sum_{i=1}^n m_i x_i - x \sum_{i=1}^n m_i = 0, \quad \sum_{i=1}^n m_i y_i - y \sum_{i=1}^n m_i = 0, \quad k \cdot m \left(\sum_{i=1}^n m_i z_i - \sum_{i=1}^n m_i \right) - P = 0. \quad (4)$$

Poziția centrului de masă al unui sistem de puncte materiale este definită de:

$$\bar{r}_C = \frac{\sum m_i \bar{r}_i}{\sum m_i}$$

sau:

$$x_C = \frac{\sum_{i=1}^n m_i x_i}{\sum_{i=1}^n m_i}; \quad y_C = \frac{\sum_{i=1}^n m_i y_i}{\sum_{i=1}^n m_i}; \quad z_C = \frac{\sum_{i=1}^n m_i z_i}{\sum_{i=1}^n m_i}. \quad (5)$$

Din primele două ecuații ale sistemului (4) se obține, ținând cont de (5):

$$x = x_C = \frac{\sum_{i=1}^n m_i x_i}{\sum_{i=1}^n m_i}; \quad y = y_C = \frac{\sum_{i=1}^n m_i y_i}{\sum_{i=1}^n m_i}. \quad (6)$$

Ultima relație din (5) conduce la:

$$\sum_{i=1}^n m_i z_i = z_C \sum_{i=1}^n m_i = z_C M, \quad (7)$$

unde $M = \sum_{i=1}^n m_i$ este masa întregului sistem de puncte materiale.

Introducând (7) în ultima ecuație a sistemului (4), rezultă:

$$k \cdot m \cdot M (z_C - z) = P. \quad (8)$$

Relațiile (6) arată că punctul M este pe verticala dusă prin centrul de masă al sistemului material, la distanța:

$$CM = z_C - z = \frac{P}{k \cdot m \cdot M} \quad (9)$$

obținută din (8).

4.2.5. Un punct material M de greutate \bar{P} (fig. 4.8) este mobil, fără frecare, pe linia de cea mai mare pantă AB a unui plan înclinat, care face $\widehat{BAC} = 30^\circ$ cu orizontala AC . Punctul este atras de un punct D situat pe verticala CBD la înălțimea $CD=CA$, cu o forță de modul constant Q .

Se cere:

1. Unghiul ascuțit $BMD = \alpha$ în poziție de echilibru
2. Apăsarea punctului M pe planul înclinat
3. Între ce limite poate varia forța Q pentru ca punctul M să aibă o poziție de echilibru între A și B ?

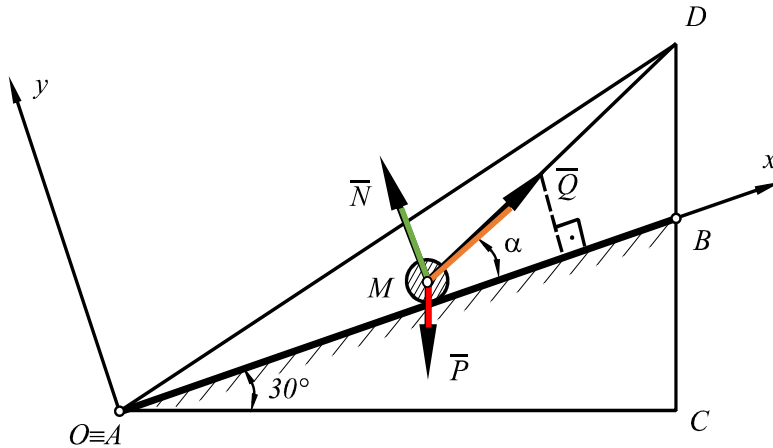


Fig. 4.8

Soluție:

Forțele care acționează asupra punctului M sunt:

- greutatea \bar{P} ;
- forța de atracție \bar{Q} ;
- forța normală (reacțiunea planului) \bar{N} .

Se alege un sistem de referință xOy , cu axa Ox după linia de cea mai mare pantă AB , iar axa Oy perpendiculară pe ea în punctul A (fig. 4.8) . Ecuația vectorială de echilibru, conform relației (4.1), este:

$$\bar{P} + \bar{Q} + \bar{N} = 0 . \quad (1)$$

Proiectând (1) pe axele sistemului de referință xOy , se obține:

$$-P \frac{1}{2} + Q \cos \alpha = 0, \quad -P \frac{\sqrt{3}}{2} + Q \sin \alpha + N = 0. \quad (2)$$

Din (2) rezultă:

$$\cos \alpha = \frac{P}{2Q}; \quad N = \frac{1}{2} \left(P\sqrt{3} - \sqrt{4Q^2 - P^2} \right).$$

Problema are soluție pentru $\frac{P}{2} \leq Q \leq P$, deoarece N trebuie să fie pozitivă (sau nulă) și $(4Q^2 - P^2) \geq 0$.

Pentru determinarea limitelor de variație a forței \bar{Q} între A și B se calculează Q în punctele extreme ținând cont de (2) :

- în punctul A:

$$\alpha = 15^\circ, \quad Q = \frac{P}{2 \cos \alpha} = \frac{P}{2 \cos 15^\circ} = \frac{\sqrt{2}}{2} (\sqrt{3} - 1) P$$

- în punctul B:

$$\alpha = 60^\circ, \quad Q = \frac{P}{2 \cos \alpha} = \frac{P}{2 \cdot \frac{1}{2}} = P,$$

deci:

$$\frac{\sqrt{2}}{2} (\sqrt{3} - 1) P < Q < P. \quad (3)$$

4.2.6. Un punct M este mobil, fără frecare, pe dreapta Δ :

$$\begin{aligned} x &= az + p \\ y &= az - p, \end{aligned}$$

sub acțiunea unei forțe de componente:

$$F_x = yz; \quad F_y = zx; \quad F_z = xy.$$

1. Să se găsească pozițiile de echilibru ale punctului M considerând dreapta Δ ca dată prin intersecția a două suprafețe .
2. Să se rezolve problema considerând ecuațiile date ca ecuații parametrice ale dreptei Δ de parametru z .

Soluție:

1. Suprafețele ce determină dreapta Δ se pot scrie sub forma:

$$f_1(x, y, z) = x - az - p = 0, \quad f_2(x, y, z) = y - az + p = 0.$$

Folosind condițiile de echilibru (4.12), se poate scrie:

$$\begin{vmatrix} R_x & \frac{\partial f_1}{\partial x} & \frac{\partial f_2}{\partial x} \\ R_y & \frac{\partial f_1}{\partial y} & \frac{\partial f_2}{\partial y} \\ R_z & \frac{\partial f_1}{\partial z} & \frac{\partial f_2}{\partial z} \end{vmatrix} = \begin{vmatrix} yz & 1 & 0 \\ zx & 0 & 1 \\ zy & -a & -a \end{vmatrix} = 0, \quad \begin{aligned} x - az - p &= 0 \\ y - az + p &= 0 \end{aligned} \quad (1)$$

sau:

$$az(x+y) + xy = 0, \quad x - az - p = 0, \quad y - az + p = 0. \quad (2)$$

Adunând și, respectiv, înmulțind ultimele două relații ale sistemului (2), rezultă expresiile:

$$x + y = 2az, \quad xy = a^2 z^2 - p^2, \quad (3)$$

care introduse în prima ecuație, conduc la:

$$z = \pm \frac{\sqrt{3}}{3} \frac{p}{a}. \quad (4)$$

Cu expresia (4) se pot obține coordonatele:

$$x = az + p = p \left(1 \pm \frac{\sqrt{3}}{3} \right), \quad y = az - p = p \left(-1 \pm \frac{\sqrt{3}}{3} \right). \quad (5)$$

Astfel, punctul va sta în echilibru în două poziții date de (4) și (5).

2. Ecuațiile dreptei (Δ) scrise sub formă parametrică sunt:

$$x = az + p; \quad y = az - p; \quad z = z. \quad (6)$$

Condiția de echilibru a punctului, conform cu (4.10), este:

$$R_x x' + R_y y' + R_z z' = 0.$$

Înlocuind $R_x, R_y, R_z, x', y', z'$, rezultă:

$$ayz + azx + xy = 0$$

sau ținând cont de (6), se obține:

$$az(x+y) + xy = 0; \quad x + y = 2az; \quad xy = a^2 z^2 - p^2; \quad z = \pm \frac{\sqrt{3}}{3} \frac{p}{a}. \quad (7)$$

Introducând (7) în (6), rezultă:

$$x = p \left(1 \pm \frac{\sqrt{3}}{3} \right), \quad y = p \left(-1 \pm \frac{\sqrt{3}}{3} \right). \quad (8)$$

4.2.7. Un punct material de greutate \bar{G} poate aluneca fără frecare:

- a) pe un cerc și asupra lui acționează o forță orizontală constantă \bar{F} ca în figura 4.9a;
 b) pe o elipsă și punctul este respins de axa Oy cu o forță proporțională cu distanța de la punct la axă, conform figurii 4.9b.

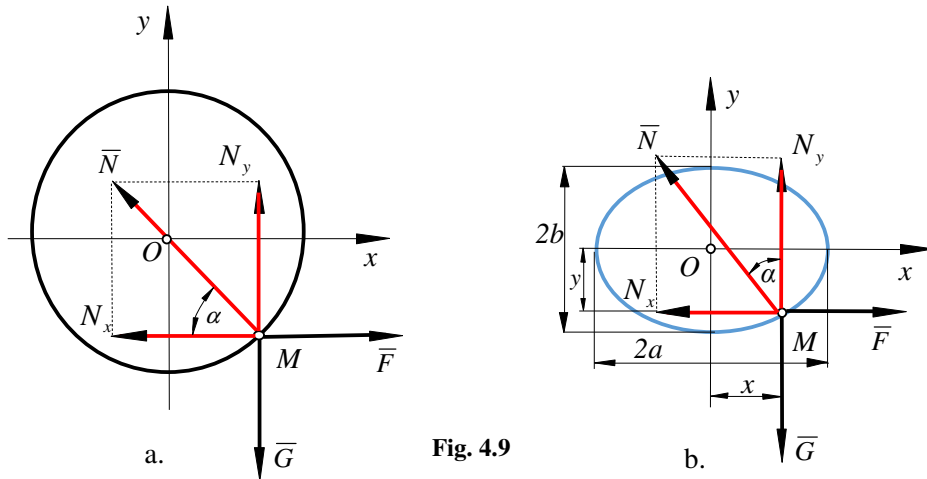


Fig. 4.9

Soluție:

- a) Ecuația vectorială de echilibru a forțelor care acționează asupra punctului M este:

$$\bar{F} + \bar{G} + \bar{N} = 0. \quad (1)$$

Se proiectează această ecuație pe axele sistemului de referință ales xOy . Astfel,

$$\begin{aligned} F - N \cos \alpha &= 0 \\ -G + N \sin \alpha &= 0 \end{aligned} \quad (2)$$

Din sistemul (2) rezultă:

$$\operatorname{tg} \alpha = \frac{G}{F} \quad (3)$$

$$N = \sqrt{F^2 + G^2}. \quad (4)$$

Discuție:

1° Dacă forța $\bar{F} \rightarrow \infty$, rezultă $\operatorname{tg} \alpha = 0 \Rightarrow \alpha = 0$ sau π ;

$$2^\circ \text{ Dacă forța } \vec{F} = 0, \text{ rezultă } \operatorname{tg} \alpha = \infty \Rightarrow \alpha = \frac{\pi}{2} \text{ sau } \frac{3}{2}\pi; \quad (5)$$

$$3^\circ \text{ Dacă forța } \vec{F} = \vec{G}, \text{ rezultă } \operatorname{tg} \alpha = 1 \Rightarrow \alpha = \frac{\pi}{4} \text{ sau } \frac{5}{4}\pi.$$

b) Ecuația vectorială de echilibru a forțelor ce acționează asupra punctului M este:

$$\vec{F} + \vec{G} + \vec{N} = 0.$$

Proiectând această ecuație pe axele sistemului de referință ales xOy , se obține:

$$\begin{aligned} F - N_x &= 0 \\ -G + N_y &= 0 \\ F &= kx. \end{aligned} \quad (6)$$

Din sistemul (6) rezultă:

$$N_x = F, \quad N_y = G, \quad (7)$$

iar din figura 4.9b se obține:

$$\operatorname{tg} \alpha = -\frac{f'(x)}{f'(y)} = \frac{N_x}{N_y} = \frac{F}{G} = \frac{kx}{G}. \quad (8)$$

Luând în considerare ecuația elipsei, se poate scrie:

$$\frac{x^2}{a^2} + \frac{y^2}{b^2} = 1 \Rightarrow x = \pm \frac{a}{b} \sqrt{b^2 - y^2}. \quad (9)$$

Notând:

$$f(x, y) = \frac{x^2}{a^2} - \frac{y^2}{b^2} - 1 = 0 \quad (10)$$

și cunoscând interpretarea geometrică a noțiunii de derivată a unei funcții, panta se determină astfel:

$$\operatorname{tg} \alpha = -\frac{f'(x)}{f'(y)} = -\frac{b^2 x}{a^2 y}. \quad (11)$$

Din relațiile (8) și (11) se obține y , respectiv din (9) se obține x . Astfel:

$$y = -\frac{b^2 G}{a^2 k}, \quad x = \pm \frac{1}{ak} \sqrt{a^4 k^2 - b^2 G^2}. \quad (12)$$

Pentru $x = 0$, din (9) rezultă $y = \pm b$.

Valorile scalare ale reacțiunii normale \bar{N} se obțin din (6), având în vedere (12), astfel:

$$N_x = \pm \frac{1}{a} \sqrt{a^4 k^2 - b^2 G^2} \quad , \quad N_y = G \quad . \quad (13)$$

Modulul reacțiunii normale este:

$$N = \sqrt{N_x^2 + N_y^2} = \frac{\sqrt{k^2 a^4 + G^2 (a^2 - b^2)}}{a} \quad . \quad (14)$$

4.2.8. Un punct material M de greutate \bar{G} poate aluneca fără frecare pe un cerc, fiind respins de extremitatea inferioară a diametrului vertical al cercului cu o forță invers proporțională cu pătratul distanței dintre cele două puncte (fig. 4.10). Să se determine poziția de echilibru a punctului pe cerc și reacțiunea cercului.

Soluție:

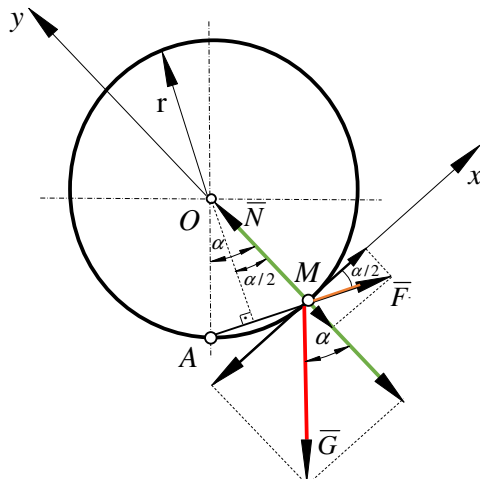


Fig. 4.10

Ecuția vectorială de echilibru a sistemului de forțe care acționează asupra lui M este:

$$\bar{F} + \bar{G} + \bar{N} = 0. \quad (1)$$

Proiectând (1) pe axele sistemului de referință xOy ales, se obțin ecuațiile scalare de echilibru:

$$F \cos \frac{\alpha}{2} - G \sin \alpha = 0 \quad (2)$$

$$N - F \sin \frac{\alpha}{2} - G \cos \alpha = 0,$$

$$\text{în care: } F = \frac{k}{AM^2}, \quad AM = 2r \sin \frac{\alpha}{2}, \quad F = \frac{k}{4r^2 \sin^2 \frac{\alpha}{2}}. \quad (3)$$

Rezolvând sistemul (2), rezultă:

$$N = F \sin \frac{\alpha}{2} + G \cos \alpha \quad (4)$$

$$a) \quad \cos \frac{\alpha}{2} = 0; \quad \alpha = \pi ;$$

$$b) \quad \sin \frac{\alpha}{2} = \frac{1}{2} \sqrt[3]{\frac{k}{Gr^2}}. \quad (5)$$

Ținând cont de rezultatele a) și b), rezultă: distanța AM și valoarea reacțiunii \bar{N} :

$$a) \quad AM = 2r; \quad N = \frac{k}{4r^2} - G. \quad (6)$$

$$b) \quad AM = \sqrt[3]{\frac{kr}{G}}; \quad N = G. \quad (7)$$

4.2.9. Un punct greu poate aluneca pe o semidreaptă Ox care face unghiul α cu orizontala (fig. 4.11), fiind atras de punctul O , cel mai de sus pe Ox , cu o forță proporțională cu distanța. Unghiul de frecare fiind $\varphi < \alpha$, se cere intervalul de echilibru.

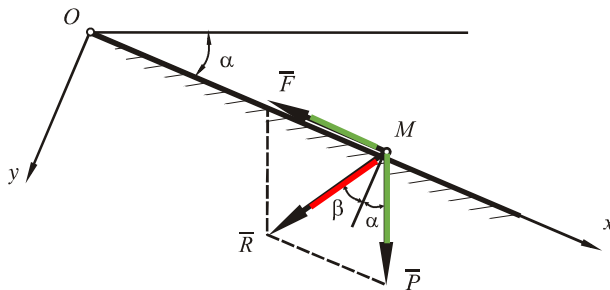


Fig. 4.11

Soluție:

a) Prima metodă

Rezultanta forțelor exterioare care acționează asupra punctului este:

$$\bar{R} = R_x \bar{i} + R_y \bar{j} = \bar{P} + \bar{F} ,$$

unde: $R_x = P \sin \alpha - F$; $R_y = P \cos \alpha$.

Condiția de echilibru, conform cu (4.17), este:

$$\cos \beta \geq \cos \varphi . \quad (1)$$

Cum:

$$|\cos \beta| = \left| \frac{\bar{R}}{R} \cdot \bar{j} \right| = \frac{|R_y|}{R} = \frac{P \cos \alpha}{\sqrt{(P \sin \alpha - F)^2 + P^2 \cos^2 \alpha}} = \frac{P \cos \alpha}{\sqrt{F^2 - 2P \cdot F \cdot \sin \alpha + P^2}} ,$$

se obține:

$$\frac{P \cos \alpha}{\sqrt{F^2 - 2P \cdot F \cdot \sin \alpha + P^2}} \geq \cos \varphi$$

sau:

$$F^2 - 2P \cdot F \cdot \sin \alpha + P^2 \left(1 - \frac{\cos^2 \alpha}{\cos^2 \varphi} \right) \leq 0 . \quad (2)$$

Rădăcinile ecuației dată de (2) sunt:

$$F_{1,2} = P \frac{\sin(\alpha \mp \varphi)}{\cos \varphi} . \quad (3)$$

Întrucât:

$$\Delta = P^2 \left(\sin^2 \alpha - \frac{\cos^2 \varphi - \cos^2 \alpha}{\cos^2 \varphi} \right) = P^2 \cos^2 \alpha \cdot \operatorname{tg}^2 \varphi > 0 ,$$

pentru a avea satisfăcută inegalitatea (2) este necesar ca:

$$F_1 \leq F \leq F_2 . \quad (4)$$

Dar cum

$$F = kx , \quad (5)$$

introducând (3) și (5) în (4), se obține:

$$\frac{P \sin(\alpha - \varphi)}{k \cos \varphi} \leq x \leq \frac{P \sin(\alpha + \varphi)}{k \cos \varphi} . \quad (6)$$

b) **A doua metodă** – a se vedea problema anterioară.

4.2.10. Un punct material greu M (fig. 4.12) este mobil pe un cerc vertical, fiind atras de punctul cel mai de sus A al cercului, cu o forță proporțională cu distanța AM și care devine egală cu greutatea punctului la o distanță egală cu diametrul cercului. Unghiul de frecare fiind φ se cere regiunea de echilibru.

Soluție:

Suprimând legăturile, se introduc forțele de legătură \bar{N} și \bar{T} , după care se studiază echilibrul punctului material ca un punct material liber. Alegând un sistem de referință intrinsec $M\tau\nu$ (fig. 4.12), condițiile de echilibru, conform cu (4.1), (4.2), (4.16), sunt:

$$\begin{aligned} \bar{P} + \bar{F} + \bar{T} + \bar{N} &= 0 \\ T &\leq \mu N \end{aligned} \quad (1)$$

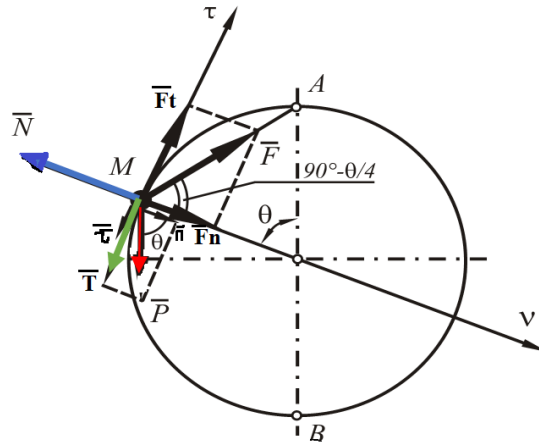


Fig. 4.12

$$F \sin \frac{\theta}{2} + P \cos \theta - N = 0, \quad F \cos \frac{\theta}{2} - T - P \sin \theta = 0, \quad T \leq \mu N. \quad (2)$$

Cum valoarea lui F este:

$$F = k \cdot MA = 2K \cdot r \cdot \sin \frac{\theta}{2},$$

pentru $AM = 2r$, $F = P$, rezultă

$$k = \frac{P}{2r}, \quad F = P \sin \frac{\theta}{2}. \quad (3)$$

Din primele două relații ale sistemului (2), luând în considerare (3) se obține:

$$T = -P \sin \frac{\theta}{2} \cos \frac{\theta}{2}; \quad N = P \cos^2 \frac{\theta}{2}. \quad (4)$$

Introducând (4) în ultima relație din (2), rezultă:

$$\operatorname{tg} \frac{\theta}{2} \leq \operatorname{tg} \varphi \quad \text{sau} \quad \theta \leq 2\varphi.$$

Pentru $F = P$ și $AM = 2r$ punctul M coincide cu B, deci $\theta = \pi$ și din (4) rezultă $T = 0$, $N = 0$, deci punctul este în echilibru. Pozițiile de echilibru ale punctului sunt pentru $\theta < 2\varphi$ și în punctul cel mai jos al cercului.

4.2.11. Un punct material greu este mobil pe un plan înclinat cu unghiul α față de orizontală și al cărui unghi de frecare este $\varphi < \alpha$ (fig. 4.13). El este acționat de o forță \bar{F} care face unghiul $\beta < 90^\circ$ cu planul înclinat, având sensul din figură. Între ce limite poate varia \bar{F} pentru ca punctul să stea în echilibru?

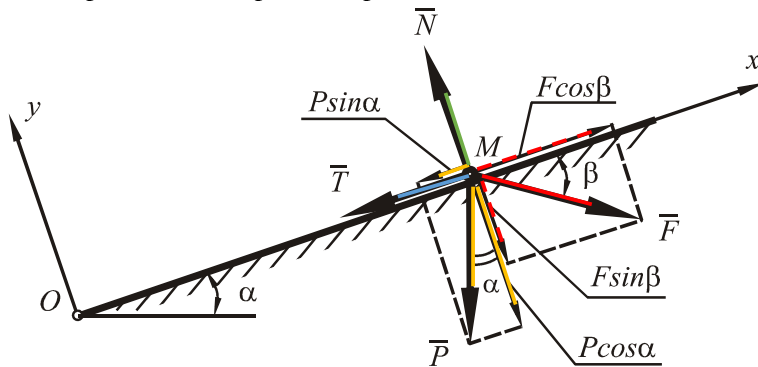


Fig. 4.13

Soluție:

Asupra punctului acționează forțele exterioare \bar{P} , \bar{F} și forțele de legătură \bar{N} , \bar{T} . Condițiile de echilibru, conform cu (4.1), (4.2), (4.16) sunt:

$$\bar{P} + \bar{F} + \bar{N} + \bar{T} = 0, \quad T \leq \operatorname{tg} \varphi N \quad (1)$$

sau:

$$\begin{aligned}
-P \sin \alpha + F \cos \beta - T &= 0 \\
-P \cos \alpha - F \sin \beta + N &= 0 \\
T &\leq \operatorname{tg} \varphi N.
\end{aligned}
\tag{2}$$

Din primele ecuații ale sistemului (2) se obțin:

$$T = F \cos \beta - P \sin \alpha; \quad N = F \sin \beta + P \cos \alpha, \tag{3}$$

care introduse în ultima relație, știind că $\beta < 90^\circ$, $\alpha < 90^\circ$, conduc la:

$$|F \cos \beta - P \sin \alpha| \leq \operatorname{tg} \varphi (P \cos \alpha + F \sin \beta). \tag{4}$$

Dacă:

$$F \cos \beta - P \sin \alpha > 0,$$

relația (4) devine:

$$F \cos \beta - P \sin \alpha \leq \operatorname{tg} \varphi (P \cos \alpha + F \sin \beta),$$

de unde:

$$F \leq P \frac{\sin(\alpha + \varphi)}{\cos(\beta + \varphi)}. \tag{5}$$

Dacă:

$$F \cos \beta - P \sin \alpha < 0,$$

relația (4) devine:

$$P \sin \alpha - F \cos \beta \leq \operatorname{tg} \varphi (P \cos \alpha + F \sin \beta),$$

de unde:

$$F \geq P \frac{\sin(\alpha - \varphi)}{\cos(\beta - \varphi)}. \tag{6}$$

Reunind relațiile (5) și (6) rezultă:

$$P \frac{\sin(\alpha - \varphi)}{\cos(\beta - \varphi)} \leq F \leq P \frac{\sin(\alpha + \varphi)}{\cos(\beta + \varphi)}. \tag{7}$$

pentru $\beta + \varphi < 90^\circ$; $\sin(\alpha + \varphi) > 0$; $\cos(\alpha + \varphi) > 0$;
 $\sin(\alpha - \varphi) > 0$; $\alpha > \varphi$; $\cos(\beta - \varphi) > 0$,
astfel că:

$$P \frac{\sin(\alpha - \varphi)}{\cos(\beta - \varphi)} \leq F \leq P \frac{\sin(\alpha + \varphi)}{\cos(\beta + \varphi)}. \quad (8)$$

Pentru $\beta + \varphi > 90^0$; $\sin(\alpha + \varphi) > 0$; $\cos(\alpha + \varphi) < 0$;
 $\sin(\alpha - \varphi) > 0$; $\alpha > \varphi$; $\cos(\beta - \varphi) > 0$,

astfel că: $F \geq P \frac{\sin(\alpha - \varphi)}{\cos(\beta - \varphi)}$.

4.3 Probleme propuse

4.3.1. Un trepied echilateral este fixat pe cadrul unui ceas (fig. 4.14). Înălțimea trepiedului este egală cu raza cadranului de ceas. Picioarele trepiedului sunt sprijinite la indicația orelor 12, 4 și 8. Forța orizontală \vec{F} este aplicată în punctul A la vârful trepiedului în direcția corespunzătoare orei 1 la 30° față de planul format de punctele A, O, C_{12} . Să se determine forțele aplicate punctului A de către barele trepiedului.

Răspuns: $F_4 = 0$; $F_8 = F_{12} = \frac{2F}{\sqrt{6}}$

4.3.2. O particulă de greutate G este suspendată la mijlocul unui resort orizontal de lungime $2a$ în stare nedeformată (fig. 4.15). Fiecare jumătate de resort are constanta elastică k . Să se determine deplasarea δ a particulei.

Răspuns: $\delta = \left(\frac{Ga^2}{k} \right)^{\frac{1}{3}}$.

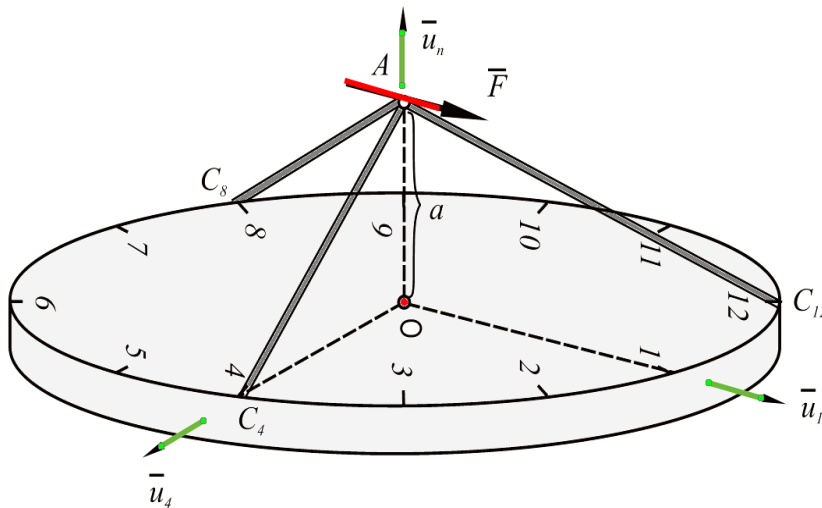


Fig. 4.14

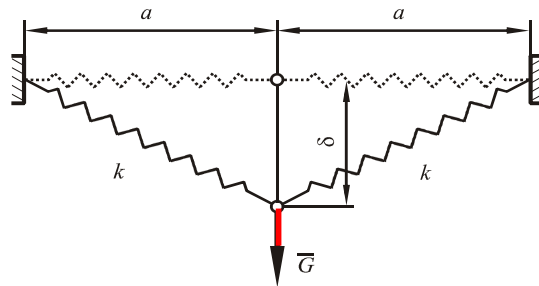


Fig. 4.15

4.3.3. Un punct material M este mobil fără frecare pe elipsoidul de inerție:

$$x^2 + y^2 + 2z + \frac{G}{k} - a^2 = c^2 \quad (c = \text{constantă})$$

fiind acționat de următoarele forțe: greutatea sa G , o forță de atracție proporțională cu distanța spre punctul fix $A(0,0,a)$ și o forță de atracție proporțională cu distanța spre planul orizontal xOy și perpendiculară pe aceasta. Coeficientul atracțiilor este același, k . Se cer pozițiile de echilibru.

Răspuns: Echilibru în orice poziție.

4.3.4. Se cere poziția de echilibru a unui punct greu M , mobil fără frecare pe curba (Γ) de ecuații:

$$x^2 + y^2 + z^2 = 4 \quad \text{și} \quad \frac{x^2}{4} - \frac{y^2}{9} - \frac{z}{3} = 0$$

într-un sistem $Oxyz$ cu axa Oz verticală în sus .

Răspuns: Patru poziții de echilibru:

$$x = 0 ; \quad y = \pm\sqrt{3} ; \quad z = -1$$

și

$$x = \pm\frac{2\sqrt{2}}{3} ; \quad y = 0 ; \quad z = \frac{2}{3} .$$

4.3.5. Să se determine pozițiile de echilibru ale unui punct greu M , mobil pe un cerc luciu al cărui plan face unghiul α cu planul orizontal.

Răspuns: $x = 0$; $y = \pm r \cdot \cos \alpha$; $z = \pm r \cdot \sin \alpha$.

4.3.6. Un punct material greu este mobil pe un plan aspru înclinat cu unghiul α față de orizontală și al cărui unghi de frecare este $\varphi < \alpha$. El este acționat de o forță orizontală \bar{F} cuprinsă în același plan vertical cu linia de cea mai mare pantă, având sensul din figura 4.16. Între ce limite poate varia forța F pentru a exista echilibru?

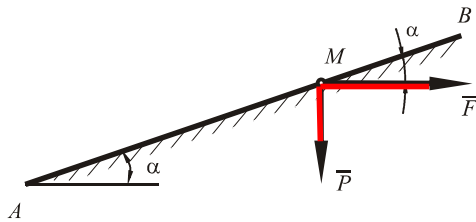


Fig. 4.16

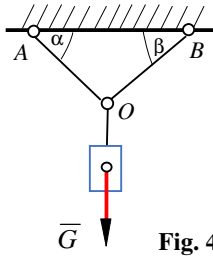
Răspuns:

dacă $\alpha + \varphi < 90^0$, atunci $P \operatorname{tg}(\alpha - \varphi) \leq F \leq P \operatorname{tg}(\alpha + \varphi)$,

dacă $\alpha + \varphi > 90^0$, atunci $P \operatorname{tg}(\alpha - \varphi) \leq F \leq P \operatorname{tg}(\alpha + \varphi)$.

4.3.7. O greutate \bar{G} este suspendată în punctul O de un fir inextensibil AOB ale cărei capete A și B sunt fixate la o grindă. Se cunosc unghiurile α, β pe care firul le face cu grinda. Să se determine tensiunile din fir (fig. 4.17).

Răspuns:



$$S_A = G \frac{\cos \beta}{\sin(\alpha + \beta)}; \quad S_B = G \frac{\cos \alpha}{\sin(\alpha + \beta)}.$$

Fig. 4.17

4.3.8. Un punct M de greutate \bar{G} se poate deplasa fără frecare pe un cerc de rază r , fiind respins de extremitatea A a diametrului orizontal și atras de extremitatea B a diametrului vertical, cu forțe proporționale cu distanțele respective. Să se determine poziția de echilibru a punctului pe cerc și reacțiunea cercului (fig. 4.18).

Răspuns:

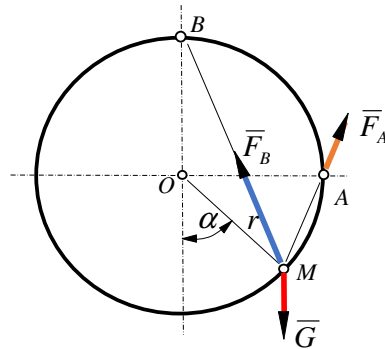


Fig. 4.18

$$\bar{F}_A + \bar{F}_B + \bar{G} + \bar{N} = 0.$$

$$\operatorname{tg} \alpha = \frac{G}{kr} - 1.$$

$$N = \sqrt{(G - kr)^2 + k^2 r^2}.$$

4.3.9. Pe un ghidaj circular, situat într-un plan vertical, se sprijină două puncte de greutate \vec{G}_1 și \vec{G}_2 legate între ele printr-un fir perfect flexibil și inextensibil de lungime l . Raza ghidajului circular este r . Se cere să se determine valorile unghiurilor φ_1 și φ_2 pentru poziția de echilibru (fig. 4.19).

Răspuns:

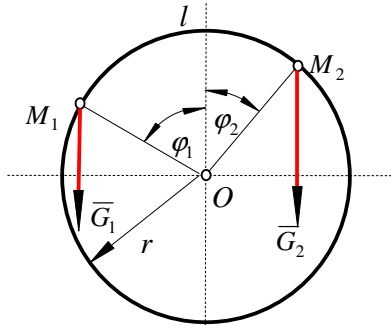


Fig. 4.19

$$\operatorname{ctg} \varphi_1 = \frac{G_1 + G_2 \cos\left(\frac{l}{r}\right)}{G_2 \sin\left(\frac{l}{r}\right)}$$

$$\operatorname{ctg} \varphi_2 = \frac{G_2 + G_1 \cos\left(\frac{l}{r}\right)}{G_1 \sin\left(\frac{l}{r}\right)}.$$

4

.3.10.

Un punct M , care poate aluneca fără frecare în lungul unei drepte, este atras de două puncte fixe O_1 și O_2 cu forțe invers proporționale cu distanțele pătratelor respective. Punctul M se găsește în echilibru când segmentul MO_1 este normal pe segmentul MO_2 . Să se demonstreze că pentru poziția de echilibru a punctului, între lungimile a , b , c există relația: $a^3 + b^3 = abc$. Să se determine în acest caz valoarea reacțiunii normale \bar{N} .

Răspuns:

$$\vec{F}_1 + \vec{F}_2 + \vec{N} = 0.$$

$$N = \frac{k}{\sqrt{a^4 + b^4}}.$$

5. ECHILIBRUL SOLIDULUI RIGID ^[10]

5.1 Considerații teoretice

5.1.1 Echilibrul solidului rigid liber

Un solid rigid este **liber** (are șase grade de libertate) atunci când poziția sa în spațiu este determinată exclusiv de către sistemul de forțe care acționează asupra lui. Solidul rigid liber are șase grade de libertate care, în general, sunt trei translații și trei rotații. Înseamnă că poziția rigidului în spațiu este determinată de șase parametri care pot fi aleși în următoarele moduri (fig. 5.1):

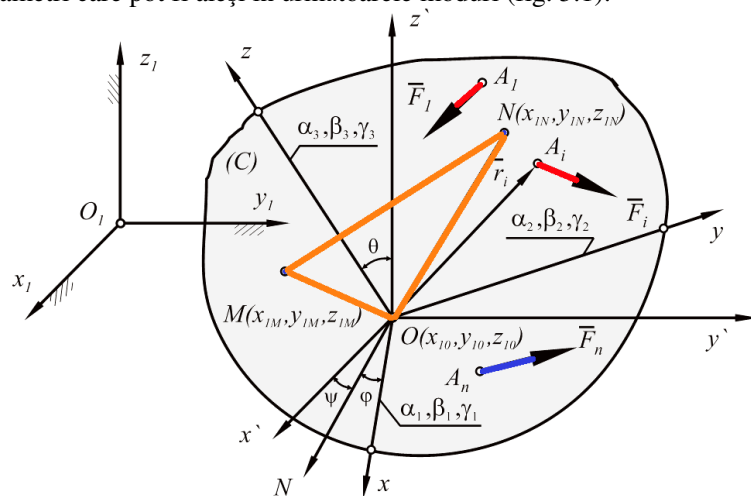


Fig. 5.1

- se aleg coordonatele x_{10}, y_{10}, z_{10} ale unui punct O aparținând solidului rigid și unghiurile lui Euler ψ, φ, θ ;
- se aleg coordonatele x_{10}, y_{10}, z_{10} ale unui punct O al rigidului și trei din cele nouă cosinusuri directoare $\alpha_i, \beta_i, \gamma_i, i=1 \div 3$, ale axelor sistemului $Oxyz$ solidar cu rigidul (C) în raport cu sistemul fix oarecare $O_1x_1y_1z_1$, respectiv în raport cu sistemul $Ox'y'z'$ ale cărui axe sunt paralele cu ale sistemului de referință fix;
- se aleg șase din cele nouă coordonate a trei puncte O, M, N necoliniare distincte, aparținând solidului rigid.

Condiția necesară și suficientă ca un solid rigid aflat sub acțiunea unui sistem de forțe $\bar{F}_1, \dots, \bar{F}_i, \dots, \bar{F}_n$ să fie în echilibru este ca sistemul de forțe să fie echivalent cu zero, respectiv tursorul de reducere în raport cu un punct oarecare O să fie nul. În consecință, ecuațiile vectoriale de echilibru ale solidului rigid sunt:

$$\bar{R} = 0, \quad \bar{M}_O = 0. \quad (5.1)$$

Ecuțiile scalare de echilibru se obțin proiectând relațiile (5.1) pe axele unui sistem de referință, sistemul fix $O_1x_1y_1z_1$. Se obține astfel sistemul de ecuații:

$$\begin{aligned} R_{x_1} &= \sum_{i=1}^n F_{ix_1} = 0 \\ R_{y_1} &= \sum_{i=1}^n F_{iy_1} = 0 \\ R_{z_1} &= \sum_{i=1}^n F_{iz_1} = 0 \\ M_{x_1} &= \sum_{i=1}^n (y_{1i} F_{iz_1} - z_{1i} F_{iy_1}) = 0 \\ M_{y_1} &= \sum_{i=1}^n (z_{1i} F_{ix_1} - x_{1i} F_{iz_1}) = 0 \\ M_{z_1} &= \sum_{i=1}^n (x_{1i} F_{iy_1} - y_{1i} F_{ix_1}) = 0, \end{aligned} \quad (5.2)$$

în care x_{1i}, y_{1i}, z_{1i} sunt coordonatele punctelor A_i în care acționează forțele $\bar{F}_i, i = 1 \div n$, în raport cu sistemul de referință fix $O_1x_1y_1z_1$, iar $F_{ix_1}, F_{iy_1}, F_{iz_1}$ reprezintă proiecțiile forțelor \bar{F}_i pe axele acestui sistem.

În general, necunoscutele la o problemă de echilibru a unui solid rigid liber sunt cei șase parametri independenți care poziționează rigidul în spațiu. Având șase ecuații și șase necunoscute, problema echilibrului unui solid rigid liber este o problemă static determinată.

5.1.2 Echilibrul solidului rigid supus la legături

O **legătură** a unui solid rigid este o restricție impusă posibilităților de mișcare ale acestuia. Rigidul poate face mișcări simple (translație sau rotație), fie mișcări compuse combinații ale acestora. Orice legătură a unui rigid îi suprimă acestuia un număr n de grade de libertate, $n \leq 6$.

În conformitate cu axioma legăturilor, orice legătură a unui rigid se poate suprima și se înlocuiește cu o forță de legătură corespunzătoare (pe direcția mișcării suprimate și în sens invers acesteia) aplicată rigidului într-un punct teoretic de contact. Astfel, solidul rigid devine "liber", asupra lui acționând forțele date și forțele de legătură.

În mecanica tehnică legăturile reale fără frecare ale solidului rigid se aproximează cu următoarele tipuri de legături:

5.1.2.1 Reazemul simplu (simpla rezemare)

Această legătură apare atunci când contactul dintre corpuri este punctiform, este după o dreaptă de contact sau o suprafață plană de contact. Indiferent de situație, se consideră contactul corpurilor într-un punct teoretic de contact și anume în punctul în care axa centrală a sistemului de forțe date intersectează suprafața (sau dreapta) de contact dintre cele două corpuri.

Reazemul simplu suprimă rigidului *un grad de libertate* și anume, *deplasarea în direcția normalei* dusă în punctul teoretic de contact pe suprafața (sau dreapta) de contact.

Simbolul reazemului simplu este prezentat în figura 5.2a.

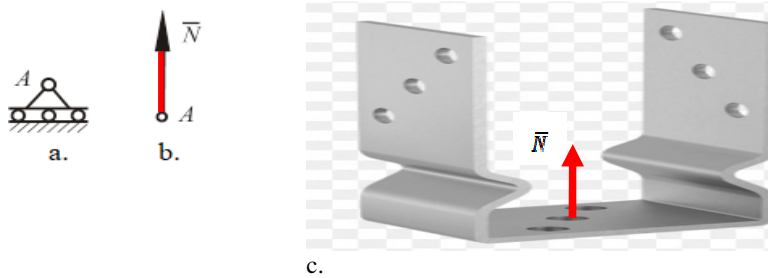


Fig. 5.2

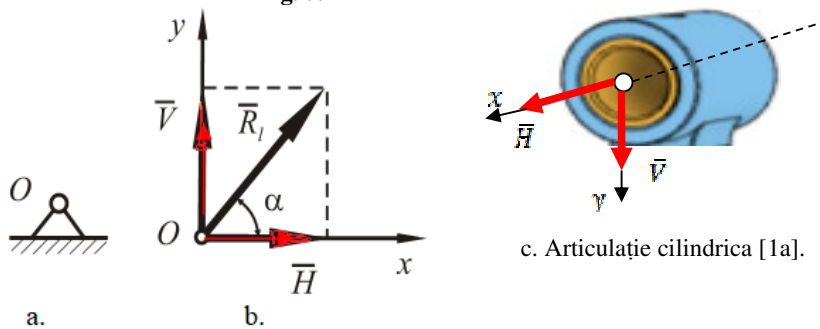


Fig. 5.3

Prin suprimarea acestei legături, se introduce în punctul teoretic de contact A **reacțiunea normală** \bar{N} după direcția normalei pe suprafața de contact, având sensul contrar tendinței de deplasare a rigidului, iar modulul necunoscut (fig. 5.2b).

5.1.2.2 Articulația cilindrică

Legătura aceasta se întâlnește atunci când solidul rigid este acționat de către un sistem de forțe coplanare care fixează un punct al rigidului situat în planul forțelor.

Astfel, rigidul este obligat să se rotească în jurul unei axe



[4a]

perpendiculară pe planul forțelor, în punctul fix. Articulația cilindrică are *simbolul* prezentat în figura 5.3a.

Prin suprimarea acestei legături se introduce o forță de legătură \bar{R}_l , care trece prin punctul fix, dar are direcția și modulul necunoscute. În aplicațiile practice se introduc componentele \bar{H} și \bar{V} , pe orizontală și pe verticală, ale forței de legătură (fig. 5.3b), cu ajutorul cărora se pot determina modulul și direcția forței de legătură \bar{R}_l astfel:

$$R_l = \sqrt{H^2 + V^2}, \quad \text{tg } \alpha = \frac{V}{H}. \quad (5.3)$$

5.1.2.3 Articulația sferică

Această legătură suprimă corpului trei grade de libertate și anume, cele trei translații în lungul axelor unui sistem de referință. Solidul rigid are, în acest caz, trei grade de libertate care sunt cele trei rotații în jurul axelor sistemului de referință ales cu originea în punctul fix al rigidului.



[4a]

Suprimând legătura, se introduce în punctul fix al solidului rigid forța de legătură \bar{R}_l , necunoscută în spațiu ca modul și direcție. În aplicații forța \bar{R}_l se înlocuiește pe axele sistemului de referință cu componentele $\bar{H}, \bar{V}, \bar{W}$ (fig. 5.4c) a căror mărime se determină din ecuațiile de echilibru scrise pentru solidul rigid.

Simbolul articulației sferice se poate urmări în figurile 5.4a și 5.4b.

Având în vedere figura 5.4c, se pot determina modulul și direcția forței de legătură

$$\bar{R}_l \text{ astfel: } \bar{R}_l = \sqrt{H^2 + V^2 + W^2}; \cos \alpha = \frac{H}{R_l}, \cos \beta = \frac{V}{R_l}, \cos \gamma = \frac{W}{R_l}. \quad (5.4)$$

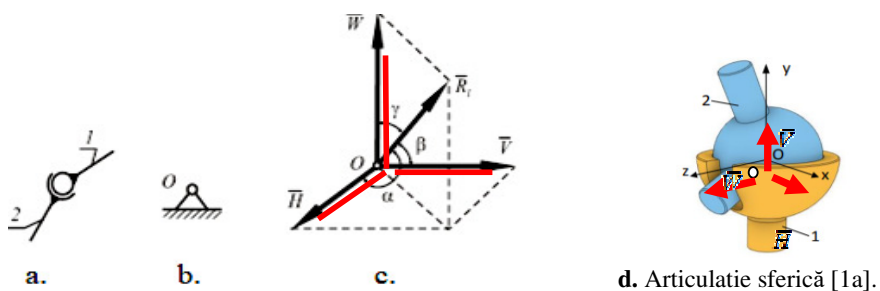


Fig. 5.4

5.1.2.4 Încăstrarea

Încăstrarea *suprimă corpului toate cele șase grade de libertate.* Dacă sistemul de forțe care acționează asupra solidului rigid este spațial sau în plan, încăstrarea se numește *spațială* sau *plană*.

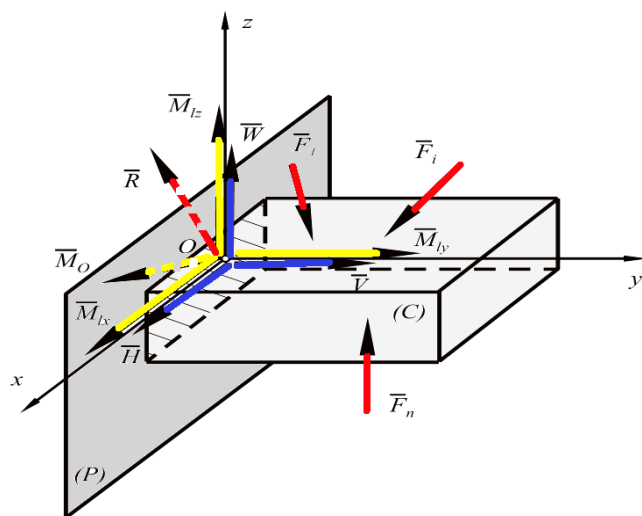


Fig. 5.5

Fie un solid rigid (C) (fig. 5.5) încastrat într-un perete și aflat sub acțiunea unui sistem spațial de forțe $\vec{F}_i, i=1 \div n$. În centrul O de greutate al secțiunii de încastrare se introduce sistemul de referință $Oxyz$ cu axele Ox și Oz în planul secțiunii de încastrare, iar Oy în lungul rigidului (C). Legătura se înlocuiește în O cu un torsor al forțelor de legătură $\tau_{l_o}(\vec{R}_l, \vec{M}_{l_o})$ ale cărui elemente echilibrează elementele torsorului de reducere $\tau_o(\vec{R}, \vec{M}_o)$ al forțelor date $\vec{F}_i, i=1 \div n$.

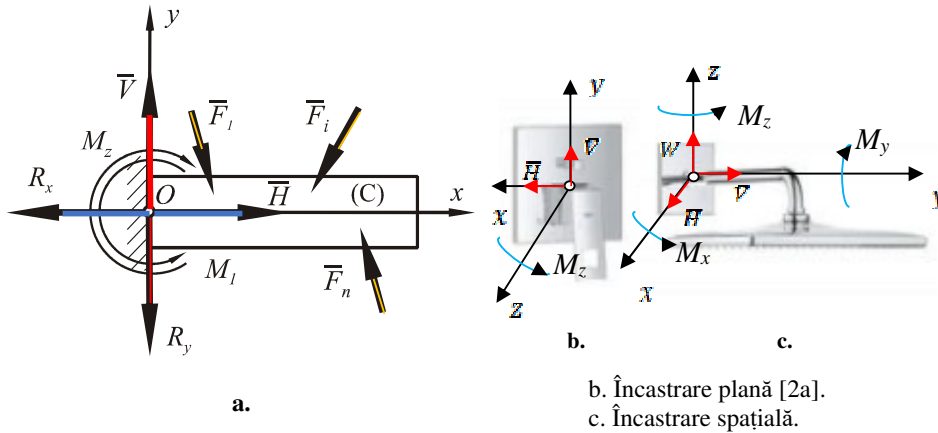


Fig. 5.6

Elementele torsorului forțelor de legătură sunt:

$$\vec{R}_l \rightarrow H, V, W \quad , \quad \vec{M}_{l_o} \rightarrow M_{l_x}, M_{l_y}, M_{l_z} \quad .$$

Pentru exemplificarea încastrării plane, în figura 5.6 este reprezentată o grindă încastrată într-un perete vertical, supusă unui sistem de forțe coplanare $\vec{F}_i, i=1 \div n$. Elementele celor doi torsori de reducere în raport cu O ai forțelor date și de legătură sunt: $\vec{R} \rightarrow R_x, R_y, 0$; $\vec{M}_o \rightarrow 0, 0, M_z$; $\vec{R}_l \rightarrow H, V, 0$; $\vec{M}_{l_o} \rightarrow 0, 0, M_1$

Simbolul încastrării plane este prezentat în figura 5.7a.

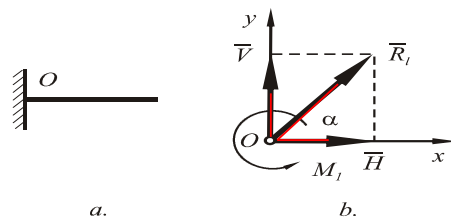


Fig. 5.7

Prin suprimarea încastrării plane (fig. 5.7b), în centrul O de greutate al secțiunii de încastrare se introduc în planul forțelor reacțiunile H și V , iar perpendicular pe acest plan se introduce momentul M_1 al forțelor de legătură, numit și moment din încastrare.

Considerând solidul rigid eliberat de legături, se poate studia echilibrul acestuia sub acțiunea forțelor date și de legătură. Ecuțiile vectoriale de echilibru a solidului rigid supus la legături sunt:

$$\bar{F} + \bar{R}_l = 0, \quad \bar{M}_G + \bar{M}_{l0} = 0, \quad (5.5)$$

care proiectate, apoi, pe axele unui sistem de referință conduc la un sistem de șase ecuații scalare de echilibru, la care se atașează și ecuațiile legăturilor.

Necunoscutele la o problemă de echilibru a solidului rigid supus la legături sunt:

- necunoscute pentru poziția de echilibru a rigidului (parametri de poziție) și
- necunoscute pentru sistemul forțelor de legătură.

Dacă numărul necunoscutelor este egal (sau nu) cu numărul ecuațiilor, problema este static determinată (sau static nedeterminată).

Legătura prin fire și bare introduce, prin suprimare, pe direcția firului (sau barei) o tensiune \bar{S} a cărei mărime este necunoscută.

5.1.2.5 Echilibrul solidului rigid supus la legături cu frecare

Frecarea de alunecare (fig. 5.8) apare atunci când un corp are o mișcare de translație, fiind rezemat pe un alt corp sau are o tendință de deplasare față de acel corp. Acestei mișcări sau tendințe de deplasare i se opune forța de frecare la alunecare notată \bar{T} (sau în unele referințe cu \bar{F}_f), care este situată în planul tangent dus în punctul teoretic de contact dintre cele două corpuri, are sens contrar mișcării sau tendinței de mișcare și are modulul cuprins între limitele:

$$0 \leq T \leq \mu N. \quad (5.6)$$

În relația (5.6) μ - reprezintă *coeficientul de frecare la alunecare* și este o mărime adimensională, iar N - este *modulul reacțiunii normale*.

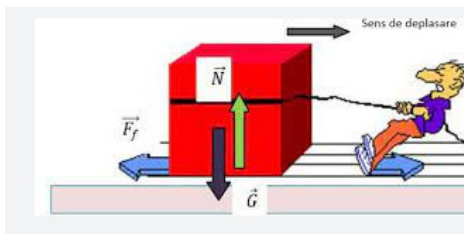


Fig. 5.8 Frecarea la alunecare [6a].

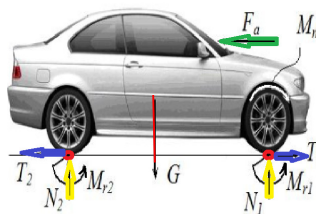


Fig. 5.9 Frecarea la rostogolire [7a].

Frecarea de rostogolire (fig. 5.9) apare între două corpuri atunci când un corp aflat în contact cu celălalt într-un punct teoretic de contact, are o mișcare de rotație sau o tendință a unei astfel de mișcări în jurul unei axe situată în planul tangent dus în punctul de contact dintre cele două corpuri. Acestei mișcări sau tendințe de mișcare i se opune momentul M_r al frecării de rostogolire, care are valoarea cuprinsă între limitele:

$$0 \leq M_r \leq sN . \quad (5.7)$$

În relația (5.7) s - reprezintă *coeficientul frecării de rostogolire* și are dimensiunea unei lungimi, iar N - reprezintă modulul reacțiunii normale.

Frecarea de pivotare apare în cazul în care un corp este sprijinit pe un alt corp într-un punct teoretic de contact și are o mișcare de rotație sau o tendință de mișcare de rotație în jurul unei axe, care are direcția normalei comune dusă în punctul teoretic de contact la suprafața de contact dintre cele două corpuri. Acestei mișcări sau tendințe de mișcare i se opune momentul frecării de pivotare M_p , care are valoarea cuprinsă între limitele:

$$0 \leq M_p \leq kN . \quad (5.8)$$

În relația (5.8) k - reprezintă *coeficientul frecării de pivotare* și are dimensiunea unei lungimi, iar N - reprezintă *modulul reacțiunii normale*.

Frecarea din articulații și lagăre (fig. 5.10) apare la mișcarea de rotație a unui corp în jurul unei axe sau atunci când există o tendință a unei astfel de mișcări. Oricărei mișcări sau tendințe de mișcare a unui corp în jurul unui ax fix i se opune un moment M_{fa} al frecării din articulație, care are valoarea cuprinsă între limitele:

$$0 \leq M_{fa} \leq \mu' rN . \quad (5.9)$$

În relația (5.9) μ' - reprezintă *coeficientul de frecare din articulație și lagăr*, iar r - este *raza axului (fusului)*, iar N - reprezintă *modulul reacțiunii normale totale*.



Fig. 5.10 Frecarea din articulații și lagăre [8a].

5.2 Probleme rezolvate ⁽¹⁰⁾

5.2.1. O bară de lungime $AB = l = 100 \text{ cm}$, având centrul de masă C la distanța $AC = a = 40 \text{ cm}$ de capătul A și greutatea $G = 1 \text{ daN}$, trebuie menținută în echilibru cu ajutorul a trei forțe P, Q, R , cuprinse în planul vertical al barei, în poziția în care face unghiul $\alpha = 60^\circ$ (fig. 5.11).

Se cer mărimile forțelor P, Q , și R știind că forța P este aplicată în A pe verticală, forțele Q și R sunt perpendiculare pe direcția barei și aplicate în punctele D și B astfel încât $DB = c = 25 \text{ cm}$. Sensul forțelor este cel indicat în figură. Să se precizeze o variantă de legături introduse în A și B pentru a rezulta forțele de legătură \bar{P} și \bar{R} .

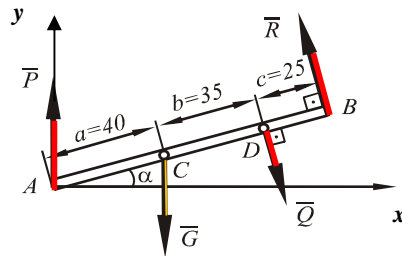


Fig. 5.11

Soluție:

Bara fiind în echilibru sub acțiunea a patru forțe coplanare, se scriu două ecuații de proiecții pe axele sistemului xAy și o ecuație de momente în raport cu A . Astfel,

$$\begin{aligned} \sum_{i=1}^n F_{ix} &= 0; \quad Q \sin \alpha - R \sin \alpha = 0 \\ \sum_{i=1}^n F_{iy} &= 0; \quad P - G - Q \cos \alpha + R \cos \alpha = 0 \\ \sum_{i=1}^n M_A(\bar{F}_i) &= 0; \quad -a \cos \alpha \cdot G - (a+b)Q + (a+b+c)R = 0. \end{aligned} \quad (1)$$

Rezolvând sistemul (1), se obțin:

$$Q = R = \frac{a}{c} \cos \alpha G; \quad P = G.$$

Aplicație numerică:

$$Q = R = \frac{40}{25} \cos 60^\circ \cdot 1 = 0,8 \text{ daN}; \quad P = 1 \text{ daN}.$$

În punctele A și B , pentru a se obține \bar{P} și \bar{R} , se introduc simple rezemări sau legături prin fir.

O variantă de legături introduse în A și B este arătată în figura 5.12.

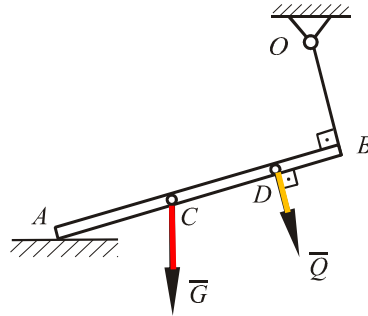


Fig. 5.12

5.2.2. O macara este formată dintr-o bară omogenă AC de greutate \bar{P} . Bara se poate roti în jurul articulației A și este prinsă de punctul fix B printr-un lanț BC. De capătul C este atârnată o greutate \bar{Q} (fig. 5.13). Să se determine tensiunea S a lanțului și reacțiunea în articulația A, dacă unghiurile α și β sunt cunoscute. Cum variază tensiunea în cazul când lanțul va deveni orizontal? Caz particular: se neglijează greutatea barei.

Soluție:

Ecuatiile scalare de echilibru sunt:

$$\sum_{i=1}^n F_{ix} = 0 ; H - S \sin(\alpha + \beta) = 0 \quad (1)$$

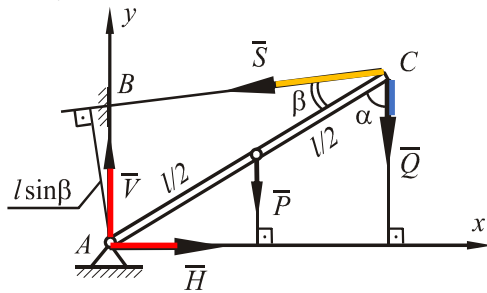


Fig. 5.13

$$\sum_{i=1}^n F_{iy} = 0 ; V - P - Q - S \cos(\alpha + \beta) = 0 \quad (2)$$

$$\sum_{i=1}^n M_A(\bar{F}_i) = 0 ; \frac{l}{2} \sin \alpha \cdot P + l \sin \alpha \cdot Q - l \sin \beta \cdot S = 0. \quad (3)$$

Din relația (3) se obține:

$$S = \frac{P + 2Q}{2 \sin \beta} \sin \alpha, \quad (4)$$

care, introdusă în (1) și (2), conduce la:

$$H = \frac{P + 2Q}{2 \sin \beta} \sin \alpha \cdot \sin(\alpha + \beta) \quad (5)$$

$$V = P + Q + S = \frac{P + 2Q}{2 \sin \beta} \sin \alpha \cdot \cos(\alpha + \beta).$$

Dacă lanțul este pe orizontală, $\beta = \frac{\pi}{2} - \alpha$. În acest caz, tensiunea S are valoarea:

$$S = \frac{P + 2Q}{2} \operatorname{tg} \alpha. \quad (6)$$

Caz particular: dacă greutatea barei se neglijează, (4) și (5) devin:

$$S = Q \frac{\sin \alpha}{\sin \beta}; \quad H = Q \frac{\sin \alpha}{\sin \beta} \cdot \sin(\alpha + \beta) \quad (7)$$

$$V = Q \left[1 + \frac{\sin \alpha}{\sin \beta} \cos(\alpha + \beta) \right].$$

5.2.3. O bară grea omogenă este în echilibru sub acțiunea a două forțe care sunt aplicate în extremitățile A,B și fac cu verticala unghiurile α, β (fig. 5.14). Ce unghi face bara cu verticala în poziția de echilibru?

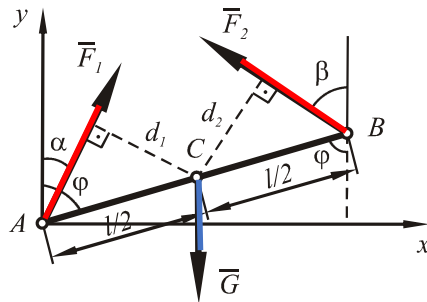


Fig. 5.14

Soluție:

Bara este în echilibru sub acțiunea forțelor \vec{F}_1 și \vec{F}_2 și a forței de greutate \vec{G} . Alegând sistemul de referință xAy , se scriu ecuații de proiecții pe axele sistemului și o ecuație de momente în raport cu punctul C . Astfel,

$$\sum_{i=1}^n F_{ix} = 0; \quad F_1 \sin \alpha - F_2 \sin \beta = 0,$$

$$\text{din care rezultă: } \frac{F_1}{F_2} = \frac{\sin \beta}{\sin \alpha} \quad (1)$$

$$\sum_{i=1}^n F_{iy} = 0 ; F_1 \cos \alpha + F_2 \cos \beta - G = 0 \quad (2)$$

$$\sum_{i=1}^n M_C(\vec{F}_i) = 0 ; \quad -F_1 d_1 + F_2 d_2 = 0 ,$$

din care se obține:

$$\frac{F_1}{F_2} = \frac{d_1}{d_2} = \frac{\sin(\beta + \varphi)}{\sin(\varphi - \alpha)} , \quad (3)$$

având în vedere că

$$d_1 = \frac{l}{2} \sin(\varphi - \alpha) ; \quad d_2 = \frac{l}{2} \sin[180 - (\beta + \varphi)] . \quad (4)$$

Din (1) și (3) se obține:

$$\frac{\sin(\varphi - \alpha)}{\sin \alpha} = \frac{\sin(\varphi + \beta)}{\sin \beta} , \quad (5)$$

din care rezultă:

$$\text{ctg } \varphi = \frac{\text{ctg } \alpha - \text{ctg } \beta}{2} . \quad (6)$$

F_1 și F_2 se obțin din ecuațiile (1) și (2) și anume:

$$F_1 = G \frac{\sin \beta}{\sin(\alpha + \beta)} , \quad F_2 = G \frac{\sin \alpha}{\sin(\alpha + \beta)} . \quad (7)$$

5.2.4. O placă triunghiulară omogenă ABC (fig. 5.15) are greutatea $P=1 \text{ daN}$ și poartă în vârfurile A, B, C greutatea: $F_1 = 2 \text{ daN}$, $F_2 = 3 \text{ daN}$, $F_3 = 4 \text{ daN}$. În ce punct trebuie susținută placa pentru a rămâne în echilibru? Să se arate că acest punct nu depinde de orientarea planului plăcii. Se dau: $OA=m$ și $BC=2a$.

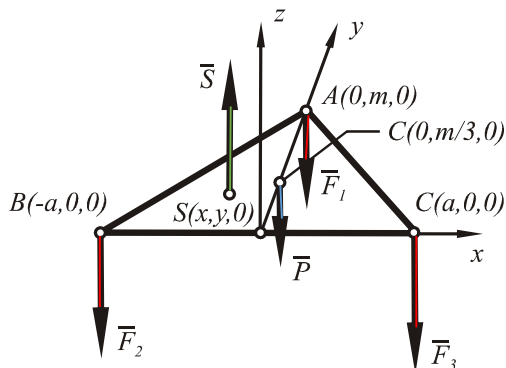


Fig. 5.15

Soluție:

Ecuțiile de echilibru sunt:

$$\sum_{i=1}^n F_{iz} = 0 ; S - 1 - 2 - 3 - 4 = 0 , \text{ de unde } S = 10 daN . \quad (1)$$

În conformitate cu (5.2), se pot scrie ecuațiile:

$$\begin{aligned} M_x &= \sum_{i=1}^n (y_i F_{iz} - z_i F_{iy}) = 0 \\ M_y &= \sum_{i=1}^n (z_i F_{ix} - x_i F_{iz}) = 0 \\ M_z &= \sum_{i=1}^n (x_i F_{iy} - y_i F_{ix}) = 0, \end{aligned} \quad (2)$$

în care $F_{ix} = F_{iy} = 0$, astfel că (2) devine:

$$\begin{aligned} \sum_{i=1}^n y_i F_{iz} &= yS - \frac{m}{3} \cdot 1 - m \cdot 2 = 0 \\ \sum_{i=1}^n x_i F_{iz} &= xS + 3a - 4a = 0. \end{aligned} \quad (3)$$

Din sistemul (3) se obțin

$$x = \frac{7}{30} m ; y = -\frac{1}{10} a. \quad (4)$$

Dacă se schimbă orientarea planului plăcii (se schimbă direcția vectorilor \vec{F}_i și \vec{G}), alegând Oz mereu paralel cu direcția vectorilor, se obțin aceleași ecuații de echilibru.

5.2.5. Două bare grele, omogene, de aceeași lungime $AB = AC = l$ formează un unghi drept rigid BAC care se poate deplasa într-un plan vertical, rezemându-se fără frecare pe colțurile D, E a doi pereți din acest plan, punctele D și E fiind pe aceeași orizontală la distanța $DE = a < l$.

Se cere poziția de echilibru și reacțiunile în D și E (fig. 5.16).

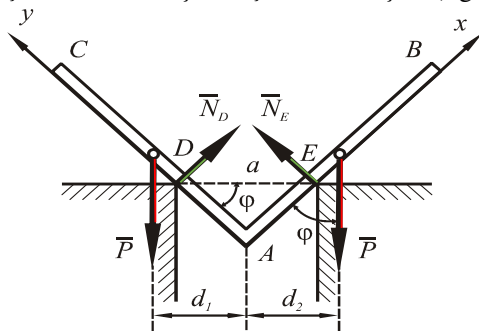


Fig. 5.16

Soluție:

Reazemele simple din D și E suprimă rigidului două grade de libertate în planul său, rămânând doar un singur grad de libertate. Parametrul care determină poziția de echilibru a barelor este unghiul φ .

Se suprimă legăturile, introducând forțele de legătură \bar{N}_D și \bar{N}_E . Ecuațiile de echilibru sunt:

$$\sum_{i=1}^n F_{ix} = 0; N_D - P \cos \varphi - P \cos \varphi = 0 \Rightarrow N_D = 2P \cos \varphi \quad (1)$$

$$\sum_{i=1}^n F_{iy} = 0; N_E - P \sin \varphi - P \sin \varphi = 0 \Rightarrow N_E = 2P \sin \varphi \quad (2)$$

$$\sum_{i=1}^n M_A(\bar{F}_i) = 0; -N_D \cdot AD + Pd_1 + N_E \cdot AE - Pd_2 = 0, \quad (3)$$

în care

$$AD = a \cos \varphi; AE = a \sin \varphi; d_1 = \frac{l}{2} \cos \varphi; d_2 = \frac{l}{2} \sin \varphi.$$

Ecuația (3) de momente devine:

$$2a(\sin^2 \varphi - \cos^2 \varphi) - \frac{l}{2}(\sin \varphi - \cos \varphi) = 0, \quad (4)$$

care este satisfăcută dacă

$$\begin{cases} \sin \varphi - \cos \varphi = 0 & (5) \\ \sin \varphi + \cos \varphi = \frac{l}{4a}. & (6) \end{cases}$$

Din (5) se obține:

$$\sin \varphi = \cos \varphi \text{ pentru } \varphi < 90^\circ, \text{ rezultă } \varphi = 45^\circ. \quad (7)$$

Ecuația (6) se mai poate scrie:

$$\begin{aligned} \sqrt{2} \left(\frac{1}{\sqrt{2}} \sin \varphi + \frac{1}{\sqrt{2}} \cos \varphi \right) &= \frac{l}{4a}, \\ \cos(45^\circ - \varphi) &= \frac{l}{4a\sqrt{2}}. \end{aligned} \quad (8)$$

Cum $\varphi < 90^\circ$, rezultă $|45^\circ - \varphi| < 45^\circ$, astfel că ecuația (8) are soluție pentru:

$$\frac{1}{\sqrt{2}} < \frac{l}{4a\sqrt{2}} < 1$$

sau

$$4 < \frac{l}{a} < 4\sqrt{2}. \quad (9)$$

În această ipoteză, din (8) se obține:

$$|45^\circ - \varphi| = \arccos \frac{l}{4a\sqrt{2}},$$

respectiv,

$$\varphi = 45^\circ \pm \arccos \frac{l}{4a\sqrt{2}}. \quad (10)$$

Așadar, dacă este satisfăcută inegalitatea (9), există trei poziții de echilibru date de (7) și (10). Dacă nu este îndeplinită inegalitatea (9), se obține o singură poziție de echilibru dată de (7).

Pentru prima poziție de echilibru se obține:

$$N_D = N_E = P\sqrt{2} = 1,414P, \quad (11)$$

iar pentru poziția dată de (10) se obțin valorile forțelor N_D și N_E , astfel:

$$N_D = 2P \cos \varphi = 2P \cos \left[45^\circ \pm \arccos \frac{l}{4a\sqrt{2}} \right]$$

$$N_D = 2P \left(\frac{\sqrt{2}}{2} \frac{l}{4a\sqrt{2}} \mp \frac{\sqrt{2}}{2} \sqrt{1 - \frac{l^2}{32a^2}} \right) = \frac{P}{4a} \left(l \pm \sqrt{32a^2 - l^2} \right) \quad (12)$$

$$N_E = 2P \sin \varphi = 2P \sin \left[45^\circ \pm \arccos \frac{l}{4a\sqrt{2}} \right]$$

$$N_E = P\sqrt{2} \left(\frac{l}{4a\sqrt{2}} \pm \sqrt{1 - \frac{l^2}{32a^2}} \right) = \frac{P}{4a} \left(l \pm \sqrt{32a^2 - l^2} \right). \quad (13)$$

5.2.6. O bară $AB=a$ de greutate \bar{G} se reazemă în A pe o podea perfect lustruită, iar în B pe un perete perfect lustruit, înclinat sub unghiul β față de orizontală. Să se determine reacțiunile în A și B și mărimea forței \bar{F} ce trebuie aplicată în A , pentru ca bara să stea în echilibru (fig. 5.17).

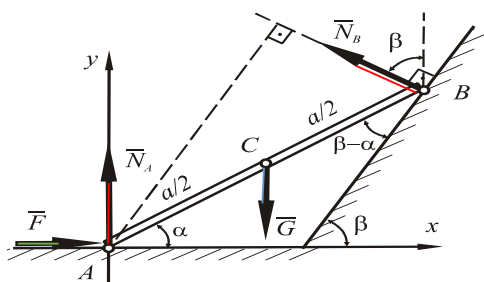


Fig. 5.17

Soluție:

Ecuțiile scalare de echilibru sunt:

$$\sum_{i=1}^n F_{ix} = 0 ; F - N_B \sin \beta = 0 \quad (1)$$

$$\sum_{i=1}^n F_{iy} = 0 ; N_A + N_B \sin \beta - G = 0 \quad (2)$$

$$\sum_{i=1}^n M_A(\bar{F}_i) = 0 ; G \frac{a}{2} \cos \alpha - N_B a \cos(\beta - \alpha) = 0 . \quad (3)$$

Din sistemul format de ecuațiile (1)-(3) se obțin succesiv:

$$N_B = G \frac{\cos \alpha}{2 \cos(\beta - \alpha)} \quad (4)$$

$$F = N_B \sin \beta = G \frac{\cos \alpha \sin \beta}{2 \cos(\beta - \alpha)} \quad (5)$$

$$N_A = G \left(1 - \frac{\cos \alpha \cos \beta}{2 \cos(\beta - \alpha)} \right) . \quad (6)$$

5.2.7. La capătul E al unei bare de greutate neglijabilă, atârână o greutate \bar{G} . Bara este articulată la capătul din A și este legată prin firul BCD trecut în B după un inel fără frecare (fig. 5.18). Se dă $\overline{AC} = \overline{DE}$ și $\overline{BC} = \overline{BD}$. Să se găsească tensiunea \bar{S} în fir. Să se determine reacțiunea în articulația A ca mărime și direcție.

Soluție:

Se suprimă legăturile barei și se introduc forțele de legătură H, V, S_1, S_2 . Neglijând frecarea firului cu inelul, se poate scrie: $S_1 = S_2 = S$.

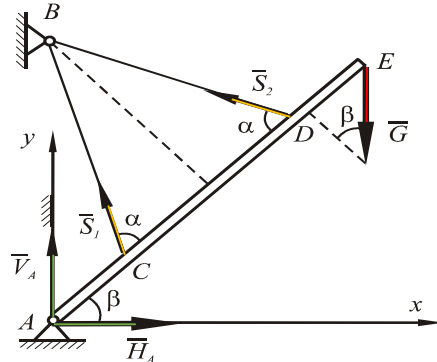


Fig. 5.18

Ecuțiile scalare de echilibru sunt:

$$\sum_{i=1}^n F_{ix} = 0 ; H_A - S \cos(\pi - \alpha - \beta) - S \cos[\pi - \beta - (\pi - \alpha)] = 0$$

$$\sum_{i=1}^n F_{iy} = 0 ; V_A + S \sin(\pi - \alpha - \beta) + S \sin(\alpha - \beta) - G = 0$$

$$\sum_{i=1}^n M_A(\bar{F}_i) = 0 ; AC \cdot S \sin \alpha + (AE - DE)S \sin \alpha - AE \cdot G \cos \beta = 0$$

sau

$$\begin{aligned} H_A + S \sin(\alpha + \beta) - S \cos(\alpha - \beta) &= 0 \\ V_A + S \sin(\alpha + \beta) + S \sin(\alpha - \beta) - G &= 0 \end{aligned} \quad (1)$$

$$S \sin \alpha (AC + AE - DE) - AE \cdot G \cos \beta = 0 .$$

Cum $AC = DE$, rezultă

$$S = G \frac{\cos \beta}{\sin \alpha} . \quad (2)$$

Din primele două ecuații (1), se obțin:

$$\begin{aligned} H_A &= G \sin 2\beta \\ V_A &= G \cos 2\beta . \end{aligned} \quad (3)$$

Modulul reacțiunii \bar{R}_A din articulația A este:

$$R_A = \sqrt{H_A^2 + V_A^2} = G . \quad (4)$$

Direcția reacțiunii \bar{R}_A se obține astfel:

$$\cos \left(\widehat{\bar{R}_A, Ox} \right) = \frac{H_A}{R_A} = \sin 2\beta , \quad \widehat{\bar{R}_A, Ox} = \frac{\pi}{2} - 2\beta . \quad (5)$$

5.2.8. O placă triunghiulară omogenă ABC de greutate \bar{G} , este suspendată prin intermediul a două fire AD și BE . Placa se așează în poziție de echilibru când latura AB este orizontală, iar firul BE face unghiul α cu această latură (fig. 5.19). Se cer tensiunile din fire și unghiul β al firului AD cu orizontala în poziția de echilibru .

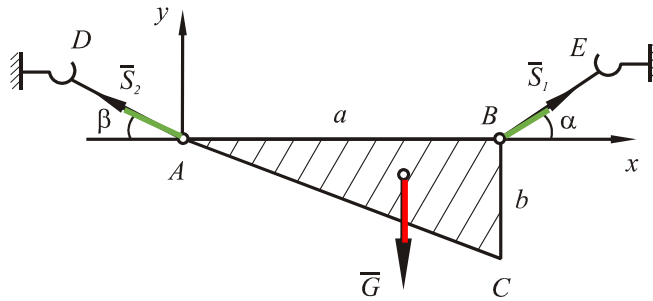


Fig. 5.19

Soluție:

Ecuțiile scalare de echilibru sunt:

$$\begin{aligned} \sum_{i=1}^n F_{ix} &= 0 ; S_1 \cos \alpha - S_2 \cos \beta = 0 \\ \sum_{i=1}^n F_{iy} &= 0 ; S_2 \sin \beta + S_1 \sin \alpha - G = 0 \\ \sum_{i=1}^n M_A(\bar{F}_i) &= 0 ; -G \frac{2}{3} a + S_1 \sin \alpha \cdot a = 0. \end{aligned} \quad (1)$$

Din ecuația de momente se obține:

$$S_1 = \frac{2G}{3 \sin \alpha} . \quad (2)$$

Din primele două ecuații ale sistemului (1), având în vedere (2), rezultă relațiile:

$$S_2 \sin \beta = \frac{1}{3} G ; S_2 \cos \beta = \frac{2G}{3 \operatorname{tg} \alpha} ,$$

care, ridicate la pătrat și adunate membru cu membru, conduc la:

$$S_2 = \frac{G}{3 \sin \alpha} \sqrt{1 + \cos^2 \alpha} . \quad (3)$$

Din prima ecuație a sistemului (1), având în vedere (2) și (3), se obține

$$\cos \beta = \frac{2 \cos \alpha}{\sqrt{1 + 3 \cos^2 \alpha}} . \quad (4)$$

5.2.9. O bară $AB = l$ de greutate neglijabilă se sprijină în A pe un zid vertical perfect lustruit (fără frecare), iar în C pe o muchie perfect lustruită. Celălalt capăt al barei este încărcat cu greutatea G . Să se găsească unghiul φ pentru poziția de echilibru și să se determine reacțiunile reazemelor A și C (fig. 5.20).

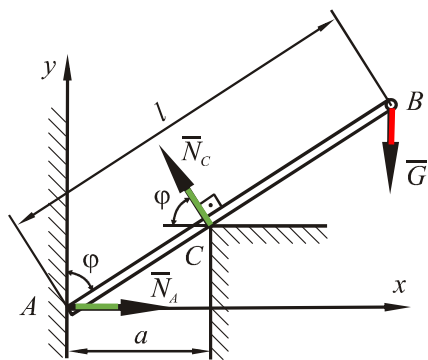


Fig. 5.20

Soluție:

Ecuțiile scalare de echilibru sunt:

$$\sum_{i=1}^n F_{ix} = 0 ; N_A - N_C \cos \varphi = 0 \quad (1)$$

$$\sum_{i=1}^n F_{iy} = 0 ; N_C \sin \varphi - G = 0 \quad (2)$$

$$\sum_{i=1}^n M_A(\vec{F}_i) = 0 ; G l \sin \varphi - N_C \frac{a}{\sin \varphi} = 0. \quad (3)$$

Din (2) se obține:

$$N_C = \frac{G}{\sin \varphi}, \quad (4)$$

care introdusă în (3) conduce la

$$\sin \varphi = \sqrt[3]{\frac{a}{l}}. \quad (5)$$

Având în vedere (1),(4),(5), se obțin valorile reacțiunilor din A și C:

$$N_C = G \sqrt[3]{\frac{l}{a}} ; N_A = G \sqrt[3]{\frac{l}{a}} \sqrt{1 - \left(\sqrt[3]{\frac{l}{a}}\right)^2}. \quad (6)$$

5.2.10. O placă pătrată de greutate \bar{G} este articulată în O și se reazemă cu colțul A pe un zid vertical. Să se afle reacțiunea din A în funcție de unghiul α care este dat (fig. 5.21).

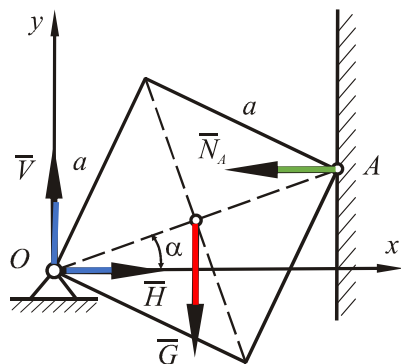


Fig. 5.21

Soluție:

Se scriu ecuațiile scalare de echilibru:

$$\sum_{i=1}^n F_{ix} = 0; H - N_A = 0; \sum_{i=1}^n F_{iy} = 0; V - G = 0 \quad (1)$$

$$\sum_{i=1}^n M_O(\vec{F}_i) = 0; G a \frac{\sqrt{2}}{2} \cos \alpha - N_A a \sqrt{2} \sin \alpha = 0. \quad (2)$$

Din sistemul (1)-(2) se obțin:

$$\begin{aligned} N_A &= \frac{G}{2} \operatorname{tg} \alpha \\ H = N_A &= \frac{G}{2} \operatorname{tg} \alpha \\ V &= G. \end{aligned} \quad (3)$$

Modulul și direcția reacțiunii din A se determină astfel:

$$\begin{aligned} R_A &= \sqrt{H^2 + V^2} = G \sqrt{1 + \frac{1}{4} \operatorname{tg}^2 \alpha} \\ \operatorname{tg} \left(\widehat{\vec{R}_A, \vec{H}} \right) &= \frac{V}{H} = 2 \operatorname{ctg} \alpha. \end{aligned} \quad (4)$$

5.2.11. O bară omogenă $OA=l$ de greutate \bar{G} , având secțiune dreptunghiulară, se reazemă într-un canal perfect luciu dreptunghiular. Să se determine reacțiunile în O și B (fig. 5.22).

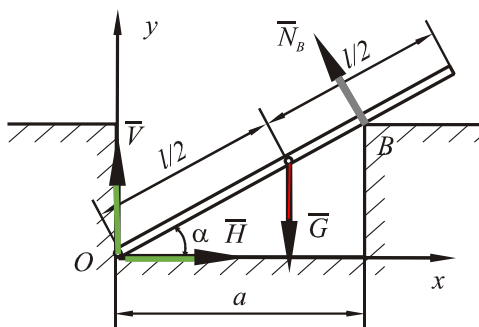


Fig. 5.22

Soluție:

Ecuțiile scalare de echilibru sunt:

$$\sum_{i=1}^n F_{ix} = 0 ; H - N_B \sin \alpha = 0 \quad (1)$$

$$\sum_{i=1}^n F_{iy} = 0 ; V + N_B \cos \alpha - G = 0 \quad (2)$$

$$\sum_{i=1}^n M_O(\vec{F}_i) = 0 ; G \frac{l}{2} \cos \alpha - N_B \frac{a}{\cos \alpha} = 0. \quad (3)$$

Din (1)-(3) se obțin:

$$N_B = G \frac{l}{2a} \cos^2 \alpha \quad (4)$$

$$H = G \frac{l}{2a} \cos^2 \alpha \sin \alpha \quad (5)$$

$$V = G \left(1 - \frac{l}{2a} \cos^3 \alpha \right). \quad (6)$$

Modulul reacțiunii R din O este:

$$R = \sqrt{H^2 + V^2},$$

respectiv:

$$R = \sqrt{1 - \frac{l}{a} \cos^3 \alpha + \frac{l^2}{4a^2} \cos^4 \alpha}. \quad (7)$$

5.2.12. O scândură pătrată $ABCD$ de greutate P este atârnată de firul BE ; cu vârful A ea se sprijină pe un perete neted fix și vertical EA . Să se determine reacțiunea peretelui în punctul A , tensiunea S a firului și unghiul φ , dacă $AB=BE=a$ (fig. 5.23).

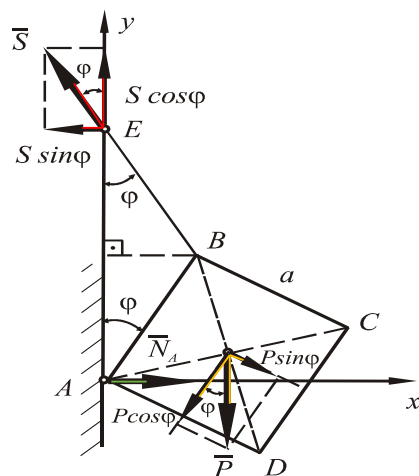


Fig. 5.23

Soluție:

Ecuatiile scalare de echilibru sunt:

$$\sum_{i=1}^n F_{ix} = 0 ; N_A - S \sin \varphi = 0 \quad (1)$$

$$\sum_{i=1}^n F_{iy} = 0 ; S \cos \varphi - P = 0 \quad (2)$$

$$\sum_{i=1}^n M_A(\vec{F}_i) = 0 ; S \sin \varphi 2a \cos \varphi - P \cos \varphi \frac{a}{2} - P \sin \varphi \frac{a}{2} = 0 . \quad (3)$$

Din (2) se obține:

$$S = \frac{P}{\cos \varphi} ,$$

care introdusă în (3) conduce la:

$$\operatorname{tg} \varphi = \frac{1}{3} . \quad (4)$$

Având în vedere relația

$$\cos \varphi = \frac{1}{\sqrt{1 + \operatorname{tg}^2 \varphi}} = \frac{3}{\sqrt{10}} ,$$

se obține valoarea tensiunii

$$S = \frac{\sqrt{10}}{3} P \quad (5)$$

și valoarea reacțiunii normale:

$$N_A = \frac{1}{3} P . \quad (6)$$

5.2.13. Într-un vas emisferic neted de rază $OC = r$ este așezată o bară omogenă $AB=2a$ și greutate P . Să se determine unghiul φ și reacțiunile în punctele A și C în poziția de echilibru. Să se afle de asemenea, condiția posibilității echilibrului (fig. 5.24).

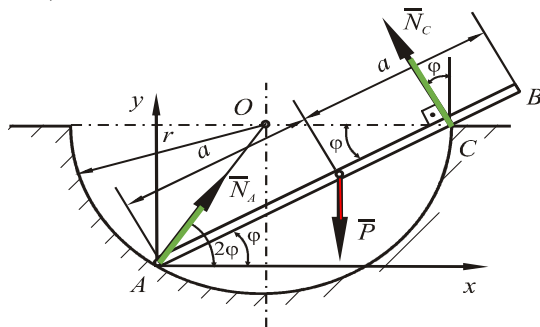


Fig. 5.24

Soluție:

Ecuatiile de echilibru sunt:

$$\sum_{i=1}^n F_{ix} = 0 ; N_A \cos 2\varphi - N_C \sin \varphi = 0 \quad (1)$$

$$\sum_{i=1}^n F_{iy} = 0 ; N_A \sin 2\varphi - P + N_C \cos \varphi = 0 \quad (2)$$

$$\sum_{i=1}^n M_A(\bar{F}_i) = 0 ; N_C \cdot 2r \cos \varphi - a \cos \varphi P = 0. \quad (3)$$

Din ecuația (3) rezultă

$$N_C = P \frac{a}{2r}, \quad (4)$$

care introdus în (1) conduce la

$$N_A = \frac{P \cdot a \sin \varphi}{2r \cos 2\varphi}. \quad (5)$$

Introducând (4) și (5) în (2) se obține ecuația:

$$4r \cos^2 \varphi - a \cos \varphi - 2r = 0, \quad (6)$$

a cărei soluție este:

$$\cos \varphi = \frac{a \pm \sqrt{a^2 + 32r^2}}{8r}.$$

Echilibrul este posibil pentru $0 \leq \cos \varphi \leq 1$, adică

$$0 \leq \frac{a + \sqrt{a^2 + 32r^2}}{8r} \leq 1,$$

de unde:

$$r \geq \frac{a}{2}. \quad (7)$$

5.2.14. O placă de greutate \bar{P} , având forma unui triunghi echilateral ABC cu latura a , se reazemă cu vârfurile A , B și C pe trei plane perpendiculare între ele xOy , yOz și zOx . În vârful A placa este legată de punctul O printr-un fir de lungime l , care împarte unghiul xOy în două părți egale (fig. 5.25).

Să se afle reacțiunile în punctele A , B , C și tensiunea \bar{S} a firului, dacă $OB' = OC'$.

Soluție:

Ecuatiile scalare de echilibru sunt :

$$\begin{aligned} \sum_{i=1}^n F_{ix} = 0; \quad N_C - \frac{\sqrt{2}}{2} S = 0 \\ \sum_{i=1}^n F_{iy} = 0; \quad N_B - \frac{\sqrt{2}}{2} S = 0 \\ \sum_{i=1}^n F_{iz} = 0; \quad N_A - P = 0 \end{aligned} \quad (1)$$

$$\sum_{i=1}^n \bar{M}_A(\bar{F}_i) = 0. \quad (2)$$

Pentru determinarea momentelor este necesar să se determine coordonatele punctelor A, B, C , și E . În acest sens:

$$OB' = OC' = a \frac{\sqrt{2}}{2}; \quad OD' = OB' \frac{\sqrt{2}}{2} = \frac{a}{2}. \quad (3)$$

Din $\triangle ADD' \sim \triangle AEE'$ se obține :

$$\frac{EE'}{DD'} = \frac{AE'}{AD'} = \frac{AE}{AD}, \quad (4)$$

iar din $\triangle ABD$ și $\triangle ADD'$ rezultă succesiv:

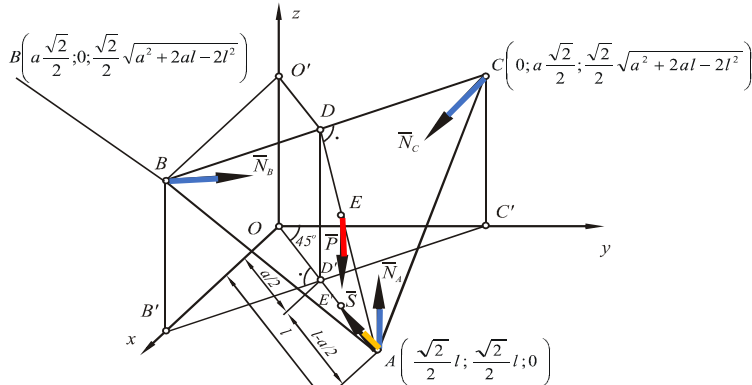


Fig. 5.25

$$AD = \sqrt{AB^2 - BD^2} = \frac{a\sqrt{3}}{2}; DD' = \sqrt{AD^2 - AD'^2} = \frac{\sqrt{2}}{2} \sqrt{a^2 + 2al - 2l^2}. \quad (5)$$

Introducând (5) în (4), se obține :

$$AE' = \frac{2}{3} \left(l - \frac{a}{2} \right); \quad EE' = \frac{\sqrt{2}}{3} \sqrt{a^2 + 2al - 2l^2},$$

$$\text{astfel că:} \quad OE' = OA - AE' = \frac{a+l}{3}. \quad (6)$$

Având în vedere figura 5.25 și relațiile (3) ÷ (6), coordonatele punctelor A , B , C , E sunt:

$$A \left(\frac{\sqrt{2}}{2} l; \frac{\sqrt{2}}{2} l; 0 \right); \quad B \left(\frac{\sqrt{2}}{2} a; 0; \frac{\sqrt{2}}{2} \sqrt{a^2 + 2al - 2l^2} \right);$$

$$C \left(0; \frac{\sqrt{2}}{2} a; \frac{\sqrt{2}}{2} \sqrt{a^2 + 2al - 2l^2} \right);$$

$$E \left[\frac{\sqrt{2}}{6} (a+l); \frac{\sqrt{2}}{6} (a+l); \frac{\sqrt{2}}{3} \sqrt{a^2 + 2al - 2l^2} \right].$$

Ecuția vectorială de echilibru (2) poate fi scrisă astfel:

$$\overline{AB} \times \overline{N}_B + \overline{AC} \times \overline{N}_C + \overline{AE} \times \overline{P} = 0$$

$$\begin{vmatrix} \vec{i} & \vec{j} & \vec{k} \\ \frac{\sqrt{2}}{2} (a-l) & -\frac{\sqrt{2}}{2} l & \frac{\sqrt{2}}{2} \sqrt{a^2 + 2al - 2l^2} \\ 0 & N_B & 0 \end{vmatrix} + \begin{vmatrix} \vec{i} & \vec{j} & \vec{k} \\ -\frac{\sqrt{2}}{2} l & -\frac{\sqrt{2}}{2} l & \frac{\sqrt{2}}{2} \sqrt{a^2 + 2al - 2l^2} \\ N_C & 0 & 0 \end{vmatrix} +$$

$$+ \begin{vmatrix} \vec{i} & \vec{j} & \vec{k} \\ \frac{\sqrt{2}}{6} (a-2l) & \frac{\sqrt{2}}{6} (a-2l) & \frac{\sqrt{2}}{3} \sqrt{a^2 + 2al - 2l^2} \\ 0 & 0 & -P \end{vmatrix} = 0.$$

$$- \left[\frac{\sqrt{2}}{6} (a-2l) P + \frac{\sqrt{2}}{2} \sqrt{a^2 + 2al - 2l^2} N_B \right] \vec{i} +$$

$$+ \left[\frac{\sqrt{2}}{6} (a-2l) P + \frac{\sqrt{2}}{2} \sqrt{a^2 + 2al - 2l^2} N_C \right] \vec{j} + \left[(N_B - N_C) \frac{\sqrt{2}}{2} (a-l) \right] \vec{k} = 0$$

sau scalar:

$$\begin{aligned} \frac{\sqrt{2}}{6}(a-2l)P + \frac{\sqrt{2}}{2}\sqrt{a^2+2al-2l^2}N_B &= 0 \\ \frac{\sqrt{2}}{6}(a-2l)P + \frac{\sqrt{2}}{2}\sqrt{a^2+2al-2l^2}N_C &= 0 \\ (N_B - N_C)\frac{\sqrt{2}}{2}(a-l) &= 0. \end{aligned} \quad (7)$$

Din ecuațiile (1) se obțin:

$$N_A = P; \quad N_B = N_C; \quad S = \sqrt{2}N_B, \quad (8)$$

iar din (7) rezultă:

$$N_B = \frac{(2l-a)P}{3\sqrt{a^2+2al-2l^2}}. \quad (9)$$

Tensiunea S din fir se obține din (8) și ținând cont de (9) și anume:

$$S = \frac{\sqrt{2}}{2} \frac{2l-a}{\sqrt{a^2+2al-2l^2}} P. \quad (10)$$

5.2.15. O bară AB este articulată în A și are capătul B prins cu două fire: unul vertical BC, având suspendată o greutate \bar{G} și celălalt BD, trecut peste un scripete D și având greutatea $2\bar{G}$ la capăt. Să se determine mărimea unghiului α și reacțiunea din A pentru echilibru, știind că $AB = AD$, greutatea barei fiind $2\bar{G}$ și $G = 1 \text{ daN}$ (fig. 5.26).

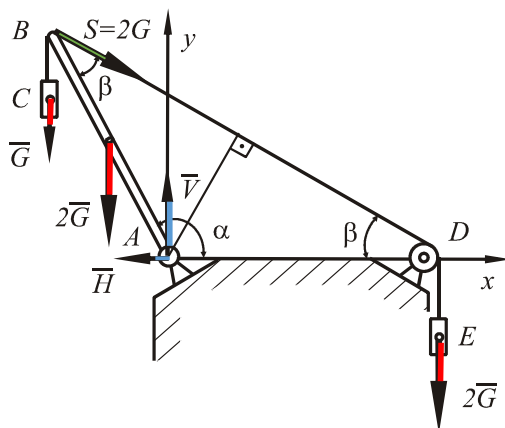


Fig. 5.26

Soluție:

Având în vedere figura 5.26, se poate scrie:

$$\beta = \frac{\pi}{2} - \frac{\alpha}{2}.$$

Ecuțiile scalare de echilibru sunt:

$$\sum_{i=1}^n F_{ix} = 0; \quad 2G \sin \frac{\alpha}{2} - H = 0 \quad (1)$$

$$\sum_{i=1}^n F_{iy} = 0; \quad V - G - 2G - 2G \cos \frac{\alpha}{2} = 0 \quad (2)$$

$$\sum_{i=1}^n M_A(\bar{F}_i) = 0; \quad 2G \frac{l}{2} (-\cos \alpha) + Gl(-\cos \alpha) - 2Gl \cos \frac{\alpha}{2} = 0. \quad (3)$$

Din (3) rezultă:

$$2 \cos^2 \frac{\alpha}{2} + \cos \frac{\alpha}{2} - 1 = 0$$

$$\cos \frac{\alpha}{2} = \frac{-1 \pm \sqrt{1+8}}{4} = \begin{cases} \frac{1}{2}; & \frac{\alpha}{2} = 60^\circ \\ -1; & \frac{\alpha}{2} = \pi. \end{cases}$$

Problema are sens pentru unghiul: $\alpha = 120^\circ$. (4)

Din (1) și (2) și luând în considerare (4), se obțin:

$$H = \sqrt{3}G; \quad V = 4G \quad (5)$$

pentru $G = 1 \text{ daN}$,

$$H = \sqrt{3} \text{ daN}; \quad V = 4 \text{ daN}. \quad (6)$$

5.2.16. O bară omogenă $AB=2a$ se reazemă fără frecare pe o podea orizontală și pe un perete vertical. Bara este fixată în C printr-un fir legat de punctul O la celălalt capăt. Se cunosc greutatea \bar{G} a barei și unghiurile α și β . Să se determine tensiunea \bar{S} din fir și reacțiunile în A și B (fig. 5.27).

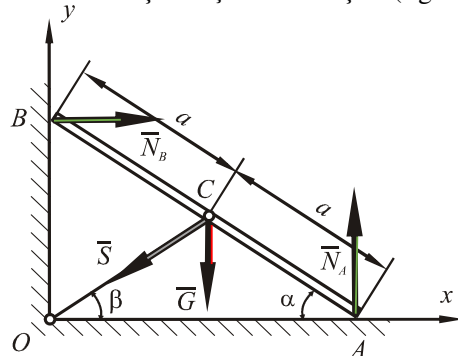


Fig. 5.27

Soluție:

Ecuțiile scalare de echilibru sunt:

$$\sum_{i=1}^n F_{ix} = 0 ; N_B - S \cos \beta = 0 \quad (1)$$

$$\sum_{i=1}^n F_{iy} = 0 ; N_A - G - S \sin \beta = 0 \quad (2)$$

$$\sum_{i=1}^n M_O(\vec{F}_i) = 0 ; N_B 2a \sin \alpha + G a \cos \alpha - N_A 2a \cos \alpha = 0. \quad (3)$$

Din (1) și (2) rezultă

$$N_A = G + S \sin \beta , N_B = S \cos \beta , \quad (4)$$

care introduse în (3) conduc la:

$$S = G \frac{\cos \alpha}{2 \sin(\alpha - \beta)} . \quad (5)$$

Introducând (5) în (4), rezultă valorile reacțiunilor \bar{N}_A și \bar{N}_B :

$$N_A = G \left(1 + \frac{\sin \beta \cos \alpha}{2 \sin(\alpha - \beta)} \right) ; N_B = S \cos \beta = G \frac{\cos \alpha \cos \beta}{2 \sin(\alpha - \beta)} . \quad (6)$$

5.2.17. O bară omogenă de lungime $2l$ și greutate \bar{P} este fixată prin articulația B de un perete, iar în punctul A ea se sprijină pe un cilindru circular fix de rază r , al cărui centru se află la distanța d de perete. Să se afle reacțiunile în punctele A și B , fiind cunoscut unghiul α dintre bară și orizontală (fig. 5.28).

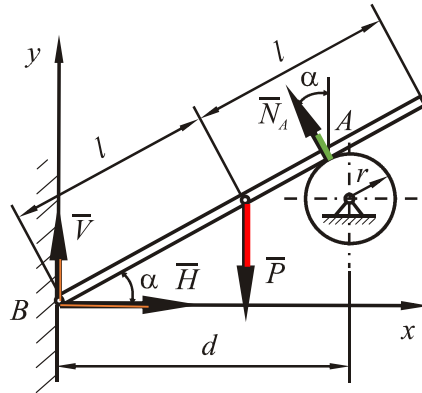


Fig. 5.28

Soluție:

Ecuțiile scalare de echilibru sunt:

$$\sum_{i=1}^n F_{ix} = 0 ; H - N_A \sin \alpha = 0 \quad (1)$$

$$\sum_{i=1}^n F_{iy} = 0 ; V + N_A \cos \alpha - P = 0 \quad (2)$$

$$\sum_{i=1}^n M_A(\vec{F}_i) = 0 ; N_A \cdot AB - Pl \cos \alpha = 0. \quad (3)$$

Din figura 5.28 se obține

$$AB = \frac{d - r \sin \alpha}{\cos \alpha}, \quad (4)$$

astfel că din (3) rezultă:

$$N_A = P \frac{l \cdot \cos^2 \alpha}{d - r \sin \alpha}, \quad (5)$$

iar din (1) și (2) se obțin: $H = P \frac{l \cos^2 \alpha \sin \alpha}{d - r \sin \alpha} ; V = P \left(1 - \frac{l \cos^3 \alpha}{d - r \sin \alpha} \right).$ (6)

5.2.18. Se cere poziția de echilibru a unei bare grele omogene $AB = l$, ale cărei extremități se reazemă fără frecare pe un arc de cerc și pe raza sa verticală $OC = r > l$ (se va exprima prin unghiul $\widehat{BOC} = \alpha$) (fig. 5.29).

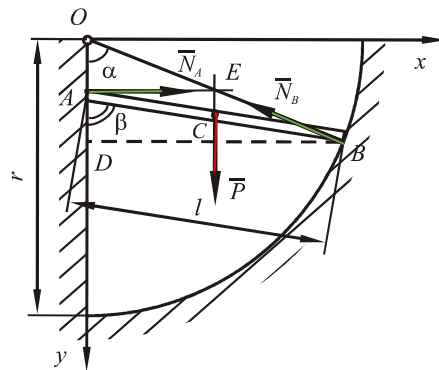


Fig. 5.29

Soluție:

Bara fiind în echilibru sub acțiunea a trei forțe coplanare, acestea trebuie să fie concurente într-un punct. Astfel, punctul E de intersecție al reacțiilor \vec{N}_A și \vec{N}_B trebuie să fie pe verticala centrului de greutate al barei (fig. 5.29).

Ecuțiile scalare de echilibru sunt:

$$\sum_{i=1}^n F_{i_x} = 0; \quad N_A - N_B \sin \alpha = 0 \quad (1)$$

$$\sum_{i=1}^n F_{i_y} = 0; \quad N_B \cos \alpha - P = 0 \quad (2)$$

$$\sum_{i=1}^n M_o(\vec{F}_i) = 0; \quad P \cdot \frac{l}{2} \sin \beta - N_A \cdot OA = 0, \quad (3)$$

în care: $OA = OD - AD = r \cos \alpha - l \cos \beta.$ (4)

Având în vedere figura dată, se poate scrie:

$$BD = r \sin \alpha = l \sin \beta \quad (5)$$

$$\cos \beta = \sqrt{1 - \sin^2 \beta} = \frac{1}{l} \sqrt{l^2 - r^2 \sin^2 \alpha}, \quad (6)$$

astfel că din (4) și ținând cont de (6), relația devine:

$$OA = r \cos \alpha - \sqrt{l^2 - r^2 \sin^2 \alpha}. \quad (7)$$

Din (2) rezultă:

$$N_B = \frac{P}{\cos \alpha},$$

care introdusă în (1) va conduce la:

$$N_A = P \operatorname{tg} \alpha. \quad (8)$$

Luând în considerare (5), (7) și (8), relația (3) devine:

$$\frac{l}{2} \cdot \frac{r \sin \alpha}{l} P - P \operatorname{tg} \alpha \left(r \cos \alpha - \sqrt{l^2 - r^2 \sin^2 \alpha} \right) = 0$$

sau: $\sin \alpha = \frac{1}{r} \sqrt{\frac{4l^2 - r^2}{3}};$ pentru $\frac{r}{2} < l < r.$ (9)

5.2.19. O bară omogenă se sprijină într-un ghidaj circular de rază r , distanța de la centrul ghidajului până la bară fiind egală cu b . Să se determine unghiul φ din figura 5.30 pentru poziția limită de echilibru a barei în ghidaj.

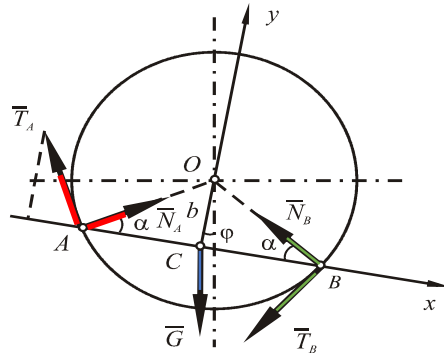


Fig. 5.30

Soluție:

Pentru echilibru la limită se scriu relațiile:

$$T_A = \mu N_A; \quad T_B = \mu N_B. \quad (1)$$

Ecuțiile scalare de echilibru sunt:

$$\sum_{i=1}^n F_{ix} = 0; \quad (\cos \alpha - \mu \sin \alpha) N_A - (\cos \alpha + \mu \sin \alpha) N_B + G \sin \varphi = 0 \quad (2)$$

$$\sum_{i=1}^n F_{iy} = 0; \quad (\sin \alpha - \mu \cos \alpha) N_A + (\sin \alpha + \mu \cos \alpha) N_B - G \cos \varphi = 0 \quad (3)$$

$$\sum_{i=1}^n M_O(\bar{F}_i) = 0; \quad \mu N_A \cdot r + \mu N_B \cdot r - G b \sin \varphi = 0. \quad (4)$$

Din (2) se obține:

$$N_B = \frac{(\cos \alpha - \mu \sin \alpha) N_A + G \sin \varphi}{\cos \alpha + \mu \sin \alpha}, \quad (5)$$

care introdusă în (3) și (4) va conduce la un sistem de ecuații în necunoscutele N_A și φ . Având în vedere că:

$$\sin \alpha = \frac{b}{r}, \quad \cos \alpha = \frac{1}{r} \sqrt{r^2 - b^2}, \quad (6)$$

se rezolvă sistemul în N_A și φ și se obține:

$$\text{ctg } \varphi = \frac{b^2}{r^2} \frac{1 + \mu^2}{\mu} - \mu. \quad (7)$$

5.2.20. O scândură omogenă se sprijină prin două reazeme pe un plan orizontal aspru. Greutatea scândurii este P , iar coeficienții de frecare dintre reazeme și planul de sprijin sunt μ_1 și μ_2 . Să se determine valoarea maximă a forței orizontale \bar{Q} pentru care echilibrul mai este posibil (fig. 5.31).

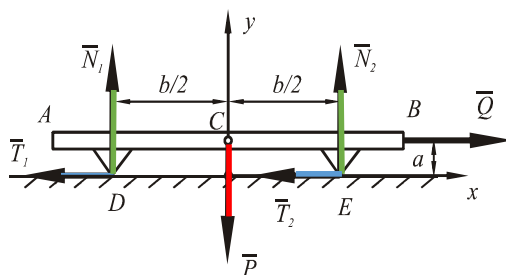


Fig. 5.31

Soluție:

Pentru echilibrul la limită:

$$T_1 = \mu_1 N_1; \quad T_2 = \mu_2 N_2. \quad (1)$$

Ecuțiile scalare de echilibru sunt:

$$\sum_{i=1}^n F_{ix} = 0; \quad N_1 + N_2 - P = 0 \quad (2)$$

$$\sum_{i=1}^n F_{iy} = 0; \quad Q - \mu_1 N_1 - \mu_2 N_2 = 0 \quad (3)$$

$$\sum_{i=1}^n M_E(\bar{F}_i) = 0; \quad Qa - P\frac{b}{2} + N_1 b = 0. \quad (4)$$

Rezolvând sistemul de ecuații (1) - (4), se obțin succesiv:

$$N_1 = \frac{P}{2} - Q\frac{a}{b}; \quad N_2 = \frac{P}{2} + Q\frac{a}{b} \quad (5)$$

$$Q = \frac{(\mu_1 + \mu_2)b}{2[b + (\mu_1 - \mu_2)a]} P. \quad (6)$$

5.2.21. O bară AB de greutate \bar{G} se sprijină în A pe un plan orizontal aspru, coeficientul de frecare de alunecare fiind μ , iar în B este suspendată printr-un fir. În poziția de echilibru bara face unghiul α cu planul orizontal. Să se determine unghiul de înclinare al firului față de planul orizontal pentru care bara începe să alunece. Să se determine, în acest caz și reacțiunea în A (fig. 5.32).

Soluție:

Din figură se poate scrie:

$$\beta = 90^\circ - [(90^\circ - \varphi) + \alpha]$$

$$\beta = \varphi - \alpha.$$

Pentru echilibru la limita frecării de alunecare:

$$T_A = \mu N_A. \quad (1)$$

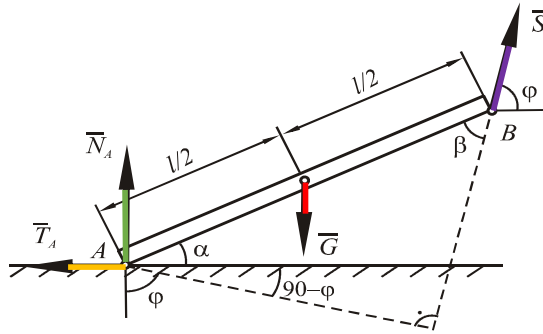


Fig. 5.32

Ecuțiile scalare de echilibru sunt:

$$\sum_{i=1}^n F_{ix} = 0; \quad S \cos \varphi - \mu N_A = 0 \quad (2)$$

$$\sum_{i=1}^n F_{iy} = 0; \quad N_A + S \sin \varphi - G = 0 \quad (3)$$

$$\sum_{i=1}^n M_A(\bar{F}_i) = 0; \quad G \frac{l}{2} \cos \alpha - S l \sin(\varphi - \alpha) = 0. \quad (4)$$

Rezolvând sistemul de ecuații (1)-(4) se obține:

$$\operatorname{ctg} \varphi = \frac{1}{\mu} + 2 \operatorname{tg} \alpha. \quad (5)$$

5.2.22. O bară AB, cu centrul de masă C, se reazemă pe o suprafață orizontală aspră (coeficient de frecare μ_1) și pe un perete vertical (coeficient de frecare μ_2), (fig. 5.33). Care sunt valorile unghiului φ pentru care bara este în echilibru?

Soluție:

Ecuțiile scalare de echilibru sunt:

$$\sum F_{ix} = 0; \quad T_A - N_B = 0 \quad (1)$$

$$\sum F_{iy} = 0; \quad N_A - G + T_B = 0 \quad (2)$$

$$\sum \bar{M}_A(\bar{F}_i) = 0; \quad -Ga \cos \varphi + N_B(a+b) \sin \varphi + T_B(a+b) \cos \varphi = 0, \quad (3)$$

la care se adaugă inecuațiile:

$$T_A \leq \mu_1 N_A \quad (4)$$

$$T_B \leq \mu_2 N_B. \quad (5)$$

Din (1), (2), (4) și (5), se obține:

$$N_B = \frac{\mu_1 G}{(1 + \mu_1 \mu_2)}, \quad (6)$$

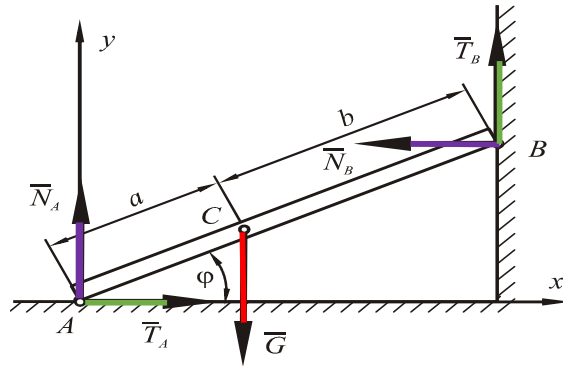


Fig. 5.33

care, introdusă în (3), conduce la

$$T_B = \frac{G \cdot a}{a + b} - \frac{\mu_1 G}{(1 + \mu_1 \mu_2) \operatorname{ctg} \varphi}, \quad (7)$$

Introducând (6) și (7) în (5), rezultă:

$$\operatorname{tg} \varphi \geq \frac{a - b \mu_1 \mu_2}{(a + b) \mu_1}. \quad (8)$$

5.2.23. Un bloc paralelipipedic de greutate \bar{P} este tras orizontal de o forță \bar{H} aplicată la înălțimea h de pământ. Forța \bar{H} este situată într-un plan vertical de simetrie al blocului (fig. 5.34). Să se studieze posibilitățile de echilibru și de mișcare ale blocului în funcție de valoarea forței \bar{H} .

Soluție:

Ecuțiile scalare de echilibru sunt:

$$\sum_{i=1}^n F_{ix} = 0; \quad H - T = 0 \quad (1)$$

$$\sum_{i=1}^n F_{iy} = 0; \quad N - P = 0 \quad (2)$$

$$\sum_{i=1}^n \bar{M}_A(\bar{F}_i) = 0; \quad H \cdot h + P \frac{b}{2} = 0, \quad (3)$$

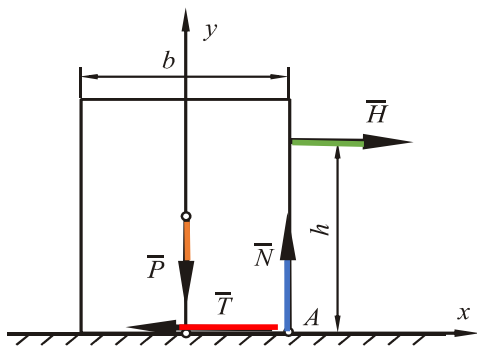


Fig. 5.34

la care, ținând cont de frecările de alunecare și de rostogolire, se adaugă inecuațiile:

$$T \leq \mu N \quad (4)$$

$$H \cdot h \leq P \frac{b}{2}. \quad (5)$$

Din (1), (2) și (4) se obține valoarea lui H pentru echilibru la alunecare:

$$H \leq \mu P, \quad (6)$$

iar din (5) se obține valoarea lui H pentru echilibru la rostogolire:

$$H \leq \frac{b}{2h} P. \quad (7)$$

Posibilitățile de mișcare sunt:

- alunecare fără rostogolire, pentru care relațiile (6) și (7) devin:

$$\begin{aligned} H &> \mu P \\ H &\leq \frac{b}{2h} P, \end{aligned} \quad (8)$$

condiții care sunt îndeplinite pentru:

$$\frac{b}{2h} \geq \mu; \quad (9)$$

- rostogolire fără alunecare, pentru care relațiile (6) și (7) devin:

$$\begin{aligned} H &> \frac{b}{2h} P \\ H &\leq \mu P, \end{aligned} \quad (10)$$

relații satisfăcute pentru:

$$\frac{b}{2h} \leq \mu; \quad (11)$$

- alunecare și rostogolire, pentru care relațiile (6) și (7) devin:

$$H > \mu P$$

$$H > \frac{b}{2h} P. \quad (12)$$

5.2.24. Stâlful unei antene este ancorat cu trei cabluri ca în figura 5.35. Știind că tensiunea din cablul AC este 7000 N, să se determine tensiunile din celelalte două cabluri astfel ca stâlful să fie solicitat numai de-a lungul axei sale verticale AO . Să se determine apoi reacțiunea din articulația O , dacă stâlful are greutatea $G = 24000$ N.

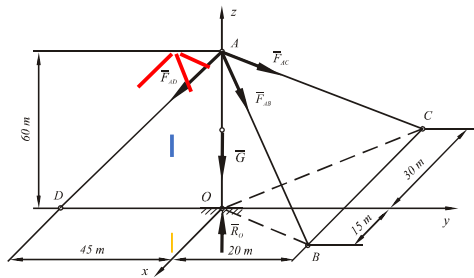


Fig. 5.35

Soluție:

Din figura 5.35 se pot determina următoarele distanțe:

$$OC = \sqrt{900 + 400} = \sqrt{1300}; \quad AC = \sqrt{OC^2 + OA^2} = \sqrt{1300 + 3600} = 70$$

$$OB = \sqrt{400 + 225} = 25; \quad AB = \sqrt{OB^2 + AO^2} = \sqrt{625 + 3600} = 65$$

$$AD = \sqrt{OD^2 + OA^2} = \sqrt{2025 + 3600} = 75.$$

Pentru ca rezultanta reacțiunilor să acționeze numai după OA trebuie ca \vec{R}_O să fie orientată după Oz .

Ecuțiile scalare de echilibru sunt:

$$\sum_{i=1}^n F_{ix} = 0; \quad -F_{AC} \frac{OC}{AC} \frac{EC}{OC} + F_{AB} \frac{OB}{AB} \frac{BE}{OB} = 0$$

$$\sum_{i=1}^n F_{iy} = 0; \quad F_{AC} \frac{OC}{AC} \frac{OE}{OC} + F_{AB} \frac{OB}{AB} \frac{OE}{OB} - F_{AD} \frac{OD}{AD} = 0 \quad (1)$$

$$\sum_{i=1}^n F_{i_z} = 0; \quad R_o - F_{AC} \frac{OA}{AC} - F_{AB} \frac{OA}{AB} - F_{AD} \frac{OA}{AD} - G = 0.$$

Rezolvând sistemul (1) se obțin:

$$F_{AB} = F_{AC} \frac{EC}{AC} \frac{AB}{BE} = 7000 \frac{30}{70} \frac{65}{15} = 13000 N \quad (2)$$

$$F_{AD} = \left(F_{AC} \frac{OE}{AC} + F_{AB} \frac{OE}{AB} \right) \frac{AD}{OD} = \left(7000 \frac{20}{70} + 13000 \frac{20}{65} \right) \frac{75}{45} \quad (3)$$

$$F_{AD} = 10000 N$$

$$R_o = 60 \left(\frac{7000}{70} + \frac{13000}{65} + \frac{10000}{75} \right) + 24000 = 50000 N. \quad (4)$$

5.2.25. Asupra brațului unui robot industrial serial de tip *RTR* acționează sistemul de forțe și momente din figura 5.36. Să se determine o forță \bar{Q} și punctul N în care suportul acesteia intersectează planul xOy , care să echilibreze sistemul inițial de forțe și momente. Să se reducă apoi, forța \bar{Q} în raport cu un punct N' aparținând brațului robotului.

Soluție:

Se reduce sistemul de forțe și momente din figura 5.36 în raport cu punctul O . Proiecțiile pe axele sistemului de referință $Oxyz$ ale elementelor tursorului de reducere sunt:

$$\begin{aligned} R_x &= \sum_{i=1}^n F_{i_x} = F_3 \cos \alpha + Q_x \\ R_y &= \sum_{i=1}^n F_{i_y} = F_2 + F_3 \sin \alpha + Q_y \\ R_z &= \sum_{i=1}^n F_{i_z} = F_1 - P_1 - P_2 - P_3 - P_4 + Q_z. \end{aligned} \quad (1)$$

Momentul polar al forței \bar{Q} se determină cu relația:

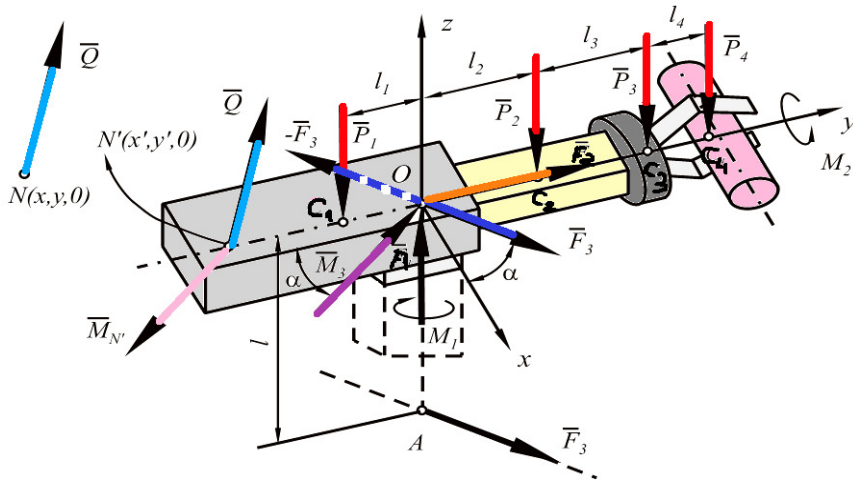


Fig. 5.36

$$\bar{M}_o(\bar{Q}) = \overline{OM} \times \bar{Q} = \begin{vmatrix} \bar{i} & \bar{j} & \bar{k} \\ x & y & 0 \\ Q_x & Q_y & Q_z \end{vmatrix} = yQ_z\bar{i} - xQ_z\bar{j} + (xQ_y - yQ_x)\bar{k}.$$

Astfel,

$$M_x = yQ_z + P_1l_1 - P_2l_2 - P_3(l_2 + l_3) - P_4(l_2 + l_3 + l_4) - M_3 \sin \alpha$$

$$M_y = -xQ_y + M_2 + M_3 \cos \alpha$$

$$M_z = xQ_y - yQ_x + M_1.$$

Impunând datele numerice:

$$F_1 = 100 \text{ daN}; \quad F_2 = 50 \text{ daN}; \quad F_3 = 120 \text{ daN};$$

$$P_1 = 40 \text{ daN}; \quad P_2 = 20 \text{ daN}; \quad P_3 = 15 \text{ daN};$$

$$P_4 = 10 \text{ daN}; \quad M_1 = -169,77 \text{ daN} \cdot \text{m}; \quad M_2 = 2 \text{ daN} \cdot \text{m}$$

$$l = 0,8 \text{ m}; \quad l_1 = 0,1 \text{ m}; \quad l_2 = 0,2 \text{ m};$$

$$l_3 = 0,3 \text{ m}; \quad l_4 = 0,3 \text{ m}; \quad \alpha = 30^\circ,$$

se obțin:

$$R_x = 120 \cdot \cos 30^\circ + Q_x = 103,9 + Q_x$$

$$R_y = 50 + 120 \cdot 0,5 + Q_y = 110 + Q_y$$

$$R_z = 100 - 40 - 20 - 15 - 10 + Q_z = 15 + Q_z,$$

$$M_x = yQ_z - 63,5$$

$$M_y = -xQ_z + 83,13$$

$$M_z = xQ_y - yQ_x - 169,77.$$

Pentru ca sistemul forțelor și momentelor date să fie echilibrat de forța \bar{Q} , trebuie ca torsorul de reducere în raport cu punctul O al forțelor și momentelor din figura 5.36 să fie nul, adică:

$$\begin{aligned}\bar{R} &= 0; & R_x &= 0; & R_y &= 0; & R_z &= 0 \\ \bar{M}_o &= 0; & M_x &= 0; & M_y &= 0; & M_z &= 0.\end{aligned}\quad (6)$$

Având în vedere (4), (5) și (6), se obțin:

$$\begin{aligned}Q_x &= -103,9 \text{ daN}, & Q_y &= -110 \text{ daN}, & Q_z &= -15 \text{ daN} \\ x &= -5,542 \text{ m}; & y &= -4,233 \text{ m}.\end{aligned}\quad (7)$$

Întrucât coordonatele x și y ale punctului în care suportul forței \bar{Q} intersectează planul xOy au valorile $-5,542$ m, $-4,233$ m, punctul respectiv este înafara brațului robotului. Pentru ca forța \bar{Q} să acționeze asupra brațului, trebuie ca suportul ei să treacă printr-un punct $N'(x', y')$ care să aparțină brațului robotului. Aceasta presupune însă, ca pe lângă forța \bar{Q} , în punctul N' să acționeze și un moment, în conformitate cu echivalența și reducerea sistemelor de forțe. Astfel, reducând forța \bar{Q} care trece prin punctul N de coordonatele x și y în raport cu punctul $N'(x', y')$, se obțin vectorii \bar{Q} și $\bar{M}_{N'}$, care au expresiile:

$$\bar{Q} \rightarrow Q_x = -103,9 \text{ daN}, Q_y = -110 \text{ daN}, Q_z = -15 \text{ daN}, Q = 152,05 \text{ daN} \quad (8)$$

$$\begin{aligned}\bar{M}_{N'} &= \bar{N}' \bar{N} \times \bar{Q} = \begin{vmatrix} \bar{i} & \bar{j} & \bar{k} \\ x-x' & y-y' & z-z' \\ Q_x & Q_y & Q_z \end{vmatrix} = \bar{i} [Q_z(y-y') - Q_y(z-z')] + \\ &+ \bar{j} [Q_x(z-z') - Q_z(x-x')] + \bar{k} [Q_y(x-x') - Q_x(y-y')].\end{aligned}\quad (9)$$

Impunând că forța \bar{Q} să treacă prin punctul $N'(0,05;-0,25)$ și având în vedere valorile coordonatelor x și y date de (7), din (9) se obține:

$$\bar{M}_{N'} = 59,74\bar{i} - 83,88\bar{j} + 201,28\bar{k}. \quad (10)$$

Modulul momentului $\bar{M}_{N'}$ este:

$$M_{N'} = 226,09 \text{ daN} \cdot \text{m}. \quad (11)$$

În concluzie, pentru ca sistemul de forțe și momente date, care acționează asupra brațului robotului RTR, să fie echilibrat, se impune ca în punctul $N'(0,05;-0,25)$ aparținând brațului să se introducă o forță $\bar{Q}(-103,9;-110;-15)$ și un moment $\bar{M}_{N'}(59,74; -83,88; 201,28)$.

Direcțiile acestor vectori sunt date de cosinusurile directoare:

$$\alpha = \frac{Q_x}{Q} = -0,6833; \quad \beta = \frac{Q_y}{Q} = -0,7234; \quad \gamma = \frac{Q_z}{Q} = 0,0986; \quad (12)$$

$$\alpha_1 = \frac{M_{N_x'}}{M_{N'}} = 0,2642; \quad \beta_1 = \frac{M_{N_y'}}{M_{N'}} = 0,3710; \quad \gamma_1 = \frac{M_{N_z'}}{M_{N'}} = 0,8902.$$

5.2.26. O bară omogenă grea AB de lungime l se sprijină pe un plan orizontal și pe un semicilindru fix de rază r așezat pe planul orizontal. Bara este perpendiculară pe axul cilindrului, iar unghiul de frecare al barei cu semicilindrul și planul orizontal este același și egal cu φ . Să se afle unghiul maxim dintre bară și planul orizontal, pentru care există echilibru (fig. 5.37).

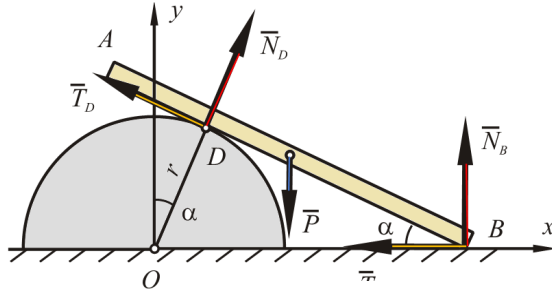


Fig. 5.37

Soluție:

Ecuțiile scalare de echilibru sunt:

$$\sum_{i=1}^n F_{ix} = 0; \quad -T_B - T_D \cos \alpha + N_D \sin \alpha = 0 \quad (1)$$

$$\sum_{i=1}^n F_{iy} = 0; \quad N_B - P + N_D \cos \alpha + T_D \sin \alpha = 0 \quad (2)$$

$$\sum_{i=1}^n \overline{M}_B(\overline{F}_i) = 0; \quad P \frac{l}{2} \cos \alpha - N_D \frac{r}{\operatorname{tg} \alpha} = 0, \quad (3)$$

la care se adaugă relațiile scrise în baza studiului echilibrului la limita frecării de alunecare, deoarece se cere valoarea maximă a unghiului α pentru care mai este posibil echilibrul și anume:

$$T_B = \operatorname{tg} \varphi \cdot N_B \quad (4)$$

$$T_D = \operatorname{tg} \varphi \cdot N_D. \quad (5)$$

Din relația (3) se obține:

$$N_D = \frac{Pl}{2r} \sin \alpha. \quad (6)$$

Introducând (4), (5) și (6) în (1), rezultă:

$$N_B = \frac{Pl}{2r} \sin \alpha \frac{\sin(\alpha - \varphi)}{\sin \varphi}. \quad (7)$$

Relațiile (5), (6) și (7) introduse în (2), conduc la:

$$\sin \alpha = \sqrt{\frac{r}{l}} \sin 2\varphi. \quad (8)$$

5.2.27. O placă dreptunghiulară $ABCD$ de greutate \bar{G} și dimensiuni $AD = BC = l$, $AB = CD = 2l$, este așezată în poziție verticală și se poate roti în jurul unei axe care coincide cu latura AB . Cunoscând coeficientul de frecare μ și raza r a lagărelor, să se determine momentul maxim \bar{M} al cuplului care poate fi aplicat plăcii fără ca aceasta să se rotească (fig. 5.38).

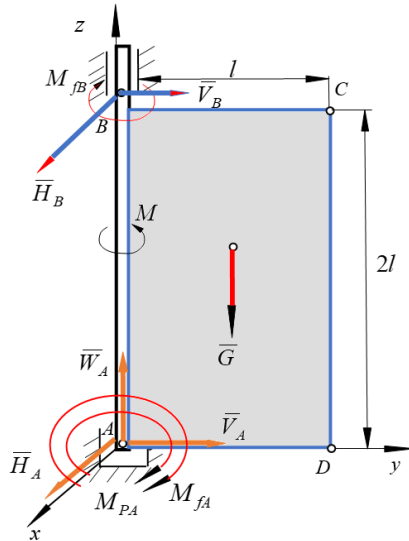


Fig. 5.38

Soluție:

Lagărul A este o *articulație sferică* și prin suprimarea ei se introduce forța de legătură $\bar{R}_A(H_A, V_A, W_A)$, precum și momentele datorate frecării de pivotare și a frecării din articulație \bar{M}_{PA} , \bar{M}_{fA} .

Pentru ca problema să fie static și dinamic determinată în punctul B se introduce o *articulație cilindrică*. Prin suprimarea acesteia se introduce forța de legătură $\bar{R}_B(H_B, V_B, 0)$ și momentul \bar{M}_{fB} datorat frecării din articulație.

Se alege un sistem de referință fix x_Ayz ca în figură. Se proiectează sistemul de forțe pe axele acestui sistem și se scriu ecuații de momente în raport cu punctul A .

$$\sum_{i=1}^n F_{ix} = 0; \quad H_A + H_B = 0$$

$$\sum_{i=1}^n F_{iy} = 0; \quad V_A + V_B = 0 \quad (1)$$

$$\sum_{i=1}^n F_{iz} = 0; \quad W_A - G = 0$$

$$M_x = 0; \quad -G \frac{l}{2} - V_B 2l = 0$$

$$M_y = 0; \quad H_B 2l = 0 \quad (2)$$

$$M_z = 0; \quad M - M_{fA} - M_{fB} - M_{pA} = 0$$

Dar, conform cu (5.9) și (5.8), momentele de frecare și de pivotare au următoarele expresii:

$$M_{fA} \leq \mu r \sqrt{H_A^2 + V_A^2}$$

$$M_{fB} \leq \mu r \sqrt{H_B^2 + V_B^2} \quad (3)$$

$$M_{pA} \leq \frac{2}{3} \mu r W_A.$$

Rezolvând sistemul format din ecuațiile (1) și (2) și având în vedere (3), se obțin:

$$H_B = H_A = 0$$

$$V_B = -\frac{G}{4}$$

$$V_B = -V_A = \frac{G}{4} \quad (4)$$

$$W_A = G$$

$$M = \mu r \frac{G}{4} + \mu r \frac{G}{4} + \frac{2}{3} \mu r G = \frac{7}{6} \mu r G.$$

5.3 Probleme propuse

5.3.1. Un stâlp OO' de greutate $P_1 = 160 \cdot 9,81$ N poartă în C , la distanța $OC = 6,5$ m, o consolă orizontală $AB = 2$ m de greutate $P_2 = 130 \cdot 9,81$ N (fig. 5.39). Consola este încărcată ca în figură, cu tensiunile conductorilor suspenși de ea, tensiunea unui conductor fiind $T = 250 \cdot 9,81$ N, paralelă cu planul zOy , făcând unghiul α cu orizontala Oy ($\cos \alpha = 0,8$). Să se determine elementele mecanice corespunzătoare legăturii de încastrare a stâlpului.

Răspuns:

$$\begin{aligned} H &= 0; & V &= -600 \cdot 9,81 \text{ N}; \\ W &= 670 \cdot 9,81 \text{ N}; & M_x &= 3900 \cdot 9,81 \text{ N} \cdot \text{m}; \\ M_y &= 75 \cdot 9,81 \text{ N} \cdot \text{m}; & M_z &= 100 \cdot 9,81 \text{ N} \cdot \text{m}. \end{aligned}$$

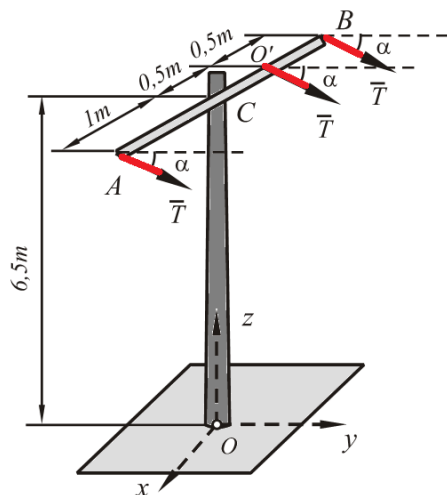


Fig. 5.39

5.3.2. O bară AD este suspendată de cablul BE și suportă o sarcină de 8 kg în punctul C (fig. 5.40). Extremitățile barei se rezemă pe doi pereți verticali lucioși. Să se determine:

- Tensiunea din cablul BE și reacțiunile din A și D, dacă distanța $d = 8$ cm.
- Distanța maximă d la care trebuie suspendată sarcina în C pentru ca forțele cu care apasă bara asupra pereților în A și D să nu depășească valoarea de 5 N.

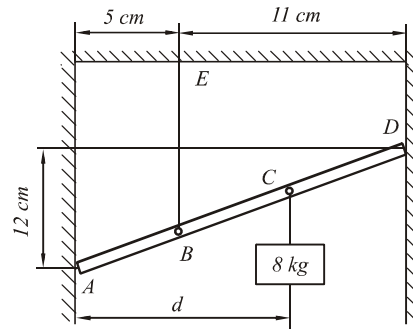


Fig. 5.40

Răspuns:

$$F_{BE} = G = 8 \text{ N}; \quad N_D = N_A = 2 \text{ N};$$

$$d = \frac{12N_D + 5F_{BE}}{G}.$$

5.3.3. Să se determine reacțiunile din încastrarea A a stâlpului cu consolă din figura 5.41, acționată de o forță orizontală \bar{P} în capătul B și de un moment \bar{M}_0 în capătul consolei.

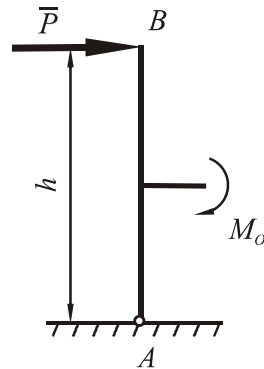


Fig. 5.41

Răspuns:

$$H_A = P$$

$$V_A = 0$$

$$M_1 = M_0 + P \cdot h.$$

5.3.4. Să se determine reacțiunile din încastrarea A a consolei AB din figura 5.42, acționată de o sarcină distribuită liniară de p N/m și de o forță \bar{P} înclinată cu 60° față de orizontală.

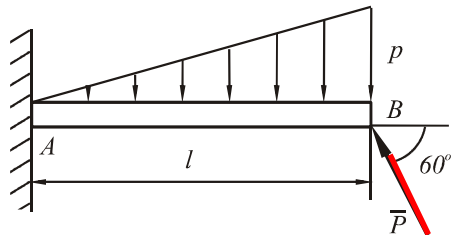


Fig. 5.42

Răspuns:

$$H_A = \frac{P}{2}$$

$$V_A = \frac{pl}{2} + P \frac{\sqrt{3}}{2}$$

$$M_1 = \frac{pl^2}{3} - Pl \frac{\sqrt{3}}{2}.$$

5.3.5. O bară omogenă de greutate \bar{P} se sprijină cu un capăt A pe un plan orizontal aspru și este menținută în echilibru cu ajutorul unui fir trecut peste un scripete mic, ideal, la capătul căruia atârână greutatea \bar{Q} oarecare (fig. 5.43). Se cere valoarea maximă a greutateii \bar{Q} , cunoscând coeficientul μ al frecării barei cu planul, unghiul α dintre bară și orizontală și greutatea \bar{P} a barei.

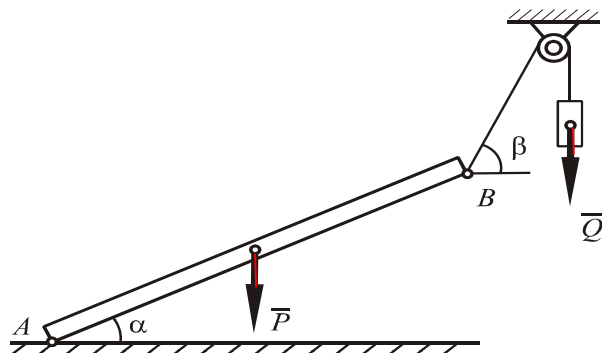


Fig. 5.43

Răspuns:

$$Q = \frac{P\sqrt{\mu^2 + (1 + 2\mu \operatorname{tg} \alpha)^2}}{2(1 + \mu \operatorname{tg} \alpha)}.$$

Observație: pentru $\mu = 0$, $Q = \frac{P}{2}$.

5.3.6. Un paralelipiped dreptunghic omogen ABCD de greutate \bar{P} se sprijină cu fața AB pe un plan înclinat aspru MN, al cărui unghi cu orizontala crește mereu (fig. 5.44). Cunoscând valoarea μ a coeficientului de frecare la alunecare, să se determine valoarea unghiului α în poziția limită de echilibru.

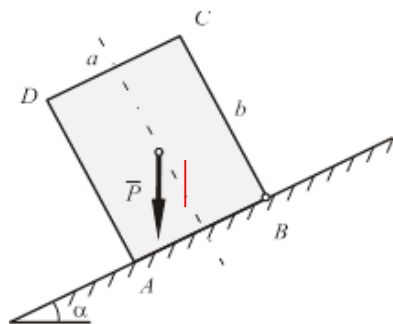


Fig. 5.44

Răspuns:

$$\operatorname{tg} \alpha \leq \mu, \operatorname{tg} \alpha \leq \frac{a}{b}.$$

a) Dacă $\frac{a}{b} < \mu$, pierderea echilibrului se face prin rostogolire pentru

$$\alpha = \operatorname{arctg} \frac{a}{b}.$$

b) Dacă $\frac{a}{b} > \mu$, se produce o alunecare pentru $\alpha = \operatorname{arctg} \mu$.

6. ECHILIBRUL SISTEMELOR DE SOLIDE RIGIDE ^[10]

6.1 Considerații teoretice

6.1.1 Introducere

Prin *sistem de solide rigide* se înțelege o mulțime finită de solide rigide care interacționează reciproc. Un interes deosebit îl reprezintă cazul solidelor legate între ele, având și legături exterioare. Legăturile pot conferi întregului sistem un caracter deformabil sau nedeformabil, adică sistemul, fără a lua în considerare micile deformații ale fiecărui solid în parte, să poată fi considerat sau nu rigid. Sistemele de solide rigide, cel mai des întâlnite în practică, sunt constituite din bare legate între ele.

Mecanismele sunt sisteme de bare legate între ele prin articulații sau reazeme și care au unul sau mai multe grade de libertate. La polul opus se află sistemele de bare articulate, cum ar fi stâlpii, grinzile etc., la care sistemul per ansamblu nu mai are nici un grad de libertate. Astfel de sisteme de bare se numesc, în general, *grinzi cu zăbrele* și sunt folosite pe scară largă în construcții.

Există două probleme ale staticii sistemelor de solide rigide: problema directă și problema inversă sau mixtă. În *problema directă* se dă un sistem nedeformabil de solide, cu legături exterioare și interioare, în repaus într-o anumită poziție, acționat de forțe exterioare. Se cere să se determine forțele de legătură exterioare și interioare sistemului. În cazul *problemei inverse*, se dă un mecanism cu legături exterioare și interioare, acționat de forțe exterioare. Se cere să se determine pozițiile în care trebuie așezat mecanismul pentru ca el să rămână în repaus, precum și forțele de legătură exterioare și interioare pentru susținerea acestei poziții.

6.1.2 Condiții de echilibru

Un model aproximativ pentru un sistem de solide rigide în echilibru este un sistem de n puncte materiale M_i ($i = 1 \div n$) în echilibru (fig. 6.1). Se notează prin \bar{F}_i rezultanta forțelor exterioare date și de legătură aplicate punctului M_i ; \bar{F}_{ij} forța interioară, reprezentând acțiunea punctului material M_i asupra lui M_j , iar \bar{F}_{ji} reacțiunea lui M_j asupra lui M_i ; \bar{r}_i și \bar{r}_j sunt vectorii de poziție în raport cu un punct O . Conform principiului acțiunii și reacțiunii, forțele interioare respectă următoarele relații:

$$\bar{F}_{ij} + \bar{F}_{ji} = 0; \quad \bar{r}_i \times \bar{F}_{ij} + \bar{r}_j \times \bar{F}_{ji} = 0. \quad (6.1)$$

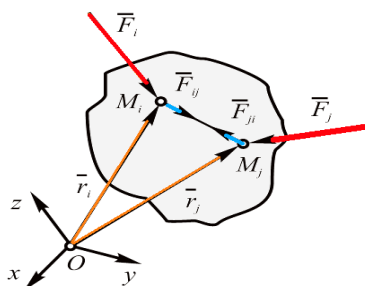


Fig. 6.1

Un sistem nedeformabil de puncte materiale în echilibru în raport cu un reper fix rămâne în echilibru dacă fiecare din punctele sistemului rămâne în echilibru față de același reper și reciproc.

Condițiile necesare și suficiente de echilibru pentru forțele exterioare sunt:

$$\sum_{i=1}^n \bar{F}_i = 0; \quad \sum_{i=1}^n \bar{r}_i \times \bar{F}_i = 0. \quad (6.2)$$

Condițiile pot fi scrise atât pentru întregul sistem, cât și pentru o parte bine delimitată. În acest fel se elimină total sau parțial scrierea forțelor de legătură interioare.

Aspectele stabilite pentru un sistem de puncte materiale pot fi extinse și asupra unui sistem de solide rigide.

6.1.3 Teoreme utilizate în probleme de echilibru al sistemelor

Teoremele cu ajutorul cărora se studiază echilibrul sistemelor de puncte materiale sau de solide rigide sunt următoarele:

Teorema solidificării: dacă un sistem de puncte materiale sau de solide rigide libere sau cu legături este în echilibru, acesta poate fi considerat ca un solid rigid în această stare.

Teorema echilibrului părților: dacă un sistem de puncte materiale sau de solide rigide libere sau cu legături se află în echilibru sub acțiunea unor forțe, atunci o parte oarecare din acest sistem va fi de asemenea în echilibru sub acțiunea forțelor corespunzătoare acestei părți: exterioare și de legătură exterioare și a forțelor de legătură ce intervin între această parte și rest (forțe de legătură interioare).

Ca și metodă generală de rezolvare a problemelor de echilibru a sistemelor de puncte materiale sau de solide rigide poate fi următoarea: se descompune sistemul în punctele sau rigidele componente prin îndepărtarea legăturilor dintre ele și înlocuirea acestora cu elementele mecanice corespunzătoare, forțe sau momente. Apoi se studiază echilibrul fiecărui punct material sau rigid în parte, aplicându-se și forțele și momentele exterioare inițiale, acolo unde este cazul.

6.2 Probleme rezolvate ^[10]

6.2.1. Se dă sistemul de bare din figura 6.2, la care în articulația B există frecare, coeficientul de frecare fiind μ , iar raza articulației este r . Să se determine unghiul φ pentru poziția de echilibru și reacțiunile din sistem.

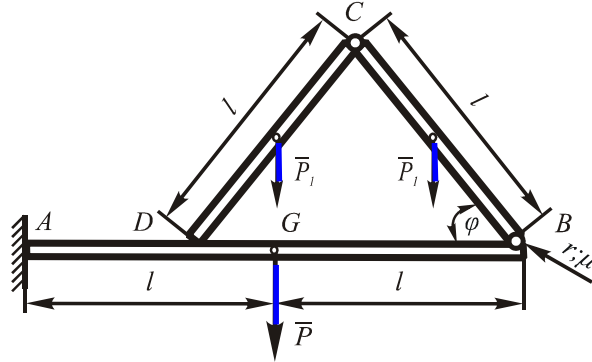


Fig. 6.2

Soluție:

Se eliberează de legături fiecare element, conform figurilor 6.3, 6.4, 6.5, legăturile înlocuindu-se prin forțele și momentele de legătură.

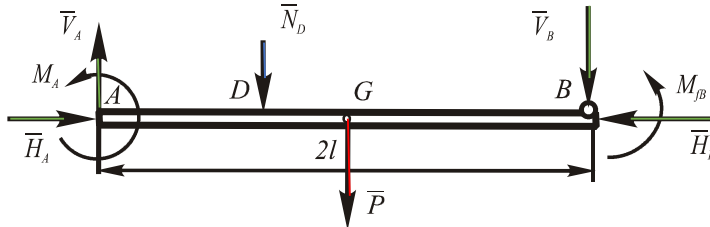


Fig. 6.3

Pentru fiecare element se vor scrie trei ecuații de echilibru, câte două ecuații de proiecții de forțe și o ecuație de momente. Astfel, pentru elementul 1, se pot scrie ecuațiile:

$$\begin{aligned}
 H_A - H_B &= 0 \\
 V_A - N_D - P - V_B &= 0 \\
 M_A : M_A - N_D(2l - 2l \cos \varphi) - Pl - V_B \cdot 2l + M_B &= 0
 \end{aligned} \quad (1)$$

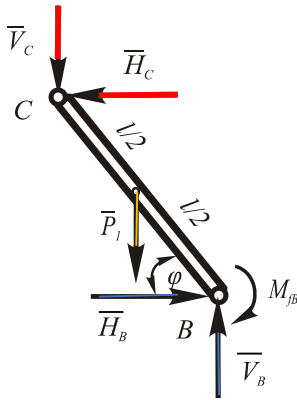


Fig. 6.4

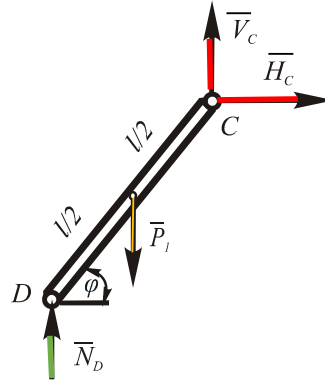


Fig. 6.5

Pentru elementul 2 ecuațiile de echilibru sunt:

$$\begin{aligned} H_B - H_C &= 0 \\ V_B - P_1 - V_C &= 0 \\ M_B : -M_{fB} + P_1 \frac{l}{2} \cos \varphi + H_C l \sin \varphi + V_C l \cos \varphi &= 0. \end{aligned} \quad (2)$$

În plus mai apare o inecuație datorată existenței frecării în articulația de la capătul din dreapta al elementului 1:

$$M_{fB} \leq \mu r \sqrt{H_B^2 + V_B^2}. \quad (3)$$

Ecuțiile de echilibru pentru elementul 3 se scriu astfel:

$$\begin{aligned} H_C &= 0 \\ N_D - P_1 + V_C &= 0 \\ P_1 \frac{l}{2} \cos \varphi - N_D l \cos \varphi &= 0. \end{aligned} \quad (4)$$

În urma rezolvării sistemului alcătuit din ecuațiile (1), (2) și (4), se determină următoarele reacțiuni pentru sistemul de solide rigide:

$$H_C = 0; \quad H_B = 0; \quad H_A = 0 \quad (5)$$

$$N_D = \frac{P_1}{2}; \quad V_C = P_1 - N_D = \frac{P_1}{2} \quad (6)$$

$$V_B = P_1 + V_C = \frac{3P_1}{2} \quad (7)$$

$$V_A = N_D + P_1 + V_B = P_1 + 2P_1. \quad (8)$$

Din a treia ecuație (2), înlocuind (5) și (6), rezultă:

$$M_{fB} = P_1 \frac{l}{2} \cos \varphi + \frac{P_1}{2} l \cos \varphi = P_1 l \cos \varphi. \quad (9)$$

Din inecuația (3) se deduce:

$$M_{fB} \leq \mu r \cdot \frac{3P_1}{2}. \quad (10)$$

Înlocuind (10) în (9), se găsește că:

$$P_1 l \cos \varphi \leq \mu r \cdot \frac{3P_1}{2}, \quad (11)$$

de unde rezultă unghiul φ corespunzător poziției de echilibru, exprimat prin funcția \cos :

$$\cos \varphi \leq \mu r \cdot \frac{3}{2l}. \quad (12)$$

Din a treia ecuație (1) rezultă:

$$M_A = N_D (2l - 2l \cos \varphi) + Pl + 2V_B l - M_{fB}. \quad (13)$$

Înlocuind (6), (7) și (9) în (13), se obține:

$$M_A \leq \frac{P_1}{2} l (2 - 2 \cos \varphi) + Pl + 3P_1 l - \mu r \frac{3P_1}{2} \quad (14)$$

$$M_A \leq Pl + P_1 \left(\frac{7l}{2} - l \cos \varphi - \frac{3}{2} \mu r \right). \quad (15)$$

6.2.2. Pe o podea orizontală se sprijină o capră ABC formând un triunghi echilateral de latură a (fig. 6.6). Pe capră se sprijină o grindă $OD = 2l$ de secțiune constantă și greutate \bar{G} . Grinda se poate roti în jurul punctului O . Să se găsească poziția caprei, astfel încât în punctul A să nu existe apăsare. Care va fi în acest caz valoarea lungimii $OA=x$ și care trebuie să fie valoarea forței \bar{F} aplicată în B ?

Soluție:

Separând corpurile și introducând forțele de legătură (fig. 6.7 și fig. 6.8), se observă că asupra caprei acționează trei forțe coplanare care, pentru a fi în echilibru, trebuie ca ele să fie și concurente. Rezultă că forța \bar{N}_C este orientată după direcția BC , dar perpendiculară pe OD . Prin urmare, unghiul $\widehat{BCO} = 90^\circ$, dar în același timp $\beta = 30^\circ$, deci $x=a$.

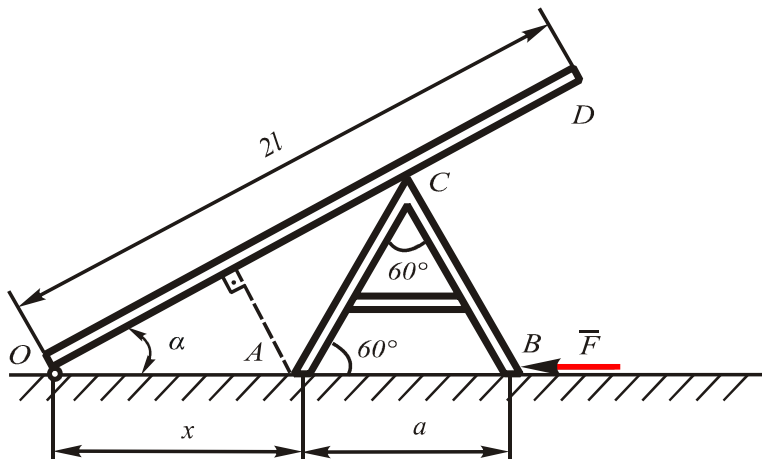


Fig. 6.6

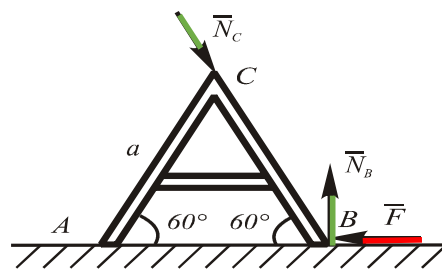


Fig. 6.7

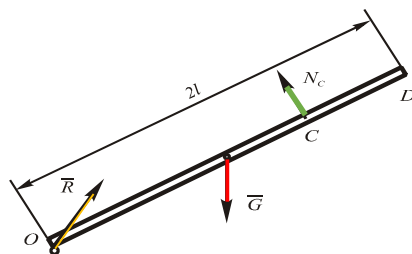


Fig. 6.8

Ecuțiile de echilibru pentru capră sunt:

$$\begin{cases} N_C \cos 60^\circ - F = 0 \\ N_B - N_C \cos 30^\circ = 0 \end{cases} \quad (1)$$

sau

$$\begin{cases} N_C \frac{1}{2} - F = 0 \\ N_B - N_C \frac{\sqrt{3}}{2} = 0 \end{cases} . \quad (2)$$

Punând condiția:

$$M_O = 0 , \quad (3)$$

se poate scrie ecuația de momente, pentru grindă:

$$M_O : Gl \frac{\sqrt{3}}{2} - N_C \cdot OC = 0 . \quad (4)$$

Din triunghiul OAC se observă că:

$$OC = 2a \cos \alpha = 2a \frac{\sqrt{3}}{2} = a\sqrt{3} . \quad (5)$$

Înlocuind (5) în (4), rezultă:

$$Gl \frac{\sqrt{3}}{2} - N_C \cdot a\sqrt{3} = 0 , \quad (6)$$

de unde se determină:

$$N_C = \frac{Gl}{2a} \quad (7)$$

iar din (2) de găsește valoarea forței \bar{F} și reacțiunea normală din punctul B :

$$F = N_C \cdot \frac{1}{2} = \frac{Gl}{4a} \quad (8)$$

$$N_B = N_C \frac{\sqrt{3}}{2} = \frac{Gl\sqrt{3}}{4a} . \quad (9)$$

6.2.3. Se consideră sistemul din figura 6.9, format din trei elemente: bara AB , încastrată în A și articulată în B , placa omogenă și bara CD , articulate în punctele B , C și D . Cunoscându-se dimensiunile și greutatea celor trei elemente, se cere să se determine forțele și momentele forțelor de legătură.

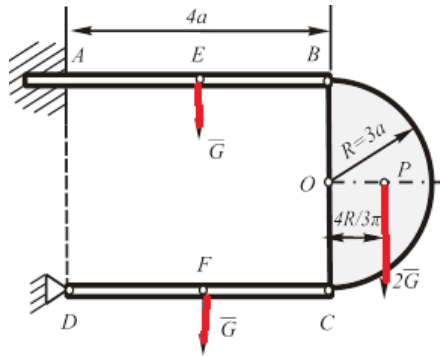


Fig. 6.9

Soluție:

Se separă corpurile ce alcătuiesc sistemul, legăturile fiind înlocuite cu forțele și momentele forțelor de legătură. Pentru fiecare solid rigid astfel izolat (fig. 6.10, fig. 6.11 și fig. 6.12) se scrie câte un sistem de trei ecuații de echilibru, două de proiecții de forțe și una de momente.

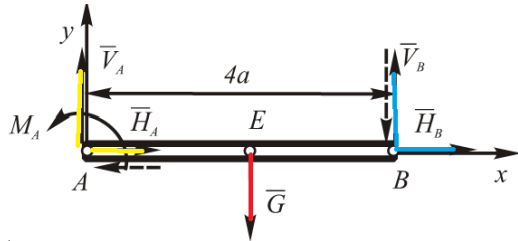


Fig. 6.10

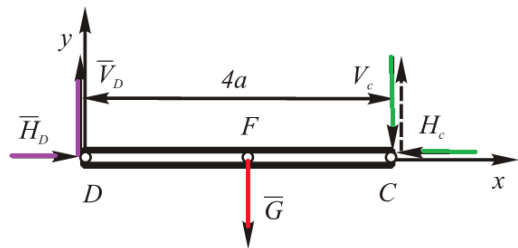


Fig. 6.11

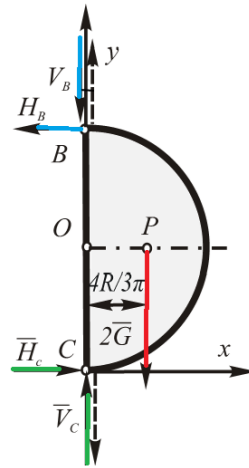


Fig. 6.12

Ecuțiile de echilibru pentru corpul (1) (fig. 6.10) sunt:

$$\begin{aligned} H_A + H_B &= 0 \\ V_A + V_B - G &= 0 \\ M_A: M_A - 2aG + 4aV_B &= 0 \end{aligned} \quad , \quad (1)$$

pentru corpul (2) (fig. 6.11) sunt următoarele:

$$\begin{aligned} H_C - H_B &= 0 \\ V_C - V_B - 2G &= 0 \\ M_C: 6aH_B - \frac{4R}{3\pi} \cdot 2G &= 0 \end{aligned} \quad (2)$$

iar pentru semidisc (fig. 6.12) sunt exprimate astfel:

$$\begin{aligned} H_D - H_C &= 0 \\ V_D - G - V_C &= 0 \\ M_D: -2aG - 4aV_C &= 0 \end{aligned} \quad (3)$$

Rezultă un sistem de nouă ecuații cu nouă necunoscute, prin a cărui rezolvare se determină forțele și momentele forțelor de legătură:

$$\begin{aligned} H_B &= \frac{4 \cdot 3a}{3\pi} \cdot 2G \cdot \frac{1}{6a} = \frac{4G}{3\pi} \\ H_C = H_B &= \frac{4G}{3\pi} \\ H_D = H_C &= \frac{4G}{3\pi} \\ V_C &= -\frac{G}{2} \\ H_A &= -\frac{4G}{3\pi} \\ V_B = V_C - 2G &= -\frac{5}{2}G \\ V_D = V_C + G &= \frac{G}{2} \\ V_A = G - V_B &= \frac{7}{2}G \\ M_A = 2aG - 4aV_B &= 2aG + 10aG = 12aG. \end{aligned} \quad (4)$$

6.2.4. Două bare identice $AB = AC = l$ de greutateți neglijabile, se găsesc într-un plan vertical și sunt articulate în același punct fix A , fiind așezate simetric față de verticală. Între ele este așezat, tangent, un disc omogen de rază r și greutate \bar{P} , iar în capetele B și C sunt aplicate două forțe de același modul F , după direcția BC și în sensuri opuse (fig. 6.13). Unghiul de frecare dintre bare și disc este φ . Să se determine reacțiunea din articulația A în funcție de F . Între se limite poate varia F , pentru a exista echilibru, atunci când unghiul $BAC = 2\alpha$?

Soluție:

Se aplică metoda izolării corpurilor. Încărcarea barelor fiind simetrică, se studiază doar echilibrul uneia din ele.

Ecuatiile de echilibru pentru bara din stânga (fig. 6.14) și disc (fig. 6.15) sunt:

$$F + H_A - N \cos \alpha - T \sin \alpha = 0 \quad (1)$$

$$V_A - N \sin \alpha + T \cos \alpha = 0 \quad (2)$$

$$M_A : F l \cos \alpha - N \frac{r}{\operatorname{tg} \alpha} = 0 \quad (3)$$

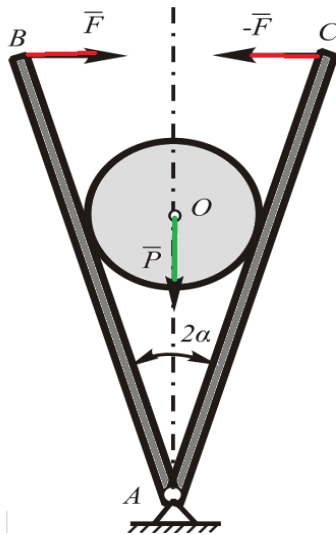


Fig. 6.13

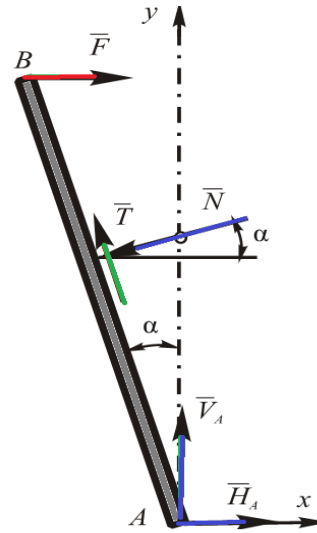


Fig. 6.14

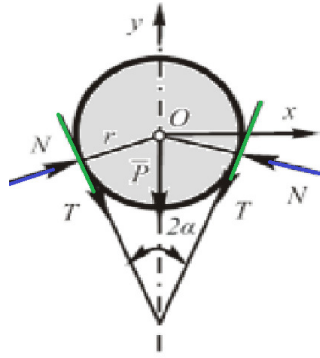


Fig. 6.15

$$-2T \cos \alpha - P + 2N \sin \alpha = 0 \quad (4)$$

$$|\bar{T}| \leq \mu |\bar{N}|, \quad (5)$$

unde $\mu = \operatorname{tg} \varphi$.

Din ecuațiile (3) și (4) se obțin:

$$N \frac{Fl \sin \alpha}{r}; \quad T = \frac{2Fl \sin^2 \alpha - P \cdot r}{2r \cos \alpha}, \quad (6)$$

care introduse în (5), conduc la:

$$|2F \sin^2 \alpha - P \cdot r| \leq 2Fl \cdot \operatorname{tg} \varphi \cdot \sin \alpha \cdot \cos \alpha \quad (7)$$

Pentru $2Fl \sin^2 \alpha - P \cdot r > 0$ relația (7) devine:

$$2Fl \sin^2 \alpha - P \cdot r < 2Fl \cdot \operatorname{tg} \varphi \cdot \sin \alpha \cdot \cos \alpha, \quad (8)$$

de unde

$$F \leq \frac{P \cdot r \cdot \cos \varphi}{2l \cdot \sin \alpha \cdot \sin(\alpha - \varphi)}. \quad (9)$$

Pentru $2Fl \sin^2 \alpha - P \cdot r < 0$ relația (7) devine:

$$P \cdot r - 2Fl \sin^2 \alpha \leq 2Fl \cdot \operatorname{tg} \varphi \cdot \sin \alpha \cdot \cos \alpha, \quad (10)$$

de unde

$$F \geq \frac{P \cdot r \cdot \cos \varphi}{2l \cdot \sin \alpha \cdot \sin(\alpha + \varphi)}. \quad (11)$$

Reunind (7) și (9), rezultă condiția:

$$\frac{P \cdot r \cdot \cos \varphi}{2l \cdot \sin \alpha \cdot \sin(\alpha + \varphi)} \leq F \leq \frac{P \cdot r \cdot \cos \varphi}{2l \cdot \sin \alpha \cdot \sin(\alpha - \varphi)}. \quad (12)$$

Relațiile de inegalitate (12) sunt valabile numai în cazul când:

$$\alpha > \varphi, \quad (13)$$

valorile minimă și maximă ale lui F fiind pozitive.

Dacă

$$\alpha \leq \varphi \quad (14)$$

atunci dubla inegalitate (12) își pierde sensul și se va reduce la următoarea inegalitate simplă:

$$F \geq \frac{P \cdot r \cdot \cos \varphi}{2l \cdot \sin \alpha \cdot \sin(\alpha + \varphi)}. \quad (15)$$

Din (1) și (2), ținând cont de (6), se obțin:

$$H_A = F \frac{l \cdot \operatorname{tg} \alpha - r}{r} - \frac{P}{2} \operatorname{tg} \alpha \quad (16)$$

$$V_A = \frac{P}{2}. \quad (17)$$

6.2.5. Se consideră două emisfere perfect lustruite de greutate \bar{G}_1 și \bar{G}_2 (fig. 6.16). O bară omogenă de lungime l și greutate Q este articulată la cele două capete la marginile celor două emisfere. Să se determine unghiurile φ_1 , φ_2 și ψ pentru poziția de echilibru. Se neglijează frecările.

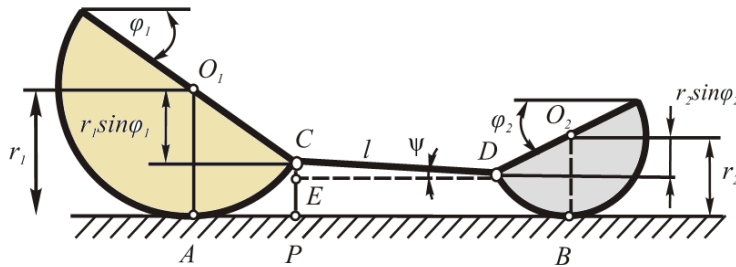


Fig. 6.16

Soluție:

Se separă corpurile (fig. 6.17, fig. 6.18 și fig. 6.19) și se scriu ecuațiile de echilibru:

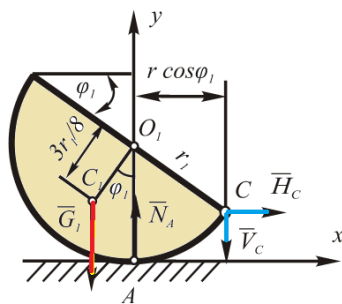


Fig. 6.17

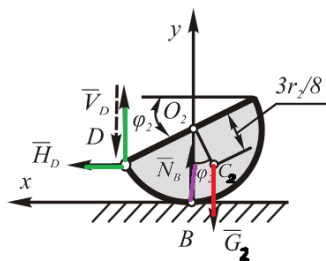


Fig. 6.18

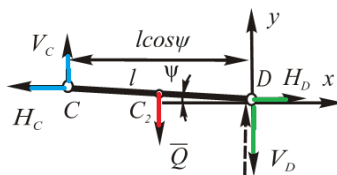


Fig. 6.19

Pentru corpul din figura 6.17 ecuațiile de echilibru sunt:

$$H_C = 0 \tag{1}$$

$$N_A - G_1 - V_C = 0 \tag{2}$$

$$M_{O_1} = 0, \quad V_C r_1 \cos \varphi_1 - \frac{3}{8} r_1 \sin \varphi_1 G_1 = 0. \tag{3}$$

Pentru cealaltă emisferă (fig. 6.18) se pot scrie ecuațiile:

$$H_D = 0 \tag{4}$$

$$V_D - G_2 + N_B = 0 \tag{5}$$

$$M_{O_2} = 0, \quad V_D r_2 \cos \varphi_2 - \frac{3}{8} r_2 \sin \varphi_2 G_2 = 0. \tag{6}$$

Bara de legătură (fig. 6.19) este caracterizată prin ecuațiile:

$$H_D = H_C \tag{7}$$

$$V_C - V_D - Q = 0 \tag{8}$$

$$M_D = 0, \quad V_C l \cos \psi - H_C \sin \psi - Q \frac{l}{2} \cos \psi = 0. \quad (9)$$

Din ecuațiile (4) și (7) rezultă:

$$H_C = H_D = 0. \quad (10)$$

Din relația (9) se determină:

$$V_C = \frac{Q}{2} \quad (11)$$

$$\text{iar din (8) rezultă: } V_D = -\frac{Q}{2} \text{ (orientat în sens contrar).} \quad (12)$$

Din relația (2) se determină:

$$N_A = G_1 + \frac{Q}{2}. \quad (13)$$

Din ecuația (3) rezultă:

$$\operatorname{tg} \varphi_1 = \frac{4Q}{3G_1} \quad (14)$$

$$\text{iar din (6):} \quad \operatorname{tg} \varphi_2 = \frac{4Q}{3G_2}. \quad (15)$$

În final, din triunghiul CED se determină al treilea unghi:

$$\sin \psi = \frac{CE}{l} = \frac{CP - EP}{l} = \frac{r_1(1 - \sin \varphi_1) - r_2(1 - \sin \varphi_2)}{l}. \quad (16)$$

6.2.6. O bară omogenă $OA = l$ de greutate \bar{P} este articulată în O . O altă bară omogenă BC , din același material cu prima, este articulată în punctul O_1 , situat deasupra punctului O , pe aceeași verticală, astfel încât $O_1B = OA$. Capetele barelor A și B sunt legate printr-un fir inextensibil $AB = OO_1$, iar bara BC poartă în capătul C o contragreutate \bar{Q} (fig. 6.20).

Să se determine distanța $O_1C = c$ astfel încât, sistemul să fie în echilibru în orice poziție precum și tensiunea \bar{S} din fir.

Soluție:

Se aplică metoda izolării corpurilor, izolând cele două bare și scriind ecuațiile de momente în raport cu O și O_1 .

Astfel, ecuațiile de momente pentru cele două bare sunt:

$$M_O: P \frac{l}{2} \cos \alpha - S \cdot l \cdot \cos \alpha = 0 \quad (1)$$

$$M_{O_1}: P_1 \frac{l-c}{2} \cos \alpha + S \cdot l \cdot \cos \alpha - Q \cdot c \cdot \cos \alpha = 0. \quad (2)$$

Știind că:

$$P_1 = \frac{l+c}{l} P, \quad (3)$$

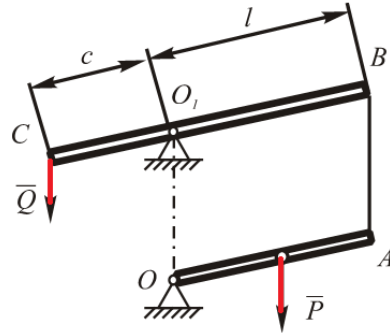


Fig. 6.20

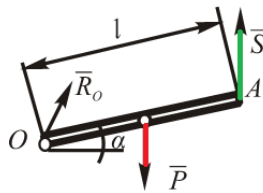


Fig. 6.21

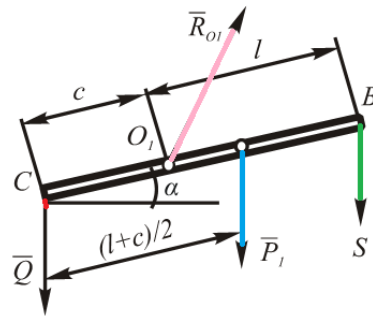


Fig. 6.22

rezolvând sistemul, se obțin:

$$S = \frac{P}{2}; \quad c = l \left[\sqrt{\left(\frac{Q}{P}\right)^2 + 2} - \frac{Q}{P} \right]. \quad (4)$$

6.2.7. Două bare omogene $AB = a$ și $BC = b$, de greutateți \bar{P} și \bar{Q} (fig. 6.23) se găsesc într-un plan vertical și sunt articulate între ele în B și în punctele fixe A , C și fac cu orizontala unghiurile α , respectiv β . Se cer reacțiunile în articulațiile A și C .

Soluție:

Se aplică metoda echilibrului sistemului prin suprimarea legăturilor exterioare din A și C și metoda izolării corpurilor, introducând forțele de legătură corespunzătoare.

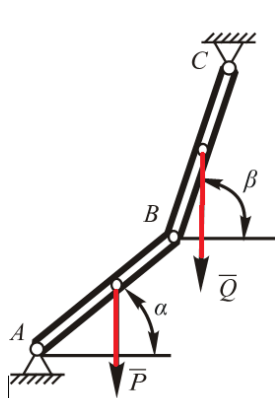


Fig. 6.23

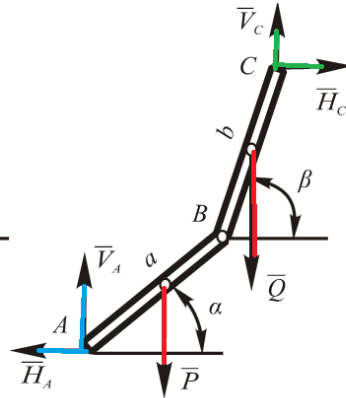


Fig. 6.24

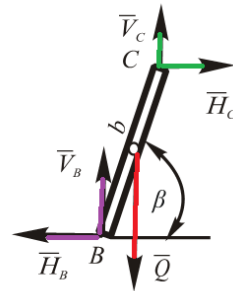


Fig. 6.25

Ecuatiile de echilibru pentru sistem (fig. 6.23) și pentru bara BC (fig. 6.25) sunt:

$$H_C - H_A = 0 \quad (1)$$

$$V_C + V_A - P - Q = 0 \quad (2)$$

$$M_A : P \frac{a}{2} \cos \alpha + Q \left(a \cdot \cos \alpha + \frac{b}{2} \cdot \cos \beta \right) + H_C (a \cdot \sin \alpha + b \cdot \sin \beta) - V_C (a \cdot \cos \alpha + b \cdot \cos \beta) = 0 \quad (3)$$

$$M_B : Q \cdot \frac{b}{2} \cdot \cos \beta + H_C \cdot b \cdot \sin \beta - V_C \cdot b \cdot \cos \beta = 0. \quad (4)$$

Din ecuația (4) se poate exprima necunoscuta V_C :

$$V_C = \frac{Q}{2} + H_C \cdot \operatorname{tg} \beta, \quad (5)$$

care introdusă în (3), conduce la:

$$H_C (\cos \alpha \cdot \operatorname{tg} \beta - \sin \alpha) = \frac{1}{2} \cos \alpha (P + Q), \quad (6)$$

de unde, ținând cont de (1), se obține:

$$H_A = H_C = \frac{P + Q}{2(\operatorname{tg}\beta - \operatorname{tg}\alpha)}. \quad (7)$$

Introducând (7) în (5), rezultă:

$$V_C = \frac{(P + 2Q)\operatorname{tg}\beta - Q \cdot \operatorname{tg}\alpha}{2(\operatorname{tg}\beta - \operatorname{tg}\alpha)} \quad (8)$$

iar din (2), luând în considerare (8), se obține:

$$V_A = \frac{P \cdot \operatorname{tg}\beta - (Q + 2P)\operatorname{tg}\alpha}{2(\operatorname{tg}\beta - \operatorname{tg}\alpha)}. \quad (9)$$

6.2.8. Doi semicilindri circulari de aceeași lungime l și de raze r și r_1 , având greutatea G și G_1 se reazemă cu suprafețele plane, aspre, unul pe celălalt (fig. 6.26). Să se găsească valoarea coeficientului de frecare μ astfel ca sistemul format din cei doi semicilindri să fie în echilibru în poziția din figură. Să se găsească unghiul φ de înclinație al planului suprafețelor în contact față de planul orizontal, reacțiunea normală \bar{N} dintre cele două suprafețe în contact și distanța x față de O la care acționează această reacțiune.

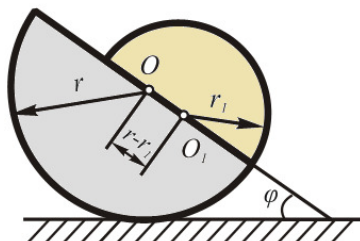


Fig. 6.26

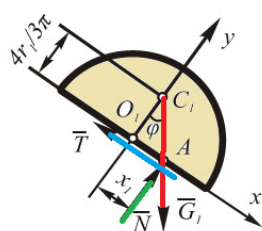


Fig. 6.27

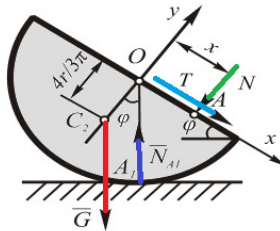


Fig. 6.28

Soluție:

Se separă corpurile introducând forțele de legătură și cele date și se studiază echilibrul lor. Corpul din figura 6.26 este în echilibru sub acțiunea a trei forțe coplanare. Condiția necesară ca să fie în echilibru este ca cele trei forțe să fie și concurente. Rezultă astfel punctul A în care trebuie aplicată reacțiunea \bar{N} , situat la distanța:

$$x_1 = \frac{4r_1}{3\pi} \operatorname{tg}\varphi \quad (1)$$

de punctul O_1 .

Ecuatiile de echilibru sunt:

$$N - G_1 \cos \varphi = 0 \quad (2)$$

$$G_1 \sin \varphi - T = 0 \quad (3)$$

$$T = \mu N \text{ (echilibru la limită)} \quad (4)$$

$$N_A \cos \varphi - G \cos \varphi - N = 0 \quad (5)$$

$$G \sin \varphi - N_A \sin \varphi - \mu N = 0 \quad (6)$$

$$M_{O_1}: G \frac{4r}{3\pi} \sin \varphi - N \cdot x = 0. \quad (7)$$

Din figurile 6.26 ÷ 6.28 rezultă:

$$x = r - r_1 + x_1 = r - r_1 + \frac{4r_1}{3\pi} \operatorname{tg}\varphi. \quad (8)$$

Din ecuația (2) rezultă:

$$N = G_1 \cos \varphi. \quad (9)$$

Dacă se introduce (9) în (4) și (4) în (3), rezultă:

$$\mu = \operatorname{tg}\varphi. \quad (10)$$

Din relațiile (9) și (7) se determină:

$$x = \frac{G}{G_1} \cdot \frac{4r}{3\pi} \operatorname{tg}\varphi. \quad (11)$$

Dacă se egalează (8) cu (11), rezultă:

$$\frac{4r}{3\pi} \cdot \frac{G}{G_1} \operatorname{tg}\varphi = \frac{4r_1}{3\pi} \operatorname{tg}\varphi + r - r_1, \quad (12)$$

de unde se găsește unghiul poziției de echilibru:

$$\operatorname{tg}\varphi = \frac{3\pi G_1 (r - r_1)}{4(Gr - G_1 r_1)}. \quad (13)$$

Astfel, relația (10) devine:

$$\mu = \frac{3\pi G_1 (r - r_1)}{4(Gr - G_1 r_1)}. \quad (14)$$

Din relația (13) se poate determina:

$$\cos \varphi = \frac{1}{\sqrt{1 + tg^2 \varphi}} = \frac{4(Gr - G_1 r_1)}{\sqrt{16(Gr - G_1 r_1)^2 + 9\pi^2 G_1^2 (r - r_1)^2}}. \quad (15)$$

Dacă se introduce (15) în (9), rezultă:

$$N = \frac{4G_1(Gr - G_1 r_1)}{\sqrt{16(Gr - G_1 r_1)^2 + 9\pi^2 G_1^2 (r - r_1)^2}}. \quad (16)$$

Înlocuind (13) în (8) sau (11), se obține:

$$x = \frac{4r_1}{3\pi} tg\varphi + r - r_1 = \frac{4r}{3\pi} \cdot \frac{G}{G_1} tg\varphi = \frac{Gr(r - r_1)}{Gr - G_1 r_1}. \quad (17)$$

6.2.9. Cadrul cu trei articulații din figura 6.29 este alcătuit din barele rigide ADC și BEC articulate între ele în punctul C și de teren în punctele A și B situate pe aceeași orizontală. Să se determine reacțiunile din articulațiile A și B la încărcarea cu o forță verticală \bar{P} , neglijând greutatea proprie. Să se precizeze direcția reacțiunii din articulația A .

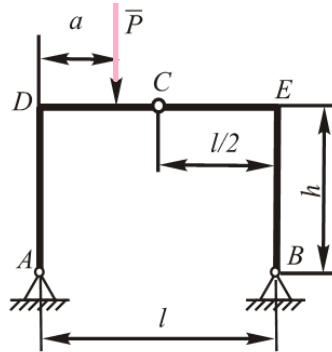


Fig. 6.29

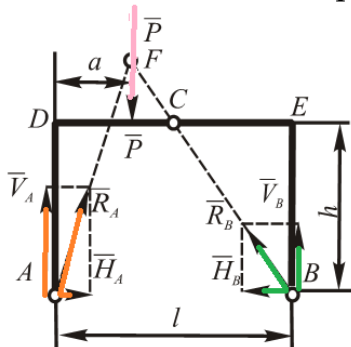


Fig. 6.30

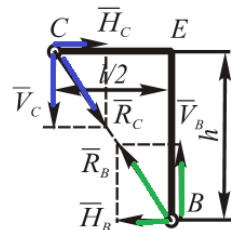


Fig. 6.31

Soluție:

Se aplică metoda echilibrului sistemului prin suprimarea legăturilor exterioare din A și B și metoda izolării corpurilor, separând bara BEC .

Ecuțiile de echilibru pentru sistem (fig. 6.30) și pentru bara BEC (fig. 6.31) sunt:

$$\begin{aligned} H_A - H_B &= 0 \\ V_A + V_B - P &= 0 \\ M_A : P \cdot a - V_B \cdot l &= 0 \\ M_C : H_B \cdot h - V_B \cdot \frac{l}{2} &= 0. \end{aligned} \quad (1)$$

Rezolvând sistemul (1) de ecuații se obțin:

$$H_A = H_B = \frac{P \cdot a}{2h}; \quad V_A = P \frac{l-a}{l}; \quad V_B = \frac{P \cdot a}{l}. \quad (2)$$

Pentru determinarea direcției reacțiunii din articulația A se observă că sistemul de corpuri (fig. 6.29) este sub acțiunea a trei forțe coplanare \bar{P} , \bar{R}_A și \bar{R}_B și pentru a fi în echilibru, aceste trei forțe trebuie să fie și concurente. Direcția lui \bar{R}_B este după BC , deoarece reacțiunea din B este egală și de sens contrar cu reacțiunea din C (fig. 6.31) pentru ca bara BEC să fie în echilibru. Rezultă deci că reacțiunea articulației din A concură cu BC pe suportul lui P (în punctul F).

6.2.10. O sferă de rază r și greutate G este suspendată printr-un fir inextensibil de punctul fix O , în care este articulat capătul O al unei bare omogene $OA = 2a$, având greutatea Q și care este în contact cu sfera în punctul B . Să se determine unghiul φ pe care îl face în poziția de echilibru firul $OC_1 = b$ cu verticala care trece prin punctul O . Să se determine, de asemenea, tensiunea în fir, reacțiunea în punctul de sprijin dintre bilă și bară și unghiul α pe care-l face bara cu verticala, trecând prin punctul fix O , pentru poziția de echilibru (fig. 6.32).

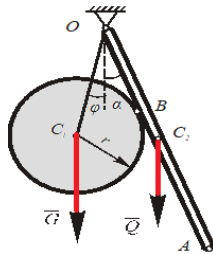


Fig. 6.32

Soluție:

Observând în figura 6.33 că:

$$b^2 = OB^2 + r^2, \quad (1)$$

de unde:

$$OB = \sqrt{b^2 - r^2}, \quad (2)$$

ecuațiile de echilibru pentru bilă (fig. 6.33) sunt:

$$S \sin \varphi - N_B \cos \alpha = 0 \quad (3)$$

$$S \cos \varphi - N_B \sin \alpha - G = 0 \quad (4)$$

$$M_O: G b \sin \varphi - N_B \sqrt{b^2 - r^2} = 0 \quad (5)$$

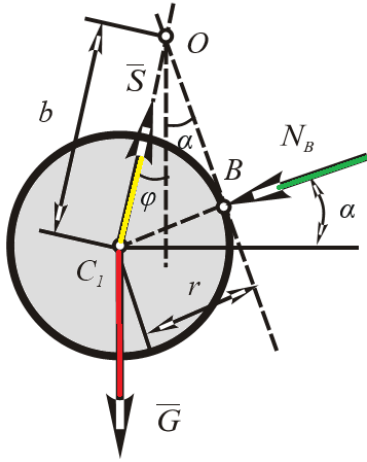


Fig. 6.33

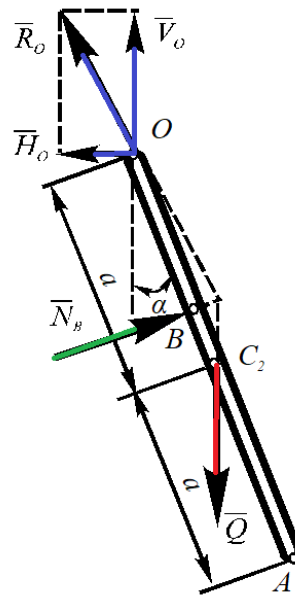


Fig. 6.34

iar pentru bară (fig. 6.34)

$$N_B \cos \alpha - H_O = 0 \quad (6)$$

$$V_O + N_B \sin \alpha - Q = 0 \quad (7)$$

$$M_A: Q a \sin \alpha - N_B \sqrt{b^2 - r^2} = 0, \quad (8)$$

la care se adaugă relația geometrică:

$$r = b \sin (\alpha + \varphi). \quad (9)$$

Rezolvând sistemul de mai sus, se determină:

$$\sin \alpha = \frac{r \cos \varphi \pm \sqrt{b^2 - r^2} \sin \varphi}{b} \quad (10)$$

$$N_B = Q \frac{a}{b \sqrt{b^2 - r^2}} \left[r \cos \varphi \pm \sqrt{b^2 - r^2} \sin \varphi \right] \quad (11)$$

$$N_B = G \frac{b}{\sqrt{b^2 - r^2}} \sin \varphi. \quad (12)$$

Egalând relațiile (11) și (12), se obține:

$$\operatorname{ctg} \varphi = \frac{G b^2}{Q a r} \pm \sqrt{\frac{b^2}{r^2} - 1}. \quad (13)$$

Cunoscând unghiul φ , se obține unghiul α din relația (10). Utilizând expresiile determinate ale unghiurilor α și φ , se obțin în continuare:

$$N_B = Q \frac{a}{\sqrt{b^2 - r^2}} \sin \alpha; \quad S = Q \frac{a}{2 \sqrt{b^2 - r^2}} \sin \alpha \cdot \frac{\sin 2\alpha}{\sin \varphi}; \quad (14)$$

$$H_O = \frac{Q}{2} \cdot \frac{a}{\sqrt{b^2 - r^2}} \sin 2\alpha; \quad (15)$$

$$V_O = Q \left(1 - \frac{a}{\sqrt{b^2 - r^2}} \sin^2 \alpha \right). \quad (16)$$

Aplicând teorema solidificării, forțele care se echilibrează sunt \bar{G} , \bar{Q} și reacțiunea totală din O . Rezultă că direcția reacțiunii totale din O este o dreaptă verticală, sensul este ascendent, iar modulul este egal cu $G + Q$.

Aplicând ecuația de momente în O , se obține:

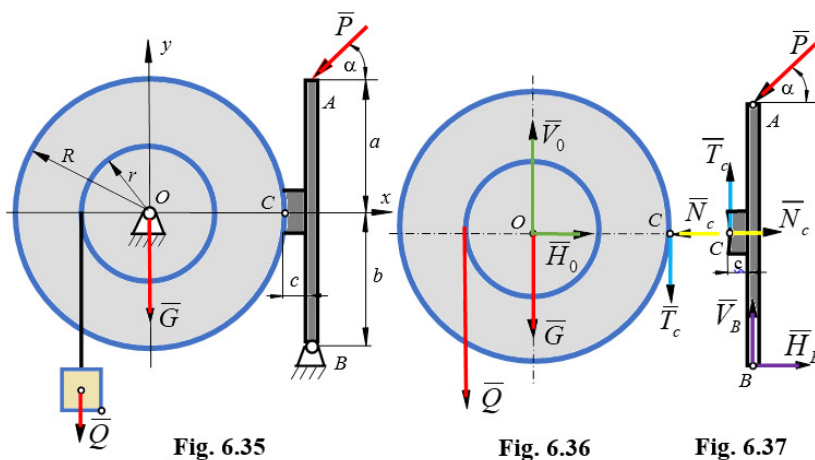
$$G b \sin \varphi = Q a \sin \alpha, \quad (17)$$

relație care se verifică înlocuind $\sin \alpha$ în funcție de unghiul φ .

Prin urmare, poziția punctului O este pe verticala care trece prin centrul de greutate al sistemului format din greutatea \bar{G} și \bar{Q} .

6.2.11. Se dă un trolu de raze r și R de care atâră o greutate \bar{Q} . Trolul este frânat de o frână în punctul C , de care este lipită o bară AB , articulată în B și la capătul celălalt acționat la un unghi α de o forță \bar{P} (fig. 6.35). Se cere să se determine reacțiunile din lagăre.

Soluție:



Se aplică metoda izolării corpurilor. Astfel, sistemul de corpuri se separă în trolu (fig. 6.36) și bara AB (fig. 6.37), introducând forțele date și de legătură care acționează asupra acestora, după ce, în prealabil au fost suprimate legăturile.

Se scriu ecuațiile de proiecții pentru forțe pe axele sistemului de referință ales și ecuații de momente în raport cu punctul O pentru trolu și punctul B pentru bară astfel:

$$\begin{aligned}
 H_0 - N_c &= 0 \\
 V_0 - Q - G - T_c &= 0 \\
 Qr - T_c R &= 0 \\
 T_c &= \mu N_c
 \end{aligned}
 \tag{1}$$

și

$$\begin{aligned}
 -P \cos \alpha + N_c + H_B &= 0 \\
 -P \sin \alpha + T_c + V_B &= 0 \\
 N_c b - P \cos \alpha (a + b) + T_c c &= 0.
 \end{aligned}
 \tag{2}$$

Rezolvând sistemele de ecuații (1) și (2), se obțin succesiv:

$$\begin{aligned} T_c &= \frac{Qr}{R} \\ N_c &= \frac{T_c}{\mu} = \frac{Qr}{\mu R} \end{aligned} \quad (3)$$

$$\begin{aligned} H_0 &= N_c = \frac{Qr}{\mu R} \\ V_0 &= Q + G + T_c = Q + G + \frac{Qr}{R} \end{aligned} \quad (4)$$

$$\begin{aligned} H_B &= P \cos \alpha - N_c = P \cos \alpha - \frac{Qr}{\mu R} \\ V_B &= P \sin \alpha - T_c = P \sin \alpha - \frac{Qr}{R} \end{aligned} \quad (5)$$

6.2.12. Să se determine reacțiunile și forța \bar{P} care apasă tamburul frânei din figura 6.38. Se cunosc: $AB = a$, $BE = b$, trolul are raza R și greutatea \bar{G} , între tambur și frână există frecare, coeficientul frecării de alunecare fiind μ .

Soluție:

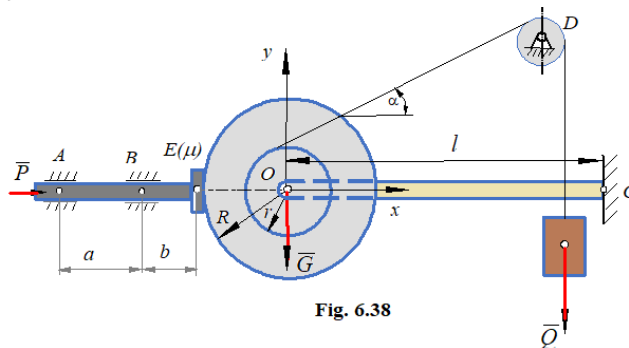


Fig. 6.38

Se aplică *metoda izolării corpurilor*. Astfel, sistemul de corpuri se separă în trolu (fig. 6.39), bara AB (fig. 6.40) și bara încastrată OC (fig. 6.41), introducând forțele date și de legătură care acționează asupra acestora, după ce, în

prealabil, au fost suprimate legăturile sistemului.

Se scriu ecuațiile de proiecții pentru forțe pe axele sistemului de referință ales și ecuații de momente astfel:

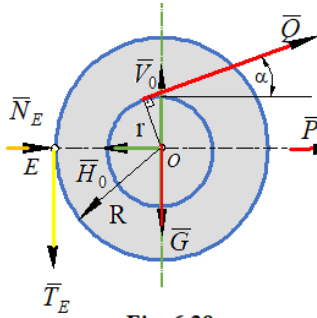


Fig. 6.39

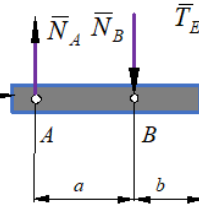


Fig. 6.40

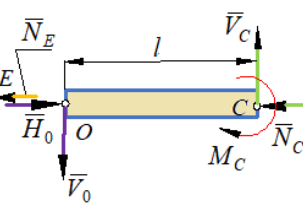


Fig. 6.41

$$\begin{aligned}
 -H_0 + N_E + Q \cos \alpha &= 0 \\
 V_0 + Q \sin \alpha - G - T_E &= 0 \\
 Qr - T_E R &= 0 \\
 T_E &= \mu N_E
 \end{aligned}
 \tag{1}$$

$$\begin{aligned}
 P - N_E &= 0 \\
 N_A - N_B + T_E &= 0 \\
 -N_B b + N_A (a + b) &= 0
 \end{aligned}
 \tag{2}$$

$$\begin{aligned}
 H_0 - H_C &= 0 \\
 V_C - V_0 &= 0 \\
 -M_C + V_0 l &= 0
 \end{aligned}
 \tag{3}$$

Rezolvând sistemele de ecuații (1), (2) și (3), se obțin succesiv:

$$T_E = \frac{Qr}{R}
 \tag{4}$$

$$N_E = \frac{T_E}{\mu} = \frac{Qr}{R\mu}
 \tag{5}$$

$$H_0 = N_E + Q \cos \alpha = Q \left(\frac{r}{\mu R} + \cos \alpha \right) \quad (6)$$

$$V_0 = T_E + G - Q \sin \alpha = \frac{Qr}{R} + G - Q \sin \alpha$$

$$H_C = H_0 = Q \left(\frac{r}{\mu R} + \cos \alpha \right)$$

$$V_C = V_0 = Q \left(\frac{r}{R} - \sin \alpha \right) + G \quad . \quad (7)$$

$$M_C = V_0 l = \left[Q \left(\frac{r}{R} - \sin \alpha \right) + G \right] l$$

Din sistemul (2) se obțin N_A și N_B . Astfel:

$$N_A = N_B - T_E \quad (8)$$

$$(N_B - T_E)(a+b) - N_B b = 0$$

$$N_B = \frac{T_E(a+b)}{a} = \frac{a+b}{a} \frac{Qr}{R} \quad (9)$$

$$N_A = \frac{a+b}{a} \frac{Qr}{R} - \frac{Qr}{R} = \frac{Qr}{R} \left(\frac{a+b}{a} - 1 \right). \quad (10)$$

Din sistemul (2) se obține valoarea forței \bar{P} :

$$P = N_E = \frac{Qr}{R\mu}. \quad (11)$$

6.2.13. Un ansamblu format din două bare identice AB și AC de lungime l și greutate G , situate într-un plan vertical și articulate între ele în B , se sprijină în A și C pe un plan orizontal. Un resort vertical leagă vârful B de punctul D , aflat pe planul orizontal. În A și C se aplică două forțe orizontale opuse, având aceeași mărime H , care tind să apropie barele. Să se determine valoarea unghiului α corespunzătoare poziției de echilibru și valoarea maximă pe care o poate atinge

forța H , știind că resortul se rupe dacă forța elastică depășește valoarea F . Forța dezvoltată în resort este proporțională cu alungirea sa, coeficientul de proporționalitate fiind k . În stare neîntinsă, resortul are lungimea a . Să se determine reacțiunile în punctele A , C și în articulația B (fig. 6.42).

Soluție:

Forța elastică din resort se exprimă astfel:

$$F_e = k(l \sin \alpha - a). \quad (1)$$

Datorită simetriei, reacțiunile normale din punctele de sprijin A și C sunt egale și au valoarea:

$$N_A = N_C = G + \frac{F_e}{2} = G + \frac{1}{2}k(l \sin \alpha - a). \quad (2)$$

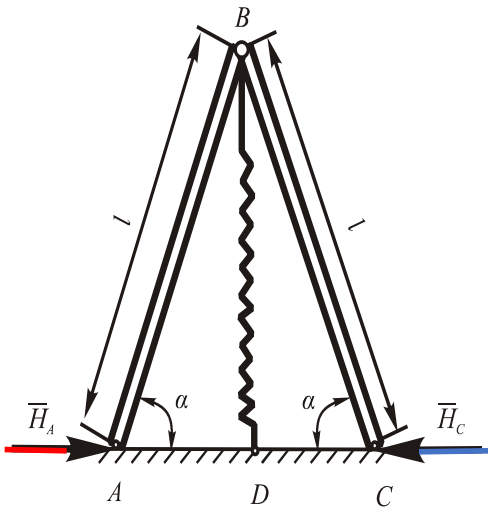


Fig. 6.42

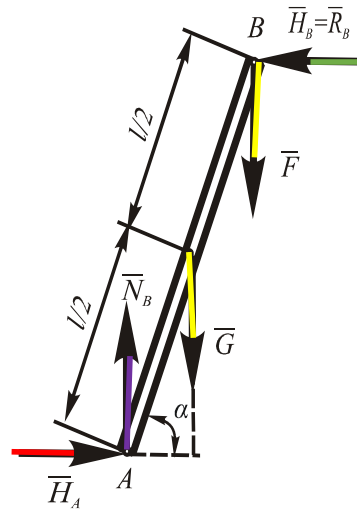


Fig. 6.43

Componenta orizontală a reacțiunii din articulația B este:

$$H_A = H_B = H_C = H. \quad (3)$$

Din ecuația de momente în raport cu articulația B se obține:

$$H_A = H_B = H_C = \frac{G + k(l \sin \alpha - a)}{2} \operatorname{ctg} \alpha, \quad (4)$$

reprezentând valoarea forței H pentru poziția de echilibru a sistemului format din două bare. Pentru valoarea maximă F a forței pe care o poate suporta resortul, se obține:

$$F_e = F = k(l \sin \alpha - a), \quad (5)$$

de unde se determină:

$$\sin \alpha = \frac{F + ka}{kl} \quad (6)$$

și reacțiunile în punctele B , C și A sunt:

$$N_A = N_C = G + \frac{F}{2}; \quad H_A = H_B = H_C = \frac{G+F}{2} \operatorname{ctg} \alpha. \quad (7)$$

6.2.14. Un stâlp AB , de greutate \bar{G} și lungime $a + b$, este articulat în capătul A , iar în B este supus acțiunii tensiunii \bar{S} a unui fir telegrafic. Stâlpul este susținut de o bară CD , de greutate \bar{Q} , articulată la ambele capete (fig. 6.44). Cunoscând unghiul α corespunzător poziției de echilibru, să se determine reacțiunile din punctele A , C și D .

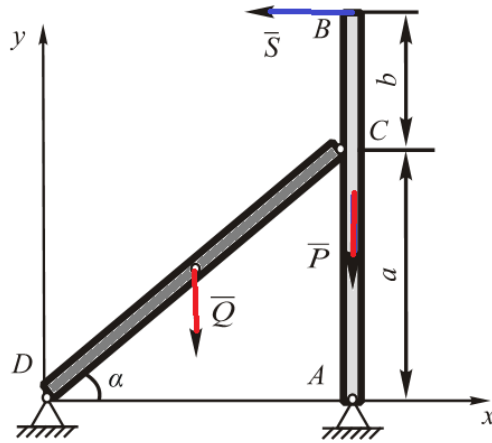


Fig. 6.44

Soluție:

Se separă barele, potrivit figurilor 6.45 și 6.46 și se impune condiția de echilibru al forțelor și momentelor:

$$\bar{R} = 0, \bar{M} = 0 \quad (1)$$

pentru fiecare din ele.

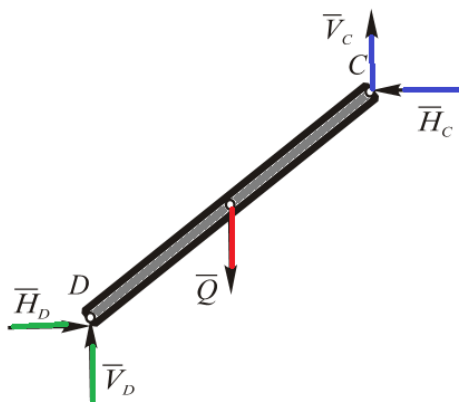


Fig. 6.45

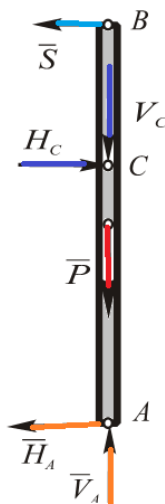


Fig. 6.46

Pentru bara CD rezultă sistemul de ecuații:

$$H_D - H_C = 0 \quad (2)$$

$$V_D - Q + V_C = 0 \quad (3)$$

$$M_D = 0, -Q \frac{l \cos \alpha}{2} + V_C l \cos \alpha + H_C l \sin \alpha = 0, \quad (4)$$

iar pentru bara AB :

$$H_C - H_A - S = 0 \quad (5)$$

$$V_A - V_C - G = 0 \quad (6)$$

$$M_A : (a+b)S - aH_C = 0. \quad (7)$$

Din sistemul format de ecuațiile (2) ÷ (7) se determină reacțiunile din punctele A ,

C și D:

$$H_A = \frac{b}{a}S, H_C = \frac{(a+b)}{a}S = H_D \quad (8)$$

$$V_A = G + \frac{Q}{2} - \frac{(a+b)}{a}S \cdot \operatorname{tg}\alpha, V_C = \frac{Q}{2} - \frac{(a+b)}{a}S \cdot \operatorname{tg}\alpha \quad (9)$$

$$V_D = \frac{Q}{2} + \frac{(a+b)}{a}S \cdot \operatorname{tg}\alpha. \quad (10)$$

6.2.15. O bară cotită $ABCD$ rezemată în punctul A și articulată în D este încărcată cu o sarcină p uniform distribuită pe unitatea de lungime și cu două forțe una verticală \bar{P} și alta orizontală \bar{H} . Să se determine reacțiunile din punctele A și D cunoscând greutatea barei ca fiind $4\bar{G}$ și repartizată proporțional cu lungimea pe fiecare tronson al acestui cadru (fig. 6.47).

Soluție:

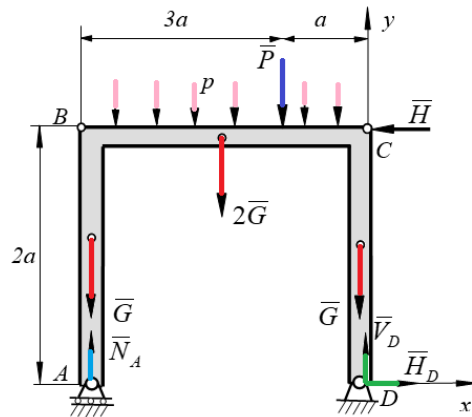


Fig. 6.47

În figura 6.47 se alege sistemul de referință fix xDy și se proiectează sistemul forțelor active și de legătură pe axele acestui sistem, după ce, în prealabil, au fost suprimate legăturile în A (reazem simplu) și în B (articulație cilindrică).

Ecuțiile scalare de echilibru sunt:

$$\begin{aligned}H_D - H &= 0 \\N_A + V_D - P - 4G - p \cdot 4a &= 0 \\M_D = -N_A \cdot 4a + G \cdot 4a + 2G \cdot 2a + p \cdot 4a \cdot 2a + P \cdot a + H \cdot 2a &= 0 .\end{aligned}\tag{1}$$

Rezolvând sistemul (1) de ecuații scalare, se obțin:

$$\begin{aligned}H_D &= H \\N_A &= 2G + 2ap + \frac{P}{4} + \frac{H}{2} . \\V_D &= 2G + 2ap + \frac{3}{4}P - \frac{H}{2}\end{aligned}\tag{2}$$

6.3 Probleme propuse

6.3.1. O scară este formată din treptele A și B , una rezemată pe o fundație orizontală, cealaltă pe peretele vertical al casei. Treptele sunt încărcate cu greutatele \bar{P} , respectiv \bar{Q} . Să se determine condiția de echilibru, ținând seama de frecările pe cele trei plane de contact, coeficientul de frecare la alunecare fiind $\mu = \text{tg } \varphi$. Greutățile treptelor se vor considera înglobate în valorile forțelor P și Q (fig. 6.48).

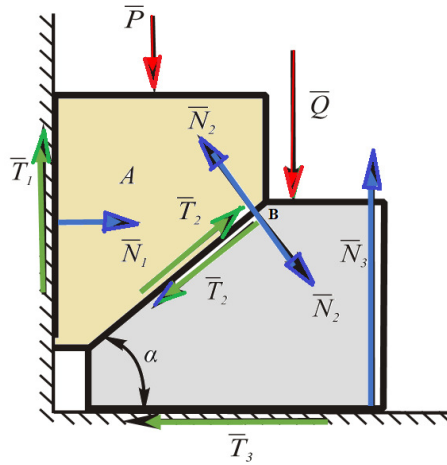


Fig. 6.48

Răspuns:

Condiția de echilibru este:

$$P \leq Q \frac{\text{tg} \varphi}{\text{tg}(\alpha - 2\varphi)}.$$

6.3.2. O bară omogenă $AB = 2l$, de greutate G , se sprijină pe o emisferă de greutate G_1 și pe un plan orizontal perfect lucios. Coeficientul de frecare la alunecare dintre bară și emisferă este μ . Să se determine lungimea barei, astfel încât reacțiunea dintre bară și emisferă să treacă prin centrul de greutate al barei (fig. 6.49).

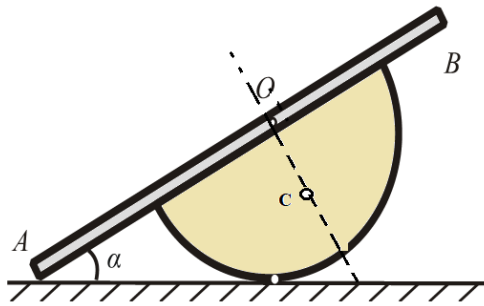


Fig. 6.49

Răspuns:

$$l = r \left(\frac{\sqrt{1 + \mu^2}}{\mu} - \frac{3}{8} \mu \frac{G_1}{G} \right).$$

6.3.3. Să se determine reacțiunile din articulațiile A , B și C ale sistemului de bare egale AB și BC din figura 6.50, acționat de forța \bar{P} . Sistemul este în echilibru pentru înclinarea barelor sub unghiul α față de orizontală.

Caz particular: $P = 2kN$, $\alpha = 30^\circ$.

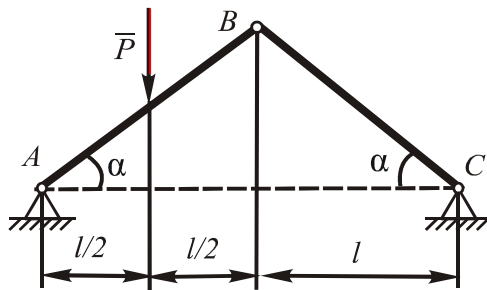


Fig. 6.50

Răspuns:

$$N_A = \frac{P}{4 \operatorname{tg} \alpha} \sqrt{9 \operatorname{tg}^2 \alpha + 1}, \quad N_B = N_C = \frac{P}{4 \sin \alpha}.$$

Caz particular:

$$N_A = \frac{P\sqrt{3}}{2}, \quad N_C = N_B = \frac{P}{2}, \quad \varphi = 90^\circ.$$

6.3.4. O sferă de greutate $2\bar{P}$ se reazemă ca în figura 6.51, pe două emisfere de greutate \bar{P} egale. Cât de mare trebuie să fie coeficientul de frecare μ dintre emisfere și masă, pentru ca sistemul să fie în echilibru în poziția din figură?

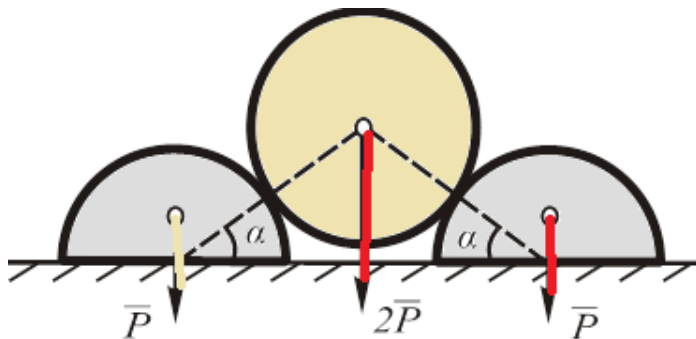


Fig. 6.51

Răspuns:

$$\mu = \frac{1}{2 \operatorname{tg} \alpha}.$$

6.3.5. Să se studieze poziția de echilibru a penei de greutate \bar{P} și a blocului de greutate \bar{G} din figura 6.52 (coeficientul de frecare între bloc și masă este μ , iar între bloc și pană și între pană și planul înclinat μ_1). Cât de mare trebuie să fie greutatea \bar{G} a blocului, pentru ca sistemul să fie în echilibru?

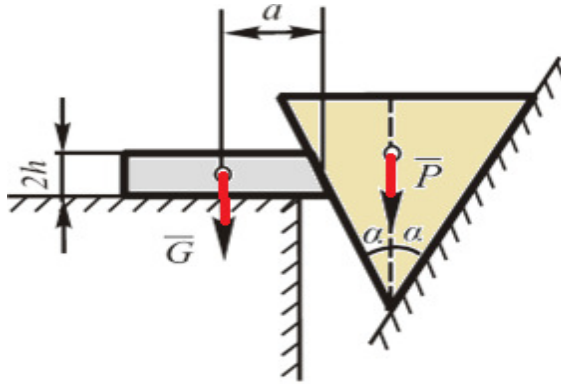


Fig. 6.52

Răspuns:

$$G = \frac{P}{2} \left[\frac{\cos \alpha - \mu_1 \sin \alpha}{\mu(\sin \alpha + \mu_1 \cos \alpha)} - 1 \right].$$

6.3.6. Două bare omogene identice de lungime l și greutate \bar{P} sunt articulate între ele în punctul O din mijlocul lor și se sprijină pe un plan orizontal luciu, cu capetele lor inferioare, iar capetele lor superioare sunt legate printr-un fir inextensibil. Dacă unghiul dintre cele două bare este 2α și ele susțin un cilindru de rază R și greutate \bar{Q} , se cere să se determine reacțiunea din articulația O și tensiunea din fir (fig. 6.53).

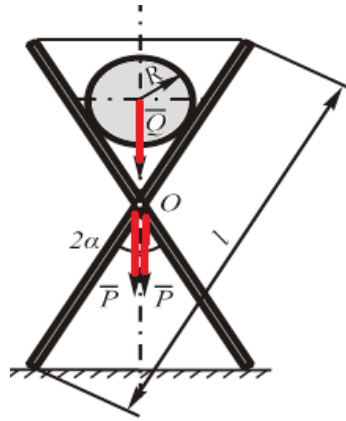


Fig. 6.53

Răspuns:

$$R_o = \frac{Q \cdot ctg\alpha}{2} - \left(\frac{Q}{2} + P \right) tg\alpha - \frac{QR}{l \cdot \sin^2 \alpha}.$$

$$S = \frac{QR}{l \cdot \sin^2 \alpha} + \left(\frac{Q}{2} + P \right) tg\alpha.$$

7. CALCULUL FIRELOR AERIENE ^[10]

7.1 Considerații teoretice

Când discutăm de fire în subconștient se dezvoltă noțiunea de întindere, de la expresia a trage. Astfel că, apare o noțiune nouă numită *forță de tensiune* (a cărei notație este fie S fie T) și care poate fi modelată folosind *firele ideale* fără masă, fără frecări, care nu se rup și nu se întind. Firele pot fi combinate cu scripeți ficși sau mobili, ei fiind considerați ideali și permit firelor să schimbe direcția forțelor fără a exista frecare.

Astfel, prin *fir se înțelege un corp care are o singură dimensiune și anume lungimea și care este sensibil mai mare decât celelalte două dimensiuni ale secțiunii transversale*. La calculul firelor se iau în considerare următoarele ipoteze simplificatoare:

- Firul este perfect flexibil, poate lua orice formă fără să opună rezistență;
- Firul poate fi solicitat numai la întindere, neputând prelua solicitări de compresiune sau de încovoiere;
- Firul este inextensibil;
- Firul este torsionabil, nu se opune când i se aplică un moment de răsucire.

Ipotezele simplificatoare conform cărora firele sunt considerate perfect flexibile și torsionabile au efectul că în orice secțiune se introduce o singură forță, respective torsorul de reducere este format dintr-o singură forță normală pe planul secțiunii transversal a firului.

Firele transmit forțele de tensiune în perechi de câte două, respectiv acțiune-reacțiune (egale și de sens opus) astfel încât, dacă două corpuri sunt legate de un fir ideal orice forță pe direcția firului exercitată de primul obiect este însoțită de o forță de-a lungul firului în direcția opusă exercitată de al doilea obiect. Dacă se folosește un același fir înfășurat de mai multe ori pe același obiect cu ajutorul unei structuri de scripeți, forța de tensiune poate fi multiplicată. Pentru fiecare fir care acționează asupra unui corp, o altă forță de tensiune din fir acționează asupra corpului.

Cu alte cuvinte se poate spune că, *firul* este un corp perfect flexibil și inextensibil (adică poate lua orice formă și are o lungime constantă) a cărui secțiune transversală este foarte mică în raport cu lungimea sa și poate fi supus la întindere, dar datorită lungimii acestuia nu se poate comprima.

Importanța studiului firelor este în general asimilată cu firele aeriene de aceea în cele ce urmează se va studia echilibrul firelor aeriene (forma firului și tensiunea într-un punct a lui) conform [19], [21].

7.1.1 Ecuația generală a firelor

Se consideră un fir presupus fără masă și având o încărcare oarecare, iar într-un punct A acesta coincide cu originea arcelor de lungime s (fig. 7.1a). Se

secționează firul într-un punct M și se notează cu \bar{T} tensiunea în punctul M (fig. 7.1b) . Se izolează elementul de fir MM' (fig. 7.1c,d).

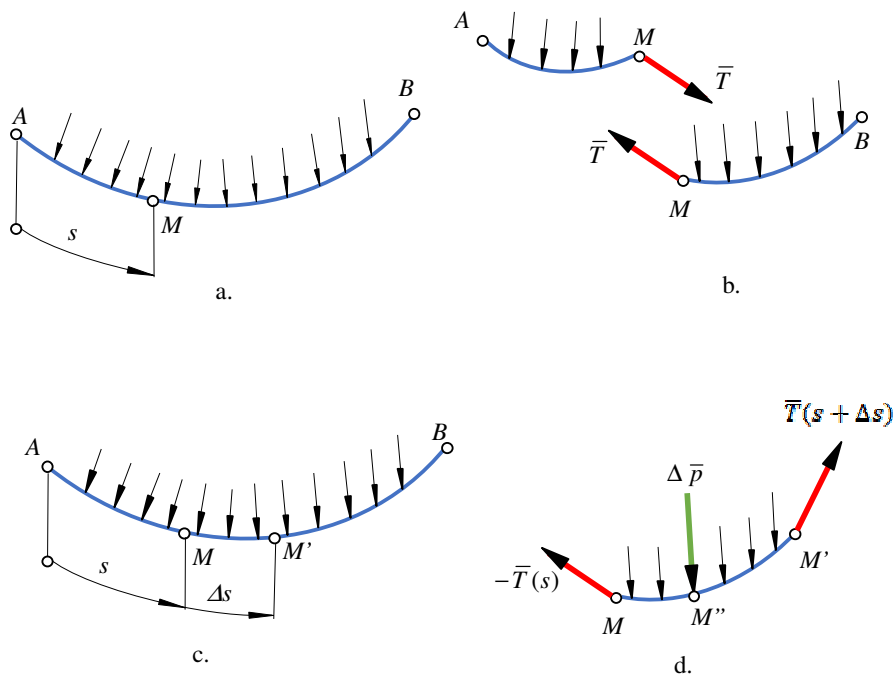


Fig. 7.1

Se consideră $\Delta \bar{p}$ rezultanta forțelor distribuite pe firul MM' , iar $\bar{T}(s+\Delta s)$ și $-\bar{T}(s)$ sunt tensiunile din fir la capete, pe porțiunea Δs , precum și $\bar{\tau}$ - versorul axei pe care acționează tensiunile în fir.

Ecuțiile vectoriale de echilibru a elementului MM' pentru fir sunt:

$$\begin{aligned} -\bar{T}(s) + \bar{T}(s + \Delta s) + \Delta \bar{p} &= 0 \\ -\overline{M'M} \times \bar{T}(s) + \overline{M'M''} \times \Delta \bar{p} &= 0 \quad (M') . \end{aligned} \quad (7.1)$$

Se împart ambele ecuații cu Δs și prin trecere la limită se obține:

$$\lim_{\Delta s \rightarrow 0} \left(\frac{-\bar{T}(s)}{\Delta s} + \frac{\bar{T}(s + \Delta s)}{\Delta s} \right) + \lim_{\Delta s \rightarrow 0} \frac{\Delta \bar{p}}{\Delta s} = 0 , \quad (7.2)$$

relație din care rezultă:
$$\frac{d\bar{T}}{ds} + \bar{p} = 0. \quad (7.3)$$

Din ecuația a doua a sistemului (7.1) se obține:

$$\bar{\tau} \times \bar{T} = 0 \text{ sau } \bar{T} = T \cdot \bar{\tau}. \quad (7.4)$$

Se face observația că tensiunea \bar{T} în fir are întotdeauna valoare pozitivă, firele neputând fi supuse la compresiune.

Astfel, ecuațiile vectoriale ale firelor sunt:

$$\begin{aligned}\frac{d\bar{T}}{ds} + \bar{p} &= 0 \\ \bar{\tau} \times \bar{T} &= 0\end{aligned}\quad (7.5) - (7.6)$$

7.1.2 Ecuațiile diferențiale ale firelor în sistemul cartezian de coordonate

Ecuațiile scalare ale firelor se obțin din ecuațiile vectoriale proiectate pe axele de coordonate $Oxyz$ astfel:

$$\begin{aligned}\frac{d}{ds}(T_x) + p_x &= 0 \\ \frac{d}{ds}(T_y) + p_y &= 0 \\ \frac{d}{ds}(T_z) + p_z &= 0\end{aligned}\quad (7.7)$$

Tangenta la curbă are cosinusurile directoare $\frac{dx}{ds}, \frac{dy}{ds}, \frac{dz}{ds}$, astfel că:

$$T_x = T \frac{dx}{ds}, T_y = T \frac{dy}{ds}, T_z = T \frac{dz}{ds} \quad (7.8)$$

Cu precizările (7.8), ecuațiile (7.7) devin:

$$\begin{aligned}\frac{d}{ds}\left(T \frac{dx}{ds}\right) + p_x &= 0 \\ \frac{d}{ds}\left(T \frac{dy}{ds}\right) + p_y &= 0 \\ \frac{d}{ds}\left(T \frac{dz}{ds}\right) + p_z &= 0\end{aligned}\quad (7.9)$$

și reprezintă *ecuațiile carteziene ale firelor*.

Dacă la sistemul (7.9) se adaugă relația între cosinusurile directoare:

$\left(\frac{dx}{ds}\right)^2 + \left(\frac{dy}{ds}\right)^2 + \left(\frac{dz}{ds}\right)^2 = 1$, se obține un sistem de patru ecuații în necunoscutele x, y, z și $T(s)$, el fiind static determinat.

7.1.3 Ecuațiile diferențiale ale firelor în coordonate intrinseci

Din geometria analitică se cunoaște relația:

$$\frac{d\bar{\tau}}{ds} = \frac{1}{\rho} \bar{\nu}, \quad (7.10)$$

denumită *prima formulă a lui Frénet*, unde raportul $\frac{1}{\rho}$ se numește *curbură*.

Conform cu a doua ecuație a sistemului (7.5) se poate scrie că $\bar{T} = T \cdot \bar{\tau}$. De asemenea, sarcina \bar{p} a unității de lungime a firului se poate scrie prin proiecții pe axele sistemului de referință Frénet astfel:

$$\bar{p} = p_\tau \bar{\tau} + p_\nu \bar{\nu} + p_\beta \bar{\beta}. \quad (7.11)$$

Luând în considerare (7.10), prin proiectarea ecuațiilor vectoriale ale firelor pe axele sistemului Frénet se obțin ecuațiile intrinseci ale firelor, scrise sub forma:

$$\begin{aligned} \frac{dT}{ds} + p_\tau &= 0 \\ \frac{T}{\rho} + p_\nu &= 0 \\ p_\beta &= 0 \end{aligned} \quad (7.12)$$

7.1.4 Fir acționat exclusiv de greutatea proprie

Se consideră un fir omogen, suspendat în două puncte A și B și acționat de greutatea proprie pds . Se alege un sistem de referință astfel încât, axa Oy să fie verticală cu sensul ascendent, iar axele Ox și Oz alese în așa fel încât A și B să aparțină planului xOy (fig. 7.2).

În ecuațiile scalare carteziene (7.9) se înlocuiesc: $p_x = p_z = 0$, $p_y = -p$ și se obține:

$$\begin{aligned} \frac{d}{ds} \left(T \frac{dx}{ds} \right) &= 0 \\ \frac{d}{ds} \left(T \frac{dy}{ds} \right) - p &= 0 \quad . \\ \frac{d}{ds} \left(T \frac{dz}{ds} \right) &= 0 \end{aligned} \quad (7.13)$$

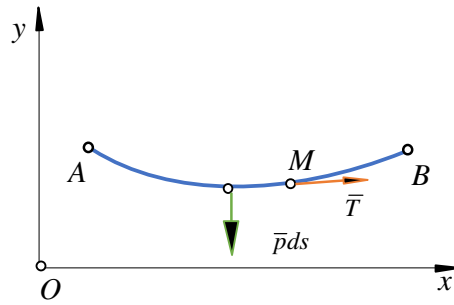


Fig. 7.2

Din prima și a treia ecuație a sistemului (7.13) rezultă:

$$T \frac{dx}{ds} = H \quad \text{și cu} \quad T \frac{dz}{ds} = C, \quad (7.14)$$

relații în care H și C sunt constante.

Transformând succesiv a doua ecuație a sistemului (7.13) prin utilizarea unor artificii matematice [18] se obține **ecuația lăncșorului** scrisă sub forma:

$$y = a \operatorname{ch} \frac{x}{a}. \quad (7.15)$$

Pentru determinarea tensiunii din fir \bar{T} se utilizează prima relație (7.14) în care se înlocuiește $ds = \sqrt{1 + y'^2} dx$ și $y' = sh u$ și se obține astfel:

$$T = H \operatorname{ch} \frac{x}{a} = \frac{H}{a} a \operatorname{ch} \frac{x}{a} = p y. \quad (7.16)$$

Lungimea unui arc de lăncșor s este:

$$s = \int ds = \int_0^x \sqrt{1 + y'^2} dx = \int_0^x \sqrt{1 + sh^2 \left(\frac{x}{a} \right)} dx = \int_0^x \operatorname{ch} \frac{x}{a} dx = a \operatorname{sh} \frac{x}{a} \Big|_0^x = a \operatorname{sh} \frac{x}{a}. \quad (7.17)$$

7.1.5 Frecarea firelor

Se consideră un fir petrecut peste un scripete fix. Între fir și scripete se consideră că există frecare, coeficientul frecării fiind μ . Se presupune că la un capăt al firului acționează tensiunea \bar{T}_1 , iar la celălalt capăt \bar{T}_2 . Se cere să se determine tensiunea \bar{T}_2 .

Având în vedere figura 7.3, se poate scrie:

$$p_\tau = -\mu N, \quad p_\nu = -N, \quad p_\beta = 0. \quad (7.18)$$

Ecuțiile (7.12) intrinseci ale firelor, ținând cont de (7.18), devin:

$$\begin{aligned} \frac{dT}{ds} - \mu N &= 0 \\ \frac{T}{\rho} - N &= 0 \end{aligned} \quad (7.19)$$

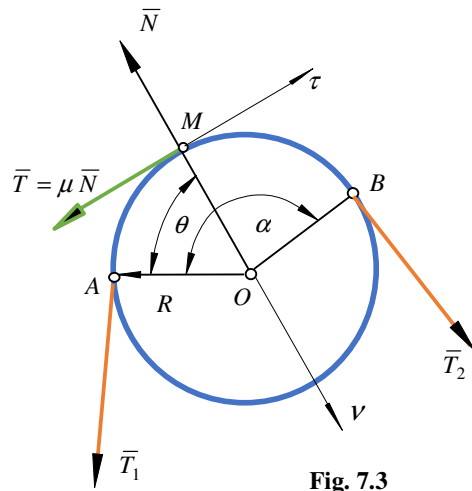


Fig. 7.3

Rezolvând sistemul (7.19), se obține relația:

$$T_2 = T_1 \cdot e^{\mu \alpha}, \quad (7.20)$$

care reprezintă *formula lui Euler* privind frecarea firelor doar în ipoteza în care $T_2 > T_1$.

7.2 Probleme rezolvate ^[10]

7.2.1. De un balon este legat în punctul B un cablu AOB cu lungime totală $l = 300 \text{ m}$ și greutate $p = 2 \text{ kgf/m}$ ($1 \text{ kgf} = 9,806 \text{ N}$). O lungime x_0 din cablu se târăște pe pământ cu coeficientul de frecare $\mu = 0.2$. Se constată că unghiul cablului în B este $\theta_B = 60^\circ$. Să se determine tensiunea orizontală \bar{H} , tensiunea \bar{T}_B , lungimea x_0 și înălțimea h la care se află balonul (fig. 7.4).

Soluție:

În punctul O cablul începe să se ridice de pe sol. Pe sol tensiunea \bar{H} din fir este orizontală și este egală cu forța de frecare pe lungimea x_0 . Se poate scrie astfel:

$$H = \mu p x_0. \quad (1)$$

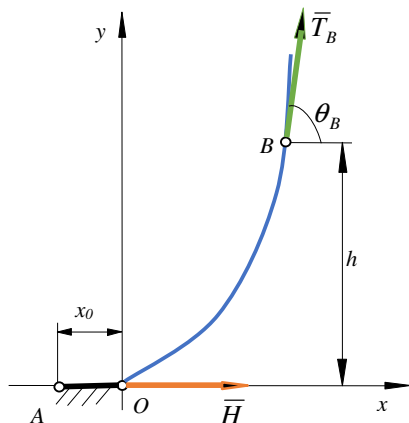


Fig. 7.4

Lănțișorul OB are o lungime s necunoscută și care, conform cu (7.17) pentru săgeata $\varphi_A = 0$, este:

$$s = \frac{H}{p} sh \varphi_B . \quad (2)$$

Înlocuind (1) în (2), rezultă:

$$s = \mu x_0 sh \varphi_B . \quad (3)$$

Pe de altă parte,

$$s = l - x_0 . \quad (4)$$

Egalând (3) și (4), rezultă

$$x_0 = \frac{l}{1 + \mu sh \varphi_B} = \frac{300}{1 + 0.2 + 1.7} = 223 \text{ m} . \quad (5)$$

Revenind la relația (1) cu valoarea lui x_0 , se obține H :

$$H = 0,2 \times 2 \times 223 = 89 \text{ kgf} . \quad (6)$$

Scriind o ecuație de echilibru pe orizontală se obține valoarea tensiunii \bar{T}_B

$$T_B = \frac{H}{\cos \theta_B} = \frac{89}{0.5} = 178 \text{ kgf} . \quad (7)$$

Înălțimea h la care se ridică firul este:

$$h = \frac{T_B - H}{p} = \frac{178 - 89}{2} = 44.5 \text{ m} . \quad (8)$$

Dacă $\varphi = tg \beta$, rezultă:

$$x = l \frac{\cos \beta \cos \theta_B}{\cos(\theta_B - \beta)} ; \quad H = \frac{p l \sin \beta \cos \theta_B}{\cos(\theta_B - \beta)} ; \quad h = \frac{l \sin \beta (1 - \cos \theta_B)}{\cos(\theta_B - \beta)} . \quad (9)$$

7.2.2. Care este distanța d între punctele de legare ale unui lăncșor de lungime $2l$ situate la același nivel, astfel ca tensiunile în punctele de legare să fie egale cu greutatea firului? Se cere, să se determine înclinarea firului în punctele de legare (fig. 7.5).

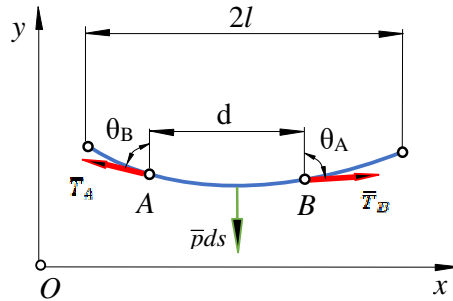


Fig. 7.5

Soluție:

Se ia ca referință capătul drept B al firului. Conform enunțului, se poate scrie:

$$T_B = 2pl. \quad (1)$$

Proiecția verticală a tensiunii este V și ținând cont că $s = l$ (lungimea din punctul minim până la punctul de legare), are valoarea:

$$V = ps = pl. \quad (2)$$

Pe de altă parte,

$$V = T_B \sin \theta_B. \quad (3)$$

Egalând cele două relații ale lui V se obține:

$$\theta_B = \frac{\pi}{6}. \quad (4)$$

Componenta orizontală a tensiunii în punctul B este:

$$H = T_B \cos \theta_B = \sqrt{3} pl. \quad (5)$$

În conformitate cu relațiile din literatura de specialitate [1], [19] se poate preciza că în punctele A și B :

$$\varphi_A = \frac{p}{H}(-x_0); \quad \varphi_B = \frac{p}{H}(d - x_0). \quad (6)$$

Deoarece $\varphi_A = -\varphi_B$, rezultă:

$$2\varphi_B = \frac{p}{H}d \quad (7)$$

$$\operatorname{tg} \theta_B = \operatorname{sh} \varphi_B = \frac{1}{\sqrt{3}}$$

$$\varphi_B = \ln\left(\frac{1}{\sqrt{3}} + \sqrt{1 + \frac{1}{\sqrt{3}}}\right) = \ln \sqrt{3} = \frac{1}{2} \ln 3. \quad (8)$$

Distanța d este următoarea:

$$d = \frac{2H}{p} \varphi_B = \sqrt{3} l (\ln 3). \quad (9)$$

7.2.3. La o curbă funiculară parabolică de forma din figură, se cunosc: $d = 25 \text{ m}$, $\theta_1 = 10^\circ$, $\rho = 2 \text{ f/m}$. Se cere să se afle tensiunea H , tensiunile de capete T_A și T_B , lungimea parabolei și săgeata maximă h (fig. 7.6).

Soluție:

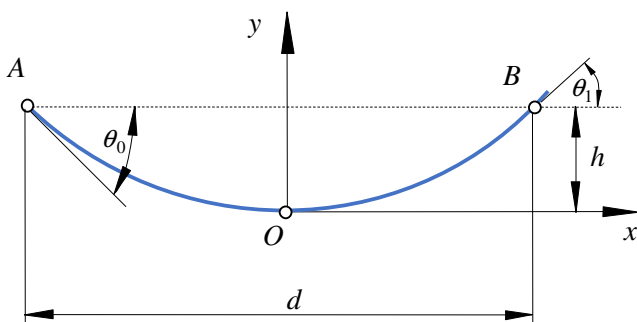


Fig. 7.6

Se alege sistemul de coordonate Oxy conform figurii 7.6. Ecuația parabolei este:

$$y = a + \frac{x^2}{2a'} \quad (1)$$

unde a' – parametru al parabolei.

Relația (1) reprezintă ecuația unei parabole la care vârful se află la distanța a de origine. În cazul problemei de față, originea sistemului de coordonate coincide cu vârful parabolei, deci ecuația parabolei devine:

$$y = \frac{x^2}{2a} = \frac{px^2}{2H} . \quad (2)$$

Derivând în raport cu x relația (2), se găsește *panta firului*:

$$\frac{dy}{dx} = \operatorname{tg} \theta = \frac{px}{H} . \quad (3)$$

Aplicând relația (3) în punctul B pentru:

$$x = \frac{d}{2} = \frac{25}{2} \text{ m} , \quad (4)$$

se obține succesiv

$$\operatorname{tg} \theta_1 = 0,1763 = \frac{2 \times \frac{25}{2}}{H} , \quad H = 142 \text{ tf} . \quad (5)$$

Săgeata h se află aplicând relația (2) la capătul firului (B):

$$y_B = h = \frac{2 \times 12,5^2}{2 \times 142} = 1,1 \text{ m} . \quad (6)$$

Tensiunile în punctele A și B sunt:

$$T_A = T_B = \frac{H}{\cos \theta_1} = \frac{142}{0,9848} = 144,3 \text{ tf} . \quad (7)$$

Lungimea firului pentru parabolă se poate afla plecând de la relația:

$$ds = \sqrt{dx^2 + dy^2} = dx \sqrt{1 + \left(\frac{dy}{dx}\right)^2}. \quad (8)$$

Deoarece derivata dy/dx are valori foarte mici, se iau din dezvoltarea în serie a radicalului primii doi termeni, respectiv:

$$ds = dx \left(1 + \frac{1}{2} y'^2\right), \quad y' = \frac{px}{H}. \quad (9)$$

Prin integrarea lui ds se obține lungimea firului:

$$l = \int_{-\frac{d}{2}}^{\frac{d}{2}} ds = \int_{-\frac{d}{2}}^{\frac{d}{2}} \left(1 + \frac{p^2 x^2}{2H^2}\right) dx = d + \frac{p^2 d^3}{24H^2} \quad (10)$$

$$l = 25 + \frac{2^2 \cdot 25^3}{24 \cdot 142^2} = 25.13 \text{ m}. \quad (11)$$

7.2.4. La un lănișor, având capetele fixate la același nivel se cunosc: lungimea totală a curbei $l = 100 \text{ m}$, sarcina $p = 5 \text{ kgf/m}$, unghiul în capăt $\theta_0 = \theta_1 = 10^\circ$. Se cer tensiunile H , T_A , T_B , deschiderea d și săgeata h (fig. 7.7).

Soluție:

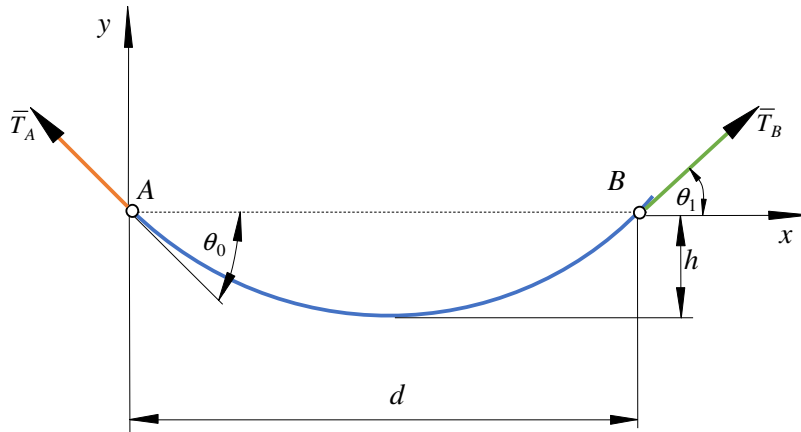


Fig. 7.7

Ecuția de echilibru a firului pe direcție verticală este:

$$2T_B \sin \theta_1 - pl = 0 . \quad (1)$$

Având în vedere că,

$$\sin \theta_1 = \sin 10^\circ = 0,1735 , \quad (2)$$

din relația (1) se obține valoarea tensiunii \bar{T}_B astfel:

$$T_B = T_A = \frac{5 \times 100}{2 \times 0,1736} = 1443 \text{ kgf} . \quad (3)$$

În punctul B unghiul $\varphi_A = -\varphi_B$ și $s = l$. Se știe conform literaturii de specialitate [19] privind statica firelor că: $\varphi = \frac{p}{H}(x - x_0)$, x_0 - este poziția inițială, iar x - poziția cea mai de sus a firului.

Lungimea firului este:

$$l = \frac{H}{p} 2 \operatorname{sh} \varphi_B , \quad (4)$$

astfel că:

$$H = \frac{pl}{2 \operatorname{sh} \varphi_B} = \frac{5 \times 100}{2 \times 0,1763} = 1420 \text{ kgf} . \quad (5)$$

Săgeata maximă h este:

$$h = \frac{T_B - H}{p} = \frac{1443 - 1420}{5} = 4,6 \text{ m} . \quad (6)$$

Se cunoaște că, în cazul *firului uniform greu* prin dezvoltări aproximative în serii de puteri a cosinusului hiperbolic [18] și reținerea primilor doi termeni se poate scrie:

$$x = \frac{H}{p} \varphi + x_0 , \quad y = \frac{H}{2p} \varphi^2 + \frac{H}{p} + y_0 , \quad \operatorname{tg} \theta = \varphi + \frac{\varphi^3}{6} . \quad (7)$$

Aplicând relațiile (7) pentru origine ($x = 0$) și la mijlocul firului ($x = d/2$, $\varphi = 0$), se obțin relațiile:

$$0 = \frac{H}{p} \varphi_A + x_0, \quad \frac{d}{2} = 0 + x_0, \quad (8)$$

din care rezultă:

$$x_0 = \frac{d}{2}; \quad \varphi_A = -0.1754; \quad d = -\frac{2h\varphi_A}{p} = 99.7 \text{ m}. \quad (9)$$

7.2.5. O curbă funiculară lăntșor este legată de două puncte A și B situate la nivele diferite. Dacă lungimea firului este l , iar unghiurile tangentelor la capete cu verticala sunt α și β , se cere diferența de nivel a punctelor A și B (fig. 7.8).

Soluție:

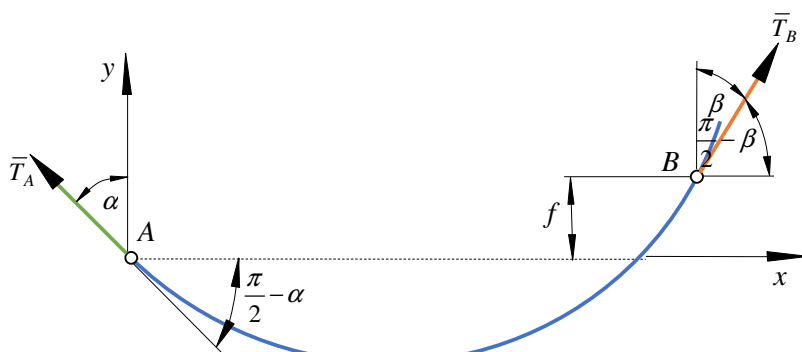


Fig. 7.8

În conformitate cu (7.16) și (7.15), se pot scrie relațiile:

$$y = \frac{H}{p} (ch \varphi - ch \varphi_A), \quad s = \frac{H}{p} (sh \varphi - sh \varphi_A), \quad (1)$$

care aplicate pentru punctul B conduc la:

$$y_B = f = \frac{H}{p}(ch \varphi_B - ch \varphi_A); \quad l = \frac{H}{p}(sh \varphi_B - sh \varphi_A). \quad (2)$$

Prin împărțirea relațiilor (2) rezultă :

$$f = l \frac{ch \varphi_B - ch \varphi_A}{sh \varphi_B - sh \varphi_A}. \quad (3)$$

Ținând seama de relațiile:

$$sh \varphi = tg \theta \quad (4)$$

$$ch \varphi = \sqrt{1 + sh^2 \varphi} = \sqrt{1 + tg^2 \theta} \quad (5)$$

și având în vedere că,

$$\theta_A = -\left(\frac{\pi}{2} - \alpha\right), \quad \theta_B = \frac{\pi}{2} - \beta, \quad (6)$$

se obțin succesiv:

$$f = l \frac{\sqrt{1 + tg^2\left(\frac{\pi}{2} - \beta\right)} - \sqrt{1 + tg^2\left(\frac{\pi}{2} - \alpha\right)}}{tg\left(\frac{\pi}{2} - \beta\right) + tg\left(\frac{\pi}{2} - \alpha\right)} = \frac{\frac{1}{\cos\left(\frac{\pi}{2} - \beta\right)} - \frac{1}{\cos\left(\frac{\pi}{2} - \alpha\right)}}{tg\left(\frac{\pi}{2} - \beta\right) + tg\left(\frac{\pi}{2} - \alpha\right)} l. \quad (7)$$

$$f = l \frac{\frac{1}{\sin \beta} - \frac{1}{\sin \alpha}}{ctg \beta + ctg \alpha} = l \frac{\sin \alpha - \sin \beta}{\sin(\alpha + \beta)} = l \frac{\sin \frac{\alpha - \beta}{2}}{\sin \frac{\alpha + \beta}{2}}. \quad (8)$$

7.3 Probleme propuse

7.3.1. Un cablu de greutate p (kgf/m) este legat ca și în figura 7.9 în punctul A , înfășurat pe suprafața exterioară a unui cilindru și atârna cu o lungime a . Se cer tensiunile în punctele A , B și C .

Răspuns:

$$T_A = T_C = pa ; T_B = p(r + a).$$

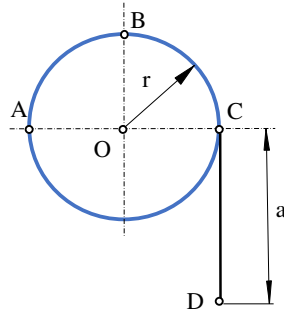


Fig. 7.9

7.3.2. Lanțul omogen din figura 7.10 are lungime totală l și este legat cu capetele de două inele care pot aluneca cu frecare pe o bară orizontală AB . Dacă coeficientul de frecare este μ , să se arate care este valoarea maximă a distanței d dintre inele pentru care este posibil echilibrul (fig. 7.10).

Răspuns:

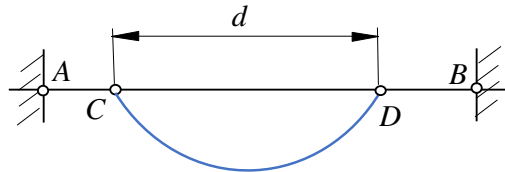


Fig. 7.10

$$d \leq \mu l \varphi_D = \mu l \operatorname{arg} sh \frac{1}{\mu}.$$

7.3.3. Între două puncte A și B aflate la același nivel și depărtate unul de altul cu $d = 100$ m, se poate lega o parabolă sau un lăntșisor. Lungimea lăntșisorului

este $l = 120 \text{ m}$. Sarcina totală pe care o suportă fiecare dintre curbele funiculare este aceeași $P = 1200 \text{ kgf}$ ($1 \text{ kgf} = 9,806 \text{ N}$) repartizată după legea lăntișorului, respectiv a parabolei. Ambele curbe funiculare au același unghi θ_0 în origine. Se cere, să se determine lungimea l a parabolei, iar la fiecare dintre curbe tensiunile \bar{H} , \bar{T}_A , săgeata maximă și raza de curbura la mijlocul firului (fig. 7.11).

Răspuns:

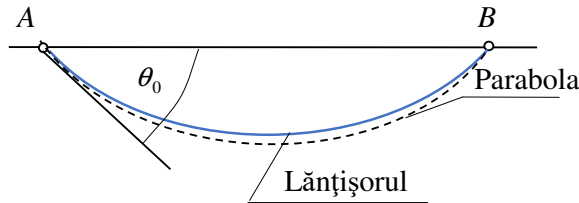


Fig. 7.11

a) *Lăntișor*

$$H = \frac{p d}{2 \varphi_B} = \frac{10 \cdot 100}{2 \cdot 1,065} = 469 \text{ kgf} .$$

$$T_A = T_B = \frac{H}{\cos \theta_B} = \frac{469}{0,616} = 762 \text{ kgf} .$$

$$y = \frac{H}{p} (ch \varphi - ch \varphi_0), \varphi_0 = \varphi_B \cdot h = \frac{H}{p} (1 - ch \varphi_0) = \frac{469}{10} (1 - 1,623) = -29,25 \text{ m} .$$

$$\rho = \frac{H}{p} = \frac{469}{10} = 46,9 \text{ m}$$

b) *Parabola*

$$\rho = \frac{T}{p \cos \theta} = \frac{H}{p} = \frac{469}{12} = 39,1 \text{ m} .$$

$$y = \frac{H}{p} (ch \varphi - ch \varphi_0), \varphi_0 = \varphi_B \cdot h = \frac{pd^2}{8H} = \frac{12 \cdot 100^2}{8 \cdot 468} = 31,95 \text{ m} .$$

$$l = d + \frac{p^2 d^3}{24 H^2} = 100 + \frac{12^2 \cdot 100^3}{24 \cdot 469^2} = 127,3 \text{ m} .$$

8. MECANISME SIMPLE

Mecanismele simple ca și *pârghia* și *scripetele* sunt cunoscute încă din antichitate, ele au fost și sunt folosite și în prezent [3] cu scopul de a ușura activitatea omului. În cele ce urmează, cele două mecanisme simple vor fi prezentate și explicate.

I. SCRIPETI

8.1 Considerații teoretice la scripeti ^[3]

Rolul scripetilor în viața cotidiană este acela de dispozitive care se încadrează în categoria de *mecanisme simple* alături de pârghii, *cu scopul de a ușura munca omului*, acest ajutor este fie prin schimbarea sensului forței motoare (F_m) care acționează la unul din capetele firului înfășurat pe scripete, fie prin reducerea acesteia vizavi de forța rezistentă (F_r), aflată la celălalt capăt al firului (fig. 8.1 și fig. 8.2).

Un scripete este un dispozitiv elementar format dintr-un disc/roată având un canal periferic de ghidare a firului/cablului și care va permite schimbarea sensului unei forțe sau obținerea unei economii de forță. Scripetele este un dispozitiv ce se poate roti în jurul axei proprii.

Scripetii pot să fie *fixi* (axa proprie nu își modifică poziția față de un sistem de coordonate fix) sau pot fi *mobili* (axa proprie este mobilă). Scripetii *mobili* sunt susținuți de firele care trec pe sub aceștia. Prin combinarea scripetilor fixi cu cei mobili se pot ridica greutate mari cu efort redus (forță motoare mică), ceea ce conduce la obținerea unui *avantaj mecanic (AM)*. Astfel de combinații sunt întâlnite la utilajele și sistemele de ridicat în special cu macarale (fig. 8.1).

[3] Fodor G., Cristea A.F., 2019.

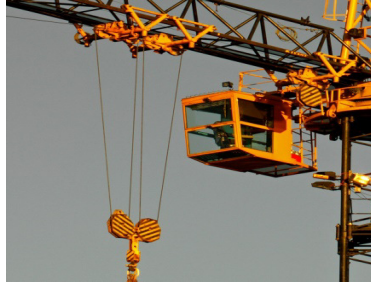


Fig. 8.1 Combinații de scripeți [3].

Pentru obținerea unui avantaj mecanic mare, respectiv economie de forță, în practică se folosesc **sisteme de scripeți**. Această combinație de scripeți ficși și mobili valorifică proprietățile scripeților ficși prin schimbarea direcției forței rezistente notată (F_r) care combinată cu cea a scripeților mobili reduce forța motoare (F_m).

În cazul **scripetelui fix** (fig. 8.2a) dacă se ține seama de rigiditatea firelor și de frecarea din axul scripetelui, forța motoare necesară învingerii forței rezistente este:

$$F_m = k F_r, \quad (8.1)$$

unde: - k este un coeficient supraunitar numit și **factor de multiplicare** al forței rezistente;

$$k = 1 + \lambda + 2\mu r/R, \quad (8.2)$$

unde: $\lambda = (\varepsilon_1 + \varepsilon_2) / R = k_1 d_{fir}$ (d_{fir} – diametrul firului) și se datorează rigidității firului/cablului;

($k_1 = 0.002...0.006 \text{ m}^{-2}$ pentru funii de cânepă și $k_1 = 0.03...0.09 \text{ m}^{-2}$ pentru cabluri de oțel);

$\varepsilon_1, \varepsilon_2$ sunt excentricitățile firelor;

$2\mu r/R$ – este frecarea din axul scripetelui și este exprimată prin μ ;

μ - coeficientul de frecare la alunecare;

r - raza fusului;

R - raza scripetelui.

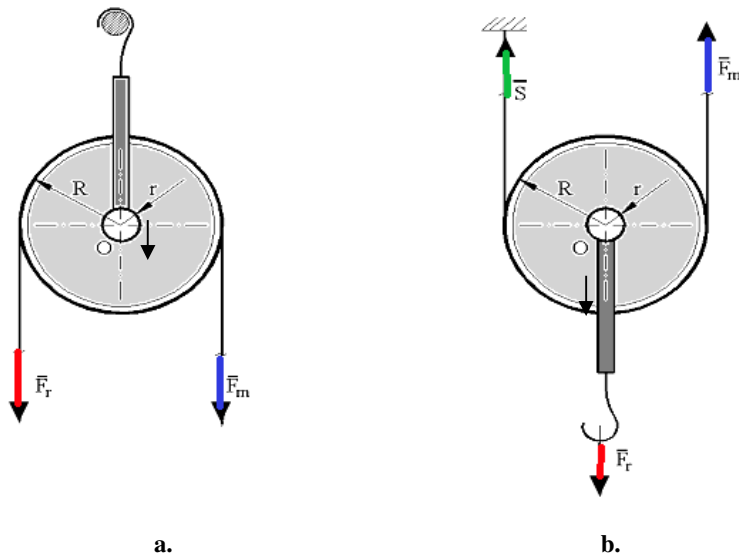


Fig. 8.2 Scripete fix și scripete mobil [3].

În general, pe lângă avantajul mecanic (AM) la scripete mai interesează și randamentul acestora care este exprimat prin relația:

$$\eta = F_o / F_m , \quad (8.3)$$

unde: - F_o este forța motoare în cazul ideal, iar *avantajul mecanic* (AM) se va calcula cu relația:

$$AM = F_m / F_r . \quad (8.4)$$

8.1.1 Randamentul scripetilor în diferite situații

În cazul scripetelui fix randamentul și avantajul mecanic AM devin:

$$\eta = 1/k; \quad AM = k . \quad (8.5)$$

Observăm că *avantajul mecanic este supraunitar* și vorbim în acest caz de o *multiplicare a forței rezistente*.

[3] Fodor G., Cristea A.F., 2019.

- Dacă scripetele fix este ideal ($k=1$), atunci se neglijează atât rigiditatea firului/cablului cât și frecarea din axul propriu. În acest caz forța motoare devine egală cu forța rezistentă.
- Pentru scripetele mobil (fig. 8.2b) forța motoare devine:

$$F_m = F_r / ((k + 1)/k). \quad (8.6)$$

În acest caz coeficientul ($k < 0$) este subunitar și se poate vorbi de o demultiplicare a forței rezistente, adică este nevoie de o forță motoare mai mică pentru a învinge forța rezistentă. Scripetele se va mișca odată cu mișcarea punctului de aplicație al forței motoare. Se poate observa că în acest caz, deplasarea forței rezistente este mai mică față de deplasarea forței motoare.

- Dacă scripetele mobil este ideal ($k = 1$) forța motoare și avantajul mecanic devin:

$$F_m = 0,5 F_r ; \quad AM = 2 . \quad (8.7)$$

8.2 Sisteme de scripeți

Cele mai des întâlnite sisteme de scripeți sunt **palanele** sau blocurile de scripeți ca și cele prezentate în figura 8.3.



Fig. 8.3 Palane [3]

Palanele sunt folosite pentru ridicarea greutăților mari, ele fiind acționate fie manual fie cu motoare (la macarale). Pentru a avea un avantaj mecanic (AM) mare se folosesc combinații de scripeți grupați în mufle.

Mufla este o combinație de mai mulți scripeți fixați pe aceeași furcă. Fixarea pe furcă se poate face pe același ax (scripeții au același diametru) sau pe axe paralele (diametrele diferă).

Palanul este alcătuit din două muflă, una fixă și una mobilă. Fiecare muflă conține un număr egal de scripeți montați pe aceeași furcă. Palanul poate fi realizat în două variante (fig. 8.4). Pentru ambele variante calculul forței motoare și a coeficientului de multiplicare este același.

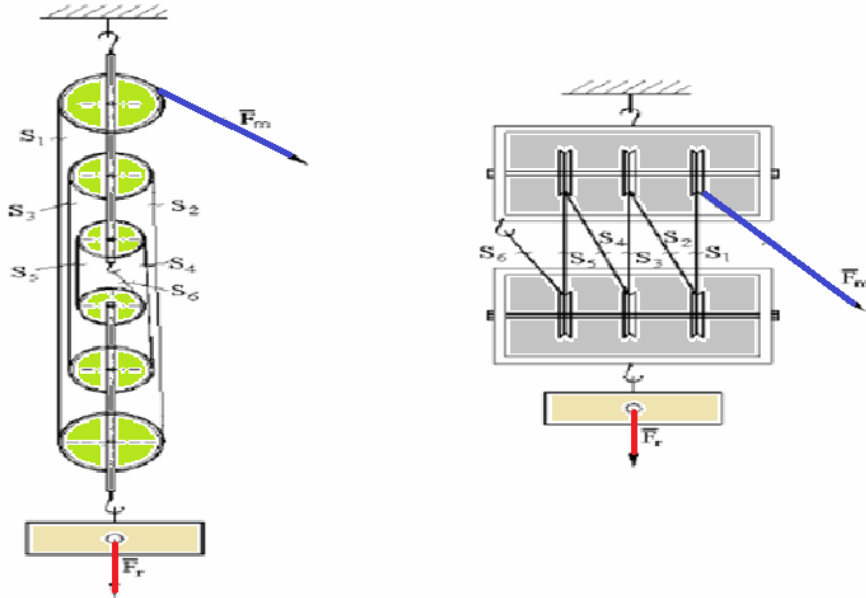


Fig. 8.4 Palanul [3]

În cele ce urmează se vor prezenta câteva relații de calcul a forței motoare [3], în cazul sistemelor de scripeti care utilizează palanul. De exemplu, pentru palanul cu șase scripeți montați în două muflă, forța motoare (F_m) va fi:

$$F_m = \frac{k^6}{1 + k + k^2 + \dots + k^5} \cdot F_r = \frac{k^6}{k^6 - 1} \cdot F_r = \frac{k^6 (k - 1)}{k^6 - 1} \cdot F_r \quad (8.8)$$

[3] Fodor G., Cristea A.F., 2019.

În cazul general, utilizând $2n$ scripete și două mufle [3], forța motoare se determină cu relația:

$$F_m = \frac{k^{2n}(k-1)}{k^{2n}-1} \cdot F_r \quad (8.9)$$

În situația ideală când $k = 1$ apare o nedeterminare care se ridică prin aplicarea teoremei lui l'Hospital [3] și anume:

$$F_m = \lim_{k \rightarrow 1} \left(\frac{\frac{d}{dk}(k^{2n+1} - k^{2n})}{\frac{d}{dk}(k^{2n} - 1)} \right) \cdot F_r = \frac{1}{2n} \cdot F_r \quad (8.10)$$

În acest caz, coeficientul forței rezistente este subunitar adică, există o demultiplicare a ei, ceea ce înseamnă că este nevoie de o forță motoare mai mică pentru a învinge forța rezistentă.

II. PÂRGHII

8.3 Considerații teoretice în cazul pârghiilor ^[3]

Pârghia este un mecanism simplu și mai modest din punctul de vedere al construcției decât scripetele dar, al cărei rol conduce în final, la ușurarea muncii omului.

Pârghia – este o bară rigidă (fig. 8.5) care se sprijină pe un punct fix și asupra căreia se exercită o forță activă și o forță rezistentă (în ipoteza neglijării frecărilor). În practică, pârghiile sunt frecvent utilizate la ridicarea greutăților sau intră în componența mecanismelor care ridică greutăți.

[3] Fodor G., Cristea A.F., 2019.

Se consideră o forță F aplicată în punctul A și un pol O arbitrar ales. Vectorul moment al forței F în raport cu polul O se notează cu M_o și se exprimă vectorial prin relația:

$$\vec{M}_o = \vec{r} \times \vec{F}, \quad (8.11)$$

unde: r - este vectorul de poziție al punctului de aplicație al forței F față de polul O. Fiind o mărime vectorială, momentul (\vec{M}_o) are direcția perpendiculară pe planul format din vectorul de poziție (r) și forța (F), sensul dat de regula burghiului și modulul este dat de produsul dintre forță și brațul forței.

În cele ce urmează se consideră că asupra pârghiei acționează o forță activă $F_a = F_m$ care rotește pârghia în jurul unui punct de sprijin O și careia i se opune o forță rezistentă sau de încărcare F_r .

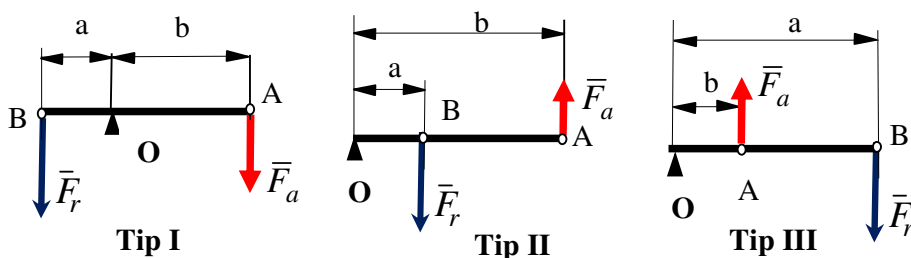


Fig. 8.5

Analog cu scripetii, și în acest caz este o forță motoare notată F_m și una rezistentă notată cu F_r , iar dispunerea acestora pe pârghie în funcție de punctul de sprijin al acestora, conduce la o clasificare a pârghiilor. Astfel că, pozițiile punctelor de aplicație ale forțelor (A pentru forța activă (motoare) și B pentru forța rezistentă) și a punctului de sprijin O vor determina cele trei tipuri de pârghii din figura 8.5, astfel:

- **Pârghia de tip I** - punctul de sprijin O este situat între F_r și F_a (AOB).

Exemple: balanța cu brațe egale, ranga, cleștele de cuie, foarfeca etc.;

- **Pârghia de tip II** - încărcarea F_r este situată între punctul de sprijin O și forța activă F_a (OBA).

Exemple: roaba, spărgătorul de nuci, cheia pentru piulițe etc.;

- **Pârghia de tip III** - forța F_a este situată între punctul de sprijin O și încărcarea F_r (OAB).

Exemple: penseta, cleștele de jărat, supapa de siguranță a cazanului cu abur, pedala mașinii de cusut etc.

Interesant de calculat în cazul pârghiilor este același **avantaj mecanic**, respectiv (**AM**), având aceeași formulă ca și în cazul scripetilor. Pentru a afla acest avantaj mecanic se cere scrierea ecuațiilor de momente. Se observă din ecuațiile de momente față de punctul de sprijin O , că momentele celor două forțe (active și de rezistență) trebuie să fie egale.

Dacă se notează cu a distanța de la punctul de sprijin O la încărcarea F_r și cu b distanța de la forța activă F_a la punctul de sprijin O (brațele pârghiei), atunci modulele momentelor față de punctul O vor fi:

$$F_r \cdot a = F_a \cdot b \quad (8.12)$$

Raportul F_r/F_a se numește **factor de multiplicare al forței active sau avantaj mecanic al pârghiei (AM)**.

$$AM = \frac{F_r}{F_a} = \frac{b}{a} . \quad (8.13)$$

Se poate observa că pot exista două cazuri: când $AM > 1$ se obține **amplificarea** raportului forțelor / brațelor pârghiei și dacă $AM < 1$ se obține **demultiplicarea** raportului forțelor / brațelor pârghiei.

[3] Fodor G., Cristea A.F., 2019.

8.4 Probleme rezolvate

8.4.1. O macara ridică o grindă din oțel cu masa M . Sistemul de scripeți pe brațul macaralei este compus din patru scripeți. Ce forță motoare este necesară pentru ridicarea grinzii?

Soluție:

Forța care se opune rotirii scripetelui este greutatea așadar:

$$F_r = G = Mg . \quad (1)$$

Există sistemul de scripeți la care fiecare din cei patru scripeți înjumătățesc forța motoare astfel că

$$F_m = G/8 = Mg/8 . \quad (2)$$

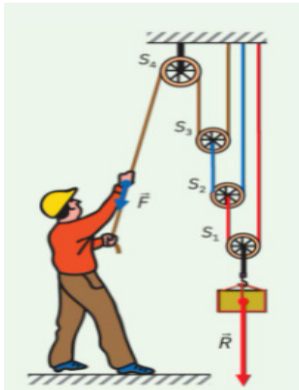


Fig. 8.6 [Google]

8.4.2. În figura 8.6 se cere, să se determine valoarea forței motoare ($F_m = F_{m1}$) cu care operatorul trebuie să ridice o greutate ($R = F_r$) de masă M utilizând sistemul de scripeți dat, scripeții și firul se consideră ideali.

Soluție:

Se analizează fiecare scripete din sistemul de scripeți dat de figura 8.6 astfel:

pentru scripetele S2: tensiunea în fir devine:

$$F_{m1} = Fr / 2 \quad (1)$$

pentru scripetele S3: tensiunea în fir devine:

$$F_{m2} = F_{m1} / 2 \quad (2)$$

pentru scripetele S3: tensiunea în fir devine:

$$F_{m3} = F_{m2} / 2 \quad (3)$$

pentru scripetele S4: tensiunea în fir devine:

$$F_{m4} = F_{m3} / 2 \quad (4)$$

Ținând cont de (2) – (4) și înlocuind în relația (1), se obține valoarea finală a forței cu care operatorul va putea ridica greutatea R :

$$Fm_l = R / 2^n, \text{ unde: } n - \text{este numărul de scripete mobili} \quad (5)$$

respectiv,
$$Fm_l = Mg / 2^3 . \quad (6)$$

8.4.3. Un bloc de piatra (fig. 8.7) cu masa (M) este ridicat cu ajutorul unei bare de lungime (l), sprijinită la distanța a de capătul la care acționează un operator cu o forță motoare $2F_m$. Să se identifice tipul pârghiei și să se calculeze în acest caz forța rezistentă, știindu-se forța motoare și avantajul mecanic al pârghiei.

Soluție:

Se observă că pârghia este de tipul I conform teoriei, iar rezolvarea cerinței se va face prin scrierea ecuației de momente față de polul O :

$$O: 2F_m a = G (l - a) . \quad (1)$$

Se observă că forța rezistentă este G , astfel:

$$F_r = G = 2F_m a / (l - a) . \quad (2)$$

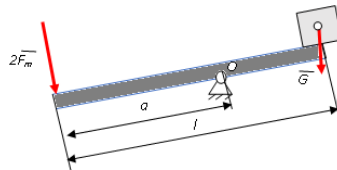


Fig. 8.7

Avantajul mecanic (AM) se poate calcula:

$$AM = F_r / F_m = (2F_m a / (l - a)) / 2F_m \quad (3)$$

respectiv,
$$AM = a / (l - a) \quad (4)$$

8.5 Probleme propuse

8.5.1. Se dă sistemul de scripete considerați ideali din figura 8.8. Se cunoaște forța rezistentă care trebuie învinsă de un operator se cere să se afle forța motoare în acest caz.

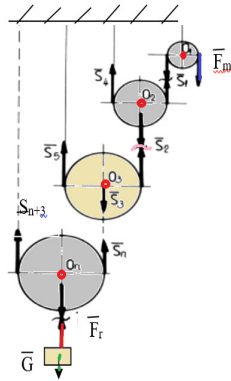


Fig. 8.8

Răspuns:

$$F_m = F_r / 2^n$$

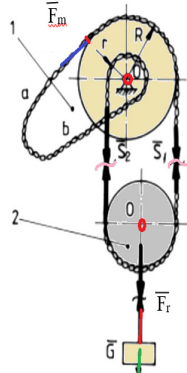


Fig. 8.9

8.5.2. Se dă sistemul diferențial din figura 8.9 format din troliu (1) și scripetele mobil (2) peste care este petrecut un lanț de care se trage cu forța F_m pe cele două ramuri ale sistemului notate a și b . Să se determine forța motoare în acest caz, cunoscându-se toate celelalte date ale problemei conform figurii.

Răspuns:

Indicații: se izolează corpurile și se determină tensiunile din fire (S_1 și S_2) și va rezulta forța motoare cerută:

$$F_m = F_r (R - r) / 2$$

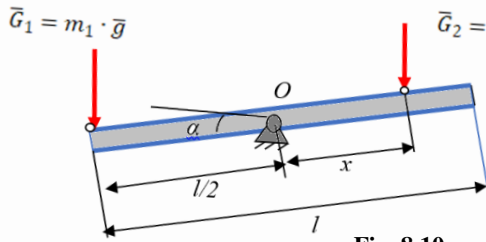


Fig. 8.10

8.5.3. Doi copii unul de masă m_1 și altul de masă m_2 ($m_1 < m_2$) vor să se legene pe un balansoar de lungime l , sprijinit la mijloc (fig. 8.10). Copilul de masă (m_1) se așează chiar la un capăt. La ce distanță x trebuie să se așeze celălalt copil pentru ca balansoarul să stea la orizontală? Se cunoaște

unghiul α .

Răspuns: $x = m_1 l \cos \alpha / 2m_2$

II. CINEMATICĂ

A. MIȘCAREA ÎN RAPORT CU UN SISTEM DE REFERINȚĂ FIX

9. CINEMATICA PUNCTULUI ^[9]

9.1 Considerații teoretice

9.1.1 Introducere

În cadrul cinematicii punctului material se studiază mișcarea în timp a acestuia, fără a lua în considerare cauzele mișcării adică, fără a stabili legătura dintre sistemul de forțe concurente ce acționează asupra punctului și mișcarea acestuia.

Mișcarea unui punct este cunoscută dacă la orice moment (t) se poate determina poziția punctului față de sistemul (reperul) ales. Poziția unui punct este cunoscută în general, dacă se definește vectorul de poziție \vec{r} al punctului față de originea O a sistemului de referință ca funcție de timp astfel:

$$\vec{r} = \vec{r}(t). \quad (9.1)$$

Funcția vectorială (9.1) trebuie să îndeplinească anumite condiții impuse de fenomenul mișcării și anume: să fie *continuă* (drumul parcurs de punctul material nu poate prezenta întreruperi), *uniformă* (drumul parcurs nu se poate ramifica, punctul material neputând ocupa în același moment mai multe poziții distincte în spațiu), *finită în modul și derivabilă*.

9.1.2 Traectoria mișcării

Se numește *traietorie, curba ce reprezintă locul geometric al pozițiilor succesive ale punctului în mișcare*. Aceasta poate fi o curbă plană sau o curbă oarecare din spațiu.

Relațiile matematice care permit determinarea poziției punctului în orice moment (t) ales arbitrar, în intervalul de timp în care are loc mișcarea, poartă numele de *ecuații parametrice ale mișcării*. Fie \vec{r} vectorul de poziție al punctului M față de originea O a unui sistem de referință. În general, acest vector poate fi

definit cu ajutorul a trei funcții scalare depinzând de sistemul de referință. Eliminând timpul între ecuațiile parametrice, se obține expresia traiectoriei.

În general în aplicații, vrem să determinăm traiectoria, viteza și accelerația în diferite sisteme de coordonate care vor fi prezentate în cele ce urmează.

9.1.2.1 Sistemul de coordonate carteziene

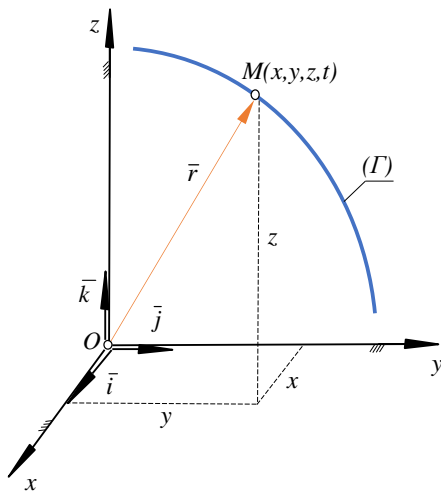


Fig. 9.1

În sistemul $Oxyz$ de coordonate carteziene, presupus fix (fig. 9.1), cele trei funcții scalare care definesc poziția punctului M pe traiectoria (Γ) sunt coordonatele carteziene x, y, z , ale căror valori variază în funcție de timp. Pentru a determina mișcarea punctului M , este necesară cunoașterea *ecuațiilor parametrice ale mișcării* acestuia:

$$x = x(t), \quad y = y(t), \quad z = z(t). \quad (9.2)$$

În cazul în care mișcarea punctului M are loc în plan, alegând sistemul de referință Oxy plasat în planul mișcării, se obțin *ecuațiile parametrice ale mișcării*:

$$x = x(t), \quad y = y(t). \quad (9.3)$$

9.1.2.2 Sistemul de coordonate cilindrice

În sistemul de coordonate cilindrice (fig. 9.2) cele trei funcții scalare care definesc poziția punctului M pe traiectoria (Γ) sunt: raza polară r , unghiul polar θ și cota z , date sub forma:

$$r = r(t), \quad \theta = \theta(t), \quad z = z(t). \quad (9.4)$$

Dacă mișcarea punctului material are loc în plan, se poate adopta un sistem de coordonate polare constituit din polul O și axa polară OA (fig. 9.3). Poziția punctului M pe traiectoria sa plană (Γ) este determinată prin coordonatele polare (r, θ) . *Ecuațiile parametrice ale mișcării* punctului M sunt:

$$r = r(t), \quad \theta = \theta(t). \quad (9.5)$$

Referitor la traiectorie, relația (9.1) reprezintă *ecuația vectorială a traiectoriei*, iar relațiile (9.2), (9.3), (9.4) și (9.5) pot fi considerate ca *ecuații parametrice ale traiectoriei*, parametrul fiind timpul t .

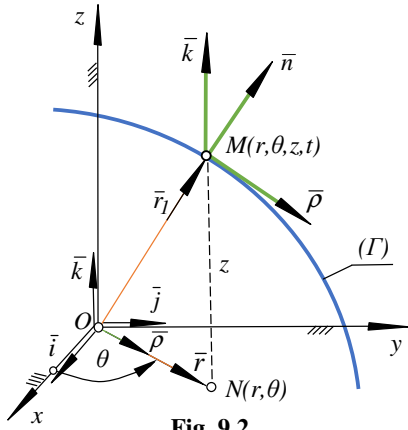


Fig. 9.2

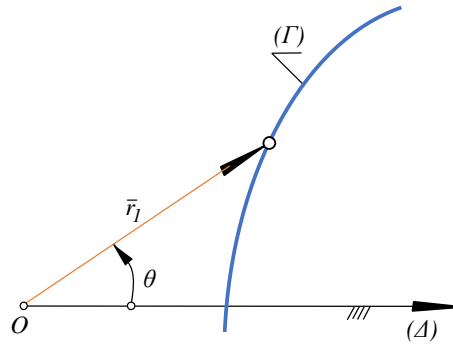


Fig. 9.3

Ecuțiile curbei (Γ) sub formă explicită sau implicită se determină eliminând parametrul (t) din ecuațiile parametrice.

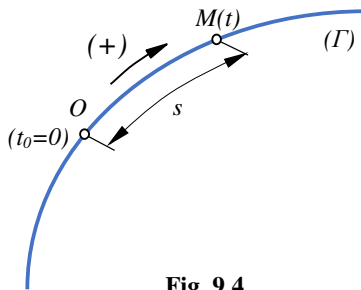


Fig. 9.4

9.1.2.3 Ecuația orară a mișcării

Dacă traiectoria punctului este o curbă continuă, spațiul parcurs de acesta poate fi exprimat printr-o singură funcție scalară de timp. Într-adevăr, alegând pe curba (Γ) un punct arbitrar O (fig. 9.4), punctul M este definit prin cunoașterea arcului $s = OM$. Cum între arcul s și poziția punctului M trebuie să existe o corespondență biunivocă, este necesar să se stabilească pe traiectorie un sens pozitiv de măsurare a arcelor.

După alegerea acestui sens, spațiul parcurs de punct va fi cunoscut dacă se cunoaște legea de variație a arcului (s) în funcție de timpul (t) , adică:

$$s = s(t). \quad (9.6)$$

Această funcție se numește *ecuația orară a mișcării*.

9.1.3 Viteza

Se consideră un punct material M , aflat în mișcare pe traiectoria (Γ) (fig. 9.5). Mișcarea este înregistrată față de sistemul cartezian de referință fix $Oxyz$. Fie două poziții M și M_1 ale punctului mobil pe traiectoria (Γ) corespunzătoare momentelor (t) și ($t+\Delta t$), notând cu (Δt) un interval de timp finit, dar foarte mic. Vectorii de poziție în raport cu originea O a sistemului cartezian care definesc pozițiile M și M_1 sunt \vec{r} și $\vec{r} + \Delta\vec{r}$, $\Delta\vec{r}$ reprezentând variația vectorului de poziție \vec{r} în intervalul de timp Δt .

Se numește *viteză medie* a punctului caracteristic M , corespunzătoare momentului (t) și intervalului de timp Δt , expresia:

$$\bar{v}_m = \frac{\Delta\vec{r}}{\Delta t}. \quad (9.7)$$

Suportul vitezei medii reprezintă o coardă MM_1 pentru curba (Γ). Limita către care tinde viteza medie atunci când intervalul de timp Δt tinde către zero se numește *viteză instantanee* a punctului mobil M , corespunzătoare momentului (t), ea având expresia:

$$\bar{v} = \lim_{\Delta t \rightarrow 0} \frac{\Delta\vec{r}}{\Delta t} = \frac{d\vec{r}}{dt} = \dot{\vec{r}}. \quad (9.8)$$

Caracteristicile vectorului viteză instantanee \bar{v} sunt următoarele:

- *punctul de aplicație*: al vectorului viteză instantanee este punctul M ;
- *suportul/direcția*: este tangenta construită în punctul M la traiectoria curbilinie (Γ);
- *sensul*: vectorului viteză instantanee coincide cu sensul de mișcare al punctului M pe traiectoria sa ;
- *modulul*: vectorului viteză instantanee se determină derivând în raport cu timpul ecuația orară a mișcării (9.6).

Pentru a demonstra aceasta se alege o origine O_1 a spațiului pe traiectoria (Γ), notând cu (s) distanța măsurată pe traiectorie de la originea O_1 până la poziția pe care o ocupă punctul M la momentul (t).

Se notează cu $\bar{\tau}_1$ versorul vectorului viteză medie \bar{v}_m și cu $\bar{\tau}$ versorul vectorului viteză instantanee \bar{v} astfel încât, se pot scrie relațiile:

$$\bar{v} = v_m \bar{\tau}_1, \quad \bar{v} = v \bar{\tau}. \quad (9.9)$$

Relația (9.8) devine:

[9] Ispas, V., Pop, A. F., 2009.

$$\bar{v} = v\bar{\tau} = \dot{s}\bar{\tau}, \quad (9.10)$$

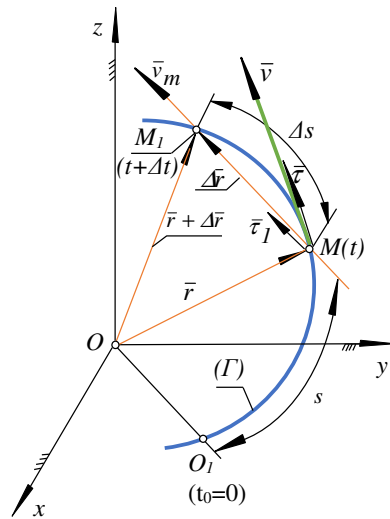


Fig. 9.5

astfel încât, modulul vitezei instantanee v devine:

$$v = \dot{s}. \quad (9.11)$$

Din relația (9.8) rezultă că, *viteza instantanee* \bar{v} a unui punct material este dată de derivata vectorială de ordinul întâi a funcției vectoriale de timp $\bar{r} = \bar{r}(t)$ în raport cu timpul, iar din relația (9.10) rezultă că vectorul viteză instantanee este orientat după tangenta la traiectorie în sensul mișcării punctului, mărimea sa fiind dată de prima derivată în raport cu timpul a ecuației orare a mișcării $s=s(t)$, conform cu relația (9.11).

Unitatea de măsură a vitezei în sistemul internațional (SI) este metrul/secundă (m/s).

9.1.4 Accelația

Fie un punct M aflat în mișcare pe traiectoria (Γ) , (fig. 9.6). Punctul este surprins în pozițiile M și M_1 la momentele (t) și $(t+\Delta t)$, având viteza instantanee \vec{v} și respectiv $\vec{v} + \Delta\vec{v}$. Se transpun vectorii \vec{v} și $\vec{v} + \Delta\vec{v}$ cu punctul de aplicație în originea O a sistemului cartezian de referință $Oxyz$ și se trasează vectorul $\Delta\vec{v}$ ce reprezintă variația vectorială a vectorului viteză instantanee \vec{v} în intervalul de timp (Δt) .

Raportul dintre variația vectorului $\Delta\vec{v}$ a vitezei instantanee și intervalul de timp Δt se numește *acelația medie*:

$$\vec{a}_m = \frac{\Delta\vec{v}}{\Delta t} . \quad (9.12)$$

Limita către care tinde acelația medie atunci când intervalul de timp (Δt) tinde către zero, poartă numele de *acelație instantanee* corespunzătoare momentului (t) , ea având expresia:

$$\vec{a} = \lim_{\Delta t \rightarrow 0} \frac{\Delta\vec{v}}{\Delta t} = \frac{d\vec{v}}{dt} = \dot{\vec{v}} . \quad (9.13)$$

Având în vedere relațiile (9.8) și (9.12), se poate scrie:

$$\vec{a} = \dot{\vec{v}} = \ddot{\vec{r}} . \quad (9.14)$$

Conform relației (9.14), *acelația instantanee în mișcarea curbilinie a unui punct material este egală cu derivata vectorială de ordinul întâi în raport cu timpul a vectorului viteză instantanee sau cu derivata vectorială de ordinul doi în raport cu timpul a funcției vectoriale de timp $\vec{r} = \vec{r}(t)$.*

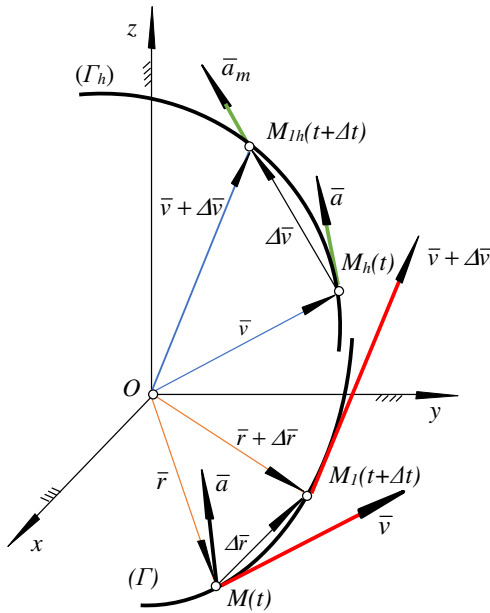


Fig. 9.6

Caracteristicile vectorului accelerație instantanee \bar{a} sunt:

- *punctul de aplicație*: al vectorului accelerație instantanee este în punctul M ;
- *suportul său/direcția*: este conținut în planul osculator al traiectoriei (Γ) dus în punctul M (plan definit de punctul M și două puncte M' și M'' plasate pe traiectoria (Γ), infinit apropiate de punctul M);
- *sensul*: vectorului accelerație instantanee este dirijat în concavitatea traiectoriei (Γ);
- *modulul*: vectorului accelerație instantanee se va determina în paragrafele următoare cu ajutorul componentelor înregistrate față de diferite sisteme de referință.

Unitatea de măsură a accelerației în sistemul internațional (SI) este *metrul pe secundă la pătrat* (m/s^2).

9.1.5 Componentele vitezei și accelerației instantanee în coordonate carteziene la mișcarea curbilinie

În figura 9.7 este reprezentat un punct M în mișcare pe o traiectorie curbilinie (Γ), punct definit prin vectorul de poziție \bar{r} în raport cu originea O a sistemului cartezian de referință fix $Oxyz$ și având versorii axelor $\bar{i}, \bar{j}, \bar{k}$.

Cunoscând ecuațiile parametrice ale traiectoriei înregistrate față de sistemul cartezian fix $Oxyz$: $x = x(t)$, $y = y(t)$, $z = z(t)$, se vor determina componentele carteziene, modulele și direcțiile vitezei și accelerației instantanee.

Întrucât,

$$\bar{r} = x\bar{i} + y\bar{j} + z\bar{k} \quad (9.15)$$

din relația (9.8) rezultă viteza instantanee:

$$\bar{v} = \dot{x}\bar{i} + \dot{y}\bar{j} + \dot{z}\bar{k} \quad (9.16)$$

deoarece $\dot{\bar{i}} = \dot{\bar{j}} = \dot{\bar{k}} = 0$, sistemul $Oxyz$ fiind fix.

Utilizând notațiile din figura 9.7 și având în vedere relația (9.16) rezultă *componentele carteziene ale vitezei instantanee*:

$$v_x = \dot{x}, v_y = \dot{y}, v_z = \dot{z} . \quad (9.17)$$

Modulul și direcția vectorului viteză instantanee, având în vedere relația (9.17) și figura 9.7, sunt date de relațiile (9.18-9.19):

$$v = \sqrt{\dot{x}^2 + \dot{y}^2 + \dot{z}^2} , \quad (9.18)$$

$$\cos \alpha_1 = v_x/v, \quad \cos \beta_1 = v_y/v, \quad \cos \gamma_1 = v_z/v. \quad (9.19)$$

Accelerația instantanee \bar{a} , conform relațiilor (9.14) și (9.16), are expresia:

$$\bar{a} = \ddot{x}\bar{i} + \ddot{y}\bar{j} + \ddot{z}\bar{k}. \quad (9.20)$$

Utilizând notațiile din figura 9.7 și relația (9.20), rezultă *componentele carteziene ale accelerației instantanee*:

$$a_x = \ddot{x}, \quad a_y = \ddot{y}, \quad a_z = \ddot{z}. \quad (9.21)$$

Modulul și direcția accelerației instantanee \bar{a} , având în vedere relațiile (9.21) și figura 9.7, sunt date de expresiile:

$$a = \sqrt{\ddot{x}^2 + \ddot{y}^2 + \ddot{z}^2}, \quad (9.22)$$

$$\cos \alpha_2 = a_x/a, \quad \cos \beta_2 = a_y/a, \quad \cos \gamma_2 = a_z/a. \quad (9.23)$$

În relațiile (9.19) și (9.23) s-au notat prin $\alpha_1, \beta_1, \gamma_1$, respectiv, $\alpha_2, \beta_2, \gamma_2$, unghiurile pe care vectorii \bar{v} și \bar{a} le formează cu axele sistemului cartezian de referință fix, $Oxyz$.

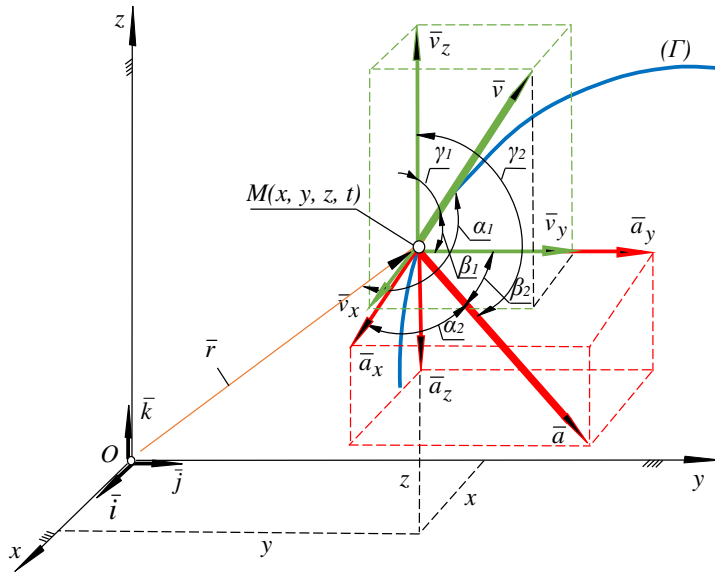


Fig. 9.7

9.1.6 Componentele vitezei și accelerației instantanee în coordonate polare la mișcarea curbilinie

Sistemul de coordonate polare este un sistem plan, astfel că poate fi utilizat numai pentru un punct material care are o traiectorie plană.

Fie un punct mobil M care descrie curba (Γ) în planul fix (π) . Se consideră sistemul cartezian mobil $M\rho n$ având originea plasată în punctul mobil M . Axa polară OM pivotează în planul (π) , în jurul polului fix O , iar axa normală Mn este perpendiculară în M pe OM . Coordonatele polare ale punctului sunt r și θ (fig. 9.8). Cunoscând ecuațiile polare date de: $r = r(t)$; $\theta = \theta(t)$, se vor determina componentele, modulele și direcțiile vectorilor viteză și accelerație instantanee.

Notând cu $\bar{\rho}$ și \bar{n} versorii axelor reperului cartezian mobil $M\rho n$, vectorul de poziție \bar{r} ce definește punctul M în raport cu polul fix O are expresia:

$$\bar{r} = r\bar{\rho} .$$

Se observă că, în timpul mișcării versorii $\bar{\rho}$ și \bar{n} își schimbă direcția deoarece unghiul θ este variabil. Din această cauză, spre deosebire de versorii $\bar{i}, \bar{j}, \bar{k}$ ai axelor sistemului cartezian fix, derivatele în raport cu timpul ale versorilor $\bar{\rho}$ și \bar{n} sunt în general, diferite de zero. Pentru a calcula aceste derivate se exprimă $\bar{\rho}$ și \bar{n} în funcție de proiecțiile lor pe axele fixe Ox, Oy și de versorii \bar{i} și \bar{j} (fig. 9.8).

$$\bar{\rho} = \cos\theta \bar{i} + \sin\theta \bar{j}, \quad \bar{n} = -\sin\theta \bar{i} + \cos\theta \bar{j} . \quad (9.24)$$

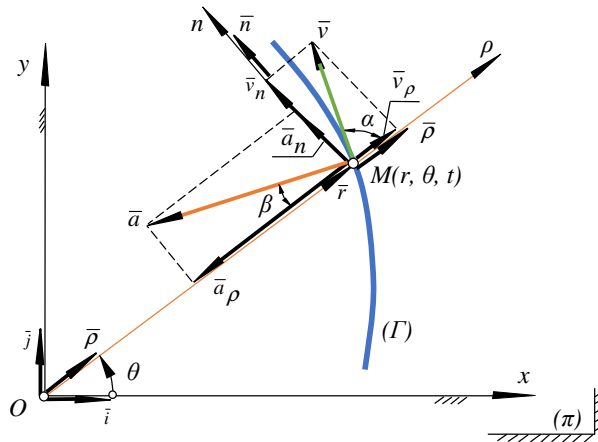


Fig. 9.8

Derivând relațiile (9.24) în raport cu timpul și având în vedere că $\dot{\bar{i}} = \dot{\bar{j}} = 0$, rezultă:

$$\dot{\bar{\rho}} = -\sin \theta \dot{\theta} \bar{i} + \cos \theta \dot{\theta} \bar{j} = \dot{\theta} (-\sin \theta \bar{i} + \cos \theta \bar{j}) = \dot{\theta} \bar{n} , \quad (9.25)$$

$$\dot{\bar{n}} = -\cos \theta \dot{\theta} \bar{i} - \sin \theta \dot{\theta} \bar{j} = -\dot{\theta} (\cos \theta \bar{i} + \sin \theta \bar{j}) = -\dot{\theta} \bar{\rho} . \quad (9.26)$$

Viteza se obține prin derivare în raport cu timpul a vectorului de poziție \bar{r} și ținând seama de relația (9.25):

$$\bar{v} = \dot{\bar{r}} = \dot{r} \bar{\rho} + r \dot{\bar{\rho}} = \dot{r} \bar{\rho} + r \dot{\theta} \bar{n} . \quad (9.27)$$

Utilizând notațiile din figura 9.8, se poate scrie:

$$\bar{v} = v_{\rho} \bar{\rho} + v_n \bar{n} . \quad (9.28)$$

Din relațiile (9.27) și (9.28) rezultă *componentele polare ale vitezei instantanee*:

$$v_{\rho} = \dot{r} , \quad v_n = r \dot{\theta} . \quad (9.29)$$

Modulul și direcția vitezei instantanee se obțin utilizând relațiile (9.29) și figura 9.8. Astfel,

$$v = \sqrt{\dot{r}^2 + r^2 \dot{\theta}^2} , \quad \operatorname{tg} \alpha = \frac{r \dot{\theta}}{\dot{r}} . \quad (9.30)$$

Accelerația instantanee se obține derivând în raport cu timpul expresia (9.27) a vitezei. Astfel,

$$\bar{a} = \ddot{r} \bar{\rho} + \dot{r} \dot{\bar{\rho}} + \dot{r} \dot{\theta} \bar{n} + r \ddot{\theta} \bar{n} + r \dot{\theta} \dot{\bar{n}} . \quad (9.31)$$

Înlocuind în relația (9.31) pe $\dot{\bar{\rho}}$ și $\dot{\bar{n}}$ cu expresiile (9.25) și (9.26), se obține:

$$\bar{a} = (\ddot{r} - r \dot{\theta}^2) \bar{\rho} + (r \ddot{\theta} + 2 \dot{r} \dot{\theta}) \bar{n} . \quad (9.32)$$

Utilizând notațiile din figura 9.8, se poate scrie:

$$\bar{a} = a_{\rho} \bar{\rho} + a_n \bar{n} . \quad (9.33)$$

Din relațiile (9.32) și (9.33) rezultă *componentele polare ale accelerației instantanee*:

$$a_{\rho} = \ddot{r} - r \dot{\theta}^2 , \quad a_n = r \ddot{\theta} + 2 \dot{r} \dot{\theta} . \quad (9.34)$$

Modulul și direcția accelerației instantanee se obțin utilizând relațiile (9.34) și figura 9.8. Astfel,

$$a = \sqrt{(\ddot{r} - r \dot{\theta}^2)^2 + (r \ddot{\theta} + 2 \dot{r} \dot{\theta})^2} , \quad \operatorname{tg} \beta = \frac{r \ddot{\theta} + 2 \dot{r} \dot{\theta}}{\ddot{r} - r \dot{\theta}^2} . \quad (9.35)$$

9.1.7 Componentele vitezei și accelerației instantanee în coordonate cilindrice în mișcarea curbilinie

În sistemul de coordonate cilindrice (fig. 9.9) vectorul de poziție \vec{r}_i al punctului M în raport cu polul O este definit de coordonatele polare r și θ în planul xOy precum și de cota z .

Pentru a cunoaște mișcarea punctului M trebuie cunoscute funcțiile de timp:

$$r = r(t), \theta = \theta(t), z = z(t). \quad (9.36)$$

Având în vedere (9.16), (9.21), (9.29) și (9.34), se pot preciza *componentele cilindrice ale vitezei și accelerației instantanee* la mișcarea curbilinie. Astfel,

$$\begin{aligned} v_\rho &= \dot{r}, & v_n &= r\dot{\theta}, & v_z &= \dot{z}, \\ a_\rho &= \ddot{r} - r\dot{\theta}^2, & a_n &= r\ddot{\theta} + 2\dot{r}\dot{\theta}, & a_z &= \ddot{z}. \end{aligned} \quad (9.37)$$

În conformitate cu figura 9.9 și relațiile (9.37), *modulele și direcțiile vectorilor \vec{v} și \vec{a}* se pot determina după cum urmează:

$$v = \sqrt{\dot{r}^2 + r^2\dot{\theta}^2 + \dot{z}^2}, \quad \widehat{(\vec{v}, \vec{\rho})} = \frac{\dot{r}}{v}, \quad \widehat{(\vec{v}, \vec{n})} = \frac{r\dot{\theta}}{v}, \quad \widehat{(\vec{v}, \vec{k})} = \frac{\dot{z}}{v}, \quad (9.38)$$

$$a = \sqrt{(\ddot{r} - r\dot{\theta}^2)^2 + (r\ddot{\theta} + 2\dot{r}\dot{\theta})^2 + \ddot{z}^2},$$

$$\widehat{(\vec{a}, \vec{\rho})} = \frac{\ddot{r} - r\dot{\theta}^2}{a}, \quad \widehat{(\vec{a}, \vec{n})} = \frac{r\ddot{\theta} + 2\dot{r}\dot{\theta}}{a}, \quad \widehat{(\vec{a}, \vec{k})} = \frac{\ddot{z}}{a}.$$

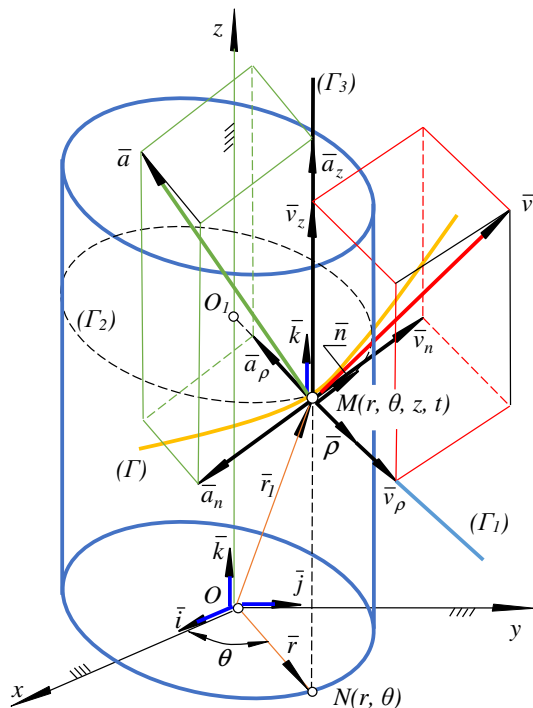


Fig. 9.9

9.1.8 Componentele vitezei și accelerației instantanee pe axele triedrului Frenét la mișcarea curbilinie

Se consideră un punct M în mișcare în spațiul tridimensional, pe traiectoria curbilinie (Γ) . În figura 9.10 pe lângă sistemul de referință cartezian fix $Oxyz$, s-a adoptat și un sistem mobil $MTNB$, având originea plasată permanent în punctul mobil M . Sistemul mobil $MTNB$ denumit *triedrul intrinsec de referință al lui Frenét*, are următoarele axe:

- *tangenta MT la curbă* orientată pozitiv în sensul de creștere al arcului s al cărei versor se notează cu $\bar{\tau}$;
- *normala principală MN* , adică normala din planul osculator al curbei orientată pozitiv spre centrul de curbură K , al cărei versor se notează cu $\bar{\varrho}$;

- *binormala* MB , adică normala pe planul format de versorii $\vec{\tau}$ și $\vec{\vartheta}$ (planul osculator), al cărei versor se notează cu $\vec{\beta}$ și se alege astfel încât, versorii $\vec{\tau}, \vec{\nu}, \vec{\beta}$ luați în această ordine, să formeze un triedru drept orientat.

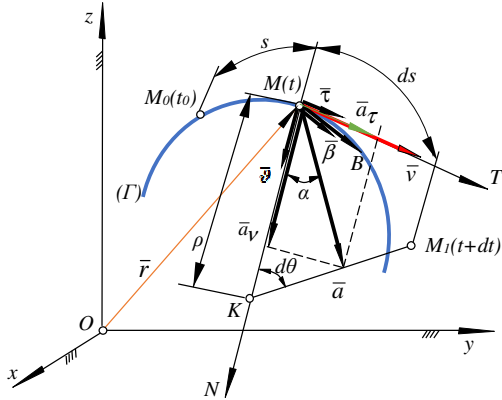


Fig. 9.10

Din modul cum a fost definit sistemul intrinsec al lui Frenét, rezultă că vectorul vitezei instantanee \vec{v} al punctului M are permanent ca suport axa tangentă MT și același sens cu această axă.

Componentele intrinseci ale vitezei \vec{v} pe axele sistemului mobil $MTNB$, având în vedere figura 9.10, au expresiile:

$$v_{\tau} = v = \dot{s}, \quad v_{\nu} = 0, \quad v_{\beta} = 0. \quad (9.39)$$

Rezultă că *modulul vitezei* se determină derivând în raport cu timpul ecuația orară a mișcării $s = s(t)$, fapt cunoscut de la definirea vitezei la mișcarea curbilinie a punctului material.

Derivând în raport cu timpul expresia $\vec{v} = v\vec{\tau} = \dot{s}\vec{\tau}$, se va obține accelerația punctului M astfel:

$$\vec{a} = \dot{\vec{v}} = \dot{v}\vec{\tau} + v\dot{\vec{\tau}}. \quad (9.40)$$

Dar,

$$\dot{\vec{\tau}} = \dot{\tau}|\vec{\tau}| + \tau\dot{\theta}\vec{\nu}, \quad (9.41)$$

întrucât derivata în raport cu un scalar a unui vector de modul constant și direcție variabilă este egală cu un vector normal pe vectorul dat și luat în sensul rotației lui,

având modulul egal cu produsul dintre modulul vectorului și derivata unghiului de rotație în raport cu parametrul scalar:

$$|\dot{\vec{\tau}}| = |\vec{\tau}| \dot{\theta} = \dot{\theta}. \quad (9.42)$$

Din figura 9.10 rezultă:

$$ds = \rho d\theta, \quad \frac{ds}{dt} = \rho \frac{d\theta}{dt}, \quad \dot{s} = \rho \dot{\theta}, \quad \dot{\theta} = \frac{1}{\rho} \dot{s} = \frac{1}{\rho} v. \quad (9.43)$$

Relația (9.40), având în vedere (9.41) și (9.43), devine:

$$\vec{a} = \dot{v} \vec{\tau} + \frac{v^2}{\rho} \vec{\nu}. \quad (9.44)$$

Pe de altă parte, se poate scrie conform figurii:

$$\vec{a} = a_{\tau} \vec{\tau} + a_{\nu} \vec{\nu} + a_{\beta} \vec{\beta}. \quad (9.45)$$

Din relațiile (9.44) și (9.45) se obțin *componentele intrinseci ale accelerației instantanee*,

$$a_{\tau} = \dot{v}, \quad a_{\nu} = \frac{v^2}{\rho}, \quad a_{\beta} = 0. \quad (9.46)$$

Întrucât $a_{\beta} = 0$, rezultă că *vectorul accelerație este conținut în planul osculator al traiectoriei (Γ) corespunzător punctului M fiind dirijat în concavitatea curbei* (fig. 9.10).

Modulul și direcția accelerației având în vedere expresiile (9.46) și figura 9.10, se determină cu relațiile:

$$a = \sqrt{\dot{v}^2 + \frac{v^4}{\rho^2}}, \quad \operatorname{tg} \alpha = \frac{\rho \dot{v}}{v^2}. \quad (9.47)$$

Raza de curbură a traiectoriei (Γ) se poate deduce din prima relație (9.47).

Componenta \vec{a}_{τ} a accelerației se numește *accelerație tangențială* și aceasta poate fi pozitivă sau negativă după cum derivata \dot{v} a vitezei este cu semnul “+” sau “-”.

Componenta \vec{a}_{ν} a accelerației se numește *accelerație normală* și este întotdeauna centripetă. În cazul particular în care, componenta \vec{a}_{τ} este egală cu zero, mișcarea punctului pe curba (Γ) este uniformă, modulul vitezei \bar{v} rămânând constant în timpul mișcării.

De remarcat că, în cazul unei mișcări curbilunii ($\frac{1}{\rho} \neq 0$), iar accelerația \bar{a} nu este nulă, deoarece:

$$a_v = \frac{v^2}{\rho} \neq 0. \quad (9.48)$$

Aceasta se explică prin faptul că *accelerația normală \bar{a}_v se datorează variației direcției vitezei și nu variației modulului acesteia*, ca și în cazul accelerației tangențiale.

Dacă $\bar{a}_v = 0$, mișcarea este rectilinie.

Singura mișcare în care accelerația punctului este nulă, este mișcarea rectilinie și uniformă (pentru $\bar{a}_v = 0$, se obține $1/\rho = 0$ deci mișcarea este rectilinie; pentru $\bar{a}_t = 0$ se obține $v = \text{const.}$, deci mișcarea este uniformă).

9.1.9 Viteza și accelerația areolară

Fie un punct material M în mișcare pe traiectoria plană (Γ) (fig. 9.11), surprins în pozițiile M_1 la momentul (t), respectiv M_2 la momentul $t+\Delta t$. Mișcarea punctului este înregistrată față de un sistem de referință cartezian fix $Oxyz$, ea având loc în planul fix Oxy . Vectorii de poziție în raport cu originea O ai punctelor M_1 și M_2 sunt \bar{r} și $\bar{r} + \Delta\bar{r}$. Aria suprafeței OM_1M_2 poate fi aproximată ca fiind egală cu aria triunghiului OM_1M_2 , dacă intervalul de timp Δt este foarte mic.

Mărimea orientată $\frac{1}{2}\bar{r} \times \Delta\bar{r}$ este egală ca modul cu aria triunghiului OM_1M_2 și se numește *arie orientată* a triunghiului. *Limita către care tinde raportul dintre aria orientată considerată și intervalul de timp Δt , când acest interval de timp tinde către zero, poartă denumirea de viteză areolară.*

Se notează:

$$\bar{\Omega} = \lim_{\Delta t \rightarrow 0} \frac{1}{2} \frac{\bar{r} \times \Delta\bar{r}}{\Delta t} = \frac{1}{2} \bar{r} \times \bar{v}. \quad (9.49)$$

Viteza areolară este un vector perpendicular pe planul vectorilor \bar{r} și \bar{v} (planul traiectoriei), având modulul:

$$\Omega = \frac{1}{2} |\bar{r}| |\bar{v}| \sin(\widehat{\bar{r}\bar{v}}) = \frac{1}{2} r v_n = \frac{1}{2} r^2 \dot{\theta}. \quad (9.50)$$

Viteza areolară este o mărime care se măsoară în sistemul internațional de măsură (SI) în *metru la pătrat pe secundă* [m^2/s].

Derivata în raport cu timpul a vitezei areolare se numește **acelerație areolară** și are expresia:

$$\bar{W} = \dot{\bar{\Omega}} = \frac{d}{dt} \left(\frac{1}{2} \bar{r} \times \bar{v} \right) = \frac{1}{2} \bar{r} \times \bar{a} . \quad (9.51)$$

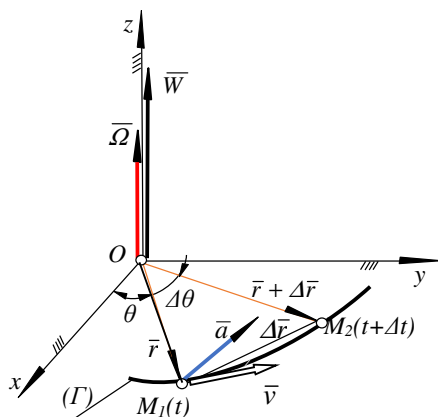


Fig. 9.11

Accelerația areolară este un vector perpendicular pe planul vectorilor \bar{r} și \bar{a} (planul traiectoriei), având modulul:

$$W = \frac{1}{2} |\bar{r}| |\bar{a}| \sin(\widehat{\bar{r}\bar{a}}) = \frac{1}{2} r a_n = \frac{1}{2} r (r\ddot{\theta} + 2\dot{r}\dot{\theta}) . \quad (9.52)$$

Unitatea de măsură a accelerației areolare în sistemul de măsură internațional (SI) este *metrul pătrat pe secundă la pătrat* [m^2/s^2].

9.1.10 Mișcarea circulară

Fie un punct material M în mișcare pe o traiectorie circulară cu centrul în O și rază R . La momentul $t_0 = 0$ mobilul se găsește în poziția M_0 pe axa Ox . După timpul (t) mobilul se găsește în poziția M definită de unghiul $\theta = \sphericalangle M_0OM$. Mișcarea punctului M pe traiectoria (Γ) este descrisă de ecuația:

$$\theta = \theta(t). \quad (9.53)$$

Relația (9.53) exprimă legea de variație în funcție de timp a unghiului de rotație θ , a razei OM . La momentul $(t + \Delta t)$ punctul se găsește în poziția M_1 , unghiul măsurat de raza OM în intervalul de timp (Δt) fiind $\Delta\theta = \sphericalangle MOM_1$ (fig. 9.12).

Se numește **viteză unghiulară medie** raportul:

$$\omega_m = \frac{\Delta\theta}{\Delta t}. \quad (9.54)$$

Trecând la limită și făcând pe Δt să tindă către zero, se obține **viteza unghiulară instantanee**:

$$\omega = \lim_{\Delta t \rightarrow 0} \frac{\Delta\theta}{\Delta t} = \frac{d\theta}{dt} = \dot{\theta}. \quad (9.55)$$

Fie ω și $\omega + \Delta\omega$ valorile vitezei unghiulare la momentele (t) și $(t + \Delta t)$ (fig. 9.12), notând prin $\Delta\omega$ variația pe care o are viteza unghiulară ω în intervalul de timp Δt .

$$\varepsilon_m = \frac{\Delta\omega}{\Delta t}. \quad (9.56)$$

Raportul poartă numele de **acelerație unghiulară medie** corespunzătoare momentului (t) și intervalului de timp Δt . Trecând la limită și făcând pe Δt să tindă către zero, se obține **acelerația unghiulară instantanee**,

$$\varepsilon = \lim_{\Delta t \rightarrow 0} \frac{\Delta\omega}{\Delta t} = \frac{d\omega}{dt} = \dot{\omega}. \quad (9.57)$$

Din relațiile (9.55) și (9.57) rezultă:

$$\varepsilon = \dot{\omega} = \ddot{\theta}. \quad (9.58)$$

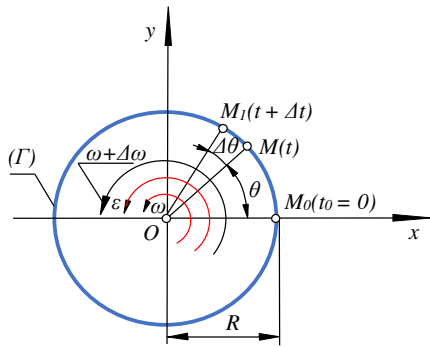


Fig. 9.12

Cunoscând legea de mișcare (9.53) a punctului M pe traiectoria circulară (Γ), cu ajutorul relației (9.58) se va determina în orice moment $0 \leq t \leq t_I$ valorile vitezei unghiulare și a accelerației unghiulare instantanee.

Unitățile de măsură ale vitezei și accelerației unghiulare în sistemul internațional de măsură (SI) sunt *radian pe secundă* [rad/s] sau [$1/s$] și *radian pe secundă la pătrat* [rad/s^2] sau [$1/s^2$].

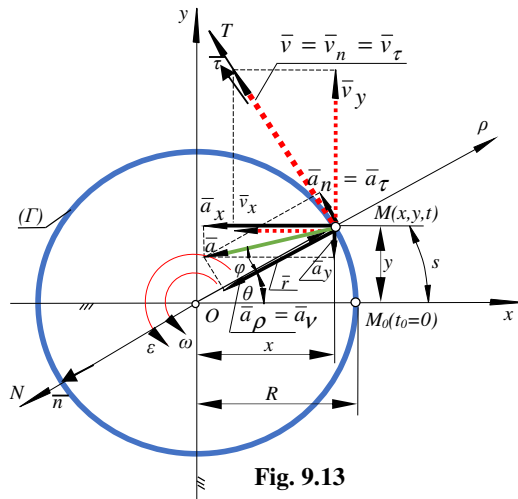


Fig. 9.13

În figura 9.13 a fost reprezentat un punct material M în mișcare pe traiectoria circulară (Γ), de rază R și trei sisteme de referință: sistemul de referință cartezian fix Oxy , sistemul mobil Mpn și sistemul mobil MTN . Fie ω și ϵ , respectiv, viteza și accelerația unghiulară corespunzătoare mișcării variate a punctului M pe traiectoria (Γ). Se pune problema să se găsească expresiile componentelor vitezei \bar{v} și accelerației \bar{a} ale punctului M pe axele celor trei sisteme de referință.

Utilizând notațiile din figura 9.13, ecuațiile carteziene ale traiectoriei sunt:

$$\begin{aligned}x &= R \cos \theta \\y &= R \sin \theta.\end{aligned}\quad (9.59)$$

Expresiile componentelor carteziene ale vitezei și accelerației instantanee ale punctului M pe axele sistemului cartezian de referință fix Oxy , conform cu (9.17), (9.21), au forma:

$$\begin{aligned}v_x = \dot{x} &= -R\dot{\theta} \sin \theta = -\omega y, \\v_y = \dot{y} &= R\dot{\theta} \cos \theta = \omega x,\end{aligned}\quad (9.60)$$

$$\begin{aligned}a_x = \ddot{x} &= -R\ddot{\theta} \sin \theta - R\dot{\theta}^2 \cos \theta = -\varepsilon y - \omega^2 x, \\a_y = \ddot{y} &= R\ddot{\theta} \cos \theta - R\dot{\theta}^2 \sin \theta = \varepsilon x - \omega^2 y.\end{aligned}\quad (9.61)$$

Modulele vectorilor viteză și accelerație, având în vedere (9.60) și (9.61), au expresiile:

$$v = \omega R, \quad a = R\sqrt{\omega^4 + \varepsilon^2}.\quad (9.62)$$

În același mod, folosind relațiile (9.29) și (9.34) și ținând seama de relațiile (9.55) și (9.57), se obțin expresiile componentelor vitezei și accelerației instantanee ale punctului M pe axele sistemului de referință $M\rho n$.

$$v_\rho = 0, \quad v_n = v = \omega R, \quad (9.63)$$

$$a_\rho = -\omega^2 R, \quad a_n = \varepsilon R.\quad (9.64)$$

Modulele vectorilor viteză și accelerație, conform cu (9.63) și (9.64), au expresiile:

$$v = \omega R, \quad a = R\sqrt{\omega^4 + \varepsilon^2}.\quad (9.65)$$

Utilizând ecuația orară a mișcării $s = R\theta$, se obțin cu ajutorul relațiilor (9.39) și (9.46), expresiile componentelor vitezei și accelerației în sistemul intrinsec MTN astfel:

$$v_\tau = \dot{s} = R\dot{\theta} = \omega R, \quad v_\nu = 0, \quad v_\beta = 0, \quad (9.66)$$

$$a_\tau = \dot{v} = R\ddot{\theta} = \varepsilon R, \quad a_\nu = \frac{v^2}{\rho} = \frac{\omega^2 R^2}{R} = \omega^2 R, \quad a_\beta = 0.\quad (9.67)$$

Expresiile modulele vectorilor viteză și accelerație instantanee, precum și direcția acestuia, se obțin utilizând relațiile (9.66) și (9.67):

$$v = \omega R, \quad a = R\sqrt{\omega^4 + \varepsilon^2}, \quad \operatorname{tg} \theta = \frac{a_t}{a_n} = \frac{\varepsilon}{\omega^2}, \quad (9.68)$$

Analizând relațiile (9.62), (9.65) și (9.68), se constată că indiferent de sistemul de referință la care este raportată mișcarea, mărimile vectorilor viteză și accelerație în cazul mișcării circulare a punctului material sunt aceleași.

9.1.11 Mișcări particulare ale punctului

9.1.11.1 Mișcarea rectilinie

9.1.11.1.1 Mișcarea rectilinie și uniformă

*Mișcarea unui punct material este **rectilinie și uniformă** dacă punctul se deplasează pe o linie dreaptă astfel încât, valoarea vitezei să rămână constantă în timp.* Utilizând notațiile din figurile 9.13 și 9.14 și ținând seama că $\dot{s} = v = v_0$, se pot scrie relațiile ce reprezintă legile de variație ale spațiului, vitezei și accelerației în funcție de timp:

$$s = v_0 t + s_0, \quad v = v_0 = \text{const.}, \quad a = a_0 = 0. \quad (9.69)$$

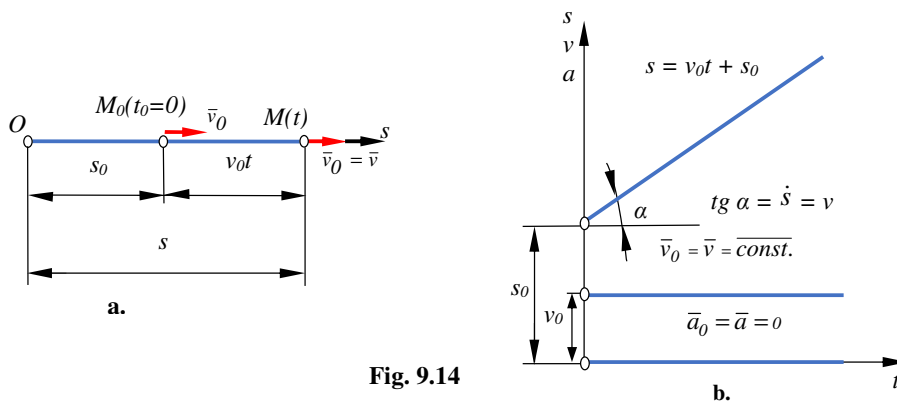


Fig. 9.14

În figura 9.14 au fost trasate curbele de variație ale spațiului, vitezei și accelerației în funcție de timp. Pentru a trece de la mișcarea curbilinie la mișcarea rectilinie a punctului, raza de curbură ρ a traiectoriei trebuie să aibă valoarea infinit de mare.

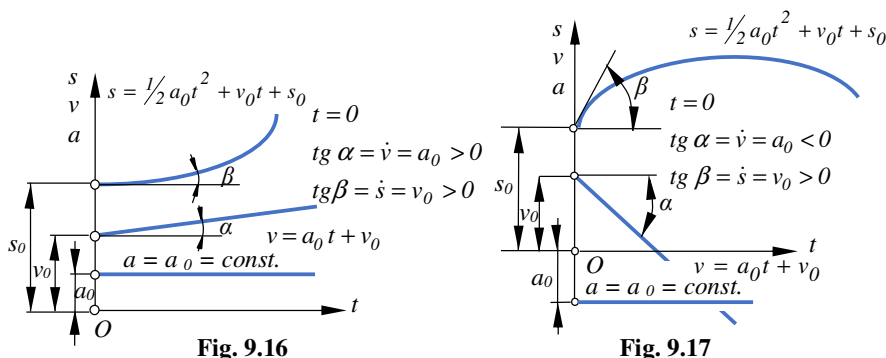
9.1.11.1.2 Mișcarea rectilinie și uniform variată

Un punct material are o mișcare rectilinie uniform variată dacă se deplasează pe o dreaptă astfel încât valoarea accelerației sale să rămână constantă în timp.

Utilizând notațiile din figura 9.15 și ținând seama că $\ddot{s} = a = a_0$, se scriu relațiile ce reprezintă legile de variație ale spațiului, vitezei și accelerației în funcție de timp:

$$s = \frac{1}{2} a_0 t^2 + v_0 t + s_0, \quad v = a_0 t + v_0, \quad a = a_0 = \text{const.} \quad (9.70)$$

Alegând un sistem de referință și având variabila (t) pe abscisă, respectiv pe ordonată funcțiile s , \bar{v} și \bar{a} și reprezentând grafic aceste funcții, se obțin diagramele mișcării (fig. 9.16).



Mișcările uniform variate pot fi *accelerate* sau *întârziate*.

O mișcare uniform variată este accelerată dacă mărimile vitezei și accelerației au același semn. În cazul în care semnele sunt diferite, mișcarea se numește uniform încetinită.

Diagramele mișcării pentru cele două cazuri ($a_0 > 0, \dot{s} > 0$), respectiv, ($a_0 < 0, \dot{s} > 0$), sunt reprezentate în figura 9.16 și figura 9.17.

9.1.11.1.3 Mișcarea oscilatorie armonică

În natură precum și în tehnică, sunt procese fizice/mecanice care se repetă în timp, iar acestea au la bază oscilațiile de diferite feluri.

Factorii care determină mișcarea oscilatorie sunt:

- Existența unei poziții de echilibru;
- Mișcarea se efectuează în ambele sensuri în jurul poziției de echilibru;
- Traiectoria mișcării are două extreme în aceste poziții, viteza trecând prin zero la schimbarea sensului.

Ținând cont de cele explicate anterior, se poate defini acest tip de mișcare și anume: *Mișcarea unui corp care se repetă la intervale egale de timp și se execută simetric față de poziția de echilibru, se numește mișcare oscilatorie armonică.*

La mișcarea oscilatorie armonică se pot preciza următoarele:

- *legea de mișcare:*

$$x = A \sin(\omega t + \varphi), \quad (A, \omega, \varphi) - \text{constante} \quad (9.71)$$

- *viteza instantanee:*

$$v = \dot{x} = A \omega \cos(\omega t + \varphi), \quad (9.72)$$

- *acelerația instantanee:*

$$a = \ddot{x} = -A \omega^2 \sin(\omega t + \varphi) = -\omega^2 x, \quad (9.73)$$

- *perioada:*

$$T = \frac{2\pi}{\omega}, \quad (9.74)$$

- *frecvența:*

$$\nu = \frac{1}{T} = \frac{\omega}{2\pi}. \quad (9.75)$$

9.2 Probleme rezolvate ^[9]

9.2.1. Un punct descrie o cicloidă cu viteza constantă ca mărime (c) (fig. 9.18). Să se arate că proiecția acestui punct pe axa y se mișcă cu o accelerație constantă, după ce s-au dedus în prealabil ecuațiile parametrice ale cicloidei.

Problema inversă: Un punct se mișcă pe o curbă cu viteza (c) constantă ca mărime. Proiecția punctului pe o dreaptă oarecare pe care o intersectează și se află în planul curbei, are accelerația constantă \bar{a} . Să se afle ecuația curbei.

Soluție:

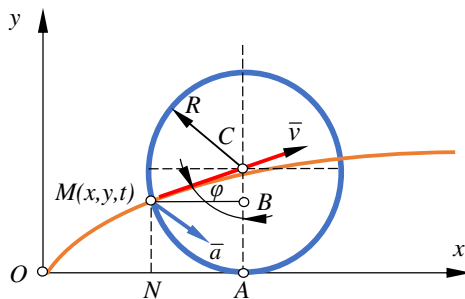


Fig. 9.18

Se determină coordonatele punctului M , care constituie ecuațiile parametrice ale cicloidei (fig. 9.18). Astfel,

$$\begin{aligned} x &= OA - NA = R\varphi - R \sin \varphi = R(\varphi - \sin \varphi) \\ y &= AC - BC = R - R \cos \varphi = R(1 - \cos \varphi) . \end{aligned} \quad (1)$$

Derivând relațiile (1) în raport cu timpul, rezultă:

$$\begin{aligned} \dot{x} &= R\dot{\varphi}(1 - \cos\varphi), \\ \dot{y} &= R\dot{\varphi}\sin\varphi . \end{aligned} \quad (2)$$

Derivând relația lui \dot{y} în raport cu timpul, se obține:

$$\ddot{y} = R(\ddot{\varphi}\sin\varphi + \dot{\varphi}^2 \cos\varphi). \quad (3)$$

Expresia lui $\dot{\varphi}$ se obține din condiția: $v = \sqrt{\dot{x}^2 + \dot{y}^2} = c$, respectiv:

$$R\dot{\varphi}^2(1 - \cos \varphi)^2 + R^2\ddot{\varphi}^2 \sin^2 \varphi = c^2.$$

Rezultă astfel:

$$\dot{\varphi}^2 = \frac{c^2}{2R^2(1 - \cos \varphi)}. \quad (4)$$

Derivând relația (4) în raport cu timpul, se obține valoarea lui $\ddot{\varphi}$:

$$2\dot{\varphi}\ddot{\varphi} = -\frac{c^2\dot{\varphi} \sin \varphi}{2R^2(1 - \cos \varphi)^2}, \quad \ddot{\varphi} = -\frac{c^2 \sin \varphi}{4R^2(1 - \cos \varphi)^2}. \quad (5)$$

Se introduc relațiile (4) și (5) în (3) și se obține:

$$\ddot{y} = -\frac{c^2}{2R}. \quad (6)$$

Problema inversă: Se ia dreapta dată în enunț ca axă Ox , iar punctul ei de intersecție cu curba drept origine a axelor rectangulare, axa Oy luându-se tangenta în origine la curbă ($\frac{dy}{dx} \rightarrow \infty$). Sistemul de axe astfel ales conduce la:

$$\ddot{x} = a, \quad (7)$$

$$v^2 = \left(\frac{dx}{dt}\right)^2 + \left(\frac{dy}{dt}\right)^2 = c^2, \quad \left(\frac{dx}{dt}\right)^2 \left[1 + \left(\frac{dy}{dx}\right)^2\right] = c^2,$$

unde:

$$\begin{aligned} \frac{dx}{dt} &= \dot{x}, \quad \frac{dy}{dx} = y', \\ \dot{x}^2 &= \frac{c^2}{1 + y'^2}. \end{aligned} \quad (8)$$

Derivând relația (8) în raport cu timpul, rezultă:

$$2\dot{x}\ddot{x} = -\frac{2c^2 y' y'' \dot{x}}{(1 + y'^2)^2}, \quad \ddot{x} = -\frac{y' y'' c^2}{(1 + y'^2)^2}. \quad (9)$$

Comparând relațiile (9) cu (7), se obține:

$$a = -\frac{y'y''c^2}{(1+y'^2)^2}. \quad (10)$$

Integrând relația (10), rezultă:

$$\frac{c^2}{2(1+y'^2)} = ax + C_1.$$

Pentru $x_0 = 0, y' \rightarrow \infty$, se va obține $C_1 = 0$, astfel că:

$$y' = \sqrt{\frac{c^2}{2ax} - 1}, \quad dy = \sqrt{\frac{c^2}{2ax} - 1} dx. \quad (11)$$

Se notează:

$$\frac{c^2}{2ax} - 1 = r^2. \quad (12)$$

Din relația (12) se obține:

$$x = \frac{c^2}{2a(r^2 + 1)}, \quad (13)$$

care prin diferențiere conduce la:

$$dx = -\frac{c^2 r dr}{a(r^2 + 1)^2}. \quad (14)$$

Introducând relația (13) și (14) în (11), rezultă:

$$dy = \sqrt{\frac{c^2}{2a \frac{c^2}{2a(r^2 + 1)}} - 1} \left[-\frac{c^2}{a^2} \frac{r dr}{(r^2 + 1)^2} \right] = -\frac{c^2}{a} \frac{r^2 dr}{(r^2 + 1)^2}.$$

Prin integrare se obține:

$$y = \int -\frac{c^2 r^2 + 1 - 1}{a(r^2 + 1)^2} dr = -\frac{c^2}{a} \int \frac{1}{r^2 + 1} dr + \frac{c^2}{a} \int \frac{1}{(r^2 + 1)^2} dr$$

Dar,

$$\int \frac{1}{r^2+1} dr = \operatorname{arctg} r, \quad \int \frac{1}{(r^2+1)^2} dr = \frac{r}{2(r^2+1)} + \frac{1}{2} \operatorname{arctg} r,$$

astfel că

$$y = \frac{c^2}{2a} \left(\frac{r}{r^2+1} - \operatorname{arctg} r \right) + C_2. \quad (15)$$

Înlocuind relația (12) în (15), se obține:

$$y = \frac{1}{2a} \left(\sqrt{2ac^2x - 4a^2x^2} - c^2 \operatorname{arctg} \sqrt{\frac{c^2}{2ax} - 1} \right) + C_2.$$

Pentru $x = 0$ și $y = 0$, rezultă:

$$C_2 = \frac{\pi c^2}{4a},$$

astfel că y devine:

$$y = \frac{1}{2a} \left[\sqrt{2ac^2x - 4a^2x^2} + c^2 \left(-\operatorname{arctg} \sqrt{\frac{c^2}{2ax} - 1} + \frac{\pi}{2} \right) \right]. \quad (16)$$

Notând:

$$\operatorname{arctg} \sqrt{\frac{c^2}{2ax} - 1} = \alpha,$$

după o serie de transformări, relația (16) este:

$$y = \frac{1}{2a} \left(\sqrt{2ac^2x - 4a^2x^2} + c^2 \operatorname{arctg} \frac{1}{\sqrt{\frac{c^2}{2ax} - 1}} \right). \quad (17)$$

Notând, în continuare, $\operatorname{arctg} \frac{1}{\sqrt{\frac{c^2}{2ax}-1}} = \beta$ și efectuând unele transformări

trigonometrice, relația (17) ajunge la forma:

$$y = \sqrt{x(2R-x)} + 2R \arccos \sqrt{1 - \frac{x}{2R}}, \quad (18)$$

în care $\frac{c^2}{2a} = 2R$.

astfel că

$$2 \arccos \sqrt{1 - \frac{x}{2R}} = \arccos \left(1 - \frac{x}{R} \right),$$

$$y = \sqrt{x(2R-x)} + R \arccos \frac{R-x}{R}. \quad (19)$$

Curba căutată este cicloida dată de relația (19). Cercul generator având raza $R = \frac{c^2}{4a}$, se rostogolește pe dreapta $x = 2R$.

9.2.2. În figura 9.19 este reprezentat un mecanism cu articulații care constă din barele OA_1 , OB_1 , CA_4 , CB_4 , de lungime a și din barele A_1B_2 , B_1A_2 , A_2B_3 , B_2A_3 , A_3B_4 , B_3A_4 , de lungime $2a$. Să se afle traiectoriile descrise de articulațiile A_1 , A_2 , A_3 , A_4 , considerând că, articulația C se mișcă în lungul axei Ox .

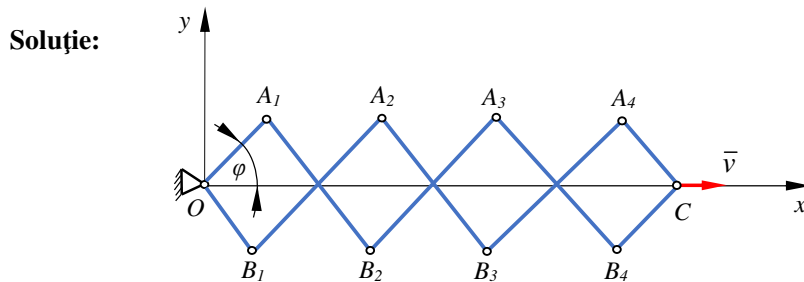


Fig. 9.19

Se determină coordonatele punctelor A_1 , A_2 , A_3 , A_4, \dots, A_n .

$$\begin{aligned}
 A_1: \quad x &= a \cos \varphi & A_2: \quad x &= 3a \cos \varphi & A_3: \quad x &= 5a \cos \varphi \\
 y &= a \sin \varphi & y &= a \sin \varphi & y &= a \sin \varphi. \\
 A_4: \quad x &= 7a \cos \varphi & A_n: \quad x &= (2n-1)a \cos \varphi & & \\
 y &= a \sin \varphi & y &= a \sin \varphi. & &
 \end{aligned} \tag{1}$$

Prin eliminarea parametrului φ din relațiile (1) se obțin ecuațiile traiectoriilor punctelor $A_1, A_2, A_3, A_4, \dots, A_n$ de forma:

$$\frac{x^2}{(2n-1)^2 a^2} + \frac{y^2}{a^2} = 1, \tag{2}$$

care sunt elipse cu semiaxe $(2n-1)a$ și a , n fiind numărul de ordine al articulației ($n = 1, 2, 3, 4, \dots$).

9.2.3. Extremitatea A a unei bare alunecă pe o dreaptă fixă Ox cu viteză constantă c . Bara trece printr-o culisă care se rotește într-o articulație în jurul punctului fix B . Să se determine traiectoria, viteza și accelerația unui punct M al barei în funcție de unghiul φ dacă $AM = OB = b$ (fig. 9.20).

Soluție:

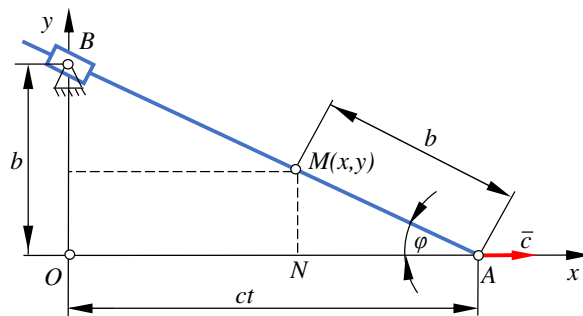


Fig. 9.20

a) *Traietoria.* Se determină coordonatele punctului M astfel:

$$\begin{aligned}
 x &= OA - NA = ct - b \cos \varphi \\
 y &= b \sin \varphi,
 \end{aligned} \tag{1}$$

apoi se determină timpul t , observând că triunghiul AOB este asemenea cu triunghiul ANM . Scriind relațiile de asemănare în cele două triunghiuri, se obține timpul t astfel:

$$\frac{AN}{AO} = \frac{MN}{BO}, \quad \frac{b \cos \varphi}{ct} = \frac{b \sin \varphi}{b}, \quad t = \frac{b}{c} \operatorname{ctg} \varphi. \quad (2)$$

Având în vedere relația (2), relațiile (1) devin:

$$\begin{aligned} x &= b(\operatorname{ctg} \varphi - \cos \varphi) \\ y &= b \sin \varphi. \end{aligned} \quad (3)$$

Eliminând parametrul φ din relația (3), se obține ecuația carteziană a traiectoriei:

$$(y - b)^2 (y^2 - b^2) + x^2 y^2 = 0. \quad (4)$$

b) *Viteza*. Derivând relațiile (3) în raport cu timpul, se obțin componentele carteziane ale vitezei instantanee:

$$\dot{x} = b \dot{\varphi} \left(-\frac{1}{\sin^2 \varphi} + \sin \varphi \right) \quad (5)$$

$$\dot{y} = b \dot{\varphi} \cos \varphi.$$

Derivând ultima relație (2) în raport cu timpul, rezultă:

$$\dot{\varphi} = -\frac{c}{b} \sin^2 \varphi. \quad (6)$$

Înlocuind relația (6) în relația (5), se obțin expresiile:

$$\dot{x} = c(1 - \sin^3 \varphi), \quad \dot{y} = -c \sin^2 \varphi \cos \varphi. \quad (7)$$

Modulul vitezei are expresia:

$$v = \sqrt{\dot{x}^2 + \dot{y}^2} = c \sqrt{1 - 2 \sin^3 \varphi + \sin^4 \varphi}. \quad (8)$$

c) *Accelerația*. Derivând relațiile (7) în raport cu timpul și având în vedere relația (6), se obțin componentele carteziane ale accelerației:

$$\ddot{x} = -3c \dot{\varphi} \sin^2 \varphi \cos \varphi = -3 \frac{c^2}{b} \sin^4 \varphi \cos \varphi, \quad (9)$$

$$\ddot{y} = -c \dot{\varphi} (2 \sin \varphi \cos^2 \varphi - \sin^3 \varphi) = \frac{c^2}{b} \sin^3 \varphi (2 \cos^2 \varphi - \sin^2 \varphi).$$

Modulul accelerației se determină astfel:

$$a = \sqrt{\ddot{x}^2 + \ddot{y}^2} = \frac{c^2}{b} \sin^3 \varphi \sqrt{1 + 3 \cos^2 \varphi}. \quad (10)$$

9.2.4. Se dă o mișcare definită prin ecuațiile parametrice:

$$\begin{cases} x = 2e^t - 1 \\ y = 2e^t + 1 \end{cases}.$$

Să se determine traiectoria mobilului, viteza și accelerația la un moment dat ($t_0 = 0, \rho = \rho_0$).

Soluție:

Eliminând timpul (t) din ecuațiile parametrice, se obține $y = x + 2$, care este ecuația carteziană a traiectoriei punctului. Se constată că traiectoria este o dreaptă. În coordonate carteziene, componentele vitezei și accelerației instantanee ale punctului sunt:

$$\begin{aligned} v_x = \dot{x} = 2e^t, & \quad a_x = \ddot{x} = 2e^t, \\ v_y = \dot{y} = 2e^t, & \quad a_y = \ddot{y} = 2e^t. \end{aligned} \quad (1)$$

Modulele vitezei și accelerației punctului au expresiile:

$$\begin{aligned} v &= \sqrt{v_x^2 + v_y^2} = 2\sqrt{2} e^t, \\ a &= \sqrt{a_x^2 + a_y^2} = 2\sqrt{2} e^t. \end{aligned} \quad (2)$$

9.2.5. Să se determine raza de curbură inițială a traiectoriei unui punct ale cărui ecuații de mișcare sunt:

$$\begin{aligned} x &= 3t^2 + 2, \\ y &= 6t + 5. \end{aligned}$$

Soluție:

În cinematica punctului, raza de curbură ρ a traiectoriei apare explicit în expresia componentei normale a_v a accelerației. Expresia modului accelerației în coordonate intrinseci este:

$$a = \sqrt{\dot{v}^2 + \frac{v^4}{\rho^2}}. \quad (1)$$

Din relația (1) se obține raza de curbură a traiectoriei astfel:

$$\rho = \frac{v^2}{\sqrt{a^2 - \dot{v}^2}}. \quad (2)$$

Modulele vitezei și accelerației instantanee ale punctului se determină utilizând componentele carteziene. Astfel,

$$\begin{aligned} v_x = \dot{x} = 6t, & \quad a_x = \ddot{x} = 6, \\ v_y = \dot{y} = 6, & \quad a_y = \ddot{y} = 0, \end{aligned} \quad (3)$$

$$v = \sqrt{v_x^2 + v_y^2} = 6\sqrt{t^2 + 1}, \quad a = \sqrt{a_x^2 + a_y^2} = 6. \quad (4)$$

Derivata în raport cu timpul a modului vitezei are expresia:

$$\dot{v} = \frac{6t}{\sqrt{t^2 + 1}}. \quad (5)$$

Având în vedere relațiile (4) și (5), relația (2) devine:

$$\rho = 6(t^2 + 1)^{3/2} \quad (6)$$

și constituie legea de variație, în funcție de timp a razei de curbură a traiectoriei punctului.

Raza de curbură inițială a traiectoriei punctului se obține pentru condițiile inițiale $t_0 = 0$, $\rho = \rho_0$ care se introduc în relația (6) și se va obține:

$$\rho_0 = 6. \quad (7)$$

9.2.6. Punctul M descrie o curbă plană. Linia de acțiune a accelerației formează prin intersecția cu cercul de curbură coarda $MA = l$. Să se exprime mărimea accelerației în

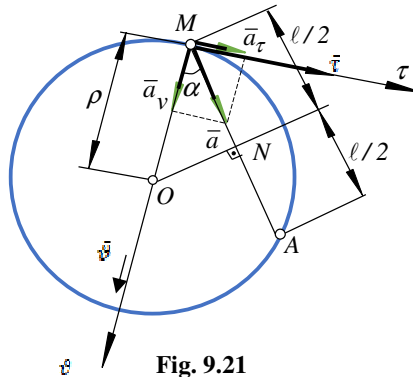


Fig. 9.21

funcție de mărimea vitezei și lungimea acestei coarde (fig. 9.21).

Soluție:

Având în vedere componentele intrinseci ale accelerației, se pot scrie relațiile:

$$a = \sqrt{a_\tau^2 + a_v^2}, \quad a_\tau = \frac{dv}{dt} = \dot{v},$$

$$a_v = \frac{v^2}{\rho}, \quad \operatorname{tg} \alpha = \frac{a_\tau}{a_v} = \frac{\dot{v} \rho}{v^2}. \quad (1)$$

Din triunghiul MON :

$$\operatorname{tg} \alpha = \frac{ON}{MN} = \frac{\sqrt{\rho^2 - (\ell/2)^2}}{\ell/2}, \quad \text{adică:}$$

$$\frac{\dot{v} \rho}{v^2} = \frac{\sqrt{4\rho^2 - \ell^2}}{\ell}. \quad (2)$$

Din relația (2) se obține:

$$\rho^2 = \frac{v^4 \ell^2}{4v^4 - \dot{v}^2 \ell^2}.$$

Accelerația instantanee a punctului devine succesiv:

$$a = \sqrt{\dot{v}^2 + \frac{v^4(4v^4 - \dot{v}^2 \ell^2)}{v^4 \ell^2}},$$

$$a = \frac{2v^2}{\ell}. \quad (3)$$

9.2.7. Se consideră un punct material M având vectorul de poziție în raport cu originea O a sistemului de referință Oxy , $\vec{r} = \overline{OM} = 4t\vec{i} + (16t^2 - 1)\vec{j}$. Să se determine ecuația traiectoriei, poziția, viteza și accelerația punctului M la momentul $t = t_1 = \frac{1}{2}$ s, precum și raza de curbură a traiectoriei (fig. 9.22).

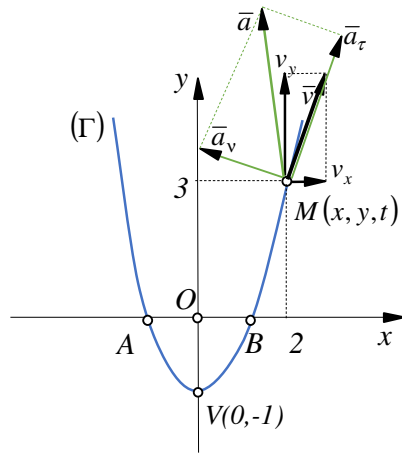


Fig. 9.22

Soluție:

Ecuțiile traiectoriei sub formă parametrică sunt:

$$\begin{aligned} x &= x(t) = 4t \\ y &= y(t) = 16t^2 - 1. \end{aligned} \quad (1)$$

Eliminând parametrul (t) din ecuațiile (1), se obține forma implicită a ecuației traiectoriei punctului M de forma:

$$x^2 - y - 1 = 0. \quad (2)$$

Conform cu (2), traiectoria punctului M este o parabolă cu vârful în $V(0, -1)$ și care intersectează axa Ox în punctele $A(-1, 0)$ și $B(1, 0)$.

Componentele carteziene ale vitezei instantanee sunt:

$$\begin{aligned} v_x &= \dot{x} = 4 \\ v_y &= \dot{y} = 32t = 16. \end{aligned} \quad (3)$$

Modulul vitezei este dat de relația:

$$v = \sqrt{\dot{x}^2 + \dot{y}^2}, \quad (4)$$

în care se introduc valorile date de (3) și se obține:

$$v = 16,5 \text{ cm/s}. \quad (5)$$

Componentele carteziene ale accelerației instantanee sunt:

$$\begin{aligned} a_x &= \ddot{x} = 0 \\ a_y &= \ddot{y} = 32 \end{aligned} \quad (6)$$

iar modulul accelerației se obține astfel:

$$a = \sqrt{\ddot{x}^2 + \ddot{y}^2}, \quad a = 32 \text{ cm/s}^2. \quad (7)$$

Poziția, viteza și accelerația punctului M la momentul $t = t_1$, se obțin astfel:

$$\begin{aligned} x(t_1) &= 2 & \dot{x}(t_1) &= 4 \\ y(t_1) &= 3 & \dot{y}(t_1) &= 16 \\ v &= \sqrt{\dot{x}^2 + \dot{y}^2} = 16,6 \text{ cm/s}, \\ \ddot{x}(t_1) &= 0, & \ddot{y}(t_1) &= 32 \\ a &= \sqrt{\ddot{x}^2 + \ddot{y}^2} = 32 \text{ cm/s}^2. \end{aligned} \quad (8)$$

Accelerația exprimată în coordonate intrinseci are următoarea expresie:

$$a = \sqrt{a_\tau^2 + a_v^2}, \quad (9)$$

în care conform cu (8), accelerația tangențială devine:

$$a_\tau = |\dot{v}| = \frac{v_x \dot{v}_x + v_y \dot{v}_y}{\sqrt{v_x^2 + v_y^2}}, \quad a_\tau = 31 \text{ cm/s}^2, \quad (10)$$

iar,

$$a_v = \sqrt{a^2 - a_\tau^2} = 7,94 \text{ cm/s}^2. \quad (11)$$

Raza de curbură a traiectoriei, conform cu (9.46), se determină astfel:

$$\rho(t_1) = \frac{v^2(t_1)}{a_v(t_1)} = \frac{16,6^2}{7,94} = 34,3 \text{ cm}. \quad (12)$$

9.2.8. O bară (d) se poate roti într-un plan în jurul punctului fix O cu viteza unghiulară constantă ω . Bara intersectează în punctul M un cerc fix de rază R (fig. 9.23). Să se determine viteza și accelerația punctului M în mișcarea sa pe dreapta (d) și pe cerc.

Soluție:

a) *Mișcarea punctului M pe dreapta (d):*

- legea de mișcarea a punctului este:

$$s = ON + NM = 2R \cos \theta ; \quad (1)$$

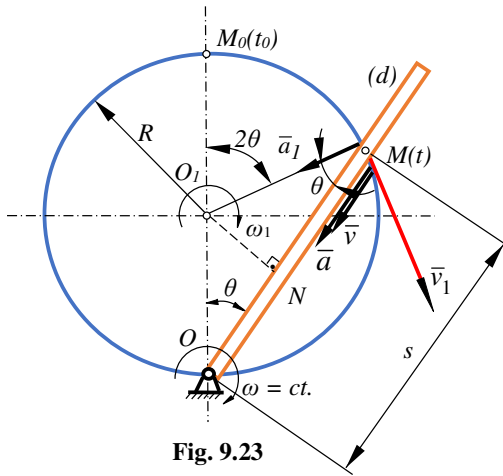


Fig. 9.23

- viteza punctului are expresia:

$$v = \dot{s} = \frac{ds}{dt} = \frac{ds}{d\theta} \frac{d\theta}{dt} = \omega \frac{ds}{d\theta} = -2\omega R \sin \theta \quad (2)$$

și sensul spre punctul O datorită semnului “-”;

- accelerația punctului:

$$a = \dot{v} = \frac{dv}{dt} = \frac{dv}{d\theta} \frac{d\theta}{dt} = \omega \frac{dv}{d\theta} = -2\omega^2 R \cos \theta . \quad (3)$$

Accelerația are sensul către punctul O datorită semnului “-”.

b) Mișcarea punctului M pe cercul $C(O_1, R)$.

- viteza punctului:

$$v_1 = \omega_1 R , \quad (4)$$

relație în care:

$$\omega_1 = 2\dot{\theta} = 2\omega . \quad (5)$$

Înlocuind relația (5) în (4), rezultă viteza:

$$v_1 = 2\omega R ; \quad (6)$$

- accelerația punctului:

$$\bar{a}_1 = a_\tau \bar{\tau} + a_v \bar{v}$$

unde: $a_\tau = \varepsilon_1 R$ (7)

$$a_v = \omega_1^2 R = 4 \omega^2 R .$$

Dar $\varepsilon_1 = \dot{\omega}_1 = 2 \dot{\omega} = 0$, pentru că viteza unghiulară ω este constantă. Astfel,

$$a_\tau = 0,$$

$$a_1 = 4 \omega^2 R .$$
 (8)

9.2.9. Un punct descrie o traiectorie plană astfel încât proiecția vitezei pe axa Ox are mereu o valoare constantă c . Să se arate că, în cazul acesta, mărimea accelerației se exprimă prin $a = \frac{v^3}{c \rho}$, unde \bar{v} este viteza punctului, iar ρ este raza de curbură a traiectoriei.

Soluție:

Urmărind datele problemei, se pot scrie relațiile:

$$\dot{x} = c, \quad \ddot{x} = 0, \quad a = \sqrt{\dot{x}^2 + \dot{y}^2} = \dot{y},$$
 (1)

$$v^2 = \dot{x}^2 + \dot{y}^2.$$
 (2)

Se derivează relația (2) în raport cu timpul și se obține:

$$2v \frac{dv}{dt} = 2 \dot{x} \ddot{x} + 2 \dot{y} \ddot{y}.$$

Însă,

$$\frac{dv}{dt} = a_\tau,$$

astfel că,

$$a_\tau = \frac{\dot{x} \ddot{x} + \dot{y} \ddot{y}}{\sqrt{\dot{x}^2 + \dot{y}^2}}.$$
 (3)

Având în vedere (9.46), se poate scrie:

$$a_v = \frac{v^2}{\rho} = \sqrt{a^2 - a_\tau^2}$$

sau, în conformitate cu relațiile (1) și (3), accelerația normală devine:

$$a_v = \frac{v^2}{\rho} = \frac{\dot{x}\ddot{y} - \dot{y}\ddot{x}}{\sqrt{\dot{x}^2 + \dot{y}^2}}. \quad (4)$$

Înlocuind relația (2) în (4), se obține:

$$\rho = \frac{(\dot{x}^2 + \dot{y}^2)^{3/2}}{\dot{x}\ddot{y} - \dot{y}\ddot{x}}. \quad (5)$$

Introducând relațiile (1) și (2) în (5), rezultă:

$$a = \frac{v^3}{c\rho}. \quad (6)$$

9.2.10. Să se arate că în cazul unei mișcări plane mărimea vitezei punctului poate fi exprimată astfel: $v = \rho \left| \frac{d\varphi}{dt} \right|$, unde ρ este raza de curbură a traiectoriei, iar φ unghiul dintre viteză și o dreaptă oarecare fixă, așezată în același plan în care se mișcă punctul (fig. 9.24).

Soluție:

Dreapta (Δ) este o dreaptă oarecare fixă care încheie cu direcția vitezei unghiul φ . Prin centrul de curbură O se duce dreapta (Δ_1) perpendiculară pe (Δ) astfel că, $\sphericalangle MON = \varphi$. Dreapta (Δ_1) va fi, de asemenea fixă și va fi luată ca origine pentru unghiul φ . Viteza punctului se determină cu relația:

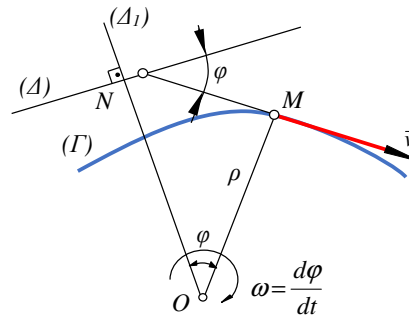


Fig. 9.24

$$v = \omega\rho = \frac{d\varphi}{dt}\rho, \quad (1)$$

$$v = \rho \left| \frac{d\varphi}{dt} \right|. \quad (2)$$

9.2.11. Un punct descrie o curbă plană astfel încât, dreapta după care este orientată accelerația \bar{a} trece mereu printr-un punct fix O . Să se arate că în acest caz, există relația:

$$a = \pm \frac{dv}{dr},$$

Relație în care v este mărimea vitezei punctului, iar r este modulul razei vectoriale în raport cu O . Semnul plus se ia în cazul când accelerația este orientată de la punctul O înafară și semnul minus, în caz contrar (fig. 9.25).

Soluție:

- Prima metodă

În conformitate cu (9.13), se poate scrie:

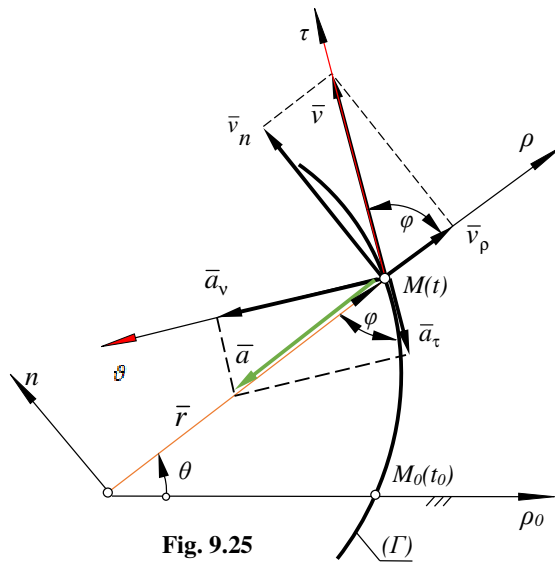


Fig. 9.25

$$v = \sqrt{\dot{r}^2 + r^2\dot{\theta}^2}, \quad v^2 = \dot{r}^2 + r^2\dot{\theta}^2, \quad (1)$$

Se derivează relația (1) și se adună și se scade $r\dot{r}\dot{\theta}^2$, obținându-se:

$$v \frac{dv}{dt} = \dot{r}\ddot{r} + r\dot{r}\dot{\theta}^2 + r^2\dot{\theta}\ddot{\theta} + r\dot{r}\dot{\theta}^2 - r\dot{r}\dot{\theta}^2,$$

respectiv,

$$v \frac{dv}{dr} = \dot{r}(\ddot{r} - r\dot{\theta}^2) + r\dot{\theta}(r\ddot{\theta} + 2\dot{r}\dot{\theta}). \quad (2)$$

Având în vedere (9.14), în relația (2) se pot preciza:

$$a_p = \ddot{r} - r\dot{\theta}^2, \quad a_n = r\ddot{\theta} + 2\dot{r}\dot{\theta}. \quad (3)$$

Dar, $a_n = 0$ pentru că accelerația trece mereu printr-un punct fix O astfel că, $a = a_p$. În consecință, relația (2) devine succesiv, $v \frac{dv}{dr} \dot{r} = \dot{r} a$, respectiv,

$$a = v \frac{dv}{dr}. \quad (4)$$

• *A doua metodă*

În conformitate cu figura 9.25, se poate scrie:

$$\operatorname{tg} \varphi = \frac{a_v}{a_\tau} = \frac{v_n}{v_p}. \quad (5)$$

Dar,

$$v_n = r\dot{\theta}, \quad v_p = \dot{r}, \quad a_\tau = \frac{dv}{dt},$$

astfel că, se poate scrie:

$$\frac{a_v}{a_\tau} = \frac{r d\theta}{dr}. \quad (6)$$

Accelerația punctului are modulul:

$$a = \sqrt{a_\tau^2 + a_v^2} = a_\tau \sqrt{1 + \left(\frac{a_v}{a_\tau}\right)^2} = \frac{dv}{dt} \sqrt{1 + \frac{r^2 d\theta^2}{dr^2}} \quad (7)$$

Însă,

$$a = \frac{dv}{dr} \sqrt{\left(\frac{dr}{dt}\right)^2 + \left(\frac{r d\theta}{dt}\right)^2} \quad (8)$$

$$\sqrt{\left(\frac{dr}{dt}\right)^2 + \left(\frac{r d\theta}{dt}\right)^2} = \sqrt{\dot{r}^2 + (r\dot{\theta})^2} = v,$$

astfel că, relația (8) devine:

$$a = v \frac{dv}{dr}. \quad (9)$$

- A treia metodă

$$a_{\tau} = \frac{dv}{dt} = \frac{dv}{dr} \frac{dr}{dt} = \frac{dv}{dr} \dot{r} . \quad (10)$$

Din figura 9.25 se poate scrie:

$$a_{\tau} = a \cos \varphi .$$

Dar,

$$v_p = \dot{r} = v \cos \varphi ,$$

astfel că, relația (10) devine:

$$a = v \frac{dv}{dr} . \quad (11)$$

9.2.12. Un punct descrie o traiectorie plană. Viteza radială a punctului este pozitivă și constantă, iar accelerația radială este negativă și invers proporțională cu cubul distanței la pol adică: $v_p = c > 0$, $a_p = -\frac{a^2}{r^3}$ ($a > 0$). Să se afle traiectoria și viteza areolară a punctului, știind că: $t_0 = 0$, $\varphi = \varphi_0$ și $\dot{\varphi} > 0$.

Soluție:

Având în vedere relațiile (9.12) și (9.14) și enunțul problemei, se pot scrie relațiile:

$$\begin{aligned} v_p = \dot{r}, \quad a_p = \ddot{r} - r\dot{\varphi}^2 \\ \dot{r} = c \end{aligned} \quad (1)$$

$$\ddot{r} - r\dot{\varphi}^2 = -\frac{a^2}{r^3} . \quad (2)$$

Integrând ecuația (1), se obține:

$$r = ct + C_1 .$$

Pentru $t_0 = 0$, $r = r_0$, rezultă $C_1 = r_0$, astfel că:

$$r = ct + r_0 . \quad (3)$$

Înlocuind relația (3) în (2) și integrând, se obține succesiv:

$$\ddot{r} - r\dot{\varphi}^2 = -\frac{a^2}{r^3}, \quad (\ddot{r} = 0),$$

$$\dot{\varphi} = \frac{a}{r^2} = \frac{a}{(ct + r_0)^2},$$

$$\varphi = -\frac{a}{c(ct + r_0)} + C_2.$$

Pentru $t_0 = 0$, $\varphi = \varphi_0$, $r = r_0$ rezultă constanta:

$$C_2 = \varphi_0 + \frac{a}{cr_0}.$$

Ecuatiile parametrice polare ale traiectoriei sunt:

$$\begin{aligned} r &= ct + r_0 \\ \varphi &= -\frac{a}{c(ct + r_0)} + \varphi_0 + \frac{a}{cr_0}. \end{aligned} \quad (4)$$

Eliminând timpul (t) din relația (4), se obține ecuația polară a traiectoriei:

$$r = \frac{ar_0}{a - r_0 c(\varphi - \varphi_0)}. \quad (5)$$

Viteza areolară a punctului se calculează cu relația (9.50). Astfel,

$$\Omega = \frac{1}{2}r^2\dot{\varphi} = \frac{a}{2}. \quad (6)$$

9.2.13. Un corp este aruncat în gol, vertical în sus, cu viteza inițială v_0 . După $t < \frac{2v_0}{g}$ s de la începutul mișcării lui, un al doilea corp este aruncat în sus cu aceeași viteză inițială v_0 . După câte secunde de la începutul mișcării primului corp și la ce distanță de poziția lui inițială se vor întâlni cele două corpuri?

Soluție:

Legile de mișcare ale celor două corpuri sunt:

$$x_1 = v_0 t - \frac{1}{2} g t^2, \quad (1)$$

$$x_2 = v_0 (t - t_0) - \frac{1}{2} g (t - t_0)^2. \quad (2)$$

Corpurile se vor întâlni când $x_1 = x_2$, adică:

$$v_0 t - \frac{1}{2} g t^2 = v_0 (t - t_0) - \frac{1}{2} g (t - t_0)^2, \quad (3)$$

relație din care se obține timpul după care cele două corpuri se întâlnesc și anume:

$$t = \frac{1}{2} t_0 + \frac{v_0}{g}.$$

Pentru $t = \frac{1}{2} t_0 + \frac{v_0}{g}$ se obține distanța h la care se vor întâlni corpurile și anume:

$$x_1 = h = v_0 \left(\frac{1}{2} t_0 + \frac{v_0}{g} \right) - \frac{1}{2} g \left(\frac{1}{2} t_0 + \frac{v_0}{g} \right)^2, \quad (4)$$

$$h = \frac{1}{2} \left(\frac{v_0^2}{g} - \frac{1}{4} g t_0^2 \right).$$

9.2.14. Un corp cade în gol fără viteză inițială. După t_0 secunde de la începutul căderii un al doilea corp este aruncat de asemenea, fără viteză inițială. În cât timp de la începutul căderii primului corp distanța dintre cele două corpuri va fi a ?

Soluție:

Cele două corpuri se mișcă după următoarele legi:

$$x_1 = -\frac{1}{2} g t^2, \quad (1)$$

$$x_2 = -\frac{1}{2} g (t - t_0)^2.$$

Distanța a dintre cele două corpuri este:

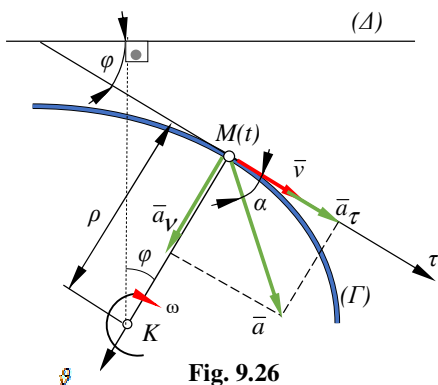
$$x_2 - x_1 = a,$$

$$-\frac{1}{2} g (t - t_0)^2 + \frac{1}{2} g t^2 = a. \quad (2)$$

Astfel, timpul după care distanța dintre cele două corpuri este a și are valoarea:

$$t = \frac{t_0}{2} + \frac{a}{g t_0}. \quad (3)$$

9.2.15. În cazul mișcării unui punct în plan, unghiul constant α este unghiul dintre viteză și accelerație (fig. 9.26). Să se arate că în cazul acesta, mărimea vitezei punctului poate fi exprimată prin relația următoare: $v = v_0 e^{c(\varphi - \varphi_0)}$, unde φ este unghiul dintre viteză și o dreaptă oarecare fixă, situată în planul mișcării, φ_0 și v_0 sunt valorile inițiale ale acestui unghi și a vitezei, iar $c = \text{ctg } \alpha$.



Soluție:

Având în vedere figura 9.26, se poate scrie:

$$\text{ctg } \alpha = \frac{a_\tau}{a_v} = \frac{\dot{v} \rho}{v^2} = c, \quad (1)$$

$$\frac{dv}{v^2} = \frac{c}{\rho} dt. \quad (2)$$

Integrând expresia (2), se obține:

$$-\frac{1}{v} = \frac{c}{\rho} t + C_1. \quad (3)$$

Pentru $t_0 = 0$, $v = v_0$, rezultă $C_1 = -\frac{1}{v_0}$, astfel că din (3) se obține:

$$v = \frac{v_0}{1 - \frac{c v_0}{\rho} t}. \quad (4)$$

Se poate scrie:

$$v = \omega \rho,$$

$$v = \rho \frac{d\varphi}{dt}, \quad (5)$$

relație în care ρ este raza de curbură a traiectoriei plane a mișcării punctului.

Se introduce expresia (5) a vitezei în relația (1) și se obține:

$$\frac{d^2\varphi}{dt^2} = c \left(\frac{d\varphi}{dt} \right)^2. \quad (6)$$

Se notează:

$$\frac{d\varphi}{dt} = y. \quad (7)$$

Relația (7) devine succesiv:

$$\begin{aligned} \frac{dy}{dt} &= c y^2, & \frac{dy}{y^2} &= c dt, \\ -\frac{1}{y} &= ct + C_2. \end{aligned}$$

Pentru $t_0 = 0$, $v = v_0$, $y_0 = \frac{d\varphi}{dt} = \frac{v_0}{\rho}$, se obține $C_2 = -\frac{\rho}{v_0}$,

respectiv,
$$y = \frac{1}{\frac{\rho}{v_0} - ct}. \quad (8)$$

Introducând relația (7) în (8) și integrând, se obține:

$$d\varphi = \frac{dt}{\frac{\rho}{v_0} - ct}, \quad \varphi = -\frac{1}{c} \ln \left(\frac{\rho}{v_0} - ct \right) + C_3. \quad (9)$$

Pentru $t_0 = 0$, $\varphi = \varphi_0$, se obține succesiv, luând în considerare (9):

$$\begin{aligned} C_3 &= \varphi_0 + \frac{1}{c} \ln \frac{\rho}{v_0} \\ c(\varphi - \varphi_0) &= \ln \frac{\frac{\rho}{v_0}}{\frac{\rho}{v_0} - ct} = \ln \frac{1}{1 - \frac{v_0 c}{\rho} t} \\ e^{c(\varphi - \varphi_0)} &= \frac{1}{1 - \frac{v_0 c}{\rho} t}. \end{aligned} \quad (10)$$

Comparând relațiile (4) și (10), se poate scrie:

$$v = v_0 e^{c(\varphi - \varphi_0)}. \quad (11)$$

9.2.16. În mișcarea unui punct modulul vitezei este o mărime constantă, egală cu c , iar viteza unghiulară de rotație a razei vectoriale este de asemenea constantă și egală cu ω_0 . Să se afle ecuațiile mișcării și traiectoria punctului când $r_0 = 0$, $\varphi_0 = 0$ pentru $t_0 = 0$ (fig. 9.27).

Soluție:

În conformitate cu enunțul problemei se pot scrie relațiile:

$$v = \sqrt{\dot{r}^2 + r^2 \dot{\varphi}^2} = c^2, \quad \dot{\varphi} = \omega_0,$$

adică: $\dot{r}^2 + r^2 \dot{\varphi}^2 = c^2,$ (1)

$$\dot{\varphi} = \omega_0. \quad (2)$$

Din relația (1) se obține succesiv:

$$\dot{r} = \sqrt{c^2 - r^2 \omega_0^2}, \quad dr = \sqrt{c^2 - \omega_0^2 r^2} dt,$$

$$\frac{dr}{\sqrt{c^2 - \omega_0^2 r^2}} = dt. \quad (3)$$

Integrând relația (3), rezultă:

$$\frac{1}{\omega_0} \arcsin \frac{\omega_0 r}{c} = t + C_1.$$

Pentru $t_0 = 0$, $r_0 = 0$, $\varphi_0 = 0$, se obține

$C_1 = 0$, astfel că:

$$\arcsin \frac{\omega_0 r}{c} = \omega_0 t.$$

Integrând relația (2) se obține: $\varphi = \omega_0 t + C_2$.

Pentru $t_0 = 0$, $\varphi_0 = 0$, rezultă $C_2 = 0$, astfel că: $\varphi = \omega_0 t$, $\arcsin \frac{\omega_0 r}{c} = \varphi$,

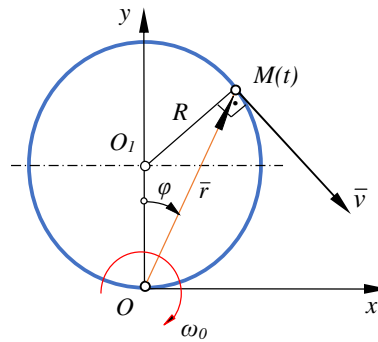


Fig. 9.27

iar ,

$$\sin \varphi = \frac{\omega_0 r}{c}, \quad r = \frac{c}{\omega_0} \sin \varphi .$$

Coordonatele punctului care se mișcă pe curbă vor fi:

$$x = r \cos \varphi = \frac{c}{\omega_0} \sin \varphi \cos \varphi = \frac{c}{2\omega_0} \sin 2\varphi ,$$

$$y = r \sin \varphi = \frac{c}{\omega_0} \sin \varphi \sin \varphi = \frac{c}{2\omega_0} (1 - \cos 2\varphi) . \quad (4)$$

Eliminând parametrul φ în relațiile (4), se obține ecuația carteziană a traiectoriei:

$$x^2 + \left(y - \frac{c}{2\omega_0} \right)^2 = \left(\frac{c}{2\omega_0} \right)^2 . \quad (5)$$

Expresia (5) este ecuația unui cerc de rază $R = \frac{c}{2\omega_0}$, cerc tangent la axa Ox în originea sistemului de referință, cu centrul $C\left(0, \frac{c}{2\omega_0}\right)$ pe axa Oy .

9.2.17. O bară subțire OL se rotește în jurul unui punct fix O cu viteza unghiulară constantă ω și mișcă inelul M pe sârma fixă aflată la distanța b de punctul O . Să se exprime viteza și accelerația inelului în funcție de distanța $x = AM$ (fig. 9.28).

Soluție:

Din triunghiul OAM se poate scrie:

$$\operatorname{tg} \varphi = \frac{x}{b}, \quad x = b \operatorname{tg} \varphi . \quad (1)$$

Viteza instantanee \bar{v} a inelului se obține prin derivare în raport cu timpul a relației (1). Astfel,

$$v = \dot{x} = b \frac{\omega}{\cos^2 \varphi} .$$

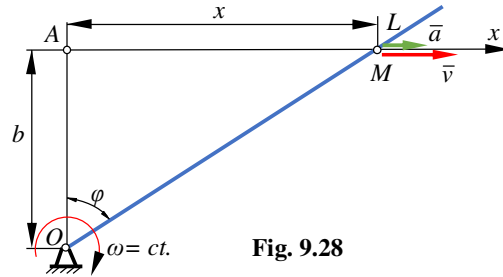


Fig. 9.28

Deoarece: $\cos \varphi = \frac{1}{\sqrt{1 + tg^2 \varphi}}$, se obține succesiv:

$$v = b \omega (1 + tg^2 \varphi) = b \omega \left(1 + \frac{x^2}{b^2} \right), \quad v = \omega \left(b + \frac{x^2}{b} \right). \quad (2)$$

Accelerația instantanee \bar{a} a inelului se obține prin derivare în raport cu timpul a relației (2). Astfel,

$$a = \dot{x} = 2b\omega^2 \frac{\sin \varphi}{\cos^3 \varphi} = 2b\omega^2 \frac{tg \varphi}{\cos^2 \varphi} = 2b\omega^2 tg \varphi (1 + tg^2 \varphi), \quad (3)$$

$$a = 2\omega^2 x \left(1 + \frac{x^2}{b^2} \right).$$

9.2.18. Un om de înălțime h trece cu viteza constantă \bar{v}_0 pe sub un felinar care se află la înălțimea H deasupra pământului. Să se afle cu ce viteză \bar{v} se mișcă pe pământ extremitatea B a umbrei omului (fig. 9.29).

Soluție:

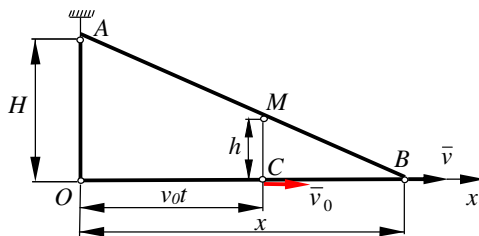


Fig. 9.29

Din figura 9.29 se constată asemănarea triunghiurilor OAB și CMB ,

$$\frac{MC}{OA} = \frac{CB}{OB}, \quad \frac{h}{H} = \frac{x - v_0 t}{x},$$

rezultând:

$$h x = H x - H v_0 t,$$

$$x = \frac{H}{H - h} v_0 t. \quad (1)$$

Viteza punctului B se obține derivând relația (1) în raport cu timpul. Astfel,

$$v_B = \dot{x} = \frac{H}{H-h} v_0. \quad (2)$$

9.2.19. Un mobil execută o mișcare rectilinie dată de ecuația: $x = A \sin \omega t + B \cos \omega t$. Să se arate că, mișcarea este oscilatorie și să se determine amplitudinea, frecvența, perioada, faza, viteza și accelerația.

Soluție:

$$x = A \sin \omega t + B \cos \omega t = A \left(\sin \omega t + \frac{B}{A} \cos \omega t \right). \quad (1)$$

Se notează: $\frac{B}{A} = \operatorname{tg} \varphi$ și se obține:

$$x = \frac{A}{\cos \varphi} \sin(\omega t + \varphi).$$

Având în vedere relația: $\cos \varphi = \frac{1}{\sqrt{1 + \operatorname{tg}^2 \varphi}}$, se obține:

$$x = A \sqrt{1 + \operatorname{tg}^2 \varphi} \sin(\omega t + \varphi) = A \sqrt{1 + \frac{B^2}{A^2}} \sin(\omega t + \varphi),$$

$$x = \sqrt{A^2 + B^2} \sin(\omega t + \varphi). \quad (2)$$

Se constată că mișcarea mobilului este o mișcare oscilatorie caracterizată de:

- amplitudinea: $b = \sqrt{A^2 + B^2}$ (3)

- faza: $\operatorname{tg} \varphi = \frac{B}{A}$, (4)

- perioada: $T = \frac{2\pi}{\omega}$, (5)

- frecvența: $\nu = \frac{\omega}{2\pi}$, (6)

- viteza: $v = \dot{x} = \sqrt{A^2 + B^2} \omega \cos(\omega t + \varphi)$, (7)

- accelerația: $a = \ddot{x} = -\sqrt{A^2 + B^2} \omega^2 \sin(\omega t + \varphi)$. (8)

9.3 Probleme propuse

9.3.1. Dreapta FM se rotește cu viteza unghiulară constantă ω în planul unei elipse date, în jurul focarului acesteia F . Să se afle viteza punctului de intersecție M al acestei drepte cu elipsa.

Răspuns:

$$v = \frac{\omega r}{b} \sqrt{r(2a-r)}, \text{ în care } r = FM, \text{ iar } a \text{ și } b \text{ sunt semiaxele elipsei.}$$

9.3.2. O bară rectilinie se rotește în jurul capătului ei fix O cu viteza unghiulară constantă ω_0 . De-a lungul barei alunecă o culisă cu viteză constantă v_0 . Să se afle traiectoria și viteza culisei dacă în momentul inițial (pentru $t_0 = 0$), $r_0 = 0$ și $\varphi_0 = 0$.

Răspuns:
$$r = \frac{v_0}{\omega_0} \varphi, \quad v = v_0 \sqrt{1 + \omega_0^2 t^2}.$$

9.3.3. Plecând de la expresiile generale pentru accelerația radială și transversală să se arate că, în cazul când nu există accelerație, mișcarea punctului este rectilinie și uniformă.

9.3.4. Un punct descrie o traiectorie plană cu viteza \bar{v}_0 constantă ca mărime. Prelungirea vectorului accelerație a punctului trece mereu printr-un punct fix dat O . Distanța inițială a punctului mobil la O este a . Să se determine traiectoria.

Răspuns: Un cerc de rază a și centrul în punctul O .

9.3.5. Se dau ecuațiile de mișcare ale unui punct:

$$x = at,$$
$$y = \frac{a}{2}(e^t + e^{-t}) = a \operatorname{ch} t.$$

Să se afle traiectoria și raza de curbură a traiectoriei în funcție de ordonata y .

Răspuns:

Traiectoria este lăncișorul: $y = ach \frac{x}{a}$, raza de curbură este $\rho = \frac{y^2}{a}$.

9.3.6. Un punct material se mișcă pe un cerc de rază R după legea: $s = v_0 t - \frac{1}{2} b t^2$. Să se determine mărimea accelerației punctului și momentul când accelerația va fi o mărime egală cu b .

Răspuns:
$$a = \sqrt{b^2 + \frac{1}{R^2} (v_0 - b t)^2}, \quad t = \frac{v_0}{a}.$$

9.3.7. Un punct material pornind din starea de repaus se mișcă pe un cerc de rază R având accelerația tangențială constantă a . După câte secunde de la începutul mișcării, accelerația tangențială va fi numeric egală cu cea normală?

Răspuns:
$$t = \sqrt{\frac{R}{a}}.$$

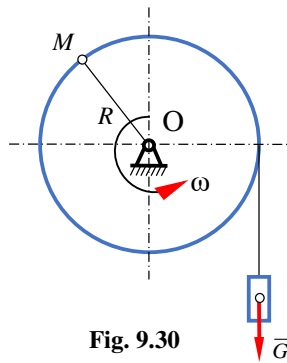


Fig. 9.30

9.3.8. Pe o șaibă de rază $R = 0,5 \text{ m}$ este înfășurat un fir de care atârână o greutate \bar{G} la capătul lui liber. Greutatea coboară după legea: $s = 0,6 t^2$ și pune în mișcare șaiba. Să se afle accelerația punctului M situat pe circumferința șaibe după o secundă de la începutul mișcării (fig. 9.30).

Răspuns:
$$a = 3,12 \text{ m/s}^2.$$

9.3.9. Se consideră un punct material la care se cunoaște vectorul de poziție în raport cu originea O a sistemului de axe Oxy : $\vec{r} = \overline{OM} = 3 \sin \pi t \vec{i} + 2 \cos \pi t \vec{j}$. Se cere:

1) Ecuația traiectoriei sub formă parametrică și implicită în sistemul de axe Oxy ;

2) Viteza și accelerația punctului;

3) Poziția, viteza și accelerația punctului la momentul $t_1 = 1/3$ s, precum și raza de curbură a traiectoriei la același moment.

Răspuns:

$$v = \pi \sqrt{4 + 5 \cos^2 \pi t} = 7,19 \text{ cm/s} . \quad a = \pi^2 \sqrt{4 + 5 \sin^2 \pi t} = 27,47 \text{ cm/s}^2 .$$

$$\rho = \frac{v^2}{a_v} = 2,005 \text{ cm} .$$

9.3.10. Se consideră mecanismul format din două pistoane și o bielă (fig. 9.31) la care se cunosc $AB = l$, $AM = 2l/3$ și legea de mișcare a pistonului B respectiv, $OB = s(t) = 10,3 \cos \pi t$. Se cere, să se determine: a) Ecuațiile sub formă parametrică și implicită ale traiectoriei punctul M al bielei; b) Poziția, viteza, accelerația punctului și raza de curbură la momentul $t_1 = 1/3$ s, dacă se cunosc valorile numerice: $\alpha = \pi/3$, $l = 30$ cm.

Răspuns:

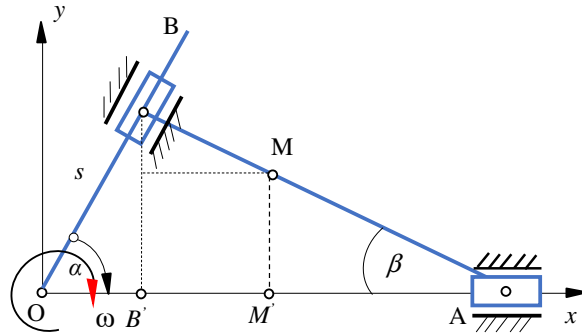


Fig. 9.31

$$v(t_1) = \dot{s} \sqrt{\left(\cos \alpha - \frac{s \sin^2 \alpha}{3\sqrt{l^2 - s^2 \sin^2 \alpha}} \right)^2 + \left(\frac{2}{3} \cos \alpha \right)^2} = 25,46 \text{ cm/s} .$$

$$a(t_1) = \sqrt{\left(\ddot{s} \left(\cos \alpha - \frac{s \sin^2 \alpha}{3\sqrt{l^2 - s^2 \sin^2 \alpha}} \right) \ddot{s}^2 \left(\frac{l^2 \sin^2 \alpha}{3\sqrt{(l^2 - s^2 \sin^2 \alpha)^3}} \right) \right)^2 + \ddot{s} \left(\frac{2}{3} \cos \alpha \right)^2} = 77,99 \text{ cm/s}^2.$$

$$\rho(t_1) = \frac{\sqrt{(\dot{x}^2 + \dot{y}^2)^3}}{|\dot{x}\ddot{y} - \dot{y}\ddot{x}|} = 29,04 \text{ cm}.$$

9.3.11. Două corpuri aflate la momentul inițial la distanța de 100 m se mișcă unul spre celălalt astfel:

- primul în mișcare uniformă cu viteza $v_1 = 3 \text{ m/s}$,
- al doilea în mișcare uniform accelerată cu viteza inițială $v_0 = 7 \text{ m/s}$ și accelerația $a = 4 \text{ m/s}^2$. Să se afle locul și timpul de întâlnire al celor două corpuri.

Răspuns: $t = 5 \text{ s}$, $x_1 = 15 \text{ m}$ de poziția inițială a primului corp.

9.3.12. Un mobil este lansat în vid de jos în sus cu viteza inițială v_0 . Știind că mobilul este acționat de accelerația gravitațională g , să se studieze mișcarea și să se determine înălțimea maximă h_{\max} la care ajunge și viteza cu care atinge pământul. Să se reprezinte grafic diagramele mișcării și ale vitezei.

Răspuns: $h_{\max} = \frac{v_0^2}{2g}$, $|v_f| = v_0$, viteza cu care corpul ajunge pe pământ este egală în modul cu viteza inițială v_0 .

9.3.13. Pentru o mișcare dată a unui corp, diagrama vitezelor este o parabolă cu axa verticală îndreptată cu concavitățile în sus și trecând prin origine. Să se determine timpul în care corpul parcurge un drum de mărimea s_1 și viteza v_1 a corpului la sfârșitul drumului, dacă în momentul inițial accelerația corpului este a_0 , iar la sfârșitul drumului s_1 accelerația are mărimea a_1 .

Răspuns: $t_1 = \sqrt{\frac{6s_1}{2a_0 + a_1}}$, $v_1 = \frac{a_0 + a_1}{2} \sqrt{\frac{6s_1}{2a_0 + a_1}}$.

9.3.14. Un punct execută o oscilație armonică după legea: $x = a \sin \frac{2\pi}{T} t$.

Pentru $x = x_1$ și $x = x_2$ viteza punctului este respectiv egală cu v_1 și v_2 . Să se afle amplitudinea a și perioada T a acestei oscilații.

Răspuns:
$$a = \sqrt{\frac{v_2^2 x_1^2 - v_1^2 x_2^2}{v_2^2 - v_1^2}}, \quad T = 2\pi \sqrt{\frac{x_2^2 - x_1^2}{v_1^2 - v_2^2}}.$$

9.3.15. Legea mișcării armonice a coliviei de mină este dată de relația:

$$h = \frac{H}{2}(1 - \cos \varphi), \text{ în care } H \text{ este înălțimea totală la care se ridică colivia de mină,}$$

$\varphi = \sqrt{\frac{2a}{H}} t$, $a = \text{const.}$ Să se determine viteza și accelerația coliviei în funcție de unghiul φ , precum și timpul de înălțare T al coliviei la înălțimea H .

Răspuns:
$$v = \sqrt{\frac{aH}{2}} \sin \varphi, \quad a = a \cos \varphi, \quad T = \pi \sqrt{\frac{H}{2a}}.$$

10. MIȘCĂRILE DE TRANSLAȚIE, DE ROTAȚIE ÎN JURUL UNUI AX FIX ȘI DE ROTO-TRANSLAȚIE ALE UNUI SOLID RIGID ^[9]

10.1 Considerații teoretice

10.1.1 Introducere

În acest capitol se va studia mișcarea în timp a unui solid rigid notat fie cu (C) sau cu (S) pe parcursul capitolelor, fără a se stabili legătura dintre sistemul de forțe ce acționează asupra solidului rigid și caracteristicile mișcării acestuia.

A cunoaște mișcarea unui solid rigid înseamnă, a cunoaște în orice moment poziția, viteza și accelerația unui punct oarecare M al rigidului, în raport cu un sistem de referință fix. Întrucât, pentru fiecare punct aparținând rigidului este necesar să se determine câte trei coordonate, problema are aparent, un număr foarte mare de necunoscute. Însă, datorită condiției de rigiditate potrivit căreia distanțele între două puncte oarecare aparținând rigidului rămân constante, numărul de necunoscute independente este în realitate mult mai mic.

Solidul rigid poate executa o mișcare generală (când variază toți parametrii mișcării) sau mișcări particulare (când variază unul (mișcare simplă) sau mai mulți parametrii). Studiul cinematic al mișcărilor particulare poate fi realizat prin particularizarea studiului cinematic al mișcării generale a rigidului. Însă, pentru o înțelegere cât mai aprofundată a studiului cinematic al mișcării rigidului se vor trata în continuare mișcările particulare ale solidului rigid și ulterior mișcarea generală a acestuia.

Pornind de la mișcarea de translație și mișcarea de rotație în jurul unui ax fix, se pot obține prin combinarea acestor mișcări simple, toate celelalte mișcări ale solidului rigid care sunt: *mișcarea de rototranslație, mișcarea de rotație în jurul unui punct fix, mișcarea plan-paralelă și mișcarea generală.*

10.1.2 Mișcarea de translație a rigidului

10.1.2.1 Studiul geometric al mișcării

Un solid rigid se află în mișcare de translație dacă o dreaptă oarecare aparținând rigidului rămâne tot timpul mișcării paralelă cu ea însăși (fig. 10.1).

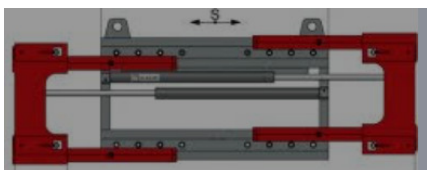
În cazul mișcării de translație a solidului rigid conform definiției anterioare, traiectoriile tuturor punctelor aparținând acestuia sunt paralele între ele, ceea ce face ca studiul mișcării să se reducă la studiul mișcării unui punct al rigidului.

După forma traiectoriilor punctelor se pot distinge trei tipuri de mișcări de translație și anume:

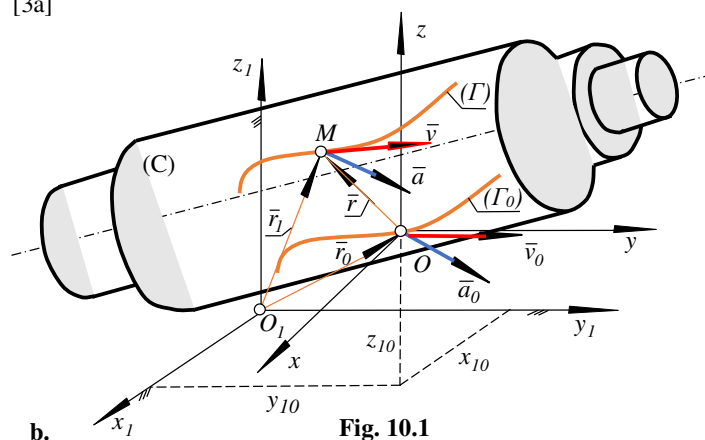
a) *translații rectilinii* - la care traiectoriile punctelor rigidului sunt linii drepte. Ca exemple se pot da, mișcările echipajelor mobile ale modulelor de translație din structura manipuletoarelor și a roboților industriali de construcție modulară, mișcarea saniei unei mașini de rabotat sau mortezat, mișcările pistoanelor unui motor diesel stabil, mișcarea sertărașului unui distribuitor hidraulic, mișcarea unui ascensor etc.;

b) *translații circulare* - la care traiectoriile punctelor rigidului sunt arce de cerc. Exemple de astfel de mișcări pot fi: mișcarea degetelor dispozitivelor de prehensiune care au în componența lor mecanisme paralelogram, mișcarea scaunului unui scrânciob, mișcarea bielei de cuplare a două roți etc.;

c) *translații curbilinii* - la care traiectoriile punctelor rigidului sunt curbe străambe în spațiu. Se pot da ca exemple: mișcarea bielei de cuplare a roților unei locomotive unde un punct descrie o cicloidă scurtată și mișcarea rigletelor unui aparat ISIS etc.



a. [3a]



b.

Fig. 10.1

În figura 10.1b este reprezentat un solid rigid (C) care execută o mișcare de translație curbilinie oarecare înregistrată față de un sistem de referință fix $O_1x_1y_1z_1$. Se alege un sistem de referință mobil $Oxyz$ legat invariabil de solidul rigid a cărui origine o constituie un punct O aparținând rigidului și ale cărui axe rămân paralele cu axele sistemului fix $O_1x_1y_1z_1$, în tot timpul mișcării.

Un astfel de rigid aflat în mișcare de translație posedă trei grade de libertate întrucât, poziția sa este determinată univoc prin coordonatele x_{10} , y_{10} , z_{10} ale unui punct O aparținând rigidului, înregistrate față de sistemul cartezian fix $O_1x_1y_1z_1$.

10.1.2.2 Distribuția de viteze

Fie un punct oarecare aparținând rigidului (C), punct notat cu M și reprezentat în figura 10.1b. Relația de distribuție a vitezelor în cazul mișcării de translație a solidului rigid se obține derivând în raport cu timpul în ambii membrii, relația vectorială:

$$\vec{r}_1 = \vec{r}_{10} + \vec{r} \quad (10.1)$$

și ținând seama că:

$$\dot{\vec{r}}_1 = \vec{v}, \quad \dot{\vec{r}}_{10} = \vec{v}_0, \quad \dot{\vec{r}} = 0, \quad (10.2)$$

rezultă astfel relația:

$$\vec{v} = \vec{v}_0, \quad (10.3)$$

conform căreia, *în cazul mișcării de translație a unui solid rigid vitezele instantanee ale punctelor rigidului sunt egale între ele*. Fiind vorba de viteze la un moment dat (t), vectorii viteze ai punctelor rigidului sunt variabili ca modul și direcție în timpul mișcării acestuia. Singura mișcare de translație în care vitezele punctelor rigidului rămân constante, fiind și egale, este cea a mișcării rectilinii și uniforme.

10.1.2.3 Distribuția de accelerații

Legea de distribuție a accelerațiilor în cazul mișcării de translație a solidului rigid se obține derivând de două ori în raport cu timpul relația (10.1) sau o dată în raport cu timpul relația (10.3). Se obține astfel relația:

$$\vec{a} = \vec{a}_0, \quad (10.4)$$

întrucât,

$$\ddot{\vec{r}}_1 = \ddot{\vec{a}}, \ddot{\vec{r}}_{10} = \ddot{\vec{a}}_0, \ddot{\vec{r}} = 0 \quad (10.5)$$

sau

$$\dot{\vec{v}} = \ddot{\vec{a}}, \dot{\vec{v}}_0 = \ddot{\vec{a}}_0. \quad (10.6)$$

Relația (10.4) arată că la un moment dat (t), *accelerațiile punctelor aparținând unui rigid aflat în mișcare de translație sunt egale între ele* (fig. 10.1).

În cazul mișcării de translație rectilinie și uniform variată, accelerațiile punctelor rigidului sunt egale între ele și constante în timpul mișcării.

10.1.3 Mișcarea de rotație a rigidului în jurul unui ax fix

10.1.3.1 Studiul geometric al mișcării

Un solid rigid execută o mișcare de rotație în jurul unui ax fix dacă în timpul mișcării două puncte aparținând rigidului rămân fixe în spațiu.

Aceste două puncte determină axul fix în jurul căruia se rotește solidul rigid. În figura 10.2 s-a reprezentat un solid rigid (C) care execută o mișcare de rotație în jurul axului fix (Δ). Mișcarea de rotație a rigidului (C) este definită la un moment dat (t) prin poziția axului de rotație, sensul de rotație al rigidului în jurul acestui ax și valoarea vitezei unghiulare, parametri determinați în mod univoc de către *vectorul de rotație* $\vec{\omega}$ care are următoarele caracteristici:

- a) *punctul de aplicație*: plasat oriunde pe axul de rotație (Δ);
- b) *suportul/direcția*: reprezentat prin axul de rotație (Δ);
- c) *sensul*: pe acest suport astfel dirijat încât, pentru observatorul plasat cu picioarele în origine și cu capul în extremitatea vectorului $\vec{\omega}$, rotația rigidului să aibă loc de la dreapta la stânga;
- d) *mărimea*: în general variabilă de la un moment la altul astfel încât, transformată la scara vitezelor unghiulare, să reprezinte în orice moment valoarea vitezei unghiulare de rotație $\vec{\omega}$ a rigidului la momentul considerat.

Rezultă că vectorul $\vec{\omega}$ are direcția axului (Δ) $\equiv Oz$ și modulul egal cu viteza unghiulară de rotație $\dot{\theta} = \omega$, aceeași pentru toate punctele rigidului la un moment dat. Pe baza acestor concluzii, vectorul $\vec{\omega}$ este denumit *vector viteză unghiulară* și are expresia:

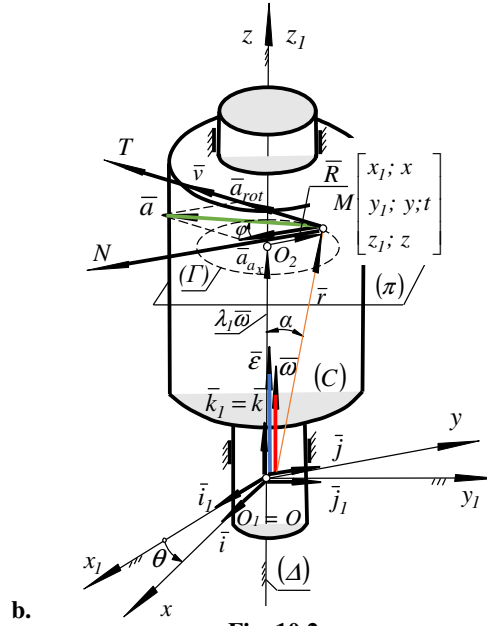
$$\vec{\omega} = \dot{\theta} \vec{k} = \omega \vec{k}. \quad (10.7)$$

Derivata vectorială în raport cu timpul a vectorului viteză unghiulară de rotație reprezintă *acelerația unghiulară* de rotație. Astfel,

$$\bar{\varepsilon} = \dot{\bar{\omega}} = \ddot{\theta} \bar{k} = \varepsilon \bar{k}. \quad (10.8)$$



a. [4a]



b. Fig. 10.2

Rezultă că *acelerația unghiulară* $\bar{\varepsilon}$ are *direcția* axului de rotație $(\Delta) \equiv Oz$ și *modulul* egal cu derivata a doua în raport cu timpul a unghiului de rotație, adică:

$$\varepsilon = \dot{\omega} = \ddot{\theta}. \quad (10.9)$$

Fie un punct material aparținând rigidului (C) aflat în mișcare de rotație în jurul axului fix (Δ) (fig. 10.2b).

Între coordonatele x_1, y_1, z_1 și x, y, z ale acestui punct înregistrate față de sistemul fix respectiv, față de cel mobil, există relația matriceală de legătură:

$$\begin{bmatrix} 1 \\ x_1 \\ y_1 \\ z_1 \end{bmatrix} = \begin{bmatrix} 1 & 0 & 0 & 0 \\ 0 & \cos \theta & -\sin \theta & 0 \\ 0 & \sin \theta & \cos \theta & 0 \\ 0 & 0 & 0 & 1 \end{bmatrix} \begin{bmatrix} 1 \\ x \\ y \\ z \end{bmatrix}, \quad (10.10)$$

din care rezultă *ecuațiile parametrice carteziene ale traiectoriei punctului M*:

$$x_1 = x \cos \theta - y \sin \theta, \quad y_1 = x \sin \theta + y \cos \theta, \quad z_1 = z = \text{const.} \quad (10.11)$$

Eliminând parametrul θ din relația (10.11) și având în vedere că x, y, z sunt mărimi constante, rezultă:

$$x_1^2 + y_1^2 = x^2 + y^2 = R^2, \quad z_1 = z = \text{const.} \quad (10.12)$$

Ecuațiile (10.12) arată că la mișcarea de rotație traiectoria punctului M este un cerc de rază R cu centrul pe axul fix (Δ), situat într-un plan (π), normal pe axa $O_1 z_1$, de cotă $z_1 = z$. Întrucât punctul M a fost ales arbitrar, concluziile se extind asupra tuturor punctelor rigidului.

Rigidul (C) aflat în mișcare de rotație în jurul axului fix (Δ) posedă un singur grad de libertate întrucât, poziția sa în spațiu este determinată de unghiul θ , numit *unghi de rotație* (fig. 10.2). Ca exemple de mișcări de rotație în jurul unui ax fix se pot aminti: mișcarea de rotație a rotoarelor motoarelor electrice, pneumatice și hidraulice, a rotoarelor turbinelor și pompelor centrifugale etc.

10.1.3.2 Distribuția de viteze

În figura 10.2b se alege pe axul fix de rotație (Δ) un punct fix O care coincide cu originea O_1 a sistemului de referință cartezian fix și constituie în același timp originea sistemului cartezian mobil $Oxyz$, solidar cu rigidul. Se notează cu \vec{r} vectorul de poziție al punctului M având punctul de aplicație în O . Se plasează vectorul vitezei unghiulară $\vec{\omega}$ corespunzător unui moment (t), cu punctul de aplicație în O . Viteza \vec{v} a punctului M la momentul ales este reprezentată prin vectorul produs vectorial $\vec{\omega} \times \vec{r}$,

$$\vec{v} = \vec{\omega} \times \vec{r}. \quad (10.13)$$

Într-adevăr, *vectorii* \vec{v} și $\vec{\omega} \times \vec{r}$ au *punctul de aplicație* în M , *suportul* reprezentat prin tangenta la traiectoria circulară (Γ) corespunzătoare punctului M și *sensul* corespunzător sensului vectorului $\vec{\omega}$. Conform relației inițiale, valoarea vitezei \vec{v} este dată de expresia $v = \omega R$, iar valoarea produsului vectorial $\vec{\omega} \times \vec{r}$ este:

$$|\vec{\omega} \times \vec{r}| = |\vec{\omega}| |\vec{r}| \sin \alpha = \omega R \quad (10.14)$$

În concluzie, viteza devine:

$$v = |\vec{\omega} \times \vec{r}| = \omega R. \quad (10.15)$$

Deoarece toate caracteristicile vectorilor \vec{v} și $\vec{\omega} \times \vec{r}$ sunt identice, se ajunge la concluzia că relația (10.13) constituie *legea de distribuție a vitezelor în cazul mișcării de rotație a solidului rigid în jurul unui ax fix*.

Proiectând (10.13) pe axele sistemului de referință mobil $Oxyz$, se obțin proiecțiile vitezei punctului $M(x, y, z)$ pe aceste axe:

$$v_x = -\omega y, \quad v_y = \omega x, \quad v_z = 0. \quad (10.16)$$

Modulul vectorului viteză, având în vedere (10.16), este:

$$v = \sqrt{v_x^2 + v_y^2 + v_z^2} = \omega \sqrt{x^2 + y^2} = \omega R, \quad (10.17)$$

unde: R este distanța de la punctul M la axul de rotație.

Din expresiile proiecțiilor vitezei \vec{v} pe axele sistemului mobil, rezultă unele *proprietăți ale distribuției de viteze în cazul mișcării de rotație*:

a) Punctele care au viteza egală cu zero sunt cele care aparțin axului de rotație. Într-adevăr, egalând cu zero proiecțiile (10.16) ale vitezei, se obțin: $x = y = 0$ care sunt ecuațiile axei Oz ;

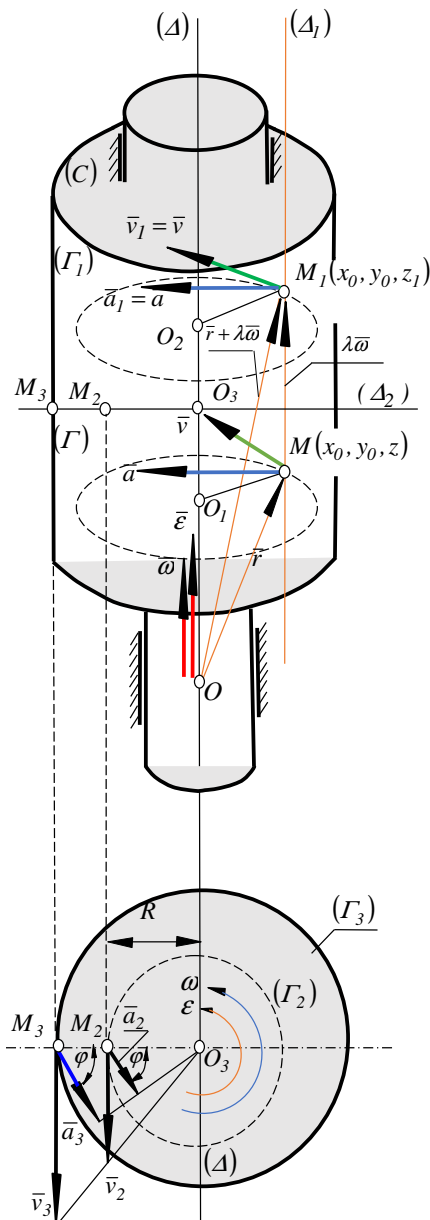


Fig. 10.3

b) Vitezele punctelor rigidului sunt conținute în plane normale pe axul de rotație (Δ) $\equiv Oz$ ($v_z = 0$, conform relației (10.16));

c) Punctele situate pe o paralelă cu axul de rotație au aceeași viteză (fig. 10.3). Această proprietate rezultă din faptul că, în expresiile (10.16) nu apare cota z a punctului, deci toate punctele care au o anumită abscisă x_0 și o anumită ordonată y_0 au o aceeași viteză. Aceste puncte se găsesc pe dreapta $x = x_0, y = y_0$ care este paralelă cu axul de rotație.

Proprietatea aceasta poate fi demonstrată și vectorial introducând în (10.13) vectorii de poziție \vec{r} , respectiv $\vec{r} + \lambda \vec{\omega}$, ce definesc punctele M și M_1 aparținând rigidului și plasate pe dreapta (Δ_1) paralelă cu axul de rotație (Δ).

Vitezele celor două puncte au expresiile:

$$\vec{v} = \vec{\omega} \times \vec{r}, \quad \vec{v}_1 = \vec{\omega} \times (\vec{r} + \lambda \vec{\omega}) = \vec{\omega} \times \vec{r}, \quad (10.18)$$

astfel că:

$$\vec{v} = \vec{v}_1. \quad (10.19)$$

Relația (10.19) poate fi extinsă la toate punctele de pe dreapta (Δ_1) întrucât, punctele M și M_1 au fost alese arbitrar;

d) Vitezele punctelor aparținând rigidului, situate pe o dreaptă (Δ_2) perpendiculară pe axul de rotație (Δ) pe care îl intersectează, cresc proporțional cu distanța R de la aceste puncte la axul fix de rotație, conform cu (10.17) și sunt normale pe dreapta (Δ_2) având sensul mișcării.

10.1.3.3 Distribuția de accelerații

Legea de distribuție a accelerațiilor în cazul mișcării de rotație în jurul unui ax fix a unui solid rigid se obține derivând vectorial în raport cu timpul legea de distribuție a vitezelor dată de (10.13). Ținând seama că:

$$\dot{\vec{v}} = \vec{a}, \quad \dot{\vec{\omega}} = \vec{\varepsilon}, \quad \dot{\vec{r}} = \vec{v} = \vec{\omega} \times \vec{r}, \quad (10.20)$$

se obține:

$$\vec{a} = \vec{\varepsilon} \times \vec{r} + \vec{\omega} \times (\vec{\omega} \times \vec{r}) \quad (10.21)$$

sau

$$\vec{a} = \vec{\varepsilon} \times \vec{r} + (\vec{\omega} \cdot \vec{r}) \vec{\omega} - \omega^2 \vec{r}. \quad (10.22)$$

Relația (10.21) respectiv, (10.22), constituie *legea de distribuție a accelerațiilor în cazul mișcării de rotație a solidului rigid în jurul unui ax fix*.

Componenta $\bar{\varepsilon} \times \bar{r}$ poartă numele de **accelerație de rotație**, iar componenta $\bar{\omega} \times (\bar{\omega} \times \bar{r})$ poartă numele de **accelerație axipetă**, notându-se:

$$\bar{\varepsilon} \times \bar{r} = \bar{a}_{rot}, \quad \bar{\omega} \times (\bar{\omega} \times \bar{r}) = \bar{a}_{ax}. \quad (10.23)$$

Aceste componente coincid cu componentele intrinseci ale accelerației punctului M , punct aflat în mișcare circulară:

$$\bar{a}_{rot} = \bar{a}_{\tau}, \quad \bar{a}_{ax} = \bar{a}_{\nu} \quad (10.24)$$

și sunt indicate în figura 10.2.

Având în vedere notațiile din figura 10.2, se poate scrie relația:

$$\bar{r} = \lambda_1 \bar{\omega} + \bar{R}, \quad (10.25)$$

care introdusă în relațiile (10.23), conduce la:

$$\begin{aligned} \bar{\varepsilon} \times \bar{r} &= \bar{\varepsilon} \times (\lambda_1 \bar{\omega} + \bar{R}) = \bar{\varepsilon} \times \bar{R}, \\ \bar{\omega} \times (\bar{\omega} \times \bar{r}) &= \bar{\omega} \times [\bar{\omega} \times (\lambda_1 \bar{\omega} + \bar{R})] = -\omega^2 \bar{R}. \end{aligned} \quad (10.26)$$

Accelerația punctului M (fig. 10.2), având în vedere (10.21) și (10.26), ajunge la forma:

$$\bar{a} = \bar{\varepsilon} \times \bar{R} - \omega^2 \bar{R} \quad (10.27)$$

sau, notând cu $\bar{\tau}$ și $\bar{\nu}$ versorii axelor sistemului intrinsec de referință corespunzător mișcării punctului M pe traiectoria (Γ) de rază R , relația (10.27) devine:

$$\bar{a} = \bar{a}_{\tau} + \bar{a}_{\nu} = \bar{\tau} \varepsilon R + \bar{\nu} \omega^2 R. \quad (10.28)$$

Modulul și direcția vectorului accelerație, conform cu (10.28), se determină cu relațiile:

$$a = R \sqrt{\omega^4 + \varepsilon^2}, \quad \text{tg } \varphi = \frac{a_{\tau}}{a_{\nu}} = \frac{\varepsilon}{\omega^2}. \quad (10.29)$$

Proiectând (10.22) sau (10.27) pe axele sistemului mobil $Oxyz$ din figura 10.2, se obțin componentele carteziene ale accelerației \bar{a} și anume:

$$a_x = -\varepsilon y - \omega^2 x, \quad a_y = \varepsilon x - \omega^2 y, \quad a_z = 0. \quad (1030)$$

Cu ajutorul expresiilor (10.30) se poate deduce *modulul accelerației* punctului M :

$$a = \sqrt{a_x^2 + a_y^2 + a_z^2} = \sqrt{\omega^4 + \varepsilon^2} \sqrt{x^2 + y^2} = R\sqrt{\omega^4 + \varepsilon^2}. \quad (10.31)$$

Din expresiile (10.30) rezultă următoarele **proprietăți ale distribuției de accelerații în cazul mișcării de rotație**:

a) Punctele care au accelerația egală cu zero sunt punctele de pe axul de rotație. Într-adevăr, egalând cu zero proiecțiile a_x și a_y rezultă:

$$-\omega^2 x - \varepsilon y = 0, \quad \varepsilon x - \omega^2 y = 0. \quad (10.32)$$

Sistemul omogen (10.32) are determinantul său:

$$\Delta = \begin{vmatrix} -\omega^2 & -\varepsilon \\ \varepsilon & -\omega^2 \end{vmatrix} = \omega^4 + \varepsilon^2 \quad (10.33)$$

diferit de zero, deoarece ω și ε nu pot fi concomitent nuli astfel încât, sistemul nu poate să admită decât soluția banală $x = y = 0$ care reprezintă ecuația axului de rotație $(\Delta) \equiv Oz$;

b) Accelerațiile punctelor rigidului sunt conținute în plane normale pe axul de rotație deoarece $a_z = 0$;

c) Punctele situate pe o paralelă cu axul de rotație au aceeași accelerație (fig. 10.3), deoarece cota z a acestor puncte nu figurează în expresiile (10.30), coordonatele x și y fiind aceleași pentru toate punctele de pe această paralelă. Proprietatea poate fi demonstrată și vectorial introducând în expresia (10.21) a accelerației vectorii de poziție \vec{r} , respectiv $\lambda\vec{\omega} + \vec{r}$, care deservesc punctele M și M_I din figura 10.3 situate pe dreapta (Δ_I) , dreaptă paralelă cu axul de rotație. Se obține astfel:

$$\vec{a} = \vec{\varepsilon} \times \vec{r} + \vec{\omega} \times (\vec{\omega} \times \vec{r}), \quad (10.34)$$

$$\vec{a}_1 = \vec{\varepsilon} \times (\lambda\vec{\omega} + \vec{r}) + \vec{\omega} \times [\vec{\omega} \times (\lambda\vec{\omega} + \vec{r})] = \vec{\varepsilon} \times \vec{r} + \vec{\omega} \times (\vec{\omega} \times \vec{r}), \quad (10.35)$$

astfel că,

$$\vec{a} = \vec{a}_1; \quad (10.36)$$

- d) Punctele solidului rigid aparținând unei drepte perpendiculare pe axul de rotație au vectorii accelerație paraleli, direcția lor fiind dată de un unghi φ a cărui tangentă este $\operatorname{tg} \varphi = \frac{|\varepsilon|}{\omega^2}$, iar modulul este proporțional cu distanța R a punctului la axul de rotație, conform cu (10.31) și figura 10.3;
- e) Mișcarea de rotație a unui solid rigid în jurul unui ax fix în timpul căreia $\omega = \text{constant}$, se numește **mișcare de rotație uniformă**. În acest caz, accelerația unui punct se reduce la componenta intrinsecă normală:

$$a_v = \omega^2 R. \quad (10.37)$$

Cunoscând turația n [rot/min] a corpului, viteza unghiulară de rotație a acestuia se determină cu relația:

$$\omega = \frac{2\pi n}{60} = \frac{\pi n}{30} \text{ [rad/s]}. \quad (10.38)$$

- f) Dacă $\varepsilon = \text{constant}$, mișcarea rigidului se numește **mișcare de rotație uniform variată** putând fi: *uniform accelerată* dacă $\bar{\omega}$ și $\bar{\varepsilon}$ au același sens sau *uniform întârziată* dacă au sensuri contrare.

10.1.4 Mișcarea de roto-translație a rigidului

10.1.4.1 Studiul geometric al mișcării

Un solid rigid execută o mișcare de roto-translație dacă o dreaptă solidară cu el păstrează în tot timpul mișcării un suport fix (Δ).

Pentru studiul mișcării se consideră un sistem cartezian fix $O_1x_1y_1z_1$ astfel încât, axa O_1z_1 să coincidă cu axa mișcării de roto-translație și un sistem cartezian mobil $Oxyz$ invariabil legat de solidul rigid, a cărui axă Oz coincide cu axa O_1z_1 , originile O_1 și O ale celor două sisteme de referință fiind plasate pe axa (Δ) (fig. 10.4). Întrucât rigidul execută o mișcare de translație de-a lungul axei mișcării (originea O a sistemului mobil se deplasează pe axa O_1z_1) și o mișcare de rotație în jurul acestei axe, parametrii care dau poziția sistemului mobil, deci și a rigidului, față de sistemul fix sunt:

$$z_0 = z_0(t), \quad \theta = \theta(t). \quad (10.39)$$

Rezultă că, *rigidul aflat în mișcare de roto-translație are două grade de libertate.*

Fie M un punct material aparținând solidului rigid (C) care execută o mișcare de roto-translație în raport cu axa (Δ) (fig. 10.4). Între coordonatele x_1, y_1, z_1 și x, y, z ale acestui punct înregistrate față de sistemul fix, respectiv față de cel mobil, există relația matriceală de legătură:

$$\begin{bmatrix} 1 \\ x_1 \\ y_1 \\ z_1 \end{bmatrix} = \begin{bmatrix} 1 & 0 & 0 & 0 \\ 0 & \cos \theta & -\sin \theta & 0 \\ 0 & \sin \theta & \cos \theta & 0 \\ z_0 & 0 & 0 & 1 \end{bmatrix} \begin{bmatrix} 1 \\ x \\ y \\ z \end{bmatrix}, \quad (10.40)$$

din care se obțin *ecuațiile parametrice carteziene ale traiectoriei punctului M :*

$$x_1 = x \cos \theta - y \sin \theta, \quad y_1 = x \sin \theta + y \cos \theta, \quad z_1 = z_0 + z. \quad (10.41)$$

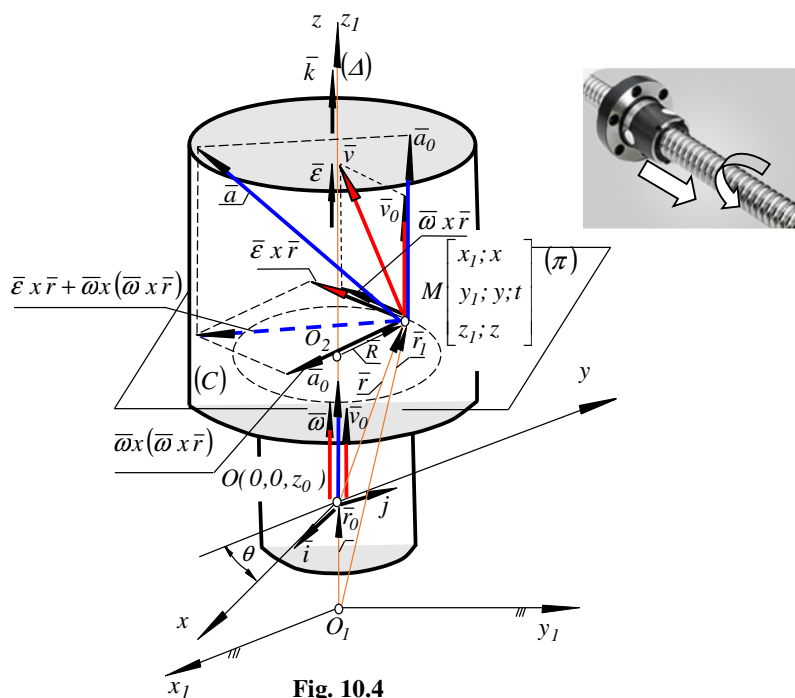


Fig. 10.4

În acest caz și conform cu (10.40), traiectoriile punctelor rigidului sunt elice de pas variabil situate pe un cilindru de rază $R = \sqrt{x^2 + y^2}$, excepție făcând doar punctele de pe axă, care descriu axa. Ca exemple de mișcări de roto-translație se pot prezenta: mișcarea mandrinei de la o mașină de găurit, mișcarea unei piulițe pe un șurub, mișcarea unui glonț în interiorul țevii unei arme ghintuite, mișcarea ansamblului mobil al unui modul de roto-translație din structura mecanică a unui manipulator sau robot industrial etc.

10.1.4.2 Distribuția de viteze

Având în vedere *particularitățile mișcării* se constată următoarele:

a) Originea O a sistemului de referință mobil are o mișcare rectilinie pe dreapta O_1z_1 , astfel că:

$$\bar{r}_0 = \overline{O_1O} = z_0\bar{k}, \quad \bar{v}_0 = \dot{\bar{r}}_0 = \dot{z}_0\bar{k} = v_0\bar{k}, \quad \bar{a}_0 = \dot{\bar{v}}_0 = \dot{z}_0\bar{k} = a_0\bar{k}. \quad (10.42)$$

b) Planul xOy al sistemului mobil rămâne paralel cu planul fix $x_1O_1y_1$, astfel încât vectorii $\bar{\omega}$ și $\bar{\varepsilon}$ vor avea aceleași expresii ca și la mișcarea de rotație:

$$\bar{\omega} = \dot{\theta}\bar{k} = \omega\bar{k}, \quad \bar{\varepsilon} = \ddot{\theta}\bar{k} = \varepsilon\bar{k}. \quad (10.43)$$

Între vectorii de poziție \bar{r}_0, \bar{r}_1 și \bar{r} din figura 10.4 există relația:

$$\bar{r}_1 = \bar{r}_0 + \bar{r}, \quad (10.44)$$

care derivată vectorial în raport cu timpul conduce la expresia:

$$\bar{v} = \bar{v}_0 + \bar{\omega} \times \bar{r}, \quad (10.45)$$

întrucât,

$$\dot{\bar{r}}_1 = \bar{v}, \quad \dot{\bar{r}}_0 = \bar{v}_0, \quad \dot{\bar{r}} = \bar{\omega} \times \bar{r}. \quad (10.46)$$

Relația vectorială (10.45) reprezintă *legea de distribuție a vitezelor în cazul mișcării de roto-translație a solidului rigid*.

Proiecțiile vectorului viteză pe axele sistemului mobil, având în vedere relațiile (10.42), (10.43) și (10.45), sunt:

$$v_x = -\omega y, \quad v_y = \omega x, \quad v_z = v_0. \quad (10.47)$$

Din expresiile (10.47) rezultă următoarele **proprietăți ale distribuției de viteze în cazul mișcării de roto-translație**:

- a) nu există puncte ale rigidului a căror viteză să fie nulă ($v_z = v_0 \neq 0$);
- b) vitezele punctelor de pe axa mișcării de roto-translație sunt minime și egale cu \bar{v}_0 ;
- c) proiecțiile vitezelor tuturor punctelor rigidului pe axa mișcării sunt constante și egale cu \bar{v}_0 , ceea ce rezultă înmulțind scalar cu $\bar{k} = \frac{\bar{\omega}}{\omega}$ relația vectorială (10.45);
- d) vitezele punctelor situate pe o dreaptă (Δ_1) paralelă cu axa (Δ) sunt egale;

Fie M și M_1 două puncte situate pe o dreaptă paralelă cu axa mișcării. Vitezele acestor puncte sunt conform cu (10.45) și figura 10.5:

$$\bar{v} = \bar{v}_0 + \bar{\omega} \times \bar{r}, \quad \bar{v}_1 = \bar{v}_0 + \bar{\omega} \times (\bar{r} + \lambda \bar{\omega}) = \bar{v}, \quad (10.48)$$

astfel că:

$$\bar{v} = \bar{v}_1, \quad (10.49)$$

relație ce poate fi extinsă la toate punctele de pe dreapta (Δ_1) , întrucât punctele M și M_1 au fost alese arbitrar;

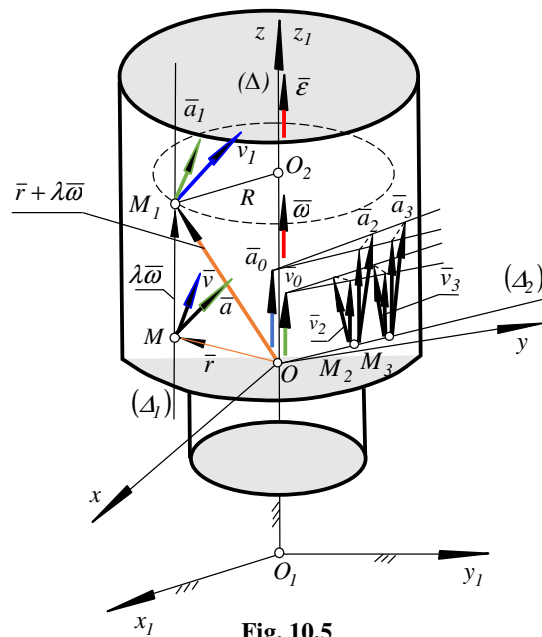


Fig. 10.5

e) vitezele punctelor aparținând rigidului, situate pe o dreaptă (Δ_2) (fig. 10.5) normală pe axa (Δ) a mișcării pe care o intersectează, variază liniar (vârfurile vectorilor vitează de pe dreapta (Δ_2) se găsesc pe o dreaptă). Această proprietate este o consecință a relațiilor (10.47), care sunt liniare în coordonatele x și y .

10.1.4.3 Distribuția de accelerații

Legea de distribuție a accelerațiilor în cazul mișcării de roto-translație a solidului rigid se obține derivând vectorial în raport cu timpul legea de distribuție a vitezelor (10.45). Ținând seama că:

$$\dot{\vec{v}} = \vec{a}, \quad \dot{\vec{v}}_0 = \vec{a}_0, \quad \dot{\vec{\omega}} = \vec{\varepsilon}, \quad \dot{\vec{r}} = \vec{\omega} \times \vec{r}, \quad (10.50)$$

se obține:

$$\vec{a} = \vec{a}_0 + \vec{\varepsilon} \times \vec{r} + \vec{\omega} \times (\vec{\omega} \times \vec{r}), \quad (10.51)$$

sau

$$\vec{a} = \vec{a}_0 + \vec{\varepsilon} \times \vec{r} + (\vec{\omega} \cdot \vec{r})\vec{\omega} - \omega^2 \vec{r}. \quad (10.52)$$

Relația (10.51), respectiv (10.52), constituie *legea de distribuție a accelerațiilor la mișcarea de roto-translație a solidului rigid*.

Similar cu distribuția de viteze, se pot obține proiecțiile accelerației pe axele sistemului mobil, având în vedere (10.42), (10.43) și (10.52). Astfel,

$$a_x = -\varepsilon y - \omega^2 x, \quad a_y = \varepsilon x - \omega^2 y, \quad a_z = a_0. \quad (10.53)$$

Din expresiile (10.53) rezultă următoarele *proprietăți ale distribuției de accelerații în cazul mișcării de roto-translație*:

- a) nu există puncte ale rigidului a căror accelerație să fie egală cu zero ($a_z = a_0 \neq 0$);
- b) punctele situate pe axa mișcării de roto-translație au accelerațiile minime și egale cu a_0 (fig. 10.5);
- c) punctele situate pe o dreaptă (Δ_1) paralelă cu axa mișcării au accelerații egale, întrucât componentele accelerației (10.53) nu depind de cota z ;
- d) punctele aparținând rigidului situate pe o dreaptă (Δ_2) ce intersectează normal axa mișcării, au accelerații care variază liniar (vârfurile vectorilor

același lucru se poate spune și pentru accelerațiile ale diferitelor puncte de pe dreapta (Δ_2) se găsesc pe o dreaptă), întrucât expresiile (10.53) ale proiecțiilor accelerațiilor sunt liniare în coordonatele x și y ;

- e) proiecțiile accelerațiilor tuturor punctelor rigidului pe axa mișcării sunt constante și egale cu \bar{a}_0 , proprietate care se obține înmulțind scalar cu versorul axei mișcării, relația (10.51).

10.1.4.4 Mișcarea de șurub

Un caz particular al mișcării de roto-translație este cel al *mișcării de șurub*, caz în care între parametrii z_0 și θ există o relație de forma:

$$z_0 = k\theta. \quad (10.54)$$

De remarcat că în acest caz, *rigidul are un singur grad de libertate*. Pentru determinarea constantei k în funcție de pasul șurubului se observă că la rotația șurubului cu un unghi $\theta = 2\pi$, acesta înaintează cu un pas p . Rezultă astfel:

$$k = \frac{p}{2\pi}. \quad (10.55)$$

Introducând relația (10.55) în (10.54), se obține:

$$z_0 = \frac{p}{2\pi}\theta. \quad (10.56)$$

Derivând succesiv expresia (10.56) în raport cu timpul, rezultă:

$$v_0 = \dot{z}_0 = \frac{p}{2\pi}\omega, \quad a_0 = \dot{v}_0 = \frac{p}{2\pi}\varepsilon. \quad (10.57)$$

10.2 Probleme rezolvate ^[9]

10.2.1. Un solid rigid se rotește cu turația $n = 3000 \text{ rot/min}$ în jurul axei fixe (Δ) de ecuație $x_I = y_I = z_I$. Să se determine viteza unui punct oarecare M al solidului rigid în raport cu sistemul de referință fix $O_I x_I y_I z_I$, respectiv în raport cu sistemul de referință mobil $Oxyz$ (fig. 10.6). Să se stabilească de asemenea, relațiile de legătură între coordonatele unui punct M al rigidului înregistrate față de cele două sisteme de referință.

Soluție:

Cosinusurile directoare ale axei de rotație sunt:

$$\alpha_1 = \beta_1 = \gamma_1 = \frac{1}{\sqrt{3}}, \quad (1)$$

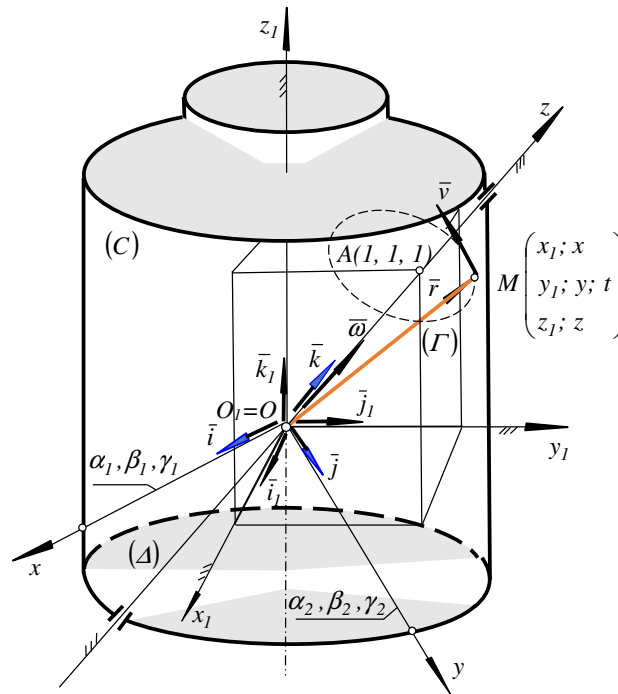


Fig. 10.6

iar modulul vectorului $\bar{\omega}$ este:

$$\omega = \frac{2\pi}{60}n = \frac{\pi}{30}3000 = 100\pi \text{ rad/s.} \quad (2)$$

Componentele vectorului viteză unghiulară pe axele sistemului fix $O_1x_1y_1z_1$ vor fi egale între ele, întrucât cosinusurile directe ale suportului vectorului $\bar{\omega}$ au aceeași valoare, în conformitate cu (1). Astfel,

$$\omega_{x_1} = \omega_{y_1} = \omega_{z_1} = \frac{\omega}{\sqrt{3}} = \frac{100\pi}{\sqrt{3}}. \quad (3)$$

Viteza unui punct M al rigidului înregistrat față de sistemul de referință fix se determină astfel:

$$\bar{v} = \bar{\omega} \times \bar{r} = \begin{vmatrix} \bar{i}_1 & \bar{j}_1 & \bar{k}_1 \\ \omega_{x_1} & \omega_{y_1} & \omega_{z_1} \\ x_1 & y_1 & z_1 \end{vmatrix} = \frac{100\pi}{\sqrt{3}} [(z_1 - y_1)\bar{i}_1 + (x_1 - z_1)\bar{j}_1 + (y_1 - x_1)\bar{k}_1]. \quad (4)$$

Exprimând viteza punctului M față de un sistem de referință mobil $Oxyz$, invariabil legat de solidul rigid, se obține:

$$\bar{v} = \bar{\omega} \times \bar{r} = \begin{vmatrix} \bar{i} & \bar{j} & \bar{k} \\ 0 & 0 & \omega \\ x & y & z \end{vmatrix} = 100\pi(-y\bar{i} + x\bar{j}). \quad (5)$$

Notând cu $\alpha_i, \beta_i, \gamma_i$, $i = 1 \div 3$, cosinusurile directe ale axelor sistemului de referință mobil $Oxyz$ în raport cu axele sistemului de referință fix și utilizând tabelul 10.1,

Tabelul 10.1

	\bar{i}	\bar{j}	\bar{k}
\bar{i}_1	α_1	α_2	α_3
\bar{j}_1	β_1	β_2	β_3
\bar{k}_1	γ_1	γ_2	γ_3

se pot scrie relațiile:

$$\begin{aligned} \bar{i} &= \alpha_1 \bar{i}_1 + \beta_1 \bar{j}_1 + \gamma_1 \bar{k}_1 & \bar{i}_1 &= \alpha_1 \bar{i} + \alpha_2 \bar{j} + \alpha_3 \bar{k} \\ \bar{j} &= \alpha_2 \bar{i}_1 + \beta_2 \bar{j}_1 + \gamma_2 \bar{k}_1 & \bar{j}_1 &= \beta_1 \bar{i} + \beta_2 \bar{j} + \beta_3 \bar{k} \\ \bar{k} &= \alpha_3 \bar{i}_1 + \beta_3 \bar{j}_1 + \gamma_3 \bar{k}_1 & \bar{k}_1 &= \gamma_1 \bar{i} + \gamma_2 \bar{j} + \gamma_3 \bar{k}, \end{aligned} \quad (6)$$

prin care se poate trece de la sistemul de referință fix la cel mobil, respectiv de la sistemul de referință mobil la cel fix.

Vectorul de poziție \bar{r} al punctului M în raport cu originile O și O_1 ale celor două sisteme de referință se poate exprima astfel:

$$\bar{r} = x\bar{i} + y\bar{j} + z\bar{k} = x_1\bar{i}_1 + y_1\bar{j}_1 + z_1\bar{k}_1. \quad (7)$$

Introducând în (7) primul set de relații (6) și identificând coeficienții versorilor $\bar{i}_1, \bar{j}_1, \bar{k}_1$, se obțin relațiile de legătură între coordonatele punctului M exprimate în raport cu sistemul fix $O_1x_1y_1z_1$ și coordonatele aceluiași punct înregistrate față de sistemul mobil $Oxyz$. Astfel,

$$\begin{aligned} x_1 &= \alpha_1 x + \alpha_2 y + \alpha_3 z, \\ y_1 &= \beta_1 x + \beta_2 y + \beta_3 z, \\ z_1 &= \gamma_1 x + \gamma_2 y + \gamma_3 z. \end{aligned} \quad (8)$$

Introducând al doilea set de relații (6) în relația (7) și identificând coeficienții versorilor $\bar{i}, \bar{j}, \bar{k}$, se obțin relațiile:

$$\begin{aligned} x &= \alpha_1 x_1 + \beta_1 y_1 + \gamma_1 z_1, \\ y &= \alpha_2 x_1 + \beta_2 y_1 + \gamma_2 z_1, \\ z &= \alpha_3 x_1 + \beta_3 y_1 + \gamma_3 z_1. \end{aligned} \quad (9)$$

10.2.2. Un corp se rotește în jurul unui ax care trece prin punctul $M_0(2, 1, 3)$ cu viteza unghiulară $\omega = 25 \text{ s}^{-1}$, cosinusurile directoare ale vectorului

$\bar{\omega}$ fiind: $\alpha = 0,60$, $\beta = 0,48$, $\gamma = 0,64$. Să se determine viteza punctului $M(10, 7, 11)$ a corpului (fig. 10.7).

Soluție:

Notând ca în figura 10.7 vectorii de poziție ai punctelor M_0 și M , viteza punctului M conform cu (10.15) este:

$$\bar{v} = \bar{\omega} \times \bar{r} \quad (1)$$

$$v_x \bar{i} + v_y \bar{j} + v_z \bar{k} = \begin{vmatrix} \bar{i} & \bar{j} & \bar{k} \\ \omega_x & \omega_y & \omega_z \\ x & y & z \end{vmatrix} \quad (2)$$

Proiecțiile vitezei punctului M pe axele sistemului cartezian $Oxyz$ sunt:

$$\begin{aligned} v_x &= \omega_y z - \omega_z y, & v_y &= \omega_z x - \omega_x z, \\ v_z &= \omega_x y - \omega_y x. \end{aligned} \quad (3)$$

Componentele carteziene ale vitezei unghiulare instantanee $\bar{\omega}$ și ale vectorului de poziție \bar{r} sunt:

$$\begin{aligned} \omega_x &= \omega \cdot \alpha = 25 \cdot 0,60 = 15 \text{ 1/s} \\ \omega_y &= \omega \cdot \beta = 25 \cdot 0,48 = 12 \text{ 1/s} \\ \omega_z &= \omega \cdot \gamma = 25 \cdot 0,64 = 16 \text{ 1/s} \end{aligned}$$

$$\begin{aligned} x &= x_1 - x_0 = 10 - 2 = 8 \\ y &= y_1 - y_0 = 7 - 1 = 6 \\ z &= z_1 - z_0 = 11 - 3 = 8. \end{aligned} \quad (4)$$

Înlocuind în (3) mărimile obținute în relațiile (4), se obțin componentele carteziene ale vitezei instantanee \bar{v} . Astfel,

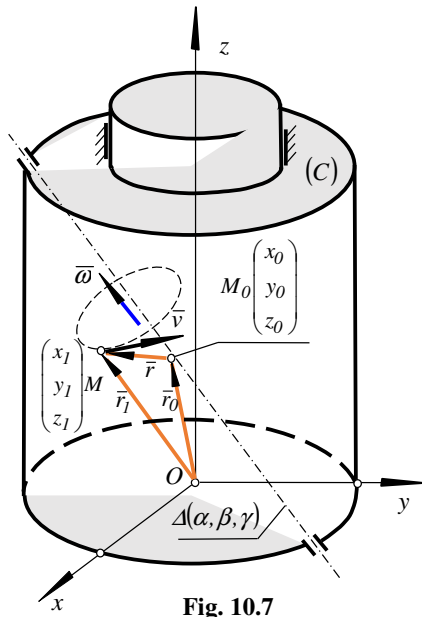


Fig. 10.7

$$v_x = 12 \cdot 8 - 16 \cdot 6 = 0, \quad v_y = 16 \cdot 8 - 15 \cdot 8 = 8, \quad v_z = 15 \cdot 6 - 12 \cdot 8 = -6. \quad (5)$$

Modulul vitezei punctului M este:

$$v = \sqrt{v_x^2 + v_y^2 + v_z^2} = \sqrt{64 + 36} = 10 \text{ m/s}. \quad (6)$$

10.2.3. Se consideră un robot industrial a cărui schemă cinematică structurală este prezentată în figura 10.8a. Se presupune că robotul manipulează piese de formă cilindrică utilizând mișcarea pe verticală pentru depunerea pieselor într-un depozit. Referindu-ne la mișcarea de rotație uniformă în jurul axului (Δ) cu viteza unghiulară ω , se cer, să se determine locurile geometrice ale extremităților vectorilor vitează \vec{v} și accelerație \vec{a} ai punctului caracteristic M , dați ca mărime și direcție.

Soluție:

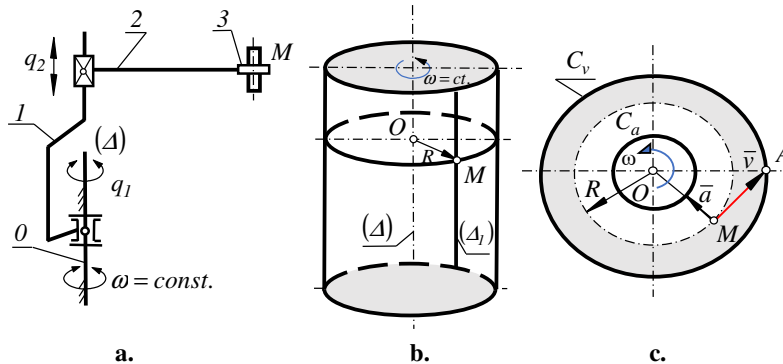


Fig. 10.8

Punctul caracteristic M , aparținând dreptei caracteristice (Δ_1) paralelă cu axul de rotație (Δ) se mișcă pe un cerc de rază R , situat într-un plan perpendicular pe axul (Δ) (fig. 10.8b).

Viteza punctului M , conform cu (10.15), are expresia:

$$v = \omega R. \quad (1)$$

Accelerația punctului caracteristic, având în vedere (10.28), se calculează astfel:

$$a = \sqrt{a_\tau^2 + a_v^2}, \quad a_\tau = \varepsilon R = 0, \quad (\varepsilon = \dot{\omega} = 0), \quad a_v = \omega^2 R. \quad (2)$$

$$a = \omega^2 R. \quad (3)$$

Extremitățile vectorilor viteză \bar{v} și accelerație \bar{a} descriu cercuri concentrice în O (fig. 10.8c). Dar, cum dreapta caracteristică (Δ_I) are o infinitate de puncte M , locurile geometrice ale extremităților vectorilor \bar{v} și \bar{a} vor fi cilindrii C_v și C_a , ale căror raze se deduc din triunghiul OMA :

$$R_{C_v} = OA = \sqrt{OM^2 + MA^2} = R\sqrt{1 + \omega^2}, \quad (4)$$

$$R_{C_a} = OM - MB = R(1 - \omega^2). \quad (5)$$

10.2.4. Mecanismul din figura 10.9 se compune din corpurile A și B care pot executa numai mișcări de translație astfel ca ele să rămână mereu în contact în punctul C . Cunoscând valoarea deplasării orizontale h a piesei A , se cere valoarea deplasării h_1 a piesei B .

Soluție:

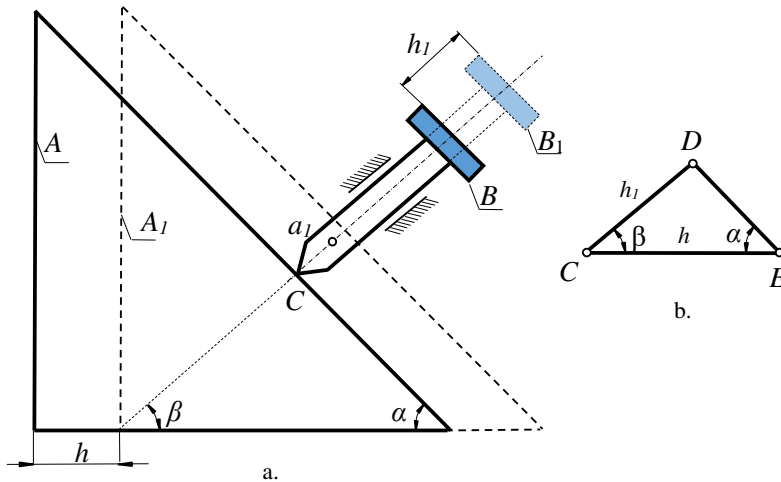


Fig. 10.9

Pozițiile finale ale pieselor A și B sunt A_I și B_I . Valoarea deplasării h_1 a piesei B se deduce din figură, respectiv CD este deplasarea punctului de contact C de pe piesa

B , iar CE este deplasarea aceluiași punct situat pe piesa A . Cum $CD = h_1$ iar $CE = h$, din triunghiul CDE rezultă:

$$\frac{h}{\sin(\alpha + \beta)} = \frac{h_1}{\sin \alpha} = \frac{DE}{\sin \beta} \quad (1)$$

$$h_1 = h \cdot \frac{\sin \alpha}{\sin(\alpha + \beta)}. \quad (2)$$

În raport cu pana A , vârful piesei B se urcă cu DE , adică, conform cu (1):

$$DE = h \cdot \frac{\sin \beta}{\sin(\alpha + \beta)}. \quad (3)$$

10.2.5. Rotorul unei mașini electrice are o turație de regim $n = 1000 \text{ rot/min}$, când i se întrerupe alimentarea cu curent electric. Ca urmare a rezistențelor pe care le întâmpină, după 700 rotații din momentul întreruperii alimentării, rotorul se oprește. Cunoscând raza rotorului $r = 20 \text{ cm}$, să se determine:

- timpul după care s-a oprit;
- accelerația unui punct de pe periferia rotorului după ce rotorul a făcut 200 de rotații din momentul întreruperii alimentării;

Soluție:

a) Considerând că mișcarea rotorului din momentul întreruperii alimentării până la oprire este o *mișcare de rotație uniform întârziată*, ecuațiile mișcării sunt:

$$\varphi = -\frac{1}{2} \varepsilon t_0^2 + \omega_0 t_0. \quad (1)$$

$$\omega = \omega_0 - \varepsilon t_0 = 0, \quad (2)$$

unde:

- φ este unghiul în *radiani* corespunzător la 700 de rotații;
- ω_0 este viteza unghiulară de regim;
- ε este accelerația unghiulară a rotorului;
- ω este viteza unghiulară în momentul opririi;
- t_0 este timpul cât durează mișcarea, unghi măsurat din momentul întreruperii alimentării.

Conform datelor problemei, rezultă:

$$\varphi = 2\pi n_1 = 2\pi 700 \text{ rad.}$$

$$\omega_0 = \frac{\pi n}{30} = \frac{\pi 100}{3} = 104,71 \text{ 1/s} . \quad (3)$$

Înlocuind relația (3) în (1) și (2), se obține:

$$\varepsilon = \frac{\pi 100}{3 t_0}, \quad 2\pi 700 = -\frac{1}{2} \frac{\pi 100}{3} t_0 + \frac{\pi 100}{3} t_0, \quad (4)$$

$$t_0 = 14 \cdot 6 = 84 \text{ s.} \quad (5)$$

b) *Accelerația unui punct de pe periferia rotorului.*

b1. În mișcarea de regim se consideră că viteza unghiulară $\bar{\omega}_0$ este constantă, deci $\bar{\varepsilon}_0 = 0$ și accelerația unui punct de pe periferia rotorului va avea numai componentă intrinsecă normală, a cărei valoare este:

$$a_v = \omega_0^2 r = \frac{(\pi 100)^3}{3^3} \cdot 0,2 = 2193,24 \text{ m/s}^2. \quad (6)$$

b2. În mișcarea uniform întârziată accelerația unghiulară $\bar{\varepsilon}$ fiind constantă, componenta intrinsecă tangențială a accelerației \bar{a}_τ a unui punct de pe periferia rotorului va fi ca mărime constantă și egală cu:

$$a_\tau = \varepsilon r = \frac{\pi 100}{3 t} r = \frac{\pi 100}{3 \cdot 84} \cdot 0,2 = 0,2493 \text{ m/s}^2. \quad (7)$$

Componenta intrinsecă normală \bar{a}_v a punctului de pe periferia rotorului în momentul când acesta a făcut 200 de rotații după întreruperea alimentării, este:

$$a_v = \omega_{200}^2 r, \quad (8)$$

unde: ω_{200} este viteza unghiulară corespunzătoare momentului când rotorul a făcut 200 rotații din momentul întreruperii alimentării cu curent a motorului.

Folosind expresiile (1) și (2) și având în vedere că $\varepsilon = \frac{\pi 100}{252}$, după eliminarea timpului rezultă:

$$\begin{aligned}
400 \pi &= -\frac{1}{2} \varepsilon t_{200}^2 + \omega_0 t_{200}, \\
\omega_{200} &= \omega_0 - \varepsilon t_{200} \Rightarrow t_{200} = \frac{\omega_0 - \omega_{200}}{\varepsilon}, \\
400 \pi &= \omega_0 \frac{\omega_0 - \omega_{200}}{\varepsilon} - \frac{1}{2} \frac{(\omega_0 - \omega_{200})^2}{\varepsilon} = \frac{\omega_0^2 - \omega_{200}^2}{2 \varepsilon}, \\
\omega_{200} &= \sqrt{\omega_0^2 - 800 \pi \varepsilon} = \sqrt{10966 - 3132,796} = 88,50 \text{ 1/s}.
\end{aligned}
\tag{9}$$

Accelerația normală este:

$$a_v = \omega_{200}^2 r = (88,50)^2 \times 0,2 = 1566,448 \text{ m/s}^2. \tag{10}$$

Accelerația unui punct de pe periferia rotorului după ce acesta a efectuat 200 de rotații din momentul întreruperii alimentării, este:

$$\begin{aligned}
\bar{a} &= \bar{a}_\tau + \bar{a}_v, \quad a = \sqrt{a_\tau^2 + a_v^2} = \sqrt{0,2493^2 + 1566,448^2}, \\
a &= 1581,377 \text{ m/s}^2.
\end{aligned}
\tag{11}$$

10.2.6. În construcția modulelor de rotație din structura mecanică a manipuletoarelor și roboților sunt incluse traductoare de poziție de tip *TIRO*. În figura 10.10 este prezentată schema de principiu a antrenării traductorului de poziție *TIRO 1000* din construcția modulului *MRE*, respectiv ansamblul de rotație a brațului robotului. Să se determine turația n_j la axul de rotație al traductorului în funcție de turația arborelui condus, precum și viteza \bar{v}_1 și accelerația \bar{a}_1 ale unui punct *M* de pe periferia discului cu fante a traductorului. Se cunosc razele r și R ale arborelui condus și a discului cu fante.

Soluție:

În figura 10.10 se notează:

- $\omega(n)$ - viteza unghiulară, respectiv turația de rotație a arborelui condus;
- $\omega_1(n_1)$ - viteza unghiulară, respectiv turația de rotație a echipajului mobil al traductorului de poziție *TIRO 1000*;

- $r(r_1)$ - razele roților dințate cu centrul în O și O_1 peste care este trecută o curea dințată;

- R - raza discului cu fante al traductorului;

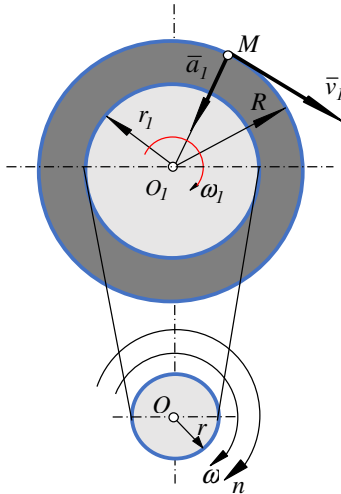


Fig. 10.10

- \bar{v}_1 - viteza unui punct arbitrar M de pe periferia discului cu fante.

Întrucât punctele de pe cureaua dințată au la un moment dat aceeași viteză, se poate scrie relația:

$$\omega r = \omega_1 r_1 . \quad (1)$$

Din relația (1) se obține viteza unghiulară ω_1 și apoi turația n_1 astfel:

$$\omega_1 = \frac{r}{r_1} \omega, \quad n_1 = \frac{30}{\pi} \omega_1 = \frac{30 r}{r_1} \omega, \quad (2)$$

având în vedere că: $\omega_1 = \frac{\pi n_1}{30}$. Știind că:

$\omega = \frac{\pi n}{30}$, relațiile (2) devin:

$$\omega_1 = \frac{\pi n r}{30 r_1}, \quad n_1 = \frac{r}{r_1} n. \quad (3)$$

Viteza \bar{v}_1 a unui punct arbitrar M de pe periferia discului cu fante este tangentă la acest disc, are sensul dat de viteza unghiulară ω_1 și modulul:

$$v_1 = \omega_1 R = \frac{\pi r R}{30 r_1} n. \quad (4)$$

Accelerația \bar{a}_1 a punctului M poate fi exprimată prin componentele intrinseci \bar{a}_v și \bar{a}_τ ,

$$\bar{a}_1 = \bar{a}_v + \bar{a}_\tau. \quad (5)$$

Componenta normală \bar{a}_v este orientată după raza $O_1 M$ cu sensul de la M spre centrul O_1 și are modulul:

$$a_v = \omega_1^2 R = \frac{\pi n^2 r^2}{900 r_1^2} R. \quad (6)$$

Componenta tangențială \bar{a}_τ este nulă pentru că $\omega_1 = const.$

$$a_\tau = \varepsilon_1 R = 0, \quad \varepsilon_1 = \dot{\omega}_1 = 0. \quad (7)$$

Astfel, accelerația \bar{a}_1 este orientată după rază către centrul de rotație O_1 și are mărimea:

$$a_1 = \frac{\pi n^2 r^2}{900 r_1^2} R. \quad (8)$$

10.2.7. Pe scripetele O de rază $R = 15 \text{ cm}$ se desfășoară un fir inextensibil în direcția \overline{AB} după legea $s = 3t^2$. Scripetele este astfel antrenat într-o mișcare de rotație (fig. 10.11). Să se determine viteza unghiulară a scripetelui, viteza \bar{v} și accelerația \bar{a} a unui punct de pe periferia scripetelui, la 2 secunde de la începutul mișcării.

Soluție:

Capătul B al firului se mișcă după legea:

$$s = 3t^2. \quad (1)$$

Viteza punctului B este orientată după direcția firului, are sensul în jos și mărimea:

$$v_B = \dot{s} = 6t \text{ m/s}. \quad (2)$$

Firul fiind perfect flexibil și inextensibil face ca vitezele punctelor sale să fie egale între ele în orice moment al mișcării. Astfel,

$$v_B = v_A = v_M = \omega R. \quad (3)$$

Din relațiile (2) și (3) se obține viteza unghiulară:

$$\omega = \frac{v_B}{R} = \frac{6}{R} t \text{ rad/s}. \quad (4)$$

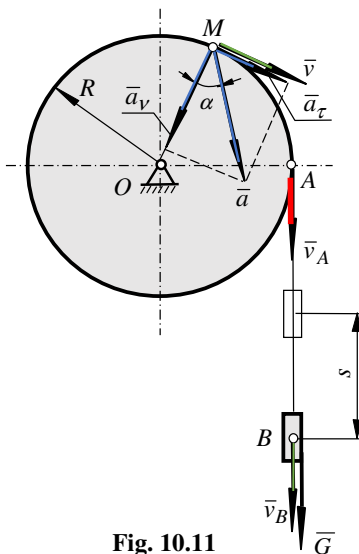


Fig. 10.11

Accelerația punctului M poate fi exprimată prin componentele intrinseci \bar{a}_v și \bar{a}_τ . Astfel,

$$\bar{a} = \bar{a}_v + \bar{a}_\tau. \quad (5)$$

Componenta normală este orientată după raza OM cu sensul de la M spre O și are modulul:

$$a_v = \omega^2 R = \frac{36}{R} t \text{ m/s}^2. \quad (6)$$

Componenta tangențială \bar{a}_τ este perpendiculară pe rază (după tangentă), are sensul dat de sensul accelerației unghiulare $\bar{\varepsilon}$ și modulul:

$$a_\tau = \varepsilon R = 6 \text{ m/s}^2, \quad \varepsilon = \dot{\omega} = \frac{6}{R} \text{ rad/s}^2. \quad (7)$$

Modulul accelerației \bar{a} se obține astfel:

$$a = R\sqrt{\omega^4 + \varepsilon^2} = \frac{6}{R}\sqrt{R^4 + 36t^4}. \quad (8)$$

Direcția accelerației se poate determina prin unghiul α (fig. 10.11) extras din relația:

$$\operatorname{tg} \alpha = \frac{a_\tau}{a_v} = \frac{R}{6t}. \quad (9)$$

La $t = 2$ secunde de la începerea mișcării, mărimile cerute sunt:

$$s = 12 \text{ m}, \quad v = 12 \text{ m/s}, \quad \omega = 80 \text{ rad/s}, \quad a = 960 \text{ m/s}^2. \quad (10)$$

10.2.8. Se consideră un ax filetat (fig. 10.12) cu diametrul exterior d și pasul filetelui p . Pornind din repaus, axul ajunge la turația n [rot/min] după t secunde de la începerea mișcării. Mișcarea șurubului fiind uniform accelerată, să se determine:

- viteza unghiulară $\bar{\omega}$ și accelerația unghiulară $\bar{\varepsilon}$;
- viteza de translație \bar{v}_0 și accelerația de translație \bar{a}_0 ;
- viteza \bar{v} și accelerația \bar{a} a unui punct situat pe periferia axului filetat.

Soluție:

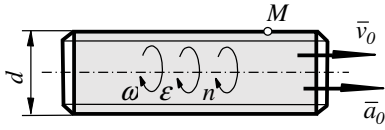


Fig. 10.12

a) Mișcarea șurubului fiind uniform accelerată, se pot scrie relațiile:

$$\varepsilon = \varepsilon_0 = ct., \quad \omega = \omega_0 + \varepsilon_0 t = \varepsilon_0 t, \quad (1)$$

dacă la momentul inițial avem:

$$t_0 = 0, \quad \omega_0 = 0.$$

Pe de altă parte, se poate scrie:

$$\omega = \frac{\pi n}{30} = \varepsilon_0 t, \quad \varepsilon = \varepsilon_0 = \frac{\pi n}{30t}. \quad (2)$$

b) La mișcarea de șurub au fost stabilite relațiile (10.57), conform cărora:

$$v_0 = \frac{p}{2\pi} \omega, \quad a_0 = \frac{p}{2\pi} \varepsilon. \quad (3)$$

Având în vedere (2), relațiile (3) devin:

$$v_0 = \frac{pn}{60}, \quad a_0 = \frac{pn}{60t}. \quad (4)$$

c) În conformitate cu legea de distribuție a vitezelor stabilită la mișcarea de roto-translație $\vec{v} = \vec{v}_0 + \vec{\omega} \times \vec{r}$, se poate scrie pentru modulul vitezei unui punct de pe periferia șurubului relația:

$$v = \sqrt{v_0^2 + \omega^2 R^2}. \quad (5)$$

Având în vedere (2) și (4) și relația $R = d/2$, relația (5) devine:

$$v = \frac{n}{60} \sqrt{p^2 + \pi^2 d^2}. \quad (6)$$

Accelerația \vec{a} a unui punct M de pe periferia axului filetat poate fi dedusă ca modul din legea de distribuție a accelerațiilor din cazul mișcării de roto-translație, scrisă sub forma $\vec{a} = \vec{a}_0 + \vec{\varepsilon} \times \vec{r} + \vec{\omega} \times (\vec{\omega} \times \vec{r})$. Astfel:

$$a = \sqrt{a_0^2 + R^2 (\omega^4 + \varepsilon^2)}. \quad (7)$$

Introducând în (7) mărimile geometrice și cinematice stabilite anterior, se obține:

$$a = \frac{n}{60} \sqrt{\frac{p^2}{t^2} + \pi^2 d^2 \left(\frac{\pi^2 n^2}{900} + \frac{1}{t^2} \right)}. \quad (8)$$

10.2.9. Două puncte ale unui șurub sunt situate pe același diametru la distanțele r_1 și r_2 de axa șurubului. Ce relație există între distanțele r_1 și r_2 în cazul în care vitezele acestor puncte sunt perpendiculare între ele, iar viteza de translație și cea unghiulară a șurubului sunt egale ca mărime cu v și ω (fig. 10.13).

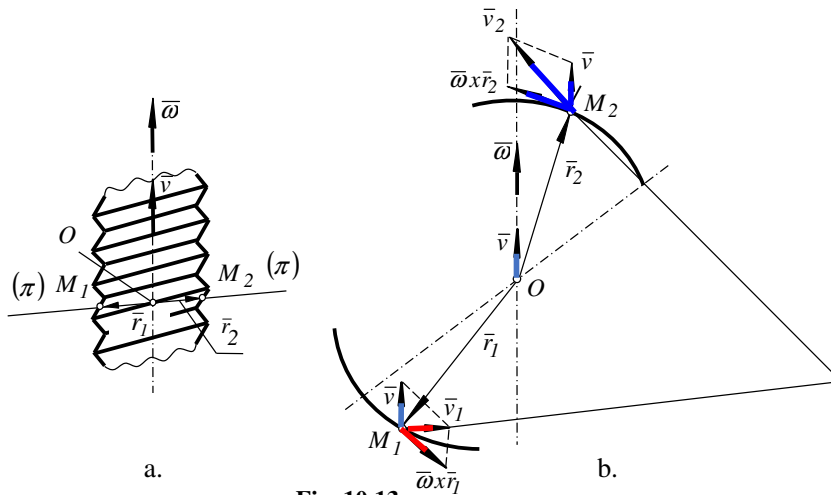


Fig. 10.13

Soluție:

Vitezele punctelor M_1 și M_2 (fig. 10.13a. și 10.13b.) sunt date de relațiile:

$$\bar{v}_1 = \bar{v} + \bar{\omega} \times \bar{r}_1, \quad \bar{v}_2 = \bar{v} + \bar{\omega} \times \bar{r}_2. \quad (1)$$

Condiția ca vectorii \bar{v}_1 și \bar{v}_2 să fie perpendiculari este:

$$\bar{v}_1 \cdot \bar{v}_2 = 0 \quad (2)$$

sau luând în considerare (1):

$$(\bar{v} + \bar{\omega} \times \bar{r}_1) \cdot (\bar{v} + \bar{\omega} \times \bar{r}_2) = 0, \quad (3)$$

relație din care se obține:

$$v^2 + \vec{v} \cdot (\vec{\omega} \times \vec{r}_1) + \vec{v} \cdot (\vec{\omega} \times \vec{r}_2) + (\vec{\omega} \times \vec{r}_1) \cdot (\vec{\omega} \times \vec{r}_2) = 0. \quad (4)$$

În relația (4): $\vec{v} \cdot (\vec{\omega} \times \vec{r}_1) = 0$ și $\vec{v} \cdot (\vec{\omega} \times \vec{r}_2) = 0$, întrucât vectorii sunt perpendiculari între ei iar:

$$(\vec{\omega} \times \vec{r}_1) \cdot (\vec{\omega} \times \vec{r}_2) = |\vec{\omega} \times \vec{r}_1| |\vec{\omega} \times \vec{r}_2| \sin(\widehat{\vec{\omega} \times \vec{r}_1, \vec{\omega} \times \vec{r}_2}) = -\omega^2 r_1 r_2.$$

Astfel, relația (4) devine:

$$v^2 - \omega^2 r_1 r_2 = 0, \quad r_1 r_2 = \frac{v^2}{\omega^2}. \quad (5)$$

Dacă se cunoaște pasul p al șurubului atunci:

$$v = \frac{p}{2\pi} \omega, \quad (6)$$

iar relația (5) devine:

$$r_1 r_2 = \left(\frac{p}{2\pi}\right)^2. \quad (7)$$

10.2.10. Un șurub diferențial are construcția din figura 10.14. Pasul primului filet este p_1 , pasul celui de al doilea care deplasează culisa este p_2 . Să se afle viteza \vec{v} a culisei dacă primul filet este pe dreapta, al doilea filet este pe dreapta sau pe stânga, iar mânerul se învârti astfel încât, primul filet se înșurubează făcând n rotații/minut.

Soluție:

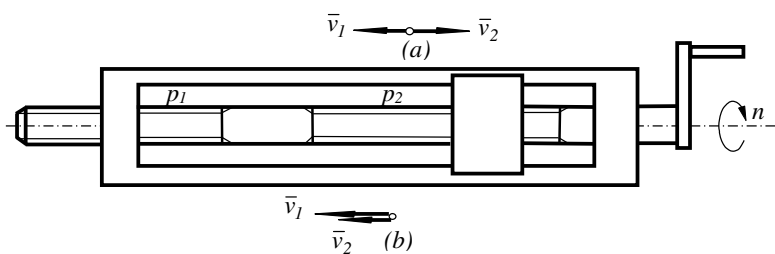


Fig. 10.14

a) Primul filet pe dreapta, al doilea pe dreapta;

Viteza \bar{v} a culisei va fi dată de componenta de translație a vitezei la mișcarea de șurub. Filetul cu pasul p_1 produce o deplasare a culisei cu viteza \bar{v}_1 după axa șurubului, în sensul de înșurubare, de modul:

$$v_1 = \frac{p_1}{2\pi} \omega = \frac{p_1}{2\pi} \frac{\pi n}{30} = \frac{p_1}{60} n. \quad (1)$$

Filetul cu pasul p_2 produce o deplasare a culisei cu viteza \bar{v}_2 după axa șurubului, în sens invers celui de înșurubare, de modul:

$$v_2 = \frac{p_2}{2\pi} \omega = \frac{p_2}{2\pi} \frac{\pi n}{30} = \frac{p_2}{60} n. \quad (2)$$

Compunând cele două mișcări (fig. 10.14), se obține:

$$v = v_1 - v_2 = \frac{p_1 - p_2}{60} n. \quad (3)$$

b) Primul filet este pe dreapta, al doilea filet este pe stânga;

Expresiile vitezelor \bar{v}_1 și \bar{v}_2 ca modul sunt identice cu cele obținute în primul caz, direcțiile lor sunt după axa șurubului, iar sensul este în sensul de înșurubare (fig. 10.14).

Compunând cele două mișcări și având în vedere relațiile (1) și (2), se obține:

$$v = v_1 + v_2 = \frac{p_1 + p_2}{60} n. \quad (4)$$

10.2.11. Un tetraedru regulat având muchia a se deplasează astfel încât, trei dintre vârfurile lui care se găsesc inițial în A, B, C ocupă pozițiile A_1, B_1, C_1 (fig. 10.15). Se cere, să se determine mișcarea elicoidală instantanee care corespunde acestei deplasări.

Soluție:

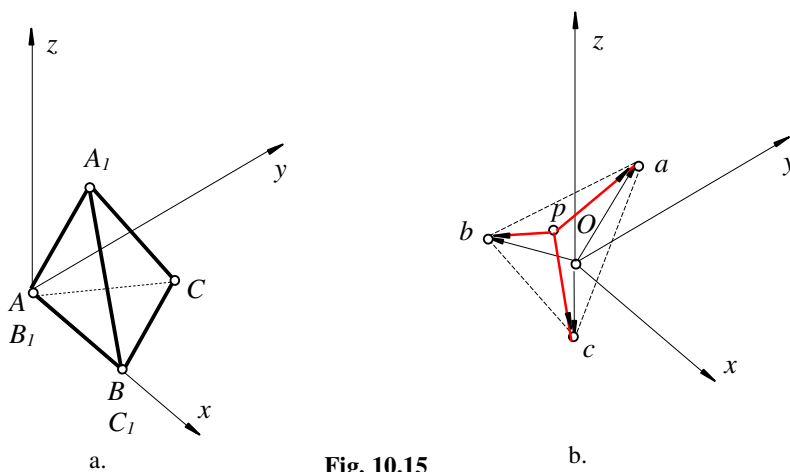


Fig. 10.15

Se trasează dintr-un punct oarecare O (fig. 10.15b), trei vectori $\overline{Oa}, \overline{Ob}, \overline{Oc}$ de lungimi egale cu s , reprezentând deplasările vârfurilor A, B și C .

Coordonatele punctelor a, b, c astfel obținute în raport cu sistemul din figură, sunt:

$$a : \begin{cases} x = \frac{s}{2} \\ y = \frac{s\sqrt{3}}{6} \\ z = s\sqrt{\frac{2}{3}} \end{cases} ; \quad b : \begin{cases} x = -s \\ y = 0 \\ z = 0 \end{cases} ; \quad c : \begin{cases} x = \frac{s}{2} \\ y = -s\frac{\sqrt{3}}{2} \\ z = 0 \end{cases} . \quad (1)$$

Ecuția planului care trece prin punctele a, b, c este:

$$x + y\sqrt{3} - z\sqrt{6} + s = 0 . \quad (2)$$

Deoarece mișcarea de translație a tuturor punctelor este aceeași, ea va fi dată de lungimea perpendicularei coborâtă din punctul O pe planul care trece prin abc , respectiv:

$$d = OP = \frac{s}{\sqrt{1 + (\sqrt{3})^2 + (\sqrt{6})^2}} = \frac{s}{\sqrt{10}}. \quad (3)$$

Astfel, coordonatele punctului P sunt:

$$x = -\frac{s}{10}, \quad y = -\frac{s\sqrt{3}}{10}, \quad z = \frac{s\sqrt{6}}{10}. \quad (4)$$

După determinarea mișcării de translație se poate determina mișcarea de rotație. Mărimile deplasărilor punctelor A , B și C provenind din rotație sunt exprimate de vectorii \overline{Pa} , \overline{Pb} , \overline{Pc} :

$$\begin{aligned} \overline{Pa} &= \frac{s}{10} \left(6\bar{i} + \frac{8}{\sqrt{3}}\bar{j} + 7\sqrt{\frac{2}{3}}\bar{k} \right), & \overline{Pb} &= \frac{s}{10} (-9\bar{i} + \sqrt{3}\bar{j} - \sqrt{6}\bar{k}), \\ \overline{Pc} &= \frac{s}{10} (6\bar{i} + 4\sqrt{3}\bar{j} - \sqrt{6}\bar{k}). \end{aligned} \quad (5)$$

Pentru determinarea axei de roto-translație se duc prin mijloacele lui AA_1 , BB_1 , CC_1 plane perpendiculare pe axele de rotație respective; ele se intersectează toate pe axa de roto-translație. Ecuațiile acestor plane sunt:

$$\begin{aligned} \text{pentru } AA_1 : 18x + 8\sqrt{3}y + 7\sqrt{6}z &= \frac{27}{2}s, \\ \text{pentru } BB_1 : 9x - \sqrt{3}y + \sqrt{6}z &= \frac{9}{2}s. \end{aligned} \quad (6)$$

Aceste două ecuații determină axa de roto-translație. Proiecțiile acestei axe pe planele de coordonate au ecuațiile:

$$\sqrt{2}y + z = \frac{3\sqrt{6}}{20}s; \quad \sqrt{3}x - y = \frac{2\sqrt{3}}{5}s. \quad (7)$$

Pentru determinarea unghiului de rotație se trasează prin axa de rotație două plane, unul care trece prin punctul B și unul care trece prin B_1 , determinându-se unghiul dintre ele. Ecuațiile acestor plane sunt:

$$\begin{aligned} \text{prin } B: \sqrt{3}x + 3y + 2\sqrt{2}z &= s\sqrt{3}, \\ \text{prin } B_1: -3\sqrt{3}x + 11y + 4\sqrt{2}z &= 0. \end{aligned} \quad (8)$$

Unghiul dintre ele este dat de:

$$\cos \varphi = \frac{2}{3}. \quad (9)$$

10.2.12. Un șurub având pasul p și raza exterioară r înainteză într-o piuliță fixă astfel că, deplasarea în lungul axei se face cu o accelerație constantă \bar{a}_0 . Se cere viteza și accelerația unui punct de pe periferia șurubului.

Soluție:

Viteza de translație este:

$$v = a_0 t. \quad (1)$$

În conformitate cu (10.57), se exprimă viteza unghiulară cu relația:

$$\omega = \frac{2\pi v}{p} = \frac{2\pi a_0 t}{p}. \quad (2)$$

Un punct oarecare al șurubului situat la distanța r de axa sa are cele două componente ale vitezei sale \bar{v}_1 în lungul axei și \bar{v}_2 perpendiculară pe axă date de:

$$v_1 = v = a_0 t, \quad (3)$$

$$v_2 = \omega r = \frac{2\pi r a_0 t}{p}. \quad (4)$$

Vitezele \bar{v}_1 și \bar{v}_2 sunt perpendiculare între ele astfel că, valoarea vitezei punctului considerat este:

$$v_M = \sqrt{v_1^2 + v_2^2} = a_0 t \sqrt{1 + \left(\frac{2\pi r}{p}\right)^2}. \quad (5)$$

Accelerația punctului M este:

$$\bar{a} = \bar{a}_1 + \bar{a}_2, \quad (6)$$

relație în care:

$$a_1 = a_0 \text{ de-a lungul axei} \quad (7)$$

$$\bar{a}_2 = \bar{a}_\tau + \bar{a}_v, \quad (8)$$

$$a_\tau = \dot{v}_2 = \frac{2\pi r a_0}{p} \quad (9)$$

$$a_v = \omega^2 r = r \left(\frac{2\pi a_0 t}{p} \right)^2. \quad (10)$$

Cele trei componente fiind perpendiculare între ele, mărimea accelerației totale a punctului considerat este:

$$a = \sqrt{a_1^2 + a_2^2 + a_3^2} = a_0 \sqrt{1 + \left(\frac{2\pi r}{p} \right)^2 + r^2 a_0^2 \left(\frac{2\pi t}{p} \right)^4}. \quad (11)$$

10.2.13. O presă cu articulații constă dintr-un romb articulată care are două vârfuri fixate prin articulații de piulițele C și B ale unui șurub diferențial cu filete (pe dreapta și pe stânga), de pas p ; axa șurubului se poate deplasa liber prin mișcări de translație în sus și în jos alunecând cu capetele în cadrul presei (fig. 10.16a.). Să se afle viteza punctului A , dacă mânerul presei face n rotații/minut, în sensul acelor de ceasornic.

Soluție:

Piulița D se va deplasa de-a lungul axei șurubului cu viteza \bar{v}_D (fig. 10.16b.) de modul:

$$v_D = \frac{p}{2\pi} \omega = \frac{p}{2\pi} \frac{\pi n}{30} = \frac{p}{60} n. \quad (1)$$

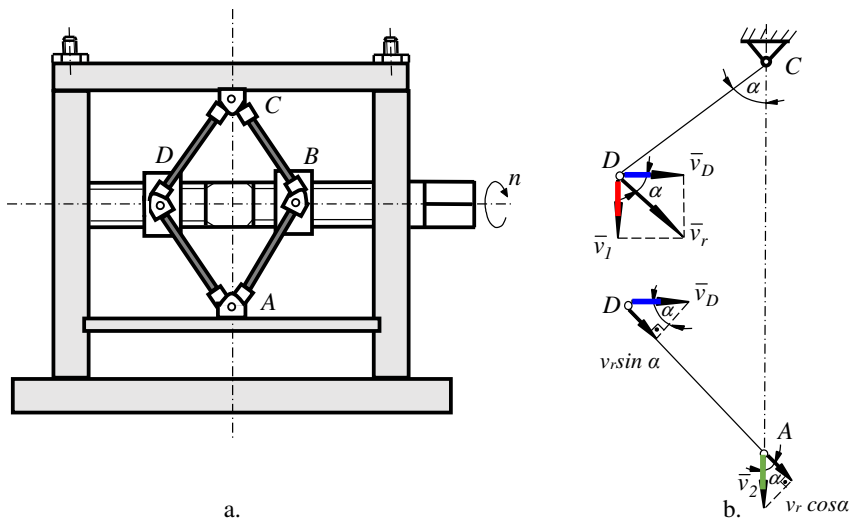


Fig. 10.16

Bara CD se rotește în jurul lui C cu viteza \bar{v}_r , ca urmare a deplasării lui D cu viteza \bar{v}_D (fig. 10.16b), rezultând o deplasare pe verticală a piuliței D cu viteza \bar{v}_1 , de modul:

$$v_1 = v_D \operatorname{tg} \alpha . \quad (2)$$

La studiul mișcării barei AD (făcând abstracție de deplasarea lui D pe verticală cu viteza \bar{v}_1) se aplică proprietatea: proiecțiile vitezelor a două puncte pe dreapta ce unește cele două puncte sunt egale astfel:

$$v_D \sin \alpha = v_2 \cos \alpha , \quad (3)$$

de unde:

$$v_2 = v_D \operatorname{tg} \alpha . \quad (4)$$

Punctul A se va deplasa pe verticală. Conform cu relațiile (2) și (4), viteza punctului A este:

$$v = v_1 + v_2 = 2v_D \operatorname{tg} \alpha , \quad (5)$$

sau, luând în considerare relația (1), se obține:

$$v = \frac{P}{30} n \operatorname{tg} \alpha . \quad (6)$$

10.2.14. Paralelipipedul din figură execută o mișcare de rotație în jurul unei axe, cu viteza unghiulară $\bar{\omega}$ la care se cunoaște componenta $\bar{\omega}_1 (0, 5, 3 \text{ rad/s})$, precum și direcția celei de a doua componente ca fiind cea a diagonalei OD . Cunoscând că viteza punctului B are valoarea și că $OA = 5m$, $OC = 4cm$, $OE = 3cm$, se cere să se determine valoarea celei de a doua componente $\bar{\omega}_2$, precum și viteza unghiulară rezultantă (fig. 10.17).

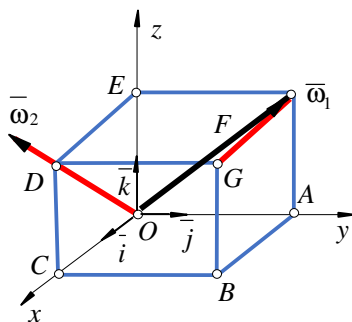


Fig. 10.17

Soluție:

Urmărind figura 10.17 și enunțul problemei, se poate scrie:

$$\bar{\omega}_1 = 5\bar{j} + 3\bar{k} \quad \text{și} \quad \bar{\omega}_2 = \frac{4}{5}\omega_2\bar{i} + \frac{3}{5}\omega_2\bar{k}. \quad (1)$$

Viteza punctului $B(4, 5, 0)$, conform cu (10.13), se poate scrie astfel:

$$\begin{aligned} \bar{v}_B &= \bar{\omega} \times \overline{OB} = (\bar{\omega}_1 + \bar{\omega}_2) \times \overline{OB} = \begin{vmatrix} \bar{i} & \bar{j} & \bar{k} \\ \frac{4}{5}\omega_2 & 5 & \frac{3}{5}\omega_2 + 3 \\ 4 & 5 & 0 \end{vmatrix} \\ &= -(3\omega_2 + 15)\bar{i} + \left(\frac{12}{5}\omega_2 + 12\right)\bar{j} + (4\omega_2 - 20)\bar{k}, \end{aligned} \quad (2)$$

relație din care rezultă:

$$61^2 = (3\omega_2 + 15)^2 + \left(\frac{12}{5}\omega_2 + 12\right)^2 + (4\omega_2 - 20)^2, \quad (3)$$

$$769\omega_2^2 - 310\omega_2 - 73800 = 0. \quad (4)$$

Relația (4) este o ecuație de gradul doi în ω_2 , ale cărei soluții sunt $\omega_2' = 10 \text{ rad/s}$ și $\omega_2'' = -9,6 \text{ rad/s}$. Cea de a doua soluție arată că viteza unghiulară ω_2 este îndreptată de la punctul D spre punctul O .

Astfel, viteza unghiulară $\bar{\omega}$ poate fi:

$$\bar{\omega} = (\bar{\omega}_1 + \bar{\omega}_2') = 8\bar{i} + 5\bar{j} + 9\bar{k}, \quad \text{sau} \quad \bar{\omega} = (\bar{\omega}_1 + \bar{\omega}_2'') = -7,68\bar{i} + 5\bar{j} - 2,76\bar{k}. \quad (5)$$

10.3 Probleme propuse

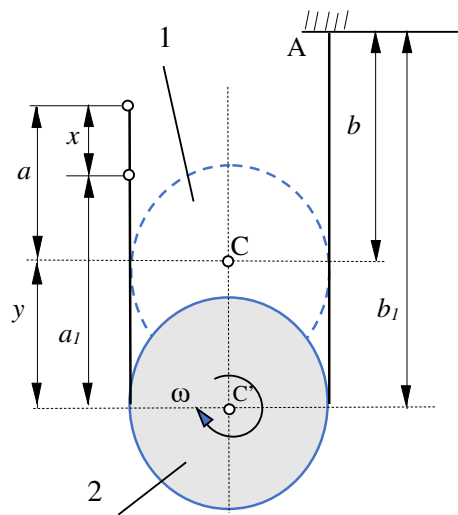


Fig. 10.18

10.3.1. Pentru un scripete de diametru D suspendat de un perete fix prin intermediul unui fir, să se determine cu cât coboară centrul său notat cu C , atunci când un capăt al firului coboară pe verticală cu o cantitate cunoscută x (fig. 10.18).

Răspuns:

$$y = \frac{x}{2}.$$

10.3.2. Un solid rigid se rotește în jurul axei $x = y = z$ cu viteza unghiulară $\bar{\omega}$. Se cere viteza unui punct oarecare al rigidului.

Răspuns :

$$\bar{v} = \frac{\bar{\omega}}{\sqrt{3}} [(z - y)\bar{i} + (x - z)\bar{j} + (y - x)\bar{k}].$$

10.3.3. O greutate legată cu un fir înfășurat pe un arbore orizontal, este lăsată în jos uniform accelerat fără viteză inițială. În primele t secunde ea a parcurs o distanță de h metri. Să se afle accelerația unghiulară a arborelui, dacă raza lui este de r metri.

Răspuns: $\varepsilon = \frac{2h}{rt^2} \text{ } 1/s^2.$

10.3.4. O roată dințată care are z_1 dinți și face n_1 rotații/minut, este angrenată cu o altă roată care are z_2 dinți. Pe axul acestei ultime roți se află fixată o roată dințată care are z_3 dinți. La rândul ei, această roată este angrenată cu a patra roată dințată care are z_4 dinți. Să se determine numărul de rotații/minut al ultimei roți.

Răspuns:
$$n_4 = \frac{z_1 z_3}{z_2 z_4} n_1 .$$

10.3.5. Două roți A și B sunt legate printr-o curea de transmisie fără sfârșit; diametrul primei roți este $d_1 = 1 \text{ m}$, diametrul roții a doua este $d_2 = 1,5 \text{ m}$. Roata B face 100 rot/min. Să se afle viteza \bar{v} a punctelor curelei și vitezele unghiulare ale ambelor roți.

Răspuns: $v = 7,854 \text{ m/s}, \quad \omega_1 = 15,708 \text{ rad/s}, \quad \omega_2 = 10,472 \text{ rad/s}.$

10.3.6. Pe elicea $(\bar{v}, \bar{\omega})$, \bar{v} este viteza de translație și $\bar{\omega}$ viteza unghiulară. Să se afle locul geometric al punctelor a căror viteză este $v\sqrt{2}$.

Răspuns: Un cilindru circular de rază $r = \frac{v}{\omega}$, a cărui axă coincide cu axa elicei.

10.3.7. Raza unui șurub este r , iar unghiul de înclinare a filetului este α . Acest șurub se rotește în piuliță cu viteza unghiulară ω . Să se afle viteza lui de translație \bar{v} .

Răspuns:
$$v = \omega r \operatorname{ctg} \alpha \text{ cm/s} .$$

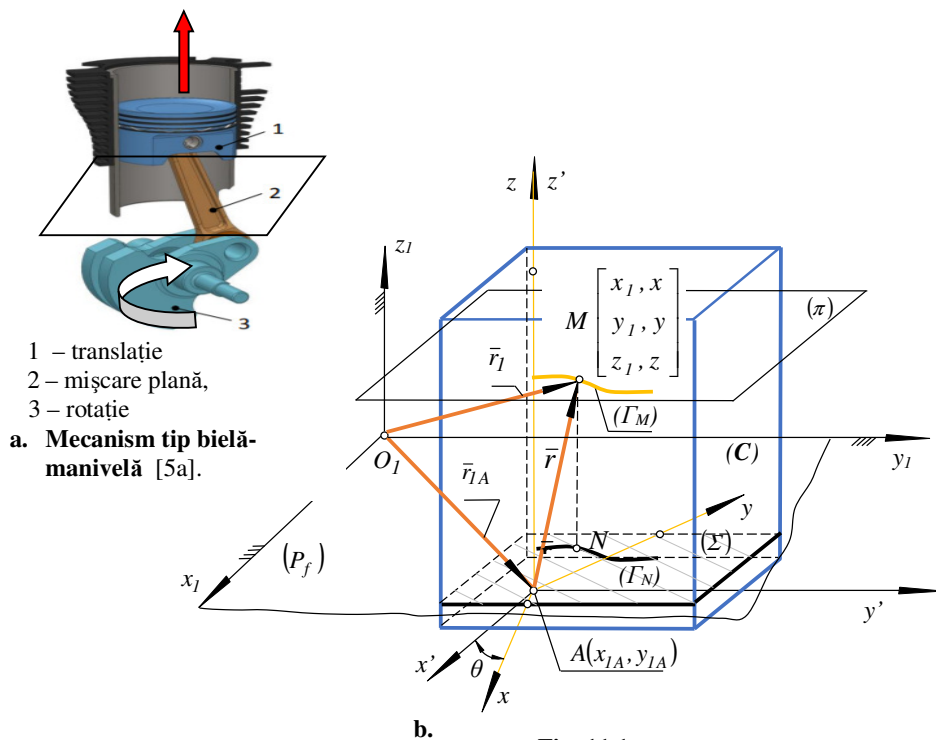
11. MIȘCAREA PLAN-PARALELĂ A SOLIDULUI RIGID ^[9]

11.1 Considerații teoretice

11.1.1 Studiul geometric al mișcării

Un solid rigid execută o mișcare plan-paralelă dacă trei puncte necoliniare aparținând rigidului rămân permanent într-un plan fix din spațiu.

Se consideră un solid rigid (C) (fig. 11.1b) care efectuează o mișcare plan-paralelă.



Fie $O_1x_1y_1z_1$ un sistem cartezian de referință fix și $Ax'y'z'$, respectiv $Axyz$, două sisteme de referință mobile având originea într-un punct A aparținând suprafeței (Σ) , suprafață de intersecție a rigidului cu planul fix (P_f) . Primul

sistem are axele permanent paralele cu axele sistemului fix, iar celălalt este invariabil legat de solidul rigid și are axa Az normală pe planul fix (P_f) . Funcțiile care caracterizează poziția sistemului de referință mobil $Axyz$, deci și a rigidului în raport cu sistemul de referință fix $Ox_1y_1z_1$, sunt:

$$x_{1A} = x_{1A}(t), \quad y_{1A} = y_{1A}(t), \quad \theta = \theta(t). \quad (11.1)$$

Rezultă că, *solidul rigid în mișcarea plană are trei grade de libertate*.

Fie M un punct material aparținând rigidului (C) (fig. 11.1). Între coordonatele x_1, y_1, z_1 și x, y, z ale acestui punct înregistrate față de sistemul fix, respectiv cel mobil solidar cu rigidul, există relația matriceală de legătură:

$$\begin{bmatrix} 1 \\ x_1 \\ y_1 \\ z_1 \end{bmatrix} = \begin{bmatrix} 1 & 0 & 0 & 0 \\ x_{1A} & \cos \theta & -\sin \theta & 0 \\ y_{1A} & \sin \theta & \cos \theta & 0 \\ z_{1A} & 0 & 0 & 1 \end{bmatrix} \cdot \begin{bmatrix} 1 \\ x \\ y \\ z \end{bmatrix}, \quad (11.2)$$

din care se obțin *ecuațiile parametrice carteziene ale traiectoriei punctului M* :

$$\begin{aligned} x_1 &= x_{1A} + x \cos \theta - y \sin \theta, & y_1 &= y_{1A} + x \sin \theta + y \cos \theta, \\ z_1 &= z_{1A} + z = \text{const.} \end{aligned} \quad (11.3)$$

În cele ce urmează, se va considera coordonata $z_{1A} = 0$, ceea ce presupune că planul mobil Axy se deplasează pe suprafața planului fix $O_1x_1y_1$. Din relația (11.3) rezultă că traiectoria punctului M este o curbă plană situată în planul (π) de cotă $z_1 = z_{1A} + z = \text{const}$. Notând cu (Σ) suprafața plană formată din mulțimea punctelor de intersecție dintre planul fix $O_1x_1y_1 \equiv (P_f)$ și solidul rigid (C) , se constată că toate punctele rigidului situate pe o perpendiculară pe planul mobil Axy au mișcări identice cu cele ale punctelor care aparțin suprafeței plane (Σ) , deoarece aceste puncte au aceleași coordonate x și y , iar traiectoriile lor nu depind de cota z . Rezultă că, mișcările (traiectoriile, vitezele și accelerațiile) punctelor M și N din figura 11.1b sunt identice. Astfel, studiul mișcării solidului rigid se reduce la studiul mișcării secțiunii (Σ) pe suprafața planului fix $O_1x_1y_1$, mișcare complet determinată dacă se cunoaște mișcarea a două puncte aparținând acestei secțiuni. Cum două puncte determină un segment de dreaptă, rezultă că studiul mișcării secțiunii plane (Σ) , deci și a solidului rigid (C) , se reduce la studiul mișcării unui segment de dreaptă aparținând secțiunii (Σ) pe suprafața planului fix.

Pe baza celor afirmate anterior, studiul mișcării rigidului (C) aflat în mișcare plan-paralelă se reduce la studiul mișcării unei plăci plane într-un plan fix.

Exemple de mișcări plan-paralele pot fi: mișcarea bielei la un mecanism bielă-manivelă, mișcarea unei roți de vehicul pe un drum rectiliniu, mișcarea cardanică, mișcarea mecanismelor cu came și cu roți dințate etc.

11.1.2 Distribuția de viteze

În figura 11.2 este reprezentată placa mobilă (P_m) care execută o mișcare plan-paralelă în planul fix (P_f). Cunoscând la un moment dat (t) viteza \bar{v}_A a unui punct A aparținând plăcii și viteza unghiulară $\bar{\omega}$ corespunzătoare rotației plăcii în jurul unui ax perpendicular în punctul A pe aceasta, se pune problema determinării vitezei \bar{v}_B a oricărui punct B aparținând plăcii la momentul (t).

În acest scop, se alege sistemul de referință cartezian fix $O_1x_1y_1$ în planul fix (P_f) și sistemul cartezian de referință mobil Axy legat invariabil de placa mobilă (P_m). Între vectorii de poziție \bar{r}_B , \bar{r}_A și \bar{r} indicați în figura 11.2, există relația vectorială de legătură :

$$\bar{r}_B = \bar{r}_A + \bar{r}, \quad (11.4)$$

care derivată în raport cu timpul, conduce la relația:

$$\bar{v}_B = \bar{v}_A + \bar{\omega} \times \bar{r}, \quad (11.5)$$

întrucât,

$$\dot{\bar{r}}_B = \bar{v}_B, \quad \dot{\bar{r}}_A = \bar{v}_A, \quad \dot{\bar{r}} = \bar{\omega} \times \bar{r}. \quad (11.6)$$

Introducând notația:

$$\bar{\omega} \times \bar{r} = \bar{v}_{BA}, \quad (11.7)$$

relația (11.5) se va scrie sub forma :

$$\bar{v}_B = \bar{v}_A + \bar{v}_{BA}. \quad (11.8)$$

Relația vectorială (11.8) este cunoscută și ca **relația lui Euler pentru viteze** în cazul mișcării plan-paralele și servește ca bază pentru construcția *planului vitezelor*.

Din analiza legii de distribuție a vitezelor (11.5) și (11.8) se pot stabili următoarele *proprietăți ale distribuției de viteze în cazul mișcării plan-paralele*. Astfel,

- a) Viteza oricărui punct aparținând plăcii este suma vectorială dintre viteza instantanee \vec{v}_A , reprezentând viteza polului de referință mobil A (componentă de translație) și componenta $\vec{\omega} \times \vec{r}$ de rotație relativă a plăcii în jurul polului A (cu viteza unghiulară instantanee $\vec{\omega}$);

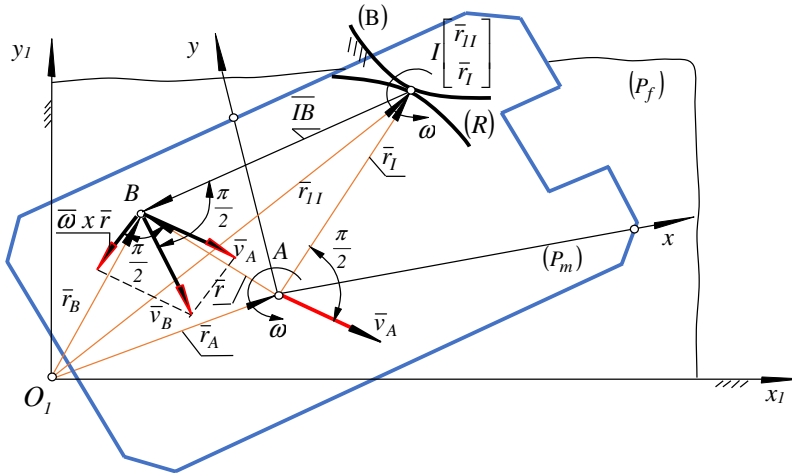


Fig. 11.2

- b) Proiecțiile vitezelor a două puncte A și B aparținând plăcii pe dreapta definită de aceste puncte sunt egale.

Această proprietate se obține înmulțind scalar cu versorul \vec{u} al direcției AB expresia (11.5). Se obține astfel:

$$\vec{v}_B \cdot \vec{u} = \vec{v}_A \cdot \vec{u}, \quad (11.9)$$

întrucât $(\vec{\omega} \times \vec{r}) \cdot \vec{u} = 0$, pentru că vectorii $\vec{r} = \overline{AB}$ și \vec{u} sunt coliniari.

- c) În general, există puncte aparținând solidului rigid a căror viteză este nulă. Notând cu \vec{r}_I vectorul de poziție al unui punct al rigidului în raport cu polul A, a cărei viteză instantanee se presupune a fi nulă (fig. 11.3), se poate scrie, conform cu relația (11.5):

$$\vec{v}_A + \vec{\omega} \times \vec{r}_I = 0. \quad (11.10)$$

Soluția generală a ecuației vectoriale (11.10) este:

$$\vec{r}_I = \frac{\vec{\omega} \times \vec{v}_A}{\omega^2} + \lambda \vec{\omega}. \quad (11.11)$$

Relația (11.11) reprezintă o dreaptă (Δ) paralelă cu vectorul $\vec{\omega}$, dreaptă perpendiculară pe planul mișcării și care intersectează acest plan în punctul I , având vectorul de poziție \vec{r}_I în raport cu polul mobil A (fig. 11.2 și fig.11.3).

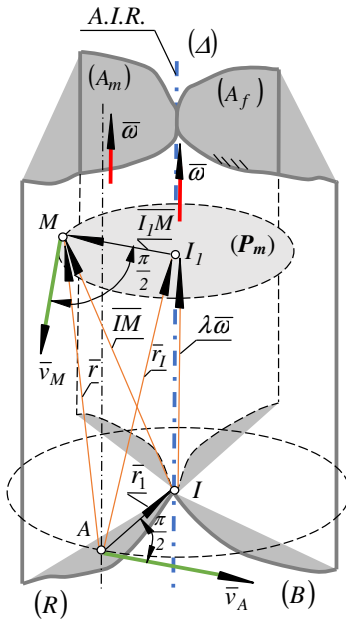


Fig. 11.3

Punctul I din planul mișcării astfel definit, poartă numele de *centru instantaneu de rotație (C.I.R.)*, iar **dreapta (Δ)** se numește *axă instantanee de rotație (A.I.R.)*. Centrul instantaneu de rotație și axa instantanee își schimbă poziția în timpul mișcării plăcii (P_m), atât față de sistemul de referință fix, cât și față de cel mobil.

Locul geometric al pozițiilor succesive ocupate de C.I.R. în timpul mișcării plăcii în raport cu sistemul de referință fix este o curbă plană numită bază (sau centroidă fixă), iar în raport cu sistemul de referință mobil este o curbă plană numită rostogolitoare (sau centroidă mobilă).

Locurile geometrice descrise în raport cu sistemul fix, respectiv mobil, de către A.I.R. în timpul mișcării plăcii (rigidului) sunt suprafețe riglate în spațiu, una fixă numită axoidă fixă și cealaltă mobilă numită axoidă mobilă.

În timpul mișcării, **rostogolitoarea (axoida mobilă) se rostogolește fără alunecare peste bază (axoida fixă), punctul (generatoarea comună) de tangență fiind centrul instantaneu de rotație (axa instantanee de rotație)**, (fig. 11.2 și fig. 11.3).

Ecuatiile parametrice ale centroidei mobile (rostogolitoare – R) sunt:

$$x_I = -\frac{v_{Ay}}{\omega}, \quad y_I = \frac{v_{Ax}}{\omega}. \quad (11.12)$$

Ecuatiile parametrice ale curbei centroide fixe (bază – B) sunt:

$$x_{1I} = -\frac{v_{Ay1}}{\omega} + x_{1A}, \quad y_{1I} = \frac{v_{Ax1}}{\omega} + y_{1A}; \quad (11.13)$$

d) Raportând distribuția de viteze la centrul instantaneu de rotație, se obține o distribuție de viteze specifică mișcării de rotație ca și când, placa mobilă s-ar roti în jurul axei instantanee de rotație. Într-adevăr, transpunând polul mobil A în centrul instantaneu de rotație a cărui viteză este nulă, relația vectorială (11.5) devine:

$$\bar{v}_B = \bar{\omega} \times \overline{IB}. \quad (11.14)$$

În conformitate cu (11.14), viteza punctului B este perpendiculară pe raza vectorială \overline{IB} și proporțională cu lungimea acesteia:

$$v_B = \omega IB. \quad (11.15)$$

O astfel de distribuție de viteze s-a întâlnit la mișcarea de rotație, a solidului rigid în jurul unui ax fix. Rezultă că, *distribuția de viteze la mișcarea plan-paralelă raportată la centrul instantaneu de rotație seamănă cu mișcarea de rotație, ca și când placa mobilă (rigidul) s-ar roti în jurul axei instantanee de rotație.*

De remarcat însă că, *placa mobilă (rigidul) nu execută o mișcare de rotație în jurul axei instantanee de rotație*, deoarece această axă se află în mișcare atât față de sistemul fix, cât și față de cel mobil, coordonatele centrului instantaneu de rotație date de (11.12) și (11.13) fiind în general, funcții de timp.

Din expresia (11.14) rezultă că vitezele punctelor plăcii sunt perpendiculare pe dreptele care unesc centrul instantaneu de rotație și vitezele în punctele respective (fig. 11.2), având sensul dat de sensul vitezei unghiulare $\bar{\omega}$. Se obține astfel o *metodă de determinare a poziției centrului instantaneu de rotație I, acesta găsindu-se la intersecția perpendicularelor pe direcțiile vitezelor a două puncte, perpendiculare duse în punctele respective și aparținând plăcii.*

În concluzie, pentru a determina poziția centrului de rotație la un moment dat, este suficient să se cunoască poziția la momentul respectiv a două puncte aparținând plăcii pe curbele care reprezintă traiectoriile acestora.

Centrul instantaneu de rotație se va găsi la intersecția perpendicularelor duse pe tangentele în punctele respective la traiectoriile celor două puncte.

Din calculele efectuate în acest paragraf, rezultă că vectorul viteză unghiulară $\bar{\omega}$ nu depinde de poziția polului de referință A , ales pe placă.

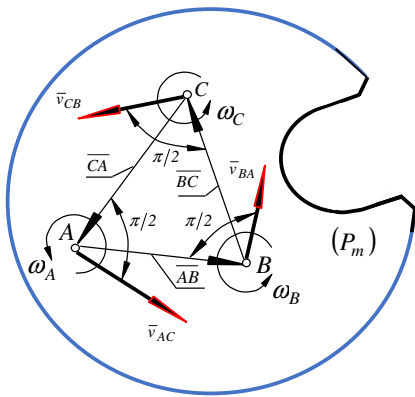


Fig. 11.4

Această proprietate poate fi demonstrată utilizând figura 11.4 în care s-a reprezentat placa mobilă (P_m) pe care s-au ales trei puncte arbitrare A, B și C . Vitezele acestor puncte sunt legate între ele prin relații Euler de forma:

$$\begin{aligned}\vec{v}_B &= \vec{v}_A + \vec{\omega}_A \times \vec{AB}, & \vec{v}_C &= \vec{v}_B + \vec{\omega}_B \times \vec{BC}, \\ \vec{v}_A &= \vec{v}_C + \vec{\omega}_C \times \vec{CA}.\end{aligned}\tag{11.16}$$

Având în vedere figura 11.4, prin însumarea relațiilor (11.16) se obține:

$$(\vec{\omega}_B - \vec{\omega}_A) \times \vec{BC} + (\vec{\omega}_C - \vec{\omega}_A) \times \vec{CA} = 0.\tag{11.17}$$

Din relația (11.17), având în vedere că punctele A, B și C au fost alese pe placă arbitrar, se obține:

$$\vec{\omega}_A = \vec{\omega}_B = \vec{\omega}_C = \vec{\omega}.\tag{11.18}$$

De aici rezultă că, *viteza unghiulară $\vec{\omega}$ nu depinde de poziția polului de referință mobil A la momentul (t) , ea constituind astfel un invariant vectorial față de poziția acestui pol.*

11.1.2.1 Metode pentru determinarea distribuției de viteze în mișcarea plan-paralelă

Mișcarea plan-paralelă are o largă aplicație în construcția de mașini, acolo unde majoritatea mecanismelor au elemente cu o asemenea mișcare. Se vor prezenta în continuare, metodele folosite la determinarea vitezelor unghiulare și liniare corespunzătoare elementelor mecanismelor.

a) Metoda centrului instantaneu de rotație (CIR) - constă în determinarea centrelor instantanee ale diferitelor elemente ale mecanismului studiat, apoi a vitezelor unghiulare instantanee ale acestor elemente și în final, a vitezelor diferitelor puncte.

Fie mecanismul bielă-manivelă prezentat în figura 11.5 la care se presupun cunoscute toate elementele geometrice pentru poziția din figură, precum și viteza

unghiulară de rotație ω_1 a manivelei OA . În aceste condiții, viteza punctului A este normală pe OA , are modulul $v_A = \omega_1 OA$, sensul ei fiind dat de sensul vitezei unghiulare ω_1 . Trecând la biela AB , centrul instantaneu de rotație I_2 se află la intersecția normalelor duse în punctele A și B pe direcțiile vitezelor acestor puncte. Raportând distribuția de viteze în cazul mișcării plan-paralele la centrul instantaneu de rotație, se pot scrie, în conformitate cu (11.15), relațiile:

$$v_A = \omega_2 I_2 A, \quad v_B = \omega_2 I_2 B. \quad (11.19)$$

Dar cum,

$$v_A = \omega_1 OA, \quad (11.20)$$

din (11.19) și (11.20) se obțin viteza unghiulară instantanee de rotație ω_2 a bielei, respectiv, viteza v_B a pistonului mecanismului.

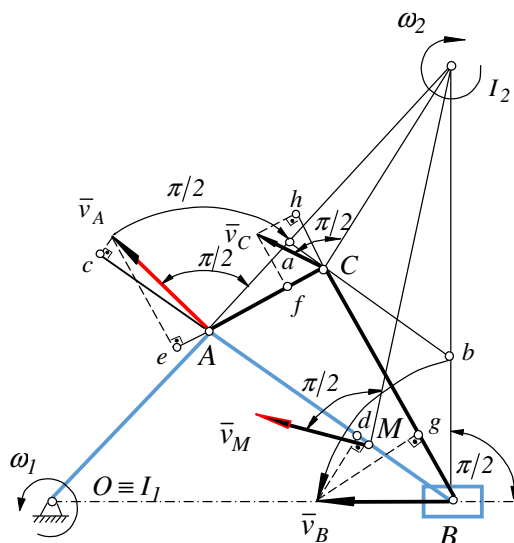


Fig. 11.5

Astfel:

$$\omega_2 = \omega_1 \frac{OA}{I_2 A},$$

$$v_B = \omega_1 \frac{OA}{I_2 A} I_2 B. \quad (11.21)$$

Aplicând această metodă, se poate determina viteza oricărui punct aparținând bielei

AB . Astfel, viteza instantanee a unui punct oarecare M va fi normală pe dreapta I_2M , având sensul dat de ω_2 , iar modulul:

$$v_M = \omega_2 I_2M = \omega_1 \frac{OA}{I_2A} I_2M. \quad (11.22)$$

b) Metoda rabaterii - permite determinarea vitezei unui punct când se cunosc traiectoria acestui punct și viteza altui punct aparținând aceluiași element. Această metodă se aplică de obicei, în cazurile când centrele instantanee de rotație sunt situate în afara cadrului desenului.

Se consideră două puncte A și B ale unei plăci aflată într-o mișcare plan-paralelă. Fie \vec{v}_A și \vec{v}_B vitezele acestor puncte (fig. 11.6). Dacă se rabate vectorii \vec{v}_A și \vec{v}_B cu același unghi de $\frac{\pi}{2}$ [rad], vârfurile a și b astfel obținute se găsesc pe o dreaptă paralelă cu AB . Având în vedere relațiile:

$$v_A = Aa = \omega IA, \quad v_B = Bb = \omega IB, \quad (11.23)$$

rezultă,

$$Aa / IA = Bb / IB = \omega. \quad (11.24)$$

Se constată din figura 11.6 că triunghiurile Iab și IAB sunt asemenea, astfel că dreapta ab este paralelă cu AB .

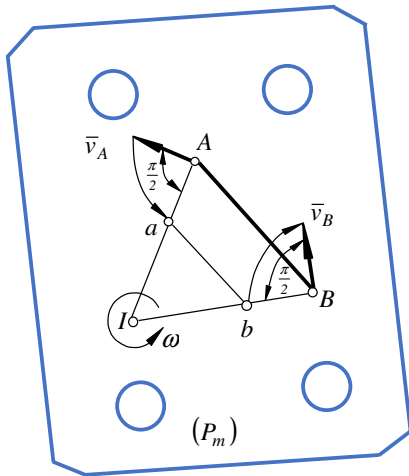


Fig. 11.6

Ca exemplu, se consideră mecanismul bielă manivelă din figura 11.5. Presupunând cunoscută viteza \vec{v}_A a punctului A , se cere să se determine viteza punctului B a cărei traiectorie este definită. Pentru aceasta se rabate viteza punctului A cu un unghi egal cu $\frac{\pi}{2}$ [rad] în sensul acelor de ceasornic.

Se obține astfel punctul a prin care se duce o paralelă la AB . Se notează cu b punctul de intersecție al acestei paralele cu dreapta I_2B . Apoi, se rabate în sens trigonometric

segmentul Bb cu un unghi de $\frac{\pi}{2}$ [rad], obținând vectorul \bar{v}_B .

c) **Metoda proiecțiilor** - se bazează pe proprietatea distribuției de viteze din cazul mișcării plan-paralele, conform căreia, proiecțiile vitezelor a două puncte pe dreapta care unește aceste puncte sunt identice și de același sens. Cunoscând vitezele \bar{v}_A și \bar{v}_B ale punctelor A și B aparținând unei plăci în mișcare plană, se poate scrie, conform cu (11.9), relația:

$$pr_{AB}(\bar{v}_A) = pr_{AB}(\bar{v}_B). \quad (11.25)$$

Spre exemplificare, se consideră mecanismul bielă-manivelă din figura 11.5 la care se cunoaște viteza \bar{v}_A a punctului A și se cere să se determine, aplicând metoda proiecțiilor vitezelor, viteza punctului B și viteza punctului C în care sunt articulate barele AC și BC . Întrucât $pr_{AB}(\bar{v}_A) = pr_{AB}(\bar{v}_B)$, se proiectează viteza \bar{v}_A a punctului A pe direcția AB . Segmentul Ac astfel obținut se transportă în punctul B și se obține segmentul $Bd = Ac$ (în același sens cu Ac). În punctul d se ridică o perpendiculară pe AB . Vectorul \bar{v}_B cu originea în B , are vârful pe dreapta OB .

Se procedează analog pentru punctele B și C , respectiv A și C și în baza relațiilor:

$$pr_{BC}(\bar{v}_B) = pr_{BC}(\bar{v}_C), \quad pr_{AC}(\bar{v}_A) = pr_{AC}(\bar{v}_C), \quad (11.26)$$

se iau în același sens segmente egale:

$$Bg = Ch, \quad Ac = Cf. \quad (11.27)$$

Ridicând perpendicularele în punctele h și f , la intersecția acestora se află extremitatea vectorului \bar{v}_C cu originea în C .

d) **Metoda planului vitezelor**. Fie (P_m) o placă mobilă într-un plan fix (P_f) și A, B, C, \dots, N puncte aparținând plăcii, ele având vitezele instantanee egale cu $\bar{v}_A, \bar{v}_B, \bar{v}_C, \dots, \bar{v}_N$. Se numește **plan al vitezelor corespunzător plăcii aflată în mișcare plană**, figura formată din vectorii concurenți într-un punct o denumit *pol*, echipolenți cu vectorii viteză $\bar{v}_A, \bar{v}_B, \bar{v}_C, \dots, \bar{v}_N$ ai punctelor A, B, C, \dots, N aparținând plăcii mobile. Se notează cu a, b, c, \dots, n extremitățile vectorilor viteză concurenți în o , astfel că: $\overline{oa} = \bar{v}_A, \overline{ob} = \bar{v}_B, \overline{oc} = \bar{v}_C, \dots, \overline{on} = \bar{v}_N$. Vectorii $\overline{ab}, \overline{bc}$

etc., care unesc două câte două extremitățile acestor vectori, se numesc **viteze relative**.

Considerând două puncte arbitrare A și B ale plăcii mobile (fig. 11.7) din planul de viteze, se poate scrie relația:

$$\overline{ob} = \overline{oa} + \overline{ab}. \quad (11.28)$$

Pe de altă parte, conform relației lui Euler pentru viteze, știind că $\vec{r} = \overline{AB}$, se poate scrie:

$$\vec{v}_B = \vec{v}_A + \vec{\omega} \times \overline{AB}. \quad (11.29)$$

Comparând relațiile (11.28) și (11.29) și având în vedere (11.7) rezultă:

$$\overline{ab} = \vec{\omega} \times \overline{AB} = \vec{v}_{BA}, \quad (11.30)$$

astfel încât:

$$\vec{v}_{BA} \perp \overline{AB}, \text{ respectiv } \overline{ab} \perp \overline{AB}. \quad (11.31)$$

Fie C un alt punct al plăcii mobile ales astfel încât, să nu fie pe dreapta AB . Ca urmare, în planul plăcii se formează triunghiul ABC . Continuând raționamentul făcut anterior pentru punctele A și B , se pot scrie relații analoage cu (11.30) și pentru \overline{BC} și \overline{CA} . Astfel,

$$\overline{bc} = \vec{\omega} \times \overline{BC} = \vec{v}_{CB}, \quad \overline{ca} = \vec{\omega} \times \overline{CA} = \vec{v}_{AC}. \quad (11.32)$$

Având în vedere (11.30) și (11.32), se poate scrie:

$$\overline{ab} \perp \overline{AB}, \quad \overline{bc} \perp \overline{BC}, \quad \overline{ca} \perp \overline{CA}, \quad (11.33)$$

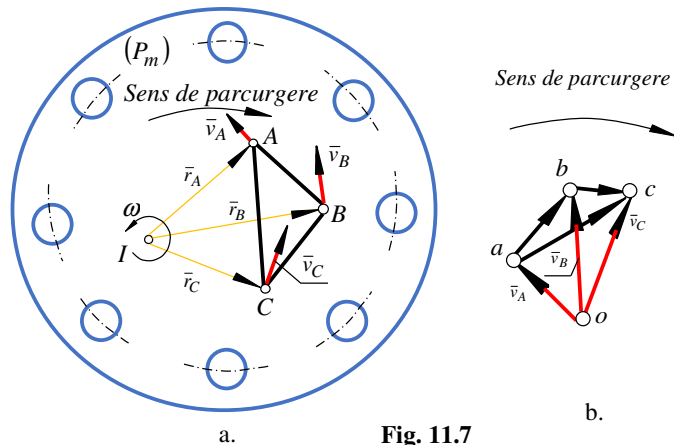


Fig. 11.7

astfel că vectorii $\vec{v}_{BA}, \vec{v}_{CB}, \vec{v}_{AC}$, deci și $\overline{ab}, \overline{bc}, \overline{ca}$, sunt rotați față de $\overline{AB}, \overline{BC}, \overline{CA}$ în același sens, cu un unghi de $\frac{\pi}{2}$ [rad].

Modulele vectorilor $\vec{v}_{BA}, \vec{v}_{CB}, \vec{v}_{AC}$, conform cu (11.30) și (11.32), sunt:

$$v_{BA} = \omega AB = ab, v_{CB} = \omega BC = bc, v_{AC} = \omega CA = ca, \quad (11.34)$$

din care rezultă relațiile:

$$ab / AB = bc / BC = ca / CA = \omega, \quad (11.35)$$

pe baza cărora se deduce că, triunghiurile abc și ABC sunt asemenea. Cele două triunghiuri sunt rotite între ele cu un unghi de $\frac{\pi}{2}$ [rad], sensul de parcurgere al lor și succesiunea literelor fiind aceleași.

Întrucât, o figură poligonală poate fi descompusă în triunghiuri, se poate generaliza că: pentru un număr oarecare de puncte aparținând plăcii mobile, se poate enunța *teorema asemănării* sau **teorema lui Mehmke pentru viteze**. Astfel: *dacă pe o placă care execută o mișcare plană se alege arbitrar un număr oarecare de puncte și se construiește planul vitezelor corespunzător acestora, poligonul format prin unirea extremităților vectorilor viteză absolută din planul vitezelor este asemenea cu poligonul format prin unirea punctelor alese pe placa mobilă.*

Primul poligon este rotit față de al doilea cu un unghi de $\frac{\pi}{2}$ [rad] în sensul vitezei unghiulare ω .

În cazul unui mecanism alcătuit din elemente care execută mișcări plane, se poate construi un plan al vitezelor pentru întregul mecanism alegând același pol o pentru toate elementele mecanismului.

Ca aplicație, se va considera mecanismul patrulater din figura 11.8 la care se cunosc elementele geometrico-constructive ale acestuia pentru poziția din figură, precum și viteza unghiulară de rotație ω a manivelei OA . Având în vedere figura 11.8 și relația Euler pentru viteze, se pot scrie succesiv pentru punctele A , B , și C relațiile:

$$v_A = \omega OA, \bar{v}_A \perp \overline{OA}, \text{ având sensul dat de } \omega \quad (11.36)$$

$$B, A: \bar{v}_B = \bar{v}_A + \bar{v}_{BA}, \bar{v}_B \perp \overline{O_1B}, \bar{v}_{BA} \perp \overline{BA}, \quad (11.37)$$

$$C, A: \bar{v}_C = \bar{v}_A + \bar{v}_{CA}, \bar{v}_{CA} \perp \overline{CA}, \quad (11.38)$$

$$C, B: \bar{v}_C = \bar{v}_B + \bar{v}_{CB}, \bar{v}_{CB} \perp \overline{CB}. \quad (11.39)$$

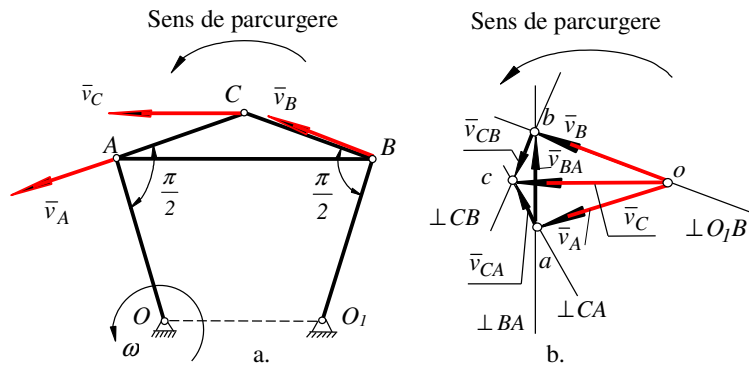


Fig. 11.8

Se alege *o* scară a vitezelor și se transpune vectorul \bar{v}_A la scara vitezelor într-un pol *o*, arbitrar ales, obținând în planul vitezelor vectorul $\overline{oa} = \bar{v}_A$ transpus la scară. Urmărind relațiile (11.36) și (11.37), prin punctul *a* din planul vitezelor se duce o perpendiculară pe *AB* din planul mecanismului, care întâlnește perpendiculara pe O_1B dusă prin *o* din planul vitezelor în *b*.

Segmentul \overline{ob} din planul vitezelor reprezintă la scară vectorul viteză absolută \bar{v}_B , iar segmentul \overline{ab} vectorul viteză relativă \bar{v}_{BA} . Perpendicularele în *a* și *b* pe *OA* respectiv pe *OB*, se întâlnesc în *c* care constituie extremitatea vectorului vitezei absolute \bar{v}_C , având originea în polul *o* al planului vitezelor. Segmentele \overline{ac} și \overline{bc} reprezintă la scara vitezelor, vitezele relative \bar{v}_{CA} și \bar{v}_{CB} . Din figura 11.8b se

observă că triunghiurile abc și ABC sunt asemenea, dar rotite cu $\frac{\pi}{2}$ [rad] unul față de altul, sensul de parcurgere și succesiunea literelor fiind aceleași.

11.1.3 Distribuția de accelerații

În figura 11.9 este reprezentată placa mobilă (P_m) care execută o mișcare plan-paralelă în planul fix (P_f). Cunoscând la un moment dat (t) accelerația \bar{a}_A a unui punct A aparținând plăcii, viteza unghiulară $\bar{\omega}$ și accelerația unghiulară $\bar{\epsilon}$ corespunzătoare rotației plăcii în jurul unui ax perpendicular în polul A pe planul mișcării, se pune problema determinării la momentul (t) a accelerației \bar{a}_B a oricărui punct B aparținând plăcii.

În acest scop, se alege sistemul de referință cartezian fix $O_I x_I y_I$ în planul fix (P_f) și sistemul de referință cartezian mobil Axy , legat invariabil de placa mobilă (P_m). Derivând vectorial în raport cu timpul relația (11.5), se obține *legea de distribuție a accelerațiilor în cazul mișcării plan-paralele* astfel:

$$\bar{a}_B = \bar{a}_A + \bar{\epsilon} \times \bar{r} + \bar{\omega} \times (\bar{\omega} \times \bar{r}), \quad (11.40)$$

sau

$$\bar{a}_B = \bar{a}_A + \bar{\epsilon} \times \bar{r} - \bar{\omega}^2 \bar{r}, \quad (11.41)$$

Întrucât:

$$\dot{\bar{v}}_B = \bar{a}_B, \quad \dot{\bar{v}}_A = \bar{a}_A, \quad \dot{\bar{\omega}} = \bar{\epsilon}, \quad \dot{\bar{r}} = \bar{\omega} \times \bar{r}, \quad \bar{\omega} \perp \bar{r}. \quad (11.42)$$

Introducând notațiile:

$$\bar{\epsilon} \times \bar{r} = \bar{a}_{BA\tau}, \quad -\bar{\omega}^2 \bar{r} = \bar{a}_{BA\nu}, \quad (11.43)$$

$$\bar{a}_{BA\tau} + \bar{a}_{BA\nu} = \bar{a}_{BA}, \quad (11.44)$$

relația (11.41) se scrie sub forma:

$$\bar{a}_B = \bar{a}_A + \bar{a}_{BA}. \quad (11.45)$$

Relația vectorială (11.45) este cunoscută sub denumirea de *relația lui Euler pentru accelerații* în cazul mișcării plan-paralele, ea fiind utilizată la determinarea accelerațiilor prin metoda planului de accelerații.

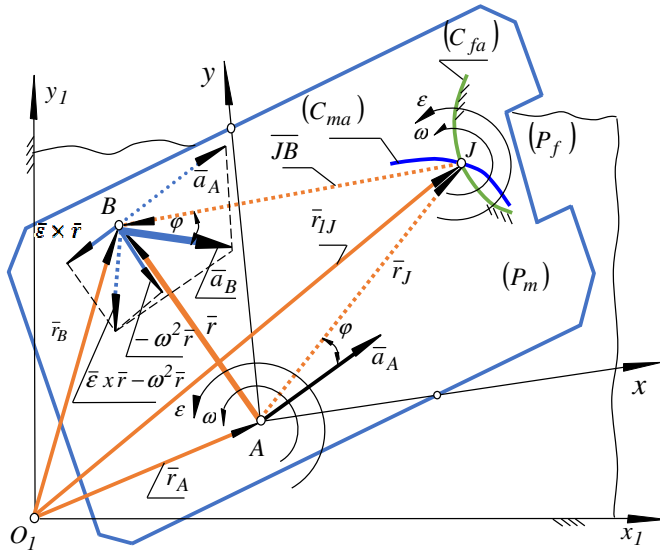


Fig. 11.9

Din analiza legii de distribuție a accelerațiilor (11.45) se pot stabili următoarele *proprietăți ale distribuției de accelerații în cazul mișcării plan-paralele*:

a) Accelerația oricărui punct aparținând rigidului este suma vectorială dintre accelerația \bar{a}_A , reprezentând accelerația polului mobil A caracteristică unei mișcări de translație și o componentă reprezentată prin vectorii $\bar{\epsilon} \times \bar{r}$, $-\omega^2 \bar{r}$, corespunzătoare unei mișcări de rotație (fig. 11.9);

b) Există în general, puncte a căror accelerație este nulă. Ele se găsesc pe o axă (Δ) paralelă cu Oz , care intersectează planul Oxy într-un **punct J, punct care poartă numele de polul (centrul) accelerațiilor** (fig. 11.10).

Polul accelerațiilor ca și axa (Δ) , care se numește *axa instantanee a accelerațiilor*, își schimbă continuu poziția atât față de sistemul de referință fix cât și față de cel mobil.

*Locul geometric al pozițiilor succesive ocupate de centrul instantaneu (pol) al accelerațiilor (sau axa instantanee a accelerațiilor), în raport cu sistemul cartezian fix, este o curbă denumită **centroidă fixă a accelerațiilor** (C_{fa}) (sau axoïda fixă a accelerațiilor (A_{fa})) (fig. 11.9 și fig. 11.10).*

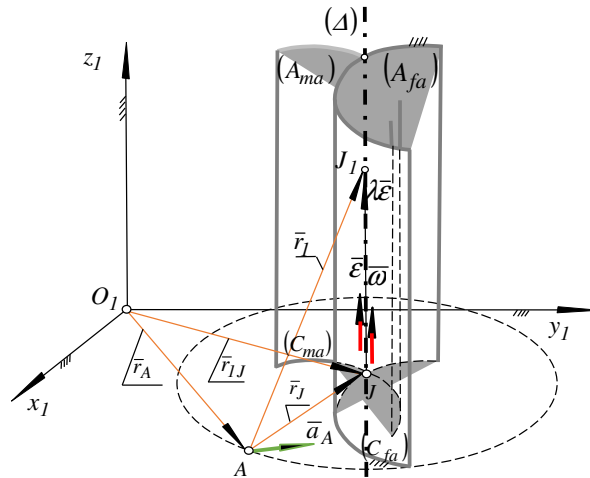


Fig. 11.10

*Locul geometric al pozițiilor succesive ocupate de centrul instantaneu (pol) al accelerațiilor (axa instantanee a accelerațiilor), în raport cu sistemul cartezian mobil, este o curbă denumită **centroidă mobilă a accelerațiilor** (C_{ma}) (sau axoïda mobilă a accelerațiilor (A_{ma})).*

Polul accelerațiilor J se găsește în orice moment (t) în punctul de intersecție al celor două centroïde care **nu mai sunt tangente** ca și în cazul distribuției de viteze;

- c) *Raportând distribuția de accelerații din cazul mișcării plan-paralele la polul accelerațiilor, se obține o distribuție specifică mișcării de rotație, ca și când placa mobilă (rigidul) s-ar roti în jurul unui ax perpendicular pe planul mișcării în polul accelerațiilor.*

Această proprietate se exprimă prin relația:

$$\bar{a}_B = \bar{\varepsilon} \times \overline{JB} - \omega^2 \overline{JB}, \quad (11.46)$$

scrisă pentru un punct arbitrar B aparținând plăcii mobile (P_m) (fig. 11.11).

Din (11.46) se obține modulul și direcția accelerației unui punct oarecare B aparținând plăcii mobile (P_m):

$$a_B = JB\sqrt{\omega^4 + \varepsilon^2}, \quad \text{tg } \varphi = |\bar{\varepsilon} \times \overline{JB}| / \omega^2 JB = \varepsilon / \omega^2. \quad (11.47)$$

Comparând relația (11.46) cu relația dedusă în cazul mișcării de rotație a solidului rigid în jurul unui ax fix, se ajunge la concluzia că, se poate realiza *legea de distribuție a accelerațiilor plăcii mobile* (P_m) în orice moment (t), dacă se imprimă acestuia o mișcare de rotație în jurul axei instantanee a accelerațiilor, axă normală în polul J pe planul plăcii (P_m),

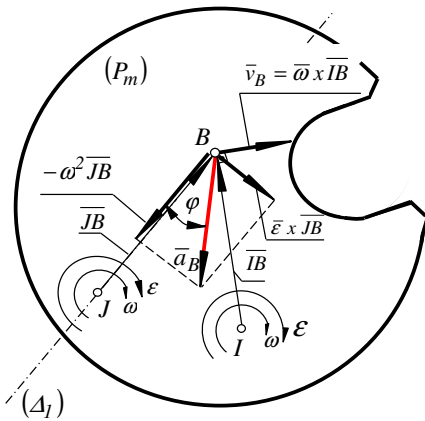


Fig. 11.11

având viteza unghiulară $\bar{\omega}$ și accelerația unghiulară $\bar{\varepsilon}$, componente ce caracterizează mișcarea de rotație relativă a plăcii (P_m) în jurul polului de referință mobil A la momentul (t) (fig. 11.9).

Se ajunge astfel la concluzia că, *distribuția de accelerații la mișcarea plan-paralelă este aceeași ca și la mișcarea de rotație, ca și când placa mobilă (rigidul) s-ar roti în jurul axei instantanee a accelerațiilor.*

De remarcat însă, că placa mobilă (rigidul) *nu execută o mișcare de rotație în jurul axei instantanee a accelerațiilor*, deoarece această axă se află în mișcare atât față de sistemul de referință fix, cât și față de cel mobil, coordonatele polului accelerațiilor fiind, în general, funcții de timp.

Cunoscând la un moment dat accelerația \bar{a}_B a unui punct B al plăcii (P_m) și mărimile ω și ε , se poate determina poziția centrului instantaneu al accelerațiilor astfel: se duce prin B o dreaptă (Δ_J) ce închide cu accelerația \bar{a}_B , conform cu (11.47), un unghi φ măsurat în sens trigonometric, dacă $\varepsilon > 0$ sau în sens contrar,

dacă $\varepsilon < 0$ și se măsoară pe această dreaptă un segment a cărui valoare să fie $JB = a_B / \sqrt{\omega^4 + \varepsilon^2}$ (fig. 11.11);

- d) Determinând și comparând expresiile vectorilor de poziție \vec{r}_I și \vec{r}_J ai punctelor I și J se constată că, *centrul instantaneu de rotație I diferă de centrul instantaneu (pol) al accelerațiilor J.*

Rezultă că, *centrul instantaneu de rotație I nu are viteză, dar are accelerație, după cum centrul instantaneu J are viteză, dar nu are accelerație, acesta fiind singurul punct al plăcii (P_m) care la un moment dat (t) se află în mișcare rectilinie și uniformă* (fig. 11.11).

Din calculele efectuate anterior a rezultat că, *vectorul accelerație unghiulară ε nu depinde de poziția polului de referință A aparținând plăcii mobile.* Această proprietate se poate demonstra utilizând figura 11.12 în care s-a reprezentat placa mobilă (P_m) pe care s-au ales trei puncte arbitrare A, B și C . Accelerațiile acestor puncte sunt legate prin relații Euler de forma (11.41). Astfel,

$$\begin{aligned} \vec{a}_B &= \vec{a}_A + \vec{\varepsilon}_A \times \vec{AB} - \omega^2 \vec{AB}, & \vec{a}_C &= \vec{a}_B + \vec{\varepsilon}_B \times \vec{BC} - \omega^2 \vec{BC}, \\ \vec{a}_A &= \vec{a}_C + \vec{\varepsilon}_C \times \vec{CA} - \omega^2 \vec{CA}. \end{aligned} \quad (11.48)$$

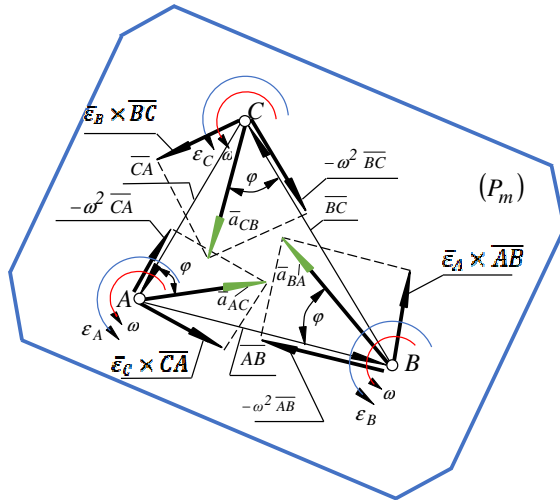


Fig. 11.12

Prin însumarea relațiilor și efectuând calculele, se obține relația:

$$(\bar{\epsilon}_B - \bar{\epsilon}_A) \times \overline{BC} + (\bar{\epsilon}_C - \bar{\epsilon}_A) \times \overline{CA} = 0. \quad (11.49)$$

Din relația (11.49), având în vedere că punctele A , B și C au fost alese arbitrar pe placa mobilă (P_m) , se obține:

$$\bar{\epsilon}_A = \bar{\epsilon}_B = \bar{\epsilon}_C = \bar{\epsilon}. \quad (11.50)$$

Se ajunge astfel la concluzia că, **acelerația unghiulară $\bar{\epsilon}$ nu depinde de poziția polului de referință mobil A la momentul (t) , constituind un invariant vectorial față de poziția acestui pol.**

11.1.3.1 Metode pentru determinarea distribuției de accelerații în mișcarea plan-paralelă

a) **Metoda polului accelerațiilor** este analoagă metodei centrului instantaneu de rotație utilizată la determinarea vitezelor. În figura 11.13 este reprezentată o placă mobilă (P_m) care execută o mișcare plană. Cunoscând accelerația \bar{a}_A a unui punct A aparținând plăcii, precum și viteza unghiulară $\bar{\omega}$ și accelerația unghiulară $\bar{\epsilon}$ de rotație relativă a plăcii în jurul unui ax perpendicular în A pe planul plăcii, se va determina accelerația \bar{a}_B a unui punct B aparținând plăcii (P_m) .

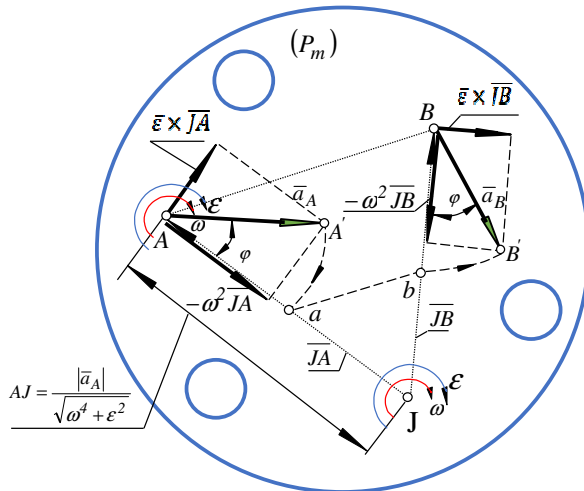


Fig. 11.13

Pentru aceasta se determină poziția polului accelerațiilor construind o semidreaptă care trece prin A și face cu vectorul \bar{a}_A unghiul $\varphi = \arctg \frac{|\epsilon|}{\omega^2}$, în sensul indicat de accelerația unghiulară ϵ , pe care se ia apoi segmentul de dreaptă $AJ = |\bar{a}_A| / \sqrt{\omega^4 + \epsilon^2}$.

Raportând

mișcarea plan-paralelă la polul accelerațiilor se obține o **distribuție de accelerații**

specifică unei mișcări de rotație, ca și când placa s-ar roti în jurul polului J. Pentru a determina accelerația punctului B se trasează o semidreaptă prin B care face unghiul φ cu JB (de aceeași parte față de JB ca și suportul vectorului \bar{a}_A față de JA), pe care se desenează, la scara accelerațiilor, un vector \bar{a}_B al cărui modul are expresia $a_B = JB\sqrt{\omega^4 + \varepsilon^2}$.

b) Metoda rabaterii accelerațiilor. Fie o placă mobilă (P_m) aflată în mișcare plană (fig. 11.13) și \bar{a}_A accelerația instantanee a unui punct A aparținând plăcii, reprezentată la o anumită scară. Se cunoaște de asemenea, poziția polului J al accelerațiilor corespunzătoare momentului (t). Accelerația oricărui alt punct B poate fi obținută utilizând **metoda grafică a rabaterii**, indicată în figura 11.13. Astfel, se rabatează cu unghiul φ extremitatea vectorului accelerație \bar{a}_A , obținând pe raza polară JA punctul a , prin care se duce paralela ab la segmentul AB . Rabatând apoi tot cu unghiul φ segmentul Bb , dar în sens invers primei rabaterii, se obține accelerația \bar{a}_B a punctului B .

Într-adevăr, raportând *distribuția de accelerații din cazul mișcării plan-paralele la polul accelerațiilor, se obține o distribuție specifică mișcării de rotație, fapt pentru care în baza relației care exprimă modulul accelerației la mișcarea de rotație și utilizând notațiile din figura 11.13, se poate scrie:*

$$a_A = JA\sqrt{\omega^4 + \varepsilon^2}, \quad a_B = JB\sqrt{\omega^4 + \varepsilon^2}, \quad (11.51)$$

de unde rezultă:

$$a_B = (JB/JA) a_A. \quad (11.52)$$

Pe de altă parte, din figura 11.13 în care $Aa = a_A$, se obține:

$$Bb = (JB/JA) a_A. \quad (11.53)$$

Comparând (11.52) cu (11.53), se constată că segmentul Bb reprezintă, la scara adoptată pentru accelerații, modulul accelerației \bar{a}_B .

Componentele intrinseci ale accelerațiilor \bar{a}_A și \bar{a}_B ale punctelor A și B , raportate la polul accelerațiilor, au mărimile:

$$\left| \bar{\varepsilon} \times \overline{JA} \right| = \varepsilon JA, \quad \left| -\bar{\omega}^2 \overline{JA} \right| = \omega^2 JA, \quad \left| \bar{\varepsilon} \times \overline{JB} \right| = \varepsilon JB, \quad \left| -\bar{\omega}^2 \overline{JB} \right| = \omega^2 JB. \quad (11.54)$$

Având în vedere (11.54) și figura 11.13, se constată că:

$$tg \sphericalangle JAA' = tg \sphericalangle JBB' = \varepsilon / \omega^2, \quad (11.55)$$

astfel încât:

$$\sphericalangle JAA' = \sphericalangle JBB' = \varphi. \quad (11.56)$$

Relațiile (11.53) și (11.56) conduc la concluzia că, vectorul $\overline{BB'}$ reprezintă la scara accelerațiilor, accelerația punctului B .

c) Metoda planului accelerațiilor. Fie (P_m) o placă mobilă într-un plan fix (P_f) și A, B, C, \dots, N puncte aparținând plăcii, având accelerațiile instantanee egale cu $\overline{a}_A, \overline{a}_B, \overline{a}_C, \dots, \overline{a}_N$. Se numește **plan al accelerațiilor corespunzător plăcii aflată în mișcare plană, figura formată din vectorii echipolenți cu vectorii accelerație $\overline{a}_A, \overline{a}_B, \overline{a}_C, \dots, \overline{a}_N$, aplicați într-un pol o' , numit polul planului accelerațiilor.** Notând cu a', b', c', \dots, n' extremitățile vectorilor accelerație concurenți în o' , există relațiile: $\overline{o'a'} = \overline{a}_A, \overline{o'b'} = \overline{a}_B, \overline{o'c'} = \overline{a}_C, \dots, \overline{o'n'} = \overline{a}_N$. Vectorii $\overline{a'b'}, \overline{b'c'}$ etc., care unesc două câte două extremitățile acestor vectori reprezintă **accelerațiile relative**.

În figura 11.14 s-a reprezentat placa mobilă (P_m) pe care s-au ales în mod arbitrar trei puncte A, B și C ale căror accelerații instantanee sunt $\overline{a}_A, \overline{a}_B, \overline{a}_C$.

În conformitate cu (11.45), se pot scrie relațiile vectoriale:

$$\overline{a}_B = \overline{a}_A + \overline{a}_{BA}, \quad \overline{a}_C = \overline{a}_B + \overline{a}_{CB}, \quad \overline{a}_C = \overline{a}_A + \overline{a}_{CA}, \quad (11.57)$$

din care rezultă:

$$\overline{a}_B - \overline{a}_A = \overline{a}_{BA}, \quad \overline{a}_C - \overline{a}_B = \overline{a}_{CB}, \quad \overline{a}_C - \overline{a}_A = \overline{a}_{CA}. \quad (11.58)$$

Se construiește planul accelerațiilor (fig. 11.14b) din care se obțin expresiile vectoriale:

$$\overline{o'b'} = \overline{o'a'} + \overline{a'b'}, \quad \overline{o'c'} = \overline{o'b'} + \overline{b'c'}, \quad \overline{o'c'} = \overline{o'a'} + \overline{a'c'}, \quad (11.59)$$

care se mai pot scrie sub forma:

$$\overline{a'b'} = \overline{o'b'} - \overline{o'a'} = \overline{a}_B - \overline{a}_A, \quad \overline{b'c'} = \overline{o'c'} - \overline{o'b'} = \overline{a}_C - \overline{a}_B, \quad \overline{a'c'} = \overline{o'c'} - \overline{o'a'} = \overline{a}_C - \overline{a}_A, \quad (11.60)$$

având în vedere echipolența vectorilor

$$\overline{o'a'} = \overline{a_A}, \quad \overline{o'b'} = \overline{a_B}, \quad \overline{o'c'} = \overline{a_C}. \quad (11.61)$$

Comparând relațiile (11.58) și (11.60), rezultă că:

$$\overline{a'b'} = \overline{a_{BA}}, \quad \overline{b'c'} = \overline{a_{CB}}, \quad \overline{a'c'} = \overline{a_{CA}}. \quad (11.62)$$

Se constată că, vectorii $\overline{a'b'}$, $\overline{b'c'}$, $\overline{a'c'}$ din planul accelerațiilor reprezintă accelerațiile relative de rotație a punctelor B față de A , respectiv C față de B și A .

Dacă se consideră doar perechea de puncte A și B , având în vedere (11.43) și (11.44), se poate scrie expresia accelerației relative de rotație a punctului B față de A :

$$\overline{a_{BA}} = \overline{\varepsilon \times AB} - \omega^2 \overline{AB}. \quad (11.63)$$

Componenta $\overline{\varepsilon \times AB}$ a acestei accelerații este perpendiculară pe \overline{AB} , sensul ei fiind dat de accelerația unghiulară ε , iar componenta $-\omega^2 \overline{AB}$ este coliniară cu vectorul \overline{AB} , dar de sens contrar acestuia.

Notând cu φ_1 unghiul ascuțit dintre direcțiile vectorilor \overline{AB} și $\overline{a_{BA}}$, există relația:

$$\operatorname{tg} \varphi_1 = \varepsilon / \omega^2. \quad (11.64)$$

Având în vedere sensurile pozitive ale celor doi vectori se constată că, vectorul $\overline{a_{BA}}$ este rotit față de vectorul \overline{AB} cu unghiul $(\pi - \varphi_1)$, măsurat în sensul indicat de accelerația unghiulară ε (fig. 11.14a).

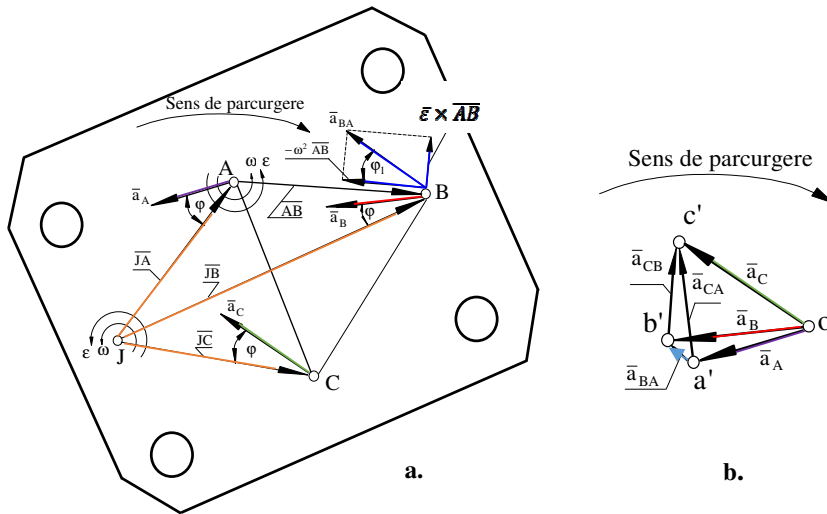


Fig. 11.14

$(\pi - \varphi_1)$ în sensul indicat de vectorul accelerație unghiulară $\bar{\epsilon}$ astfel că, cele două triunghiuri sunt asemenea, având unghiuri egale.

Întrucât, o figură poligonală se poate descompune în triunghiuri, concluzia anterioară poate fi generalizată pentru un număr oarecare de puncte aparținând plăcii mobile. Se obține astfel, *teorema asemănării* sau *teorema lui Mehmke pentru accelerații* care se enunță în felul următor:

Dacă pe o placă care execută o mișcare plană se alege arbitrar un număr oarecare de puncte și se construiește planul accelerațiilor corespunzător acestora, poligonul format prin unirea extremităților vectorilor accelerație absolută din planul accelerațiilor este asemenea cu poligonul format prin unirea punctelor alese pe placa mobilă.

Cele două poligoane sunt rotite unul față de altul cu un unghi $(\pi - \varphi_1)$, unghiul φ_1 rezultând din relația (11.64).

De remarcat că, succesiunea vârfurilor celor două poligoane și sensul de parcurgere a lor sunt aceleași.

În cazul unui mecanism alcătuit din elemente care execută mișcări plane se poate construi un plan al accelerațiilor pentru întregul mecanism alegând același pol o' pentru toate elementele mecanismului.

Pentru exemplificare, se consideră mecanismul din figura 11.15 la care se cunosc elementele geometrico-constructive ale acestuia, respectiv viteza \bar{v}_A și accelerația \bar{a}_A a punctului A pentru poziția din figură. Pentru a determina accelerațiile punctelor B și C se va construi planul accelerațiilor. Având în vedere figura 11.15, planul vitezelor prezentat în figura 11.8b, precum și relația Euler (11.45), se pot scrie succesiv pentru punctele A , B și C relațiile:

$$\bar{a}_B = \bar{a}_A + \bar{a}_{BA}, \quad \bar{a}_{BA} = \bar{a}_{BA_v} + \bar{a}_{BA_\tau}, \quad a_{BA_v} = v_{BA}^2 / BA, \quad \bar{a}_{BA_v} \parallel \overline{AB}, \quad \text{are sensul de la } B \text{ spre } A, \quad \bar{a}_{BA_\tau} \perp \overline{AB}, \quad (11.65)$$

$$\bar{a}_B = \bar{a}_{B_v} + \bar{a}_{B_\tau}, \quad a_{B_v} = v_B^2 / O_1B, \quad \bar{a}_{B_v} \parallel \overline{O_1B}, \quad \text{are sensul de la } B \text{ spre } O_1, \quad \bar{a}_{B_\tau} \parallel \overline{O_1B}, \quad (11.66)$$

$$\bar{a}_C = \bar{a}_A + \bar{a}_{CA}, \quad \bar{a}_{CA} = \bar{a}_{CA_v} + \bar{a}_{CA_\tau}, \quad a_{CA_v} = v_{CA}^2 / CA, \quad \bar{a}_{CA_v} \parallel \overline{AC}, \quad \text{are sensul de la } C$$

spre A, $\bar{a}_{CA\tau} \perp \overline{AC}$,

$\bar{a}_C = \bar{a}_B + \bar{a}_{CB}$, $\bar{a}_{CB} = \bar{a}_{CBv} + \bar{a}_{CB\tau}$, $a_{CBv} = v_{CB}^2 / CB$, $\bar{a}_{CBv} \parallel \overline{BC}$, are sensul de la C

spre B, $\bar{a}_{CB\tau} \perp \overline{BC}$. (11.67)

În relațiile (11.65), (11.66) și (11.67) componentele normale ale accelerațiilor au sensul de la punct către centrul de rotație (fix sau mobil).

Se alege o scară a accelerațiilor și se transpune vectorul \bar{a}_A la scara accelerațiilor într-un pol o' , arbitrar ales, obținând în planul accelerațiilor vectorul $\overline{o'a'} = \bar{a}_A$. Urmărind relațiile (11.65), se duce prin o' o paralelă la O_1B din planul mecanismului, pe care se ia vectorul \bar{a}_{Bv} la scara accelerațiilor, cu sensul de la B spre O_1 .

Prin extremitatea vectorului \bar{a}_{Bv} se duce o perpendiculară pe O_1B . Apoi prin extremitatea a' a vectorului \bar{a}_A din planul accelerațiilor se trasează o paralelă la AB din planul mecanismului, pe care se ia vectorul \bar{a}_{BAv} la scara accelerațiilor, cu sensul de la B spre A.

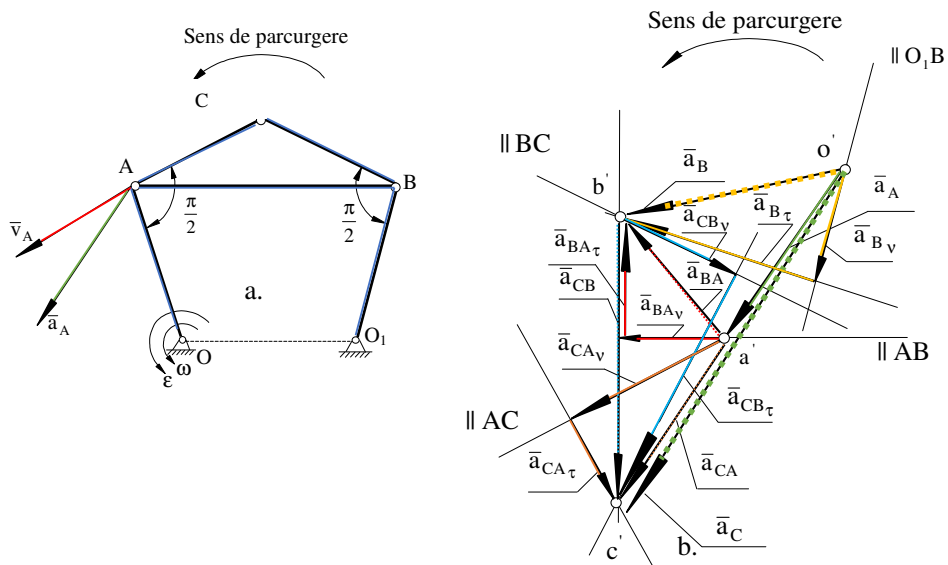


Fig. 11.15

Prin extremitatea vectorului \bar{a}_{BA_v} se duce o perpendiculară pe AB . Perpendicularele pe O_1B , respectiv pe AB din planul accelerațiilor se intersectează în punctul b' care reprezintă extremitatea vectorului \bar{a}_B în planul de accelerații. Construind analog în punctele a' și b' vectorii \bar{a}_{CA_v} și \bar{a}_{CB_v} , pe baza relațiilor (11.66) și (11.67) și trasând prin extremitățile acestor vectori perpendicularele pe AC și BC , se obține în planul accelerațiilor punctul c' , care constituie extremitatea vectorului \bar{a}_C . Urmărind planul accelerațiilor construit și relațiile (11.65), (11.66) și (11.67), se trasează vectorii accelerație absolută și relativă conținuți în aceste relații.

Accelerația punctului C se poate determina și aplicând teorema asemănării pentru accelerații, punctul c' rezultând din asemănarea triunghiurilor ABC și $a'b'c'$.

11.2 Probleme rezolvate ^[9]

11.2.1. Pe un cerc de rază R , tangent în originea O_I a axei $O_I x_I$, se sprijină continuu o bară AB a cărei extremitate A se mișcă pe axa $O_I x_I$. Să se determine baza și rostogolitoarea mișcării barei AB , precum și viteza punctului de tangență C pentru poziția dată în figură, știind că punctul A se deplasează cu viteza constantă \bar{u} pe axa $O_I x_I$ (fig. 11.16).

Soluție:

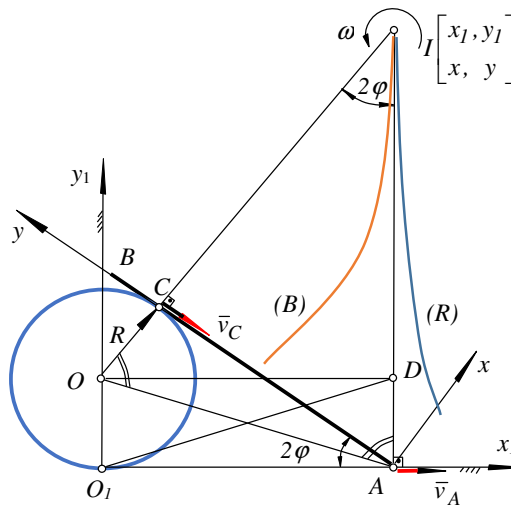


Fig. 11.16

a) Baza

Se determină coordonatele x_I, y_I ale centrului instantaneu de rotație I față de sistemul de referință fix $x_I O_I y_I$:

$$x_I = R \operatorname{ctg} \varphi, \quad (1)$$

$$y_I = ID + DA = x_I \operatorname{ctg} 2\varphi + R = R + R \operatorname{ctg} \varphi \operatorname{ctg} 2\varphi. \quad (2)$$

Dar,

$$\operatorname{ctg} 2\varphi = \frac{1 - \operatorname{tg}^2 \varphi}{2 \operatorname{tg} \varphi}, \quad (3)$$

astfel că:

$$y_1 = R + \frac{R(1 - \operatorname{tg}^2 \varphi)}{2 \operatorname{tg}^2 \varphi}. \quad (4)$$

Din (1) rezultă:

$$\operatorname{tg} \varphi = \frac{R}{x_1},$$

care introdusă în (4), conduce la:

$$y_1 = \frac{x_1^2}{2R} + \frac{R}{2}, \quad (B), \quad (5)$$

astfel că, baza este o parabolă având ca focar centrul O al cercului și ca directoare axa O_1x_1 .

b) Rostogolitoarea

Se notează cu x, y coordonatele centrului instantaneu de rotație față de sistemul de referință mobil xAy solidar cu bara AB .

Se observă că, triunghiul IOA este isoscel ($\sphericalangle IOA = \sphericalangle IAO$ pentru că $\Delta O_1AD = \Delta OAC$), astfel că, se poate scrie:

$$IO = IA = OC + IA \cos 2\varphi,$$

de unde:

$$IA = \frac{R}{1 - \cos 2\varphi}. \quad (6) - (7)$$

Având în vedere figura 11.18 și relația (7), se pot scrie relațiile:

$$x = IA \cos 2\varphi = \frac{R \cos 2\varphi}{1 - \cos 2\varphi}, \quad (8)$$

$$y = IA \sin 2\varphi = \frac{R \sin 2\varphi}{1 - \cos 2\varphi}. \quad (9)$$

Eliminând parametrul φ din (8) și (9), se obține ecuația carteziană a rostogolitoarei:

$$y^2 = 2Rx + R^2, \quad (R), \quad (10)$$

care este o parabolă având focarul în punctul A și ca directoare dreapta $x = -\frac{R}{2}$.

c) Viteza punctului C

În baza relației (11.15) și utilizând notațiile din figura 11.16, se scriu relațiile:

$$v_A = u = \omega IA, \text{ de unde } \omega = \frac{u}{IA}, \quad (11)$$

$$v_C = \omega IC = \omega IA \cos 2\varphi, \quad (12)$$

$$v_C = u \cos 2\varphi. \quad (13)$$

Direcția vitezei punctului C este după tangenta la cerc în acest punct, sensul ei fiind dat de sensul vitezei unghiulare ω .

11.2.2. Bara OA se rotește cu viteza unghiulară constantă ω în jurul extremității sale O . De cealaltă extremitate este legat un fir care trece peste un scripete mic B și de care atâră la extremitatea liberă o greutate \overline{G} . Să se afle viteza cu care se mișcă greutatea în funcție de unghiul φ , fiind date: $OA = R$, $OC = a$, $CB = b$ (fig. 11.17).

Soluție:

Prima metodă: Se determină poziția centrului instantaneu de rotație I corespunzător barei AB , urmată de viteza unghiulară instantanee ω de rotație a barei în jurul acesteia.

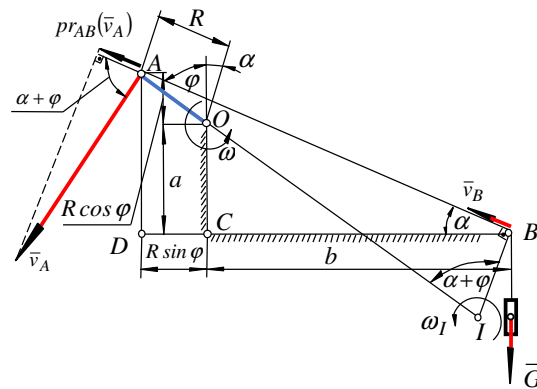


Fig. 11.17

Astfel, se poate scrie:

$$v_A = \omega R = \omega_I IA, \quad (1)$$

de unde:

$$\omega_I = \frac{\omega R}{IA}. \quad (2)$$

Viteza punctului B , conform cu (11.15), are modulul:

$$v_B = \omega IB = \frac{\omega R}{IA} IB. \quad (3)$$

Din triunghiul ABI rezultă:

$$IA = \frac{AB}{\sin(\alpha + \varphi)}, \quad IB = AB \operatorname{ctg}(\alpha + \varphi). \quad (4)$$

Din triunghiul ABD se obține:

$$AB = \sqrt{a^2 + b^2 + R^2 + 2R(a \cos \varphi + b \sin \varphi)}, \quad (5)$$

$$\sin \alpha = \frac{a + R \cos \varphi}{AB}, \quad \cos \alpha = \frac{b + R \sin \varphi}{AB}. \quad (6)$$

Ținând cont de (4), (5) și (6), relația (3) devine:

$$v_B = \omega R \frac{b \cos \varphi - a \sin \varphi}{\sqrt{a^2 + b^2 + R^2 + 2R(a \cos \varphi + b \sin \varphi)}}. \quad (7)$$

Metoda a doua: Se aplică metoda proiecțiilor conform căreia, proiecțiile vitezelor a două puncte pe dreapta ce unește cele două puncte sunt egale.

Astfel:

$$v_B = v_A \cos(\alpha + \varphi) = \omega R \cos(\alpha + \varphi) \quad (8)$$

sau, având în vedere (5) și (6), mărimea v_B a vitezei punctului B este:

$$v_B = \omega R \frac{b \cos \alpha - a \sin \alpha}{\sqrt{a^2 + b^2 + R^2 + 2R(a \cos \alpha + b \sin \alpha)}} \quad (9)$$

11.2.3. Tija AB de lungime ℓ alunecă cu extremitățile sale pe laturile unui ghidaj fix x_1Oy_1 ale cărui laturi închid un unghi egal cu $\frac{\pi}{2}$ rad. Să se afle baza, rostogolitoarea, traiectoriile punctelor tijei, viteza \bar{v} și accelerația \bar{a} a unui punct oarecare M al tijei aflat la distanța m de extremitatea A , în ipoteza că viteza extremității A este constantă și egală cu u (fig. 11.18).

Soluție:

a) **Baza**

$$\begin{aligned} x_1 &= OA = \ell \cos \varphi, \\ y_1 &= OB = \ell \sin \varphi. \end{aligned} \quad (1)$$

Eliminând parametrul φ din relațiile (1), se obține:

$$x_1^2 + y_1^2 = \ell^2, \quad (B), \quad (2)$$

astfel că, baza este un cerc de rază ℓ , având centrul în originea O a sistemului fix.

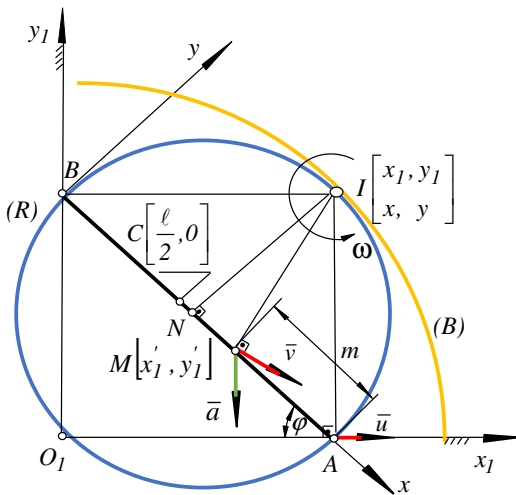


Fig. 11.18

b) **Rostogolitoarea**

$$\begin{aligned} x &= BN = \frac{\ell}{2}(1 + \cos 2\varphi), \\ y &= IN = \frac{\ell}{2} \sin 2\varphi. \end{aligned} \quad (3)$$

Eliminând parametrul φ din (3), rezultă ecuația carteziană a rostogolitoarei:

$$\left(x - \frac{\ell}{2}\right)^2 + y^2 = \left(\frac{\ell}{2}\right)^2, \quad (R), \quad (4)$$

care este ecuația unui cerc de rază $\frac{\ell}{2}$,

cu centrul în punctul $C\left(\frac{\ell}{2}, 0\right)$.

c) **Traiectoriile punctelor tijei**

Se consideră punctul $M(x_1', y_1')$ ale cărui coordonate x_1', y_1' au expresiile:

$$\begin{aligned} x_1' &= (\ell - m) \cos \varphi, \\ y_1' &= m \sin \varphi. \end{aligned} \quad (5)$$

Eliminând parametrul φ din (5), se obține:

$$\left(\frac{x_1'}{\ell - m} \right)^2 + \left(\frac{y_1'}{m} \right)^2 = 1, \quad (6)$$

Relația (6) reprezintă ecuația unei elipse cu semiaxe $\ell - m$ și m , variabile în funcție de parametrul m .

d) **Viteza punctului M**

Se determină viteza \vec{v} a punctului M prin proiecțiile ei, respectiv v_{x_1} și v_{y_1} pe axele sistemului de referință fix $x_1 O y_1$, necesare pentru a deduce apoi accelerația \vec{a} a acestui punct. Astfel, utilizând figura 11.18, se poate scrie:

$$\begin{aligned} \vec{v} &= v_{x_1} \vec{i}_1 + v_{y_1} \vec{j}_1 = \vec{\omega} \times \vec{IM}, \\ \vec{IM} &= (x_1' - x_1) \vec{i}_1 + (y_1' - y_1) \vec{j}_1, \\ \vec{v} = v_{x_1} \vec{i}_1 + v_{y_1} \vec{j}_1 &= \begin{vmatrix} \vec{i}_1 & \vec{j}_1 & \vec{k}_1 \\ 0 & 0 & \omega \\ x_1' - x_1 & y_1' - y_1 & 0 \end{vmatrix} = -\vec{i}_1 \omega (y_1' - y_1) + \vec{j}_1 \omega (x_1' - x_1), \end{aligned}$$

de unde:

$$\begin{aligned} v_{x_1} &= -\omega (y_1' - y_1), \\ v_{y_1} &= \omega (x_1' - x_1). \end{aligned} \quad (7)$$

Viteza unghiulară ω de rotație a barei în jurul centrului instantaneu de rotație I se determină dintr-o relație similară cu (11.15), dar scrisă pentru punctul A :

$$v_A = u = \omega IA = \omega \ell \sin \varphi, \quad (8)$$

de unde:

$$\omega = \frac{u}{\ell \sin \varphi}. \quad (9)$$

Înlocuind în (7) relațiile (1), (5) și (9), se obțin proiecțiile vitezei instantanee \bar{v} pe axele Ox_I și Oy_I și anume:

$$\begin{aligned} v_{x1} &= \frac{u}{\ell}(\ell - m), \\ v_{y1} &= -\frac{um}{\ell} \operatorname{ctg} \varphi. \end{aligned} \quad (10)$$

Direcția vitezei se determină din relația:

$$\operatorname{tg}(\widehat{\bar{v}, x_1}) = \frac{v_{y1}}{v_{x1}}. \quad (11)$$

sau $\bar{v} \perp \overline{IM}$, având în vedere (11.14), sensul vitezei fiind dat de sensul vitezei unghiulare ω .

e) Accelerația punctului M

Componentele a_{x1}, a_{y1} ale accelerației \bar{a} pe axele sistemului fix $x_I y_I$ se obțin derivând relațiile (10) în raport cu timpul:

$$\begin{aligned} a_{x1} &= \dot{v}_{x1} = 0, \\ a_{y1} &= \dot{v}_{y1} = -\frac{um}{\ell \sin^2 \varphi} \dot{\varphi}. \end{aligned} \quad (12)$$

Dar $\dot{\varphi} = -\omega$, pentru că unghiul φ descrește când punctul A se deplasează în sensul pozitiv al axei Ox_I . Având în vedere (9), se obține:

$$a_{y1} = -\frac{u^2 m}{\ell^2 \sin^3 \varphi}, \quad (13)$$

astfel că:

$$\bar{a} = -\frac{u^2 m}{\ell^2 \sin^3 \varphi} \bar{j}_1. \quad (14)$$

Se observă că, vectorul accelerație \bar{a} a punctului M este orientat după axa Oy_I în sens invers direcției axei.

11.2.4. Se dau barele $OA = AB = \ell$ articulate între ele în punctul A. Bara OA se rotește cu viteză unghiulară constantă în jurul lui O, iar punctul B se poate deplasa de-a lungul axei Ox_I . Să se determine baza, rostogolitoarea, traiectoria

punctului M , viteza punctului B și viteza punctului M , dacă $AM = k AB$ (fig. 11.19).

Soluție:

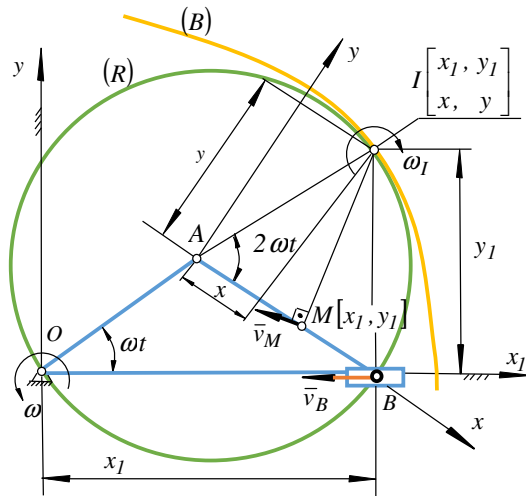


Fig. 11.19

a) Baza

Se determină centrul instantaneu de rotație I corespunzător barei AB . Din figura 11.19 se observă că: $AI = OA = \ell$, astfel că:

$$\begin{aligned} x_1 &= 2 \ell \cos \omega t, \\ y_1 &= 2 \ell \sin \omega t. \end{aligned} \quad (1)$$

Eliminând parametrul (t) din (1), se obține ecuația carteziană a centroidei fixe (*bazei*):

$$x_1^2 + y_1^2 = 4\ell^2, \quad (B), \quad (2)$$

care este ecuația unui cerc de rază 2ℓ , având centrul în originea O_1 a sistemului fix $x_1 O_1 y_1$.

b) Rostogolitoarea

Notând cu x, y coordonatele centrului instantaneu de rotație în sistemul de referință mobil xAy , se pot scrie relațiile:

$$\begin{aligned} x &= \ell \cos 2\omega t, \\ y &= \ell \sin 2\omega t. \end{aligned} \quad (3)$$

din care eliminând parametrul (t), se obține ecuația carteziană a centroidei mobile (*rostogolitoarei*):

$$x^2 + y^2 = \ell^2, \quad (R), \quad (4)$$

care este ecuația unui cerc de rază ℓ , având centrul în originea sistemului de referință mobil xAy , solidar cu bara AB .

c) Traectoria punctului M

Ecuatiile parametrice ale traiectoriei punctului M se obțin determinând coordonatele x_1', y_1' , ale acestuia în raport cu sistemul fix $x_1O_1y_1$. Astfel,

$$\begin{aligned} x_1' &= \ell(1+k)\cos\omega t, \\ y_1' &= \ell(1-k)\sin\omega t. \end{aligned} \quad (5)$$

Prin eliminarea parametrului t din (5), se ajunge la ecuația carteziană a traiectoriei punctului M :

$$\frac{x_1'^2}{\ell^2(1+k)^2} + \frac{y_1'^2}{\ell^2(1-k)^2} = 1, \quad (6)$$

care este o elipsă de semiaxe $\ell(1+k)$, $\ell(1-k)$.

d) Viteza punctului B

Viteza unghiulară ω_I de rotație a barei AB în jurul centrului instantaneu de rotație are, în baza relației (11.15), expresia:

$$\omega_I = \frac{v_A}{AI} = \frac{\omega OA}{AI} = \omega. \quad (7)$$

În conformitate cu (11.15), vectorul viteză \vec{v}_B a punctului B este:

$$\vec{v}_B = -\omega_I BI \vec{i}_1 = -2\omega\ell \sin\omega t \vec{i}_1. \quad (8)$$

e) Viteza punctului M

Aplicând (11.15) punctului M și teorema cosinusului în triunghiul IAM , rezultă:

$$v_M = \omega\ell \sqrt{1+k^2 - 2k \cos 2\omega t}. \quad (9)$$

Viteza punctului M este perpendiculară pe \overline{IM} , are sensul dat de sensul vitezei unghiulare instantanee ω_I , iar modulul se determină cu relația (9).

11.2.5. Se consideră mecanismul bielă-manivelă excentric reprezentat în figura 11.20. Manivela motoare se rotește cu viteza unghiulară constantă ω_0 . Se

cer, să se determine accelerația capului de cruce, precum și accelerația unghiulară a bielei atunci când manivela se găsește în poziție verticală.

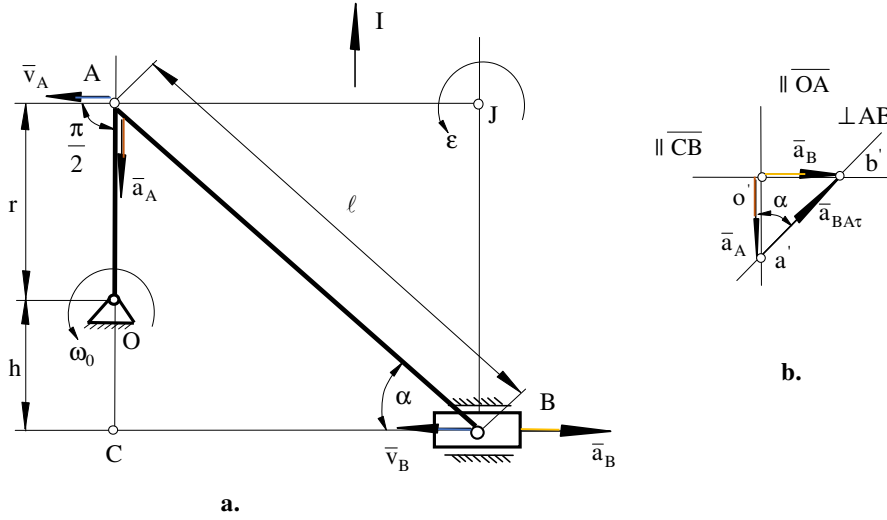


Fig. 11.20

instantaneu de rotație I , corespunzător mișcării plan-paralele a bielei AB , este aruncat la infinit, deci biela execută o mișcare elementară de translație. Rezultă că, viteza unghiulară instantanee ω de rotație a bielei este nulă.

Conform relației (11.45), accelerația capului de cruce B are expresia:

$$\bar{a}_B = \bar{a}_A + \bar{a}_{BA}, \quad (1)$$

în care:

$$\bar{a}_B \parallel \overline{CB}, \quad \bar{a}_A = \bar{a}_{A_V} + \bar{a}_{A_\tau}, \quad \bar{a}_{A_V} \parallel \overline{OA}, \quad a_{A_V} = \omega_0^2 r, \quad a_{A_\tau} = \varepsilon_0 OA = 0, \quad (\varepsilon_0 = \dot{\omega}_0 = 0), \quad (2)$$

$$\bar{a}_{BA} = \bar{a}_{BA_V} + \bar{a}_{BA_\tau}, \quad a_{BA_V} = \omega^2 AB = 0, \quad (\omega = 0), \quad \bar{a}_{BA_\tau} \perp \overline{BA}. \quad (3)$$

Introducând (3) în (1), se obține:

$$\bar{a}_B = \bar{a}_A + \bar{a}_{BA_\tau} = \bar{a}_A + \bar{\varepsilon} \times \overline{AB} \quad (4)$$

Având în vedere planul accelerațiilor din figura 11.20b și utilizând relațiile (1), (2), (3) și (4), se obține valoarea accelerației \bar{a}_B a capului de cruce:

$$a_B = a_A \operatorname{tg} \alpha = \omega_0^2 r \frac{(r+h)}{\sqrt{\ell^2 - (r+h)^2}}, \quad (5)$$

Din figura 11.20a rezultă:

$$\operatorname{tg} \alpha = \frac{(r+h)}{\sqrt{\ell^2 - (r+h)^2}}. \quad (6)$$

Componenta tangențială $\bar{a}_{BA\tau}$ a accelerației relative \bar{a}_{BA} de rotație a punctului B față de A are mărimea:

$$a_{BA\tau} = \varepsilon AB = \varepsilon \ell. \quad (7)$$

Din figura 11.20 se obține:

$$\cos \alpha = \frac{\sqrt{\ell^2 - (r+h)^2}}{\ell}, \quad a_{BA\tau} = \frac{a_A}{\cos \alpha} = \frac{\omega_0^2 r \ell}{\sqrt{\ell^2 - (r+h)^2}}, \quad (8)$$

astfel încât, conform cu (7) și (8),

$$\varepsilon = \frac{\omega_0^2 r}{\sqrt{\ell^2 - (r+h)^2}}. \quad (9)$$

Raportând mișcarea plan-paralelă la polul J al accelerațiilor, accelerațiile punctelor A și B , conform cu (11.46), au expresiile:

$$\begin{aligned} \bar{a}_A &= \bar{\varepsilon} \times \bar{JA} - \omega^2 \bar{JA}, \\ \bar{a}_B &= \bar{\varepsilon} \times \bar{JB} - \omega^2 \bar{JB}. \end{aligned} \quad (10)$$

Dar viteza unghiulară $\bar{\omega}$, corespunzătoare componentei de rotație a mișcării plan-paralele a bielei AB , este egală cu 0 (C.I.R. este la infinit) astfel încât, relațiile (10) devin:

$$\begin{aligned} \bar{a}_A &= \bar{\varepsilon} \times \bar{JA}, \\ \bar{a}_B &= \bar{\varepsilon} \times \bar{JB}. \end{aligned} \quad (11)$$

Analizând (11), se constată că polul J al accelerațiilor se găsește în punctul de intersecție a normalelor duse în punctele de articulație A și B pe suportii accelerațiilor \bar{a}_A și \bar{a}_B (fig. 11.20).

11.2.6. Cunoscând accelerațiile extremităților unei bare AB aflată în mișcare plană, se cere să se determine accelerația mijlocului C al barei. Se dau accelerațiile \bar{a}_A și \bar{a}_B .

Soluție:

Conform cu (11.41), se pot scrie relațiile:

$$\bar{a}_C = \bar{a}_A + \bar{\varepsilon} \times \overline{AC} - \omega^2 \overline{AC}, \quad \bar{a}_C = \bar{a}_B + \bar{\varepsilon} \times \overline{BC} - \omega^2 \overline{BC}. \quad (1)$$

Prin adunare rezultă:

$$\bar{a}_C = \frac{1}{2}(\bar{a}_A + \bar{a}_B), \quad \text{deoarece } \overline{AC} + \overline{BC} = 0. \quad (2)$$

11.2.7. O bară OA se rotește într-un plan în jurul articulației fixe O astfel încât, $\alpha = \alpha_0 + \omega t$. O a doua bară AB se rotește în jurul lui A astfel încât, $\beta = \beta_0 + \omega t$, unde ω este o mărime presupusă constantă. Se cere să se determine vitezele unghiulare de rotație ω_0 și ω_1 ale barelor OA și AB în jurul lui O , respectiv A , viteza punctului B și centroidele mișcării plane a barei AB . Se dau: $OA = \ell$, $AB = \ell_1$ (fig. 11.21).

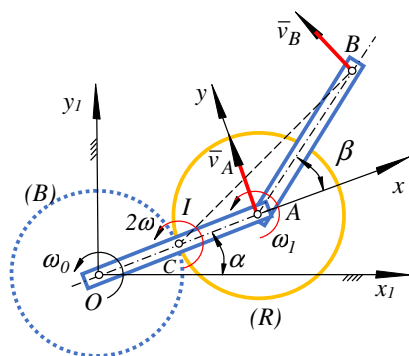


Fig. 11.21

Soluție:**a) Vitezele unghiulare ω_0 și ω_1**

Prin derivare în raport cu timpul a unghiurilor de rotație α și β se obțin vitezele unghiulare ω_0 și ω_1 astfel:

$$\omega_0 = \frac{d\alpha}{dt} = \omega, \quad \omega_1 = \frac{d\beta}{dt} = \omega. \quad (1)$$

b) Viteza punctului B

Se constată că rotațiile barelor în jurul punctelor O și A sunt identice (sunt egale conform cu (1), paralele și de același sens). Ca urmare, axa centrală a sistemului de vectori paraleli $\vec{\omega}_0$ și $\vec{\omega}_1$ trece prin mijlocul C al barei OA , punct în care se poate aplica rezultanta vectorilor $\vec{\omega}_0$ și $\vec{\omega}_1$ de valoare $\omega_0 + \omega_1 = 2\omega$. Această rezultantă reprezintă viteza unghiulară instantanee absolută a barei AB . Dar cum centrul instantaneu de rotație I al barei AB se află pe perpendiculara OA dusă în punctul A pe viteza \vec{v}_A a acestuia și viteza unghiulară absolută a barei AB acționează în punctul C , rezultă că punctul C este centrul instantaneu de rotație corespunzător barei AB . Astfel, viteza punctului B este perpendiculară în B pe IB și are sensul dat de viteza unghiulară 2ω . În conformitate cu metoda centrului instantaneu de rotație, mărimea vitezei \vec{v}_B se va obține cu relația:

$$v_B = 2\omega IB = \omega \sqrt{\ell^2 + 4\ell_1^2 + 4\ell_1\ell \cos \beta}. \quad (2)$$

c) Baza

Înregistrând punctul I față de sistemul de referință fix $x_I O y_I$ introdus în figura 11.21, se determină coordonatele x_I, y_I ale acestui punct cu relațiile:

$$x_I = \frac{\ell}{2} \cos \alpha, \quad y_I = \frac{\ell}{2} \sin \alpha. \quad (3)$$

Eliminând unghiul α din relația (3), se obține ecuația carteziană a curbei bază:

$$x_I^2 + y_I^2 = \left(\frac{\ell}{2}\right)^2, \quad (B), \quad (4)$$

care este un cerc de rază $\frac{\ell}{2}$ cu centrul în punctul O .

d) Rostogolitoarea

Coordonatele x și y ale centrului instantaneu de rotație, înregistrate față de sistemul mobil xAy (fig. 11.21) solidar cu bara AB , au expresiile:

$$x = \frac{\ell}{2} = \text{const.}, \quad y = 0. \quad (5)$$

Se constată că rostogolitoarea este un cerc mobil cu centrul în punctul A și raza egală cu $\frac{\ell}{2}$.

11.2.8. Pe un segment de dreaptă AB care se mișcă într-un plan fix, să se afle

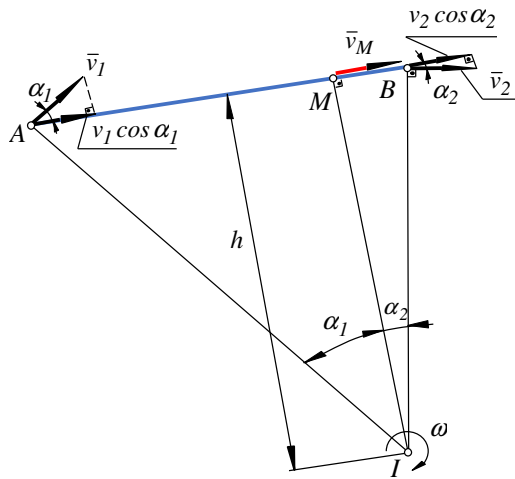


Fig. 11.22

punctul M a cărei viteză să fie orientată în lungul segmentului. Să se determine mărimea acestei viteze, distanța h a centrului instantaneu de rotație la segment și viteza unghiulară instantanee ω a segmentului.

Se cunosc vitezele \bar{v}_1 și \bar{v}_2 ale capetelor A și B ale segmentului și unghiurile α_1 și α_2 dintre viteze și segmentul AB de lungime ℓ (fig. 11.22).

Soluție:

Centrul instantaneu de rotație se găsește la intersecția perpendicularelor duse în punctele A și B pe vitezele \bar{v}_1 și \bar{v}_2 . Punctul M reprezintă piciorul perpendiculairei dusă din punctul I pe segmentul AB . Urmărind figura 11.22, se pot scrie relațiile:

$$\begin{aligned} IA \sin \alpha_1 + IB \sin \alpha_2 &= \ell, \\ IA \cos \alpha_1 &= IB \cos \alpha_2. \end{aligned} \quad (1)$$

Prin rezolvarea sistemului (1) se obțin segmentele IA și IB ale căror expresii sunt:

$$IA = \frac{\ell \cos \alpha_2}{\sin(\alpha_1 + \alpha_2)}, \quad IB = \frac{\ell \cos \alpha_1}{\sin(\alpha_1 + \alpha_2)}. \quad (2)$$

Conform figurii, se obține poziția punctului M pe segmentul AB astfel:

$$AM = IA \sin \alpha_1 = \frac{\ell \sin \alpha_1 \cos \alpha_2}{\sin(\alpha_1 + \alpha_2)}. \quad (3)$$

Viteza punctului M este:

$$v_M = \omega IM = \omega h, \quad (4)$$

relație în care:

$$h = IA \cos \alpha_1 = IB \cos \alpha_2 = \frac{\ell \cos \alpha_1 \cos \alpha_2}{\sin(\alpha_1 + \alpha_2)} = \frac{\ell}{\operatorname{tg} \alpha_1 + \operatorname{tg} \alpha_2}. \quad (5)$$

Pe de altă parte, vitezele sunt:

$$v_1 = \omega IA, \quad v_2 = \omega IB, \quad (6)$$

relații din care se obține viteza unghiulară ω :

$$\omega = \frac{v_1}{IA} = \frac{v_2}{IB} = \frac{v_1 \sin(\alpha_1 + \alpha_2)}{\ell \cos \alpha_1} = \frac{v_2 \sin(\alpha_1 + \alpha_2)}{\ell \cos \alpha_2}. \quad (7)$$

Având în vedere relațiile (5) și (7), viteza v_M a punctului M are expresia:

$$v_M = v_1 \cos \alpha_1 = v_2 \cos \alpha_2. \quad (8)$$

La același rezultat (8) se ajunge și prin aplicarea metodei proiecțiilor.

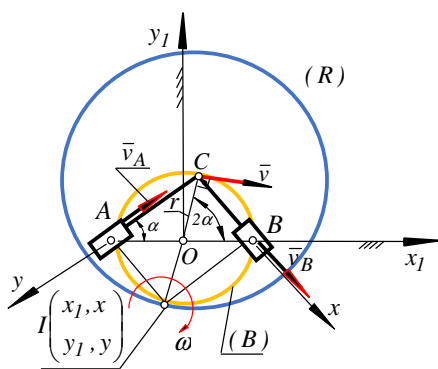


Fig. 11.23

11.2.9. Vârful C al unei bare îndoită în unghi drept descrie cu viteză constantă \bar{v} periferia unui cerc de rază r .

Laturile barei trec prin două puncte A și B de pe cerc, ele fiind situate pe același diametru. Să se determine: centroidele mișcării plane a

barei și vitezele \bar{v}_A și \bar{v}_B ale punctelor barei care coincid cu punctele A și B , pentru poziția dată în figura 11.23 prin unghiul $\alpha = \sphericalangle CAB$.

Soluție:

Centroidele mișcării plane pentru bară sunt baza și rostogolitoarea. Centrul instantaneu de rotație I se află la intersecția perpendicularelor duse în punctele A și B pe laturile barei îndoită în unghi drept. De altfel, punctul I se află și pe prelungirea razei punctului C .

a) Baza

Pentru determinarea bazei se introduce în O sistemul cartezian fix $x_I O y_I$ și se notează cu x_I și y_I coordonatele punctului I înregistrate în raport cu acest sistem de referință. Urmărind figura 11.23, se pot scrie relațiile:

$$x_I = -r \cos 2\alpha, \quad y_I = -r \sin 2\alpha. \quad (1)$$

Prin ridicare la pătrat și adunare, aceste relații conduc la:

$$x_I^2 + y_I^2 = r^2, \quad (B). \quad (2)$$

Ecuția (2) reprezintă un cerc de rază r , cu centrul în punctul O și este curba numită bază (B).

b) Rostogolitoarea

Curba rostogolitoare se determină exprimând coordonatele x și y ale centrului instantaneu de rotație în raport cu sistemul de coordonate mobil $x_C y_C$, solidar cu bara îndoită în unghi drept astfel:

$$x = 2r \sin \alpha, \quad y = 2r \cos \alpha. \quad (3)$$

Parametrul α se poate elimina prin ridicare la pătrat și adunarea relațiilor (2).

Se obține astfel relația:

$$x^2 + y^2 = 4r^2, \quad (R) \quad (4)$$

care este ecuația unui cerc de rază $2r$, cu centrul în punctul C și reprezintă curba plană mobilă numită rostogolitoare (R).

c) **Vitezele** \vec{v}_A și \vec{v}_B

Raportând distribuția de viteze din cazul mișcării plane la centrul instantaneu de rotație, se pot scrie relațiile:

$$v = \omega IC = 2\omega r, \quad v_A = \omega IA = 2\omega r \sin \alpha, \quad v_B = \omega IB = 2\omega r \cos \alpha. \quad (5)$$

Din prima relație (5) se determină viteza unghiulară ω :

$$\omega = \frac{v}{2r}, \quad (6)$$

astfel că, vitezele v_A și v_B devin:

$$v_A = v \sin \alpha, \quad v_B = v \cos \alpha. \quad (7)$$

Vitezele \vec{v}_A și \vec{v}_B sunt orientate în lungul laturilor AC și CB și au sensul determinat de sensul vitezei unghiulare ω a barei din jurul centrului instantaneu de rotație I .

11.2.10. Se consideră mecanismul bielă-manivelă prezentat în figura 11.24. Manivela motoare OA are lungimea r și se rotește în jurul lui O cu viteza unghiulară constantă ω . Biela AB are lungimea ℓ . Să se determine viteza unghiulară ω_1 și accelerația unghiulară ϵ_1 a bielei pentru poziția mecanismului dată de unghiul φ .

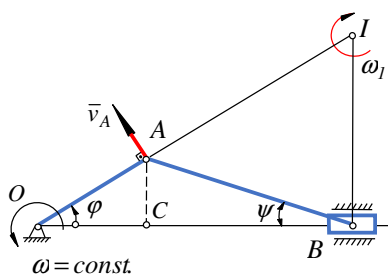


Fig. 11.24

Soluție:

Centrul instantaneu de rotație corespunzător bielei AB se află la intersecția perpendicularelor duse în A pe viteza \vec{v}_A a punctului A și în B pe direcția vitezei acestui punct.

Exprimând viteza lui A ca punct care aparține manivelei și bielei, se poate scrie:

$$v_A = \omega r = \omega_1 IA. \quad (1)$$

Având în vedere figura 11.24, există relația:

$$IA \cos \varphi = \ell \cos \psi, \quad (2)$$

din care se obține:

$$IA = \frac{\ell \cos \psi}{\cos \varphi}. \quad (3)$$

Din triunghiul dreptunghic ABC rezultă:

$$\sin \psi = \frac{AC}{AB} = \frac{r \sin \varphi}{\ell}, \quad (4)$$

relație care permite obținerea funcției:

$$\cos \psi = \sqrt{1 - \sin^2 \psi} = \frac{1}{\ell} \sqrt{\ell^2 - r^2 \sin^2 \varphi}. \quad (5)$$

Viteza unghiulară instantanee ω_1 a bielei se obține din relația (1). Astfel,

$$\omega_1 = \frac{\omega r}{IA}. \quad (6)$$

Având în vedere relațiile (3) și (5), relația (6) devine:

$$\omega_1 = \frac{\omega r \cos \varphi}{\sqrt{\ell^2 - r^2 \sin^2 \varphi}}. \quad (7)$$

Accelerația unghiulară instantanee ε_1 a bielei se obține prin derivare în raport cu timpul a relației (7). Astfel,

$$\varepsilon_1 = \frac{d\omega_1}{dt} = \omega r \dot{\varphi} \frac{d}{d\varphi} \left(\frac{\cos \varphi}{\sqrt{\ell^2 - r^2 \sin^2 \varphi}} \right) = \omega^2 r (r^2 - \ell^2) \frac{\sin \varphi}{(\ell^2 - r^2 \sin^2 \varphi)^{3/2}}. \quad (8)$$

11.2.11. Manivela OA a unui mecanism bielă-manivelă se rotește în jurul punctului O cu viteza unghiulară constantă ω . Pistonul B este acționat prin intermediul bielei AB . Să se arate că viteza \bar{v}_B a pistonului este egală cu $\omega \cdot OC$, unde C este punctul de intersecție dintre biela AB și perpendiculara dusă în O pe dreapta OB (fig. 11.25).

Soluție:

Centrul instantaneu de rotație I corespunzător bielei AB se află la intersecția perpendicularelor duse în punctul A pe viteza \vec{v}_A și în B pe direcția vitezei punctului B .

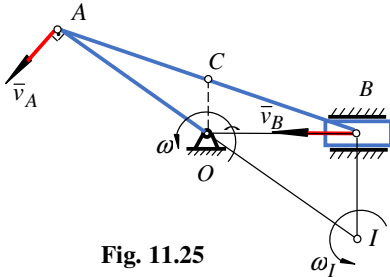


Fig. 11.25

Se exprimă viteza punctului A ca punct aparținând manivelei OA respectiv, ca punct aparținând bielei. Se poate scrie astfel:

$$v_A = \omega OA = \omega_I IA, \quad (1)$$

relație din care se poate determina viteza unghiulară instantanee corespunzătoare bielei. Astfel,

$$\omega_I = \frac{OA}{IA} \omega. \quad (2)$$

În conformitate cu metoda centrului instantaneu de rotație, viteza \vec{v}_B a punctului B are direcția perpendiculară pe IB și sensul determinat de ω_I , iar modulul:

$$v_B = \omega_I IB = \frac{OA \cdot IB}{IA} \omega. \quad (3)$$

Urmărind figura 11.25, se constată că $\triangle OAC \sim \triangle IAB$. Astfel, se poate scrie:

$$\frac{OC}{IB} = \frac{OA}{IA}. \quad (4)$$

Din relația (4) rezultă:

$$OC = \frac{OA \cdot IB}{IA}. \quad (5)$$

Introducând relația (5) în relația (3), se obține:

$$v_B = \omega \cdot OC. \quad (6)$$

11.2.12. Se dă mecanismul din figura 11.26 în care o camă de forma unui disc circular, de rază R , se rotește în jurul unei articulații O_0 cu viteza $\omega = \text{const.}$, antrenând în mișcare sistemul de bare ABD și DE . Cunoscând $AB = 2R$, $BD = R$ și $DE = 4R$, să se determine:

- ecuațiile parametrice de mișcare ale barei DE ;
- centrul instantaneu de rotație al barei DE ;
- centroidele mișcării plan-paralele ale barei DE ;
- viteza unghiulară de rotație a barei DE ;
- vitezele punctelor D și E .

Soluție:

Se alege sistemul de referință $x_0O_0y_0$ fix și un unghi θ pe care îl face bara DE cu verticala la un moment dat. Variația acestui unghi $\theta = \theta(t)$ reprezintă *legea mișcării relative a barei DE*.

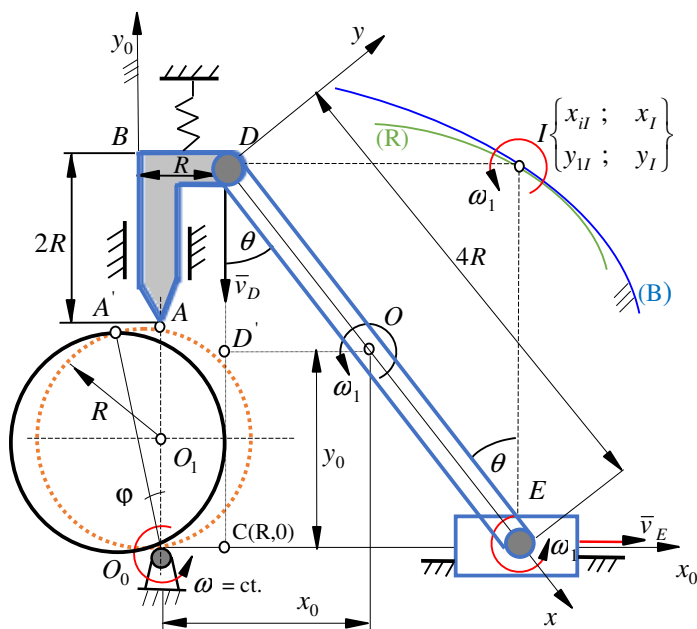


Fig. 11.26

a) Ecuațiile parametrice de mișcare ale barei DE raportate la sistemul de referință fix $x_0O_0y_0$ sunt următoarele:

$$\begin{aligned} x_0 &= BD + D'O = R + 2R \sin \theta \\ y_0 &= 2R \cos \theta \\ \theta &= \theta(t). \end{aligned} \tag{1}$$

b) Se observă că bara DE execută o mișcare plan-paralelă a cărei centru instantaneu de rotație I se poate determina geometric ducând perpendiculare pe direcțiile vitezelor în punctele D și E .

c) Centroidele mișcării plane ale barei DE :

Ecuțiile parametrice ale curbei *bază* (B) exprimate în raport cu sistemul de referință $x_0O_0y_0$ sunt:

$$\begin{aligned}x_{II} &= R + 4R \sin \theta \\ y_{II} &= 4R \cos \theta .\end{aligned}\quad (2)$$

Prin eliminarea unghiului θ din relațiile (2), se obține ecuația carteziană a *curbei bază* și anume:

$$(x_{II} - R)^2 + y_{II}^2 = (4R)^2 . \quad (3)$$

Relația (3) reprezintă ecuația unui *cerc* de rază $2R$ și și centru $C(R, 0)$.

Ecuțiile parametrice ale centroidei mobile (rostogolitoarei (R)) raportate la sistemul de referință mobil xOy , sunt următoarele:

$$\begin{aligned}x_I &= DI \sin \theta = 2R(1 - \cos 2\theta) \\ y_I &= DI \cos \theta = 2R \sin 2\theta .\end{aligned}\quad (4)$$

Eliminând unghiul θ din relația (4), se obține ecuația carteziană a *centroidei mobile* numită *rostogolitoare* (R):

$$(x_I - 2R)^2 + y_I^2 = (2R)^2 , \quad (5)$$

care reprezintă un cerc de rază $2R$ cu centrul în punctul $O(2R, 0)$.

d) Viteza unghiulară de rotație a barei DE este ω_1 și se determină astfel:

$$\omega_1 = \dot{\theta} . \quad (6)$$

Urmărind figura 11.26, se constată că $O_0B = EI$, adică:

$$2R \cos \varphi + 2R = 4R \cos \theta ,$$

relație care devine:

$$2 \cos \theta = 1 + \cos \varphi . \quad (7)$$

Derivând relația (7) în ambii membrii în raport cu timpul, se obține viteza unghiulară ω_1 a barei DE :

$$\omega_1 = \dot{\theta} = \frac{\omega \sin \omega t}{2 \sin \theta}. \quad (8)$$

e) Vitezele punctelor D și E se determină cu metoda centrului instantaneu de rotație. Astfel,

$$\begin{aligned} \bar{v}_D &= \bar{\omega}_1 \times \overline{ID}, \\ v_D &= \omega_1 ID = \frac{1}{2} \omega \frac{\sin \omega t}{\sin \theta} 4R \sin \theta = 2\omega R \sin \omega t; \end{aligned} \quad (9)$$

$$\begin{aligned} \bar{v}_E &= \bar{\omega}_1 \times \overline{IE}, \\ v_E &= \omega_1 IE = \frac{1}{2} \omega \frac{\sin \omega t}{\sin \theta} 4R \cos \theta = 2\omega R \sin \omega t \operatorname{ctg} \theta. \end{aligned} \quad (10)$$

Vitezele punctelor A și B sunt egale cu viteza punctului D deoarece aparțin aceleiași bare:

$$\bar{v}_A = \bar{v}_B = \bar{v}_D. \quad (11)$$

11.2.13. Se dă mecanismul bielă-manivelă din figura 11.27 a cărui manivelă OA se rotește cu viteza unghiulară instantanee ω și accelerația unghiulară instantanee ε . Să se determine prin *metoda planului vitezelor* și prin *metoda planului accelerațiilor*, viteza \bar{v}_C și accelerația \bar{a}_C a punctului C al bielei AB , punct aflat la distanța m de A . Se dau $OA = r$, $AB = \ell$.

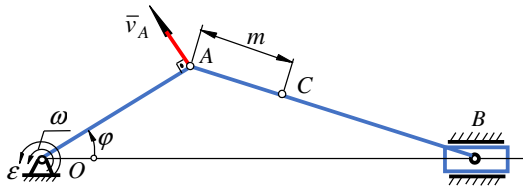


Fig. 11.27

Soluție:

a) Determinarea vitezelor

Viteza \bar{v}_A a punctului A are direcția perpendiculară pe OA , are sensul dat de viteza unghiulară ω și modulul:

$$v_A = \omega OA . \quad (1)$$

Viteza \bar{v}_B a punctului B se obține din relația de tip Euler pentru viteze scrisă pentru punctele B și A . Astfel,

$$B, A: \quad \bar{v}_B = \bar{v}_A + \bar{v}_{BA} , \quad (2)$$

relație în care \bar{v}_A este cunoscută, $\bar{v}_{BA} \perp \overline{BA}$, $\bar{v}_B \parallel \overline{OB}$.

Se construiește planul vitezelor (fig. 11.28a) într-un punct o din afara planului vitezelor. În acest sens, se reprezintă la o scară s_v impusă pentru viteze, în polul o al planului vitezelor viteza \bar{v}_A și se notează cu a extremitatea sa. Apoi prin punctul a se duce o perpendiculară pe AB , iar prin o paralela la OB care se intersectează în extremitatea b a vectorului viteză \bar{v}_B .

Viteza \bar{v}_C a punctului C aparținând bielei se poate găsi pe segmentul ab din planul de viteze, alegând punctul c astfel încât:

$$\frac{ac}{cb} = \frac{m}{\ell - m} . \quad (3)$$

Unind punctul o cu c se obține în planul de viteze vectorul \bar{v}_C în mărime, direcție și sens.

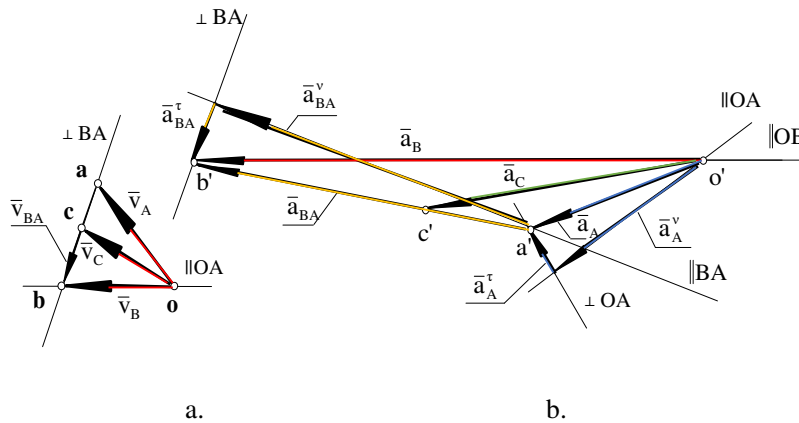


Fig. 11.28

b) Determinarea accelerațiilor

Accelerația \bar{a}_A a punctului A se poate scrie ca o sumă de două componente intrinseci (fig. 11.28b):

$$\bar{a}_A = \bar{a}_A^\tau + \bar{a}_A^v \quad (4)$$

unde: \bar{a}_A^v are direcția paralelă cu OA , sensul de la A spre O și modulul:

$$a_A^v = \omega^2 OA;$$

\bar{a}_A^τ are direcția perpendiculară pe OA , sensul dat de ε și modulul $a_A^\tau = \varepsilon OA$.

Accelerația \bar{a}_B a punctului B se poate determina cu o relație de tip Euler pentru accelerații scrisă pentru punctele B și A . Astfel,

$$B, A: \bar{a}_B = \bar{a}_A + \bar{a}_{BA}, \quad (5)$$

relație în care \bar{a}_A - este cunoscută;

$\bar{a}_{BA} = \bar{a}_{BA}^v + \bar{a}_{BA}^\tau$, \bar{a}_{BA}^v - are direcția paralelă cu BA , sensul de la B spre A și modulul: $a_{BA}^v = \frac{v_{BA}^2}{BA}$, $\bar{a}_{BA}^\tau \perp \overline{BA}$, iar $\bar{a}_B \parallel \overline{OB}$.

Utilizând relațiile (4) și (5), se construiește într-un punct o' , situat înafara planului mecanismului, planul de accelerații (fig. 11.28b). În acest sens, se alege o scară s_a a accelerațiilor și se reprezintă la scară vectorii \bar{a}_A^v , \bar{a}_A^τ și \bar{a}_{BA}^v . În punctul o' se introduce vectorul \bar{a}_A^v , iar în extremitatea acestuia se introduce vectorul \bar{a}_A^τ . Suma lor vectorială este vectorul \bar{a}_A a cărui extremitate se notează cu a' . Se construiește prin a' o paralelă la AB pe care, cu sensul de la B spre A , se reprezintă vectorul \bar{a}_{BA}^v , prin a cărui extremitate se duce o perpendiculară pe BA . În continuare, prin punctul o' se duce o paralelă la OB care intersectează în b' perpendiculara pe BA . Pornind din o' spre b' și urmărind relațiile (4) și (5), se închid poligoanele rezultând vectorii \bar{a}_{BA}^τ , \bar{a}_{BA} și \bar{a}_B .

Accelerația punctului C a bielei se obține luând pe segmentul $a'b'$ din planul de accelerații imaginea c' a punctului C , astfel încât:

$$\frac{a'c'}{c'b'} = \frac{m}{\ell - m}. \quad (6)$$

Vectorul $\overline{o'c'}$ din planul accelerațiilor reprezintă accelerația \bar{a}_C a punctului C în mărime, direcție și sens.

11.2.14. Două bare omogene AC și BC de lungimi cunoscute sunt articulate între ele în punctul C , iar în A și B de două patine care se pot deplasa pe orizontală. Cunoscând la un moment dat vitezele \bar{v}_1 și \bar{v}_2 ($v_2 > v_1$) și accelerațiile \bar{a}_1 și \bar{a}_2

($a_2 > a_1$) ale patinelor A și B , se cere să se determine viteza \bar{v}_C și accelerația \bar{a}_C a punctului C prin *metoda planului de viteze și metoda planului de accelerații*. Să se determine de asemenea, centrele instantanee de rotație corespunzătoare barelor AC și BC (fig. 11.29).

Soluție:

a) Viteza punctului C

Traectoria punctului C fiind necunoscută, pentru determinarea vitezei \bar{v}_C a punctului C se scriu relații Euler pentru viteze pentru perechile de puncte C, A și C, B astfel:

$$C, A: \bar{v}_C = \bar{v}_A + \bar{v}_{CA}, \quad (1)$$

relație în care $\bar{v}_A = \bar{v}_1$ - viteză cunoscută, $\bar{v}_{CA} \perp \overline{CA}$, \bar{v}_C - viteză necunoscută.

$$C, B: \bar{v}_C = \bar{v}_B + \bar{v}_{CB}, \quad (2)$$

relație în care $\bar{v}_B = \bar{v}_2$ - viteză cunoscută, $\bar{v}_{CB} \perp \overline{CB}$, \bar{v}_C - viteză necunoscută.

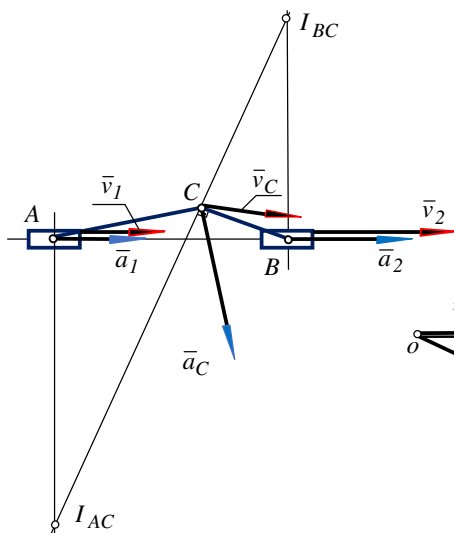


Fig. 11.29

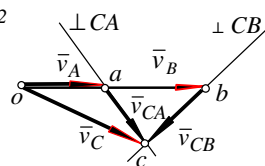


Fig. 11.30

Se alege o scară s_v a vitezelor și se reprezintă vitezele \bar{v}_A și \bar{v}_B la scară, introducându-le în planul vitezelor (fig. 11.30) în punctul o . Prin extremitățile a și b ale vectorilor \bar{v}_A și \bar{v}_B din planul de viteze se duc perpendicularele pe CA și pe CB , care se intersectează în punctul c . Viteza punctului C se obține unind în planul de viteze punctul o cu punctul c , urmărind desigur, relațiile (1) și (2) și

reprezentând în C (fig. 11.29) un vector echipolent cu vectorul $\overline{oc} = \overline{v}_C$, din planul de viteze.

Centrele instantanee de rotație corespunzătoare barelor AC și BC se determină astfel: se duc perpendiculare în punctele A , B și C pe vitezele \overline{v}_A , \overline{v}_B și \overline{v}_C , obținând la intersecția a câte două din aceste perpendiculare, centrele instantanee de rotație I_{AC} și I_{BC} .

b) Accelerația punctului C

Pentru determinarea accelerației \overline{a}_C a punctului C se scriu relații Euler pentru accelerații, corespunzător perechilor de puncte C, A și C, B . Astfel,

$$C, A: \overline{a}_C = \overline{a}_A + \overline{a}_{CA}, \quad (3)$$

relație în care $\overline{a}_A = \overline{a}_1$ este accelerație cunoscută, $\overline{a}_{CA} = \overline{a}_{CA}^v + \overline{a}_{CA}^\tau$, \overline{a}_{CA}^v are direcție paralelă cu CA , sensul de la C la A și modul $a_{CA}^v = \frac{v_{CA}^2}{CA}$, $\overline{a}_{CA}^\tau \perp \overline{CA}$, \overline{a}_C accelerația necunoscută:

$$C, B: \overline{a}_C = \overline{a}_B + \overline{a}_{CB}, \quad (4)$$

relație în care $\overline{a}_B = \overline{a}_2$ accelerație cunoscută, $\overline{a}_{CB} = \overline{a}_{CB}^v + \overline{a}_{CB}^\tau$, \overline{a}_{CB}^v are direcție paralelă cu CB , sensul de la C la B și modul: $a_{CB}^v = \frac{v_{CB}^2}{CB}$, $\overline{a}_{CB}^\tau \perp \overline{CB}$, \overline{a}_C este accelerația necunoscută.

Planul de accelerații (fig. 11.31) se construiește astfel: în polul o' al planului accelerațiilor se reprezintă la scara s_a a accelerațiilor, vectorii \overline{a}_A și \overline{a}_B . Prin extremitatea a' a accelerației \overline{a}_A se duce o paralelă la CA pe care, cu sensul de la C spre A , se reprezintă la scara accelerațiilor vectorul \overline{a}_{CA}^v , prin a cărui extremitate se trasează o perpendiculară pe CA . În mod similar, prin extremitatea b' a accelerației \overline{a}_B se trasează o paralelă la CB pe care, cu sensul de la C spre B , se reprezintă vectorul \overline{a}_{CB}^v , prin a cărui extremitate se duce o perpendiculară pe CB .

Punctul c' care este extremitatea accelerației \bar{a}_C , se află la intersecția perpendicularelor pe AC și CB .

Urmărind relațiile (3) și (4), se pornește din o' spre c' și se închid poligoanele, obținându-se vectorii accelerație: \bar{a}_{CA}^τ , \bar{a}_{CA} , \bar{a}_{CB}^τ , \bar{a}_{CB} , \bar{a}_C .

În planul de accelerații, accelerația \bar{a}_C este determinată ca direcție, sens și modul. Dar cum punctul de aplicație este C , se desenează în punctul C din figura 11.31 un vector echipolent cu vectorul $\overline{o'c'} = \bar{a}_C$ din planul de accelerații. Astfel, accelerația \bar{a}_C a punctului C este perfect determinată.

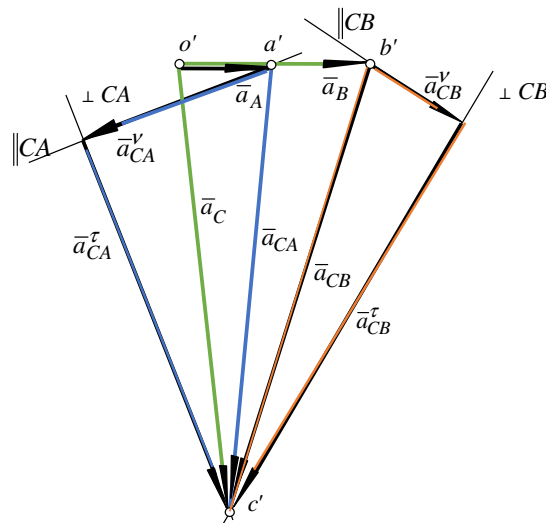


Fig. 11.31

11.2.15. Două bare paralele AB și CD se mișcă în sensuri contrare cu vitezele \bar{v}_1 și \bar{v}_2 ($v_1 > v_2$). Între bare se află un disc de rază r care se rostogolește fără să alunece pe bare (fig. 11.32). Să se determine:

- a) viteza unghiulară a discului;
- b) viteza \bar{v}_0 a centrului discului;
- c) centroidele mișcării plane a discului.

Soluție:

- a) Centrul instantaneu de rotație se găsește la intersecția perpendicularelor comune duse în punctele E și F pe vitezele \vec{v}_1 și \vec{v}_2 și cu dreapta HG care unește extremitățile vitezelor \vec{v}_1 și \vec{v}_2 . Într-adevăr, exprimând vitezele punctelor E și F aparținând discului, se pot scrie relațiile:

$$v_1 = \omega IE, \quad v_2 = \omega IF. \quad (1)$$

Prin împărțire membru cu membru a acestor relații, se obține:

$$\frac{v_1}{v_2} = \frac{IE}{IF} \Leftrightarrow \frac{EH}{FG} = \frac{IE}{IF}. \quad (2)$$

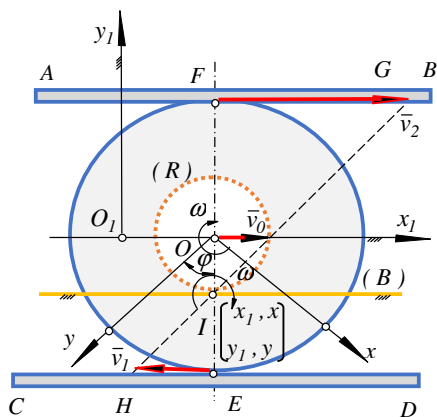


Fig. 11.32

În figura 11.32 se constată că: $\triangle IEH \sim \triangle IFG$, astfel că:

$$\frac{EH}{FG} = \frac{IE}{IF}. \quad (3)$$

Se observă că, relațiile (2) și (3) sunt identice, ceea ce conduce la concluzia că centrul instantaneu de rotație I se găsește la intersecția dreptelor EF și HG .

Prin adunarea membru cu membru a relațiilor (1), se obține:

$$v_1 + v_2 = 2 \omega r , \quad (4)$$

de unde viteza unghiulară instantanee a discului are valoarea:

$$\omega = \frac{v_1 + v_2}{2r} . \quad (5)$$

b) În conformitate cu metoda centrului instantaneu de rotație, viteza \bar{v}_0 a centrului discului are direcția perpendiculară pe IO , sensul este dat de viteza unghiulară ω și modulul se obține cu relația:

$$v_0 = \omega IO = \frac{v_2 - v_1}{2} . \quad (6)$$

În relația (6) IO are expresia:

$$IO = r - IE = r - \frac{v_1}{\omega} = \frac{v_2 - v_1}{v_1 + v_2} r . \quad (7)$$

c) Centroidele mișcării plane a discului se obțin exprimând coordonatele x_1, y_1 respectiv, x, y ale centrului instantaneu de rotație în raport cu sistemul fix $x_1 O_1 y_1$, respectiv mobil xOy solidar cu discul.

1) Baza

$$x_1 = x_1 , \quad y_1 = -IO = \frac{v_1 - v_2}{v_1 + v_2} r = ct. \quad (8)$$

Se constată că, baza (B) este o dreaptă paralelă cu $O_1 x_1$, aflată la distanța IO de centrul discului.

2) Rostogolitoarea

$$x = IO \sin \varphi , \quad y = IO \cos \varphi . \quad (9)$$

Prin ridicare la pătrat și adunare membru cu membru a relațiilor (9), se obține ecuația carteziană a rostogolitoarei:

$$x^2 + y^2 = IO^2 , \quad (10)$$

care este un cerc de rază IO , cu centrul în punctul O , tangent în punctul I la baza (B).

11.2.16. Se consideră mecanismul de antrenare al pompei din figura 11.33, a cărei manivelă motoare OA are turația n [rot/min].

Să se determine:

- viteza \bar{v}_F a pistonului pompei utilizând metoda planului de viteze;
- acceleerația \bar{a}_F a pistonului pompei utilizând metoda planului de accelerații.

Soluție:

a) Viteza \bar{v}_F a pistonului pompei

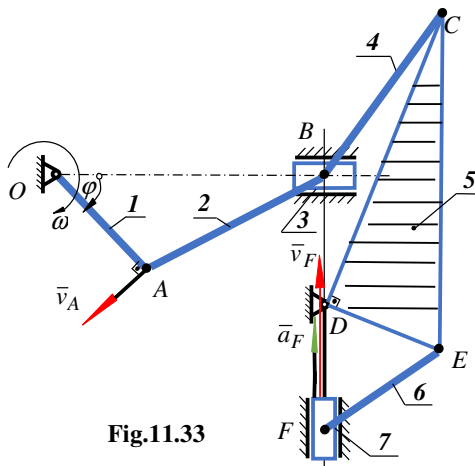


Fig.11.33

Viteza \bar{v}_F a pistonului pompei se va determina prin metoda planului de viteze.

Cum relațiile Euler pentru viteze se pot scrie pentru perechi de puncte aparținând aceluiași element, se determină viteza \bar{v}_A a punctului A apoi succesiv, vitezele $\bar{v}_B, \bar{v}_C, \bar{v}_E, \bar{v}_F$ ale punctelor B, C, E și F aparținând elementelor 2, 3, 4, 5, 6 și 7. Astfel,

- viteza \bar{v}_A a punctului A are expresia:

$$\bar{v}_A = \bar{\omega} \times \overline{OA}. \quad (1)$$

Caracteristicile vectorului viteză instantanee (fig. 11.34) \bar{v}_A sunt:

- direcția perpendiculară pe OA , sensul este dat de viteza unghiulară ω , modulul este:

$$v_A = \omega OA = \frac{\pi n}{30} OA,$$

- viteza \bar{v}_B a punctului B are expresia:

$$B,A: \bar{v}_B = \bar{v}_A + \bar{v}_{BA}, \quad (2)$$

relație în care viteza \bar{v}_A este cunoscută, $\bar{v}_{BA} \perp \overline{BA}$, $\bar{v}_B \parallel \overline{OB}$;

- viteza \bar{v}_C a punctului C are expresia:

$$C,B: \bar{v}_C = \bar{v}_B + \bar{v}_{CB}, \quad (3)$$

relație în care viteza \bar{v}_B este cunoscută, $\bar{v}_{CB} \perp \overline{CB}$, $\bar{v}_C \perp \overline{CD}$;

- viteza \bar{v}_E a punctului E are expresia

$$E,C: \bar{v}_E = \bar{v}_C + \bar{v}_{EC}, \quad (4)$$

relație în care viteza \bar{v}_C este cunoscută, $\bar{v}_{EC} \perp \overline{EC}$, $\bar{v}_E \perp \overline{DE}$;

- viteza \bar{v}_F a punctului F (pistonul pompei) are expresia:

$$F,E: \bar{v}_F = \bar{v}_E + \bar{v}_{FE}, \quad (5)$$

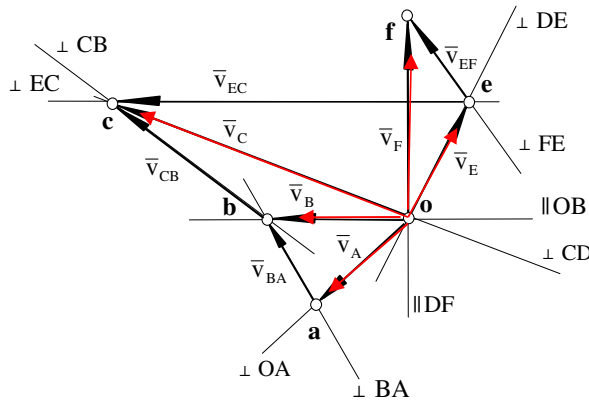


Fig. 11.34

relație în care viteza \bar{v}_E este cunoscută, $\bar{v}_{FE} \perp \overline{FE}$, $\bar{v}_F \parallel \overline{DF}$.

Construcția planului de viteze (fig. 11.34) se face urmărind relațiile (1) - (5). Se alege o scară s_v a vitezelor și se reprezintă la scară în polul o al planului de viteze, vectorul \bar{v}_A . Prin extremitatea a a vectorului \bar{v}_A se trasează o perpendiculară pe BA , iar prin punctul o se duce o paralelă la OB . Se obține astfel,

punctul b care este extremitatea vectorului viteză absolută \bar{v}_B . În continuare, prin b se trasează o perpendiculară pe CB și prin o se desenează o perpendiculară pe CD . Punctul lor de intersecție este c și reprezintă extremitatea vectorului viteză \bar{v}_C . Viteza punctului E se determină astfel: prin c se construiește o perpendiculară pe EC , iar prin o se trasează o perpendiculară pe DE . La intersecția acestor perpendiculare se află extremitatea e a vectorului viteză absolută \bar{v}_E . Extremitatea f a vitezei absolute \bar{v}_F a pistonului pompei se află la intersecția perpendicularei dusă în punctul e pe FE , cu paralela trasată în punctul o la DF . Transpunând în F vectorul \bar{v}_F , din planul de viteze se obține pentru poziția mecanismului definită de unghiul φ , viteza pistonului pompei la scara vitezelor.

b) Accelerația \bar{a}_F a pistonului pompei

Accelerația \bar{a}_F (fig. 11.35) a pistonului pompei se determină prin metoda planului accelerațiilor. Similar cu vitezele punctelor mecanismului, se determină la început accelerația \bar{a}_A a punctului A , iar succesiv, accelerațiile $\bar{a}_B, \bar{a}_C, \bar{a}_E, \bar{a}_F$ ale punctelor B, C, E și F . Punctul A descrie o traiectorie circulară astfel că, accelerația \bar{a}_A se determină prin componentele sale intrinseci. Accelerațiile $\bar{a}_B, \bar{a}_C, \bar{a}_E, \bar{a}_F$ se determină cu relații Euler pentru accelerații. Astfel, se determină succesiv:

- accelerația \bar{a}_A a punctului A

$$\bar{a}_A = \bar{a}_A^v + \bar{a}_A^r, \quad (6)$$

relație în care:

\bar{a}_A^v are direcție paralelă cu OA , sensul de la A spre O , modulul:

$$a_A^v = \omega^2 OA = \frac{\pi^2 n^2}{900} OA,$$

$$\bar{a}_A^r = 0, \text{ deoarece } \varepsilon = \dot{\omega} = 0, \quad \omega = \frac{\pi n}{30}, \quad n = ct., \quad a_A^r = \varepsilon OA = 0;$$

- accelerația \bar{a}_B a punctului B

$$B, A: \bar{a}_B = \bar{a}_A + \bar{a}_{BA}, \quad (7)$$

relație în care:

\bar{a}_A este accelerație cunoscută;

$\bar{a}_{BA} = \bar{a}_{BA}^v + \bar{a}_{BA}^\tau$, \bar{a}_{BA}^v are direcție paralelă cu BA , sensul de la B spre A ,

modulul: $a_{BA}^v = \frac{v_{BA}^2}{BA}$, $\bar{a}_{BA}^\tau \perp \overline{BA}$,

$\bar{a}_B \parallel \overline{OB}$;

- **acelerația \bar{a}_C a punctului C**

$$C, B: \bar{a}_C = \bar{a}_B + \bar{a}_{CB}, \quad (8)$$

relație în care:

- \bar{a}_B este accelerație cunoscută;

$\bar{a}_{CB} = \bar{a}_{CB}^v + \bar{a}_{CB}^\tau$, \bar{a}_{CB}^v are direcție paralelă cu CB , sensul de la C spre B ,

modulul: $a_{CB}^v = \frac{v_{CB}^2}{CB}$, $\bar{a}_{CB}^\tau \perp \overline{CB}$,

$\bar{a}_C = \bar{a}_C^v + \bar{a}_C^\tau$, \bar{a}_C^v are direcție paralelă cu DC , sensul de la C spre D ,

modulul: $a_C^v = \frac{v_C^2}{DC}$, $\bar{a}_C^\tau \perp \overline{DC}$;

- **acelerația \bar{a}_E a punctului E**

$$E, C: \bar{a}_E = \bar{a}_C + \bar{a}_{EC}, \quad (9)$$

relație în care:

\bar{a}_C este accelerație cunoscută;

$\bar{a}_{EC} = \bar{a}_{EC}^v + \bar{a}_{EC}^\tau$, \bar{a}_{EC}^v are direcție paralelă cu EC , sensul de la E spre C ,

modulul: $a_{EC}^v = \frac{v_{EC}^2}{EC}$, $\bar{a}_{EC}^\tau \perp \overline{EC}$,

$\bar{a}_E = \bar{a}_E^v + \bar{a}_E^\tau$, \bar{a}_E^v are direcție paralelă cu DE , sensul de la E spre D ,

modulul $a_E^v = \frac{v_E^2}{DE}$, $\bar{a}_E^\tau \perp \overline{DE}$.

- **acelerația \bar{a}_F a punctului F**

$$F, E: \bar{a}_F = \bar{a}_E + \bar{a}_{FE}, \quad (10)$$

relație în care:

\bar{a}_E este accelerație cunoscută;

$\bar{a}_{FE} = \bar{a}_{FE}^v + \bar{a}_{FE}^\tau$, \bar{a}_{FE}^v are direcție paralelă cu FE , sensul de la F spre E ,

modulul:

$$a_{FE}^v = \frac{v_{FE}^2}{FE}, \quad \bar{a}_{FE}^\tau \perp \overline{FE}, \quad \bar{a}_F \parallel \overline{DF}.$$

Planul accelerațiilor (fig. 11.34) se construiește astfel: în polul o' al planului de accelerații se reprezintă la scara s_a a accelerațiilor, vectorul \bar{a}_A .

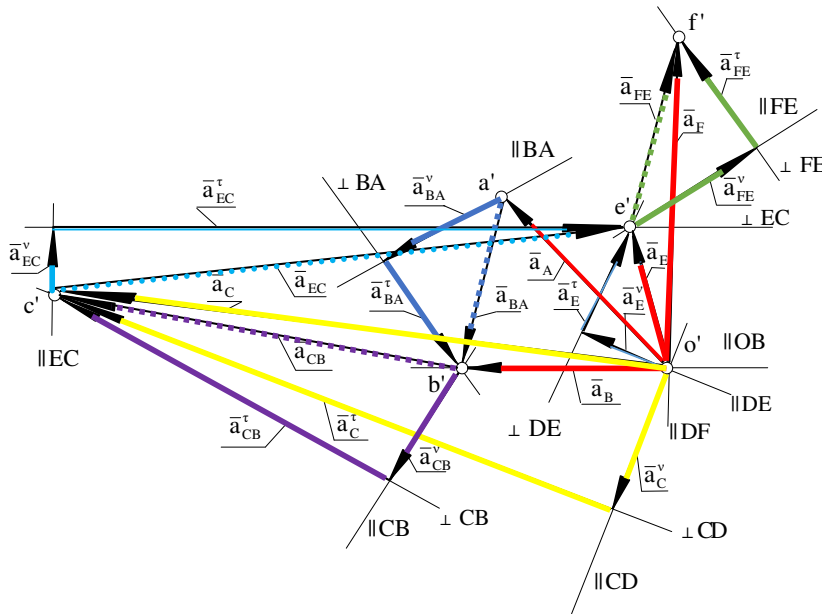


Fig. 11.35

Prin extremitatea a' a accelerației \bar{a}_A se trasează o paralelă la BA pe care, cu sensul de la B spre A , se reprezintă la scara accelerațiilor, vectorul \bar{a}_{BA}^v , prin extremitatea căruia se duce o perpendiculară pe BA . Paralela la OB dusă prin o' , intersectează în b' perpendiculara pe BA . Urmărind relațiile (7), se închid poligoanele pornind din o' spre b' , rezultând vectorii $\bar{a}_{BA}^\tau, \bar{a}_{BA}, \bar{a}_B$.

În continuare, prin b' se trasează o paralelă la CB pe care cu sensul de la C spre B , se introduce la scara accelerațiilor vectorul \bar{a}_{CB}^v , prin a cărei extremitate se desenează o perpendiculară pe CB . Prin o' se trasează o paralelă la DC , pe care cu sensul de la C spre D , se introduce la scara accelerațiilor vectorul \bar{a}_C^v , prin a cărei extremitate se desenează o perpendiculară pe DC . Punctul c' de intersecție a perpendicularelor pe CB și DC reprezintă extremitatea vectorului accelerație \bar{a}_C . Urmărind relațiile (8), se pornește din o' spre c' și se închid poligoanele rezultând astfel, accelerațiile $\bar{a}_{CB}^t, \bar{a}_{CB}, \bar{a}_C^t, \bar{a}_C$. Accelerația \bar{a}_E a punctului E se obține astfel: se trasează prin c' o paralelă la EC , pe care cu sensul de la E spre C , se introduce la scara accelerațiilor vectorul \bar{a}_{EC}^v , prin a cărei extremitate se duce o perpendiculară pe EC ; prin o' se desenează o paralelă la DE , pe care cu sensul de la E spre D , se introduce la scara accelerațiilor, vectorul \bar{a}_E^v , prin a cărei extremitate se duce o perpendiculară pe DE ; se notează cu e' extremitatea vectorului accelerație \bar{a}_E , aflată la intersecția perpendicularelor pe EC și DE . Pornind din o' spre e' și urmărind relațiile (9), se închid poligoanele și se obțin accelerațiile $\bar{a}_{EC}^t, \bar{a}_{EC}, \bar{a}_E^t, \bar{a}_E$. Accelerația \bar{a}_F a pistonului pompei se obține reprezentând grafic în planul de accelerații relațiile (10). Astfel, prin e' se trasează o paralelă la FE pe care cu sensul de la F spre E , se reprezintă la scara accelerațiilor vectorul \bar{a}_{FE}^v , prin a cărei extremitate se duce o perpendiculară pe FE . Această perpendiculară intersectează în f' paralela dusă prin o' la DF . Pornind din o' spre f' și urmărind relațiile (10), se închid poligoanele, obținându-se vectorii accelerație $\bar{a}_{FE}^t, \bar{a}_{FE}, \bar{a}_F$. Transpunând în F vectorul \bar{a}_F din planul de accelerații, se obține pentru poziția mecanismului definită de unghiul φ , accelerația pistonului pompei la scara accelerațiilor.

11.2.17. Se consideră un mecanism al cărui cilindru oscilează în jurul unui punct fix C . Să se determine valoarea vitezei unghiulare ω_1 a cilindrului oscilator în funcție de viteza unghiulară $\omega = ct$ a lui OA , cunoscând $OA = r$, $OC = d$ și unghiul φ pe care-l face OA cu OC . Se cere să se determine viteza \bar{v}_C a pistonului (fig. 11.36).

Soluție:

Pistonul AC execută o mișcare plană. Centrul instantaneu de rotație I se află la intersecția perpendiculararelor duse pe vitezele punctelor A și C aparținând bielei

AB . Viteza unghiulară instantanee a bielei este $\omega_1 = \dot{\psi}$. Exprimând viteza punctului A în două moduri, se poate scrie:

$$v_A = \omega \cdot r = \omega_1 \cdot IA = \dot{\psi} \cdot IA, \quad (1)$$

relație din care se obține:

$$\dot{\psi} = \frac{\omega r}{IA}. \quad (2)$$

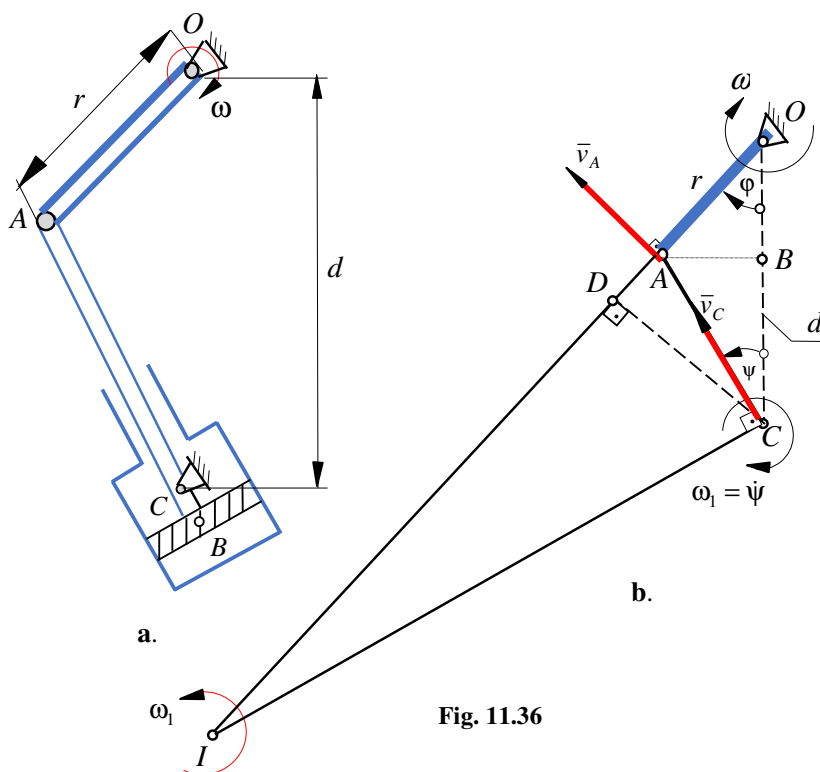


Fig. 11.36

Deoarece segmentul IA este necunoscut, acesta se determină din asemănarea de triunghiuri pentru $\Delta ADC \sim \Delta IAC$. Astfel,

$$\frac{CA}{IA} = \frac{DA}{CA} \Rightarrow IA = \frac{CA^2}{DA}. \quad (3)$$

Din ΔCAO se poate determina CA cu relația:

$$CA^2 = (r \sin \varphi)^2 + (d - r \cos \varphi)^2 = r^2 + d^2 - 2dr \cos \varphi. \quad (4)$$

Înlocuind (4) în (3) și apoi în (2), se obține:

$$\omega_1 = \dot{\psi} = \omega r \frac{d \cos \varphi - r}{r^2 + d^2 - 2rd \cos \varphi}, \quad (5)$$

Viteza punctului C a pistonului, exprimată în funcție de viteza unghiulară ω_1 , este dată de relația:

$$v_C = \omega_1 \cdot IC = \dot{\psi} \cdot IC. \quad (6)$$

Din asemănarea triunghiurilor IDC și ADC se obține:

$$\frac{IC}{DC} = \frac{CA}{DA} \Rightarrow IC = \frac{DC \cdot CA}{DA}. \quad (7)$$

Înlocuind relațiile (5) și (7) în (6), având în vedere că $DC = d \sin \varphi$, rezultă:

$$v_C = \omega r d \sin \varphi \frac{\sqrt{r^2 + d^2 - 2dr \cos \varphi}}{r^2 + d^2 - 2dr \cos \varphi}. \quad (8)$$

11.2.18. Manivela $O_1O = 2R$ se rotește cu viteza unghiulară $\omega_0 = \text{const.}$ în jurul punctului O_1 . Ea conduce în mișcarea plană un disc de rază R care se rostogolește fără alunecare în interiorul suprafeței cilindrice de rază R . Se cere să se calculeze viteza și accelerația unui punct A situat pe disc (fig. 11.37).

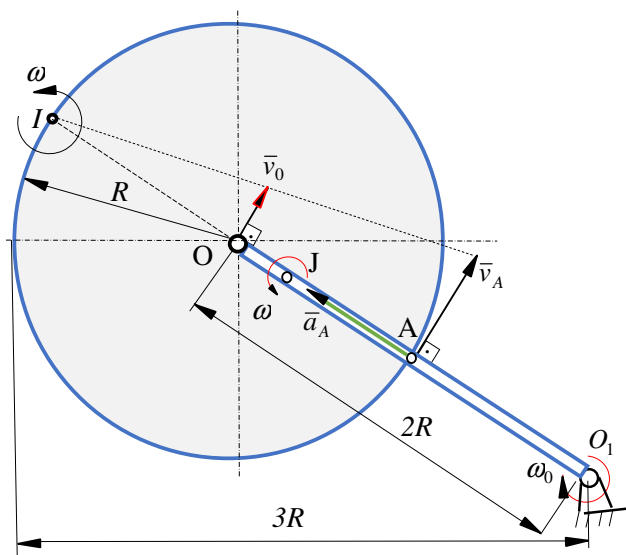


Fig. 11.37

Soluție:

Manivela O_1O efectuează mișcare de rotație în jurul punctului O_1 . Punctele O și A aparținând discului au vitezele \vec{v}_0 și \vec{v}_A , fiind perpendiculare pe O_1O . Centrul instantaneu de rotație corespunzător discului se află pe perpendiculara dusă pe \vec{v}_0 , adică în prelungirea manivelei O_1O , fiind pe conturul discului în punctul I .

Viteza \vec{v}_A a punctului A este perpendiculară pe segmentul IA , extremitatea acesteia fiind pe dreapta care unește punctul I cu extremitatea vectorului viteză instantanee \vec{v}_0 .

Expresia vitezei \vec{v}_0 este:

$$\vec{v}_0 = \vec{\omega}_0 \times \overline{O_1O}, \quad (1)$$

relație din care se obține:

$$v_0 = \omega_0 \cdot O_1O = 2\omega_0 R. \quad (2)$$

Pe de altă parte,

$$v_0 = \omega \cdot IO. \quad (3)$$

Egalând relațiile (2) și (3), rezultă:

$$\omega = \frac{v_0}{IO} = \frac{2\omega_0 R}{R} = 2\omega_0. \quad (4)$$

Viteza \bar{v}_A a punctului A este:

$$v_A = \omega \cdot IA = 4R\omega_0. \quad (5)$$

Deoarece viteza unghiulară $\omega_0 = const.$, rezultă că accelerația unghiulară $\varepsilon_0 = 0$.

Accelerația \bar{a}_0 a punctului O este:

$$\bar{a}_0 = -\omega_0^2 \cdot \overline{O_1O}. \quad (6)$$

$$a_0 = \omega_0^2 \cdot 2R. \quad (7)$$

Raportând punctul O la polul J al accelerațiilor, se poate scrie:

$$\bar{a}_0 = \bar{\varepsilon} \times \overline{JO} - \omega^2 \cdot \overline{JO}, \quad (8)$$

respectiv:

$$a_0 = \omega^2 \cdot JO. \quad (9)$$

Din relația (9) se obține:

$$JO = \frac{a_0}{\omega^2} = \frac{\omega_0^2 2R}{(2\omega_0)^2} = \frac{\omega_0^2 2R}{4\omega_0^2} = \frac{R}{2}. \quad (10)$$

Analizând relația (10) se constată că, polul accelerațiilor J este situat la distanța $R/2$ de punctul O , astfel că $JA = R/2$. Accelerația punctului A raportată la polul J al accelerațiilor este:

$$\bar{a}_A = \bar{\varepsilon} \times \overline{JA} - \omega^2 \cdot \overline{JA}. \quad (11)$$

Dar, pentru că $\omega = const.$ rezultă $\varepsilon = 0$, respectiv:

$$a_A = \omega^2 \cdot JA = 2\omega_0^2 R. \quad (12)$$

11.2.19. Se dă mecanismul de pompă din figura 11.38 la care se cunosc viteza unghiulară constantă ω a manivelei motoare OA și dimensiunile mecanismului transpuse la scara s_ℓ a lungimilor. Să se determine pentru poziția mecanismului definită de unghiul φ , viteza și accelerația pistonului pompei prin utilizarea planelor de viteză și de accelerație.

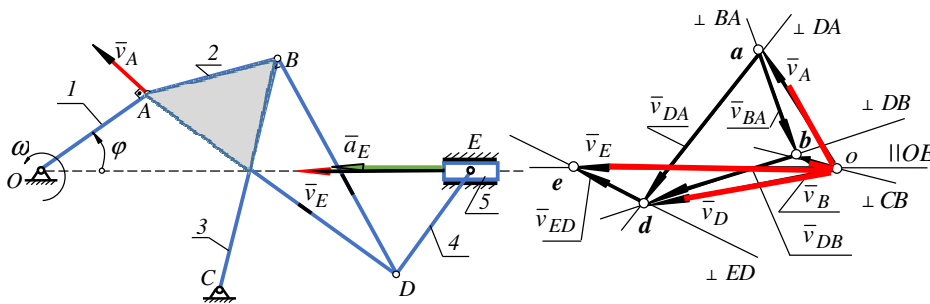


Fig. 11.38

Fig.11.39

Soluție:

a) Viteza \vec{v}_E a pistonului pompei

Viteza pistonului pompei se va determina prin metoda planului de viteze (fig. 11.39). În acest sens, după determinarea vitezei punctului A aparținând manivelei, se determină succesiv vitezele punctelor B , D și E scriind relații Euler pentru viteze corespunzătoare perechilor de puncte care aparțin aceluiași element. Astfel, se determină succesiv:

- viteza \vec{v}_A a punctului A

$\vec{v}_A = \vec{\omega} \times \vec{OA}$, are direcție perpendiculară pe OA , sensul dat de ω și modulul:

$$v_A = \omega OA \tag{1}$$

- viteza \vec{v}_B a punctului B

$$B, A: \bar{v}_B = \bar{v}_A + \bar{v}_{BA}, \quad \bar{v}_A \text{ este viteză cunoscută, } \bar{v}_{BA} \perp \overline{BA}, \quad \bar{v}_B \perp \overline{CB}; \quad (2)$$

- **viteza \bar{v}_D a punctului D**

$$D, A: \bar{v}_D = \bar{v}_A + \bar{v}_{DA}, \quad (3)$$

\bar{v}_A este viteză cunoscută, $\bar{v}_{DA} \perp \overline{DA}$, \bar{v}_D este viteză necunoscută:

$$D, B: \bar{v}_D = \bar{v}_B + \bar{v}_{DB}, \quad (4)$$

\bar{v}_B este viteză cunoscută, $\bar{v}_{DB} \perp \overline{DB}$, \bar{v}_D este viteză necunoscută;

- **viteza \bar{v}_E a pistonului pompei**

$$\bar{v}_E = \bar{v}_D + \bar{v}_{ED}, \quad (5)$$

\bar{v}_D este viteză cunoscută, $\bar{v}_{ED} \perp \overline{ED}$, $\bar{v}_E \parallel \overline{OE}$.

Planul de viteze (fig. 11.39) se construiește astfel: Se alege o scară s_v a vitezelor și se reprezintă la scară în polul o al planului de viteze vectorul viteză absolută \bar{v}_A . Prin extremitatea a a lui \bar{v}_A se trasează o perpendiculară pe BA , iar prin o se trasează o perpendiculară pe CB . Punctul de intersecție al acestor perpendiculare, notat cu b , reprezintă extremitatea vectorului viteză absolută \bar{v}_B . În continuare, prin a se trasează o perpendiculară pe DA , respectiv prin b o perpendiculară pe DB . Aceste perpendiculare se intersectează în punctul d , care reprezintă extremitatea vectorului viteză absolută \bar{v}_D . Prin d se trasează o perpendiculară pe ED , care intersectează în e paralela dusă prin o la OE . Punctul e reprezintă extremitatea vectorului viteză absolută \bar{v}_E . Urmărind relațiile (2)÷(5) și figura 11.39, se închid poligoanele pornind din o spre b , d și e și rezultă vectorii \bar{v}_{BA} , \bar{v}_B , \bar{v}_{DA} , \bar{v}_{DB} , \bar{v}_D , \bar{v}_{ED} , \bar{v}_E .

Viteza pistonului pompei se obține transpunând în punctul E , din planul mecanismului, vectorul \bar{v}_E din planul de viteze. Valoarea reală a acestei viteze se determină utilizând scara vitezelor.

b) Accelația \bar{a}_E a pistonului pompei

Accelația pistonului pompei (fig. 11.40) se va determina prin metoda planului de accelerații. În acest sens, după determinarea accelerației absolute a punctului A aparținând manivelei OA , se determină succesiv accelerațiile punctelor B , D și E scriind relații Euler pentru accelerații la perechi de puncte care aparțin aceluiași element. Astfel, se determină succesiv:

- **accelația \bar{a}_A a punctului A**

$$\bar{a}_A = \bar{a}_A^v + \bar{a}_A^\tau, \quad (6)$$

relație în care:

\bar{a}_A^v are direcție paralelă cu OA , sensul de la A spre O , modulul: $a_A^v = \omega^2 OA$,

$\bar{a}_A^\tau = \varepsilon \times \overline{OA} = 0$, deoarece $\varepsilon = \dot{\omega} = 0$, $\omega = ct$;

- **accelația \bar{a}_B a punctului B**

$$B, A: \bar{a}_B = \bar{a}_A + \bar{a}_{BA}, \quad (7)$$

relație în care:

\bar{a}_A este accelerație cunoscută;

$\bar{a}_{BA} = \bar{a}_{BA}^v + \bar{a}_{BA}^\tau$, \bar{a}_{BA}^v are direcție paralelă cu BA , sensul de la B spre A , modulul:

$$a_{BA}^v = \frac{v_{BA}^2}{BA}, \quad \bar{a}_{BA}^\tau \perp \overline{BA},$$

$\bar{a}_B = \bar{a}_B^v + \bar{a}_B^\tau$, \bar{a}_B^v are direcție paralelă cu CB , sensul de la B spre C , modulul

$$a_{BA}^v = \frac{v_B^2}{CB}, \quad \bar{a}_B^\tau \perp \overline{CB};$$

- **accelația \bar{a}_D a punctului D**

$$D, A: \bar{a}_D = \bar{a}_A + \bar{a}_{DA}, \quad (8)$$

relație în care:

\bar{a}_A este accelerație cunoscută;

$\bar{a}_{DA} = \bar{a}_{DA}^v + \bar{a}_{DA}^\tau$, \bar{a}_{DA}^v are direcție paralelă cu DA , sensul de la D spre A , modulul:

$$a_{DA}^v = \frac{v_{DA}^2}{DA}, \quad \bar{a}_{DA}^\tau \perp \overline{DA},$$

\bar{a}_D este accelerația necunoscută:

$$D, B: \bar{a}_D = \bar{a}_B + \bar{a}_{DB}, \quad (9)$$

relație în care:

\bar{a}_B este accelerație cunoscută;

$\bar{a}_{DB} = \bar{a}_{DB}^v + \bar{a}_{DB}^\tau$, \bar{a}_{DB}^v are direcție paralelă cu DB , sensul de la D spre B ,

modulul:

$$a_{DB}^v = \frac{v_{DB}^2}{DB}, \quad \bar{a}_{DB}^\tau \perp \overline{DB},$$

\bar{a}_D este accelerație necunoscută.

• **accelerația \bar{a}_E a pistonului pompei**

$$E, D: \bar{a}_E = \bar{a}_D + \bar{a}_{ED}, \quad (10)$$

relație în care:

\bar{a}_D este accelerație cunoscută;

$\bar{a}_{ED} = \bar{a}_{ED}^v + \bar{a}_{ED}^\tau$, \bar{a}_{ED}^v are direcție paralelă cu ED , sensul de la E spre D ,

modulul:

$$a_{ED}^v = \frac{v_{ED}^2}{ED}, \quad \bar{a}_{ED}^\tau \perp \overline{ED}, \quad \bar{a}_E \parallel \overline{OE}.$$

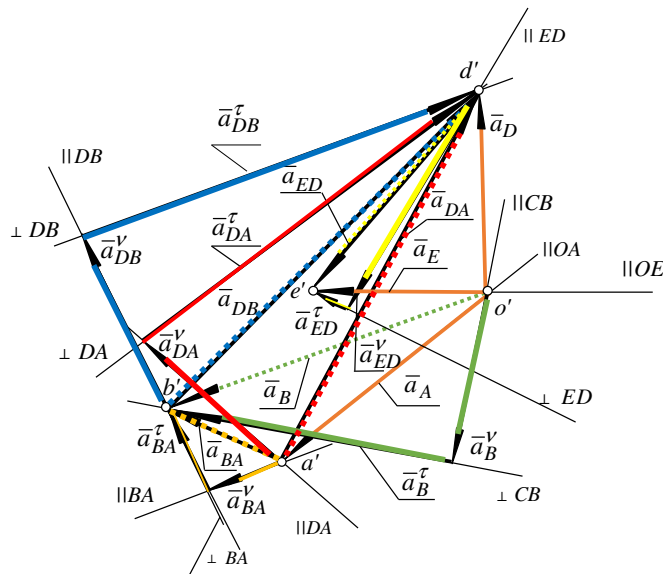


Fig. 11.40

Planul de accelerații (fig. 11.40) se construiește astfel: Se alege o scară s_a a accelerațiilor și se reprezintă la scară, în polul o' al planului de accelerații, vectorul accelerație absolută \bar{a}_A . Prin extremitatea a' a vectorului \bar{a}_A se trasează o paralelă la BA , pe care cu sensul de la B spre A se desenează la scara accelerațiilor vectorul \bar{a}_{BA}^v . Prin extremitatea acestuia se trasează o perpendiculară pe BA . Prin o' se trasează o paralelă la CB , pe care cu sensul de la B spre C , se desenează la scara accelerațiilor, vectorul \bar{a}_B^v . Prin extremitatea lui \bar{a}_B^v se duce o perpendiculară pe CB , care întâlnește în b' perpendiculara pe BA . Prin o' se trasează o paralelă la CB , pe care cu sensul de la B spre C , se desenează la scara accelerațiilor, vectorul \bar{a}_B^v . Prin extremitatea lui \bar{a}_B^v se duce o perpendiculară pe CB , care întâlnește în b' perpendiculara pe BA . Punctul b' astfel obținut, reprezintă extremitatea vectorului accelerație absolută \bar{a}_B .

Urmărind relațiile (7) și figura 11.40, se închid poligoanele pornind din o' spre b' , obținându-se vectorii: $\bar{a}_{BA}^v, \bar{a}_{BA}, \bar{a}_B^v, \bar{a}_B$.

Pentru determinarea accelerației absolute \bar{a}_D a punctului D se trasează prin a' o paralelă la DA , pe care cu sensul de la D spre A , se desenează la scara accelerației, vectorul \bar{a}_{DA}^v . Prin extremitatea acestuia se duce o perpendiculară pe DA . Apoi, prin b' se trasează o paralelă la DB , pe care cu sensul de la D spre B , se desenează la scara accelerațiilor, vectorul \bar{a}_{DB}^v . Perpendiculara dusă prin extremitatea acestui vector întâlnește în d' perpendiculara pe DA rămasă în suspensie. Punctul d' reprezintă extremitatea vectorului accelerație absolută \bar{a}_D .

Urmărind relațiile (8) și (9) și figura 11.40, se închid poligoanele pornind din o' spre d' , rezultând vectorii: $\bar{a}_{DA}^v, \bar{a}_{DA}, \bar{a}_{DB}^v, \bar{a}_{DB}, \bar{a}_D$.

Accelerația \bar{a}_E a pistonului pompei se determină astfel: prin punctul d' se trasează o paralelă la ED , pe care cu sensul de la E spre D , se desenează la scara accelerațiilor, vectorul \bar{a}_{ED}^v . Prin extremitatea acestui vector se duce o perpendiculară pe ED , care întâlnește în e' paralela dusă prin o' la OE . Punctul e' reprezintă extremitatea vectorului accelerație absolută \bar{a}_E a pistonului pompei.

Urmărind relațiile (10) și figura 11.40, se închid poligoanele pornind din o' spre e' , rezultând vectorii accelerație: $\bar{a}_{ED}^r, \bar{a}_{ED}, \bar{a}_E$.

Accelerația pistonului pompei se obține transpunând în punctul E din planul mecanismului, vectorul \bar{a}_E din planul de accelerații. Valoarea reală a acestei accelerații se determină utilizând scara accelerațiilor.

11.3 Probleme propuse

11.3.1. Cunoscând accelerațiile extremităților unei bare AB aflată în mișcare plană se cere, să se determine accelerația mijlocului C al barei, dacă se cunosc accelerațiile \bar{a}_A și \bar{a}_B ale barei.

Răspuns:

$$\bar{a}_c = \frac{1}{2}(\bar{a}_A + \bar{a}_B); \quad a_c = \frac{1}{2}\sqrt{a_A^2 + a_B^2 - 2a_A a_B \cos(\beta - \alpha)};$$

unde:

$$\widehat{(\bar{a}_A, \bar{a}_B)} = \pi - (\beta - \alpha).$$

11.3.2. Se consideră mecanismul patrulater din figura 11.41 și se cer să se determine centroidele mișcării plane a barei CD .

Răspuns:

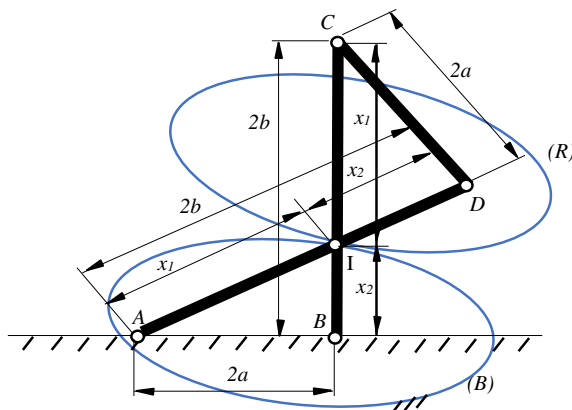


Fig. 11.41

Baza și rostogolitoarea sunt elipse identice între ele, având semiaxele b și $\sqrt{b^2 - a^2}$.

12. MIȘCAREA DE ROTAȚIE A RIGIDULUI ÎN JURUL UNUI PUNCT FIX ^[9]

12.1 Considerații teoretice

12.1.1 Studiul geometric al mișcării

Un solid rigid (C) execută o mișcare de rotație în jurul unui punct fix dacă un punct aparținând acestuia, rămâne fix în tot timpul mișcării. O astfel de mișcare a solidului rigid mai poartă și denumirea de *mișcare sferică*, întrucât traiectoria oricărui punct al rigidului (cu excepția punctului fix) este o curbă înscrisă pe o sferă. *Un rigid aflat în mișcare sferică posedă trei grade de libertate.* Numărul parametrilor independenți care determină poziția solidului rigid în spațiu este astfel trei, acești parametri putând fi aleși în diferite moduri.

Studiul mișcării solidului rigid în jurul unui punct fix presupune alegerea unui sistem cartezian de referință fix $O_1x_1y_1z_1$ și a unui sistem cartezian mobil $Oxyz$ solidar legat cu rigidul, ale căror origini coincid cu punctul fix (fig. 12.1). Cei trei parametri care poziționează rigidul în spațiu pot fi:

a) *trei din cele nouă cosinusuri directe* ale axelor sistemului mobil în raport cu axele sistemului fix, între care există următoarele șase relații de dependență:

$$\alpha_i\alpha_j + \beta_i\beta_j + \gamma_i\gamma_j = \begin{cases} 1; & i = j \\ 0; & i \neq j \end{cases} \quad i, j = 1, 2, 3. \quad (12.1)$$

Cele nouă cosinusuri $\alpha_i, \beta_i, \gamma_i$ ($i = 1, 2, 3$) ale unghiurilor formate de grupurile de câte două axe carteziane, una aparținând sistemului cartezian fix $O_1x_1y_1z_1$, cealaltă sistemului cartezian mobil $Oxyz$, sunt cuprinse în tabelul 12.1.

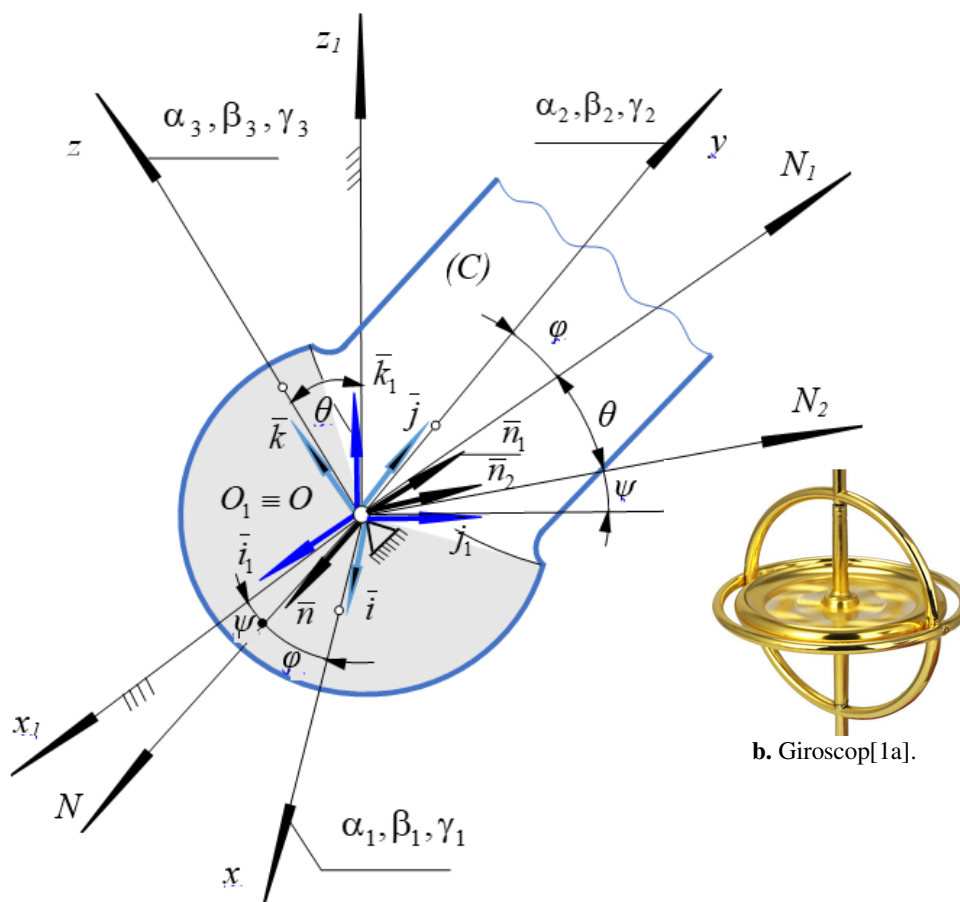
b) *cele trei unghiuri ale lui Euler: ψ - unghi de precesie, φ - unghi de rotație proprie și θ - unghi de nutație.*

Ecuțiile parametrice ale mișcării rigidului vor fi în acest caz:

$$\psi = \psi(t), \varphi = \varphi(t), \theta = \theta(t). \quad (12.2)$$

Pentru a defini unghiurile lui Euler, se consideră sistemele carteziane de referință $O_1x_1y_1z_1$ și $Oxyz$, introduse în figura 12.1.

Se notează cu ON dreapta de intersecție dintre planul cartezian fix $O_1x_1y_1z_1$ și planul cartezian mobil $Oxyz$, numită *axă a nodurilor*. Axa nodurilor se rotește în timpul mișcării rigidului în planul fix $O_1x_1y_1$ în jurul punctului fix O_1 , ea rămânând în permanență perpendiculară pe planul definit de axele O_1z_1 și Oz .



a.

Fig. 12.1

Unghiul ψ cuprins în planul cartezian fix $O_1x_1y_1$ este format de axele O_1x_1 și ON și poartă numele de *unghi de precesie*.

Unghiul φ cuprins în planul cartezian mobil Oxy este format de axele ON și Ox și poartă numele de *unghi de rotație proprie*.

Unghiul θ cuprins în planul mobil O_1z_1z este format de axele O_1z_1 și Oz și poartă numele de **unghi de nutație**.

Cele nouă cosinusuri directoare ale axelor sistemului de referință mobil în raport cu axele sistemului de referință fix pot fi exprimate în funcție de unghiurile ψ, φ, θ ale lui Euler (Tab.12.1 și fig.12.1).

Tabelul 12.1

	Ox	Oy	Oz
O_1x_1	α_1	α_2	α_3
O_1y_1	β_1	β_2	β_3
O_1z_1	γ_1	γ_2	γ_3

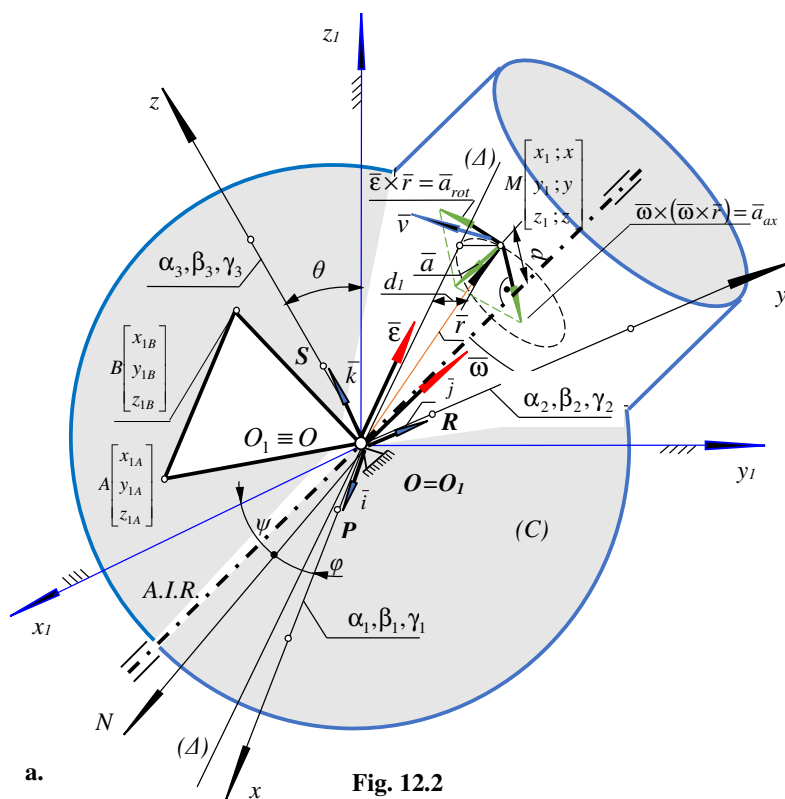


Fig. 12.2

Astfel, notând simplificat funcțiile trigonometrice *cosinus* = *c*, *sinus* = *s* și urmărind figura 12.2, se obțin:

$$\begin{aligned}
\alpha_1 &= \bar{i} \cdot \bar{i}_1 = c\psi c\varphi - s\psi s\varphi c\theta \\
\alpha_2 &= \bar{j} \cdot \bar{i}_1 = -c\psi s\varphi - s\psi c\varphi c\theta \\
\alpha_3 &= \bar{k} \cdot \bar{i}_1 = s\psi s\theta \\
\beta_1 &= \bar{i} \cdot \bar{j}_1 = s\psi c\varphi + c\psi s\varphi c\theta \\
\beta_2 &= \bar{j} \cdot \bar{j}_1 = -s\psi s\varphi + c\psi c\varphi c\theta \\
\beta_3 &= \bar{k} \cdot \bar{j}_1 = -c\psi s\theta \\
\gamma_1 &= \bar{i} \cdot \bar{k}_1 = s\varphi s\theta \\
\gamma_2 &= \bar{j} \cdot \bar{k}_1 = c\varphi s\theta \\
\gamma_3 &= \bar{k} \cdot \bar{k}_1 = c\theta.
\end{aligned} \tag{12.3}$$

c) *trei din cele șase coordonate ale două puncte distincte A și B aparținând rigidului. Poziția în spațiu a oricărui solid rigid fiind în mod univoc determinată de trei puncte necoliniare distincte aparținând acestuia, în cazul rigidului din figura 12.2 se vor alege punctele O_1 , A și B, punctul O_1 fiind punctul fix al rigidului.*

Între coordonatele punctelor A și B există trei relații de dependență. Astfel,

$$\begin{aligned}
O_1A &= \sqrt{x_{1A}^2 + y_{1A}^2 + z_{1A}^2}, \quad O_1B = \sqrt{x_{1B}^2 + y_{1B}^2 + z_{1B}^2}, \\
AB &= \sqrt{(x_{1B} - x_{1A})^2 + (y_{1B} - y_{1A})^2 + (z_{1B} - z_{1A})^2},
\end{aligned} \tag{12.4}$$

Rezultă că, numai **trei** dintre aceste coordonate sunt independente și constituie *coordonatele generalizate ale mișcării rigidului cu punct fix.*

12.1.2 Distribuția de viteze

Fie \bar{r} vectorul de poziție al unui punct arbitrar M aparținând solidului rigid prezentat în figura 12.2. Punctul M este dat prin coordonatele sale x, y, z față de sistemul de referință mobil $Oxyz$. Se poate scrie relația:

$$\bar{r} = x\bar{i} + y\bar{j} + z\bar{k}, \tag{12.5}$$

care, derivată în ambii membri în raport cu timpul, conduce la:

$$\bar{v} = \bar{\omega} \times \bar{r} \tag{12.6}$$

și constituie **legea de distribuție a vitezelor** la mișcarea de rotație a solidului rigid în jurul unui punct fix.

Punctele a căror viteză este nulă la un moment dat, se determină din ecuația vectorială $\vec{\omega} \times \vec{r} = 0$, a cărei soluție generală este:

$$\vec{r} = \lambda \vec{\omega} \text{ sau } \frac{x}{\omega_x} = \frac{y}{\omega_y} = \frac{z}{\omega_z}. \quad (12.7)$$

Rezultă că, *există o infinitate de puncte a căror viteză este nulă și cum sunt pe suportul vectorului $\vec{\omega}$, ele determină o axă care trece prin punctul fix al rigidului*. Astfel, distribuția de viteze în cazul mișcării rigidului cu punct fix este identică cu cea din cazul mișcării de rotație, ca și cum rigidul s-ar roti în jurul unei axe care coincide cu vectorul $\vec{\omega}$. Această axă poartă numele de **axă instantanee de rotație (A.I.R.)**, vectorul $\vec{\omega}$ nefiind altul decât viteza unghiulară de rotație a rigidului în jurul acestei axe. Vectorul $\vec{\omega}$ este variabil atât ca modul cât și ca direcție. Întrucât axa instantanee de rotație este coliniară cu vectorul $\vec{\omega}$, această axă își schimbă mereu poziția în timpul mișcării rigidului.

*Locul geometric al pozițiilor succesive pe care le ocupă A.I.R. în timpul mișcării sferice a solidului rigid, în raport cu sistemul de referință mobil $Oxyz$, este o suprafață conică legată invariabil de rigidul în mișcare, numită **axoidă mobilă** (A_m) (fig. 12.3).*

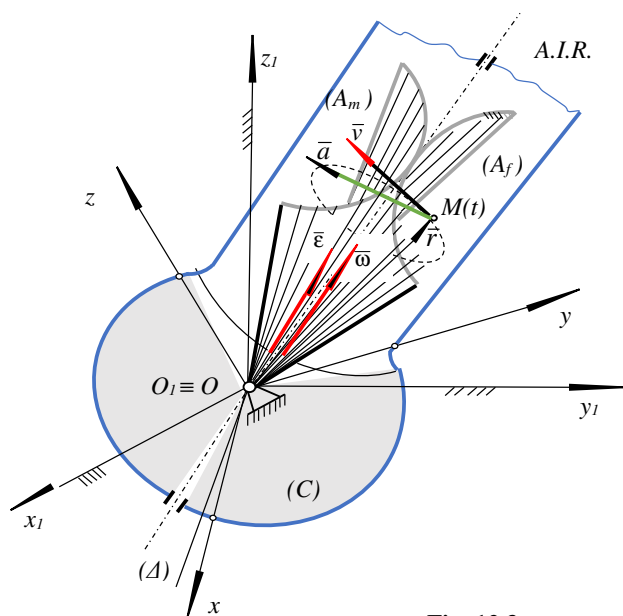


Fig. 12.3

*Locul geometric al pozițiilor succesive pe care le ocupă A.I.R. în timpul mișcării sferice a rigidului, în raport cu sistemul de referință fix $O_1x_1y_1z_1$, este o suprafață conică fixă, numită **axoidă fixă** (A_f) (fig. 12.3).*

În timp ce solidul rigid (C) efectuează o mișcare de rotație în jurul punctului fix O_1 , **axoida mobilă** (A_m) *se rostogolește fără să*

alunece peste axoïda fixă (A_f), generatoarea comună de contact dintre cele două axoïde fiind în orice moment axa instantanee de rotație (A.I.R.), a cărei exprimare în sistemul de referință mobil $Oxyz$ este dată de relația (12.7).

Vectorul viteză unghiulară instantanee $\bar{\omega}$ având ca suport axa instantanee de rotație, se poate proiecta pe axele sistemului cartezian $Oxyz$ legat solidar de rigid.

Se obțin astfel, componentele sale pe axele sistemului mobil care pot fi exprimate în funcție de unghiurile lui Euler și de derivatele lor în raport cu timpul.

În cazul mișcării de rotație a solidului rigid în jurul unui ax fix, reprezentând unghiul de rotație θ printr-un vector $\bar{\theta}$, el având ca suport axa de rotație, vectorul viteză unghiulară $\bar{\omega}$ se obține din relația:

$$\bar{\omega} = \frac{d\bar{\theta}(t)}{dt} = \dot{\bar{\theta}} \quad (12.8)$$

Acceptând ca și coordonate generalizate la mișcarea sferică unghiurile lui Euler ψ, φ, θ , acestora le corespund vitezele generalizate $\dot{\psi}, \dot{\varphi}, \dot{\theta}$. În figura 12.4 s-au introdus vectorii viteză unghiulară $\dot{\psi}, \dot{\varphi}, \dot{\theta}$ după direcții perpendiculare pe planele în care sunt conținute unghiurile lui Euler.

Vectorul viteză unghiulară $\bar{\omega}$ corespunzător mișcării de rotație a solidului rigid în jurul unui punct fix O_I , având în vedere (12.8), poate fi scris sub forma:

$$\bar{\omega} = \dot{\psi} + \dot{\varphi} + \dot{\theta} \quad (12.9)$$

De remarcat că, vectorii $\dot{\varphi}$ și $\dot{\theta}$ nu rezultă din derivarea în raport cu timpul a vectorilor $\bar{\varphi}$ și $\bar{\theta}$, ei având direcție variabilă. Aceștia sunt introduși în mod convențional pe direcții normale pe planele mobile în care sunt cuprinse unghiurile φ și θ , având valorile date de către derivatele scalare $\dot{\varphi}$ și $\dot{\theta}$ astfel că, se poate afirma că $\dot{\varphi}$ și $\dot{\theta}$ reprezintă scalari cu caracter de vectori.

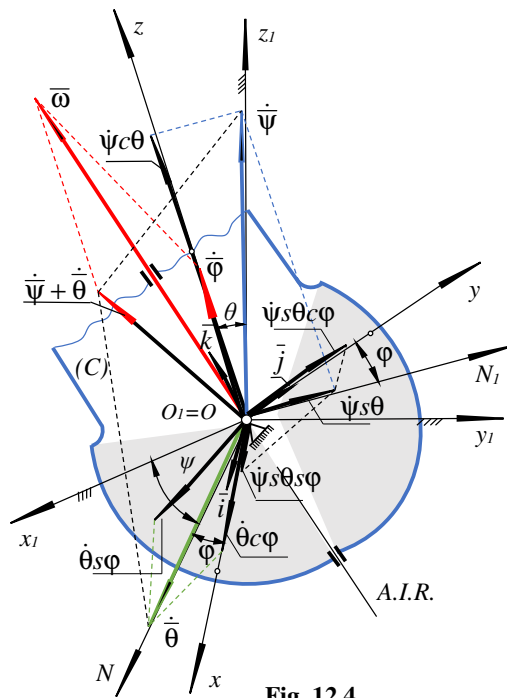
Componentele vectorului viteză unghiulară $\bar{\omega}$ pe axele sistemului de referință mobil $Oxyz$ se obțin înmulțind succesiv scalar cu versorii $\bar{i}, \bar{j}, \bar{k}$ relația (12.9). Astfel, având în vedere figura 12.4 și notațiile simplificate pentru funcțiile *sinus* și *cosinus*, rezultă:

$$\begin{aligned}
 \omega_x &= \dot{\psi} s \varphi s \theta + \dot{\theta} c \varphi, \\
 \omega_y &= \dot{\psi} c \varphi s \theta - \dot{\theta} s \varphi, \\
 \omega_z &= \dot{\psi} c \theta + \dot{\varphi}.
 \end{aligned}
 \tag{12.10}$$

Componentele vectorului viteză unghiulară pe axele sistemului de referință fix $O_1x_1y_1z_1$ se obțin înmulțind scalar și succesiv relația (12.9) cu versorii $\bar{i}_1, \bar{j}_1, \bar{k}_1$.

Se obțin astfel:

$$\begin{aligned}
 \omega_{x_1} &= \dot{\varphi} s \theta s \psi + \dot{\theta} c \psi, \\
 \omega_{y_1} &= -\dot{\varphi} s \theta c \psi + \dot{\theta} s \psi, \\
 \omega_{z_1} &= \dot{\psi} + \dot{\varphi} c \theta.
 \end{aligned}
 \tag{12.11}$$



Utilizând notațiile din figura 12.1, se explicitează relația (12.6) față de sistemele carteziene $Oxyz$ și $O_1x_1y_1z_1$, obținând componentele scalare carteziene ale vectorului viteză \bar{v} înregistrate față de aceste sisteme. Astfel,

$$v_x = \omega_y z - \omega_z y, \quad v_y = \omega_z x - \omega_x z, \quad v_z = \omega_x y - \omega_y x,
 \tag{12.12}$$

$$v_{x_1} = \omega_{y_1} z_1 - \omega_{z_1} y_1, \quad v_{y_1} = \omega_{z_1} x_1 - \omega_{x_1} z_1, \quad v_{z_1} = \omega_{x_1} y_1 - \omega_{y_1} x_1. \quad (12.13)$$

12.1.3 Distribuția de accelerații

Legea de distribuție a accelerațiilor în cazul mișcării rigidului în jurul unui punct fix se obține derivând vectorial în raport cu timpul legea de distribuție a vitezelor (12.6). Se obține astfel:

$$\bar{a} = \bar{\varepsilon} \times \bar{r} + \bar{\omega} \times (\bar{\omega} \times \bar{r}) \quad (12.14)$$

sau

$$\bar{a} = \bar{\varepsilon} \times \bar{r} + (\bar{\omega} \cdot \bar{r}) \bar{\omega} - \omega^2 \bar{r}, \quad (12.15)$$

întrucât,

$$\dot{\bar{v}} = \bar{a}, \quad \dot{\bar{\omega}} = \bar{\varepsilon}, \quad \dot{\bar{r}} = \bar{\omega} \times \bar{r}. \quad (12.16)$$

În cazul mișcării solidului rigid în jurul unui punct fix nu există, în afară de punctul fix, alte puncte a căror accelerație să fie nulă.

Explicitând relația (12.15) față de sistemul cartezian mobil $Oxyz$ și apoi față de sistemul cartezian fix $O_1x_1y_1z_1$ din figura 12.1, se obțin expresiile componentelor carteziene ale accelerației \bar{a} față de cele două sisteme de referință.

Astfel,

$$\begin{aligned} a_x &= \varepsilon_y z - \varepsilon_z y + \omega_x (\omega_x x + \omega_y y + \omega_z z) - \omega^2 x, \\ a_y &= \varepsilon_z x - \varepsilon_x z + \omega_y (\omega_x x + \omega_y y + \omega_z z) - \omega^2 y, \\ a_z &= \varepsilon_x y - \varepsilon_y x + \omega_z (\omega_x x + \omega_y y + \omega_z z) - \omega^2 z \end{aligned} \quad (12.17)$$

și

$$\begin{aligned} a_{x_1} &= \varepsilon_{y_1} z_1 - \varepsilon_{z_1} y_1 + \omega_{x_1} (\omega_{x_1} x_1 + \omega_{y_1} y_1 + \omega_{z_1} z_1) - \omega^2 x_1, \\ a_{y_1} &= \varepsilon_{z_1} x_1 - \varepsilon_{x_1} z_1 + \omega_{y_1} (\omega_{x_1} x_1 + \omega_{y_1} y_1 + \omega_{z_1} z_1) - \omega^2 y_1, \\ a_{z_1} &= \varepsilon_{x_1} y_1 - \varepsilon_{y_1} x_1 + \omega_{z_1} (\omega_{x_1} x_1 + \omega_{y_1} y_1 + \omega_{z_1} z_1) - \omega^2 z_1. \end{aligned} \quad (12.18)$$

Distribuția de accelerații în cazul mișcării solidului rigid în jurul unui punct fix este o distribuție specială, aceasta putându-se reduce la o distribuție

caracteristică mișcării de rotație numai în cazul când $\vec{\omega} \times \vec{e} = 0$, respectiv când unul dintre vectorii $\vec{\omega}$ sau \vec{e} este nul sau în cazul când cei doi vectori sunt coliniari.

În relația (12.14), componenta $\vec{e} \times \vec{r} = \vec{a}_{rot}$ poartă numele de **acclerație de rotație** și reprezintă un vector perpendicular pe planul definit de vectorii \vec{e} și \vec{r} . Modulul său este egal cu produsul ϵd_1 , în care: d_1 - reprezintă distanța de la punctul considerat la suportul (Δ) al accelerației unghiulare \vec{e} (fig. 12.1).

Componenta $\vec{\omega} \times (\vec{\omega} \times \vec{r}) = \vec{a}_{ax}$, purtând numele de **acclerație axipetă**, este un vector perpendicular pe vectorul $\vec{\omega}$ și are modulul egal cu $\omega^2 d$, unde: d - reprezintă distanța de la punctul considerat până la suportul lui $\vec{\omega}$, iar sensul dinspre punct spre axa instantanee de rotație (A.I.R.) (fig. 12.1).

12.2 Probleme rezolvate ^[9]

12.2.1. O roată dințată conică angrenează cu o roată dințată fixă și plană din structura mecanică a unui modul de rotație. Cunoscând raza roții conice $r = 30 \text{ mm}$, unghiul la vârf $2\alpha = 60^\circ$ și viteza unghiulară de rotație a înălțimii OB în jurul axei verticale Oy , $\omega_1 = 0,20 \text{ (s}^{-1}\text{)}$ (fig. 12.5), se cer să se determine:

- viteza și accelerația de rotație a roții conice;
- vitezele și accelerațiile punctelor A , B și C aparținând roții conice.

Soluție:

a) Roata conică efectuează o mișcare de rotație (sferică) în jurul punctului fix O (fig. 12.5). Axa instantanee de rotație trece prin punctele O și A astfel că, suportul vectorului vitezei unghiulare $\bar{\omega}$ a roții este axa Ox .

Notând cu $\bar{\omega}_1$ viteza unghiulară de rotație a înălțimii OB în jurul axei verticale Oy și cu $\bar{\omega}_2$ viteza unghiulară de rotație relativă a roții conice în jurul propriei axe, se pot scrie relațiile:

$$\omega_2 = \omega_1 / \sin \alpha = 0,2 / 0,5 = 0,4 \quad (\text{s}^{-1}), \quad (1)$$

$$\omega = \omega_1 \operatorname{ctg} \alpha = 0,2 \cdot 1,73205 = 0,34641 \quad (\text{s}^{-1}). \quad (2)$$

Viteza unghiulară instantanee de rotație a roții conice în jurul punctului fix O , având în vedere figura 12.5 și relația (2), este:

$$\bar{\omega} = -\omega_1 \operatorname{ctg} \alpha \bar{j} = -0,34641 \bar{j}. \quad (3)$$

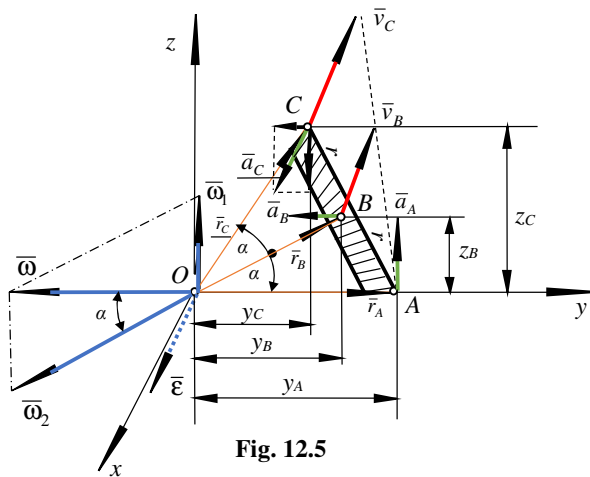


Fig. 12.5

Derivând (3) în raport cu timpul, rezultă accelerația unghiulară instantanee $\bar{\varepsilon}$:

$$\bar{\varepsilon} = \frac{d\bar{\omega}}{dt} = -\omega_1 \operatorname{ctg} \alpha \dot{j} = -\omega_1 \operatorname{ctg} \alpha \bar{\omega}_1 \times \dot{j} = \omega_1^2 \operatorname{ctg} \alpha \bar{i} . \quad (4)$$

Modulul accelerației unghiulare $\bar{\varepsilon}$ de rotație a roții conice se obține din (4) prin înlocuirea valorilor numerice. Astfel,

$$\varepsilon = \omega_1^2 \operatorname{ctg} \alpha = 0,2^2 \cdot 1,73205 = 0,069282 \quad (\text{s}^{-2}). \quad (5)$$

b) Vitezele punctelor A , B și C se obțin cu relația (12.5) astfel:

- Viteza punctului A este:

$$\bar{v}_A = \bar{\omega} \times \bar{r}_A = 0, \quad (6)$$

deoarece punctul A aparține axei instantanee de rotație.

- Viteza punctului B este:

$$\bar{v}_B = \bar{\omega} \times \bar{r}_B = -\omega_1 r \frac{\cos^2 \alpha}{\sin \alpha} \bar{i} \quad (7)$$

sau, înlocuind cu valori numerice, se obține

$$v_B = \omega_1 r \frac{\cos^2 \alpha}{\sin \alpha} = 0,2 \cdot 0,03 \cdot \frac{0,866^2}{0,5} = 0,09 \quad m/s^2; \quad (8)$$

- Viteza punctului C se obține cu relația:

$$\bar{v}_C = \bar{\omega} \times \bar{r}_C = -2\omega_1 r \frac{\cos^2 \alpha}{\sin \alpha} \bar{i} = 2\bar{v}_B, \quad (9)$$

astfel că, modulul vitezei punctului C , conform cu (8), este:

$$v_C = 0,18 \quad m/s^2 .$$

Accelerațiile punctelor A , B și C se obțin cu relațiile (12.14) astfel:

- Accelerația punctului A este

$$\bar{a}_A = \bar{\varepsilon} \times \bar{r}_A = \begin{vmatrix} \bar{i} & \bar{j} & \bar{k} \\ \omega_1^2 \operatorname{ctg} \alpha & 0 & 0 \\ 0 & \frac{r}{\sin \alpha} & 0 \end{vmatrix} = \omega_1^2 r \frac{\cos \alpha}{\sin^2 \alpha} \bar{k} \quad (10)$$

sau, înlocuind cu valorile numerice, se obține:

$$a_A = \omega_1^2 r \frac{\cos \alpha}{\sin^2 \alpha} = 0,2^2 \cdot 0,03 \frac{0,86602}{0,5^2} = 4,15689 \cdot 10^{-3} \text{ m/s}^2; \quad (11)$$

- Accelerația punctului B este:

$$\bar{a}_B = \bar{\varepsilon} \times \bar{r}_B + \bar{\omega} \times (\bar{\omega} \times \bar{r}_B) \quad (12)$$

$$\bar{a}_B = \begin{vmatrix} \bar{i} & \bar{j} & \bar{k} \\ \omega_1^2 ctg\alpha & 0 & 0 \\ 0 & r \frac{\cos^2 \alpha}{\sin \alpha} & r \cos \alpha \end{vmatrix} + \begin{vmatrix} \bar{i} & \bar{j} & \bar{k} \\ 0 & -\omega_1 ctg\alpha & 0 \\ -\omega_1 r \frac{\cos^2 \alpha}{\sin \alpha} & 0 & 0 \end{vmatrix} = -\omega_1^2 r \frac{\cos^2 \alpha}{\sin \alpha} \bar{j} \quad (13)$$

sau, înlocuind cu valori numerice:

$$a_B = \omega_1^2 r \frac{\cos^2 \alpha}{\sin \alpha} = 0,2^2 \cdot 0,03 \frac{0,86602^2}{0,5} = 1,79997 \cdot 10^{-3} \text{ m/s}^2; \quad (14)$$

- Accelerația punctului C este:

$$\bar{a}_C = \bar{\varepsilon} \times \bar{r}_C + \bar{\omega} \times (\bar{\omega} \times \bar{r}_C) \quad (15)$$

$$\begin{aligned} \bar{a}_C &= \begin{vmatrix} \bar{i} & \bar{j} & \bar{k} \\ \omega_1^2 ctg\alpha & 0 & 0 \\ 0 & r \frac{\cos 2\alpha}{\sin \alpha} & 2r \cos \alpha \end{vmatrix} + \begin{vmatrix} \bar{i} & \bar{j} & \bar{k} \\ 0 & -\omega_1 ctg\alpha & 0 \\ -2\omega_1 r \frac{\cos^2 \alpha}{\sin \alpha} & 0 & 0 \end{vmatrix} = \\ &= -2\omega_1^2 r \frac{\cos^2 \alpha}{\sin \alpha} \bar{j} - \omega_1^2 r \frac{\cos \alpha}{\sin^2 \alpha} \bar{k} \end{aligned} \quad (16)$$

sau, înlocuind cu valori numerice:

$$\begin{aligned} \bar{a}_C &= -2 \cdot 0,2^2 \cdot 0,03 \cdot \frac{0,86602^2}{0,5} \bar{j} - 0,2^2 \cdot 0,03 \cdot \frac{0,86602}{0,5^2} \bar{k} = \\ &= -3,598 \cdot 10^{-3} \bar{j} - 4,157 \cdot 10^{-3} \bar{k}. \end{aligned} \quad (17)$$

Modulul accelerației punctului C se determină din (17) astfel:

$$a_C = 10^{-3} \sqrt{(-3,598)^2 + (-4,157)^2} = 5,498 \cdot 10^{-3} \text{ m/s}^2. \quad (18)$$

12.2.2. Un con circular de înălțime h și unghiul la vârf 2α se rostogolește fără alunecare pe un plan, rotindu-se în jurul lui Oz cu viteza unghiulară constantă ω_1 . Se cer, să se determine accelerațiile \bar{a}_{ax} și \bar{a}_{rot} ale punctului A situat la baza conului (fig. 12.6), precum și viteza unghiulară $\bar{\omega}_2$ de rotație a conului în jurul axei proprii.

Soluție:

Axa instantanee de rotație este OB . Punctul B aparținând acestei axe are viteza egală cu zero.

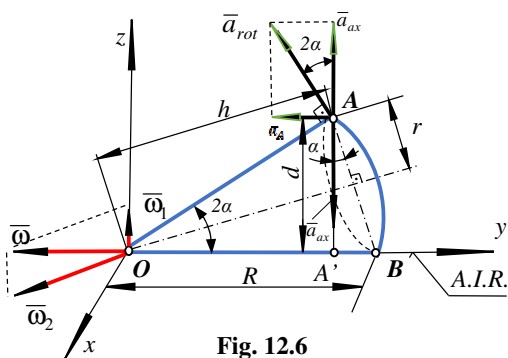


Fig. 12.6

Astfel,

$$\bar{v}_B = \bar{\omega} \times \overline{OB} = 0. \quad (1)$$

Dar,

$$\bar{\omega} = \bar{\omega}_1 + \bar{\omega}_2. \quad (2)$$

Relația (1) conduce la:

$$|\bar{\omega}_1 \times \overline{OB}| = |-\bar{\omega}_2 \times \overline{OB}|,$$

relație din care se obține:

$$\omega_2 = \omega_1 \frac{R}{r}. \quad (3)$$

Urmărind figura 12.6, se pot scrie relațiile:

$$r = h \operatorname{tg} \alpha, \quad R = \frac{h}{\cos \alpha}, \quad (4)$$

care, înlocuite în (3), conduc la:

$$\omega_2 = \frac{\omega_1}{\sin \alpha}. \quad (5)$$

Accelerația axipetă \bar{a}_{ax} are următoarele caracteristici:

– modulul:

$$a_{ax} = \omega^2 d = \omega_1^2 ctg^2 \alpha \cdot 2r \cos \alpha = 2h\omega_1^2 \frac{\cos^2 \alpha}{\sin \alpha}, \quad (6)$$

având în vedere că:

$$\omega = \omega_1 ctg \alpha, \quad d = 2r \cos \alpha, \quad r = h tg \alpha, \quad (7)$$

relații obținute din figura 12.6;

– direcția este perpendiculară pe OB (fig. 12.6);

– sensul este către axa instantanee de rotație adică, de la A spre A' .

Accelerația de rotație \bar{a}_{rot} se determină cu relația:

$$\bar{a}_{rot} = \bar{\varepsilon} \times \bar{r}, \quad (8)$$

în care:

$$\begin{aligned} \bar{\varepsilon} &= \dot{\bar{\omega}}, \quad \bar{\omega} = -\omega_1 ctg \alpha \bar{j}, \quad \bar{\varepsilon} = -\omega_1 ctg \alpha \dot{\bar{j}} = -\omega_1 ctg \alpha \bar{\omega}_1 \times \bar{j}, \\ \bar{\varepsilon} &= \omega_1^2 ctg \alpha \bar{i}, \quad \bar{r} = \overline{OA} = R \cos 2\alpha \bar{j} + R \sin 2\alpha \bar{k}. \end{aligned} \quad (9)$$

Având în vedere (9), relația (8) devine:

$$\bar{a}_{rot} = \begin{vmatrix} \bar{i} & \bar{j} & \bar{k} \\ \omega_1^2 ctg \alpha & 0 & 0 \\ 0 & R \cos 2\alpha & R \sin 2\alpha \end{vmatrix} = R\omega_1^2 ctg \alpha (-\sin 2\alpha \bar{j} + \cos 2\alpha \bar{k}). \quad (10)$$

Modulul accelerației de rotație este:

$$a_{rot} = \omega_1^2 R ctg \alpha = \omega_1^2 \frac{h}{\sin \alpha}. \quad (11)$$

Direcția accelerației de rotație este perpendiculară pe generatoarea OA a conului (fig. 12.6).

12.2.3. Un corp (fig. 12.6) se rotește în jurul unui punct fix $M_0(2,1,3)$ cu viteza unghiulară instantanee $\bar{\omega}$ de modul constant ($\omega = 25 \text{ s}^{-1}$). Să se determine viteza punctului $M(10,7,11)$ aparținând corpului în momentul în care cosinusurile directoare ale vectorului $\bar{\omega}$ sunt: $\alpha = 0,60$, $\beta = 0,48$, $\gamma = 0,64$.

Soluție:

Viteza punctului M , conform cu (12.6), este:

$$\bar{v} = \bar{\omega} \times \bar{r} \quad (1)$$

sau, exprimată sub formă matriceală:

$$v_x \bar{i} + v_y \bar{j} + v_z \bar{k} = \begin{vmatrix} \bar{i} & \bar{j} & \bar{k} \\ \omega_x & \omega_y & \omega_z \\ x & y & z \end{vmatrix}. \quad (2)$$

În relația (2),

$$\bar{r} = \overline{M_0M} \Leftrightarrow x\bar{i} + y\bar{j} + z\bar{k} = (x_1 - x_0)\bar{i} + (y_1 - y_0)\bar{j} + (z_1 - z_0)\bar{k}.$$

Proiecțiile vitezei punctului M pe axele sistemului cartezian $Oxyz$ sunt:

$$v_x = \omega_y z - \omega_z y, \quad v_y = \omega_z x - \omega_x z, \quad v_z = \omega_x y - \omega_y x. \quad (3)$$

Înlocuind datele numerice, se obțin:

$$\begin{aligned} \omega_x &= \omega \cdot \alpha = 25 \cdot 0,6 = 15 \text{ rad/s}, & x &= x_1 - x_0 = 10 - 2 = 8 \text{ cm} \\ \omega_y &= \omega \cdot \beta = 25 \cdot 0,48 = 12 \text{ rad/s}, & y &= y_1 - y_0 = 7 - 1 = 6 \text{ cm}, \\ \omega_z &= \omega \cdot \gamma = 25 \cdot 0,64 = 16 \text{ rad/s}, & z &= z_1 - z_0 = 11 - 3 = 8 \text{ cm} \end{aligned} \quad (4)$$

care înlocuite în (3), conduc la:

$$\begin{aligned} v_x &= 12 \cdot 8 - 16 \cdot 6 = 0 \text{ cm/s}, \\ v_y &= 16 \cdot 8 - 15 \cdot 8 = 8 \text{ cm/s}, \\ v_z &= 15 \cdot 6 - 12 \cdot 8 = -6 \text{ cm/s}. \end{aligned} \quad (5)$$

Modulul vitezei punctului M devine:

$$v = \sqrt{v_x^2 + v_y^2 + v_z^2} = \sqrt{64 + 36} = 10 \text{ cm/s}.$$

12.2.4. Un corp se rotește în jurul axei ce trece prin originea O a unui sistem de referință cartezian $Oxyz$ (fig. 12.7). Viteza punctului $A(1, 0, 1)$ al corpului este egală cu $\bar{v}_A = 4 \text{ m/s}$. Unghiul α dintre viteza punctului A și axa absciselor este de 45° , iar unghiul dintre viteza punctului $B(3, 4, 0)$ și axa absciselor este egal cu β , pentru care $\cos \beta = -0,8$. Să se afle viteza unghiulară instantanee $\bar{\omega}$, viteza \bar{v}_B a punctului B și ecuația axei instantanee de rotație.

Soluție:

Proiecțiile vitezei unui punct oarecare al rigidului pe axele unui sistem de referință mobil invariabil legat de corp sunt, în conformitate cu (12.12):

$$v_x = \omega_y z - \omega_z y, \quad v_y = \omega_z x - \omega_x z, \quad v_z = \omega_x y - \omega_y x, \quad (1)$$

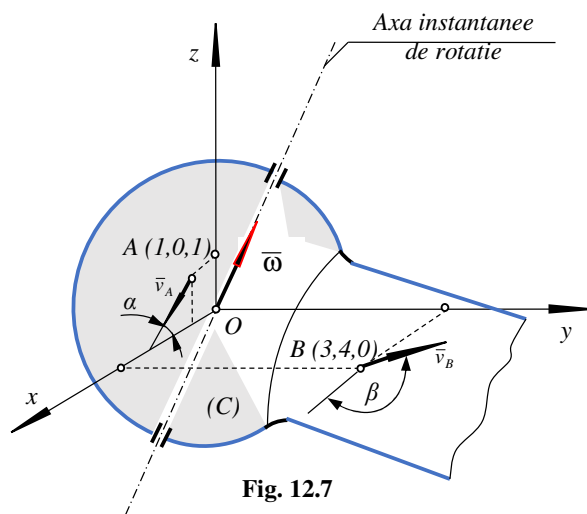


Fig. 12.7

care, aplicate pentru punctele A și B , conduc la:

$$\begin{aligned} v_A \cos \alpha &= \omega_y, & 0 &= \omega_z - \omega_x, & -v_A \sin \alpha &= -\omega_y. \\ v_B \cos \beta &= -4\omega_z, & v_B \sin \beta &= 3\omega_z, & 0 &= 4\omega_x - 3\omega_y. \end{aligned} \quad (2)$$

Rezolvând sistemul (2) și înlocuind cu valori numerice, rezultă:

$$\omega_x = \omega_z = 3 \frac{\sqrt{2}}{2} \text{ (rad/s)}, \quad \omega_y = 2\sqrt{2} \text{ (rad/s)}. \quad (3)$$

$$v_B = 7,5\sqrt{2} \text{ (m/s)}. \quad (4)$$

Vectorul viteză unghiulară instantanee $\bar{\omega}$, având în vedere (3), are expresia:

$$\bar{\omega} = \omega_x \bar{i} + \omega_y \bar{j} + \omega_z \bar{k} = \frac{\sqrt{2}}{2} (3\bar{i} + 4\bar{j} + 3\bar{k}), \quad (5)$$

din care se obține modulul:

$$\omega = \sqrt{\omega_x^2 + \omega_y^2 + \omega_z^2} = \sqrt{17} \text{ (rad/s)}. \quad (6)$$

Ecuția axei instantanee de rotație este, conform cu (12.7):

$$\frac{x}{\omega_x} = \frac{y}{\omega_y} = \frac{z}{\omega_z}. \quad (7)$$

Înlocuind valorile lui ω_x , ω_y , ω_z date de (3) în (7), se obține axa instantanee de rotație prin intersecția a două plane de ecuații:

$$\frac{2x}{3} = \frac{y}{2} = \frac{2z}{3} \quad (8)$$

sau

$$x = \frac{3}{4}y, \quad x = z. \quad (9)$$

12.2.5. Legile de mișcare ale unui solid rigid în jurul unui punct fix O_I sunt date de:

$$\varphi = nt, \quad \psi = \frac{\pi}{2} + ant, \quad \theta = \frac{\pi}{3}, \text{ unde } \varphi, \psi, \theta \text{ reprezintă unghiurile lui Euler, iar } a$$

și n sunt constante cunoscute. Să se determine proiecțiile vitezei unghiulare $\bar{\omega}$ și ale accelerației unghiulare $\bar{\epsilon}$ cu care rigidul se rotește în jurul punctului fix pe axele unui sistem de referință fix $O_I x_I y_I z_I$.

Să se determine de asemenea, valoarea parametrului a dacă planul fix $O_I x_I y_I$ reprezintă axoida fixă a rigidului.

Soluție:

În conformitate cu (12.7), proiecțiile pe axele sistemului de referință fix ale vitezei unghiulare $\bar{\omega}$ sunt:

$$\begin{aligned}\omega_{x_1} &= \dot{\phi} \sin \theta \sin \psi + \dot{\theta} \cos \psi, \\ \omega_{y_1} &= -\dot{\phi} \sin \theta \cos \psi + \dot{\theta} \sin \psi, \\ \omega_{z_1} &= \dot{\psi} + \dot{\phi} \cos \theta.\end{aligned}\quad (1)$$

Având în vedere că:

$$\dot{\phi} = n, \quad \dot{\psi} = an, \quad \dot{\theta} = 0. \quad (2)$$

relațiile (1) devin:

$$\begin{aligned}\omega_{x_1} &= n \sin \frac{\pi}{3} \sin \left(\frac{\pi}{2} + ant \right) = n \frac{\sqrt{3}}{2} \cos ant \\ \omega_{y_1} &= -n \sin \frac{\pi}{3} \cos \left(\frac{\pi}{2} + ant \right) = n \frac{\sqrt{3}}{2} \sin ant \\ \omega_{z_1} &= an + n \cos \frac{\pi}{3} = \frac{n}{3} (2a + 1)\end{aligned}\quad (3)$$

Accelerația unghiulară $\bar{\varepsilon}$ proiectată pe axele sistemului fix $O_{1x_1y_1z_1}$ devine:

$$\bar{\varepsilon} = \varepsilon_{x_1} \bar{i}_1 + \varepsilon_{y_1} \bar{j}_1 + \varepsilon_{z_1} \bar{k}_1 = \dot{\omega}_{x_1} \bar{i}_1 + \dot{\omega}_{y_1} \bar{j}_1 + \dot{\omega}_{z_1} \bar{k}_1, \quad (4)$$

întrucât,

$$\bar{\varepsilon} = \dot{\bar{\omega}} = \dot{\omega}_{x_1} \bar{i}_1 + \dot{\omega}_{y_1} \bar{j}_1 + \dot{\omega}_{z_1} \bar{k}_1.$$

Prin identificarea coeficienților versorilor în relația (4), se obțin componentele accelerației unghiulare pe axele sistemului fix și anume:

$$\varepsilon_{x_1} = \dot{\omega}_{x_1}, \quad \varepsilon_{y_1} = \dot{\omega}_{y_1}, \quad \varepsilon_{z_1} = \dot{\omega}_{z_1}. \quad (5)$$

Având în vedere (3), relațiile (5) devin:

$$\varepsilon_{x_1} = -\frac{an^2}{2} \sqrt{3} \sin ant, \quad \varepsilon_{y_1} = \frac{an^2}{2} \sqrt{3} \cos ant, \quad \varepsilon_{z_1} = 0. \quad (6)$$

Ecuatiile axei instantanee de rotație în raport cu sistemul de referință fix sunt similare cu (12.7). Astfel,

$$\frac{x_1}{\omega_{x_1}} = \frac{y_1}{\omega_{y_1}} = \frac{z_1}{\omega_{z_1}}. \quad (7)$$

Introducând (3) în (7), se obține:

$$\frac{2x_1}{\sqrt{3} \cos ant} = \frac{2y_1}{\sqrt{3} \sin ant} = \frac{3z_1}{2a+1}. \quad (8)$$

Din relațiile (8) se obțin succesiv relațiile:

$$\sin ant = 2 \frac{2a+1}{3\sqrt{3}} \frac{y_1}{z_1}, \quad \cos ant = 2 \frac{2a+1}{3\sqrt{3}} \frac{x_1}{z_1}. \quad (9)$$

Având în vedere relația trigonometrică:

$$\sin^2 ant + \cos^2 ant = 1, \quad (10)$$

în care se introduc expresiile (9), se obține *ecuația axoidei fixe*:

$$4(2a+1)^2 \cdot (x_1^2 + y_1^2) - 27z_1^2 = 0. \quad (11)$$

În cazul în care planul fix $O_1x_1y_1$ este axoida fixă, atunci $z_1 = 0$, astfel că relația (11) devine:

$$4(2a+1)^2 \cdot (x_1^2 + y_1^2) = 0. \quad (12)$$

Cum $x_1 \neq 0$ și $y_1 \neq 0$, rezultă:

$$2a+1=0, \quad a = -\frac{1}{2}. \quad (13)$$

12.2.6. Să se determine ecuația axei instantanee de rotație și modulul vitezei unghiulare $\bar{\omega}$ a unui solid rigid care efectuează o mișcare sferică, dacă sunt cunoscute la un moment dat (t) proiecțiile unui punct $M_1(0, 0, 2)$ pe axele unui sistem cartezian mobil legat invariabil de rigid:

$$v_{1x} = 1 \text{ m/s}, \quad v_{1y} = 2 \text{ m/s}, \quad v_{1z} = 0$$

și direcția vitezei punctului $M_2(0, 1, 2)$ dată prin cosinusurile directoare:

$$\alpha_2 = -\frac{2}{3}, \quad \beta_2 = \frac{2}{3}, \quad \gamma_2 = -\frac{1}{3}.$$

Soluție:

În conformitate cu (12.6), legea de distribuție a vitezelor în cazul mișcării sferice este:

$$\bar{v} = \bar{\omega} \times \bar{r}. \quad (1)$$

Proiectând (1) pe axele unui sistem cartezian mobil solidar cu rigidul, se obțin componentele:

$$v_x = z\omega_y - y\omega_z, \quad v_y = x\omega_z - z\omega_x, \quad v_z = y\omega_x - x\omega_y. \quad (2)$$

Înlocuind datele problemei pentru punctele M_1 și M_2 în relațiile (2), se obține sistemul:

$$\begin{aligned} 2\omega_y - 0 &= 1 & 2\omega_y - \omega_z &= -\frac{2}{3}v_2 \\ 0 - 2\omega_x &= 2 & 0 - 2\omega_x &= \frac{2}{3}v_2 & \omega_x - 0 &= -\frac{1}{3}v_2. \end{aligned} \quad (3)$$

Din sistemul (3) se obțin:

$$\omega_x = -1 \text{ rad/s}, \quad \omega_y = \frac{1}{2} \text{ rad/s}, \quad \omega_z = 3 \text{ rad/s}, \quad v_2 = 3 \text{ rad/s}. \quad (4)$$

Modulul vitezei unghiulare $\bar{\omega}$ se determină astfel:

$$\omega = \sqrt{\omega_x^2 + \omega_y^2 + \omega_z^2} = \frac{\sqrt{41}}{2}. \quad (5)$$

Axa instantanee de rotație are următoarele ecuații în raport cu sistemul mobil:

$$\frac{x}{\omega_x} = \frac{y}{\omega_y} = \frac{z}{\omega_z}. \quad (6)$$

Având în vedere (4), din (6) se obțin ecuațiile planelor care intersectate dau axa instantanee de rotație și anume:

$$x + 2y = 0, \quad 3x + z = 0. \quad (7)$$

12.2.7. Se consideră un solid rigid care efectuează o mișcare în jurul unui punct fix O . Să se determine viteza unui punct aparținând rigidului ale cărui coordonate la un moment dat sunt: $x = -a \cos \varphi$, $y = a \sin \varphi$, $z = a$, ($a = ct.$) și să se arate că mărimea acestei viteze nu depinde de unghiul rotației proprii φ .

Soluție:

În conformitate cu (12.6), legea de distribuție a vitezelor în cazul mișcării în jurul unui punct fix este:

$$\bar{v} = v_x \bar{i} + v_y \bar{j} + v_z \bar{k} = \bar{\omega} \times \bar{r} = (\omega_y z - \omega_z y) \bar{i} + (\omega_z x - \omega_x z) \bar{j} + (\omega_x y - \omega_y x) \bar{k}, \quad (1)$$

relație în care:

$\omega_x, \omega_y, \omega_z$ sunt proiecțiile vitezei unghiulare instantanee $\bar{\omega}$ pe axele unui sistem de referință mobil $Oxyz$ legat invariabil de solidul rigid;

x, y, z sunt coordonatele unui punct aparținând rigidului înregistrate față de sistemul mobil.

Având în vedere că proiecțiile vitezei unghiulare, în conformitate cu (12.10), sunt:

$$\begin{aligned} \omega_x &= \dot{\psi} \sin \varphi \sin \theta + \dot{\theta} \cos \varphi, \\ \omega_y &= \dot{\psi} \cos \varphi \sin \theta - \dot{\theta} \sin \varphi, \\ \omega_z &= \dot{\psi} \cos \theta + \dot{\varphi}. \end{aligned} \quad (2)$$

și fiind date coordonatele unui punct al rigidului

$$x = -a \cos \varphi, \quad y = a \sin \varphi, \quad z = a,$$

rezultă proiecțiile vitezei:

$$\begin{aligned} v_x &= \omega_y z - \omega_z y = a [\dot{\psi} \sin(\theta - \varphi) - (\dot{\theta} + \dot{\varphi}) \sin \varphi] \\ v_y &= \omega_z x - \omega_x z = -a [\dot{\psi} \cos(\theta - \varphi) + (\dot{\theta} + \dot{\varphi}) \cos \varphi] \\ v_z &= \omega_x y - \omega_y x = a \dot{\psi} \sin \theta. \end{aligned} \quad (3)$$

Introducând (3) în (1), se obține:

$$\bar{v} = a [\dot{\psi} \sin(\theta - \varphi) - (\dot{\theta} + \dot{\varphi}) \sin \varphi] \bar{i} - a [\dot{\psi} \cos(\theta - \varphi) + (\dot{\theta} + \dot{\varphi}) \cos \varphi] \bar{j} + a \dot{\psi} \sin \theta \bar{k}. \quad (4)$$

Modulul vitezei este dat de:

$$v = \sqrt{v_x^2 + v_y^2 + v_z^2}, \quad (5)$$

astfel, având în vedere (3), se obține:

$$\begin{aligned} v &= a \sqrt{[\dot{\psi} \sin(\theta - \varphi) - (\dot{\theta} + \dot{\varphi}) \sin \varphi]^2 + [\dot{\psi} \cos(\theta - \varphi) + (\dot{\theta} + \dot{\varphi}) \cos \varphi]^2 + \dot{\psi}^2 \sin^2 \theta}, \\ v &= a \sqrt{\dot{\psi}^2 (1 + \sin^2 \theta) + (\dot{\varphi} + \dot{\theta})^2 + 2\dot{\psi}(\dot{\varphi} + \dot{\theta}) \cos \theta}. \end{aligned} \quad (6)$$

Se observă din relația (6) că, mărimea vitezei dată de (6) nu depinde de unghiul rotației proprii φ .

12.2.8. O placă pătrată $OABC$ de latură a se mișcă având punctul O fix astfel încât, latura OA descrie un plan fix rotindu-se cu viteza unghiulară constantă $\bar{\omega}_1$. În același timp, pătratul se rotește în jurul laturii OA cu viteza unghiulară constantă $\bar{\omega}_2$. Se cere să se determine viteza unghiulară de rotație a plăcii, axoïda fixă, axoïda mobilă și viteza punctului C . La momentul inițial $t_0 = 0$ placa se situează chiar în planul fix (fig. 12.8).

Soluție:

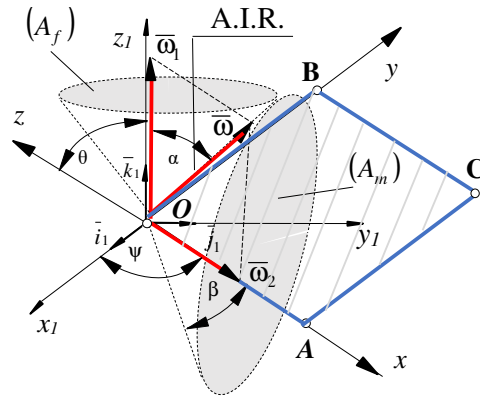


Fig. 12.8

Se alege un sistem de referință fix $O_1x_1y_1z_1$ astfel încât, $O_1x_1y_1$ să reprezinte planul fix al mișcării, iar Ox_1 poziția inițială a lui OA . Sistemul de referință mobil este $Oxyz$. În acest caz, unghiurile lui Euler sunt date de expresiile:

$$\varphi = 0, \quad \psi = \omega_1 t, \quad \theta = \omega_2 t. \quad (1)$$

Vectorul $\bar{\omega}$ se poate exprima în raport cu cele două sisteme de referință, mobil și fix, astfel:

$$\begin{aligned} \bar{\omega} &= \omega_2 \bar{i} + \omega_1 \sin \theta \bar{j} + \omega_1 \cos \theta \bar{k}, \\ \bar{\omega} &= \omega_2 \cos \psi \bar{i}_1 + \omega_2 \sin \psi \bar{j}_1 + \omega_1 \bar{k}_1. \end{aligned} \quad (2)$$

Modulul lui $\bar{\omega}$ este:

$$\omega = \sqrt{\omega_1^2 + \omega_2^2}. \quad (3)$$

Axoïda fixă este un con cu vârful în punctul O și axa Oz_1 . Generatoarea conului face cu axa Oz_1 unghiul α dat de relația:

$$\operatorname{tg} \alpha = \frac{\omega_2}{\omega_1}. \quad (4)$$

Axoida mobilă este alt con cu vârful în punctul O și axa Ox . Generatoarea conului face cu axa Ox unghiul $\beta = \pi/2 - \alpha$.

Având în vedere că:

$$\overline{OC} = \overline{r}_C = a\overline{i} + a\overline{j}, \quad (5)$$

viteza punctului C , conform cu (12.6), este:

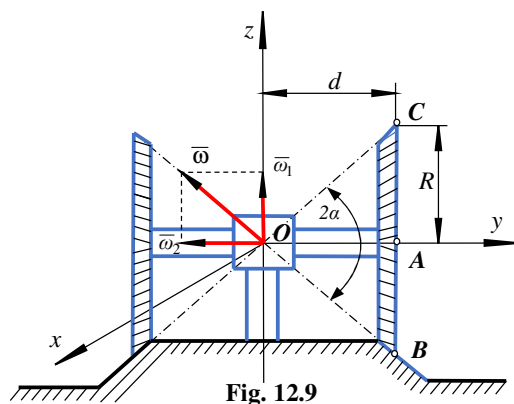
$$\overline{v}_C = \overline{\omega} \times \overline{r}_C = -a\omega_1 \cos \theta \overline{i} + a\omega_1 \cos \theta \overline{j} + a(\omega_2 - \omega_1 \sin \theta) \overline{k}. \quad (6)$$

Modulul acestei viteze se obține astfel:

$$v_C = a\sqrt{2\omega_1^2 \cos^2 \theta + (\omega_2 - \omega_1 \sin \theta)^2}. \quad (7)$$

12.2.9. În figura 12.9 este prezentat un rulou conic care se rostogolește fără alunecare pe un suport conic circular.

Razele roloilor sunt $R = 10\sqrt{2}$ cm, iar unghiul la vârf este $2\alpha = 90^\circ$. Viteza centrului A al rolei din dreapta este $v_A = 20$ cm/s. Să se determine vitezele și accelerațiile punctelor B și C .



Soluție:

Întrucât punctul B este centru instantaneu de rotație pentru rola din dreapta, viteza lui va fi $\vec{v}_B = 0$. Cum O este punct fix, axa instantanee de rotație corespunzătoare poziției din figură a ruloului va fi axa care trece prin punctele O și B , care au vitezele nule.

Înseamnă că, viteza unghiulară instantanee $\vec{\omega}$ are ca suport dreapta OB , ea având două componente: $\vec{\omega}_1$ care este viteza unghiulară de rotație a cadrului ruloului în jurul axei Oz și $\vec{\omega}_2$ care este viteza unghiulară de rotație relativă a rotelor în jurul axei lor de simetrie. Astfel,

$$\vec{\omega} = \vec{\omega}_1 + \vec{\omega}_2. \quad (1)$$

- Viteza instantanee a punctului A , conform cu (12.6), are expresia:

$$\vec{v}_A = \vec{\omega} \times \vec{OA} = \begin{vmatrix} \vec{i} & \vec{j} & \vec{k} \\ 0 & -\omega_2 & \omega_1 \\ 0 & d & 0 \end{vmatrix} = -\omega_1 d \vec{i}. \quad (2)$$

Modulul vitezei \vec{v}_A este:

$$v_A = \omega_1 d, \quad (3)$$

relație din care se obține viteza unghiulară ω_1 :

$$\omega_1 = \frac{v_A}{d} = \frac{v_A}{R \operatorname{ctg} \alpha} = \frac{20}{10\sqrt{2} \operatorname{ctg} 45^\circ} = \sqrt{2}. \quad (4)$$

Din relația $\operatorname{tg} 45^\circ = \frac{\omega_1}{\omega_2}$ se obține

$$\omega_2 = \omega_1 = \sqrt{2}. \quad (5)$$

- Viteza instantanee a punctului C este:

$$\vec{v}_C = \vec{\omega} \times \vec{OC} = \begin{vmatrix} \vec{i} & \vec{j} & \vec{k} \\ 0 & -\omega_2 & \omega_1 \\ 0 & d & R \end{vmatrix} = -(\omega_1 d + \omega_2 R) \vec{i}. \quad (6)$$

Modulul acestei viteze se determină astfel:

$$v_C = \omega_1 d + \omega_2 R = \sqrt{2}(10\sqrt{2} + 10\sqrt{2}) = 40 \text{ cm/s}. \quad (7)$$

Având în vedere că: $\bar{\omega} = -\omega_2 \bar{j} + \omega_1 \bar{k}$, accelerația unghiulară instantanee se determină astfel:

$$\bar{\varepsilon} = \dot{\bar{\omega}} = -\sqrt{2} \dot{\bar{j}} = -\sqrt{2} \bar{\omega} \times \bar{j} = -\sqrt{2} \bar{\omega}_1 \times \bar{j} = 2\bar{i}. \quad (8)$$

- Accelerația instantanee a punctului B , conform cu (12.14), este:

$$\bar{a}_B = \bar{\varepsilon} \times \overline{OB} + \bar{\omega} \times (\bar{\omega} \times \overline{OB}) = \bar{\varepsilon} \times \overline{OB} \quad (9)$$

întrucât $\bar{v}_B = \bar{\omega} \times \overline{OB} = 0$.

Având în vedere figura 12.8 și relația (8), se poate scrie:

$$\bar{a}_B = \begin{vmatrix} \bar{i} & \bar{j} & \bar{k} \\ 2 & 0 & 0 \\ 0 & d & -R \end{vmatrix} = 2R\bar{j} + 2d\bar{k} = 20\sqrt{2}(\bar{j} + \bar{k}). \quad (10)$$

Din (10) se obține modulul accelerației \bar{a}_B :

$$a_B = 20\sqrt{2} \cdot \sqrt{2} = 40 \text{ cm/s}^2. \quad (11)$$

- Accelerația instantanee a punctului C se exprimă astfel:

$$\bar{a}_C = \bar{\varepsilon} \times \overline{OC} + \bar{\omega} \times (\bar{\omega} \times \overline{OC}) = \begin{vmatrix} \bar{i} & \bar{j} & \bar{k} \\ 2 & 0 & 0 \\ 0 & d & R \end{vmatrix} + \begin{vmatrix} \bar{i} & \bar{j} & \bar{k} \\ 0 & -\omega_2 & \omega_1 \\ d\omega_1 - R\omega_2 & 0 & 0 \end{vmatrix}$$

$$\bar{a}_C = -(2R + d\omega_1^2 + R\omega_1\omega_2)\bar{j} + (2d - d\omega_1\omega_2 - R\omega_2^2)\bar{k}. \quad (12)$$

Introducând în (12) valorile numerice, rezultă:

$$\bar{a}_C = -(2 \cdot 10\sqrt{2} + 10\sqrt{2} \cdot 2 + 10\sqrt{2} \cdot \sqrt{2} \cdot \sqrt{2})\bar{j} + (2 \cdot 10\sqrt{2} - 10\sqrt{2} \cdot 2 - 10\sqrt{2} \cdot \sqrt{2} \cdot \sqrt{2})\bar{k}$$

$$\bar{a}_C = -60\sqrt{2}\bar{j} - 20\sqrt{2}\bar{k}. \quad (13)$$

Având în vedere (13), modulul accelerației \bar{a}_C este:

$$a_C = 40\sqrt{5} \text{ m/s}^2. \quad (14)$$

12.2.10. Un pod are o parte rotativă care este montată pe role conice (fig. 12.10). Axele rozelor conice sunt montate înclinat într-o ramă circulară, astfel că acestea se intersectează în centrul geometric O al suprafeței de sprijin a rozelor.

Știind că raza rolei este $R = 25$ cm și unghiul la vârf este 2α pentru care $\cos \alpha = \frac{84}{85}$, se cer să se determine: viteza și accelerația unghiulară a rozelor, precum și vitezele și accelerațiile punctelor A , B , și C , unde punctul C este centrul

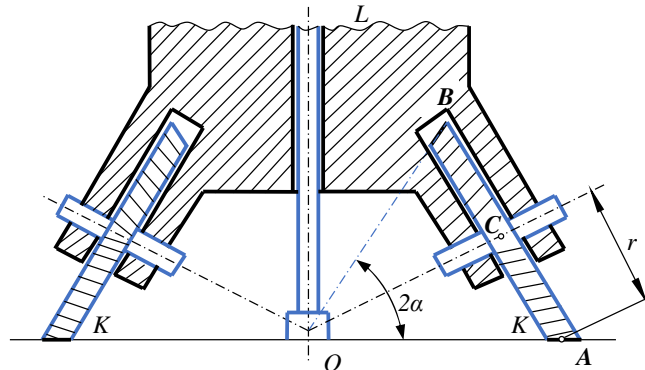


Fig. 12.10

roții conice. Se cunoaște că la un moment dat, viteza unghiulară ω_1 a ramei circulare în jurul axei verticale este egală cu $0,1$ rad/s.

Soluție:

Deoarece punctul A reprezintă centrul instantaneu de rotație aferent roții conice din dreapta (are viteza nulă), iar punctul O este fix, dreapta OA este axa instantanee de rotație corespunzătoare mișcării roții în jurul punctului fix O . În acest fel, suportul vitezei unghiulare $\bar{\omega}$ este dreapta OA .

Știind că $\bar{\omega}_1$ este viteza unghiulară a ramei circulare în jurul axei verticale și $\bar{\omega}_2$ este viteza unghiulară de rotație relativă a roții conice în jurul axei sale de simetrie, se poate scrie:

$$\bar{\omega} = \bar{\omega}_1 + \bar{\omega}_2 . \quad (1)$$

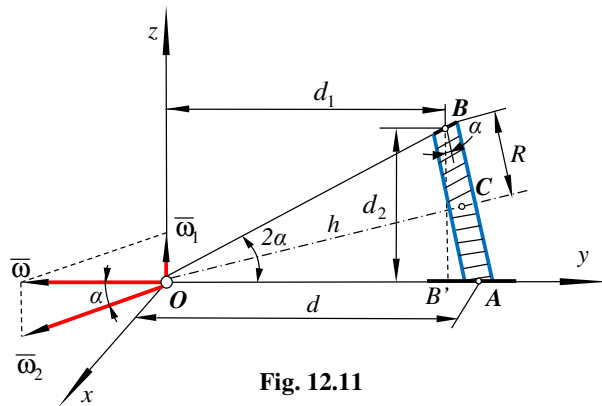


Fig. 12.11

Urmărind figura 12.11, se pot scrie relațiile:

$$\omega_2 = \frac{\omega_1}{\sin \alpha} = \frac{0,1}{\sqrt{1 - (84/85)^2}} = 0,653 \text{ rad/s.} \quad (2)$$

$$\omega = \omega_1 \operatorname{ctg} \alpha = 0,1 \frac{84/85}{\sqrt{1 - (84/85)^2}} = 0,646 \text{ rad/s.} \quad (3)$$

Având în vedere figura 12.11 și relația (3), se obține viteza unghiulară:

$$\bar{\omega} = -\omega_1 \operatorname{ctg} \alpha \bar{j} = -0,646 \bar{j} \quad (4)$$

Accelerația unghiulară $\bar{\varepsilon}$ se obține derivând în raport cu timpul viteza unghiulară. Astfel,

$$\bar{\varepsilon} = \dot{\bar{\omega}} = -0,646 \dot{\bar{j}} = -0,646 \bar{\omega}_1 \times \bar{j} = 0,646 \omega_1 \bar{i} = 0,0646 \bar{i}. \quad (5)$$

- Viteza instantanee a punctului B are expresia:

$$\bar{v}_B = \bar{\omega} \times \overline{OB} = \begin{vmatrix} \bar{i} & \bar{j} & \bar{k} \\ 0 & -0,646 & 0 \\ 0 & d_1 & d_2 \end{vmatrix} = -0,646 d_2 \bar{i} = -1,292 R \cos \alpha \bar{i}, \quad (6)$$

întrucât $d_2 = 2R \cos \alpha$.

Modulul vitezei \bar{v}_B devine:

$$v_B = 12,92R \cos \alpha = 12,92 \cdot 25 \cdot 84/85 = 31,92 \text{ cm/s}. \quad (7)$$

- Viteza instantanee a punctului C este:

$$\bar{v}_C = \bar{\omega} \times \overline{OC} = \begin{vmatrix} \bar{i} & \bar{j} & \bar{k} \\ 0 & -0,646 & 0 \\ 0 & R \frac{\cos^2 \alpha}{\sin \alpha} & R \cos \alpha \end{vmatrix} = -0,646R \cos \alpha \bar{i}. \quad (8)$$

Modulul vitezei centrului roții se determină astfel:

$$v_C = 0,646R \cos \alpha = 0,646 \cdot 25 \cdot 84/85 = 15,96 \text{ cm/s}. \quad (9)$$

- Accelerația instantanee a punctului A este:

$$\bar{a}_A = \bar{\epsilon} \times \overline{OA} + \bar{\omega} \times (\bar{\omega} \times \overline{OA}) = \bar{\epsilon} \times \overline{OA}, \quad (10)$$

pentru că $\bar{v}_A = \bar{\omega} \times \overline{OA} = 0$.

Având în vedere figura 12.11 și relația (5), se obține:

$$\bar{a}_A = \begin{vmatrix} \bar{i} & \bar{j} & \bar{k} \\ 0,0646 & 0 & 0 \\ 0 & d & 0 \end{vmatrix} = 0,0646d\bar{k} = 0,0646 \frac{R}{\sin \alpha} \bar{k}. \quad (11)$$

Modulul accelerației \bar{a}_A are expresia:

$$a_A = 0,0646 \frac{R}{\sin \alpha} = 0,0646 \frac{25}{\sqrt{1 - (84/85)^2}} = 10,559 \text{ cm/s}^2. \quad (12)$$

- Accelerația instantanee a punctului B se determină cu relația:

$$\bar{a}_B = \bar{\varepsilon} \times \overline{OB} + \bar{\omega} \times (\bar{\omega} \times \overline{OB}) = \bar{\varepsilon} \times \overline{OB} + \bar{\omega} \times \bar{v}_B, \quad (13)$$

care, având în vedere (4), (5) și (6), devine:

$$\bar{a}_B = \begin{vmatrix} \bar{i} & \bar{j} & \bar{k} \\ 0,0646 & 0 & 0 \\ 0 & d_1 & d_2 \end{vmatrix} + \begin{vmatrix} \bar{i} & \bar{j} & \bar{k} \\ 0 & -0,646 & 0 \\ -1,292R \cos \alpha & 0 & 0 \end{vmatrix},$$

$$\bar{a}_B = -0,0646d_2\bar{j} + (0,0646d_1 - 0,834R \cos \alpha)\bar{k}. \quad (14)$$

Având în vedere că:

$$d_1 = R \frac{\cos 2\alpha}{\sin \alpha}, \quad d_2 = 2R \cos \alpha, \quad (15)$$

relația (14) se mai poate scrie și sub forma:

$$\bar{a}_B = -0,0646 \cdot 2R \cos \alpha \bar{j} + \left(0,0646R \frac{\cos 2\alpha}{\sin \alpha} - 0,834R \cos \alpha \right) \bar{k}. \quad (16)$$

Înlocuind în (16) cu valorile numerice, rezultă:

$$\bar{a}_B = -0,0646 \cdot 2 \cdot 25 \cdot 84/85 \bar{j} + \left(0,0646 \cdot 25 \frac{(84/85)^2 - [1 - (84/85)^2]}{\sqrt{1 - (84/85)^2}} - 0,834 \cdot 25 \cdot 84/85 \right) \bar{k}$$

$$= -3,192\bar{j} - 10,7\bar{k}. \quad (17)$$

Modulul accelerației \bar{a}_B se obține din (17) astfel:

$$a_B = \sqrt{(3,192)^2 + (10,7)^2} = 11,16 \text{ cm/s}^2.$$

- Accelerația instantanee a centrului C al roții conice se obține astfel:

$$\bar{a}_C = \bar{\varepsilon} \times \overline{OC} + \bar{\omega} \times (\bar{\omega} \times \overline{OC}) = \bar{\varepsilon} \times \overline{OC} + \bar{\omega} \times \bar{v}_C, \quad (18)$$

Introducând în (18) relațiile (4), (5) și (8), se obține:

$$\bar{a}_C = \begin{vmatrix} \bar{i} & \bar{j} & \bar{k} \\ 0,0646 & 0 & 0 \\ 0 & R \frac{\cos^2 \alpha}{\sin \alpha} & R \cos \alpha \end{vmatrix} + \begin{vmatrix} \bar{i} & \bar{j} & \bar{k} \\ 0 & -0,646 & 0 \\ -0,646 R \cos \alpha & 0 & 0 \end{vmatrix},$$

$$\bar{a}_C = -0,0646 R \cos \alpha \bar{j} + \left(0,0646 R \frac{\cos^2 \alpha}{\sin \alpha} - 0,646^2 R \cos \alpha \right) \bar{k}. \quad (19)$$

Prin înlocuirea în relația (19) a valorilor numerice, se obține:

$$\bar{a}_C = -0,0646 \cdot 25 \cdot 84/85 \bar{j} + \left(0,0646 \cdot 25 \frac{(84/85)^2}{\sqrt{1 - (84/85)^2}} - 0,646^2 \cdot 25 \cdot 84/85 \right) \bar{k},$$

$$\bar{a}_C = -1,596 \bar{j} - 0,365 \bar{k}. \quad (20)$$

Modulul accelerației centrului C al roții conice se obține astfel:

$$a_C = \sqrt{1,596^2 + 0,365^2} = 1,64 \text{ cm/s}^2. \quad (21)$$

12.2.11. Să se studieze mișcarea unui trunchi de con de raze R și r și înălțime h care se rotește în jurul axei verticale cu viteza unghiulară ω_1 , mișcarea fiind de rostogolire pe un plan fix. Să se determine viteza și accelerația unui punct oarecare A de pe periferia bazei mari (fig. 12.12). Se menționează că, astfel de trunchiuri de con se întrebuițesc în tehnică sub denumirea de *galeți* folosiți la ghidarea mișcării de rotație în jurul verticalei macaralelor, a plăcilor turnate etc.

Soluție:

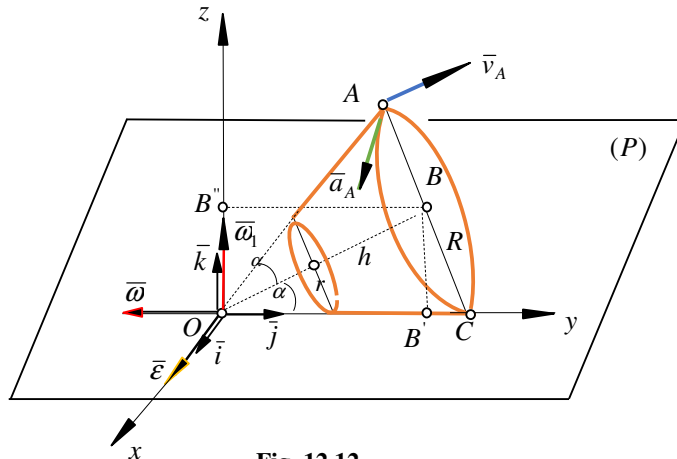


Fig. 12.12

Deoarece rostogolirea trunchiului de con pe planul (P) se face fără alunecare, generatoarea de contact a conului cu planul este axa instantanee de rotație. Viteza unghiulară $\bar{\omega}$ va rezulta din exprimarea în două moduri a vitezei punctului B care este centrul bazei mari a trunchiului de con și care descrie un cerc de rază BB'' situat în planul orizontal, cu viteza unghiulară ω_1 , respectiv efectuează o mișcare de rotație în jurul axei instantanee de rotație OC . Astfel,

$$v_B = BB'' \omega_1 = BB' \omega . \quad (1)$$

În relația (1) segmentele BB' și BB'' se pot exprima astfel:

$$BB' = R \cos \alpha = \frac{Rh}{\sqrt{h^2 + (R-h)^2}} , \quad BB'' = OB \cos \alpha = \frac{Rh^2}{(R-r)\sqrt{h^2 + (R-h)^2}} . \quad (2)$$

Introducând relațiile (2) în (1), rezultă:

$$\boldsymbol{\omega} = \frac{h}{R-r} \boldsymbol{\omega}_1. \quad (3)$$

Pentru determinarea vitezei și accelerației punctului A se alege un sistem de referință triortogonal mobil $Oxyz$ legat solidar cu trunchiul de con, axele sale având versorii \bar{i}, \bar{j} și \bar{k} . Originea sistemului este în punctul O . Urmărind figura, se pot scrie relațiile:

$$\bar{r}_A = \overline{OA} = OA \cos 2\alpha \bar{j} + OA \sin 2\alpha \bar{k} \quad (4)$$

$$\bar{\boldsymbol{\omega}} = -\frac{h}{R-r} \omega_1 \bar{j}; \quad \bar{\boldsymbol{\varepsilon}} = \bar{\boldsymbol{\omega}}_1 \times \bar{\boldsymbol{\omega}} = \frac{h\omega_1^2}{R-r} \bar{i}. \quad (5)$$

Conform cu (12.6) și (12.14), se determină viteza \bar{v}_A și accelerația \bar{a}_A cu relațiile:

$$\bar{v}_A = \bar{\boldsymbol{\omega}} \times \bar{r}_A; \quad \bar{a}_A = \bar{\boldsymbol{\varepsilon}} \times \bar{r}_A + \bar{\boldsymbol{\omega}} \times (\bar{\boldsymbol{\omega}} \times \bar{r}_A) = \bar{\boldsymbol{\varepsilon}} \times \bar{r}_A + \bar{\boldsymbol{\omega}} \times \bar{v}_A. \quad (6)$$

Efectuând calcule rezultă:

$$\begin{aligned} \bar{v}_A &= -\frac{h}{R-r} \omega_1 \cdot OA \sin 2\alpha \bar{i} = -\frac{2Rh^2\omega_1}{(R-r)\sqrt{h^2+(R-r)^2}} \bar{i}. \\ \bar{a}_A &= -\frac{2Rh^2\omega_1^2}{(R-r)\sqrt{h^2+(R-r)^2}} \bar{j} - \frac{Rh\omega_1^2\sqrt{h^2+(R-r)^2}}{(R-r)^2} \bar{k}. \end{aligned} \quad (7)$$

12.3 Probleme propuse

12.3.1. Un disc de rază r și de grosime neglijabilă se rostogolește fără să alunece pe un plan orizontal (π) , punctul de contact I descriind o traiectorie circulară de rază R , iar planul în care este conținut discul este în permanență perpendicular pe planul (π) (fig. 12.13).

Centrul C al discului are o viteză \vec{v}_C de modul constant. Se cere, să se determine următoarele:

- traectoria unui punct M care se găsește pe disc la o distanță ρ de centrul C al acestuia;
- unghiurile lui Euler în funcție de unghiul α care determină poziția discului la un moment dat;
- proiecțiile vitezei unghiulare $\vec{\omega}$ ale discului pe axele sistemului de referință fix și mobil, precum și modulul acesteia;
- axoidele mișcării;
- viteza și accelerația punctului M .

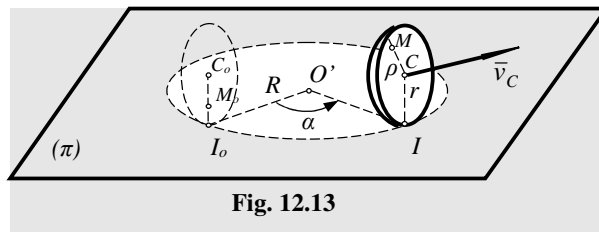


Fig. 12.13

Răspuns:

$$x_{1M}(t) = R \cos \frac{v_C}{R} t + \rho \sin \frac{v_C}{R} t \sin \frac{v_C}{r} t$$

$$y_{1M}(t) = R \sin \frac{v_C}{R} t - \rho \cos \frac{v_C}{R} t \sin \frac{v_C}{r} t, \quad \psi = \frac{v_C}{R} t, \quad \varphi = 0, \quad \theta = -\frac{v_C}{r} t$$

$$z_{1M}(t) = -\rho \cos \frac{v_C}{R} t,$$

$$\omega_{x_1} = -\frac{v_C}{r} \cos \frac{v_C}{R} t, \quad \omega_{y_1} = -\frac{v_C}{r} \sin \frac{v_C}{R} t, \quad \omega_{z_1} = \frac{v_C}{R},$$

$$\omega = \frac{v_C \sqrt{R^2 + r^2}}{Rr},$$

$$\omega_x = -\frac{v_C}{r}, \quad \omega_y = -\frac{v_C}{R} \sin \frac{v_C}{r} t, \quad \omega_z = \frac{v_C}{R} \cos \frac{v_C}{r} t,$$

$$R^2 z_1^2 = r^2 (x_1^2 + y_1^2), \quad r^2 z^2 = R^2 (y^2 + z^2),$$

$$v_M = v_C \sqrt{\frac{\rho^2}{r^2} + 1 + \frac{\rho^2}{R^2} \sin^2 \frac{v_C}{r} t - \frac{2\rho}{r} \cos \frac{v_C}{r} t},$$

$$a_{rot} = \frac{v_C^2}{r} \sqrt{1 + \frac{\rho^2}{R^2} \cos^2 \frac{v_C}{r} t},$$

$$a_{ax} = v_C^2 \sqrt{\rho^2 \left(\frac{1}{R^2} + \frac{1}{r^2} \right)^2 \sin^2 \frac{v_C}{r} t + \frac{1}{R^2} + \frac{2\rho}{Rr} \cos \frac{v_C}{r} t \left(-\frac{1}{R} + \frac{1}{R} \cos \frac{v_C}{R} t - \frac{1}{r} \cos^2 \frac{v_C}{R} t \right) + \frac{1}{r^2} \cos^4 \frac{v_C}{R} t}.$$

12.3.2. Un solid rigid având un punct fix execută o mișcare de precesie regulată, iar cele trei unghiuri ale lui Euler au următoarele legi de variație:

$$\varphi = at, \quad \psi = bt, \quad \theta = c. \quad (1)$$

Se cere să se calculeze componentele vectorilor viteză și accelerație unghiulară $\vec{\omega}$ și $\vec{\epsilon}$, modulele acestora și să se determine axoidele mișcării.

Răspuns:

$$\omega_x = b \sin at \sin c$$

$$\omega_y = b \cos at \sin c$$

$$\omega_z = b \cos c + a,$$

$$\omega_{x_1} = a \sin c \sin bt$$

$$\omega_{y_1} = -a \sin c \cos bt$$

$$\omega_{z_1} = b + a \cos c,$$

$$\omega = \sqrt{a^2 + b^2 + 2ab \cos c},$$

$$\varepsilon_{x_1} = ab \sin c \cos bt$$

$$\varepsilon_{y_1} = ab \sin c \sin bt$$

$$\varepsilon_{z_1} = 0,$$

$$\varepsilon_x = ab \cos at \sin c$$

$$\varepsilon_y = -ab \sin at \sin c$$

$$\varepsilon_z = 0,$$

$$\varepsilon = ab \sin c,$$

$$x_1^2 + y_1^2 - \frac{a^2 \sin^2 c}{a \cos c + b} z_1^2 = 0$$

$$x^2 + y^2 - \frac{b^2 \sin^2 c}{a \cos c + b} z^2 = 0.$$

12.3.3. Proiecțiile vectorului viteză unghiulară instantanee ale unui solid rigid care se mișcă în jurul unui punct fix O , pe axele sistemului $Oxyz$ invariabil legat cu rigidul, sunt 2, 3 și 4. Se cere ecuația axei instantanee de rotație față de acest sistem de axe.

Răspuns:

$$\frac{x}{2} = \frac{y}{3} = \frac{z}{4}.$$

12.3.4. Un con circular drept cu înălțimea h și unghiul la vârf 2α se rostogolește fără alunecare pe un plan orizontal, el rotindu-se în jurul unei axe verticale ce trece prin vârful conului cu viteza unghiulară constantă $\bar{\omega}_1$. Să se afle viteza și accelerația unghiulară, viteza și accelerațiile de rotație și axipetă a unui punct A de pe cercul de bază al conului, cerc aflat la distanță maximă de planul orizontal (fig. 12.14).

Răspuns:

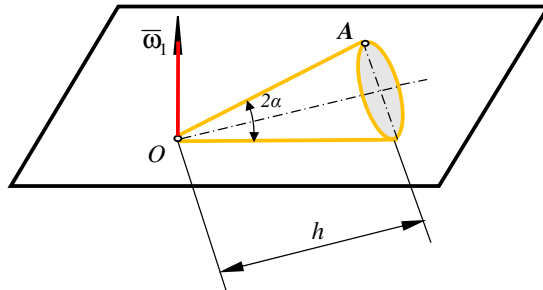


Fig. 12.14

$$\begin{aligned} \omega &= \omega_1 \operatorname{ctg} \alpha, & a_{ax} &= 2\omega_1^2 h \frac{\cos^2 \alpha}{\sin \alpha}, \\ \varepsilon &= \omega_1^2 \operatorname{ctg} \alpha, \\ v_A &= 2h\omega_1 \cos \alpha, & a_{rot} &= 2\omega_1^2 h \cos \alpha. \end{aligned}$$

12.3.5. Se consideră două conuri circulare drepte având generatoarele de lungimi egale $l = 30 \text{ cm}$, unghiurile la vârf 2α și 2β unde $\alpha = 45^\circ$, $\beta = 30^\circ$. Primul con este fix, iar al doilea se rostogolește peste cel fix cu viteza unghiulară $\omega_1 = 1,2 \text{ s}^{-1}$ în jurul axei de simetrie a conului fix. Cele două conuri au vârfurile în același punct O .

Se cer să se determine viteza și accelerația unghiulară a conului mobil, precum și viteza și accelerația punctului M ce aparține dreptei de intersecție dintre planul bazei conului mobil cu planul format de cele două axe de simetrie ale conurilor, el fiind situat la o distanță $M_oM = 10 \text{ cm}$ de circumferința cercului de bază (fig. 12.15).

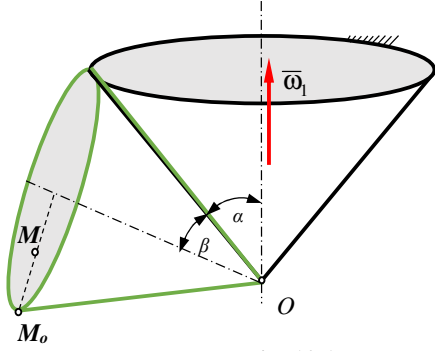


Fig. 12.15

Răspuns:

$$\omega = 2,32 \text{ s}^{-1}, \quad \varepsilon = 1,97 \text{ s}^{-2}, \quad v_M = 40,2 \text{ cm/s}, \quad a_M = 64,2 \text{ cm/s}^2.$$

12.3.6. Să se demonstreze că în cazul mișcării sferice a unui rigid, între vitezele \bar{v}_1, \bar{v}_2 și accelerațiile \bar{a}_1, \bar{a}_2 a două puncte A_1, A_2 aparținând rigidului există relațiile:

$$\begin{aligned} \bar{r}_2 \bar{v}_1 + \bar{r}_1 \bar{v}_2 &= 0, & \bar{r}_2 \bar{a}_1 + \bar{r}_1 \bar{a}_2 &= -2\bar{v}_1 \bar{v}_2, \\ \bar{a}_1 \bar{r}_1 &= -v_1^2, & \bar{a}_2 \bar{r}_2 &= -v_2^2, \end{aligned}$$

unde: \bar{r}_1 și \bar{r}_2 sunt vectorii de poziție ai punctelor A_1 și A_2 în raport cu punctul fix O .

13. MIȘCAREA GENERALĂ A SOLIDULUI RIGID ^[9]

13.1 Considerații teoretice

13.1.1 Studiul geometric al mișcării

În figura 13.1 s-a reprezentat un solid rigid liber aflat în *mișcare generală* și trei sisteme carteziene de referință: sistemul fix, O_1, x_1, y_1, z_1 , sistemul mobil $Oxyz$ legat invariabil de rigidul (C) , având originea plasată în punctul O aparținând rigidului și sistemul mobil $Ox'y'z'$ care execută o mișcare de translație, axele sale rămânând permanent paralele cu axele sistemului cartezian de referință fix O_1, x_1, y_1, z_1 .

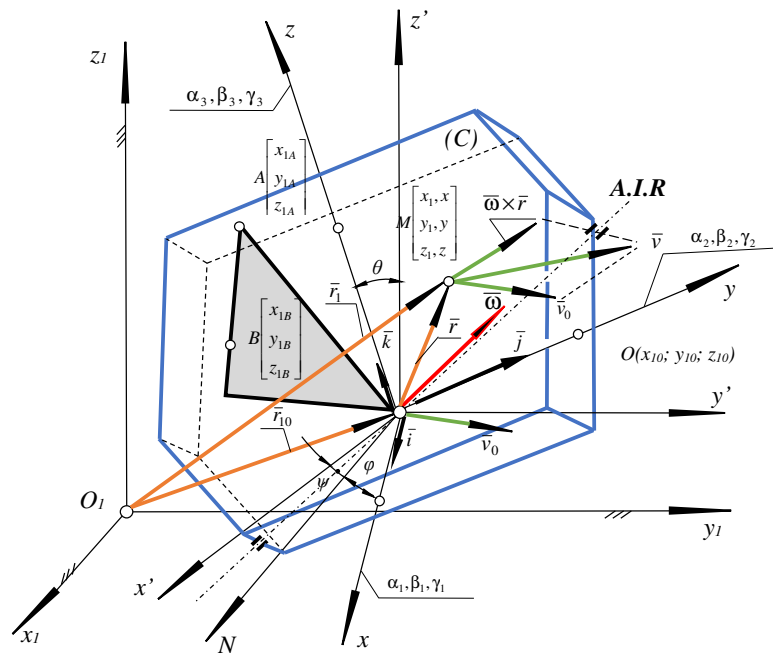


Fig. 13.1

Poziția în spațiu a unui astfel de rigid aflat în mișcare generală este determinată de șase parametri independenți, rigidul posedând șase grade de libertate.

Cei șase parametri independenți pot fi aleși în diferite moduri:

a) Se iau coordonatele x_{10}, y_{10}, z_{10} ale originii O a sistemului cartezian mobil față de sistemul fix $O_1x_1y_1z_1$ și *trei din cele nouă cosinusuri directoare ale axelor sistemului mobil $Oxyz$ în raport cu axele sistemului fix $O_1x_1y_1z_1$.*

Între *cosinusurile directoare există șase relații de dependență* astfel încât, din cei doisprezece parametri (coordoanatele x_{10}, y_{10}, z_{10} și nouă cosinusuri directoare $\alpha_i, \beta_i, \gamma_i, i=1, 2, 3$) rămân doar șase parametri independenți care poziționează rigidul în spațiu.

b) Se iau coordonatele x_{10}, y_{10}, z_{10} ale originii mobile O și *unghiurile lui Euler ψ, φ, θ corespunzătoare sistemelor carteziene $Oxyz, Ox'y'z'$ sau $O_1x_1y_1z_1$. Ecuatiile parametrice ale mișcării generale ale rigidului (C) sunt în acest caz:*

$$x_{10} = x_{10}(t), y_{10} = y_{10}(t), z_{10} = z_{10}(t), \psi = \psi(t), \varphi = \varphi(t), \theta = \theta(t). \quad (13.1)$$

c) *Se aleg șase din cele nouă coordonate carteziene ale punctelor necoliniare O, A, B , aparținând rigidului (C), întrucât între cele nouă coordonate există trei relații de dependență.*

Fie M un punct aparținând solidului rigid și x_1, y_1, z_1 , respectiv x, y, z coordonatele lui înregistrate față de sistemul fix $O_1x_1y_1z_1$, respectiv față de sistemul mobil $Oxyz$.

Proiectând relația dintre vectorii de poziție $\bar{r}_1, \bar{r}_{10}, \bar{r}$ din figura 13.1

$$\bar{r}_1 = \bar{r}_{10} + \bar{r}, \quad (13.2)$$

pe axele sistemului cartezian fix $O_1x_1y_1z_1$ și ținând seama de relațiile între cele nouă cosinusuri formate de către grupurile de câte două axe carteziene dintre care una aparține sistemului fix $O_1x_1y_1z_1$, iar cealaltă sistemului mobil $Oxyz$, (tabelul 12.1), se obține relația matriceală de legătură între coordonatele x_1, y_1, z_1 și coordonatele x, y, z ale punctului M :

$$\begin{bmatrix} 1 \\ x_1 \\ y_1 \\ z_1 \end{bmatrix} = \begin{bmatrix} 1 & 0 & 0 & 0 \\ x_{10} & \alpha_1 & \alpha_2 & \alpha_3 \\ y_{10} & \beta_1 & \beta_2 & \beta_3 \\ z_{10} & \gamma_1 & \gamma_2 & \gamma_3 \end{bmatrix} \cdot \begin{bmatrix} 1 \\ x \\ y \\ z \end{bmatrix}. \quad (13.3)$$

Din relația (13.3) se obțin expresiile coordonatelor punctului M aparținând rigidului (C) înregistrate față de sistemul cartezian fix $O_1x_1y_1z_1$:

$$x_1 = x_{10} + \alpha_1 x + \alpha_2 y + \alpha_3 z$$

$$y_1 = y_{10} + \beta_1 x + \beta_2 y + \beta_3 z$$

$$z_1 = z_{10} + \gamma_1 x + \gamma_2 y + \gamma_3 z. \quad (13.4)$$

În relațiile (13.4) cele nouă cosinusuri directoare, conform cu (13.3), sunt funcții de unghiurile lui Euler, care la rândul lor sunt funcții cunoscute de timp. De asemenea, conform cu (13.1), coordonatele x_{10} , y_{10} , z_{10} sunt funcții cunoscute de timp, iar coordonatele x , y , z sunt constante în timp, întrucât sistemul cartezian mobil $Oxyz$ este legat invariabil de solidul rigid. Rezultă astfel expresiile în funcție de timp ale coordonatelor punctului M înregistrate față de sistemul fix $O_1x_1y_1z_1$:

$$x_1 = x_1(t); \quad y_1 = y_1(t); \quad z_1 = z_1(t). \quad (13.5)$$

Relația (13.5) reprezintă **ecuațiile parametrice ale mișcării punctului M** în raport cu sistemul de referință fix.

13.1.2 Distribuția vitezelor. Axoidele mișcării. Torsorul cinematic

Se consideră solidul rigid (C) aflat în mișcare generală la care se cunoaște, la un moment dat, viteza \vec{v}_0 a unui punct O aparținând rigidului și viteza unghiulară instantanee $\vec{\omega}$ de rotație a rigidului în jurul punctului O (fig. 13.1).

Derivând vectorial în raport cu timpul, în ambii membrii, relația (13.2) între vectorii de poziție reprezentați în figura 13.1, se obține **legea de distribuție a vitezelor în cazul mișcării generale a solidului rigid**:

$$\vec{v} = \vec{v}_0 + \vec{\omega} \times \vec{r}. \quad (13.6)$$

Termenii din relația (13.6) se explicitează astfel:

$$\dot{\vec{r}}_1 = \vec{v}, \quad \dot{\vec{r}}_{10} = \vec{v}_0, \quad \dot{\vec{r}} = \vec{\omega} \times \vec{r}_1. \quad (13.7)$$

Utilizând notațiile din figura 13.1, se explicitează relația (13.6) față de sistemele carteziene $Oxyz$ și $O_1x_1y_1z_1$, obținând componentele scalare carteziene ale vectorului viteză \vec{v} înregistrate față de aceste sisteme de referință. Astfel,

$$v_x = v_{ox} + \omega_y z - \omega_z y; \quad v_y = v_{oy} + \omega_z x - \omega_x z; \quad v_z = v_{oz} + \omega_x y - \omega_y x \quad (13.8)$$

și

$$\begin{aligned} v_{x_1} &= v_{ox_1} + \omega_{y_1} (z_1 - z_{10}) - \omega_{z_1} (y_1 - y_{10}), \\ v_{y_1} &= v_{oy_1} + \omega_{z_1} (x_1 - x_{10}) - \omega_{x_1} (z_1 - z_{10}), \\ v_{z_1} &= v_{oz_1} + \omega_{x_1} (y_1 - y_{10}) - \omega_{y_1} (x_1 - x_{10}). \end{aligned} \quad (13.9)$$

Având în vedere legea de distribuție a vitezelor (13.6), se pot stabili câteva **proprietăți ale distribuției de viteze în cazul mișcării generale:**

- Legea de distribuție a vitezelor rezultă din compunerea unei distribuții de viteze corespunzătoare mișcării de translație a rigidului, efectuată cu viteza \bar{v}_0 a polului mobil O aparținând rigidului și a unei distribuții de viteze corespunzătoare mișcării de rotație a rigidului în jurul lui O , rotație efectuată cu viteza unghiulară instantanee $\bar{\omega}$;
- Vectorul viteze unghiulară instantanee $\bar{\omega}$ este același pentru toate punctele rigidului;
- Proiecția vitezei unui punct aparținând rigidului pe suportul vitezei unghiulare instantanee $\bar{\omega}$ constituie un invariant față de poziția polului de referință O și poartă numele de **viteză instantanee minimă** \bar{v}_{\min} (fig. 13.2).

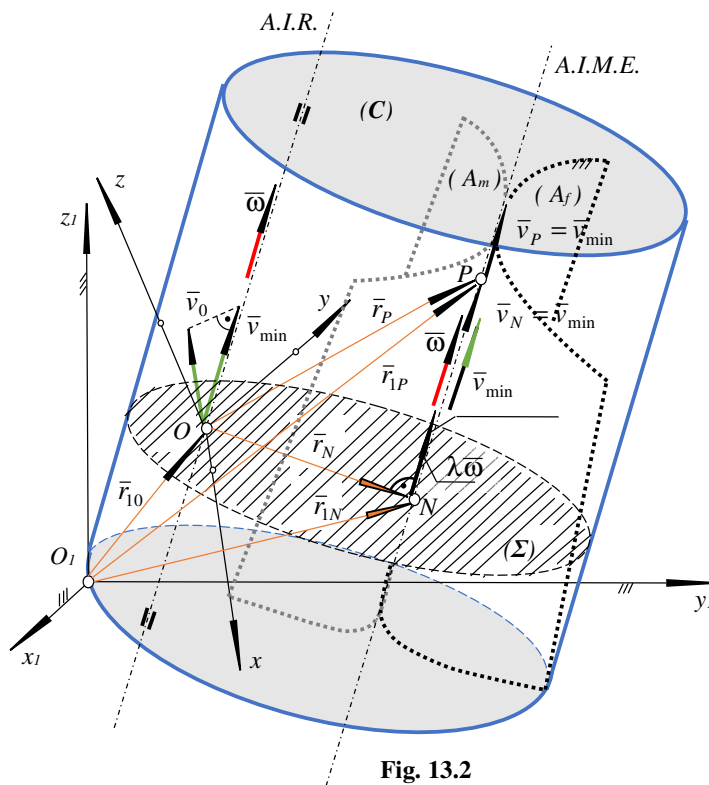


Fig. 13.2

Înmulțind scalar relația (13.6) în ambii membri cu versorul $\bar{u} = \frac{\bar{\omega}}{\omega}$ al vitezei unghiulare, se obține:

$$v_{\min} = \frac{\bar{\omega} \cdot \bar{v}_0}{\omega} = \frac{\bar{\omega} \cdot \bar{v}}{\omega}. \quad (13.10)$$

Viteza minimă poate fi exprimată și cu ajutorul componentelor carteziene ale vectorilor $\bar{\omega}$ și \bar{v} pe axele sistemului mobil $Oxyz$. Astfel,

$$v_{\min} = (\omega_x v_x + \omega_y v_y + \omega_z v_z) / \sqrt{\omega_x^2 + \omega_y^2 + \omega_z^2}; \quad (13.11)$$

- d) Există puncte aparținând solidului rigid a căror viteză \bar{v} este egală cu viteza minimă \bar{v}_{\min} . Se pune problema determinării locului geometric al polilor O pentru care vectorii \bar{v}_0 și $\bar{\omega}$ sunt coliniari. Astfel că, în urma unor calcule, se obține relația:

$$\bar{r} - (\bar{\omega} \times \bar{v}_0) / \omega^2 = \lambda \bar{\omega}. \quad (13.12)$$

Expresia (13.12) arată că *locul geometric* căutat *este o dreaptă* ce trece prin punctul N și care este paralelă cu vectorul viteză unghiulară instantanee $\bar{\omega}$. Această dreaptă poartă *numele de axă instantanee a mișcării elicoidale (A.I.M.E.)* (fig. 13.2).

Ecuția vectorială a A.I.M.E. este dată de (13.12), iar *ecuția scalară a axei instantanee a mișcării elicoidale raportată la sistemul de referință mobil* se obține proiectând (13.12) pe axele acestui sistem. Se obține astfel:

$$\frac{x - \frac{\omega_y v_{oz} - \omega_z v_{oy}}{\omega^2}}{\omega_x} = \frac{y - \frac{\omega_z v_{ox} - \omega_x v_{oz}}{\omega^2}}{\omega_y} = \frac{z - \frac{\omega_x v_{oy} - \omega_y v_{ox}}{\omega^2}}{\omega_z}. \quad (13.13)$$

Întrucât axa instantanee a mișcării elicoidale își modifică poziția atât față de sistemul fix $O_1 x_1 y_1 z_1$, cât și față de cel mobil $Oxyz$ rezultă că aceasta generează în spațiu două suprafețe riglate.

Locul geometric al pozițiilor succesive ocupate de A.I.M.E. în raport cu sistemul de referință fix este o suprafață fixă, numită axoidă fixă (A_f).

Locul geometric al pozițiilor succesive ocupate de A.I.M.E. în raport cu sistemul cartezian mobil este o suprafață mobilă, numită **axoidă mobilă** (A_m).

În timpul mișcării solidului rigid, **axoida mobilă se rostogolește peste axoida fixă, alunecând în același timp în lungul generatoarei comune** care este axa instantanee a mișcării elicoidale corespunzătoare momentului respectiv (fig. 13.2);

e) Nu există puncte aparținând solidului rigid a căror **viteză să fie nulă**.

Considerând vectorii $\bar{\omega}$ și \bar{v}_0 ce caracterizează distribuția de viteze în cazul unui solid rigid ca fiind elementele unui torsor numit *torsor cinematic*, se poate face analogie între torsorul de reducere corespunzător unui sistem de vectori oarecare și *torsorul cinematic* $\tau_c(\bar{\omega}, \bar{v}_0)$ format din vectorul viteză unghiulară $\bar{\omega}$ și vectorul viteză liniară instantanee \bar{v}_0 . De remarcat că, vectorul $\bar{\omega}$ este același la un moment dat (t) pentru toate punctele rigidului, în timp ce vectorul \bar{v}_0 se schimbă odată cu schimbarea polului O . Toate noțiunile legate de reducerea unui sistem de vectori se pot transpune integral și în cazul distribuției de viteze. Se poate vorbi astfel de: *moment minim echivalent în cinematică cu viteza minimă* \bar{v}_{\min} , *torsorul minim cinematic* $(\bar{\omega}, \bar{v}_{\min})$ și *axă centrală cinematică (A.I.M.E.)* etc.

Vectorul viteză unghiulară $\bar{\omega}$ și viteza minimă \bar{v}_{\min} se numesc *invariantii torsorului cinematic*.

Legea de distribuție a vitezelor (13.6) este de fapt transpunerea în cinematică a legii de variație a momentului rezultat la schimbarea polului de reducere.

13.1.3 Distribuția accelerațiilor. Polul accelerațiilor

Se consideră solidul rigid (C) aflat în *mișcarea generală* la care se cunoaște la un moment dat accelerația \bar{a}_0 a unui punct o aparținând rigidului, viteza unghiulară instantanee $\bar{\omega}$ și accelerația unghiulară instantanee $\bar{\epsilon}$ de rotație a acestuia în jurul punctului O (fig. 13.3).

Legea distribuției accelerațiilor în cazul mișcării generale a unui solid rigid se obține derivând vectorial în raport cu timpul ambii membri ai relației (13.6). Rezultă astfel:

$$\bar{a} = \bar{a}_0 + \bar{\epsilon} \times \bar{r} + \bar{\omega} \times (\bar{\omega} \times \bar{r}) \quad (13.14)$$

sau

$$\bar{a} = \bar{a}_0 + \bar{\epsilon} \times \bar{r} + (\bar{\omega} \cdot \bar{r})\bar{\omega} - \omega^2 \bar{r}, \quad (13.15)$$

întrucât,

$$\dot{\vec{v}} = \vec{a}, \quad \dot{\vec{v}}_0 = \vec{a}_0, \quad \dot{\vec{\omega}} = \vec{\varepsilon}, \quad \dot{\vec{r}} = \vec{\omega} \times \vec{r}. \quad (13.16)$$

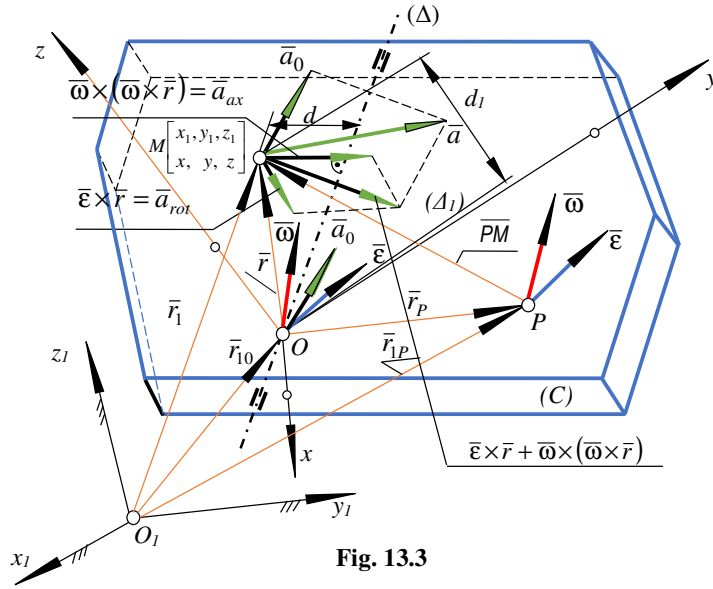


Fig. 13.3

Utilizând notațiile din figura 13.3, se explicitează relația (13.15) față de sistemele de referință $Oxyz$ și $O_1x_1y_1z_1$, obținându-se expresiile componentelor carteziene ale accelerației \vec{a} față de cele două sisteme. Astfel,

$$\begin{aligned} a_x &= a_{ox} + \varepsilon_y z - \varepsilon_z y + \omega_x (\omega_x x + \omega_y y + \omega_z z) - \omega^2 x, \\ a_y &= a_{oy} + \varepsilon_z x - \varepsilon_x z + \omega_y (\omega_x x + \omega_y y + \omega_z z) - \omega^2 y, \\ a_z &= a_{oz} + \varepsilon_x y - \varepsilon_y x + \omega_z (\omega_x x + \omega_y y + \omega_z z) - \omega^2 z, \end{aligned} \quad (13.17)$$

$$\begin{aligned} a_{x_1} &= a_{ox_1} + \varepsilon_{y_1} z_1 - \varepsilon_{z_1} y_1 + \omega_{x_1} (\omega_{x_1} x_1 + \omega_{y_1} y_1 + \omega_{z_1} z_1) - \omega^2 x_1, \\ a_{y_1} &= a_{oy_1} + \varepsilon_{z_1} x_1 - \varepsilon_{x_1} z_1 + \omega_{y_1} (\omega_{x_1} x_1 + \omega_{y_1} y_1 + \omega_{z_1} z_1) - \omega^2 y_1, \\ a_{z_1} &= a_{oz_1} + \varepsilon_{x_1} y_1 - \varepsilon_{y_1} x_1 + \omega_{z_1} (\omega_{x_1} x_1 + \omega_{y_1} y_1 + \omega_{z_1} z_1) - \omega^2 z_1. \end{aligned} \quad (13.18)$$

Ultimele două componente din relația (13.14) reprezintă **accelerațiile de rotație și axipetă**:

$$\vec{\varepsilon} \times \vec{r} = \vec{a}_{rot}, \quad \vec{\omega} \times (\vec{\omega} \times \vec{r}) = \vec{a}_{ax} \quad (13.19)$$

astfel încât legea de distribuție a accelerațiilor în cazul mișcării generale mai poate fi scrisă sub forma:

$$\bar{a} = \bar{a}_0 + \bar{a}_{rot} + \bar{a}_{ax} . \quad (13.20)$$

Pe baza relațiilor (13.19) și (13.20) se pot stabili următoarele **proprietăți ale distribuției accelerațiilor în cazul mișcării generale**:

a) Accelerația unui punct aparținând rigidului are trei componente:

- o componentă numită *accelerație de translație*, reprezentată prin vectorul \bar{a}_0 care este același pentru toate punctele rigidului aflat în mișcare generală (fig. 13.3);
- o componentă numită *accelerație de rotație*, reprezentată prin vectorul $\bar{\epsilon} \times \bar{r} = \bar{a}_{rot}$. Direcția acestui vector este perpendiculară pe planul definit de vectorii $\bar{\epsilon}$ și \bar{r} , sensul este dat de regula burghiului, iar modulul se exprimă prin produsul ϵd_1 , unde d_1 reprezintă distanța de la punctul considerat până la suportul (Δ_1) al lui $\bar{\epsilon}$;
- o componentă numită *accelerație axipetă*, reprezentată prin vectorul $\bar{\omega} \times (\bar{\omega} \times \bar{r}) = \bar{a}_{ax}$, care are următoarele caracteristici: direcția este dată de perpendiculara coborâtă din punctul considerat pe suportul vitezei unghiulare $\bar{\omega}$, sensul este de la punctul considerat către suportul lui $\bar{\omega}$, iar modulul se exprimă prin produsul $\omega^2 d$, unde s-a notat cu d distanța de la punctul respectiv la suportul lui $\bar{\omega}$ (fig. 13.3).

b) Există în orice moment al mișcării generale a unui solid rigid un punct aparținând acestuia a cărui accelerație \bar{a} este egală cu 0.

În concluzie, **în cazul mișcării generale există în orice moment un punct a cărui accelerație este nulă** și doar puncte a căror viteză este minimă, *toate aparținând unei axe numită axă instantanee a mișcării elicoidale*.

13.2 Probleme rezolvate ^[9]

13.2.1. Se consideră un cub manipulat de către un robot. Cunoșcând la un moment dat viteza \vec{v}_A a punctului A , ea fiind dirijată după diagonala AH , se cer să se determine viteza punctului D știind că este dirijată după muchia AD , precum și viteza punctului B situată în planul ABD (fig. 13.4)

Soluție:

În mișcarea generală a solidului rigid, proiecțiile vitezelor a două puncte aparținând rigidului pe dreapta care unește cele două puncte sunt egale. Conform acestei proprietăți, se poate scrie:

$$pr_{AD}(\vec{v}_A) = pr_{AD}(\vec{v}_D) \quad (1)$$

dar:

$$pr_{AD}(\vec{v}_A) = (\sqrt{2}/2)v_A, \quad pr_{AD}(\vec{v}_D) = v_D, \quad (2)$$

astfel că:

$$v_D = (\sqrt{2}/2)v_A. \quad (3)$$

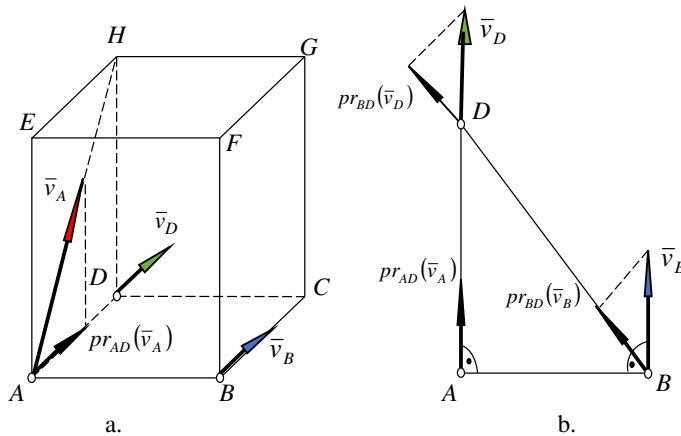


Fig. 13.4

Din figura 13.4b rezultă

$$pr_{AB}[(\sqrt{2}/2)v_A] = pr_{AB}(\vec{v}_B). \quad (4)$$

Dar cum $pr_{AB} \left[\left(\frac{\sqrt{2}}{2} \right) v_A \right] = 0$, înseamnă că viteza \bar{v}_B a punctului B este perpendiculară pe AB . Pe de altă parte, se poate scrie:

$$pr_{BD}(\bar{v}_D) = pr_{BD}(\bar{v}_B) \quad . \quad (5)$$

În relația (5) se înlocuiește:

$$pr_{BD}(\bar{v}_D) = \left(\frac{\sqrt{2}}{2} \right) \left(\frac{\sqrt{2}}{2} \right) v_A, \quad pr_{BD}(\bar{v}_B) = \left(\frac{\sqrt{2}}{2} \right) v_B. \quad (6)$$

Din (5) și (6) se obține viteza v_B a punctului B :

$$v_B = \left(\frac{\sqrt{2}}{2} \right) v_A. \quad (7)$$

13.2.2. În mișcarea generală a unui solid rigid să se determine punctele pentru care:

- a) accelerația este perpendiculară pe axa instantanee a mișcării elicoidale;
- b) accelerația este paralelă cu axa instantanee a mișcării elicoidale;

Soluție:

În conformitate cu (13.14), legea de distribuție a accelerațiilor la mișcarea generală a solidului rigid este:

$$\bar{a} = \bar{a}_0 + \bar{\varepsilon} \times \bar{r} + \bar{\omega} \times (\bar{\omega} \times \bar{r}) \quad . \quad (1)$$

a) Pentru determinarea punctelor rigidului a căror accelerație este perpendiculară pe axa instantanee a mișcării elicoidale trebuie rezolvată ecuația vectorială:

$$\bar{a} \cdot \bar{\omega} = 0, \quad [\bar{a}_0 + \bar{\varepsilon} \times \bar{r} + \bar{\omega} \times (\bar{\omega} \times \bar{r})] \cdot \bar{\omega} = 0 \quad . \quad (2)$$

Efectuând produsele scalare în ecuația (2), se obține:

$$\bar{a}_0 \cdot \bar{\omega} + (\bar{\varepsilon} \times \bar{r}) \cdot \bar{\omega} + [\bar{\omega} \times (\bar{\omega} \times \bar{r})] \cdot \bar{\omega} = 0 \quad . \quad (3)$$

Dar cum:

$$[\bar{\omega} \times (\bar{\omega} \times \bar{r})] \cdot \bar{\omega} = 0,$$

relația (3) devine:

$$\bar{a}_0 \cdot \bar{\omega} + (\bar{\varepsilon} \times \bar{r}) \cdot \bar{\omega} = 0 . \quad (4)$$

Exprimând vectorii din relația (4) prin componentele lor carteziene, se obține:

$$a_{0x}\omega_x + a_{0y}\omega_y + a_{0z}\omega_z + (\varepsilon_y z - \varepsilon_z y)\omega_x + (\varepsilon_z x - \varepsilon_x z)\omega_y + (\varepsilon_x y - \varepsilon_y x)\omega_z = 0 . \quad (5)$$

Ordonând ecuația scalară (5) după coordonatele x , y și z și introducând notațiile:

$$\begin{aligned} \varepsilon_z \omega_y - \varepsilon_y \omega_z &= a_1, & \varepsilon_x \omega_z - \varepsilon_z \omega_x &= b_1, & \varepsilon_y \omega_x - \varepsilon_x \omega_y &= c_1, \\ a_{0x}\omega_x + a_{0y}\omega_y - a_{0z}\omega_z &= d_1, \end{aligned} \quad (6)$$

se ajunge la ecuația planului:

$$a_1 x + b_1 y + c_1 z + d_1 = 0 . \quad (7)$$

În concluzie, la mișcarea generală a solidului rigid există o infinitate de puncte, toate cuprinse într-un plan a cărui ecuație este (7), care au accelerațiile perpendiculare pe axa instantanee de rotație.

- b)** Pentru determinarea punctelor unui rigid aflat în mișcare generală a căror accelerație este paralelă cu axa instantanee a mișcării elicoidale trebuie rezolvată ecuația vectorială:

$$[\bar{a}_0 + \bar{\varepsilon} \times \bar{r} + \bar{\omega} \times (\bar{\omega} \times \bar{r})] \times \bar{\omega} = 0 , \quad (8)$$

respectiv,

$$\bar{a}_0 \times \bar{\omega} + (\bar{\varepsilon} \times \bar{r}) \times \bar{\omega} + [\bar{\omega} \times (\bar{\omega} \times \bar{r})] \times \bar{\omega} = 0 . \quad (9)$$

Rezolvarea ecuației vectoriale (9) se face impunând următoarele condiții:

- originea O a sistemului mobil se alege în polul accelerațiilor, astfel că $\bar{a}_0 = 0$;
- axa Oz se alege după direcția axei instantanee a mișcării elicoidale, astfel că:

$$\bar{\omega} = \omega \bar{k} . \quad (10)$$

Exprimând vectorii cuprinși în ecuația vectorială (9) prin componentele lor carteziene, se pot scrie succesiv expresiile:

$$\bar{\omega} \times \bar{r} = \begin{vmatrix} \bar{i} & \bar{j} & \bar{k} \\ 0 & 0 & \omega \\ x & y & z \end{vmatrix} = -\omega y \bar{i} + \omega x \bar{j} \quad (11)$$

$$\bar{\omega} \times (\bar{\omega} \times \bar{r}) = \begin{vmatrix} \bar{i} & \bar{j} & \bar{k} \\ 0 & 0 & \omega \\ -\omega y & \omega x & 0 \end{vmatrix} = -\omega^2 x \bar{i} - \omega^2 y \bar{j} \quad (12)$$

$$[\bar{\omega} \times (\bar{\omega} \times \bar{r})] \times \bar{\omega} = \begin{vmatrix} \bar{i} & \bar{j} & \bar{k} \\ -\omega^2 x & -\omega^2 y & 0 \\ 0 & 0 & \omega \end{vmatrix} = -\omega^3 y \bar{i} + \omega^3 x \bar{j} \quad (13)$$

$$\bar{\varepsilon} \times \bar{r} = \begin{vmatrix} \bar{i} & \bar{j} & \bar{k} \\ \varepsilon_x & \varepsilon_y & \varepsilon_z \\ x & y & z \end{vmatrix} = (\varepsilon_y z - \varepsilon_z y) \bar{i} + (\varepsilon_z x - \varepsilon_x z) \bar{j} + (\varepsilon_x y - \varepsilon_y x) \bar{k} \quad (14)$$

$$(\bar{\varepsilon} \times \bar{r}) \times \bar{\omega} = \begin{vmatrix} \bar{i} & \bar{j} & \bar{k} \\ \varepsilon_y z - \varepsilon_z y & \varepsilon_z x - \varepsilon_x z & \varepsilon_x y - \varepsilon_y x \\ 0 & 0 & \omega \end{vmatrix} = \omega [(\varepsilon_z x - \varepsilon_x z) \bar{i} - (\varepsilon_y z - \varepsilon_z y) \bar{j}]. \quad (15)$$

Introducând (11)÷(15) în ecuația (9) și identificând coeficienții versorilor, se obține sistemul:

$$\begin{aligned} -\omega^2 x - \varepsilon_z y + \varepsilon_y z &= 0 \\ -\varepsilon_z x + \omega^2 y + \varepsilon_x z &= 0 \end{aligned} \quad (16)$$

Ecuațiile sistemului (16) reprezintă ecuațiile a două plane care intersectate conduc la o dreaptă.

Astfel că, în mișcarea generală a solidului rigid există o infinitate de puncte, toate aparținând unei drepte de ecuație (16), care au accelerațiile paralele cu axa instantanee a mișcării elicoidale.

Se menționează că, dreapta respectivă s-a determinat alegând originea O a sistemului mobil $Oxyz$ în polul accelerațiilor și axa Oz suprapusă peste axa instantanee a mișcării elicoidale.

13.2.3. Să se arate că, în cazul mișcării generale a solidului rigid (fig. 13.5) proiecțiile vitezelor a două puncte pe dreapta care unește cele două puncte sunt egale.

Soluție:

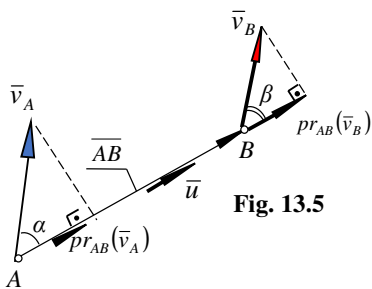


Fig. 13.5

În conformitate cu legea de distribuție a vitezelor din cazul mișcării generale a solidului rigid, exprimată prin relația (13.6), se poate scrie pentru punctele A și B (fig 13.5) relația:

$$\bar{v}_B = \bar{v}_A + \bar{\omega} \times \overline{AB} , \quad (1)$$

relație în care vectorul \bar{r} din expresia (13.6) este $\bar{r} = \overline{AB}$.

Notând cu \bar{u} versorul vectorului \overline{AB} și înmulțind scalar relația (1) cu \bar{u} , se obține:

$$\bar{v}_B \cdot \bar{u} = \bar{v}_A \cdot \bar{u} + (\bar{\omega} \times \overline{AB}) \cdot \bar{u} . \quad (2)$$

În relația (2) produsul mixt $(\bar{\omega} \times \overline{AB}) \cdot \bar{u} = 0$, deoarece vectorii \overline{AB} și \bar{u} sunt coliniari, astfel că

$$\bar{v}_B \cdot \bar{u} = \bar{v}_A \cdot \bar{u} , \quad (3)$$

respectiv:

$$v_B \cos \beta = v_A \cos \alpha , \quad (4)$$

adică, proiecțiile lor vor fi egale

$$pr_{AB} \bar{v}_A = pr_{AB} \bar{v}_B . \quad (5)$$

13.2.4. Un semifabricat manipulat de către un robot industrial este raportat la un sistem de referință triortogonal $Oxyz$ având originea într-un punct O aparținând

semifabricatului. Se știe că, la un moment dat, vitezele a trei puncte $O(0,0,0)$, $A(1,1,0)$ și $B(1,1,1)$ (fig. 13.6) sunt:

$$\bar{v}_0 = 2\bar{i} + \bar{j} - 3\bar{k}, \bar{v}_A = 3\bar{j} - \bar{k} \text{ și } \bar{v}_B = -\bar{i} + 2\bar{j} - \bar{k}.$$

Să se determine elementele torsorului de reducere cinematic în raport cu punctele axei instantanee a mișcării elicoidale $(\bar{\omega}, \bar{v}_{\min})$, precum și această axă.

Soluție:

Elementele torsorului cinematic de reducere în raport cu punctele axei instantanee a mișcării elicoidale sunt: viteza unghiulară instantanee de rotație $\bar{\omega}$ și viteza minimă \bar{v}_{\min} , amândouă având direcția axei instantanee.

În conformitate cu (13.6), componentele scalare carteziene ale vectorului vitează \bar{v} a unui punct aparținând semifabricantului și înregistrate față de sistemul de referință $Oxyz$ au expresiile:

$$\begin{aligned} v_x &= v_{ox} + \omega_y z - \omega_z y \\ v_y &= v_{oy} + \omega_z x - \omega_x z \\ v_z &= v_{oz} + \omega_x y - \omega_y x \end{aligned} \quad (1)$$

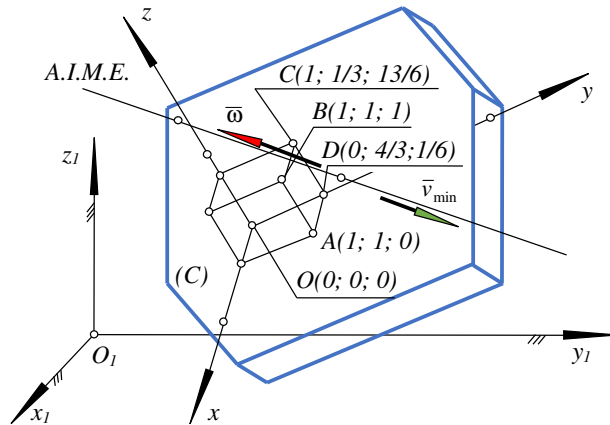


Fig. 13.6

În cazul punctelor A și B , relațiile (1) devin:

[9] Ispas, V., Pop, A. F., 2009.

$$\begin{aligned}
-1 &= 2 + \omega_y - \omega_z, & 0 &= 2 - \omega_z \\
2 &= \omega_z - \omega_x, & 3 &= 1 + \omega_z \\
-1 &= -3\omega_x - \omega_y, & -1 &= -3 + \omega_x - \omega_y.
\end{aligned} \tag{2}$$

Din (2) rezultă:

$$\omega_x = 1 \text{ rad/s}, \quad \omega_y = -1 \text{ rad/s}, \quad \omega_z = 2 \text{ rad/s}, \quad \overline{\omega} = \bar{i} - \bar{j} + 2\bar{k}. \tag{3}$$

Modulul vitezei unghiulare instantanee $\overline{\omega}$, ținând cont de (3), este:

$$\omega = \sqrt{\omega_x^2 + \omega_y^2 + \omega_z^2} = \sqrt{6} \text{ rad/s}. \tag{4}$$

Viteza minimă \bar{v}_{\min} , având în vedere (13.10), se determină cu relația: $\bar{v}_{\min} = (\overline{\omega} \cdot \bar{v} / \omega) \bar{u}$, unde $\bar{u} = \overline{\omega} / \omega$ este versorul axei instantanee a mișcării elicoidale, iar \bar{v} este viteza instantanee a unui punct aparținând solidului rigid (de exemplu, viteza punctului A). Astfel,

$$\bar{v}_{\min} = \left(\overline{\omega} \cdot \bar{v}_A / \omega^2 \right) \overline{\omega} = -(5/6) (\bar{i} - \bar{j} + 2\bar{k}). \tag{5}$$

Analizând (3) și (5) se constată că $\overline{\omega}$ și \bar{v}_{\min} sunt coliniari, dar de sens contrar.

Ecuția vectorială a axei instantanee a mișcării elicoidale (A.I.M.E.) este, conform cu (13.12):

$$\bar{r} - (\overline{\omega} \times \bar{v}_0) / \omega^2 = \lambda \overline{\omega}, \tag{6}$$

iar sub formă scalară se obține proiectând (6) pe axele sistemului de referință mobil $Oxyz$:

$$\frac{x - \frac{\omega_y v_{oz} - \omega_z v_{oy}}{\omega^2}}{\omega_x} = \frac{y - \frac{\omega_z v_{ox} - \omega_x v_{oz}}{\omega^2}}{\omega_y} = \frac{z - \frac{\omega_x v_{oy} - \omega_y v_{ox}}{\omega^2}}{\omega_z}. \tag{7}$$

Introducând (3), (4) și componentele vitezei \bar{v}_0 în (7), rezultă relațiile:

$$x + y = 4/3, \quad 2x - z = -1/6. \tag{8}$$

care reprezintă *ecuațiile axei instantanee* a mișcării elicoidale.

13.2.5. Se consideră un solid rigid (C) în mișcarea cea mai generală, aceasta fiind studiată cu ajutorul unui sistem de referință fix $O_1x_1y_1z_1$ și al unui sistem de referință mobil $Oxyz$, legat invariabil de rigidul în mișcare.

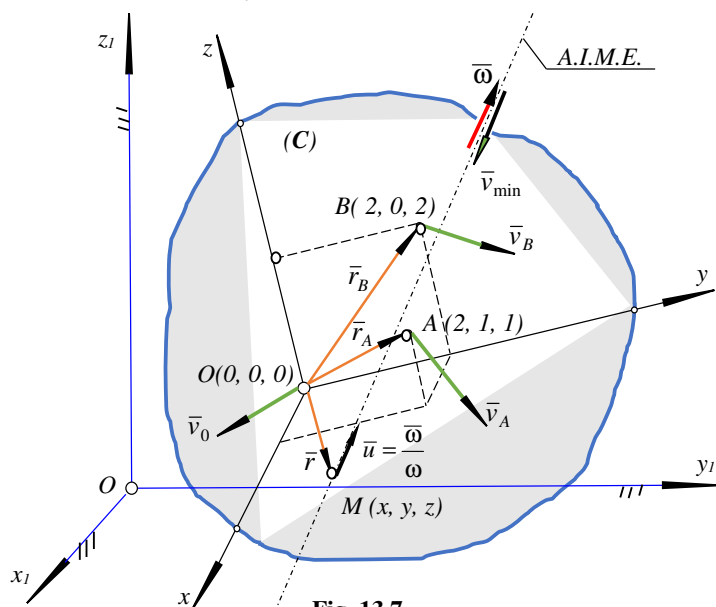
Se cunosc la un moment dat, vitezele: $\vec{v}_0 = 3\vec{i} - 2\vec{j}$, $\vec{v}_A = 2\vec{i} + 4\vec{j} - 4\vec{k}$ și $\vec{v}_B = 5\vec{i} + 6\vec{j} - 2\vec{k}$ a trei puncte $O(0, 0, 0)$, $A(2, 1, 1)$ și $B(2, 0, 2)$ aparținând solidului rigid. Se cer să se determine elementele $\vec{\omega}$ și \vec{v}_{\min} ale torsorului cinematic de reducere în raport cu punctele axei instantanee a mișcării elicoidale, precum și ecuațiile acestei axe (fig. 13.7).

Soluție:

Elementele torsorului cinematic de reducere a vectorului viteză instantanee în raport cu punctele axei instantanee a mișcării elicoidale sunt viteza unghiulară instantanee $\vec{\omega}$ și viteza minimă \vec{v}_{\min} , suportul lor fiind această axă.

Viteza unui punct oarecare aparținând rigidului se determină cu relația:

$$\vec{v} = \vec{v}_0 + \vec{\omega} \times \vec{r} \quad (1)$$



Proiectând relația vectorială (1) pe axele sistemului de referință mobil, se obțin:

$$\begin{aligned}v_x &= v_{0x} + \omega_y z - \omega_z y \\v_y &= v_{0y} + \omega_z x - \omega_x z \\v_z &= v_{0z} + \omega_x y - \omega_y x\end{aligned}\quad (2)$$

Relațiile scalare (2) aplicate pentru punctele A și O , respectiv B și O , devin:

$$\begin{aligned}2 &= 3 + \omega_y \cdot 1 - \omega_z \cdot 1 & 5 &= 3 + \omega_y \cdot 2 - \omega_z \cdot 0 \\4 &= -2 + \omega_z \cdot 2 - \omega_x \cdot 1 & 6 &= -2 + \omega_z \cdot 2 - \omega_x \cdot 2 \\-4 &= 0 + \omega_x \cdot 1 - \omega_y \cdot 2 & -2 &= 0 + \omega_x \cdot 0 - \omega_y \cdot 2.\end{aligned}\quad (3)$$

Rezolvând sistemul (3) în necunoscutele ω_x , ω_y , ω_z , rezultă:

$$\begin{aligned}\omega_x &= -2 \text{ rad/s}, & \omega_y &= 1 \text{ rad/s}, & \omega_z &= 2 \text{ rad/s}, \\ \bar{\omega} &= -2\bar{i} + \bar{j} + 2\bar{k}.\end{aligned}\quad (4)$$

Modulul vitezei unghiulare instantanee $\bar{\omega}$, luând în considerare (4), este:

$$\omega = \sqrt{\omega_x^2 + \omega_y^2 + \omega_z^2} = 3 \text{ rad/s}.\quad (5)$$

Viteza minimă \bar{v}_{\min} se determină cu relația (13.10) și anume $\bar{v}_{\min} = \frac{\bar{\omega} \cdot \bar{v}}{\omega}$,

relație în care $\bar{u} = \frac{\bar{\omega}}{\omega}$ este versorul axei instantanee a mișcării elicoidale, iar \bar{v} este viteza instantanee a unui punct aparținând rigidului (de exemplu, viteza punctului A). Astfel,

$$\begin{aligned}\bar{v}_{\min} &= \frac{\bar{\omega} \cdot \bar{v}_A}{\omega^2} \bar{\omega} = \frac{-2 \cdot 2 + 1 \cdot 4 + 2 \cdot (-4)}{9} (-2\bar{i} + \bar{j} + 2\bar{k}) \\ \bar{v}_{\min} &= -\frac{8}{9} (-2\bar{i} + \bar{j} + 2\bar{k}) = -\frac{8}{9} \bar{\omega}.\end{aligned}\quad (6)$$

În conformitate cu (13.13), ecuația axei instantanee a mișcării elicoidale este:

$$\frac{x - \frac{\omega_y v_{0z} - \omega_z v_{0y}}{\omega^2}}{\omega_x} = \frac{y - \frac{\omega_z v_{0x} - \omega_x v_{0z}}{\omega^2}}{\omega_y} = \frac{z - \frac{\omega_x v_{0y} - \omega_y v_{0x}}{\omega^2}}{\omega_z}.\quad (7)$$

Introducând (4), (5) și componentele vitezei \bar{v}_0 în (7), rezultă:

$$\frac{x + \frac{4}{9}}{-2} = y - \frac{2}{3} = \frac{z - \frac{1}{9}}{2},\quad (8)$$

sistem din care se obține succesiv:

$$x + 2y = \frac{8}{9}; \quad 2y - z = \frac{11}{9}. \quad (9)$$

Relațiile (9) reprezintă ecuațiile a două plane care prin intersecție dau *axa instantanee* a mișcării elicoidale.

13.2.6. În mișcarea generală a unui solid rigid să se arate că, există un punct a cărui accelerație este nulă. Distribuția accelerațiilor este aceeași ca și cum solidul s-ar roti în jurul acestui punct cu viteza unghiulară $\bar{\omega}$ și accelerația unghiulară $\bar{\varepsilon} = \dot{\bar{\omega}}$.

Soluție:

Expresia accelerației unui punct M ($\overline{OM} = \bar{r}$) aparținând unui solid aflat în mișcare generală este, conform cu 13.15:

$$\bar{a} = \bar{a}_0 + \bar{\varepsilon} \times \bar{r} + \bar{\omega} \times (\bar{\omega} \times \bar{r}). \quad (1)$$

Dacă P este punctul de accelerație nulă, determinarea acestui punct presupune rezolvarea ecuației vectoriale în necunoscuta \bar{r}_p scrisă sub forma:

$$\bar{a}_0 + \bar{\varepsilon} \times \bar{r}_p + \bar{\omega} \times (\bar{\omega} \times \bar{r}_p) = 0. \quad (2)$$

Dacă se consideră vectorul \bar{r}_p descompus după vectorii necoplanari și concurenți $\bar{\omega}$, $\bar{\varepsilon}$ și $\bar{\omega} \times \bar{\varepsilon}$, expresia lui poate fi scrisă astfel:

$$\bar{r}_p = \lambda_1 \bar{\omega} + \lambda_2 \bar{\varepsilon} + \lambda_3 \bar{\omega} \times \bar{\varepsilon}. \quad (3)$$

Înlocuind \bar{r}_p în ecuația vectorială (2) și proiectând această relație pe direcțiile vectorilor $\bar{\omega}$, $\bar{\varepsilon}$ și $\bar{\omega} \times \bar{\varepsilon}$, se obține sistemul:

$$\begin{aligned}
(\bar{\omega} \cdot \bar{\varepsilon})\lambda_2 + \varepsilon^2\lambda_3 &= -a_0^1 \\
\omega^2\lambda_2 + (\bar{\omega} \cdot \bar{\varepsilon})\lambda_3 &= -a_0^2 \\
\lambda_1 + \omega^2\lambda_3 &= -a_0^3.
\end{aligned} \tag{4}$$

În sistemul (4) a_0^1, a_0^2 și a_0^3 sunt scalarii rezultați din descompunerea vectorului \bar{a}_0 după direcțiile vectorilor $\bar{\omega}$, $\bar{\varepsilon}$ și $\bar{\omega} \times \bar{\varepsilon}$.

Sistemul (4) este un sistem linear neomogen în necunoscutele $\lambda_1, \lambda_2, \lambda_3$.

Pentru ca sistemul (4) să fie compatibil, trebuie ca determinantul coeficienților necunoscutelor să fie diferit de zero:

$$\Delta = \begin{vmatrix} 0 & \bar{\omega} \cdot \bar{\varepsilon} & \varepsilon^2 \\ 0 & \omega^2 & \bar{\omega} \cdot \bar{\varepsilon} \\ 1 & 0 & \omega^2 \end{vmatrix} = (\bar{\omega} \cdot \bar{\varepsilon})^2 - \omega^2 \varepsilon^2 = -(\bar{\omega} \times \bar{\varepsilon})^2 \neq 0 \tag{5}$$

Întrucât, la mișcarea generală viteza unghiulară $\bar{\omega}$ variază ca modul și direcție, accelerația unghiulară $\bar{\varepsilon}$ nu poate fi coliniară cu $\bar{\omega}$. Astfel, determinantul Δ este diferit de zero și în consecință, sistemul (4) este compatibil având o soluție unică dată de valorile necunoscutelor scalare $\lambda_1, \lambda_2, \lambda_3$. Introducând aceste valori în (3), se obține vectorul de poziție \bar{r}_p al punctului P a cărui accelerație instantanee este nulă.

Raportând distribuția de accelerații din cazul mișcării generale la punctul P de accelerație nulă, punct numit pol al accelerațiilor, se obține o distribuție de accelerații specifică mișcării sferice, ca și când rigidul ar avea ca punct fix polul accelerațiilor.

Accelerația unui punct oarecare M al rigidului se poate exprima în acest caz astfel:

$$\bar{a} = \bar{\varepsilon} \times \overline{PM} + \bar{\omega} \times (\bar{\omega} \times \overline{PM}). \tag{6}$$

13.3 Probleme propuse

13.3.1. Să se determine sistemul de ecuații scalare din care se deduc la un moment dat coordonatele x , y și z ale polului accelerațiilor în cazul mișcării generale a solidului rigid.

Răspuns:

$$\begin{aligned} (\omega_y^2 + \omega_z^2)x - (\omega_x\omega_y - \varepsilon_z)y - (\omega_z\omega_x + \varepsilon_y)z &= a_{0x} \\ -(\omega_x\omega_y + \varepsilon_z)x + (\omega_z^2 + \omega_x^2)y - (\omega_y\omega_z - \varepsilon_x)z &= a_{0y} \\ -(\omega_z\omega_x - \varepsilon_y)x - (\omega_z\omega_y + \varepsilon_x)y + (\omega_x^2 + \omega_y^2)z &= a_{0z} \end{aligned}$$

13.3.2. Să se determine locul geometric al punctelor aparținând unui rigid în mișcare generală pentru care accelerația este perpendiculară pe axa instantanee a mișcării elicoidale (fig. 13.8).

Răspuns:

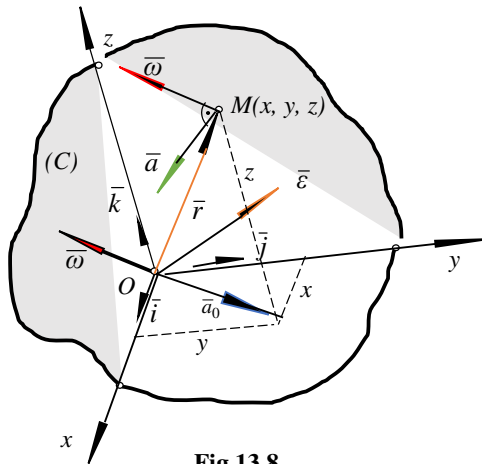


Fig.13.8

$$(\varepsilon_z\omega_y - \varepsilon_y\omega_z)x + (\varepsilon_x\omega_z - \varepsilon_z\omega_x)y + (\varepsilon_y\omega_x - \varepsilon_x\omega_y)z + (a_{0x}\omega_x + a_{0y}\omega_y + a_{0z}\omega_z) = 0$$

13.3.3. Să se determine locul geometric al punctelor aparținând unui solid rigid în mișcare generală pentru care accelerația este paralelă cu axa instantanee a mișcării elicoidale. Se presupune că, axa Oz a sistemului $Oxyz$ coincide cu suportul vitezei unghiulare $\bar{\omega}$ (fig. 13.9.)

Răspuns:

$$\begin{cases} \omega^2 x + \varepsilon_z y - \varepsilon_y z = 0 \\ \varepsilon_z x - \omega^2 y + \varepsilon_x z = 0. \end{cases}$$

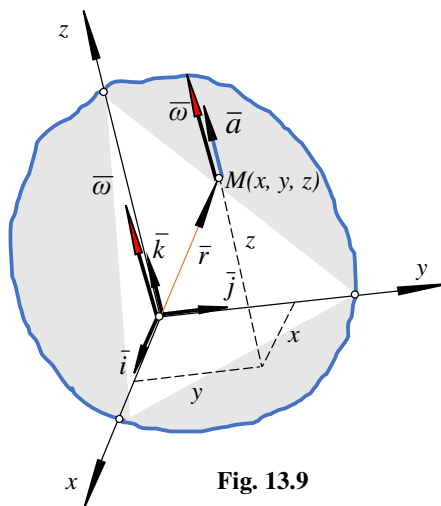


Fig. 13.9

13.3.4. Se presupune un solid rigid aflat în mișcare generală la care se cunosc la un moment dat parametrii cinematici: $\bar{a}_0, \bar{\omega}, \bar{\varepsilon}$. Să se determine locul geometric al punctelor rigidului care la momentul considerat au accelerațiile perpendiculare pe suportul vectorului accelerație unghiulară.

Răspuns: Ecuația locului geometric devine:

$$\bar{a}_0 \cdot \bar{\varepsilon} + (\bar{\omega} \cdot \bar{r})(\bar{\omega} \cdot \bar{\varepsilon}) - \omega^2 \bar{r} \cdot \bar{\varepsilon} = 0.$$

13.3.5. În cazul unui solid rigid care efectuează o mișcare generală, să se determine locul geometric al punctelor rigidului care au accelerația \bar{a} paralelă cu vectorul accelerație unghiulară $\bar{\varepsilon}$. Determinarea respectivului loc geometric se va face în ipoteza ca axa Oz a sistemului de referință mobil solidar cu rigidul, este suprapusă peste suportul vectorului $\bar{\varepsilon}$.

Răspuns: Locul geometric este o dreaptă de ecuații:

$$\begin{cases} (\varepsilon + \omega_x \omega_y)x - (\omega_z^2 + \omega_x^2)y + \omega_y \omega_z z - a_{0y} = 0 \\ (\omega_y^2 + \omega_z^2)x + (\varepsilon - \omega_x \omega_y)y - \omega_z \omega_x z - a_{0x} = 0 \end{cases}$$

B. MIȘCAREA ÎN RAPORT CU UN SISTEM DE REFERINȚĂ MOBIL

14. MIȘCAREA RELATIVĂ ^[9]

14.1 Mișcarea relativă a punctului

14.1.1 Considerații teoretice

14.1.1.1 Introducere. Definiții

În capitolele precedente s-a analizat mișcarea unui punct material și a unui solid rigid în raport cu un sistem de referință presupus fix. În tehnică se întâlnesc frecvent cazuri în care mișcarea trebuie raportată la un sistem de referință care se află în mișcare față de un sistem fix. În aceste cazuri, se pune problema să se determine parametrii cinematici ce caracterizează mișcarea punctului sau a solidului rigid în raport cu sistemul de referință fix, atunci când se cunosc parametrii cinematici ce caracterizează mișcarea punctului sau a rigidului în raport cu sistemul de referință mobil și parametrii cinematici ce caracterizează mișcarea sistemului de referință mobil în raport cu sistemul fix. Astfel, se analizează mișcarea relativă a unui punct material sau a unui solid rigid.

În cadrul *mișcării relative a punctului* intervin următoarele noțiuni importante:

a) *mișcarea absolută* care este mișcarea punctului în raport cu sistemul de referință fix. În această mișcare traiectoria, viteza și accelerația punctului se numesc *traiectorie, viteză și accelerație absolută* $(\Gamma_a, \bar{v}_a, \bar{a}_a)$;

b) *mișcarea relativă* definită ca mișcarea punctului în raport cu sistemul de referință mobil. În această mișcare traiectoria, viteza și accelerația punctului se numesc *traiectorie, viteză și accelerație relativă* $(\Gamma_r, \bar{v}_r, \bar{a}_r)$;

c) *mișcarea de transport* este mișcarea punctului legat invariabil de sistemul de referință mobil în raport cu sistemul de referință fix, care în momentul respectiv coincide cu punctul a cărui mișcare se studiază. De fapt, această mișcare îi rămâne punctului după suspendarea mișcării relative. În această mișcare traiectoria, viteza și accelerația punctului se numesc *traiectorie, viteză și accelerație de transport* $(\Gamma_t, \bar{v}_t, \bar{a}_t)$.

Fie M un punct în mișcare și trei sisteme carteziane de referință, respectiv sistemul fix $O_1x_1y_1z_1$, sistemul mobil $Oxyz$ care efectuează o mișcare generală

oarecare și sistemul mobil $Ox'y'z'$, care efectuează o mișcare de translație astfel încât, axele sale rămân permanent paralele cu axele sistemului fix (fig. 14.1).

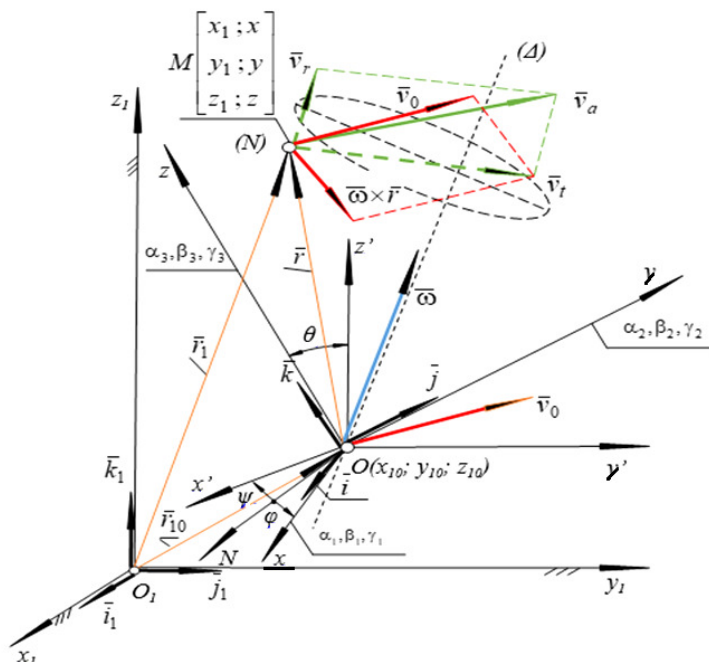


Fig. 14.1

În studiul ce urmează se notează:

$\bar{r}(x, y, z)$ – vectorul de poziție al punctului M în raport cu originea O a sistemului de referință mobil;

$\bar{r}_{10}(x_{10}, y_{10}, z_{10})$ – vectorul de poziție al punctului O în raport cu originea O_i a sistemului de referință fix;

$\bar{r}_1(x_1, y_1, z_1)$ – vectorul de poziție al punctului M în raport cu originea O_i a sistemului de referință fix;

$\alpha_i, \beta_i, \gamma_i$ ($i = 1, 2, 3$) – cosinusurile directoare ale axelor sistemului mobil în raport cu axele sistemului fix;

ψ, φ, θ – unghiurile lui Euler corespunzătoare sistemelor carteziene $Oxyz$ și $O_ix_1y_1z_1$;

N – punctul solidar legat de sistemul mobil $Oxyz$, care coincide cu punctul M la momentul considerat (t).

Între vectorii de poziție \bar{r}_1, \bar{r}_{10} și \bar{r} , conform figurii 14.1, există relația:

$$\bar{r}_1 = \bar{r}_{10} + \bar{r}, \quad (14.1)$$

Relația (14.1) proiectată pe axele sistemului cartezian fix $O_1x_1y_1z_1$ conduce la:

$$\begin{aligned} x_1 &= x_{10} + \alpha_1 x + \alpha_2 y + \alpha_3 z, \\ y_1 &= y_{10} + \beta_1 x + \beta_2 y + \beta_3 z, \\ z_1 &= z_{10} + \gamma_1 x + \gamma_2 y + \gamma_3 z. \end{aligned} \quad (14.2)$$

Se presupune că, se cunosc *ecuațiile parametrice ale mișcării relative a punctului M*:

$$x = x(t); \quad y = y(t); \quad z = z(t), \quad (14.3)$$

precum și ecuațiile parametrice ale mișcării de transport a sistemului mobil $Oxyz$:

$$\begin{aligned} x_{10} &= x_{10}(t); \quad y_{10} = y_{10}(t); \quad z_{10} = z_{10}(t) \\ \psi &= \psi(t); \quad \varphi = \varphi(t); \quad \theta = \theta(t). \end{aligned} \quad (14.4)$$

În conformitate cu relațiile (14.3) stabilite în paragraful 14.1.1, se pot exprima cosinusurile directe $\alpha_i, \beta_i, \gamma_i$ ($i=1,2,3$) ale axelor sistemului de referință mobil $Oxyz$ în raport cu sistemul de referință fix $O_1x_1y_1z_1$ în funcție de unghiurile lui Euler. Introducând ecuațiile funcție de timp $\psi(t), \varphi(t), \theta(t)$ din (14.4) în relațiile (14.3), se obțin funcțiile de timp $\alpha_i(t); \beta_i(t); \gamma_i(t), (i=1,2,3)$, care împreună cu funcțiile de timp $x_{10}(t), y_{10}(t), z_{10}(t)$ din relațiile (14.4) și $x(t), y(t), z(t)$ din (14.3), se înlocuiesc în (14.2) pentru ca, în final, să se obțină *ecuațiile parametrice ale mișcării absolute ale punctului M*:

$$x_1 = x_1(t); \quad y_1 = y_1(t); \quad z_1 = z_1(t). \quad (14.5)$$

Relațiile (14.2), respectiv (14.3), în ipoteza că $x = \text{const.}, y = \text{const.}, z = \text{const.}$ reprezintă ecuațiile parametrice ale traiectoriei punctului N presupus a fi legat invariabil de sistemul de referință mobil și care coincide la momentul respectiv cu punctul M , deci sunt *ecuațiile parametrice ale traiectoriei de transport* (Γ_t).

14.1.1.2 Compunerea vitezelor

În figura 14.1 s-a reprezentat punctul caracteristic M și cele două sisteme de referință carteziene, respectiv $O_1x_1y_1z_1$ și $Oxyz$. Câmpul vitezelor corespunzătoare mișcării de transport este determinat prin viteza \bar{v}_0 a polului de referință mobil și caracterizează mișcarea de translație, precum și prin vectorul viteză unghiulară $\bar{\omega}$, care caracterizează componenta de rotație a mișcării de transport.

Legea de compunere a vitezelor în cazul mișcării relative a punctului se obține prin derivarea relației vectoriale (14.1) în raport cu timpul, având în vedere că:

$$\bar{r} = x\bar{i} + y\bar{j} + z\bar{k}. \quad (14.6)$$

Derivata vectorului de poziție \bar{r} , provenind din variația acestuia față de reperul fix $O_1x_1y_1z_1$, are expresia:

$$\frac{d\bar{r}}{dt} = \bar{\omega} \times \bar{r} + \frac{\partial \bar{r}}{\partial t}. \quad (14.7)$$

Primul membru din relația (14.7) reprezintă *derivată totală* în raport cu timpul a vectorului \bar{r} și se numește *derivată absolută*, în timp ce ultimul termen notat cu $\frac{\partial \bar{r}}{\partial t} = \dot{x}\bar{i} + \dot{y}\bar{j} + \dot{z}\bar{k}$, poartă numele de *derivată locală* sau *derivată relativă* a vectorului \bar{r} . Se poate spune că,

$$\frac{\partial \bar{r}}{\partial t} = \dot{x}\bar{i} + \dot{y}\bar{j} + \dot{z}\bar{k}$$

exprimă viteza absolută a punctului M , în ipoteza că polul O ar fi fix și, deci, sistemul $Oxyz$ ar executa, în acest caz, numai componenta de rotație a mișcării de transport cu viteza unghiulară $\bar{\omega}$.

În urma derivării relației (14.1), se obține:

$$\bar{v}_a = \bar{v}_0 + \bar{\omega} \times \bar{r} + \frac{\partial \bar{r}}{\partial t}. \quad (14.8)$$

În relația (14.8) vectorii $\bar{v}_0 + \bar{\omega} \times \bar{r} = \bar{v}_t$ reprezintă *viteza de transport* a punctului N , iar $\frac{\partial \bar{r}}{\partial t} = \bar{v}_r$ reprezintă *viteza relativă* a punctului M .

Astfel, relația (14.8) de compunere a vitezelor în cadrul mișcării relative a punctului poate fi scrisă sub forma:

$$\bar{v}_a = \bar{v}_r + \bar{v}_t. \quad (14.9)$$

Conform cu (14.9), în mișcarea relativă a punctului material *viteza absolută a unui punct material este egală cu suma vectorială dintre viteza relativă și viteza de transport.*

14.1.1.3 Compunerea accelerațiilor

În figura 14.2 s-au notat cu $\bar{v}_0, \bar{\omega}, \bar{a}_0, \bar{\varepsilon}$ parametrii cinematici ce definesc câmpul vitezelor și al accelerațiilor corespunzătoare mișcării de transport a sistemului $Oxyz$.

Dacă se derivează vectorial în raport cu timpul relația (14.8) și se ține seama că vectorii \bar{r} și $\frac{\partial \bar{r}}{\partial t}$ sunt variabili ca modul și direcție, deci li se aplică regula de derivare (14.7), se obține:

$$\bar{a}_a = \frac{\partial^2 \bar{r}}{\partial t^2} + \bar{a}_0 + \bar{\varepsilon} \times \bar{r} + \bar{\omega} \times (\bar{\omega} \times \bar{r}) + 2\bar{\omega} \times \frac{\partial \bar{r}}{\partial t}. \quad (14.10)$$

În relația (14.10), vectorul $\frac{\partial^2 \bar{r}}{\partial t^2} = \bar{a}_r$ - reprezintă derivata locală (relativă) a vectorului viteză relativă \bar{v}_r , deci este **accelerația relativă** a punctului M ;

- expresia vectorială:

$$\bar{a}_0 + \bar{\varepsilon} \times \bar{r} + \bar{\omega} \times (\bar{\omega} \times \bar{r}) = \bar{a}_t \quad (14.11)$$

reprezintă accelerația punctului N legat invariabil de sistemul de referință mobil și care coincide la momentul considerat cu punctul M , deci este **accelerația de transport**;

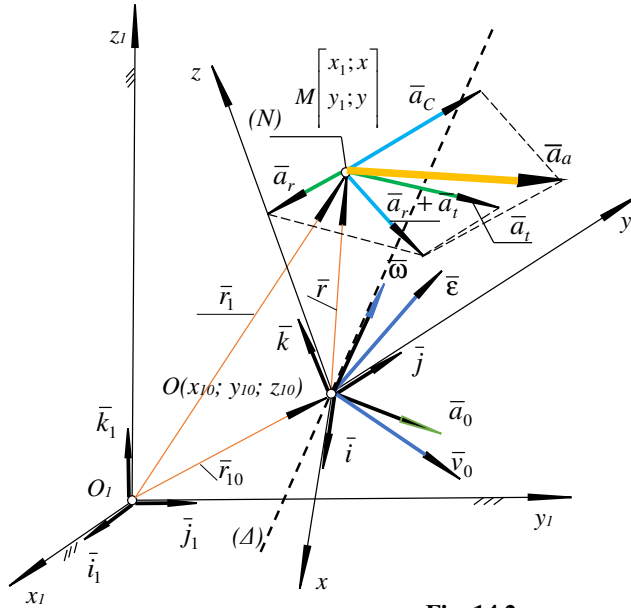


Fig. 14.2

- expresia vectorială (14.12) poartă numele de **acelerație complementară** sau **acelerație Coriolis**.

$$2\bar{\omega} \times \frac{\partial \bar{r}}{\partial t} = 2\bar{\omega} \times \bar{v}_r = \bar{a}_c . \quad (14.12)$$

Cu aceste precizări relația (14.10) ajunge la forma:

$$\bar{a}_a = \bar{a}_r + \bar{a}_t + \bar{a}_c . \quad (14.13)$$

Conform cu (14.13), *acelerația absolută a unui punct este egală cu suma vectorială dintre accelerația relativă, accelerația de transport și accelerația Coriolis*. Expresia (14.13) reprezentată grafic în figura 14.2 reprezintă *teorema lui Coriolis sau legea de compunere a accelerațiilor în mișcarea relativă a punctului*.

Accelerația Coriolis are, conform cu (14.12), direcția perpendiculară pe planul format de vectorii $\bar{\omega}$ și \bar{v}_r , sensul dat de regula produsului vectorial, iar modulul:

$$|\bar{a}_c| = 2\omega v_r \sin(\widehat{\bar{\omega}, \bar{v}_r}) . \quad (14.14)$$

De menționat că, accelerația complementară \bar{a}_c **se anulează în trei cazuri**:

- $\bar{\omega} = 0$ - În acest caz mișcarea de transport a sistemului mobil $Oxyz$ se reduce la o mișcare de translație.
- $\bar{v}_r = 0$ - În acest caz, punctul M este invariabil legat de sistemul $Oxyz$, deci nu există mișcare relativă.
- $\bar{\omega} = \lambda \bar{v}_r$ - În acest caz viteza relativă este paralelă cu vectorul viteză unghiulară $\bar{\omega}$.

14.2 MIȘCAREA RELATIVĂ A SOLIDULUI RIGID

14.2.1 Considerații teoretice

În cadrul cinematicii rigidului s-a studiat mișcarea solidului rigid în raport cu un sistem de referință fix, analizând distribuția de viteze și accelerații pentru mișcările particulare și generală a rigidului. În cele ce urmează se analizează mișcarea solidului rigid raportat la un sistem de referință mobil.

Fie T_0 un sistem de referință considerat fix și T_1, T_2, \dots, T_n , sunt "n" sisteme de referință mobile dintre care sistemul T_n este solidar cu solidul rigid (C). Cunoscând

mişcarea solidului rigid în raport cu sistemul de referință mobil T_{n-1} , precum și mișcările sistemele de referință mobile: T_{n-1} față de T_{n-2} , T_{n-2} față de T_{n-3} , ..., T_1 față de T_0 , se cer să se determine legile de compunere a vitezelor și accelerațiilor ale solidului rigid în raport cu sistemul de referință presupus fix.

Pentru a determina legile de compunere a vitezelor și accelerațiilor în cadrul mișcării relative a solidului rigid, se va trata la început cazul când există numai două sisteme de referință mobile și unul fix, urmând apoi a se generaliza rezultatele pentru cazul a "n" sisteme de referință.

În figura 14.3 a fost reprezentat rigidul (C) care execută o mișcare generală și trei sisteme de referință carteziene: sistemul fix $T_0(O_0 x_0 y_0 z_0)$, sistemul $T_1(O_1 x_1 y_1 z_1)$ care execută o mișcare generală independentă de mișcarea solidului rigid și sistemul mobil $T_2(O_2 x_2 y_2 z_2)$ legat invariabil de rigidul (C).

S-au notat prin $(\bar{v}_{10}, \bar{\omega}_{10})$, respectiv $(\bar{a}_{10}, \bar{\epsilon}_{10})$, parametrii cinematici care determină câmpul vitezelor și al accelerațiilor în cazul mișcării de transport a sistemului (T_1) față de sistemul (T_0) și cu $(\bar{v}_{21}, \bar{\omega}_{21})$, respectiv $(\bar{a}_{21}, \bar{\epsilon}_{21})$, parametrii cinematici care determină câmpul vitezelor și al accelerațiilor în cazul mișcării relative generale a reperului (T_2) și al rigidului (C) față de sistemul (T_1).

Fie \bar{r}_2 vectorul de poziție al unui punct M al rigidului în raport cu originea O_2 a sistemului (T_2) și \bar{r}_1 vectorul de poziție al unui punct N legat invariabil de sistemul de referință mobil (T_1), care coincide cu punctul M la momentul considerat (t), în raport cu originea O_1 a sistemului de referință (T_1).

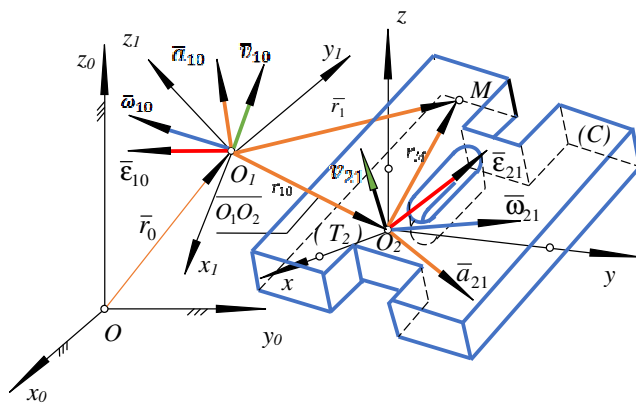


Fig. 14.3

14.2.2 Compunerea vitezelor

Solidul rigid (C), materializat printr-un obiect manipulat de către un robot, execută o mișcare relativă generală în raport cu sistemul (T_1), caracterizată de vectorii \bar{v}_{21} , $\bar{\omega}_{21}$, prin prisma vitezelor, astfel încât viteza relativă a punctului M aparținând rigidului, în baza relației (14.6), are expresia:

$$\bar{v}_r = \bar{v}_{21} + \bar{\omega}_{21} \times \bar{r}_2 . \quad (14.15)$$

Considerând punctul N legat invariabil de sistemul (T_1), care coincide la momentul (t) cu punctul M , viteza de transport \bar{v}_t a punctului N provenită din mișcarea generală de transport a sistemului (T_1) față de sistemul (T_0), are conform cu (14.6), expresia:

$$\bar{v}_t = \bar{v}_{10} + \bar{\omega}_{10} \times \bar{r}_1 . \quad (14.16)$$

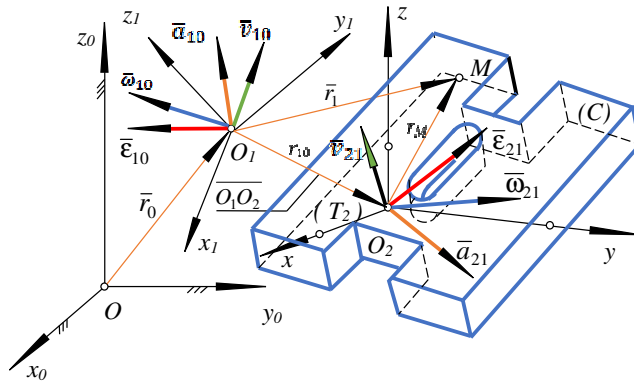


Fig. 14.3

Folosind legea de compunere a vitezelor (14.9) din cazul mișcării relative a punctului, rezultă *legea de compunere a vitezelor în mișcarea absolută a rigidului față de reperul fix (T_0)*,

$$\bar{v}_a = \bar{v}_{10} + \bar{v}_{21} + \bar{\omega}_{10} \times \bar{r}_1 + \bar{\omega}_{21} \times \bar{r}_2 \quad (14.17)$$

$$\bar{v}_a = \sum_{i=1}^2 \bar{v}_{i,i-1} + \sum_{i=1}^2 \bar{\omega}_{i,i-1} \times \bar{r}_i . \quad (14.18)$$

Relația vitezelor (14.18) poate fi generalizată pentru cazul unui număr de n sisteme mobile (T_i) ($i=1, 2, \dots, n$), dintre care sistemul (T_n) este solidar legat de solidul rigid (C) (fig. 14.4). În figură se notează cu $(\bar{v}_{i,i-1}, \bar{\omega}_{i,i-1})$ parametrii cinematici ce caracterizează distribuția vitezelor în cazul mișcării sistemului (T_i) față de sistemul (T_{i-1}) ($i=1, 2, \dots, n$). Viteza relativă a punctului M aparținând rigidului (C) , conform cu (14.6), provenită din mișcarea generală a rigidului față de sistemul (T_{n-1}) , are expresia:

$$\bar{v}_r = \bar{v}_{n,n-1} + \bar{\omega}_{n,n-1} \times \bar{r}_n. \quad (14.19)$$

Exprimând viteza față de sistemul de referință fix (T_0) a unui punct N solidar legat de sistemul de referință (T_{n-1}) , care în momentul considerat (t) coincide cu punctul M , se obține *legea de distribuție a vitezelor de transport*.

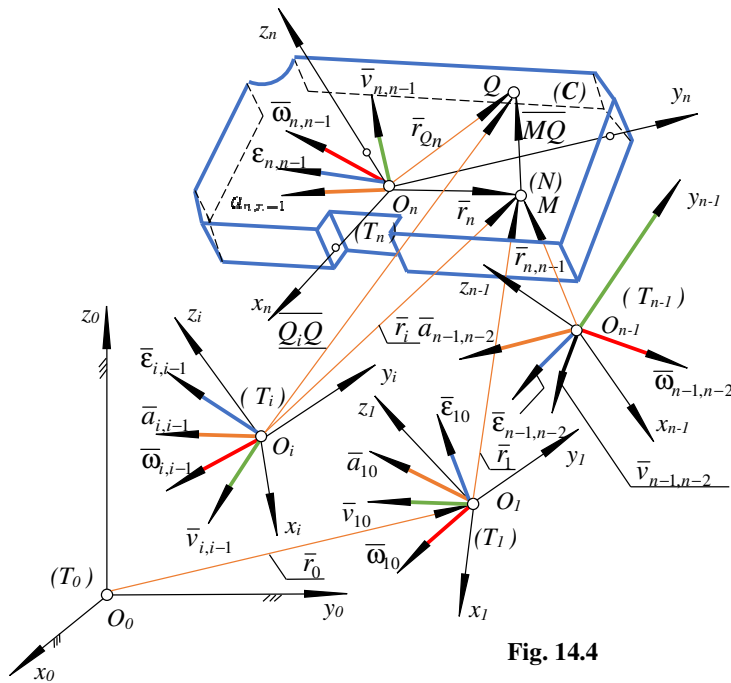


Fig. 14.4

Această lege de distribuție ar reprezenta viteza absolută a punctului M în cazul existenței unui număr de “ $n-1$ ” sisteme mobile (T_i) ($i=1, 2, 3, \dots, n-1$), astfel că, în baza relației (14.18), se poate scrie:

$$\bar{v}_t = \sum_{i=1}^{n-1} \bar{v}_{i,i-1} + \sum_{i=1}^{n-1} \bar{\omega}_{i,i-1} \times \bar{r}_i . \quad (14.20)$$

Introducând (14.19) și (14.20) în (14.9), se obține *legea de compunere a vitezelor în cazul mișcării relative a solidului rigid (C)*:

$$\bar{v}_a = \sum_{i=1}^n \bar{v}_{i,i-1} + \sum_{i=1}^n \bar{\omega}_{i,i-1} \times \bar{r}_i , \quad (14.21)$$

relație care exprimă *viteza absolută a unui punct oarecare M* aparținând rigidului.

Utilizând relația vectorială (14.7) se poate determina *viteza unghiulară absolută* $\bar{\omega}_{na}$ a rigidului (C) față de sistemul fix (T_0). Astfel, se poate scrie:

$$\bar{\omega}_{na} = \sum_{i=1}^n \bar{\omega}_{i,i-1} . \quad (14.22)$$

Conform cu (14.22), *viteza unghiulară absolută rezultată din mișcarea rigidului față de sistemul fix, este suma vectorială a vitezelor unghiulare relative ale mișcărilor componente.*

14.2.3 Compunerea accelerațiilor

În figura 14.3 s-au notat cu $(\bar{a}_{21}, \bar{\omega}_{21}, \bar{\epsilon}_{21})$ parametrii cinematici care determină *câmpul accelerațiilor în cazul mișcării generale relative a sistemului (T_2) și a rigidului față de reperul (T_1)*.

Accelerația relativă \bar{a}_r a punctului M aparținând rigidului (C), în baza relației (14.14), are expresia:

$$\bar{a}_r = \bar{a}_{21} + \bar{\epsilon}_{21} \times \bar{r}_2 + \bar{\omega}_{21} \times (\bar{\omega}_{21} \times \bar{r}_2) . \quad (14.23)$$

De asemenea, în figura 14.3 s-au notat cu $(\bar{a}_{10}, \bar{\omega}_{10}, \bar{\epsilon}_{10})$ parametrii cinematici care determină *câmpul accelerațiilor în cazul mișcării de transport a sistemului (T_1) față de sistemul (T_0)*.

Accelerația de transport \bar{a}_t a punctului N solidar cu sistemul (T_1), provenită din mișcarea generală de transport a acestuia față de sistemul (T_0) are, în baza aceleiași relații (14.14), expresia:

$$\bar{a}_t = \bar{a}_{10} + \bar{\epsilon}_{10} \times \bar{r}_1 + \bar{\omega}_{10} \times (\bar{\omega}_{10} \times \bar{r}_1) . \quad (14.24)$$

Accelerația complementară Coriolis, în baza relațiilor (14.12) și (14.15), are expresia:

$$\bar{a}_c = 2\bar{\omega}_{10} \times (\bar{v}_{21} + \bar{\omega}_{21} \times \bar{r}_2). \quad (14.25)$$

Folosind legea de compunere a accelerațiilor (14.13) din cazul mișcării relative a punctului, rezultă legea de compunere a accelerațiilor în mișcarea absolută a rigidului față de sistemul fix (T_0):

$$\begin{aligned} \bar{a}_a = \bar{a}_{10} + \bar{a}_{21} + \bar{\epsilon}_{10} \times \bar{r}_1 + \bar{\epsilon}_{21} \times \bar{r}_2 + \bar{\omega}_{10} \times (\bar{\omega}_{10} \times \bar{r}_1) + \\ + \bar{\omega}_{21} \times (\bar{\omega}_{21} \times \bar{r}_2) + 2\bar{\omega}_{10} \times (\bar{v}_{21} + \bar{\omega}_{21} \times \bar{r}_2) \end{aligned} \quad (14.26)$$

sau, sub o formă generală:

$$\bar{a}_a = \sum_{i=1}^2 [\bar{a}_{i,i-1} + \bar{\epsilon}_{i,i-1} \times \bar{r}_i + \bar{\omega}_{i,i-1} \times (\bar{\omega}_{i,i-1} \times \bar{r}_i) + 2\bar{\omega}_{i-1,i-2} \times (\bar{v}_{i,i-1} + \bar{\omega}_{i,i-1} \times \bar{r}_i)]. \quad (14.27)$$

Relația de compunere a accelerațiilor (14.27) poate fi generalizată pentru cazul a “ n ” sisteme mobile (T_i) ($i=1, 2, \dots, n$), dintre care ultimul (T_n) este solidar legat de rigidul (C), aflat în mișcare generală (fig. 14.4). Se notează cu $\bar{a}_{i,i-1}, \bar{\omega}_{i,i-1}, \bar{\epsilon}_{i,i-1}$ parametrii cinematici care determină câmpul accelerațiilor în cazul mișcării sistemului (T_i) față de sistemul (T_{i-1}). Accelerația relativă a punctului M aparținând rigidului (C), provenită din mișcarea acestuia față de sistemul (T_{n-1}) are, conform cu (14.14), expresia:

$$\bar{a}_r = \bar{a}_{n,n-1} + \bar{\epsilon}_{n,n-1} \times \bar{r}_n + \bar{\omega}_{n,n-1} \times (\bar{\omega}_{n,n-1} \times \bar{r}_n). \quad (14.28)$$

Accelerația de transport \bar{a}_t a punctului N , solidar legat de sistemul (T_{n-1}), provenită din mișcarea de transport a acestuia față de sistemul (T_0), se scrie, în baza relației (14.14), astfel:

$$\bar{a}_t = \sum_{i=1}^{n-1} [\bar{a}_{i,i-1} + \bar{\epsilon}_{i,i-1} \times \bar{r}_i + \bar{\omega}_{i,i-1} \times (\bar{\omega}_{i,i-1} \times \bar{r}_i)] + 2 \sum_{j=1}^{n-2} \sum_{i=j+1}^{n-1} \bar{\omega}_{j,j-1} \times (\bar{v}_{i,i-1} + \bar{\omega}_{i,i-1} \times \bar{r}_i). \quad (14.29)$$

Această lege de distribuție a accelerațiilor ar reprezenta accelerația absolută a punctului M în cazul existenței unui număr de “ $n-1$ ” sisteme mobile (T_i) ($i=1, 2, \dots, n-1$).

Accelerația complementară Coriolis are, în baza relațiilor (14.12) și (14.19), expresia:

$$\bar{a}_c = 2 \left(\sum_{j=1}^{n-1} \bar{\omega}_{j,j-1} \right) \times (\bar{v}_{n,n-1} + \bar{\omega}_{n,n-1} \times \bar{r}_n). \quad (14.30)$$

În relația (14.30) viteza unghiulară de transport $\bar{\omega}_i$, corespunzătoare componentei de rotație a mișcării sistemului (T_{i-1}) față de sistemul (T_0), are expresia:

$$\bar{\omega}_i = \sum_{j=1}^{i-1} \bar{\omega}_{j,j-1} \quad (i=1,2,\dots,n). \quad (14.31)$$

Introducând (14.28), (14.29) și (14.30) în relația de compunere a accelerațiilor (14.13), se obține *legea de compunere a accelerațiilor în cazul mișcării relative a solidului rigid*:

$$\bar{a}_\alpha = \sum_{i=1}^n [\bar{a}_{i,i-1} + \bar{\varepsilon}_{i,i-1} \times \bar{r}_i + \bar{\omega}_{i,i-1} \times (\bar{\omega}_{i,i-1} \times \bar{r}_i)] + 2 \sum_{j=1}^{n-1} \sum_{i=j+1}^n \bar{\omega}_{j,j-1} \times (\bar{v}_{i,j-1} + \bar{\omega}_{i,i-1} \times \bar{r}_i). \quad (14.32)$$

Accelerația unghiulară $\bar{\varepsilon}_{na}$ corespunzătoare componentei de rotație a mișcării absolute a solidului rigid (C) și a sistemului (T_n) față de sistemul (T_0), se obține derivând în raport cu timpul expresia (14.22) a vitezei unghiulare $\bar{\omega}_{na}$, corespunzătoare aceleiași mișcări absolute. Astfel,

$$\bar{\varepsilon}_{na} = \sum_{i=1}^n \bar{\varepsilon}_{i,i-1} + \sum_{j=1}^{n-1} \sum_{i=j+1}^n \bar{\omega}_{j,j-1} \times \bar{\omega}_{i,i-1}. \quad (14.33)$$

Expresia (14.33) arată că, *accelerația unghiulară absolută se obține prin însumarea accelerațiilor unghiulare relative cu o accelerație complementară, ea fiind egală cu suma produselor vectoriale dintre vitezele unghiulare astfel ca primul factor să aibă indice inferior factorului al doilea.*

Relațiile (14.22), (14.32) și (14.33) exprimă parametrii cinematici ce caracterizează distribuția de accelerații în cazul mișcării absolute a unui rigid.

14.3 Probleme rezolvate ^[9]

14.3.1. Un punct M descrie dreapta (Δ) cu viteza constantă c , în timp ce dreapta (Δ) se rotește în planul său în jurul capătului O cu viteza unghiulară constantă ω_0 (fig. 14.5). Să se determine traiectoria, viteza și accelerația punctului M într-o poziție oarecare, precum și raza de curbură a traiectoriei.

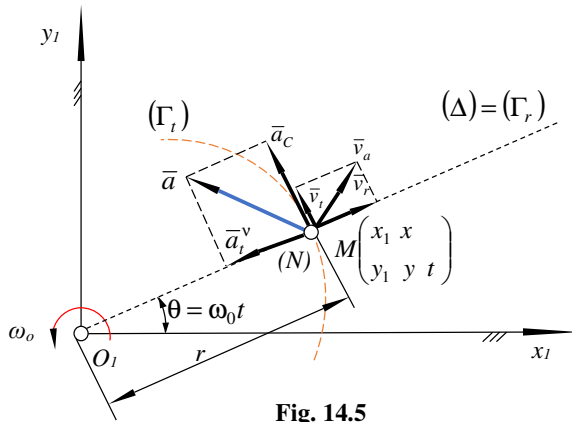


Fig. 14.5

Soluție:

a) Traiectoria punctului M

În conformitate cu enunțul problemei, se poate scrie:

$$v_r = \dot{r} = c. \quad (1)$$

Integrând (1), se obține:

$$r = ct + C_1. \quad (2)$$

Pentru condiții inițiale nule, adică $t_0 = 0$, $r_0 = 0$, rezultă constanta de integrare nulă $C = 0$.

Astfel, coordonatele polare ale punctului M sunt:

$$r = ct, \theta = \omega_0 t. \quad (3)$$

Eliminând parametrul (t) din (3), se obține ecuația polară a traiectoriei:

$$r = \frac{c}{\omega_0} \theta, \quad (4)$$

care este ecuația spiralei lui Arhimede.

b) Viteza absolută a punctului M

În conformitate cu (14.5), viteza absolută a punctului M este:

$$\bar{v}_a = \bar{v}_r + \bar{v}_t. \quad (5)$$

În relația (5) se pot face următoarele precizări, urmărind figura 14.11 și enunțul problemei:

$$\bar{v}_r = \bar{c}, \quad \bar{v}_r = c \cos \omega_0 t \bar{i}_1 + c \sin \omega_0 t \bar{j}_1, \quad v_r = c. \quad (6)$$

Viteza \bar{v}_t de transport este viteza rezultată din mișcarea de rotație împreună cu bara, a unui punct (N) aparținând barei și care la momentul (t) coincide cu punctul M , mișcare efectuată cu viteza unghiulară ω_0 . Se poate scrie astfel:

$$v_t = \omega_0 r, \quad \bar{v}_t = -\omega_0 r \sin \omega_0 t \bar{i}_1 + \omega_0 r \cos \omega_0 t \bar{j}_1. \quad (7)$$

Având în vedere (6) și (7), relația (5) devine:

$$\bar{v}_a = (c \cos \omega_0 t - \omega_0 r \sin \omega_0 t) \bar{i}_1 + (c \sin \omega_0 t + \omega_0 r \cos \omega_0 t) \bar{j}_1, \quad (8)$$

din care se obține modulul vitezei absolute, având în vedere că, $\bar{v}_r \perp \bar{v}_t$

$$v_a = \sqrt{c^2 + \omega_0^2 r^2} = c \sqrt{1 + \theta^2}. \quad (9)$$

c) Accelerația absolută a punctului M

În conformitate cu (14.13), se poate scrie:

$$\bar{a}_a = \bar{a}_r + \bar{a}_t + \bar{a}_c. \quad (10)$$

În relația (1) se fac următoarele precizări:

$$\bar{a}_r = \dot{\bar{v}}_r = 0 \quad (\bar{v}_r = \bar{c} = \overline{ct.})$$

$$\bar{a}_t = \bar{a}_t^v + \bar{a}_t^c, \quad \bar{a}_t^v = \omega_0^2 r, \quad \bar{a}_t^c - \text{are sensul de la } \overline{MO_1M}, \overline{MO_1} \parallel \bar{r}$$

$$a_t^{\bar{r}} = \varepsilon r = 0, \quad \varepsilon = \dot{\omega}_0 = 0 \quad (11)$$

$$\begin{aligned} \bar{a}_t &= -\omega_0 r (\cos \omega_0 t \bar{i}_1 + \sin \omega_0 t \bar{j}_1), \quad a_t = \omega_0^2 r, \\ \bar{a}_c &= 2\bar{\omega}_0 \times \bar{v}_r = 2\omega_0 c (-\sin \omega_0 t \bar{i}_1 + \cos \omega_0 t \bar{j}_1), \quad a_c = 2\omega_0 c. \end{aligned}$$

Având în vedere (10) și (11), accelerația absolută a punctului M are expresia:

$$\begin{aligned} \bar{a}_a &= -\omega_0 (\omega_0 r \cos \omega_0 t + 2c \sin \omega_0 t) \bar{i}_1 + \omega_0 (-\omega_0 r \sin \omega_0 t + 2c \cos \omega_0 t) \bar{j}_1 \\ a_a &= \sqrt{a_t^2 + a_c^2} = \omega_0 \sqrt{\omega_0^2 r^2 + 4c^2}. \end{aligned} \quad (12)$$

d) Raza de curbură a traiectoriei

1. Prima metodă

Se cunoaște din geometrie analitică expresia:

$$\rho = \frac{(\dot{x}_1^2 + \dot{y}_1^2)^{3/2}}{\dot{x}_1 \ddot{y}_1 - \dot{y}_1 \ddot{x}_1}. \quad (13)$$

Urmărind figura 14.5 și relațiile (3), se pot scrie ecuațiile carteziene parametrice ale traiectoriei absolute a punctului M și anume:

$$x_1 = ct \cos \omega_0 t, \quad y_1 = ct \sin \omega_0 t. \quad (14)$$

Derivând de două ori în raport cu timpul relațiile (14), se obțin:

$$\begin{aligned} \dot{x}_1 &= c \cos \omega_0 t - \omega_0 ct \sin \omega_0 t, \quad \dot{y}_1 = c \sin \omega_0 t + \omega_0 ct \cos \omega_0 t, \\ \ddot{x}_1 &= -(2\omega_0 c \sin \omega_0 t + \omega_0^2 ct \cos \omega_0 t), \quad \ddot{y}_1 = 2\omega_0 c \cos \omega_0 t - \omega_0^2 ct \sin \omega_0 t. \end{aligned} \quad (15)$$

Introducând (15) în (13), se obține raza de curbură a traiectoriei:

$$\rho = \frac{(c^2 + \omega_0^2 r^2)^{3/2}}{\omega_0 (2c^2 + \omega_0^2 r^2)}. \quad (16)$$

2. Metoda a doua

Mișcarea absolută a punctului M fiind o mișcare curbilinie, se poate scrie accelerația absolută a punctului prin componentele sale intrinseci. Astfel,

$$\bar{a}_a = \bar{a}_a^v + \bar{a}_a^r, \quad a_a^v = \frac{v_a^2}{\rho}, \quad a_a^r = \dot{v}_a. \quad (17)$$

Având în vedere (17), raza de curbură a traiectoriei absolute a punctului M este:

$$\rho = \frac{v_a^2}{a_a^v} = \frac{v_a^2}{\sqrt{a_a^2 - \dot{v}_a^2}}. \quad (18)$$

Derivând în raport cu timpul relația (9) și având în vedere (9) și (12), relația (18) devine:

$$\rho = \frac{(c^2 + \omega_0^2 r^2)^{3/2}}{\omega_0 (2c^2 + \omega_0^2 r^2)}. \quad (19)$$

14.3.2. Să se studieze mișcarea unui punct pe o dreaptă (Δ) care trece prin originea O_I a sistemului cartezian fix $O_I x_I y_I z_I$. Dreapta (Δ) se rotește în același timp în jurul punctului O_I . Să se determine expresiile vitezei și accelerației punctului M (fig. 14.6).

Soluție:

- *Mișcarea relativă* este mișcarea punctului M pe dreapta (Δ).
- *Mișcarea de transport* este mișcarea de rotație cu axa (Δ) a unui punct N aparținând dreptei (Δ), care coincide cu punctul M la un moment dat. Prin compunerea celor două mișcări se obține *mișcarea absolută*.

a) Viteza absolută a punctului.

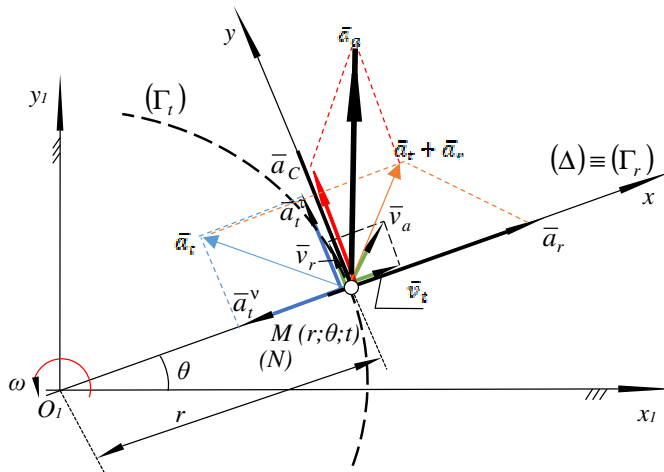


Fig. 14.6

Conform cu (14.9), viteza absolută a punctului M este:

$$\bar{v}_a = \bar{v}_r + \bar{v}_t. \quad (1)$$

În relația (1) se pot face precizările următoare:

$$v_r = \dot{r}, v_t = r\dot{\theta}, v_a = \sqrt{\dot{r}^2 + r^2\dot{\theta}^2}. \quad (2)$$

b) Accelerația absolută a punctului.

Accelerația absolută a punctului se obține, conform cu (14.13), din relația:

$$\bar{a}_a = \bar{a}_r + \bar{a}_t + \bar{a}_c. \quad (3)$$

În relația (3) se fac următoarele precizări:

$$a_r = \ddot{r}, \bar{a}_t = \bar{a}_t^\tau + \bar{a}_t^\nu, \bar{a}_t^\nu \parallel \overline{MO_1}, \text{ are sensul de la } M \text{ spre } O_1, a_t^\nu = r\dot{\theta}^2$$

$$a_t^\tau = r\ddot{\theta}, \bar{a}_c = 2\bar{\omega} \times \bar{v}_r, a_c = 2\omega v_r = 2r\dot{\theta}. \quad (4)$$

Alegând sistemele de referință, fix $O_1x_1y_1$ și mobil Mxy ca în figură, se poate scrie:

$$\bar{a}_a = a_{ax}\bar{i} + a_{ay}\bar{j}, a_{ax} = a_r - a_t^\nu = \ddot{r} - r\dot{\theta}^2, a_{ay} = a_t^\tau + a_c = r\ddot{\theta} + 2r\dot{\theta},$$

$$a_a = \sqrt{(\ddot{r} - r\dot{\theta}^2)^2 + (r\ddot{\theta} + 2r\dot{\theta})^2}. \quad (5)$$

Analizând relațiile (2) și (5), se observă că v_r și v_t au expresiile componentelor polare v_ρ și v_n ale vitezei punctului M , în timp ce a_{ax} și a_{ay} au expresiile componentelor polare a_ρ și a_n ale accelerației punctului M .

14.3.3. Un punct M descrie cu o mișcare uniformă cu viteza unghiulară ω_0 , periferia unui cerc de rază r , în același timp centrul cercului descrie o dreaptă perpendiculară pe planul cercului cu viteza constantă \bar{u} (fig. 14.7). Se cer să se determine traiectoria, viteza și accelerația absolută a punctului, precum și raza de curbură a traiectoriei.

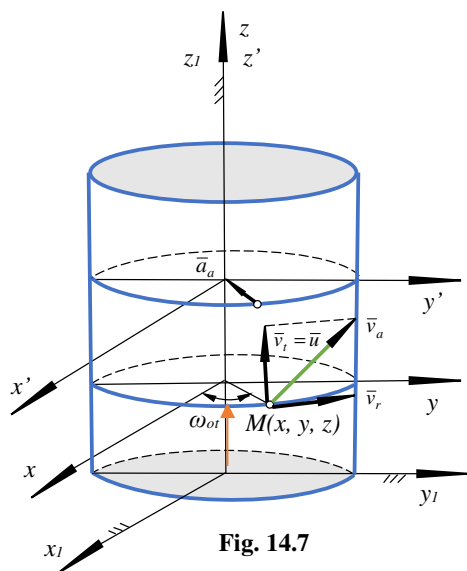


Fig. 14.7

Soluție:

Traectoria absolută a punctului M este o elice cilindrică dată de ecuațiile parametrice:

$$\begin{aligned} x_1 &= r \cos \omega_0 t; & y_1 &= r \sin \omega_0 t; \\ z_1 &= ut. \end{aligned} \quad (1)$$

Mișcarea relativă este mișcarea punctului M , pe cercul de rază r . Mișcarea pe verticală cu viteza \bar{u} a punctului M , presupus imobilizat pe cerc la un moment dat, reprezintă *mișcarea de transport*.

Viteza absolută este, conform cu (14.9):

$$\bar{v}_a = \bar{v}_r + \bar{v}_t. \quad (2)$$

În relația (2):

$$\begin{aligned} \bar{v}_r \perp \overline{OM}, \quad v_r &= \omega_0 r, \quad \bar{v}_r = \omega_0 r (-\sin \omega_0 t \bar{i}_1 + \cos \omega_0 t \bar{j}_1), \\ v_t &= u. \end{aligned} \quad (3)$$

$$\text{Astfel: } \bar{v}_a = -\omega_0 r \sin \omega_0 t \bar{i}_1 + \omega_0 r \cos \omega_0 t \bar{j}_1 + u \bar{k}_1, \quad (4)$$

respectiv:

$$v_a = \sqrt{\omega_0^2 r^2 + u^2}.$$

Accelerația absolută, conform cu (14.13), este:

$$\bar{a}_a = \bar{a}_r + \bar{a}_t + \bar{a}_c. \quad (5)$$

În relația (5) se fac următoarele precizări:

$$\bar{a}_r = \bar{a}_r^{\tau} + \bar{a}_r^v, \quad \bar{a}_r^{\tau} = \epsilon_0 \bar{r} = 0, \quad (\epsilon_0 = \dot{\omega}_0 = 0)$$

$$\bar{a}_r^v \parallel \overline{MO}, \quad \bar{a}_r^v = -\omega_0^2 r (\cos \omega_0 t \bar{i}_1 + \sin \omega_0 t \bar{j}_1) \quad (6)$$

$$a_t = \dot{v}_t = \dot{u} = 0, \quad (7)$$

$$\bar{a}_c = 2\bar{\omega} \times \bar{v}_r = 0 \quad (8)$$

pentru că *mișcarea de transport* este o mișcare rectilinie ($\bar{\omega}_0 = 0$).

Introducând (6), (7) și (8) în (5), rezultă:

$$\bar{a}_a = -\omega_0^2 r (\cos \omega_0 t \bar{i}_1 + \sin \omega_0 t \bar{j}_1); \quad a_a = \omega_0^2 r. \quad (9)$$

Pentru determinarea razei de curbură ρ se scriu următoarele relații:

$$\bar{a}_a = \bar{a}_a^\tau + \bar{a}_a^v, \quad a_a = \sqrt{a_a^\tau{}^2 + a_a^v{}^2}, \quad a_a^\tau = \dot{v}_a, \quad a_a^v = \frac{v_a^2}{\rho}. \quad (10)$$

Raza de curbură ρ se obține din (10) și are expresia:

$$\rho = \frac{v_a^2}{a_a^v} = \frac{v_a^2}{\sqrt{a_a^2 - (a_a^\tau)^2}}. \quad (11)$$

În relația (11): $a_a^\tau = \dot{v}_a = 0$, întrucât $v_a = \sqrt{\omega_0^2 r^2 + u^2} = ct$. (12)

Astfel, relația (11), ținând cont de (4), (9) și (12), devine:

$$\rho = \frac{v_a^2}{a_a} = \frac{\omega_0^2 r^2 + u^2}{\omega_0^2 r}. \quad (13)$$

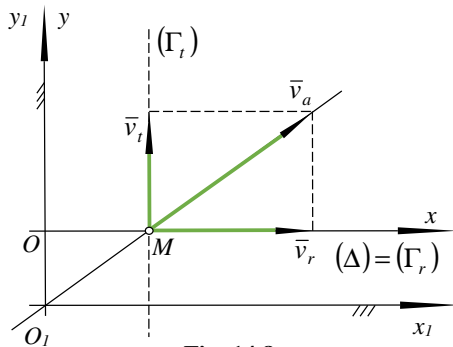


Fig. 14.8

14.3.4. Să se studieze mișcarea unui punct pe o dreaptă (Δ) paralelă cu O_1x_1 , dreapta (Δ) deplasându-se paralel cu ea însăși. Să se determine viteza și accelerația punctului (fig. 14.8).

Caz particular: Mișcarea este uniformă. În acest caz, să se determine traiectoria punctului M .

Soluție:

În conformitate cu (14.9) și figura 14.8, viteza absolută a punctului M este:

$$\bar{v}_a = \bar{v}_r + \bar{v}_t . \quad (1)$$

Accelerația absolută a punctului M , conform cu (14.13), are expresia:

$$\bar{a}_a = \bar{a}_r + \bar{a}_t + \bar{a}_C . \quad (2)$$

În relația (2) se pot face următoarele precizări:

$$\bar{a}_r = \dot{\bar{v}}_r, \quad \bar{a}_t = \dot{\bar{v}}_t, \quad \bar{a}_C = 2\bar{\omega} \times \bar{v}_r = 0, \quad (3)$$

astfel că:

$$\bar{a}_a = \dot{\bar{v}}_r + \dot{\bar{v}}_t \quad (4)$$

Caz particular: Dacă mișcarea punctului M este uniformă, atunci:

$$\bar{v}_a = ct., \quad \bar{a} = \dot{\bar{v}}_a = 0. \quad (5)$$

Ecuțiile parametrice ale traiectoriei punctului, în acest caz, sunt:

$$x = v_r t, \quad y = v_t t + y_0 . \quad (6)$$

Eliminând din (6) parametrul timp (t), se obține ecuația carteziană a traiectoriei:

$$y = \frac{v_t}{v_r} x + y_0, \quad (7)$$

care este o dreaptă cu panta $tg\alpha = \frac{v_t}{v_r}$.

14.3.5. Un disc circular greu cade sub acțiunea gravitației și în același timp se rotește în jurul centrului său O cu viteza unghiulară constantă ω_0 . În momentul inițial centrul discului coincide cu originea O_I a sistemului de referință fix $O_I x_I y_I z_I$, iar punctul M de pe periferia discului se află pe axa $O_I x_I$. Să se studieze mișcarea punctului M (fig. 14.9).

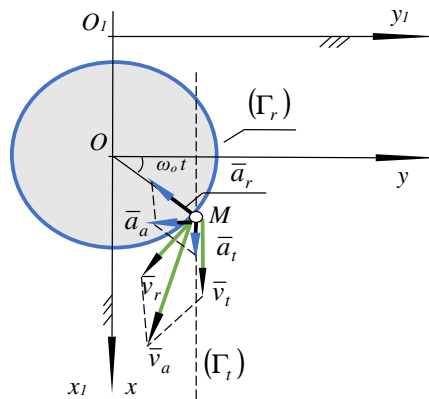


Fig. 14.9

Soluție:

Mișcarea de rotație a punctului M este *mișcarea relativă*, în timp ce mișcarea rectilinie împreună cu discul a unui punct N al discului, care coincide cu punctul M la momentul considerat, este *mișcarea de transport*.

a) Viteza absolută a punctului

Expresia vitezei absolute a punctului M este:

$$\bar{v}_a = \bar{v}_r + \bar{v}_t. \quad (1)$$

relație în care:

$$v_r = \omega_0 r, \quad \bar{v}_r = \omega_0 r (\cos \omega_0 t \bar{i}_1 - \sin \omega_0 t \bar{j}_1),$$

$$v_t = gt, \quad \bar{v}_t = gt \bar{i}_1,$$

$$\bar{v}_a = (\omega_0 r \cos \omega_0 t + gt) \bar{i}_1 - \omega_0 r \sin \omega_0 t \bar{j}_1,$$

$$v_a = \sqrt{\omega_0^2 r^2 + g^2 t^2 + 2gr\omega_0 t \cos \omega_0 t}. \quad (2)$$

b) Accelerația absolută a punctului

Expresia accelerației absolute a punctului M este:

$$\bar{a}_a = \bar{a}_r + \bar{a}_t + \bar{a}_c. \quad (3)$$

În relația (3) se pot face următoarele precizări:

$\bar{a}_r = \bar{a}_r^v + \bar{a}_r^t$, $\bar{a}_r^v \parallel \overline{MO}$ are sensul de la M spre O ,

$$a_r^v = \omega_0^2 r, \quad a_r^t = \varepsilon_0 r = 0 \quad (\varepsilon_0 = \dot{\omega}_0 = 0)$$

$$\bar{a}_r = -\omega_0^2 r (\sin \omega_0 t \bar{i}_1 + \cos \omega_0 t \bar{j}_1), \quad a_t = \dot{v}_t = g, \quad \bar{a}_c = 2\bar{\omega}_t \times \bar{v}_r = 0 \quad (4)$$

pentru că $\bar{\omega}_t = 0$.

Urmărind relațiile (4) și figura 14.9, se poate scrie:

$$\bar{a}_a = (g - \omega_0^2 r \sin \omega_0 t) \bar{i}_1 - \omega_0^2 r \cos \omega_0 t \bar{j}_1, \quad a_0 = \sqrt{g^2 + \omega_0^4 r^2 - 2g\omega_0^2 r \sin \omega_0 t}. \quad (5)$$

14.3.6. Un punct M se deplasează pornind din poziție verticală cu viteza uniformă \bar{u} de-a lungul unei raze r a unui disc circular. Discul se rostogolește fără alunecare pe un plan orizontal, având viteza \bar{v}_0 a centrului său constantă. Să se determine viteza și accelerația absolută a punctului M pentru o poziție a razei pe care se află punctul, poziție înclinată cu unghiul α față de verticală (fig. 14.10).

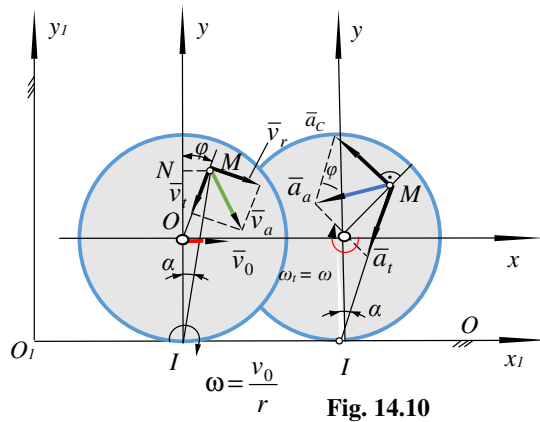


Fig. 14.10

Soluție:

În figura 14.10 s-au introdus două sisteme de referință, respectiv sistemul fix $O_1x_1y_1$ și sistemul mobil Oxy . Punctul M este poziționat la un moment dat prin raza vectorie care trece prin centrul instantaneu de rotație I al discului, înclinată cu unghiul α față de verticală sau de vectorul de poziție în sistemul Oxy înclinat cu unghiul φ față de Oy .

Între unghiurile α și φ se poate stabili o relație de legătură determinată astfel:

$$MN = IM \sin \alpha = OM \sin \varphi, \quad OM = r - ut, \quad \sin \alpha = \frac{r - ut}{IM} \sin \varphi,$$

$$\cos \alpha = \frac{IN}{IM} = \frac{r + OM \cos \varphi}{IM}, \quad \cos \alpha = \frac{r + (r - ut) \cos \varphi}{IM}. \quad (1)$$

Mișcarea relativă este mișcarea punctului de-a lungul razei discului.

Mișcarea de transport este mișcarea punctului N al discului împreună cu acesta și care la momentul considerat este suprapus peste punctul M .

a) Viteza absolută

Viteza absolută se obține cu relația:

$$\bar{v}_a = \bar{v}_r + \bar{v}_t \quad (2)$$

în care

$$\bar{v}_r = \bar{u} = -u(\sin \bar{i}_1 + \cos \bar{j}_1),$$

$$v_t = \omega IM = \frac{v_0}{r} IM, \quad \bar{v}_t = \frac{v_0}{r} IM (\cos \alpha \bar{i}_1 - \sin \alpha \bar{j}_1). \quad (3)$$

Având în vedere (3) și (4), se obține viteza absolută a punctului M astfel:

$$\bar{v}_a = \left\{ \frac{v_0}{r} [r + (r - ut) \cos \varphi] - u \sin \varphi \right\} \bar{i}_1 - \left[\frac{v_0}{r} (r - ut) \sin \varphi \sin \alpha + u \cos \varphi \right] \bar{j}_1. \quad (4)$$

b) Accelația absolută

Accelația absolută a punctului M se obține cu relația:

$$\bar{a}_a = \bar{a}_r + \bar{a}_t + \bar{a}_c, \quad (5)$$

în care:

$$a_r = \dot{v}_r = 0, v_r = u = ct.,$$

$$\bar{a}_t = \bar{a}_t^v + \bar{a}_t^\tau, \bar{a}_t^v - \text{are sensul de la } M \text{ spre } I, \text{ direcție } \parallel, \bar{IM} \quad a_t^v = \omega^2 IM = \frac{v_0^2}{r^2} IM,$$

$$a_t^\tau = \varepsilon IM = 0, \varepsilon = \dot{\omega} = 0, \omega = \frac{v_0}{r} = ct. \quad (6)$$

$$\bar{a}_t = -\frac{v_0^2}{r^2} \{ (r - ut) \sin \varphi \bar{i}_1 + [r + (r - ut) \cos \varphi] \bar{j}_1 \}$$

$$\bar{a}_c = 2\bar{\omega} \times \bar{v}_r = -2 \frac{v_0 u}{r} \cos \varphi \bar{i}_1 + 2 \frac{v_0 u}{r} \sin \varphi \bar{j}_1.$$

Cu relațiile (5), expresia (4) a accelerației absolute devine:

$$\bar{a}_a = -\left[\frac{v_0^2}{r^2} (r - ut) \sin \varphi + 2 \frac{v_0 u}{r} \cos \varphi \right] \bar{i}_1 + \left\{ 2 \frac{v_0 u}{r} \sin \varphi - \frac{v_0^2}{r^2} [r + (r - ut) \cos \varphi] \right\} \bar{j}_1. \quad (7)$$

14.3.7. O dreaptă OA se mișcă în jurul unei axe orizontale Oy cu viteza constantă ω . În același timp, planul vertical care conține dreapta se rotește cu aceeași viteză unghiulară ω în jurul axei verticale Ox . Să se determine viteza și accelerația absolută a unui punct M aparținând dreptei OA , punct situat la distanța $OM = r$ de punctul O (fig. 14.11).

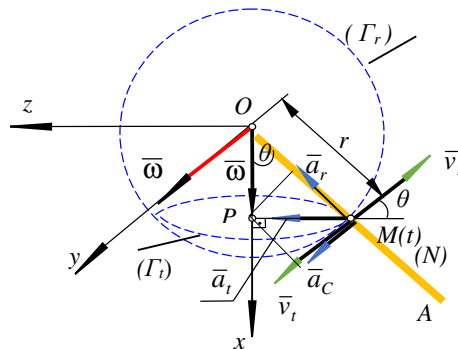


Fig. 14.11

Soluție:

Mișcarea relativă este mișcarea de rotație a punctului M în jurul axei Oy .

Mișcarea de transport este mișcarea de rotație în jurul lui Ox a unui punct N aparținând planului vertical care conține dreapta OA și care este suprapus la momentul considerat peste punctul M .

a) Viteza absolută

Având în vedere că:

$$v_r = \omega r, \quad \bar{v}_r = -\omega r(\sin \theta \bar{i} + \cos \theta \bar{k}), \quad v_t = \omega PM = \omega r \sin \theta, \quad \bar{v}_t = \omega r \sin \theta \bar{j}, \quad (1)$$

viteza absolută a punctului M este:

$$\begin{aligned} \bar{v}_a &= \bar{v}_r + \bar{v}_t, \\ \bar{v}_a &= \omega r(\sin \theta \bar{i} + \sin \theta \bar{j} - \cos \theta \bar{k}), \quad v_a = \omega r \sqrt{1 + \sin^2 \theta}. \end{aligned} \quad (2)$$

b) Accelerația absolută

Urmărind enunțul problemei și figura 14.11, se pot face următoarele precizări:

$$\begin{aligned} \bar{a}_r &= \bar{a}_r^\tau + \bar{a}_r^v, \quad a_r^\tau = \varepsilon r = 0, \quad \varepsilon = \dot{\omega} = 0, \quad a_r^v = \omega^2 r, \quad O \cdot, \quad \bar{a}_r^v \text{ are direcție } \parallel OM \text{ și sens de la } \\ \bar{a}_r &= \omega^2 r(-\cos \theta \bar{i} + \sin \theta \bar{k}) \quad O \text{ spre } M \end{aligned}$$

$$\bar{a}_t = \bar{a}_t^\tau + \bar{a}_t^v, \quad \bar{a}_t^v \parallel \overline{MP}, \text{ are sensul de la } M \text{ spre } P$$

$$a_t^v = \omega^2 MP = \omega^2 r \sin \theta, \quad (3)$$

$$\bar{a}_t^\tau \perp \overline{MP}, \quad a_t^\tau = \varepsilon MP = 0, \quad \varepsilon = \dot{\omega} = 0, \quad \omega = ct.$$

$$\bar{a}_t = \omega^2 r \sin \theta \bar{k}.$$

$$\bar{a}_c = 2\bar{\omega}_t \times \bar{v}_r = 2\omega^2 r \cos \theta \bar{j}.$$

Având în vedere relațiile (14.13) și relațiile (3), accelerația absolută a punctului M este:

$$\bar{a}_a = \omega^2 r(-\cos \theta \bar{i} + 2 \cos \theta \bar{j} + 2 \sin \theta \bar{k}), \quad a_a = \omega^2 r \sqrt{4 + \cos^2 \theta}. \quad (4)$$

14.3.8. Un mobil M se mișcă pe o dreaptă (Δ) conform legii de mișcare $OM = s = k \sin \omega t$. În același timp, dreapta (Δ) se rotește în jurul punctului O cu viteza unghiulară constantă ω (fig. 14.12). Să se determine viteza și accelerația punctului M și raza de curbură a traiectoriei.

Soluție:

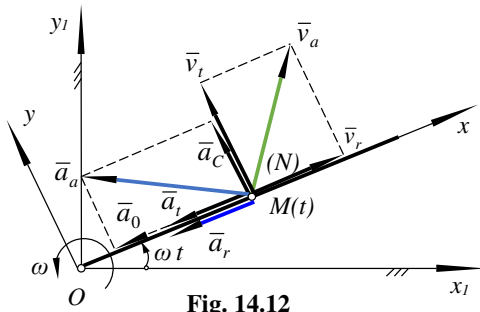


Fig. 14.12

Mișcarea punctului M de-a lungul dreptei (Δ) este *mișcarea relativă*.

Mișcarea unui punct N aparținând dreptei (Δ) împreună cu aceasta, care la momentul considerat este suprapus peste punctul M , este *mișcarea de transport*.

a) Viteza absolută

Întrucât traiectoria mișcării relative este rectilinie și cea a mișcării de transport este circulară, se pot scrie relațiile:

$$v_r = \dot{s} = k\omega \cos \omega t, \quad v_t = \omega s = k\omega \sin \omega t. \quad (1)$$

În conformitate cu relațiile (14.9) și (1), se poate determina viteza absolută a punctului M astfel:

$$\bar{v}_a = \bar{v}_r + \bar{v}_t, \quad v_a = \sqrt{v_r^2 + v_t^2} = k\omega. \quad (2)$$

b) Accelerația absolută

Având în vedere relațiile:

$$a_r = \dot{v}_r = -k\omega^2 \sin \omega t,$$

$$\bar{a}_t = \bar{a}_t^v + \bar{a}_t^v, \quad \bar{a}_t^v \parallel \overline{MO}, \quad \text{are sensul de la } M \text{ spre } O, \quad a_t^v = k\omega^2 \sin \omega t,$$

$$\bar{a}_t^r \perp \overline{MO}, \quad a_t^r = \varepsilon MO = 0, \quad \varepsilon = \dot{\omega} = 0, \quad \omega = ct. \quad (3)$$

$$\bar{a}_c = 2\bar{\omega} \times \bar{v}_r, \quad a_c = 2\omega v_r = 2k\omega^2 \cos \omega t,$$

se poate determina, conform cu (14.13), accelerația absolută a punctului M astfel:

$$\bar{a}_a = \bar{a}_r + \bar{a}_c + \bar{a}_t, \quad a_a = \sqrt{(a_r + a_t)^2 + a_c^2}, \quad a_a = 2k\omega^2. \quad (4)$$

c) Raza de curbură a traiectoriei

Raza de curbură a traiectoriei este data de:

$$\rho = \frac{v_a^2}{\sqrt{a_a^2 - \dot{v}_a^2}}. \quad (5)$$

Având în vedere (2), se obține $\dot{v}_a = 0$ ($k = ct.$, $\omega = ct.$), astfel că (5) devine:

$$\rho = \frac{v_a^2}{a_a}. \quad (6)$$

Introducând în (6) valorile obținute în (2) și (4), se obține:

$$\rho = \frac{k}{2}. \quad (7)$$

14.3.9. Un con circular drept de rază r și unghi la vârf α se rotește în jurul axei sale verticale cu viteza unghiulară constantă ω_0 . O sferă mică punctiformă se deplasează cu viteza $v = pt$ într-un canal practicat de-a lungul generatoarei AB a conului. Să se determine traiectoria, viteza și accelerația absolută a sferei mici (fig. 14.13).

Soluție:

În figura 14.13 se aleg sistemele de referință fix $O_1x_1z_1y_1$ și mobil $Oxyz$, în care $O \equiv O_1$. Mișcarea sferei mici M de-a lungul generatoarei AB a conului constituie *mișcarea relativă*. Mișcarea împreună cu conul a unui punct N al conului, care la momentul considerat coincide cu punctul M , este *mișcarea de transport*.

a) Traectoria absolute

Coordonatele x_1, y_1, z_1 ale mobilului M înregistrate față de sistemul fix $O_1x_1y_1z_1$ se obțin prin proiectarea segmentului AM pe axele acestui sistem astfel:

$$x_1 = \frac{1}{2} p t^2 \sin \alpha \cos \omega_0 t, \quad y_1 = \frac{1}{2} p t^2 \sin \alpha \sin \omega_0 t, \quad z_1 = h - \frac{1}{2} p t^2 \cos \alpha. \quad (1)$$

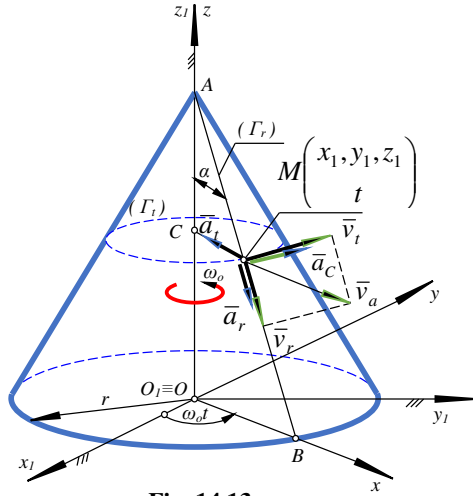


Fig. 14.13

b) Viteza absolută

În conformitate cu (14.9), viteza absolută a sferei mici M este dată de relația:

$$\bar{v}_a = \bar{v}_r + \bar{v}_t, \quad (2)$$

în care: $\bar{v}_r = p t \sin \alpha (\cos \omega_0 t \bar{i}_1 + \sin \omega_0 t \bar{j}_1) - p t \cos \alpha \bar{k}_1$

$$v_t = \omega_0 C M, \quad C M = A M \sin \alpha = \frac{1}{2} p t^2 \sin \alpha, \quad v_t = \frac{1}{2} p \omega_0 t^2 \sin \alpha \quad (3)$$

$$\bar{v}_t = \frac{1}{2} p \omega_0 t^2 \sin \alpha (-\sin \omega_0 t \bar{i}_1 + \cos \omega_0 t \bar{j}_1).$$

Având în vedere (3), viteza absolută se poate scrie:

$$\bar{v}_a = p t \sin \alpha \left[\left(\cos \omega_0 t - \frac{1}{2} \omega_0 t \sin \omega_0 t \right) \bar{i}_1 + \left(\sin \omega_0 t + \frac{1}{2} \omega_0 t \cos \omega_0 t \right) \bar{j}_1 \right] - p t \cos \alpha \bar{k}_1$$

$$v_a = \frac{p t}{2} \sqrt{4 + \omega_0^2 t^2 \sin^2 \alpha}. \quad (4)$$

c) Accelerația absolută

Accelerația absolută a sferei mici M are expresia:

$$\bar{a}_a = \bar{a}_r + \bar{a}_t + \bar{a}_c. \quad (5)$$

În relația (5) se fac următoarele precizări:

$$a_r = \dot{v}_r = p, \bar{a}_r = p \sin \alpha (\cos \omega_0 t \bar{i}_1 + \sin \omega_0 t \bar{j}_1) - p \cos \alpha \bar{k}_1$$

$$\bar{a}_t = \bar{a}_t^\tau + \bar{a}_t^\nu, \bar{a}_t^\nu \parallel \overline{MC}, \text{ are sensul de la } M \text{ spre } C$$

$$\bar{a}_t^\nu = -\frac{1}{2} p t^2 \omega_0^2 \sin \alpha (\cos \omega_0 t \bar{i}_1 + \sin \omega_0 t \bar{j}_1)$$

$$\bar{a}_t^\tau = \varepsilon_0 \overline{MC} = 0, \varepsilon = \dot{\omega}_0 = 0, \omega_0 = ct.$$

$$\bar{a}_c = 2\bar{\omega}_0 \times \bar{v}_r = 2pt\omega_0 \sin \alpha (-\sin \omega_0 t \bar{i}_1 + \cos \omega_0 t \bar{j}_1). \quad (6)$$

Având în vedere (6), relația (5) devine:

$$\begin{aligned} \bar{a}_a = p \sin \alpha & \left[\left(\cos \omega_0 t - \frac{1}{2} \omega_0^2 t^2 \cos \omega_0 t - 2\omega_0 t \sin \omega_0 t \right) \bar{i}_1 + \right. \\ & \left. + \left(\sin \omega_0 t - \frac{1}{2} \omega_0^2 t^2 \sin \omega_0 t + 2\omega_0 t \cos \omega_0 t \right) \bar{j}_1 \right] - p \cos \alpha \bar{k}_1 \end{aligned}$$

$$a_a = \frac{p}{2} \sqrt{4 + (12 + \omega_0^2 t^2) \omega_0^2 t^2 \sin^2 \alpha}. \quad (7)$$

14.3.10. Se consideră un cadru dreptunghiular de laturi a și $2a$ pe a cărei latură a se află un tub, în interiorul căruia se deplasează un punct material (o bilă) M care pleacă din punctul O după legea $OM = s(t) = 18 \cdot \sin \frac{\pi}{4} t$ cm. În același timp, cadrul se rotește în planul său în jurul colțului O_1 după o lege de mișcare $\varphi(t) = 2t^3 - t^2$ rad. Se cere să se determine viteza și accelerația absolută a punctului material M pentru cazul când $t_1 = \frac{2}{3}$ s și $a = 25$ cm (fig. 14.14).

Soluție:

Mișcarea punctului O în raport cu tubul este *mișcarea relativă*, iar mișcarea de rotație a punctului M solidar legat de tub la un moment dat, mișcare în jurul punctului fix O_1 , este *mișcarea de transport*.

Viteza și accelerația unghiulară ale cadrului sunt:

$$\begin{aligned}\omega &= \dot{\varphi} = 6t^2 - 2t, \quad \omega = 1,33 \text{ s}^{-1}, \\ \varepsilon &= \dot{\omega} = 12t - 2, \quad \varepsilon = 6 \text{ rad / s}^2.\end{aligned}\tag{1}$$

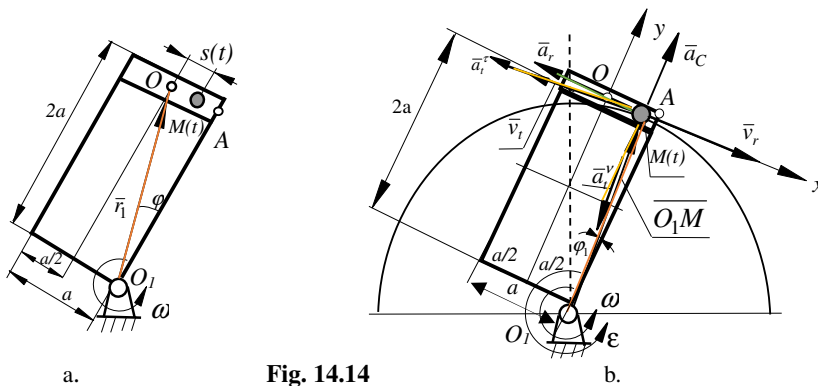


Fig. 14.14

În conformitate cu (14.9), viteza absolută a punctului M se exprimă cu relația:

$$\bar{v}_a = \bar{v}_r + \bar{v}_t.\tag{2}$$

În continuare, se pot scrie succesiv relațiile:

$$v_r = \dot{s} = \frac{9}{2} \pi \cos \frac{\pi}{4} t = 12,24 \text{ cm / s},\tag{3}$$

$$OM = s(t) = 18 \cdot \sin \frac{\pi}{4} t = 9 \text{ cm},$$

$$v_t = \omega \cdot O_1M = 2(3t^2 - t) \sqrt{(2a)^2 + \left(\frac{a}{2} - s\right)^2} = (3t^2 - t) \sqrt{17a^2 - 4as + 4s^2} = 66,66 \text{ cm / s},\tag{4}$$

$$v_a = \sqrt{v_r^2 + v_t^2 - 2v_r v_t \cos \varphi}.\tag{5}$$

Înlocuind în relația (5) timpul $t_1 = \frac{2}{3} \text{ s}$, lungimea $a = 25 \text{ cm}$ și unghiul φ_1 care se determină din triunghiul dreptunghic OAM :

$$\cos \varphi_1 = \frac{O_1A}{O_1M} = \frac{2a \cdot 2}{\sqrt{17a^2 - 4as + 4s^2}} = 0,75,\tag{6}$$

se obține:

$$v_a = 58,04 \text{ m / s}\tag{7}$$

Conform cu (14.13), *acelerația absolută* a punctului M este:

$$\bar{a}_a = \bar{a}_r + \bar{a}_t^v + \bar{a}_t^\tau + \bar{a}_c. \quad (8)$$

Acelerația relativă este:

$$a_r = \dot{v}_r = -\frac{9}{8}\pi^2 \sin \frac{\pi}{4}t, \quad a_r = -\frac{9\pi^2}{8} \sin \frac{\pi}{4} \cdot \frac{2}{3} = -5,55 \text{ cm/s}^2. \quad (9)$$

Acelerația Coriolis are, conform cu (14.12), expresia:

$$\bar{a}_c = 2\bar{\omega} \times \bar{v}_r. \quad (10)$$

Modulul accelerației Coriolis este:

$$a_c = 2\omega \cdot v_r = 18\pi t(3t-1) \cdot \cos \frac{\pi}{4}t = 32,6 \text{ cm/s}^2. \quad (11)$$

Traieectoria de transport fiind circulară, accelerația de transport se poate exprima astfel:

$$\bar{a}_t = \bar{a}_t^v + \bar{a}_t^\tau. \quad (12)$$

Componentele intrinseci ale accelerației de transport au expresiile vectoriale:

$$\bar{a}_t^v = -\overline{O_1M} \cdot \omega^2, \quad \bar{a}_t^\tau = \bar{\varepsilon} \times \overline{O_1M}. \quad (13)$$

Modulele acestor vectori sunt:

$$a_t^v = \frac{\omega^2}{2} \sqrt{17a^2 - 4as + 4s^2} = 88,663 \text{ cm/s}^2, \quad (14)$$

$$a_t^\tau = \frac{\varepsilon}{2} \sqrt{17a^2 - 4as + 4s^2} = 300,72 \text{ cm/s}^2$$

Proiectând accelerațiile pe axele sistemului mobil de referință xOy , rezultă:

$$\begin{cases} a_{ax} = -a_r - a_t^\tau \cos \varphi_1 + a_t^v \sin \varphi_1 = -172,57 \text{ cm/s}^2 \\ a_{ay} = -a_t^\tau \sin \varphi_1 - a_t^v \cos \varphi_1 + a_c = -232,37 \text{ cm/s}^2 \end{cases} \quad (15)$$

$$a_a = \sqrt{a_{ax}^2 + a_{ay}^2} = 289,44 \text{ cm/s}^2. \quad (16)$$

14.3.11. Se consideră cadrul triunghiular din figura 14.15a și un punct material M care se deplasează în interiorul unui tub, solidar cu cadrul, înclinat față de verticală cu unghiul $\alpha = 30^\circ$. Se cunosc $O_1M = s \sin \alpha$ și legile pentru mișcările relativă și de transport, respectiv: $s = OM = 16 - 8 \cos 3\pi t$ cm și rotirea cadrului în

jurul axei verticale cu unghiul $\varphi = 0,9t^3 - 9t^2 \text{ rad}$. Se cere să se determine poziția, viteza și accelerația absolută a punctului M la momentul $t = t_1 = \frac{2}{9} \text{ s}$.

Soluție:

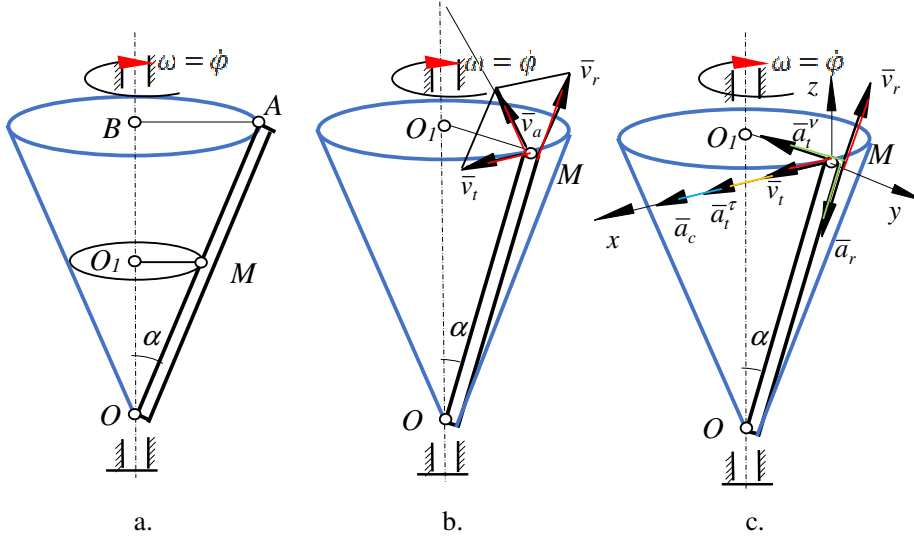


Fig. 14.15

Având în vedere enunțul problemei, se pot determina vitezele și accelerațiile unghiulare astfel:

$$\omega = \dot{\varphi} = \omega = 2,7t^2 - 18t, \quad \omega = -3,87 \text{ s}^{-1}, \quad \varepsilon = \ddot{\varphi} = 5,4t - 18, \quad \varepsilon = -16,8 \text{ rad/s}^2.$$

Viteza absolută a punctului M este:

$$\vec{v}_a = \vec{v}_r + \vec{v}_t. \quad (1)$$

În relația (1): $v_r = \dot{s} = 24\pi \sin 3\pi t = 65,2 \text{ cm/s}$ (2)

$$v_t = \omega \cdot O_1M = (2,7t^2 - 18t) \cdot (16 - 8 \cos 3\pi t) \sin \alpha = 88,70 \text{ cm/s}, \quad (3)$$

astfel că:

$$v_a = \sqrt{v_r^2 + v_t^2} = 110,08 \text{ cm/s}. \quad (4)$$

Accelerația absolută a punctului M se poate scrie sub forma:

$$\vec{a}_a = \vec{a}_r + \vec{a}_t^v + \vec{a}_t^\tau + \vec{a}_c. \quad (5)$$

În relația (5):

- accelerația relativă este: $a_r = \dot{v}_r = 72\pi^2 \cos 3\pi t = -355 \text{ cm/s}^2$; (6)

- accelerația Coriolis este: $\vec{a}_c = 2\vec{\omega} \times \vec{v}_r$, (7)

$$a_c = 2\omega \cdot v_r \sin(180 - \alpha) = 61 \text{ cm/s}^2 \quad (8)$$

$$\text{- accelerația de transport este: } \bar{a}_t = \bar{a}_t^v + \bar{a}_t^\tau. \quad (9)$$

Componentele intrinseci ale *accelerației de transport* se exprimă astfel:

$$\bar{a}_t^v = -\overline{O_1M} \cdot \omega^2; \quad \bar{a}_t^\tau = \bar{\varepsilon} \times \overline{O_1M}. \quad (10)$$

Modulele componentelor accelerațiilor normală și tangențială sunt:

$$a_t^v = \omega^2 s \sin \alpha = 171,63 \text{ cm/s}^2, \quad a_t^\tau = \varepsilon \cdot s \sin \alpha = 192,53 \text{ cm/s}^2. \quad (11)$$

Proiectând accelerațiile pe axele sistemului de referință $Mxyz$, rezultă:

$$\begin{cases} a_{ax} = a_c + a_t^\tau = 253,53 \\ a_{ay} = -a_t^v + a_r \cos 60 = 5,87 \\ a_{az} = -a_r \sin 60 = -307,07 \end{cases} \quad (12)$$

Iar *accelerația absolută* devine

$$a_a = \sqrt{a_{ax}^2 + a_{ay}^2 + a_{az}^2} = 398,25 \text{ cm/s}^2. \quad (13)$$

14.3.12. O roată de rază r se rostogolește fără alunecare pe altă roată de rază R la exteriorul sau interiorul ei. Să se determine vitezele unghiulare absolute în ambele cazuri, știind că manivela O_1O_2 ce leagă centrele celor două roți se rotește cu viteza unghiulară constantă ω_0 (fig. 14.16 și fig. 14.17).

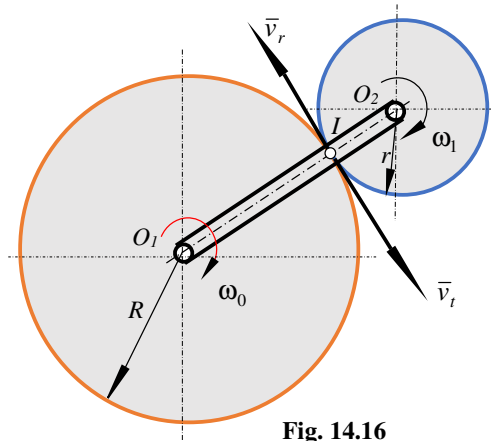


Fig. 14.16

Soluție:

a) roata de rază r la exteriorul roții de rază R (fig. 14.16).

Punctele roții r au o mișcare relativă față de manivela O_1O_2 , iar mișcarea de rotație a manivelei cu viteza unghiulară ω_0 a acestor puncte, presupuse legate invariabil de manivelă la momentul considerat, constituie *mișcarea de transport*.

Punctul de tangență al celor două roți este centrul instantaneu de rotație I , care având viteza nulă, conduce la:

$$v_r = v_t. \quad (1)$$

Dar cum $v_r = \omega_1 r$ și $v_t = \omega_0 R$, se obține:

$$\omega_1 = \frac{R}{r} \omega_0. \quad (1a)$$

Viteza unghiulară absolută ω este în acest caz:

$$\omega_{a1} = \sum_{i=1}^2 \omega_i = \omega_0 + \omega_1 = \frac{R+r}{r} \omega_0. \quad (2)$$

b) roata de rază r în interiorul roții de rază R (fig. 14.17)

Viteza unghiulară absolută este în acest caz:

$$\omega_{a2} = \sum_{i=1}^2 \omega_i = \omega_1 - \omega_0 = \frac{R-r}{r} \omega_0, \quad (3)$$

având direcția și sensul vitezei unghiulare ω_1 .

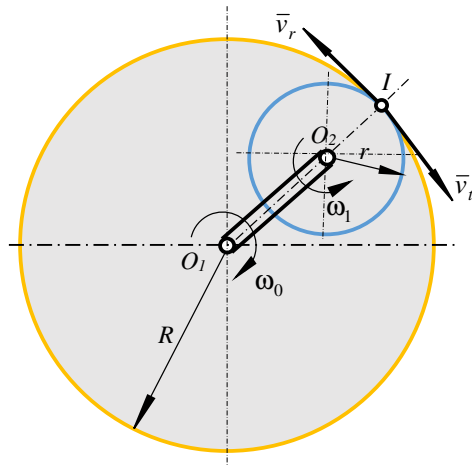


Fig. 14.17

14.3.13. În jurul centrului O_1 se rotește manivela O_1O_3 pe care sunt fixate axele a trei roți dințate angrenate între ele în O_1, O_2 și O_3 , de raze r_1, r_2 și r_3 . Roata O_1 fiind fixă, să se determine viteza unghiulară ω_3 a roții O_3 față de manivelă și viteza ei unghiulară absolută, știind că manivela O_1O_3 se rotește cu viteza unghiulară constantă ω (fig. 14.18). Să se generalizeze pentru cazul a „ n ” roți.

Soluție:

a) *Determinarea vitezelor unghiulare ω_3 și ω_n*

Roata O_3 are o mișcare relativă față de manivela O_1O_3 , iar rotația manivelei cu viteza unghiulară constantă ω în jurul lui O_1 constituie mișcarea de transport.

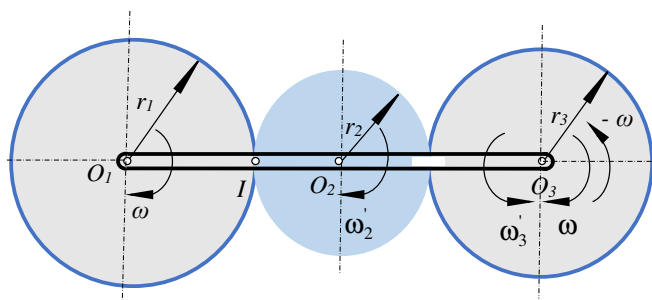


Fig. 14.18

Luând în considerare numai mișcările relative ale roților și punând condiția ca viteza centrului instantaneu de rotație I să fie nulă, se obțin relațiile evidente:

$$\omega_1 r_1 = \omega_2 r_2, \quad \omega_2 r_2 = \omega_3 r_3,$$

din care:

$$\omega_3 = \frac{r_1}{r_3} \omega. \quad (1)$$

Ținând seama și de sensul de rotație, relația (1) devine:

$$\omega_3 = (-1)^3 \frac{r_1}{r_3} \omega = -\frac{r_1}{r_3} \omega. \quad (2)$$

În general, pentru n roți rezultă:

$$\omega_n = (-1)^n \frac{r_1}{r_n} \omega. \quad (3)$$

b) Determinarea vitezelor unghiulare absolute ω_3 și ω_n

Pentru a determina viteza unghiulară absolută ω_3 se introduc în O_3 doi vectori de rotație egali și de sens contrar, $\overline{\omega}$ și $-\overline{\omega}$. Rotația ω din O_1 și $-\omega$ din O_3 dau un cuplu de rotație care este egal în modul cu o viteză de translație $\omega \cdot O_1O_3$ a barei O_1O_3 . În O_3 au rămas două rotații, ω'_3 și ω , de aceeași direcție, dar de sens contrar. Astfel, viteza unghiulară absolută ω_3 va fi, luând în considerare (2):

$$\omega_3 = \omega - \omega'_3 = \frac{r_3 - r_1}{r_3} \omega. \quad (4)$$

Pentru cazul a "n" roți rezultă:

$$\omega_n = \frac{r_n + (-1)^n r_1}{r_n} \omega. \quad (5)$$

14.3.14. Se dă un cursor M care se deplasează pe bara cotită O_1OA cu unghiul $\theta = 90^\circ$, $O_1O = a = 20 \text{ cm}$ după legea de mișcare $OM = s(t) = 20 \sin \pi t \text{ cm}$. În același timp, bara se rotește în jurul punctului fix O_1 după legea $\varphi(t) = t - 0.5t^2$, în sens trigonometric. Se cere, să se determine viteza și accelerația absolută a punctului M la momentul $t = t_1 = \frac{1}{3} \text{ s}$ (fig. 14.19).

Soluție:

Mișcarea cursorului M din punctul O , spre punctul A , este *mișcarea relativă*, conform legii $s(t) = 20 \sin \pi t$.

Mișcarea de transport este mișcarea punctului M care coincide cu cadrul și cursorul la momentul (t) (mișcarea cursorului simultană cu cadrul dacă încetează *mișcarea relativă*), adică o mișcarea circulară dată de legea: $\varphi(t) = t - 0.5t^2$, ea având viteza și accelerația unghiulară $\omega = \dot{\varphi} = 1 - t \text{ 1/s}$ și $\varepsilon = \dot{\omega} = -1 \text{ rad/s}^2$ pe cercul de rază $O_1M = \sqrt{a^2 + s^2} \text{ cm}$.

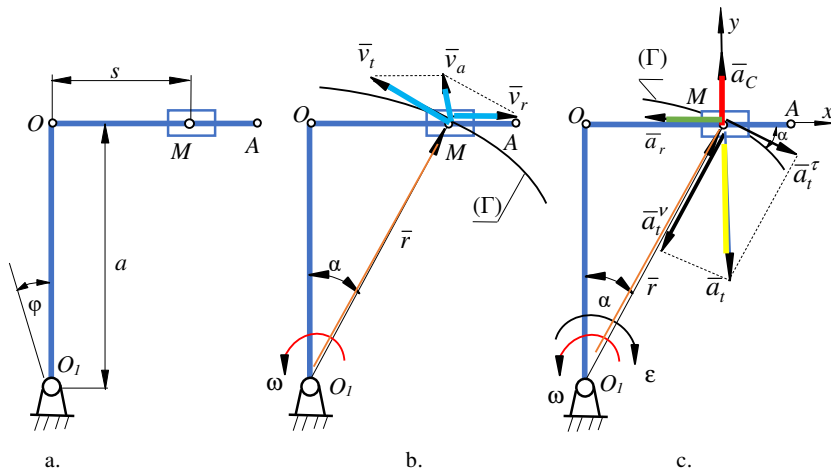


Fig. 14.19

Viteza absolută a punctului M este:

$$\vec{v}_a = \vec{v}_r + \vec{v}_t \quad (1)$$

În relația (1):

$$v_r = \dot{s} = 20\pi \cos \pi t = 31,416 \text{ cm/s}, \quad (2)$$

$$v_t = \omega \cdot O_1M = (1-t) \cdot \sqrt{a^2 + (20 \sin \pi t)^2} = 17,638 \text{ cm/s}, \quad (3)$$

iar,

$$v_a = \sqrt{v_r^2 + v_t^2 + 2v_r v_t \cos(\pi - \alpha)}, \quad (4)$$

unde unghiul $\alpha = \angle O_1M$. Urmărind figura 14.20b. se poate scrie:

$$\cos \alpha = \frac{a}{\sqrt{a^2 + s^2}} = 0,76, \quad \sin \alpha = \sqrt{1 - \cos^2 \alpha} = 0,65. \quad (5)$$

Prin înlocuire în relația (4) a relațiilor (2), (3) și (5) și a datelor din enunțul problemei, rezultă:

$$v_a = 36 \text{ cm/s}^2. \quad (6)$$

- Accelerația absolută a punctului M (fig. 14.23c.), se poate scrie astfel:

$$\vec{a}_a = \vec{a}_r + \vec{a}_t^v + \vec{a}_t^\tau + \vec{a}_c. \quad (7)$$

În relația (7):

$$\text{- Accelerația relativă este: } a_r = \dot{v}_r = |-20\pi^2 \sin \pi t| = 170,57 \text{ cm/s}^2 \quad (8)$$

- *Accelerația Coriolis* este dată de relația:

$$\bar{a}_c = 2\bar{\omega} \times \bar{v}_r, \quad (9)$$

respectiv:

$$a_c = 2\omega \cdot v_r = 41,888 \text{ cm/s}^2 \quad (10)$$

- *Accelerația de transport* se poate exprima în funcție de componentele sale intrinseci astfel:

$$\bar{a}_t = \bar{a}_t^v + \bar{a}_t^r. \quad (11)$$

Componentele intrinseci se pot exprima cu relațiile:

$$\bar{a}_t^v = -\overline{O_1M} \cdot \omega^2, \quad \bar{a}_t^r = \bar{\varepsilon} \times \overline{O_1M}. \quad (12)$$

Modulele *componentelor normală și tangențială* sunt:

$$a_t^v = \left| -\overline{O_1M} \cdot \omega^2 \right| = (1-t)^2 \sqrt{a^2 + (20 \sin \pi t)^2} = 11,76 \text{ cm/s}^2, \quad (13)$$

$$a_t^r = \left| \varepsilon \cdot O_1M \right| = \sqrt{a^2 + (20 \sin \pi t)^2} = 26,457 \text{ cm/s}^2. \quad (14)$$

Proiectând accelerațiile pe axele sistemului de referință $Mxyz$, rezultă:

$$\begin{cases} a_{a_x} = -a_r - a_t^v \sin \alpha + a_t^r \cos \alpha = -158,11 \text{ cm/s}^2 \\ a_{a_y} = a_c - a_t^v \cos \alpha - a_t^r \sin \alpha = 15,75 \text{ cm/s}^2 \end{cases}. \quad (15)$$

Accelerația absolută are modulul:

$$a_a = \sqrt{a_{a_x}^2 + a_{a_y}^2} = 158,89 \text{ cm/s}^2. \quad (16)$$

14.3.15. Bara OM de lungime p este articulată perpendicular în O pe axa unui cilindru de rază R . La capătul barei este așezată liber o roată de rază $r = R - p$ situată în planul barei (perpendiculară pe axa cilindrului), tangentă interior la cilindru. Să se afle pe cale grafică, punctul de pe circumferința roții mici a cărei viteză trece prin punctul A , extremitatea diametrului perpendicular pe OM și să se determine analitic această viteză, știind că bara OM se rotește cu viteza unghiulară constantă ω (fig. 14.20).

Soluție:

a) Determinarea grafică a punctului M_1 a cărei viteză trece prin punctul A

Viteza punctului M_1 are direcția perpendiculară pe dreapta IM_1 , punctul I fiind centrul instantaneu de rotație. Dar cum viteza lui M_1 trebuie să treacă și prin A , punctul căutat se află la intersecția dreptei AN cu cercul de rază $r = R - p$,

N fiind punctul de intersecție al dreptei OM cu acest cerc (unghiul din M_1 este de $\frac{\pi}{2}$ astfel că, triunghiul INM_1 trebuie înscris într-un semicerc).

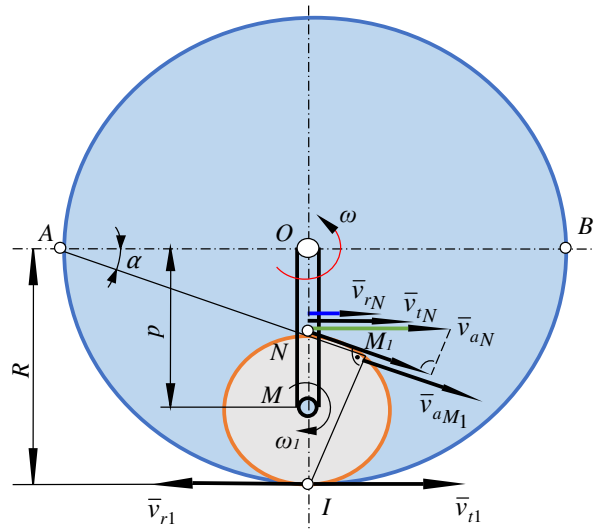


Fig. 14.20

b) Determinarea analitică a vitezei punctului M_1

Viteza centrului instantaneu de rotație este nulă astfel că, din condiția $v_{rI} = v_{tI}$, se obține:

$$\omega_1 = \frac{R}{R-p} \omega, \tag{1}$$

întrucât, $v_{r1} = \omega_1 r$ și $v_{t1} = \omega_1 (R-p)$.

- Viteza absolută a punctului N este: $\bar{v}_{aN} = \bar{v}_{rN} + \bar{v}_{tN}$. (2)

În relația (2) se fac precizările:

$$v_{rN} = \omega_1 (R-p), \quad v_{tN} = \omega [p - (R-p)] = \omega (2p - R). \tag{3}$$

Dar cum \bar{v}_{rN} și \bar{v}_{tN} sunt coliniare și de același sens, viteza absolută a punctului N , luând în considerare (1) și (3), devine:

$$v_{aN} = v_{rN} + v_{tN} = \omega_1 (R-p) + \omega (2p - R) = 2 \omega p. \tag{4}$$

- Viteza punctului M_1 se află aplicând proprietatea conform căreia, proiecțiile vitezelor a două puncte pe dreapta care unește aceste puncte sunt egale. Astfel,

$$v_{aM_1} = v_{aN} \cos \alpha, \quad \cos \alpha = \frac{OA}{AN} = \frac{R}{\sqrt{R^2 + (2p - R)^2}} \quad (5)$$

$$v_{aM_1} = \frac{2pR}{\sqrt{R^2 + (2p - R)^2}} \omega. \quad (6)$$

14.3.16. O roată O_2 de rază r se rostogolește fără să alunece în interiorul altei roți O_1 de rază $2r$, roată care este fixă. De roata mobilă O_2 este legată tija AB prin articulația B . Să se determine viteza și accelerația tije AB , știind că manivela O_1O_2 se rotește cu viteza unghiulară constantă ω (fig. 14.21).

Soluție:

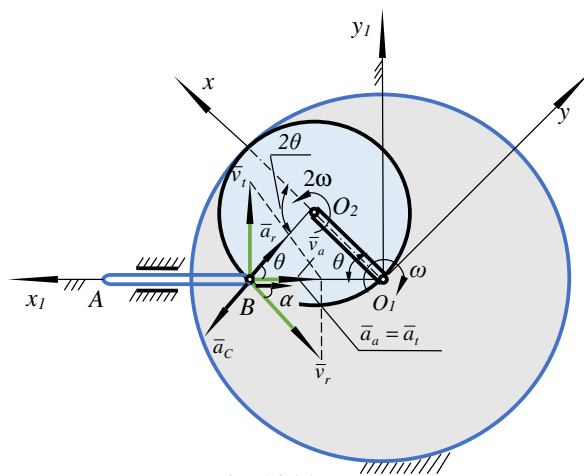


Fig. 14.21

Mișcarea culisei B pe roata O_2 , deci mișcarea lui B față de un sistem de referință legat invariabil de manivela O_1O_2 de care se presupune imobilizată culisa B la momentul considerat, constituie *mișcarea de transport*.

- Viteza absolută a culisei B este, conform cu (14.9),

$$\vec{v}_a = \vec{v}_r + \vec{v}_t. \quad (1)$$

În relația (1) se fac următoarele precizări:

$$\vec{v}_r = -2\omega r (\sin \theta \vec{i}_1 + \cos \theta \vec{j}_1) \quad (2)$$

$$v_t = \omega \cdot O_1B = 2\omega r \cos \theta, \quad \vec{v}_t = 2\omega r \cos \theta \vec{j}_1. \quad (3)$$

Astfel, viteza absolută, luând în considerare (1), (2) și (3), devine:

$$\bar{v}_a = -2\omega r \sin \theta \bar{i}_1, \quad v_a = 2\omega r \sin \theta. \quad (4)$$

Întrucât vectorul \bar{v}_a reprezintă viteza unui punct de pe tija AB și are direcția acesteia, mișcarea de translație a tijei din punctul de vedere al vitezelor este dată de acest vector.

- Accelerația absolută a culisei B este, conform cu (14.13):

$$\bar{a}_a = \bar{a}_r + \bar{a}_t + \bar{a}_c. \quad (5)$$

În această relație se pot preciza:

$$\bar{a}_r = \bar{a}_r^\tau + \bar{a}_r^v, \quad a_r^\tau = 0 \quad (\varepsilon_1 = 2\dot{\omega} = 0), \quad a_r^v = 4\omega^2 r$$

$$\bar{a}_r = 4\omega^2 r (-\cos \theta \bar{i}_1 + \sin \theta \bar{j}_1) \quad (6)$$

$$\bar{a}_t = \bar{a}_t^\tau + \bar{a}_t^v, \quad a_t^\tau = 0 \quad (\varepsilon = \dot{\omega} = 0), \quad a_t^v = \omega^2 \cdot O_1 B = 2\omega^2 r \cos \theta$$

$$\bar{a}_t = -2\omega^2 r \cos \theta \bar{i}_1 \quad (7)$$

$$\bar{a}_c = 2\bar{\omega} \times \bar{v}_r = 4\omega^2 r (\cos \theta \bar{i}_1 - \sin \theta \bar{j}_1). \quad (8)$$

Astfel, accelerația absolută introducând (6), (7) și (8) în (5), devine:

$$\bar{a}_a = -2\omega^2 r \cos \theta \bar{i}_1, \quad a_a = 2\omega^2 r \cos \theta. \quad (9)$$

Deci, tija AB are o mișcare de translație cu viteza \bar{v}_a și accelerația \bar{a}_a , date de (4) și (9).

14.3.17. Bara AB de lungime $2a$ se rotește într-un plan fix în jurul capătului A cu viteza unghiulară constantă ω_1 , în sensul acelor de ceasornic. La capătul B al barei este montată pe un ax perpendicular pe bară, o roată de rază a care se rotește în același plan, dar în sens contrar cu viteza unghiulară constantă ω în raport cu bara. Să se determine viteza unghiulară ω astfel încât, accelerația absolută a punctului M al roții, suprapus la un moment dat peste bară, să fie nulă (fig. 14.22).

Soluție:

Punctele roții, deci și punctul M , au mișcare relativă de rotație față de capătul B al barei.

Mișcarea de transport este efectuată împreună cu bara de către punctul N al barei care este suprapus la un moment dat peste punctul M al roții.

În consecință, traiectoriile relativă și de transport sunt cercuri de rază a , unul cu centrul în B , celălalt cu centrul în A .

Accelerația absolută a punctului M este, conform cu (14.13):

$$\bar{a}_a = \bar{a}_r + \bar{a}_t + \bar{a}_c. \quad (1)$$

În relația (1) se fac următoarele precizări:

$\bar{a}_r = \bar{a}_r^{\tau} + \bar{a}_r^{\nu}$, $a_r^{\nu} = \omega^2 a$, \bar{a}_r^{ν} - direcția paralelă cu MB și sensul de la M spre B

$a_r^{\tau} = \varepsilon a = 0$, $\varepsilon = \dot{\omega} = 0$, $\omega = ct$.

$\bar{a}_r = \omega^2 a \bar{i}_1$,

$\bar{a}_t = \bar{a}_t^{\tau} + \bar{a}_t^{\nu}$, $\bar{a}_t^{\nu} \parallel \overline{MA}$, are sensul de la M spre A, $a_t^{\nu} = \omega_1^2 a$ (2)

$a_t^{\tau} = \varepsilon_1 a = 0$, $\varepsilon_1 = \dot{\omega}_1 = 0$, $\omega_1 = ct$.

$\bar{a}_t = -\omega_1^2 a \bar{i}_1$,

$\bar{a}_c = 2\omega_1 \times \bar{v}_r = -2\omega\omega_1 a \bar{i}_1$, $a_c = 2\omega\omega_1 a$.

Având în vedere (2), relația (1) devine:

$$\bar{a}_a = (\omega^2 a - \omega_1^2 a - 2\omega\omega_1 a) \bar{i}_1. \quad (3)$$

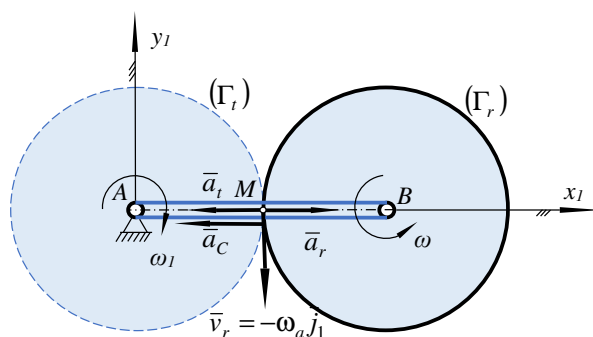


Fig. 14.22

Impunând ca \bar{a}_a să fie nulă, se determină viteza unghiulară ω din ecuația:

$$\omega^2 - 2\omega\omega_1 - \omega_1^2 = 0. \quad (4)$$

se obține astfel:

$$\omega = \omega_1 (1 \pm \sqrt{2}). \quad (5)$$

Soluția posibilă, având în vedere enunțul problemei, este:

$$\omega = \omega_1 (1 + \sqrt{2}). \quad (6)$$

14.3.18. Axa unei roți conice de rază r intersectează axa geometrică a unei alte roți dințate plane de rază $2r$, în centrul O al acesteia. Știind că roata conică se rostogolește peste cea plană cu viteza unghiulară $\bar{\omega}_0$, să se determine viteza unghiulară $\bar{\omega}_2$ a roții plane în așa fel ca mișcarea de rotație rezultantă să aibă suportul vitezei unghiulare $\bar{\omega}_a$ suprapus peste generatoarea OA . Să se determine și mărimea vitezei unghiulare $\bar{\omega}_a$ (fig. 14.23).

Soluție:

Mișcarea relativă este mișcarea de rotație a roții conice cu $\bar{\omega}_1$ în jurul axei proprii.

Mișcarea de transport rezultă din mișcarea de rostogolire cu $\bar{\omega}_0$ a roții conice față de roata plană.

Mișcarea rezultantă a acestor două mișcări este o mișcare de rotație efectuată cu viteza unghiulară $\bar{\omega}$, care are ca suport axa OI instantanee de rotație.

Înseamnă că:

$$\bar{\omega} = \bar{\omega}_0 + \bar{\omega}_1. \quad (1)$$

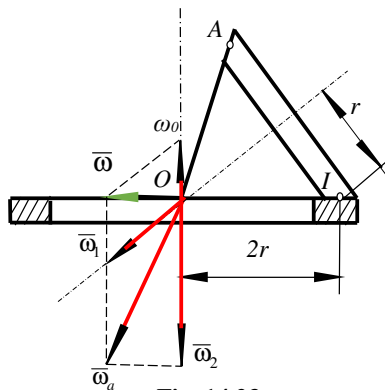


Fig. 14.23

Luând în considerare doar mișcările efectuate cu $\bar{\omega}_0$ și $\bar{\omega}_1$, punctul I este centru instantaneu de rotație astfel că, se poate scrie:

$$2r\omega_0 = r\omega_1, \quad \omega_1 = 2\omega_0. \quad (2)$$

Mărimea ω a vitezei unghiulare este:

$$\omega = \sqrt{\omega_1^2 - \omega_0^2} = \sqrt{3}\omega_0. \quad (3)$$

Mișcarea de rotație cu $\bar{\omega}$ a roții conice față de roata plană este o *mișcare relativă*, în timp ce mișcarea de rotație datorată vitezei unghiulare $\bar{\omega}_2$ este o *mișcare de transport*. Astfel, în baza relației (14.22) și a figurii 14.23, se poate scrie:

$$\bar{\omega}_a = \bar{\omega} + \bar{\omega}_2, \quad \omega_a = \frac{\omega}{\cos 60^\circ} = 2\omega = 2\sqrt{3}\omega_0, \quad \omega_2 = \omega \operatorname{ctg} 30^\circ = 3\omega_0. \quad (4)$$

14.3.19. O bară OA se rotește într-un plan în jurul articulației fixe O astfel încât să fie respectată legea de mișcare $\alpha = \alpha_0 + \omega t$. O a doua bară AB se rotește în jurul punctului B astfel încât unghiul β să varieze după legea $\beta = \beta_0 + \omega t$, $\omega = ct$. Știind

că $OA = l$ și $AB = l_1$, să se determine vitezele unghiulare de rotație ale barelor OA și AB , precum și viteza absolută a capătului B al barei AB (fig. 14.24).

Soluție:

Mișcarea relativă rezultă din mișcarea barei AB față de bara OA . *Mișcarea de transport* este mișcarea punctului N solidar cu bara OA împreună cu aceasta și care, la momentul considerat, este suprapus peste capătul B al barei AB .

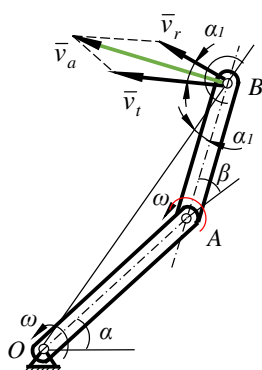


Fig. 14.24

a) Determinarea vitezelor unghiulare

Vitezele unghiulare de rotație a barei OA în jurul lui O , respectiv a barei AB în jurul lui A , se determină prin derivare în raport cu timpul a legilor de mișcare ale celor două bare. Astfel,

$$\omega_0 = \dot{\alpha} = \omega, \quad \omega_A = \dot{\beta} = \omega. \quad (1)$$

b) Viteza absolută a punctului B

Având în vedere precizările făcute privind mișcările relativă și de transport, se pot scrie relațiile:

$v_r = \omega_A l_1 = \omega l_1$, $\bar{v}_r \perp \overline{AB}$, $v_t = \omega_0 \cdot OB = \omega \sqrt{l^2 + l_1^2 + 2ll_1 \cos \beta}$, $\bar{v}_t \perp \overline{OB}$,
întrucât,

$$OB = \sqrt{l^2 + l_1^2 + 2ll_1 \cos \beta} \text{ din triunghiul } OAB. \quad (2)$$

În conformitate cu (14.9) și (2), viteza absolută a punctului B este:

$$\bar{v}_a = \bar{v}_r + \bar{v}_t, \quad v_a = \omega \sqrt{l_1^2 + OB^2 + 2l_1 OB \cos \alpha_1}. \quad (3)$$

Din triunghiul OAB se obține:

$$\cos \alpha_1 = \frac{OB^2 + l_1^2 - l^2}{2l_1 \cdot OB}, \quad (4)$$

astfel că:

$$v_a = \omega \sqrt{l^2 + 4l_1^2 + 4l_1 l \cos \beta}. \quad (5)$$

14.3.20. Se dă un robot industrial constituit dintr-un modul de rotație (1), un modul de translație (2) și dispozitivul de prehensiune (3), a cărui schemă cinematică structurală este prezentată în figura 14.25. Cunoscând legile de mișcare $q_1=q_1(t)$; $q_2=q_2(t)$ ale modulelor componente și parametrii constructivi l_1 și l_2 , se cer să se determine viteza și accelerația absolută a centrului de greutate O_2 al modulului de translație.

Soluție:

În figura 14.26 s-au ales două sisteme de referință având originea comună în centrul O_1 , care este centrul de greutate al modulului de rotație și anume: un sistem fix $O_1x_1y_1z_1$ și un sistem mobil $Oxyz$ legat invariabil de brațul robotului.

- *Mișcarea relativă* este mișcarea centrului de greutate O_2 al modulului de translație în raport cu sistemul de referință mobil $Oxyz$;

Mișcarea de transport este mișcarea înregistrată față de sistemul fix $O_1x_1y_1z_1$ a unui punct N aparținând brațului robotului, care la momentul considerat coincide cu punctul O_2 ;

- *Mișcarea absolută* este mișcarea punctului O_2 în raport cu sistemul fix $O_1x_1y_1z_1$.

În conformitate cu (14.9), viteza absolută a punctului O_2 are expresia:

$$\vec{v}_a = \vec{v}_r + \vec{v}_t \tag{1}$$

în care:

$$\vec{v}_r = \dot{q}_2 \vec{j}, \quad \vec{v}_t = -\dot{q}_1 (l_2 + q_2) \vec{i}. \tag{2}$$

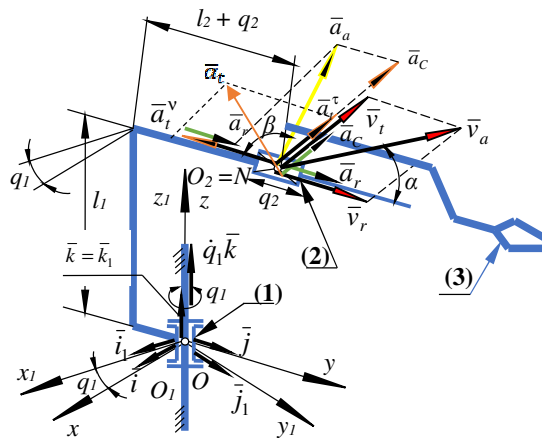


Fig. 14.25

Având în vedere (1), (2) și figura 14.25, se pot determina modulul și direcția vitezei absolute. Astfel,

$$v_a = \sqrt{\dot{q}_1^2 (l_2 + q_2)^2 + \dot{q}_2^2} \quad (3)$$

$$\operatorname{tg} \alpha = \dot{q}_1 (l_2 + q_2) / \dot{q}_2. \quad (4)$$

Accelerația absolută a centrului de greutate O_2 al modulului de translație are, în conformitate cu (14.13), expresia:

$$\bar{a}_a = \bar{a}_r + \bar{a}_t + \bar{a}_c \quad (5)$$

în care:

$$\bar{a}_r = \ddot{q}_2 \bar{j} \quad (6)$$

$$\bar{a}_t = \bar{a}_{t_v} + \bar{a}_{t_\tau}, \quad \bar{a}_{t_v} = -\dot{q}_1^2 (l_2 + q_2) \bar{j}, \quad \bar{a}_{t_\tau} = -\dot{q}_1^2 (l_2 + q_2) \bar{i}, \quad (7)$$

$$\bar{a}_c = 2\bar{\omega} \times \bar{v}_r = -2\dot{q}_1 \dot{q}_2 \bar{i}. \quad (8)$$

Introducând (6), (7) și (8) în (5), rezultă:

$$\bar{a}_a = -[\ddot{q}_1 (l_2 + q_2) + 2\dot{q}_1 \dot{q}_2] \bar{i} + [\ddot{q}_2 - \dot{q}_1^2 (l_2 + q_2)] \bar{j}. \quad (9)$$

Din relația (9) și figura 14.26 se pot determina modulul și direcția accelerației absolute a punctului O_2 astfel:

$$a_a = \sqrt{[\ddot{q}_1 (l_2 + q_2) + 2\dot{q}_1 \dot{q}_2]^2 + [\ddot{q}_2 - \dot{q}_1^2 (l_2 + q_2)]^2}, \quad (10)$$

$$\operatorname{tg} \beta = [\ddot{q}_1 (l_2 + q_2) + 2\dot{q}_1 \dot{q}_2] / [\ddot{q}_2 - \dot{q}_1^2 (l_2 + q_2)]. \quad (11)$$

14.3.21. Pentru bascularea brațului unui manipulator sau robot industrial în plan vertical, se poate utiliza modulul de basculare (rotație) prezentat în figura 14.26.

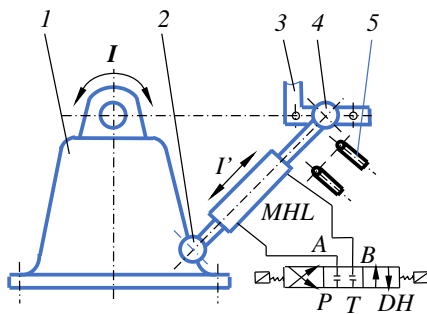


Fig. 14.26

absolută \bar{v}_a a centrului de greutate C al cilindrului 3.

Mișcarea de basculare I se obține cu un motor hidraulic liniar MHL comandat prin distribuitorul DH . Cunoscând dimensiunile constructive l_1 și l_2 (fig. 14.26), precum și viteza unghiulară ω_1 de rotație a brațului în jurul axului orizontal ce trece prin punctul O , se cer vitezele unghiulare ω_2 și ω_3 de rotație în jurul axelor orizontale ce trec prin punctele A și B și viteza

Soluție:

Având în vedere figura 14.26, datorită vitezei relative de deplasare a pistonului montat pe tija 2 a cilindrului hidraulic 3, tija pistonului are o *mişcare absolută* în jurul axei orizontale ce trece prin punctul A cu viteza unghiulară ω_2 , cilindrul hidraulic 3 are o *mişcare de rotație relativă* față de brațul robotului în jurul axei orizontale ce trece prin B cu viteza unghiulară ω_3 , în timp ce brațul robotului se rotește în jurul axului ce trece prin O cu viteza unghiulară ω_1 .

Elementele cinematice ω_2 , ω_3 și \bar{v}_a se vor determina în funcție de unghiul φ , unghi care poziționează modulul la un moment dat, precum și de viteza unghiulară de rotație ω_1 .

Aplicând teorema sinusului în triunghiul OAB, se obține:

$$\frac{AB}{\sin \varphi} = \frac{l_1}{\sin \psi} = \frac{l_2}{\sin \theta} \quad (1)$$

Având în vedere (1) și figura 14.26, se obțin relațiile:

$$\sin \psi = \frac{l_1 \sin \varphi}{\sqrt{l_1^2 + l_2^2 - 2l_1l_2 \cos \varphi}} \quad (2)$$

$$\sin \theta = \frac{l_2 \sin \varphi}{\sqrt{l_1^2 + l_2^2 - 2l_1l_2 \cos \varphi}} \quad (3)$$

Se derivează în raport cu timpul relațiile (2) și (3) și se obțin vitezele unghiulare ω_2 și ω_3 :

$$\omega_2 = \omega_1 l_2 \frac{-\cos \varphi (l_1^2 + l_2^2 - 2l_1l_2 \cos \varphi) + 2l_1l_2 \sin^2 \varphi}{(l_1^2 + l_2^2 - 2l_1l_2 \cos \varphi) \sqrt{l_1^2 + l_2^2 - 2l_1l_2 \cos \varphi} - l_2^2 \sin^2 \varphi} \quad (4)$$

$$\omega_3 = \omega_1 l_1 \frac{\cos \varphi (l_1^2 + l_2^2 - 2l_1l_2 \cos \varphi) - 2l_1l_2 \sin^2 \varphi}{(l_1^2 + l_2^2 - 2l_1l_2 \cos \varphi) \sqrt{l_1^2 + l_2^2 - 2l_1l_2 \cos \varphi} - l_2^2 \sin^2 \varphi} \quad (5)$$

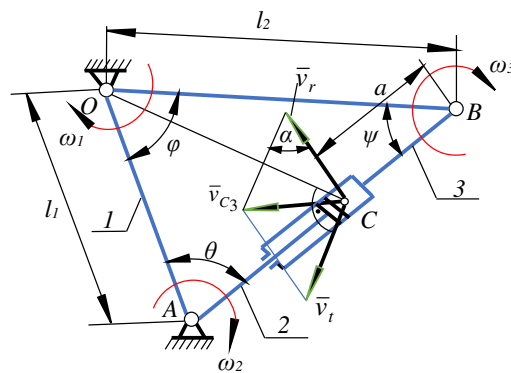


Fig. 14.27

Viteza absolută \bar{v}_a (fig. 14.27) a centrului de greutate al elementului (3) se determină cu relația vectorială:

$$\bar{v}_a = \bar{v}_r + \bar{v}_t, \quad (6)$$

în care valorile vitezelor relativă și de transport sunt date de expresiile:

$$v_r = \omega_1 a l_1 \frac{\cos \varphi (l_1^2 + l_2^2 - 2l_1 l_2 \cos \varphi) - l_1 l_2 \sin^2 \varphi}{(l_1^2 + l_2^2 - 2l_1 l_2 \cos \varphi) \sqrt{(l_1^2 + l_2^2 - 2l_1 l_2 \cos \varphi - l_1^2 \sin^2 \varphi)}}, \quad (7)$$

$$v_t = \omega_1 \sqrt{\frac{(l_2^2 + a^2)(l_1^2 + l_2^2 - 2l_1 l_2 \cos \varphi) - 2a l_2 (l_1^2 + l_2^2 - 2l_1 l_2 \cos \varphi - l_1^2 \sin^2 \varphi)}{l_1^2 + l_2^2 - 2l_1 l_2 \cos \varphi}}. \quad (8)$$

Modulul vitezei absolute \bar{v}_a , având în vedere (6) - (8), este:

$$v_a = \sqrt{v_r^2 + v_t^2 - 2v_r v_t \cos \alpha} \quad (9)$$

relație în care, conform figurii 14.27, $\cos \alpha$ are valoarea:

$$\cos \alpha = \sqrt{\frac{(l_2^2 + a^2)(l_1^2 + l_2^2 - 2l_1 l_2 \cos \varphi) - 2a l_2 (l_1^2 + l_2^2 - 2l_1 l_2 \cos \varphi - l_1^2 \sin^2 \varphi) - l_1^2 l_2^2 \sin^2 \varphi}{(l_2^2 + a^2)(l_1^2 + l_2^2 - 2l_1 l_2 \cos \varphi) - 2a l_2 (l_1^2 + l_2^2 - 2l_1 l_2 \cos \varphi - l_1^2 \sin^2 \varphi)}}. \quad (10)$$

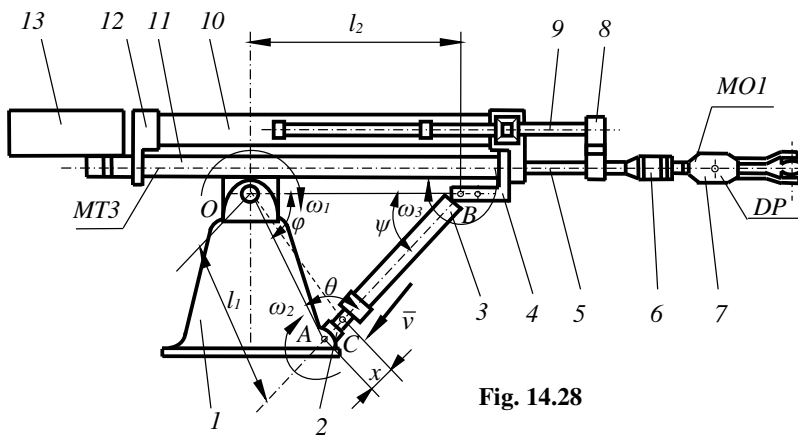


Fig. 14.28

Modulul de basculare, prezentat schematic în figura 14.27, constituie parte componentă a robotului industrial electrohidraulic VIPAS 1. În figura 14.28 se prezintă, în principiu, asamblarea modului cu brațul robotului, în structura căruia intră: modulul de translație MT3, modulul de orientare MO1 și dispozitivul de prehensiune acționat pneumatic.

14.4 Probleme propuse

14.4.1. Un punct M pornește din vârful O al unui con și se mișcă uniform pe generatoarea conului cu viteza \bar{u} , în timp ce conul se rotește în jurul axei sale cu viteza unghiulară constantă $\bar{\omega}$. Să se afle mărimea vitezei și accelerației absolute a punctului M după (t) secunde de la începutul mișcării (fig. 14.29).

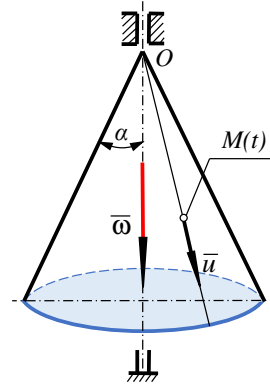


Fig. 14.29

Răspuns:

$$v_a = u\sqrt{1 + \omega^2 t^2 \sin^2 \alpha}$$

$$a_a = \omega u \sin \alpha \sqrt{\omega^2 t^2 + 4}.$$

14.4.2. Un tub drept orizontal se rotește în jurul unei axe verticale cu viteza unghiulară constantă ω . În tub se găsește o bilă care alunecă în lungul axei tubului după legea:

$$r = \frac{k}{2} (e^{\omega t} + e^{-\omega t}),$$

unde: r reprezintă distanța de la bilă până la axa de rotație a tubului. Să se determine modulul vitezei și al accelerației absolute a bilei în funcție de r (fig. 14.30).

Răspuns:

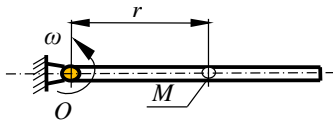


Fig. 14.30

$$v_a = \omega\sqrt{2r^2 - k^2}, \quad a_a = 2\omega^2\sqrt{r^2 - k^2}.$$

14.4.3. Un punct M se mișcă uniform pe un cerc de rază r , în sensul acelor de ceasornic, făcând n_1 ture pe secundă; cercul se rotește în același timp și în jurul centrului său în sens opus, cu n rotații pe secundă. Să se determine valoarea accelerației absolute a punctului M .

Răspuns: $a_a = r\pi^2 4(n - n_1)^2$.

14.4.4. Pe o coardă AB a unui disc (fig. 14.31), care se rotește cu viteza unghiulară constantă ω în jurul unui ax perpendicular în centrul O pe planul discului, se deplasează un punct M care a pornit din mijlocul C al coardei cu viteza relativă constantă \bar{u} . Distanța de la centrul O al discului până la coarda AB este a . Să se determine viteza și accelerația absolută a punctului M în funcție de x .

Răspuns:

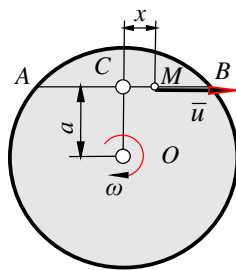


Fig. 14.31

$$v_a = \sqrt{\omega^2 x^2 + (u + \omega a)^2};$$

$$a_a = \omega \sqrt{\omega^2 x + (2u + \omega a)^2}.$$

14.4.5. O bară cotită în unghi drept OAB se rotește în sens orar, cu viteza unghiulară constantă ω , în jurul articulației fixe O și intersectează în punctul M bara fixă CD . Să se determine pe cale grafică viteza și accelerația punctului M în mișcarea sa pe cele două bare (fig. 14.32) într-o poziție oarecare (r , d și ω se aleg arbitrar).

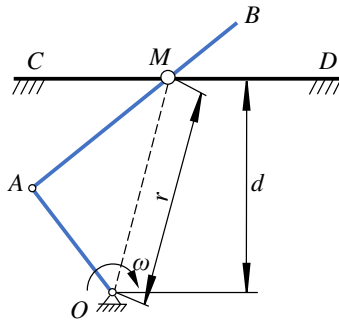


Fig. 14.32

14.4.6. Se consideră mecanismul din figura 14.33 format din barele O_1M și O_2N articulate cilindric în punctele O_1 și O_2 și legate între ele prin culisa M . Să se determine grafic vitezele și accelerațiile culisei M , pentru poziția mecanismului aleasă arbitrar, în următoarele cazuri:

- a) Bara O_1M se rotește cu ω_1 constant în jurul lui O_1 ;
- b) Bara O_2N se rotește cu ω_2 constant în jurul lui O_2 .

Rotațiile vor fi alese în ambele sensuri posibile.

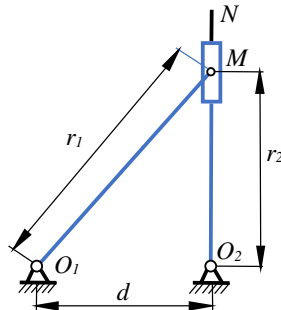


Fig. 14.33

14.4.7. Se consideră cadrul dreptunghiular $ABCD$ ($AD = a$) din figura 14.34 care se rotește cu viteza unghiulară $\omega = \omega_0$ ($\omega_0 = \text{constant}$) și un punct material M care cade liber (cu accelerația \bar{g}) în interiorul tubului CD solidar cu cadrul și paralel cu axa verticală de rotație. Se cer să se determine pentru punctul M viteza absolută \bar{v}_a și accelerația absolută \bar{a}_a la momentul (t).

Răspuns:

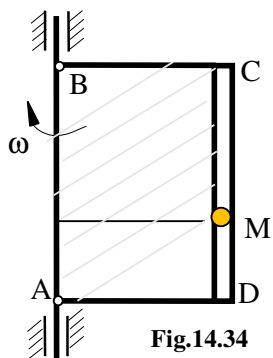


Fig.14.34

$$v_a = \sqrt{a^2 \omega_0^2 + g^2 t^2} ;$$

$$a_a = \sqrt{g^2 + \omega^4 a^2} .$$

14.4.8. Se consideră cadrul semicircular AB de rază R care se rotește cu viteza unghiulară $\omega = \omega_0$ (constantă) în jurul unui diametru vertical, precum și un punct material M care se deplasează pe arcul AB solidar cu cadrul, plecând din M_0 cu viteza constantă v_0 . Se cer să se determine pentru M viteza absolută \bar{v}_a și accelerația absolută \bar{a}_a la momentul (t) (fig. 14.35).

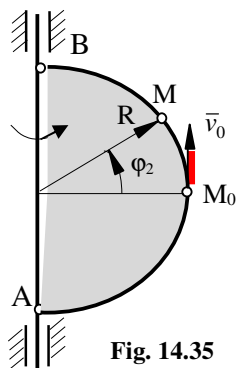


Fig. 14.35

Răspuns:

$$v_a = \sqrt{v_r^2 + v_t^2} = \sqrt{v_0^2 + \omega_0^2 R^2 \cos^2 \varphi_2} .$$

$$a_a = \sqrt{a_x^2 + a_y^2 + a_z^2} = \sqrt{\left(\frac{v_0^2}{R} + R\omega_0^2\right)^2 + \left(4\omega_0^2 v_0^2 + \frac{v_0^4}{R^2} \sin^2 \varphi_2\right)} .$$

III. DINAMICA

15. DINAMICA PUNCTULUI MATERIAL ^[5]

Dinamica este a treia parte a mecanicii teoretice și cea mai complexă dintre acestea, ea ocupându-se cu studiul mișcării unui punct material, corp (solid rigid) sau sistem de corpuri (solide rigide) ținând cont de caracterul material și de cauzele care produc mișcarea. Dinamica punctului material studiază cauzele mișcării punctului material/rigidului aflat sub acțiunea unor forțe și a cărui mișcare se raportează la un sistem de referință inerțial.

15.1 Principiile dinamicii newtoniene

15.1.1 Noțiuni introductive

În mecanică, pentru a evidenția mișcarea corpurilor este necesară alegerea unui *sistem de referință (reper)*, acesta putând fi *fix* sau *mobil*. Din această cauză proprietățile mișcării depind de sistemul de referință utilizat. În mecanică cel mai convenabil este să se aleagă un *sistem de referință inerțial* față de care este valabilă legea lui Newton și față de care *un punct material liber se deplasează rectiliniu și uniform cu viteză constantă în modul și orientare*.

Trebuie ținut cont de faptul că sistemele de corpuri și corpurile care ne înconjoară se găsesc în interacțiune directă, iar interacțiunea dintre corpuri este prezentă printr-un vector numit forță. Inițial, pentru simplificarea demonstrațiilor corpul/solidul rigid se va reduce la un punct material liber de dimensiuni neglijabile și aflat sub acțiunea forțelor exterioare.

15.1.2 Principiile dinamicii

Legile lui Newton sau **principiile fundamentale ale mecanicii** sunt *trei legi* sau *principii ale fizicii* care redau o legătură directă între forțele care acționează asupra unui punct material sau corp și mișcarea acelui punct/corp (solid rigid). Aceste principii au fost enunțate pentru prima dată de Isaac Newton prin prisma continuării experimentelor efectuate de Galilei. Aceste trei legi sau principii formează baza mecanicii clasice, experimentate de Newton pentru a explica mișcarea obiectelor fizice. De asemenea, Newton a arătat că aceste legi în combinație cu legea atracției universale, redau legile lui Kepler privind mișcarea planetelor. De menționat că toate aceste principii se referă la *corpuri macroscopice* care se mișcă cu viteze mult mai mici decât viteza luminii în vid ($3 \cdot 10^8$ m/s), iar dacă această valoare este depășită, atunci mișcărilor lor se supun mecanicii relativiste a lui Einstein.

În cele ce urmează, se vor enunța principiile mecanicii sau principiile lui Newton care constituie adevăruri și care nu trebuie demonstrate sau verificate.

- *Principiul I* sau *Principiul inerției*. Un punct material tinde să-și mențină starea de repaus relativ sau de mișcare rectilinie și uniformă atât timp cât nu se află sub acțiunea unor forțe exterioare.

- *Principiul II* sau *Principiul fundamental al dinamicii*. Variația în timp (dt) a mărimii impuls \vec{p} a unui punct material este egală cu forța rezultantă \vec{F} ce acționează asupra acestuia.

$$\frac{d\vec{p}}{dt} = \vec{F} = m \cdot \vec{a} . \quad (15.1)$$

- *Principiul III* sau *Principiul acțiunii și reacțiunii* sau *Principiul forței*.

Pentru două corpuri care se află în interacțiune, forțele ce acționează în parte asupra acestora sunt egale ca mărime, dar opuse ca sens. Aceste forțe se numesc *acțiune* și *reacțiune* și ele acționează asupra a două corpuri diferite.

15.2 Dinamica punctului material liber

Unul din scopurile urmărite la mișcarea dinamică a unui corp este determinarea *ecuației de mișcare* a lui sau a *ecuației traiectoriei*. Pentru a studia și demonstra această problemă, în demonstrații se pornește de la principiul al II-lea al dinamicii care ne permite scrierea ecuației diferențiale a mișcării. Ecuația diferențială rezultată va fi de ordinul al II-lea. De obicei, pentru soluționarea ei se apelează la condițiile inițiale ale mișcării cunoscute, în scopul determinării constantelor de integrare rezultate.

$$m\bar{a} = \bar{F} . \quad (15.2)$$

unde: m - masa punctului material;

\bar{a} - accelerația punctului material;

\bar{F} - rezultanta forțelor exterioare care acționează asupra punctului material.

Relația (15.2) este cunoscută ca *ecuația fundamentală a dinamicii*.

În dinamică forța \bar{F} depinde de următoarele variabile: vectorul de poziție \bar{r} , viteza \bar{v} și de timp (t) astfel:

$$\bar{F} = \bar{F}(\bar{r}, \bar{v}, t) . \quad (15.3)$$

Cum accelerația și viteza au relațiile: $\bar{a} = \dot{\bar{r}}$; $\bar{v} = \dot{\bar{r}}$, ecuația (15.3) devine:

$$m\ddot{\bar{r}} = \bar{F}(\bar{r}, \dot{\bar{r}}, t) . \quad (15.4)$$

Dinamica punctului material poate aborda rezolvarea problemelor în două moduri, de obicei numite *prima și a doua problemă fundamentală a dinamicii*, ele fiind detaliate în cele ce urmează.

Simplist spus, *prima problemă* se referă la aflarea forțelor cunoscând ecuațiile mișcării, iar *a doua problemă* se referă la aflarea ecuațiilor de mișcare dacă se cunosc forțele.

- **Problema directă** sau *prima problemă fundamentală a dinamicii punctului material*:

Se cunosc ecuațiile de mișcare a punctului material și se determină forța \vec{F} care imprimă punctului material de masă m mișcarea din figura 15.1.

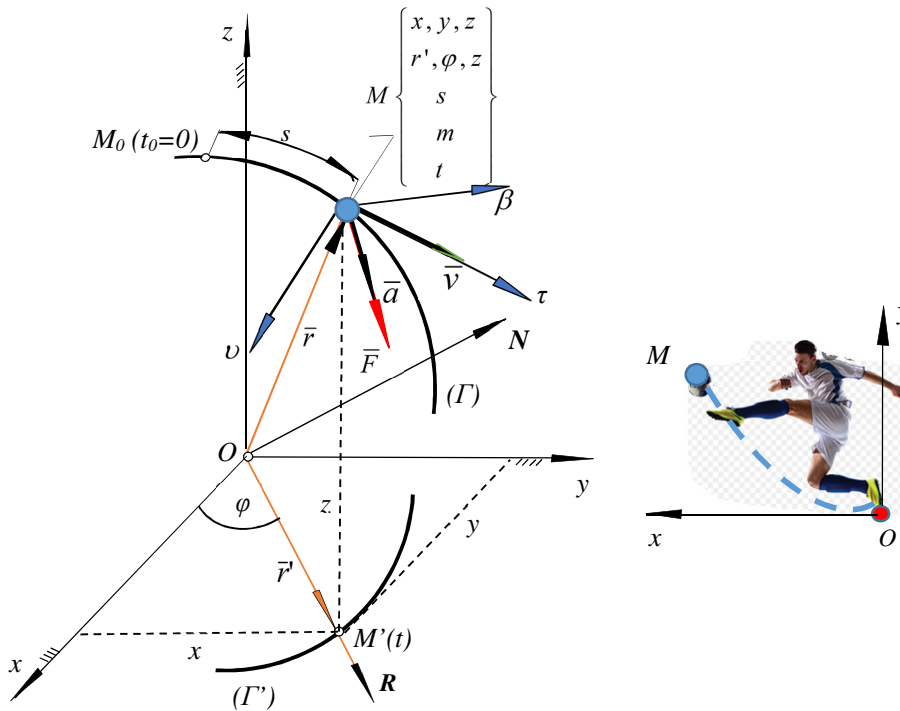


Fig. 15.1

Ecuațiile mișcării punctului material exprimate în diferite sisteme de coordonate, au următoarele forme:

$$\begin{cases} x = x(t) & \text{(sistem de coordonate cartezian)} \\ y = y(t) \\ z = z(t) \end{cases} \quad (15.5)$$

$$\begin{cases} r' = r'(t) & \text{(sistem de coordonate cilindric)} \\ \varphi = \varphi(t) \\ z = z(t) \end{cases} \quad (15.6)$$

$$s = s(t) \quad \text{(sistem de coordonate intrinseci)} \quad (15.7)$$

Proiectând ecuația vectorială (15.4) pe axele diferitelor sisteme de referință și ținând cont de relațiile (15.5) – (15.7), se obține forța \bar{F} ca modul și direcție. Astfel,

- În sistem de coordonate cartezian

$$F_x = m\ddot{x}; \quad F_y = m\ddot{y}; \quad F_z = m\ddot{z};$$

$$F = \sqrt{F_x^2 + F_y^2 + F_z^2}; \quad \cos(\bar{F}, Ox) = \frac{F_x}{F}; \quad \cos(\bar{F}, Oy) = \frac{F_y}{F}; \quad \cos(\bar{F}, Oz) = \frac{F_z}{F}. \quad (15.8)$$

- În sistem de coordonate cilindric

$$F_r = m(\ddot{r} - r'\dot{\varphi}^2); \quad F_n = m(r'\ddot{\varphi} + 2r'\dot{\varphi}); \quad F_z = m\ddot{z};$$

$$F = \sqrt{F_r^2 + F_n^2 + F_z^2}; \quad \cos(\bar{F}, OR) = \frac{F_r}{F}; \quad \cos(\bar{F}, ON) = \frac{F_n}{F}; \quad \cos(\bar{F}, OZ) = \frac{F_z}{F}. \quad (15.9)$$

- În sistem de coordonate intrinsec

$$F_\tau = m\ddot{s}; \quad F_\vartheta = \frac{\dot{s}^2}{\rho}; \quad F_\beta = 0;$$

$$F = \sqrt{F_\tau^2 + F_\vartheta^2 + F_\beta^2}; \quad \cos(\bar{F}, M\tau) = \frac{F_\tau}{F}; \quad \cos(\bar{F}, M\vartheta) = \frac{F_\vartheta}{F}; \quad \cos(\bar{F}, M\beta) = 0. \quad (15.10)$$

• **Problema inversă** sau *a doua problemă fundamentală a dinamicii punctului material*

Se determină ecuația vectorială sau ecuațiile scalare ale traiectoriei punctului material, cunoscând forța, poziția și viteza punctului la un moment dat prin vectorul de poziție:

$$r = r(t). \quad (15.11)$$

Ecuația vectorială a mișcării punctului material se poate afla printr-o dublă integrare a ecuației (15.2).

Proiectând ecuația (15.2) pe axele diferitelor sisteme de coordonate, se obțin ecuațiile diferențiale scalare ale mișcării punctului material. Astfel,

$$a) \text{ în coordonate carteziene: } \begin{cases} m\ddot{x} = F_x \\ m\ddot{y} = F_y \\ m\ddot{z} = F_z \end{cases} ; \quad (15.12)$$

$$b) \text{ în coordonate cilindrice: } \begin{cases} m(\ddot{r}' - r'\dot{\phi}^2) = F_r \\ m(r'\ddot{\phi} + 2\dot{r}'\dot{\phi}) = F_n \\ m\ddot{z} = F_z \end{cases} ; \quad (15.13)$$

$$c) \text{ în coordonate intrinseci: } \begin{cases} m\ddot{s} = F_\tau \\ m\frac{\dot{s}^2}{\rho} = F_\theta \\ 0 = F_\beta \end{cases} . \quad (15.14)$$

O particularitate a mișcării este cazul în care traiectoria punctului este o curbă plană de ecuație ($z = 0$) astfel că, în sistemele de ecuații (15.12) – (15.14) nu apare coordonata z . În cazul mișcării rectilinii, ecuația devine: $m\ddot{x} = F$.

În acest al doilea caz, este cunoscută forța \vec{F} care acționează asupra punctului, ea fiind funcție de timp, poziție și viteza punctului, respectiv sunt cunoscute și proiecțiile acestei forțe pe axele sistemului de referință ales. Se va studia mișcarea punctului material raportată la sistemul de referință cartezian. Forța \vec{F} are expresia:

$$\vec{F} = \vec{F}(\vec{r}, \dot{\vec{r}}, t) . \quad (15.15)$$

astfel, componentele carteziene ale forței sunt:

$$\begin{cases} F_x = F_x(t, x, y, z, \dot{x}, \dot{y}, \dot{z}) \\ F_y = F_y(t, x, y, z, \dot{x}, \dot{y}, \dot{z}) \\ F_z = F_z(t, x, y, z, \dot{x}, \dot{y}, \dot{z}) . \end{cases} \quad (15.16)$$

Pentru a putea determina ecuațiile mișcării, trebuie cunoscute condițiile inițiale ale mișcării la momentul inițial (t_0), ele fiind date prin poziția inițială a punctului $M_0(x_0, y_0, z_0)$ și viteza inițială $\vec{v}_0(\dot{x}_0, \dot{y}_0, \dot{z}_0)$, adică la momentul (t_0):

$$t_0 = 0, \quad \begin{aligned} x &= x_0, y = y_0, z = z_0 \\ \dot{x} &= \dot{x}_0, \dot{y} = \dot{y}_0, \dot{z} = \dot{z}_0 \end{aligned}, \quad (15.17)$$

Se dorește determinarea *ecuațiilor de mișcare ale punctului material M*:

$$x = x(t), y = y(t), z = z(t) . \quad (15.18)$$

Rezolvarea problemei se face plecând de la ecuațiile diferențiale (15.12) în care se introduc în membrul doi pentru F_x, F_y, F_z , expresiile (15.16). Se obțin astfel:

$$\begin{aligned} m\ddot{x} &= F_x(t, x, y, z, \dot{x}, \dot{y}, \dot{z}) \\ m\ddot{y} &= F_y(t, x, y, z, \dot{x}, \dot{y}, \dot{z}) . \\ m\ddot{z} &= F_z(t, x, y, z, \dot{x}, \dot{y}, \dot{z}) \end{aligned} \quad (15.19)$$

Prin integrarea sistemului (15.19), rezultă coordonatele punctului în funcție de timp și de șase constante de integrare ($C_i, i = 1 \div 6$).

$$\begin{aligned} x &= x(t, C_1, C_2, C_3, C_4, C_5, C_6) \\ y &= y(t, C_1, C_2, C_3, C_4, C_5, C_6) . \\ z &= z(t, C_1, C_2, C_3, C_4, C_5, C_6) \end{aligned} \quad (15.20)$$

Pentru determinarea celor șase constante de integrare se derivează în funcție de timp relațiile (15.20), obținând:

$$\begin{aligned} \dot{x} &= \dot{x}(t, C_1, C_2, C_3, C_4, C_5, C_6) \\ \dot{y} &= \dot{y}(t, C_1, C_2, C_3, C_4, C_5, C_6) . \\ \dot{z} &= \dot{z}(t, C_1, C_2, C_3, C_4, C_5, C_6) \end{aligned} \quad (15.21)$$

Introducând condițiile inițiale ale mișcării în relațiile (15.20) și (15.21), se obțin constantele de integrare $C_1, C_2, C_3, C_4, C_5, C_6$ din sistemul:

$$\begin{aligned}
x_0 &= x_0(0, C_1, C_2, C_3, C_4, C_5, C_6) \\
y_0 &= y_0(0, C_1, C_2, C_3, C_4, C_5, C_6) \\
z_0 &= z_0(0, C_1, C_2, C_3, C_4, C_5, C_6) \\
\dot{x}_0 &= \dot{x}_0(0, C_1, C_2, C_3, C_4, C_5, C_6) \\
\dot{y}_0 &= \dot{y}_0(0, C_1, C_2, C_3, C_4, C_5, C_6) \\
\dot{z}_0 &= \dot{z}_0(0, C_1, C_2, C_3, C_4, C_5, C_6)
\end{aligned}
\tag{15.22}$$

Astfel,

$$C_i = C_i(x_0, y_0, z_0, \dot{x}_0, \dot{y}_0, \dot{z}_0), i = 1 \div 6 \tag{15.23}$$

Constantele de integrare astfel determinate se înlocuiesc în relațiile (15.20), rezultând ecuațiile de mișcare ale punctului material M:

$$\begin{aligned}
x &= x(t, x_0, y_0, z_0, \dot{x}_0, \dot{y}_0, \dot{z}_0) \\
y &= y(t, x_0, y_0, z_0, \dot{x}_0, \dot{y}_0, \dot{z}_0) \\
z &= z(t, x_0, y_0, z_0, \dot{x}_0, \dot{y}_0, \dot{z}_0) \\
x &= x(t); \quad y = y(t); \quad z = z(t) .
\end{aligned}
\tag{15.24}$$

15.3 Dinamica punctului material aflat sub acțiunea forței centrale

Se înțelege prin *forță centrală* a unui punct material, o forță care acționează asupra acestuia și la care suportul ei trece în permanență printr-un punct fix numit *centrul forței*. Mișcarea unui punct sub acțiunea unei forțe centrale se numește *mișcare centrală*. Problema mișcării punctului sub acțiunea unei forțe centrale este descrisă de **ecuația lui Binét**. Acesta prin studiile sale din 1831, cuprinse în lucrările „*Memorii asupra determinării mișcării orbitelor planetelor și cometelor*” și „*Memorii despre inegalitățile seculare ale mișcării planetelor*” din 1840, și-a făcut cunoscute studiile privind demonstrarea ecuației care îi poartă numele.

În figura 15.2 se consideră un punct aflat sub acțiunea forței centrale \vec{F} care trece prin punctul O. Se notează cu $\vec{\rho}$ - versorul vectorului de poziție $\vec{r} = \overline{OM}$, astfel că forța \vec{F} se poate scrie:

$$\vec{F} = F\vec{\rho} . \tag{15.25}$$

Dacă forța din relația (15.25) este pozitivă $F > 0$, se va numi **forță repulsivă** sau **de respingere**, în caz contrar $F < 0$ se va numi **forță de atracție** sau **atractivă**.

În continuare, se studiază mișcarea centrală a punctului M .

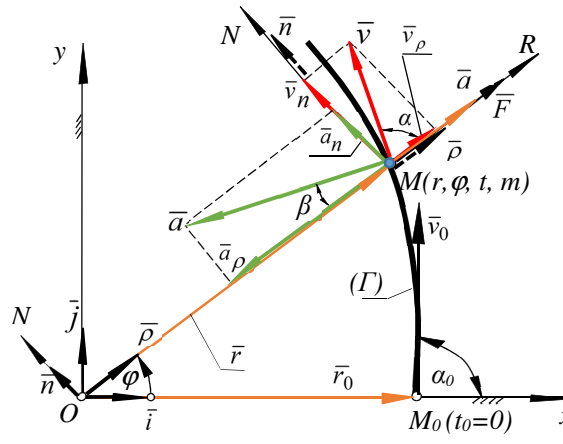


Fig. 15.2

15.3.1 Proprietățile punctului material aflat în mișcare centrală

Pentru demonstrarea primei proprietăți a mișcării centrale se apelează la ecuația fundamentală a dinamicii dată de (15.2), care înmulțită vectorial la stânga cu vectorul de poziție \bar{r} (\bar{r} și \bar{F} sunt vectori coliniari), va deveni succesiv:

$$\bar{r} \times | m\bar{a} = \bar{F} \tag{15.26}$$

$$\bar{r} \times m\bar{a} = \bar{r} \times \bar{F} = 0 \quad | : m \tag{15.27}$$

Relația (15.27) se împarte cu masa m și se transformă succesiv astfel:

$$\frac{d}{dt}(\bar{r} \times \bar{v}) = \dot{\bar{r}} \times \bar{v} + \bar{r} \times \dot{\bar{v}} = \bar{v} \times \bar{v} + \bar{r} \times \bar{a} = \bar{r} \times \bar{a},$$

$$\frac{d}{dt}(\bar{r} \times \bar{v}) = 0 . \quad (15.28)$$

așadar, $\bar{r} \times \bar{v} = \bar{C}$; \bar{C} = vector constant. (15.29)

Dacă relația (15.29) se înmulțește scalar cu \bar{r} , se obține *ecuația unui plan*:

$$\bar{r} \cdot (\bar{r} \times \bar{v}) = \bar{r} \cdot \bar{C} = 0 . \quad (15.30)$$

Se consideră că proiecțiile vectorului constant \bar{C} pe axele sistemului de referință $Oxyz$ sunt C_x, C_y, C_z , O fiind centrul forțelor. Astfel, ecuația (15.30) devine:

$$C_x x + C_y y + C_z z = 0 . \quad (15.31)$$

Relația (15.31) reprezintă *ecuația unui plan care trece prin originea O și care plan este normal pe vectorul \bar{C}* . Se desprinde astfel, *prima proprietate a mișcării centrale* și anume: *Traectoria unui punct material liber acționat de o forță centrală este plană, mișcarea având loc într-un plan ce conține centrul forțelor.*

Pentru demonstrarea altor proprietăți ale mișcării centrale și pentru simplificarea studiului, se alege un sistem de referință polar (RMN) (fig. 15.2). Proiectând ecuația (15.26) pe direcțiile versorilor $\bar{\rho}$ și \bar{n} (fig. 15.2), se obțin ecuațiile diferențiale scalare ale mișcării centrale, scrise sub forma:

$$\begin{cases} m(\ddot{r} - r\dot{\varphi}^2) = F \\ m(r\ddot{\varphi} + 2\dot{r}\dot{\varphi}) = 0 \end{cases} . \quad (15.32)$$

A doua ecuație a sistemului (15.32) se poate scrie succesiv astfel:

$$r\ddot{\varphi} + 2\dot{r}\dot{\varphi} = \frac{1}{r}(r^2\ddot{\varphi} + 2r\dot{r}\dot{\varphi}) = \frac{1}{r} \frac{d}{dt}(r^2\dot{\varphi}) = 0 . \quad (15.33)$$

Ținând cont că vectorul de poziție \vec{r} este finit, rezultă că:

$$\frac{d}{dt}(r^2\dot{\varphi})=0, \quad (15.34)$$

de unde rezultă:

$$r^2\dot{\varphi}=C(const.). \quad (15.35)$$

În mecanică, pentru a exprima semiprodusul vectorial $\vec{r} \times \vec{v}$ se introduce o mărime notată cu $\bar{\Omega}$:

$$\bar{\Omega}=\frac{1}{2}\vec{r}\times\vec{v}, \text{ respectiv } \Omega=\frac{1}{2}rv\sin\alpha=\frac{1}{2}rv_n. \quad (15.36)$$

Relația (15.36) este numită **viteză areolară**. Înlocuind în expresia vitezei areolare componenta vitezei $v_n = r\dot{\varphi}$, rezultă:

$$\Omega=\frac{1}{2}r^2\dot{\varphi}=\frac{1}{2}C. \quad (15.37)$$

Astfel că prin relația (15.37) rezultă cea de *a doua proprietate a mișcării centrale dată de viteza areolară*: *În mișcarea centrală, viteza areolară este constantă sau raza vectoare mătură arii egale în intervale de timp egale.*

Constanta C, care intervine în relațiile (15.35) – (15.37) poartă numele de **constantă ariilor** și se determină ținând seama de condițiile inițiale ale mișcării.

$$C=r^2\dot{\varphi}=rv\sin\alpha=r_0v_0\sin\alpha_0. \quad (15.38)$$

Se înlocuiește cea de a doua ecuație a sistemului (15.32) cu ecuația (15.38) și se obține:

$$\begin{cases} m(\ddot{r} - r\dot{\varphi}^2) = F \\ r^2\dot{\varphi} = C \end{cases} \quad (15.39)$$

Din relația (15.39) se obțin soluțiile căutate la mișcarea centrală, respectiv: $r = r(t)$; $\varphi = \varphi(t)$ care sunt *ecuațiile parametrice ale traiectoriei* sau *ecuațiile de mișcare* în coordonate polare. Prin eliminarea parametrului (t) din aceste ecuații, se obține *ecuația traiectoriei* sub formă explicită sau implicită:

$$r = r(\varphi), \quad f(r, \varphi) = 0. \quad (15.40)$$

Pentru simplificarea calculelor, se înlocuiește sistemul dat cu o ecuație diferențială având funcția r și variabila φ , astfel că sistemul (15.39) devine:

$$\begin{cases} \dot{\varphi} = \frac{C}{r^2} \\ \ddot{r} - \frac{C^2}{r^3} = \frac{F}{m} \end{cases} \quad (15.41)$$

Analizând prima ecuație a sistemului (15.41) și efectuând calculele rezultă:

$$\dot{r} = \frac{dr}{dt} = \frac{dr}{dt} \frac{d\varphi}{d\varphi} = \frac{dr}{d\varphi} \dot{\varphi} = \frac{C}{r^2} \frac{dr}{d\varphi} = -C \frac{d\left(\frac{1}{r}\right)}{d\varphi}, \quad (15.42)$$

$$\ddot{r} = \frac{d\dot{r}}{dt} = \frac{d\dot{r}}{dt} \frac{d\varphi}{d\varphi} = \frac{d\dot{r}}{d\varphi} \dot{\varphi} = -\frac{C^2}{r^2} \frac{d^2\left(\frac{1}{r}\right)}{d\varphi^2}. \quad (15.43)$$

Înlocuind (15.43) în a doua ecuație din (15.41) și notând:

$$u = \frac{1}{r}, \quad (15.44)$$

rezultă *ecuația lui Binét*, care este o ecuație diferențială de ordinul doi:

$$\frac{d^2u}{d\varphi^2} + u = -\frac{F}{mc^2u^2}. \quad (15.45)$$

Ecuția (15.45) este ecuația traiectoriei unui punct material. Prin integrarea acesteia se obțin soluțiile:

$$u = u(\varphi, C_1, C_2). \quad (15.46)$$

Pentru determinarea constantelor de integrare se impun condițiile inițiale ale mișcării, acestea fiind cunoscute la momentul $t_0 = 0$. Astfel, pentru $\varphi = \varphi_0$, $r = r_0$, $v = v_0$, rezultă:

$$r_0 = \frac{1}{u(\varphi_0, C_1, C_2)}. \quad (15.47)$$

Pentru că viteza la un moment dat este în funcție de unghiul polar φ , aceasta devine:

$$v = \sqrt{v_r^2 + v_n^2} = \sqrt{\dot{r}^2 + r^2\dot{\varphi}^2} = \sqrt{C^2\left(\frac{du}{d\varphi}\right)^2 + r^2\frac{C^2}{r^4}} = C\sqrt{\left(\frac{du}{d\varphi}\right)^2 + u^2}. \quad (15.48)$$

Introducând în (15.48) condițiile inițiale ale mișcării, având în vedere (15.46), se obține viteza inițială v_0 , a cărei expresie este:

$$v_0 = C\sqrt{[u'(\varphi_0, C_1, C_2)]^2 + [u(\varphi_0, C_1, C_2)]^2}. \quad (15.49)$$

Din relațiile (15.47) și (15.49) se obțin constantele de integrare C_1 și C_2 în funcție de r_0 , v_0 și φ_0 . Înlocuindu-le în (15.47), rezultă *ecuația traiectoriei de mișcare* sub formă polară:

$$r = \frac{1}{u(\varphi, r_0, v_0, \varphi_0)} \text{ sau } r = r(\varphi). \quad (15.50)$$

Din a doua relație a sistemului (15.39), se poate scrie expresia:

$$dt = \frac{1}{C}r^2d\varphi, \quad (15.51)$$

care va conduce prin integrare la soluția:

$$t = \frac{1}{C} \int r^2(\varphi) d\varphi + C_3. \quad (15.52)$$

Constanta de integrare C_3 se deduce impunând condiția ca la momentul: $t_0 = 0, \varphi = \varphi_0$. Introducând expresia $C_3 = C_3(\varphi_0)$ în (15.52), se obține:

$$\varphi = \varphi(t). \quad (15.53)$$

Având în vedere (15.53), relația (15.50) devine:

$$r = r(t). \quad (15.54)$$

Utilitatea practică a cunoașterii ecuației lui Binét a condus la determinarea vitezelor cosmice:

Viteza cosmică se referă la viteza minimă necesară unei nave spațiale ca să se rotească în jurul Pământului și să nu fie influențată de gravitația Terrei sau să poată părăsi sistemul solar. Tot Newton și-a dat seama că un proiectil lansat cu o viteză suficient de mare va putea să se rotească în jurul Pământului pe o orbită geostaționară. Dacă viteza acestuia va crește și mai mult, vehiculul ar putea părăsi definitiv Pământul. Astfel, s-au demonstrat cele trei valori ale vitezelor cosmice fără să se insiste asupra demonstrării valorii acestora. În continuare, se prezintă cele trei viteze cosmice:

Prima viteză cosmică este aproximativ **7,9 km/s**.

A doua viteză cosmică este aproximativ **11,2 km/s**, fiind viteza necesară a unei nave spațiale pentru a părăsi definitiv Pământul.

A treia viteză cosmică este aproximativ **16,7 km/s**, fiind viteza minimă a unei nave spațiale pentru a ieși din sistemul solar.

15.4 Dinamica punctului material supus la legături

Legătura este dată prin orice constrângere de natură geometrică sau fizică.

Conform axiomei legăturilor, orice legătură poate fi suprimată și înlocuită cu forțe de legătură sau reacțiuni care să producă același efect asupra punctului material. Astfel, prin eliminarea legăturilor de orice fel, mișcarea unui punct material devine mișcare liberă.

Exemple de legături la care este supus un punct material pot fi: rezemarea pe o suprafață sau pe o curbă. Pentru simplificarea studiului punctului material, se consideră că suprafața (curba) este *fixă și indeformabilă în timp*.

Fie un punct material M de masă m aflat pe o suprafață aspră (Σ), asupra căruia acționează forțele exterioare \vec{F}_i , $i = 1 \div n$, a căror rezultantă este $\vec{R}(R_x, R_y, R_z)$. Se va analiza *mișcarea punctului pe suprafața aspră* (fig.15.3) considerând ca forțe de legătură reacțiunea normală la suprafață notată cu \vec{N} și componenta tangențială notată cu \vec{T} . Forța \vec{N} este numită *reacțiune normală* și are direcția normalei la suprafață și modulul N necunoscut, iar forța \vec{T} este numită *forță de frecare* și are sensul contrar vectorului viteză și modulul egal cu produsul dintre coeficientul frecării de alunecare μ și mărimea reacțiunii normale N , adică $T = \mu N$.

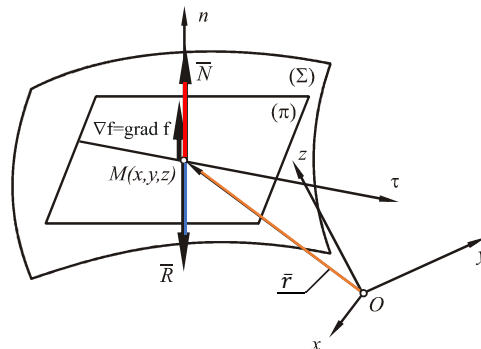


Fig. 15.3

Analizând cazul particular al unui punct material aflat în mișcare pe o curbă aspră (I) sub acțiunea unui sistem de forțe exterioare date de rezultantă \bar{R} , forța de legătură are două componente: *componenta normală* \bar{N} situată în planul normal la curbă, determinarea ei solicitând cunoașterea a doi parametri prin care să i se precizeze direcția și modulul și *componenta tangențială* \bar{T} , având direcția vitezei, dirijată în sens contrar acesteia.

Ecuția vectorială a mișcării în acest caz devine:

$$m\ddot{\vec{r}} = \bar{R} + \bar{N} + \bar{T}, \quad (15.55)$$

unde: $\bar{R}(R_x, R_y, R_z)$ reprezintă vectorul rezultant a forțelor exterioare date, care acționează asupra punctului material.

15.4.1 Mișcarea punctului material pe o suprafață aspră

În cazul mișcării punctului material pe o suprafață aspră cele două componente ale forței de legătură sunt date de relațiile:

$$\bar{N} = \lambda \nabla f, \quad (15.56)$$

$$\bar{T} = -\mu N \frac{\vec{v}}{|\vec{v}|}. \quad (15.57)$$

Modulul N al reacțiunii normale se obține din (15.56) astfel:

$$N = \lambda \sqrt{\left(\frac{\partial f}{\partial x}\right)^2 + \left(\frac{\partial f}{\partial y}\right)^2 + \left(\frac{\partial f}{\partial z}\right)^2}. \quad (15.58)$$

Ecuțiile diferențiale scalare ale mișcării obținute din proiectarea relației (15.55) pe axele sistemului de referință ales $Oxyz$, sunt următoarele:

$$\begin{aligned}
m\ddot{x} &= R_x + \lambda \frac{\partial f}{\partial x} - \mu \lambda \sqrt{\left(\frac{\partial f}{\partial x}\right)^2 + \left(\frac{\partial f}{\partial y}\right)^2 + \left(\frac{\partial f}{\partial z}\right)^2} \frac{\dot{x}}{\sqrt{\dot{x}^2 + \dot{y}^2 + \dot{z}^2}} \\
m\ddot{y} &= R_y + \lambda \frac{\partial f}{\partial y} - \mu \lambda \sqrt{\left(\frac{\partial f}{\partial x}\right)^2 + \left(\frac{\partial f}{\partial y}\right)^2 + \left(\frac{\partial f}{\partial z}\right)^2} \frac{\dot{y}}{\sqrt{\dot{x}^2 + \dot{y}^2 + \dot{z}^2}} \\
m\ddot{z} &= R_z + \lambda \frac{\partial f}{\partial z} - \mu \lambda \sqrt{\left(\frac{\partial f}{\partial x}\right)^2 + \left(\frac{\partial f}{\partial y}\right)^2 + \left(\frac{\partial f}{\partial z}\right)^2} \frac{\dot{z}}{\sqrt{\dot{x}^2 + \dot{y}^2 + \dot{z}^2}}
\end{aligned} \quad (15.59)$$

La relațiile (15.59) se adaugă și ecuația suprafeței:

$$f(x, y, z) = 0, \quad (15.60)$$

astfel că sistemul format din (15.59) și (15.60) în necunoscutele (R_x , R_y , R_z) și λ poate fi rezolvat.

15.4.2 Mișcarea punctului material pe o curbă

În cele ce urmează, se analizează mișcarea punctului pe o *curbă aspră* sub acțiunea unui sistem de forțe exterioare de rezultantă \bar{R} , ale cărei ecuații sunt: $f_1(x, y, z) = 0$, $f_2(x, y, z) = 0$.

Fie (Γ) o curbă aspră și un punct M în mișcare pe această curbă. Aplicând axioma legăturilor, se introduc forțele de legătură \bar{N} și \bar{T} , exprimate astfel:

$$\bar{N} = \lambda_1 \nabla f_1 + \lambda_2 \nabla f_2, \quad (15.61)$$

$$\bar{T} = -\mu N \frac{\bar{v}}{|\bar{v}|}. \quad (15.62)$$

Modulul reacțiunii normale N , având în vedere (15.61), este:

$$N = \sqrt{\left(\lambda_1 \frac{\partial f_1}{\partial x} + \lambda_2 \frac{\partial f_2}{\partial x}\right)^2 + \left(\lambda_1 \frac{\partial f_1}{\partial y} + \lambda_2 \frac{\partial f_2}{\partial y}\right)^2 + \left(\lambda_1 \frac{\partial f_1}{\partial z} + \lambda_2 \frac{\partial f_2}{\partial z}\right)^2}. \quad (15.63)$$

Ecuațiile diferențiale scalare ale mișcării pe axele sistemului de referință $Oxyz$ pot fi scrise astfel:

$$\begin{aligned}
m\ddot{x} &= R_x + \lambda_1 \frac{\partial f_1}{\partial x} + \lambda_2 \frac{\partial f_2}{\partial x} - \mu \sqrt{\left(\lambda_1 \frac{\partial f_1}{\partial x} + \lambda_2 \frac{\partial f_2}{\partial x}\right)^2 + \left(\lambda_1 \frac{\partial f_1}{\partial y} + \lambda_2 \frac{\partial f_2}{\partial y}\right)^2 + \left(\lambda_1 \frac{\partial f_1}{\partial z} + \lambda_2 \frac{\partial f_2}{\partial z}\right)^2} \frac{\dot{x}}{\sqrt{\dot{x}^2 + \dot{y}^2 + \dot{z}^2}} \\
m\ddot{y} &= R_y + \lambda_1 \frac{\partial f_1}{\partial y} + \lambda_2 \frac{\partial f_2}{\partial y} - \mu \sqrt{\left(\lambda_1 \frac{\partial f_1}{\partial x} + \lambda_2 \frac{\partial f_2}{\partial x}\right)^2 + \left(\lambda_1 \frac{\partial f_1}{\partial y} + \lambda_2 \frac{\partial f_2}{\partial y}\right)^2 + \left(\lambda_1 \frac{\partial f_1}{\partial z} + \lambda_2 \frac{\partial f_2}{\partial z}\right)^2} \frac{\dot{y}}{\sqrt{\dot{x}^2 + \dot{y}^2 + \dot{z}^2}} \\
m\ddot{z} &= R_z + \lambda_1 \frac{\partial f_1}{\partial z} + \lambda_2 \frac{\partial f_2}{\partial z} - \mu \sqrt{\left(\lambda_1 \frac{\partial f_1}{\partial x} + \lambda_2 \frac{\partial f_2}{\partial x}\right)^2 + \left(\lambda_1 \frac{\partial f_1}{\partial y} + \lambda_2 \frac{\partial f_2}{\partial y}\right)^2 + \left(\lambda_1 \frac{\partial f_1}{\partial z} + \lambda_2 \frac{\partial f_2}{\partial z}\right)^2} \frac{\dot{z}}{\sqrt{\dot{x}^2 + \dot{y}^2 + \dot{z}^2}}
\end{aligned}
\tag{15.64}$$

La relațiile (15.64) se adaugă ecuațiile curbei:

$$f_1(x, y, z) = 0, f_2(x, y, z) = 0. \tag{15.65}$$

Cunoscând condițiile inițiale ale mișcării, prin integrarea ecuațiilor diferențiale (15.59) sau (15.64) și utilizarea relațiilor (15.61) și (15.65), se obțin *ecuațiile de mișcare ale punctului material pe o suprafață sau curbă aspră*, precum și parametri λ sau λ_1, λ_2 . *Ecuațiile de mișcare ale punctului* se obțin de forma:

$$x = x(t), y = y(t), z = z(t). \tag{15.66}$$

15.5 Pendulul simplu

Una din cele mai des întâlnite aplicații ale dinamicii punctului material este pendulul matematic.

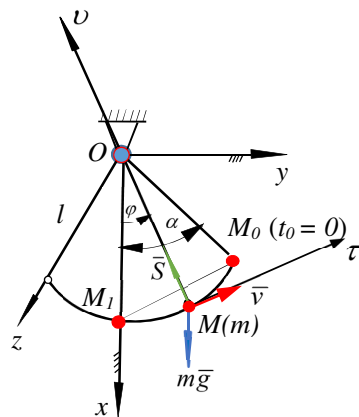
Pendulul matematic sau *pendulul simplu* este constituit dintr-un punct material suspendat printr-un fir ideal (perfect flexibil, inextensibil și fără greutate) care oscilează într-un plan vertical, în jurul unui punct de suspensie sub acțiunea propriei greutăți, toate acestea în ipoteza neglijării forțelor de frecare.

Dacă pendulului i se imprimă o mișcare de balans (oscilație), se va observa, în cele ce urmează, că *perioada de oscilație* (T) este aceeași pentru o lungime dată și nu este influențată de greutatea suspendată, respectiv masa pendulului sau între anumite limite, de amplitudinea oscilației.

Această aplicație este întâlnită des la construcția instrumentelor de măsurare a timpului, precum a pendulelor și a orologiilor (fig. 15.4b.) etc. De asemenea, prin măsurarea perioadei oscilațiilor care este influențată de gravitație, se poate calcula ca aplicație valoarea accelerației gravitaționale (\bar{g}) în diferite zone geografice ale Pământului.

În studiu, se consideră un punct material M de masă m (fig. 15.4a.), suspendat în plan vertical printr-un fir flexibil și inextensibil de lungime l și care oscilează în jurul punctului de suspensie O , având un unghi φ față de verticală și o mișcare caracteristică unui pendul matematic. Pendulul este lăsat să oscileze din poziția inițială în care unghiul $\varphi = \alpha$, fără viteză inițială. Analizarea mișcării punctului material M se face raportat la un sistem de referință intrinsec $M\tau\beta$.

Studiul urmărește obținerea *ecuației mișcării* oscilatorii a punctului M și a *perioadei oscilațiilor* T .



a.

Fig. 15.4



b.

Se observă din figura 15.4a că asupra punctului M acționează pe lângă greutatea $\bar{G} = m\bar{g}$ și forța de legătură \bar{S} , numită *tensiune din fir*, rezultată prin suprimarea legăturii din fir.

Astfel că necunoscutele problemei sunt *ecuația diferențială a mișcării și tensiunea din fir*. În demonstrație se pleacă de la legea a doua a lui Newton și anume:

$$m\bar{a} = m\bar{g} + \bar{S} . \quad (15.67)$$

În relația (15.67) accelerația \bar{a} se înlocuiește cu componentele sale intrinseci după axele $M\tau$ și $M\nu$, cunoscute din cinematică și anume: $a_\tau = l\varepsilon = l\ddot{\varphi}$; $a_\nu = l\omega^2 = l\dot{\varphi}^2$. Proiectând relația vectorială (15.67) pe axele $M\tau$ și $M\nu$ se obțin ecuațiile diferențiale scalare:

$$ml\ddot{\varphi} = -mg\sin\varphi , \quad (15.68)$$

$$ml\dot{\varphi}^2 = S - mg\cos\varphi . \quad (15.69)$$

În continuare, se studiază două cazuri ale mișcării pendulului matematic și anume:

- cazul *micilor oscilații* când unghiul $\varphi \leq 5^0$ și cazul *marilor oscilații* când unghiul $\varphi > 5^0$.

a) În primul caz, se analizează mișcarea punctului material în cazul **micilor oscilații** pentru ($\varphi \leq 5^0$) la care se pot face aproximațiile, în conformitate cu dezvoltările în serii de tip Taylor: $\sin\varphi \approx \varphi$, $\cos\varphi \approx 1$. Astfel ecuația (15.68), după unele calcule, devine:

$$\ddot{\varphi} + \frac{g}{l}\varphi = 0 . \quad (15.70)$$

Dacă se notează în ecuația (15.70):

$$p = \sqrt{\frac{g}{l}} , \quad (15.71)$$

soluțiile ecuației sunt:

$$\varphi = C_1\cos(pt) + C_2\sin(pt) \quad (15.72)$$

$$\dot{\varphi} = -pC_1\sin(pt) + pC_2\cos(pt)$$

Impunând condițiile inițiale cunoscute la momentul $t_0 = 0$, respectiv $\varphi_0 = \alpha$ și $\dot{\varphi}_0 = 0$, se deduc constantele de integrare $C_1 = \alpha$, $C_2 = 0$. Astfel, **ecuația mișcării oscilatorii** devine:

$$\varphi = \alpha \cos(pt), \quad (15.73)$$

în care: p – este pulsația mișcării;

α – este amplitudinea unghiulară.

Perioada micilor oscilații ale pendulului se determină cu relația:

$$T = \frac{2\pi}{p} = 2\pi \sqrt{\frac{l}{g}}. \quad (15.74)$$

Din relația (15.74) se observă că *în cazul micilor oscilații, acestea sunt izocrone (au aceeași perioadă) și că perioada variază liniar cu radicalul lungimii pendulului, nedepinzând de masa acestuia.*

Din a doua ecuație (15.69) se poate determina tensiunea S din fir,

$$S = mg \cos \varphi + ml \dot{\varphi}^2 \quad (15.75)$$

b) În cazul al doilea, respectiv cel al **marilor oscilații** pentru $\varphi > 5^\circ$, perioada oscilațiilor se aproximează astfel:

$$T = 2\pi \sqrt{\frac{l}{g}} \left(1 + \frac{1}{4} \sin^2 \left(\frac{\varphi}{2} \right) \right). \quad (15.76)$$

Se notează cu: A – amplitudinea metrică a mișcării, $A = M_0 M_1$ și cu $\sin \left(\frac{\varphi}{2} \right) = \frac{A}{2l}$, astfel relația (15.76) corespunzătoare perioadei T în cazul marilor oscilații devine:

$$T = 2\pi \sqrt{\frac{l}{g}} \left(1 + \frac{1}{16} \frac{A^2}{l^2} \right). \quad (15.77)$$

Din relațiile (15.74) și (15.77) se pot deduce *acceleerațiile gravitaționale în cazul micilor și marilor oscilații*, respectiv:

$$g = \frac{4\pi^2 l}{T^2} . \quad (15.78)$$

$$g = \frac{4\pi^2 l}{T^2} \left(1 + \frac{1}{16} \frac{A^2}{l^2} \right)^2 . \quad (15.79)$$

În conformitate cu [3], cunoscând accelerațiile gravitaționale la Polul Pământului (9.831 m/s^2) și la Ecuator (9.781 m/s^2), se determină accelerația gravitațională într-o locație geografică, dar cu condiția determinării inițiale a variației geografice pentru un grad latitudine și cunoscând latitudinea nordică a acelei locații.

15.6 Dinamica mișcării relative a punctului material

Pentru studiul mișcării relative se consideră un punct material M , de masă m , asupra căruia acționează un sistem de forțe exterioare $\bar{F}_i, i = 1 \div n$, acestea având rezultanta \bar{F} . Mișcarea este raportată la două sisteme de referință și anume: unul fix $O_1x_1y_1z_1$ și altul mobil $Oxyz$. Punctul material se află într-o mișcare oarecare (fig. 15.5).

Se consideră cunoscută mișcarea sistemului de referință mobil în raport cu sistemul de referință fix, definită de parametri geometrici și cinematici $(\bar{r}_0, \bar{v}_0, \bar{a}_0, \bar{\omega}, \bar{\varepsilon})$. Studiul analizează mișcarea punctului material M față de sistemul de referință mobil, respectiv urmărește determinarea *ecuațiilor de mișcare relativă* ale punctului material M scrise sub forma:

$$x = x(t), \quad y = y(t), \quad z = z(t). \quad (15.80)$$

La mișcarea absolută, punctul material M se mișcă după legea lui Newton respectiv:

$$m\bar{a}_a = \bar{F} . \quad (15.81)$$

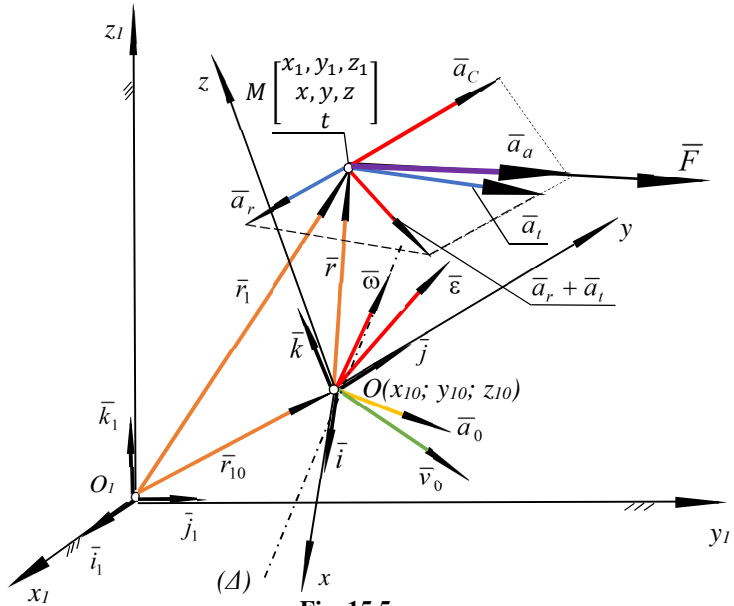


Fig. 15.5

La studiul mișcării relative a punctului au fost definite următoarele accelerații:

\bar{a}_a - este accelerația absolută a punctului M în raport cu sistemul de referință fix;

\bar{a}_t - este accelerația de transport a punctului M ;

\bar{a}_r - este accelerația relativă a punctului M ;

\bar{a}_c - este accelerația Coriolis a punctului M .

Conform legii de compunere a accelerațiilor în mișcarea relativă a punctului material, accelerația absolută a punctului are expresia:

$$\bar{a}_a = \bar{a}_r + \bar{a}_t + \bar{a}_c . \quad (15.82)$$

Se înlocuiește accelerația absolută \bar{a}_a în relația (15.81) și se obține:

$$m\bar{a}_r + m\bar{a}_t + m\bar{a}_c = \bar{F} , \quad (15.83)$$

$$m\bar{a}_r = \bar{F} - m\bar{a}_t - m\bar{a}_c . \quad (15.84)$$

Se înlocuiesc accelerația de transport \bar{a}_t și accelerația Coriolis \bar{a}_c cu expresiile:

$\bar{a}_t = \bar{a}_0 + \bar{\epsilon} \times \bar{r} + \bar{\omega} \times (\bar{\omega} \times \bar{r})$ și $\bar{a}_c = 2\bar{\omega} \times \bar{v}_r$ și se introduc notațiile \bar{F}_{jt} și \bar{F}_{jc} astfel:

$$-m\bar{a}_t = -m[\bar{a}_0 + \bar{\varepsilon} \times \bar{r} + \bar{\omega} \times (\bar{\omega} \times \bar{r})] = \bar{F}_{jt}, \quad (15.85)$$

$$-m\bar{a}_c = -m[2\bar{\omega} \times \bar{v}_r] = \bar{F}_{jc}, \quad (15.86)$$

Cu notațiile (15.84) – (15.86), ecuația (15.83) devine:

$$m\bar{a}_r = \bar{F} + \bar{F}_{jt} + \bar{F}_{jc}. \quad (15.87)$$

În ecuația (15.87) vectorii $\bar{F}_{jt}, \bar{F}_{jc}$ se numesc *forță inerțială de transport și forță inerțială Coriolis*, având expresiile (15.85) și (15.86). Ecuația (15.87) se numește *ecuația fundamentală a mișcării relative a punctului material*.

Ca și observație, comparând (15.87) cu (15.81), rezultă că mișcarea relativă a punctului se tratează analog cu mișcarea absolută cu deosebirea că, în membrul doi al ecuației diferențiale vectoriale trebuie adăugate pe lângă rezultanta forțelor exterioare \bar{F} și forța inerțială de transport \bar{F}_{jt} , precum și forța inerțială Coriolis \bar{F}_{jc} .

În cazul *punctului material supus la legături*, forța \bar{F} conține atât rezultanta forțelor date \bar{R} cât și reacțiunea forțelor de legătură \bar{R}_l . Astfel,

$$\bar{F} = \bar{R} + \bar{R}_l; \quad \bar{R} = \sum_{i=1}^n \bar{F}_i; \quad \bar{R}_l = \bar{N} + \bar{T}; \quad \bar{T} = -\mu N \frac{\bar{v}_r}{|\bar{v}_r|}. \quad (15.88)$$

Proiectând ecuația vectorială (15.87) pe axele sistemului de referință ales $Oxyz$ și ținând seama de (15.88), se obțin *ecuațiile diferențiale scalare ale mișcării relative a punctului material*:

$$\begin{aligned} m\ddot{x} &= R_x + R_{lx} + F_{tx} + F_{cx} \\ m\ddot{y} &= R_y + R_{ly} + F_{ty} + F_{cy} \\ m\ddot{z} &= R_z + R_{lz} + F_{tz} + F_{cz} \end{aligned} \quad (15.89)$$

La relațiile (15.89) se adaugă și ecuațiile legăturii punctului material. Astfel, studiul se face ca și în cazul unui *punct material liber*.

Prin dubla integrare a ecuațiilor (15.89) și ținând seama de condițiile inițiale ale mișcării precizate mai jos la momentul (t_0):

$$t_0 = 0, \quad \begin{matrix} x = x_0, & y = y_0, & z = z_0 \\ \dot{x} = \dot{x}_0, & \dot{y} = \dot{y}_0, & \dot{z} = \dot{z}_0 \end{matrix}, \quad (15.90)$$

se obțin *ecuațiile mișcării relative a punctului material M*, respectiv:

$$x = x(t), \quad y = y(t), \quad z = z(t). \quad (15.91)$$

- Dacă vorbim de *punctul material legat*, se iau în considerare și ecuațiile legăturii și forța de legătură $R_l = \sqrt{N^2 + T^2}$.

- Dacă viteza relativă și accelerația relativă sunt nule $\bar{v}_r = 0, \bar{a}_r = 0$, punctul material se găsește în *repaus relativ* față de sistemul de referință mobil. Deoarece $\bar{F}_{jc} = -m(2\bar{\omega} \times \bar{v}_r)$, rezultă în acest caz că $\bar{F}_{jc} = 0$, iar ecuația (15.87) devine:

$$\bar{F}_{jt} + \bar{F} = 0. \quad (15.92)$$

Relația (15.92) exprimă *condiția vectorială a repausului relativ*, adică în cazul repausului relativ, suma vectorială dintre rezultanta forțelor date și de legătură care acționează asupra punctului material și forța inerțială de transport este nulă.

Condiția necesară și suficientă pentru ca ecuația diferențială (15.87) să ia forma ecuației diferențiale absolute este:

$$m\bar{a}_r = \bar{F}. \quad (15.93)$$

$$\bar{F}_{jt} + \bar{F}_{jc} = 0 . \quad (15.94)$$

$$-m[\bar{a}_0 + \bar{\varepsilon} \times \bar{r} + \bar{\omega} \times (\bar{\omega} \times \bar{r}) + 2\bar{\omega} \times \bar{v}_r] = 0 , \quad (15.95)$$

Ecuția (15.95) este adevărată dacă:

$$\bar{a}_0 = 0, \bar{\omega} = 0, \bar{\varepsilon} = 0 , \quad (15.96)$$

respectiv, dacă *mișcarea de transport a sistemului de referință mobil este o mișcare de translație, rectilie și uniformă. Doar în acest caz, ecuația mișcării relative a punctului material are aceeași formă ca și în cazul mișcării absolute. În aceste condiții, sistemul de referință mobil care satisface condițiile (15.96) devine sistem de referință inerțial.*

15.7 Probleme rezolvate

15.7.1. Să se determine legea mișcării unui punct material M de masă m , (fig. 15.6) care se mișcă în câmp gravitațional de la înălțimea h , cu viteza inițială v_0 și care face cu orizontala un unghi α .

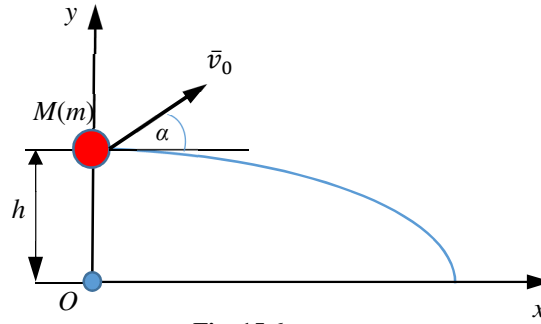


Fig. 15.6

Soluție:

La momentul inițial $t_0 = 0$, $y_0 = h$, $v_{0x} = v_0 \cos \alpha$; $v_{0y} = v_0 \sin \alpha$.

Dacă se aplică teorema a doua a lui Newton:

$$m\bar{a} = \bar{R}, \quad (1)$$

Mișcarea punctului este în planul xOy . Proiectând (1) pe axele sistemului Ox și Oy se obțin ecuațiile diferențiale:

$$m\ddot{x} = 0; \quad m\ddot{y} = -mg; \quad m\ddot{z} = 0, \quad (2)$$

relațiile (2) prin împărțire la masa m sunt rescrise sub forma:

$$\ddot{x} = 0; \quad \ddot{y} = -g; \quad \ddot{z} = 0. \quad (3)$$

Printr-o dublă integrare a ecuațiilor diferențiale (3) și ținând cont de condițiile inițiale date de problemă la momentul $t_0 = 0$, se scriu succesiv următoarele relații:

$$\ddot{x} = 0 \rightarrow \dot{x} = C_1; \rightarrow x = C_1 t + C_2, \quad (4)$$

$$C_1 = v_0 \cos \alpha; \quad C_2 = 0.$$

$$\ddot{y} = -g \rightarrow \dot{y} = -gt + C_3; \rightarrow y = \frac{-gt^2}{2} + C_3 t + C_4, \quad (5)$$

$$C_3 = v_0 \sin \alpha; \quad C_4 = h.$$

Înlocuind constantele de integrare C_i , $i = 1 \div 4$ în relațiile (4)-(5) rezultă *ecuațiile parametrice ale mișcării punctului M*: $x = x(t)$, $y = y(t)$ astfel,

$$x = v_0 t \cos \alpha; \quad y = \frac{-gt^2}{2} + v_0 t \sin \alpha + h. \quad (6)$$

Eliminând din relațiile (5) parametrul (t), se obține *ecuația traiectoriei* mișcării dată de relația (8):

$$t = x/v_0 \cos \alpha. \quad (7)$$

$$y = \frac{-g}{2v_0^2 \cos^2 \alpha} x^2 + x \operatorname{tg} \alpha + h. \quad (8)$$

15.7.2. Să se determine legea mișcării unui punct material M de masă m , care se mișcă în câmp gravitațional, el fiind aruncat vertical de la înălțimea H cu viteza inițială v_0 pe verticală (fig. 15.7).

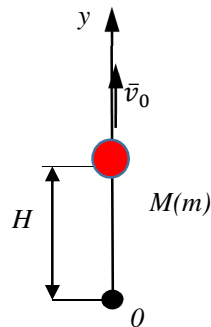


Fig. 15.7

Soluție:

La momentul inițial $t_0 = 0$, $y_0 = H$, $v_{0y} = v_0$.

Dacă se aplică teorema a doua a lui Newton, se poate scrie:

$$m\bar{a} = \bar{R}. \quad (1)$$

Proiectând relația (1) pe axa Oy, se obține:

$$m\ddot{y} = -mg. \quad (2)$$

Din relația (2) rezultă prin împărțirea la masa m :

$$\ddot{y} = -g. \quad (3)$$

Integrând de două ori ecuația diferențială (3) și ținând cont de condițiile inițiale date ale mișcării la momentul $t_0 = 0$, se pot scrie succesiv următoarele relații:

$$\ddot{y} = -g \rightarrow \dot{y} = -gt + C_1; \rightarrow y = \frac{-gt^2}{2} + C_1t + C_2, \quad (4)$$

$$C_1 = v_0; \quad C_2 = H.$$

În final, după înlocuirea constantelor de integrare C_1 , C_2 în relația (4), ecuația mișcării devine:

$$y = \frac{-gt^2}{2} + v_0t + H. \quad (5)$$

15.8 Probleme propuse

15.8.1. Se consideră un punct material A de masă m care se deplasează pe o suprafață orizontală $A_0A_1 = L$, cu frecare ($\mu \neq 0$), pornind din punctul A_0 cu viteza inițială v_0 dată de figura 15.8. Se cere să se studieze legea de mișcare a punctului material pe distanța A_0A_1 [4].

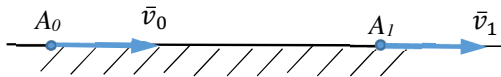


Fig. 15.8 [4]

Răspuns:

$$x(t) = -\mu g \frac{t^2}{2} + v_0 t; \quad \text{legea de mișcare}$$

15.8.2. Se consideră un punct material A de masă m care se deplasează pe un plan înclinat de unghi α , cu frecare ($\mu \neq 0$), pe linia de cea mai mare pantă, pornind din punctul A_0 cu viteza inițială v_0 dată (fig. 15.9) [4]. Se cer:

- Să se determine *legea de mișcare la urcare* a punctului.
- Să se determine *legea de mișcare la coborâre* a punctului dacă $\mu < \operatorname{tg} \alpha$.

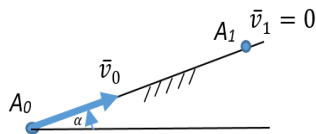


Fig. 15.9 [4]

Răspuns:

$$x(t) = v_0 t - \frac{1}{2}(\sin \alpha + \mu \cdot \cos \alpha) g t^2; \quad \text{legea de mișcare la urcare};$$

$$x(t) = \frac{1}{2}(\sin \alpha - \mu \cdot \cos \alpha) g t^2; \quad \text{legea de mișcare la coborâre}.$$

15.8.3. Se consideră un punct material A de masă m care se deplasează pe o suprafață cilindrică interioară de rază R , fără frecare ($\mu = 0$), pornind din punctul A_0 cu viteza inițială v_0 (fig. 15.10). Se cer să se studieze legea de mișcare a punctului material și reacțiunea din punctul A .

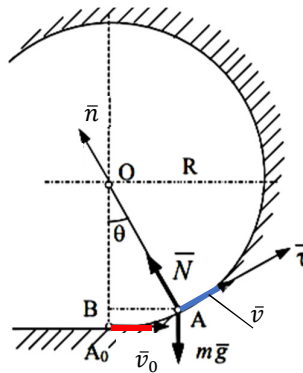


Fig. 15.10

Răspuns:

$$v(\theta) = \sqrt{v_0^2 - 2Rg(1 - \cos\theta)} \quad \text{legea de mișcare.}$$

$$N(\theta) = mg(3\cos\theta - 2) + \frac{mv_0^2}{R} \quad \text{reacțiunea din punctul } A.$$

16. NOȚIUNILE FUNDAMENTALE ȘI TEOREMELE FUNDAMENTALE ALE DINAMICII ^[5]

În vederea rezolvării problemelor de dinamică prin metoda directă sau inversă, a fost necesară introducerea unor mărimi mecanice, numite *mărimi fundamentale* ale dinamicii. Acestea sunt:

- *lucrul mecanic;*
- *puterea mecanică;*
- *randamentul mecanic;*
- *energia cinetică;*
- *energia potențială și mecanică;*
- *impulsul;*
- *momentul cinetic.*

16.1 Lucrul mecanic

Lucrul mecanic este mărimea mecanică ce reprezintă măsura transferului de energie între două stări ale unui sistem material sau rigid. Această energie este rezultatul unui efort și depinde de factori precum munca depusă, drumul parcurs pentru aceasta și poziția reciprocă a sistemului sau a rigidului între cele două poziții.

În cele ce urmează, se va prezenta lucrul mecanic în diferite situații, respectiv influențat de tipul forțelor care acționează asupra punctului material, a sistemelor de puncte materiale sau a solidelor rigide.

16.1.1 Lucrul mecanic al unei forțe care acționează asupra unui punct material

Se consideră în figura 16.1 un punct material M care se deplasează pe traiectoria curbilinie (Γ) sub acțiunea unui sistem de forțe variabile și a căror

rezultantă este \bar{F} . La momentul (t) , punctul material se află în poziția M definită de vectorul de poziție \bar{r} , iar la momentul $(t + \Delta t)$ punctul se află în poziția M_1 definită de vectorul de poziție $(\bar{r} + \Delta\bar{r})$.

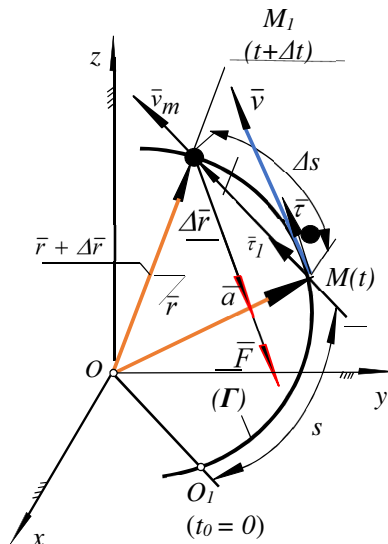


Fig. 16.1

Lucrul mecanic elementar al forței \bar{F} corespunzător deplasării elementare $d\bar{r}$ este o mărime notată cu dL și este egală cu produsul scalar dintre forța \bar{F} și deplasarea elementară $d\bar{r}$, adică

$$dL = \bar{F} \cdot d\bar{r}. \quad (16.1)$$

Deoarece $d\bar{r} = \bar{v} \cdot dt$, $dr = ds = v \cdot dt$, expresia lucrului mecanic elementar se mai poate scrie:

$$dL = \bar{F} \cdot \bar{v} dt = F v dt \cos \alpha = F ds \cos \alpha, \quad (16.2)$$

unde α - este unghiul dintre vectorul forță și vectorul viteză.

Expresiile analitice ale vectorilor \bar{F} , $d\bar{r}$ și \bar{v} în raport cu sistemul de referință $Oxyz$ sunt:

$$\begin{aligned}\bar{F} &= F_x\bar{i} + F_y\bar{j} + F_z\bar{k} \quad \text{și} \quad \bar{r} = x\bar{i} + y\bar{j} + z\bar{k}, \\ \bar{v} &= v_x\bar{i} + v_y\bar{j} + v_z\bar{k} = \dot{x}\bar{i} + \dot{y}\bar{j} + \dot{z}\bar{k},\end{aligned}\quad (16.3)$$

și folosirea expresiilor analitice ale vectorilor \bar{F} , $d\bar{r}$ și \bar{v} , determină transformarea relațiilor (16.1), (16.2) și 16.3 în formele:

$$dL = F_x dx + F_y dy + F_z dz = F_x v_x dt + F_y v_y dt + F_z v_z dt. \quad (16.4)$$

$$dL = \bar{F} \cdot \bar{v} dt = (F_x \dot{x} + F_y \dot{y} + F_z \dot{z}) dt. \quad (16.5)$$

Dacă se analizează mișcarea produsă de un *cuplu de moment* \bar{M} , cu unghiul de rotație θ în planul său de rotație și având \bar{u} versorul normalei la acest plan, se poate scrie în cazul mișcărilor de rotație, unde $\bar{v} = \bar{\omega} \times \bar{r}$, conform cu (16.2), relația:

$$dL = \bar{F} \cdot (\bar{\omega} \times \bar{r}) dt = (\bar{r} \times \bar{F}) \cdot \bar{\omega} dt = \bar{M}_0 \cdot d\bar{\theta}. \quad (16.6)$$

Prin analogie cu (16.4), relația (16.6) devine:

$$dL = M_x d\theta_x + M_y d\theta_y + M_z d\theta_z = (M_x \omega_x + M_y \omega_y + M_z \omega_z) dt. \quad (16.7)$$

unde: $\omega_x, \omega_y, \omega_z$ – reprezintă proiecțiile vitezei unghiulare pe axele sistemului de referință $Oxyz$.

Câteva din *proprietățile lucrului mecanic elementar* sunt descrise în cele ce urmează:

- Lucrul mecanic elementar este o mărime scalară având unitatea de măsură în sistemul internațional *Joule* [J].

$$1J = 1Nm$$

- Lucrul mecanic elementar este pozitiv atunci când unghiul $\alpha \in [0, \frac{\pi}{2})$ și se mai numește *lucru mecanic motor*.
- Lucrul mecanic elementar este negativ atunci când unghiul $\alpha \in (\frac{\pi}{2}, \pi]$ și se mai numește *lucru mecanic rezistent*.
- Dacă $\alpha = \frac{\pi}{2}$ rezultă că $dL = 0$ și se numește *lucru mecanic nul*.

Corespunzător unei deplasări finite a punctului material aflat între două poziții A și B pe traiectoria curbilinie (Γ) și sub acțiunea forței variabile \vec{F} , **lucrul mecanic finit** sau **total** are expresia:

$$L_{A-B} = \int_A^B \vec{F} \cdot d\vec{r} = \int_A^B (F_x dx + F_y dy + F_z dz) = \int_A^B F ds \cos\alpha = \int_{t_A}^{t_B} F v dt \cos\alpha . \quad (16.8)$$

iar **lucrul mecanic total** sau **finit** în cazul unui **cuplu de forțe** este:

$$\begin{aligned} L_{\theta_1-\theta_2} &= \int_{\theta_1}^{\theta_2} \bar{M}_0 d\bar{\theta} = \int_{\theta_1}^{\theta_2} M_0 d\theta \cos\beta = \int_{t_1}^{t_2} M_0 \omega dt \cos\beta = \\ &= \int_{t_1}^{t_2} (M_x \omega_x + M_y \omega_y + M_z \omega_z) dt . \end{aligned} \quad (16.9)$$

În relația (16.9) s-a notat cu β - unghiul dintre \bar{M}_0 (momentul cuplului) și $\bar{\omega}$ (viteza unghiulară), iar $d\bar{\theta} = \bar{\omega} dt$.

În concluzie, *lucrul mecanic finit depinde atât de variația forței cât și de forma traiectoriei*.

16.1.2 Lucrul mecanic al forțelor conservative

În cazul în care forța \vec{F} este o *forță conservativă* aceasta va proveni dintr-o *funcție de forță* notată cu $U = U(x, y, z)$ și va depinde numai de coordonatele punctului de aplicație al forței. În acest caz, lucrul mecanic elementar va deveni:

$$\vec{F} = \text{grad}U = \nabla U = \frac{\partial U}{\partial x} \vec{i} + \frac{\partial U}{\partial y} \vec{j} + \frac{\partial U}{\partial z} \vec{k} . \quad (16.10)$$

Având în vedere expresia forței \bar{F} din relația (16.3), respectiv din relația (16.10), se obțin componentele carteziene F_x, F_y, F_z ale forței conservative scrise sub forma:

$$F_x = \frac{\partial U}{\partial x}; F_y = \frac{\partial U}{\partial y}; F_z = \frac{\partial U}{\partial z} . \quad (16.11)$$

Pentru ca o forță \bar{F} să fie *forță conservativă*, trebuie să îndeplinească condițiile lui Cauchy, adică,

$$\frac{\partial F_x}{\partial y} = \frac{\partial F_y}{\partial x}; \frac{\partial F_x}{\partial z} = \frac{\partial F_z}{\partial x}; \frac{\partial F_y}{\partial z} = \frac{\partial F_z}{\partial y} . \quad (16.12)$$

Detaliind, se obțin relațiile:

$$\frac{\partial^2 U}{\partial y \partial x} = \frac{\partial^2 U}{\partial x \partial y}; \frac{\partial^2 U}{\partial z \partial x} = \frac{\partial^2 U}{\partial x \partial z}; \frac{\partial^2 U}{\partial z \partial y} = \frac{\partial^2 U}{\partial y \partial z} . \quad (16.12a)$$

Analiza acestor relații conduce la concluzia că o funcție de forță U este conservativă dacă ordinea de derivare este indiferentă.

Lucrul mecanic elementar al forței conservative \bar{F} devine:

$$dL = \bar{F} d\bar{r} = \frac{\partial U}{\partial x} dx + \frac{\partial U}{\partial y} dy + \frac{\partial U}{\partial z} dz = dU , \quad (16.13)$$

iar *lucrul mecanic finit* are expresia:

$$L_{A-B} = \int_A^B \bar{F} d\bar{r} = \int_A^B dU = U_B - U_A . \quad (16.14)$$

unde: $U_A = U(x_A, y_A, z_A)$, $U_B = U(x_B, y_B, z_B)$.

De menționat că, în conformitate cu relația (16.14), este că: *lucrul mecanic total al forței conservative este independent de forma traiectoriei, depinzând numai de poziția inițială și finală a punctului de aplicație al forței* (un exemplu de forță conservativă este forța de greutate).

16.1.3 Lucrul mecanic al unei forțe elastice

În cazul forțelor elastice, lucrul mecanic va fi dependent de poziția inițială și finală a unui resort (arc), ceea ce se demonstrează în cele ce urmează. Se consideră în figura 16.2 un arc ideal, el având constanta de elasticitate k . Se va nota cu x alungirea arcului și cu $F_e = kx$ forța elastică care-l deformează.

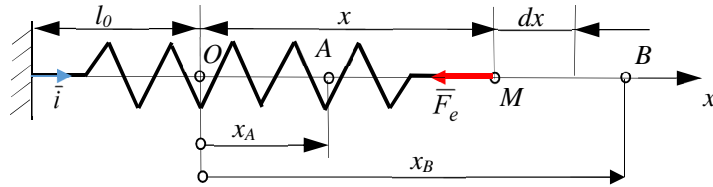


Fig. 16.2

Având în vedere figura 16.2, se pot scrie relațiile:

$$\bar{F}_e = -kx\bar{i}; \quad d\bar{r} = dx\bar{i}; \quad dL = -kx dx . \quad (16.15)$$

Lucrul mecanic finit, corespunzător unei alungiri x a arcului este:

$$L = \int_0^x -kx dx = -\frac{1}{2} kx^2 . \quad (16.16)$$

iar lucrul mecanic finit, corespunzător alungirii arcului între două poziții A și B ale capătului său, devine:

$$L_{A-B} = \int_{x_A}^{x_B} -kx dx = -\frac{1}{2} k(x_B^2 - x_A^2) . \quad (16.17)$$

Astfel că, *lucrul mecanic produs de o forță elastică este dependent de pozițiile inițială și finală între care se deformează arcul / resortul.*

16.1.4 Lucrul mecanic al forțelor interioare

Asupra unui solid rigid acționează și forțe interne sau interioare, astfel că se definește noțiunea de lucru mecanic al forțelor interioare. Fie două puncte materiale M_i, M_j aparținând unui sistem de puncte materiale. Forțele interioare care apar în sistemul de puncte materiale sunt notate cu $\vec{F}_{ij}, \vec{F}_{ji}$. Vectorii de poziție ai punctelor în raport cu punctul fix O sunt \vec{r}_i, \vec{r}_j (fig. 16.3). Conform principiului acțiunii și reacțiunii forțele $\vec{F}_{ji} = -\vec{F}_{ij}$.

Lucrul mecanic elementar corespunzător forțelor interioare $\vec{F}_{ij}, \vec{F}_{ji}$ și deplasărilor elementare ale celor două puncte va fi:

$$dL_{int} = \vec{F}_{ij} \cdot d\vec{r}_i + \vec{F}_{ji} \cdot d\vec{r}_j = \vec{F}_{ij} \cdot d\vec{r}_i - \vec{F}_{ij} \cdot d\vec{r}_j = \vec{F}_{ij} \cdot d(\vec{r}_i - \vec{r}_j) = \vec{F}_{ij} \cdot d(\overline{M_j M_i}) = -\vec{F}_{ij} \cdot d(\overline{M_i M_j}). \quad (16.18)$$

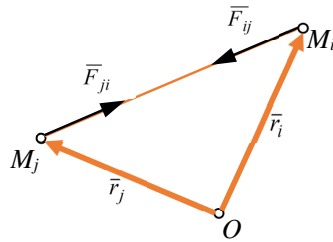


Fig. 16.3

Deoarece forțele sunt coliniare cu vectorul $\overline{M_i M_j}$, $\vec{F}_{ij} = \lambda \overline{M_i M_j}$, astfel că,

$$dL_{int} = -\lambda \overline{M_i M_j} \cdot d(\overline{M_i M_j}) = -\frac{\lambda}{2} d(\overline{M_i M_j})^2 = -\frac{\lambda}{2} d|\overline{M_i M_j}|^2. \quad (16.19)$$

Dacă punctele materiale ar aparține unui solid rigid, distanța dintre puncte $|\overline{M_i M_j}| = const.$ În acest caz, $dL_{int} = 0$. Se poate spune că, *suma lucrurilor mecanice elementare ale forțelor interioare, în cazul unui solid rigid, este nulă pentru orice deplasare a solidului rigid.*

16.1.5 Lucrul mecanic al unui sistem de forțe care acționează asupra unui solid rigid

Se consideră un solid rigid liber (S) aflat în mișcare generală și supus acțiunii unui sistem de forțe exterioare $\vec{F}_i, i = 1 \div n$, pentru care elementele tursorului de reducere $\vec{\tau}(\vec{R}, \vec{M}_0)$, în raport cu originea O legată invariabil de rigid, sunt date de relațiile:

$$\vec{R} = \sum_{i=1}^n \vec{F}_i, \quad \vec{M}_0 = \sum_{i=1}^n \vec{r}_i \times \vec{F}_i. \quad (16.20)$$

Se notează cu \vec{v}_0 viteza punctului O și cu $\vec{\omega}$ viteza unghiulară relativă de rotație a solidului rigid față de punctul O .

Se dorește să se determine lucrul mecanic elementar al sistemului de forțe corespunzător deplasării $d\vec{r}_{10}$ a punctului O și a rotației elementare $d\theta$ a rigidului în jurul punctului O (fig. 16.4).

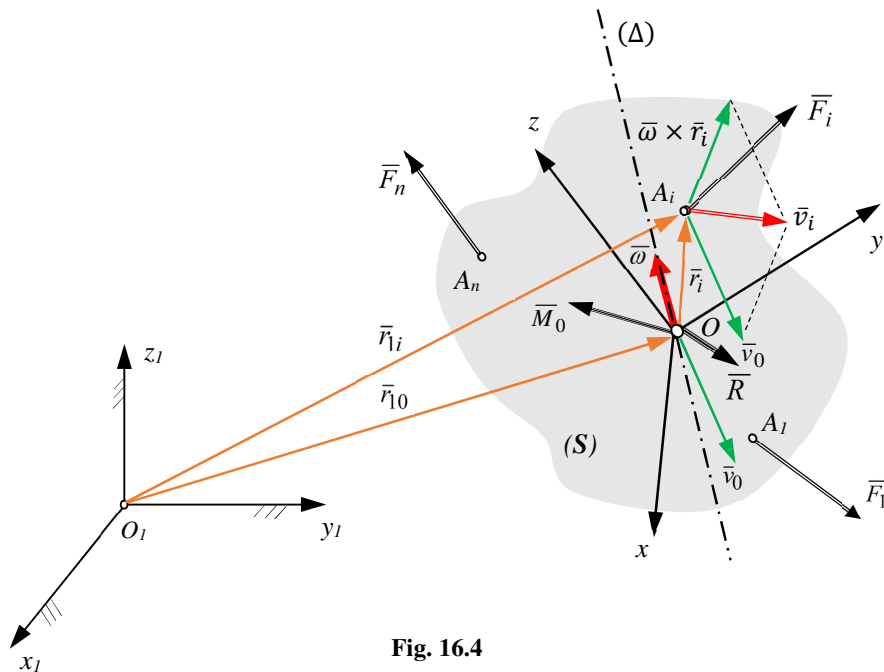


Fig. 16.4

$$dL = \sum_{i=1}^n \bar{F}_i d\bar{r}_{1i} = \sum_{i=1}^n \bar{F}_i \bar{v}_i dt . \quad (16.21)$$

$$\bar{v}_i = \bar{v}_0 + \bar{\omega} \times \bar{r}_i , \quad (16.22)$$

Înlocuind relația (16.22) în (16.21), se obține succesiv:

$$\begin{aligned} dL &= \sum_{i=1}^n \bar{F}_i \cdot \bar{v}_i dt = \sum_{i=1}^n \bar{F}_i \cdot (\bar{v}_0 + \bar{\omega} \times \bar{r}_i) dt = \sum_{i=1}^n \bar{F}_i \cdot \bar{v}_0 dt + \sum_{i=1}^n (\bar{r}_i \times \bar{F}_i) \cdot \bar{\omega} dt \\ &= \bar{R} \cdot \bar{v}_0 dt + \bar{M}_0 \cdot \bar{\omega} dt = \bar{R} \cdot d\bar{r}_{10} + \bar{M}_0 \cdot d\bar{\theta} , \end{aligned}$$

adică,

$$dL = \bar{R} \cdot d\bar{r} + \bar{M}_0 \cdot d\bar{\theta} . \quad (16.23)$$

Relația (16.23) reprezintă *lucrul mecanic elementar al unui sistem de forțe care acționează asupra unui solid rigid aflat în mișcare generală* cu viteza inițială \bar{v}_0 și viteza unghiulară $\bar{\omega}$ la un moment dat. Cazurile particulare ale lucrului mecanic elementar din mișcarea generală sunt prezentate în cele ce urmează.

Cazuri particulare ale lucrului mecanic elementar

a) *Mișcarea sferică* – polul O este considerat articulație sferică

$\bar{v}_0 = 0$, $d\bar{r}_{10} = 0$, iar relația (16.23) devine:

$$dL = \bar{M}_0 \cdot d\bar{\theta} . \quad (16.24)$$

b) *Mișcarea de rotație în jurul unui ax fix* – Oz este considerată axa fixă

$$dL = \bar{M}_0 \cdot d\bar{\theta} = M_z \cdot d\theta . \quad (16.25)$$

- c) *Mișcarea de translație* unde $\bar{\omega} = 0$ așadar, lucrul mecanic elementar în mișcarea de translație devine:

$$dL = \bar{R} \cdot d\bar{r} . \quad (16.26)$$

16.2 Puterea mecanică

O altă mărime mecanică fundamentală și scalară ce caracterizează lucrul mecanic transferat unui sistem în unitatea de timp este *puterea mecanică* sau astfel spus, puterea mecanică arată capacitatea unei forțe de a efectua lucru mecanic în timp.

Puterea mecanică se exprimă prin raportul dintre lucrul mecanic elementar dL și timpul elementar dt în care s-a efectuat acesta. Astfel,

$$P = \frac{dL}{dt} = \bar{R} \cdot \bar{v}_0 + \bar{M}_0 \cdot \bar{\omega} . \quad (16.27)$$

unde: $\bar{R} \cdot \bar{v}_0$ - corespunde *componentei de translație* a mișcării produsă de sistemul de forțe a cărui vector rezultat este:

$$\bar{R} = \sum_{i=0}^n \bar{F}_i ; \quad (16.27a)$$

$\bar{M}_0 \cdot \bar{\omega}$ - corespunde *componentei de rotație*, rezultată din rotația rigidului în jurul lui O , produsă de momentul rezultat \bar{M}_0 .

Relația (16.27) exprimă *puterea mecanică* în cazul unui solid rigid aflat în mișcare generală, sub acțiunea unui sistem de forțe exterioare.

Dacă solidul are doar *mișcare de translație*, atunci componenta $\bar{M}_0 \cdot \bar{\omega} = 0$, iar puterea mecanică devine:

$$P = \frac{dL}{dt} = \bar{R} \cdot \bar{v}_0 . \quad (16.28)$$

Dacă solidul are o *mişcare de rotație în jurul unei axe fixe* ce trece prin polul O , respectiv o mișcare de rotație instantanee în jurul axei mobile care trece permanent prin punctul O (cazul mișcării sferice), $\vec{v}_0 = 0$, astfel că puterea mecanică devine:

$$P = \frac{dL}{dt} = \bar{M}_0 \cdot \bar{\omega} . \quad (16.29)$$

Puterea este o mărime scalară și pozitivă, negativă sau nulă, ea constituind o caracteristică de bază a tuturor mașinilor.

Unitatea de măsură pentru putere în sistemul internațional este *Watt*-ul, $1W = 1 \frac{J}{s}$. În practică, se întâlnește deseori ca unitate de măsură *calul putere (CP)*:

$$1kW = 1,36CP$$

În continuare, sunt preferate câteva exprimări tehnice ale puterii în funcție de alte mărimi ca de exemplu, momentul motor M_c .

- Se dau: *puterea unui motor și turația sa*. Momentul motor M_c este:

$$M_c = \frac{30}{\pi n} P \quad [Nm] . \quad (16.30)$$

- Se dau: *puterea P în CP și turația n în rot/min*. Momentul motor M_c este:

$$M_c = 7027 \frac{P}{n} \quad [Nm] . \quad (16.31)$$

- Se dau: *puterea P în kW și turația n în rot/min*. Momentul motor M_c este:

$$M_c = 9554 \frac{P}{n} \quad [Nm] . \quad (16.32)$$

16.3 Randamentul mecanic

În practică, dar și în viața de zi cu zi, ne interesează ca funcționarea unei mașini să fie în parametri optimi și cu o rentabilitate bună. Astfel că, funcționarea oricărei mașini în regimul permanent este caracterizată de câteva mărimi explicitate în cele ce urmează:

- *lucru mecanic motor* L_m , respectiv o *putere motoare* P_m , mărimi care-i permit mașinii să dezvolte un lucru mecanic util sau o putere utilă;

- *lucru mecanic util* L_u , respectiv o *putere utilă* P_u , mărimi măsurate la elementul de ieșire din mașină.

- Diferența dintre lucru mecanic motor și util ($L_m - L_u = L_p$) se numește *lucru mecanic pierdut*, iar diferența dintre puteri ($P_m - P_u = P_p$) se numește *putere pierdută*.

Raportul dintre lucru mecanic util și cel motor este egal cu raportul dintre puterea utilă și motoare și se numește *randament mecanic*. Randamentul se notează cu η și este o mărime mecanică adimensională.

$$\eta = \frac{L_u}{L_m} = \frac{P_u}{P_m} = \frac{L_m - L_p}{L_m} = \frac{P_m - P_p}{P_m} = 1 - \varphi . \quad (16.33)$$

unde: *coeficientul* φ , dat de relația (16.33), se numește *coeficient de pierdere* și are valoarea:

$$\varphi = \frac{L_p}{L_u} = \frac{P_p}{P_m} . \quad (16.34)$$

Dacă se vorbește de noțiunea de *lanț de mașini*, se ține seama dacă acestea sunt legate în *serie* sau în *paralel*.

Randamentul total al unui lanț de mașini sau mecanisme legate în serie este egal cu produsul randamentului mașinilor lanțului:

$$\eta = \prod_{i=1}^n \eta_i . \quad (16.35)$$

Randamentul total al unui lanț de mașini sau mecanisme legate în paralel este egal cu suma produselor dintre randamentele fiecărei mașini a lanțului și cotă parte din puterea absorbită de mașină, respectiv din totalul puterii motoare ce alimentează întregul lanț:

$$\eta = \sum_{i=1}^n \eta_i \cdot \alpha_i . \quad (16.36)$$

În relația (16.36), $\sum_{i=1}^n \alpha_i = 1$ și $L_{m1} = \alpha_1 \cdot L_m$; ... $L_{mi} = \alpha_i \cdot L_m$; ...

Ca și observație, se poate afirma că în viața cotidiană nu se întâlnesc mașini sau echipamente cu randament de 100%, datorită acestui coeficient de pierdere φ (16.34) care, în general, este dat prin pierderea de căldură.

16.4 Energia cinetică

16.4.1 Definiții

Se consideră în figura 16.5 un punct material M de masă m care se deplasează sub acțiunea unei forțe \vec{F} pe o traiectorie curbilinie (Γ), având la momentul (t) viteza \vec{v} .

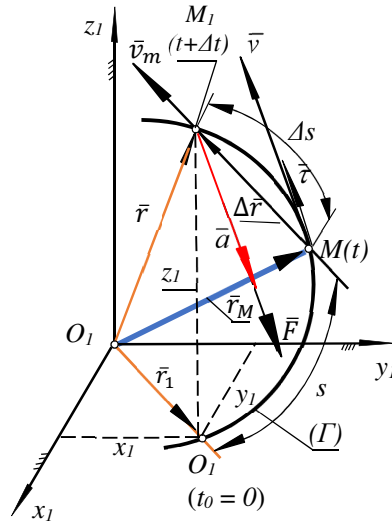


Fig. 16.5

Se numește **energie cinetică a punctului material**, mărimea mecanică scalară ce caracterizează capacitatea de transformare a mișcării în lucru mecanic și se exprimă prin semiprodusul dintre masa și pătratul vitezei punctului.

Energia cinetică se notează cu E_c și are, în acest caz, expresia:

$$E_c = \frac{1}{2} m \vec{v}^2 = \frac{1}{2} m v^2 = \frac{1}{2} m (\dot{x}^2 + \dot{y}^2 + \dot{z}^2), \quad (16.37)$$

în care, v – este modulul vitezei instantanee a punctului material [m/s];

$\dot{x}, \dot{y}, \dot{z}$ – sunt componentele vitezei pe axele sistemului de referință;

m – este masa punctului material [kg].

Unitatea de măsură a energiei cinetice în sistemul internațional este *Joule* [J]. Generalizând studiul la un sistem discret de puncte materiale, **energia cinetică a unui sistem de puncte materiale** M_i de mase m_i , având vitezele instantanee \bar{v}_i ($i = 1 \div n$), care se mișcă sub acțiunea unui sistem de forțe exterioare față de un sistem de referință fix, este:

$$E_c = \frac{1}{2} \sum_{i=1}^n m_i \bar{v}_i^2 = \frac{1}{2} \sum_{i=1}^n m_i v_i^2 = \frac{1}{2} \sum_{i=1}^n m_i (\dot{x}_i^2 + \dot{y}_i^2 + \dot{z}_i^2) . \quad (16.38)$$

Un *solid rigid* (S) poate fi considerat format dintr-o infinitate de puncte materiale de *masă elementară* dm , având vitezele \bar{v} . Energia cinetică în cazul solidului rigid este dată de aceeași relație (16.38), în care se înlocuiește semnul \sum cu \int , viteza $\bar{v}_i = \bar{v}$ și $m_i = dm$. Astfel, energia cinetică a solidului rigid devine:

$$E_c = \frac{1}{2} \int_{(S)} \bar{v}^2 dm = \frac{1}{2} \int_{(S)} v^2 dm . \quad (16.39)$$

16.4.2 Teorema lui König pentru energie cinetică

Se consideră un solid rigid (S), de masă M , aflat în mișcare generală sub acțiunea forțelor exterioare, mișcare caracterizată de parametrii cinematici \bar{v}_C și $\bar{\omega}$, care reprezintă viteza instantanee a centrului de masă C al rigidului și viteza unghiulară de rotație relativă a acestuia în jurul centrului maselor.

Se consideră cunoscut momentul de inerție mecanic J_{A_c} al rigidului în raport cu axa (A_c), axă care trece prin C și constituie suportul lui $\bar{\omega}$ (fig. 16.6).

Conform legii de distribuție a vitezelor în cazul mișcării generale viteza este $\bar{v} = \bar{v}_0 + \bar{\omega} \times \bar{r}$. Având în vedere că punctul O este suprapus peste C , $\bar{v} = \bar{v}_C + \bar{\omega} \times \bar{r}'$. Energia cinetică în cazul solidului rigid prezentat în figura 16.6, se determină succesiv astfel:

$$\begin{aligned} E_c &= \frac{1}{2} \int_{(S)} \bar{v}^2 dm = \frac{1}{2} \int_{(S)} (\bar{v}_C + \bar{\omega} \times \bar{r}')^2 dm = \\ &= \frac{1}{2} \int_{(S)} v_C^2 dm + \int_{(S)} \bar{v}_C \cdot (\bar{\omega} \times \bar{r}') dm + \frac{1}{2} \int_{(S)} (\bar{\omega} \times \bar{r}')^2 dm = \end{aligned}$$

$$= \frac{1}{2} \bar{v}_c^2 \int_{(S)} dm + (\bar{v}_c \times \bar{\omega}) \cdot \int_{(S)} \bar{r}' dm + \frac{1}{2} \omega^2 \int_{(S)} (r'^2 \sin^2 \alpha) dm. \quad (16.40)$$

În relația (16.40)

$$\int_{(S)} dm = M;$$

$$\int_{(S)} (\bar{\omega} \times \bar{r}')^2 dm = \int_{(S)} \omega^2 d^2 dm = \omega^2 \int_{(S)} d^2 dm = \omega^2 J_{\Delta_c}, \quad (16.41)$$

în care d - este distanța punctului M la suportul axei (Δ_c) a lui $\bar{\omega}$.

Cu relațiile (16.41), *energia cinetică a solidului rigid în mișcare generală* devine:

$$E_c = \frac{1}{2} M v_c^2 + \frac{1}{2} J_{\Delta_c} \omega^2. \quad (16.42)$$

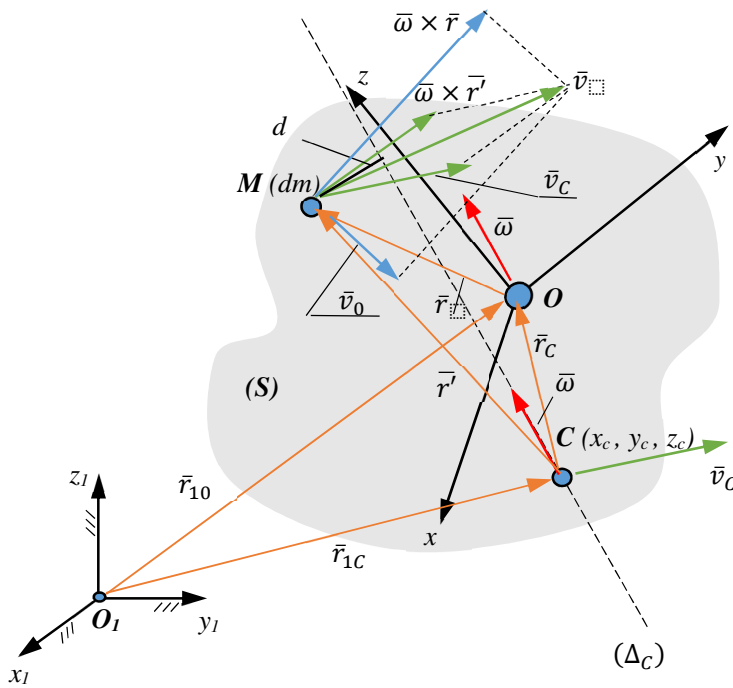


Fig. 16.6

Relația (16.42) exprimă *teorema lui König privind energia cinetică a unui solid rigid aflat în mișcare generală*.

Dacă se cunosc momentele de inerție mecanice axiale și centrifugale J_x, J_y, J_z și J_{xy}, J_{xz}, J_{yz} , precum și componentele vectorilor \bar{v}_c și $\bar{\omega}$ pe axele sistemului mobil $Oxyz$ solidar cu rigidul, se poate determina o altă formă de exprimare a energiei cinetice a solidului rigid aflat în mișcare generală.

$$E_c = \frac{1}{2} [M(v_{0x}^2 + v_{0y}^2 + v_{0z}^2) + J_x \omega_x^2 + J_y \omega_y^2 + J_z \omega_z^2 + 2M \cdot x_c(v_{0y} \omega_z - v_{0z} \omega_y) + 2M \cdot y_c(v_{0z} \omega_x - v_{0x} \omega_z) + 2M \cdot z_c(v_{0x} \omega_y - v_{0y} \omega_x) - 2J_{xy} \omega_x \omega_y - 2J_{yz} \omega_y \omega_z - 2J_{zx} \omega_z \omega_x]. \quad (16.43)$$

16.4.3 Energia cinetică în cazul unor mișcări particulare ale solidului rigid

Particularizând mișcarea generală a solidului rigid (S) la mișcări particulare ale acestuia, va rezulta energia cinetică E_c specifică fiecăreia din aceste mișcări.

a) Energia cinetică în mișcarea de translație a rigidului

Se consideră un solid rigid (S) de masă M , având viteza centrului de masă \bar{v}_c și aflat în mișcare de translație ($\bar{\omega} = 0$). În acest caz,

$$E_c = \frac{1}{2} M v_c^2. \quad (16.44)$$

Energia cinetică a unui solid rigid aflat în mișcare de translație este egală cu energia cinetică a centrului de masă în care se află concentrată întreaga masă M a corpului.

b) Energia cinetică la mișcarea de rotație a rigidului în jurul unei axe fixe

În cazul mișcării de rotație a rigidului în jurul unei axe fixe, viteza este:

$$\bar{v} = \bar{\omega} \times \bar{r}.$$

Întroducând această expresie de viteză în relația (16.39), se obține succesiv:

$$\begin{aligned}
 E_c &= \frac{1}{2} \int_{(S)} \bar{v}^2 dm = \frac{1}{2} \int_{(S)} (\bar{\omega} \times \bar{r})^2 dm = \frac{1}{2} \int_{(S)} |\bar{\omega} \times \bar{r}|^2 dm = \\
 &= \frac{1}{2} \int_{(S)} \omega^2 r^2 \sin^2 \alpha dm = \frac{1}{2} \omega^2 \int_{(S)} d^2 dm = \frac{1}{2} J_{\Delta} \omega^2, \quad (16.45)
 \end{aligned}$$

pentru că: $|\bar{\omega} \times \bar{r}| = \omega r \sin \alpha = \omega d$, iar $d = r \sin \alpha$, viteza unghiulară $\bar{\omega}$ este aceeași la un moment dat pentru toate punctele rigidului, fapt care permite extragerea de sub integrală a acesteia, iar $\int_{(S)} d^2 dm = J_{\Delta}$ reprezintă momentul de inerție mecanic al rigidului în raport cu axa de rotație (Δ).

Astfel, *energia cinetică a unui solid rigid care se rotește în jurul unui ax fix* are expresia:

$$E_c = \frac{1}{2} J_{\Delta} \omega^2. \quad (16.46)$$

c) *Energia cinetică la mișcarea de roto-translație a rigidului*

Se consideră un solid rigid (S) de masă M , aflat în mișcare de roto-translație sub acțiunea unui sistem de forțe date. Pentru determinarea energiei cinetice a rigidului, se cunosc: viteza \bar{v}_0 a unui punct O situat pe axa mișcării de roto-translație, momentul de inerție mecanic axial J_{Δ_0} al rigidului în raport cu axa (Δ_0) a mișcării și viteza unghiulară $\bar{\omega}$ de rotație a rigidului în jurul axei respective. Trebuie menționat că la un moment dat al mișcării, vectorii \bar{v}_0 și $\bar{\omega}$ sunt aceeași pentru toate punctele rigidului. Acest fapt permite extragerea lor de sub integrală în calculele care urmează.

Legea de distribuție a vitezelor la mișcarea de roto-translație este:

$\bar{v} = \bar{v}_0 + \bar{\omega} \times \bar{r}$. Cum în expresia energiei cinetice apare factorul v^2 , se ridică la pătrat în ambii membrii relația vitezelor, obținându-se succesiv:

$$\bar{v}^2 = (\bar{v}_0 + \bar{\omega} \times \bar{r})^2 = \bar{v}_0^2 + 2\bar{v}_0 \cdot (\bar{\omega} \times \bar{r}) + (\bar{\omega} \times \bar{r})^2. \quad (16.47)$$

Se fac următoarele precizări:

$$\bar{v}^2 = v^2; \quad \bar{v}_0^2 = v_0^2; \quad \bar{v}_0(\bar{\omega} \times \bar{r}) = \bar{\omega}(\bar{r} \times \bar{v}_0) = \bar{r}(\bar{v}_0 \times \bar{\omega}) = 0, \quad (16.47a)$$

pentru că la mișcarea de roto-translație vectorii \bar{v}_0 și $\bar{\omega}$ sunt coliniari pe aceeași axă (Δ_O) a mișcării.

$(\bar{\omega} \times \bar{r})^2 = |\bar{\omega} \times \bar{r}|^2 = \omega^2 r^2 \sin^2 \alpha = \omega^2 d^2$, unde $d = r \sin \alpha$ și reprezintă distanța punctelor rigidului la axa (Δ_O) , măsurată pe perpendiculara la aceasta.

În conformitate cu (16.39), energia cinetică a rigidului, având în vedere (16.47) și precizările anterioare, devine:

$$\begin{aligned} E_c &= \frac{1}{2} \int_{(S)} v^2 dm = \frac{1}{2} \int_{(S)} v_0^2 dm + \frac{1}{2} \int_{(S)} \omega^2 d^2 dm = \\ &= \frac{1}{2} v_0^2 \int_{(S)} dm + \frac{1}{2} \omega^2 \int_{(S)} d^2 dm = \frac{1}{2} M v_0^2 + \frac{1}{2} J_{\Delta_O} \omega^2, \end{aligned} \quad (16.48)$$

pentru că: $\int dm = M$, masa întregului rigid, $\int_{(S)} d^2 dm = J_{\Delta_O}$, este momentul de inerție mecanic al rigidului în raport cu axa (Δ_O) de roto-translație.

Se menționează că mărimile v_0 și ω s-au extras de sub integrale, pentru că ele sunt comune la un moment dat pentru toate punctele solidului rigid, iar energia cinetică este o mărime instantanee, adică se determină la un anumit moment al mișcării.

Astfel, expresia energiei cinetice a rigidului aflat în mișcare de roto-translație este:

$$E_c = \frac{1}{2} M v_0^2 + \frac{1}{2} J_{\Delta_O} \omega^2. \quad (16.49)$$

În cazul solidului rigid aflat în *mișcare de roto-translație energia cinetică E_c are două componente: o componentă de translație generată de \bar{v}_0 și o componentă de rotație a rigidului în jurul axei fixe (Δ_O) cu viteza unghiulară $\bar{\omega}$.*

d) Energia cinetică la mișcarea plan-paralelă

Se consideră o placă (P), aflată în mișcare plan-paralelă, de masă M , având viteza centrului de masă \bar{v}_c , momentul de inerție mecanic axial J_{Δ_c} în raport cu axa $(\Delta_c) \perp (P)$ în centrul de masă și viteza unghiulară $\bar{\omega}$ (fig. 16.7a).

În conformitate cu teorema lui König pentru energia cinetică, se poate scrie:

$$E_c = \frac{1}{2} M v_c^2 + \frac{1}{2} J_{\Delta_c} \omega^2 . \quad (16.50)$$

Cunoscând viteza centrului maselor: $v_c = \omega \cdot IC = \omega d$, se obține:

$$E_c = \frac{1}{2} \omega^2 (J_{\Delta_c} + M d^2) = \frac{1}{2} J_{\Delta_1} \omega^2 ,$$

respectiv,

$$E_c = \frac{1}{2} J_{\Delta_1} \omega^2 . \quad (16.51)$$

pentru că $J_{\Delta_c} + M d^2 = J_{\Delta_1}$, conform teoremei lui Steiner.

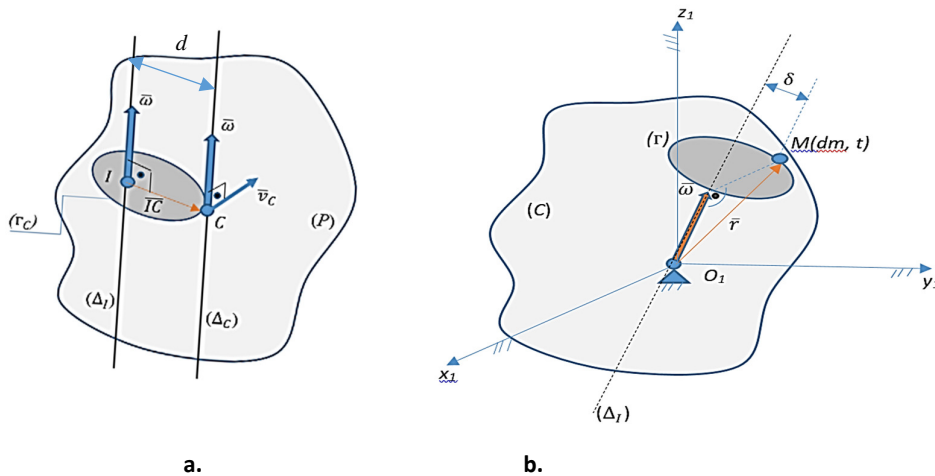


Fig. 16.7

e) *Energia cinetică la mișcarea sferică (mișcarea în jurul unui punct fix)*

În cazul *mișcării sferice* (fig. 16.7b), viteza $\vec{v} = \vec{\omega} \times \vec{r}$ se înlocuiește în expresia energiei cinetice dată de relația (16.39), se fac apoi calcule succesive, rezultând:

$$\begin{aligned} E_c &= \frac{1}{2} \int_{(S)} \vec{v}^2 dm = \frac{1}{2} \int_{(S)} (\vec{\omega} \times \vec{r})^2 dm = \frac{1}{2} \int_{(S)} |\vec{\omega} \times \vec{r}|^2 dm = \\ &= \frac{1}{2} \int_{(S)} \omega^2 r^2 \sin^2 \alpha dm = \frac{1}{2} \omega^2 \int_{(S)} (r^2 \sin^2 \alpha) dm = \\ &= \frac{1}{2} \int_{(S)} \delta^2 dm = \frac{1}{2} J_{\Delta} \omega^2, \end{aligned} \quad (16.52)$$

pentru că: $|\vec{\omega} \times \vec{r}| = \omega r \sin \alpha = \omega \delta$, unde $\delta = r \sin \alpha$, $\int_{(S)} \delta^2 dm = J_{\Delta}$,

În final, expresia *energiei cinetice la mișcarea sferică* devine:

$$E_c = \frac{1}{2} J_{\Delta} \omega^2. \quad (16.53)$$

În această relație J_{Δ} - este momentul de inerție mecanic axial al rigidului în raport cu axa instantanee de rotație (Δ_I), care constituie suportul vitezei unghiulare instantanee. În expresiile anterioare s-a extras ω^2 de sub integrală pentru că la un moment dat, viteza unghiulară este aceeași pentru toate punctele rigidului, iar energia cinetică se determină la acel moment.

Dacă se ține seama de *legea de variație a momentelor de inerție mecanice în raport cu axe concurente*, se poate scrie relația:

$$J_{\Delta} = J_x \alpha^2 + J_y \beta^2 + J_z \gamma^2 - 2J_{xy} \alpha \beta - 2J_{yz} \beta \gamma - 2J_{zx} \alpha \gamma, \quad (16.54)$$

în care α , β și γ sunt cosinusurile directe ale axei (Δ), J_x , J_y , J_z , J_{xy} , J_{yz} , J_{zx} sunt momentele de inerție mecanice axiale și centrifugale componente ale matricei de inerție, iar componentele scalare ale vitezei unghiulare sunt:

$$\alpha \omega = \omega_x; \quad \beta \omega = \omega_y; \quad \gamma \omega = \omega_z, \quad (16.55)$$

În acest caz, energia cinetică a rigidului se exprimă cu relația:

$$E_c = \frac{1}{2} \left(J_x \omega_x^2 + J_y \omega_y^2 + J_z \omega_z^2 - 2J_{xy} \omega_x \omega_y - 2J_{yz} \omega_y \omega_z - 2J_{zx} \omega_z \omega_x \right). \quad (16.56)$$

În cazul particular, în care axele sistemului de referință mobil sunt *axe principale de inerție* atunci, momentele de inerție mecanice centrifugale sunt nule și relația (16.56) devine:

$$E_c = \frac{1}{2} \left(J_x \omega_x^2 + J_y \omega_y^2 + J_z \omega_z^2 \right). \quad (16.57)$$

16.5 Impuls

O altă mărime mecanică importantă în studiul dinamicii punctului material și nu numai, este *impulsul mecanic* notat (\vec{p} sau \vec{h}) numit și *cantitatea de mișcare sau moment liniar*. În general, pentru punct material se abordează literele mici, iar pentru sistem de puncte materiale și solid rigid literele mari (\vec{P} sau \vec{H}). Impulsul sau “cantitate de mișcare” a fost definită de filozoful și matematicianul francez R. Descartes în anul 1645 și a fost preluată ulterior și utilizată de I. Newton în 1686 pentru formularea principiilor fundamentale ale dinamicii.

Notă: Impulsul punctului material este notat cu \vec{p} , iar impulsul sistemelor de puncte materiale sau a solidului rigid și a sistemelor de solide rigide se notează cu litera \vec{P} .

a) Impulsul unui punct material

Se consideră un *punct material* M de masă m , care se deplasează sub acțiunea unei forțe pe o traiectorie curbilinie (Γ), având la un momentul (t) viteza \vec{v} (fig. 16.8). Se definește ca *impulsul \vec{p} sau cantitatea de mișcare a punctului material un vector egal cu produsul dintre masa punctului și viteza sa.*

Astfel,

$$\vec{p} = m\vec{v} . \quad (16.58)$$

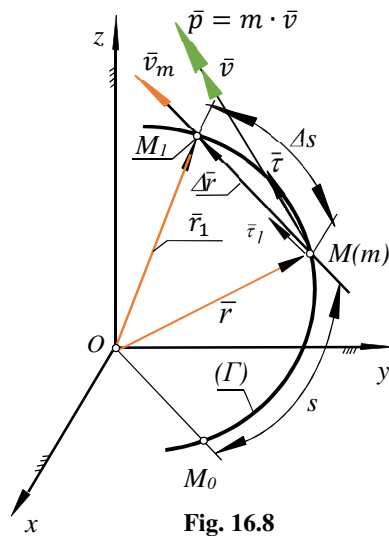


Fig. 16.8

Se alege un sistem de referință cartezian $Oxyz$ și se proiectează relația (16.58) pe axele acestui sistem. Prin identificarea coeficienților versorilor în relația respectivă, se obțin componentele scalare ale impulsului, exprimate astfel:

$$p_x = m\dot{x}; \quad p_y = m\dot{y}; \quad p_z = m\dot{z}. \quad (16.59)$$

În relația (16.59), se notează cu $\dot{x}, \dot{y}, \dot{z}$ componentele carteziene ale vitezei punctului M pe axele sistemului de referință ales.

Unitatea de măsură a impulsului este [kg m/s].

b) Impulsul unui sistem de puncte materiale

În cazul unui *sistem discret de puncte materiale* M_i de mase m_i , $i = 1 \div n$ și vitezele \bar{v}_i , sistem aflat în mișcare, **impulsul sistemului este egal cu suma impulsurilor punctelor materiale.**

$$\begin{aligned}\bar{P} &= \sum_{i=1}^n m_i \bar{v}_i = \sum_{i=1}^n m_i \frac{d\bar{r}_i}{dt} = \sum_{i=1}^n \frac{d}{dt} (m_i \bar{r}_i) = \frac{d}{dt} \sum_{i=1}^n (m_i \bar{r}_i) = \\ &= M \frac{d\bar{r}_c}{dt} = M \bar{v}_c.\end{aligned}\quad (16.60)$$

pentru că: $\bar{v}_i = \frac{d\bar{r}_i}{dt}$; $m_i = ct.$; $\sum_{i=1}^n m_i \bar{r}_i = \bar{r}_c \sum_{i=1}^n m_i = M \bar{r}_c$, $\frac{d\bar{r}_c}{dt} = \bar{v}_c$. (16.61)

Astfel, *impulsul unui sistem de puncte materiale* este:

$$\bar{P} = M \bar{v}_c. \quad (16.62)$$

Relația (16.62) poate fi proiectată pe axele sistemului de referință ales $Oxyz$ și se obțin proiecțiile impulsului pe aceste axe:

$$P_x = M \dot{x}_c; \quad P_y = M \dot{y}_c; \quad P_z = M \dot{z}_c. \quad (16.63)$$

Impulsul total al unui sistem de puncte materiale este egal cu impulsul centrului de masă al sistemului discret de puncte materiale în care se presupune concentrată întreaga masă a sistemului, în conformitate cu relația (16.62).

c) *Impulsul solidului rigid*

În cazul unui solid rigid format dintr-o infinitate de mase elementare dm , semnul sumă se înlocuiește cu cel de integrală, se fac apoi următoarele înlocuiri: $m_i = dm$, $\bar{v}_i = \bar{v}$ și $\bar{v} = \frac{d\bar{r}}{dt}$. Înlocuind aceste precizări în prima formă a relației (16.60), se obține succesiv:

$$\begin{aligned}\bar{P} &= \int_{(S)} \bar{v} dm = \int_{(S)} \frac{d\bar{r}}{dt} dm = \int_{(S)} \frac{d}{dt} (\bar{r} dm) = \frac{d}{dt} \int_{(S)} \bar{r} dm = \frac{d}{dt} M \bar{r}_c = \\ &= M \frac{d\bar{r}_c}{dt} = M \bar{v}_c,\end{aligned}$$

pentru că $\bar{r}_c = \frac{\int_{(S)} \bar{r} dm}{\int_{(S)} dm}$, de unde $\int_{(S)} \bar{r} dm = M\bar{r}_c$. (16.63a)

Astfel, impulsul solidului rigid devine:

$$\bar{P} = \int_{(S)} \bar{v} dm = M\bar{v}_c. \quad (16.64)$$

16.6 Moment cinetic

16.6.1 Definiții

a) *Momentul cinetic al unui punct material*

Fie un punct material M de masă m care se deplasează sub acțiunea unei forțe pe traiectoria curbilinie (Γ), având la un moment (t) viteza \bar{v} .

Prin definiție, *momentul cinetic al unui punct material aflat în mișcare în raport cu un pol fix O* , este egal cu *momentul vectorului impuls față de același pol O* .

Astfel:

$$\bar{k}_0 = \bar{r} \times m\bar{v}. \quad (16.65)$$

Proiecțiile acestui vector pe axele unui sistem de referință $Oxyz$ vor fi:

$$k_x = m(y\dot{z} - z\dot{y}); \quad k_y = m(z\dot{x} - x\dot{z}); \quad k_z = m(x\dot{y} - y\dot{x}). \quad (16.66)$$

Caracteristicile vectorului moment cinetic \bar{k}_0 al punctului material sunt:

- *Punctul de aplicație* se află în polul O ;
- *Direcția* este normală pe planul definit de vectorul de poziție \bar{r} și de impulsul \bar{p} ;
- *Sensul* este dat de regula produsului vectorial;
- *Modulul* este: $k_0 = |\bar{r} \times m\bar{v}| = mvr \sin(\widehat{\bar{r}, m\bar{v}})$. (16.67)

Unitatea de măsură pentru momentul cinetic în SI este $[kg \ m^2/s]$.

Notă: În cazul punctului material, momentul cinetic se notează cu \vec{k}_0 , iar în cazul sistemelor de puncte materiale și a solidului rigid, momentul cinetic se notează cu \vec{K}_0 .

b) Momentul cinetic al unui sistem de puncte materiale

Prin definiție, *momentul cinetic al unui sistem discret de puncte materiale* M_i de mase m_i aflat în mișcare sub acțiunea unor forțe având vitezele \vec{v}_i (fig. 16.9) în raport cu un punct fix O , este egal cu suma momentelor cinetice ale punctelor determinate în raport cu același pol.

$$\vec{K}_0 = \sum_{i=1}^n \vec{r}_i \times m_i \vec{v}_i . \quad (16.68)$$

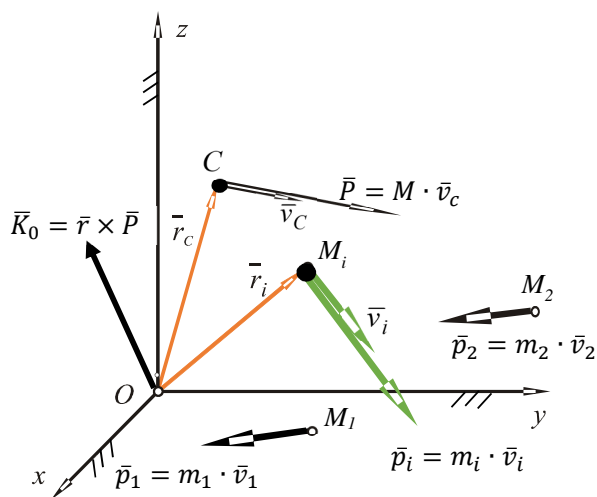


Fig. 16.9

c) Momentul cinetic al unui solid rigid

În cazul unui solid rigid (S) aflat în mișcare generală sub acțiunea unui sistem de forțe exterioare, fiecare punct de masă elementară dm aparținând acestuia este caracterizat de viteza \vec{v} , de impulsul $d\vec{p}$ și de vectorul de poziție propriu \vec{r} astfel că, se definește momentul cinetic față de polul fix O prin relația:

$$d\bar{K}_0 = \bar{r} \times d\bar{p} = \bar{r} \times \bar{v} dm . \quad (16.69)$$

Prin integrarea relației (16.69), se obține:

$$\bar{K}_0 = \int \bar{r} \times \bar{v} dm . \quad (16.70)$$

Dacă raportăm momentul cinetic al rigidului aflat în *mișcare relativă* față de centrul maselor, acesta este:

$$\bar{K}_c = \int_{(S)} (\bar{r} \times (\bar{v} - \bar{v}_c)) dm = \int_{(S)} (\bar{r} \times (\bar{\omega} \times \bar{r})) dm . \quad (16.71)$$

Relația (16.71) se poate scrie și matriceal sub forma:

$$\begin{bmatrix} K_X \\ K_Y \\ K_Z \end{bmatrix} = \begin{bmatrix} J_x & -J_{xy} & -J_{xz} \\ -J_{yx} & J_y & -J_{yz} \\ -J_{zx} & -J_{zy} & J_z \end{bmatrix} \cdot \begin{bmatrix} \omega_x \\ \omega_y \\ \omega_z \end{bmatrix}; \quad \text{sau } [\bar{K}_c] = [J] \cdot [\bar{\omega}]. \quad (16.72)$$

unde $[J]$ - este *tensorul de inerție*:

$$J = \begin{bmatrix} J_x & -J_{xy} & -J_{xz} \\ -J_{yx} & J_y & -J_{yz} \\ -J_{zx} & -J_{zy} & J_z \end{bmatrix}, \quad (16.73)$$

și se numește *matricea momentelor de inerție* sau *tensorul inerțial*.

În cele ce urmează se va demonstra că *momentul cinetic al unui solid rigid față de centrul de masă C* este același, atât în mișcare absolută cât și în mișcarea relativă a solidului rigid (fig. 16.10).

Astfel că se va nota cu \bar{r} vectorul de poziție al unui punct M aparținând solidului rigid în raport cu centrul de masă $C = O$ și cu \bar{v} - viteza absolută a punctului M , astfel că momentul cinetic al solidului rigid calculat în raport cu centrul de masă C va fi:

$$\bar{K}_c = \int_{(S)} \bar{r} \times \bar{v} dm . \quad (16.74)$$

unde: \bar{v} – este viteza absolută a punctului M ; $\bar{v} = \bar{v}_r + \bar{v}_c$;
 \bar{v}_r – este viteza relativă a punctului M în raport cu C ;
 \bar{v}_c – este viteza centrului de masă a solidului rigid.

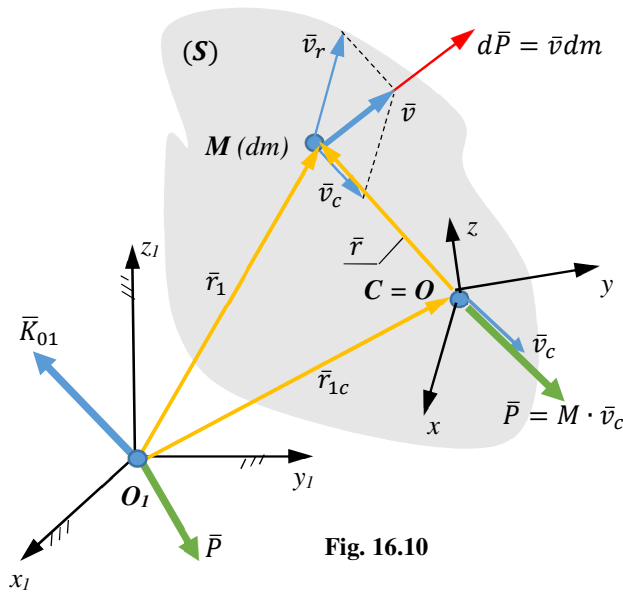


Fig. 16.10

Ținând cont de relația (16.71), relația (16.74) devine:

$$\bar{K}_c = \int_{(S)} \bar{r} \times \bar{v}_r dm + \int_{(S)} \bar{r} \times \bar{v}_c dm . \quad (16.75)$$

unde:

$$\int_{(S)} \bar{r} \times \bar{v}_c dm = \int_{(S)} \bar{r} dm \times \bar{v}_c = M \cdot \overline{OC} \times \bar{v}_c = 0, \quad (16.76)$$

pentru că, $\int_{(S)} \bar{r} dm = M \cdot \overline{OC} = 0, O \equiv C$.

Astfel,

$$\bar{K}_c = \int_{(S)} \bar{r} \times \bar{v}_r dm . \quad (16.77)$$

Relația (16.77) demonstrează că *momentul cinetic al unui rigid (S), raportat la centrul de masă C, are aceeași formă atât în mișcarea absolută (16.74), cât și în cea relativă (16.77).*

Trebuie menționat că, deoarece vitezele punctelor solidului rigid depind de tipul mișcării rigidului, expresiile momentelor cinetice vor diferi în funcție de mișcare.

16.6.2 Momentul cinetic în cazul unor mișcări particulare ale solidului rigid

a) Momentul cinetic în mișcarea de translație

Se consideră un solid rigid (S) aflat în *mișcare de translație*, având masa M și viteza instantanee a centrului de masă \bar{v}_c . La un momentul (t), vitezele tuturor punctelor rigidului vor fi aceleași și vom avea:

$$\begin{aligned} \bar{K}_0 &= \int_{(S)} \bar{r} \times \bar{v}_c dm = \int_{(S)} (\bar{r} dm) \times \bar{v}_c = \bar{r}_c \times M \bar{v}_c = \bar{r}_c \times \bar{P}, \\ \bar{K}_0 &= \bar{r}_c \times \bar{P}. \end{aligned} \quad (16.78)$$

Relația (16.78) arată că, *momentul cinetic în cazul unui solid rigid aflat în mișcare de translație este egal cu momentul cinetic al centrului de masă C în care se presupune concentrată întreaga masă a rigidului, ambele determinate în raport cu același pol O.* Se observă că în cazul mișcării de translație a unui rigid, momentul cinetic în raport cu centrul maselor C este nul pentru că viteza relativă \bar{v}_r , față de centrul de masă este nulă.

b) Momentul cinetic în mișcarea de rotație în jurul unui punct fix

Se consideră un solid rigid (S) care efectuează o mișcare de rotație în jurul unui punct fix O , aparținând solidului rigid și care are cunoscută viteza unghiulară

instantanee $\bar{\omega}$. Se consideră că originile sistemului fix și mobil coincid ($O = O_I$) precum și vectorii de poziție $\bar{r}_1 = \bar{r}$. Momentul cinetic al solidului rigid poate fi exprimat în funcție de momentele de inerție mecanice (axiale și centrifugale) raportate la axele sistemului de referință mobil $Oxyz$.

$$\bar{K}_0 = \int_{(S)} \bar{r} \times \bar{v} dm . \quad (16.79)$$

Având în vedere *legea de distribuție a vitezelor în cazul mișcării sferice a rigidului* (rotația în jurul unui punct fix):

$$\bar{v} = \bar{\omega} \times \bar{r}. \quad (16.80)$$

se poate scrie

$$\bar{K}_0 = \int_{(S)} \bar{r} \times (\bar{\omega} \times \bar{r}) dm = \int_{(S)} \bar{r}^2 \bar{\omega} dm - \int_{(S)} (\bar{\omega} \cdot \bar{r}) \bar{r} dm, \quad (16.81)$$

relație în care:

$$\bar{K}_0 = K_x \bar{i} + K_y \bar{j} + K_z \bar{k}; \quad \bar{r} = x \bar{i} + y \bar{j} + z \bar{k}; \quad \bar{\omega} = \omega_x \bar{i} + \omega_y \bar{j} + \omega_z \bar{k}. \quad (16.82)$$

Matriceal, prima ecuație a relației (16.81) se va scrie:

$$\begin{bmatrix} K_x \\ K_y \\ K_z \end{bmatrix} = \begin{bmatrix} J_x & -J_{xy} & -J_{xz} \\ -J_{yx} & J_y & -J_{yz} \\ -J_{zx} & -J_{zy} & J_z \end{bmatrix} \cdot \begin{bmatrix} \omega_x \\ \omega_y \\ \omega_z \end{bmatrix}; \quad \text{sau } [\bar{K}_0] = [J] \cdot [\bar{\omega}]. \quad (16.83)$$

Din relația (16.83) rezultă:

$$K_x = J_x \omega_x - J_{xy} \omega_y - J_{xz} \omega_z ; \quad (16.84)$$

$$K_y = J_y \omega_y - J_{yz} \omega_z - J_{yx} \omega_x ;$$

$$K_z = J_z \omega_z - J_{zx} \omega_x - J_{zy} \omega_y .$$

Dacă axele sistemului de referință mobil coincid cu axele principale de inerție corespunzătoare polului O , atunci momentele de inerție mecanice centrifugale (J_{xy} , J_{xz} , J_{yz}) sunt nule, iar expresiile (16.84) devin:

$$K_x = J_x \omega_x; \quad K_y = J_y \omega_y; \quad K_z = J_z \omega_z. \quad (16.85)$$

c) Momentul cinetic la mișcarea de rotație în jurul unui ax fix

Se consideră un solid rigid (S) aflat în *mișcare de rotație în jurul unui ax fix* (Δ). Se cunosc momentele de inerție mecanice axiale și centrifugale în raport cu axele sistemului de referință mobil $Oxyz$, legat invariabil de solidul rigid și viteza unghiulară instantanee $\bar{\omega}$. Momentul cinetic \bar{K}_0 al rigidului se poate determina deoarece această mișcare este o particularizare a mișcării sferice, cu observația că axa instantanee de rotație devine în acest caz fixă în spațiu.

În cazul în care axa (Δ) = Oz , $\omega_x = \omega_y = 0$; $\omega_z = \omega$, iar proiecțiile momentului cinetic pe axele sistemului de referință vor deveni:

$$K_x = -J_{xz}\omega; \quad K_y = -J_{yz}\omega; \quad K_z = J_z\omega. \quad (16.86)$$

- dacă axa (Δ) = Oz și axa Oz este axă principală de inerție, respectiv $\omega_x = \omega_y = 0$ și $J_{xz} = J_{yz} = 0$, atunci proiecțiile momentului cinetic pe axele sistemului de referință vor deveni:

$$K_x = K_y = 0; \quad K_z = J_z\omega; \quad \bar{K}_0 = J_z\omega \cdot \bar{k}. \quad (16.87)$$

d) Momentul cinetic la mișcarea plan-paralelă

În cazul *mișcării plan paralele* distribuția de viteze se obține prin suprapunerea a două câmpuri de mișcări și anume, o mișcare de translație cu viteza \bar{v}_0 a unui punct arbitrar O aparținând rigidului și o mișcare de rotație cu viteza unghiulară $\bar{\omega}$ în jurul unui ax perpendicular pe planul mișcării în punctul O . Corespunzător celor două câmpuri de viteze, momentul cinetic al rigidului se va determina ca o sumă de două momente cinetice.

Dacă se raportează distribuția de viteze la centrul instantaneu de rotație I sau CIR , se va obține o distribuție de viteze a rigidului specifică unei mișcări de rotație pură în jurul unei axe (Δ_I) normală pe planul mișcării în punctul I . Astfel că, dacă

considerăm placa mobilă (P_m) în mișcare în planul fix $O_1x_1y_1z_1$, ea având viteza centrului de masă \bar{v}_c și viteza unghiulară $\bar{\omega}$, cunoscând și momentul de inerție mecanic axial J_z , în raport cu axa Oz a sistemului de referință mobil $Oxyz$ (fig. 16.11), se pot deduce expresiile momentului cinetic raportat la polul O , la centrul de masă C și la polul O_1 .

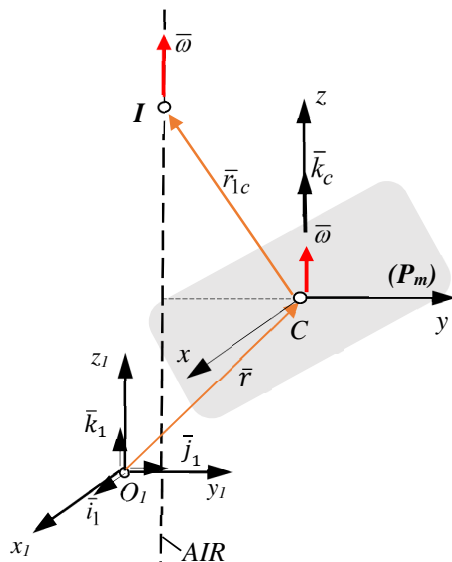


Fig. 16.11

În cazul mișcării plane a unei plăci (P_m) în planul fix $O_1x_1y_1$ ordonata z a tuturor punctelor rigidului este nulă și momentele de inerție mecanice centrifugale sunt nule ($J_{zx} = J_{zy} = 0$), de unde rezultă că componentele scalare ale momentului cinetic în raport cu polul O legat invariabil de placa (P_m) sunt:

$$K_x = K_y = 0; K_z = J_z \omega; \bar{K}_O = J_z \omega \cdot \bar{k}. \quad (16.88)$$

- momentul cinetic raportat la centrul de masă C devine:

$$\bar{K}_c = J_z \omega \bar{k}, \quad (16.89)$$

$$K_c = J_z \omega.$$

- relația lui König pentru momentul cinetic raportat la polul O_I devine:

$$\bar{K}_{01} = \bar{r}_{1c} \times M\bar{v}_c + \bar{K}_c = \left[M \left(x_{1c} v_{c_{y1}} - y_{1c} v_{c_{x1}} \right) \right] \bar{k}. \quad (16.90)$$

e) Momentul cinetic la mișcarea de roto-translație

Fie un solid rigid aflat în **mișcare de roto-translație** având masa M și momentele de inerție mecanice axiale și centrifugale $J_x, J_y, J_z, J_{xy}, J_{yz}, J_{zx}$ în raport cu un sistem de referință cartezian mobil $Oxyz$. În acest caz, viteza \bar{v} a unui punct M aparținând rigidului va avea două componente rectangulare, una (\bar{v}_0) orientată paralel cu axa mișcării și datorată mișcării de translație, a doua ($\bar{\omega} \times \bar{r}$) situată în planul normal pe axa mișcării de roto-translație și se datorează mișcării de rotație a rigidului în jurul acestei axe cu viteza unghiulară instantanee $\bar{\omega}$.

Expresia momentului cinetic \bar{K}_0 raportat la polul O este:

$$\begin{aligned} \bar{K}_0 &= \int_{(S)} \bar{r} \times (\bar{v}_0 + \bar{\omega} \times \bar{r}) dm = \int_{(S)} (\bar{r} dm) \times \bar{v}_0 + \bar{\omega} \int_{(S)} r^2 dm - \\ &\int_{(S)} (\bar{\omega} \cdot \bar{r}) \bar{r} dm = \bar{r}_c \times M\bar{v}_0 + \bar{\omega} \int_{(S)} r^2 dm - \int_{(S)} (\bar{\omega} \cdot \bar{r}) \cdot \bar{r} dm, \end{aligned} \quad (16.91)$$

unde: $\bar{r}_c \times M\bar{v}_0$ – reprezintă momentul cinetic al solidului rigid corespunzător mișcării de translație în lungul axei mișcării de roto-translație;

iar $\bar{\omega} \int_{(S)} r^2 dm - \int_{(S)} (\bar{\omega} \cdot \bar{r}) \cdot \bar{r} dm$ – reprezintă momentul cinetic al rigidului corespunzător mișcării de rotație în jurul axei mișcării.

Ținând cont de expresia (16.91), rezultă că proiecțiile momentului cinetic pe axele sistemului de referință $Oxyz$ sunt:

$$\begin{aligned} K_x &= M(y_c v_{0z} - z_c v_{0y}) + J_x \omega_x - J_{xy} \omega_y - J_{xz} \omega_z; \\ K_y &= M(z_c v_{0x} - x_c v_{0z}) + J_y \omega_y - J_{yz} \omega_z - J_{yx} \omega_x; \\ K_z &= M(x_c v_{0y} - y_c v_{0x}) + J_z \omega_z - J_{zx} \omega_x - J_{zy} \omega_y. \end{aligned} \quad (16.92)$$

Expresiile (16.92) pot fi scrise și matriceal astfel:

$$[K_0] = [\hat{S}] \cdot [v_0] + [J_0] \cdot [\omega] . \quad (16.93)$$

unde:

$$[K_0] = \begin{bmatrix} K_x \\ K_y \\ K_z \end{bmatrix}; [v_0] = \begin{bmatrix} v_x \\ v_y \\ v_z \end{bmatrix}; [\omega] = \begin{bmatrix} \omega_x \\ \omega_y \\ \omega_z \end{bmatrix} .$$

$$[\hat{S}] = \begin{bmatrix} 0 & -Mz_c & My_c \\ Mz_c & 0 & -Mx_c \\ -My_c & Mx_c & 0 \end{bmatrix}; \text{matricea antisimetrică}$$

$$\text{iar } [J_0] = \begin{bmatrix} J_x & -J_{xy} & -J_{xz} \\ -J_{yx} & J_y & -J_{yz} \\ -J_{zx} & -J_{zy} & J_z \end{bmatrix}; \text{tensorul inerțial}$$

De menționat este faptul că, relațiile (16.92) sunt valabile și în cazul mișcării generale a solidului rigid, dar se menționează că în acest caz \bar{v}_0 și $\bar{\omega}$ sunt variabile ca direcție și modul, mișcarea de rotație relativă fiind în jurul axei instantanee de rotație.

16.6.3 Teorema lui König pentru momentul cinetic

Se consideră un solid rigid (S) aflat în **mișcare generală** față de un sistem de referință fix $O_1x_1y_1z_1$ și care are la un moment (t) viteza centrului de masă \bar{v}_C și viteza unghiulară $\bar{\omega}$ (fig. 16.12). Se cunoaște masa M a corpului, precum și momentele de inerție mecanice ale acestuia în raport cu sistemul de referință $Oxyz$, sistem legat invariabil de solidul rigid (S). Se dorește, să se determine relația dintre momentul cinetic al corpului față de punctul fix O_1 și momentul cinetic al corpului aflat în mișcarea relativă față de centrul de masă C .

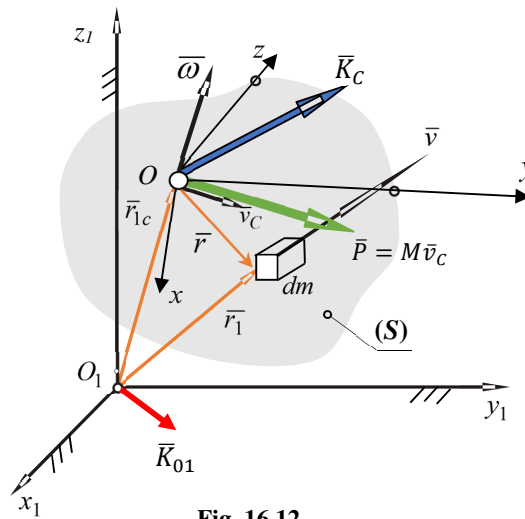


Fig. 16.12

Se pot scrie succesiv relațiile următoare, conform figurii 16.12 și expresia momentului cinetic devine:

$$\vec{r}_1 = \vec{r}_{1c} + \vec{r}; \quad \vec{v} = \vec{v}_c + \vec{\omega} \times \vec{r};$$

$$\begin{aligned} \vec{K}_{01} &= \int_{(S)} (\vec{r}_{1c} + \vec{r}) \times (\vec{v}_c + \vec{\omega} \times \vec{r}) dm = \\ &= \int_{(S)} \vec{r}_{1c} \times \vec{v}_c dm + \int_{(S)} \vec{r}_{1c} \times (\vec{\omega} \times \vec{r}) dm + \int_{(S)} \vec{r} \times \vec{v}_c dm + \int_{(S)} \vec{r} \times (\vec{\omega} \times \vec{r}) dm \\ &= \vec{r}_{1c} \times \vec{v}_c \int_{(S)} dm + \vec{r}_{1c} \times \vec{\omega} \times \int_{(S)} \vec{r} dm + \left(\int_{(S)} \vec{r} dm \right) \times \vec{v}_c + \\ &\quad + \int_{(S)} \vec{r} \times (\vec{\omega} \times \vec{r}) dm. \end{aligned} \quad (16.94)$$

unde: $\int_{(S)} dm = M$; $\int_{(S)} \vec{r} dm = M \cdot \vec{r}_c = 0$; $\int_{(S)} \vec{r} \times (\vec{\omega} \times \vec{r}) dm = \vec{K}_c$, relația (16.94) devine:

$$\vec{K}_{01} = \vec{r}_{1c} \times M\vec{v}_c + \vec{K}_c. \quad (16.95)$$

Relația (16.95) exprimă *teorema lui König pentru momentul cinetic* conform căreia, *momentul cinetic al unui solid rigid în raport cu un punct fix O_1 este egal cu suma dintre momentul cinetic al centrului de masă în care se consideră concentrată întreaga masă a solidului și momentul cinetic \bar{K}_C rezultat din mișcarea de rotație a rigidului față de axa instantanee de rotație.*

16.7 Teoremele fundamentale ale dinamicii

Teoremele fundamentale ale dinamicii constituie o urmare firească a mărimilor dinamice fundamentale prezentate, iar rolul acestora este de a ajuta la rezolvarea problemelor de dinamică. Cele trei teoreme fundamentale ale dinamicii sunt:

a. *Teorema impulsului (în general, aplicată la mișcările rectilinii ale punctelor)* cu extensia sa de la mișcarea rigidului numită în acest caz, *Teorema mișcării centrului de masă*;

b. *Teorema momentului cinetic (aplicată la mișcări de rotație a corpurilor)*;

c. Iar cea mai generală, care le include pe primele două, este *Teorema energiei cinetice (aplicată la mișcărilor corpurilor, indiferent dacă sunt rectilinii sau de rotație sau combinații ale acestora).*

16.7.1 Teorema de variație a energiei cinetice

Se consideră un *sistem de puncte materiale* M_i (fig. 16.13) având masele m_i , vitezele \bar{v}_i , accelerațiile \bar{a}_i și vectorii de poziție \bar{r}_i , mișcarea fiind raportată la un sistem de referință cartezian fix notat $Oxyz$. Sistemul de puncte materiale se află în mișcare sub acțiunea unui sistem de forțe exterioare \bar{F}_i^{ext} ($j = 1 \div n$). Asupra punctului M_i acționează forța exterioară \bar{F}_i^{ext} și rezultanta forțelor interioare, $\bar{F}_i^{int} = \sum_{j=1}^n \bar{F}_{ij}$, ($j = 1 \div n$), cu care celelalte puncte $n-1$ interacționează cu punctul M_i .

Pentru fiecare punct material se va scrie legea fundamentală a dinamicii:

$$m_i \bar{a}_i = \bar{F}_i^{ext} + \bar{F}_i^{int} . \quad (16.96)$$

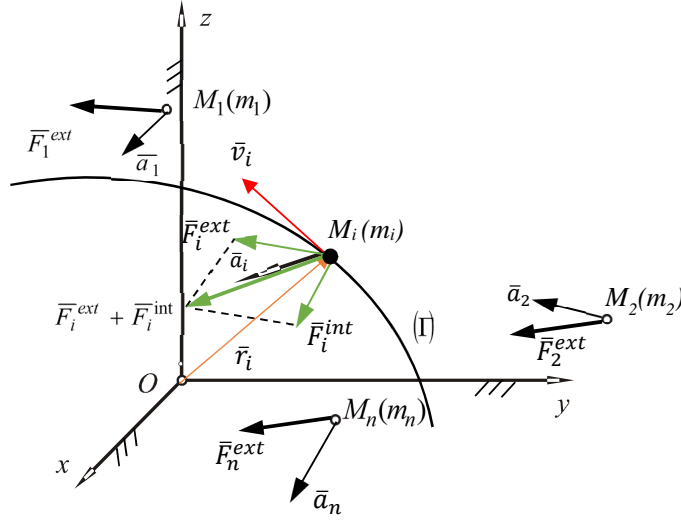


Fig. 16.13

Înmulțind scalar ambii membri ai relației (16.96) cu $d\vec{r}_i$ și însumând relațiile obținute pentru $i = 1 \div n$, rezultă:

$$\sum_{i=1}^n m_i \vec{a}_i \cdot d\vec{r}_i = \sum_{i=1}^n \vec{F}_i^{ext} \cdot d\vec{r}_i + \sum_{i=1}^n \vec{F}_i^{int} \cdot d\vec{r}_i . \quad (16.97)$$

$$\begin{aligned} \sum_{i=1}^n m_i \vec{a}_i \cdot d\vec{r}_i &= \sum_{i=1}^n m_i \frac{d\vec{v}_i}{dt} \cdot d\vec{r}_i = \\ &= \sum_{i=1}^n m_i v_i dv_i = \sum_{i=1}^n \frac{d}{dt} \left(\frac{1}{2} m_i v_i^2 \right) = \frac{d}{dt} \sum_{i=1}^n \frac{1}{2} m_i v_i^2 = dE_c . \end{aligned} \quad (16.98)$$

Ținând seama că: $\vec{v}_i = \frac{d\vec{r}_i}{dt}$ și $\vec{a}_i = \frac{d\vec{v}_i}{dt}$ membrii relației (16.97) devin:

$$\sum_{i=1}^n \vec{F}_i^{ext} d\vec{r}_i = dL^{ext} ; \quad \sum_{i=1}^n \vec{F}_i^{int} d\vec{r}_i = dL^{int} \quad (16.99)$$

unde: dL^{ext}, dL^{int} reprezintă lucrul mecanic al forțelor exterioare, respectiv interioare.

Se obține:

$$dE_c = dL^{ext} + dL^{int} . \quad (16.100)$$

Relația (16.100) reprezintă *teorema de variație a energiei cinetice sub formă elementară* sau *diferențială în cazul unui sistem de puncte materiale*, astfel că *variația elementară a energiei cinetice, a unui sistem de puncte materiale într-un interval de timp elementar (dt) este egală cu suma dintre lucrul mecanic elementar al forțelor exterioare și lucrul mecanic elementar al forțelor interioare corespunzător deplasărilor elementare $d\vec{r}_i$, ale sistemului de puncte materiale.*

Integrând relația (16.100), se obține *forma finită sau integrală a teoremei de variație a energiei cinetice* pentru un sistem discret de puncte materiale:

$$E_{c2} - E_{c1} = L_{1-2}^{ext} - L_{1-2}^{int} . \quad (16.101)$$

unde: E_{c1} este energia cinetică a sistemului la momentul t_1 [J];

E_{c2} este energia cinetică a sistemului la momentul t_2 [J];

L_{1-2}^{ext} reprezintă lucrul mecanic total al forțelor exterioare în intervalul de timp t_2-t_1 [J];

L_{1-2}^{int} reprezintă lucrul mecanic total al forțelor interioare în intervalul de timp t_2-t_1 [J].

Expresiile (16.100) și (16.101) sunt adevărate și în cazul unui solid rigid, cu observația că lucrul mecanic elementar dat de forțele interioare în acest caz, este nul:

$$dL^{int} = 0; \quad L_{1-2}^{int} = 0. \quad (16.102)$$

Forma diferențială a teoremei de variație a energiei cinetice, în acest caz, devine:

$$dE_c = dL^{ext} . \quad (16.103)$$

cu forma finită:

$$E_{c2} - E_{c1} = L_{1-2}^{ext} . \quad (16.104)$$

16.7.2 Teorema impulsului

În cele ce urmează, se va demonstra *teorema impulsului în cazul unui sistem de puncte materiale* care puncte sunt o generalizare a punctului material, rezultatele fiind aplicate și la un solid rigid sau sisteme de solide rigide.

Se consideră un sistem de puncte materiale M_i de mase m_i , aflat în mișcare cu vitezele și accelerațiile (\vec{v}_i, \vec{a}_i) sub acțiunea unui sistem de forțe exterioare $\vec{F}_i^{ext}, i = 1 \div n$. Asupra punctului M_i acționează atât forța $\vec{F}_i^{ext}, i = 1 \div n$, cât și rezultanta forțelor interioare $\vec{F}_i^{int} = \sum_{j=1}^n \vec{F}_{ij}, j = 1 \div n, j \neq i$ cu care celelalte puncte interacționează cu punctele M_i (fig. 16.14).

Se menționează că pentru fiecare punct din sistemul de puncte materiale este valabil principiul al doilea al mecanicii, scris sub forma:

$$m_i \vec{a}_i = \vec{F}_i^{ext} + \vec{F}_i^{int} . \quad (16.105)$$

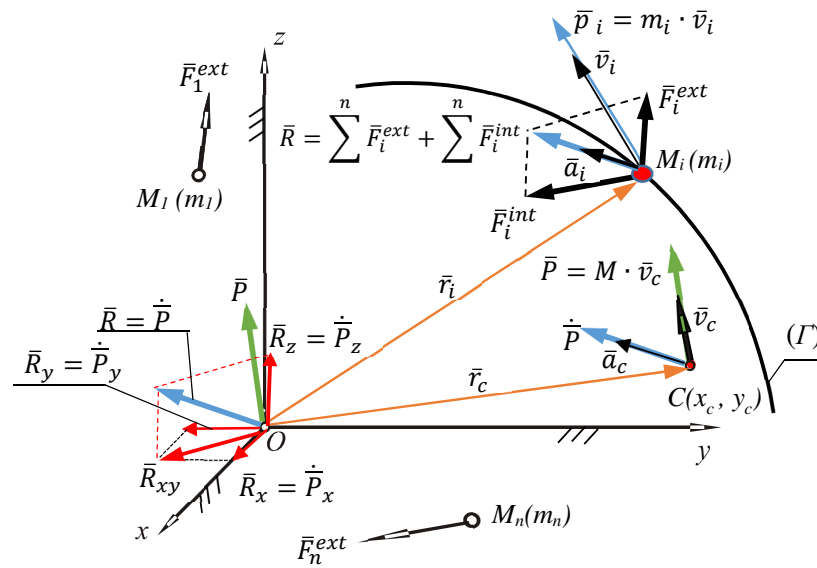


Fig. 16.14

Scriind relații de forma (16.105) pentru toate punctele sistemului și însumându-le membru cu membru se obține:

$$\sum_{i=1}^n m_i \bar{a}_i = \sum_{i=1}^n \bar{F}_i^{ext} + \sum_{i=1}^n \bar{F}_i^{int} . \quad (16.106)$$

unde: $\bar{a}_i = \frac{d\bar{v}_i}{dt}$ și înlocuită în (16.106), conduce la:

$\sum_{i=1}^n m_i \bar{a}_i = \sum_{i=1}^n m_i \frac{d\bar{v}_i}{dt} = \sum_{i=1}^n \frac{d}{dt} (m_i \bar{v}_i) = \frac{d}{dt} \sum_{i=1}^n m_i \bar{v}_i = \frac{d}{dt} (\bar{P}) = \dot{\bar{P}}$, care este derivata în raport cu timpul a vectorului impuls total, iar

$\sum_{i=1}^n \bar{F}_i^{ext} = \bar{R}^{ext}$ - este vectorul rezultant al forțelor exterioare;

$\sum_{i=1}^n \bar{F}_i^{int} = 0$ - este nulă, deoarece forțele interioare sunt două câte două egale în modul, având același suport și sensuri contrare.

Ținând cont de cele precizate, se obține:

$$\dot{\bar{P}} = \bar{R}^{ext} . \quad (16.107)$$

Relația (16.107) reprezintă *teorema de variație a impulsului pentru un sistem de puncte materiale*, respectiv *derivata în raport cu timpul a vectorului impuls total al unui sistem de puncte materiale este egală cu vectorul rezultant al forțelor exterioare aplicate punctelor sistemului*.

Deoarece: $\bar{P} = M\bar{v}_c$ va rezultă:

$$\dot{\bar{P}} = M\dot{\bar{v}}_c = M\bar{a}_c . \quad (16.108)$$

unde: M – este masa sistemului de puncte materiale [kg];

\bar{v}_c - este viteza centrului de masă al sistemului de puncte materiale [m/s];

\bar{a}_c - este accelerația centrului de masă [m/s²].

$$M\bar{a}_c = \bar{R}^{ext} . \quad (16.109)$$

Teorema de variație a impulsului sub forma (16.109) poartă numele de **teorema mișcării centrului maselor**, respectiv *centrul de masă al unui sistem de puncte materiale are mișcarea ca un singur punct a cărui masă este egală cu masa totală a sistemului, când asupra acestuia ar acționa vectorul rezultant a forțelor exterioare.*

Relația (16.109) se poate scrie sub formă scalară:

$$\dot{P}_x = M\ddot{x}_c = R_x^{ext}; \quad \dot{P}_y = M\ddot{y}_c = R_y^{ext}; \quad \dot{P}_z = M\ddot{z}_c = R_z^{ext}. \quad (16.110)$$

Integrând relația (16.109) la momentele t_1 și t_2 , obținem **forma finită a teoremei impulsului**:

$$\bar{P}_2 - \bar{P}_1 = \int_{t_1}^{t_2} \bar{R}^{ext} dt, \quad (16.111)$$

unde:

$$\bar{P}_1 = M\bar{v}_{c1}; \quad \bar{P}_2 = M\bar{v}_{c2}. \quad (16.112)$$

O particularizare a teoremei este atunci când vectorul rezultant al forțelor exterioare este nul sau proiecția acestuia pe o axă fixă este nulă ($\bar{R}^{ext} = 0$). În aceste cazuri, *impulsul total*, respectiv proiecția acestuia pe acea axă este invariabilă în timp, adică *se conservă*. Ținând cont de această precizare, se obțin următoarele integrale prime:

$$\bar{P} = M\bar{v}_c = \bar{C}, \quad (16.113)$$

respectiv,

$$P_x = C_1; \quad P_y = C_2; \quad P_z = C_3. \quad (16.114)$$

Dacă $P_y = P_z = 0$, respectiv $P_x = C_1$ atunci *centrul de masă are o mișcare rectilinie și uniformă sau în particular, rămâne în repaus*, respectiv proiecția centrului maselor pe acea axă se mișcă uniform sau rămâne pe loc.

Analog, celor demonstrate la un sistem de puncte materiale, se poate demonstra teorema de variație a impulsului pentru un solid rigid sau pentru un sistem de rigide.

16.7.3 Teorema de variație a momentului cinetic în raport cu un punct fix

În figura 16.15 se consideră un sistem de puncte materiale M_i de mase m_i aflat în mișcare cu vitezele și accelerațiile instantanee (\vec{v}_i, \vec{a}_i) , sub acțiunea unui sistem de forțe exterioare \vec{F}_i^{ext} ($i = 1 \div n$).

Asupra punctului M_i acționează atât forțele exterioare, cât și rezultanta forțelor interioare:

$$\vec{F}_i^{int} = \sum_{j=1}^n \vec{F}_{ij} \quad (j = 1 \div n), j \neq i. \quad (16.115a)$$

Pentru fiecare punct material din sistem este valabil principiul al doilea al mecanicii, scris sub forma:

$$m_i \vec{a}_i = \vec{F}_i^{ext} + \vec{F}_i^{int} \quad (16.115)$$

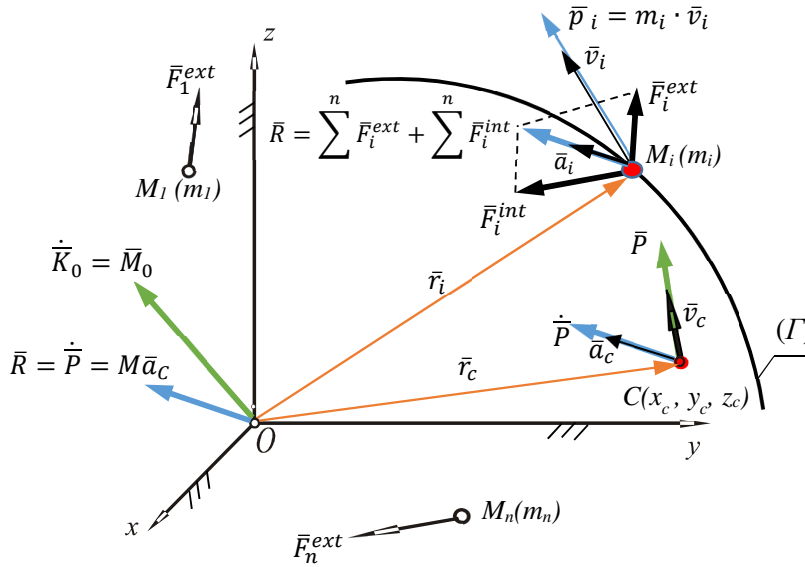


Fig. 16.15

Înmulțind vectorial la stânga cei doi membri ai relației (16.93) cu \vec{r}_i și însumând relațiile, se obține:

$$\sum_{i=1}^n \vec{r}_i \times m_i \vec{a}_i = \sum_{i=1}^n \vec{r}_i \times \vec{F}_i^{ext} + \sum_{i=1}^n \vec{r}_i \times \vec{F}_i^{int}. \quad (16.116)$$

Termenii din relația (16.116) se iau pe rând, se transformă succesiv:

$$\sum_{i=1}^n \bar{r}_i \times m_i \bar{a}_i = \sum_{i=1}^n \frac{d}{dt} (\bar{r}_i \times m_i \bar{v}_i) = \frac{d}{dt} \sum_{i=1}^n \bar{r}_i \times m_i \bar{v}_i = \frac{d\bar{K}_0}{dt} = \dot{\bar{K}}_0,$$

deoarece,

$$\sum_{i=1}^n \bar{r}_i \times m_i \bar{a}_i = \sum_{i=1}^n \bar{r}_i \times m_i \frac{d\bar{v}_i}{dt} = \sum_{i=1}^n \bar{r}_i \times \frac{d}{dt} (m_i \bar{v}_i) = \sum_{i=1}^n \frac{d}{dt} (\bar{r}_i \times m_i \bar{v}_i),$$

iar

$$\begin{aligned} \frac{d}{dt} (\bar{r}_i \times m_i \bar{v}_i) &= \frac{d\bar{r}_i}{dt} \times m_i \bar{v}_i + \bar{r}_i \times \frac{d}{dt} (m_i \bar{v}_i) = \bar{v}_i \times m_i \bar{v}_i + \\ &\quad + \bar{r}_i \times \frac{d}{dt} (m_i \bar{v}_i), \\ \bar{K}_0 &= \sum_{i=1}^n \bar{r}_i \times m_i \bar{v}_i, \end{aligned} \quad (16.116a)$$

unde: $\sum_{i=1}^n \bar{r}_i \times \bar{F}_i^{ext} = \bar{M}_0^{ext}$ - este momentul rezultat al forțelor exterioare față de polul O .

$\sum_{i=1}^n \bar{r}_i \times \bar{F}_i^{int} = 0$ - este zero deoarece forțele interioare sunt două câte două egale în modul și de sensuri opuse.

Cu aceste precizări, relația (16.116) ajunge la forma:

$$\dot{\bar{K}}_0 = \bar{M}_0^{ext}. \quad (16.117)$$

Relația (16.117) reprezintă **teorema momentului cinetic în raport cu un punct fix pentru un sistem de puncte materiale**. Conform acesteia, *derivata vectorială în raport cu timpul a momentului cinetic al unui sistem de puncte materiale, calculată față de un punct fix O , este egală cu momentul rezultat al sistemului forțelor exterioare aplicate punctelor sistemului raportat la polul O .*

Dacă momentul rezultat al forțelor exterioare în raport cu un punct fix este nul ($\bar{M}_0^{ext} = 0$) atunci:

$$\dot{\bar{K}}_0 = 0 \text{ deci } \bar{K}_0 = \text{const.} \quad (16.118)$$

respectiv *momentul cinetic se conservă*. Ecuația (16.118) este o integrală primă a teoremei momentului cinetic. Sub formă scalară, ecuațiile (16.117) se scriu astfel:

$$\dot{K}_x = M_x^{ext}; \quad \dot{K}_y = M_y^{ext}; \quad \dot{K}_z = M_z^{ext}. \quad (16.119)$$

Dacă momentul rezultat al forțelor exterioare în raport cu o axă fixă este nul, atunci față de axa respectivă momentul cinetic se conservă.

$$\text{Ex: } M_y^{ext} = 0; \dot{K}_y = 0 \text{ deci } K_y = ct. \quad (16.120)$$

Integrând relația (16.117), se ajunge la *forma finită a teoremei de variație a momentului cinetic* respectiv:

$$\bar{K}_{02} - \bar{K}_{01} = \int_{t_1}^{t_2} \bar{M}_0^{ext} dt. \quad (16.121)$$

16.7.3.1 Teorema de variație a momentului cinetic în raport cu centrul maselor

În cele ce urmează se va demonstra că teorema de variație a momentului cinetic este aproximativ identică sub aceeași formă, ca cea demonstrată în paragraful anterior din mișcarea relativă a sistemului de puncte materiale sau aplicată la solidul rigid, caz în care operatorul *suma* se va transforma în *integrala*.

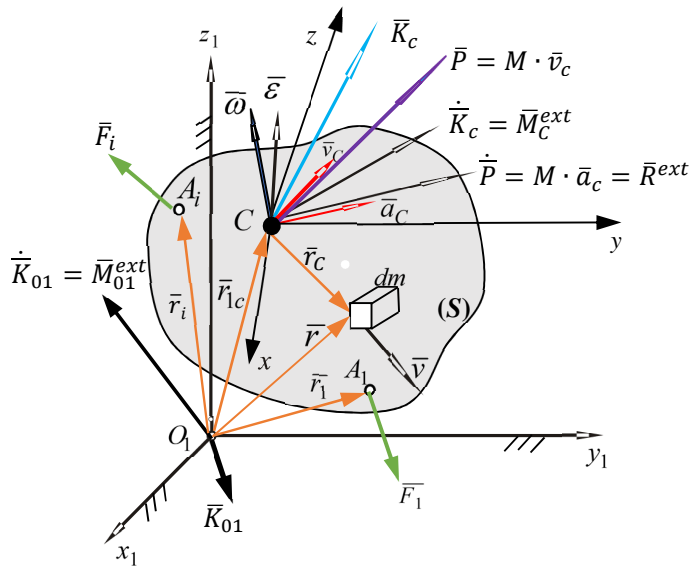


Fig. 16.16

Astfel că, se consideră un solid rigid (S) aflat în mișcare în raport cu un sistem de referință fix $O_1x_1y_1z_1$ sub acțiunea unui sistem de forțe exterioare \bar{F}_i^{ext} ($i = 1 \div n$). De solidul rigid (S) este invariabil legat un sistem de referință mobil $Cxyz$ cu originea în centrul maselor C (fig. 16.16).

Se urmărește determinarea relației dintre momentul cinetic al corpului în mișcarea relativă față de centrul de masă C și momentul rezultat al forțelor exterioare față de același punct. Utilizând teorema lui König pentru momentul cinetic și derivând în raport cu timpul în ambii membri ai relației, se obține:

$$\dot{\bar{K}}_{01} = \dot{\bar{r}}_{1c} \times M\bar{v}_c + \bar{r}_{1c} \times M\bar{a}_c + \dot{\bar{K}}_c. \quad (16.122)$$

Conform teoremei momentului cinetic față de punctul fix O_1 și a teoremei mișcării centrului de masă, rezultă:

$$\dot{\bar{K}}_{01} = \dot{\bar{M}}_{01}^{ext}; \quad M\bar{a}_c = \bar{R}^{ext}. \quad (16.123)$$

relații în care:

$\dot{\bar{M}}_{01}^{ext} = \sum_{i=1}^n \dot{\bar{r}}_{1i} \times \bar{F}_i^{ext}$ - este momentul rezultat al forțelor exterioare față de O_1 ;

$\bar{R}^{ext} = \sum_{i=1}^n \bar{F}_i^{ext}$ - este vectorul rezultat al forțelor exterioare, iar:

$$\dot{\bar{r}}_{1c} \times M\bar{v}_c = \bar{v}_c \times M\bar{v}_c = 0.$$

Astfel, relația (16.123) devine:

$$\dot{\bar{M}}_{01}^{ext} = \dot{\bar{r}}_{1c} \times \bar{R}^{ext} + \dot{\bar{K}}_c \quad \text{sau} \quad \dot{\bar{K}}_c = \dot{\bar{M}}_{01}^{ext} - \dot{\bar{r}}_{1c} \times \bar{R}^{ext}. \quad (16.124)$$

Luând în considerare legea de variație a momentului rezultat la schimbarea polului de reducere, se poate scrie:

$$\dot{\bar{M}}_{01}^{ext} = \dot{\bar{M}}_c^{ext} + \dot{\bar{r}}_{1c} \times \bar{R}^{ext}; \quad \dot{\bar{M}}_c^{ext} = \sum_{i=1}^n \dot{\bar{r}}_i \times \bar{F}_i^{ext}. \quad (16.125)$$

Introducând (16.125) în (16.124), se obține:

$$\dot{\bar{K}}_c = \dot{\bar{M}}_c^{ext}. \quad (16.126)$$

Relația (16.126) exprimă *teorema de variație a momentului cinetic în raport cu centrul masei*, respectiv *derivata în raport cu timpul a vectorului moment cinetic al unui sistem de puncte materiale aflate în mișcare relativă față de centrul de masă al sistemului, este egală cu momentul rezultat al forțelor exterioare calculat în raport cu același centru de masă al sistemului.*

Integrarea relației (16.126) conduce la *forma finită a teoremei momentului cinetic raportat la centrul masei* și anume:

$$\bar{K}_{c2} - \bar{K}_{c1} = \int_{t_1}^{t_2} \bar{M}_c^{ext} dt . \quad (16.127)$$

16.8 Probleme rezolvate

16.8.1. Asupra unui punct material M de masă m lansat în plan vertical Oxy (fig. 16.17) acționează o forță $\vec{F} = kx$ proporțională cu masa și distanța punctului față de O , acesta fiind considerat punct fix. La momentul $t_0 = 0$, punctul se află la o anumită cotă $y_0 = 0$ pe axa Oy având viteza inițială \vec{v}_0 , paralelă cu axa Ox . Se cere să se studieze traiectoria de mișcare a punctului material M utilizând teorema impulsului.

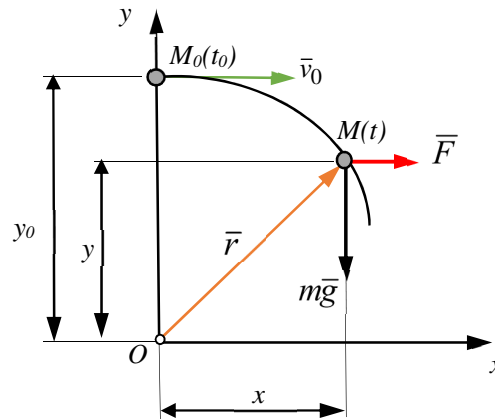


Fig. 16.17

Soluție:

Pentru a studia mișcarea punctului material M trebuie definită ecuația parametrilor de mișcare și traiectoria de mișcare a punctului M .

Pentru rezolvare se va pleca de la una din teoremele fundamentale ale dinamicii, respectiv teorema impulsului:

$$m\vec{a} = \vec{R}. \quad (1)$$

$$\text{dar, } \vec{a} = \ddot{\vec{r}} = \ddot{x}\vec{i} + \ddot{y}\vec{j}; \quad x = x(t, C_1, C_2), \quad y = y(t, C_3, C_4); \quad (2)$$

$$\text{unde: } \vec{R} = R_x\vec{i} + R_y\vec{j} = F\vec{i} + mg\vec{j}, \quad \text{respectiv} \quad \vec{R} = kx\vec{i} - mg\vec{j},$$

$$m\ddot{x} = R_x; \quad m\ddot{y} = R_y$$

aşadar

$$m\ddot{x} = kx; \quad m\ddot{y} = -mg \quad (3)$$

se împart cu masa m relațiile (3)

$$\begin{cases} \ddot{x} - \frac{k}{m}x = 0 \\ \ddot{y} = -g \end{cases} \quad (4)$$

se notează: $\frac{k}{m} = \omega^2$.

Se trec ecuațiile diferențiale de ordinul doi din relația (4) la ecuațiile omogene corespunzătoare, ale cărei soluții sunt:

$$x = e^{rt}; \quad \dot{x} = r e^{rt}; \quad r^2 - \omega^2 = 0 \rightarrow r = \pm \omega, \quad (5)$$

se înlocuiește cu:

$$x = C_1 e^{\omega t} + C_2 e^{-\omega t}; \quad \dot{x} = \omega(C_1 e^{\omega t} - C_2 e^{-\omega t}). \quad (6)$$

Pentru aflarea *constantelor de integrare* se apelează la condițiile inițiale ale mișcării:

$$\begin{aligned} \text{la momentul: } t_0 = 0, \quad x = x_0 = 0, \quad \dot{x} = \dot{x}_0 = v_0; \\ y = y_0 = d, \quad \dot{y} = \dot{y}_0 = 0 \end{aligned} \quad (7)$$

Înlocuind relațiile (7) în (6), vor rezulta constantele de integrare:

$$C_1 = C_2 = \frac{v_0}{2\omega}, \quad (8)$$

Efectuând o dublă integrare a celei de a doua ecuații diferențiale a sistemului (4), se obține:

$$\begin{aligned} \dot{y} &= -gt + C_3 \\ y &= -\frac{gt^2}{2} + C_3 t + C_4. \end{aligned} \quad (9)$$

Introducând în (9) condițiile inițiale ale mișcării, se obțin constantele de integrare C_3, C_4 și anume:

$$C_3 = 0 \text{ și } C_4 = d. \quad (10)$$

Ecuațiile parametrice de mișcare a punctului se obțin din prima relație (6) și a doua relație (9), în care se introduc constantele de integrare.

Forma acestor ecuații este:

$$\begin{cases} x = \frac{v_0}{\omega} \left(\frac{e^{\omega t} - e^{-\omega t}}{2} \right) = \frac{v_0}{\omega} sh(\omega t) \\ y = \frac{-gt^2}{2} + d \end{cases} \quad \text{ecuații parametrice de mișcare.} \quad (11)$$

Dacă se elimină timpul (t) din relațiile (11) se obține *ecuația traiectoriei punctului material* care în acest caz, va fi o parabolă.

16.8.2. Un sistem de corpuri de greutate \bar{Q} și \bar{P} legate printr-un fir, se mișcă conform figurii 16.18. Corpul de greutate \bar{P} se află inițial la distanța y_0 față de sol și trage corpul de greutate \bar{Q} , acesta mișcându-se pe un plan orizontal fix a cărui coeficient de frecare la alunecare este μ . La momentul inițial t_0 , sistemul se află în repaus. Se cere să se determine legile de mișcare ale celor două corpuri, precum și tensiunea din fir.

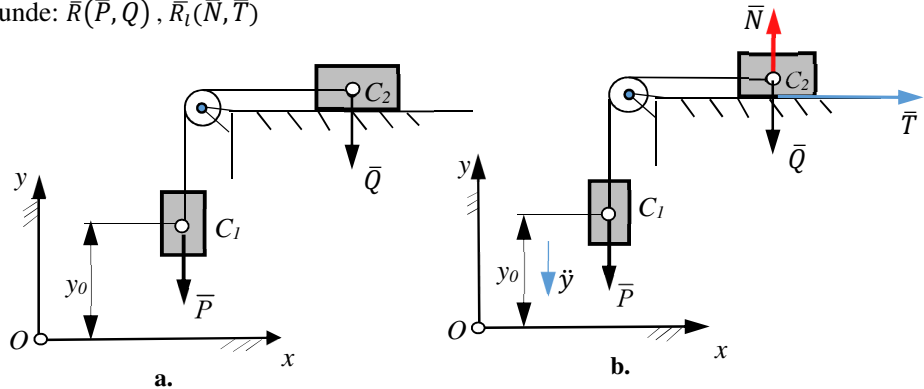
Soluție:

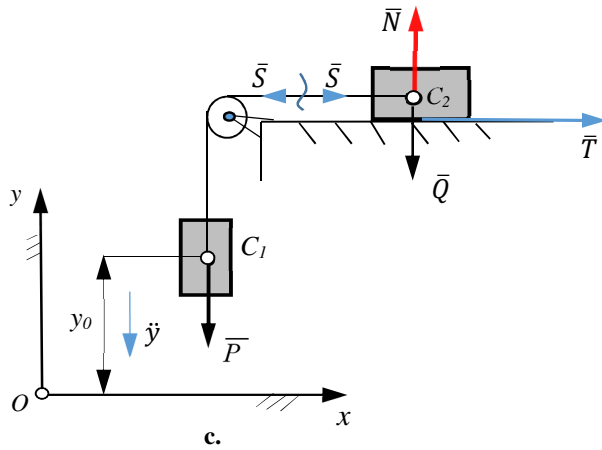
a. *Determinarea legilor de mișcare*

Pentru rezolvare se aplica *Teorema mișcării centrului maselor*:

$$\ddot{\bar{P}}' = m\bar{a} = \bar{R} + \bar{R}_l \quad (1)$$

unde: $\bar{R}(\bar{P}, \bar{Q})$, $\bar{R}_l(\bar{N}, \bar{T})$





$$\bar{R} = \bar{P} + \bar{Q}; \quad \bar{R}_l = \bar{N} + \bar{T} \quad \text{și} \quad \bar{a}(\ddot{x}, \ddot{y}). \quad (2)$$

Ecuțiile rezultate ca proiecții scalare pe axe (fig. 16.18b), sunt:

$$Ox: T - P = m_1 \ddot{x} . \quad (3)$$

Pentru corpul de greutate \bar{Q} :

$$N = Q, \quad T = \mu N = \mu Q.$$

$$Oy: P = m_2 \ddot{y} . \quad (4)$$

Din ecuațiile diferențiale obținute, rezultă:

$$\mu Q - P = \frac{Q}{g} \ddot{x} \quad \text{și} \quad -P = \frac{P}{g} \ddot{y} \rightarrow \ddot{y} = -g . \quad (5)$$

Relațiile (5) reprezintă *ecuațiile diferențiale de mișcare ale sistemului de corpuri*.

Ecuațiile parametriche ale mișcării sunt $x = x(t)$, $y = y(t)$ și vor rezulta din relațiile (5) printr-o dublă integrare astfel:

$$\dot{x} = \frac{(\mu Q - P)g}{Q} t + C_1 ; \quad x = \frac{(\mu Q - P)g}{Q} \frac{t^2}{2} + C_1 t + C_2.$$

$$\dot{y} = -gt + C_3 \quad ; \quad y = -\frac{gt^2}{2} + C_3 t + C_4. \quad (6)$$

Pentru aflarea *constantelor de integrare* se apelează la condițiile inițiale ale mișcării, respectiv la momentul $t_0 = 0$:

$$\dot{x}_0 = 0, \quad \dot{y}_0 = 0 \quad \text{și} \quad x_0 = 0, \quad y_0 = y_0; \quad (7)$$

Înlocuind (7) în (6) rezultă constantele de integrare.

$$C_1 = C_2 = C_3, \quad C_4 = y_0. \quad (8)$$

care înlocuite în (6), conduc la

$$\dot{x} = \frac{(\mu Q - P)g}{Q} t; \quad x = \frac{(\mu Q - P)g}{Q} \frac{t^2}{2}; \quad \dot{y} = -gt; \quad y = -\frac{gt^2}{2} + y_0. \quad (9)$$

b. Determinarea tensiunii din fir

Tensiunea S din fir (fig. 16.18c) se poate afla prin aplicarea *Teoremei energiei cinetice*:

$$E_{c1} - E_{c0} = L_{0-1}. \quad (10)$$

unde:

$$E_{c0} = 0; \quad E_{c1} = E_P + E_Q; \quad L_{0-1} = L_p + L_Q. \quad (11)$$

$$E_{c1} = \frac{m_1 v^2}{2} + \frac{m_2 v^2}{2} = \frac{P v^2}{g \cdot 2} + \frac{Q v^2}{g \cdot 2}. \quad (12)$$

$$L_{0-1} = (P - T) \cdot y_0 = y_0 \cdot (P - \mu Q). \quad (13)$$

Egalând (12) cu (13), conform cu (10), rezultă:

$$\frac{v^2}{2} \left(\frac{P}{g} + \frac{Q}{g} \right) = y_0 (P - \mu Q) . \quad (14)$$

Aplicând calcule diferențiale relației (10), se scrie $\Delta E_c = \Delta L$. Ținând cont că:

$$y_0 = v dt \quad (15)$$

se obține:

$$av dt \left(\frac{P}{g} + \frac{Q}{g} \right) = v dt (P - \mu Q) . \quad (16)$$

Din (14) rezultă accelerația cu care cade corpul de greutate \bar{P} :

$$a = \ddot{y} = \frac{(P - \mu Q)}{\left(\frac{P}{g} + \frac{Q}{g} \right)} . \quad (17)$$

Aplicând teorema impulsului (1) proiectată pe verticală pentru corpul de greutate \bar{P} , rezultă:

$$P - S = m_1 a \rightarrow P - S = \frac{P}{g} a \rightarrow (\text{tensiunea in fir}) S = P - \frac{P}{g} a \quad (18)$$

16.8.3. Se consideră o bară AB de lungime l și greutate \bar{G} care face cu orizontala unghiul α (fig. 16.19) și care se deplasează cu frecările (μ_1 și μ_2) pe sol și pe un perete vertical. Bara se află inițial în repaus.

Să se afle legea de mișcare și forțele de legătură pentru bară.

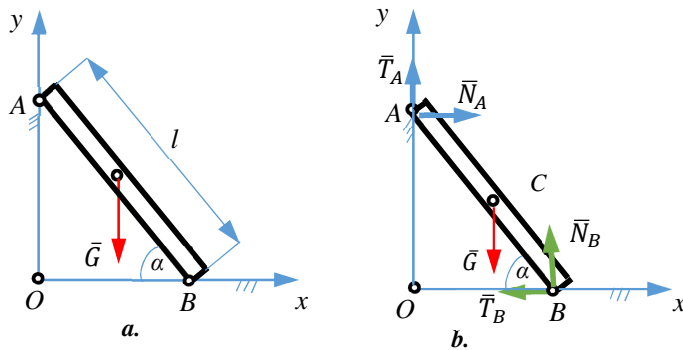


Fig. 16.19

Soluție:

Pentru rezolvare, se aplică *Teorema momentului cinetic și Teorema mișcării centrului maselor* raportate la centrul maselor C (fig. 16.19).

Se observă că bara execută o mișcare plan-paralelă cu o rotație $\alpha = \alpha(t)$ și translații cu $x = x(t)$, $y = y(t)$.

$$\dot{\vec{P}}' = M\bar{a}_C = \bar{R} \quad \text{și} \quad \dot{\vec{K}}_C = M_C. \quad (1)$$

$$\dot{\vec{K}}_C = J_C^{bara} \ddot{\alpha} = \frac{G}{g} \cdot \frac{l^2}{12} \ddot{\alpha}; \quad \text{unde:} \quad J_C^{bara} = \frac{G}{g} \cdot \frac{l^2}{12};$$

$$M_C = N_A \frac{l}{2} \sin\alpha - T_A \frac{l}{2} \cos\alpha + N_B \frac{l}{2} \cos\alpha - T_B \frac{l}{2} \sin\alpha, \quad (2)$$

respectiv

$$\frac{G}{g} \cdot \frac{l^2}{12} \cdot \ddot{\alpha} = N_A \frac{l}{2} \sin\alpha - T_A \frac{l}{2} \cos\alpha + N_B \frac{l}{2} \cos\alpha - T_B \frac{l}{2} \sin\alpha. \quad (3)$$

Proiectând pe axele sistemului de referință relația (1) a teoremei mișcării centrului maselor și ținând cont de figura 16.19b, rezultă:

$$Ox: \quad ma_x = R_x \rightarrow \frac{G}{g} \ddot{x} = N_A - T_B \rightarrow \ddot{x} = \frac{(N_A - T_B) \cdot g}{G}$$

$$Oy: \quad ma_y = R_y \rightarrow \frac{G}{g} \ddot{y} = N_B + T_A - G \rightarrow \ddot{y} = \frac{(N_B + T_A - G) \cdot g}{G}. \quad (4)$$

În relațiile (2): $T_A = \mu_1 N_A$ și $T_B = \mu_2 N_B$; (5)

$$x = \frac{l}{2} \cos \alpha; \quad y = \frac{l}{2} \sin \alpha. \quad (6)$$

Prin derivări successive, rezultă:

$$\ddot{x} = \frac{l}{2} \ddot{\alpha} \cos \alpha - \frac{l}{2} \dot{\alpha}^2 \sin \alpha; \quad \ddot{y} = -\frac{l}{2} \ddot{\alpha} \sin \alpha - \frac{l}{2} \dot{\alpha}^2 \cos \alpha. \quad (7)$$

Egalând (4) cu (7) și ținând cont de (3), rezultă sistemul de trei ecuații în necunoscutele N_A , N_B și unghiul α :

$$\begin{aligned} \frac{(N_A - \mu_2 N_B) \cdot g}{G} &= \frac{l}{2} \ddot{\alpha} \cos \alpha - \frac{l}{2} \dot{\alpha}^2 \sin \alpha \\ \frac{(N_B + \mu_1 N_A - G) \cdot g}{G} &= -\frac{l}{2} \ddot{\alpha} \sin \alpha - \frac{l}{2} \dot{\alpha}^2 \cos \alpha. \end{aligned} \quad (8)$$

$$\frac{G}{g} \cdot \frac{l^2}{12} \cdot \ddot{\alpha} = N_A \frac{l}{2} \sin \alpha - \mu_1 N_A \frac{l}{2} \cos \alpha + N_B \frac{l}{2} \cos \alpha - \mu_2 N_B \frac{l}{2} \sin \alpha.$$

Efectuând calculele, se obțin:

$$N_B(\alpha) = \frac{\frac{-\mu_1}{G} \left(\frac{l}{2} \ddot{\alpha} \cos \alpha - \frac{l}{2} \dot{\alpha}^2 \sin \alpha \right) + g + \left(-\frac{l}{2} \ddot{\alpha} \sin \alpha - \frac{l}{2} \dot{\alpha}^2 \cos \alpha \right)}{\frac{g}{G} (1 + \mu_1 \mu_2)} \quad (9)$$

$$\begin{aligned} N_A(\alpha) &= \frac{G}{g} \cdot \left[\left(\frac{l}{2} \ddot{\alpha} \cos \alpha - \frac{l}{2} \dot{\alpha}^2 \sin \alpha \right) + \frac{\mu_2 g}{G} \cdot \right. \\ &= \left. \left(\frac{\frac{-\mu_1}{G} \left(\frac{l}{2} \ddot{\alpha} \cos \alpha - \frac{l}{2} \dot{\alpha}^2 \sin \alpha \right) + g + \left(-\frac{l}{2} \ddot{\alpha} \sin \alpha - \frac{l}{2} \dot{\alpha}^2 \cos \alpha \right)}{\frac{g}{G} (1 + \mu_1 \mu_2)} \right) \right] \end{aligned} \quad (10)$$

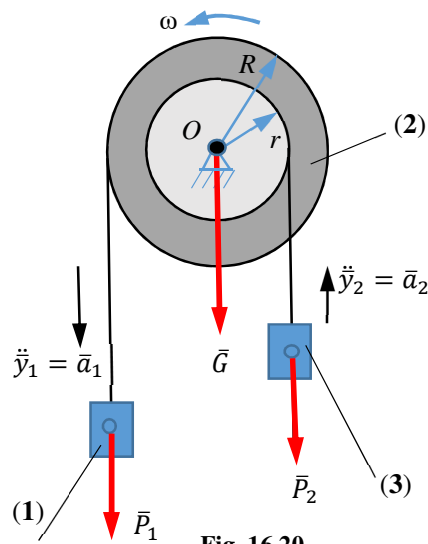
Prin înlocuirea relațiilor (9) și (10) în a treia ecuație a sistemului (8), rezultă legea de mișcare a barei dată de: $\alpha = \alpha(t)$ dintr-o ecuație diferențială liniară de ordinul doi a cărei termen $\dot{\alpha}^2$ se neglijează pentru deplasările mici. Astfel, $A\ddot{\alpha} + B\alpha = 0$, a cărei soluție este de forma:

$$\alpha = e^{-2t}(C_1 \cos \omega t + C_2 \sin \omega t). \quad (11)$$

Analitic, trecând de la soluția omogenă (r) la cea generală, rezultă soluția finală α .

Înlocuind (11) în relațiile (9) și (10), rezultă forțele de legătură N_A și N_B .

16.8.4. Se consideră un sistem de solide rigide (fig.16.20) [4] format din corpurile de greutate \bar{P}_1, \bar{P}_2 , unde $\bar{P}_1 > \bar{P}_2$ și un trolu articulat în punctul O de greutate \bar{G} și raze r și R , corpurile fiind legate între ele printr-un fir flexibil și inextensibil. Se neglijează frecarea din articulația O , precum și frecarea firului cu trolul. Se cere să se calculeze accelerația unghiulară ε a trolului, astfel încât corpul de greutate \bar{P}_1 să coboare cu accelerația \bar{a}_1 cunoscută la momentul t_1 .



Soluție:

Pentru rezolvare se aplică *teorema momentului cinetic* pentru troliul (2).

$$\dot{\bar{K}}_0 = \bar{M}_0 . \quad (1)$$

Prin înlocuirea scalară a fiecărui termen al relației (1), se obțin:

$$M_0 = -P_2 r + P_1 R . \quad (2)$$

$$\dot{K}_0 = (J_r + J_R) \varepsilon . \quad (3)$$

Egalând relațiile (2) și (3), conform cu (1) și ținând cont că momentul de inerție mecanic al unui disc este: $J = MR^2/2$, rezultă ecuația:

$$\left(\frac{MR^2}{2} + \frac{Mr^2}{2} \right) \cdot \varepsilon = -P_2 r + P_1 R , \quad (4)$$

care se poate scrie

$$\left(\frac{G R^2}{2} + \frac{G r^2}{2} \right) \cdot \varepsilon = -P_2 r + P_1 R . \quad (5)$$

Din relația (5) se obține accelerația unghiulară ε a troliului.

$$\varepsilon = \frac{(P_1 R - P_2 r) \cdot 2g}{G \cdot (R^2 + r^2)} \quad [\text{rad/s}^2] . \quad (6)$$

16.8.5. Se consideră același sistem de solide rigide din problema 16.8.4. format din corpurile de greutate \bar{P}_1, \bar{P}_2 , unde $\bar{P}_1 > \bar{P}_2$ și un troliul articulat în punctul O de greutate \bar{G} și raze r și R , corpurile fiind legate între ele printr-un fir flexibil și inextensibil. Se neglijează frecarea din articulația O , precum și frecarea firului cu

troliul și se cunoaște viteza unghiulară $\bar{\omega}$ a troliului, considerându-se că sistemul pleacă din repaus.

Se cere să se calculeze deplasarea y_2 a corpului de greutate \bar{P}_2 în același interval de timp (t_1), astfel încât corpul de greutate \bar{P}_1 să coboare cu accelerația \bar{a}_1 cunoscută la momentul t_1 .

Soluție:

Pentru rezolvare se aplică *teorema energiei cinetice în formă finită*. Se ține cont de faptul că energia cinetică E_c în mișcare de *rotație* este egală cu $E_c = J\omega^2/2$, iar în mișcarea *rectilinie* este $E_c = mv^2/2$.

$$E_{c_final} - E_{c_initial} = L_{initial_final} \cdot \tag{1}$$

Sistemul de corpuri este constituit din trei corpuri la care energiile cinetice sunt:

$$E_{c1_initial} = E_{c2_initial} = E_{c3_initial} = 0 \cdot \tag{2}$$

$$E_{c_final} = E_{c1_final} + E_{c2_final} + E_{c3_final} \cdot \tag{3}$$

$$L_{initial_final} = L_1 + L_2 + L_3 \cdot \tag{4}$$

Egalând (3) cu (4) și înlocuindu-le în (1), se poate scrie

$$\frac{M_1 v_1^2}{2} + \frac{J\omega^2}{2} + \frac{M_2 v_2^2}{2} = P_1 y_1 + 0 - P_2 y_2 \cdot \tag{5}$$

Se știe că în mișcare rectilinie uniform variată $y_1 = v_1 t_1 = \frac{a_1 t_1^2}{2}$

și momentul de inerție mecanic la troliu este:

$$J = (J_R + J_r) = \frac{G R^2}{2} + \frac{G r^2}{2} = \frac{G}{2g} (R^2 + r^2). \quad (6)$$

Înlocuind (6) în (5), rezultă:

$$\frac{P_1 a_1^2 t_1^2}{4g} + \frac{G}{4g} (R^2 + r^2) \cdot \omega^2 + \frac{P_2}{2g} \cdot \frac{y_2^2}{t_1^2} = P_1 \frac{a_1 t_1^2}{2} - P_2 y_2 \quad (7)$$

$$\frac{P_2}{2g t_1^2} \cdot y_2^2 + P_2 \cdot y_2 + \left(\frac{P_1 a_1^2 t_1^2}{4g} + \frac{G}{2g} (R^2 + r^2) \cdot \omega^2 - P_1 \frac{a_1 t_1^2}{2} \right) = 0. \quad (8)$$

Prin rezolvarea ecuației de gradul doi dată de relația (8) în necunoscuta y_2 va rezulta deplasarea cerută. Se iau în considerare doar soluțiile pozitive.

$$y_{2(1,2)} = -g t_1^2 + \frac{g t_1^2 \sqrt{P_2^2 - 4 \frac{P_2}{2g t_1^2} \left(\frac{P_1 a_1^2 t_1^2}{4g} + \frac{G}{2g} (R^2 + r^2) \cdot \omega^2 - P_1 \frac{a_1 t_1^2}{2} \right)}}{P_2}. \quad (9)$$

16.8.6. Se dă punctul M care se mișcă conform figurii 16.21 [4]. Să se determine mișcarea punctului material M aflat la extremitatea barei de lungime l care oscilează fără frecare în O , precum și viteza și perioada de oscilație a acestuia.

Soluție:

Pentru aflarea vitezei se va aplica *teorema energiei cinetice*.

$$Ec_f - Ec_i = L_{i-f}. \quad (1)$$

$$\frac{1}{2} m v^2 - \frac{1}{2} m v_0^2 = m g \cdot BB_0; \quad (2)$$

$$\frac{1}{2} m v^2 - \frac{1}{2} m v_0^2 = m g l \cdot \cos \alpha. \quad (3)$$

$$v^2 = v_0^2 - 2 g l (1 - \cos \alpha); \quad (4)$$

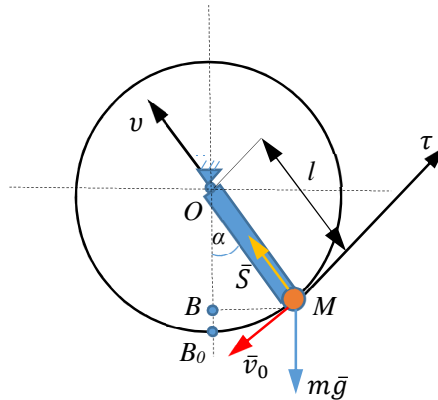


Fig. 16.21 [4]

Pentru viteza inițială $v_0 = 0$, viteza devine:

$$v^2 = 2gl(1 - \cos\alpha); \quad (5)$$

Unghiul α este unghiul pentru poziția de echilibru a punctului la un moment dat (t) și se obține:

$$\cos\alpha = 2gl - v_0^2/2gl. \quad (6)$$

Pentru ca punctul material să oscileze, trebuie ca valoarea unghiului $\alpha = \pi$, $\cos\alpha = -1$, de unde rezultă:

$$v_0^2 < 4gl. \quad (7)$$

La limită, când $v_0^2 = 4gl$, viteza punctului material M se va anula în punctul limită superior al traiectoriei circulare, iar dacă $v_0^2 > 4gl$ punctul M se va roti pe cerc la infinit, în cazul absenței frecărilor.

Aplicând teorema impulsului pentru punctul M conform legii lui Newton și considerând sistemul de referință intrinsec, se poate scrie:

$$m\bar{a} = \bar{R} \quad \rightarrow \quad m\bar{a} = \bar{G} + \bar{S}. \quad (8)$$

Ținând cont că în cazul micilor oscilații pentru $\alpha = 5^\circ$, $\sin \alpha = \alpha$, iar $\cos \alpha = 1$, acestea se vor înlocui în relațiile următoare.

Relația (8) se proiectează după cele două axe ale sistemului intrinsec și se obține:

$$ma_\tau = -mg \sin \alpha \quad \rightarrow \quad ml\ddot{\alpha} = -mgl. \quad (9)$$

Împărțind relația (9) cu masa și ordonând-o după unghiul α , se obține legea de mișcare a punctului M și soluția acestuia. Astfel,

$$\ddot{\alpha} + \frac{g}{l}\alpha = 0. \quad (10)$$

Soluția ecuației (10) după o serie de calculi este:

$$\alpha = \alpha' \cos(\omega t + \alpha_0), \quad \text{unde} \quad \omega = \sqrt{\frac{g}{l}}. \quad (11)$$

Perioada mișcării este ca și în cazul pendulului matematic:

$$T = \frac{2\pi}{\omega} = 2\pi \sqrt{\frac{l}{g}}, \quad \text{nu depinde de masa } m. \quad (12)$$

16.9 Probleme propuse

16.9.1. Se dă un sistem de trei corpuri care pornește din repaus sub acțiunea forțelor proprii. Sistemul este compus dintr-un disc (1) de raza R și greutatea \bar{Q} ce se deplasează pe un plan orizontal, coeficientul de frecare la rostogolire fiind (s), iar de originea lui este legat printr-un fir flexibil și inextensibil discul (2) de rază r al unui troliu a cărui moment de inerție J , este cunoscut. De cealaltă parte a firului este corpul (3) de greutate \bar{P} , care coboară pe un planul înclinat de unghi α , cu frecare, coeficientul de frecare la alunecare fiind (μ). Se cer: să se schițeze figura și să se afle accelerația mișcării corpului de greutate \bar{P} pe planul înclinat, precum și tensiunile din fire.

Răspuns:

$$J \frac{a}{R} = S_1 R - S_2 r, \quad \text{unde } S_1 \text{ și } S_2 \text{ sunt tensiuni în fire}$$

$$a = \frac{P(\sin\alpha - \mu \cos\alpha) - \frac{Qsr}{R^2}}{\frac{3Qr^2}{2gR^2} + \frac{P}{g} + \frac{J}{R^2}}$$

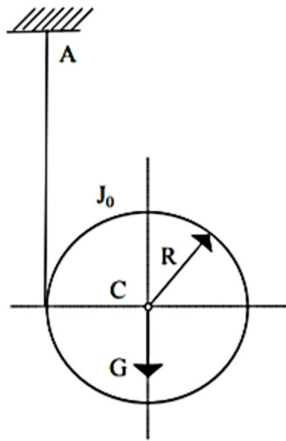


Fig. 16.22 [4]

16.9.2. Se consideră un disc omogen de rază R și greutate G având înfășurat pe circumferința sa un fir fixat în punctul A (fig. 16.22). Discul este lăsat să cadă liber pe verticală plecând din repaus. Se cer să se determine legea de mișcare și tensiunea din fir.

Răspuns:

$$S = \frac{G}{3}; \quad \text{unde } S \text{ este tensiunea în fir.}$$

$$\text{Legea de mișcare față de centrul discului este: } \frac{G R^2}{g} \ddot{\varphi} = SR.$$

17. DINAMICA SOLIDULUI RIGID ^[5]

În mecanică, noțiunea de *solid sau corp rigid* reprezintă o idealizare a celei de solid, considerându-se cazul în care acesta este nedeformabil, adică distanța dintre oricare două puncte ale sale nu se modifică, indiferent de forțele exterioare care acționează asupra corpului.

Descoperirile în ceea ce privește mișcarea solidului rigid au fost făcute prin studiile lui Leonhard Euler (1758), respectiv mișcarea unui corp rigid, având o distribuție de masă arbitrară în spațiu, se caracterizează printr-o ecuație diferențială care implică doar trei constante și momentele de inerție legate de axa principală de inerție a corpului. Excepție, este cazul *solidului rigid asimetric* care este caracterizat prin mai mulți factori geometrici (de exemplu, mișcarea moleculară). În completarea studiului lui Euler a venit Lie-Poisson cu dinamica corpului rigid liber care utilizează integratorii, ei fiind derivați pentru aflarea parametrilor mișcării.

17.1 Dinamica rigidului liber și a rigidului supus la legături

a) Solidul rigid liber

Se consideră un solid rigid liber (S), de masă M , aflat în mișcare generală sub acțiunea sistemului de forțe exterioare \vec{F}_i ($i = 1 \div n$). Mișcarea rigidului se va raporta la sistemele de referință fix $O_1x_1y_1z_1$ ai cărui versori sunt $(\vec{i}_1, \vec{j}_1, \vec{k}_1)$ și mobil $Cxyz$, acesta fiind solidar legat de rigid și având versorii $(\vec{i}, \vec{j}, \vec{k})$, precum și sistemul mobil $Cx'y'z'$, unde C este centrul masei rigidului. Sistemul de referință $Cxyz$ are axele paralele cu axele sistemului de referință fix $O_1x_1y_1z_1$.

Un solid rigid aflat în mișcare generală este caracterizat de șase parametri independenți: rezultați din trei *translații* (x_{1c} , y_{1c} , z_{1c}) și trei *rotații* (θ , ψ , φ) astfel, ecuațiile parametrice ale mișcării sunt:

$$x_{1c} = x_{1c}(t); \quad y_{1c} = y_{1c}(t); \quad z_{1c} = z_{1c}(t); \quad (17.1)$$

$$\theta = \theta(t); \psi = \psi(t), \varphi = \varphi(t).$$

În figura 17.1 setul de unghiuri (θ, ψ, φ) se numește set de *unghiuri Euler*, unde:

- unghiul ψ , numit *unghi de precesie* este unghiul pe care axa nodurilor ON îl face cu axa OX' .

Axa nodurilor rezultă din intersecția planului mobil OxY' cu planul Oxy .

- unghiul θ , numit *unghi de nutație* este unghiul dintre axa Oz și OZ' .

- unghiul φ , numit *unghi de rotație proprie* este unghiul dintre axa Ox și axa nodurilor ON .

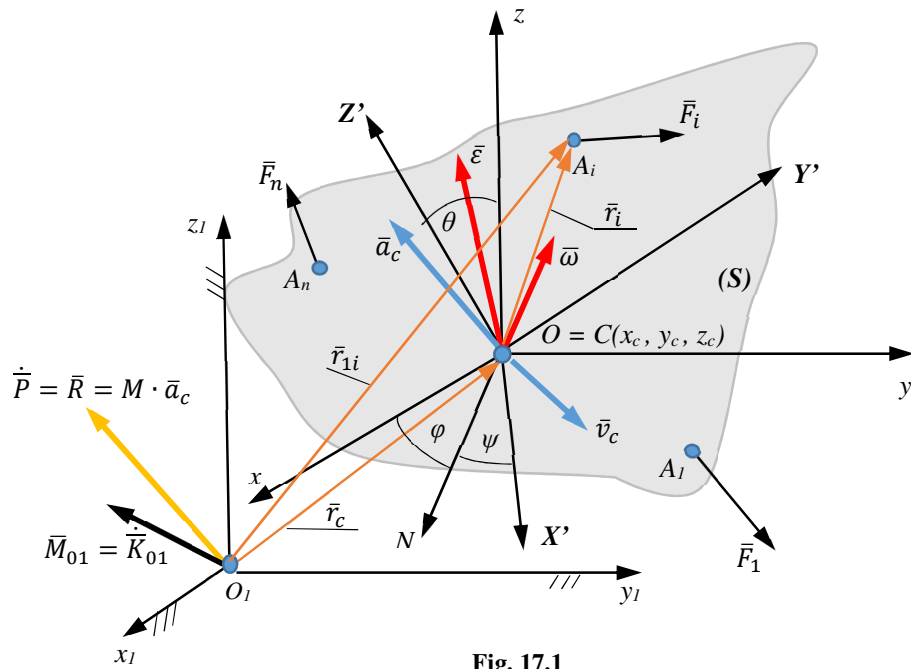


Fig. 17.1

În mișcarea generală a unui solid rigid direcțiile axelor sistemului de referință mobil $Cxyz$ față de sistemul de referință fix $O_1x_1y_1z_1$ sunt date de unghiurile lui Euler sau de nouă *cosinusuri directoare* $(\alpha_i, \beta_i, \gamma_i)$, $i = 1 \div 3$.

Între cosinusurile directoare există șase relații de interdependență scrise astfel:

$$\alpha_i^2 + \beta_i^2 + \gamma_i^2 = 1. \quad (17.2)$$

$$\alpha_i \alpha_j + \beta_i \beta_j + \gamma_i \gamma_j = 0, \quad i, j = 1 \div 3; \quad i \neq j. \quad (17.2a)$$

În final, doar *trei cosinusuri directoare rămân independente*, pentru că între cele nouă cosinusuri directoare există șase relații de dependență.

În studiul mișcării dinamicii solidului rigid se aplică două din cele trei teoreme fundamentale prezentate în capitolul precedent, respectiv *teorema impulsului* și *teorema momentului cinetic*:

$$\dot{\bar{P}} = \bar{R} = \sum_{i=1}^n \bar{F}_i; \quad \dot{\bar{K}}_{01} = \bar{M}_{01} = \sum_{i=1}^n \bar{r}_{1i} \times \bar{F}_i. \quad (17.3)$$

Relațiile (17.3) reprezintă *ecuațiile diferențiale ale mișcării rigidului aflat în mișcare generală*.

Dacă ne referim la centrul maselor, prima relație (17.3), devine:

$$M \bar{a}_c = \bar{R}. \quad (17.4)$$

Această relație proiectată pe axele sistemului de referință fix, conduce la ecuațiile diferențiale:

$$M \ddot{x}_{1c} = R_{x_1} = \sum_{i=1}^n F_{ix}; \quad M \ddot{y}_{1c} = R_{y_1} = \sum_{i=1}^n F_{iy}; \quad M \ddot{z}_{1c} = R_{z_1} = \sum_{i=1}^n F_{iz}. \quad (17.5)$$

Pentru simplificarea studiului, se consideră că sistemul de referință $Cxyz$, este un sistem inerțial de referință și se cunosc momentele de inerție mecanice axiale și centrifugale ($J_x, J_y, J_z, J_{xy}, J_{xz}, J_{yz}$) ale solidului rigid.

În acest caz, pentru a exprima relația a doua din (17.3) este nevoie de momentul cinetic al rigidului raportat la centrul de masă C . Menționând că versorii axelor sistemului de referință $Cxyz$ sunt variabili în timp ca direcție, derivatele lor în raport cu timpul sunt date de *relațiile lui Poisson*, scrise sub forma:

$$\dot{\bar{i}} = \bar{\omega} \times \bar{i}; \quad \dot{\bar{j}} = \bar{\omega} \times \bar{j}; \quad \dot{\bar{k}} = \bar{\omega} \times \bar{k}. \quad (17.6)$$

Având în vedere (16.85), vectorul moment cinetic \bar{K}_c se poate scrie astfel:

$$\bar{K}_c = J_x \omega_x \bar{i} + J_y \omega_y \bar{j} + J_z \omega_z \bar{k}. \quad (17.7)$$

Derivând relația (17.7) și ținând cont de (17.6), rezultă:

$$\dot{\bar{K}}_c = J_x \varepsilon_x \bar{i} + J_y \varepsilon_y \bar{j} + J_z \varepsilon_z \bar{k} + \begin{vmatrix} \bar{i} & \bar{j} & \bar{k} \\ \omega_x & \omega_y & \omega_z \\ J_x \omega_x & J_y \omega_y & J_z \omega_z \end{vmatrix}. \quad (17.8)$$

Identificând în ambii membri coeficienții versorilor în relația (17.8), se obțin componentele scalare ale vectorului $\dot{\bar{K}}_c$ pe axele sistemului de referință mobil $Cxyz$:

$$\dot{K}_{c_x} = J_x \varepsilon_x + \omega_y \omega_z (J_z - J_y);$$

$$\dot{K}_{c_y} = J_y \varepsilon_y + \omega_z \omega_x (J_x - J_z);$$

(17.9)

$$\dot{K}_{c_z} = J_z \varepsilon_z + \omega_x \omega_y (J_y - J_x).$$

Ținând cont de legea de variație a momentului cinetic la schimbarea polului, se poate obține prin derivare, teorema momentului cinetic raportată la polul O_l , și având în vedere că: $\dot{\bar{r}}_{1c} \times \bar{P} = \bar{v}_c \times M \bar{v}_c = 0$. Astfel,

$$\dot{\bar{K}}_{01} = \dot{\bar{K}}_c + \bar{r}_{1c} \times \dot{\bar{P}}. \quad (17.10)$$

În relația (17.10)

$$\dot{\bar{P}} = M \bar{a}_c = M(\ddot{x}_{1c} \bar{i}_1 + \ddot{y}_{1c} \bar{j}_1 + \ddot{z}_{1c} \bar{k}_1). \quad (17.11)$$

Relația (17.11) este exprimată în raport cu sistemul de referință fix.

Proiectând teorema momentului cinetic (a doua rel. (17.3)) pe axele sistemului de referință fix, se obțin următoarele ecuații diferențiale scalare:

$$\begin{aligned} & [J_x \varepsilon_x + (J_z - J_y) \omega_y \omega_z] \alpha_1 + [J_y \varepsilon_y + (J_x - J_z) \omega_x \omega_z] \alpha_2 + \\ & + [J_z \varepsilon_z + (J_y - J_x) \omega_y \omega_x] \alpha_3 + M \cdot (y_{1c} \ddot{z}_{1c} - z_{1c} \dot{y}_{1c}); \end{aligned} \quad (17.12)$$

$$\begin{aligned} & [J_x \varepsilon_x + (J_z - J_y) \omega_y \omega_z] \beta_1 + [J_y \varepsilon_y + (J_x - J_z) \omega_x \omega_z] \beta_2 + \\ & + [J_z \varepsilon_z + (J_y - J_x) \omega_y \omega_x] \beta_3 + M \cdot (z_{1c} \ddot{x}_{1c} - x_{1c} \dot{z}_{1c}); \end{aligned}$$

$$\begin{aligned} & [J_x \varepsilon_x + (J_z - J_y) \omega_y \omega_z] \gamma_1 + [J_y \varepsilon_y + (J_x - J_z) \omega_x \omega_z] \gamma_2 + \\ & + [J_z \varepsilon_z + (J_y - J_x) \omega_y \omega_x] \gamma_3 + M \cdot (x_{1c} \dot{y}_{1c} - y_{1c} \dot{x}_{1c}). \end{aligned}$$

Relațiile (17.5) și (17.12) constituie *un sistem de șase ecuații cu șase necunoscute care caracterizează mișcarea liberă a unui solid rigid.*

b) Solid rigid supus la legături

În cele ce urmează, se analizează mișcarea solidului rigid supus la legături.

Se consideră un solid rigid (S) (fig. 17.1) supus la legături, mișcarea acestuia fiind raportată la un sistem de referință fix $O_1x_1y_1z_1$. Asupra solidului rigid acționează un sistem de forțe exterioare \bar{F}_i , $i = 1 \div n$.

În studiul dinamic al unui solid rigid supus la legături (ex. reazem simplu, articulație sferică, încastrare spațială, legături prin bare sau fire etc.), mișcarea se reduce la studiul dinamic al rigidului liber, după ce acesta este eliberat de legături prin componente forțe și/sau momente corespunzătoare legăturilor.

Aplicând *teorema momentului cinetic* și *teorema mișcării centrului de masă* în raport cu punctul O_1 , se pot scrie ecuațiile următoare:

$$\dot{\bar{P}} = \bar{R} + \bar{R}_l,$$

$$\dot{\vec{K}}_{01} = \vec{M}_{01} + \vec{M}_{01}^l, \quad (17.13)$$

în care \vec{R}, \vec{M}_{01} - sunt elementele torsorului de reducere a forțelor exterioare;

$\vec{R}_l, \vec{M}_{01}^l$ - sunt elementele torsorului de reducere a forțelor și momentelor de legătură.

Dacă mișcarea solidului rigid este compatibilă cu legăturile, atunci numărul gradelor de libertate trebuie să fie mai mic sau egal cu șase.

Se menționează faptul că în funcție de tipul legăturii la care este supus un solid rigid, mișcarea generală poate fi *particularizată* la mișcări precum:

- mișcarea de translație;
- mișcarea de rotație în jurul unui ax fix (cu mișcarea de șurub);
- mișcarea sferică;
- mișcarea plan-paralelă.

17.2 Dinamica solidului rigid aflat în mișcare de translație

Se consideră un solid rigid (S) de masa M , aflat în mișcare de translație sub acțiunea forțelor exterioare $\vec{F}_i, i = 1 \div n$. Mișcarea acestuia se raportează la două sisteme carteziane de referință, respectiv, unul fix $O_1x_1y_1z_1$ și unul mobil $Oxyz$ legat solidar cu rigidul, acesta inițial având axele paralele cu sistemul de referință fix. Din studiul mișcării se observă că acest sistem se mișcă paralel cu el însuși. Astfel că, *mișcarea de translație* va fi caracterizată de *trei parametri* independenți:

$$x_{1c} = x_{1c}(t), \quad y_{1c} = y_{1c}(t), \quad z_{1c} = z_{1c}(t). \quad (17.14)$$

Un rigid este într-o *mișcare de translație* dacă în orice moment toate punctele sale descriu traiectorii egale identice, paralele între ele.

Din cele două relații (17.13), se va aplica în acest caz, doar prima (rigidul nu se rotește, deci teorema momentului cinetic devine $\dot{\vec{K}}_c = 0$). Așadar, se reduce sistemul forțelor exterioare și de legătură, care acționează asupra rigidului, în raport

cu centrul maselor C și se aplică *teorema mișcării centrului maselor* raportată la acesta.

$$M\bar{a}_c = \bar{R} + \bar{R}_l, \quad (17.15)$$

relație în care: $\bar{R}(\bar{F}_{i_{x_1}}, \bar{F}_{i_{y_1}}, \bar{F}_{i_{z_1}})$ - este vectorul rezultat al forțelor exterioare;

$\bar{R}_l(\bar{F}_{j_{x_1}}, \bar{F}_{j_{y_1}}, \bar{F}_{j_{z_1}})$ - este vectorul rezultat al forțelor de legătură.

Relația (17.15) proiectată pe axele sistemului de referință fix, conduce la ecuațiile diferențiale scalare caracteristice mișcării de translație, scrise sub forma:

$$\begin{aligned} M\ddot{x}_{1c} &= \sum_{i=1}^n \bar{F}_{i_{x_1}} + \sum_{j=1}^n \bar{F}_{j_{x_1}}, \\ M\ddot{y}_{1c} &= \sum_{i=1}^n \bar{F}_{i_{y_1}} + \sum_{j=1}^n \bar{F}_{j_{y_1}}, \\ M\ddot{z}_{1c} &= \sum_{i=1}^n \bar{F}_{i_{z_1}} + \sum_{j=1}^n \bar{F}_{j_{z_1}}. \end{aligned} \quad (17.16)$$

Relațiile (17.16) se integrează de două ori și, ținând cont de condițiile inițiale ale mișcării, se obțin ecuațiile mișcării de translație a solidului rigid.

17.3 Dinamica rigidului aflat în mișcare de rotație în jurul unui ax fix

Se consideră un solid rigid (S) de masă M , care în punctele O_1 și O_2 are două articulații sferice. Asupra rigidului acționează un sistem de forțe exterioare date $\bar{F}_i, i = 1 \div n$. Singura mișcare posibilă este rotația în jurul unui ax definit de punctele O_1 și O_2 (fig. 17.2).

Sistemul de forțe exterioare se compune din forțele exterioare și cuplurile date, care se mai numesc *cupluri motoare* și din forțele și cuplurile care se opun mișcării numite *cupluri rezistente*.

Se cere să se determine ecuația diferențială a mișcării rigidului și reacțiunile din cele două lagăre $\bar{R}_{l_1} (R_{l_{1x}}, R_{l_{1y}}, R_{l_{1z}})$, $\bar{R}_{l_2} (R_{l_{2x}}, R_{l_{2y}}, R_{l_{2z}})$, respectiv din punctele O_1 și O_2 . Se cunoaște distanța $O_1O_2 = h$. În studiu, se va elibera corpul de legăturile din O_1 și O_2 , acestea înlocuindu-se cu reacțiunile $\bar{R}_{l_1}, \bar{R}_{l_2}$.

Un solid rigid execută o *mișcare de rotație în jurul unei axe fixe* dacă în orice moment există două puncte fixe în spațiu aparținând rigidului.

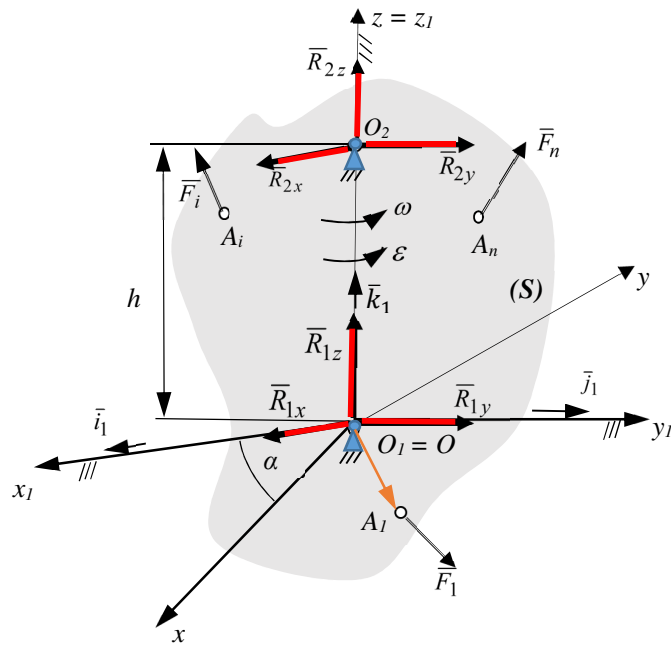


Fig. 17.2

În figura 17.2 se folosesc notațiile:

\bar{R} – este vectorul rezultat al forțelor exterioare;

\bar{R}_{l_1} – este vectorul rezultat al forțelor de legătură din articulația O_1 ;

\bar{R}_{l_2} – este vectorul rezultat al forțelor de legătură din articulația O_2 ;

\bar{M}_0 – este vectorul moment rezultat al forțelor exterioare;

\bar{M}_{l_0} – este vectorul moment rezultat al forțelor de legătură.

Studiul mișcării se face aplicând două din teoremele fundamentale ale dinamicii, respectiv *teorema mișcării centrului maselor* și *teorema momentului cinetic*, scrise sub forma:

$$M\bar{a}_c = \bar{R} + \bar{R}_{l_1} + \bar{R}_{l_2}, \quad (17.17)$$

$$\dot{\bar{K}}_0 = \bar{M}_0 + \bar{M}_{l_0}. \quad (17.18)$$

În continuare, se fac precizări asupra vectorilor din relațiile (17.17), (17.18). Astfel,

$$\bar{R} = \sum_{i=1}^n \bar{F}_i = R_x \bar{i} + R_y \bar{j} + R_z \bar{k},$$

$$\bar{M}_0 = \sum_{i=1}^n \overline{OA_1} \times \bar{F}_i = M_x \bar{i} + M_y \bar{j} + M_z \bar{k}, \quad (17.19)$$

$$\bar{R}_{l_1} = R_{l_1x} \bar{i} + R_{l_1y} \bar{j} + R_{l_1z} \bar{k},$$

$$\bar{R}_{l_2} = R_{l_2x} \bar{i} + R_{l_2y} \bar{j} + R_{l_2z} \bar{k},$$

$$\bar{M}_{l_0} = \sum_{i=1}^n \overline{OO_2} \times \bar{R}_{l_2} = -hR_{2y} \bar{i} + hR_{2x} \bar{j},$$

$$\bar{a}_c = \bar{\varepsilon} \times \bar{r}_c + \bar{\omega} \times (\bar{\omega} \times \bar{r}_c) = (-\varepsilon_y c - \omega^2 x_c) \bar{i} + (\varepsilon_x c - \omega^2 y_c) \bar{j},$$

$$\bar{K}_0 = -J_{zx} \omega \bar{i} - J_{zy} \omega \bar{j} + J_z \omega \bar{k}. \quad (17.20)$$

Derivând vectorial în raport cu timpul relația (17.20), se obține:

$$\begin{aligned} \dot{\bar{K}}_0 &= \frac{\partial \bar{K}_0}{\partial t} + \bar{\omega} \times \bar{K}_0 = \\ &= \frac{\partial}{\partial t} (-J_{zx} \omega \bar{i} - J_{zy} \omega \bar{j} + J_z \omega \bar{k}) + \omega \bar{k} \times (-J_{zx} \omega \bar{i} - J_{zy} \omega \bar{j} + J_z \omega \bar{k}) \\ &= (-J_{zx} \varepsilon + J_{zy} \omega^2) \bar{i} + (-J_{zy} \varepsilon - J_{zx} \omega^2) \bar{j} + J_z \varepsilon \bar{k}. \end{aligned} \quad (17.21)$$

Scalar, ecuația vectorială (17.17) este obținută utilizând relațiile (17.19), respectiv ecuația vectorială (17.18) se poate scalariza utilizând relațiile (17.19) și (17.21). Se obține astfel, sistemul de ecuații:

$$\begin{cases} -M\varepsilon y_c - M\omega^2 x_c = R_x + R_{l_{1x}} + R_{l_{2x}} \\ M\varepsilon x_c - M\omega^2 y_c = R_y + R_{l_{1y}} + R_{l_{2y}} \\ 0 = R_z + R_{l_{1z}} + R_{l_{2z}} \\ -J_{zx}\varepsilon + J_{zy}\omega^2 = M_x - hR_{l_{2y}} \\ -J_{zy}\varepsilon - J_{zx}\omega^2 = M_y + hR_{l_{2x}} \\ J_z\varepsilon = M_z \end{cases} \quad (17.22)$$

Din ultima ecuație a sistemului (17.22) rezultă:

$$\begin{aligned} J_z\varepsilon &= M_z \\ J_z\ddot{\varphi} &= M_z, \\ \ddot{\varphi} - \frac{M_z}{J_z} &= 0. \end{aligned} \quad (17.23)$$

Relația (17.23) reprezintă *ecuația diferențială a mișcării de rotație a solidului rigid în jurul unui ax fix*.

Pentru a determina parametrul unghiular al mișcării, respectiv unghiul φ , se integrează de două ori relația (17.23) și se utilizează condițiile inițiale ale mișcării pentru determinarea constantelor de integrare. Condițiile inițiale sunt:

$$\text{la momentul } t_0 = 0, \varphi = \varphi_0 \text{ și } \dot{\varphi}_0 = \omega_0.$$

Se obține astfel, *legea de mișcare* a solidului rigid:

$$\varphi = \varphi(t, \omega_0, \varphi_0).$$

În studiul mișcării de rotație a rigidului în jurul unui ax fix sunt șase ecuații și șapte necunoscute, astfel că problema este nedeterminată. ***Pentru a elimina nedeterminarea, se înlocuiește articulația sferică din O_2 cu o articulație cilindrică.***

În acest caz,

$$\bar{R}_{l_1} (R_{l_{1x}}, R_{l_{1y}}, R_{l_{1z}}), \bar{R}_{l_2} (R_{l_{2x}}, R_{l_{2y}}, R_{l_{2z}}), \text{ unde } R_{l_{2z}} = 0.$$

Rezolvând primele cinci ecuații ale sistemului (17.22), se obțin reacțiunile din articulațiile O_1 și O_2 sub forma:

$$R_{l_{1x}} = \frac{M_y}{h} - R_x + \left(\frac{J_{zy}}{h} - My_c\right) \varepsilon + \left(\frac{J_{zx}}{h} - Mx_c\right) \omega^2$$

$$R_{l_{1y}} = -\frac{M_x}{h} - R_y - \left(\frac{J_{zx}}{h} - Mx_c\right) \varepsilon + \left(\frac{J_{zy}}{h} - My_c\right) \omega^2$$

$$R_{l_{2x}} = -\frac{M_y}{h} - \frac{J_{zy}}{h} \varepsilon - \frac{J_{zx}}{h} \omega^2$$

$$R_{l_{2y}} = \frac{M_x}{h} + \frac{J_{zx}}{h} \varepsilon - \frac{J_{zy}}{h} \omega^2$$

$$R_{l_{1z}} + R_{l_{2z}} = -R_z \quad . \quad (17.24)$$

Forțele de legătură se determină astfel:

$$R_{l_1} = \sqrt{R_{l_{1x}}^2 + R_{l_{1y}}^2 + R_{l_{1z}}^2}, \quad R_{l_2} = \sqrt{R_{l_{2x}}^2 + R_{l_{2y}}^2 + R_{l_{2z}}^2} \quad . \quad (17.25)$$

Datorită apariției reacțiunilor din O_1 și O_2 , respectiv $\bar{R}_{l_1}(R_{l_{1x}}, R_{l_{1y}}, R_{l_{1z}})$, $\bar{R}_{l_2}(R_{l_{2x}}, R_{l_{2y}}, R_{l_{2z}})$, lagărele se vor uza în timp, de aceea valoarea acestora trebuie să fie cât mai mică.

Analizând sistemul de ecuații (17.22), se desprind două tipuri de reacțiuni, respectiv *reacțiuni statice* și *reacțiuni dinamice*.

În cazul în care $\varepsilon = 0$ și $\omega = 0$, forțele de legătură din O_1 și O_2 se numesc *reacțiuni statice* și au valorile:

$$\begin{aligned}
R_{l_{1x}}^s &= \frac{M_y}{h} - R_x; & R_{l_{1y}}^s &= -\frac{M_x}{h} - R_y; & R_{l_{1z}}^s &= -R_z; \\
R_{l_{2x}}^s &= -\frac{M_y}{h}; & R_{l_{2y}}^s &= \frac{M_x}{h}; & R_{l_{2z}}^s &= 0.
\end{aligned}
\tag{17.26}$$

Componentele *dinamice ale reacțiunilor* sunt:

$$\begin{aligned}
R_{l_{1x}}^d &= \left(\frac{J_{zy}}{h} - My_c\right)\varepsilon + \left(\frac{J_{zx}}{h} - Mx_c\right)\omega^2 \\
R_{l_{1y}}^d &= -\left(\frac{J_{zx}}{h} - Mx_c\right)\varepsilon + \left(\frac{J_{zy}}{h} - My_c\right)\omega^2 \\
R_{l_{1z}}^d &= 0 \\
R_{l_{2x}}^d &= -\frac{J_{zy}}{h}\varepsilon - \frac{J_{zx}}{h}\omega^2 \\
R_{l_{2y}}^d &= -\frac{J_{zx}}{h}\varepsilon - \frac{J_{zy}}{h}\omega^2 \\
R_{l_{2z}}^d &= 0.
\end{aligned}
\tag{17.27}$$

Solidul rigid aflat în mișcare de rotație în jurul unui ax fix la care componentele dinamice ale reacțiunilor din articulații sunt nule este *echilibrat dinamic*.

Egalând cu zero componentele dinamice ale reacțiunilor, se obțin două sisteme de ecuații liniare și omogene în necunoscutele ε, ω^2 .

$$\begin{aligned}
R_{l_{1x}}^d &= 0; & R_{l_{2x}}^d &= 0; \\
R_{l_{1y}}^d &= 0; & R_{l_{2y}}^d &= 0.
\end{aligned}
\tag{17.27a}$$

Condițiile ca acestea să admită soluții, înafară de soluția banală, sunt:

$$\begin{vmatrix} \frac{J_{zy}}{h} - My_c & \frac{J_{zx}}{h} - Mx_c \\ -\frac{J_{zx}}{h} + Mx_c & \frac{J_{zy}}{h} - My_c \end{vmatrix} = 0;
\tag{17.28}$$

și

$$\begin{vmatrix} -\frac{J_{zy}}{h} & -\frac{J_{zx}}{h} \\ \frac{J_{zx}}{h} & -\frac{J_{zy}}{h} \end{vmatrix} = \frac{J_{yz}^2 + J_{zx}^2}{h} = 0. \quad (17.29)$$

Ecuțiile (17.28) și (17.29) pot fi satisfăcute doar dacă:

$$J_{zx} = J_{zy} = 0 ; \quad x_c = y_c = 0; \quad (17.30)$$

Astfel, se pot face două constatări privind **echilibrarea unui solid rigid** și anume:

1. Dacă condițiile (17.30) sunt îndeplinite, numai atunci axa de rotație O_1O_2 este axă principală și centrală de inerție și *solidul rigid este echilibrat dinamic*.

2. Dacă $x_c = y_c = 0$, rezultă că *solidul rigid este echilibrat* doar *static*.

De menționat că dacă ambele constatări precizate anterior sunt îndeplinite, solidul rigid este echilibrat atât static, cât și dinamic. *Un solid rigid este echilibrat static și dinamic dacă axa de rotație este axă principală de inerție și centrul de masă C al rigidului este pe această axă.*

17.4 Dinamica rigidului în mișcarea de roto-translație. Mișcarea de șurub

Se consideră un solid rigid (S) (fig.17.3) de masă M aflat în mișcare de roto-translație sub acțiunea sistemului de forțe exterioare \vec{F}_i ($i = 1 \div n$). Mișcarea rigidului se raportează la sistemele de referință fix $O_1x_1y_1z_1$, având versorii axelor $(\vec{i}_1, \vec{j}_1, \vec{k}_1)$ și mobil $Oxyz$ solidar legat de rigid, având versorii axelor $(\vec{i}, \vec{j}, \vec{k})$. Fie punctul C centrul maselor rigidului.

Un solid rigid execută o *mișcare de roto-translație* dacă fiecare punct al său execută o mișcare de rotație în jurul unei axe (Δ), caracterizată de parametri cinematici ω și ε și o mișcare de translație rectilinie de-a lungul axei (Δ), fiind caracterizată prin viteza \vec{v}_0 și accelerația \vec{a}_0 ale unui punct O , care aparține rigidului și în același timp aparținând și axei (Δ).

Se consideră pe axa (Δ) originea sistemelor de referință O_I și O , precum și două articulații cilindrice reprezentate prin punctele A și B . Prin suprimarea celor două articulații, se introduc forțele de legătură R_{Ax} , R_{Ay} , R_{Bx} , R_{By} .

Se consideră că sunt cunoscute momentele de inerție mecanice axiale și centrifugale (J_x , J_y , J_z , J_{xy} , J_{xz} , J_{yz}) ale solidului rigid.

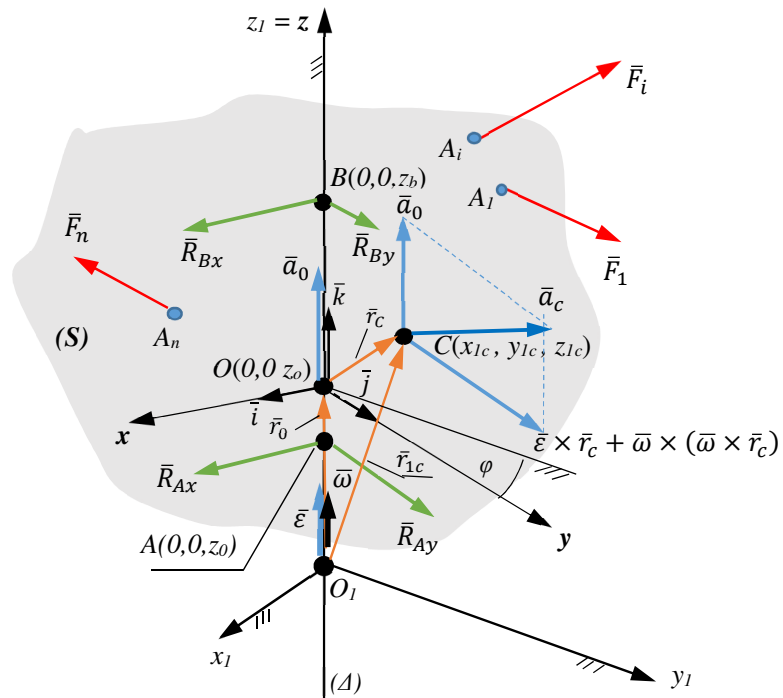


Fig. 17.3

Parametrii de mișcare în cazul mișcării de roto-translație sunt doi, respectiv coordonata z_0 de pe axa (Δ) și unghiul φ . Dacă acești doi parametri sunt cunoscuți, mișcarea este perfect determinată. Coordonata mișcării punctului O față de sistemul de referință fix, respectiv față de originea O_I , este z_0 .

Ecuatiile de mișcare a rigidului sunt:

$$z_0 = z_0(t), \quad \varphi = \varphi(t). \quad (17.31)$$

Pentru studiul mișcării se aplică două din teoremele fundamentale ale dinamicii (*teorema mișcării centrului maselor și teorema momentului cinetic*) scrise astfel:

$$M\bar{a}_c = \bar{R} + \bar{R}_l, \quad (17.32)$$

$$\dot{\bar{K}}_0 = \bar{M}_0 + \bar{M}_{l_0}. \quad (17.33)$$

În aceste relații:

M – este masa rigidului (S);

\bar{a}_c – este accelerația centrului de masa C ;

\bar{R} – este vectorul rezultat al forțelor exterioare;

\bar{M}_0 – este momentul rezultat al forțelor exterioare;

\bar{R}_l – este vectorul rezultat al forțelor de legătură;

\bar{M}_{l_0} – este momentul rezultat al forțelor de legătură;

$\bar{r}_0(\bar{R}, \bar{M}_0)$ – este torsorul de reducere al forțelor exterioare;

$\bar{r}_{0l}(\bar{R}_l, \bar{M}_{l_0})$ – este torsorul de reducere al forțelor de legătură;

\bar{K}_0 – este momentul cinetic al rigidului, raportat la polul O .

$$\bar{a}_c = \bar{a}_0 + \bar{\varepsilon} \times \bar{r}_c + \bar{\omega} \times (\bar{\omega} \times \bar{r}_c). \quad (17.34)$$

Proiectând relațiile (17.32) și (17.33) pe axele sistemului de referință mobil și identificând coeficienții versorilor în cei doi membri ai relațiilor respective, se obține următorul sistem de ecuații:

$$-M\varepsilon y_c - M\omega^2 x_c = R_x + R_{Ax} + R_{Bx} \quad (17.35)$$

$$M\varepsilon x_c - M\omega^2 y_c = R_y + R_{Ay} + R_{By}$$

$$Ma_0 = R_z$$

$$-J_{zx}\varepsilon + J_{yz}\omega^2 = M_{cx} - z_A R_{Ay} - z_B R_{By}$$

$$-J_{yz}\varepsilon - J_{zx}\omega^2 = M_{cy} + z_A R_{Ax} + z_B R_{Bx}$$

$$J_z \varepsilon = M_{cz} . \quad (17.36)$$

Sistemul (17.36) reprezintă un sistem compatibil cu mișcarea și este perfect determinat având șase ecuații cu șase necunoscute variabile în raport cu timpul ($a_0, \varepsilon, R_{Ax}, R_{Ay}, R_{Bx}, R_{By}$).

Din a treia expresie a relației (17.36), se obține:

$$a_0 = \frac{R_z}{M} \rightarrow \ddot{z}_0 = \frac{R_z}{M} . \quad (17.37)$$

Din (17.37), printr-o dublă integrare, se află legea de mișcare $z_0 = z_0(t)$ a rigidului în mișcarea de roto-translație, utilizând și condițiile inițiale ale mișcării pentru aflarea constantelor de integrare.

Din a șasea ecuație a sistemului (17.36), se obține prin integrare, a doua lege de mișcare a rigidului în mișcarea de roto-translație $\varphi = \varphi(t)$. Pentru determinarea constantelor de integrare se folosesc condițiile inițiale ale mișcării.

Transpuse succesiv explicațiile anterioare, se pot scrie relațiile:

$$J_z \varepsilon = M_{cz} \rightarrow J_z \ddot{\varphi} = M_{cz} \rightarrow \ddot{\varphi} = \frac{M_{cz}}{J_z} . \quad (17.38)$$

În final, legile de mișcare ale solidului rigid aflat în mișcare de roto-translației pot fi obținute din relațiile (17.37) și (17.38) prin integrare și determinare a constantelor de integrare, utilizând condițiile inițiale ale mișcării.

Prin aflarea legilor mișcării rigidului și a reacțiunilor din articulațiile cilindrice din punctele A și B , mișcarea de roto-translație este pe deplin studiată.

$$\begin{aligned} R_{Ax} &= R_{Ax}(t); & R_{Ay} &= R_{Ay}(t); \\ R_{Bx} &= R_{Bx}(t); & R_{By} &= R_{By}(t); \end{aligned} \quad (17.39)$$

$$z_A = z_{A0} + z_0(t); \quad z_B = z_{B0} + z_0(t);$$

$$\varphi = \varphi(t).$$

Pentru studiul mișcării solidului rigid raportat la sistemul de referință fix $O_1x_1y_1z_1$, se folosesc proiecțiile reacțiilor R_A , R_B din punctele A și B pe axele sistemului de referință fix. Dacă C aparține axei (Δ), se aplică teoremele fundamentale ale dinamicii raportate la centrul de masa C .

În acest caz, sistemul de ecuații (17.36) devine:

$$\begin{aligned} 0 &= R_x + R_{Ax} + R_{Bx} \\ 0 &= R_y + R_{Ay} + R_{By} \\ Ma_0 &= R_z. \end{aligned} \quad (17.40)$$

$$\begin{aligned} -J_{zx}\varepsilon + J_{yz}\omega^2 &= M_{cx} - (z_A - z_c)R_{Ay} - (z_B - z_c)R_{By} \\ -J_{yz}\varepsilon - J_{zx}\omega^2 &= M_{cy} + (z_A - z_c)R_{Ax} + (z_B - z_c)R_{Bx} \\ J_z\varepsilon &= M_{cz}. \end{aligned}$$

Din sistemul de ecuații (17.40) rezultă necunoscutele ce caracterizează mișcarea de roto-translație față de sistemul de referință fix.

Mișcarea de roto-translație a solidului rigid are un *caz particular* și anume, **mișcarea de șurub**. La mișcarea de șurub între cei doi parametri independenți ai mișcării de roto-translație z_0 și φ există o dependență:

$$z_0 = \frac{p}{2\pi} \cdot \varphi, \text{ unde } p \text{ – este pasul șurubului.} \quad (17.41)$$

Dacă relația (17.41) se derivează succesiv de două ori în raport cu timpul, se află relația de dependență între parametri cinematici ai mișcării de șurub (ε , a_0).

Pentru ca solidul rigid să execute o mișcare de șurub, una din cele două articulații cilindrice de pe axa (Δ) (de exemplu articulația din A) se va modifica astfel încât, translația să fie dependentă de rotația rigidului. În acest fel, în punctul A va apărea suplimentar a treia reacțiune R_{Az} , iar sistemul de ecuații (17.36) devine:

$$\begin{aligned}
-M\varepsilon y_c - M\omega^2 x_c &= R_x + R_{Ax} + R_{Bx} \\
M\varepsilon x_c - M\omega^2 y_c &= R_y + R_{Ay} + R_{By} \\
Ma_0 &= R_z + R_{Az} \\
-J_{zx}\varepsilon + J_{yz}\omega^2 &= M_{cx} - z_A R_{Ay} - z_B R_{By} \\
-J_{yz}\varepsilon - J_{zx}\omega^2 &= M_{cy} + z_A R_{Ax} + z_B R_{Bx} \\
J_z\varepsilon &= M_{cz} .
\end{aligned} \tag{17.42}$$

Ținând cont de (17.41) și (17.42), se obțin necunoscutele mișcării de șurub în număr de șapte ($R_{Ax}, R_{Ay}, R_{Az}, R_{Bx}, R_{By}, \bar{v}_0, (z_0)$) și $\varepsilon (\varphi)$.

17.5 Dinamica mișcării plan-paralele a rigidului

Dinamica solidului rigid aflat în *mișcare plan-paralelă* este una din cele mai des întâlnite în practică, la mecanisme (de exemplu la șeping, la mișcarea traversei roților de locomotivă etc.).

Se consideră o placă (P_m) de masă M aflată în mișcare într-un plan fix $O_1x_1y_1z_1$ sub acțiunea unui sistem de forțe exterioare $\bar{F}_i, i = 1 \div n$, forțele fiind coplanare cu placa (fig.17.4). $Cxyz$ este planul mobil care se mișcă odată cu placa (unde C – este centrul de masă al plăcii).

Un solid rigid execută o *mișcare plan-paralelă* dacă în orice moment al său există trei puncte necoliniare distincte conținute în același plan fix.

Un solid rigid aflat în mișcare plan-paralelă este definit ca poziție prin *trei parametri independenți*.

Se cunosc condițiile inițiale ale mișcării la momentul $t_0 = 0$:

$$\begin{aligned}
x_{1c} &= x_{1c0}; \quad y_{1c} = y_{1c0}; \quad \varphi = \varphi_0 \\
\dot{x}_{1c} &= \dot{x}_{1c0}; \quad \dot{y}_{1c} = \dot{y}_{1c0}; \quad \dot{\varphi} = \omega_0 .
\end{aligned} \tag{17.43}$$

Se cere să se determine ecuațiile diferențiale de mișcare a plăcii, respectiv:

$$x_{1c} = x_{1c}(t); \quad y_{1c} = y_{1c}(t); \quad \varphi = \varphi(t) . \tag{17.44}$$

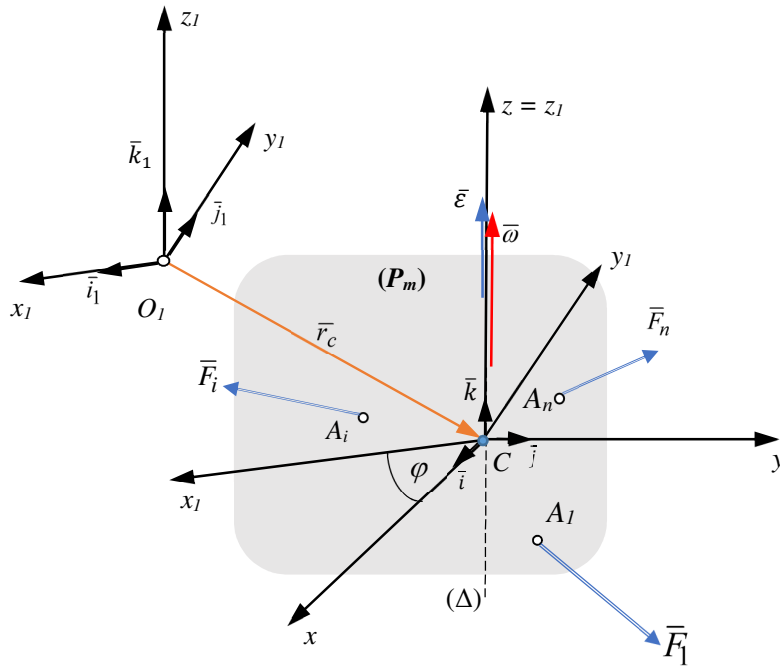


Fig. 17.4

În mișcarea plan-paralelă se consideră că solidul rigid execută o translație cu accelerația centrului maselor \bar{a}_c și o rotație cu unghiul φ în jurul unei axe (Δ) perpendiculară pe planul mișcării, mișcare caracterizată de parametri $\bar{\omega}, \bar{\varepsilon}$. Pentru determinarea ecuațiilor diferențialelor în cazul plăcii aflată în mișcare plană, se aplică *teorema mișcării centrului maselor* și *teorema momentului cinetic*, scrise astfel:

$$M\ddot{x}_{1c} = \sum_{i=1}^n F_{ix_1} = R_{x_1}; \quad M\ddot{y}_{1c} = \sum_{i=1}^n F_{iy_1} = R_{y_1};$$

$$J_{\Delta}\ddot{\varphi} = \sum_{i=1}^n M_c, \quad (17.45)$$

unde:

M – este masa plăcii [kg];

J_A – este momentul de inerție mecanic axial al plăcii [kg m²];

x_{1c}, y_{1c} – sunt coordonatele punctului C din planul fix;

φ – este unghiul de rotație situat între axele Cx_1 și Cx (fig. 17.4);

$\bar{F}_{ix_1}, \bar{F}_{ix_2}$ – sunt proiecțiile pe axele Cx și Cy ale forțelor exterioare \bar{F}_i [N];

\bar{M}_c – este momentul rezultat al forțelor exterioare în raport cu polul C .

Prin integrarea relațiilor (17.45) și ținând seama de condițiile inițiale date, se obțin legile mișcării plan-paralele în cazul solidului rigid și anume:

$$x = x(t); y = y(t); \varphi = \varphi(t); \quad (17.46)$$

17.6 Dinamica mișcării sferice a solidului rigid

Alt tip de mișcare a solidului rigid cu aplicații în practică este cea a *solidului rigid cu punct fix*, numită și *mișcare sferică*.

17.6.1 Ecuațiile diferențiale ale mișcării sferice

Se consideră un solid rigid (S) (fig.17.5) care, sub acțiunea unui sistem de forțe exterioare $\bar{F}_i, i = 1 \div n$, execută o *mișcare sferică* în jurul unui punct fix în spațiu. În **mișcarea sferică**, traiectoria fiecărui punct al rigidului este o curbă situată pe suprafața unei sfere cu centrul în punctul fix. Mișcarea rigidului raportează la două sisteme de referință, respectiv unul fix $O_1x_1y_1z_1$ și unul mobil $Oxyz$ solidar legat cu rigidul, având originile O_1 și O în punctul fix al rigidului.

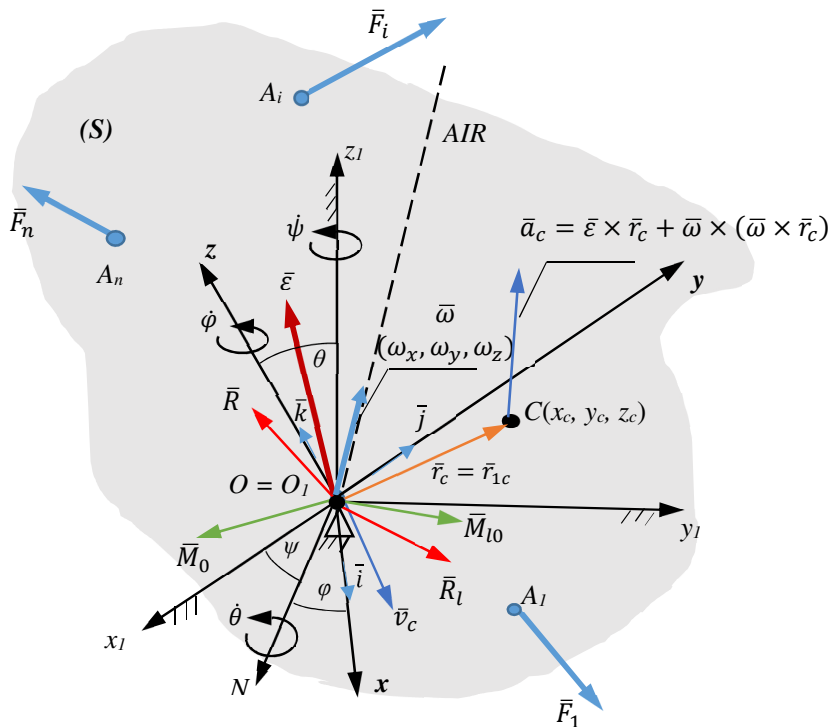


Fig. 17.5

Mișcarea sferică a rigidului (S) este caracterizată de parametri cinematici $\bar{\omega}, \bar{\varepsilon}$ ai căror suportți trec prin punctul fix O_1 . Singura legătură a rigidului este în punctul fix O_1 în care este o articulație sferică care suprimă rigidului cele trei translații. Astfel, rigidul aflat în *mișcare sferică* are trei rotații în jurul axelor unui sistem de referință cu originea în O_1 .

Un astfel de rigid are *trei grade de libertate*, poziția sa fiind definită de trei parametri independenți (de exemplu *unghiurile lui Euler* (φ, θ, ψ)).

Legile de mișcare ale solidului rigid aflat în mișcare sferică pot fi:

$$\psi = \psi(t), \theta = \theta(t), \varphi = \varphi(t). \quad (17.47)$$

În cele ce urmează se vor prezenta *ecuațiile dinamice ale lui Euler*.

17.6.2 Ecuțiile dinamice ale lui Euler

Torsorul de reducere al forțelor exterioare în punctul O este: $\bar{\tau}(\bar{R}, \bar{M}_0)$ conform cu (17.48),

$$\bar{R} = \sum_{i=1}^n \bar{F}_i; \quad \bar{M}_0 = \sum_{i=1}^n \bar{r} \times \bar{F}_i, \quad (17.48)$$

iar echivalentul acestuia este torsorul forțelor de legătură dat de: $\bar{\tau}(\bar{R}_l, \bar{M}_{l0})$.

Presupunând articulația sferică din punctul O cu frecare neglijabilă, se cer să se determine *ecuațiile dinamice de mișcare și reacțiunile din legătura punctului O* .

Pentru studiul mișcării sferice se aplică *teorema mișcării centrului maselor și teorema momentului cinetic*, scrise astfel:

$$M\bar{a}_c = \bar{R} + \bar{R}_l, \quad \text{de unde:} \quad \bar{R}_l = M\bar{a}_c - \bar{R}$$

$$\dot{\bar{K}}_0 = \bar{M}_0. \quad (17.49)$$

Conform legii de distribuție a accelerațiilor la mișcarea sferică, se poate scrie:

$$\bar{a}_c = \bar{\varepsilon} \times \bar{r}_c + \bar{\omega} \times (\bar{\omega} \times \bar{r}_c).$$

Ecuțiile vectoriale (17.49) proiectate pe axele sistemului de referință mobil, conduc la sistemul:

$$\left\{ \begin{array}{l} R_{lx} = -R_x + M[-(\omega_z^2 + \omega_y^2)x_c + (\omega_x\omega_y - \varepsilon_z)y_c + (\omega_x\omega_z + \varepsilon_y)z_c] \\ R_{ly} = -R_y + M[-(\omega_x^2 + \omega_z^2)y_c + (\omega_x\omega_y + \varepsilon_z)x_c + (\omega_y\omega_z - \varepsilon_x)z_c] \\ R_{lz} = -R_z + M[-(\omega_x^2 + \omega_y^2)z_c + (\omega_x\omega_z - \varepsilon_y)x_c + (\omega_y\omega_z + \varepsilon_x)y_c] \\ \quad J_x\varepsilon_x + (J_z - J_y)\omega_y\omega_z = M_x \\ \quad J_y\varepsilon_y + (J_x - J_z)\omega_x\omega_z = M_y \\ \quad J_z\varepsilon_z + (J_y - J_x)\omega_y\omega_x = M_z \end{array} \right. \quad (17.50)$$

Ultimele trei ecuații din sistemul (17.50) se numesc *ecuațiile diferențiale ale mișcării rigidului cu punct fix sau ecuațiile dinamice ale lui Euler*. Acestea au fost

obținute în ipoteza în care sistemul de referință mobil $Oxyz$, solidar cu rigidul, este sistem principal de inerție.

Ecuatiile dinamice ale lui Euler se pot utiliza pentru rezolvarea a două probleme fundamentale reciproce: *directă* și *inversă*, ale dinamicii rigidului. În ecuațiile dinamice ale lui Euler apar componentele carteziene $\omega_x, \omega_y, \omega_z$ ale vitezei unghiulare $\bar{\omega}$, care poate fi scrisă astfel:

$$\begin{aligned}\bar{\omega} &= \omega_x \bar{i} + \omega_y \bar{j} + \omega_z \bar{k}, \\ \bar{\omega} &= \dot{\psi} \bar{k}_1 + \dot{\theta} \bar{n} + \dot{\phi} \bar{k} .\end{aligned}\quad (17.51)$$

a) **Problema inversă** la care se dau legile de variație ale momentului rezultant al forțelor direct aplicate asupra rigidului:

$$\begin{aligned}M_x &= M_x(t, \psi, \theta, \varphi, \dot{\psi}, \dot{\theta}, \dot{\phi}) \\ M_y &= M_y(t, \psi, \theta, \varphi, \dot{\psi}, \dot{\theta}, \dot{\phi}) \\ M_z &= M_z(t, \psi, \theta, \varphi, \dot{\psi}, \dot{\theta}, \dot{\phi}) .\end{aligned}\quad (17.52)$$

și condițiile inițiale ale mișcării, adică la momentul:

$$\begin{aligned}t_0 = 0, \quad \psi &= \psi_0, \quad \theta = \theta_0, \quad \varphi = \varphi_0 \\ \dot{\psi} &= \dot{\psi}_0, \quad \dot{\theta} = \dot{\theta}_0, \quad \dot{\phi} = \dot{\phi}_0 .\end{aligned}\quad (17.53)$$

Se cer să se determine ecuațiile mișcării:

$$\psi = \psi(t), \quad \theta = \theta(t), \quad \varphi = \varphi(t). \quad (17.54)$$

Din relațiile (17.51), după efectuarea unor calcule matematice, rezultă componentele scalare ale vitezei unghiulare $\bar{\omega}$ și ale accelerației unghiulare $\bar{\varepsilon}$ pe axele sistemului de referință mobil:

$$\begin{cases} \omega_x = \dot{\psi} \sin\theta \sin\varphi + \dot{\theta} \cos\varphi \\ \omega_y = \dot{\psi} \sin\theta \cos\varphi - \dot{\theta} \sin\varphi \\ \omega_z = \dot{\psi} \cos\theta + \dot{\varphi} \end{cases}$$

$$\bar{\varepsilon} = \dot{\bar{\omega}}$$

$$\begin{cases} \varepsilon_x = \ddot{\psi} \sin\theta \sin\varphi + \ddot{\theta} \cos\varphi + \dot{\psi} \dot{\theta} \cos\theta \sin\varphi - \dot{\theta} \dot{\varphi} \sin\varphi + \dot{\varphi} \dot{\psi} \sin\theta \cos\varphi \\ \varepsilon_y = \ddot{\psi} \sin\theta \cos\varphi - \ddot{\theta} \sin\varphi + \dot{\psi} \dot{\theta} \cos\theta \cos\varphi - \dot{\theta} \dot{\varphi} \cos\varphi - \dot{\varphi} \dot{\psi} \sin\theta \sin\varphi \\ \varepsilon_z = \ddot{\psi} \cos\theta + \ddot{\varphi} - \dot{\psi} \dot{\theta} \sin\theta \end{cases} \quad (17.55)$$

Înlocuind relațiile (17.55) în sistemul de ecuații (17.50), se obțin funcțiile:

$$\begin{aligned} f_1(t, \psi, \theta, \varphi, \dot{\psi}, \dot{\theta}, \dot{\varphi}, \ddot{\psi}, \ddot{\theta}, \ddot{\varphi}) &= 0, \quad f_2(t, \psi, \theta, \varphi, \dot{\psi}, \dot{\theta}, \dot{\varphi}, \ddot{\psi}, \ddot{\theta}, \ddot{\varphi}) = 0, \\ f_3(t, \psi, \theta, \varphi, \dot{\psi}, \dot{\theta}, \dot{\varphi}, \ddot{\psi}, \ddot{\theta}, \ddot{\varphi}) &= 0. \end{aligned} \quad (17.56)$$

În urma integrării sistemului de ecuații diferențiale (17.56), rezultă legile mișcării sau *ecuațiile de mișcare ale solidului*, date de relațiile (17.47).

Integrarea nu poate fi efectuată în orice condiții deoarece intervin factori necunoscuți, așa că se va apela la trei cazuri particulare prin simplificarea acestora și anume:

Cazul 1: Euler – Poincot ($M_x = M_y = M_z = 0$)

Cazul 2: Lagrange – Poisson ($x_c = y_c = 0$ și $J_x = J_y$)

Cazul 3: Sofia Kovalevskaia ($z_c = 0$ și $J_x = J_y = 2J_z$).

Aceste cazuri sunt prezentate detaliat în literatura de specialitate.

b) Problema directă la care se dau ecuațiile mișcării

$\varphi = \varphi(t)$; $\theta = \theta(t)$; $\psi = \psi(t)$ și se cer reacțiunile $\bar{R}_i(R_{lx}, R_{ly}, R_{lz})$ și momentele rezultante $\bar{M}_{l0}(M_{lx}, M_{ly}, M_{lz})$. Dacă articulația sferică a rigidului este fără frecare, atunci $\bar{M}_{l0} = 0$.

Pentru rezolvarea problemei directe, se scriu relațiile (17.50) sub forma:

$$[I_s] \cdot \bar{\varepsilon} + \bar{\omega} \times [I_s] \cdot \bar{\omega} = \bar{M}_0, \quad (17.57)$$

în care

$$[I_s] = \begin{bmatrix} J_x & 0 & 0 \\ 0 & J_y & 0 \\ 0 & 0 & J_z \end{bmatrix};$$

$$[I_s] \cdot \bar{\varepsilon} = \begin{bmatrix} J_x & 0 & 0 \\ 0 & J_y & 0 \\ 0 & 0 & J_z \end{bmatrix} \cdot \begin{bmatrix} \varepsilon_x \\ \varepsilon_y \\ \varepsilon_z \end{bmatrix};$$

$$\bar{M}_0 = \begin{bmatrix} M_x \\ M_y \\ M_z \end{bmatrix};$$

$$\bar{\omega} \times [I_s] \cdot \bar{\omega} = \begin{bmatrix} 0 & -\omega_z & \omega_y \\ \omega_z & 0 & -\omega_x \\ -\omega_y & \omega_x & 0 \end{bmatrix} \begin{bmatrix} J_x \omega_x \\ J_y \omega_y \\ J_z \omega_z \end{bmatrix} = \begin{bmatrix} (J_z - J_y) \omega_y \omega_z \\ (J_x - J_z) \omega_x \omega_z \\ (J_y - J_x) \omega_y \omega_x \end{bmatrix} \quad (17.58)$$

Înlocuind relațiile (17.58) în (17.57), se obține:

$$\begin{bmatrix} J_x \varepsilon_x \\ J_y \varepsilon_y \\ J_z \varepsilon_z \end{bmatrix} + \begin{bmatrix} (J_z - J_y) \cdot \omega_y \omega_z \\ (J_x - J_z) \cdot \omega_x \omega_z \\ (J_y - J_x) \cdot \omega_y \omega_x \end{bmatrix} = \begin{bmatrix} M_x \\ M_y \\ M_z \end{bmatrix}. \quad (17.59)$$

Scalar, relația (17.59) se poate scrie:

$$\begin{aligned} M \ddot{x}_c &= R_x + R_{l_x} \\ M \ddot{y}_c &= R_y + R_{l_y} \\ M \ddot{z}_c &= R_z + R_{l_z} \\ J_x \varepsilon_x + (J_z - J_y) \omega_y \omega_z &= M_x \\ J_y \varepsilon_y + (J_x - J_z) \omega_x \omega_z &= M_y \\ J_z \varepsilon_z + (J_y - J_x) \omega_y \omega_x &= M_z \end{aligned} \quad (17.60)$$

Prin rezolvarea sistemului de ecuații (17.60), numit *sistem de ecuații dinamice Euler*, se obțin necunoscutele: $R_{l_x}, R_{l_y}, R_{l_z}, \varphi, \theta, \psi$. Așa cum s-a specificat și la sistemul (17.59), similar cu (17.60), există doar trei cazuri de integrare ale acestuia.

17.6.3 Mișcarea de precesie regulată

Un solid rigid execută o mișcare sferică de precesie regulată (fig.17.6) dacă viteza unghiulară de precesie, viteza unghiulară de rotație proprie și unghiul de

nutație θ sunt constante sau altfel spus, dacă unghiurile lui Euler îndeplinesc condițiile (17.61).

$$\psi = \omega_1 \cdot t + \psi_0; \quad \varphi = \omega_2 \cdot t + \varphi_0; \quad \theta = \theta_0. \quad (17.61)$$

Din relațiile (17.61), utilizând (17.55), rezultă:

$$\begin{cases} \omega_x = \omega_1 \sin\theta \sin\varphi \\ \omega_y = \omega_1 \sin\theta \cos\varphi; \\ \omega_z = \omega_1 \cos\theta + \omega_2 \end{cases} \quad \begin{cases} \varepsilon_x = \omega_1 \omega_2 \sin\theta \cos\varphi \\ \varepsilon_y = -\omega_1 \omega_2 \sin\theta \sin\varphi; \\ \varepsilon_z = 0 \end{cases} \quad (17.62)$$

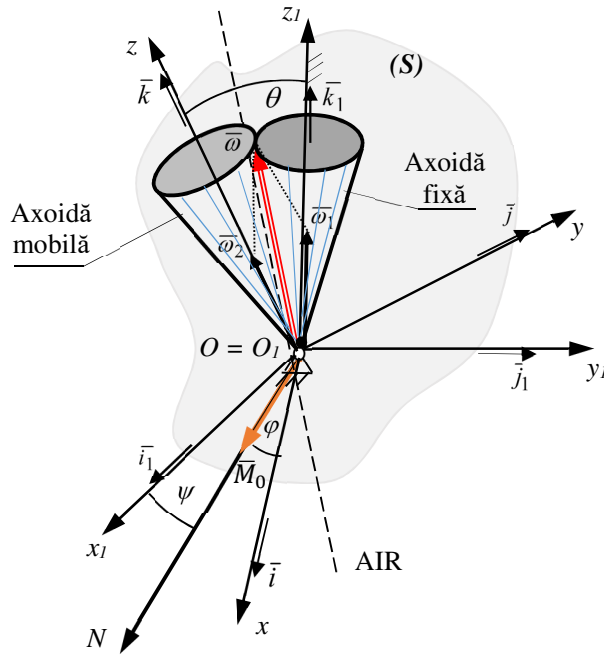


Fig. 17.6

Înlocuind relațiile (17.62) în (17.50), se obțin:

$$\begin{aligned} M_x &= [J_x \omega_2 + (J_z - J_y)(\omega_1 \cos \theta + \omega_2)] \omega_1 \sin \theta \cos \varphi \\ M_y &= -[J_y \omega_2 + (J_z - J_x)(\omega_1 \cos \theta + \omega_2)] \omega_1 \sin \theta \sin \varphi \\ M_z &= (J_y - J_x) \omega_1^2 \sin^2 \theta \sin \varphi \cos \varphi. \end{aligned} \quad (17.63)$$

Considerând că momentele de inerție $J_x = J_y$, relațiile (17.63) devin:

$$\begin{cases} M_x = [J_z + (J_z - J_y) \frac{\omega_1}{\omega_2} \cos \theta] \omega_1 \omega_2 \sin \theta \cos \varphi \\ M_y = -[J_z + (J_z - J_x) \frac{\omega_1}{\omega_2} \cos \theta] \omega_1 \omega_2 \sin \theta \sin \varphi \\ M_z = 0 \end{cases} \quad (17.64)$$

Din relațiile (17.64) rezultă că momentul resultant \bar{M}_0 este dirijat după axa nodurilor ON , astfel că:

$$\operatorname{tg} \varphi = -\frac{M_y}{M_x}$$

$$\bar{M}_0 = [J_z + (J_z - J_x) \frac{\omega_1}{\omega_2} \cos \theta] \bar{\omega}_1 \times \bar{\omega}_2$$

$$M_0 = [J_z + (J_z - J_x) \frac{\omega_1}{\omega_2} \cos \theta] \omega_1 \omega_2 \sin \theta. \quad (17.65)$$

Dacă $\omega_2 \gg \omega_1$, rezultă expresiile vectoriale și scalare ale lui \bar{M}_0 :

$$\bar{M}_0 = J_z (\bar{\omega}_1 \times \bar{\omega}_2), \quad (17.66)$$

$$M_0 = J_z \omega_1 \omega_2 \sin \theta.$$

Pentru a avea o *mişcare de precesie regulată* la un solid rigid care se rotește în jurul unui punct fix după axa de rotație (AIR), este necesar ca momentul resultant al forțelor care acționează asupra rigidului să fie plasat pe axa nodurilor, acesta având expresia dată de relația (17.66). În acest caz, viteza unghiulară de rotație proprie ω_2 este mult mai mare decât viteza unghiulară de precesie ω_1 ($\frac{\omega_1}{\omega_2} \cong 0$).

O aplicație a mișcării de precesie regulată este *giroscopul* care va fi prezentată ca o primă problemă în paragraful Probleme rezolvate.

17.7 Probleme rezolvate

17.7.1. Giroskopul

În cele ce urmează, se va prezenta giroskopul, care este o aplicație a mișcării sferice.

Giroskopul – este un rigid cu un punct fix O , al cărui elipsoid de inerție ($J_x = J_y$) este în mișcare de rotație cu viteza unghiulară de rotație proprie ω_2 față de axa mobilă Oz solidară cu rigidul, rigid care se rotește în jurul lui Oz_1 cu viteza unghiulară de precesie ω_1 foarte mare, asupra lui acționând doar greutatea proprie \bar{G} . În unele cazuri centrul de greutate C coincide cu punctul O al axei de rotație (fig.17.7) [5], [11].

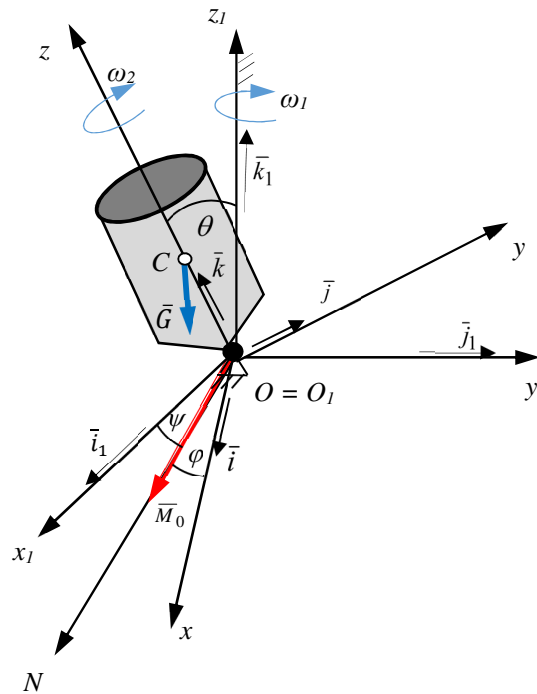


Fig. 17.7

Soluție:

Mișcarea solidului rigid este de tipul Euler – Poinot, deci momentul resultant al forțelor exterioare în raport cu O_I este nul ($M_{I_0} = 0$), iar axa giroscopului este axă permanentă de rotație ($M_x = M_y = 0$). Dacă și momentul $M_z = 0$, rezultă că $\varepsilon = 0$ deci $\omega = ct$. și mișcarea giroscopului este una uniformă.

Se notează cu: $\omega_x = \omega_1; \omega_y = \omega_2; \omega_z = \omega_0$.

Mișcarea giroscopului trebuie să fie una *stabilă*, aceasta însemnând că dacă perturbăm poziția axei de rotație în vecinătatea poziției stabile, axa va reveni la poziția neperturbată.

Dacă se iau în considerare ultimele trei ecuații din sistemul (17.60), conform cu condițiile Euler – Poinot, acestea se transformă în:

$$\begin{aligned} J_x \varepsilon_x + (J_z - J_y) \omega_y \omega_z &= 0; \\ J_y \varepsilon_y + (J_x - J_z) \omega_z \omega_x &= 0; \\ J_z \varepsilon_z + (J_y - J_x) \omega_x \omega_y &= 0. \end{aligned} \tag{17.67}$$

Dacă axa de rotație a rigidului este *axă principală de inerție*, atunci $J_x = J_y$, iar relațiile (17.67) devin:

$$\begin{aligned} J_x \varepsilon_x + (J_z - J_x) \omega_y \omega_z &= 0; \\ J_x \varepsilon_y + (J_x - J_z) \omega_z \omega_x &= 0; \\ J_z \varepsilon_z &= 0. \end{aligned} \tag{17.68}$$

Din cea de a treia relație a sistemului (17.68) rezultă că $\varepsilon_z = 0$, respectiv $\omega_z = \omega_0 = ct.$, astfel încât:

$$\begin{aligned} J_x \varepsilon_x + (J_z - J_x) \omega_y \omega_0 &= 0, \\ J_x \varepsilon_y + (J_x - J_z) \omega_0 \omega_x &= 0. \end{aligned} \quad (17.69)$$

Prin derivarea în raport cu timpul a celei de a doua relații (17.69), se obține ecuația:

$$J_x \frac{d\varepsilon_y}{dt} + (J_x - J_z) \varepsilon_x \omega_0 = 0, \quad (17.70)$$

din care:

$$\varepsilon_x = \frac{J_x \frac{d\varepsilon_y}{dt}}{(J_z - J_x) \omega_0},$$

Înlocuind și efectuând calcule în (17.69), rezultă:

$$J_x^2 \frac{d\varepsilon_y}{dt} + \omega_0^2 \omega_y (J_z - J_x) = 0. \quad (17.71)$$

Relația (17.71) reprezintă o ecuație diferențială în ω_y , ea fiind o ecuație diferențială de ordinul doi, cu coeficienți constanți.

Dacă se notează:

$$u = \frac{J_z - J_x}{J_x} \cdot \omega_0, \quad (17.72)$$

prin înlocuire în (17.71), se obține soluția acestei ecuații, scrisă astfel:

$$\omega_y = C_1 \cos(ut) + C_2 \sin(ut). \quad (17.73)$$

Înlocuind (17.73) în ecuația a doua din (17.69), se obține:

$$\omega_x = \pm(C_1 \sin(ut) - C_2 \cos(ut)). \quad (17.74)$$

În relația (17.74) semnul „+” este pentru cazul în care $J_z > J_x$, iar semnul minus „-”, pentru cazul în care $J_z < J_x$.

Utilizând condițiile inițiale ale mișcării, respectiv la momentul $t_0 = 0$, $\omega_x = \omega_{x0}$ și $\omega_y = \omega_{y0}$, se află constantele de integrare C_1 și C_2 .

$$C_1 = \omega_{y0} \text{ și } C_2 = \pm \omega_{x0} . \quad (17.75)$$

Înlocuind (17.75) în (17.73) și (17.74), se obțin formele finale ale expresiilor lui ω_x și ω_y .

$$\omega_y = \omega_{y0} \cos(ut) \pm \omega_{x0} \sin(ut) , \quad (17.76)$$

$$\omega_x = \pm \omega_{x0} \sin(ut) \pm \omega_{y0} \cos(ut).$$

În relația (17.76) ω_{x0} și ω_{y0} sunt foarte mici, iar funcțiile *sin* și *cos* au valori limitate în intervalul $[-1;1]$ în timpul mișcării. Astfel, rezultă că ω_x și ω_y au o influență mică asupra mișcării giroscopului. Înseamnă că principala viteză unghiulară de care depinde mișcarea giroscopului este $\omega_z = \omega_0$. Această condiție face ca giroscopul să aibă întrebuințări ca *stabilizator al mișcării* în cazul avioanelor, navelor etc.

Un alt mod de prezentare a stabilității giroscopului este dacă se ține cont doar de momentul rezultat M_o al forțelor exterioare. Expresia acestui moment este:

$$\bar{M}_0 = \bar{OC} \times \bar{G} = h\bar{k} \times (-G\bar{k}_1) = \bar{n} Gh \sin\theta . \quad (17.77)$$

$$M_0 = Gh \sin\theta.$$

Se fac următoarele notații:

$$\bar{M}_{j0} = -\dot{\bar{K}}_0$$

$$\bar{M}_0 + \bar{M}_{j0} = 0. \quad (17.78)$$

Se fac următoarele notații și calcule privind momentele care apar la mișcarea giroscopică, în care \bar{M}_{j0} - este vectorul moment rezultat al forțelor de inerție.

$$\bar{M}_g = \bar{M}_{j0}$$

$$\bar{M}_g = -J_z \bar{\omega}_1 \times \bar{\omega}_2 = J_z \bar{\omega}_2 \times \bar{\omega}_1 ,$$

Modulul momentului M_g devine:

$$M_g = J_z \omega_1 \omega_2 \sin\theta , \quad (17.79)$$

și se obține viteza unghiulară ω_1 a giroscopului:

$$\omega_1 = \frac{gh}{J_z \omega_2} .$$

Relația (17.79) arată că pentru $\omega_2 \gg$ foarte mare, viteza unghiulară $\omega_1 \ll$ este foarte mică. De asemenea, cu cât punctul C este mai aproape de punctul O ($h = OC$ mic) viteza unghiulară $\omega_2 \gg$ este foarte mare. Un impediment care poate apărea practic în acest caz, ar fi prezența frecărilor din lagărele giroscopului care vor încetini, respectiv micșora valoarea vitezei unghiulare ω_2 .

17.7.2. O placă omogenă dreptunghiulară $OABC$ de greutate \bar{G} și dimensiuni $a \times b$ este articulată cilindric în punctele O și C și execută o rotație pură în jurul axei fixe (Δ) cu o viteză unghiulară $\omega = \text{const.}$ (fig. 17.8) [11]. Neglijând frecările din articulațiile O și C , să se determine reacțiunile dinamice din aceste articulații.

Soluție:

Pentru rezolvarea cerințelor problemei se aplică *Teorema impulsului* și *Teorema momentului cinetic*.

Placa execută o mișcare de rotație pură în jurul axei (Δ), astfel că *Teorema impulsului* sau *Teorema mișcării centrului maselor* devine în acest caz:

$$M \bar{a}_c = \bar{R} + \bar{R}_l \quad (1)$$

unde:

$$a_c = -\omega^2 R = -\omega^2 \frac{a}{2} . \quad (2)$$

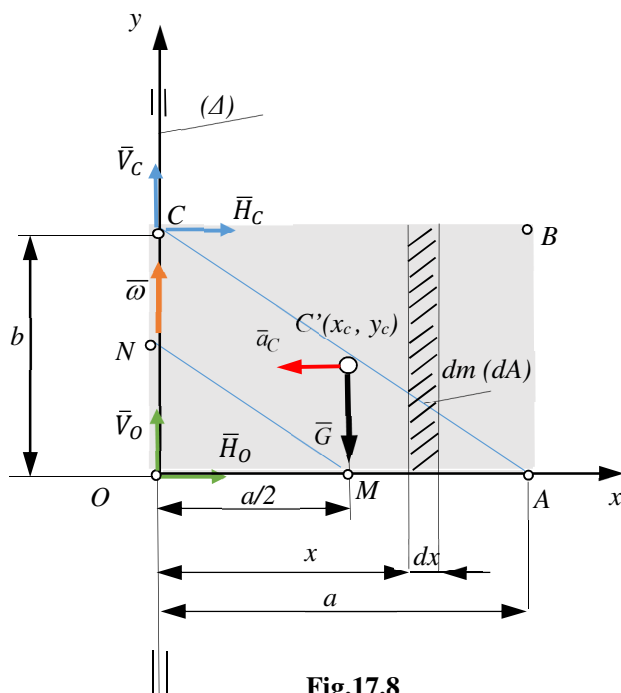


Fig.17.8

Proiectând ecuația (1) după axele sistemului de referință Oxy , se obțin ecuațiile scalare:

$$Ox: H_c + H_0 = -\omega^2 M \frac{a}{2} = -\omega^2 G/g \frac{a}{2} . \quad (3)$$

$$Oy: V_c + V_0 - G = 0 . \quad (4)$$

Necunoscutele problemei sunt H_0, V_0, H_c, V_c , respectiv reacțiunile dinamice din articulațiile O și C .

$$R_0 = \sqrt{V_0^2 + H_0^2} \text{ și } R_c = \sqrt{V_c^2 + H_c^2} . \quad (5)$$

Aplicând teorema momentului cinetic corespunzătoare solidului rigid, se poate scrie:

$$\dot{\vec{K}}_0 = J_\Delta \dot{\vec{\epsilon}} + \vec{\omega} \times (J_\Delta \times \vec{\omega}) = \vec{M}_0 + \vec{M}_{I0} . \quad (6)$$

Pentru că $\bar{\omega}$ este constant, $\bar{\varepsilon} = 0$ și relația (6) poate fi scrisă matriceal astfel:

$$\dot{\bar{K}}_0 = \begin{bmatrix} 0 & 0 & \omega \\ 0 & 0 & 0 \\ -\omega & 0 & 0 \end{bmatrix} \cdot \begin{bmatrix} -\omega J_{xy} \\ -\omega J_y \\ -\omega J_{zy} \end{bmatrix} = \begin{bmatrix} -\omega^2 J_{zy} \\ 0 \\ \omega^2 J_{xy} \end{bmatrix}. \quad (7)$$

unde:

$$\begin{bmatrix} -\omega^2 J_{zy} \\ 0 \\ \omega^2 J_{xy} \end{bmatrix} \rightarrow \begin{bmatrix} 0 \\ 0 \\ \omega^2 J_{xy} \end{bmatrix};$$

$$J_{xy} = \int xy dm = \int xy \frac{G}{g} \cdot \frac{1}{ab} dA = \frac{G}{g} \cdot \frac{1}{ab} (\int xy^2 dx), \quad (8)$$

iar

$$dm = \rho \cdot dA = \frac{M}{A} dA = \frac{G}{g} \cdot \frac{1}{ab} (y dx). \quad (9)$$

Din asemănarea $\triangle MNO$ și $\triangle ACO$ rezultă:

$$\frac{y}{b} = \frac{x}{a} \rightarrow y = \frac{x \cdot b}{a}. \quad (10)$$

Înlocuind (10) în (8), se obține:

$$J_{xy} = \frac{G}{g} \cdot \frac{1}{ab} \int_0^a x \cdot x^2 \cdot \left(\frac{b}{a}\right)^2 dx = \frac{G}{g} \cdot \frac{ab}{4}. \quad (11)$$

Înlocuind (11) în (7) și ținând cont de (6), rezultă:

$$O: \omega^2 J_{xy} = -G \frac{a}{2} - V_c \frac{a}{2} - H_c b$$

$$C: \omega^2 J_{\Delta c} = -V_c \frac{a}{2} - H_c \frac{b}{2} - V_o \frac{a}{2} + H_o \frac{b}{2}. \quad (12)$$

Utilizând *teorema lui Steiner*, se poate scrie:

$$J_{\Delta c} = J_{xy} + M \left(\frac{a}{2}\right) \left(\frac{b}{2}\right) = \frac{G}{g} \frac{ab}{2}; \quad (13)$$

Înlocuind (11) și (13) în (12), se obțin relațiile:

$$O: \omega^2 \left(\frac{G}{g} \cdot \frac{ab}{4}\right) = -G \frac{a}{2} - V_c \frac{a}{2} - H_c b.$$

$$C: \omega^2 \left(\frac{c}{g} \cdot \frac{ab}{2} \right) = -V_c \frac{a}{2} - H_c \frac{b}{2} - V_o \frac{a}{2} + H_o \frac{b}{2}. \quad (14)$$

Din ecuațiile (3), (4) și (13), rezolvând sistemul de patru ecuații cu necunoscutele H_o, V_o, H_c, V_c , rezultă reacțiunile dinamice din punctele O și C cerute de problemă și date de relația (5).

17.7.3. Se consideră un sistem mecanic format din următoarele corpuri din figura 17.9 [11]: un disc drept, omogen, de raza R și greutate \overline{G} , articulat cilindric în punctul O notat cu (1); un alt disc drept, omogen, de raza R și greutate \overline{G} notat cu (2) și o prismă de greutate \overline{G} suspendată în centrul maselor C al discului (2) notată cu (3). Între cele două discuri legătura este asigurată printr-un fir flexibil, inextensibil și de masă neglijabilă. Inițial, întreg sistemul se află în repaus. Asupra discului (1) acționează un moment motor $\overline{M}_0 = ct.$ în sensul dat în figură. Neglijând frecările, se cere să se determine accelerația prisme (3) și tensiunile din fire.

Soluție:

Determinarea parametrilor cinematici la discurile 1 și 2.

Discul 1- execută mișcare de rotație:

$$v_1 = \omega_1 R \rightarrow \omega_1 = \frac{v_1}{R} = \frac{2\dot{y}}{R} \rightarrow \varepsilon_1 = \frac{2\ddot{y}}{R}. \quad (1)$$

Discul 2 execută o mișcare plan-paralelă:

$$v_2 = \omega_2 R \rightarrow \omega_2 = \frac{v_2}{R} = \frac{2\dot{y}}{R} \rightarrow \varepsilon_2 = \frac{2\ddot{y}}{R}. \quad (2)$$

Izolând fiecare corp din sistem, se introduc forțele exterioare, de legătură și interioare corespunzătoare (fig.17.10).

Se observă la discul (2) că:

$$\frac{v_2}{v_1} = \frac{R}{2R} \rightarrow v_1 = 2v_2. \quad (3)$$

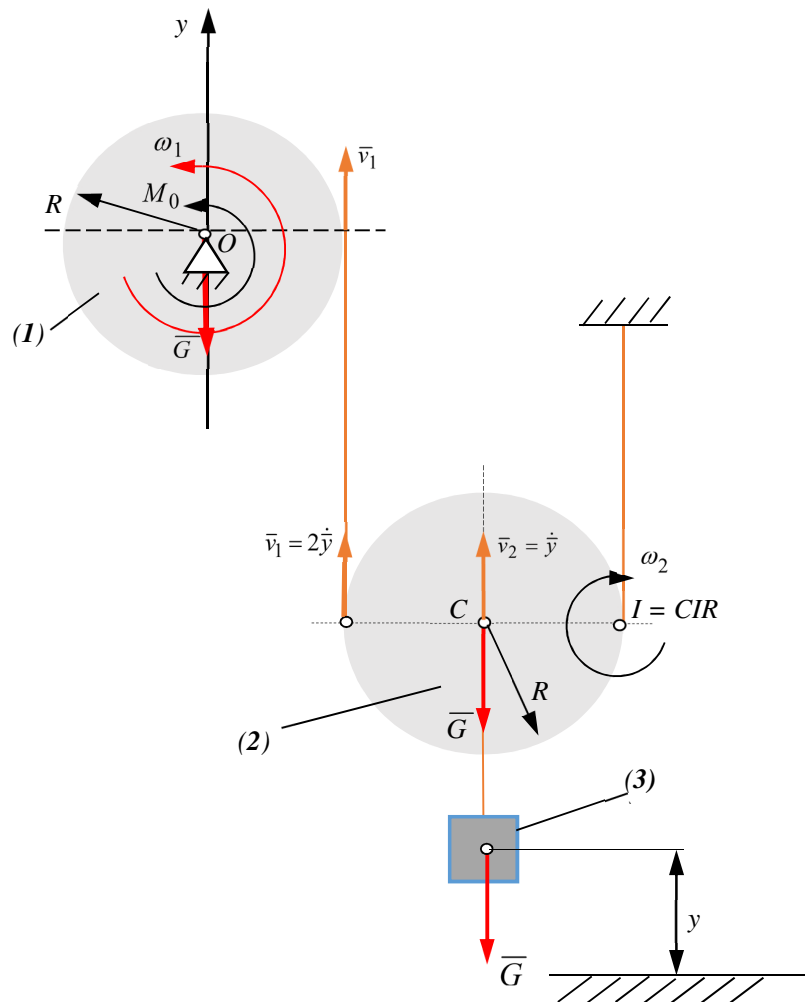


Fig. 17.9

Pentru rezolvarea cerințelor se apelează la teoremele fundamentale ale dinamicii. Se aplică întâi, *teorema mișcării centrului maselor* din care rezultă tensiunea S_2 a firului în funcție de accelerația cerută, astfel pentru *discul (1)* se obțin ecuațiile:

$$M\bar{a}_c = \bar{R}$$

$$\frac{G}{g}\ddot{y} = S_2 - G \rightarrow S_2 = \frac{G}{g}\ddot{y} + G . \quad (4)$$

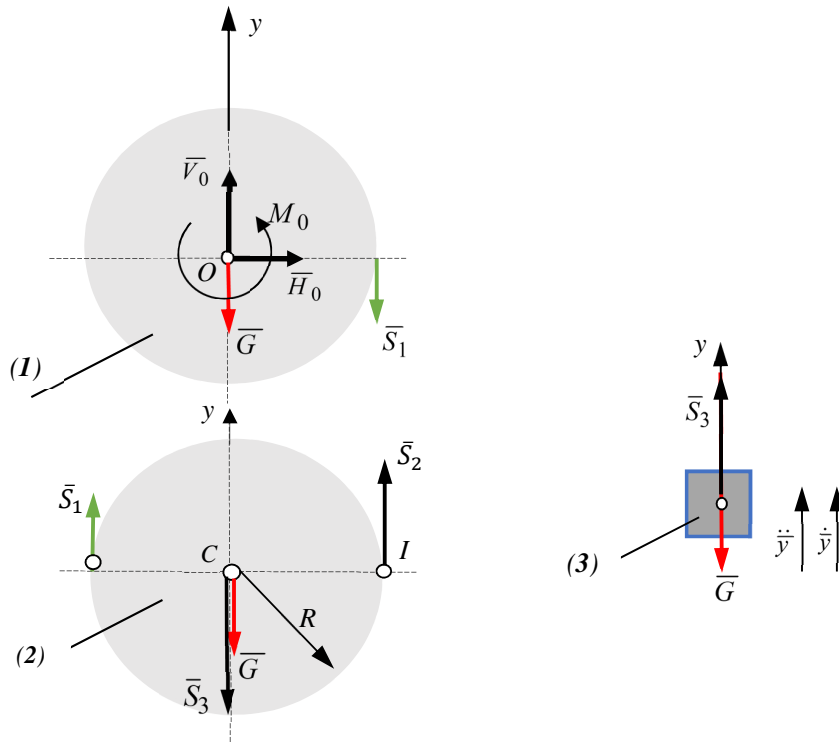


Fig. 17.10

Pentru discul 2 - Se aplică teorema momentului cinetic în raport cu CIR:

$$\dot{K}_{\Delta I} = M_{\Delta I}, \quad (5)$$

în care:

$$\dot{K}_{\Delta I} = J_{\Delta I} \varepsilon_2, \quad (6)$$

iar

$$M_{\Delta I} = S_1 2R - S_3 R - GR . \quad (7)$$

unde:

$$J_{\Delta I} = J_{\Delta C} + Ml^2, \text{ conform Teoremei lui Steiner.}$$

Astfel (7) devine:

$$J_{\Delta I} \varepsilon_2 = 2S_1 R - S_3 R - GR, \quad (8)$$

relație în care $J_{\Delta I}$ are expresia:

$$J_{\Delta I} = \frac{MR^2}{2} + MR^2 = \frac{3GR^2}{2g}. \quad (9)$$

Înlocuind în (8) pe (9), se obține:

$$2S_1 R - S_3 R - GR = \frac{3GR^2}{2g} \frac{\ddot{y}}{R}. \quad (10)$$

- Se aplică *teorema momentului cinetic* în raport cu axa Oz :

$$\dot{K}_z = M_z, \quad (11)$$

în care

$$\dot{K}_z = J_z \varepsilon_1, \quad (12)$$

$$M_z = M_0 - S_1 R. \quad (13)$$

Astfel (13) devine:

$$O: \frac{MR^2}{2} \frac{2\ddot{y}}{R} = M_0 - S_1 R, \\ \frac{GR}{g} \frac{\ddot{y}}{R} = M_0 - S_1 R. \quad (14)$$

Pentru corpul (3) – se poate scrie teorema mișcării centrului maselor, din care rezultă tensiune S_3 a firului în funcție de accelerația cerută:

$$m\ddot{y} = S_3 - G; \quad \frac{G}{g}\ddot{y} = S_3 - G; \\ S_3 = G + \frac{G}{g}\ddot{y}, \quad (15)$$

astfel că (10), devine:

$$2S_1 R - \left(G + \frac{G}{g}\ddot{y}\right) R - GR = \frac{3GR^2}{2g} \frac{\ddot{y}}{R}, \quad (16)$$

de unde:

$$S_1 = G + \frac{G}{2g}\ddot{y} + \frac{3G}{4g}\ddot{y}. \quad (17)$$

Din relațiile (14) și (16) rezultă accelerația corpului (3):

$$\ddot{y} = \frac{4g(M_0 - GR)}{9GR}. \quad (18)$$

Dacă $\ddot{y} \geq 0$ – corpul urcă, respectiv $M_0 \geq GR$.

17.7.4. Sistemul mecanic din figura 17.11 (inițial în repaus) este format din următoarele corpuri: o prismă de greutate \bar{P} , un disc de rază R , omogen și de greutate \bar{Q} , articulat cilindric în centrul maselor O și o bară AB , omogenă de lungime $2l$ și greutate \bar{G} ale cărei capete AB se deplasează fără frecare pe două ghidaje fixe și perpendicular [11]. Legătura dintre corpuri este realizată printr-un fir flexibil și inextensibil. Se cere viteza prismei \bar{P} la coborâre.

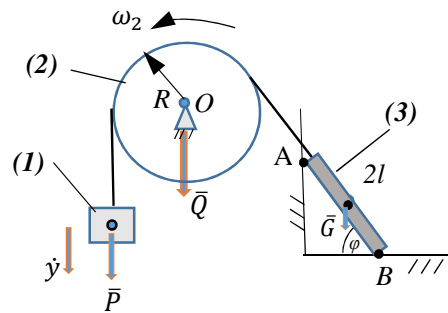


Fig. 17.11

Soluție:

La momentul inițial sistemul se află în repaus ($\varphi = \varphi_0$). Bara AB execută o mișcare plan-paralelă, astfel:

$$\begin{aligned} \dot{y} &= \omega_2 R \\ \dot{y} &= \omega_3 IB = \omega_3 2l \cos \varphi \end{aligned} \quad (1)$$

Pentru rezolvare se va aplica *teorema energiei cinetice*:

$$E_{C2} - E_{C1} = L_{1-2}. \quad (2)$$

$$E_{C1} = 0 \quad (\text{sistemul inițial se află în repaus})$$

$$E_{C2} = E_{Ccorp1} + E_{Ccorp2} + E_{Ccorp3} = \frac{1}{2} \frac{P}{g} \dot{y}^2 + \frac{1}{2} \frac{QR^2}{2g R^2} \dot{y}^2 + \frac{1}{2} \left(G \frac{4l^2}{12g} + \frac{Gl^2}{g} \right) \frac{\dot{y}^2}{4l^2 \cos^2 \varphi} \quad (3)$$

unde:

$$E_c = \frac{1}{2} m v^2 + \frac{1}{2} J \omega^2$$

$$\dot{y} = \omega R \rightarrow \omega = \frac{\dot{y}}{R}$$

$$J_{disc} = \frac{MR^2}{2}.$$

Lucrul mecanic este:

$$L_{1-2} = P \cdot 2l(\sin\varphi - \sin\varphi_0) - Gl(\sin\varphi - \sin\varphi_0) \quad (4)$$

Având în vedere (3) și (4), din relația (2) se obține viteza prisme (3), astfel:

$$\dot{y}^2 = \frac{(2Pl - Gl)(\sin\varphi - \sin\varphi_0)}{\frac{P}{2g} + \frac{Q}{4g} + \frac{G}{6g \cos^2 \varphi}} \quad (5)$$

$$v_y = \dot{y} = \sqrt{\frac{(2Pl - Gl)(\sin\varphi - \sin\varphi_0)}{\frac{P}{2g} + \frac{Q}{4g} + \frac{G}{6g \cos^2 \varphi}}} \quad (6)$$

18. MECANICA ANALITICĂ ^[5]

18.1 Generalități

Mecanica analitică este cea mai complexă parte a mecanicii din punct de vedere matematic, ea utilizând mult calculul diferențial și integral. *Leibniz* și *Newton* sunt considerați primii cercetători ai calculului diferențial și integral care au exprimat matematic legile de mișcare ale punctului material, ale sistemelor de puncte materiale și ale solidelor rigide, apărând astfel o nouă ramură a mecanicii teoretice numită **mecanică analitică**.

Ideile lui *Newton* au fost preluate mai târziu și dezvoltate de *Daniel Bernoulli*, *Leonhard Euler*, *Jean le Rond d'Alembert*, care este și autorul principiului care îi poartă numele (*principiul lui D'Alembert*). De asemenea, o contribuție importantă a avut în dezvoltarea mecanicii analitice și *Joseph-Louis Lagrange*, care a dat o altă formă ecuațiilor diferențiale ale mișcării. De asemenea și *Pierre-Simon Laplace* își aduce aportul în mecanica analitică prin contribuțiile sale substanțiale în mecanica cerească.

Altfel spus, toate aceste contribuții conduc la apariția mecanicii analitice sau lagrangiene, care este o aprofundare a mecanicii newtoniene inițiată în anul 1788 de matematicianul *Joseph Louis Lagrange*.

Se poate spune că *Mecanica analitică* își propune să stabilească metode directe de determinare a ecuațiilor de mișcare în care să nu apară forțele de legătură și să exprime acest sistem de ecuații sub forma generală (forma canonică), oricare ar fi problema de mecanică studiată.

De menționat că în *Mecanica analitică*, legăturile se consideră ideale. Rezolvarea problemelor prin metodele **mecanicii analitice** se bazează pe următoarele **principii**:

- a. *principii diferențiale* cum ar fi *principiul lui D'Alembert*, *principiul lucrului mecanic virtual*, *principiul lui Gauss* sau a celei mai mici constrângeri;
- b. *principii integrale* sau *variaționale* cum ar fi *principiul lui Hamilton*, *principiul lui Maupertuis* sau *principiul minimei acțiuni*.

Câteva din aceste principii se vor studia în cele ce urmează, începând cu definiția unui grad de libertate și a unei legături.

Numărul gradelor de libertate ale unui sistem de solide rigide sau ale unui rigid este dat de numărul parametrilor geometrici independenți (distanțe, unghiuri) care determină univoc, la un moment dat, poziția lor. Parametri geometrici independenți având “*n*” grade de libertate și care determină poziția se mai numesc *coordonate generalizate*, ale căror derivate în raport cu timpul se numesc *viteze și accelerații generalizate*.

18.1.1 Legături

Legătura – reprezintă o constrângere geometrică sau fizică a poziției punctelor materiale ce alcătuiesc sistemul. Aceste restricții pot fi exprimate analitic sub forma unor relații, fie între *deplasări finite* (coordonate), fie între *deplasări infinitezimale* (diferențialele coordonatelor).

Exemple: 1. Condiția ca un punct material să rămână pe o *suprafață* este:

$$\begin{cases} f(x, y, z) = 0 \\ \frac{\partial f}{\partial x} dx + \frac{\partial f}{\partial y} dy + \frac{\partial f}{\partial z} dz = 0 \text{ restricții privind coordonatele punctului material (18.1)} \\ \nabla f \cdot d\vec{r} = 0 \end{cases}$$

$$P(x, y, z)dx + R(x, y, z)dy + Q(x, y, z)dz = 0 \quad (18.2)$$

Pentru ca să fie integrabilă, relația (18.2), trebuie satisfăcute relațiile lui Cauchy, scrise astfel:

$$\frac{\partial P}{\partial y} = \frac{\partial Q}{\partial x}; \quad \frac{\partial Q}{\partial z} = \frac{\partial R}{\partial y}; \quad \frac{\partial R}{\partial x} = \frac{\partial P}{\partial z} \quad (18.3)$$

Din relațiile (18.1) – (18.3) rezultă:

$$P = \frac{\partial f}{\partial x}; \quad Q = \frac{\partial f}{\partial y}; \quad R = \frac{\partial f}{\partial z}. \quad (18.4)$$

În cazul unui sistem de puncte materiale, legăturile se exprimă prin “ p ” relații diferențiale de forma:

$$\begin{aligned} \alpha_{11}dx_1 + \alpha_{12}dy_1 + \alpha_{13}dz_1 + \dots + \alpha_{1,3n-2}dx_n + \alpha_{1,3n-1}dy_n + \alpha_{1,3n}dz_n &= 0 \\ \alpha_{21}dx_1 + \alpha_{22}dy_1 + \alpha_{23}dz_1 + \dots + \alpha_{2,3n-2}dx_n + \alpha_{2,3n-1}dy_n + \alpha_{2,3n}dz_n &= 0 \\ &\vdots \\ \alpha_{p1}dx_1 + \alpha_{p2}dy_1 + \alpha_{p3}dz_1 + \dots + \alpha_{p,3n-2}dx_n + \alpha_{p,3n-1}dy_n + \alpha_{p,3n}dz_n &= 0, \end{aligned} \quad (18.5)$$

unde: $a_{ij} = a_{ij}(x_1, y_1, z_1, \dots, x_n, y_n, z_n)$; $i = 1 \div p$; $j = 1 \div 3n$; $p \leq 3n$.

Pentru ca sistemul (18.5) să fie independent, rangul matricei coeficienților deplasărilor infinitezimale trebuie să fie egal cu p , respectiv să existe cel puțin un determinant cu p - linii și p - coloane, diferit de zero.

$$\begin{vmatrix} a_{11} & a_{12} & \dots & a_{13,n} \\ a_{21} & a_{22} & \dots & a_{23,n} \\ \vdots & \vdots & & \vdots \\ a_{p1} & a_{p2} & \dots & a_{p3,n} \end{vmatrix} = \text{rang } p \neq 0 \quad (18.6)$$

Clasificarea legăturilor:

1. **Din punct de vedere analitic:**

a) Legături olonome – în acest caz cele p ecuații ale sistemului (18.5) sunt independente și integrabile. Numărul gradelor de libertate în deplasări finite este egal cu numărul gradelor de libertate în deplasări infinitezimale ($h = 3n - p$), cu alte cuvinte sunt legăturile care impun restricții pozițiilor și nu vitezelor. Aceste legături sunt de forma:

$$f_i(x_1, y_1, z_1 \dots x_n, y_n, z_n) = 0, \quad \text{unde } i = 1 \div p. \quad (18.6a)$$

b) Legături neolonome – în acest caz, toate sau o parte din cele p ecuații ale sistemului (18.5) sunt neintegrabile. Se propune $k < p$ relații integrabile, rezultând $p - k$ relații neintegrabile. Numărul gradelor de libertate în deplasări finite este $h' = 3n - k$, iar în deplasări infinitezimale numărul gradelor de libertate este $k < p$, $h'' = 3n - p$, de unde rezultă că $h' > h''$. Astfel că în deplasări neolonome, numărul gradelor de libertate în deplasări finite h' este mai mare decât în deplasări infinitezimale h'' , respectiv sunt legături care impun restricții și pozițiilor și vitezelor rigidului, adică sunt de forma:

$$f(x, y, z, \dot{x}, \dot{y}, \dot{z}) = 0. \quad (18.6b)$$

c) Legături critice – când numărul gradelor de libertate în deplasări finite este mai mic decât în deplasări infinitezimale. Se propun p relații independente, ca urmare, numărul gradelor de libertate în deplasări finite este $h' = 3n - p$. Dacă rangul matricei este $k < p$, atunci numărul gradelor de libertate în deplasări infinitezimale este $h'' = 3n - k$; de unde rezultă $h'' > h'$.

2. Din punct de vedere a dependenței de timp:

a) Legături scleronome – sunt cele în expresia cărora timpul nu apare explicit, în cazul în care legătura nu își schimbă caracteristica geometrică sau cinematică, fiind fixă și nedeformabilă:

$$f(x, y, z) = 0.$$

b) Legături reonome – sunt cele în expresia cărora timpul apare explicit, adică legătura variază în timp după o anumită lege, independentă de forțele care acționează asupra rigidului:

$$f(x, y, z, t) = 0.$$

Se poate spune că în funcție de dependența de timp, legăturile se clasifică în **legături scleronome** (independente de timp) și **legături reonome** (dependente de timp).

În cele ce urmează se vor specifica câteva exemple de legături din cele explicitate anterior astfel:

- Legătură olonomă și scleronomă:

$$x^2 + y^2 + z^2 - r^2 = 0 ;$$

- Legătură olonomă și reonomă:

$$(x - at)^2 + (y - at)^2 + (z - at)^2 - (r - at)^2 = 0 .$$

- Legătură neolonomă și scleronomă:

$$P(x, y, z, dt)dx + R(x, y, z, dt)dy + Q(x, y, z, dt)dz + T(x, y, z, dt)dt = 0 .$$

Sistemul (18.5) în cazul legăturilor reonome devine:

$$\begin{aligned} a_{ij} &= a_{ij}(x_1, y_1, z_1, \dots, x_n, y_n, z_n, t); & i = \overline{1, p}; & j = \overline{1, 3n}; & p \leq 3n \\ b_i &= b_i(x_1, y_1, z_1, \dots, x_n, y_n, z_n, t); \end{aligned} \quad (18.7)$$

18.2 Principiul lui D'Alembert

18.2.1 Forța de inerție. Torsorul forțelor de inerție

Se consideră un factor motor care acționează ca o forță exterioară \vec{F} , asupra unui punct material M , de masă m , astfel că sub acțiunea forței, punctul se mișcă cu accelerația \vec{a} . Conform cu principiul acțiunii și reacțiunii, forței \vec{F} i se opune o reacțiune egală și de sens contrar notată cu $(-m\vec{a})$. Această reacțiune se va numi *forță de inerție*.

Se numește *forță de inerție* notată \vec{F}_j , o forță egală cu produsul dintre masa și accelerația punctului luată cu semn schimbat:

$$\bar{F}_j = -m\bar{a} . \quad (18.8)$$

Forța de inerție nu acționează asupra punctului, ci asupra factorului motor. Forța \bar{F} și forța de inerție \bar{F}_j au același suport de acțiune. Ele nu se anulează reciproc, deoarece nu sunt aplicate aceluiași corp.

Pentru studiu, se consideră sistemul de puncte materiale din figura 18.1 format din “n” puncte materiale de mase m_i , $i = 1 \div n$, aflate în mișcare sub acțiunea unui sistem de forțe exterioare \bar{F}_i^{ext} , $i = 1 \div n$ și de legătură. Conform principiului al doilea al dinamicii, pentru fiecare punct al sistemului se poate scrie o relație de forma:

$$\bar{F}_i^{ext} + \bar{F}_i^{int} = m_i \bar{a}_i. \quad (18.9)$$

Notând $\bar{F}_{ji} = -m_i \bar{a}_i$ ca forță de inerție, relația (18.9) devine:

$$\bar{F}_i^{ext} + \bar{F}_i^{int} - m_i \bar{a}_i = 0 . \quad (18.10)$$

Torsorul de reducere al forțelor de inerție, notat cu $\bar{t}_{j0}(\bar{R}_j, \bar{M}_{j0})$, are următoarele elemente:

- vectorul rezultatant:
$$\bar{R}_j = \sum_{i=1}^n \bar{F}_{ij} = \sum_{i=1}^n (-m_i \bar{a}_i); \quad (18.11)$$

- momentul rezultatant:
$$\bar{M}_{j0} = \sum_{i=1}^n \bar{r}_i \times \bar{F}_{ij} = \sum_{i=1}^n \bar{r}_i \times (-m_i \bar{a}_i).$$

Înlocuind $\bar{a}_i = \frac{d\bar{v}_i}{dt}$ în prima relație (18.11), se obține:

$$\bar{R}_j = -\sum_{i=1}^n m_i \frac{d\bar{v}_i}{dt} = -\frac{d}{dt} \sum_{i=1}^n m_i \bar{v}_i = -\frac{d}{dt} \sum_{i=1}^n \bar{P}_i = -\dot{\bar{P}} = -M\bar{a}_c. \quad (18.12)$$

Din relația (18.12) rezultă că *vectorul rezultatant al forțelor de inerție, în cazul unui sistem de puncte materiale, este egal cu derivata în raport cu timpul a impulsului total al sistemului luată cu semnul minus.*

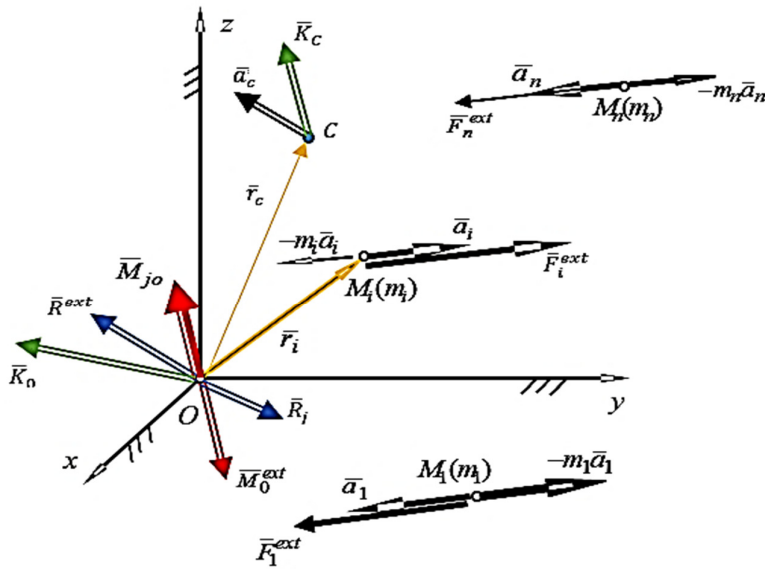


Fig. 18.1

Înlocuind \bar{a}_i în a doua relație (18.11), se obține:

$$\bar{M}_{j0} = \sum_{i=1}^n \bar{r}_i \times \left(-m_i \frac{d\bar{v}_i}{dt} \right) = -\frac{d}{dt} \sum_{i=1}^n \bar{r}_i \times m_i \bar{v}_i = -\frac{d}{dt} \sum_{i=1}^n \bar{K}_{0i} = -\dot{\bar{K}}_0. \quad (18.13)$$

Relația (18.13) arată că *vectorul moment rezultat al forțelor de inerție, în cazul unui sistem de puncte materiale, este egal cu derivata în raport cu timpul a vectorului moment cinetic în raport cu același pol O, luată cu semnul minus.*

Relația (18.13) se aplică și în cazul în care raportarea se face la centrul de masă al sistemului de puncte materiale, adică:

$$\bar{M}_{jC} = -\dot{\bar{K}}_C. \quad (18.14)$$

18.2.2 Principiul lui D'Alembert. Metoda cineto-statică

Se consideră un sistem de puncte materiale M_i de mase m_i (fig. 18.1). Se va demonstra principiul lui D'Alembert pornind de la relația (18.10) și anume:

$$\bar{F}_i^{ext} + \bar{F}_i^{int} - m_i \bar{a}_i = 0 ,$$

$$\sum_{i=1}^n \bar{F}_i^{ext} + \sum_{i=1}^n \bar{F}_i^{int} + \sum_{i=1}^n (-m_i \bar{a}_i) = 0 . \quad (18.15)$$

Relația (18.15) devine, ținând cont că:

$$\bar{R}^{ext} = \sum_{i=1}^n \bar{F}_i^{ext}; \quad \sum_{i=1}^n \bar{F}_i^{int} = 0; \quad \bar{R}_j = \sum_{i=1}^n (-m_i \bar{a}_i);$$

$$\bar{R}^{ext} + \bar{R}_j = 0 . \quad (18.16)$$

Înmulțind relația (18.16) cu vectorul de poziție \bar{r}_i , se obține:

$$\sum_{i=1}^n \bar{r}_i \times \bar{F}_i^{ext} + \sum_{i=1}^n \bar{r}_i \times \bar{F}_i^{int} + \sum_{i=1}^n \bar{r}_i \times (-m_i \bar{a}_i) = 0 , \quad (18.17)$$

$$\bar{M}_0^{ext} + \bar{M}_{j0} = 0 . \quad (18.18)$$

deoarece $\sum_{i=1}^n \bar{r}_i \times \bar{F}_i^{int} = 0$, forțele interioare fiind perechi de două câte două, egale și de sens contrar, plasate pe același suport. În relațiile (18.16) și (18.18) se fac precizările:

\bar{R}^{ext}, \bar{R}_j - sunt vectorii rezultanți ai forțelor exterioare și ai forțelor de inerție;

$\bar{M}_0^{ext}, \bar{M}_{j0}$ - sunt vectorii moment rezultat ai forțelor exterioare și de inerție.

Relațiile (18.16) și (18.18) reprezintă *ecuațiile dinamice de echilibru fictiv* sau de *echilibru cineto-static* și reprezintă *principiul lui D'Alembert*, exprimat astfel:

Un sistem de puncte materiale sau un solid rigid aflat în mișcare, se află în orice moment în echilibru dinamic fictiv sub acțiunea forțelor

exterioare date, a forțelor de legătură aferente legăturilor sistemului, precum și a forțelor de inerție.

Spus altfel,

- În cazul unui sistem de puncte materiale sau solid rigid în mișcare, **torsorul forțelor exterioare și de legătură echilibrează torsorul forțelor de inerție.**

Dacă punctul O devine centrul maselor, în conformitate cu (18.18) se poate scrie:

$$\bar{M}_C^{ext} + \bar{M}_{jC} = 0, \quad (18.18a)$$

relație în care:

- \bar{M}_C^{ext} este vectorul moment rezultat al forțelor exterioare raportat la C (centrul de masă);
- \bar{M}_{jC} este vectorul moment rezultat al forțelor de inerție.

Metoda cineto-statică reduce problema de dinamică la o problemă de statică în rezolvarea căreia se parcurg următoarele etape:

- se determină relațiile dintre parametri cinematici de ordinul I și II (viteze și accelerații) a corpului studiat;
- se separă corpurile suprimând legăturile interioare și exterioare;
- se introduc forțele / momentele de legătură;
- se introduc forțele / momentele de inerție;
- se scriu ecuațiile de echilibru dinamic fictiv pentru fiecare corp separat din sistem;
- se rezolvă sistemul de ecuații diferențiale din care rezultă necunoscutele (accelerații și forțe de legătură).

18.3 Principiul lucrului mecanic virtual

Principiul deplasărilor virtuale - reprezintă o metodă generală de rezolvare a problemelor de dinamică cu ajutorul deplasărilor virtuale și a lucrului mecanic virtual. Acest principiu nu ia în considerare forțele de legătură.

La început acestui capitol, se definesc noțiunile de deplasare elementară virtuală și lucrul mecanic virtual.

Deplasarea elementară virtuală sau **deplasare virtuală** – este deplasarea unui punct dintr-o poziție M , într-o poziție infinit apropiată (M_I), deplasare presupusă, dar neexecută. Deplasarea elementară virtuală se notează cu $\delta\vec{r}$ (fig.18.2).

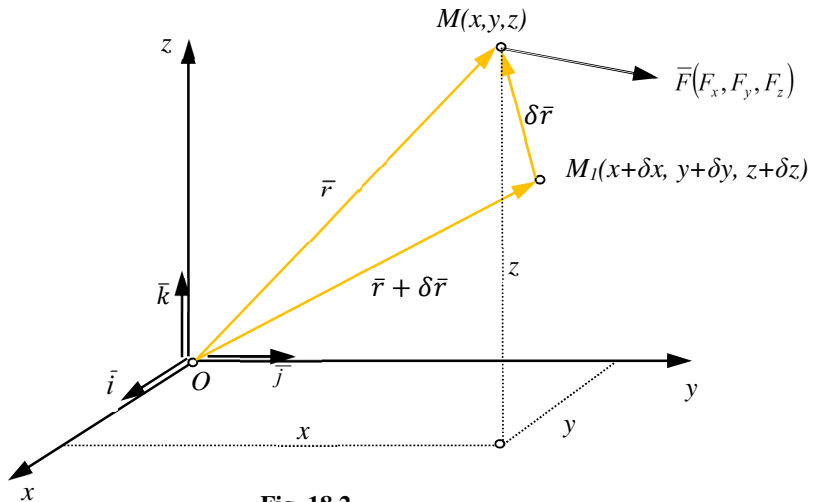


Fig. 18.2

Dacă în urma deplasării, legăturile punctului se distrug, *deplasarea se numește incompatibilă cu legăturile*, iar dacă acestea rămân intacte, deplasarea se numește *compatibilă cu legăturile*.

De exemplu, în cazul unui **punct obligat să rămână pe o suprafață** orice deplasare în planul tangent este compatibilă cu legăturile, iar toate deplasările care nu sunt în acest plan sunt incompatibile cu legăturile.

Într-un sistem de referință cartezian vectorul de poziție este dat de:

$$\vec{r} = \vec{r}(x, y, z, t), \quad (18.18b)$$

iar *deplasarea virtuală* este notată cu:

$$\delta\vec{r} = \delta x\vec{i} + \delta y\vec{j} + \delta z\vec{k}. \quad (18.18c)$$

Fiind explicitată noțiunea de deplasare elementară virtuală, se poate defini noțiunea de lucru mecanic virtual.

Lucrul mecanic virtual al unei forțe este produsul scalar dintre forța \vec{F} și deplasarea virtuală $\delta\vec{r}$. Lucrul mecanic virtual se notează cu δL și are expresia:

$$\delta L = \vec{F} \delta\vec{r} = F_x \delta x + F_y \delta y + F_z \delta z . \quad (18.19)$$

Pentru studiul lucrului mecanic virtual se consideră un sistem de puncte materiale M_i de mase m_i , sistem supus la legături și care se află în mișcare sub acțiunea unui sistem de forțe exterioare \vec{F}_i , $i = 1 \div n$ care îi imprimă acestuia o accelerație \vec{a}_i (fig.18.3).

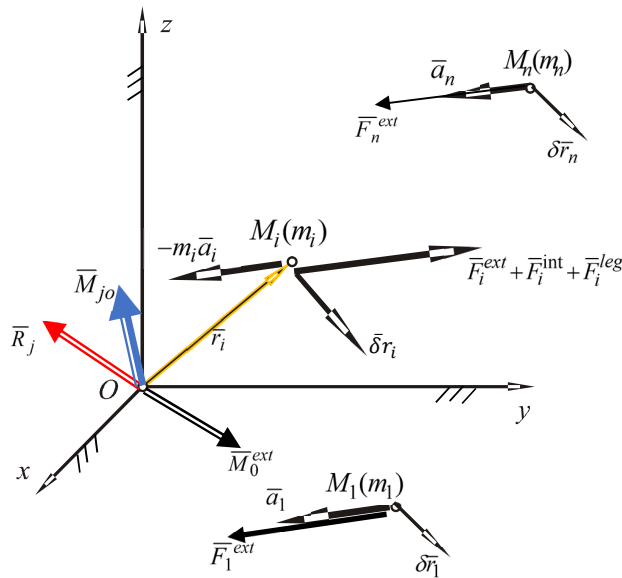


Fig. 18.3

Conform principiului al II-lea al dinamicii punctului, pentru fiecare punct al sistemului material se poate scrie o relație de forma:

$$m_i \vec{a}_i = \vec{F}_i^{ext} + \vec{F}_i^{int} + \vec{F}_i^{leg} . \quad (18.20)$$

În această relație,

\bar{F}_i^{ext} - reprezintă forța exterioară dată;

\bar{F}_i^{int} - reprezintă forța interioară rezultată din interacțiunea punctului M_i cu celelalte $n-1$ puncte ale sistemului;

\bar{F}_i^{leg} - reprezintă forța de legătură exterioară rezultată prin suprimarea legăturii (legăturilor) exterioare ale punctului M_i .

Scrisă astfel, relația (18.20) devine:

$$\bar{F}_i^{ext} + \bar{F}_i^{int} + \bar{F}_i^{leg} - m_i \bar{a}_i = 0. \quad (18.21)$$

Dacă se consideră o deplasare virtuală $\delta \bar{r}_i$ și relația (18.21) va fi înmulțită scalar cu aceasta, va rezulta:

$$\bar{F}_i^{ext} \cdot \delta \bar{r}_i + \bar{F}_i^{int} \cdot \delta \bar{r}_i + \bar{F}_i^{leg} \cdot \delta \bar{r}_i - (m_i \bar{a}_i) \cdot \delta \bar{r}_i = 0. \quad (18.22)$$

Aplicând relația (18.22) la toate punctele sistemului și însumând relațiile obținute, se ajunge la:

$$\delta L = \sum_{i=1}^n \bar{F}_i^{ext} \cdot \delta \bar{r}_i + \sum_{i=1}^n \bar{F}_i^{int} \cdot \delta \bar{r}_i + \sum_{i=1}^n \bar{F}_i^{leg} \cdot \delta \bar{r}_i + \sum_{i=1}^n (-m_i \bar{a}_i) \cdot \delta \bar{r}_i = 0. \quad (18.23)$$

Relația (18.23) exprimă **principiul deplasărilor virtuale** sau **principiul lucrului mecanic virtual** pentru un sistem de puncte materiale aflate în mișcare.

În cazul unui sistem de puncte materiale aflat în mișcare și supus la legături, suma lucrurilor mecanice virtuale ale forțelor exterioare date, ale forțelor de legătură interioare și exterioare și ale forțelor de inerție, este nulă pentru orice deplasare virtuală compatibilă sau incompatibilă cu legăturile.

În studiul lucrului mecanic virtual privind un solid rigid, $\sum_{i=1}^n \bar{F}_i^{int} \cdot \delta \bar{r}_i = 0$, conform relației (16.19) aplicată solidului rigid.

Astfel, în cazul solidului rigid relația (18.23) devine:

$$\delta L = \sum_{i=1}^n \bar{F}_i^{ext} \cdot \delta \bar{r}_i + \sum_{i=1}^n \bar{F}_i^{leg} \cdot \delta \bar{r}_i + \sum_{i=1}^n (-m_i \bar{a}_i) \cdot \delta \bar{r}_i = 0. \quad (18.24)$$

Dacă corpul este supus la *legături ideale*, $\sum_{i=1}^n \bar{F}_i^{leg} \cdot \delta \bar{r}_i = 0$, astfel că relația (18.24) devine:

$$\delta L = \sum_{i=1}^n \bar{F}_i^{ext} \cdot \delta \bar{r}_i + \sum_{i=1}^n (-m_i \bar{a}_i) \cdot \delta \bar{r}_i = 0. \quad (18.25)$$

Relația (18.25) exprimă *forma dinamică a principiului deplasărilor virtuale*, conform căreia, în cazul mișcării unui rigid supus la legături ideale, lucrul mecanic virtual elementar corespunzător forțelor exterioare, de inerție și unor deplasări elementare virtuale compatibile cu legăturile rigidului este nul. Principiul deplasărilor virtuale exprimat de relația (18.25) se aplică la rezolvarea problemelor de dinamica sistemelor.

Dacă sistemul de puncte materiale este supus la legături ideale și se află în repaus ($\bar{a}_i=0$) și, respectiv, lucrul mecanic virtual al forțelor interioare este nul, se obține:

$$\delta L = \sum_{i=1}^n \bar{F}_i^{ext} \cdot \delta \bar{r}_i = 0 \quad . \quad (18.26)$$

Relația (18.26) exprimă *principiul deplasărilor virtuale “sub formă statică”*, aplicat problemelor de statica sistemelor.

Astfel, în cazul unui sistem de puncte materiale aflat în echilibru, supus la legături ideale, suma lucrurilor mecanice virtuale ale forțelor interioare și ale forțelor exterioare date și de legătură este nulă, pentru orice deplasare virtuală $\delta \bar{r}_i$ compatibilă cu legătura.

Avantajul rezolvării problemelor utilizând principiul lucrului mecanic virtual este că se elimină din studiu, forțele de legătură.

18.4 Ecuațiile lui Lagrange

Metodele general aplicate sistemelor de puncte materiale, solidului rigid sau sistemelor de rigide *nesupuse frecărilor*, sunt cele care folosesc *ecuațiile lui Lagrange*.

18.4.1 Ecuațiile lui Lagrange de speța I

Se consideră un sistem de puncte materiale M_i de mase m_i , aflat în mișcare sub acțiunea unui sistem de forțe exterioare \bar{F}_i , $i = 1 \div n$ și supus la legături olonome fără frecare. Sistemul material la un moment (t) este definit de h parametri geometrici independenți, numiți *coordonate generalizate* ($q_1, q_2, q_3, \dots, q_k, \dots, q_h$).

Vitezele și accelerațiile se exprimă în funcție de aceste coordonate generalizate și se vor numi *viteze și accelerații generalizate*:

$$(\dot{q}_1, \dot{q}_2, \dot{q}_3, \dots, \dot{q}_k, \dots, \dot{q}_h); \quad (\ddot{q}_1, \ddot{q}_2, \ddot{q}_3, \dots, \ddot{q}_k, \dots, \ddot{q}_h) \quad (18.27)$$

Se dorește să se determine *ecuațiile diferențiale ale mișcării sistemului de puncte materiale*.

Vectorul de poziție al punctului M_i este \bar{r}_i și depinde de coordonatele generalizate q_k , $k = 1 \div h$, iar în cazul legăturilor reonome depinde și de timpul (t):

$$\bar{r}_i = \bar{r}_i(q_1, q_2, q_3, \dots, q_k, \dots, q_h, t). \quad (18.28)$$

Deplasarea virtuală $\delta\bar{r}_i$ compatibilă cu legătura punctului M_i , este:

$$\delta\bar{r}_i = \frac{\partial\bar{r}_i}{\partial q_1} \delta q_1 + \frac{\partial\bar{r}_i}{\partial q_2} \delta q_2 + \dots + \frac{\partial\bar{r}_i}{\partial q_k} \delta q_k + \dots + \frac{\partial\bar{r}_i}{\partial q_h} \delta q_h = \sum_{k=1}^h \frac{\partial\bar{r}_i}{\partial q_k} \delta q_k. \quad (18.29)$$

În conformitate cu forma dinamică a principiului deplasărilor virtuale, se poate scrie:

$$\sum_{i=1}^n (\bar{F}_i - m_i \bar{a}_i) \cdot \delta\bar{r}_i = 0 \quad (18.30)$$

Înlocuind relația (18.29) în (18.30), se obține:

$$\sum_{k=1}^h \left[\sum_{i=1}^n (\bar{F}_i - m_i \bar{a}_i) \cdot \frac{\delta\bar{r}_i}{\delta q_k} \right] \delta q_k = 0. \quad (18.31)$$

În cazul legăturilor olonome pentru cele h deplasări virtuale, deplasările δq_k sunt independente și toate pot fi considerate nule, mai puțin una.

$$\delta q_1 = \delta q_2 = \dots = \delta q_{k-1} = \dots = \delta q_h = 0; \quad \delta q_k \neq 0, \quad k = 1 \div h. \quad (18.32)$$

Astfel relația (18.32) se poate scrie sub forma:

$$\sum_{i=1}^n (\bar{F}_i - m_i \bar{a}_i) \cdot \frac{\partial\bar{r}_i}{\partial q_k}, \quad k = 1 \div h, \quad (18.33)$$

care reprezintă *ecuațiile lui Lagrange de speța I*.

18.4.2 Ecuațiile lui Lagrange de speța II

Ecuațiile lui Lagrange de speța I pot fi aduse la o altă formă utilizând artificiile introduse de Lagrange. În acest sens, se consideră un sistem de puncte materiale M_i de mase m_i , aflat în mișcare sub acțiunea unui sistem de forțe exterioare \bar{F}_i , $i = 1 \div n$, supus la legături olonome fără frecare.

Ca și în primul caz, sistemul material la un momentul (t) este definit de h parametri geometrici independenți, numiți **coordonate generalizate** ($q_1, q_2, q_3, \dots, q_k, \dots, q_h$). Vitezele și accelerațiile exprimate în funcție de aceste coordonate generalizate se numesc **viteze și accelerații generalizate**, depinzând de ($\dot{q}_1, \dot{q}_2, \dot{q}_3, \dots, \dot{q}_k, \dots, \dot{q}_h$), respectiv de ($\ddot{q}_1, \ddot{q}_2, \ddot{q}_3, \dots, \ddot{q}_k, \dots, \ddot{q}_h$).

Se urmărește să se determine **ecuațiile diferențiale de mișcare** pentru sistemul de puncte materiale aflat în studiu.

În demonstrația ecuațiilor lui Lagrange de speța II se pleacă de la relația (18.33), respectiv prima formă a ecuațiilor lui Lagrange, din care :

$$\sum_{i=1}^n m_i \bar{a}_i \cdot \frac{\partial \bar{r}_i}{\partial q_k} = \sum_{i=1}^n \bar{F}_i \cdot \frac{\partial \bar{r}_i}{\partial q_k}, \quad k = 1 \div h . \quad (18.34)$$

Se notează:

$$\sum_{i=1}^n \bar{F}_i \cdot \frac{\partial \bar{r}_i}{\partial q_k} = Q_k \quad - \text{numită } \mathbf{forță\ generalizată} \quad (18.35)$$

și se înlocuiește accelerația $\bar{a}_i = \frac{d\bar{v}_i}{dt}$ se obține astfel:

$$\sum_{i=1}^n m_i \bar{a}_i \cdot \frac{\partial \bar{r}_i}{\partial q_k} = \sum_{i=1}^n m_i \frac{d\bar{v}_i}{dt} \cdot \frac{\partial \bar{r}_i}{\partial q_k}, \quad k = 1 \div h . \quad (18.36)$$

Înlocuind relațiile (18.35) și (18.36) în (18.34), se obține:

$$\sum_{i=1}^n m_i \frac{d\bar{v}_i}{dt} \cdot \frac{\partial \bar{r}_i}{\partial q_k} = Q_k. \quad (18.37)$$

Folosind regula de derivare a unui produs, relația (18.37) devine:

$$\sum_{i=1}^n m_i \frac{d}{dt} \left(\bar{v}_i \cdot \frac{\partial \bar{r}_i}{\partial q_k} \right) - \sum_{i=1}^n m_i \bar{v}_i \cdot \frac{d}{dt} \left(\frac{\partial \bar{r}_i}{\partial q_k} \right) = Q_k. \quad (18.38)$$

unde: $\bar{v}_i = \dot{\bar{r}}_i = \frac{\partial \bar{r}_i}{\partial q_1} \dot{q}_1 + \frac{\partial \bar{r}_i}{\partial q_2} \dot{q}_2 + \dots + \frac{\partial \bar{r}_i}{\partial q_k} \dot{q}_k + \dots + \frac{\partial \bar{r}_i}{\partial q_h} \dot{q}_h + \frac{\partial \bar{r}_i}{\partial t}.$

Se observă că,

$$\frac{\partial \bar{v}_i}{\partial \dot{q}_k} = \frac{\partial \bar{r}_i}{\partial q_k}. \quad (18.39)$$

Pentru a demonstra:

$$\frac{d}{dt} \left(\frac{\partial \bar{r}_i}{\partial q_k} \right) = \frac{\partial \bar{v}_i}{\partial q_k}, \quad (18.40)$$

se derivează $\frac{\partial \bar{r}_i}{\partial q_k}$ în raport cu timpul (t) și \bar{v}_i în raport cu q_k , obținând:

$$\frac{d}{dt} \left(\frac{\partial \bar{r}_i}{\partial q_k} \right) = \frac{\partial^2 \bar{r}_i}{\partial q_k \partial q_1} \dot{q}_1 + \frac{\partial^2 \bar{r}_i}{\partial q_k \partial q_2} \dot{q}_2 + \dots + \frac{\partial^2 \bar{r}_i}{\partial q_k \partial q_k} \dot{q}_k + \dots + \frac{\partial^2 \bar{r}_i}{\partial q_k \partial q_h} \dot{q}_h. \quad (18.41)$$

$$\frac{\partial \bar{v}_i}{\partial q_k} = \frac{\partial^2 \bar{r}_i}{\partial q_k \partial q_1} \dot{q}_1 + \frac{\partial^2 \bar{r}_i}{\partial q_k \partial q_2} \dot{q}_2 + \dots + \frac{\partial^2 \bar{r}_i}{\partial q_k \partial q_k} \dot{q}_k + \dots + \frac{\partial^2 \bar{r}_i}{\partial q_k \partial q_h} \dot{q}_h. \quad (18.42)$$

Se observă că membrii doi ai relațiilor (18.41) și (18.42) sunt aceeași, astfel egalându-i și luând în considerare (18.40), rezultă:

$$\sum_{i=1}^n m_i \frac{d}{dt} \left(\bar{v}_i \cdot \frac{\partial \bar{r}_i}{\partial q_k} \right) - \sum_{i=1}^n m_i \bar{v}_i \cdot \frac{\partial \bar{v}_i}{\partial q_k} = Q_k. \quad (18.43)$$

$$\bar{v}_i \cdot \frac{\partial \bar{v}_i}{\partial q_k} = \frac{\partial}{\partial q_k} \left(\frac{\bar{v}_i^2}{2} \right) = \frac{\partial}{\partial q_k} \left(\frac{v_i^2}{2} \right), \quad (18.44)$$

$$\bar{v}_i \cdot \frac{\partial \bar{v}_i}{\partial q_k} = \frac{\partial}{\partial q_k} \left(\frac{\bar{v}_i^2}{2} \right) = \frac{\partial}{\partial q_k} \left(\frac{v_i^2}{2} \right).$$

Înlocuind în (18.43) expresiile: $\bar{v}_i \cdot \frac{\partial \bar{v}_i}{\partial \dot{q}_k}$ și $\frac{\partial \bar{v}_i}{\partial q_k}$ din (18.44), se obține:

$$\frac{d}{dt} \left[\sum_{i=1}^n m_i \frac{\partial}{\partial \dot{q}_k} \left(\frac{v_i^2}{2} \right) \right] - \sum_{i=1}^n m_i \frac{\partial}{\partial q_k} \left(\frac{v_i^2}{2} \right) = Q_k \quad (18.45)$$

sau prin transformări succesive, la forma:

$$\frac{d}{dt} \left[\frac{\partial}{\partial \dot{q}_k} \sum_{i=1}^n m_i \frac{v_i^2}{2} \right] - \frac{\partial}{\partial q_k} \sum_{i=1}^n m_i \frac{v_i^2}{2} = Q_k . \quad (18.46)$$

Deoarece $\sum_{i=1}^n m_i \frac{\bar{v}_i^2}{2} = E_c$ - este energia cinetică a sistemului, (18.47)

relația (18.46) se poate scrie astfel:

$$\frac{d}{dt} \left(\frac{\partial E_c}{\partial \dot{q}_k} \right) - \frac{\partial E_c}{\partial q_k} = Q_k , \quad k = 1 \div h . \quad (18.48)$$

Relația (18.48) reprezintă **ecuațiile lui Lagrange de speța II**.

De menționat că:

- Ecuațiile lui Lagrange de speța II sunt ecuații diferențiale scalare, iar pentru calculul energiei cinetice E_c se exprimă coordonatele x_i , y_i , z_i în funcție de coordonatele generalizate q_1 , q_2 , ... q_h și se derivează în raport cu timpul, obținând:

$$\dot{x}_i = \sum_{k=1}^h \frac{\partial x_i}{\partial q_k} \dot{q}_k ; \quad \dot{y}_i = \sum_{k=1}^h \frac{\partial y_i}{\partial q_k} \dot{q}_k ; \quad \dot{z}_i = \sum_{k=1}^h \frac{\partial z_i}{\partial q_k} \dot{q}_k ;$$

apoi,

$$E_c = \sum_{i=1}^n \frac{1}{2} m_i (\dot{x}_i^2 + \dot{y}_i^2 + \dot{z}_i^2) . \quad (18.49)$$

- De asemenea, *forța generalizată* se poate determina fie cu relația $Q_k = \sum_{i=1}^n \left(F_{ix} \frac{\partial x_i}{\partial q_k} + F_{iy} \frac{\partial y_i}{\partial q_k} + F_{iz} \frac{\partial z_i}{\partial q_k} \right)$, fie se va da o deplasare virtuală $\delta \vec{r}$ sistemului de puncte materiale în care deplasarea variază doar după coordonata q_k , pentru ca apoi forța generalizată să se determine astfel:

$$Q_k = \frac{\delta_k L}{\delta q_k} \quad \text{și} \quad \delta L = \sum_{i=1}^n \bar{F}_i \cdot \delta \bar{r}_i = \sum_{k=1}^h \left(\sum_{i=1}^n \bar{F}_i \cdot \frac{\partial \bar{r}_i}{\partial q_k} \right) \delta q_k = \sum_{k=1}^h Q_k \delta q_k . \quad (18.49a)$$

Lucrul mecanic virtual în condițiile

$$\delta q_1 = \delta q_2 = \dots = \delta q_{k-1} = \dots = \delta q_h = 0 ; \delta q_k \neq 0, \quad k = 1 \div h, \text{ este:}$$

$$\delta_k L = Q_k \delta q_k . \quad (18.50)$$

18.4.3 Ecuțiile lui Lagrange de speța II în cazul forțelor conservative

Este interesant de prezentat în continuare, studiul *ecuațiilor lui Lagrange de speța a II-a în cazul forțelor conservative* [11], forțe care derivă dintr-o funcție de forță U :

$$\bar{F}_i = \text{grad} U_i = \nabla U_i . \quad (18.51)$$

În conformitate cu (16.11), o forță conservativă \bar{F}_i are componentele scalare date de relațiile:

$$F_{ix} = \frac{\partial U_i}{\partial x_i}; \quad F_{iy} = \frac{\partial U_i}{\partial y_i}; \quad F_{iz} = \frac{\partial U_i}{\partial z_i} . \quad (18.52)$$

Conform cu (18.37) și (18.50), forța generalizată Q_k are expresia:

$$Q_k = \sum_{i=1}^n \left(\frac{\partial U_i}{\partial x_i} \frac{\partial x_i}{\partial q_k} + \frac{\partial U_i}{\partial y_i} \frac{\partial y_i}{\partial q_k} + \frac{\partial U_i}{\partial z_i} \frac{\partial z_i}{\partial q_k} \right) = \sum_{i=1}^n \frac{\partial U_i}{\partial q_k} . \quad (18.53)$$

Se notează *funcția de forță* cu U , unde: $U = \sum_{i=1}^n U_i$ și se obține succesiv:

$$Q_k = \sum_{i=1}^n \frac{\partial U_i}{\partial q_k} = \frac{\partial}{\partial q_k} \sum_{i=1}^n U_i = \frac{\partial U}{\partial q_k} . \quad (18.54)$$

Înlocuind relația (18.54) în (18.48), se obține:

$$\frac{d}{dt} \left(\frac{\partial E_c}{\partial \dot{q}_k} \right) - \frac{\partial E_c}{\partial q_k} = \frac{\partial U}{\partial q_k} . \quad (18.55)$$

Notând cu L funcția lui Lagrange sau potențialul cinetic, a cărei expresie este:

$$L = E_c + U, \quad (18.56)$$

se fac următoarele precizări:

$$\frac{\partial L}{\partial \dot{q}_k} = \frac{\partial E_c}{\partial \dot{q}_k} + \frac{\partial U}{\partial \dot{q}_k} = \frac{\partial E_c}{\partial \dot{q}_k}, \quad (18.57)$$

pentru că $\frac{\partial U}{\partial \dot{q}_k} = 0$, întrucât funcția de forță nu depinde de vitezele generalizate \dot{q}_k , ci doar de coordonatele generalizate q_k .

Înlocuind relația (18.57) în (18.55), se obține:

$$\frac{d}{dt} \left(\frac{\partial L}{\partial \dot{q}_k} \right) - \frac{\partial L}{\partial q_k} = 0; \quad k = 1 \div h . \quad (18.58)$$

Relația (18.58) reprezintă *ecuația lui Lagrange de speța a II-a în cazul forțelor conservative*.

18.5 Ecuațiile canonice ale lui Hamilton

Apelând la principiile integrale sau variaționale, în mecanica analitică sunt importante și **ecuațiile canonice ale lui Hamilton**. Pentru abordarea lor se consideră un sistem de “ n ” puncte materiale M_i de mase m_i , supus la legături olonome ideale care are h grade de libertate. Sistemul se află în mișcare sub acțiunea forțelor conservative exterioare $\bar{F}_i, i = 1 \div n$. Se cere să se determine *ecuațiile canonice ale lui Hamilton*. Pentru demonstrarea acestora se pleacă de la relația (18.54), în care se notează:

$$p_k = \frac{\partial E_c}{\partial \dot{q}_k} = \frac{\partial L}{\partial \dot{q}_k}, \quad (18.59)$$

unde: p_k – este o mărime scalară numită **impuls generalizat** și are relația:

$$\dot{p}_k = \frac{\partial L}{\partial q_k}. \quad (18.60)$$

Ecuțiile (18.59) și (18.60) formează un sistem de $2h$ ecuații diferențiale de ordinul I. Ele pot fi aduse sub o altă formă utilizând **funcția Hamilton, notată cu H** :

$$H = \sum_{k=1}^h p_k \dot{q}_k - L; \quad L = L(q_1, q_2, \dots, q_h, \dot{q}_1, \dot{q}_2, \dots, \dot{q}_h). \quad (18.61)$$

Considerând o deplasare virtuală elementară ($\delta \bar{r}$), variația elementară a funcției lui Lagrange se determină prin diferențierea funcției L . Se obține astfel:

$$\delta L = \sum_{i=1}^h \left(\frac{\partial L}{\partial q_k} \delta q_k + \frac{\partial L}{\partial \dot{q}_k} \delta \dot{q}_k \right). \quad (18.62)$$

Înlocuind în relația (18.62) relațiile (18.59) și (18.60), se obține:

$$\partial L = \sum_{k=1}^h (\dot{p}_k \delta q_k + p_k \delta \dot{q}_k), \quad \text{în care: } \delta \dot{q}_k = \delta(p_k \dot{q}_k) - \dot{q}_k \delta p_k \quad (18.63)$$

Se înlocuiește (18.63) în (18.62) și se obține relația:

$$\delta L = \sum_{k=1}^h [\dot{p}_k \delta q_k + \delta(p_k \dot{q}_k) - \dot{q}_k \delta p_k], \quad (18.64)$$

din care se poate scrie: $\delta(\sum_{k=1}^h p_k \dot{q}_k - L) = \sum_{k=1}^h (\dot{q}_k \delta p_k - \dot{p}_k \delta q_k)$

sau, având în vedere relația care definește **funcția lui Hamilton**,

$$\delta H = \sum_{k=1}^h (\dot{q}_k \delta p_k - \dot{p}_k \delta q_k). \quad (18.65)$$

În relația (18.65) impulsurile generalizate (p_k) depind de coordonatele și vitezele generalizate. Astfel,

$$p_k = p_k(q_1, q_2, \dots, q_h, \dot{q}_1, \dot{q}_2, \dots, \dot{q}_h); \quad k = 1 \div h \quad (18.66)$$

iar vitezele generalizate depind de coordonatele și impulsurile generalizate,

$$\dot{q}_k = \dot{q}_k(q_1, q_2, \dots, q_h, p_1, p_2, \dots, p_h); \quad k = 1 \div h, \quad (18.67)$$

Astfel,

$$L = L(q_1, q_2, \dots, q_h, p_1, p_2, \dots, p_h); \quad k = 1 \div h, \quad (18.68)$$

$$H = H(q_1, q_2, \dots, q_h, p_1, p_2, \dots, p_h); \quad k = 1 \div h. \quad (18.69)$$

Ținând cont de (18.65), se obține:

$$\delta H = \sum_{k=1}^h \left(\frac{\partial H}{\partial q_k} \delta q_k + \frac{\partial H}{\partial p_k} \delta p_k \right). \quad (18.70)$$

Din compararea relațiilor (18.65) și (18.70), rezultă *ecuațiile canonice ale lui Hamilton*:

$$\dot{q}_k = \frac{\partial H}{\partial p_k}; \quad \dot{p}_k = -\frac{\partial H}{\partial q_k}; \quad k = 1 \div h. \quad (18.71)$$

Prin integrarea celor $2h$ ecuații diferențiale (18.71) și luând în considerare condițiile inițiale ale mișcării, rezultă *coordoanatele generalizate și impulsurile generalizate* ale mișcării în funcție de timp.

18.6 Probleme rezolvate

18.6.1. Se cere să se determine cu ajutorul *ecuațiilor lui Lagrange*, perioada micilor oscilații ale centrului unei sfere de rază r și masa m care sferă se rostogolește fără alunecare în interiorul unui cilindru de rază R [4] (fig.18.4).

Soluție:

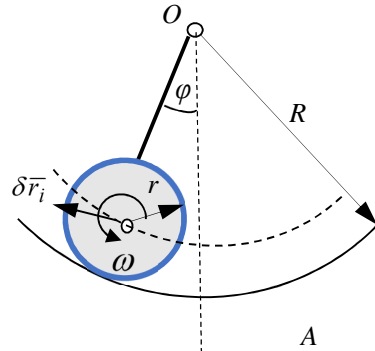


Fig. 18.4 [4]

Conform *teoremei lui König*, energia cinetică E_c a discului este:

$$E_c = \frac{1}{2}mv_A^2 + \frac{1}{2}J_A\omega^2 . \quad (1)$$

În relația (1),

$$v_A = (R-r)\dot{\varphi}; \quad \dot{\varphi} = \omega, \quad \omega = \frac{v_A}{R-r}; \quad J_A = \frac{2}{5}mr^2 . \quad (2)$$

Înlocuind relațiile (2) în (1), se obține energia cinetică

$$E_c = \frac{7}{10}m(R-r)^2\dot{\varphi}^2 . \quad (3)$$

Funcția de forță U se poate exprima astfel:

$$U = mgz = mg(R-r)\cos\varphi . \quad (4)$$

Ecuțiile lui Lagrange de speța a II-a, se pot scrie astfel:

$$\frac{d}{dt} \left(\frac{\partial E_c}{\partial \dot{q}_i} \right) - \left(\frac{\partial E_c}{\partial q_i} \right) = Q_i; \quad Q_i = \frac{\partial U}{\partial q_i} \quad (5)$$

$$\frac{7}{5} m(R-r)^2 \ddot{\varphi} = -mg(R-r) \sin \varphi. \quad (6)$$

Din relația (6) se obține perioada de oscilație a pendulului și anume:

$$\omega = \frac{2\pi}{T} \Rightarrow T = \frac{2\pi}{\omega}$$

$$T = 2\pi \sqrt{\frac{7(R-r)}{5g}} \quad (7)$$

18.6.2. Se dă mecanismul de basculare [5] din figura 18.5 la care se neglijează frecările, el reprezentând brațul unui robot industrial. Se cunoaște rezultanta forțelor de greutate \vec{G} , a elementelor din care se compune brațul, precum și parametri constructivi (l_1 , l_2 și α) ai acestuia. Să se determine valoarea forței \vec{F} care soliciță tija pistonului (3) când sistemul este oprit, pentru poziția dată de parametri l (distanța de la polul O la axa centrală a forțelor) și q – unghiul de basculare.

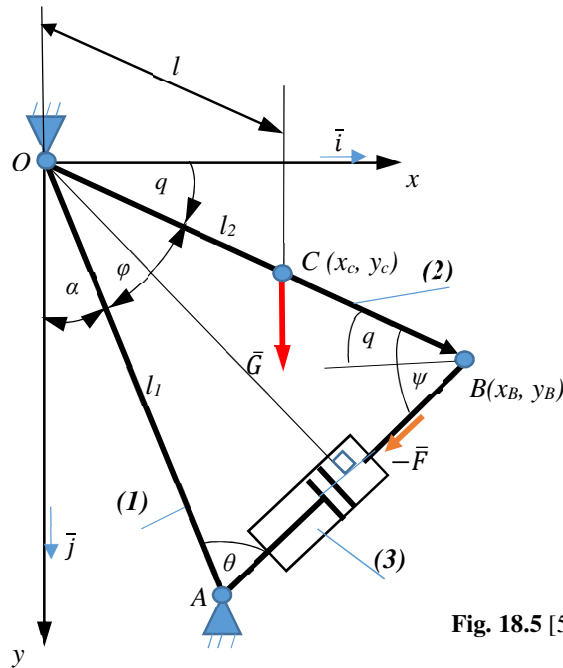


Fig. 18.5 [5].

Soluție:

În rezolvare se pleacă de la principiul deplasărilor virtuale sub formă statică, cunoscând parametri l și q pentru poziția de echilibru și neglijând frecările.

Brațul robotului este considerat compatibil cu legăturile, deci $\delta q \neq 0$.

$$\delta L = \vec{G} \cdot \delta y_c + \vec{F} \cdot \delta \vec{r}_B = 0 . \quad (1)$$

În relația (1) se fac următoarele precizări:

$$y_c = l \sin q; \quad \delta y_c = l \cos q \delta q , \quad (2)$$

$$\vec{G} = G \cos(\psi - q) \vec{i} - G \sin(\psi - q) \vec{j} , \quad (3)$$

$$\vec{r}_B = l_2 \cos q \vec{i} + l_2 \sin q \vec{j} , \quad (4)$$

$$\delta \vec{r}_B = -l_2 \sin q \delta q \vec{i} + l_2 \cos q \delta q \vec{j} . \quad (5)$$

Înlocuind (2) și (5) în (1), se obține:

$$\delta L = \{Gl \cos q - Fl_2[\sin q \cos(\psi - q) + \cos q \sin(\psi - q)]\} \delta q = 0 . \quad (6)$$

Deoarece se consideră $\delta q \neq 0$ și ținând cont că:

$$\sin q \cos(\psi - q) + \cos q \sin(\psi - q) = \sin \psi . \quad (7)$$

rezultă că

$$Gl \cos q - Fl_2 \sin \psi = 0 . \quad (8)$$

Aplicând teorema sinusului în triunghiul OAB , rezultă unghiul ψ :

$$\frac{AB}{\sin \varphi} = \frac{l_1}{\sin \psi} = \frac{l_2}{\sin \theta} ,$$

$$\text{unde: } \sin \psi = \frac{l_1 \sin \varphi}{\sqrt{l_1^2 + l_2^2 - 2l_1 l_2 \cos \varphi}} \text{ și } \psi = \frac{\pi}{2} - (\alpha + \varphi). \quad (9)$$

Efectuând calculele, valoarea forței F este:

$$F = \frac{l \cos \varphi \sqrt{l_1^2 + l_2^2 - 2l_1 l_2 \sin(\alpha + \varphi)}}{l_1 l_2 \cos(\alpha + \varphi)} G. \quad (10)$$

18.7 Probleme propuse

18.7.1. Se consideră sistemul de bare articulate din fig. 18.6 [4], [11] la care în capătul barei AB acționează o forță orizontală \bar{P} (se neglijează frecarea din articulații), iar forțele G_1 , G_2 și P sunt cunoscute. Se dau dimensiunile barelor $AB = 2l$, $OA = l$. Se cere să se găsească poziția de echilibru a sistemului folosind principiul lucrului mecanic virtual.

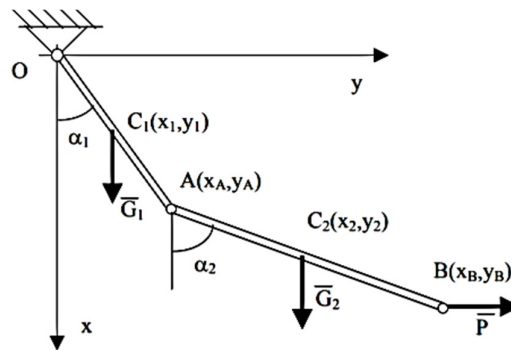


Fig. 18.6

Răspuns:

$$\operatorname{tg} \alpha_1 = \frac{2P}{G_1 + 2G_2}; \quad \operatorname{tg} \alpha_2 = \frac{P}{G_2}$$

18.7.2. Se consideră sistemul format dintr-un troliu de raze R și r de greutate G_3 , pe circumferințele troliului fiind înfășurate două fire inextensibile de care sunt prinse două greutateți G_1 și G_2 (fig. 18.7) [4]. Se presupune că troliul este omogen și se neglijează frecările. Sistemul este lăsat liber, plecând din repaus. Se cere legea de mișcare a sistemului și tensiunile din cele două fire folosind principiul lucrului mecanic virtual și principiul lui D'Alembert.

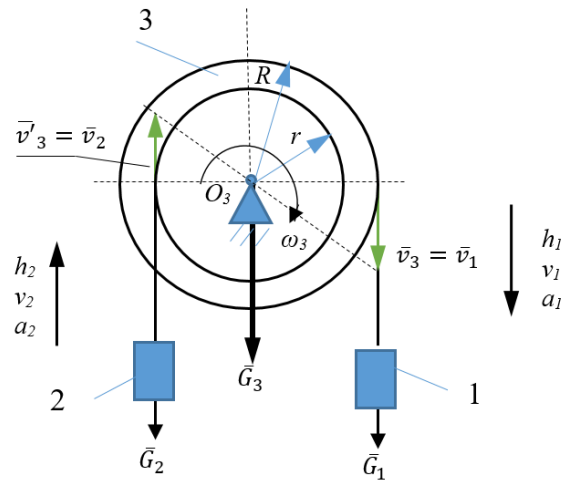


Fig. 18.7 [4]

Rāspuns:

$$a_1 = \frac{G_1 - \frac{r}{R}G_2}{G_1 + \frac{r^2}{R^2}G_2 + \frac{G_3}{2}}g;$$

$$S_1 = G_1 \left(1 - \frac{a_1}{g}\right); \quad S_2 = G_2 \left(1 + \frac{r}{R} \frac{a_1}{g}\right) .$$

19. CIOCNIRI ȘI PERCUȚII⁽¹¹⁾

Studiul ciocnirilor a apărut ca o necesitate a tehnicii, pentru că întâlnim fenomenul de ciocnire cu efectele lui faste sau nefaste atât în tehnică cât și în viața cotidiană (fig. 19.1). Ciocnirile se regăsesc în diverse domenii ca de exemplu: chimia prin ciocnirea a doi atomi, fizica la ciocnirea a două corpuri (ciocnirea vehiculelor), astronomie prin ciocnirea a două corpuri cerești, în tehnica industrială prin ciocnirea a două unelte sau ciocnirea unealtă - produs ca de exemplu forjă, stanță, la ciocnirea vagoanelor etc.

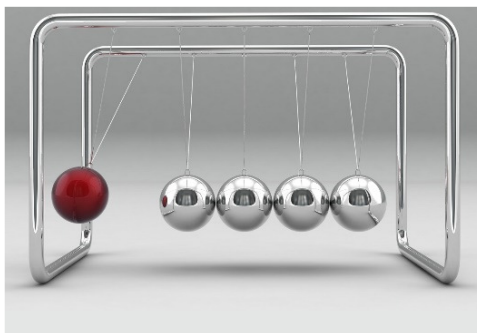


Fig. 19.1 [9a]

Din punctul de vedere a deformării corpurilor, ciocnirile se clasifică în *ciocniri plastice* și *ciocniri elastice*. În viața reală se întâlnesc mai des ciocnirile de tipul *cvasielastice*.

În mecanica teoretică, respectiv dinamica sistemelor de puncte materiale și solide rigide, variația vitezelor (liniare sau unghiulare) este relativ mică însă, în condițiile în care acestea au o variație finită mare într-un interval de timp foarte scurt (Δt) atunci apare fenomenul de *ciocnire* sau *șoc*.

Ca să se înțeleagă fenomenul de ciocnire, în cele ce urmează este necesar a se explicita noțiunile specifice acesteia, respectiv proprietățile care o caracterizează.

19.1 Forță de percuție. Percuție

Se consideră un punct material A (fig.19.2) de masă m , izolat și aparținând unui sistem de puncte materiale aflat în mișcare.

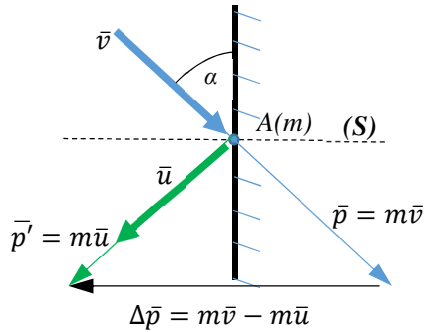


Fig. 19.2

Punctul A se ciocnește de un perete fix (plastic). Dacă la începutul ciocnirii la momentul (t_1) are viteza \bar{v} , iar la sfârșitul ciocnirii la momentul (t_2) are viteza \bar{u} , se dorește analizarea forțelor care apar în timpul ciocnirii. În timpul ciocnirii asupra punctului acționează rezultanta forțelor exterioare notată cu \bar{R} și reacțiunea \bar{R}' datorată peretelui. Forța cautată se numește

forță de percuție (forță percutantă).

Studiul se va face aplicând una din teoremele fundamentale ale dinamicii, respectiv teorema impulsului sub formă finită. Astfel,

$$m\bar{u} - m\bar{v} = \int_{t_1}^{t_2} (\bar{R}' + \bar{R}) dt. \quad (19.1)$$

Deoarece forțele care apar în timpul fenomenului de ciocnire sunt foarte mari într-un timp relativ scurt, se va neglija rezultanta forțelor exterioare $\bar{R} = 0$, ca având valoare mică față de forțele percutante.

$$m\bar{u} - m\bar{v} = \int_{t_1}^{t_2} \bar{R}' dt. \quad (19.2)$$

În timpul foarte scurt cât durează ciocnirea ($t_1 - t_2$) valoarea forței \bar{R}' crește foarte repede la începutul ciocnirii (*faza comprimării*) și atinge o valoare foarte mare, după care descrește la valoarea zero (*faza destinderii*).

Astfel, se poate spune că ciocnirea are trei faze: *faza comprimării, faza ciocnirii propriu-zise și faza destinderii.*

În continuare, se notează cu \bar{F}_m forța medie dezvoltată în intervalul de timp ($t_1 - t_2$).

Astfel, membrul al doilea al relației (19.2) se va scrie:

$$\int_{t_1}^{t_2} \bar{R}' dt = \bar{F}_m(t_2 - t_1) . \quad (19.3)$$

Înlocuind (19.3) în (19.2), se obține:

$$m\bar{u} - m\bar{v} = \bar{F}_m(t_2 - t_1) . \quad (19.4)$$

În continuare, se numește *forță de percuție* sau *forță percutantă* acea forță care apare în fenomenele de ciocnire, iar vectorul notat \bar{F} se numește *percuție*, având expresia dată de relația:

$$\bar{F} = \int_{t_2}^{t_1} \bar{F} dt = \bar{F}_m(t_2 - t_1) . \quad (19.5)$$

Pentru a studia ciocnirile indiferent de tipul și condițiile în care acestea apar, e nevoie de enunțarea câtorva ipoteze simplificatoare.

19.2 Ipoteze simplificatoare aplicate în cazul ciocnirilor

Pentru a putea studia ciocnirile, studiul acestora ar fi dificil dacă s-ar implica toți factorii care le pot influența, se recurge la câteva *ipoteze simplificatoare*:

- a) Variația timpului în momentul ciocnirii este foarte mică;
- b) Forțele percutante sunt foarte mari având variații rapide;
- c) În studiul ciocnirilor **se neglijează** alte forțe date (greutate, forțe elastice etc.), ținându-se cont doar de forțele care produc ciocnirea;
- d) În studiul ciocnirilor **corpurile nu au mișcări** de translație, rotație sau combinații ale acestora, ele doar se deformează;
- e) Pentru percuțiile forțelor de legătură se aplică principiul acțiunii și reacțiunii;
- f) În studiul ciocnirilor se consideră că pentru două corpuri de materiale cunoscute, **raportul** dintre componentele normale ale percuțiilor din faza de destindere $\bar{p}^{initial}$ și de compresie \bar{p}^{final} este constant.

$$\frac{\bar{p}^{initial}}{\bar{p}^{final}} = k . \quad (19.6)$$

În relația (19.6) constanta k (se mai notează și cu e) se numește *coeficient de restituire a percuției* sau *coeficient de elasticitate la ciocnire*, acesta având valori cuprinse între 0 – 1. Astfel:

- $k = 0$ (la ciocnirea perfect elastică);
- $k = 1$ (la ciocnirea plastică)
- la **ciocnire cvasielastică**, întâlnită în majoritatea cazurilor reale, coeficientul k este cuprins între $0 < k < 1$.

Pentru a determina coeficientul de restituire k , se iau ca exemplu două cuburi de laturi diferite (l și L) de mase m_1 și m_2 , cu $m_1 < m_2$ și cu centrele de greutate O_1 și O_2 (fig.19.3). Se analizează trei faze ale ciocnirii: *faza comprimării*, *faza ciocnirii propriu-zise* și *faza destinderii*.

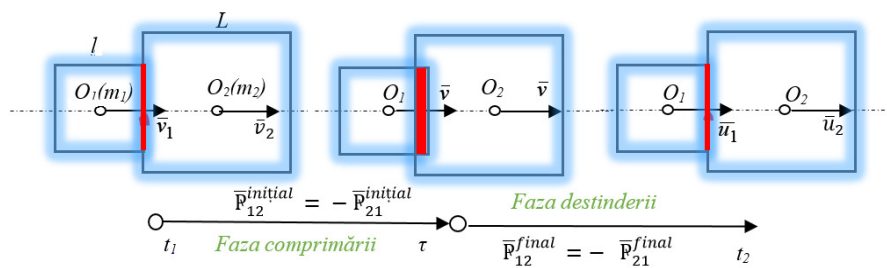


Fig. 19.3

$$\bar{P}_{12}^{initial} = -\bar{P}_{21}^{initial}$$

$$\bar{P}_{12}^{final} = -\bar{P}_{21}^{final}$$

Notă: În cazul ciocnirilor centrice a două sfere se definesc următoarele noțiuni:

- **Linia de ciocnire** – Normala comună la suprafețele sferelor care vin în contact în timpul ciocnirii.

- **Ciocnirea dreaptă** – Dacă vitezele punctelor de contact au aceeași direcție cu linia de ciocnire.
- **Ciocnirea oblică** - Dacă vitezele punctelor de contact au direcția înclinată la un anumit unghi față de linia de ciocnire.

Se consideră că între cuburi are loc o ciocnire *perfect plastică* și centrică (fig.19.3) (cele două corpuri rămân în contact după ciocnire și suporturile vitezelor centrelor de masă a cuburilor se află pe axa acestora, având mișcări de translație). Se cere să se determine coeficientul de restituire plastică la ciocnire k .

Se notează cu: \bar{v}_1, \bar{v}_2 – sunt vitezele celor două cuburi înainte de ciocnire;

\bar{u}_1, \bar{u}_2 – sunt vitezele celor două cuburi după ciocnire.

$\bar{P}_{12}^{initial}$ și $\bar{P}_{21}^{initial}$ – reprezintă percuțiile interioare dintre cele două cuburi în timpul ciocnirii, în faza de comprimare;

\bar{P}_{12}^{final} și \bar{P}_{21}^{final} – reprezintă percuțiile interioare dintre cele două cuburi în timpul ciocnirii, în faza de destindere.

Conform principiului acțiunii și a reacțiunii se pot scrie relațiile:

$$\bar{P}_{12}^{comprimare} = -\bar{P}_{21}^{comprimare} ; \quad \bar{P}_{12}^{destindere} = -\bar{P}_{21}^{destindere} . \quad (19.7)$$

Descrierea fenomenului de ciocnire exclude momentul ciocnirii când vitezele celor două corpuri sunt egale, analizând strict faza de comprimare și destindere.

Studiul fenomenului ciocnirii se face aplicând teorema impulsului pentru faza de comprimare și faza de destindere. Astfel:

$$\begin{aligned} m_1 v - m_1 v_1 &= -\bar{P}_{12}^{comprimare} = -\mathbb{P}^{comprimare}; && \text{faza de comprimare} \\ m_2 v - m_2 v_2 &= \bar{P}_{21}^{comprimare} = \mathbb{P}^{comprimare}; \\ m_1 u_1 - m_1 v &= -\bar{P}_{12}^{destindere} = -\mathbb{P}^{destindere}; && \text{faza de destindere} \\ m_2 u_2 - m_2 v &= \bar{P}_{21}^{destindere} = \mathbb{P}^{destindere} . \end{aligned} \quad (19.8)$$

Viteza v se obține din relațiile (19.8) și are expresia:

$$v = \frac{m_1 v_1 + m_2 v_2}{m_1 + m_2} = \frac{m_1 u_1 + m_2 u_2}{m_1 + m_2}. \quad (19.9)$$

Expresiile percuțiilor în cazul comprimării și destinderii cuburilor sunt:

$$p_{\text{comprimare}} = \frac{m_1 m_2 (v_1 - v_2)}{m_1 + m_2}; \quad p_{\text{destindere}} = \frac{m_1 m_2 (u_2 - u_1)}{m_1 + m_2}. \quad (19.10)$$

Coefficientul de restituire k sau e , având în vedere relațiile (19.8) și (19.10), se obține astfel:

$$k = \frac{p_{\text{destindere}}}{p_{\text{comprimare}}} = \frac{u_2 - u_1}{v_1 - v_2}. \quad (19.11)$$

19.3 Teoreme fundamentale în cazul ciocnirilor

În cele ce urmează, se vor demonstra teoremele fundamentale ale dinamicii aplicate la ciocniri. Pentru aceasta, în figura 19.4 este reprezentat un sistem de puncte materiale, sistem supus acțiunii unui sistem de forțe exterioare percutante \bar{F}_i^{ext} , $i = 1 \div n$. Asupra punctului material M_i de masă m_i acționează percuția exterioară și interioară notate cu \bar{P}_i^{ext} , \bar{P}_i^{int} . Pentru fiecare punct M_i se va scrie teorema impulsului obținându-se relații de forma:

$$m_i \bar{u}_i - m_i \bar{v}_i = \bar{P}_i^{int} + \bar{P}_i^{ext}, \quad (19.12)$$

pe care însumându-le, conduc la:

$$\sum_{i=1}^n m_i \bar{u}_i - \sum_{i=1}^n m_i \bar{v}_i = \sum_{i=1}^n \bar{P}_i^{int} + \sum_{i=1}^n \bar{P}_i^{ext}. \quad (19.13)$$

În relația (19.13) notațiile reprezintă:

$\sum_{i=1}^n m_i \bar{v}_i$ – este impulsul la începutul ciocnirii (la momentul t_1);

$\sum_{i=1}^n m_i \bar{u}_i$ – este impulsul la sfârșitul ciocnirii (la momentul t_2).

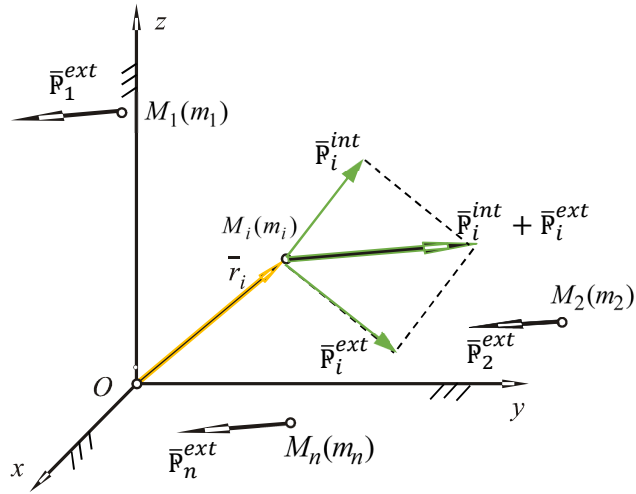


Fig. 19.4

iar percuția $\bar{P}_i^{int} = 0$, deoarece forțele de percuție interioare sunt două câte două egale și de semn contrar.

Astfel, primii trei termeni din relația (19.13) sunt:

$$\sum_{i=1}^n m_i \bar{v}_i = \bar{P}_1 ; \quad \sum_{i=1}^n m_i \bar{u}_i = \bar{P}_2 ; \quad \sum_{i=1}^n \bar{P}_i^{int} = 0. \quad (19.14)$$

Cu aceste precizări, relația (19.13) devine:

$$\bar{P}_2 - \bar{P}_1 = \sum_{i=1}^n \bar{P}_i^{ext} . \quad (19.15)$$

S-a obținut astfel, *prima teoremă fundamentală a ciocnirilor* conform căreia, *variația impulsului unui sistem de puncte materiale în timpul unei ciocniri este egală cu suma percuțiilor exterioare care acționează asupra acestuia.*

Ca și ipoteză simplificatoare, se consideră că în timpul foarte scurt în care are loc ciocnirea, pozițiile punctelor materiale care formează sistemul nu se modifică.

În continuare, se înmulțește relația (19.13) cu vectorul de poziție \bar{r}_i al punctului M_i și se însumează membru cu membru relațiile obținute. Se obține astfel relația:

$$\sum_{i=1}^n \bar{r}_i \times m_i \bar{v}_i - \sum_{i=1}^n \bar{r}_i \times m_i \bar{u}_i = \sum_{i=1}^n \bar{r}_i \times \bar{P}_i^{int} + \sum_{i=1}^n \bar{r}_i \times \bar{P}_i^{ext}, \quad (19.16)$$

în care:

$\sum_{i=1}^n \bar{r}_i \times m_i \bar{v}_i = \bar{K}_{01}$ - este momentul cinetic al sistemului de puncte materiale în raport cu punctul O , înainte de ciocnire;

$\sum_{i=1}^n \bar{r}_i \times m_i \bar{u}_i = \bar{K}_{02}$ - este momentul cinetic al sistemului de puncte materiale în raport cu punctul O , după ciocnire;

$\sum_{i=1}^n \bar{r}_i \times \bar{P}_i^{int} = 0$ - este momentul rezultat al percuțiilor interioare, care fiind egale două câte două și de sens contrar, plasate pe același suport, fac ca acest moment să fie nul.

Ținând seama de relațiile anterioare, relația (19.16) se transformă în:

$$\bar{K}_{02} - \bar{K}_{01} = \sum_{i=1}^n \bar{r}_i \times \bar{P}_i^{ext}. \quad (19.17)$$

Relația (19.17) reprezintă *a doua teoremă fundamentală a ciocnirilor* (teorema momentului cinetic). Conform acesteia, *variația momentului cinetic total în timpul unei ciocniri este egală cu suma momentelor percuțiilor exterioare ale sistemului de puncte, cele două momente, cinetic și rezultat al percuțiilor exterioare, fiind determinate în raport cu același punct O .*

Înmulțind relația (19.13) cu \bar{u}_i , se obține:

$$\sum_{i=1}^n m_i \bar{u}_i^2 - \sum_{i=1}^n m_i \bar{v}_i \cdot \bar{u}_i = \sum_{i=1}^n \bar{P}_i^{int} \cdot \bar{u}_i + \sum_{i=1}^n \bar{P}_i^{ext} \cdot \bar{u}_i. \quad (19.18)$$

Relația (19.18) poate fi transformată în urma unor calcule, astfel:

$$\frac{1}{2}m_i\bar{u}_i^2 + \frac{1}{2}m_i(\bar{u}_i - \bar{v}_i)^2 - \frac{1}{2}m_i\bar{v}_i^2 = \bar{\mathbf{F}}_i^{int} \cdot \bar{\mathbf{u}}_i + \bar{\mathbf{F}}_i^{ext} \cdot \bar{\mathbf{u}}_i; \quad (19.19)$$

Pentru n puncte materiale:

$$\begin{aligned} \sum_{i=1}^n \frac{1}{2}m_i\bar{u}_i^2 + \sum_{i=1}^n \frac{1}{2}m_i(\bar{v}_i - \bar{u}_i)^2 - \sum_{i=1}^n \frac{1}{2}m_i\bar{v}_i^2 &= \\ &= \sum_{i=1}^n \bar{\mathbf{F}}_i^{int} \cdot \bar{\mathbf{u}}_i + \sum_{i=1}^n \bar{\mathbf{F}}_i^{ext} \cdot \bar{\mathbf{u}}_i. \end{aligned} \quad (19.20)$$

În relația (19.20) se pot face următoarele precizări:

$\sum_{i=1}^n \frac{1}{2}m_i\bar{v}_i^2 = E_{c1}$ - este energia cinetică a sistemului de puncte materiale la începutul ciocnirii;

$\sum_{i=1}^n \frac{1}{2}m_i\bar{u}_i^2 = E_{c2}$ - este energia cinetică a sistemului de puncte materiale la sfârșitul ciocnirii;

$\sum_{i=1}^n \frac{1}{2}m_i(\bar{v}_i - \bar{u}_i)^2 = E_{cp}$ - este energia cinetică a sistemului de puncte materiale corespunzătoare vitezelor pierdute;

În ipoteza în care:

$$\sum_{i=1}^n \frac{1}{2}m_i\bar{u}_i^2 + \sum_{i=1}^n \frac{1}{2}m_i(\bar{v}_i - \bar{u}_i)^2 - \sum_{i=1}^n \frac{1}{2}m_i\bar{v}_i^2 = 0, \text{ relația (19.20)}$$

devine:

$$\sum_{i=1}^n \bar{\mathbf{F}}_i^{int} \cdot \bar{\mathbf{u}}_i + \sum_{i=1}^n \bar{\mathbf{F}}_i^{ext} \cdot \bar{\mathbf{u}}_i = 0.$$

Respectiv, pentru un solid rigid cu percuțiile interioare $\bar{\mathbf{F}}_i^{int} = 0$ și exterioare $\bar{\mathbf{F}}_i^{ext} = 0$, precum și în absența frecărilor, se obține:

$$E_{c2} - E_{c1} = E_{cp}. \quad (19.21)$$

Relația (19.21) se aplică sistemelor de corpuri cu legături rigide (neelastice) și fără frecare și este cunoscută sub numele de *relația lui Carnot conform căreia, energia cinetică pierdută prin ciocnire este egală cu energia cinetică corespunzătoare vitezelor pierdute.*

Cazuri particulare ale ciocnirilor

1. **Cazul** în care $E_{c2} - E_{c1} = E_{cp}$ se întâlnește doar în situațiile în care:

- sistemul nu are percuții exterioare, iar cele interioare corespund unor legături care nu produc lucru mecanic;
- sistemul este rigid, respectiv $\sum_{i=1}^n \bar{\mathbf{P}}_i^{int} \cdot \bar{\mathbf{u}}_i = 0$ și brusc i se introduce condiția de mișcare de rostogolire fără alunecare pentru unul sau mai multe puncte, astfel mișcarea este efectuată după curbe sau suprafețe cu sau fără frecare.

2. Un alt **caz particular al ciocnirilor este ciocnirea oblică**. Pentru exemplificare, se consideră două sfere cu centrele O_1 și O_2 de mase m_1 și m_2 cu $m_1 < m_2$ (fig. 19.5), care au vitezele înainte de ciocnire $\bar{\mathbf{v}}_1$ și $\bar{\mathbf{v}}_2$. Se va studia cazul în care cele două sfere se vor afla într-o ciocnire oblică, ele având unghiurile inițiale α_1 și α_2 față de orizontala O_1O_2 . Se presupune că la contactul dintre sfere nu apar forțe de frecare și, ca urmare, nici percuții tangențiale astfel că percuția interioară va avea direcția centrelor sferelor. Se cer vitezele sferelor după ciocnire (fig. 19.6).

Se descompun vitezele $\bar{\mathbf{v}}_1$, $\bar{\mathbf{v}}_2$ ale sferelor în două componente, o componentă normală a vitezelor notate $\bar{\mathbf{v}}_{n1}$, $\bar{\mathbf{v}}_{n2}$ și o componentă tangențială cu notațiile $\bar{\mathbf{v}}_{t1}$, $\bar{\mathbf{v}}_{t2}$, pentru fiecare sferă în parte. Astfel,

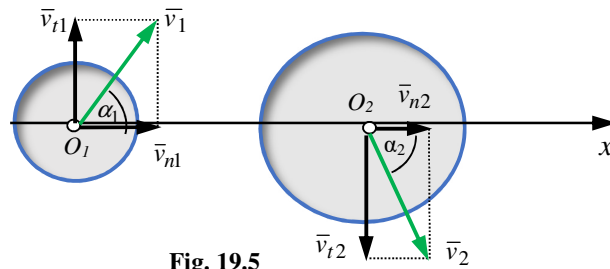


Fig. 19.5

$$\begin{aligned}
v_{n1} &= v_1 \cos \alpha_1; & v_{t1} &= v_1 \sin \alpha_1 \\
v_{n2} &= v_2 \cos \alpha_2; & v_{t2} &= v_2 \sin \alpha_2 .
\end{aligned}
\tag{19.22}$$

Vitezele tangențiale după ciocnire se vor nota cu $\bar{u}_{t1}, \bar{u}_{t2}$ care prin ciocnire nu se modifică, așadar:

$$u_{t1} = v_{t1}; \quad u_{t2} = v_{t2} . \tag{19.23}$$

Pentru rezolvare se va aplica *teorema impulsului la ciocniri* pentru cele două faze, respectiv faza de comprimare și de destindere:

$$\begin{aligned}
m_1 v_n - m_1 v_{n1} &= -\mathcal{P}^{comprimare}, \\
m_2 v_n - m_2 v_{n2} &= \mathcal{P}^{comprimare}, \\
m_1 u_{n1} - m_1 v_n &= -\mathcal{P}^{destindere}, \\
m_2 u_{n2} - m_2 v_n &= \mathcal{P}^{destindere} .
\end{aligned}
\tag{19.24}$$

Coeficientul de restituire la ciocnire devine:

$$e = \frac{\bar{p}^{final}}{\bar{p}^{initial}} . \tag{19.25}$$

Din relațiile (19.24) se obțin componentele normale ale vitezelor u_{n1}, u_{n2} pentru cele două sfere după ciocnire, respectiv:

$$\begin{cases}
u_{n1} = \frac{(m_1 - em_2)v_{1n} + (1+e)m_2 v_{2n}}{m_1 + m_2} \\
u_{n2} = \frac{(m_2 - em_1)v_{2n} + (1+e)m_1 v_{1n}}{m_1 + m_2} .
\end{cases}
\tag{19.26}$$

Vitezele finale după ciocnire închid unghiurile β_1 și β_2 cu direcția O_1O_2 (fig.19.6), unghiuri ce pot fi determinate cu relațiile:

$$tg \beta_1 = \frac{u_{t1}}{u_{n1}} ; \quad tg \beta_2 = \frac{u_{t2}}{u_{n2}} . \tag{19.27}$$

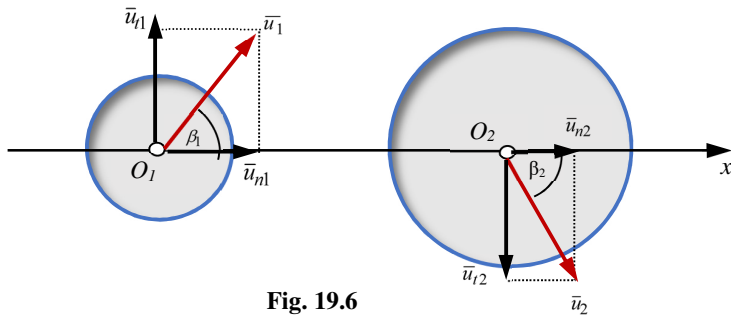


Fig. 19.6

3. Un alt caz particular al acestei ciocniri oblice este cazul când o sferă lovește un perete cu viteza \bar{v}_1 , făcând un unghi α cu normala în punctul de contact și la care componenta $v_1 \sin \alpha$ după direcția peretelui nu se modifică. Cealaltă componentă își schimbă sensul și devine $(ev_1 \cos \alpha)$. Astfel că viteza bilei după ciocnire va fi:

$$u_1 = \sqrt{v_1^2 \sin^2 \alpha + e^2 v_1^2 \cos^2 \alpha} = v_1 \sqrt{\sin^2 \alpha + e^2 \cos^2 \alpha} \leq v_1 . \quad (19.28)$$

Această viteză (u_1) după ciocnire va face cu normala peretelui unghiul β_1 , obținut din relația:

$$\operatorname{tg} \beta_1 = \frac{1}{e} \operatorname{tg} \alpha . \quad (19.29)$$

19.4 Ciocnirea unui corp cu un solid rigid aflat în mișcare de rotație în jurul unui ax fix și supus unei percuții exterioare. Centru de percuție ^[11]

În cele ce urmează, se va analiza alt caz particular al ciocnirilor și anume, ciocnirea unui solid rigid aflat în mișcare de rotație în jurul unui ax fix [11] cu un corp oarecare. Se consideră un corp (S) care se rotește cu viteza unghiulară $\bar{\omega}$ în jurul axei fixe $O_1 O_2$, având masa M și momentele de inerție mecanice axiale și centrifugale J_x, J_y, J_z și J_{xy}, J_{xz}, J_{yz} . Centrul de greutate (C) al corpului este conținut în planul xOz . La momentul t_1 corpul este ciocnit în punctul A cu percuția \bar{P}_A (fig. 19.7). Se cer să

se determine viteza unghiulară $\bar{\omega}'$ a corpului după ciocnire, precum și percuțiile \bar{P}_1, \bar{P}_2 din cele două articulații cilindrice O_1 și O_2 . Se notează impulsul solidului rigid cu \bar{H} .

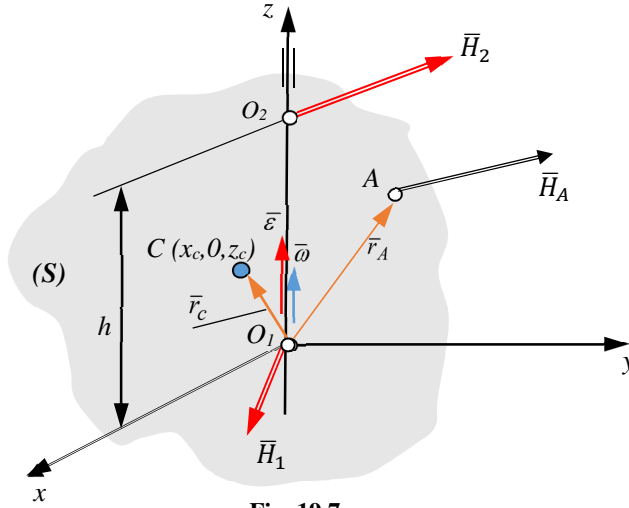


Fig. 19.7

Pentru a rezolva problema, se aplică *teorema impulsului și a momentului cinetic în cazul ciocnirilor*:

$$\bar{P}_2 - \bar{P}_1 = \bar{H}_A + \bar{H}_1 + \bar{H}_2 ; \quad (19.30)$$

$$\dot{\bar{K}}_{O_2} - \dot{\bar{K}}_{O_1} = \bar{r}_A \times \bar{H}_A + \overline{O_1 O_2} \times \bar{H}_2 ,$$

relații în care:

\bar{P}_2, \bar{P}_1 – sunt percuțiile date de forțele exterioare;

$\bar{H}_A, \bar{H}_1, \bar{H}_2$ – sunt impulsurile datorate mișcării.

$$\bar{H}_1 = M\bar{v}_c = M(\bar{\omega} \times \bar{r}_c) = M \begin{vmatrix} \bar{i} & \bar{j} & \bar{k} \\ 0 & 0 & \omega \\ x_c & 0 & z_c \end{vmatrix} = M\omega x_c \bar{j}; \quad (19.31)$$

$$\bar{H}_2 = M\bar{u}_c = M(\bar{\omega}' \times \bar{r}_c) = M \begin{vmatrix} \bar{i} & \bar{j} & \bar{k} \\ 0 & 0 & \omega' \\ x_c & 0 & z_c \end{vmatrix} = M\omega' x_c \bar{j}; \quad (19.32)$$

și

$$\begin{aligned}\bar{H}_A &= H_{Ax}\bar{i} + H_{Ay}\bar{j} + H_{Az}\bar{k}; \quad \bar{H}_1 = H_{1x}\bar{i} + H_{1y}\bar{j} + H_{1z}\bar{k}; \\ \bar{H}_2 &= H_{2x}\bar{i} + H_{2y}\bar{j} + H_{2z}\bar{k} .\end{aligned}\quad (19.33)$$

Explicitând momentele cinetice ale corpurilor, se poate aplica teorema momentului cinetic la ciocniri, exprimată prin relația (19.31). Astfel,

$$\dot{\bar{K}}_{02} - \dot{\bar{K}}_{01} = \bar{r}_A \times \bar{H}_A + \overline{O_1O_2} \times \bar{H}_2. \quad (19.34)$$

$$\bar{K}_{01} = -J_{zx}\omega\bar{i} - J_{zy}\omega\bar{j} + J_z\omega\bar{k}; \quad \bar{K}_{02} = -J_{zx}\omega'\bar{i} - J_{zy}\omega'\bar{j} + J_z\omega'\bar{k}; \quad (19.35)$$

$$\bar{r}_A \times H_A = (y_A H_{Az} - z_A H_{Ay})\bar{i} + (z_A H_{Ax} - x_A H_{Az})\bar{j} + (x_A H_{Ay} - y_A H_{Ax})\bar{k}; \quad (19.36)$$

$$\overline{O_1O_2} \times \bar{H}_2 = \begin{vmatrix} \bar{i} & \bar{j} & \bar{k} \\ 0 & 0 & h \\ H_{2x} & H_{2y} & H_{2z} \end{vmatrix} = -hH_{2y}\bar{i} + hH_{2x}\bar{j}. \quad (19.37)$$

Proiecțiile ecuațiilor (19.30) și (19.34) pe axele sistemului de referință $Oxyz$, sunt:

$$H_{Ax} + H_{1x} + H_{2x} = 0; \quad H_{Ay} + H_{1y} + H_{2y} = 0; \quad H_{Az} + H_{1z} + H_{2z} = 0 .$$

$$y_A H_{Az} - z_A H_{Ay} - hH_{2y} = -J_{zx}(\omega' - \omega);$$

$$z_A H_{Ax} - x_A H_{Az} + hH_{2x} = -J_{zy}(\omega' - \omega); \quad (19.38)$$

$$x_A H_{Ay} - y_A H_{Ax} = J_z(\omega' - \omega).$$

Din relațiile (19.38) rezultă necunoscutele: viteza unghiulară de rotație ω' și percuțiile din punctele O_1 și O_2 , în cazul în care în cel puțin unul din puncte este articulație cilindrică. În oricare alt caz, problema devine nedeterminată.

$$\omega' = \omega + \frac{x_A H_{Ay} - y_A H_{Ax}}{J_z} . \quad (19.39)$$

$$H_{2x} = -\frac{1}{h} [z_A H_{Ax} - x_A H_{Az} + J_{zy}(\omega' - \omega)];$$

$$H_{2y} = \frac{1}{h} [y_A H_{Az} - z_A H_{Ay} + J_{zx}(\omega' - \omega)];$$

$$H_{1x} = \frac{1}{h} [z_A H_{Ax} - x_A H_{Az} + J_{zy}(\omega' - \omega)] - H_{Ax}; \quad (19.40)$$

$$H_{1y} = -\frac{1}{h} [y_A H_{Az} - z_A H_{Ay} + J_{zx}(\omega' - \omega)] - H_{Ay} + Mx_c(\omega' - \omega);$$

$$H_{1z} + H_{2z} = -H_{Az}; \quad H_{2z} = 0; \quad \text{și} \quad H_{1z} = -H_{Az}. \quad (19.41)$$

(în cazul articulațiilor cilindrice din O_1 și O_2).

Se ridică o problemă de natură tehnică și anume că existența percuțiilor din articulațiile O_1 și O_2 aduc uzuri ale acestora așadar, acestea trebuie eliminate, respectiv $\mathbb{P}_1 = 0$ și $\mathbb{P}_2 = 0$. Există trei cazuri care pot fi studiate și anume:

$$\text{Caz. 1} \quad H_{Ax} = 0; \quad H_{Az} = 0; \quad H_{Ay} = Mx_c(\omega' - \omega) \quad (19.42)$$

(în acest caz, există o *percuție perpendiculară pe planul determinat de axa de rotație și centrul maselor*);

$$\text{Caz. 2} \quad J_{yz} = 0 \quad (19.43)$$

(în acest caz, *axa de rotație este axă principală de inerție pentru punctul din planul căruia aparține percuția și aceasta axă este perpendiculară pe axa de rotație și o intersectează*);

$$\text{Caz. 3} \quad x_A = \frac{J_z}{Mx_c}; \quad z_A = \frac{J_{xz}}{Mx_c}; \quad y_A - \text{nedeterminat} \quad (19.44)$$

Punctul de aplicație al percuției exterioare trebuie să se găsească pe o dreaptă perpendiculară pe planul determinat de axa de rotație și centrul maselor, dreaptă rezultată la intersecția planelor. În acest caz, orice punct al acestei drepte devine centru de percuție având coordonatele:

$$x = \frac{J_z}{Mx_c}; \quad z = \frac{J_{xz}}{Mx_c} . \quad (19.45)$$

19.5 Probleme rezolvate

19.5.1. O bilă de masă m (fig. 19.8) [11] este legată de un fir de lungime l . Pornind din repaus, aflată sub un unghi α și sub acțiunea gravitației proprii, bila ciocnește în punctul A o bară omogenă $OA = l$ de masă $2m$ aflată în repaus, în poziție verticală. Coeficientul de restituire al acestei ciocniri este $e_1 = 0,5$.

După ciocnire, bara OA începe să se rotească în jurul punctului O , iar atunci când ajunge în poziție orizontală, ea se ciocnește cu un opritor fix B ($OB = \frac{3}{4}l$). În urma ciocnirii, înclinarea maximă a barei față de orizontală este β ($\alpha \neq \beta$).

Să se calculeze unghiul de înclinare maximă al firului după ciocnire, respectiv unghiul β și coeficientul de restituire e_2 , la ciocnirea barei OA cu opritorul din B .

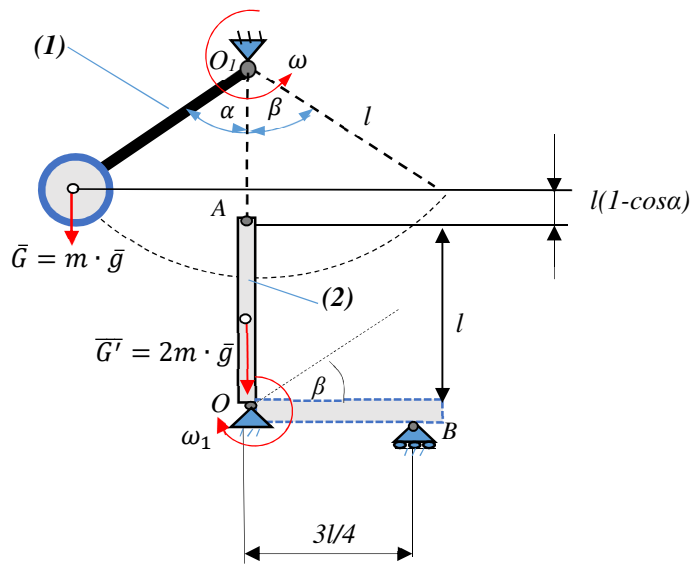


Fig. 19.8

Soluție:

Pentru bilă se notează cu:

ω' – este viteza unghiulară cu care se rotește bara din O_1 cu bila în jurul articulației

O_1 după ciocnire;

v_1 – este viteza bilei înainte de ciocnire;

$u_1 = v'_1$ – este viteza bilei după ciocnire;

$v_2 = 0$ – este viteza capătului A al barei OA înainte de ciocnire (bara în repaus);

$u_2 = \omega' l$ – este viteza capătului A al barei OA după ciocnire;

$e_1 = \frac{u_2 - u_1}{v_1 - v_2}$ – este coeficientul de restituire la ciocnire între bilă și bara OA .

Aplicând *teorema energiei cinetice pentru bilă* înainte de ciocnire, rezultă:

$$E_{c2} - E_{c1} = L_{1-2}. \quad (1)$$

Deoarece, $E_{c2} = 0$, se obține:

$$-\frac{1}{2}mv_1^2 = -mgl(1 - \cos\alpha), \quad (2)$$

de unde rezultă:

$$v_1 = \sqrt{2gl(1 - \cos\alpha)}. \quad (3)$$

Plecând de la expresia coeficientului de restituire: $e_1 = \frac{u_2 - u_1}{v_1 - v_2} = \frac{\omega' l - v'_1}{v_1 - 0}$ (4)

și aplicând *teorema de conservare a impulsului pentru bilă*:

$$\Delta\bar{P} = 0, \quad \bar{P}_2 - \bar{P}_1 = 0; \quad \text{se obține } \bar{P}_2 = \bar{P}_1, \quad (5)$$

respectiv,

$$mv'_1 l + \frac{2ml^2}{3}\omega' = mv_1 l. \quad (6)$$

Din relațiile (4) și (6) se obțin viteza unghiulară și viteza bilei după ciocnire cu bara OA . Astfel,

$$\omega' = \frac{3v_1}{2l} = \frac{9}{10l}\sqrt{2gl(1 - \cos\alpha)},$$

$$v'_1 = \frac{2}{5}\sqrt{2gl(1 - \cos\alpha)}. \quad (7)$$

Pentru mișcarea bilei după ciocnire, se aplică *teorema de variație a energiei cinetice*.

$$E_{c2} - E_{c1} = L_{1-2}$$

$$0 - \frac{1}{2}mv_1^2 = -mgl(1 - \cos\beta), \quad \text{din care rezultă: } \beta = \arccos \frac{2l+4\cos\alpha}{25}. \quad (8)$$

În relația (8), β - reprezintă unghiul de înclinare maxim al firului după ciocnire.

Pentru bară:

ω'_1 – este viteza unghiulară cu care se rotește bara OA în jurul articulației O după ciocnire;

$v_1 = 0$ – este viteza capătului A al barei OA înainte de ciocnire;

$u_1 = \omega'_1 l$ – este viteza capătului A al barei OA după ciocnire;

$v_2 = \omega_1 l$ – este viteza capătului B al barei OB înainte de ciocnire;

$u_2 = 0$ – este viteza capătului B al barei după ciocnire (bara se oprește);

$e_2 = \frac{u_2 - u_1}{v_1 - v_2}$ – este coeficientul de restituire la ciocnire între bara OA și bara OB .

Pentru rezolvare, se pleacă de la relația coeficientului de restituire:

$$e_2 = \frac{u_2 - u_1}{v_1 - v_2} = \frac{0 - \omega'_1 l}{0 - \omega_1 l} . \quad (9)$$

- Pentru determinarea vitezei unghiulare ω_1 a barei, viteză cu care se ajunge în poziție orizontală, se aplică *teorema de variație a energiei cinetice* în mișcarea de rotație:

$$E_{c2} - E_{c1} = L_{1-2}; \quad (10)$$

relație în care:

$$E_{c2} = \frac{1}{2} J_0 \omega'^2 = \frac{1}{2} \frac{2ml^2}{3} \omega'^2, \quad (11)$$

unde $J_0 = \frac{2ml^2}{3}$ - este moment de inerție mecanic axial al barei OA ,

$$E_{c1} = \frac{1}{2} J_0 \omega_1^2 = \frac{1}{2} \frac{2ml^2}{3} \omega_1^2; \quad (12)$$

$$L_{1-2} = 2mg \frac{l}{2}. \quad (13)$$

Înlocuind relațiile (11), (12) și (13) în (10), rezultă viteza unghiulară a barei înainte de ciocnire:

$$\frac{1}{2} \frac{2ml^2}{3} (\omega_1^2 - \omega'^2) = 2mg \frac{l}{2}, \quad (14)$$

adică,

$$\omega_1 = \sqrt{\frac{(462-162\cos\alpha)g}{10\sqrt{l}}}. \quad (15)$$

- Se aplică în continuare, *teorema de variație a energiei cinetice* între poziția orizontală și poziția determinată de unghiul β a barei OA (poziție în care viteza unghiulară este nulă, bara se oprește).

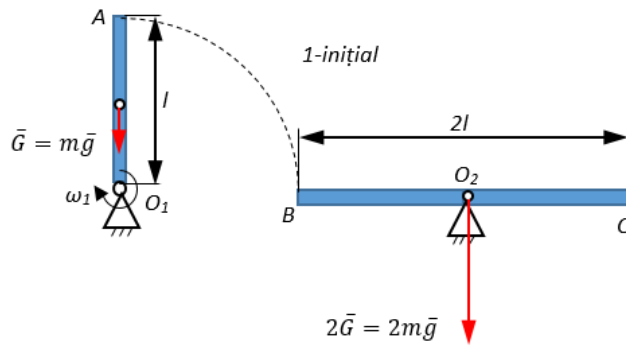
$$0 - \frac{1}{2} \frac{2ml^2}{3} \omega_1' = -2mg \frac{l}{2} \sin\beta. \quad (16)$$

Conform relațiilor (9) și (16), după efectuarea calculelor, rezultă coeficientul de restituire la ciocnire a barei OA și viteza unghiulară după ciocnire:

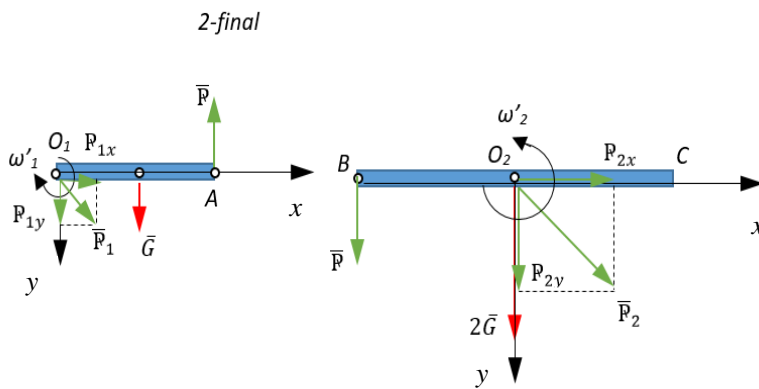
$$\omega_1' = 10 \sqrt{-\frac{\sin\beta}{2(77-27\cos\alpha)}}, \quad (17)$$

$$e_2 = \frac{\omega_1'}{\omega_1} = \sqrt{\frac{(462-162\cos\alpha)g}{10\sqrt{l}}}. \quad (18)$$

19.5.2. O bară omogenă O_1A [11] de lungime l și greutate \bar{G} , aflată în repaus, pornește din poziție verticală și ciocnește cu A capătul B al unei bare omogene BC de lungime $2l$ și greutate $2G$ (fig. 19.9a), barele fiind articulate în O_1 și O_2 . Bara BC este inițial în repaus în poziție orizontală. Se cere să se determine: vitezele unghiulare după ciocnire ale celor două bare și percuțiile din articulații. Coeficientul de restituire al percuției este $e = 2/3$.



a.



b.

Fig. 19.9

Soluție:

- viteza ω_1 a barei O_1A în poziție orizontală se va determina aplicând *teorema de variație a energiei cinetice* în mișcarea de rotație:

$$E_{c2} - E_{c1} = L_{1-2}; \tag{1}$$

$$\frac{1}{2} \frac{Gl^2}{3g} \omega_1^2 - 0 = \frac{Gl}{2}; \tag{2}$$

Din (2) rezultă:

$$\omega_1 = \sqrt{\frac{3g}{l}}. \quad (3)$$

- pentru studiul ciocnirii se izolează cele două bare, introducându-se în articulațiile O_1 și O_2 , precum și în punctul de ciocnire $A = B$, percuțiile $\bar{P}_2, \bar{P}_1, \bar{P}$. Percuțiile sunt perpendiculare pe planul format de axa de rotație și centrul de masă.

- pentru determinarea vitezelor unghiulare după ciocnire ω'_1, ω'_2 și a percuției \bar{P} , se va aplica *teorema de variație a momentului cinetic* pentru fiecare bară separat, în raport cu articulația proprie.

Astfel,

$$\vec{K}_2 - \vec{K}_1 = \sum_{i=1}^n \vec{r}_i \times \vec{P}_i. \quad (4)$$

$$\text{Pentru bara } O_1A: \quad \frac{Gl^2}{3g} (\omega'_1 - \omega_1) = -Pl. \quad (5)$$

$$\text{Pentru bara } BC: \quad \frac{2G \cdot 4l^2}{12g} \omega'_2 = Pl, \quad \text{unde } \frac{2G \cdot 4l^2}{12g} = J_0. \quad (6)$$

Coeficientul de restituire este e are expresia:

$$e = \frac{2}{3} = \frac{u_2 - u_1}{v_1 - v_2} = \frac{\omega'_2 l - \omega'_1 l}{\omega_1 l}. \quad (7)$$

unde: ω_1, ω'_1 - sunt vitezele unghiulare ale barei O_1A înainte și după ciocnire;

ω'_2 - este viteza unghiulară a barei BC după ciocnire.

Din sistemul de ecuații format de (5), (6) și (7) rezultă soluțiile:

$$\omega'_1 = -\frac{1}{9} \sqrt{\frac{3g}{l}}; \quad \omega'_2 = \frac{5}{9} \sqrt{\frac{3g}{l}}; \quad P = \frac{10G}{27} \sqrt{\frac{3l}{g}}. \quad (8)$$

- Pentru determinarea *percuțiilor din articulațiile O_1 și O_2* se aplică succesiv, *teorema de variație a impulsului* pentru fiecare bară în parte, ale cărei proiecții pe axe sunt:

$$\text{Bara } O_1A: \quad P_{1x} - P = G \frac{l}{2(\omega'_1 - \omega_1)}; \quad (9)$$

$$P_{1y} = 0; \quad (10)$$

de unde rezultă, având în vedere (9) se obține:

$$\mathbb{P}_1 = \mathbb{P}_{1x} = -\frac{5G}{27} \sqrt{\frac{3l}{g}}. \quad (11)$$

Percuția $\bar{\mathbb{P}}_1$ are sens contrar axei alese O_{1x} , pentru că a rezultat cu semnul minus.

Bara BC: *Teorema de variație a impulsului* pentru bara BC proiectată pe axele sistemului de referință ales, devine:

$$\mathbb{P} + \mathbb{P}_{2y} = 0; \quad (12)$$

$$\mathbb{P}_{2x} = 0; \quad (13)$$

Din relațiile (9), (12) și (13), se obține:

$$\mathbb{P}_2 = \mathbb{P}_{2y} = -\mathbb{P} = -\frac{10G}{27} \sqrt{\frac{3l}{g}}. \quad (14)$$

19.6 Probleme propuse

19.6.1. De la înălțimea H începe să cadă o bilă elastic pe pana de unghi α . Simultan pana (fig. 19.10) începe să se miște orizontal cu accelerația \bar{a} . Să se determine intervalul de timp dintre prima și a doua ciocnire a bilei cu pana, dacă ele au avut loc în același punct de pe suprafața penei.

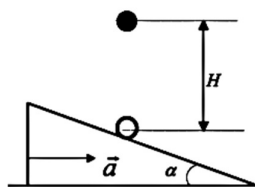


Fig. 19.10

Răspuns:

$$H' = 2 \sqrt{\frac{2H}{g}} \cos \alpha.$$

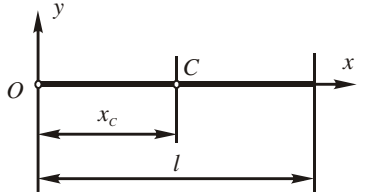
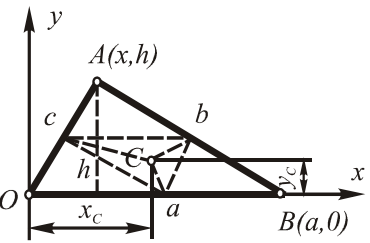
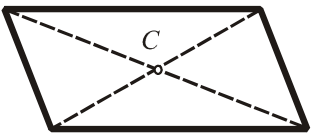
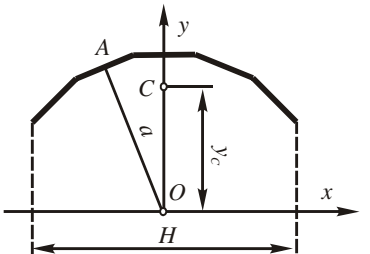
19.6.2. Două bile de mase m_1 și m_2 ($m_1 > m_2$) se mișcă cu vitezele \bar{v}_1 și \bar{v}_2 pe orizontală până se ciocnesc. Se cunoaște că viteza v_1 este de patru ori mai mare decât viteza v_2 . După o ciocnire perfect elastică, bila m_1 se oprește. Să se determine raportul dintre cele două mase în acest caz.

Răspuns:

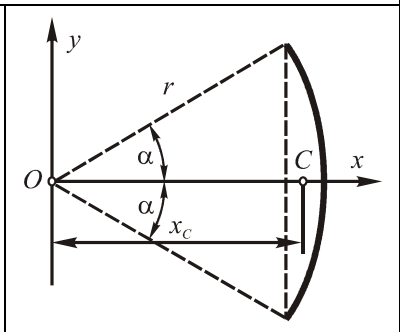
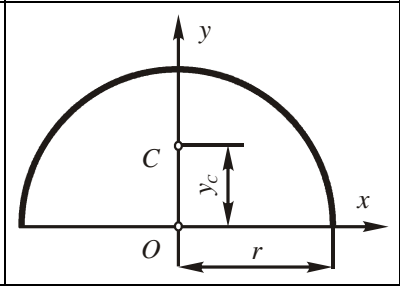
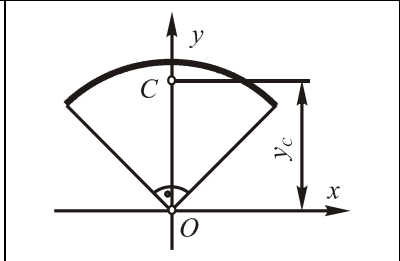
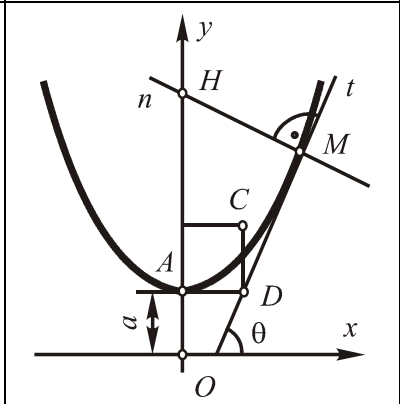
$$\frac{m_1}{m_2} = \frac{1}{2}.$$

ANEXA 1. Tabel cu centrele de greutate ale diferitelor figuri și corpuri geometrice

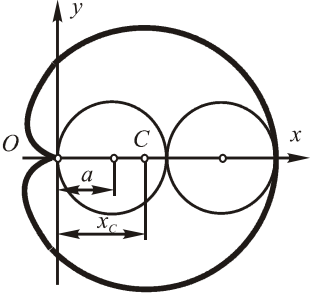
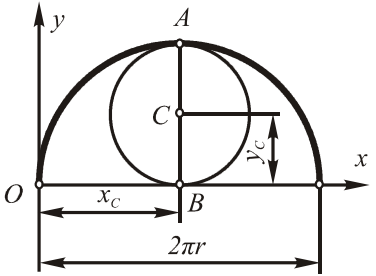
a. Linii omogene

Corpul, figura și sistemul de coordonate	Coordonatele centrului de greutate
<p>Linia dreaptă</p> 	$x_C = \frac{1}{2}l$
<p>Conturul triunghiului</p> 	<p>Intersecția bisectoarelor triunghiului median</p> $x_C = \frac{a(a+2b)+x(c-b)}{2(a+b+c)}$ $y_C = \frac{h}{2} \frac{b+c}{a+b+c}$
<p>Conturul paralelogramului (dreptunghiului, rombului)</p> 	<p>La intersecția diagonalelor</p>
<p>Contur poligonal regulat</p> 	$y_C = OC = \frac{aH}{L}$ <p>a – apotema OA H – proiecția conturului poligonal pe axa Ox L – lungimea conturului</p>

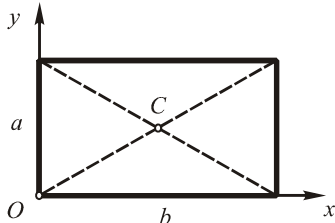
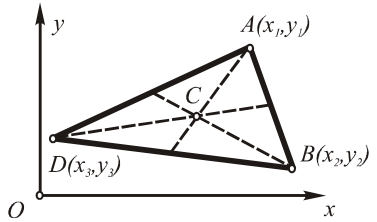
Anexa 1 (continuare)

Corpul, figura și sistemul de coordonate	Coordonatele centrului de greutate
<p>Arc de cerc</p> 	$x_C = OC = r \frac{\sin \alpha}{\alpha}$ <p>(α în radiani)</p>
<p>Semicerc</p> 	$y_C = \frac{2r}{\pi} = 0,6366 r$
<p>Sfert de cerc</p> 	$y_C = \frac{2\sqrt{2}}{\pi} r$
<p>Arcul de lăntișor</p> 	$x_C = AD$ $y_C = \frac{OH}{2}$ <p>D – intersecția tangentei în M cu orizontala în A H – intersecția normalei în M cu Oy a – parametrul lăntișorului</p>

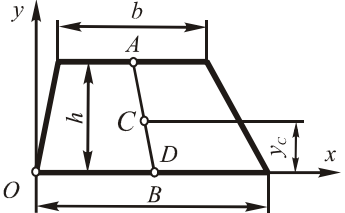
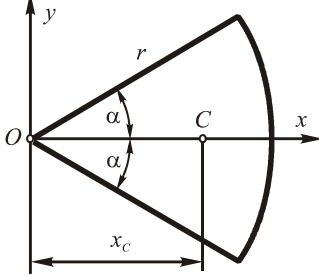
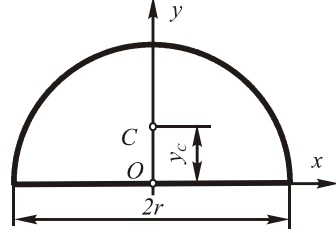
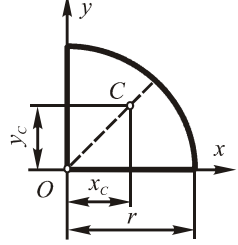
Anexa 1 (continuare)

Corpul, figura și sistemul de coordonate	Coordonatele centrului de greutate
<p>Cardioida</p>  <p>$r = 2a(1 + \cos \theta)$ - ecuația cardioidei</p>	$x_C = \frac{8a}{5}$
<p>Cicloida</p> 	$x_C = \pi r$ $y_C = \frac{4}{3} r$ <p>r - raza cercului</p> $r = \frac{1}{2} AB$

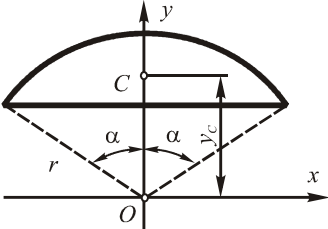
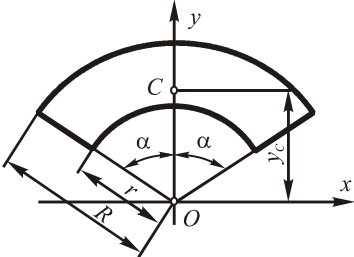
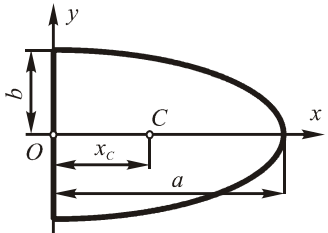
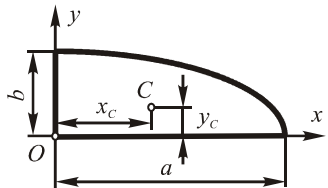
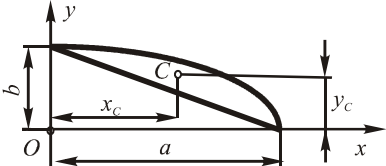
b. Suprafețe omogene

<p>Dreptunghi</p>		$x_C = \frac{b}{2}$ $y_C = \frac{a}{2}$
<p>Triunghi</p>		$x_C = \frac{x_1 + x_2 + x_3}{3}$ $y_C = \frac{y_1 + y_2 + y_3}{3}$ <p>C este la intersecția medianelor</p>

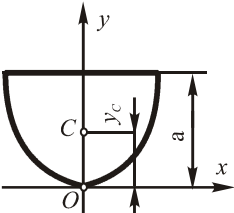
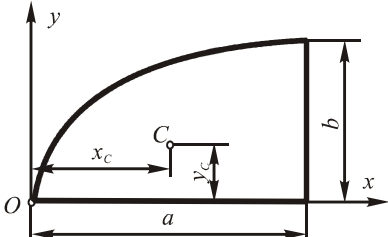
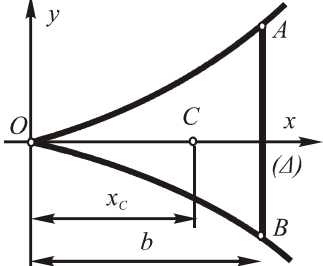
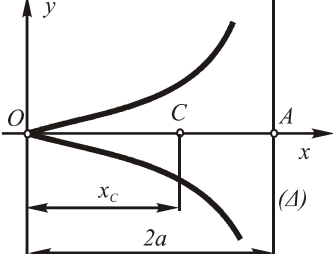
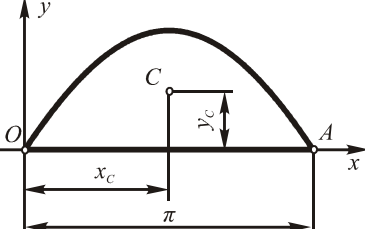
Anexa 1 (continuare)

Corpul, figura și sistemul de coordonate	Coordonatele centrului de greutate
<p>Trapez</p> 	$y_C = \frac{h}{3} \cdot \frac{B+2b}{B+b}$ <p><i>C</i> se găsește pe segmentul <i>AD</i>, <i>A</i> și <i>D</i> fiind mijloacele bazelor</p>
<p>Sector de cerc</p> 	$x_C = \frac{2}{3} r \frac{\sin \alpha}{\alpha}$ <p>(α în radiani)</p>
<p>Semicerc</p> 	$y_C = \frac{4r}{3\pi} = 0,4244 r$
<p>Sfert de cerc</p> 	$x_C = \frac{4r}{3\pi}$ $y_C = \frac{4r}{3\pi}$

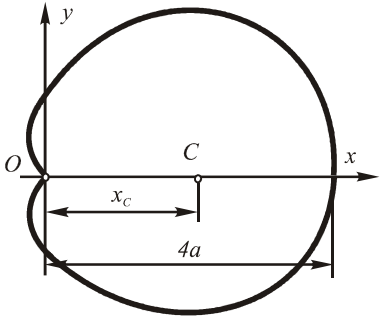
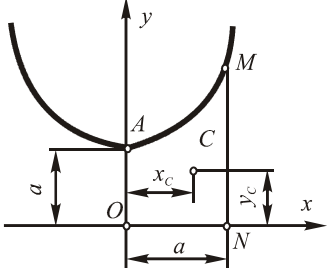
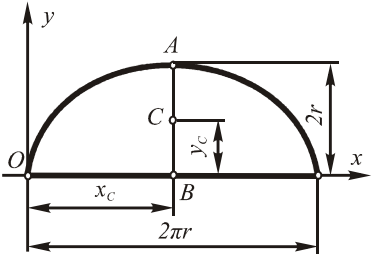
Anexa 1 (continuare)

Corpul, figura și sistemul de coordonate	Coordonatele centrului de greutate
<p>Segment de cerc</p> 	$y_C = \frac{4}{3} \frac{r \sin^3 \alpha}{2\alpha - \sin 2\alpha}$ <p>(α în radiani)</p>
<p>Porțiune de coroană circulară</p> 	$y_C = \frac{2}{3} \frac{R^3 - r^3}{R^2 r^2} \frac{\sin \alpha}{\alpha}$ <p>(α în radiani)</p>
<p>Semi-elipsă</p> 	$x_C = \frac{4a}{3\pi}$
<p>Sfert de elipsă</p> 	$x_C = \frac{4a}{3\pi}$ $y_C = \frac{4b}{3\pi}$
<p>Segment de elipsă</p> 	$x_C = \frac{2a}{3(\pi - 2)}$ $y_C = \frac{2b}{3(\pi - 2)}$

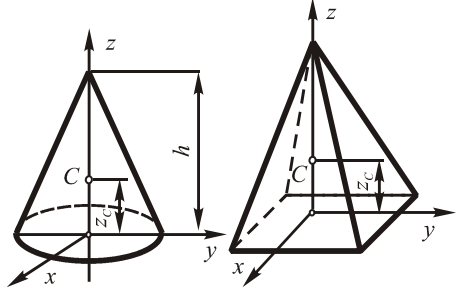
Anexa 1 (continuare)

Corpul, figura și sistemul de coordonate	Coordonatele centrului de greutate
<p>Parabola $y = x^2$</p>	 <p>$y_c = \frac{3}{5}a = 0,6a$</p>
<p>Jumătate de parabolă</p>	 <p>$x_c = \frac{3}{5}a$ $y_c = \frac{3}{8}b$</p>
<p>Parabola semicubică $ay^2 = x^3$ Aria suprafeței OAB</p>	 <p>$x_c = \frac{5}{7}b$</p>
<p>Cisoida</p>	 <p>$y^2 = \frac{x^3}{2a-x}$ $x_c = \frac{5}{3}a$ <i>C este centrul de greutate al ariei suprafeței limitată de ramurile și asimptota ei (Δ)</i></p>
<p>Sinusoida $y = \sin x$</p>	 <p>$x_c = \frac{\pi}{2}$ $y_c = \frac{\pi}{8}$</p>

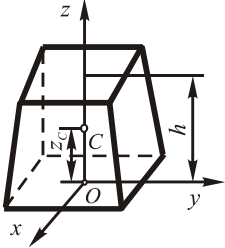
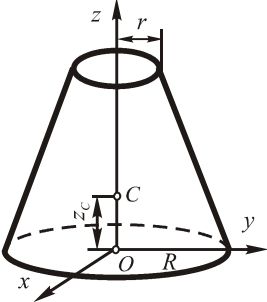
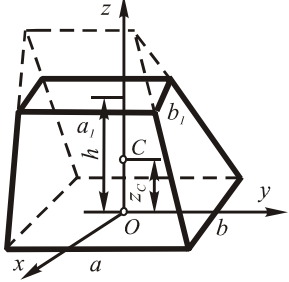
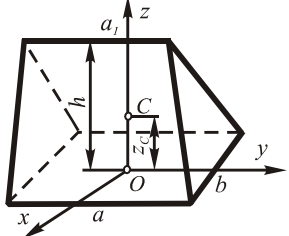
Anexa 1 (continuare)

Corpul, figura și sistemul de coordonate	Coordonatele centrului de greutate
<p>Cardioida</p> 	$r = 2a(1 + \cos \theta) - \text{ecuația cardioidei}$ $x_C = \frac{11}{6}a$
<p>Aria suprafeței OAMN a lăncișorului</p> 	$y = -\left(e^{\frac{x}{a}} + e^{-\frac{x}{a}} \right)$ $x_C = \frac{2a}{e+1}$ $y_C = \frac{a}{8} \frac{e^4 + 4e^2 - 1}{e(e^2 - 1)}$
<p>Cicloida</p> 	$x_C = \pi r$ $y_C = \frac{5}{6}r$

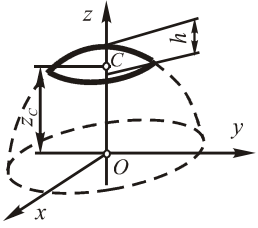
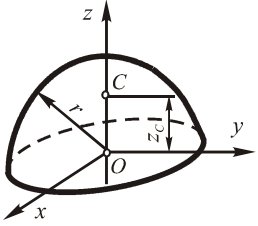
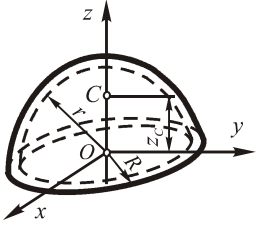
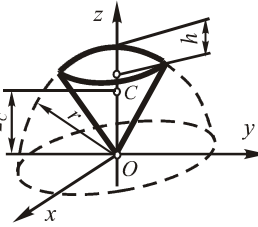
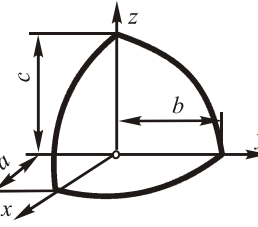
c. Volume omogene

<p>Con și piramidă</p> 	$z_C = \frac{h}{4}$
--	---------------------

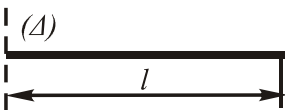
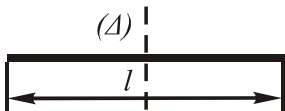
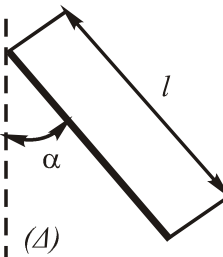
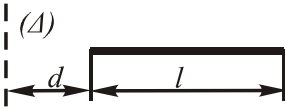
Anexa 1 (continuare)

	Corpul, figura și sistemul de coordonate	Coordonatele centrului de greutate
Trunchi de piramidă		$z_C = \frac{h}{4} \frac{S_B + 2\sqrt{S_B S_b} + 3S_b}{B + \sqrt{S_B S_b} + S_b}$ <p>S_B - suprafața bazei mari S_b - suprafața bazei mici h - înălțimea trunchiului de piramidă</p>
Trunchi de con circular		$z_C = \frac{h}{4} \frac{R^2 + 2Rr + 3r^2}{R^2 + Rr + r^2}$
Obelisc		$z_C = \frac{h}{2} \frac{a(b+b_1) + a_1(b+3b_1)}{b(2a+a_1) + b_1(a+2a_1)}$
Pană		$z_C = \frac{h}{2} \frac{(a+a_1)}{2a+a_1}$

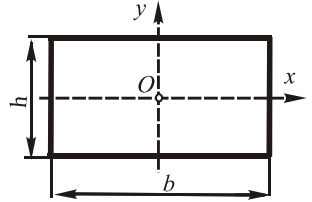
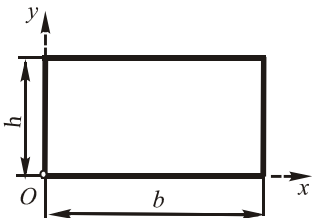
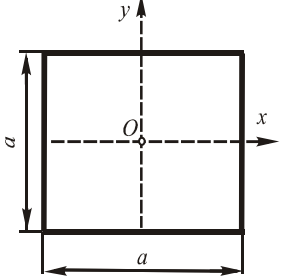
Anexa 1 (continuare)

Corpul, figura și sistemul de coordonate	Coordonatele centrului de greutate
<p>Calotă sferică</p> 	$z_C = \frac{3}{4} \cdot \frac{(2r-h)^2}{3r-h}$ <p>Formulă valabilă și pentru elipsoidul de revoluție de axă egală cu diametrul sferei</p>
<p>Emisferă</p> 	$z_C = \frac{3}{8} r$
<p>Emisferă goală</p> 	$z_C = \frac{3}{8} \cdot \frac{R^4 - r^4}{R^3 - r^3}$
<p>Sector sferic</p> 	$z_C = \frac{3}{8} (2r-h)$
<p>Elipsoid octant</p> 	$x_C = \frac{3}{8} a$ $y_C = \frac{3}{8} b$ $z_C = \frac{3}{8} c$

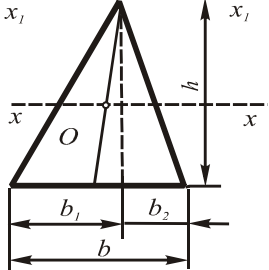
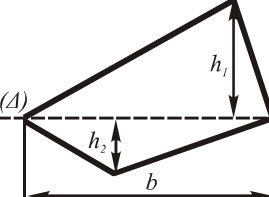
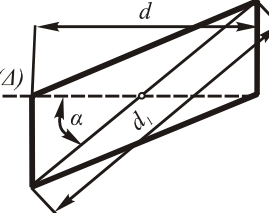
ANEXA 2. Tabel cu momentele de inerție ale diferitelor figuri și corpuri geometrice

Figura	Profilul	Axa	Momentul de inerție	
			geometric	mecanic
Linii		Axa Δ	$\frac{l^3}{3}$	$M \frac{l^3}{3}$
		Axa Δ	$\frac{l^3}{12}$	$M \frac{l^3}{12}$
		Axa Δ	$\frac{l^3}{3} \sin^2 \alpha$	$M \frac{l^3}{3} \sin^2 \alpha$
		Axa Δ	$\frac{l}{3} (3d^2 + 3dl + l^2)$	$M \left(d^2 + dl + \frac{l^2}{3} \right)$

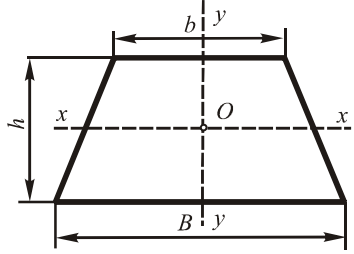
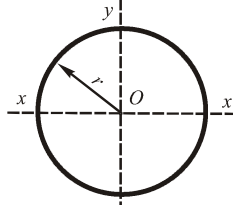
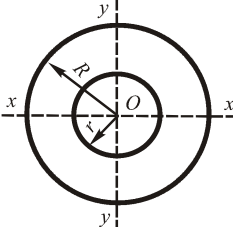
Anexa 2 (continuare)

Figura	Profilul	Axa	Momentul de inerție	
			geometric	mecanic
Dreptunghi		Axa centrală O_x	$\frac{1}{12}bh^3$	$\frac{1}{12}Mh^2$
		Axa centrală O_y	$\frac{1}{12}b^3h$	$\frac{1}{12}Mb^2$
		Axa O_x	$\frac{1}{3}bh^3$	$\frac{1}{3}Mh^2$
		Axa O_y	$\frac{1}{3}b^3h$	$\frac{1}{3}Mb^2$
Pătrat		Axa O_x Axa O_y	$\frac{1}{12}a^4$	$\frac{1}{12}Ma^2$
		Latura a	$\frac{1}{3}a^4$	$\frac{1}{3}Ma^2$

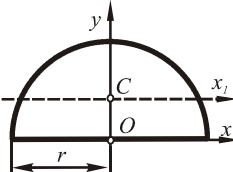
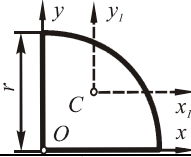
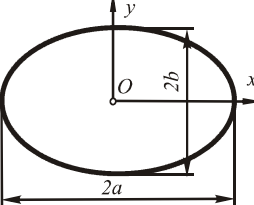
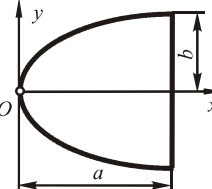
Anexa 2 (continuare)

Figura	Profilul	Axa	Momentul de inerție	
			geometric	mecanic
Triunghi		Baza b	$\frac{1}{12}bh^3$	$\frac{1}{6}Mh^2$
		Axa Ox	$\frac{1}{36}bh^3$	$\frac{1}{18}Mh^2$
		Axa Ox_1	$\frac{1}{4}bh^3$	$\frac{1}{2}Mh^2$
		Înălțimea h	$\frac{1}{12}(b_1^3 + b_2^3)h$	$\frac{1}{6b}M(b_1^3 + b_2^3)$
Patrulater neregulat		Axa Δ	$\frac{1}{12}b(h_1^3 + h_2^3)$	$\frac{1}{6}M \frac{h_1^3 + h_2^3}{h_1 + h_2}$
Paralelogram		Axa Δ	$\frac{1}{48}da_1^3 \sin^3 \alpha$	$\frac{1}{24}Md_1^2 \sin^2 \alpha$

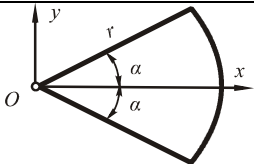
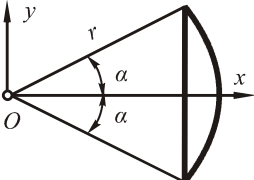
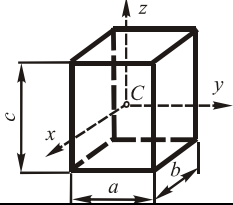
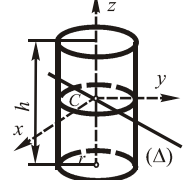
Anexa 2 (continuare)

Figura	Profilul	Axa	Momentul de inerție	
			geometric	mecanic
Trapez isoscel		Baza mare B	$\frac{1}{12} h^3 (B + 3b)$	$\frac{1}{6} M h^2 \frac{B + 3b}{B + b}$
		Baza mică b	$\frac{1}{12} h^3 (3B + b)$	$\frac{1}{6} M h^2 \frac{3B + b}{B + b}$
		Axa Ox	$\frac{1}{36} h^3 \frac{B^2 + 4Bb + b^2}{B + b}$	$\frac{1}{18} M h^2 \frac{B^2 + 4Bb + b^2}{(B + b)^2}$
		Axa Oy	$\frac{1}{48} h \frac{B^4 - b^4}{B - b}$	$\frac{1}{24} M (B^2 + b^2)$
Cerc		Polul O	$\frac{1}{2} \pi r^2$	$\frac{1}{2} M^2 r$
		Axa Ox Axa Oy	$\frac{1}{4} \pi r^4$	$\frac{1}{4} M r^2$
Coroană circulară		Polul O	$\frac{1}{2} \pi (R^4 - r^4)$	$\frac{1}{2} M (R^2 + r^2)$
		Axa Ox Axa Oy	$\frac{1}{4} \pi (R^4 - r^4)$	$\frac{1}{2} M (R^2 + r^2)$

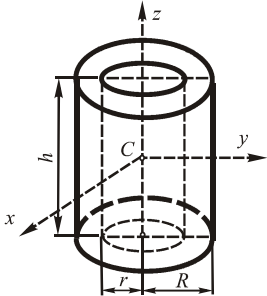
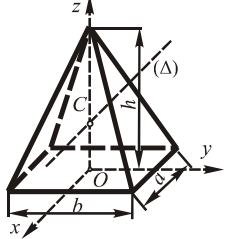
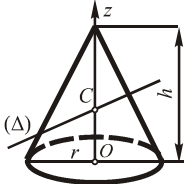
Anexa 2 (continuare)

Figura	Profilul	Axa	Momentul de inerție	
			geometric	mecanic
Semicerc		Axa Ox Axa Oy	$\frac{1}{8}\pi r^4$	$\frac{1}{4}Mr^2$
		Axa Cx_1	$\pi r^4 \left(\frac{1}{8} - \frac{8}{9\pi^2} \right)$	$Mr^2 \left(\frac{1}{4} - \frac{16}{9\pi^2} \right)$
Sfert de cerc		Axa Ox Axa Oy	$\frac{1}{16}\pi r^4$	$\frac{1}{4}Mr^2$
		Axa Cx_1 Axa Cy_1	$r^4 \left(\frac{\pi}{16} - \frac{4}{9\pi} \right)$	$\frac{1}{4}Mr^2 \left(1 - \frac{64}{9\pi^2} \right)$
Elipsa		Axa mare Ox	$\frac{1}{4}\pi ab^3$	$\frac{1}{4}Mb^2$
		Axa mică Oy	$\frac{1}{4}\pi a^3 b$	$\frac{1}{4}Ma^2$
Parabola		Axa Ox	$\frac{4}{15}ab^3$	$\frac{1}{5}Mb^2$
		Axa Oy	$\frac{4}{7}a^3 b$	$\frac{3}{7}Ma^2$

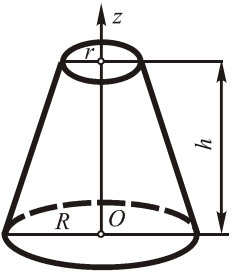
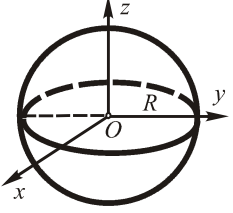
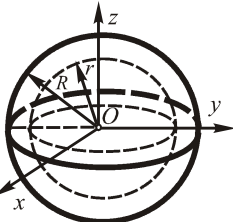
Anexa 2 (continuare)

Figura	Profilul	Axa	Momentul de inerție	
			geometric	mecanic
Sector circular		Axa Ox	$\frac{1}{8}r^4(2\alpha - \sin 2\alpha)$	$\frac{1}{4}Mr^2\left(1 - \frac{\sin 2\alpha}{2\alpha}\right)$
		Axa Oy	$\frac{1}{8}r^4(2\alpha + \sin 2\alpha)$	$\frac{1}{4}Mr^2\left(1 + \frac{\sin 2\alpha}{2\alpha}\right)$
Segment de cerc		Axa Ox	$\frac{r^4}{8}\sin 2\alpha - \frac{4}{3}\left(\sin 2\alpha + \frac{1}{6}\sin 4\alpha\right)$	$\frac{Mr^2}{4}\left(1 - \frac{1}{6}\frac{2\sin 2\alpha - \sin 4\alpha}{2\alpha - \sin 2\alpha}\right)$
		Axa Oy	$\frac{1}{8}r^4\left(2\alpha - \frac{1}{2}\sin 4\alpha\right)$	$\frac{Mr^2}{4}\left(1 + \frac{1}{2}\frac{2\sin 2\alpha - \sin 4\alpha}{2\alpha - \sin 2\alpha}\right)$
Paralelipiped		Axa Cx	$\frac{1}{12}abc(b^2 + c^2)$	$\frac{1}{12}M(b^2 + c^2)$
		Axa Cy	$\frac{1}{12}abc(c^2 + a^2)$	$\frac{1}{12}M(c^2 + a^2)$
		Axa Cz	$\frac{1}{12}abc(a^2 + b^2)$	$\frac{1}{12}M(a^2 + b^2)$
Cilindru		Axa Cz	$\frac{1}{2}\pi r^2 h$	$\frac{1}{2}Mr^2$
		Axa Cx	$\frac{1}{12}\pi r^2 h(3r^2 + h^2)$	$\frac{1}{12}M(3r^2 + h^2)$
		Axa Cy		
		Axa Δ		

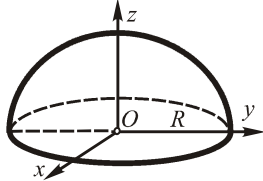
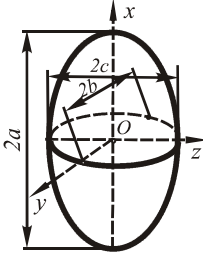
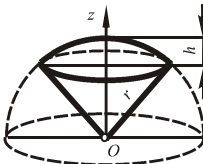
Anexa 2 (continuare)

Figura	Profilul	Axa	Momentul de inerție	
			geometric	mecanic
Cilindru gol		Axa Cz	$\frac{1}{2} \pi h (R^4 - r^4)$	$\frac{1}{2} M (R^2 + r^2)$
		Axa Cx Axa Cy	$\frac{\pi (R^2 - r^2) h}{4} \cdot \left(R^2 + r^2 + \frac{h^2}{3} \right)$	$\frac{1}{12} M (3R^2 + 3r^2 + h^2)$
Piramidă dreptunghiulară		Axa Oz	$\frac{1}{60} abh (a^2 + b^2)$	$\frac{1}{20} M (a^2 + b^2)$
		Axa Δ	$\frac{1}{60} abh \left(b^2 + \frac{3h^2}{4} \right)$	$\frac{1}{80} M (4b^2 + 3h^2)$
Con circular drept		Axa Oz	$\frac{1}{10} \pi r^4 h$	$\frac{3}{10} Mr^2$
		Axa Δ	$\frac{1}{20} \pi r^2 h \left(r^2 + \frac{h^2}{4} \right)$	$\frac{3}{20} M \left(r^2 + \frac{h^2}{4} \right)$

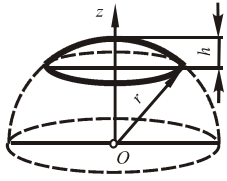
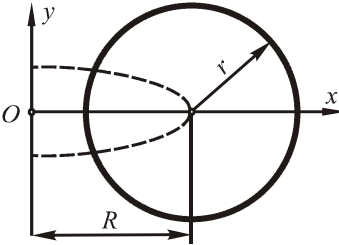
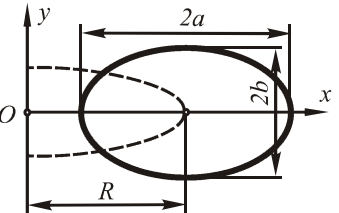
Anexa 2 (continuare)

Figura	Profilul	Axa	Momentul de inerție	
			geometric	mecanic
Trunchi de con		Axa z	$\frac{1}{10} \pi h \frac{R^5 - r^5}{R - r}$	$\frac{3}{10} M \frac{R^5 - r^5}{R^3 - r^3}$
Sferă		Polul O	$\frac{4}{5} \pi R^5$	$\frac{3}{5} MR^2$
		$I_x = I_y = I_z$	$\frac{8}{15} \pi R^5$	$\frac{2}{5} MR^2$
		Tangenta	$\frac{28}{15} \pi R^5$	$\frac{7}{5} MR^2$
Sferă goală		Polul O	$\frac{4}{5} \pi (R^5 - r^5)$	$\frac{3}{5} M \frac{R^5 - r^5}{R^3 - r^3}$
		Axa x Axa y	$\frac{8}{15} \pi (R^5 - r^5)$	$\frac{2}{5} M \frac{R^5 - r^5}{R^3 - r^3}$

Anexa 2 (continuare)

Figura	Profilul	Axa	Momentul de inerție	
			geometric	mecanic
Emisferă		Axa Ox Axa Oy Axa Oz	$\frac{4}{15} \pi R^5$	$\frac{2}{5} MR^2$
Elipsoid		Polul O	$\frac{4}{15} \pi abc(a^2 + b^2 + c^2)$	$\frac{1}{5} M(a^2 + b^2 + c^2)$
		Axa Ox	$\frac{4}{15} \pi abc(b^2 + c^2)$	$\frac{1}{5} M(b^2 + c^2)$
		Axa Oy	$\frac{4}{15} \pi abc(a^2 + c^2)$	$\frac{1}{5} M(a^2 + c^2)$
		Axa Oz	$\frac{4}{15} \pi abc(a^2 + b^2)$	$\frac{1}{5} M(a^2 + b^2)$
Sector sferic		Axa Oz	$\frac{2}{15} \pi r^2 h^2 (3r - h)$	$\frac{1}{5} Mh(3r - h)$

Anexa 2 (continuare)

Figura	Profilul	Axa	Momentul de inerție	
			geometric	mecanic
Segment de sferă		Axa Oz	$\frac{1}{30} \pi h^3 (20r^2 - 15rh + 3h^2)$	$\frac{Mh}{10} \cdot \frac{20r^2 - 15rh + 3h^2}{3r - h}$
Tor circular		Axa Oy	$\frac{1}{2} \pi^2 R r^2 \cdot (4R^2 + 3r^2)$	$\frac{1}{4} M (4R^2 + 3r^2)$
		Axa Ox	$\frac{1}{4} \pi^2 R r^2 \cdot (4R^2 + 5r^2)$	$\frac{1}{8} M (4R^2 + 5r^2)$
Tor eliptic		Axa Oy	$\frac{1}{2} \pi^2 R a b \cdot (4R^2 + 3a^2)$	$\frac{1}{4} M (4R^2 + 3a^2)$
		Axa Ox	$\frac{1}{4} \pi^2 R a b (4R^2 + 3a^2 + 2b^2)$	$\frac{1}{8} M (4R^2 + 3a^2 + 2b^2)$

BIBLIOGRAFIE

1. Bălan, Șt., *Culegere de probleme de mecanică*, Editura Tehnică București, 1964.
2. Bălan, Șt., *Probleme de mecanică*, Ediția a III-a, Editura Didactică și Pedagogică, București, 1977.
3. Fodor G., Cristea A.F., *Mecanică Aplicată. Lucrări de laborator*, Cluj-Napoca, ed. UTPRESS, 2019.
4. Huidu Teodor, Marin Cornel, *Probleme rezolvate de mecanică*, Ed. Macarie, 2001, ISBN 973 - 8135 - 60 – 5, pg. 261.
5. Ispas, V., Popa L., Bălan B., Arghir M., *Mecanică teoretică. Dinamică*, Atelierul de Multiplicare a Institutului Politehnic, Cluj-Napoca, 1989.
6. Ispas, V. ș.a., *Mecanica*, Editura Dacia, 1997.
7. Ispas, V., Detesan, O.A., *Probleme de mecanica*, EDP, București, 2006.
8. Ispas, V., Deteșan, O. A., Petrișor, S. M., *Mecanică- Statică*, U.T. Press, Cluj-Napoca, 2007.
9. Ispas, V., Pop, A. F., *Probleme de mecanică. Cinematică*, Editura Didactică și Pedagogică, București, 2009.
10. Ispas, V., Deteșan O. A., Pop (Cristea) A. F. *Probleme de Mecanică*, Editura Didactică și Pedagogică, București, 2010.
11. Itul Tiberiu Pavel, Haiduc Nicolae, *Mecanică*, Ed. UTPress, Cluj-Napoca 2012, ISBN 978-973-662-704-0, pg. 309.
<https://ro.scribd.com/doc/48166013/Probleme-rezolvate-de-Mecanica-II-Itul-Haiduc> (accesate 28 octombrie 2024)

12. Itul T. P., Fodor G., *Mecanică, Statică, Cinematică, Dinamică*, Ed. UTPress, Cluj-Napoca 2014, ISBN 978-973-662-965-5.
13. Luca D., Stan C., *Mecanică Clasică*, Editura Alexandru Myller, ISBN (10) 973-86987-7-4; ISBN (13) 978-973-86987-7-4 517.9, pg. 350, 2007.
14. Lefter C. G., *Ecuatii diferențiale și sisteme dinamice*, Editura Alexandru Myller Iași, p. 102, 2006 (<https://www.math.uaic.ro/~lefter/lefter-files/edsd.pdf> - accesată ianuarie 2023).
15. J. Mahecha, *Mecanica Clasica Avanzada*, DOI: 10.13140/RG.2.1.2009.0006, Edition: 1, Publisher: Universidad de Antioquia, Editor: Editorial Universidad de Antioquia, ISBN: ISBN: 958-655-847-9, 2006.
16. Meshcheksky, I.V., *Collection of Problems in Theoretical Mechanics*, Moscow, 1960.
17. Popescu, P., Bălan, B., *Mecanica*, Atelierul de multiplicare al Institutului Politehnic din Cluj-Napoca, 1971.
18. Negrean I. și alții, *Mecanică Teoretică. Teorie și Aplicații*, Ed. Utpress, Cluj-Napoca, 2012.
19. Popescu, P. ș.a., *Culegere de probleme de mecanică tehnică. Statica*, Atelierul de multiplicare al Institutului Politehnic din Cluj-Napoca, 1978.
20. Precupeanu A., *Bazele analizei matematice*, editura CANOVA, pp.530, ISBN/COD:973-96099-6-1, 1995.
21. Ripianu, A., ș.a., *Mecanică tehnică. Cinematică. Culegere de probleme*, Atelierul de multiplicare al Institutului Politehnic din Cluj-Napoca, 1986.
22. Sarian, M., ș.a., *Probleme de mecanică*, Ediția a II-a, Editura Didactică și Pedagogică, București, 1983.

23. Sima, P., *Culegere de probleme de mecanică tehnică*, Editura Didactică și Pedagogică, București, 1964.
24. Stan, A., Grumăzescu, M., *Mecanică tehnică. Culegere de probleme*, Editura Tehnică, București, 1953.
25. Stoenescu, A., Ripianu, A., Atanasiu, M., *Culegere de probleme de mecanică teoretică*, Editura Didactică și Pedagogică, București, 1965.
26. Tudosie, C., *Mecanică teoretică*, Institutul Politehnic din Cluj-Napoca, 1972.
27. Țițeica, Gabriela., *Probleme de mecanică*, Editura Didactică și Pedagogică, București, 1975.
28. Ursu-Fischer N. , *Elemente de mecanică analitică*, Ed. Casa Cărții de Știință, Cluj-Napoca, 2015, ISBN 978-606-17-0820-8.
29. Vâlcovici, V., Bălan, Șt., Voinea, R., *Mecanica teoretică*, Ediția a II-a, Editura Tehnică, București, 1963.
30. Voinea, R., Voiculescu, D., Ceașu, V., *Mecanica*, Editura Didactică și Pedagogică, București, 1983.

[1a] <https://biblioteca.utcluj.ro/files/carti-online-cu-coperta/501-5.pdf>, (image_accesat octombrie 2024);

[2a] <https://mobmob.ro/preturi/sistem-de-dus-inceastrat-rune-bento-gold>, (image_accesat octombrie 2024);

[3a] https://www.google.com/search?q=mecanisme+in+miscare+de+translatie&tbm=isch&ved=2ahUKEwipjaXatJTzAhUI_aQKHbcPctkQ2-cCegQIABAA&oq=mecanisme+in+miscare+de+translatie&gs_lcp=CgNpbWcQAZoICAAQgAQQsQM6CwgAEIAEELEDEIMBOgUIABCABDoECAAQQzoGCAAQCBAAeOgQIABAAeUMiGB1jQwAdg8cQHaaABwAHgAgAHGAYgBtRqSAQyMi4xMpgBAKABAaoBC2d3cy13aXotaW1nwAEB&sclient=img&ei=FhdMYamqF4j6kwW3n6jIDQ&bih=603&biw=1229&rlz=1C1CAFA_enRO777RO777#imgsrc=iRFQrHFHme8wFM, (image_accesat octombrie 2024);

[4a] <https://pixabay.com/ro/illustrations/search/rotor/>, (accesat octombrie 2024);

- [5a] https://www.aliexpress.com/item/1005001280427033.html?dp=261591-156683.1099553&aff_fcid=0d7ee500e2d3473dae43f7b7e83a708f-1632380090894-09894&aff_fsk&aff_platform=api-new-product-detail&sk&aff_trace_key=0d7ee500e2d3473dae43f7b7e83a708f-1632380090894-09894&terminaccessed62596da3Januarydceec7c9c7a687d, (imagine_accesat octombrie 2024);
- [6a] http://www.quarq.ro/experiment/referat_model.pdf (imagine_ accesat octombrie 2024);
- [7a] <https://sites.google.com/site/cursdemecanica/capitolul-8-aplicatii-ale-staticii-in-tehnica/8d> (imagine_accesat octombrie 2023);
- [8a] <https://view.livresq.com/view/5f5ced50582a6801661d6799/> (imagine_ accesat octombrie 2024).
- [9a] <https://www.descopera.org/perpetuum-mobile-de-ce-nu-functioneaza/> (imagine_accesat 30 octombrie 2024).